Library
Weather Bureau

C di
Ao

60470

Switzerland. ~~Schweizerische~~ met.
central anstalt.
Annalen. 1938

C/di
Ao

60470

DATE	ISSUED TO
3/44	Mrs. Pallister

60470

QC
989
.S88
A5
1938

31381
bom
196

ANNALEN

der

SCHWEIZERISCHEN METEOROLOGISCHEN ZENTRAL-ANSTALT

1938

„Der Schweizerischen meteorologischen Beobachtungen“

Fünfundsiebzigster Jahrgang

LIBRARY
N.Q.A.A.
U.S. Dept. of Commerce

LIBRARY
found
SEP 10 1941
60470
WEATHER BUREAU

City—Druck AG. Zürich 1
Kommission von Beer & Cie.

C/di
A0

Inhalt.

Einleitung . . . . . Pag. III
Verzeichnis der schweizerischen meteorologischen Literatur (November 1938 bis Dezember 1939) . . . IV
Bemerkungen über tägliche Beobachtungen V

Tägliche Beobachtungen

der Stationen: Bern, Neuchâtel, Altdorf, Genf, Zürich, Rigi-Kulm, Bevers, Sitten, Lugano, Basel, Säntis und St. Gotthard nebst ergänzenden Witterungsnotizen. Pag. 1—75
Tägliche Maxima und Minima der Lufttemperatur der Stationen Zürich und Säntis . . . . . Pag. 76—77
Temperaturextreme von 7 Normal-Stationen . . . . . „ 78—81
Zürich: Abkühlungsgrösse und Wärmeeinstrahlung . . . . . „ 82

Monats- und Jahres-Uebersichten der meteorologischen Beobachtungen sämtlicher Stationen. 83—130

	Pag.		Pag.		Pag.		Pag.
Aarau	98 u. 99	Elm	88 u. 89	Lohn	100 u. 101	Schiers	128
Adelboden	125	Engelberg	94 u. 95	Lugano	118 u. 119	Schuls	112 u. 113
Airolo	129	Faido	123	Lungern	122	Schwäbrig (bei Gais)	120
Altdorf	94 u. 95	Flims	128	Luzern	90 u. 91	Seewis	127
Altstätten	86 u. 87	Frauenfeld	84 u. 85	Marsens	126	Siders	126
Andermatt	123	Freiburg	102 u. 103	Meiringen	104 u. 105	Sils-Maria	114 u. 115
Arosa	110 u. 111	Generoso Monte	118 u. 119	Montana	108 u. 109	Sitten	108 u. 109
Auen (Linthal)	90 u. 91	Genf	104 u. 105	Montreux-Clarens	106 u. 107	Soleil Mont (ob St. Imier)	123
Baden	120	Glarus	88 u. 89	Muri	120	Solothurn	98 u. 99
Basel (Binningen)	96 u. 97	Göschenen	94 u. 95	Neuchâtel	96 u. 97	Splügen (Dorf)	114 u. 115
Bellinzona	116 u. 117	Grächen	127	Oberiberg	90 u. 91	St. Beatenberg	102 u. 103
Bern	100 u. 101	Grimsel	104 u. 105	Olten	124	St. Bernhard	108 u. 109
Bernhardin	116 u. 117	Grono	129	Pilatus-Kulm	92 u. 93	St. Gallen	86 u. 87
Bevers	114 u. 115	Gurtnellen	122	Platta (Medels)	110 u. 111	St. Gotthard	94 u. 95
Beznau	100 u. 101	Guttannen	104 u. 105	Pontresina	129	Sta. Maria	112 u. 113
Bosco-Gurin	116 u. 117	Haidenhaus	86 u. 87	Reckingen	108 u. 109	St. Moritz	128
Braggio	116 u. 117	Hallau	100 u. 101	Rheinfelden	124	Thun	125
Braunwald (ob Linthal)	121	Heiden	86 u. 87	Rigi-Kulm	92 u. 93	Tschiertschen	128
Brè Monte (ob Lugano)	130	Heiligenschwendi (Thun)	125	Rochers de Naye	106 u. 107	Unter-Hallau	94 u. 95
Brévine, la	123	Interlaken	102 u. 103	Romont	126	Vättis	121
Buffalora (Ofenpass)	112 u. 113	Jungfraujoch	Nachtrag	Rorschach (Mariaberg)	120	Vicosoprano	114 u. 115
Cernier	123	Kreuzlingen	84 u. 85	Saas-Fee	127	Walchwil	92 u. 93
Château d'Oex	125	Langenbruck	98 u. 99	Säntis	88 u. 89	Wald-Hittenberg	121
Chaumont	96 u. 97	Langnau i. E.	102 u. 103	Sargans	88 u. 89	Weggis	122
Chaux-de-Fonds, la	96 u. 97	Lausanne (Champ de l'air)	106 u. 107	Sarnen	92 u. 93	Weissenstein	98 u. 99
Chur	110 u. 111	Leukerbad	126	Scarl (Unterengadin)	129	Werthenstein	122
Comprovasco	130	Leysin	106 u. 107	Schaffhausen	124	Winterthur	84 u. 85
Davos-Platz	110 u. 111	Liestal	124	Schatzalp (ob Davos)	112 u. 113	Zermatt	127
Ebnat	121	Locarno (Muralto)	118 u. 119			Zürich	84 u. 85
Einsiedeln	90 u. 91	Locarno-Monti	118 u. 119				

Anhang: Ergänzende Beobachtungen und Abhandlungen.

Nr. 1. M. Grütter. Uebersicht über den Witterungsverlauf in der Schweiz im Jahre 1938.
Nr. 2. Ch. Golaz. Liste des chutes de grêle en Suisse pendant l'année 1938.
Nr. 3. Ergebnisse der Niederschlagsmessungen im Jahre 1938.
M. Z. A. und I. G Ergebnisse der im Alpengebiet aufgestellten Totalisatoren für das hydrographische Jahr 1938/39.
Nr. 4. Ergebnisse der Registrierungen der Sonnenscheinautographen im Jahre 1938.
Nr. 5. Dr. E. Wanner. Jahresbericht des Erdbebendienstes der Schweiz im Jahre 1938.
Nr. 6. Dr. W. Brückmann. L'Osservatorio Ticinese nell'anno 1938.
Nr. 7. Dr. Lorenz Fischer. Graphische Tafeln für die Psychrometrie.
Nr. 8. Prof. Dr. P.-L. Mercanton. Recherches de technique pluviométrique.
Nr. 9. Dr. Jean Lugeon et Dr. Guido Nobile. Le radiomaxigraphe-enregistreur d'intensité des parasites atmosphériques de la Station centrale suisse de météorologie.
Nr. 10. Dr. Jean Lugeon. Der aerologische Transporteur der Meteorologischen Zentralanstalt (für Höhenbestimmungen).

Einleitung

Auf Ende des Berichtsjahres wurden an 296 Regenmeß- und 120 meteorologischen Stationen Beobachtungen ausgeführt. Im Frühjahr 1939 reduziert sich die Zahl der Regenmeßstationen auf 283. Außerdem wurden 29 Totalisatoren kontrolliert.

Neu errichtet wurde eine meteorologisch-bioklimatische Station in Bad Ragaz; die Beobachtungen begannen im September und werden im Auftrag der dortigen Kurverwaltung von Frl. Josephine Erb, unter Aufsicht von Herrn Dr. Hengge besorgt und uns zur Verfügung gestellt. Seit Mai ist auch die Regenmeßstation Courtelary (Beobachter V. Sunier) wieder besetzt. (Im gleichen Monat wurde die liechtensteinische Regenmeßstation Triesenberg, deren Beobachtungen wir auch publizieren, infolge Umzugs des Beobachters nach Vaduz verlegt.) Anfangs August erfolgte die Errichtung einer Regenmeßstation in Muotathal, für die sich Herr A. Gwerder, Gärtner, zur Verfügung stellte.

Teilweise aus Ersparnisgründen, besonders aber aus prinzipiellen Erwägungen heraus, erfuhr im Jahre 1938 das Netz der Regenmeßstationen einige Reduktionen. Anfangs des Jahres betraf dies die Stationen Athenaz, Châtelaine, Collex und Veyrier des Genfer Observatoriums. Auf Ende 1938 wurden eingestellt: Bisisthal, Boppelsen, Carena, Euthal, Färnigen, Langwies, Latsch, Murten, Palézieux-Gare, Le Prese, Sonogno, Thalwil und Valens. Infolge Rücktritt der Beobachter gingen im Laufe des Jahres die Stationen Romainmôtier, Sihlwald und Lac des Taillières ein.

An folgenden Stationen fanden Beobachterwechsel statt:

Station:	bisher:	neu:
Balsthal:	U. Maag, †;	Frau A. Maag.
Buffalora:	O. Waldburger, †;	Familie Waldburger.
Gsteig:	F. Stalder, Pfarrer;	M. Gerber, Pfarrer.
Heiden:	Dr. R. Landolf;	Frl. F. Tobler.
Montana:	Ed. Voneschen;	A. Hauenstein.
Mormont:	Jos. Biétry, †;	Alfred Biétry.
Unterkulm:	W. Wild, Rektor;	O. Steiner-Fischer.

Zu Ende 1938 betrug der Personalbestand der Anstalt 28 Personen.

Zürich, im Dezember 1939.

Der Direktor der Schweizerischen Meteorologischen Zentralanstalt:

Prof. Dr. P.-L. Mercanton.

Eidgenössische Meteorologische Kommission:

Prof. Dr. Th. Niethammer, Observatorium, Binningen-Basel, Präsident
Prof. Dr. L. W. Collet, Universität, Genève, Vizepräsident
Prof. Dr. P. Gruner, Bern, Lindenrain 3
Prof. Dr. W. Jost, Gymnasium, Bern
Prof. A. Kreis, Kantonsschule, Chur
Prof. Dr. Ch. Borel, Gymnasium, La Chaux-de-Fonds.

Verzeichnis der schweizerischen meteorologischen und seismologischen Literatur November 1938 bis Dezember 1939.

Abkürzungen: A. MZA. = Annalen der Schweizerischen Meteorologischen Zentralanstalt. — A. G. = Archives des Sciences physiques et naturelles, Genève. — B. G. = Gerlands Beiträge zur Geophysik. — H. P. A. = Helvetica Physica Acta. — M. Z. = Meteorologische Zeitschrift. — SNG. = Schweizerische Naturforschende Gesellschaft. — Z. a. Met. = Zeitschrift für angewandte Meteorologie (Das Wetter).

Annalen der Schweizerischen Meteorologischen Zentralanstalt (MZA.), 75. Jg. 1938.

Täglicher Wetterbericht der MZA., 58. Jg. 1938.

Ergebnisse der täglichen Niederschlagsmessungen auf den meteorologischen und Regenmeßstationen der Schweiz, Jg. 1938.

Meteorologische Monatsberichte: Januar—Dezember 1938 bis September 1939.

Observatoire de Genève: Résumé météorologique de l'année 1938 pour Genève et le Grand St-Bernard. (A. G. **20** et **21**, 1938/39).

Observatoire de Lausanne (Champ de l'Air): Résumés mensuels pour 1938, publ. par le Service météorologique universitaire vaudois.

P. Berger: De la mesure des altitudes. (H. P. A. **XI**, 1938, 551.)

M. Bider: Temperaturunterschiede zwischen Stadt- und Freilandstationen. (Verh. SNG. 1939.)

— Vergleich der Registrierungen des Maurerschen Heliochronographen. (H. P. A. **XI**, 1938, 552.)

R. Billwiller: Der Firnzuwachs pro 1937/38 in einigen schweizerischen Firngebieten. (XXV. Ber. d. Zürch. Gletscherkommission V. J.-Schr. NGZ. 1938, 345.)

W. Brückmann: Stato meteorologico del 1937. (Boll. Soc. Ticinese di Sc. natur. **XXXIII**, pubbl. 1939.)

U. Chorus: Sonnen- und Himmelsstrahlung auf dem Jungfraujoch während des internationalen Polarjahres 1932/33. (H. P. A. **XII**, 1939, 557.)

V. Conrad: Sonnenscheindauer im Gebirge: Anomalien und andere Charakteristiken. (H. P. A. **XI**, 1938, 531.)

O. Eckel: Ueber die Schwankungen der Schneeverhältnisse in Davos. (M. Z. 1938, 359.)

— Ueber die Schneeverhältnisse in Davos. Mit einem Beitrag über die Niederschlagsverhältnisse im allgemeinen. (Jb. NG. Graubünden 1936/37 und 1937/38.)

— u. Chr. Thams: Untersuchungen über Dichte-, Temperatur- und Strahlungsverhältnisse der Schneedecke in Davos. (Geologie der Schweiz. — Geotechn. Ser. — Hydrologie. Lfg. 3, 1939, 273.)

L. Fischer: Graphische Tafeln für die Psychrometrie. (A. MZA. 1938.)

F. Gaßmann: Neuere seismische Untersuchungen. (V. J.-Schr. NGZ., 1938, Sitzg.-Ber. XXIII.)

— Magnetische Messungen auf dem Mont Chemin bei Martigny. (H. P. A. **XI**, 1938, 543.)

Ch. Golaz: Gewitterbeobachtungen im Jahre 1938. (A. MZA. 1938.)

R. Gruner u. A. Schuberth: Ueber Wettereinflüsse auf Tuberkulosenkranke. (Z. f. Tuberk. **83**, 1939, 12.)

H. Gutersohn: Lokale Winde im Gebiet der Baye de Montreux. Eine klimatologische Studie aus dem Forschungsbezirk «Station scientifique de la Baye de Montreux» d. Inst. f. Gewässerkunde d. ETH. (V. J.-Schr. NGZ., 1938, 211.)

P. Götz: Tätigkeitsbericht des Lichtklimatischen Observatoriums Arosa 1935—38. (Jb. NG. Graubd. **75**, 1938, 98.)

— Bergschatten auf Wolken. (Jb. Akad. Ski-Club «Der Schneehase», **4**, 1938, 86.)

— Gibt es Ozonwolken? (Verh. SNG. 1939, Sekt. GMA.)

— Sonnenaktivität und Strahlungsklima. (Fundam. Radiolog. **4**, 1939, 33.)

— Die Verfrachtung von Saharastaub nach Mitteleuropa. (5e Rapp. Comm. d. Relations Phén. Sol. et Terr. Firenze, 1939, 192.)

— Das Lichtklimatische Observatorium Arosa. («Rätia» II, 1939, 333.)

— et R. Penndorf: Das Nordlicht vom 24./25. Februar 1939 in Arosa. (Die Naturw. **27**, 1939, 241.)

— Diskussionsbemerkung zum Vortrag Kiepenheuer. (Z. f. Geoph. **14**, 1938, 332.)

W. Hecht und W. Mörikofer: Kritik und Verbesserung der Graukeilphotometermethode. (M. Z. 1939, 142 und 186.)

H. Hofer: Klimatische Untersuchungen im Zürcherischen Rheintal. (E. Rübel und W. Lüdi, Ber. über d. Geobot. Forsch.-Inst. Rübel, Zürich 1939.)

M. Hottinger: Das heiztechnische Klima der Schweiz im Winter 1938/39. (Z. f. Bl. f. Heizung und Lüftung, Oktober 1939.)

A. Kreis und W. Jost: Die Eisdickenmessungen der Gletscherkommission der SNG. auf dem Unteraargletscher. (H. P. A. **XI**, 1938, 532.)

J. Lugeon: La détermination instantanée et sans calcul de toute altitude d'une radio-sonde. (Comptes rendus des séances de l'Académie des Sciences, Paris, **208**, séance du 20 février 1939.)

— Un altimètre intégrateur pour sondage aérologique. (Comptes rendus des séances de l'Académie des Sciences, Paris, **208**, 1327, séance du 24 avril 1939.)

— Un intégrateur pour coordonnées polaires rectangulaires et curvilignes. (Comptes rendus des séances de l'Académie des Sciences, Paris, **208**, 1874, séance du 12 juin 1939.)

— Les perturbations radiophoniques pendant l'aurore polaire du 25 janvier 1938, en Suisse. (Union Radio Scient. Internat. Venise 1938, 326.)

— et G. Nobile: Le radiomaxigraphe de la Station centrale suisse de météorologie. — Un enregistreur d'intensité des parasites atmosphériques. (A. MZA. 1938.)

— und M. Schuepp: Radiosondeaufstiege in der Schweiz. (Flugwehr und Technik, Nr. 5, Zürich 1939.)

W. Jost und A. Kreis: Die Eisdickenmessungen der Gletscherkommission der SNG. auf dem Unteraargletscher. (H. P. A. **XI**, 1938, 532.)

P.-L. Mercanton: Les variations périodiques des Glaciers des Alpes suisses, 59e rapport 1938. («Les Alpes» nº 5, 1939.)

— Bemerkungen zu dem Aufsatz von E. Kalle: Strahlenkranz an der Meeresoberfläche. (Ann. d. Hydrogr. u. mar. Meteor. Mai 1939.)

— Stereoskopie und Meeresströmungen. (Ann. d. Hydrogr. und mar. Meteor. Mai 1939.)

— La pluie à Ouchy et à Lausanne. (Feuille d'Avis de Lausanne, 1939.)

— Tables de glacier sous l'eau. (Z. f. Gletscherkunde, **XXVI**, 1938.)

— Unterwasser-Eiskristallbildung und Mittaglöcher. («Die Alpen», 1939, H. 11.)

W. Mörikofer: Erfahrungen mit einem einfachen Strahlungsintegrationsinstrument. (Destillationsaktinometer Bellani.) Verh. SNG. Chur 1938, 133 und H. P. A. **XI**, 1938, 550.)

— Nekrolog Julius Maurer. (Verh. SNG., Chur 1938, 447.)

— Probleme der Bioklimatologie. (V. J.-Schr. NGZ. 1938, Sitzg.-Ber. XXIV.)

— Meteorologische Strahlungsmethoden. (Handbuch der biolog. Arbeitsmeth., Abt. II, Teil 3, 1939, 4005.)

— Meteorologische Strahlungsmethoden für Mediziner und Biologen. (Fundam. Radiolog. 4, 1939, 36.)

— u. W. Hecht: Kritik und Verbesserung der Graukeilphotometermethode. (M. Z. 1939, 142 und 186.)

M. Nicolet: Ueber das Vorkommen atomaren Stickstoffs in der hohen Atmosphäre. (Die Naturw. **26**, 1938, 839.)

— Mechanism of excitation of the forbidden lines of oxygen and nitrogen in the spectra of the aurora and the sky. (Nature **143**, 1939, 639.)

— Le problème atomique dans l'atmosphère supérieure. (Ciel et Terre **LV**, 1939, 257.)

G. Nobile et J. Lugeon: Le radiomaxigraphe de la Station centrale suisse de météorologie. Un enregistreur d'intensité des parasites atmosphériques. (A. MZA. 1938.)

R. Penndorf und P. Götz: Das Nordlicht vom 24./25. Februar 1939 in Arosa. (Die Naturw. **27**, 1939, 241.)

F. Schmid: Wenn man Meteoriten sucht. (Die Himmelswelt, 1938, H. 11/12.)

— Eine großartige Fata Morgana auf dem Suezkanal. (H. P. A. **XI**, 1939, 557.)

J. M. Schneider: Zur Diskussion über die Ursache des Meteorleuchtens. (H. P. A. **XI**, 1938, 547.)
— Zur quartären Temperaturkurve nach Spitaler gegen Milankowitsch. (H. P. A. **XI**, 1938, 544.)
A. Schuberth und R. Gruner: Ueber Wettereinflüsse auf Tuberkulosenkranke. (Z. f. Tuberk. **83**, 1939, 12.)
M. Schuepp und J. Lugeon: Radiosondeaufstiege in der Schweiz. (Flugwehr und Technik, Nr. 5, Zürich 1939.)
Streiff-Becker: Eisbewegung im Firn und Gletscher und ihre Wirkung. (H. P. A. **XI**, 1938, 540.)
Chr. Thams: Zur Vergleichbarkeit der Abkühlungswerte. (Verh. SNG., Chur 1938, 132 und H. P. A. **XI**, 1938, 549.)
— und O. Eckel: Untersuchungen über Dichte-, Temperatur- und Strahlungsverhältnisse der Schneedecke in Davos. (Geologie der Schweiz. — Geotech. Ser. — Hydrologie. Lfg. 3, 1939, 273.)
H. Uttinger: Graphische Aspirations-Psychrometer-Tafeln zur Bestimmung der relativen Feuchtigkeit unter verschiedenem Luftdruck. (M. Z. 1939, 390.)
M. Waldmeier: Sonneneruption und ihr Einfluß auf die Ausbreitung elektromagnetischer Wellen. (H. P. A. **XI**, 1938, 537.)
E. Wanner: Jahresbericht des Erdbebendienstes der Schweiz im Jahre 1938. (A. MZA. 1938.)
— Ueber die Definition der Seismizität einer Gegend. (H. P. A. **XI**, 539.)
— Ueber die Frequenz der täglichen Niederschläge. (Verh. SNG. 1939, Sekt. GMA.)
E. J. Walter: Föhn trotz steigendem Luftdruck. (24.—28. Oktober 1937.) (V. J.-Schr. NGZ., 1938, 341.)
J. Weber: Annalen der Schweiz. Gesellschaft für Balneologie und Klimatologie, Heft XXXIV, 1939.)

Tägliche Beobachtungen

der Stationen:

Bern, Neuchâtel, Altdorf, Genf, Zürich, Rigi-Kulm, Bevers, Sitten, Lugano, Basel, Säntis und St. Gotthard

im Jahre 1938.

Für die Bezeichnung der Hydrometeore und anderer Phänomene werden nach dem Vorschlag des internationalen Meteorologen-Kongresses Wien 1873) folgende Symbole angewandt:

● = Regen.	⌓ = Tau.	⚡ = Gewitter.	⦶ = Sonnenhof.
✳ = Schnee.	⊔ = Reif.	⚡ = Blitz, Wetterleuchten.	⊕ = Sonnenring.
△ = Graupeln, Riesel.	V = Duft.	⌂ = Nordlicht.	⌣ = Mondhof.
▲ = Hagel.	∽ = Glatteis.	⚡ = starker Wind, ⚡ = Sturm.	⌣ = Mondring.
← = Eisnadeln.	≡ = Nebel.	⇸ = Schneegestöber.	⌒ = Regenbogen.

Das Zeichen ⊠ bedeutet, dass mehr als die Hälfte der Bodenfläche in der Umgebung der Station an dem betreffenden Tag mit Schnee bedeckt war.

Die Intensität der einzelnen Erscheinungen wird durch eine dem Symbol als Exponent beigefügte ° als schwach und ² als stark bezeichnet.

In der Spalte „Witterung" bedeuten die Abkürzungen: fl. = Flocken, sch. = Schauer, tr. = Tropfen, T = Donner; fr. = früh, m. U. = mit Unterbrechungen.

Vom Jahrgang 1918 an ist die 24-Stundenzählung durchgeführt; wenn die Zeit nicht näher angegeben werden kann, bedeutet wie bis anhin: a: Vormittags (ante meridiem), p: Nachmittags (post meridiem), n: Nachts.

Alle Zeitangaben beziehen sich auf **mitteleuropäische Zeit.**

Die römischen Ziffern geben an, dass das betreffende Phänomen um die Zeit des ersten, resp. zweiten, resp. dritten Beobachtungstermins beobachtet worden ist, die arabischen bedeuten die bürgerlichen Zeitstunden, das Zeichen * interpolierte Daten.

Die Windstärken sind in der sechsteiligen (halben) Beaufortskala ausgedrückt.

λ bezeichnet die geographische Länge in Graden von Greenwich, β die geographische Breite, H_b die Höhe des Stationsbarometers über dem Meer in Metern, H die Höhe der Station (des Regenmessers) über der Meeresfläche, G ist die Korrektion, welche an den Luftdruckdaten für deren Reduktion auf die Normalschwere (45° Breite und das Meeresniveau) noch anzubringen ist, h_r die Höhe des oberen Randes des Regenmessers über dem Erdboden. Die Stationen, bei denen die Höhe (des Barometergefässes) bis auf den Dezimeter angegeben ist, sind an das schweizerische Präzisionsnivellement angeschlossen. Alle Höhen sind auf Pierre du Niton 373.6^{m} bezogen.

Die Schwerekorrektionen (G) sind vom Jahrgang 1936 an auf Grund neuer Berechnungen von Herrn Prof. Niethammer, Basel, eingesetzt worden.

Nachtrag.

Jungfraujoch

$\lambda = 7° 59'$, $\beta = 46° 35'$, $H_b = 3578^m$, $G = -0.14$ m/m, $h_r = 1.8^m$

1938	Luftdruck					Luft-Temperatur								Relative Feuchtigkeit					
	Mittel	Minimum	Tag	Maximum	Tag	7^{30}	13^{30}	21^{30}	Mittel	Minimum	Tag	Maximum	Tag	7^{30}	13^{30}	21^{30}	Mittel	Minimum	Tag
Januar	485.9	474.1	30	501.7	24	-14.7	-14.4	-14.6	-14.6	-25.5	3	-4.2	14	—	—	—	—	—	—
Februar	489.0	473.6	14	498.0	28	-14.9	-13.7	-14.5	-14.4	-25.0	12	-5.2	26	—	—	—	—	—	—
März	493.9	484.4	27	501.7	4	-10.6	- 9.0	-9.9	-9.8	-18.2	26	-3.4	5	45	42	42	43	15	16
April	487.1	480.4	30	498.0	1	-14.6	-13.4	-14.7	-14.3	-24.0	10	-3.6	15	45	51	58	51	13	17
Mai	489.2	479.6	1	496.7	31	-8.7	-7.1	-8.3	-8.1	-17.0	1	-1.2	31	61	59	63	61	12	11
Juni	496.7	487.7	13	501.9	20	-1.9	-0.5	-1.2	-1.2	-10.9	3	4.0	22.25	—	—	—	—	—	—
Juli	496.0	489.2	2	503.8	30	-2.2	-0.7	-2.0	-1.7	-10.4	10	4.8	26	54	56	61	57	17	14
August	494.6	488.7	29	500.5	4	-1.8	-0.5	-1.5	-1.3	-12.0	22	5.4	5	55	57	62	58	18	18
September	494.8	489.3	7	499.4	13	-3.9	-2.3	-3.0	-3.0	-11.0	6	2.8	13	55	54	59	56	14	1, 2
Oktober	492.4	478.9	28	500.2	13.14	-5.0	-4.1	-5.2	-4.9	-16.2	29	2.8	15	45	41	41	42	11	12. 21
November	492.3	474.9	22	500.6	14	-6.8	-5.8	-6.9	-6.6	-18.2	22	2.0	7. 8	43	41	44	43	7	7
Dezember	483.7	472.3	22	492.4	13	-14.7	-13.7	-14.7	-14.4	-24.8	22	-5.0	13	—	—	—	—	—	—
Jahr	491.3	472.3	XII	503.8	VII	-8.3	-7.1	-8.0	-7.9	-25.5	I	5.4	VIII	—	—	—	—	—	—

Beobachter: **Jungfraubahn**

Jungfraujoch

Bewölkung				Niederschlag			Zahl der Tage								Windverteilung									1938
7^{30}	13^{30}	21^{30}	Mittel	Summe	Maximum	Tag	● *	●* ≧1.0	*	▲	⌇	≡	heiter	trüb	N	NE	E	SE	S	SW	W	NW	Calmen	
7.7	7.4	6.8	7.3	—	—	—	—	—	—	—	—	21	4	19	30	3	—	2	2	2	14	40	—	Januar
4.2	5.3	4.2	4.6	—	—	—	—	—	—	—	—	13	10	6	22	4	—	24	16	1	—	17	—	Februar
3.9	4.0	3.1	3.7	—	—	—	—	—	—	—	—	13	14	5	27	4	1	3	26	1	—	31	—	März
3.7	4.8	4.5	4.3	—	—	—	—	—	—	—	—	17	9	3	44	3	—	2	7	—	1	33	—	April
6.2	7.5	7.0	6.9	—	—	—	—	—	—	—	—	24	4	15	10	1	1	8	38	1	14	20	—	Mai
4.7	5.4	5.4	5.2	—	—	—	—	—	—	—	—	16	7	6	22	—	—	2	27	3	16	20	—	Juni
5.6	6.1	5.5	5.7	—	—	—	—	—	—	—	—	19	7	9	13	—	1	6	29	—	21	23	—	Juli
4.7	6.6	6.1	5.8	—	—	—	—	—	—	—	—	19	3	9	13	—	1	19	13	2	17	28	—	August
5.2	6.2	5.7	5.7	—	—	—	—	—	—	—	—	17	8	10	8	—	—	21	29	1	12	18	1	September
5.0	4.5	3.7	4.4	—	—	—	—	—	—	—	—	10	9	5	20	5	—	9	18	4	8	29	—	Oktober
5.4	4.9	4.0	4.8	99	24	21	15	13	15	—	—	11	6	7	28	—	2	13	20	1	2	24	—	November
7.1	6.6	6.1	6.6	156	19	30	19	19	19	—	—	19	5	15	19	1	—	17	20	—	4	32	—	Dezember
5.3	5.8	5.2	5.4	—	—	—	—	—	—	—	—	199	86	109	256	21	6	126	245	16	109	315	1	Jahr

Errata

1937

Anhang Nr. 3, Seite 8, letzte Tabelle: Zürich, Juni 75 (nicht 715).

1938

Tägliche Beobachtungen: Sitten, das Barometer hat eine negative Korrektion, der Betrag konnte noch nicht genau ermittelt werden.

Seite 7: Bern, G = 0.00 (nicht 0,05).
Neuchâtel, G = 0,02 (nicht 0,06).
„ 8: Altdorf, G = —0,05 (nicht 0,05).
Genf, G = —0,03 (nicht 0,02).
„ 42: Säntis, 9. Juli 7^{30h}, Bewölkung 10≡● (nicht 10≡).
„ 64: Bevers, Temperatur — Monatsmittel —0,7 (nicht 0,7).
„ 94: Göschenen, November Luftdruck — Maximum 678,0 (nicht 677,0).

$\lambda = 7^{\circ}\,26'$, $\beta = 46^{\circ}\,57'$,
$H_b = 572.2^{m}$, $G = 0.00$ m/m.

Bern

Januar 1938.
Beobachter: *Tellur. Observatorium.*

Tag	Lufttemperatur 7³⁰	13³⁰	21³⁰	Mittel	Abweich. vom Normalst	Luftdruck 7³⁰	13³⁰	21³⁰	Relative Feuchtigkeit 7³⁰	13³⁰	21³⁰	Windrichtung und Stärke 7³⁰	13³⁰	21³⁰	Bewölkung 7³⁰	13³⁰	21³⁰	Niederschlag	Witterung
1	-9.0	-3.3	-3.9	-5.4	-3.8	713.3	712.7	713.4	77	60	75	S 0	SW 0	NE 0	10	9	10	0.0	✳ᶜfl. 11-16, 21¼-22¼
2	-7.0	-3.3	-6.7	-5.7	-4.1	714.3	715.0	715.4	84	66	80	NE 0	NE 1	NE 1	9	4	0	.	
3	-8.6	-5.3	-8.7	-7.5	-5.9	713.6	713.1	714.2	82	68	70	S 0	NE 3	NE 2	10	10	0	.	
4	-12.2	-8.0	-10.0	-10.1	-8.4	713.2	711.9	709.8	82	64	83	NE 0	NE 0	NE 0	0	7	3	0.2	✳° 16¼-18
5	**-14.2**	-7.4	-10.3	-10.6	-8.9	710.5	711.6	713.5	85	76	80	SE 0	NE 1	NE 0	0	0	1	.	⊠
6	-12.5	-6.3	-5.1	-8.0	-6.3	714.2	714.0	713.3	81	70	82	S 1	S 0	S 0	10	10	10	0.8	✳ 13½-15, 20½-22¾ zeitw.
7	-3.3	1.2	-1.4	-1.2	0.6	712.1	709.8	705.9	87	76	80	S 0	SW 1	S 0	10≡	10	10	1.0	✳ 1¼-3¾ m.U., ≡ n-11¾ ⊠
8	1.0	3.9	2.2	2.4	4.2	703.8	703.4	701.8	88	77	80	SE 2	WSW 2	W 0	10	9	10	0.7	●✳ 2½-7¼ m.U., ● 10-11 ⊠
9	0.0	1.4	3.8	1.7	3.5	697.4	697.8	698.4	90	93	60	S 1	WSW 2	WSW 1	10●*	10	3	**11.6**	●✳ 6-8, 12½-15¼ m.U., ● ⊠
10	1.7	5.0	3.4	3.4	5.2	696.1	**695.8**	696.9	85	**58**	66	WSW 1	WSW 2	W 1	10	10	8	0.4	[11-12¼ m.U.
11	2.8	3.7	3.0	3.2	5.0	700.2	705.4	710.8	84	83	77	WSW 3	SW 2	W 1	10●	10	10	1.9	● 7¼-11¼ m.U., 15¾
12	2.8	4.2	6.6	4.5	6.3	711.0	712.9	716.4	72	84	83	SW 0	S 0	W 1	10	10	9	1.6	● 7¾-11¼, 17-17¾ m.U.
13	4.0	7.0	2.8	4.6	6.4	717.2	717.9	716.6	82	68	86	SW 0	S 0	SE 0	8	8	3	0.9	
14	6.4	**8.3**	1.6	5.4	7.2	717.1	718.6	713.5	71	76	87	SW 1	S 0	SW 0	9	6	8	.	● 6¼-6¾
15	1.7	4.3	4.4	3.5	5.3	707.7	710.4	713.1	88	84	73	S 0	WSW 2	SW 2	9	10●	10	5.2	● 10¾-13¾
16	1.8	5.5	3.0	3.4	5.2	716.0	714.4	712.4	82	69	75	W 0	SE 0	S 0	9	10	10	0.1	● 0½-0¾
17	2.7	4.8	5.2	4.2	5.9	710.5	709.2	711.6	70	82	93	SE 1	N 0	SW 0	10●	10●	10	11.3	● n-n m.U.
18	4.2	4.5	3.8	4.2	5.9	713.9	713.7	712.7	91	90	87	NE 0	NE 0	S 0	10	10	10	.	● 0-0½, ≡ 7¾-13¾
19	1.7	4.8	4.6	3.7	5.4	711.5	710.0	715.0	85	79	72	SE 0	S 0	SW 2	4	10	10	0.9	●° 9-10 ztw., ● 13¾-16 ztw.
20	1.0	3.9	1.9	2.3	3.9	718.6	718.7	718.4	81	72	86	SE 1	SW 0	SE 1	10	10	10●	2.1	● 12-21¾ zeitw.
21	1.3	4.0	2.0	2.4	4.0	718.8	719.4	721.1	90	86	86	SE 0	E 0	N 0	10	10	10	0.6	● 0-1½, 5-6¼
22	1.2	5.0	1.2	2.5	4.1	722.8	723.0	724.2	87	80	87	SE 1	NE 0	SE 0	10●	9	7	.	● 5¾-7½ m.U.
23	0.1	1.3	0.6	0.7	2.2	725.0	725.4	725.7	92	91	90	SE 1	E 0	SE 0	10≡	10	10	.	≡ n-13¼, 20¼-n
24	-1.0	1.1	-0.3	-0.1	1.4	726.1	726.7	**727.4**	91	87	94	SW 0	S 0	S 0	10	10	10≡	.	≡ 17-n
25	-2.9	1.2	0.4	-0.7	0.7	724.5	720.6	718.7	96	89	92	SW 0	SW 0	SW 0	10≡	2	2	0.2	≡ n-10¼, 17¼-19¾
26	1.2	6.0	4.1	3.8	5.2	717.6	713.8	709.9	89	77	70	SW 0	NE 0	W 0	10	6	3	4.1	● 1-1¼, 19¾
27	0.9	1.7	0.0	0.9	2.2	701.0	705.9	708.0	90	89	90	S 0	W 1	W 0	10●*≡	10	10	9.9	● 3¾-12½ m.U., ✳ 4¼-9¾, ⊠
28	-0.9	0.4	-0.1	-0.2	1.1	711.3	712.1	709.0	88	65	72	W 0	WSW 1	SE 0	10	1	10	3.3	[17-18½, ≡ n-9¼ ⊠
29	0.4	3.4	2.1	2.0	3.2	702.2	701.5	706.1	89	90	75	SE 0	WSW 2	WSW 1	10●	10	3	10.7	● 2¾-19¼ m.U., ≡ 12¼-12¾
30	2.1	4.4	0.6	2.4	3.5	699.5	698.0	708.0	80	86	89	W 1	W 3	NW 1	10	10	7	9.8	✳ 0½.3½, 15¾-20, ● 9½-
31	-0.6	3.4	2.6	1.8	2.9	713.5	713.5	713.0	87	69	77	S 0	SW 0	SE 0	10	10	10	.	[16¾ m.U.
																		Summe	
Mittel	-1.1	2.0	0.5	0.5	—	712.1	712.1	712.7	85	77	81				9.0	8.4	7.3	77.3	

$\lambda = 6^{\circ}\,57'$, $\beta = 47^{\circ}\,0'$,
$H_b = 487.3^{m}$, $G = 0.02$ m/m.

Neuchâtel

Januar 1938.
Beobachter: *Observatorium.*

Tag	Lufttemperatur 7³⁰	13³⁰	21³⁰	Mittel	Abweich. vom Normalst	Luftdruck 7³⁰	13³⁰	21³⁰	Relative Feuchtigkeit 7³⁰	13³⁰	21³⁰	Windrichtung und Stärke 7³⁰	13³⁰	21³⁰	Bewölkung 7³⁰	13³⁰	21³⁰	Niederschlag	Witterung
1	-6.8	-2.8	-2.9	-4.2	-3.7	721.8	720.8	721.7	89	83	90	NE 0	S 0	E 1	10	6	9*	0.1	✳° 10-10¾, ✳fl. 19½-n,
2	-5.0	-0.7	-4.9	-3.5	-3.0	722.8	723.4	723.7	74	61	65	N 1	NE 2	NE 1	9	8	1	.	[⊔ fr.
3	-5.7	-4.0	-8.3	-6.0	-5.4	721.9	721.1	722.8	80	67	66	NE 1	E 3	E 3	10*	1	0	.	✳° 7½-8
4	**-10.6**	-6.4	-9.4	-8.8	-8.2	721.7	720.2	718.1	74	70	88	NE 1	SE 1	NE 1	0	10	0	0.1	✳° 17
5	-10.4	-5.1	-8.5	-8.0	-7.4	718.9	720.0	722.2	96	77	83	E 1	E 2	E 1	8	0	4	.	
6	-9.9	-4.9	-3.3	-6.0	-5.3	722.9	722.5	721.8	85	86	96	NE 1	SW 1	W 1	8	10*	10*	1.0	✳fl. seit 10, ✳ᶜ 13½-n
7	-1.4	0.4	1.1	0.0	0.7	720.1	717.8	714.1	92	84	82	W 2	W 1	NW 3	10	9	10	7.2	✳ 8¼-10¼ ⊠
8	1.6	3.1	3.4	2.7	3.4	712.0	711.6	709.6	95	92	82	SW 3	SW 3	W 2	10	10	10●	9.0	● 8-9, ✳ 9-9¾, ●° 18-n ⊠
9	3.1	5.9	4.2	4.4	5.1	704.2	704.0	705.6	95	68	75	SW 4	SW 3	SW 2	10●	8	9	7.8	● n-18 m.U.
10	2.4	4.5	3.3	3.4	4.1	703.4	**703.1**	704.4	95	70	84	SW 3	SW 4	SW 3	10●	10	10●	12.3	● n-8¼, 20-n
11	2.9	3.5	3.3	3.2	3.9	708.5	714.1	719.3	87	90	83	SW 3	SW 2	W 2	10●	10	9	2.4	● n-n m.U.
12	3.5	5.3	7.3	5.4	6.1	719.4	721.2	724.1	85	95	83	W 3	W 3	W 2	10●	10●	10	5.0	● n-n m.U
13	5.7	9.9	5.8	7.1	7.8	725.3	725.4	724.4	84	67	80	W 1	W 2	NW 2	7	7	6	0.5	⊍ 20-n
14	7.0	**10.1**	3.3	6.8	7.5	726.1	726.2	721.5	89	74	97	W 2	SW 1	N 0	10●	2	7	.	
15	3.2	5.7	4.7	4.5	5.1	715.2	718.4	721.3	92	75	75	W 1	SW 3	SW 2	3	10	8	5.3	● 9¾-n m.U.
16	2.6	5.3	4.1	4.0	4.6	724.1	722.2	720.6	86	74	83	W 0	SW 1	SW 1	2	10	9	0.2	
17	5.9	6.4	6.0	6.1	6.7	718.2	717.1	720.0	68	71	94	SW 1	SW 1	W 2	10	10●	10●	20.4	● 13-n
18	3.2	5.8	3.1	4.0	4.6	721.9	721.8	720.7	97	81	95	NE 1	E 1	E 0	6	8	9	.	
19	2.9	4.6	4.5	4.0	4.5	719.4	718.2	723.1	90	95	78	W 1	W 2	W 1	7	10●	10●	3.8	● 9½-15½, n
20	2.0	3.9	2.5	2.8	3.3	726.6	726.5	726.3	84	83	95	W 0	SE 1	SW 0	6	10	10●	1.9	● 21-n
21	2.0	4.8	2.9	3.2	3.7	727.0	727.6	729.3	100	87	90	E 1	E 1	E 1	10●	8	10	0.6	● n-8
22	1.9	5.0	2.8	3.2	3.6	731.1	731.1	732.3	98	83	95	E 0	E 1	NE 1	10	10	1	.	
23	1.7	2.1	1.7	1.8	2.2	733.3	733.4	734.0	100	95	95	E 0	E 1	NE 1	10≡	10	10	.	≡ a
24	0.4	1.7	0.5	0.9	1.2	734.4	734.9	**735.6**	96	93	100	E 0	S 0	N 1	10	10	10	.	
25	-1.0	0.0	7.3	2.1	2.4	732.7	728.7	726.9	96	95	**52**	W 1	SW 1	W 2	10	10	2	.	
26	2.9	6.4	5.0	4.8	5.0	725.4	721.7	717.5	82	74	61	NE 0	SE 0	W 2	9	7	0	2.2	
27	2.9	1.7	-0.5	1.4	1.6	709.2	714.3	716.8	95	96	94	W 2	SW 1	W 1	10●	10	4	13.3	● ✳ n-12½, ✳² 16¾-17½
28	-1.2	1.9	1.7	0.8	0.9	719.9	720.5	717.4	96	67	61	W 1	SW 2	SW 3	10	5	10	6.4	⊠
29	3.7	5.3	3.2	4.1	4.2	710.4	708.9	713.9	92	75	64	SW 4	SW 3	W 2	10●	10●	10●*	**35.4**	● ✳ a, p zeitw., ✳ 21½-n
30	0.9	5.0	2.1	2.7	2.7	706.9	705.2	716.6	98	86	65	SW 4	SW 3	N 2	10●*	10●	6	24.1	● n-15½, ● ✳ 17-n m.U.
31	0.2	3.5	3.6	2.4	2.4	722.1	721.9	721.1	95	71	79	W 1	SW 2	SW 1	10	10	1	0.1	●tr. abds. ⊠
																		Summe	
Mittel	0.3	2.8	1.6	1.6	—	720.2	720.1	720.9	90	80	82				8.5	8.4	7.0	159.1	

Januar 1938.
Beobachter: Frl. *H. Nager.*

Altdorf

$\lambda = 8^\circ 39'$, $\beta = 46^\circ 53'$,
$H_b = 456.3^m$, $G = -0.05$ m/m.

Tag	Lufttemperatur 7³⁰	13³⁰	21³⁰	Mittel	Abweich. vom Normalst	Luftdruck 7³⁰	13³⁰	21³⁰	Relative Feuchtigkeit 7³⁰	13³⁰	21³⁰	Windrichtung und Stärke 7³⁰	13³⁰	21³⁰	Bewölkung 7³⁰	13³⁰	21³⁰	Niederschlag	Witterung
1	-4.7	-1.7	-2.7	-3.0	-3.2	724.6	723.5	724.1	63	57	89	S 0	SE 0	SE 0	10	10*	10*	1.4	✳° II, III
2	-3.5	-1.8	-6.4	-3.9	-4.1	725.7	726.2	727.5	85	56	72	NW 0	NW 0	E 0	10*	10	7	.	✳ I ⊠
3	-9.9	-4.3	-6.4	-6.9	-7.0	725.6	724.5	725.9	62	44	54	E 0	W 0	E 0	3	2	7	.	⊠
4	-7.6	-5.4	-8.4	-7.1	-7.2	724.3	723.5	721.4	52	49	59	E 0	E 0	SE 0	10	10	3	.	⊠
5	-11.3	-5.6	-7.0	-8.0	-8.1	721.8	723.0	725.5	67	52	55	E 0	SW 0	E 0	2	1	0	.	⊠
6	-8.6	-4.2	-4.2	-5.7	-5.8	725.6	724.2	723.8	65	88	98	S 0	S 0	S 0	10	10*	10*	14.5	✳ 11¼-n ⊠
7	-4.9	1.4	-1.1	-1.5	-1.6	722.3	720.1	716.9	100	79	84	S 0	S 0-1	S 0	10	10	6	3.9	⊠
8	0.4	1.4	0.8	0.9	0.8	714.6	714.2	713.1	98	95	97	E 0	NW 0	NW 0	10*	10*	10	4.0	
9	4.8	7.7	0.1	4.2	4.1	705.7	705.8	708.4	49	35	96	E 1	S 1-2	W 0	10	10	4	0.3	● ⊠
10	-1.4	3.8	0.1	0.8	0.7	705.7	**705.0**	706.6	67	48	63	SE 0	W 0	W 0	10	6	9	0.1	⊠
11	2.9	2.3	1.5	2.2	2.1	710.2	716.0	721.6	67	93	98	S 0	E 0-1	SE 0	10	10●	10	6.1	⊠
12	1.9	5.2	2.7	3.3	3.1	721.6	722.7	725.5	94	86	100	S 0	E 0	E 0	10●	10	10	3.8	⊠
13	2.1	7.5	2.7	4.1	3.9	727.9	728.5	727.6	95	58	83	E 0	S 0	W 0	8	7	0	.	⊠
14	1.7	6.9	1.9	3.5	3.3	728.0	728.9	723.7	79	60	80	NE 0	W 0	SE 0	10	6	8	.	⊠
15	5.9	6.8	8.4	7.0	6.8	717.5	720.5	721.5	64	80	**32**	NW 1	NW 0-1	NW 1-2	10	10●	10●	2.2	⊠
16	1.7	**8.6**	4.4	4.9	4.7	726.7	724.4	722.7	85	41	64	E 0	S 0	SE 0	8	7	10	.	
17	3.8	8.2	4.7	5.6	5.4	721.1	718.9	721.7	84	64	98	NE 0	W 0	NE 0	10	8	10	8.0	● 17½-20
18	4.4	8.2	0.9	4.5	4.2	725.1	724.0	723.8	92	65	95	SW 0	NW 0	S 0	10	6	0	.	
19	1.1	8.4	4.9	4.8	4.5	722.5	719.6	724.2	89	42	95	E 0	NW 0	SE 1	10	8	10	4.8	● 17
20	4.9	5.2	1.5	3.9	3.6	728.6	729.0	729.1	48	53	95	E 0	N 0	NW 0	10	10	10*	**16.4**	● bis 18, ✳ 18-n
21	0.9	4.1	-0.1	1.6	1.3	730.0	730.3	732.2	97	83	54	NW 0	NW 0	SE 0	10	5	0	.	⊠
22	0.3	4.0	-0.5	1.3	0.9	734.3	734.2	735.4	85	80	94	E 0	E 0	E 0	10	8	4	.	⊠
23	-2.9	2.4	0.4	0.0	-0.4	736.1	736.8	737.1	97	80	92	E 0	E 0	SE 0	3	10	10	.	⊠
24	-1.2	3.1	-0.1	0.6	0.2	736.9	738.0	**738.6**	96	72	95	E 0	NW 0	NW 0	10	7	10≡	.	≡ III ⊠
25	-4.5	-0.6	-1.8	-2.3	-2.8	734.9	730.4	729.7	100	97	100	E 0	E 0	E 0	3	10≡	0	.	≡ II, ♎ III ⊠
26	0.9	4.7	2.2	2.6	2.1	728.2	723.4	720.9	90	78	94	SE 0	NW 0	NW 0	10	4	10	0.2	⊠
27	2.0	2.4	2.1	2.2	1.6	712.2	715.7	718.1	90	65	52	SE 0	NW 1	NW 0	10	10●*	10	10.2	● ✳ II ⊠
28	-0.1	2.2	-0.3	0.6	0.0	721.8	722.6	719.6	84	56	67	W 0	NW 0	NW 0	10	4	10	4.2	⊠
29	0.8	5.7	4.6	3.7	3.0	711.5	710.4	715.3	92	50	46	E 0	NW 4	NW 2	10●	10●	10	14.1	● I, II ⊠
30	2.1	1.4	0.9	1.5	0.8	708.7	705.8	719.1	72	98	69	E 0	NW 1-2	NW 1	10	10●	10*	13.6	● II, ✳° III ⊠
31	0.7	4.3	0.3	1.8	1.0	724.2	724.1	723.7	73	54	86	S 0	NW 0	E 0	10	10	0	.	⊠
																		Summe	
Mittel	-0.6	3.0	0.2	0.9	—	722.7	722.4	723.4	80	66	79				8.9	8.0	7.0	107.8	

Januar 1938.
Beobachter: *Observatorium.*

Genf

$\lambda = 6^\circ 9'$, $\beta = 46^\circ 12'$,
$H_b = 405.0^m$, $G = -0.03$ m/m.

Tag	7³⁰	13³⁰	21³⁰	Mittel	Abweich. vom Normalst	7³⁰	13³⁰	21³⁰	7³⁰	13³⁰	21³⁰	7³⁰	13³⁰	21³⁰	7³⁰	13³⁰	21³⁰	Niederschlag	Witterung
1	-8.2	-2.0	-4.3	-4.8	-5.1	729.7	728.4	728.7	79	72	73	E 0	NE 1	NE 1	9	10	9	.	
2	-3.2	-1.2	-2.9	-2.4	-2.7	729.9	730.5	730.6	78	65	76	NE 1	NE 1	NE 1	8	1	0	.	
3	-4.6	-3.7	-5.7	-4.7	-5.0	728.3	727.4	728.9	75	58	74	NE 1	NNE 1	NNE 2	9	5	7	.	
4	-7.6	-6.6	-6.5	-6.9	-7.1	729.0	727.5	725.1	80	65	65	NNE 2	NNE 1	NE 1	10	6	9	.	
5	-7.8	-5.9	-6.7	-6.8	-7.0	725.8	727.5	728.8	66	70	65	NE 1	NE 1	ENE 1	3	9	0	.	
6	-6.8	-4.0	-3.7	-4.8	-5.0	730.4	730.5	730.2	73	70	77	NE 1	NNE 1	ENE 0	10	10	10	.	
7	-3.2	2.2	1.8	0.3	0.1	728.4	726.0	722.9	82	72	67	NNW 0	NNW 0	SW 1	10*	9	10*	0.2	● ✳sch. a ⊠
8	3.2	6.0	4.6	4.6	4.4	720.7	720.0	717.2	80	67	72	SSW 1	SW 1	SW 1	9	9	10	1.8	●°sch. a, ● n
9	5.8	7.4	5.7	6.3	6.1	712.9	712.8	713.4	78	80	62	SW 1	SSW 2	SSW 1	10	10	1	0.9	● a, n
10	4.6	7.2	5.4	5.7	5.5	711.6	**711.4**	712.7	74	57	73	SSW 1	SSW 2	SSW 1	10	9	9	0.2	
11	4.0	4.4	2.8	3.7	3.5	717.8	722.8	727.3	80	83	75	SSW 1	SSW 1	W 0	10●	10●	0	5.0	● n-a
12	2.6	5.8	6.8	5.1	4.9	728.8	731.0	732.4	89	91	75	W 1	E 0	NNE 0	10●	10●	9	1.6	●° n-n m.U.
13	5.0	10.3	5.3	6.9	6.7	733.4	732.9	732.1	90	71	85	NE 0	NNE 0	NNE 0	1	6	0	0.1	●° n (13./14.)
14	7.8	10.4	3.9	7.4	7.2	734.3	733.4	729.4	72	65	85	NNE 0	NNE 0	NNE 0	10	7	1	.	
15	9.2	7.0	5.4	7.2	6.9	722.4	727.5	729.8	61	66	74	SE 1	SSW 2	SSW 2	0	10●	4	2.1	● 8-p, n
16	3.0	7.4	5.7	5.4	5.1	731.7	730.1	728.3	89	66	70	NE 1	SW 0	E 0	7	9	7	.	
17	6.0	9.8	6.1	7.3	7.0	726.3	725.3	728.1	67	**50**	86	NE 0	SSW 1	NW 0	9	10	10●	**8.8**	● p-n
18	3.0	6.0	5.2	4.7	4.4	729.3	729.1	728.3	100	92	89	NE 0	NE 0	E 0	0	10	7	.	
19	0.8	5.8	6.9	4.5	4.1	727.7	727.1	730.5	96	82	84	E 0	NW 1	E 1	9	10●	9	1.0	● a, ●°sch. p, ⊔ fr.
20	0.4	5.1	4.4	3.3	2.9	734.3	734.0	733.9	95	67	70	E 0	NNE 1	NNE 0	0	9	10	1.3	● n (20./21.)
21	3.0	6.0	4.5	4.5	4.1	734.0	734.4	736.5	93	82	83	NNW 0	NNE 1	NNE 1	10	5	10	.	
22	3.4	5.2	5.9	4.8	4.3	738.0	738.3	739.4	87	78	82	NE 1	NNE 1	NNE 1	10	10	10	.	
23	4.1	3.4	3.0	3.5	3.0	740.6	740.2	741.1	85	83	89	NNE 1	NNE 1	NE 0	10	10	10	.	
24	2.2	2.6	1.8	2.2	1.6	742.0	742.4	**743.4**	89	86	91	NE 0	NE 0	E 0	10	10	10	.	
25	-0.7	0.3	-0.7	-0.4	-1.0	740.4	736.3	735.0	96	94	96	E 0	NE 0	NE 0	10	10	1	.	♎ III, ≡ a
26	2.0	**11.0**	6.4	6.5	5.8	733.0	729.3	726.1	95	59	70	NE 0	W 1	SW 1	9	9	5	1.6	● n (26./27.)
27	6.2	4.2	0.6	3.7	3.0	717.1	722.3	724.4	82	74	92	SW 1	SSW 1	NW 0	10●	10	9	7.4	✳ p-n m.U.
28	-0.5	2.8	1.8	1.4	0.6	728.1	728.9	726.2	90	66	71	SW 0	NW 1	W 1	9	9	10	8.0	● ✳sch 21, ● 21-n ⊠
29	4.6	6.4	5.2	5.4	4.6	720.2	719.8	723.1	88	91	66	SW 1	NW 2	SW 1	10●	10●	10●	8.6	● n-n, ⊤ 12¾
30	3.8	8.0	3.1	5.0	4.1	716.7	715.5	725.0	80	61	64	SW 2	W 2	NE 1	10●	8	10	7.8	●sch. a-n zeitw., ⊼ 21
31	1.1	5.0	4.3	3.5	2.5	730.2	730.1	729.3	91	71	72	NNE 0	NNE 1	NNW 0	10	10	8	.	
																		Summe	
Mittel	1.4	4.1	2.4	2.6	—	728.2	728.1	728.6	83	73	76				8.1	8.7	6.9	56.4	

λ = 8° 33′, β = 47° 23′,
H_b = 493.2 m, G = 0.03 m/m.

Zürich

Januar 1938.
Beobachter: *Meteorol. Zentralanstalt.*

Tag	Lufttemperatur 7³⁰	13³⁰	21³⁰	Mittel	Abweich. vom Normalst	Luftdruck 7³⁰	13³⁰	21³⁰	Relative Feuchtigkeit 7³⁰	13³⁰	21³⁰	Windrichtung und Stärke 7³⁰	13³⁰	21³⁰	Bewölkung 7³⁰	13³⁰	21³⁰	Niederschlag	Witterung
1	-5.3	-2.6	-3.6	-3.8	-3.0	720.9	719.7	721.2	72	70	95	NW 0	WSW 1	NW 1	10	9	10*	0.3	✳° 16⁸/₄-17, 20-22
2	-5.9	-1.2	-6.4	-4.5	-3.6	722.6	722.9	723.4	100	64	96	ENE 0	NE 1	NE 0	5	3	3	0.2	✳fl. 15¹/₂
3	-5.7	-5.7	-10.1	-7.2	-6.3	722.4	722.4	723.3	86	62	80	NE 2	NE 3	NE 2	10	5	0	.	✳° n, a
4	-11.6	-7.6	-7.9	-9.0	-8.1	721.4	719.3	718.1	87	75	87	NE 0	SSW 0	SE 0	9	10	10	0.6	✳¹ 16¹/₂-21
5	-9.6	-5.2	-7.6	-7.5	-6.5	719.0	719.8	721.6	94	66	82	N 0	N 1	ESE 0	10	1	10	.	
6	-8.4	-5.0	-3.8	-5.7	-4.7	721.6	720.7	720.3	90	87	94	SSE 0	SSW 0	NW 1	10	10*	10≡*	10.5	✳¹ 10¹/₂-n, ≡ III
7	-1.5	2.0	0.3	0.3	1.3	718.6	716.3	712.9	98	69	92	WNW 0	WSW 2	S 2	10*	10	10*	4.5	✳ n-9 m.U., 21¹/₄-21³/₄
8	1.6	3.1	1.9	2.2	3.2	710.5	710.0	709.4	94	83	98	WSW 3	WSW 3	S 2	10	10	10●	2.6	✳ 1³/₄-11³/₄ m.U., ● 8³/₄-11³/₄,
9	1.6	4.3	4.8	3.6	4.6	703.2	702.6	704.5	93	87	62	SE 0	SW 3	W 2	10●*	10●	3	4.9	● 7¹/₂-9, 12¹/₄-14¹/₄ [20¹/₄-22¹/₂
10	0.3	6.4	4.4	3.7	4.7	702.4	**701.5**	703.0	85	50	57	SE 1	SW 2	SW 2	10	9	9	10.6	
11	0.8	3.3	3.9	2.7	3.7	707.2	712.6	718.1	100	75	72	SW 2	WSW 1	WSW 3	10*	10	9	7.6	●✳ 4-8, 14¹/₂-17¹/₂, ● 18³/₄-19³/₄
12	1.5	7.4	8.9	5.9	6.9	717.7	718.9	722.4	100	71	72	S 1	SSW 2	WSW 3	10	10	10	5.4	● 4¹/₄-11¹/₄, 17¹/₂, 23¹/₂
13	5.6	10.7	5.4	7.2	8.2	724.1	724.3	723.1	79	53	77	SSE 1	SSW 3	SSE 1	9	8	3	1.1	
14	8.2	**11.4**	4.8	8.1	9.1	723.8	725.2	720.4	61	57	85	SSW 3	W 2	SE 1	10	8	9	.	● 6³/₄-7¹/₂
15	4.6	6.7	5.8	5.7	6.7	714.1	716.8	719.1	74	72	63	WSW 1	SW 3	SSW 3	10	10●	10	0.7	● 13-14¹/₄, 19¹/₄-22³/₄ m.U.
16	3.6	5.5	5.2	4.8	5.8	722.9	721.4	719.4	76	66	60	W 2	S 1	SSE 1	4	9	10	0.7	● 0¹/₂-1¹/₂ m.U.
17	7.0	6.5	7.2	6.9	7.9	717.2	715.8	717.9	56	80	87	SW 2	WNW 1	SW 3	10●	10●	10●	**23.7**	● 5¹/₄-7¹/₄, 17¹/₂-23³/₄ m.U.
18	2.8	6.2	1.0	3.3	4.3	721.6	720.9	719.9	97	77	93	N 0	WNW 1	SE 0	9	3	1	0.1	● ° 0¹/₄-1
19	3.0	7.2	4.5	4.9	5.9	718.0	716.4	720.9	91	63	88	S 0	WSW 2	WSW 2	10	10	10	2.8	● 13³/₄-23³/₄ m.U.
20	2.8	2.6	0.7	2.0	3.0	725.5	725.7	725.5	72	80	98	SW 1	WSW 1	S 0	9	10●*	10●*	11.3	● ✳ 13¹/₄-n
21	1.1	3.1	1.6	1.9	2.8	726.5	727.0	728.3	99	89	92	SE 0	SE 0	SE 1	10	10	10	0.3	● ✳ n-3³/₄
22	1.0	4.9	3.3	3.1	4.0	730.6	730.8	731.7	95	71	90	SSE 1	WNW 0	ENE 1	10	9	10	.	● 6-6¹/₂
23	2.2	2.6	1.7	2.2	3.1	732.8	733.1	733.2	91	85	92	S 0	S 0	ESE 1	10	10	10	.	≡ a
24	0.5	2.5	-0.1	1.0	1.9	733.3	733.8	**734.5**	92	77	99	SSW 1	W 1	NW 1	10	8	10≡	.	≡ III
25	-1.4	2.9	4.9	2.1	2.9	731.0	726.8	725.2	100	75	50	SSW 0	S 0	NW 2	10≡	3	8	0.3	≡ n-9¹/₂, ⌓ 22-23
26	3.3	4.2	3.5	3.7	4.5	724.9	720.7	717.5	93	85	91	SW 0	S 1	WNW 1	10	9	10●	4.6	● 1-1³/₄, 19¹/₄-19³/₄
27	0.6	1.6	0.2	0.8	1.6	708.2	712.4	715.3	100	88	95	ENE 1	WSW 2	WNW 1	10≡*	10	10*	7.5	✳ 4¹/₄-12³/₄, 19¹/₂-n m.U., ≡ I
28	-0.7	1.8	0.9	0.7	1.4	718.4	719.0	715.3	93	60	55	WNW 1	SW 1	S 2	10≡*	4	10	4.9	✳ 5-7³/₄, ● 23¹/₄-24, ≡ I
29	3.8	4.3	1.3	3.1	3.8	707.1	706.5	712.5	87	85	85	SSW 3	WNW 3	W 3	10	10●	10*	13.2	● 3¹/₄-17³/₄ zeitw., *)
30	3.2	4.6	1.3	3.0	3.6	704.1	701.9	714.6	63	80	85	S 3	W 3	WNW 2	10	10●	10	6.8	● 6¹/₄-15¹/₄, 19¹/₂, ● ✳ ztw. a
31	1.2	5.2	4.1	3.5	4.0	720.7	720.3	719.8	72	**48**	60	SSW 1	W 2	S 2	9	10	10	.	
																		Summe	*) 29. ▲ ⌅ 12¹/₂, ✳ 21¹/₂
Mittel	0.3	3.0	1.4	1.6	—	719.1	718.9	719.8	87	73	82				9.5	8.3	8.6	125.2	

λ = 8° 30′, β = 47° 3′,
H_b = 1787.3 m, G = -0.20 m/m.

Rigi-Kulm

Januar 1938.
Beobachter: *J. Steiner.*

Tag	Lufttemperatur 7³⁰	13³⁰	21³⁰	Mittel	Abweich. vom Normalst	Luftdruck 7³⁰	13³⁰	21³⁰	Relative Feuchtigkeit 7³⁰	13³⁰	21³⁰	Windrichtung und Stärke 7³⁰	13³⁰	21³⁰	Bewölkung 7³⁰	13³⁰	21³⁰	Niederschlag	Witterung
1	-13.0	-10.8	-12.8	-12.2	-8.1	610.1	609.3	610.3	59	95	90	W 1	WSW 2	NE 2	7	10	10*	3.7	✳° a-n zeitw.
2	-14.2	-13.5	-15.0	-14.2	-10.1	611.1	612.0	611.8	98	96	87	NE 1	NE 1	NE 1	5	10≡	0	.	≡ II
3	-16.0	-14.0	-15.6	-15.2	-11.1	609.5	609.3	609.7	84	90	90	ENE 2	ESE 2	ESE 2	0	10≡	0	.	≡ III
4	**-18.7**	-17.0	-17.0	-17.6	-13.4	607.8	607.0	605.8	85	56	81	E 3	ESE 2	SE 1	1	9	1	1.6	
5	-17.1	-15.5	-16.3	-16.3	-12.1	606.3	607.6	609.2	85	84	87	E 3	E 2	E 1	0	0	0	.	
6	-12.2	-9.4	-8.7	-10.1	-5.9	610.2	610.4	610.5	83	84	90	SW 1	SW 1	W 2	10	10*	10*	14.0	✳ I I, III
7	-9.0	-8.6	-8.0	-8.5	-4.3	609.8	607.9	605.7	90	75	80	W 2	WSW 2	W 1	10≡	10	10*	5.1	≡ I, ✳ III
8	-6.5	-5.5	-6.0	-6.0	-1.7	603.7	603.7	602.9	90	90	92	WSW 1	W 3	W 2	10*	10≡	10*	4.6	✳ I, III, ≡ II
9	-4.4	-4.5	-6.3	-5.1	-0.8	598.1	598.3	599.5	86	86	91	SW 2	WSW 3	SW 1	10	10	7	2.7	
10	-6.1	-4.8	-6.0	-5.6	-1.3	597.7	597.4	598.2	86	85	63	SW 1	SSW 2	SW 2	9	2	9	0.1	
11	-5.5	-6.0	-6.0	-5.8	-1.5	600.9	605.4	610.4	93	90	90	W 3	W 3	W 2-3	10*	10≡	10	16.8	✳ I, ≡ II
12	-2.0	0.2	0.3	-0.5	3.8	611.1	613.1	616.0	90	80	70	SW 3	WSW 3	W 3	10*	10	5	3.8	✳ I
13	0.0	-0.3	1.8	0.5	4.9	618.0	618.3	617.6	64	51	30	SW 1	W 2	W 2	9	10	3	.	
14	0.2	-0.4	3.2	1.0	5.4	617.5	618.8	616.8	83	90	24	SW 3	W 3	W 1	10	10≡	5	.	≡ II
15	3.3	-3.5	-5.0	-1.7	2.7	610.4	610.3	612.0	33	90	80	SSW 3	W 3	W 3	10	10*	5	1.3	✳ II
16	-5.8	-2.1	2.0	-2.0	2.4	615.2	614.1	613.5	90	31	48	W 1	W 1	SW 2	3	9	10	0.4	
17	2.6	1.4	0.0	1.3	5.7	612.3	610.1	612.1	82	86	93	WSW 2	SW 2	W 3	10	10	10≡	24.6	● a zeitw., ✳ 16-n zeitw.,
18	-2.8	-2.3	-3.2	-2.8	1.7	614.0	613.7	613.2	90	93	90	WNW 2	W 1	W 1	10*	10≡	1	0.3	✳° n-8, ≡ II [≡ III
19	-1.6	0.0	-4.0	-1.9	2.6	611.9	611.1	613.4	92	56	90	W 2	W 2	NW 2	9	10	10	6.2	
20	-7.6	-5.6	-4.7	-6.0	-1.5	616.6	616.5	616.5	90	83	85	SW 1	SW 2	NW 2	10	10*	10*	26.0	✳ II, III
21	-4.8	-2.8	-6.4	-4.7	-0.2	617.6	618.3	619.6	90	90	88	W 1	SW 0	SW 0	10	1	0	.	
22	-4.8	0.5	-1.6	-2.0	2.5	621.4	622.0	622.9	60	72	92	WSW 1	WSW 0	SW 1	10	9	3	0.1	
23	-1.0	-0.3	3.4	0.7	5.2	623.7	624.2	624.8	60	58	64	SW 1	SW 1	NW 1	1	2	1	.	
24	5.3	5.2	4.3	4.9	9.5	625.3	626.2	**627.0**	30	28	35	WSW 1	W 1	W 1	0	0	0	.	
25	5.0	**6.9**	2.3	4.7	9.3	624.5	621.8	617.6	**20**	21	28	WSW 1	WSW 3	W 3	3	1	3	2.4	⌓ 20¹/₂-22
26	-3.8	-3.2	-4.0	-3.7	0.9	616.4	613.3	609.9	90	90	90	W 2	SW 1	NW 2	10≡	7	10≡	6.3	≡ I, III
27	-3.5	-7.5	-9.0	-6.7	-2.1	602.2	604.8	606.9	88	86	85	W 2	W 2	SW 2	10*	10≡	10≡	**31.6**	✳ I, ≡ II, III
28	-10.3	-8.3	-4.3	-7.6	-3.0	609.0	610.0	607.6	86	83	90	NW 1	W 1	W 3	10≡	10≡	10*	5.0	≡ I, II, ✳ III
29	-0.3	-4.3	-7.2	-3.9	0.7	602.4	601.0	604.3	90	90	88	W 4	W 4-5	W 3	10≡	10*	10*	21.5	≡ I, ✳ II, III, ⌯ 12¹/₂-13
30	-6.4	-5.0	-8.2	-6.5	-1.9	598.3	**596.3**	605.6	90	90	90	W 4	W 4	W 3	10	10*	10*	20.7	✳ II, III
31	-8.7	-7.0	-2.4	-6.0	-1.4	611.8	612.4	612.5	86	72	92	W 2	W 2	W 2	7	9	10≡	0.1	≡ III
																		Summe	
Mittel	-5.5	-4.8	-5.2	-5.2	—	611.1	611.1	611.7	79	76	77				7.5	8.0	6.2	198.9	

Januar 1938.
Beobachter: *P. Nogler.*

Bevers

$\lambda = 9^\circ 53'$, $\beta = 46^\circ 33'$,
H_b = ca. 1710^m, $G = -0.23$ $^m/_m$.

Tag	Lufttemperatur 7³⁰	13³⁰	21³⁰	Mittel	Abweich. vom Normalst.	Luftdruck 7³⁰	13³⁰	21³⁰	Relative Feuchtigkeit 7³⁰	13³⁰	21³⁰	Windrichtung und Stärke 7³⁰	13³⁰	21³⁰	Bewölkung 7³⁰	13³⁰	21³⁰	Niederschlag	Witterung
1	-17.1	-9.1	-10.3	-12.2	-2.6	616.1	614.7	615.5	85	60	66	S 1	NW 1	NW 1	10	5	7*	0.3	✳ III
2	-21.2	-14.6	-22.2	-19.3	-9.7	618.0	617.2	617.9	85	66	84	N 0	SW 1	W 0	0	0	4	.	
3	-21.3	-16.0	-25.0	-20.8	-11.1	618.2	617.1	618.1	76	61	80	SW 0	SW 0	SW 0	0	0	0	.	
4	-26.4	-16.4	-22.0	-21.0	-11.9	614.5	613.2	611.6	81	65	81	W 1	W 1	W 0	0	9	0	.	
5	-20.0	-17.6	-24.2	-22.6	-12.9	615.2	613.6	617.2	84	74	85	NW 1	NW 0	SW 0	0	0	0	.	
6	-16.0	-11.0	-10.0	-12.3	-2.5	617.3	614.7	615.7	79	60	100	SW 0	W 2	W 0	5	10	10*	2.5	✳° III
7	-7.0	-5.2	-15.6	-9.3	0.5	615.7	615.6	613.6	90	51	85	W 0	W 2	NW 0	10	3	0	.	
8	-12.2	-5.0	-10.4	-9.2	0.6	611.6	610.6	610.9	92	68	90	SW 0	SW 0	SW 1	10*	10	10	0.8	✳ I
9	-7.7	-2.8	-6.5	-5.7	4.1	608.3	606.8	606.9	93	70	98	NW 0	SW 1	NW 0	10	8	10*	1.6	✳ III
10	-12.7	-4.0	-10.8	-9.2	0.7	605.8	605.2	604.6	95	70	87	W 1	NW 1	SW 1	0	7	8	.	
11	-12.6	-4.4	-8.3	-8.4	1.5	607.5	612.1	617.0	93	91	98	NW 1	NW 0	W 0	10	10*	10	2.1	✳ II
12	-8.2	1.2	-8.0	-5.0	4.9	619.1	619.7	622.4	91	65	90	SW 1	SSW 1	SW 0	10	7	1	.	
13	-8.4	0.8	-8.5	-5.4	4.5	624.5	624.5	624.8	100	60	89	SW 0	W 1	NW 0	0	6	0	.	
14	-8.0	3.6	-7.4	-3.9	5.9	623.1	624.4	625.0	93	74	84	W 1	N 2	W 0	7	4	10	.	
15	-2.7	1.4	-2.4	-1.2	8.6	619.4	617.6	618.1	66	66	55	W 1	SW 1	NW 0	10	8	7	1.7	✳ ⊕ 13¾-n
16	-8.7	-3.4	-3.4	-5.2	4.6	622.0	621.4	620.9	74	58	74	NW 0	NNW 0	WSW 1	0	5	8	.	
17	-3.9	2.2	-1.6	-1.1	8.7	619.5	617.7	617.6	73	55	95	W 0	WSW 1	NW 1	10	4	8*	0.2	✳° III
18	-0.2	2.4	-8.9	-2.2	7.5	619.1	619.3	619.8	58	39	72	N 2	WSW 1	S 1	8	6	0	.	
19	-10.3	2.4	-3.2	-3.2	6.5	618.6	616.9	618.9	82	45	100	W 0	S 2	W 2	9	10	10*	7.7	✳° III, ⊕ 20–21
20	-5.0	-1.7	-4.9	-3.9	5.8	621.5	622.4	622.9	98	45	98	S 0	SW 2	NW 2	10	7	10	0.1	✳ I, ✳° III
21	-12.3	-6.3	-15.6	-11.4	-1.8	623.8	624.1	626.4	96	71	87	W 0	W 0	NW 0	10	0	0	.	≡ I
22	-13.4	-1.7	-9.7	-8.3	1.3	627.4	627.6	629.4	89	57	97	SW 0	S 2	W 0	10	8	0	.	
23	-12.8	-3.1	-9.8	-8.6	0.9	629.4	629.3	631.2	98	56	80	NW 0	NW 1	W 0	3	1	0	.	
24	-12.0	-1.1	-7.7	-6.9	2.5	631.7	631.4	632.6	95	62	80	W 0	WSW 0	W 0	0	0	0	.	
25	-10.7	1.7	-8.1	-5.7	3.7	630.6	628.6	625.0	64	46	75	W 0	W 1	SW 1	4	8	0	.	♒ 20¼–22
26	-9.2	1.5	-5.0	-4.2	5.1	622.4	619.8	615.9	76	57	65	WSW 0	NE 3	W 1	0	7	0	1.7	
27	-5.5	-4.6	-8.1	-6.1	3.1	610.0	608.9	612.0	100	100	86	NE 1	NE 4	N 1	10	10*	10	4.3	✳ II
28	-8.7	-4.8	-13.8	-9.1	0.1	615.1	616.3	616.6	92	46	78	SW 1	W 1	NNW 1	10*	5	9	1.7	✳ I
29	-9.1	-4.0	-5.9	-6.3	2.8	613.3	607.7	609.8	66	74	89	WSW 3-4	SW 4	NW 1	10*	10*	10*	19.5	✳ ⊕ n-n
30	-6.2	-5.1	-6.8	-6.0	3.0	607.1	604.1	610.8	84	96	100	W 1	W 1	NW 2-3	10*	10*	10*	20.2	✳ n-n
31	-8.7	-4.5	-9.3	-7.5	1.4	617.6	618.8	619.7	66	54	96	W 1	WSW 1	W 1	10	1	0	.	
Mittel	-11.1	-4.2	-10.1	-8.5	—	618.2	617.5	618.3	84	63	85				6.3	5.8	4.9	Summe 64.4	

Januar 1938.
Beobachter: *Kapuzinerkloster.*

Sitten

$\lambda = 7^\circ 21'$, $\beta = 46^\circ 14'$,
$H_b = 548.6^m$, $G = -0.11$ $^m/_m$.

1	-10.2	-4.8	-7.4	-7.5	-6.7	714.7	713.3	713.6	84	64	75	N 0	N 1	N 1	8	3	0	.	
2	-5.8	-4.0	-6.4	-5.4	-4.5	715.1	715.0	715.7	70	59	70	N 1	N 1	N 0	7	0	0	.	
3	-8.4	-4.2	-9.8	-7.5	-6.6	714.4	712.7	713.5	65	50	63	NE 0	NE 0	NE 0	8	0	0	.	
4	-12.4	-8.2	-9.4	-10.0	-9.1	713.8	711.5	710.9	70	58	66	NE 0	NE 0	NE 0	0	4	7	.	
5	-13.8	-8.6	-11.4	-11.3	-10.3	711.1	711.8	714.3	72	55	70	ENE 0	NE 0	NE 0	0	0	0	.	
6	-12.8	-6.5	-6.4	-8.6	-7.6	715.5	715.2	715.1	73	52	57	N 0	N 0	N 0	0	2	5	.	
7	-5.6	-1.0	-2.5	-3.0	-2.0	713.2	711.4	710.5	70	64	77	NNE 0	NE 0	NE 0	10	3	10	4.4	
8	-2.5	0.4	-1.8	-1.3	-0.3	711.2	710.3	705.4	99	71	95	NNE 0	NE 0	NE 0	10*	6	6	1.3	✳ I
9	-0.6	0.6	-0.2	-0.1	0.9	701.0	699.9	700.1	90	100	100	NNE 0	NNE 0	NE 0	10*	10*	10≡	14.9	✳ I, II, ≡ III
10	-1.5	2.4	-0.9	0.0	1.0	698.4	700.2	700.0	89	67	89	ENE 0	SW 0	NE 0	10	7	10	.	
11	-0.3	3.8	2.3	1.9	2.9	702.9	706.7	712.2	100	77	76	NE 0	SW 0	NNE 2	10	10	5	4.8	
12	2.2	4.2	1.0	2.5	3.5	714.3	715.5	717.6	79	82	95	NNE 2	ENE 0	NE 0	10	10	2	2.8	● ✳ (9)
13	0.8	5.2	2.1	2.7	3.7	719.3	719.8	718.5	98	69	82	NE 0	NNE 0	NE 1	9	6	0	.	
14	0.9	7.2	3.8	4.0	4.9	719.2	718.9	716.8	81	54	72	NNE 0	NE 0	NE 1	10	0	5	.	
15	4.1	5.6	3.0	4.2	5.1	710.8	712.5	714.1	59	76	93	E 0	WSW 2	NE 0	7	10●	8	4.6	● (11¾), II
16	1.3	4.9	3.2	3.1	4.0	716.9	715.4	714.0	69	57	66	NE 0	NE 0	NE 0	0	10	3	.	
17	2.4	6.4	4.5	4.4	5.2	712.2	710.1	713.1	80	60	96	E 0	E 0	NE 0	8	10	10●	3.0	● III
18	3.8	6.0	4.2	4.7	5.5	713.9	713.1	713.5	97	85	90	NW 0	NNE 0	NE 1	10	8	10	.	
19	1.7	4.4	5.2	3.8	4.5	712.8	712.1	714.1	95	70	73	N 0	NNE 0	W 2	8	10	10●	0.3	● III
20	1.8	5.4	2.8	3.3	4.0	718.9	718.3	719.8	63	51	90	W 1	W 0	W 0	3	7	10●	2.0	● III
21	2.2	5.7	4.1	4.0	4.6	718.4	719.3	721.8	98	71	73	W 0	WNW 0	WNW 0	10	6	10	0.1	● (5½)
22	0.6	5.2	1.1	2.3	2.9	723.3	722.8	724.8	81	54	78	N 1	N 0	NE 1	10	2	0	.	
23	-1.4	3.4	1.1	1.0	1.5	725.6	724.8	725.8	92	65	69	N 1	N 0	N 0	0	0	0	0.0	
24	-1.0	4.7	1.4	1.7	2.1	726.8	726.4	727.3	93	61	80	N 0	N 0	N 0	0	0	0	0.0	⌣ fr.
25	-0.4	6.8	4.2	3.5	3.9	725.7	721.8	719.6	76	42	64	WNW 0	WNW 0	WNW 0	1	1	0	.	⌣ fr.
26	3.1	6.6	5.1	4.9	5.2	717.0	713.9	705.5	68	60	70	NE 0	NE 1	NE 0	5	8	10	4.0	
27	1.4	1.1	0.8	1.1	2.3	702.8	706.0	707.6	100	100	87	NE 0	NE 1	NW 2	10*	10*	10*	2.7	● (4½), ✳ I, (9¾), II, III
28	-1.0	1.8	0.2	0.3	0.4	712.4	714.1	712.3	96	65	69	W 1	W 2	W 1	10*	2	5	9.4	✳ I
29	-1.5	0.6	5.6	1.6	1.6	706.6	701.7	706.3	100	97	47	ENE 1	ENE 1	W 3	10	10●	10	11.7	△ I, ● II
30	2.0	5.1	1.0	2.7	2.6	702.0	698.2	707.1	79	78	97	ENE 1	W 1	W 1	10	10●	10*	12.9	● II, ✳ III
31	-0.3	4.2	0.9	1.6	1.4	714.5	714.9	714.5	81	56	75	NE 0	NE 0	NE 1	7	10	0	.	
Mittel	-1.7	2.1	0.0	0.1	—	713.7	713.1	713.7	83	67	78				6.8	5.6	5.4	Summe 78.9	

⊠-Angaben fehlen.

λ = 8° 57′, β = 46° 0′.
Hb = 276.2 m, G = −0.01 m/m.

Lugano

Januar 1938.
Beobachter: *G. Vicari.*

Tag	Lufttemperatur 7³⁰	13³⁰	21³⁰	Mittel	Abweich. vom Normalst.	Luftdruck 7³⁰	13³⁰	21³⁰	Relative Feuchtigkeit 7³⁰	13³⁰	21³⁰	Windrichtung und Stärke 7³⁰	13³⁰	21³⁰	Bewölkung 7³⁰	13³⁰	21³⁰	Niederschlag	Witterung
1	−5.4	1.0	−2.8	−2.4	−4.1	737.5	736.2	736.6	77	62	76	N 1	SE 1	N 1	0	0	0	.	
2	−3.0	2.2	−3.6	−1.5	−3.1	739.1	738.5	739.4	78	47	64	S 1	E 1	N 1	0	0	0	.	
3	−5.0	1.6	−4.2	−2.5	−4.1	739.7	738.6	740.3	48	31	44	N 1	SE 1	N 1	0	0	0	0.2	✳° n (3./4.)
4	−4.4	−2.2	−5.6	−4.1	−5.7	739.2	737.0	735.8	86	64	71	NNW 1	NE 0	N 1	10	10	0	.	☒
5	−7.4	−1.4	−5.2	−4.7	−6.3	737.1	737.6	739.3	66	51	72	N 1	S 0	NE 1	0	0	10	.	
6	−4.8	−1.2	−4.4	−3.5	−5.0	738.9	737.0	735.4	63	58	74	N 1	S 0	N 1	10	2	0	.	
7	0.0	2.0	−2.2	−0.1	−1.6	734.2	734.8	735.6	58	58	64	NNE 2	S 2	N 1	5	10	0	.	
8	−4.2	2.0	−3.6	−1.9	−3.4	733.0	731.7	732.6	73	62	77	N 1	SE 1	N 1	2	8	0	.	
9	−2.4	0.0	−1.6	−1.3	−2.8	730.5	728.5	727.0	84	85	86	N 1	NNE 0	N 1	10	10	10	0.0	✳° 9½
10	−0.8	2.2	−0.8	0.2	−1.3	725.1	724.3	726.0	88	68	83	NNW 1	N 0	N 1	10	10	5	.	
11	−2.6	4.8	−1.0	0.4	−1.0	727.8	729.9	735.5	86	58	76	N 1	S 0	E 1	10	0	0	.	
12	−0.8	6.4	0.8	2.1	0.7	739.4	740.2	741.8	68	52	70	N 1	S 0	N 1	0	0	0	.	
13	−1.4	6.0	0.4	1.7	0.3	743.6	744.4	745.9	82	58	84	N 1	S 0	N 1	0	10	10	.	
14	2.2	6.2	1.6	3.3	1.0	743.9	743.2	744.0	84	66	81	NW 0	W 1	NW 1	10	10	10	0.1	
15	2.2	3.8	2.4	2.8	1.4	741.5	738.6	737.8	93	92	93	NNW 0	S 0	N 1	10	10●	10	4.7	●′ n−17½
16	1.0	6.0	1.2	2.7	1.2	740.0	740.2	740.7	74	55	71	N 1	W 1	N 1	0	6	4	.	
17	−0.4	4.8	1.4	1.9	0.4	740.2	738.6	737.1	78	66	81	N 1	ESE 0	N 1	2	8	0	.	
18	−0.2	6.0	1.2	2.3	0.8	736.2	737.3	739.0	83	63	88	N 1	S 1	N 1	0	0	3	.	
19	2.0	5.4	1.6	3.0	1.5	738.8	737.8	737.7	84	65	84	N 1	SE 1	N 1	10	8	0	.	
20	9.0	12.0	7.4	9.5	7.9	740.4	740.0	741.1	28	22	34	NNE 2	NNE 2	NNE 1	0	0	0	.	
21	2.6	9.2	1.2	4.3	2.7	742.2	742.2	746.2	64	48	71	NNW 1	S 1	N 1	0	0	0	.	
22	−0.4	5.0	0.8	1.8	0.2	747.2	747.3	749.4	83	68	73	N 1	S 0	N 1	10	1	0	.	
23	−0.4	5.8	1.8	2.4	0.8	749.1	749.2	750.1	71	66	70	N 1	E 0	N 1	0	0	0	.	
24	−0.4	6.0	1.6	2.4	0.7	751.6	750.8	750.2	77	63	74	N 1	ESE 1	N 1	0	0	0	.	
25	1.0	12.8	3.8	5.9	4.2	747.7	744.4	740.5	64	44	60	NNE 1	E 0	N 1	10	10	0	.	♋ 20½−24
26	3.6	9.8	5.2	6.2	4.5	737.9	736.2	736.1	76	56	92	SW 1	SSW 2	NNE 1	2	7	10	2.1	
27	4.0	2.6	4.6	3.7	1.9	730.3	728.2	729.7	94	88	36	S 1	N 1	N 1	10●	10●	0	5.7	● n−14
28	4.8	8.4	1.0	4.7	2.9	734.7	736.4	737.8	26	23	55	NE 2	NNE 3	NE 1	0	0	0	.	
29	0.0	5.8	2.0	2.6	0.7	734.7	728.7	729.4	63	44	74	NNW 1	N 1	N 1	10	10	0	0.2	●° ✳° 15−15½
30	1.6	2.4	1.8	1.9	0.0	727.9	723.4	728.0	64	92	70	N 1	W 1	NNE 2	10	10●	0	3.9	● ✳ 13−19
31	5.2	8.0	1.2	4.8	2.8	736.0	738.7	739.5	29	34	57	NNE 2	S 1	N 1	0	0	0	.	
																		Summe	
Mittel	−0.1	4.6	0.3	1.6	—	738.2	737.4	738.2	71	58	71				4.6	4.8	2.3	16.9	

λ = 7° 35′, β = 47° 33′.
Hb = 318 m, G = 0.11 m/m.

Basel

Januar 1938.
Beobachter: *Astronom.-Meteorol. Anstalt.*

Tag	7³⁰	13³⁰	21³⁰	Mittel	Abweich. vom Normalst.	7³⁰	13³⁰	21³⁰	7³⁰	13³⁰	21³⁰	7³⁰	13³⁰	21³⁰	7³⁰	13³⁰	21³⁰	Niederschlag	Witterung
1	−5.5	−2.0	−3.6	−3.7	—	737.6	736.6	737.9	82	75	89	E 1	W 1	SW 0	10*	9*	9*	0.5	✳ 7½−24 m.U.
2	−4.0	−3.9	−6.8	−4.9	—	739.2	739.9	740.2	96	91	96	NW 1	WNW 1	W 0	10●*	10	10	0.5	✳ 5¼−7½, ✳° a, 18−20, ♒ III ☒
3	−6.9	−4.9	−8.6	−6.8	—	739.4	739.1	740.3	95	80	61	W 0	WNW 1	NE 1	10	2	0	.	✳ 4¼−4¾, ✳° 9½−10½, ♒ III ☒
4	−15.9	−6.0	−10.1	−10.7	—	738.6	736.2	734.8	91	65	90	SW 0	SE 1	ESE 1	1	10	0	.	✳° 19, ⊕° 12¼ ☒
5	−13.5	−6.0	−7.2	−8.9	—	736.0	737.0	738.7	91	69	89	SW 1	NW 1	NW 0	1	3	10	0.2	✳ 8½−11½ m.U. ☒
6	−7.4	−5.0	−4.1	−5.5	—	738.3	737.5	737.2	92	89	95	SE 0	ESE 0	E 0	10	10*	10	7.3	✳ 11−13¾, 18−21½, ✳° a, p ztw. ☒
7	−3.2	0.7	0.8	−0.6	—	734.7	732.1	728.1	94	78	87	ESE 1	ENE 1	ESE 1	10	10*	10	2.2	✳ 2¼−2¾, ✳ fl. 9−10 ☒
8	2.5	4.7	1.9	3.0	—	726.1	725.7	724.2	87	79	95	SW 3	WSW 1	E 1	10●	10	10●	3.6	●1¼−1¾ ztw., 20¼−22¼, ♒ I ☒
9	4.3	6.9	3.0	4.7	—	716.9	717.7	719.5	87	72	73	SSE 1	WSW 2	E 1	10●	9	1	3.9	● 6¾−16½ zeitw., ♃ 15¾
10	4.8	7.0	5.7	5.8	—	716.9	716.1	717.5	65	49	57	WSW 1	SW 2	SSW 2	2	10	7	5.1	
11	1.8	6.0	4.6	4.1	—	723.0	728.1	733.6	91	70	71	SSW 1	WSW 2	SSW 1	10●	10	10	2.2	● 2−7½, 14¾−18¼ m.U.
12	3.0	11.6	10.7	8.4	—	732.4	734.0	737.9	93	68	65	ENE 1	SW 2	WSW 2	10●	10	10	2.5	● 3−11¼ m.U.
13	9.0	12.9	6.6	9.5	—	739.6	739.1	738.3	67	58	77	SSW 1	SSW 1	SSW 1	10	10	2	0.8	
14	10.0	13.2	6.8	10.0	—	739.2	740.5	735.3	72	59	80	WSW 2	SW 1	ESE 1	10	7	5	.	● 5¾−6½, 11¼−12½ m.U.
15	5.2	7.6	5.4	6.1	—	728.5	732.5	735.5	75	64	77	ESE 1	WSW 1	WNW 1	8	10	10	1.5	● 11−12¼, 15¾, 21¼
16	3.6	8.4	5.2	5.7	—	738.4	736.8	734.5	77	57	69	SW 1	E 1	E 1	5	9	10	0.9	● 1−1¼, 2¾−3
17	4.2	10.1	8.4	7.6	—	732.1	731.1	734.2	90	79	89	E 1	WSW 1	W 2	10	10●	10●	6.5	● 3¾−22¼ m.U.
18	1.1	6.6	0.6	2.8	—	737.9	737.0	735.6	94	73	96	W 0	ESE 1	SE 1	9	9	1	.	
19	1.9	10.6	5.7	6.1	—	732.9	731.6	737.2	91	74	74	ESE 1	WSW 2	WSW 3	10	10	10	2.5	● 14−19¼ zeitw., ♃ 17¼
20	2.9	4.3	2.6	3.3	—	740.7	741.8	741.5	80	82	96	WSW 1	SSE 0	E 1	10	10●	10●	5.4	● 9¾−24 m.U., ♅ I
21	2.5	5.4	2.8	3.6	—	742.4	743.3	744.3	96	78	88	E 1	ENE 1	E 1	10	10	9	1.2	● [illegible]¾−2¾
22	2.6	5.9	3.8	4.1	—	746.4	746.6	747.6	96	87	93	E 1	E 1	E 0	10	10	10	.	● 3¼−3¾, 4½−6½
23	3.6	4.2	4.0	3.9	—	749.0	748.8	749.0	88	82	82	SSE 0	ENE 1	E 1	10	10	10	.	
24	1.2	6.5	2.1	3.3	—	749.6	749.3	750.7	92	72	98	SSW 1	SSE 1	NW 1	10	1	10	.	
25	−1.0	6.0	5.9	3.6	—	746.6	741.9	741.6	94	67	66	E 1	ESE 1	WSW 1	4●	3●	10	0.7	● 22½−24
26	3.2	7.2	3.0	4.5	—	741.1	736.9	733.2	90	61	81	SW 1	WNW 1	SW 1	10	10	1	4.9	
27	0.4	3.2	1.0	1.5	—	724.4	728.8	731.7	98	76	89	SE 1	WSW 2	WSW 1	10●*	8	10*	3.9	✳ 8¾−21½ m.U., ● fr. ztw. ☒
28	0.6	4.0	1.4	2.0	—	734.8	734.9	730.5	85	55	69	WSW 1	SSW 1	E 1	10	6	10	3.2	☒
29	8.4	6.1	3.4	6.0	—	721.3	722.9	728.5	76	78	73	WSW 2	WNW 2	WSW 2	10	9	7	7.8	●sch. 2¼−2¾ ztw., ♃ ▲ 11¾
30	4.6	6.4	1.8	4.3	—	717.6	717.2	731.8	68	79	88	S 1	WNW 3	WNW 1	10	10	10	6.9	● 8½−11½, ●sch. 12¾, 16¾
31	1.2	5.6	3.8	3.5	—	736.8	736.3	734.8	89	67	88	SSE 1	E 1	ENE 1	10	10	10	0.1	● 3½−4 [19¾
																		Summe	
Mittel	0.8	4.6	1.9	2.1	—	734.8	734.8	735.7	86	72	82				8.7	8.5	7.8	74.3	

Januar 1938.
Beobachter: *Observatorium.*

Säntis

$\lambda = 9^\circ\ 20'$, $\beta = 47^\circ\ 15'$.
$Hb = 2500.1^m$, $G = -0.27$ m/m.

Tag	Lufttemperatur 7³⁰	13³⁰	21³⁰	Mittel	Abweich. vom Normalst.	Luftdruck 7³⁰	13³⁰	21³⁰	Relative Feuchtigkeit 7³⁰	13³⁰	21³⁰	Windrichtung und Stärke 7³⁰	13³⁰	21³⁰	Bewölkung 7³⁰	13³⁰	21³⁰	Niederschlag	Witterung
1	-18.6	-16.0	-18.5	-17.7	-9.6	554.6	554.5	555.0	90	90	91	SW 4	SW 2	N 1	10≡*	10≡*	10≡*	3.9	✳ ≡ n-n
2	-19.6	-17.0	-19.8	-18.8	-10.6	555.6	556.1	556.2	90	90	83	WNW 0	SW 1	N 1	10≡	10≡	10≡*	1.6	✳° 20-n, ≡ n-9, mtgs., 19-n
3	-21.3	**-21.4**	-18.2	-20.3	-12.1	554.7	554.6	554.9	82	82	63	NE 2	NE 2	NE 3	10≡	0	0	.	≡ n-11½ m.U.
4	-17.4	-17.4	-20.4	-18.4	-10.2	553.0	551.8	550.8	49	43	90	NNE 3	N 2	N 2	1	10	6	0.2	✳° 16-17½, ≡ 15½-18
5	-20.0	-19.8	-19.0	-19.6	-11.3	551.5	552.7	554.2	88	83	78	NNE 3	NNE 1	N 3	1	0	0	.	≡ 8-10
6	-14.2	-14.0	-14.4	-14.2	-5.9	555.4	555.5	555.7	92	93	92	N 3	W 2	WSW 2	10≡	10≡*	10≡*	10.7	✳ 7¾-n, ≡ n-n
7	-13.8	-13.2	-10.2	-12.4	-4.1	555.0	554.0	551.8	92	93	90	W 3	W 2	W 2	10≡*	10	10≡*	5.8	✳ ≡ n-13, 20-n, ✢ 11-17
8	-11.1	-10.4	-10.8	-10.8	-2.4	549.7	549.8	550.1	90	94	90	W 3	WSW 4	SW 2	10≡*	10≡*	10≡*	12.4	✳ ≡ n-n, ✢ n-20
9	-7.4	-6.2	-10.2	-7.9	0.5	547.3	546.7	547.2	88	95	90	WSW 2	WSW 3	WSW 3	10	10≡*	10≡*	5.8	✳ ✢ ≡ 8-n
10	-11.8	-10.4	-11.0	-11.1	-2.7	546.1	545.8	546.3	88	83	80	SW 1	SW 3	SW 3	4	6	8	5.0	⊕ (10½), ▽ (19)
11	-10.6	-11.6	-10.8	-11.0	-2.6	547.6	551.3	556.2	94	94	90	WNW 3	WSW 3	WSW 4	10≡*	10≡*	10≡*	19.6	✳ ✢ ≡ n-n
12	-5.6	-3.4	-4.3	-4.4	4.1	557.8	559.6	562.2	92	100	98	WSW 4	WSW 4	WSW 3	10≡*	10≡	10≡	13.8	✳ n-13, ✢ ≡ n-n, ⋁ a
13	-4.4	-3.4	-3.2	-3.7	4.8	564.8	564.7	565.1	84	80	62	WSW 4	WSW 5	W 3	9	10	6	.	▽ III
14	-6.4	-4.4	-2.0	-4.3	4.2	563.1	565.0	565.0	80	100	46	W 6	W 4	SW 3	10≡	10≡	10	3.1	≡ 7¼-14¾, ⋁ (10½)
15	-1.8	-6.6	-9.8	-6.1	2.5	559.6	556.8	557.1	50	98	93	SW 3	W 5	WSW 4	10	10≡*	10≡*	11.1	✳ 11¾-16, 19½-n, ✢ ≡ 12-n
16	-10.8	-9.6	-4.8	-8.4	0.2	560.5	560.8	560.3	91	68	78	WSW 3	WSW 3	W 5	10≡*	10	10	0.3	✳ n-8, ≡ n-9¼
17	-2.0	-1.8	-4.0	-2.6	6.0	559.4	558.6	557.8	100	100	100	WSW 5	W 3	WSW 4	10≡	10≡*	10≡*	29.1	✳ ✢ 3¼-n m.U. *)
18	-8.2	-8.8	-8.2	-8.4	0.3	560.0	560.6	560.3	100	92	65	WSW 4	WSW 3	W 3	10≡*	10	2	0.2	✳ ✢ n-8, ≡ n-12¼
19	-6.8	-5.2	-9.0	-7.0	1.7	559.2	557.6	558.5	54	98	90	WSW 3	W 4	W 2	10	10≡	10≡*	**36.6**	✳ ✢ 15-n, ≡ 9¼-n, ⌿ a, p
20	-11.7	-10.6	-10.1	-10.8	-2.1	562.0	562.3	562.6	92	92	93	W 1	SW 1	W 2	10≡*	10	10≡*	14.7	✳ n-10, 14½-n, ≡ n-n m.U.
21	-9.8	-10.0	-7.2	-9.0	-0.2	563.7	564.5	566.4	92	86	58	N 1	N 2	N 2	10	1	1	.	
22	-3.0	-3.4	-4.6	-3.7	5.1	568.1	568.6	569.7	100	98	38	N 3	NNW 2	N 2	10≡	8	4	.	≡ n-11½, 14-18 zeitw.
23	-3.8	-2.4	0.2	-2.0	6.8	570.4	571.0	571.8	**28**	31	47	N 3	N 3	N 3	2	2	1	.	
24	-0.9	-0.2	-2.8	-1.3	7.5	572.5	573.3	**573.8**	39	45	45	WSW 2	WSW 3	WSW 3	1	1	0	.	
25	-2.1	**1.0**	-5.2	-2.1	6.8	571.7	569.5	564.9	36	39	52	WSW 2	SW 3	W 5	4	7	3	.	♎ 20¾-21¾, ⌿ abds.
26	-7.5	-9.0	-8.6	-8.4	0.5	562.2	560.0	556.9	100	88	100	W 4	W 4	W 2	10≡	6	10≡	10.1	✳° 20-21, ≡ n-12¼, 15½-n
27	-8.2	-11.8	-14.0	-11.3	-2.4	549.8	550.9	552.5	94	90	87	WSW 3	WNW 2	WNW 1	10≡*	10≡*	10≡*	23.6	✳ ≡ n-n
28	-15.4	-14.4	-9.0	-12.9	-3.9	554.6	555.2	554.0	86	85	88	WNW 1	W 3	WSW 5	10≡	10≡*	10≡*	5.6	✳° ≡ 8-14¾, 20-n, ⌿ abds.
29	-4.1	-7.2	-12.0	-7.8	1.2	549.7	547.4	550.3	96	100	90	**W 6**	**W 6**	W 4	10≡	10≡*	10≡*	17.1	✳ 8½-n, ⌿ ✢ ≡ n-n, ⋁ III
30	-12.0	-8.4	-12.8	-11.1	-2.1	546.4	**543.9**	552.4	92	98	96	WSW 4	W 4	NNE 2	10≡*	10≡*	10≡*	20.5	✳ ≡ n-n, ∠ 18¾, ⌿ a
31	-14.4	-12.0	-6.4	-10.9	-1.8	556.8	557.4	558.8	86	80	94	W 2	W 5	W 3	10≡	10	10≡	1.7	✳ ✢ 9-11, ≡ n-13, 15½-n
Mittel	-9.8	-9.3	-9.7	-9.6	—	557.5	557.4	558.0	82	84	79				8.5	8.1	7.5	Summe 252.5	*) 17. ≡ n-n, ⌿ abds., ⋁ II

Januar 1938.
Beobachter: Frl. *F. Lombardi.*

St. Gotthard (Hospiz)

$\lambda = 8^\circ\ 34'$, $\beta = 46^\circ\ 33'$,
$Hb = 2095.7^m$, $G = -0.25$ m/m.

Tag	7³⁰	13³⁰	21³⁰	Mittel	Abweich. vom Normalst.	Luftdruck 7³⁰	13³⁰	21³⁰	Relative Feuchtigkeit 7³⁰	13³⁰	21³⁰	Windrichtung und Stärke 7³⁰	13³⁰	21³⁰	Bewölkung 7³⁰	13³⁰	21³⁰	Niederschlag	Witterung
1	-15.2	-13.0	-14.0	-14.1	-7.1	584.7	585.2	585.4	60	71	78	N 2	N 2	N 3	5	10	10*≡	10.6	✳ ⌿ 15½-n
2	-17.0	-16.8	-22.0	-18.6	-11.5	585.6	586.6	586.9	71	75	80	N 2	N 3	N 3	5	3	5	2.6	
3	-21.2	-19.6	-22.0	-20.9	-13.8	585.7	585.6	585.6	64	57	61	N 1	N 0	N 1	0	0	0	.	
4	-20.2	-18.0	**-22.4**	-20.2	-13.1	583.3	581.9	581.6	54	59	61	N 2	N 2	N 2	0	5	5	.	
5	-19.6	-17.2	-21.1	-19.3	-12.2	582.7	583.4	584.0	52	59	60	N 1	N 1	N 1	0	0	0	.	
6	-16.2	-11.8	-11.8	-13.3	-6.2	585.7	585.9	585.5	61	71	85	NW 3	NW 2	NW 4	5	10	10*≡	12.8	✳ ⌿ ≡ 14½-n
7	-10.6	-10.5	-9.4	-10.2	-3.0	585.6	585.4	584.4	83	81	79	NW 3	N 2	S 0	10≡	8	5	3.5	✳ ≡ n-10½
8	-10.8	-6.8	-8.2	-8.6	-1.4	581.4	581.2	581.5	72	73	61	S 1	S 1	S 0	5	10*	10	3.8	✳° 8¼-p
9	-9.2	-6.4	-8.0	-7.9	-0.7	578.9	577.9	577.7	80	75	75	N 2	SE 1	SE 0	10*≡	10	0	2.7	✳ n-8½, ≡ n-12
10	-9.2	-6.8	-8.6	-8.2	-1.0	575.7	575.9	576.3	70	75	77	SE 0	SE 0	SE 0	5	5	5	2.6	
11	-6.8	-5.2	-6.0	-6.0	1.2	579.1	581.4	586.5	70	74	75	NE 0	NE 1	NE 2	10*≡	10*≡	10≡	13.3	✳ n-18¾, ✢ p, ≡ n-n
12	-4.4	-1.4	-2.4	-2.7	4.5	590.0	590.9	592.7	76	78	65	S 1	S 0	NE 1	10≡	4	0	0.2	≡ n-9
13	-3.8	-0.2	-2.6	-2.2	5.1	595.2	595.8	595.6	70	81	56	NE 0	NE 1	NE 0	0	5	0	.	
14	-3.6	-0.6	-3.8	-2.7	4.6	595.0	595.4	595.5	54	76	51	NE 0	N 1	N 1	5	10≡	0	.	≡ 11¼-15
15	-5.8	-3.0	-6.0	-4.9	2.4	590.8	588.5	587.8	82	80	83	S 1	S 1	NE 3	8	10*	8≡	6.2	✳ 8¾-15¾, 18¼-n, ≡ abds. zeitw.
16	-7.8	-7.0	-5.2	-6.7	0.6	591.1	591.9	591.7	80	68	70	N 2	N 1	SE 1	7	5	10	2.0	
17	0.2	1.2	-3.0	-0.5	6.8	590.7	589.8	589.0	85	84	82	SE 0	SE 1	N 1	10	10	10	11.5	✳ zeitw.
18	-5.2	-4.4	-6.5	-5.4	1.9	589.5	590.3	590.5	74	77	68	N 3	N 3	N 2	5	5	0	0.4	✳ ⌿ n-16
19	-3.2	-0.4	-5.2	-2.9	4.5	589.2	588.8	588.5	52	50	76	NE 1	NE 1	NE 3	5	5	10	8.6	✳ ⌿ 17¾-n
20	-9.0	-7.8	-7.8	-8.2	-0.8	592.5	592.4	592.4	78	75	84	N 3	N 2	N 2	6≡	10≡	10≡	25.9	✳ ⌿ zeitw., ≡ n-n
21	-8.2	-7.2	-8.8	-8.1	-0.7	593.4	593.9	595.7	81	73	71	N 3	N 2	N 2	10≡	0	0	1.0	✳ ⌿ ≡ n-10
22	-5.4	-4.3	-5.6	-5.1	2.3	597.1	597.8	599.2	75	78	80	N 3	N 3	N 3	5	5	5	0.7	
23	-5.5	-3.4	-1.2	-3.4	4.0	599.6	600.3	600.9	85	51	45	N 2	N 2	N 2	0	0	0	.	
24	0.0	0.2	-1.7	-0.5	6.9	602.4	602.8	**603.4**	45	44	46	N 1	N 1	N 1	0	0	0	.	
25	-1.2	**2.0**	-0.5	0.1	7.5	601.4	599.4	596.9	**40**	47	50	N 1	N 0	N 1	4	5	3	.	♎ 20½-22¼
26	-6.2	-6.0	-6.0	-6.1	1.4	591.8	591.4	588.1	75	70	72	N 3	N 2	N 1	5	5	0	2.9	
27	-5.8	-7.6	-11.2	-8.2	-0.7	580.5	580.1	581.3	88	76	95	N 1	N 3	N 3	10*	10	10≡	18.3	✳ n-9, ≡ 15-n, ⌿ 9-n
28	-12.0	-11.4	-10.2	-11.2	-3.7	585.0	586.5	586.2	89	75	60	N 3	N 1	S 0	10*≡	2	10	5.8	✳ ≡ ⌿ n-9½
29	-11.0	-9.7	-9.8	-10.2	-2.7	582.9	580.0	581.0	87	86	88	S 2	S 2	N 4	10	10*	10*≡	31.8	✳ 9¼-n, ⌿ 14-n
30	-9.2	-5.5	-9.4	-8.0	-0.5	578.0	**574.9**	578.5	90	90	81	SE 1	SE 1	N 3	10*≡	10*≡	10*≡	**37.2**	✳ ≡ n-n, ⌿ 14½-n
31	-11.0	-9.0	-5.8	-8.6	-1.1	587.7	588.5	588.5	90	78	90	N 3	N 2	N 1	10*≡	4	0	1.7	✳ ≡ I
Mittel	-8.8	-7.0	-8.6	-8.1	—	588.1	588.1	588.4	72	71	71				6.0	6.0	5.0	Summe 206.1	

$\lambda = 6° 57'$, $\beta = 46° 57'$,
$H_b = 572.2^m$, $G = 0.05^{m}/_{m}$.

Bern

Februar 1938.
Beobachter: *Tellur. Observatorium.*

Tag	Lufttemperatur 7³⁰	13³⁰	21³⁰	Mittel	Abweich. vom Normalst	Luftdruck 7³⁰	13³⁰	21³⁰	Relative Feuchtigkeit 7³⁰	13³⁰	21³⁰	Windrichtung und Stärke 7³⁰	13³⁰	21³⁰	Bewölkung 7³⁰	13³⁰	21³⁰	Niederschlag	Witterung
1	1.2	**7.0**	5.0	4.4	5.4	710.4	709.0	709.6	86	70	70	S 0	WSW 2	WSW 1	2	10	10	0.8	● 14³/₄–15, 15³/₄
2	0.8	1.0	0.4	0.7	1.7	709.6	712.0	714.6	89	90	89	SW 1	SW 1	S 0	10	10*	5	1.3	● ✳sch. n–n zeitw., ≡ 12–[13¹/₂
3	-1.0	4.2	2.1	1.8	2.7	719.9	721.5	723.2	90	64	86	SE 0	NE 1	W 0	7	10	10	.	
4	0.7	5.5	1.9	2.7	3.5	723.7	723.1	723.4	83	74	84	NE 0	NE 1	SE 0	4	4	0	.	
5	-1.5	4.8	0.5	1.3	2.0	722.9	722.3	721.4	89	77	85	S 0	NE 0	SW 0	0	0	0	.	⌣ fr.
6	-2.1	5.7	0.3	1.3	1.9	720.9	721.0	721.3	89	64	80	S 0	S 0	SW 0	0	0	0	.	⌣ fr.
7	-3.0	4.3	0.3	0.5	1.1	720.9	720.0	719.7	89	73	82	SE 0	NE 0	N 0	0	0	0	.	⌣ fr.
8	2.6	-0.3	-2.2	0.0	0.5	719.2	718.8	719.4	93	90	95	S 0	W 0	W 0	10■	10≡	10≡	.	≡ n–14, 17–n, ⌣ fr.
9	-3.8	2.0	1.5	-0.1	0.3	719.8	719.5	719.2	96	84	86	SE 0	SW 0	S 0	10≡	10	8	.	≡ n–9³/₄, ⌣ fr.
10	3.8	6.0	5.0	4.9	5.2	718.9	715.2	709.8	71	66	85	SW 1	SW 1	WSW 3	10	10	10●	**6.3**	● 18³/₄–22¹/₂ ztw., ● ✳ 23¹/₂
11	0.0	0.0	-0.4	-0.1	0.1	710.1	712.7	716.2	92	82	87	NW 1	W 1	N 0	10	10	8	0.4	✳ 8¹/₄, 14³/₄, ✳° a, p zeitw.
12	-1.4	0.2	-0.9	-0.7	-0.6	716.6	712.0	704.1	83	72	92	W 1	WSW 2	W 1	10	10	10	0.6	✳° a, p, ✳ 19¹/₄, 20¹/₂–21
13	-2.0	0.0	-2.7	-1.6	-1.6	**701.9**	702.1	703.4	90	80	84	W 0	W 0	NE 0	10	10*	10	0.2	✳ 13¹/₄–13³/₄, ✳° 12³/₄– ⊠
14	-3.4	-1.8	-2.8	-2.7	-2.8	702.9	702.4	704.1	81	87	79	NE 1	NE 2	NE 2	10	10	10	0.2	✳ 12¹/₂, ✳° 8–n [n ztw. ⊠
15	-4.4	-2.6	-4.2	-3.7	-3.9	705.3	707.2	709.2	81	70	78	NE 2	NE 2	NE 1	10	8	10	.	⊠
16	-5.0	-1.9	-6.0	-4.3	-4.6	709.6	710.3	711.1	76	64	82	NE 0	S 1	W 0	10	10	2	.	⊠
17	-5.2	-3.3	-2.9	-3.8	-4.2	713.0	713.9	713.0	82	70	80	NE 1	S 1	NE 1	10	6	5	.	⊠
18	-4.5	0.4	-1.1	-1.7	-2.2	713.5	713.0	713.6	82	60	82	S 0	NE 0	SW 1	10	7	10	.	⊠
19	-1.3	0.6	1.1	0.1	-0.5	714.1	714.8	715.8	82	80	78	S 0	NE 1	E 1	10	10	10	.	
20	-1.2	2.0	-1.6	-0.3	-1.0	717.4	717.3	717.2	78	61	75	NE 1	NE 1	NE 1	10	9	8	.	
21	-4.0	0.9	-0.9	-1.3	-2.1	717.3	716.5	717.0	83	63	71	NE 1	NE 1	SW 0	10	0	0	.	
22	-5.6	3.4	-0.2	-0.8	-1.7	717.2	715.9	714.7	87	60	76	S 0	S 0	S 0	0	0	0	.	
23	-4.7	1.2	-0.6	-1.4	-2.4	714.8	714.9	715.8	89	69	71	NNE 1	N 2	NE 1	0	0	0	.	⌣ fr.
24	-4.9	4.0	-0.3	-0.4	-1.5	719.4	720.5	722.6	86	56	73	S 0	NE 1	SW 0	0	0	1	.	⌣ fr.
25	-3.8	5.0	0.0	0.4	-0.8	723.9	723.6	723.1	87	53	75	S 1	NNE 0	S 0	0	0	0	.	⌣ fr.
26	-3.0	**7.0**	1.6	1.9	0.5	722.7	722.2	721.3	81	**40**	76	S 0	NE 0	S 1	2	9	0	0.6	⌣ fr.
27	0.6	3.2	2.8	2.2	0.7	722.6	722.7	725.3	85	86	89	S 1	S 0	S 0	10●	10	10	0.8	● 6¹/₄–8¹/₄, 9¹/₄
28	-0.5	6.3	3.9	3.2	1.6	**725.6**	724.8	723.4	94	59	78	S 1	SW 1	S 0	10≡	2	2	.	≡ n–10, ⌣ fr.
Mittel	-2.0	2.3	0.0	0.0	—	716.2	716.0	716.2	86	70	81				6.6	6.2	5.3	11.2	

$\lambda = 6° 57'$, $\beta = 47° 0'$,
$H_b = 487.3^m$, $G = 0.06^{m}/_{m}$.

Neuchâtel

Februar 1938.
Beobachter: *Observatorium.*

Tag	7³⁰	13³⁰	21³⁰	Mittel	Abweich. vom Normalst	7³⁰	13³⁰	21³⁰	7³⁰	13³⁰	21³⁰	7³⁰	13³⁰	21³⁰	7³⁰	13³⁰	21³⁰	Niederschlag	Witterung
1	5.0	7.1	5.4	5.8	5.7	718.1	717.5	717.8	77	72	60	W 2	W 3	W 2	10	9	10	2.1	● a m.U., ● ✳ n
2	1.5	2.3	0.6	1.5	1.4	717.8	720.4	722.9	87	91	96	W 1	W 2	W 1	10	8	2	5.8	✳fl. 9³/₄, ✳ 13³/₄–15¹/₄ m.U.
3	-1.1	2.0	1.9	0.9	0.7	728.2	729.8	731.7	96	93	96	NW 0	NE 0	SW 1	6	10	10	0.3	● seit 18 ⊠
4	1.0	**7.9**	4.4	4.4	4.1	732.0	731.2	731.6	95	70	89	NE 0	E 1	E 0	2	1	9	.	
5	-0.6	1.8	0.0	0.4	0.1	731.1	730.8	729.6	100	96	100	E 0	E 0	E 0	10≡	10≡	10≡	0.1	≡² n–n, ⌣ fr.
6	-1.1	0.4	-1.5	-0.7	-1.1	729.4	729.7	729.7	100	100	100	SE 0	SE 0	SE 0	10≡	10≡	10≡	0.2	≡² n–n
7	-4.4	-1.0	-2.7	-2.7	-3.2	729.3	728.3	728.1	98	100	98	SE 0	SE 0	SW 0	10≡	10≡	0	0.1	≡² n–p, abds. m.U., ⋁ a
8	-2.0	-0.9	-1.1	-1.3	-1.8	727.5	727.1	727.8	100	100	98	NW 0	SE 1	NW 1	10≡	10	10	.	≡ n–10, ⋁ fr.
9	-1.2	0.3	1.3	0.1	-0.5	727.8	727.6	727.3	98	98	96	NW 0	NW 0	N 1	10	10	10	.	≡ 9–15, ⋁ fr.
10	3.5	4.8	4.7	4.3	3.6	724.8	723.5	718.1	85	86	93	SW 2	W 3	SW 4	10	10	10●	11.7	● 8³/₄–n m.U., ● ✳ n
11	1.2	0.7	-0.2	0.6	-0.2	718.5	721.1	724.5	63	72	81	NW 2	SE 1	N 1	9	9●*	8	2.8	✳ △sch. 7¹/₂-n ztw., ● ztw. ⊠
12	-0.9	-0.5	-0.7	-0.7	-1.5	724.5	720.4	712.4	70	89	100	SW 1	SW 3	W 2	10	10●*	10●*	**16.5**	✳fl. seit 10, ● ✳sch. 12¹/₂–n ⊠
13	-1.5	-0.4	-2.9	-1.6	-2.5	**710.1**	710.4	711.8	98	98	90	W 0	E 0	E 0	10*	10*	9	2.7	✳ n–8, 12³/₄–n m.U. ⊠
14	-3.9	-0.1	-2.4	-2.1	-3.1	711.0	710.6	712.2	85	72	68	N 0	NE 3	NE 3	10	10	10	0.1	✳fl. seit 8³/₄ ⊠
15	-4.1	-1.6	-4.0	-3.2	-4.3	713.5	715.5	717.6	69	69	69	E 2	E 2	NE 2	10	9	10	.	✳fl. a ⊠
16	-4.6	-2.5	-3.3	-3.5	-4.7	718.0	718.7	719.7	77	75	78	E 1	NE 1	E 1	10	10	10	.	⊠
17	-4.8	-1.4	-1.8	-2.7	-3.9	721.4	722.3	721.5	84	73	88	NE 2	E 1	NE 3	10	8	5	.	⊠
18	-1.8	0.1	-0.6	-0.8	-2.1	721.9	721.7	721.7	92	84	91	E 1	E 0	E 1	10	10	10	.	⊠
19	-0.9	0.7	1.8	0.5	-0.9	722.4	723.2	724.2	92	86	73	E 0	E 0	NE 2	10	10	10	.	⊠
20	-0.9	1.8	-2.1	-0.4	-1.9	725.8	725.5	725.6	73	66	75	NE 2	E 2	E 1	10	9	0	.	⊠
21	-3.6	3.3	-0.9	-0.4	-2.0	725.5	724.5	725.1	74	**50**	73	E 1	E 2	NE 0	0	0	0	.	⊠
22	**-5.3**	3.4	-0.9	-0.9	-2.6	725.4	723.9	723.0	95	69	91	NE 0	S 1	NW 1	0	0	0	.	⊠
23	-3.0	3.3	1.7	0.7	-1.1	723.4	723.3	724.3	94	64	64	NE 2	E 2	E 2	1	0	0	.	≡ n–8¹/₂ zeitw., ⌣ fr. ⊠
24	-4.3	3.7	-0.3	-0.3	-2.2	727.7	729.0	730.7	93	60	83	E 0	S 0	E 0	0	0	0	.	⌣ fr.
25	-3.6	4.7	-0.3	0.3	-1.7	732.7	732.0	731.3	96	60	72	E 0	SE 1	E 0	1	0	0	.	⌣² fr.
26	-3.2	3.3	1.1	0.4	-1.7	731.1	730.4	729.5	92	81	84	NE 0	SW 0	SW 0	0	9	0	1.8	⌣² fr.
27	2.4	4.2	3.9	3.5	1.3	730.7	731.0	733.3	98	95	77	SW 0	W 1	W 1	10●	10●	0	1.4	● n–14¹/₂ m.U., ●sch. 16³/₄
28	-0.8	7.1	3.4	3.2	0.9	**733.9**	732.7	731.4	96	61	87	NE 0	S 1	W 1	3	1	4	.	⌣ fr.
Mittel	-1.5	1.9	0.2	0.2	—	724.4	724.4	724.4	88	80	85				7.2	7.2	6.3	45.6	

Februar 1938.
Beobachter: Frl. *H. Nager.*

Altdorf

$\lambda = 8° 39'$, $\beta = 46° 53'$,
$H_b = 456.3^m$, $G = 0.05^m/_m$.

Tag	Lufttemperatur 7³⁰	13³⁰	21³⁰	Mittel	Abweich. vom Normalst	Luftdruck 7³⁰	13³⁰	21³⁰	Relative Feuchtigkeit 7³⁰	13³⁰	21³⁰	Windrichtung und Stärke 7³⁰	13³⁰	21³⁰	Bewölkung 7³⁰	13³⁰	21³⁰	Niederschlag	Witterung
1	0.3	8.4	4.4	4.4	3.6	720.4	718.9	720.5	85	53	90	NE 0	NW 0	NW 0	3	6	10	1.9	● 17
2	2.7	3.4	1.1	2.4	1.5	719.8	722.7	725.6	84	63	95	W 0	W 0–1	NW 0	10	10	10	1.1	✳ 17½
3	1.1	5.6	2.5	3.1	2.1	730.3	732.4	734.7	79	52	80	NE 0	SE 0	E 0	10	10	10	.	
4	−0.1	5.7	2.5	2.7	1.7	735.1	734.0	729.8	95	64	82	E 0	NW 0–1	SE 0	8	0	7	.	
5	−1.7	5.3	−0.1	1.2	0.1	733.9	733.2	732.6	93	67	90	SE 0	NW 0	NE 0	0	0	0	.	
6	−2.2	4.6	−0.2	0.7	−0.5	732.0	732.2	732.5	95	75	75	NW 0	NW 0	NE 0	8	0	0	.	
7	−2.8	2.4	−1.8	−0.7	−0.5	732.2	731.2	731.1	92	85	97	N 0	NE 0	NW 0	2	0	10≡	.	≡ III
8	−0.9	2.2	−0.2	0.4	−0.9	729.9	729.6	730.3	89	72	97	E 0–1	W 0	NE 0	10	7	10	.	
9	−3.2	1.6	1.3	−0.1	−1.5	730.6	730.1	730.2	100	82	90	E 0	E 0	NW 0	10≡	7	10	.	≡ I
10	1.4	3.3	3.8	2.8	1.4	727.2	725.1	717.7	83	93	95	E 0	SE 0	W 0–1	10	10	10●	18.5	● III
11	0.1	−0.2	0.1	0.0	−1.5	718.9	722.2	725.5	100	87	88	NW 3–4	NW 3	NW 2–3	10✳	10✳	10✳	12.3	✳ n–n
12	−0.7	1.2	−1.0	−0.2	−1.8	726.1	721.6	714.1	54	67	96	NE 0–1	SE 0	SE 0	10	10	10✳	17.9	✳ 15–n
13	−1.8	1.4	−1.4	−0.6	−2.2	712.4	**712.2**	713.5	90	54	89	SE 0	NW 0–1	NW 0	10	10	10✳	2.3	✳ 18–n
14	−2.1	0.4	−1.8	−1.2	−2.9	713.4	713.4	714.9	87	76	80	NE 0	NE 0	S 0	10✳	10✳	10	1.2	✳ I, II
15	−6.3	0.7	−3.0	−2.9	−4.7	716.8	718.1	720.2	74	48	70	E 0	NW 0	S 0	10	6	10	.	
16	−3.2	−0.8	−6.3	−3.4	−5.3	720.5	721.1	722.5	75	82	79	SE 0	NW 0	SE 0	10	10	2	.	
17	−9.2	−0.9	−1.7	−3.9	−5.8	724.3	724.9	725.1	88	70	85	SE 0	NW 0	E 0	3	10	10		
18	−1.8	1.4	−3.6	−1.3	−3.3	724.4	724.2	724.4	82	60	90	E 0	NW 0	NW 0	10	8	0	.	
19	−2.1	2.5	0.8	0.4	1.7	725.4	726.2	727.5	90	66	90	SE 0	SE 0	NW 0	10	10	10	.	
20	−0.2	1.9	0.2	0.6	1.6	728.5	728.1	728.5	69	60	91	SE 0	NW 0	NW 0	10	3	10	.	
21	−1.4	1.2	−2.7	−1.0	−3.2	728.7	728.2	728.4	72	63	83	SE 0	S 0	SE 0	10	3	0	.	
22	−6.6	2.1	−3.0	−2.8	−5.1	728.5	726.6	726.0	87	58	65	SE 0	S 0	SE 0	0	0	0	.	
23	−5.5	1.4	−3.6	−2.6	−5.0	726.7	726.9	727.7	88	68	88	NW 0	NW 0	E 0	8	6	0	.	
24	−5.7	2.1	−2.5	−2.0	−4.5	730.8	732.4	733.8	90	63	87	N 0	NW 0	E 0	0	0	0	.	
25	−5.7	3.1	−2.3	−1.6	−4.2	735.1	735.1	734.7	84	56	74	N 0	N 0	E 0	0	0	0	.	
26	−4.8	4.2	−0.8	−0.5	−3.3	734.1	733.4	732.7	83	52	82	E 0	NW 0	NW 0	0	8	3	.	
27	−1.1	5.1	2.1	2.0	−0.9	733.7	733.7	**736.8**	74	55	90	E 0	E 0	NW 0	10	10	10●	1.6	● 16¾–n
28	1.3	7.1	2.3	3.6	0.6	**736.8**	735.3	734.7	100	**46**	75	E 0	W 0	NW 0	8	0	4	.	
Mittel	−2.2	2.7	−0.5	0.0	—	727.0	726.9	727.0	85	66	86				7.1	5.9	6.3	56.8	

Februar 1938.
Beobachter: *Observatorium.*

Genf

$\lambda = 6° 9'$, $\beta = 46° 12'$,
$H_b = 405.0^m$, $G = 0.02^m/_m$.

Tag	7³⁰	13³⁰	21³⁰	Mittel	Abweich. vom Normalst	7³⁰	13³⁰	21³⁰	7³⁰	13³⁰	21³⁰	7³⁰	13³⁰	21³⁰	7³⁰	13³⁰	21³⁰	Niederschlag	Witterung
1	5.0	7.2	6.5	6.2	5.2	727.4	726.6	726.3	74	80	63	NNE 1	SW 1	SW 1	9	10●	9	1.7	● a–n zeitw.
2	2.2	5.8	2.1	3.4	2.3	726.3	728.4	730.2	89	63	89	E 0	SW 1	E 0	10	10	10	0.5	● ✳sch. n–n zeitw.
3	1.7	4.4	4.3	3.5	2.3	735.6	736.7	738.2	86	71	63	NNE 0	NNE 1	E 0	1	0	9	.	
4	2.1	6.8	3.2	4.0	2.8	739.1	738.5	738.9	82	64	76	NE 0	NNE 1	E 0	9	1	3	.	
5	−1.3	4.7	1.5	1.6	0.3	738.6	737.9	736.9	93	79	87	E 0	NNE 1	ENE 0	0	0	0	.	⊔ fr.
6	−1.4	0.2	−1.0	−0.7	−2.1	736.9	737.4	737.2	100	93	100	ENE 0	NNE 0	NE 0	10≡	10≡	10≡	.	≡ n–n
7	−3.8	−0.6	0.2	−1.4	−2.8	736.8	736.0	735.5	99	98	95	E 0	E 0	E 0	10≡	10≡	10≡	.	≡ n–n
8	−2.6	−0.5	−0.3	−1.1	−2.6	735.1	734.5	735.1	97	90	91	E 0	E 0	ENE 0	10≡	10≡	10≡	.	≡ n–n
9	−2.3	2.2	2.5	0.8	−0.8	735.5	735.4	735.2	100	61	86	E 0	E 0	NE 0	10≡	9	9	.	≡ a
10	4.4	8.0	6.7	6.4	4.8	733.7	732.8	730.0	71	67	70	S 1	SSW 0	SW 2	10	10	10●	6.3	●°sch. a zeitw., ● n
11	3.0	2.9	1.2	2.4	0.7	726.8	729.2	732.1	55	60	76	NNE 2	NE 1	NNE 1	9	10	9	0.2	●sch. p zeitw., ●° n
12	0.0	2.8	1.2	1.3	−0.5	732.5	729.5	721.0	85	52	96	NNE 1	NNE 1	E 0	1	9	10✳	3.7	✳ p–n
13	−1.0	1.0	−0.8	−0.3	−2.2	717.3	717.8	718.6	94	94	94	NNE 1	NNE 0	NNE 2	10✳	10✳	10	0.2	✳ a, ● ✳sch. p–n
14	−1.4	0.2	−0.4	−0.5	−2.4	717.3	**716.9**	718.1	92	75	81	NNE 2	NNE 2	NNE 3	10	10	10	.	
15	−2.1	−0.6	−1.6	−1.4	−3.4	719.3	722.4	724.4	73	65	72	NE 2	NNE 1	NNE 1	10	9	10		
16	−2.7	−1.9	−2.0	−2.2	−4.3	725.3	725.8	726.9	74	73	65	NNE 1	NNE 1	NNE 1	10	10	10	.	
17	−3.0	−1.0	−1.1	−1.7	−3.9	728.2	729.1	729.0	74	70	75	E 1	NNE 1	NNE 1	10	3	10	.	
18	−1.4	0.8	1.1	0.2	−2.0	729.4	728.8	729.3	80	71	81	E 1	NNE 1	ENE 1	10	10	10	.	
19	0.1	1.6	2.4	1.4	−0.9	730.1	730.3	731.2	85	74	75	E 1	NNE 1	NE 0	10	10	10	.	
20	1.6	3.0	0.9	1.8	−0.6	732.8	732.5	732.6	74	66	76	NE 1	NNE 1	NNE 1	10	8	9	.	
21	0.0	1.4	−0.3	0.4	−2.1	732.2	731.8	732.2	78	78	68	NE 1	NNE 1	NNE 0	10	1	0	.	
22	−4.4	3.4	0.5	−0.2	−2.8	732.9	731.3	730.2	95	60	82	NNE 0	NNE 1	NE 0	0	0	0	.	⊔ fr.
23	−3.6	1.8	0.2	−0.5	−3.1	730.2	730.5	731.3	94	67	78	SE 1	NNE 1	NW 0	9	0	0	.	⊔ fr.
24	−3.9	3.6	1.0	0.2	−2.5	735.4	736.5	738.0	95	57	81	NE 0	NE 1	NNE 0	0	0	0	.	⊔ fr.
25	−3.0	4.4	1.2	0.9	−1.9	740.1	738.9	738.4	95	65	78	E 0	NNE 1	NNE 1	0	0	0	.	⊔ fr.
26	−2.0	5.3	4.1	2.5	−0.4	738.4	737.5	736.7	93	**50**	79	NE 1	NNE 1	NNE 0	5	9	0	3.8	⊔ fr.
27	4.6	6.3	5.0	5.3	2.2	738.7	738.7	741.0	93	91	84	SSW 0	E 0	NE 1	10●	10	10	0.3	●° 3–a
28	0.0	**7.4**	4.8	4.1	0.9	**741.4**	740.3	738.7	93	57	64	E 0	NNE 0	NNE 1	4	1	0	.	
Mittel	−0.5	2.9	1.5	1.3	—	731.9	731.9	731.0	86	71	80				7.4	6.4	6.7	16.7	

$\lambda = 8^\circ 33'$, $\beta = 47^\circ 23'$, $H_b' = 493.2^m$, $G = 0.03$ m/m.

Zürich

Februar 1938.
Beobachter: *Meteorol. Zentralanstalt.*

Tag	Lufttemperatur 7³⁰	13³⁰	21³⁰	Mittel	Abweich. vom Normalst	Luftdruck 7³⁰	13³⁰	21³⁰	Relative Feuchtigkeit 7³⁰	13³⁰	21³⁰	Windrichtung und Stärke 7³⁰	13³⁰	21³⁰	Bewölkung 7³⁰	13³⁰	21³⁰	Niederschlag	Witterung
1	3.9	8.6	5.6	6.0	6.5	716.4	715.5	716.4	71	57	62	S 1	WSW 3	WSW 2	5	9	10	2.3	● 14–17
2	2.0	1.8	1.7	1.8	2.2	716.5	719.1	721.9	87	85	81	W 1	W 1	NW 0	10*	10*	10	2.9	● ✳sch. 3¼, 4, ✳sch. 7¼–
3	1.1	4.8	2.9	2.9	3.2	727.0	728.6	730.8	90	55	77	WNW 0	S 1	S 0	9	10	9	0.1	✳ 2¼–2¾ [15¾ zeitw.
4	2.2	7.0	5.2	4.8	5.0	731.8	730.6	730.9	88	65	78	SSE 0	NE 1	WSW 0	10	7	10	.	
5	1.7	7.6	1.5	3.6	3.7	730.2	729.7	728.6	90	58	95	SSE 0	S 1	SSE 0	10	0	0	.	
6	−1.3	4.2	0.2	1.0	1.0	728.4	728.7	728.7	100	67	95	SSE 0	W 1	W 0	10≡	0	0	.	≡ n–11, ⊔² fr.
7	−3.5	2.9	0.0	−0.2	−0.2	728.5	727.6	727.6	100	67	93	W 0	WNW 1	NNW 0	10≡	0	10	.	≡ n–10¾, ⊔² fr.
8	−1.3	2.8	−1.8	−0.1	−0.2	726.5	726.2	726.1	88	64	100	ESE 1	SW 1	WNW 0	10	1	10≡	.	≡ abds.–n
9	−2.8	3.9	2.5	1.2	1.0	726.8	726.5	726.1	100	59	98	NW 0	WNW 0	S 1	10≡	8	10	0.0	≡ l, ⊔ fr. [✳ 23–n
10	4.7	5.6	6.1	5.5	5.2	723.0	720.7	714.3	62	69	75	W 3	SW 4	WSW 4	10	10●	10●	**10.7**	● 9¾–13¾, 19¼–22½ m.U.,
11	0.4	0.2	−0.5	0.0	−0.4	716.7	719.4	723.1	85	83	96	NW 2	NW 2	NNW 1	10	10	9	1.2	✳ n–6, 19¼–22¾ m.U. ⊠
12	−1.2	−0.1	−0.6	−0.6	−1.1	722.9	717.7	710.4	80	65	96	WNW 1	WSW 3	W 2	10	10*	10*	4.4	✳ 9¼–10½, 18¼–23 ⊠
13	−1.0	0.6	−2.2	−0.9	−1.5	**709.1**	709.3	710.6	82	76	87	SW 0	W 0	NW 2	8	10	10	4.5	✳ 0–1, 11–n m.U. ⊠
14	−2.7	−0.2	−3.0	−2.0	−2.7	710.7	711.1	712.8	89	67	72	NNW 0	NNE 1	NNE 1	10	10	10	0.6	✳ n–3¾, 8¾–10¾, ✳fl. p ⊠
15	−4.4	−2.3	−3.8	−3.5	−4.3	713.7	715.5	717.3	75	57	73	N 1	E 2	NE 0	10	9	10	0.0	⊠
16	−4.4	−1.7	−3.1	−3.1	−4.0	717.6	718.0	719.1	75	64	72	ESE 1	ESE 1	SE 1	10	10	10	.	⊠
17	**−6.2**	1.0	−1.3	−2.2	−3.2	721.0	721.7	721.6	87	55	80	ESE 0	NNE 1	NE 0	2	6	10	.	⊠
18	−3.2	1.8	−1.5	−1.0	−2.1	720.8	720.9	720.7	86	67	88	S 2	SSE 0	SSW 1	10	7	3	.	⊠
19	−1.1	2.2	1.4	0.8	−0.4	722.0	722.6	724.3	93	63	67	SSE 0	ENE 2	E 1	10	9	10	.	⊠
20	−2.3	0.4	−2.5	−1.5	−2.8	725.4	725.3	725.2	67	58	76	WNW 0	NNW 0	ESE 0	10	10	0	.	⊠
21	−5.1	4.2	−0.5	−0.5	−1.9	725.3	724.5	724.7	85	**39**	63	E 0	N 2	SE 0	1	1	0	.	⊔ fr. ⊠
22	−4.3	4.9	−0.8	−0.1	−1.6	724.7	722.8	722.2	95	44	81	SE 0	S 1	S 0	2	0	0	.	⊔ fr.
23	−3.2	3.8	0.3	0.3	−1.3	723.7	723.7	724.0	88	50	69	ENE 0	ENE 2	W 1	1	0	0	.	⊔ fr.
24	−4.0	4.5	−0.4	0.0	−1.7	727.3	728.4	730.1	95	48	82	ESE 0	SSW 1	S 0	0	0	0	.	⊔ fr.
25	−3.1	6.4	0.4	1.2	−0.6	731.9	731.2	730.7	98	42	74	S 0	NNW 1	SE 1	1	1	0	.	⊔ fr.
26	−2.9	7.5	1.1	1.9	−0.1	730.3	729.3	728.6	98	40	67	SE 1	NW 1	ESE 1	2	8	0	0.5	⊔ fr.
27	4.9	4.0	2.9	3.9	1.8	729.4	729.7	732.6	66	97	100	SE 1	SE 1	SE 1	10	10●	10	2.8	● 10–15½
28	−0.8	**9.3**	5.4	4.6	2.4	**733.0**	731.7	730.4	100	50	71	SE 0	SSW 1	SE 1	10≡	5	10	0.0	≡ n–10 m.U.
Mittel	−1.3	3.4	0.5	0.9	—	723.6	723.4	723.6	86	61	81				7.5	6.1	6.5	Summe 30.0	

$\lambda = 8^\circ 30'$, $\beta = 47^\circ 3'$, $H_b = 1787.3^m$, $G = -0.20$ m/m.

Rigi-Kulm

Februar 1938.
Beobachter: *J. Steiner.*

Tag	7³⁰	13³⁰	21³⁰	Mittel	Abweich. vom Normalst	7³⁰	13³⁰	21³⁰	7³⁰	13³⁰	21³⁰	7³⁰	13³⁰	21³⁰	7³⁰	13³⁰	21³⁰	Niederschlag	Witterung
1	−3.6	−1.4	−4.8	−3.3	1.3	609.8	609.5	609.9	86	87	93	W 3	WSW 3	W 2	3	9	10	6.5	⊠
2	−7.0	−7.4	−8.0	−7.5	−2.9	608.4	610.6	613.1	96	96	96	WSW 3	WSW 1	W 2	10	10*	10*	9.8	✳ II, III ⊠
3	−7.9	−6.8	−5.0	−6.6	−2.0	617.2	619.2	621.6	94	82	76	WSW 1	W 1	W 1	10≡	9	10	0.7	≡ I ⊠
4	−3.5	−2.5	−3.1	−3.0	1.6	622.4	622.0	622.3	94	63	61	SW 1	SE 1	E 1	10≡	0	0	.	≡ I ⊠
5	−3.4	−1.0	−3.6	−2.7	1.9	622.3	622.3	622.0	60	42	45	W 0	S 0	W 0	0	0	0	.	⊠
6	−3.7	−0.8	−0.6	−1.7	2.9	621.4	621.8	622.0	60	45	48	W 0	S 0	SE 1	0	0	0	.	⊠
7	−2.6	0.6	−0.6	−0.9	3.7	620.9	620.3	620.1	58	39	42	SE 1	SE 0	SE 1	0	0	0	.	⊠
8	0.0	1.8	0.8	0.9	5.5	618.6	619.1	618.7	34	32	38	SW 1	W 1	SW 1	0	0	1	.	⊠
9	−3.5	−2.9	−4.5	−3.6	1.0	618.3	618.2	617.8	82	97	[illegible]	WSW 2	W 1	W 1	2	9	10≡	2.1	✳° 17–n zeitw., ≡ III ⊠
10	−5.4	−2.9	−2.0	−3.4	1.1	615.2	613.8	608.3	96	9[illegible]	90	WSW 3	W 3	SW 4–5	10*	10≡	10	**30.3**	✳ I, ≡ II ⊠
11	−9.2	−9.5	−9.4	−9.4	−4.9	607.7	609.8	612.8	95	96	96	W 2	SW 2	W 1	10*	10*	10*	22.6	✳ n–n ⊠
12	−11.3	−10.2	−8.0	−9.8	−5.3	612.5	608.5	602.9	96	90	95	W 2	W 4	W 4	10≡	10	10*	7.6	✳ III, ⊹ ⸝ zeitw., ≡ I ⊠
13	−10.5	−8.3	−11.5	−10.1	−5.6	**601.3**	601.5	601.9	96	85	96	WSW 1	W 1	NW 1	10≡	10*	10*	17.4	≡ I, ✳ p zeitw., III ⊠
14	−11.8	−10.0	−12.5	−11.4	−6.9	601.5	601.8	602.7	96	97	96	NE 2	NE 1	NE 1	10≡	10≡	10≡	4.6	✳° zeitw., ≡ n–n ⊠
15	**−13.6**	−8.9	−10.8	−11.1	−6.7	603.1	604.9	607.0	94	75	82	ENE 1	ESE 2	SE 2	10≡	5	0	.	≡ ⊠
16	−9.5	−7.9	−9.5	−9.0	−4.6	607.2	608.1	609.7	90	92	80	SSE 3	SSE 3	SE 2	1	1	0	.	⊠
17	−9.8	−5.0	−5.0	−6.6	−2.2	611.1	612.0	612.2	76	56	64	SE 3	SE 2–3	ESE 2	1	7	3	.	⊠
18	−2.6	0.0	−1.2	−1.3	3.1	612.4	612.7	613.6	56	46	52	F 2	E 1	SE 2	2	2	2	.	⊠
19	−3.0	−1.1	−4.3	−2.8	1.5	613.4	613.7	614.9	58	59	64	SE 1	W 0	E 1	4	3	0	.	⊠
20	−3.6	−3.0	−4.0	−3.5	0.8	615.2	615.3	615.7	56	48	34	ESE 1	E 1	E 2	1	2	0	.	⊠
21	−5.2	−3.0	−1.5	−3.2	1.1	614.8	615.3	616.0	49	49	38	ENE 3	E 3	SE 3	0	0	0	.	⊠
22	−0.6	1.7	−2.0	−0.3	3.9	616.2	615.3	614.9	**18**	24	30	E 1	SE 1	W 2	0	0	1	.	⊠
23	−4.9	−1.5	−1.6	−2.7	1.5	614.4	615.0	615.8	37	36	26	W 0	ESE 1	E 1	0	0	0	.	⊠
24	−2.6	−1.1	−4.2	−2.6	1.6	618.0	619.7	621.6	42	50	55	WSW 2	SW 1	SW 1	0	0	1	.	⊠
25	−3.0	1.0	−0.6	−0.9	3.2	622.4	622.6	622.5	46	24	30	ESE 0	ESE 1	SE 1	0	1	1	.	⊠
26	1.0	**5.2**	1.0	2.4	6.5	622.5	622.1	621.4	**18**	28	31	NW 1	SE 0	SE 1	0	6	2	.	⊠
27	−2.4	−1.5	−4.8	−2.9	1.1	621.2	622.5	623.5	96	92	90	WSW 2	W 2	W 1	9	10*	10*	8.0	✳° 10–n zeitw. ⊠
28	−5.1	−0.8	1.2	−1.6	2.4	623.5	**623.6**	623.3	90	58	78	SW 1	SW 1	W 1	10≡	1	7	.	≡ I ⊠
Mittel	−5.3	−3.1	−4.3	−4.2	—	614.7	615.0	615.3	70	64	65				4.4	4.5	4.2	Summe 109.6	

Februar 1938.
Beobachter: *P. Nogler.*

Bevers

$\lambda = 9^\circ 53'$, $\beta = 46^\circ 33'$.
$H_b = \text{ca. } 1710^m$, $G = -0.23$ m/m.

Tag	Lufttemperatur 7³⁰	13³⁰	21³⁰	Mittel	Abweich. vom Normalst.	Luftdruck 7³⁰	13³⁰	21³⁰	Relative Feuchtigkeit 7³⁰	13³⁰	21³⁰	Windrichtung und Stärke 7³⁰	13³⁰	21³⁰	Bewölkung 7³⁰	13³⁰	21³⁰	Niederschlag	Witterung
1	-14.5	-2.0	-11.0	-9.2	-0.3	618.4	616.4	615.8	98	68	92	SSW 0	S 1	W 0	4	0	0	0.7	
2	-9.7	-4.4	-7.2	-7.1	1.7	614.4	615.7	618.6	100	60	90	NE 1	NE 3	N 0	10	10*	10	4.4	✳ II
3	-14.2	-3.7	-6.1	-7.0	1.7	622.2	624.5	627.2	95	48	81	W 0	NW 0	NW 2	10	1	0	.	
4	-12.2	-1.0	-10.0	-7.7	0.9	629.1	628.9	630.0	98	60	91	SW 0	W 0	SW 0	0	0	0	.	
5	-13.2	-1.9	-10.2	-8.4	0.1	629.7	628.7	628.9	94	59	80	SW 0	SW 0	SW 0	10	0	0	.	
6	-15.1	-3.1	-11.3	-9.8	-1.4	628.6	628.0	628.6	81	55	72	SW 0	SW 0	W 0	0	0	0	.	
7	-15.3	-2.0	-12.0	-9.8	-1.5	627.8	626.5	627.7	81	50	70	SW 0	W 1	W 1	0	0	0	.	
8	-14.5	-1.0	-11.4	-9.0	-0.8	626.8	626.1	626.6	79	45	70	SW 0	W 1	SW 0	0	0	0	.	
9	-15.5	-2.0	-10.1	-9.2	-1.1	625.1	623.6	623.9	81	50	75	E 0	NE 0	SW 1	0	4	8	.	
10	-13.2	-0.5	0.2	-4.5	3.5	623.2	618.9	613.3	91	48	75	SW 0	S 2–3	S 2	10	10*	10*	**7.5**	✳ II, III
11	-8.1	-2.3	-8.6	-6.3	1.6	611.0	613.0	617.2	97	60	62	S 0	S 1	SW 0	10*	10*	0	3.0	✢ a, p
12	-9.2	-4.9	-7.4	-7.2	0.6	617.4	614.9	609.3	97	44	97	SW 0	W 1–3	SW 0	10	10	10	0.0	✢ a, p zeitw.
13	-9.5	-6.2	-14.6	-10.1	-2.4	607.1	**607.0**	607.7	83	55	76	NW 1	W 1	NW 1	10	7	7	.	
14	-15.7	-6.2	-12.4	-11.4	-3.8	607.4	607.1	**607.0**	84	53	73	W 0	W 2–3	S 0	10	8	2	.	
15	**-18.7**	-8.1	-16.2	-14.3	-6.7	611.3	612.3	615.0	88	56	84	W 0	SW 1	SW 1	0	1	7	.	
16	-17.7	-4.9	-14.6	-12.4	-4.9	615.8	615.3	617.4	89	56	81	NW 1	SW 1	W 0	7	3	5	.	
17	-19.1	-6.7	-5.2	-10.3	-2.9	619.8	619.9	619.7	90	61	100	W 0	SW 0	NE 2–3	0	10	10	5.0	✳ ↙ 17–21
18	-4.1	2.1	-2.5	-1.5	5.8	619.5	619.9	620.2	60	43	100	NE 2	NW 1	NE 0	4	8	10*	1.2	✳° 17½–n
19	-11.0	0.3	-11.8	-7.5	-0.3	620.2	619.5	621.9	100	48	76	N 0	W 1	NW 0	10≡	10	0	.	≡ I
20	-12.1	1.3	-10.0	-6.9	0.2	622.7	621.1	622.3	95	34	64	W 0	SW 0–1	SW 1	0	0	0	.	
21	-18.2	-3.8	-10.6	-10.9	-3.9	622.9	622.1	623.4	89	55	71	SW 0	WSW 0	NW 0	0	0	0	.	
22	-17.2	-1.5	-10.8	-9.8	-2.9	623.5	621.8	621.1	82	46	64	NE 1	WSW 0	W 0	0	0	0	.	
23	-16.7	-3.1	-13.1	-11.0	-4.2	621.1	621.6	624.0	86	50	64	SW 0	E 1	E 0	0	0	0	.	
24	-18.2	0.8	-10.8	-9.4	-2.7	625.2	625.5	628.6	83	38	77	W 0	SW 0	W 0	0	0	0	.	
25	-16.1	-0.2	-11.0	-9.1	-2.5	629.8	629.1	**630.5**	84	53	75	W 0	SW 0	W 0	0	0	0	.	
26	-15.6	1.7	-9.1	-7.7	-1.2	630.4	629.2	629.2	83	48	71	SW 0	NE 1	W 0	0	4	0	.	
27	-13.0	**3.6**	-3.8	-4.4	2.0	628.4	627.1	629.2	81	**31**	86	W 0	SW 1	SW 0	8	8	0	.	
28	-4.7	2.2	-4.5	-2.3	4.0	629.6	629.4	629.4	86	54	79	W 0	SW 0	W 1	0	1	0	.	
Mittel	-13.5	-2.0	-9.5	-8.3	—	621.7	621.2	621.9	88	51	78				4.0	3.7	2.8	Summe 21.8	

Februar 1938.
Beobachter: *Kapuzinerkloster.*

Sitten

$\lambda = 7^\circ 21'$, $\beta = 46^\circ 14'$,
$H_b = 548.6^m$, $G = -0.11$ m/m.

Tag	7³⁰	13³⁰	21³⁰	Mittel	Abweich. vom Normalst.	7³⁰	13³⁰	21³⁰	7³⁰	13³⁰	21³⁰	7³⁰	13³⁰	21³⁰	7³⁰	13³⁰	21³⁰	Niederschlag	Witterung
1	-3.0	4.8	3.5	1.8	1.5	712.8	710.5	709.8	89	55	87	NE 1	NE 0	NE 1	3	7	7	1.0	
2	1.6	5.1	0.9	2.5	2.1	709.7	712.3	714.6	89	50	99	NE 1	W 2	W 0	8	10	10	0.4	✳fl. (10¾, 16½)
3	-1.4	3.1	2.6	1.4	0.9	720.0	721.8	723.8	86	60	70	NW 0	N 1	N 0	0	2	8	.	
4	-1.8	3.6	1.4	1.1	0.5	724.9	723.4	724.2	84	55	73	N 1	N 1	N 1	0	0	0	.	
5	-1.5	5.3	2.1	2.0	1.3	723.9	722.8	722.5	81	52	78	N 1	N 1	N 1	0	0	0	.	
6	-1.2	6.1	1.8	2.2	1.4	722.7	721.7	722.3	76	44	60	N 1	N 1	N 1	0	0	0	.	
7	-1.9	5.7	0.9	1.6	0.7	722.2	720.0	720.8	70	42	70	N 1	N 0	N 1	0	0	0	.	
8	-1.7	6.3	-0.1	1.5	0.5	720.0	718.6	719.9	67	40	98	N 1	N 1	N 1	0	0	1	.	
9	-4.8	4.2	2.4	0.6	-0.5	720.6	719.6	719.6	100	71	72	N 1	N 1	N 1	10≡	5	5	.	≡ I
10	-0.9	3.2	4.4	2.2	1.0	719.0	717.3	711.9	88	73	72	NW 1	NW 1	NW 1	10	8	10	6.3	
11	-0.2	-0.3	-0.8	-0.4	-1.7	709.0	713.2	715.1	100	84	90	W 3	W 1	W 1	10*	10*	10*	0.7	✳ n–n
12	-3.8	1.8	-0.9	-1.0	-2.4	716.5	713.6	705.7	74	50	95	NW 1	W 1	W 1	10	10	10*	**9.1**	✳ III
13	-2.1	2.8	-2.0	-0.4	-1.9	702.4	**702.0**	702.6	73	65	84	NE 1	NE 1	W 1	10	7	3	.	
14	-3.6	0.8	-4.4	-2.4	-4.0	702.9	702.4	703.5	70	47	62	ENE 1	ENE 1	ENE 1	10	3	0	.	
15	**-9.2**	-1.0	-5.0	-5.1	-6.8	705.3	707.2	709.7	85	45	65	NE 1	NE 1	NE 2	0	3	0	.	
16	-9.1	-0.8	-5.3	-5.1	-6.9	710.5	710.2	712.1	89	59	80	N 1	N 1	N 1	0	2	2	.	
17	-5.4	4.0	-1.6	-1.0	-2.9	714.2	713.7	713.9	70	37	76	NE 1	NE 1	NE 1	0	5	8	1.5	
18	-0.4	2.0	-0.9	0.2	-1.8	715.0	714.3	714.1	95	83	90	NW 1	NW 1	NW 1	10	10	2	0.2	
19	-4.2	2.8	1.0	-0.1	-2.3	715.1	714.5	716.3	92	65	78	NW 1	W 2	W 0	3	5	8	.	≡ (9), ⌣ fr.
20	-0.5	3.6	-0.8	0.8	-1.5	718.4	717.0	717.3	75	56	77	N 1	N 1	W 1	10	0	0	.	
21	-4.8	2.6	-1.2	-1.1	-3.5	717.4	715.8	717.8	90	48	77	N 1	N 1	N 1	0	0	0	0.0	⌣ fr.
22	-4.9	5.0	1.3	0.5	-2.0	718.6	716.0	715.7	85	45	60	NNW 1	N 1	N 1	0	0	0	0.0	⌣ fr.
23	-2.2	5.1	0.2	1.0	-1.6	715.3	714.7	716.1	72	42	74	N 1	N 1	N 1	0	0	0	.	
24	-3.2	6.5	1.1	1.5	-1.2	720.5	720.5	723.6	74	**35**	64	N 1	N 1	N 1	0	0	0	0.0	⌣ fr.
25	-3.0	5.6	1.9	1.5	-1.3	725.5	723.9	724.2	74	39	55	E 1	E 1	E 1	0	0	0	.	
26	-1.3	**8.0**	3.0	3.2	0.2	724.5	722.2	722.0	64	39	59	NE 2	NE 1	NE 1	2	5	0	.	
27	0.4	5.2	3.5	3.0	-0.1	724.4	723.7	725.2	77	55	78	NE 1	NE 0	NE 2	8	8	5	.	
28	3.4	**8.0**	5.3	5.6	2.4	**726.3**	725.5	724.5	83	53	60	NE 1	NE 1	NE 1	8	0	2	.	
Mittel	-2.5	3.9	0.5	0.6	—	717.1	716.4	716.7	81	53	75				4.0	3.6	3.2	Summe 19.2	

$\lambda = 8^\circ 57'$, $\beta = 46^\circ 0'$.
$Hb = 276.2^m$, $G = -0.01$ m/m.

Lugano

Februar 1938.
Beobachter: *G. Vicari.*

Tag	Lufttemperatur 7³⁰	13³⁰	21³⁰	Mittel	Abweich. vom Normalst	Luftdruck 7³⁰	13³⁰	21³⁰	Relative Feuchtigkeit 7³⁰	13³⁰	21³⁰	Windrichtung und Stärke 7³⁰	13³⁰	21³⁰	Bewölkung 7³⁰	13³⁰	21³⁰	Niederschlag	Witterung
1	-1.0	5.2	1.0	1.7	-0.4	739.2	737.7	736.1	66	50	70	N 1	SSW 1	N 1	5	0	0	.	
2	-1.0	6.0	6.6	3.9	1.7	735.3	734.8	737.5	82	58	32	N 1	SSE 0	NNE 2	1	6	0	.	
3	7.0	**11.4**	3.4	7.3	5.1	741.2	742.7	745.7	28	**23**	62	NNE 2	NNE 2	ENE 1	0	0	0	.	
4	-0.4	6.6	2.8	3.0	0.7	748.9	749.3	750.6	82	63	71	NNE 1	S 0	N 1	2	0	0	.	
5	-0.4	7.4	2.6	3.2	0.8	750.6	749.2	748.7	88	53	71	N 1	SE 1	N 1	0	0	0	.	
6	-0.4	6.2	2.8	2.9	0.4	749.2	748.0	746.6	88	64	74	N 1	SSW 1	N 1	0	0	0	.	
7	-1.0	7.4	3.4	3.3	0.8	746.5	745.1	745.7	78	51	62	N 1	S 0	N 1	0	0	0	.	
8	-0.8	7.2	2.2	2.9	0.3	747.3	747.0	747.0	74	62	82	N 1	SE 0	N 1	0	0	0	.	
9	**-1.4**	6.0	2.2	2.3	-0.4	746.6	745.2	744.9	88	66	87	N 1	SE 1	N 1	3	0	0	.	
10	-0.8	4.4	2.8	2.1	-0.7	743.2	740.3	734.3	94	72	87	N 1	ESE 1	N 1	10≡	6	0	.	
11	3.6	6.6	3.8	4.7	1.8	730.7	732.8	736.1	44	32	28	NNE 2	NNE 2	NNE 2	1	5	0	.	
12	4.2	9.0	2.6	5.3	2.3	737.2	733.8	729.3	29	25	49	NNE 3	NW 1	N 1	0	0	0	.	
13	-0.4	5.4	5.0	3.3	0.2	725.4	**724.9**	725.1	62	46	28	NNW 1	W 1	NNE 2	10	10	4	.	
14	0.2	7.6	2.6	3.5	0.3	726.0	725.5	727.7	63	32	51	N 1	NNE 2	NNE 1	2	8	10	.	
15	1.2	2.0	0.6	1.3	-2.0	732.2	734.8	736.7	88	68	73	S 1	S 0	N 1	10	8	10	2.4	● ✳ n, ✳ 8–11
16	0.4	4.8	2.2	2.5	-0.8	737.6	737.4	738.6	84	63	70	N 1	E 0	N 1	10●	7	0	0.5	✳° 7¼–a
17	0.8	7.0	3.8	3.9	0.5	741.3	740.2	740.6	88	51	77	N 1	SSE 1	S 0	8	10	10●	**16.3**	● 18–n
18	1.0	6.2	3.6	3.6	0.1	740.9	740.6	742.5	92	64	93	NNW 1	S 1	N 1	10	3	10●	6.4	● ✳ n–6½, ● 15½–24 ⊠
19	1.6	7.2	3.6	4.1	0.5	740.3	739.7	741.5	91	62	76	N 0	SSW 0	N 1	4	9	0	.	
20	2.4	7.0	2.6	4.0	0.2	745.0	743.0	742.4	55	50	69	SSW 1	S 1	N 1	10	0	0	.	
21	-0.8	8.8	3.0	3.7	-0.2	742.6	741.9	742.8	73	41	68	N 1	E 0	N 1	0	0	0	.	
22	1.8	6.4	1.6	3.3	-0.7	744.7	742.6	740.4	75	51	73	N 1	SSE 1	N 1	10	0	0	.	
23	3.4	8.2	4.0	5.2	1.0	738.9	741.0	745.3	84	59	73	N 1	S 1	N 1	0	0	0	.	
24	-1.0	7.0	4.4	3.5	-0.8	747.2	748.7	750.3	83	58	63	N 1	E 0	N 1	0	1	5	.	
25	1.0	8.6	3.4	4.3	-0.1	752.6	752.1	**752.8**	78	47	71	N 1	SSE 1	N 1	0	0	0	.	
26	-0.4	7.6	3.8	3.7	-0.9	752.2	751.2	750.4	86	53	71	N 1	E 0	N 1	0	0	0	.	
27	-0.2	7.2	3.8	3.6	-1.1	750.3	748.9	749.8	84	54	73	N 1	SE 0	N 1	5	8	0	.	
28	0.0	9.4	6.6	5.3	0.4	751.2	750.8	749.0	92	52	73	N 1	SSE 0	N 1	0	0	0	.	
Mittel	0.7	6.9	3.2	3.6	—	742.3	741.8	742.1	76	52	67				3.6	2.9	1.8	Summe 25.6	

$\lambda = 7^\circ 35'$, $\beta = 47^\circ 33'$.
$Hb = 318^m$, $G = 0.11$ m/m.

Basel

Februar 1938.
Beobachter: *Astronom.-Meteorol. Anstalt.*

Tag	7³⁰	13³⁰	21³⁰	Mittel	Abweich. vom Normalst	7³⁰	13³⁰	21³⁰	7³⁰	13³⁰	21³⁰	7³⁰	13³⁰	21³⁰	7³⁰	13³⁰	21³⁰	Niederschlag	Witterung
1	9.1	4.4	5.8	6.4	—	731.5	732.8	732.1	57	89	64	WSW 1	W 1	WSW 1	10●	10●	7	1.4	● 12¼–14¼
2	2.6	4.2	2.6	3.1	—	732.5	735.0	738.2	80	74	79	WSW 1	WSW 1	W 1	9	10	10	0.3	●sch. 1½, 17¼, 22¾; ⌒sch. 11¾
3	-0.8	5.4	3.4	2.7	—	743.5	744.7	746.9	94	68	90	S 1	WNW 0	E 1	8	10	10	.	● 17½–19, ⌣° ∽ fr.
4	3.0	7.8	6.0	5.6	—	747.7	747.1	747.2	91	67	84	E 1	NE 1	ENE 0	10	3	10	.	
5	3.0	8.8	3.7	5.2	—	745.8	744.8	743.9	88	60	80	E 1	ENE 1	E 1	1	0	0	.	⌣° fr.
6	-0.8	6.4	0.9	2.2	—	743.8	744.2	744.4	96	68	90	ESE 1	E 1	ESE 1	0	0	0	.	⌣¹ fr.
7	-2.4	-0.9	-1.3	-1.5	—	744.6	744.1	744.0	100	98	100	NNE 1	WNW 1	WNW 0	10≡	10≡	10≡	.	≡ 3½–n, ⌣² fr.
8	-1.4	5.2	0.1	1.3	—	742.2	741.4	742.0	94	60	89	ESE 1	E 1	E 1	3	1	1	.	⌣ fr.
9	-1.7	3.5	2.6	1.5	—	742.7	742.2	742.1	94	78	93	ENE 1	E 1	E 1	10	9	10	0.1	● 14¾–15½, ⌣° fr.
10	5.7	8.2	7.8	7.2	—	738.8	736.7	730.4	64	67	79	WNW 1	WSW 2	WSW 3	10	10	10●	**10.4**	● 19¼–22¾, ✳ 22¾–n m.U.
11	0.7	0.8	0.2	0.6	—	734.4	737.3	740.4	85	89	92	WNW 1	NW 1	NNE 0	10	10*	10*	4.4	✳ n–13¾ m.U., ✳sch. 14¼–21½
12	-1.0	1.2	1.7	0.6	—	739.5	733.8	726.1	81	78	84	WSW 1	WSW 1	SSW 2	10	10	10	1.3	✳ 9–20½ zeitw., |ztw. ⊠
13	-0.6	-0.1	-2.4	-1.0	—	**725.3**	725.9	727.5	90	96	94	NE 1	NNW 1	NNW 1	10	10*	10*	2.9	✳ 9¾–10½, ✳˘ p. *) ⊠
14	-2.8	0.0	-1.6	-1.5	—	727.6	727.7	729.2	98	82	58	NW 1	N 1	NNE 0	10	10	10	.	✳° 6¼–14½ zeitw. ⊠
15	-3.0	-2.2	-2.4	-2.5	—	730.4	732.0	733.6	63	62	66	N 1	ENE 1	NE 1	10	9	10	.	✳° 9¾ ⊠
16	-3.7	-0.3	-1.7	-1.9	—	733.9	734.1	735.3	89	67	90	WNW 1	NE 1	NNW 1	10	10	10	.	⊠
17	-4.3	2.2	-0.6	-0.9	—	736.7	737.8	738.0	80	58	80	ESE 2	E 1	NE 1	10	1	10	.	⊠
18	-0.8	1.7	-2.0	-0.4	—	737.2	737.1	736.9	94	79	94	NW 0	NW 1	SSE 1	10	10	0	.	⊠
19	-3.6	3.2	1.5	0.4	—	738.3	739.2	740.8	95	71	76	SW 1	NW 1	ENE 1	8	3	1	.	⊠
20	-4.4	3.3	-3.0	-1.4	—	742.1	741.6	741.7	91	53	94	WNW 1	E 1	SSW 1	3	1	0	.	⊠
21	-6.8	3.5	-2.3	-1.9	—	742.0	741.1	741.2	95	49	92	WSW 1	NNW 1	SW 1	1	1	0	.	
22	-4.7	6.8	-1.7	0.1	—	740.6	739.1	738.7	88	52	93	SE 1	SSW 0	SW 1	0	0	0	.	⌣ fr.
23	-2.8	5.0	2.0	1.4	—	740.1	739.7	740.2	92	48	63	N 1	E 1	NE 1	5	0	0	.	⌣ fr.
24	-2.4	7.3	1.7	2.2	—	742.8	744.3	745.9	87	50	73	ESE 1	ESE 1	E 1	0	0	0	.	
25	-2.2	9.2	2.2	3.1	—	747.3	746.7	745.9	83	48	72	ESE 1	ESE 1	E 1	2	1	0	.	
26	-2.0	9.6	3.0	3.5	—	745.4	744.8	744.3	88	**43**	69	ESE 1	ENE 1	ESE 1	1	10	0	0.5	
27	0.6	3.7	2.8	2.4	—	744.8	745.7	748.4	90	97	89	E 1	E 1	SW 1	10●	10●	2	2.4	● 6¾–9½, 11–13½
28	-1.4	**11.4**	5.0	5.0	—	**748.8**	747.4	746.1	100	51	81	E 1	ENE 1	SE 1	9	1	5	0.1	⌣² ∽ fr.
Mittel	-1.0	4.3	1.2	1.5	—	739.6	739.6	739.7	87	68	82				6.8	5.7	5.2	Summe 23.8	

*) **13.** ✳ 21½–24 m.U., ∽ (18)

Februar 1938.
Beobachter: *Observatorium.*

Säntis

$\lambda = 9^\circ 20'$, $\beta = 47^\circ 15'$.
$H_b = 2500.1^m$, $G = -0.27$ m/m.

Tag	Lufttemperatur 7³⁰	13³⁰	21³⁰	Mittel	Abweich. vom Normalst	Luftdruck 7³⁰	13³⁰	21³⁰	Relative Feuchtigkeit 7³⁰	13³⁰	21³⁰	Windrichtung und Stärke 7³⁰	13³⁰	21³⁰	Bewölkung 7³⁰	13³⁰	21³⁰	Niederschlag	Witterung
1	-0.8	-5.2	-9.7	-7.2	1.9	557.9	557.2	555.8	94	94	93	WSW 5	W 4	W 3	4	10=	10-*	19.4	✳ 15½-n, ≡ 9-n, ⊹ n-n ✳
2	-11.6	-12.6	-13.0	-12.4	-3.3	554.6	555.9	558.6	94	91	90	W 2	W 2	WNW 1	10≡*	10≡*	10≡*	19.8	✳ ≡ n-n, ⊹ 10-16 ✳
3	-13.3	-12.4	-7.7	-11.1	-1.9	562.2	564.6	567.4	91	88	91	NW 1	WNW 2	N 2	10≡	6	10■	0.8	✳° 8¾-10 m.U., 17¼, ≡ n-n ✳
4	-7.8	-4.8	-4.0	-5.5	3.7	568.8	569.3	569.9	90	75	75	E 1	E 2	SE 1	10≡	1	0	.	≡ n-10, ⋁ I [m.U., ⊕ II ✳
5	-4.7	-2.6	-4.4	-3.9	5.3	569.5	569.8	569.3	68	65	62	S 1	WSW 1	W 1	0	0	0	.	✳
6	-3.8	-2.8	-4.6	-3.7	5.5	568.8	569.2	569.2	49	50	49	N 1	NW 1	N 2	1	0	0	.	✳
7	-5.0	-2.6	-4.8	-4.1	5.1	568.1	567.9	568.1	43	44	42	NNE 2	E 1	ENE 1	0	0	0	.	✳
8	-3.2	-1.0	-5.4	-3.2	6.0	566.4	566.5	566.0	40	41	46	E 2	SW 1	SSE 2	0	0	1	.	✳
9	-9.2	-8.6	-8.9	-8.9	0.3	564.6	564.3	563.6	84	98	98	SW 3	WNW 3	WNW 2	1	10≡	10≡*	6.0	✳ 16¼-n, ≡ 11½-n m.U. ✳
10	-10.2	-7.4	-7.0	-8.2	1.0	560.1	558.5	552.9	98	95	98	W 5	WNW 5	W 5	10≡*	10≡*	10≡*	14.6	✳ ≡ ⊹ ⸗ n-n ✳
11	-14.0	-14.6	-15.4	-14.7	-5.5	552.3	554.8	557.6	90	90	90	NE 3	NW 2	NNE 2	10≡*	10≡*	10-*	**21.6**	✳ ≡ n-n, ⊹ n-11, ⊲ 6¾ ✳
12	-16.8	-14.8	-13.0	-14.9	-5.7	556.9	553.0	548.7	90	94	90	NW 2	W 4	W 4	10≡*	10≡*	10≡*	20.6	✳ ≡ n-n, ⊹ 8-n ✳
13	-15.2	-12.4	-16.0	-14.5	-5.3	**547.7**	547.8	548.1	93	90	85	WNW 1	NW 1	NE 0	10≡*	10≡*	10≡*	6.6	✳ ≡ n-9½, 13-n ✳
14	-16.6	-16.6	**-18.2**	-17.1	-8.0	548.0	548.2	548.8	85	85	84	NE 2	NE 3	NE 1	10≡*	10≡*	10≡*	2.4	✳° ≡ n-n m.U., ⊹ n-20 ✳
15	-15.4	-12.6	-13.6	-13.9	-4.8	549.9	552.0	553.9	85	65	71	SE 2	ESE 3	ESE 3	3	2	3	.	✳
16	-13.3	-11.8	-13.6	-12.9	-3.8	554.3	555.1	556.1	81	75	84	ESE 3	SE 2	SSW 3	1	1	1	.	✳
17	-13.6	-9.2	-8.2	-10.3	-1.3	558.1	559.8	559.6	80	57	75	ESE 3	E 2	E 2	1	10	1	.	✳
18	-7.0	-5.2	-7.0	-6.4	2.6	560.4	561.1	561.0	65	56	68	ENE 2	E 2	ENE 2	7	1	0	.	✳
19	-7.2	-7.9	-6.8	-7.3	1.7	560.5	560.7	562.1	65	72	47	NE 2	ENE 2	ENE 3	3	3	0	.	✳
20	-5.4	-4.4	-7.1	-5.6	3.3	562.7	563.2	562.9	39	34	52	ENE 3	ENE 3	ENE 3	1	1	0	.	✳
21	-8.8	-6.9	-5.3	-7.0	1.9	562.5	563.1	563.7	77	55	36	ENE 3	NE 3	NE 3	1	1	0	.	⸗ a ✳
22	-5.2	-3.2	-8.2	-5.5	3.3	563.5	562.9	561.2	39	44	46	NE 2	WSW 2	WSW 4	0	0	0	.	⸗ III ✳
23	-9.2	-6.3	-5.4	-7.0	1.8	560.9	562.2	563.4	39	43	42	WNW 3	E 2	E 2	0	1	0	.	✳
24	-6.3	-6.5	-5.6	-6.1	2.6	565.0	566.3	568.1	41	50	**35**	NNE 2	W 2	NNE 1	0	0	0	.	✳
25	-4.4	-2.8	-2.7	-3.3	5.3	569.2	569.9	570.0	41	38	37	ENE 2	ENE 2	E 1	1	1	0	.	✳
26	-3.8	**1.0**	-1.0	-1.3	7.3	569.7	569.5	568.8	37	37	36	SW 1	E 1	SW 2	1	9	2	.	✳
27	-6.4	-4.6	-8.4	-6.5	2.0	567.7	567.9	569.3	98	97	94	W 3	WNW 3	WNW 2	10≡	10■*	10≡	7.0	✳ 13-20, ≡ n-n m.U. ✳
28	-10.2	-5.0	-4.0	-6.4	2.0	569.1	**570.1**	570.0	88	54	100	W 2	WSW 2	SW 3	2	2	10≡	0.4	≡ 20½-n ✳
Mittel	-9.1	-7.3	-8.2	-8.2	—	561.4	561.8	561.9	71	67	68				4.2	4.6	4.2	Summe 119.2	

Februar 1938.
Beobachter: Frl. *F. Lombardi.*

St. Gotthard (Hospiz)

$\lambda = 8^\circ 34'$, $\beta = 46^\circ 33'$,
$H_b = 2095.7^m$, $G = -0.25$ m/m.

Tag	Lufttemperatur 7³⁰	13³⁰	21³⁰	Mittel	Abweich. vom Normalst	Luftdruck 7³⁰	13³⁰	21³⁰	Relative Feuchtigkeit 7³⁰	13³⁰	21³⁰	Windrichtung und Stärke 7³⁰	13³⁰	21³⁰	Bewölkung 7³⁰	13³⁰	21³⁰	Niederschlag	Witterung
1	-6.6	-3.4	-4.8	-4.9	2.6	588.6	588.6	586.7	82	80	81	SE 0	S 0	NE 2	5	2	10■	5.2	✳ n (1./2.), ≡ 17-n ✳
2	-8.6	-9.6	-10.8	-9.7	-2.2	584.9	586.2	587.1	81	78	83	NE 1	NE 2	N 3	5	10	10*	7.5	✳ ⸗ 16½-n ✳
3	-11.4	-9.2	-14.2	-11.6	-4.1	591.6	594.7	596.5	72	75	90	N 2	N 2	N 2	5	5	5	7.7	✳
4	-8.8	-3.4	-5.0	-5.7	1.8	598.8	599.0	599.4	72	68	70	N 1	N 1	N 1	0	0	0	.	✳
5	-6.4	**1.8**	-0.6	-1.9	5.6	599.4	599.4	599.0	63	50	40	N 1	N 1	N 1	0	0	0	.	✳
6	-1.4	0.4	-4.5	-1.8	5.7	597.5	598.7	598.5	42	36	52	N 1	N 1	N 1	0	0	0	.	✳
7	-5.2	0.3	-4.8	-3.2	4.3	597.9	597.5	597.6	45	38	43	N 1	N 1	N 1	0	0	0	.	✳
8	-6.8	-0.6	-6.8	-4.7	2.8	596.7	596.8	596.8	41	64	57	N 1	S 1	S 0	0	0	0	.	✳
9	-11.2	-5.6	-7.8	-8.2	-0.8	595.2	594.9	594.6	51	49	70	S 0	NE 1	NE 1	0	2	8	.	✳
10	-7.6	-1.2	-4.8	-4.5	2.9	592.4	590.8	587.5	71	77	81	NW 1	NW 0	NW 1	10	5	10	**35.5**	✳ 20¼-n ✳
11	-11.2	-11.8	-12.2	-11.7	-4.3	581.5	582.2	586.0	90	90	93	NW 4	NW 4	NW 4	10≡	10■	10≡	33.0	✳ ⸗ ≡ n-n ✳
12	-13.8	-11.0	-10.0	-11.6	-4.2	587.0	585.3	580.6	90	90	80	NW 3	NW 3	N 2	10≡	10≡	10■	21.6	✳ ⸗ n-17, ≡ n-n ✳
13	-12.8	-11.2	-13.4	-12.5	-5.1	**577.2**	577.3	**577.2**	81	86	96	N 2	N 2	N 2	8	8	10≡	11.0	✳ ⊹ p zeitw., ≡ 15½-n ✳
14	-13.8	-12.8	-14.0	-13.5	-6.2	577.4	577.7	578.4	80	64	85	N 2	N 2	N 2	8	5	10≡	3.1	≡ 17¼-n ✳
15	**-15.8**	-10.2	-11.5	-12.5	-5.2	580.7	582.5	584.5	70	66	65	N 1	S 1	S 0	0	4	5	0.5	✳
16	-10.6	-6.8	-9.8	-9.1	-1.8	585.1	585.4	586.9	71	64	70	S 1	SE 1	SE 1	8	10*	5	0.5	✳° 10¾-14¼ ✳
17	-11.2	-5.4	-8.0	-8.2	-1.0	587.6	589.8	589.5	58	47	70	SE 1	SE 1	SW 1	2	5	10*	6.4	✳° 17½-21¾ ✳
18	-7.7	-3.8	-6.6	-6.0	1.2	589.9	590.4	591.8	58	52	71	SE 1	S 0	SW 1	3	0	5	1.1	✳° 16¾-18¾, ≡ 16½-20 ✳
19	-6.4	-3.8	-9.0	-6.4	0.7	590.3	590.1	591.9	58	55	48	N 1	N 1	N 1	5	5	0	.	✳
20	-7.8	-3.6	-3.0	-4.8	2.2	592.0	593.6	592.5	47	41	40	N 1	N 1	N 1	0	0	0	.	✳
21	-5.0	-4.0	-8.2	-5.7	1.3	591.8	592.2	592.9	44	43	48	N 2	N 1	N 1	0	0	0	.	✳
22	-3.2	-2.8	-7.4	-4.5	2.4	593.0	592.7	591.9	**34**	41	47	N 1	N 1	N 1	0	0	0	.	✳
23	-7.2	-6.2	-7.6	-7.0	-0.1	590.9	592.1	593.1	40	47	45	N 1	N 1	N 1	0	0	0	.	✳
24	-8.0	-3.8	-8.7	-6.8	0.0	594.9	595.6	598.0	42	41	47	N 1	N 1	N 1	0	0	0	.	✳
25	-7.8	-1.0	-5.2	-4.7	2.0	598.9	599.7	600.1	41	68	57	N 0	N 1	N 1	0	0	0	.	✳
26	-7.0	0.0	-5.8	-4.3	2.4	599.6	599.5	599.3	41	45	54	S 0	E 0	NE 1	0	5	0	.	✳
27	-8.2	-3.8	-6.0	-6.0	0.6	598.1	598.0	598.8	45	51	72	SE 0	NE 1	NE 1	5	10	10≡	1.2	≡ 19-n ✳
28	-8.6	-4.0	-3.6	-5.4	1.2	599.5	**600.3**	599.6	70	60	60	N 2	N 1	N 1	0	0	2	.	⊔ fr. ✳
Mittel	-8.6	-4.9	-7.6	-7.0	—	591.4	591.8	592.0	60	59	65				3.0	3.4	4.3	Summe 134.3	

$\lambda = 7^\circ 26'$, $\beta = 46^\circ 57'$,
$H_b = 572.2^m$, $G = 0.00\,^m/_m$.

Bern

März 1938.
Beobachter: *Tellur. Observatorium.*

Tag	Lufttemperatur 7³⁰	13³⁰	21³⁰	Mittel	Abweich. vom Normalst.	Luftdruck 7³⁰	13³⁰	21³⁰	Relative Feuchtigkeit 7³⁰	13³⁰	21³⁰	Windrichtung und Stärke 7³⁰		13³⁰		21³⁰		Bewölkung 7³⁰	13³⁰	21³⁰	Niederschlag	Witterung
1	0.9	9.9	7.0	5.9	4.2	720.2	717.9	716.1	86	48	74	S	0	SW	1	S	0	9	10	8	6.4	● 23–24
2	2.4	6.9	2.2	3.8	2.0	721.3	723.0	725.2	89	55	67	NE	1	NE	1	NE	0	7	3	0	.	● 0¼–4¼
3	2.0	9.5	7.8	6.4	4.5	**726.7**	726.1	726.6	76	31	60	E	1	NE	1	S	1	10	1	10	.	
4	2.0	12.0	5.5	6.5	4.4	725.6	725.5	726.0	85	46	60	NE	0	NE	2	E	1	7	3	0	.	
5	−0.9	10.8	5.7	5.2	3.0	725.0	724.3	724.0	85	46	68	E	0	NE	1	S	0	0	0	0	.	⌣ fr.
6	0.0	12.3	6.2	6.2	3.9	723.5	722.7	721.8	86	45	71	S	0	SE	1	S	0	0	0	0	.	⌣ fr.
7	1.0	12.7	7.0	6.9	4.5	720.9	719.8	719.5	86	45	59	S	0	NE	0	E	0	0	0	0	.	⌣ fr.
8	0.1	11.0	6.0	5.7	3.2	719.0	718.2	717.7	88	44	71	S	0	NE	0	S	1	0	0	0	.	⌣ fr.
9	1.0	12.6	6.4	6.7	4.0	717.7	713.3	717.1	89	44	63	S	0	NW	1	S	0	0	0	0	.	⌣ fr.
10	1.1	12.8	5.2	6.4	3.6	717.2	716.5	717.0	84	36	81	S	0	W	1	NE	1	0	0	1	.	⌣ fr.
11	2.2	11.1	6.4	6.6	3.7	717.7	717.7	718.2	93	69	77	E	1	NE	2	NE	1	8	4	0	.	△ fr.
12	0.9	7.9	4.0	4.3	1.3	719.0	718.8	720.4	88	46	40	NE	2	NE	3	NE	2	0	0	0	.	△ fr.
13	−1.4	6.5	3.0	2.7	−0.5	720.1	719.9	720.3	76	36	49	NE	2	NE	3	NE	2	0	0	0	.	⌣ fr.
14	**−2.9**	7.0	3.5	2.5	−0.8	721.4	721.5	721.4	84	46	70	SW	0	NE	1	S	0	0	0	0	.	⌣ fr.
15	−1.0	10.8	6.5	5.4	2.0	722.4	721.3	720.4	89	39	68	S	0	NW	1	S	0	0	0	0	.	⌣ fr.
16	0.0	13.0	7.3	6.8	3.2	720.6	719.5	719.3	85	**29**	64	S	0	SW	1	S	0	0	0	0	.	⌣² fr.
17	1.9	14.2	8.0	8.0	4.3	720.0	719.7	720.2	84	39	65	S	0	N	0	S	0	1	0	0	.	⌣² fr.
18	2.3	14.3	8.4	8.3	4.5	721.3	720.7	720.8	87	44	68	S	0	NE	1	S	0	0	0	0	.	
19	2.2	14.0	9.3	8.5	4.5	720.4	719.2	717.5	90	49	68	S	0	NNE	1	S	0	0	0	0	.	⌣ fr.
20	2.6	13.7	10.5	8.9	4.8	717.6	716.6	716.1	90	46	60	S	1	W	1	SW	1	0	1	10	0.0	
21	2.5	12.7	8.0	7.7	3.5	715.3	713.4	712.6	89	53	74	S	0	NW	1	W	1	1	1	0	.	
22	2.0	12.8	8.5	7.8	3.4	712.3	711.6	711.6	95	48	65	N	0	NE	0	S	0	0	0	0	.	⌣ fr.
23	2.6	13.3	8.1	8.0	3.5	712.9	712.3	713.6	89	48	68	S	0	NE	1	E	0	2	1	1	.	
24	2.5	13.3	7.8	7.9	3.3	714.7	714.4	714.7	90	54	72	E	0	NE	1	S	0	1	1	0	.	
25	2.2	14.0	9.7	8.6	3.8	714.5	712.7	710.9	94	51	65	S	0	WSW	1	SW	0	0	1	0	1.2	
26	8.2	5.0	3.0	5.4	0.5	**707.9**	710.4	713.2	89	87	91	W	1	SW	1	SW	1	10●	10	10	**11.4**	● 5¾–13¾, 20–21½ m.U.*
27	2.8	3.9	4.5	3.7	−1.3	712.9	711.8	712.7	84	87	90	WSW	1	SW	1	NW	1	10	10●	10●	5.4	●° 9–12 ztw., ● 12½–15¾, 20½–
28	5.3	9.6	6.3	7.1	1.9	715.0	717.0	718.4	91	65	85	SW	1	W	1	SE	0	10●	9	0	0.3	●sch. 1¼–8 zeitw. [21¾
29	1.5	11.0	9.0	7.2	1.9	718.7	718.2	718.4	94	55	71	S	0	NE	1	SW	0	4	7	10	.	⌣ fr.
30	6.3	13.9	10.0	10.1	4.7	718.6	718.3	718.6	89	71	76	S	0	NE	0	SW	0	7	3	0	.	
31	5.2	**15.6**	11.8	10.9	5.3	719.2	718.4	718.5	92	56	70	SE	0	NE	1	SW	0	0	1	0	.	
Mittel	1.8	11.2	6.9	6.6	—	718.7	718.1	718.4	88	50	69							2.8	2.1	1.9	24.7	

$\lambda = 6^\circ 57'$, $\beta = 47^\circ 0'$,
$H_b = 487.3^m$, $G = 0.02\,^m/_m$.

Neuchâtel

März 1938.
Beobachter: *Observatorium.*

1	1.1	8.9	6.3	5.4	3.0	728.3	725.6	724.2	95	59	80	W	0	SW	1	W	1	9	10	8	0.7	● n (1./2.)
2	1.7	9.8	4.2	5.2	2.7	729.4	731.2	733.3	91	50	68	NE	0	E	2	NE	1	1	2	0	.	
3	3.0	11.9	8.2	7.7	5.0	**734.9**	734.2	734.4	76	41	58	NE	0	SE	0	SW	1	9	1	3	.	
4	4.0	15.2	6.6	8.6	5.8	733.5	733.4	733.9	76	33	41	E	1	E	2	N	1	8	1	0	.	
5	1.3	14.7	7.6	7.9	5.0	733.6	732.3	732.1	82	**29**	58	NW	0	E	2	NW	1	0	0	0	.	
6	0.3	11.5	6.6	6.1	3.0	731.7	730.9	729.6	94	51	66	NE	1	E	1	E	0	0	0	0	.	⌣ fr.
7	0.6	13.1	9.1	7.6	4.4	729.2	727.8	727.2	92	44	49	NE	0	E	1	N	0	0	0	0	.	⌣ fr.
8	1.1	11.9	6.1	6.4	3.1	727.1	726.2	725.4	80	50	69	NE	0	SE	1	SE	0	0	0	0	.	⌣ fr.
9	0.4	12.6	7.0	6.7	3.2	725.8	725.1	724.6	89	46	51	SE	0	SE	0	NE	0	0	0	0	.	⌣ fr.
10	0.9	12.9	4.8	6.2	2.6	725.2	724.5	725.4	87	41	68	E	0	E	1	NW	1	0	0	4	.	⌣ fr.
11	4.3	14.0	7.4	8.6	4.9	725.8	725.5	726.0	87	53	68	NE	1	NE	1	NE	1	9	1	1	.	
12	3.2	9.9	4.9	6.0	2.1	726.9	726.7	728.4	69	40	39	E	3	E	3	E	2	0	0	0	.	
13	3.0	9.0	4.0	5.3	1.3	728.1	727.8	728.4	45	31	38	E	3	E	4	E	3	0	0	0	.	
14	**−1.8**	8.5	3.0	3.2	−0.9	729.8	729.8	729.4	74	43	72	NE	0	SE	1	NW	0	0	0	0	.	
15	−0.8	11.5	6.3	5.7	1.4	730.8	729.5	728.3	91	46	64	SE	0	S	1	SW	0	0	0	0	.	⌣ fr.
16	0.4	12.7	7.9	7.0	2.6	728.7	727.6	726.9	89	36	61	E	0	S	1	SW	0	1	1	0	.	⌣ fr.
17	1.8	14.1	14.0	10.0	5.5	728.1	727.8	728.0	91	40	38	SW	0	SE	0	NW	2	1	0	0	.	
18	3.0	15.2	8.7	9.0	4.3	729.5	728.9	728.6	91	43	65	SE	0	S	0	NW	0	0	0	0	.	
19	3.2	15.3	9.3	9.3	4.5	728.4	727.2	725.4	93	45	63	E	0	SE	0	NE	0	0	0	0	.	
20	3.7	14.5	8.5	8.9	4.0	725.5	724.5	724.1	93	43	66	NE	0	W	1	NE	0	1	4	0	.	
21	3.0	13.8	8.0	8.3	3.2	723.3	721.6	720.5	91	48	60	E	0	S	1	NE	0	0	0	0	.	
22	3.5	14.6	8.8	9.0	3.8	720.7	719.7	719.6	92	47	60	E	0	SE	1	NW	0	0	1	0	.	
23	3.2	16.4	9.4	9.7	4.4	721.3	720.5	721.4	90	45	63	NE	0	S	1	N	0	2	5	0	.	
24	3.9	15.3	9.2	9.5	4.0	723.1	722.7	722.5	90	48	66	N	0	S	1	NW	1	3	2	0	.	
25	3.8	15.8	8.1	9.2	3.6	722.6	720.8	718.9	93	47	69	NE	0	SW	1	NW	1	0	2	0	.	●°sch. 17¾
26	8.4	5.7	3.8	6.0	0.3	**716.0**	718.5	721.3	76	58	82	W	1	NW	1	SW	1	10	9	8	1.2	● 9–11, ●sch. 19
27	3.9	3.6	4.0	3.8	−2.1	721.1	720.3	721.1	60	85	89	W	1	W	3	W	4	10	10●	10●	**14.3**	●tr. a, ● 12½–n
28	5.5	7.2	5.9	6.2	0.2	723.4	725.3	726.2	97	89	87	NW	1	W	1	W	0	10●	10	0	1.6	● n–a
29	2.2	12.6	9.8	8.2	2.1	726.7	726.1	726.2	98	60	59	NE	0	S	1	NW	1	2	8	7	.	
30	6.5	15.4	11.9	11.3	5.0	726.8	726.1	726.4	87	50	62	NE	0	S	1	NW	1	9	2	0	.	
31	6.3	**17.7**	12.4	12.1	5.7	727.3	726.4	726.4	88	51	72	NE	0	S	1	NW	1	0	1	0	.	
Mittel	2.7	12.4	7.5	7.5	—	726.9	726.3	726.3	85	48	63							2.7	2.3	1.3	17.8	

März 1938.
Beobachter: Frl. *H. Nager.*

Altdorf

$\lambda = 8° 39'$, $\beta = 46° 53'$,
$H_b = 456.3^m$, $G = -0.05\,^m/_m$.

Tag	Lufttemperatur 7³⁰	13³⁰	21³⁰	Mittel	Abweich. vom Normalst	Luftdruck 7³⁰	13³⁰	21³⁰	Relative Feuchtigkeit 7³⁰	13³⁰	21³⁰	Windrichtung und Stärke 7³⁰	13³⁰	21³⁰	Bewölkung 7³⁰	13³⁰	21³⁰	Niederschlag	Witterung
1	1.3	7.2	4.8	4.4	1.3	730.7	728.3	727.2	84	58	72	E 0	NW 0	NW 0	5	10	10	5.3	⊠
2	3.4	6.6	1.1	3.7	0.4	732.8	734.2	736.9	96	62	74	N 0	NW 0	E 0	10	3	0	.	● n–7 ⊠
3	-2.2	8.2	5.1	5.2	1.8	737.9	737.2	**738.4**	80	46	76	W 0	W 0	NW 0	10	3	8	.	
4	1.7	9.7	3.0	4.8	1.3	737.8	737.0	738.0	92	47	65	E 0	NW 0	E 0	7	4	0	.	
5	−0.5	8.8	2.5	3.6	0.0	737.4	736.0	735.4	80	42	70	SW 0	NW 0	NE 0	0	0	0	.	
6	−0.1	9.9	4.3	4.7	0.9	734.6	733.4	733.4	84	44	66	W 0	NW 0	NW 0	2	0	0	.	
7	1.1	11.4	6.3	6.3	2.4	731.9	730.3	730.8	73	37	50	S 0	NW 0	SE 0	0	0	0	.	
8	0.1	9.0	4.4	4.5	0.5	730.1	728.9	728.6	88	45	62	S 0	NW 0	SE 0	0	0	0	.	
9	0.7	11.3	6.0	6.0	1.9	728.5	727.2	728.1	86	46	55	S 0	NW 0	SE 0	0	0	0	.	
10	1.3	11.1	6.4	6.3	2.0	727.9	727.0	728.3	95	43	79	SE 0	N 0	NW 0	0	0	9	.	
11	5.3	10.3	5.7	7.1	2.7	728.9	728.8	729.0	94	60	90	E 0	NW 0	NW 0	10	8	9	.	
12	5.2	8.7	1.8	5.2	0.7	730.8	730.5	732.2	100	52	65	NW 0	NW 0	N 0	10	3	0	.	
13	−1.1	6.8	−0.8	1.6	−3.0	731.8	731.5	731.6	84	40	65	E 0	NW 0–1	SE 0	0	0	0	.	
14	**-2.9**	7.3	1.5	2.0	−2.8	732.3	732.3	733.0	81	49	65	SE 0	NW 0–1	SE 0	0	0	0	.	⊔ fr.
15	−1.0	10.9	5.2	5.0	0.1	733.2	731.2	731.8	75	32	48	NE 0	SE 0	SE 0	0	0	0	.	
16	1.1	13.6	8.0	7.6	2.6	731.3	729.5	730.4	67	30	38	E 0	NW 0	SE 0	0	0	0	.	
17	4.2	14.5	7.5	8.7	3.6	730.9	730.0	731.7	64	36	50	SW 0	NW 0	E 0	2	2	0	.	
18	3.1	13.3	8.1	8.2	3.0	732.4	731.2	732.0	78	44	55	E 0	NW 0	SE 0	0	0	0	.	
19	2.0	12.9	6.8	7.2	1.8	731.1	729.5	728.6	84	43	66	S 0	N 0	SE 0	1	0	0	.	
20	3.8	16.2	11.3	10.4	4.9	728.0	726.0	726.9	91	39	35	E 0	NW 0–1	S 0–1	3	2	0	.	
21	4.8	11.0	13.4	9.7	4.1	725.7	723.6	723.0	74	54	30	NW 0	NW 0	SE 0–1	8	7	4	.	
22	5.0	**16.9**	11.0	11.0	5.3	723.2	721.8	722.4	72	**26**	35	N 0	SE 1	SE 1	3	2	0	.	
23	4.0	13.4	8.0	8.5	2.6	724.1	722.6	724.3	78	45	65	NW 0	NW 0	NW 0	4	4	0	.	
24	3.8	12.6	9.2	8.5	2.5	725.3	724.6	725.6	88	51	54	S 0	NW 0–1	SE 0	2	3	0	.	
25	3.7	14.2	9.1	9.0	2.9	724.9	722.8	721.1	96	42	66	W 0	NW 0	NW 0	0	6	8	.	
26	7.5	4.6	4.2	5.4	−0.8	**717.4**	720.4	723.2	79	94	83	NW 0	NW 1	NW 0	10	10●	10	6.3	● 10¼–p
27	3.2	11.8	1.7	5.6	−0.8	723.2	721.7	722.0	93	96	100	W 0	SW 0	W 0	10	10●	10●	**29.6**	● ✳ n–n m.U.
28	5.8	10.4	7.4	7.9	1.4	723.7	727.3	729.0	76	47	75	NW 3–4	NW 3	NW 0	10●	10	10	5.5	● ǀ
29	5.4	12.1	8.9	8.8	2.2	729.2	728.2	729.2	94	47	77	W 0	NW 0	NW 0	10	6	10	.	
30	7.3	13.9	9.6	10.3	3.6	729.9	728.7	729.6	95	47	75	W 0	NW 0	NW 0	10	6	7	.	
31	8.2	16.2	10.3	11.6	4.7	730.6	728.6	729.8	86	49	60	E 0	NW 0	E 0	8	7	0	.	
Mittel	2.9	11.1	6.2	6.7	—	729.6	728.7	729.4	84	48	63				4.4	3.4	3.1	46.7	

März 1938.
Beobachter: *Observatorium.*

Genf

$\lambda = 6° 9'$, $\beta = 46° 12'$,
$H_b = 405.0^m$, $G = -0.03\,^m/_m$.

Tag	Lufttemperatur 7³⁰	13³⁰	21³⁰	Mittel	Abweich. vom Normalst	Luftdruck 7³⁰	13³⁰	21³⁰	Relative Feuchtigkeit 7³⁰	13³⁰	21³⁰	Windrichtung und Stärke 7³⁰	13³⁰	21³⁰	Bewölkung 7³⁰	13³⁰	21³⁰	Niederschlag	Witterung
1	2.2	13.0	5.8	7.0	3.7	735.9	733.0	731.8	85	51	73	NE 0	E 0	NE 0	10	9	9	1.8	
2	4.8	8.6	5.7	6.4	3.0	735.9	737.3	739.2	81	55	56	NE 1	NNE 2	NNE 1	1	0	0	.	● seit 2
3	1.1	8.8	7.8	5.9	2.4	**742.0**	740.9	740.4	83	46	59	E 0	NNE 1	NNE 2	1	2	1	.	
4	6.3	14.0	11.0	10.4	6.7	739.9	739.1	739.9	68	30	41	NE 1	NNE 2	NNE 0	8	0	0	.	
5	1.6	11.4	6.6	6.5	2.7	740.7	739.7	739.2	78	41	57	E 0	NNE 1	NE 0	0	0	0	.	
6	0.4	10.0	6.4	5.6	1.7	739.4	738.2	737.4	92	47	70	NE 0	NNE 0	E 0	0	0	0	.	⊔ fr.
7	0.6	11.6	7.0	6.4	2.4	736.3	734.5	733.8	88	43	57	E 0	NNE 1	NE 0	0	0	0	.	⊔ fr.
8	1.0	11.0	7.4	6.5	2.4	734.4	733.5	733.0	81	43	39	E 0	NNE 1	NE 0	0	0	0	.	⊔ fr.
9	0.7	8.5	6.8	5.3	1.0	733.3	732.4	732.2	86	66	62	E 0	NNE 1	NE 0	0	0	0	.	⊔ fr.
10	1.0	11.3	6.0	6.1	1.7	732.7	731.6	732.2	83	49	61	E 0	NNE 1	SW 0	0	0	0	.	⊔ fr.
11	3.6	11.5	10.2	8.4	3.9	732.8	731.6	732.3	87	64	64	ENE 0	NNE 1	NNE 1	10	0	0	.	
12	4.8	9.5	7.2	7.2	2.6	732.9	732.1	733.4	71	47	**29**	NE 1	NNE 2	NNE 2	0	0	0	.	
13	2.1	8.9	5.8	5.6	0.9	734.9	734.0	734.9	62	34	43	NNE 1	NNE 2	NNE 1	0	0	0	.	
14	**-0.8**	7.3	4.2	3.6	−1.3	737.5	736.8	736.7	81	54	62	E 0	NNE 1	NNE 1	0	0	0	.	
15	−0.5	8.8	6.0	4.8	−0.2	738.3	736.8	735.7	87	61	67	E 0	NNE 1	NNE 0	0	0	0		
16	0.0	10.6	6.7	5.8	0.7	736.1	734.7	734.4	81	48	71	N 0	NNE 1	NNE 0	0	0	0	.	
17	1.7	11.8	9.3	7.6	2.4	735.5	734.9	734.9	78	41	56	NW 0	NNE 1	E 0	0	0	0	.	
18	2.8	13.0	9.7	8.5	3.2	736.8	736.0	735.5	83	36	41	E 0	NNE 1	NNE 0	0	0	0	.	
19	3.0	13.0	11.0	9.0	3.5	735.7	734.4	732.8	83	47	30	NNW 0	NNE 1	NNE 0	0	0	0	.	
20	6.0	18.0	11.9	12.0	6.4	733.0	731.5	731.2	70	33	33	E 0	SSW 1	SSW 1	9	0	3	.	●°sch. 18½
21	4.2	16.0	10.0	10.1	4.4	730.6	728.5	728.1	83	38	65	E 0	NNE 1	NNE 0	0	0	0	.	
22	3.8	12.2	11.5	9.2	3.4	728.0	726.8	726.7	83	54	49	NE 1	NNE 1	SSW 0	0	0	1	.	
23	4.0	14.0	10.5	9.5	3.6	728.5	727.5	728.5	83	44	55	E 0	NNE 1	NE 0	0	0	0	.	
24	4.3	12.9	10.2	9.1	3.0	730.3	729.7	729.9	81	49	57	E 0	NNE 1	E 0	9	1	0	.	
25	4.5	**18.2**	11.3	11.3	5.1	730.0	727.8	726.8	82	41	50	E 0	S 0	NE 0	0	2	4	.	
26	10.8	6.8	6.5	8.0	1.7	**724.8**	726.7	729.1	63	85	70	SSW 1	NE 1	E 0	10	9	10	**3.3**	● 8¼–a
27	3.8	7.4	4.2	5.1	−1.3	729.6	729.2	730.6	76	61	90	E 0	SW 1	NNE 0	10	10●	10●	1.2	● 13½–n m.U.
28	5.7	9.4	7.2	7.4	0.9	731.6	732.6	732.3	91	73	75	NNE 0	NNE 1	NNE 1	9	10	0	.	
29	3.2	12.0	10.0	8.4	1.7	733.9	733.1	733.2	90	54	62	E 0	NNE 1	NE 1	0	0	3	.	
30	5.0	13.2	10.8	9.7	2.9	734.2	733.0	733.5	84	54	54	E 0	NNE 1	NE 1	9	9	0	.	
31	5.4	14.9	13.2	11.2	4.3	734.4	733.5	733.3	84	55	52	E 1	NNE 1	N 0	0	0	0	.	
Mittel	3.1	11.5	8.3	7.6	—	734.2	733.3	733.3	81	50	56				2.8	1.7	1.3	6.3	

$\lambda = 8° 33'$, $\beta = 47° 23'$,
$H_b = 493.2^m$, $G = 0.03$ m/m.

Zürich

März 1938.
Beobachter: *Meteorol. Zentralanstalt.*

Tag	Lufttemperatur 7³⁰	13³⁰	21³⁰	Mittel	Abweich. vom Normalst	Luftdruck 7³⁰	13³⁰	21³⁰	Relative Feuchtigkeit 7³⁰	13³⁰	21³⁰	Windrichtung und Stärke 7³⁰	13³⁰	21³⁰	Bewölkung 7³⁰	13³⁰	21³⁰	Niederschlag	Witterung
1	3.1	10.7	9.2	7.7	5.4	726.8	724.2	723.0	83	44	57	SSE 0	SSW 1	NW 1	9	10	9	7.7	● 23½-n
2	2.2	7.3	2.8	4.1	1.7	729.0	730.8	732.8	100	48	72	SE 0	N 0	SE 1	4	4	0	0.1	● n-4½, ≡ 8¾-10
3	3.0	12.4	7.6	7.7	5.2	**734.0**	733.3	733.9	75	34	55	SSE 0	W 1	SE 1	10	3	10		
4	2.4	13.5	5.9	7.3	4.6	733.7	733.6	733.9	90	40	64	ESE 1	SSW 0	SE 1	7	5	0	.	
5	0.4	14.4	6.3	7.0	4.2	733.7	732.0	731.3	92	33	65	SE 0	NE 2	ESE 1	1	0	0	.	
6	0.5	14.9	6.8	7.4	4.5	730.9	729.8	728.7	95	34	60	ENE 0	S 0	SE 0	1	0	0	.	⊔ fr.
7	1.6	16.3	7.3	8.4	5.4	728.0	726.7	727.1	90	33	44	SE 0	SW 1	NNE 0	1	1	0	.	⊔ fr.
8	1.4	14.1	7.1	7.5	4.4	726.5	725.1	724.7	93	38	64	NNE 0	WSW 0	SE 1	0	0	0	.	⊔ fr.
9	2.7	16.5	7.6	8.9	5.6	724.6	723.6	723.7	83	34	60	SE 1	SSW 1	S 1	3	1	0	.	
10	2.4	12.5	6.5	7.1	3.7	724.1	723.6	725.0	85	49	75	SE 0	WSW 1	NW 1	0	1	10	.	⊔³ fr.
11	5.3	9.5	6.0	6.9	3.4	625.3	725.7	726.3	85	70	95	SW 0	WNW 0	NE 0	10	10	7	0.1	●° 9-9½
12	1.5	10.4	3.5	5.1	1.5	627.9	727.9	728.9	78	**30**	46	NE 1	NE 2	E 1	1	1	0	.	
13	-0.8	9.4	2.9	3.8	0.0	629.0	728.6	728.6	70	**30**	45	NE 0	NE 2	NE 1	0	0	0	.	
14	**-2.2**	10.0	4.0	3.9	0.0	628.9	728.8	728.7	73	38	60	NW 0	NW 1	SE 1	0	0	0	.	⊔° fr.
15	-0.4	16.1	7.8	7.8	3.8	629.8	728.3	727.6	92	31	54	SE 0	S 1	SE 1	0	0	0	.	
16	2.2	17.6	8.6	9.5	5.3	727.5	726.3	726.0	74	**30**	54	SE 1	SSW 1	SSE 1	1	0	0	.	
17	4.9	17.8	10.2	11.0	6.7	727.0	726.8	727.4	59	34	51	SE 0	S 1	SE 1	3	3	2	.	
18	3.2	17.6	9.6	10.1	5.7	728.8	727.7	727.9	92	33	61	SE 0	NW 1	SE 1	1	0	0	.	
19	3.3	17.8	9.7	10.3	5.7	727.6	726.1	724.7	96	37	63	SE 0	NW 1	SE 1	1	0	0	.	⊔° fr.
20	4.1	18.2	9.8	10.7	6.0	724.5	723.3	723.1	95	35	62	SE 0	SW 1	S 0	0	0	0	.	△ fr.
21	4.9	14.9	8.6	9.5	4.7	722.6	720.4	719.9	84	41	68	SE 0	SSW 1	SE 1	7	7	0	.	
22	4.0	16.9	9.8	10.2	5.2	719.9	718.9	718.9	95	34	50	SSE 1	NE 1	NNE 0	3	2	0	.	
23	4.4	16.3	9.5	10.0	4.9	720.4	719.6	721.0	88	40	66	ESE 0	NNW 1	NW 0	5	3	0	.	
24	4.6	17.0	9.7	10.4	5.2	722.4	721.6	721.9	97	39	60	N 0	E 1	N 0	0	1	0	.	
25	3.8	18.3	12.5	11.5	6.1	721.5	719.4	717.4	95	36	46	NE 0	WSW 1	SW 2	0	1	9	0.1	
26	9.3	4.2	2.7	5.4	-0.1	**714.3**	717.5	720.1	74	86	90	W 2	W 2	WNW 1	10●	10	10●	8.0	● 7-11¾, 19¼-21¼ m.U.
27	3.8	2.9	4.1	3.6	-2.1	719.8	718.2	718.6	71	91	91	WSW 2	WSW 3	WSW 2	10	10*●	10	**14.4**	●*° 11½-16, 18¾-22 ztw.
28	4.6	6.9	7.1	6.2	0.4	721.9	724.0	725.2	98	95	81	NNW 1	SE 0	SSE 1	10●	7	10	7.2	● 0¾-10¼ m.U., ●sch. 13
29	4.8	11.2	9.1	8.4	2.4	725.5	725.0	725.3	100	56	70	SE 0	W 2	W 0	10	7	10	.	
30	7.2	16.0	11.5	11.6	5.5	726.1	725.0	725.8	85	46	70	SSE 0	SSW 1	SSE 1	9	4	10	.	
31	9.0	**19.5**	12.2	13.6	7.3	726.7	725.3	725.7	86	39	72	S 0	SW 1	S 0	9	3	0	.	
																		Summe	
Mittel	3.3	13.6	7.6	8.2	—	726.1	725.4	725.6	86	44	64				4.1	3.0	3.1	37.6	

$\lambda = 8° 30'$, $\beta = 47° 3'$,
$H_b = 1787.3^m$, $G = -0.20$ m/m.

Rigi-Kulm

März 1938.
Beobachter: *J. Steiner.*

Tag	7³⁰	13³⁰	21³⁰	Mittel	Abweich. vom Normalst	7³⁰	13³⁰	21³⁰	7³⁰	13³⁰	21³⁰	7³⁰	13³⁰	21³⁰	7³⁰	13³⁰	21³⁰	Niederschlag	Witterung
1	1.0	4.4	1.0	2.1	6.0	620.4	618.9	617.7	69	52	86	WSW 1	SW 1	W 2-3	3	9	10	26.3	✳ n (1./2.) ⊠
2	-5.0	-4.0	-6.0	-5.0	-1.2	619.9	621.8	623.9	90	90	58	ESE 1	S 0	NW 1	10≡	2	0	.	≡ I ⊠
3	-2.4	1.4	-0.5	-0.5	3.3	625.1	625.4	626.3	48	50	76	NW 1	W 0	NNW 1	10	2	8	.	⊠
4	1.3	3.8	2.0	2.4	6.1	625.7	626.6	**627.0**	22	18	20	ENE 2	E 1	E 1	4	2	0	.	⊠
5	2.0	3.7	3.5	3.1	6.7	625.6	625.3	624.8	24	34	30	E 1	E 1	E 1	1	0	0	.	⊠
6	3.0	5.0	3.6	3.9	7.5	624.0	623.4	623.4	40	39	43	W 1	W 0	W 1	0	0	0	.	⊠
7	1.4	3.0	1.0	1.8	5.3	621.7	621.4	621.1	68	56	48	W 1	WNW 1	W 1	1	1	1	.	⊠
8	1.0	5.6	2.6	3.1	6.5	619.6	619.8	619.6	48	42	62	E 1	S 0	W 1	0	0	0	.	⊠
9	2.0	4.1	2.4	2.8	6.2	618.6	618.9	618.8	53	58	49	WSW 1	SW 1	W 1-2	1	1	0	.	⊠
10	1.2	3.8	2.3	2.4	5.7	618.2	618.5	618.3	58	58	62	WSW 1	SW 1	NW 0	0	1	8	.	⊠
11	-0.4	2.1	-1.8	0.0	3.2	617.9	618.9	619.2	92	92	86	NE 1	ESE 1	E 1	10≡	9	3	.	≡ n-10 ⊠
12	-3.4	-3.6	-6.4	-4.5	-1.3	618.8	619.1	619.5	86	58	70	ESE 1	E 2	E 1	0	0	0	.	⋁ fr. ⊠
13	-5.3	-3.0	-3.2	-3.8	-0.7	618.7	619.1	619.3	30	31	33	E 2	E 1	E 2	0	0	0	.	⊠
14	1.0	1.4	-0.4	0.7	3.7	620.0	620.9	621.7	12	48	50	ENE 1	SSE 1	SE 1	0	0	0	.	⊠
15	0.4	3.0	1.1	1.5	4.5	622.1	622.1	621.7	45	51	59	W 2	S 1	W 2	0	0	0	.	⊠
16	1.0	3.5	2.4	2.3	5.2	621.0	621.0	620.7	48	50	56	WSW 1	WSW 1	W 2	0	0	0	.	⊠
17	1.2	4.2	2.6	2.7	5.5	620.9	621.8	622.2	45	56	64	WSW 1	W 1	W 1	2	2	1	.	⊠
18	1.6	4.2	1.4	2.4	5.2	622.2	622.3	622.7	76	67	82	E 1	SE 1	SE 1	1	0	0	.	⊠
19	2.4	5.0	3.6	3.7	6.4	621.2	621.4	620.0	76	67	62	E 1	SE 1	SE 1-2	0	0	0	.	⋁ fr. ⊠
20	2.7	5.8	2.4	3.6	6.2	619.0	618.6	618.6	78	56	58	SW 1	SW 1	SE 1	0	2	1	.	⊠
21	1.1	4.8	2.0	2.6	5.2	616.8	616.0	615.3	60	68	48	ESE 1	SSE 3	SE 2	6	7	2	.	⊠
22	1.0	4.1	1.4	2.2	4.7	614.2	614.3	614.4	56	51	56	SE 3	S 1	SE 1	1	1	1	.	⊠
23	1.0	4.1	1.1	2.1	4.5	614.8	614.9	615.9	62	67	92	E 0	SE 1	SE 1	3	2	7	.	⊠
24	1.2	4.3	1.5	2.3	4.7	616.3	616.7	616.3	90	74	65	E 1	ESE 0	SE 1	1	1	0	.	⊠
25	1.5	3.4	1.4	2.1	4.4	615.8	615.4	613.7	49	75	84	W 0	SW 1	W 1-2	0	3	5	.	⊠
26	-0.7	-5.2	-6.4	-4.1	-1.9	**609.5**	610.1	611.8	96	92	96	W 3	W 1	NW 3	10≡	10*	10*	**32.1**	✳ 7½-n, ≡ I ⊠
27	**-7.0**	-4.6	-3.5	-5.0	-2.8	611.6	610.1	611.0	94	95	96	W 2	W 2	W 3-4	10	10*	10*	24.2	✳ 10½-n ⊠
28	-2.8	-2.1	-2.0	-2.3	-0.2	613.9	616.6	618.6	96	97	96	W 3	WSW 2	W 1	10*	10≡	10≡	1.7	✳ n-9, ≡ II, III ⊠
29	-2.3	0.0	-1.0	-1.1	0.9	618.4	618.6	619.1	96	80	96	SW 1	SW 1	SW 1	10	10	10≡	.	≡ 11-n zeitw. ⊠
30	-1.5	3.1	1.6	1.1	3.1	619.2	619.6	620.4	98	71	96	NW 1	SW 1	W 1	9	5	10	.	⊠
31	1.7	**8.5**	5.8	5.3	7.2	620.5	621.4	621.8	72	47	38	WSW 1	SSE 1	SW 1	1	1	1	.	⊠
																		Summe	
Mittel	0.0	2.4	0.5	1.0	—	619.1	619.3	619.5	64	61	65				3.4	2.9	3.2	84.3	

März 1938.
Beobachter: *P. Nogler.*

Bevers

$\lambda = 9^h\,53'$, $\beta = 46^\circ\,33'$,
$H_b =$ ca. 1710^m, $G = -0.23$ m/m.

Tag	Lufttemperatur 7³⁰	13³⁰	21³⁰	Mittel	Abweich. vom Normalst.	Luftdruck 7³⁰	13³⁰	21³⁰	Relative Feuchtigkeit 7³⁰	13³⁰	21³⁰	Windrichtung und Stärke 7³⁰	13³⁰	21³⁰	Bewölkung 7³⁰	13³⁰	21³⁰	Niederschlag	Witterung
1	-2.8	6.8	1.0	1.7	7.9	626.9	624.5	623.3	92	55	95	W 1	SW 1	W 0	10	10	10	0.0	∽ fr., abds. ✳
2	-1.0	0.9	-6.8	-2.3	3.8	624.8	626.5	629.5	70	37	70	E 1-2	NE 2	NE 0	10	1	0	.	∽ fr., abds. ✳
3	-3.2	6.4	3.6	2.3	8.2	629.8	628.9	629.6	75	51	65	NE 1	NE 2	NE 3	10	8	10	.	∽ fr., abds. ✳
4	-1.6	5.3	-5.6	-0.6	5.2	632.3	631.8	632.8	85	**35**	71	E 2	N 2-3	NW 0	10	8	0	.	✳
5	-3.3	3.9	-5.2	-3.5	2.1	**632.9**	632.4	632.4	86	45	77	E 1	SW 0	W 0	5	0	0	.	✳
6	-9.8	6.9	-4.9	-2.6	2.9	631.1	629.5	629.7	87	37	79	NW 0	N 0	NW 1	0	0	0	.	✳
7	-10.1	5.9	-4.6	-2.9	2.4	627.8	626.5	627.1	89	37	76	N 0	W 1	W 0	0	3	0	.	✳
8	-10.0	4.4	-4.4	-3.3	1.9	626.7	625.7	625.9	95	47	81	NE 0	WNW 0	W 0	0	0	0	.	✳
9	-9.8	6.3	-4.3	-2.6	2.4	626.3	624.2	625.2	86	43	81	SW 0	W 0	NW 1	0	2	0	.	✳
10	-9.1	7.4	-2.3	-1.3	3.6	624.7	623.5	624.1	91	54	76	SW 1	NW 2	W 0	0	1	8	.	✳
11	-3.0	4.8	-0.8	0.3	5.0	623.3	624.0	624.8	90	63	65	SW 0	S 3	SW 0	10	10	0	.	✳
12	-8.7	2.5	-4.8	-3.7	0.9	624.8	624.1	625.4	95	42	66	SW 0	NE 1	NW 1	0	0	0	.	✳
13	-10.3	-0.1	-6.8	-5.7	-1.3	625.2	624.5	626.6	92	49	63	SW 1	NE 2	NE 2	0	0	0	.	✳
14	**-14.1**	3.0	-6.2	-5.8	-1.5	627.7	626.6	628.4	89	42	75	N 0	NE 1	NW 0	0	0	0	.	✳
15	-10.3	6.0	-5.0	-3.1	1.0	628.9	627.8	628.3	96	36	75	W 0	SW 0	SW 0	0	0	0	.	✳
16	-10.2	8.7	-5.1	-2.2	1.8	626.7	626.2	627.3	87	36	79	SW 0	SW 1	SW 0	0	0	0	.	✳
17	-9.6	7.1	-4.1	-2.2	1.7	627.8	626.9	628.6	93	42	89	SW 1	W 0	W 0	0	0	0	.	✳
18	-7.8	7.3	-2.2	-0.9	2.8	629.0	628.2	629.0	94	**35**	79	SSW 1	SW 0	NW 1	7	0	0	.	✳
19	-7.1	8.2	0.2	0.4	4.0	628.8	627.6	627.5	93	46	79	W 0	W 1	W 1	0	0	0	.	✳
20	-2.8	7.0	0.0	1.4	4.8	626.7	625.5	625.6	96	53	90	SW 0	SW 0	S 0	4	8	0	.	✳
21	-4.6	8.1	1.4	1.6	4.9	624.4	622.7	622.8	100	38	89	SW 0	SW 0-1	W 0	3	6	10	.	✳
22	-0.8	6.1	-1.0	1.4	4.5	621.7	622.2	621.4	85	52	96	W 0	SW 1	SW 0	8	8	4	.	✳
23	-2.8	7.4	0.1	1.6	4.6	621.4	620.8	622.4	100	44	97	SSW 0	SW 2	W 0	8	6	0	.	✳
24	-5.4	7.0	-2.5	-0.3	2.5	623.2	622.3	623.7	100	51	100	SW 0	S 2	SW 0	4	5	0	.	✳
25	-5.3	7.4	0.0	0.7	3.4	623.2	621.2	620.3	100	50	93	W 0	S 2-3	W 2	3	0	5	.	✳
26	1.5	0.3	-2.8	-0.3	2.2	616.8	616.6	617.4	90	87	60	W 0	SW 1-3	S 0	10	10*	10	2.6	✳ 14-18 ✳
27	-2.6	-1.2	-2.1	-2.0	0.4	617.2	**615.8**	616.3	50	93	100	NW 1	N 2	N 1	10	10*	10*	**18.0**	✳ p-n ✳
28	-1.2	4.2	0.6	1.2	3.4	617.2	620.9	623.1	98	52	70	S 1	NW 2	N 0-1	10*	8	0	2.4	✳ n-10 ✳
29	0.0	4.6	0.6	1.7	3.8	623.9	624.1	624.8	89	61	85	S 1	SW 2	SW 2	6	10*	4	0.1	✳ II ✳
30	-2.7	7.2	2.3	2.3	4.2	625.3	624.7	625.6	91	48	80	NW 1	S 2	SW 1	10*	5	0	0.0	✳ I ✳
31	3.7	**10.3**	0.6	4.9	6.7	626.1	626.7	627.8	78	37	85	NW 1	W 2	W 0	10	3	0	.	✳
Mittel	-5.5	5.5	-2.3	-0.8	—	625.6	624.9	625.7	89	48	80				4.8	3.9	2.3	Summe 23.1	

März 1938.
Beobachter: *Kapuzinerkloster.*

Sitten

$\lambda = 7^\circ\,21'$, $\beta = 46^\circ\,14'$,
$H_b = 548.6^m$, $G = -0.11$ m/m.

Tag	7³⁰	13³⁰	21³⁰	Mittel	Abweich. vom Normalst.	7³⁰	13³⁰	21³⁰	7³⁰	13³⁰	21³⁰	7³⁰	13³⁰	21³⁰	7³⁰	13³⁰	21³⁰	Niederschlag	Witterung
1	2.8	9.7	6.8	6.4	3.1	721.4	718.4	716.7	75	45	64	ENE 1	ENE 1	NE 2	5	5	0	0.3	
2	5.1	10.6	5.0	6.7	3.3	719.2	720.8	724.3	89	45	57	W 1	SW 2	W 1	6	3	0	.	
3	0.8	9.4	7.3	5.8	2.2	**726.9**	725.4	726.1	78	44	59	N 1	N 0	N 1	8	5	5		
4	4.2	13.4	8.1	8.6	4.9	725.1	724.4	725.8	77	43	55	NE 1	NE 1	NE 2	10	2	0	0.0	
5	1.9	14.6	8.6	8.4	4.6	726.1	724.9	724.7	74	34	55	NE 1	NE 1	NE 1	0	0	0	0.0	⊔ fr.
6	2.9	13.5	9.0	8.5	4.5	725.0	723.0	722.4	74	35	49	NE 1	NE 1	NE 2	0	0	0	.	⊔ fr.
7	1.7	12.8	8.5	7.7	3.6	722.3	719.9	719.3	74	38	49	NE 1	NE 1	NE 2	0	0	0	.	
8	2.2	13.6	8.3	8.0	3.7	720.0	717.9	718.4	75	37	53	NE 1	NE 1	NE 1	0	0	0	.	
9	2.2	14.2	8.8	8.4	4.0	719.3	718.0	717.6	75	38	50	NE 1	NE 1	NE 2	0	0	0	.	
10	2.3	14.3	8.6	8.4	3.8	718.7	716.6	716.6	75	35	53	NE 1	NE 1	NE 2	0	0	0	.	
11	2.0	12.7	8.6	7.8	3.1	718.8	716.2	716.0	85	45	68	NE 1	NE 1	NE 2	0	0	0	.	
12	2.5	13.1	8.2	7.9	3.0	718.8	715.7	717.4	95	52	46	NE 1	SW 2	SW 1	2	0	0	.	
13	1.1	10.1	5.7	5.6	0.6	719.4	717.7	719.3	94	49	84	N 1	W 2	W 2	0	0	0	.	
14	1.2	10.4	5.5	5.7	0.5	722.1	721.1	722.1	78	42	58	NE 1	W 1	W 2	0	0	0	.	
15	0.8	13.5	8.4	7.6	2.3	723.9	721.6	721.1	71	**30**	45	NE 1	NE 0	NE 2	0	0	0	.	
16	1.9	14.7	9.2	8.6	3.1	723.0	719.5	719.6	70	32	43	NE 1	NE 1	NE 2	0	0	0	.	
17	2.0	14.8	10.2	9.0	3.4	721.8	719.8	720.5	69	31	41	NE 1	NE 1	NE 2	0	0	0	.	
18	3.2	16.1	10.6	10.0	4.2	722.8	720.4	720.8	72	33	49	NE 1	NE 1	SW 2	0	0	0	.	
19	3.4	17.0	10.8	10.4	4.5	721.6	718.5	718.3	77	34	52	NE 1	SW 2	W 2	0	0	0	.	
20	5.5	18.1	10.2	11.3	5.2	718.2	715.9	716.9	72	35	52	NE 1	NE 1	NE 2	1	4	0	.	
21	5.6	17.1	9.3	10.7	4.4	716.3	712.8	713.6	60	37	53	NE 1	SW 2	NE 1	1	4	0	.	
22	6.5	16.5	10.2	11.1	4.7	713.5	711.2	712.3	53	32	55	NE 0	NE 1	NE 1	0	0	0	.	
23	5.1	16.1	11.2	10.8	4.2	714.4	712.2	713.4	65	37	49	NE 1	NE 1	NE 2	1	3	0	.	
24	5.2	16.6	10.3	10.7	4.0	715.4	715.2	714.9	74	40	54	NE 1	NE 1	NE 2	1	4	0	.	
25	4.5	16.9	11.0	10.8	3.9	716.0	713.0	712.1	75	38	54	ENE 1	SW 2	NE 2	0	4	6	.	
26	8.1	8.6	5.3	7.3	0.3	709.7	**709.6**	713.4	74	96	61	NE 1	NE 1	NE 1	10	10●	5	**2.9**	● (10½) II
27	4.9	4.8	4.5	4.7	-2.5	714.0	713.2	713.5	66	79	90	W 1	W 1	W 1	9	10●	10	2.5	● II
28	5.8	8.5	7.9	7.4	0.1	715.8	716.0	717.5	88	48	67	W 1	W 3	W 1	10	5	0	.	
29	4.0	14.9	10.5	9.8	2.3	719.0	717.2	717.3	85	45	64	NNE 1	W 1	W 2	1	4	0	.	
30	5.8	15.8	11.1	10.9	3.3	719.2	717.5	718.1	82	45	61	N 1	N 1	N 1	8	7	0	.	
31	6.8	**18.1**	13.1	12.7	4.9	720.0	719.8	717.3	61	40	54	N 1	W 1	W 1	0	0	0	.	
Mittel	3.6	13.6	8.7	8.6	—	719.6	717.9	718.3	75	42	56				2.3	2.3	0.9	Summe 5.7	

$\lambda = 8^\circ 57'$, $\beta = 46^\circ 0'$.
$H_b = 276.2^m$, $G = -0.01$ m/m.

Lugano

März 1938.
Beobachter: *G. Vicari.*

Tag	Lufttemperatur 7³⁰	13³⁰	21³⁰	Mittel	Abweich. vom Normalst.	Luftdruck 7³⁰	13³⁰	21³⁰	Relative Feuchtigkeit 7³⁰	13³⁰	21³⁰	Windrichtung und Stärke 7³⁰	13³⁰	21³⁰	Bewölkung 7³⁰	13³⁰	21³⁰	Niederschlag	Witterung
1	2.0	8.4	4.8	5.1	0.1	746.2	744.1	742.5	83	57	76	N 1	E 0	N 0	4	10	10	.	
2	3.0	15.4	9.2	9.2	4.1	741.6	744.3	748.4	84	21	26	S 1	NNE 2	NNE 2	8	0	0	.	
3	1.2	11.8	11.2	8.1	2.8	748.0	746.5	746.4	79	53	29	N 1	SE 1	NNE 2	1	7	3	.	
4	17.2	**22.6**	14.0	17.9	12.5	747.1	747.5	748.4	24	**17**	20	NNE 2	NNE 2	N 1	10	6	0	.	
5	5.8	16.4	9.2	10.5	5.0	751.2	751.2	**751.4**	58	38	58	N 1	SE 1	N 1	8	0	0	.	
6	3.0	14.6	7.2	8.3	2.6	750.1	747.5	746.5	81	39	57	N 1	S 1	N 1	0	0	0	.	
7	2.6	12.4	9.6	8.2	2.4	744.9	742.5	742.5	68	51	50	NE 0	SW 1	N 1	0	0	0	.	
8	5.8	13.8	9.8	9.8	3.9	743.7	743.6	743.2	48	47	50	W 1	SE 0	N 1	0	0	0	.	
9	3.8	15.0	10.2	9.7	3.6	743.3	741.6	741.5	78	44	61	N 1	S 0	N 1	0	0	0	.	
10	2.6	14.0	9.2	8.6	2.4	741.9	740.4	739.8	88	51	70	N 1	E 0	N 1	0	0	0	.	
11	4.0	22.4	13.4	13.3	7.0	739.3	737.5	739.0	88	25	29	N 1	NNE 2	NNE 2	8	0	0	.	
12	6.2	14.2	8.4	9.6	3.1	742.5	741.5	744.0	61	47	68	N 1	S 1	NE 1	0	0	0	.	
13	4.8	6.0	5.0	5.3	−1.3	747.2	747.5	748.1	73	58	73	SW 1	S 1	N 1	10	10	4	.	
14	**0.0**	9.8	6.0	5.3	−1.4	749.0	748.9	749.2	84	53	58	N 1	S 2	N 1	0	0	0	.	
15	1.0	15.6	5.6	7.4	0.5	749.4	747.2	747.2	73	38	58	N 1	SSE 0	N 1	0	0	0	.	
16	1.8	14.6	7.2	7.9	0.9	746.5	744.7	744.5	78	52	57	N 1	SE 0	N 1	0	0	0	.	
17	3.8	17.0	10.0	10.3	3.2	745.0	744.1	745.3	72	36	59	N 1	S 1	N 1	0	0	0	.	
18	4.2	20.4	10.8	11.8	4.5	746.7	747.4	746.5	68	31	57	N 1	S 1	N 1	0	0	0	.	
19	4.8	19.2	10.0	11.3	3.9	748.0	746.1	746.5	86	38	69	N 1	SE 1	N 1	0	0	10	.	
20	7.8	14.2	9.8	10.6	3.1	746.1	744.7	744.3	93	59	63	SE 0	SE 1	N 1	10●	3	0	0.3	● 1
21	4.6	15.8	10.6	10.3	2.6	743.0	741.4	741.7	87	50	53	N 1	E 1	NE 1	0	5	0	.	● 0½
22	5.6	16.6	10.2	10.8	3.0	741.0	739.8	740.6	85	46	71	N 1	SSE 0	NW 1	4	4	2	0.7	● 16–17
23	5.6	16.2	10.0	10.6	2.7	740.0	739.0	740.6	85	44	90	N 1	S 1	N 1	5	4	0	2.5	●° 16¼–17¾
24	5.6	14.8	11.2	10.5	2.4	742.0	741.1	741.6	85	53	57	N 1	S 0	NE 1	4	6	0	.	
25	5.8	13.6	9.0	9.5	1.3	741.6	739.8	739.0	86	56	80	N 1	S 0	N 1	0	5	0	**7.1**	●° 15–17¼
26	8.2	10.2	11.8	10.1	1.8	736.2	733.7	**732.5**	92	73	26	E 0	SSE 0	NNE 2	10	10	0	.	●° 1–4
27	9.4	11.2	6.6	9.1	0.6	734.7	734.8	734.9	28	54	74	NNE 1	S 1	S 1	0	10	0	.	
28	12.8	19.8	14.2	15.6	7.0	734.0	735.9	739.4	36	24	29	NNE 3	NNE 3	NNE 1	1	0	0	.	
29	8.0	15.8	9.8	11.2	2.5	741.3	741.3	742.9	62	48	68	N 1	S 1	NNE 1	1	0	0	.	
30	5.6	15.8	11.6	11.0	2.1	743.0	741.6	741.4	84	47	62	N 1	ESE 1	NE 1	0	8	0	.	
31	10.6	20.8	14.6	15.3	6.3	741.6	741.0	742.3	56	34	43	N 1	NW 1	NNE 1	6	0	0	.	
																		Summe	
Mittel	5.4	15.1	9.7	10.1	—	743.8	742.8	743.3	73	45	56				2.9	2.8	0.9	10.6	

$\lambda = 7^\circ 35'$, $\beta = 47^\circ 33'$.
$H_b = 318^m$, $G = 0.11$ m/m.

Basel

März 1938.
Beobachter: *Astronom.-Meteorol. Anstalt.*

Tag	Lufttemperatur 7³⁰	13³⁰	21³⁰	Mittel	Abweich. vom Normalst.	Luftdruck 7³⁰	13³⁰	21³⁰	Relative Feuchtigkeit 7³⁰	13³⁰	21³⁰	Windrichtung und Stärke 7³⁰	13³⁰	21³⁰	Bewölkung 7³⁰	13³⁰	21³⁰	Niederschlag	Witterung
1	2.8	11.8	9.2	7.9	—	742.6	739.6	738.8	88	46	62	E 1	ENE 1	W 1	10	10	10	5.5	● 21¾–n
2	1.9	9.7	2.6	4.7	—	745.6	747.0	748.9	98	48	79	SE 1	NW 1	SSW 1	10≡	7	8	.	● n–1½, ≡ 7½–10¼
3	2.3	13.1	8.4	7.9	—	**750.1**	749.4	749.7	82	36	62	E 0	NW 1	S 1	8	8	10	.	
4	0.2	16.0	5.3	7.2	—	749.8	749.3	749.5	94	38	66	SSE 1	SE 1	E 1	9	2	0	.	⌴° fr.
5	**−1.8**	13.0	5.2	5.5	—	749.9	748.1	747.4	92	41	83	SSE 1	N 1	SSE 1	0	0	0	.	⌴ fr.
6	1.4	17.1	6.4	8.3	—	746.5	745.5	744.4	87	40	73	ESE 1	SSE 0	E 1	0	0	0	.	⌴ fr.
7	1.2	16.8	6.4	8.1	—	743.8	742.5	743.1	85	33	68	E 1	NNW 0	WNW 1	1	0	0	.	⌴ fr.
8	−1.7	14.3	5.8	6.1	—	742.4	741.0	740.4	100	52	73	E 1	NNW 1	SE 1	2	1	0	.	⌴ fr.
9	1.6	18.5	7.5	9.2	—	740.3	739.0	739.0	84	35	57	ESE 1	WSW 1	SW 1	1	0	0	.	⌴ fr.
10	4.1	7.0	6.0	5.7	—	741.3	741.3	741.6	88	74	78	WNW 1	WNW 1	W 1	10	10	10	.	☂ III
11	4.2	10.3	4.1	6.2	—	741.2	741.8	742.2	85	69	92	E 1	WNW 1	E 1	10	10	1	.	
12	−1.1	11.1	4.5	4.8	—	744.2	743.7	744.8	96	25	45	WNW 1	NE 1	ENE 1	0	0	0	.	⌴ fr.
13	**−1.8**	10.2	2.8	3.7	—	745.4	744.6	744.9	80	**24**	52	NW 1	ENE 1	N 0	0	0	0	.	⌴ fr.
14	−1.0	12.8	4.4	5.4	—	744.8	744.6	744.3	73	36	56	NE 1	SE 1	ESE 1	0	0	0	.	
15	−0.2	16.4	7.4	7.9	—	745.3	743.8	743.0	78	39	68	ESE 1	NW 1	SE 1	0	0	0	.	⌴° fr.
16	3.1	18.2	7.9	9.7	—	742.8	741.6	741.4	74	28	63	E 1	NW 1	SSE 1	8	1	0	.	
17	5.5	**18.7**	8.1	10.8	—	742.4	742.5	743.0	68	37	68	E 1	N 1	SW 1	4	1	1	.	
18	3.2	16.8	8.7	9.6	—	744.6	743.7	743.6	83	39	67	ESE 1	N 1	ESE 1	0	0	0	.	
19	3.6	18.1	8.9	10.2	—	743.4	742.0	740.4	83	36	70	ESE 1	NW 1	SE 1	0	0	0	.	⌴° fr.
20	3.6	18.4	9.1	10.4	—	740.1	738.6	738.6	90	33	71	E 1	NW 1	SE 1	0	1	0	.	
21	2.8	18.5	9.8	10.4	—	738.5	735.8	734.9	89	33	74	ESE 1	SW 1	ENE 1	1	2	0	.	
22	3.4	16.7	7.3	9.1	—	735.6	734.6	734.8	87	39	68	E 1	NNW 1	SSW 1	1	1	0	.	
23	4.4	17.7	8.0	10.0	—	736.1	735.3	736.5	80	36	72	E 1	WNW 1	E 1	9	3	1	.	
24	4.0	17.9	8.2	10.0	—	738.2	737.4	737.6	87	42	73	SE 1	ENE 1	S 1	0	1	0	.	
25	4.2	18.4	10.2	10.9	—	737.1	734.6	732.3	84	45	61	E 1	SE 1	SSW 1	0	6	1	1.2	● 14¾–15¼
26	7.7	8.6	4.8	7.0	—	**730.4**	733.2	736.2	83	59	71	W 2	W 1	WSW 1	10●	5	10	**9.8**	● 6½–11¾
27	4.2	4.7	7.5	5.5	—	736.1	734.1	734.6	68	79	82	WSW 1	WSW 1	WSW 2	10	10●	10	1.2	● 10–13½, 21¾–24 m.U.
28	7.7	13.1	8.3	9.7	—	737.8	739.4	741.1	82	48	74	WSW 1	WNW 1	SSW 1	10	6	10	.	● 0¾–1¼
29	5.3	13.4	9.0	9.2	—	741.5	741.0	741.2	87	52	76	E 1	WSW 1	SSW 1	10	9	9	.	
30	9.0	17.1	11.9	12.7	—	741.9	741.0	742.0	78	51	73	SSW 1	WNW 1	WSW 1	10	3	9	.	
31	9.1	**18.7**	11.8	13.2	—	742.2	741.4	741.7	81	47	76	E 1	NW 1	SSW 1	9	1	0	.	
																		Summe	
Mittel	3.0	14.6	7.3	8.3	—	742.0	741.2	741.3	84	43	70				4.6	3.2	2.9	17.7	

März 1938.
Beobachter: *Observatorium.*

Säntis

$\lambda = 9^\circ 20'$, $\beta = 47^\circ 15'$.
$H_b = 2500.1^m$, $G = -0.27$ m/m.

Tag	Lufttemperatur 7³⁰	13³⁰	21³⁰	Mittel	Abweich. vom Normalst.	Luftdruck 7³⁰	13³⁰	21³⁰	Relative Feuchtigkeit 7³⁰	13³⁰	21³⁰	Windrichtung und Stärke 7³⁰	13³⁰	21³⁰	Bewölkung 7³⁰	13³⁰	21³⁰	Niederschlag	Witterung
1	-2.8	-2.0	-3.8	-2.9	5.5	567.7	566.2	564.4	100	90	100	WSW 2	W 4	W 3	10≡*	10*	10≡*	13.2	* ≡ n-8¼, *° 13-13¾, *)
2	-11.0	-10.0	-8.8	-9.9	-1.6	565.9	567.3	569.4	94	84	29	NNE 2	N 2	N 3	4	10≡	10	0.3	≡ 13-17 zeitw.
3	-7.4	-4.0	-6.2	-5.9	2.4	570.7	571.6	571.9	94	98	98	NW 3	NNE 4	NNE 2	10≡*	10≡	10≡*	0.6	*° n-9, 20½-n, ≡ n-n m.U.
4	-4.0	-2.4	-1.6	-2.7	5.5	572.4	573.4	574.0	37	34	29	NNE 3	NNE 2	N 3	9	8	0	.	
5	-3.0	-1.0	0.4	-1.2	6.9	572.9	573.1	572.5	83	41	40	ENE 2	ENE 2	NE 1	1	0	0	.	
6	-1.8	-0.1	-2.3	-1.4	6.7	571.5	571.5	570.5	50	46	45	SW 2	WSW 1	W 2	1	0	0	.	
7	-4.2	-3.6	-5.0	-4.3	3.7	568.4	568.2	567.8	78	77	90	WNW 3	WSW 3	WNW 2	1	1	0	.	
8	-2.6	0.0	-3.2	-1.9	6.0	567.0	567.2	566.8	50	55	65	NNE 2	SSW 1	W 3	0	0	0	.	
9	-2.8	-1.6	-3.6	-2.7	5.2	565.9	566.2	565.8	53	50	54	W 3	W 3	W 3	2	1	0	.	
10	-3.6	-0.2	-3.0	-2.3	5.5	565.4	565.9	565.6	55	53	56	SW 3	SW 2	WNW 2	1	3	10	0.1	
11	-3.6	-2.2	-7.4	-4.4	3.3	565.0	565.7	566.0	98	98	95	NNW 1	W 1	N 0	10≡*	10≡*	8	2.1	*° 7-15 m.U., ≡ n-17 m.U.
12	-8.6	-10.4	-9.8	-9.6	-1.9	565.2	565.4	565.9	35	46	41	NNE 3	NE 2	NE 3	0	0	0	.	
13	-11.3	-10.4	-7.8	-9.8	-2.2	564.6	565.5	566.2	62	56	39	NE 3	E 3	NE 3	0	0	0	.	
14	-4.1	-3.4	-4.0	-3.8	3.7	567.1	568.1	568.6	40	30	45	ENE 2	ENE 2	SW 1	0	0	0	.	
15	-5.4	-1.8	-4.2	-3.8	3.7	568.5	569.3	568.6	41	43	51	WSW 4	SW 2	SW 3	0	0	0	.	
16	-4.8	-3.4	-4.2	-4.1	3.3	567.5	568.0	567.7	52	56	80	SW 3	WSW 2	WSW 3	0	1	0	.	
17	-4.8	-1.6	-3.1	-3.2	4.1	567.7	568.8	569.3	94	70	63	WSW 3	W 1	W 2	1	5	1	.	
18	-0.8	2.4	-2.0	-0.1	7.2	569.4	570.1	570.1	36	31	46	NE 1	SE 1	SSW 1	1	1	0	.	
19	0.6	3.2	-1.0	0.9	8.1	569.2	569.0	568.1	45	45	56	E 1	S 1	SSW 2	0	0	0	.	
20	-0.5	0.8	-3.2	-1.0	6.1	566.8	566.7	566.4	67	72	65	E 1	SSW 2	SSW 2	0	1	1	.	
21	-2.0	1.0	-2.2	-1.1	6.0	564.8	564.0	563.7	58	52	57	ESE 2	SSW 2	S 2	9	9	6	.	
22	-4.2	0.0	-4.4	-2.9	4.1	562.3	562.2	562.1	72	62	68	SW 1	SSW 2	SSW 1	9	9	2	.	⊕ (10½) II
23	-4.8	-1.0	-3.8	-3.2	3.7	562.1	562.7	563.7	94	74	78	NNW 0	SSW 1	W 0	9	10	7	.	⊕ II (16½)
24	-3.3	-1.0	-4.0	-2.8	4.1	563.9	564.5	564.7	80	68	83	E 1	SSW 1	S 0	1	8	0	3.1	* △sch. 14-16½ zeitw.
25	-2.8	-0.4	-3.8	-2.3	4.5	563.6	563.0	561.1	76	72	100	SW 1	SSW 2	WSW 3	0	3	10≡	0.6	≡ 18-n
26	-5.1	-8.4	-11.5	-8.3	-1.6	556.7	556.0	557.4	98	96	98	SW 3	NW 3	NW 2	10≡*	10≡*	10≡*	23.7	* 6½-n m.U., ≡ n-n,
27	-12.0	-9.8	-8.2	-10.0	-3.3	556.9	555.9	556.9	98	96	98	WSW 4	WSW 3	W 3	10≡*	10≡*	10≡*	50.3	* ≡ ⊹ n-n [⊹ 9-n
28	-8.8	-6.8	-6.6	-7.4	-0.8	559.6	562.3	564.6	98	96	96	NNW 2	WNW 2	NW 2	10≡*	10≡*	10≡*	14.2	* n-16, 20-n, ≡ ⊹ n-n,
29	-6.6	-3.0	-4.8	-4.8	1.7	564.9	565.4	565.6	95	96	98	WNW 3	WNW 3	WNW 2	10≡	9	10≡	.	≡ 7-12, 15½-n [V l
30	-5.6	-2.8	-2.6	-3.7	2.8	565.9	566.5	567.2	98	94	98	W 1	WSW 2	W 2	10≡	9	10≡	.	≡ n-8½
31	-3.4	-1.0	-1.2	-1.9	4.5	567.9	569.2	569.5	84	51	66	N 2	N 2	NW 2	3	9	0	.	
Mittel	-4.7	-2.7	-4.4	-3.9	—	566.0	566.4	566.5	72	66	69				4.3	5.1	4.0	Summe 108.2	*) 1. 20½-n, ≡ 17-n, ⚷ p

März 1938.
Beobachter: Frl. *F. Lombardi.*

St. Gotthard (Hospiz)

$\lambda = 8^\circ 34'$, $\beta = 46^\circ 33'$,
$H_b = 2095.7^m$, $G = -0.25$ m/m.

1	-1.2	2.0	0.0	0.3	6.8	597.5	596.6	594.9	65	65	70	N 0	N 0	N 1	5	10	5	9.2	* ⊹ 14-17½
2	-6.2	-6.0	-9.0	-7.1	-0.7	595.5	596.8	599.0	87	80	64	N 2	N 3	N 2	10*≡	5	0	1.6	* ⊹ ≡ n-10
3	-6.8	-3.0	-8.0	-5.9	0.5	600.0	600.4	600.8	81	60	81	N 3	N 3	N 3	5	5	10≡	8.4	≡ 15-n
4	-4.3	0.8	-3.0	-2.2	4.1	601.7	602.8	603.2	80	76	45	NE 1	NE 1	N 1	5	5	0	.	
5	0.2	1.0	0.0	0.4	6.7	602.5	602.9	602.5	30	52	40	N 1	NE 0	N 0	0	0	0	.	
6	-1.8	1.0	-4.6	-1.8	4.4	601.0	600.8	600.1	41	43	60	N 0	N 1	N 1	0	0	0	.	
7	-2.3	0.6	-2.4	-1.4	4.7	597.8	597.5	597.2	51	49	50	N 1	N 1	N 2	0	0	0	.	
8	-4.2	-0.4	-3.2	-2.6	3.5	596.7	596.7	596.1	47	47	50	N 0	N 1	N 1	0	0	0	.	
9	-3.8	0.5	-3.0	-2.1	3.9	595.6	595.8	595.6	47	52	51	N 1	N 0	N 0	0	0	0	.	
10	-4.2	0.2	-4.2	-2.7	3.3	595.0	595.0	594.9	51	46	60	N 1	N 1	N 2	0	0	0	.	
11	-3.4	-1.6	-2.8	-2.6	3.3	594.1	594.6	594.6	58	75	70	N 1	N 2	N 3	3	10	10	.	≡ 14¼-n m.U.
12	-5.6	-5.2	-8.8	-6.5	-0.7	594.7	594.8	595.2	72	59	64	N 2	N 2	N 2	5	0	0	.	
13	-7.0	-5.3	-7.4	-6.6	-0.8	594.9	595.3	596.5	52	64	58	N 2	N 2	N 1	0	0	0	.	
14	-0.2	-1.0	-5.4	-4.2	1.5	596.8	597.6	598.3	44	38	45	N 1	N 1	N 1	0	0	0	.	
15	-5.0	-1.0	-4.8	-3.6	2.1	598.7	599.1	598.7	46	46	51	N 1	N 0	N 0	0	0	0	.	
16	-4.8	-0.8	-4.2	-3.3	2.3	597.7	597.9	597.8	49	47	51	N 0	N 0	N 0	0	0	0	.	
17	-3.0	0.8	-1.8	-1.3	4.2	597.6	598.3	598.9	52	54	51	N 1	N 1	N 0	0	0	0	.	
18	-4.8	0.0	-3.6	-2.8	2.7	599.0	599.8	599.5	51	44	60	N 1	N 0	N 0	0	0	0	.	
19	-2.0	3.6	-1.4	0.1	5.5	599.1	598.9	598.4	71	55	94	N 0	S 1	S 1	0	0	10≡	.	≡ 20¼-n
20	-1.0	1.6	1.5	0.7	6.1	597.0	596.9	596.1	84	58	60	S 0	S 1	S 1	5	5	10	.	
21	-2.2	2.5	-2.5	-0.7	4.6	594.2	593.7	593.9	60	60	58	S 1	S 2	S 2	10	4	10	.	
22	-2.8	1.0	-2.9	-1.6	3.6	592.6	592.3	592.8	60	58	60	S 1	S 1	S 1	10	10	10	.	
23	-3.2	3.5	-2.8	-0.8	4.4	592.8	591.9	593.0	60	60	60	S 0	S 0	S 0	10	4	10	.	
24	-3.4	1.5	-2.5	-1.5	4.6	593.6	593.9	594.5	62	60	62	S 0	S 0	S 0	4	10	0	0.5	*° 14-15¼
25	-1.5	3.5	-3.0	-0.3	4.8	594.6	593.2	589.2	68	48	60	N 0	N 1	S 1	2	10	10	2.2	* ⊹ p-n zeitw.
26	-2.2	1.5	-8.5	-2.6	2.4	588.9	587.6	587.7	60	60	90	S 1	S 1	N 1	10*	10*	10*	12.8	* ⊹ n-n
27	-9.2	-4.5	-4.4	-6.0	-1.1	587.7	587.5	588.3	99	90	90	N 1	N 2	N 3	10	10*≡	10*≡	40.2	* 11-n, ≡ 10¼-n, * ⚷ abds.
28	-4.5	-3.4	-4.2	-4.4	0.5	589.4	591.0	593.5	80	70	70	N 2	N 2	N 2	10*	10≡	10≡	12.5	* n-9¼, ≡ 10½-n m.U.
29	-8.5	-2.5	-3.2	-4.7	0.1	594.3	595.6	595.4	84	70	80	N 2	N 2	N 2	10≡	4	0	.	≡ n-8
30	-4.8	-1.5	-1.5	-2.6	2.2	595.4	596.0	596.5	90	70	70	N 2	N 2	N 2	10≡	2	0	.	≡ n-8½
31	-1.5	3.5	-2.8	-0.3	4.4	597.2	598.1	598.6	70	45	50	N 1	N 1	N 1	10≡	0	0	.	≡ n-8¼
Mittel	-3.9	-0.2	-3.7	-2.6	—	596.0	596.1	596.1	63	58	62				4.3	3.7	3.7	Summe 87.4	

$\lambda = 7^\circ 26'$, $\beta = 46^\circ 57'$,
$H_b = 572.2^m$, $G = 0.00^m/_m$.

Bern

April 1938.
Beobachter: *Tellur. Observatorium.*

Tag	Lufttemperatur 7³⁰	13³⁰	21³⁰	Mittel	Abweich. vom Normalst.	Luftdruck 7³⁰	13³⁰	21³⁰	Relative Feuchtigkeit 7³⁰	13³⁰	21³⁰	Windrichtung und Stärke 7³⁰	13³⁰	21³⁰	Bewölkung 7³⁰	13³⁰	21³⁰	Niederschlag	Witterung
1	6.3	18.1	12.8	12.4	6.7	719.7	719.0	719.3	89	28	40	S 0	N 1	E 0	0	0	0	.	△ fr.
2	5.4	**18.5**	12.2	12.0	6.2	717.7	716.5	714.4	86	**24**	56	S 1	NW 1	SW 1	0	0	0	.	△ fr.
3	5.5	17.0	4.7	9.1	3.1	710.6	708.7	716.0	82	32	78	S 0	W 3	NW 0	0	9	2	1.7	● 16½–17, 18¾
4	1.5	6.2	3.0	3.6	−2.5	718.4	718.4	719.3	81	38	57	S 1	ENE 1	NE 0	0	3	0	.	⌊ fr.
5	0.0	8.1	4.2	4.1	−2.2	717.8	717.2	717.5	87	34	67	E 0	NNE 1	SE 0	10	7	0	.	⌊ fr.
6	0.5	10.8	7.1	6.1	−0.3	717.2	717.0	717.5	86	37	69	S 0	N 1	NW 0	9	5	8	.	⌊ fr.
7	3.0	14.0	9.3	8.8	2.2	716.9	715.8	714.8	90	47	75	S 0	N 1	NE 0	0	8	9	.	△ fr.
8	5.8	11.1	5.6	7.5	0.8	713.5	717.6	713.9	93	43	61	SW 0	NE 1	SW 0	9	8	0	.	△ fr.
9	−0.2	9.0	2.6	3.8	−3.1	713.7	713.4	716.4	89	43	64	SE 0	NE 1	NE 1	1	7	9	.	⌊ fr.
10	−0.4	2.1	0.5	0.7	−6.3	718.6	719.5	**721.9**	84	67	69	NE 1	NE 3	NE 1	7	6	2	0.2	✳° 11–19 zeitw., ✳ 11¾, [⌊ fr.
11	−1.3	4.3	2.0	1.7	−5.5	721.4	721.4	721.5	81	37	61	NE 1	ENE 3	NE 1	1	3	0	.	
12	0.8	7.9	5.4	4.7	−2.7	718.8	717.4	716.3	77	49	58	ENE 2	NE 2	NE 2	0	6	0	.	
13	1.1	11.8	8.4	7.1	−0.4	715.6	713.6	712.0	86	41	71	E 0	NE 1	NE 1	0	7	10	.	△ fr.
14	6.0	11.0	8.4	8.5	0.8	710.1	708.8	710.0	86	59	67	NE 1	NE 2	NNE 1	4	8	10	.	
15	4.2	12.7	9.8	8.9	1.0	710.0	710.0	711.1	90	44	48	NE 1	NE 2	NE 0	0	0	0	.	△ fr.
16	3.3	15.0	11.6	10.0	1.9	712.4	711.5	711.2	89	39	47	S 0	NE 1	NE 1	0	0	0	.	△ fr.
17	6.0	12.5	7.8	8.8	0.5	711.0	710.5	711.7	86	56	63	NNE 1	ESE 2	NE 1	2	1	2	.	△ fr.
18	3.0	5.9	3.0	4.0	−4.5	712.5	713.2	713.3	69	58	42	NE 1	NNE 2	NE 1	8	9	0	.	
19	0.1	6.0	4.1	3.4	−5.2	713.2	712.7	712.7	66	26	53	NNE 2	NNE 2	SW 0	0	1	0	3.5	⌊ fr. [12½
20	0.9	3.0	0.3	1.4	−7.4	712.6	714.1	715.7	95	80	92	WSW 1	S 0	SW 0	10	9	10	5.4	✳sch. 5¾–20 ztw., ●✳ 3–5¾,
21	**−1.4**	−0.1	−0.2	−0.6	−9.6	716.0	715.5	714.4	92	89	88	N 0	E 1	NE 0	7	10≡*	10	2.0	●✳ 11¾–13½ m.U.,
22	−1.3	3.0	2.0	1.2	−7.9	713.6	712.4	711.5	92	45	55	W 0	E 0	SE 0	8	7	0	.	⌊ fr. [≡ 12¾–13¾
23	0.4	8.0	4.1	4.2	−5.1	711.5	711.8	711.2	76	31	69	SE 0	N 1	SE 0	1	8	2	.	⌊ fr.
24	0.1	10.3	6.1	5.5	−3.9	711.9	710.8	712.1	89	36	70	SE 0	N 1	E 0	0	8	9	.	⌊ fr.
25	3.4	9.4	5.5	6.1	−3.5	711.4	709.9	710.5	89	62	79	SW 0	E 1	E 0	10	10	9	0.6	● 13, 15½
26	0.6	9.0	4.8	4.8	−4.9	709.0	708.1	708.4	92	38	53	NE 1	NE 2	NE 1	4	0	0	.	⌊ fr.
27	0.9	7.8	4.0	4.2	−5.7	707.1	707.0	707.8	84	51	68	SE 0	NNE 1	E 0	0	9	0	.	⌊ fr.
28	1.2	11.6	8.0	6.9	−3.1	708.5	708.0	708.2	89	27	62	SE 0	NE 1	NE 0	0	0	0	.	⌊ fr.
29	3.3	13.9	8.0	8.4	−1.8	707.5	705.5	704.8	87	34	78	SE 0	NE 1	NW 0	0	3	10	6.2	● 18¾–24 m.U., △ fr.
30	4.3	5.2	4.2	4.6	−5.7	**704.4**	705.2	705.7	90	75	77	S 0	W 1	SE 0	10	10	10	0.4	● 0–2¾, 7½–9¼ zeitw.
Mittel	2.1	9.4	5.6	5.7	—	713.4	713.0	713.4	86	46	65				3.4	5.4	3.7	20.0	

$\lambda = 6^\circ 57'$, $\beta = 47^\circ 0'$,
$H_b = 487.3^m$, $G = 0.02^m/_m$.

Neuchâtel

April 1938.
Beobachter: *Observatorium.*

Tag	7³⁰	13³⁰	21³⁰	Mittel	Abweich. vom Normalst.	Luftdruck 7³⁰	13³⁰	21³⁰	Relative Feuchtigkeit 7³⁰	13³⁰	21³⁰	Windrichtung und Stärke 7³⁰	13³⁰	21³⁰	Bewölkung 7³⁰	13³⁰	21³⁰	Niederschlag	Witterung
1	7.1	**19.9**	14.9	14.0	7.5	727.4	726.9	726.8	94	44	42	N 0	SE 1	NE 1	0	0	0	.	
2	6.8	19.3	14.4	13.5	6.8	725.9	724.5	721.9	82	35	**23**	E 0	S 0	SE 0	0	0	0	.	
3	10.4	15.8	4.7	10.3	3.5	718.5	717.4	723.6	59	36	55	SW 2	W 3	NW 4	0	8	0	0.1	●sch. 15¼–17 zeitw.
4	2.8	9.7	3.0	5.2	−1.7	726.5	726.3	727.2	58	36	55	E 1	E 2	NW 1	0	4	0	.	
5	2.1	12.0	5.3	6.5	−0.6	726.0	725.3	725.3	72	35	53	E 1	E 1	NW 1	9	3	0	.	
6	2.2	12.6	9.8	8.2	1.0	725.3	725.0	725.1	78	39	55	NE 0	S 1	NW 2	8	7	1	.	
7	4.6	12.0	10.7	9.1	1.7	725.1	724.0	722.8	86	58	62	S 0	SW 0	NW 2	0	9	0	.	
8	6.4	11.9	5.6	8.0	0.5	721.3	721.5	721.9	88	47	57	SE 1	SE 1	NE 1	2	8	0	.	
9	2.1	10.1	2.8	5.0	−2.7	722.2	721.5	724.4	71	39	58	SE 0	NW 2	NE 1	0	1	1	.	
10	1.0	4.3	0.9	2.1	−5.7	726.5	727.7	**730.2**	68	38	59	E 1	E 3	E 2	1	7	3	.	✳°sch. zeitw.
11	0.3	7.3	2.5	3.4	−4.6	729.4	729.3	729.6	64	33	52	E 3	E 3	NE 2	0	1	0	.	
12	2.3	10.5	6.3	6.4	−1.7	726.8	725.1	724.3	58	37	52	E 3	E 3	NE 2	0	1	0	.	
13	3.3	15.9	8.8	9.3	1.0	723.6	721.4	720.4	77	37	66	NE 0	E 0	E 1	0	3	7	.	
14	6.2	14.0	8.9	9.7	1.3	718.4	717.1	718.0	78	45	58	SE 0	E 1	NE 2	2	7	7	.	
15	6.5	16.3	11.3	11.4	2.8	718.3	718.1	719.1	74	35	40	NE 2	E 2	NE 1	0	0	0	.	
16	4.5	17.2	12.7	11.5	2.7	720.6	719.5	718.9	82	39	40	NE 0	SE 1	NE 1	0	0	0	.	
17	8.1	16.1	8.9	11.0	2.1	719.0	718.2	719.7	69	43	52	E 2	E 2	NE 2	1	0	2	.	
18	4.6	8.7	4.4	5.9	−3.2	720.6	721.3	721.4	58	40	34	E 2	NE 2	NE 1	0	1	0	.	
19	1.7	9.7	4.9	5.4	−3.8	721.5	721.0	720.8	64	33	42	E 1	E 2	NE 2	0	1	0	1.4	
20	1.0	3.2	0.4	1.5	−7.9	721.3	722.6	724.1	91	62	92	W 1	NW 2	NW 1	10*	10*	7	0.8	✳ n–n zeitw.
21	**−0.7**	1.5	**−0.7**	0.0	−9.6	724.4	723.3	722.9	94	75	91	E 1	W 1	NE 1	10	10*	9	**5.3**	✳fl. p, ✳ 18–21
22	**−0.7**	5.6	2.4	2.4	−7.3	722.3	721.0	719.7	87	60	59	NE 0	SE 1	NW 1	10	1	4	.	⊠
23	0.7	8.5	5.6	4.9	−5.0	719.8	719.2	719.4	75	44	51	E 0	SE 0	NW 0	3	9	0	.	
24	1.8	9.2	7.3	6.1	−3.9	720.2	719.4	720.1	81	51	60	SE 1	NW 2	NW 3	0	8	8	.	⌊ fr.
25	3.3	9.9	5.7	6.3	−3.9	719.7	718.2	718.5	87	57	70	E 1	W 1	E 0	10	8●	0	.	●° seit 12
26	3.9	11.8	5.1	6.9	−3.5	717.4	716.3	716.5	76	36	47	E 3	E 3	E 3	1	0	0	.	
27	3.8	10.0	4.5	6.1	−4.4	715.5	715.3	716.1	77	48	68	E 2	E 2	NW 1	9	7	1	.	
28	2.2	14.7	9.5	8.8	−1.9	716.9	716.1	716.3	84	40	49	NE 1	SE 1	E 2	0	1	0	.	
29	5.0	14.3	7.1	8.8	−2.0	716.0	713.7	712.6	84	39	64	E 1	E 1	NW 4	0	6	4	1.1	● 22½–n
30	4.8	8.2	4.1	5.7	−5.3	**712.3**	713.3	713.8	71	53	73	SE 1	S 1	W 1	10	10	4	.	
Mittel	3.6	11.3	6.4	7.1	—	721.6	721.0	721.4	76	44	56				2.9	4.4	1.9	8.7	

April 1938.
Beobachter: Frl. *H. Nager.*

Altdorf

$\lambda = 8° 39'$, $\beta = 46° 53'$,
$H_b = 456.3^m$, $G = -0.05^m/_m$.

Tag	Lufttemperatur 7³⁰	13³⁰	21³⁰	Mittel	Abweich. vom Normalst	Luftdruck 7³⁰	13³⁰	21³⁰	Relative Feuchtigkeit 7³⁰	13³⁰	21³⁰	Windrichtung und Stärke 7³⁰	13³⁰	21³⁰	Bewölkung 7³⁰	13³⁰	21³⁰	Niederschlag	Witterung
1	6.0	16.9	10.2	11.0	4.0	730.2	729.1	730.3	84	45	65	SE 0	NW 0	NW 0	0	0	0	.	
2	6.8	17.0	12.6	12.1	5.0	**733.6**	726.8	725.2	76	42	45	SE 0	NW 0	SE 0	0	0	0	.	
3	6.8	**18.3**	2.6	9.2	1.9	720.5	721.9	728.0	64	47	94	SW 0	NW 2-3	NW 0	0	10	10●	**10.2**	● 14¾-n zeitw., ✳ p zeitw.
4	2.7	6.4	2.0	3.7	-3.7	729.0	729.2	730.6	65	38	70	NE 0	NW 1	NW 0	9	4	0	.	✳ˡ fl. a
5	0.9	7.7	5.6	4.7	-2.8	728.8	727.7	728.4	76	36	57	SE 0	NW 0-1	NW 0	8	8	9	.	
6	3.6	10.2	7.7	7.2	-0.5	728.1	727.9	728.3	67	36	67	E 0	NW 0-1	NW 0	9	10	10	.	●tr. p
7	2.2	14.8	9.9	9.0	1.2	727.3	725.6	725.6	81	39	70	N 0	NW 1-2	SE 0	0	5	8	.	
8	7.9	7.7	7.9	7.8	-0.1	723.5	724.4	724.5	90	59	39	N 0	NW 1	NW 0-1	10	10●	10	2.4	● ll
9	4.1	7.8	3.0	5.0	-3.1	724.5	723.9	726.8	65	44	65	E 0	NW 2	NW 2	5	9	10	0.0	● ✳ p-n zeitw.
10	0.9	3.3	0.6	1.6	-6.6	729.1	730.4	733.3	53	52	57	NW 0	NW 0-1	NW 0	6	7	4	.	✳sch. zeitw., ⊔ fr.
11	**-1.9**	5.4	2.6	2.0	-6.4	733.2	732.1	733.0	75	39	48	E 0	NW 2	NW 0	3	7	8	.	⊔ fr.
12	-1.2	8.4	5.0	4.1	-4.4	730.3	728.3	727.1	73	**35**	57	NE 0	NW 0-1	E 0	2	2	0	.	⊔ fr.
13	1.1	11.2	10.3	7.5	-1.1	726.3	723.9	721.6	80	44	52	SE 0	NW 1	NW 1	0	3	10	.	⊔° fr.
14	7.4	11.9	8.7	9.3	0.5	721.1	719.7	720.7	84	46	63	NW 0	W 0-1	NW 0	10	8	9	.	
15	3.8	12.6	7.9	8.1	-0.8	721.5	720.9	722.4	92	50	65	N 0	NW 1	SE 0	1	1	0	.	⊔° fr.
16	4.5	14.4	9.8	9.6	0.5	723.2	721.8	722.1	45	47	62	E 0	NW 0	NW 0	0	1	0	.	
17	5.2	12.2	10.0	9.1	-0.1	722.0	721.4	722.4	90	59	53	SE 0	NW 2	NW 0	2	5	10		
18	4.8	4.7	1.4	3.6	-5.8	723.0	724.2	724.6	60	49	65	NW 1	NW 2	NW 0	10	10	0	.	
19	2.1	6.8	3.6	4.2	-5.3	724.0	723.4	723.1	61	37	42	NE 0	NW 1-2	N 0	3	5	6	8.1	
20	2.1	4.2	0.6	2.3	-7.3	722.7	724.7	726.4	91	59	100	NW 1-2	W 0	NW 0	10*	10	10	5.8	✳ zeitw. ⊠
21	1.6	5.2	0.7	2.5	-7.3	726.3	725.7	725.8	65	51	96	N 0	SE 0	SE 0	9	10	9	0.0	✳ zeitw. ⊠
22	-1.4	5.1	-1.4	0.8	-9.1	725.0	722.9	723.0	55	37	45	E 0	NW 0-1	NW 0	1	2	3	.	⊔ fr.
23	1.3	8.2	4.0	4.5	-5.6	722.2	721.3	722.3	59	36	64	W 0	NW 0-1	NW 0	8	7	4	.	⊔ fr.
24	1.9	11.0	6.3	6.4	-3.8	722.8	722.7	723.0	75	57	80	E 0	NW 1-2	NW 0	4	6	10	1.3	⊔ fr.
25	6.1	9.0	4.2	6.4	-3.9	721.8	721.0	720.9	77	59	93	N 0	W 0	W 0-1	10●	10	10	3.3	● n-n zeitw.
26	3.3	9.0	3.5	5.3	-5.2	720.7	719.0	719.7	98	38	55	E 0	NW 1	NW 0	2	4	0	.	
27	2.1	6.1	2.7	3.6	-7.0	717.7	718.4	719.2	70	59	88	NE 0	NW 0	NW 0	8	10	4	.	⊔ fr.
28	1.0	11.2	6.8	6.3	-4.4	719.2	718.6	719.2	82	43	63	E 0	N 0-1	N 0	0	3	3	.	⊔² fr.
29	4.1	13.5	7.8	8.5	-2.4	718.6	715.3	715.5	85	48	88	SE 0	NW 0-1	NW 0	6	8	9	6.9	● zeitw., T 14¾
30	4.9	5.7	3.7	4.8	-6.2	**715.1**	715.9	717.0	90	65	93	NW 0	NW 1	NW 0	10●	10●	10●	4.5	● n-n
Mittel	3.2	9.5	5.3	6.0	—	724.4	723.6	724.3	74	46	67				4.9	6.2	5.9	42.5	

April 1938.
Beobachter: *Observatorium.*

Genf

$\lambda = 6° 9'$, $\beta = 46° 12'$,
$H_b = 405.0^m$, $G = -0.03^m/_m$.

Tag	7³⁰	13³⁰	21³⁰	Mittel	Abweich. vom Normalst	7³⁰	13³⁰	21³⁰	7³⁰	13³⁰	21³⁰	7³⁰	13³⁰	21³⁰	7³⁰	13³⁰	21³⁰	Niederschlag	Witterung
1	7.1	18.4	13.5	13.0	6.0	734.4	733.5	733.4	85	44	51	E 0	NNE 1	NNE 0	0	0	0	.	
2	7.2	17.5	13.2	12.6	5.5	733.0	731.7	729.3	74	41	21	E 0	NNE 1	NE 0	0	0	0	.	
3	9.4	**18.7**	8.0	12.0	4.7	726.8	726.2	731.3	69	32	53	E 0	W 2	NNE 1	0	9	1	0.1	●ᵛ seit 16
4	4.0	8.0	5.4	5.8	-1.6	732.6	732.8	733.5	54	34	38	NNE 2	NNE 3	NNE 2	0	0	0	.	
5	2.9	9.0	7.2	6.4	-1.2	733.5	732.5	732.1	66	40	53	NE 1	NNE 1	NNE 1	1	7	0	.	
6	2.0	11.6	8.7	7.4	-0.3	732.6	732.0	732.1	75	37	43	E 0	NNE 1	NNE 1	0	0	0	.	
7	5.0	13.8	10.4	9.7	1.9	732.4	730.5	729.7	77	48	47	E 0	NNE 1	NE 1	0	0	0	.	
8	5.8	12.7	9.0	9.2	1.2	729.0	727.7	728.6	82	60	34	E 0	NNE 1	NNE 1	0	2	0	.	
9	4.0	11.1	6.0	7.0	-1.1	729.1	727.9	730.0	69	42	39	E 0	NNE 2	NNE 2	0	0	0	.	
10	1.9	4.2	2.6	2.9	-5.4	731.9	732.6	734.4	59	47	55	NNE 4	NNE 4	NNE 4	0	1	0	.	
11	**1.0**	6.2	4.6	3.9	-4.5	**735.0**	734.2	734.5	63	35	42	ENE 3	NNE 4	NNE 4	0	0	0	.	
12	2.6	8.2	7.7	6.2	-2.3	732.8	731.8	731.0	54	46	56	NNE 2	NNE 2	NNE 1	1	0	0	.	
13	3.2	12.2	9.5	8.3	-0.4	730.7	728.3	725.9	72	40	21	E 0	NNE 1	NNE 2	0	5	0	.	
14	7.1	11.0	9.0	9.0	0.2	725.0	723.5	724.3	71	55	66	NE 1	NNE 2	NNE 1	9	4	0	.	
15	6.8	13.8	11.2	10.6	1.6	725.0	725.2	726.1	74	47	48	NE 1	NNE 1	NE 1	4	0	0	.	
16	6.6	13.6	13.0	11.1	2.0	727.9	726.4	725.4	71	47	38	E 0	NNE 1	NE 0	0	0	0	.	
17	8.2	14.2	12.0	11.5	2.2	725.9	724.8	725.5	72	53	49	NE 0	NNE 1	NNE 2	0	0	0	.	
18	5.0	9.7	5.0	6.6	-2.8	727.0	726.6	727.9	59	35	39	NNE 2	NNE 2	NNE 2	0	0	0	.	
19	3.0	7.7	6.0	5.6	-4.0	727.8	727.5	728.4	50	**23**	32	NNE 2	NNE 3	NE 1	0	0	0	.	
20	3.6	7.0	4.3	5.0	-4.8	729.1	729.8	731.2	76	42	34	E 0	NNE 1	NNE 1	9	4	9	.	● ✳sch. 4-a zeitw.
21	1.6	6.7	1.5	3.3	-6.6	732.1	730.4	730.0	72	38	80	NNE 1	NNE 1	NNE 0	0	8	9	0.1	● ✳sch. 18-n
22	**1.0**	5.4	3.0	3.1	-7.0	729.3	728.1	727.5	77	49	64	E 0	NNE 1	NNE 1	10	1	0	.	
23	**1.0**	9.6	7.0	5.9	-4.3	727.5	726.0	726.4	68	42	42	E 0	NNE 1	E 0	2	1	1	.	
24	3.3	11.6	8.3	7.7	-2.7	727.4	726.6	727.2	72	36	66	E 0	NNE 1	NNE 1	0	1	0	.	
25	4.0	11.3	8.4	7.9	-2.6	727.1	725.3	724.8	73	47	60	NE 1	NNE 1	NNE 1	4	3	0	.	
26	4.7	10.8	7.4	7.6	-3.1	723.9	722.5	722.0	73	41	51	NNE 1	NNE 1	NNE 2	4	0	0	.	
27	4.2	10.6	7.3	7.3	-3.5	722.5	721.0	722.8	67	44	47	E 0	NNE 1	NE 1	0	0	0	.	
28	4.4	11.0	9.4	8.3	-2.7	724.1	722.9	722.7	71	52	54	E 0	NNE 1	NE 1	0	0	0	.	
29	6.6	13.8	10.4	10.3	-0.8	722.9	720.8	719.9	71	45	44	E 0	NNE 1	SW 1	0	3	9	0.1	● sch. 14½
30	7.0	8.0	4.8	6.6	-4.7	**719.8**	720.8	720.8	71	55	67	NE 0	E 1	E 0	9●	10	5	0.1	●°sch. n
Mittel	4.5	10.9	7.8	7.7	—	728.6	727.7	728.0	70	43	48				1.9	2.0	1.1	0.4	

λ = 8° 33′, β = 47° 23′,
H_b = 493.2 m, G = 0.03 m/m.

Zürich

April 1938.
Beobachter: *Meteorol. Zentralanstalt.*

Tag	Lufttemperatur 7³⁰	13³⁰	21³⁰	Mittel	Abweich. vom Normalst	Luftdruck 7³⁰	13³⁰	21³⁰	Relative Feuchtigkeit 7³⁰	13³⁰	21³⁰	Windrichtung und Stärke 7³⁰	13³⁰	21³⁰	Bewölkung 7³⁰	13³⁰	21³⁰	Niederschlag	Witterung
1	7.1	21.0	12.2	13.4	7.0	726.5	725.9	726.2	93	34	43	SSE 0	W 1	NNE 0	0	1	0	.	△ fr.
2	6.2	**21.4**	11.9	13.2	6.6	724.8	723.3	721.0	85	32	50	SE 0	WNW 1	SW 1	1	1	0	.	
3	10.6	18.6	3.8	11.0	4.3	716.6	714.4	723.4	54	**29**	79	NW 2	WNW 3	W 1	1	7	10	1.0	● 16½–20½, ⸗ n-a, [⸗● ° 15¼–16
4	1.9	7.7	3.2	4.3	−2.6	726.1	725.9	726.9	77	35	56	WNW 0	NNE 1	NE 1	3	6	3	.	⊔ fr.
5	1.3	8.6	3.9	4.6	−2.4	725.4	724.8	724.6	75	39	64	ESE 0	NNW 2	NNW 0	10	4	3	.	⊔ fr.
6	3.0	11.7	9.4	8.0	0.8	724.2	724.3	724.5	76	36	56	N 0	NW 1	SSE 1	9	6	10	.	⊕ a
7	7.6	14.0	9.9	10.5	3.2	724.0	722.8	721.9	72	44	69	SSE 0	WNW 2	S 0	7	10	9	.	
8	8.4	12.1	4.6	8.4	0.9	720.6	721.0	721.4	79	35	54	N 2	NW 2	N 0	10	5	1	.	
9	2.6	10.6	1.7	5.0	−2.6	721.6	720.9	724.3	70	40	83	NW 1	NW 2	NE 2	6	6	10*	1.2	✳° 21½–22
10	**−1.8**	3.2	−0.3	0.5	−7.3	726.6	727.7	**730.4**	96	56	73	NNW 1	SE 2	NE 1	9*	9	2	1.0	✳ 5½–8½, ✳°sch. a. p ztw. ⊠
11	**−1.8**	6.1	1.4	2.1	−5.8	630.1	730.0	729.9	80	40	67	NE 2	ENE 2	ENE 1	2	4	1	.	⊔ fr.
12	1.1	8.9	5.5	5.2	−2.9	627.2	725.5	724.3	72	45	54	E 1	ESE 2	N 1	1	7	1	.	⊔ fr.
13	1.4	14.3	7.8	7.8	−0.4	622.8	720.7	719.9	85	37	73	ESE 0	N 1	NNE 1	1	2	10	0.0	●tr. 19¾, ⊔ fr.
14	6.9	13.4	7.5	9.3	0.9	618.1	717.1	718.2	78	47	70	ENE 1	N 2	NE 2	10	4	3	.	
15	5.1	16.0	9.5	10.2	1.7	618.5	718.3	719.1	92	33	47	NE 1	N 1	ENE 2	3	1	0	.	△ fr.
16	4.6	17.7	10.9	11.1	2.5	720.1	719.1	719.1	77	34	54	ESE 0	NW 2	ENE 1	0	1	0	.	
17	6.1	13.4	8.5	9.3	0.5	719.1	719.0	719.7	85	48	55	ENE 2	ENE 2	NE 2	4	7	9	0.0	
18	3.5	5.3	3.8	4.2	−4.7	721.0	721.5	721.4	63	55	44	N 1	N 1	NE 1	10	9	9	0.0	✳°fl. 7–9
19	0.1	7.5	2.7	3.4	−5.7	721.3	720.5	719.4	68	33	50	NNE 1	NW 1	SE 1	1	3	0	1.2	
20	2.0	5.9	0.9	2.9	−6.3	719.8	720.9	723.0	93	49	86	NW 1	W 1	NW 1	10*	7	10	2.3	✳ 3¼–23 zeitw.
21	−0.3	2.5	0.1	0.8	−8.6	723.5	722.5	722.3	82	68	81	NNW 1	NW 1	NNE 1	3	10	2	0.1	✳° 11¾–14¼ m.U.
22	−0.3	7.2	2.9	3.3	−6.2	721.4	719.7	718.8	78	38	54	N 1	SSE 1	S 0	9	3	5	.	⊔ fr.
23	3.2	8.6	4.3	5.4	−4.3	718.7	718.2	718.7	60	42	70	SSE 0	SW 1	WNW 1	7	10	2	.	
24	1.4	9.0	5.2	5.2	−4.6	719.3	718.4	719.6	91	45	86	W 0	SSW 0	ESE 1	3	8	10●	0.3	●tr. 11–15, ●° 19¼–21½ m.U.
25	5.0	8.2	4.2	5.8	−4.2	718.7	717.4	718.3	87	60	86	WNW 0	WNW 2	E 1	10●	10	10	1.8	●° 7½–11½, ● △sch. 15½
26	1.4	10.9	4.2	5.5	−4.6	717.6	717.0	716.8	92	38	60	NE 1	NNE 2	ENE 2	2	3	0	0.2	⊔ fr.
27	2.3	6.2	2.9	3.8	−6.4	714.6	715.3	715.8	93	69	99	NW 0	NE 1	NE 0	10*	10	8	2.6	●✳ 6¾–8¾, ●° 10½–12, 16¾–
28	0.1	13.0	8.4	7.2	−3.1	716.1	716.0	716.0	100	41	64	NNW 0	WNW 1	ENE 1	10≡	2	1	.	≡ n–9½, ⊔° fr. [18¼
29	5.4	16.3	7.2	9.6	−0.9	715.1	712.6	712.2	81	31	89	N 0	ESE 1	N 2	7	3	10●	**11.1**	● 16¾–24 zeitw.
30	3.7	3.7	3.4	3.6	−7.1	**711.8**	713.0	713.2	97	84	86	SE 1	NW 1	SE 1	10	10●	10	3.9	● 3½–17¼ m.U., ● ✳ 23½–n
																		Summe	
Mittel	3.3	10.8	5.4	6.5	—	721.0	720.5	721.0	81	44	67				5.6	5.6	5.0	26.7	

λ = 8° 30′, β = 47° 3′,
H_b = 1787.3 m, G = −0.20 m/m.

Rigi-Kulm

April 1938.
Beobachter: *J. Steiner.*

Tag	7³⁰	13³⁰	21³⁰	Mittel	Abweich. vom Normalst	7³⁰	13³⁰	21³⁰	7³⁰	13³⁰	21³⁰	7³⁰	13³⁰	21³⁰	7³⁰	13³⁰	21³⁰	Summe	Witterung
1	5.2	7.3	4.4	5.6	7.4	621.5	621.9	**622.0**	81	50	55	W 1	WSW 1	NW 1	0	1	1	.	⊠
2	5.2	**7.9**	6.3	6.5	8.2	619.9	619.8	617.8	**42**	48	48	W 1	SW 1	W 1–2	0	1	0	.	⊠
3	5.4	6.6	−6.0	2.0	3.6	613.5	614.1	614.3	44	46	92	W 2	SSW 3	SW 3	0	4	10*	16.3	✳ 16½–n, ∠ 21 ⊠
4	−8.2	−5.0	−7.8	−7.0	−5.5	616.2	617.1	618.0	88	50	75	W 1	NNE 1	NE 1	10*	5	0	0.6	✳ n–8½ ⊠
5	−7.3	−2.3	−5.0	−4.9	−3.5	616.0	616.7	617.1	55	60	76	ENE 2	NE 1	SW 1	9	9	3	.	⊠
6	−3.9	1.3	−1.0	−1.2	0.1	616.4	617.6	618.2	70	50	78	W 1	WNW 1	NW 1	9	10	10	.	⊠
7	−0.5	1.6	0.0	0.4	1.6	617.3	617.6	616.5	71	72	96	N 1	W 1	NW 1	1	9	10≡	.	≡ III ⊠
8	−0.5	−3.0	−4.3	−2.6	−1.5	614.4	614.3	614.3	96	94	72	SE 1	SW 1	NE 1	10≡	10	9	.	≡ I ⊠
9	−6.0	−3.5	−8.0	−5.8	−4.9	613.3	613.5	614.4	76	74	88	W 1	NW 1	NW 2	9	9	10*	1.2	✳° 18–n ⊠
10	−10.6	−9.5	**−10.8**	−10.3	−9.5	615.4	616.6	618.7	86	87	86	NE 1	NE 2	NE 2	10*	10*	5	9.8	⊠
11	**−10.8**	−7.6	−9.5	−9.3	−8.6	618.0	619.2	619.3	87	92	87	NE 2	ENE 2	NE 2	10≡	7	5	.	⊠
12	−8.3	−3.3	−4.9	−5.5	−4.9	616.5	617.0	616.5	70	70	84	NE 2	NE 1	NE 1	1	3	1	.	⊠
13	−2.6	1.0	−1.8	−1.1	−0.6	615.1	615.1	613.5	54	56	88	ENE 2	SW 1	N 1	1	9	10≡	0.1	≡ 18½–n ⊠
14	−3.2	1.2	−2.2	−1.4	−1.1	611.5	611.4	612.0	91	81	76	NE 1	NNE 1	NE 1	10	10≡	5	.	≡ II ⊠
15	−2.6	2.1	0.0	−0.2	0.0	611.5	613.0	614.0	76	56	84	E 3	ESE 1	NE 1	0	1	0	.	
16	2.3	4.4	1.5	2.7	2.8	614.0	614.6	614.1	74	67	72	SW 1	SW 1	E 1	1	1	1	.	
17	2.0	0.8	−3.0	−0.1	−0.1	612.9	613.2	612.8	65	88	89	NE 1	NNW 1	NW 1	3	10≡	10≡	.	≡ II, III
18	−6.0	−6.7	−8.3	−7.0	−7.2	612.1	612.8	612.1	88	90	63	ENE 1	NE 1	NE 1	10≡	10≡	2	.	≡ I, II
19	−8.7	−6.0	−6.8	−7.2	−7.5	611.5	612.4	611.9	78	46	55	NE 1	W 0	SW 2	1	3	3	8.8	
20	−7.5	−7.6	−9.0	−8.0	−8.4	610.9	612.0	613.0	84	88	88	SW 1	NW 2	NE 1	10*	10≡	10*	12.6	✳ zeitw., ≡ II ⊠
21	−9.6	−7.5	−10.2	−9.1	−9.7	613.3	613.0	612.7	85	89	87	NE 1	NE 1	NE 1	10≡	10≡	10≡	3.1	✳° p zeitw., ≡ n–n ⊠
22	−8.9	−4.5	−7.5	−7.0	−7.7	611.3	611.3	611.3	76	91	81	E 1	SW 1	W 1	0	5	5	.	⊠
23	−7.2	−2.9	−5.5	−5.2	−6.0	610.5	611.1	611.5	76	65	88	WSW 2	SW 1	SW 1	7	9	5	0.3	⊠
24	−3.8	0.5	−3.2	−2.2	−3.2	611.6	612.1	612.1	78	52	96	SW 1	WSW 1	W 1	2	5	10	5.2	✳° p zeitw. ⊠
25	−4.8	−2.6	−5.2	−4.2	−5.3	611.4	610.6	610.6	92	94	94	NW 1	NW 1	NE 1	10*	10*	10	13.5	✳ I, II, ⊠
26	−4.8	−3.0	−6.0	−4.6	−5.8	609.5	609.9	609.4	60	66	94	E 2	NE 2	NE 2	1	3	1	.	⊠
27	−5.0	−2.1	−6.3	−4.5	−5.9	607.3	608.2	609.6	55	80	72	SW 1	SW 0	W 1	8	10≡	3	1.8	≡ II ⊠
28	−2.5	−1.4	−2.0	−2.0	−3.5	609.2	610.5	610.6	75	65	68	WSW 1	E 0	E 1	1	5	3	.	⊠
29	0.0	2.7	−2.8	0.0	−1.7	609.2	608.5	607.1	76	65	84	SE 1	NW 0	W 2	6	6	10*	**23.7**	✳ ⸗ 15–16, 18½–n ⊠
30	−4.4	−3.4	−5.8	−4.5	−6.3	**605.2**	605.9	606.5	92	92	90	W 2	W 0	W 1	10*	10*	10≡	10.2	✳ I, II, ≡ III ⊠
																		Summe	
Mittel	−3.9	−1.5	−4.4	−3.3	—	613.2	613.7	613.7	75	71	80				5.3	6.8	5.7	107.2	

April 1938.
Beobachter: *P. Nogler.*

Bevers

$\lambda = 9^\circ 53'$, $\beta = 46^\circ 33'$,
$H_b =$ ca. 1710^m, $G = -0.23$ m/m.

Tag	Lufttemperatur 7³⁰	13³⁰	21³⁰	Mittel	Abweich. vom Normalst	Luftdruck 7³⁰	13³⁰	21³⁰	Relative Feuchtigkeit 7³⁰	13³⁰	21³⁰	Windrichtung und Stärke 7³⁰	13³⁰	21³⁰	Bewölkung 7³⁰	13³⁰	21³⁰	Niederschlag	Witterung
1	-2.8	**11.6**	0.9	3.2	4.8	627.2	627.2	**627.7**	93	32	72	W 0	NW 1	W 0	0	0	0	.	
2	-3.8	11.5	1.5	3.1	4.6	626.8	624.5	624.7	95	**30**	68	W 0	NW 1	SW 1	0	8	0	.	
3	-1.6	**11.6**	-1.9	2.7	4.0	619.8	616.2	618.5	80	41	83	SW 0	SW 3	N 3	0	5	10*	2.3	● 19¼-20, ✳ 20-n
4	-4.7	-1.2	-6.2	-4.0	-2.8	620.9	622.0	624.3	63	47	65	NE 2	E 3	W 1	10	2	1	.	
5	-7.9	2.3	-2.8	-2.5	-1.5	623.0	621.5	622.6	87	43	62	W 1	NW 3	N 2	3	8	3	.	
6	-5.3	3.7	0.7	-0.3	0.6	622.4	622.5	623.4	91	49	68	NW 1	NW 2	NW 1	7	6	10	.	
7	-0.4	7.3	2.9	3.3	4.0	623.2	622.0	621.6	90	49	73	NW 1	WNW 2	NW 1	7	2	9	.	
8	3.6	1.2	-3.2	0.5	1.1	618.8	618.0	619.4	65	98	90	SE 2	NE 2	NE 1	4	10*	10*	0.4	✳ ✢ 8½-mtgs., ⸗ 13
9	-2.8	1.4	-3.8	-1.7	-1.3	618.5	618.1	618.9	66	44	62	NW 1	NW 2	N 2	7	6	7	0.1	✢ 18-21
10	-5.8	-2.2	-7.7	-5.2	-4.9	621.1	622.4	624.3	59	45	56	NE 1	NE 3	N 2	9	9	5	.	
11	-9.3	-1.6	-5.8	-5.6	-5.5	623.9	623.5	624.7	69	43	59	NE 1	NE 4	NE 2	0	3	1		
12	-8.0	3.6	-2.8	-2.4	-2.5	623.0	621.9	622.4	89	41	80	NE 3	NE 2	NE 2	0	0	0	.	
13	-6.9	6.8	0.6	0.2	0.0	621.1	619.2	618.4	99	40	92	W 0	N 1	N 0	1	9	10*	0.0	✳ ✢ 16-n
14	1.8	5.9	0.3	2.7	2.3	616.6	616.3	617.2	71	54	68	W 0	NW 2	NW 1	6	3	0	.	
15	0.3	8.5	0.1	3.0	2.4	618.3	618.0	618.2	77	41	85	SW 1	WSW 2	SW 0	0	0	0	.	
16	-1.1	10.5	0.6	3.3	2.6	618.3	619.2	620.4	94	34	60	SW 0	NW 1	NW 1	1	0	0	.	
17	0.1	10.4	2.8	4.4	3.5	619.5	617.8	618.1	70	38	80	SW 0	S 2	W 2	1	5	5	.	
18	1.2	4.4	-4.2	0.5	-0.6	617.1	616.7	618.0	58	40	61	WNW 1	SW 2	N 2	4	5	0	.	
19	-5.8	0.2	-6.5	-4.0	-5.5	617.2	616.6	617.7	53	41	55	W 0	SW 2	W 0-1	0	0	0	0.0	
20	-6.2	-3.2	-6.4	-5.3	-6.7	615.9	616.9	618.7	83	67	71	SW 0	NW 1	N 1	10	10	10	0.2	
21	-8.2	-4.2	-7.6	-6.7	-8.3	618.8	618.2	618.5	81	55	65	NE 1	N 2	N 3	5	10	0	.	
22	**-10.2**	-1.1	-7.0	-6.1	-7.9	617.7	617.8	617.2	86	58	67	NW 1	WSW 3	NW 1	0	5	0	.	
23	-6.5	0.7	-3.2	-3.0	-5.0	616.5	616.2	617.7	77	48	71	W 0	SW 2	W 1	0	6	0	.	
24	-2.0	3.0	-1.2	-0.1	-2.3	617.4	617.1	618.2	61	49	82	NW 0	SSW 3	SW 1	0	4	5	0.3	✢ p zeitw.
25	-1.0	-0.1	-2.5	-1.2	-3.5	616.4	616.1	616.2	85	78	100	S 1	W 1	N 1	8	10*	10*	1.9	✳ ✢ a, p zeitw. ⊠
26	-4.5	3.0	-4.9	-2.1	-4.6	615.8	614.8	615.4	83	34	63	N 2-3	N 3	NW 1	0	0	0	.	
27	-2.0	2.5	-6.2	-1.9	-4.6	614.3	613.4	615.5	61	52	97	NNE 1	S 2-3	W 1	8	8	0	0.2	✳ ✢ 16½-19
28	-8.4	6.4	-0.6	-0.9	-3.8	616.5	616.2	617.1	43	31	83	W 1-2	S 1-2	SW 0	0	4	0	.	
29	-1.2	7.2	0.8	2.3	-0.8	616.0	613.5	613.1	81	43	93	SW 0	N 2	NW 0	4	4	8	**3.5**	
30	2.4	5.2	0.0	2.5	-0.8	611.1	**610.9**	612.0	80	57	95	S 0	SW 1	NW 2	9	10*	10	3.2	✳ II
Mittel	-3.6	3.8	-2.4	-0.7	—	619.1	618.5	619.3	76	47	74				3.5	5.1	3.8	Summe 12.1	

April 1938.
Beobachter: *Kapuzinerkloster.*

Sitten

$\lambda = 7^\circ 21'$, $\beta = 46^\circ 14'$,
$H_b = 548.6^m$, $G = -0.11$ m/m.

1	8.2	19.9	14.0	14.0	6.1	720.2	717.9	718.2	75	41	64	NE 1	SW 2	SW 2	0	0	0	.	
2	8.2	20.5	9.4	12.7	4.6	719.1	715.9	714.9	71	35	42	NE 1	WNW 1	W 2	0	0	0		
3	8.3	**21.3**	8.5	12.7	4.5	712.8	709.8	713.8	65	**28**	64	NE 1	W 3	W 4	0	5	10●	0.0	
4	3.1	11.7	6.6	7.1	-1.3	717.6	715.4	717.4	66	34	45	W 1	W 2	W 4	0	0	0	.	
5	2.1	12.3	8.2	7.5	-1.0	718.5	716.4	716.5	73	44	45	N 1	W 2	W 2	9	6	5	.	
6	3.1	14.2	9.4	8.9	0.2	718.2	715.9	716.8	71	40	50	N 1	W 2	W 1	2	4	0	.	
7	5.1	16.0	11.6	10.9	2.1	718.0	714.8	714.3	72	42	58	NE 1	NE 1	NE 1	0	0	0	.	
8	6.4	17.8	9.5	11.2	2.2	714.3	711.3	713.1	77	32	47	NE 1	W 3	W 1	0	5	0	.	
9	6.1	14.1	7.9	9.4	0.3	713.5	711.5	713.7	65	**28**	40	N 1	W 3	W 2	0	2	4	.	
10	3.6	8.2	3.6	5.1	-4.2	716.4	715.5	719.7	59	32	35	NW 2	E 3	E 3	1	3	0	.	
11	1.5	9.6	5.1	5.4	-4.0	**721.2**	717.1	718.2	55	34	44	E 1	W 3	W 4	0	0	0	.	
12	0.5	12.4	7.9	6.9	-2.7	717.9	715.2	715.3	66	39	49	NW 1	SW 2	W 2	0	0	0	.	
13	3.3	13.8	10.6	9.2	-0.5	716.0	712.6	711.4	70	42	48	N 1	W 2	N 1	0	3	6	.	
14	6.7	14.0	10.3	10.3	0.4	711.2	710.0	708.7	67	51	61	N 1	W 1	W 1	9	3	2	.	
15	5.7	16.7	12.7	11.7	1.7	711.7	712.2	712.4	86	48	51	N 1	W 2	W 1	0	0	0	.	
16	8.2	18.5	14.2	13.6	3.4	712.2	712.8	712.4	73	53	47	NNE 1	W 3	W 0	0	2	2	.	
17	8.3	18.4	12.2	13.0	2.7	711.2	708.4	709.9	73	44	60	N 1	W 1	W 3	1	3	5	.	
18	6.8	13.5	6.8	9.0	-1.5	711.2	710.3	711.0	81	47	53	W 1	W 3	W 2	4	3	0	.	
19	3.9	9.5	3.2	5.5	-5.1	712.1	710.7	713.3	64	32	41	N 1	W 4	E 1	4	4	0	0.4	
20	1.6	7.6	1.3	3.5	-7.3	713.5	713.2	716.1	98	33	88	NW 1	NW 2	NW 1	9	6	8	0.0	✳fl. I
21	**0.2**	8.2	1.4	3.3	-7.6	716.8	713.7	714.2	78	30	84	W 1	W 3	W 3	0	7	10	0.6	⊔ fr.
22	0.3	8.7	3.8	4.3	-6.8	714.4	711.7	712.2	98	36	45	W 1	W 3	W 1	10*	8	0	0.1	✳ I
23	1.2	11.5	6.7	6.5	-4.7	712.6	710.4	711.3	61	32	45	N 1	W 3	W 1	5	5	0	.	
24	3.5	15.5	8.2	9.1	-2.3	712.9	710.7	712.0	66	34	49	N 1	W 3	W 2	2	5	4	.	
25	5.4	14.2	8.2	9.3	-2.2	713.2	709.3	709.8	70	38	59	N 1	SW 3	W 3	8	6	5	.	
26	5.0	15.4	8.6	9.7	-2.0	709.4	705.8	706.9	71	39	47	N 1	W 3	NE 2	2	2	2	.	
27	4.6	13.2	8.6	8.8	-3.0	709.8	705.5	707.2	58	38	51	NE 1	SW 3	W 1	0	9	6	.	
28	5.5	16.5	13.0	11.7	-0.3	709.8	707.2	707.8	65	39	41	NE 1	W 2	W 3	0	3	5●	.	● III
29	7.8	18.2	10.8	12.3	0.2	708.6	**704.7**	705.6	62	37	55	NE 1	SW 3	W 1	1●	4	10	**1.5**	● I
30	5.1	7.7	4.3	5.7	-6.6	**704.7**	704.9	705.9	93	67	67	W 2	W 3	W 2	10	8	8	0.5	
Mittel	4.6	14.0	8.2	8.9	—	714.0	711.7	712.7	72	39	52				2.6	3.5	3.1	Summe 3.1	

$\lambda = 8^\circ 57'$, $\beta = 46^\circ 0'$,
$H_b = 276.2^m$, $G = -0.01$ m/m.

Lugano

April 1938.
Beobachter: *G. Vicari.*

Tag	Lufttemperatur 7³⁰	13³⁰	21³⁰	Mittel	Abweich. vom Normalst.	Luftdruck 7³⁰	13³⁰	21³⁰	Relative Feuchtigkeit 7³⁰	13³⁰	21³⁰	Windrichtung und Stärke 7³⁰	13³⁰	21³⁰	Bewölkung 7³⁰	13³⁰	21³⁰	Niederschlag	Witterung
1	10.0	**24.2**	19.8	18.0	8.9	742.3	741.1	742.1	58	34	28	N 1	S 1	NNE 1	0	0	0	.	
2	11.2	21.2	15.0	15.8	6.5	741.7	740.2	739.4	44	42	53	N 1	S 1	N 1	0	0	0	.	
3	8.4	16.8	14.4	13.2	3.8	737.8	733.7	732.5	84	56	33	NNE 0	S 1	NNE 2	0	0	0	.	
4	8.4	14.2	9.2	10.6	1.0	738.6	740.8	741.9	25	22	27	NNE 2	NNE 2	NNE 2	0	0	0	.	
5	3.2	14.0	7.4	8.2	−1.5	744.9	742.4	742.2	51	38	52	N 1	S 0	N 1	5	1	0	.	
6	2.8	14.8	7.6	8.4	−1.4	742.5	740.6	741.1	72	44	58	N 1	S 1	N 1	2	4	0	.	
7	4.6	19.0	11.6	11.7	1.7	741.5	738.3	737.8	74	38	58	N 1	SSE 1	NE 1	0	0	0	.	
8	8.2	21.4	12.2	13.9	3.8	735.6	731.9	736.2	64	24	26	NNE 1	NNE 2	ENE 3	0	0	0	.	
9	5.0	17.4	8.8	10.4	0.2	738.1	734.5	736.4	53	32	23	N 1	S 1	ENE 2	0	0	0	.	
10	6.2	11.0	5.6	7.6	−2.8	741.1	741.3	745.0	28	24	32	ENE 2	N 3	N 2	0	2	0	.	
11	1.8	14.6	6.0	7.5	−3.0	**745.1**	742.3	745.0	41	28	43	W 1	E 1	S 1	0	0	0	.	
12	**1.2**	14.0	7.8	7.7	−2.9	744.6	741.9	740.7	64	42	53	N 1	S 1	N 1	0	0	0	.	
13	3.8	15.8	11.6	10.4	−0.4	740.0	735.6	733.5	68	38	41	N 1	S 1	NNE 2	8	10	5	.	
14	15.2	18.4	12.6	15.4	4.5	731.3	730.7	730.1	34	42	51	NNE 2	S 1	N 1	10	4	0	.	
15	9.0	14.8	10.2	11.3	0.3	736.6	737.5	738.4	75	51	63	SW 1	S 1	N 1	7	1	0	.	
16	7.8	18.2	11.6	12.5	1.3	739.3	736.5	735.9	81	38	57	NE 0	S 1	N 1	8	0	0	.	
17	9.6	18.8	13.6	14.0	2.7	738.1	736.3	735.2	76	37	53	ESE 0	E 1	N 1	10	3	8	1.4	●° 22–23
18	8.6	21.2	11.4	13.7	2.3	734.1	732.0	734.3	78	**14**	18	N 1	ENE 2	NNE 2	7	0	0	.	
19	5.6	13.2	7.2	8.7	−2.9	737.2	735.6	737.3	78	43	27	S 1	S 1	N 2	8	2	0	.	
20	2.2	14.6	7.6	8.1	−3.6	737.5	735.3	738.7	57	24	28	N 1	NNE 2	E 1	0	4	0	.	
21	4.4	10.6	4.4	6.5	−5.3	739.8	738.6	739.2	55	26	61	S 1	NNW 1	N 1	1	8	0	.	
22	1.6	10.6	3.8	5.3	−6.7	739.2	737.2	738.5	52	42	58	N 0	S 1	N 1	0	10	0	.	
23	2.6	14.6	7.6	8.3	−3.8	736.8	735.2	736.3	67	31	48	NNE 1	SSE 1	E 1	4	4	0	.	
24	4.6	15.8	8.6	9.7	−2.5	737.7	735.9	736.8	63	41	64	N 1	S 1	NE 1	5	5	0	.	
25	6.2	12.6	8.0	8.9	−3.5	736.0	733.2	733.1	78	54	58	N 1	S 1	N 1	1	10	0	.	
26	6.6	14.8	9.0	10.1	−2.4	734.5	732.7	734.0	83	48	68	N 1	S 1	S 0	7	2	10	2.3	
27	6.6	10.2	8.0	8.3	−4.3	734.8	734.3	735.1	88	56	66	N 0	E 0	N 1	10●	7	8	0.4	●° n–8
28	4.6	14.2	10.8	9.9	−2.9	735.9	735.4	736.3	74	41	54	N 1	S 1	N 1	1	2	10	.	
29	9.6	14.2	10.2	11.3	−1.6	735.3	732.9	731.5	76	48	68	NE 0	S 1	W 1	10	10	10●	5.9	● 20–n
30	8.8	14.8	10.6	11.4	−1.7	729.9	**729.1**	729.5	88	52	73	E 0	SE 1	ENE 1	10●	8	10●	**42.0**	● I, 15½–n
																		Summe	
Mittel	6.3	15.7	9.7	10.6	—	738.3	736.4	737.1	64	38	48				3.8	3.2	2.0	52.0	

$\lambda = 7^\circ 35'$, $\beta = 47^\circ 33'$,
$H_b = 318^m$, $G = 0.11$ m/m.

Basel

April 1938.
Beobachter: *Astronom.-Meteorol. Anstalt.*

1	5.4	18.4	9.4	11.1	—	742.6	742.4	742.0	97	42	70	SSE 0	WNW 1	SSW 1	2	1	0	.	⌓ fr.
2	6.6	**22.1**	9.8	12.8	—	740.8	738.7	736.4	77	**24**	60	ESE 1	WNW 1	S 1	0	1	0	.	
3	7.2	15.2	2.8	8.4	—	732.4	731.8	739.5	70	44	82	NNW 1	W 3	SSE 1	0	10	8	5.0	● 14¾–19¼ m.U.
4	0.6	7.8	0.9	3.1	—	742.6	742.4	743.2	82	40	77	SSE 1	WNW 1	S 1	0	4	0	.	
5	0.4	10.2	3.7	4.8	—	742.0	741.1	740.8	80	36	69	ESE 1	N 1	S 1	10	3	2	.	⊕° (16)
6	3.2	14.0	8.3	8.5	—	740.4	740.3	740.4	73	37	70	E 1	NW 1	SSW 1	10	7	9	.	
7	7.2	12.8	9.7	9.9	—	739.9	739.1	738.0	80	58	70	SE 1	N 1	SSW 1	2	10	8	.	◡ 20–n
8	8.3	12.1	3.3	7.9	—	737.3	737.4	737.5	71	40	73	WNW 1	N 1	SW 1	10	2	9	.	
9	3.4	7.9	2.9	4.7	—	738.1	738.3	740.7	70	42	73	WNW 1	N 1	NNW 1	10	8	10	.	⌓° fr.
10	−1.4	6.3	0.6	1.8	—	743.5	744.0	746.9	90	44	76	WNW 1	NE 1	NE 1	9	6	1	.	✳° 10¾–11, ⌣ fr.
11	**−1.8**	7.8	1.4	2.5	—	**747.1**	746.3	746.3	84	37	69	WNW 1	ENE 1	ENE 0	1	8	0	.	⌣ fr.
12	−1.5	12.5	5.8	5.6	—	743.9	741.5	740.7	78	28	58	SW 1	ENE 2	NNE 1	0	4	1	.	⌣ fr.
13	1.4	14.2	7.7	7.8	—	739.4	737.2	736.2	67	43	76	S 1	NW 1	NW 1	1	5	10	.	⌣ fr.
14	6.4	12.6	6.9	8.6	—	734.4	733.3	734.0	90	55	76	NW 1	NNW 1	SW 0	10	10	10	.	
15	4.7	17.1	9.6	10.5	—	734.7	733.7	734.7	92	34	54	SW 1	NNE 1	NE 1	10≡	1	0	.	≡ I
16	3.6	17.6	8.8	10.0	—	735.9	734.9	734.9	85	39	68	SSE 1	NNW 1	WSW 1	0	0	1	.	
17	4.6	13.2	7.1	8.3	—	735.6	734.7	735.8	86	52	62	SSW 1	N 1	N 1	8	10	9	.	
18	1.2	9.3	2.8	4.4	—	737.9	737.[illegible]	737.8	85	35	52	WNW 1	NNW 1	NW 1	10	5	7	.	
19	0.2	9.3	3.9	4.5	—	738.2	736.9	735.7	80	**24**	53	SW 1	NW 1	SW 1	1	1	4	1.0	⌣° fr.
20	2.8	6.0	0.4	3.1	—	736.9	737.6	739.7	74	46	89	NE 1	N 1	WNW 1	2	8	5	0.1	✳°sch. 2¼–14¼ zeitw.
21	0.8	3.8	0.0	1.5	—	740.2	739.2	739.1	78	64	96	SW 0	ESE 1	W 1	10	10✳	10	0.4	✳ 12¼–14½ m.U., 20–21½
22	−0.2	6.7	2.4	3.0	—	738.0	736.0	734.8	83	47	65	NW 1	WNW 1	SSW 1	10	3	8	.	⊕° (18)
23	2.6	8.8	3.2	4.9	—	734.9	734.6	734.5	70	53	80	E 1	W 1	SSE 1	9	10	6	.	
24	3.6	11.8	5.4	6.9	—	735.1	734.6	735.3	73	49	80	NE 1	SSW 1	S 1	1	8	9		
25	5.4	9.1	5.5	6.7	—	734.6	733.6	734.1	80	62	80	S 1	WNW 1	NNW 1	10	10●	9	1.9	● 13½–14½, 18¼
26	2.2	11.9	5.6	6.6	—	733.7	732.5	732.5	82	33	71	E 1	E 1	E 1	2	1	0	.	⌣° fr.
27	1.2	6.9	4.8	4.3	—	731.0	731.1	731.3	85	65	74	SW 1	ENE 1	NE 1	10	10	1	.	
28	2.2	12.9	5.0	6.7	—	732.1	731.8	731.6	80	46	84	SE 1	NE 1	SSW 1	1	8	0	.	⌣ fr.
29	5.3	17.8	5.3	9.5	—	731.0	728.2	728.9	78	39	92	E 1	NNW 1	NW 1	0	4	10●	**5.3**	● 18¾–23¾ m.U.
30	3.6	8.7	2.4	4.9	—	**727.6**	728.2	728.7	83	50	82	SSW 1	WSW 1	WSW 1	10	4	3	.	
																		Summe	
Mittel	3.0	11.5	4.8	6.4	—	737.4	736.6	637.1	80	44	73				5.3	5.7	5.0	13.7	

April 1938.
Beobachter: *Observatorium*

Säntis

$\lambda = 9^\circ 20'$, $\beta = 47^\circ 15'$,
$H_b = 2500.1^m$, $G = -0.27$ m/m.

Tag	Lufttemperatur 7³⁰	13³⁰	21³⁰	Mittel	Abweich. vom Normalst.	Luftdruck 7³⁰	13³⁰	21³⁰	Relative Feuchtigkeit 7³⁰	13³⁰	21³⁰	Windrichtung und Stärke 7³⁰	13³⁰	21³⁰	Bewölkung 7³⁰	13³⁰	21³⁰	Niederschlag	Witterung
1	-0.6	1.2	-1.4	-0.3	6.1	569.0	**569.7**	569.3	100	61	90	WNW 2	WSW 2	WNW 2	10≡	1	1	.	
2	-1.2	1.2	0.6	0.2	6.5	567.5	567.6	565.9	53	50	63	WSW 3	W 3	W 3	1	1	0	.	
3	0.4	-0.1	-12.3	-4.0	2.2	561.0	559.4	560.3	51	78	100	W 4	SW 4	N 2	1	10	10≡*	13.3	△≡16½-17, ✳ ≡ 17-n, ⸗ n-p
4	-13.7	-9.7	-12.4	-11.9	-5.7	561.2	562.5	563.7	98	80	90	NNW 1	W 1	WNW 1	10≡*	8*	10≡	1.3	✳ ⁾n-18 m.U., ≡ n-n m.U.
5	-8.3	-7.0	-10.6	-8.8	-2.7	562.2	562.7	562.9	71	80	92	NNW 1	SSW 1	NE 2	10	8	10	.	✳ 15-18¼, ⊕ a
6	-0.7	-5.6	-6.8	-7.4	-1.4	562.4	563.9	564.8	94	83	100	WNW 2	NW 2	W 2	7	10≡	10≡	0.2	✳° 9½-12 m.U., ≡ 11-n
7	-5.4	-3.2	-4.0	-4.2	1.7	564.2	564.2	563.5	96	99	100	NW 1	W 2	WSW 2	10	10≡	10≡	3.7	≡ 8-n
8	-4.6	-9.0	-10.8	-8.1	-2.2	560.9	560.0	560.1	98	92	95	WNW 3	NW 3	NNW 2	10≡	10≡	10≡*	5.2	✳ 8¼-n m.U., ≡ n-n, ∨ !
9	-12.4	-9.6	-13.8	-11.9	-6.1	558.8	559.1	560.0	95	95	92	NW 3	WNW 2	NNE 2	10≡*	10≡*	10≡*	10.5	✳ ≡ n-n
10	-10.0	-14.2	**-16.4**	-15.5	-9.8	560.4	561.9	563.8	95	95	93	NNE 2	NE 2	NE 2	10≡*	10≡*	10≡*	4.3	✳ ≡ n-n
11	-16.0	-13.6	-14.3	-14.6	-9.0	563.2	564.6	564.6	86	87	85	NE 3	NE 2	NE 3	4	10≡*	10≡	0.2	✳° 12½-16, ≡ 9-n m.U.
12	-12.3	-9.8	-5.8	-9.3	-3.8	562.9	563.5	562.9	85	90	60	NE 3	E 2	NE 3	4	8	0	.	≡ 8½-19½ m.U.
13	-4.8	-5.8	-6.2	-5.6	-0.2	562.2	562.0	560.1	55	74	98	NNE 2	NNW 3	NNW 2	1	6	10≡	2.2	✳ 15-19 m.U., ≡ 14¼-n
14	-6.8	-2.8	-7.3	-5.6	-0.3	558.4	558.7	559.4	97	98	96	NNE 0	SSW 1	NNE 2	10≡	10≡	2	.	✳° 9½-11 m.U., ≡ n-21
15	-7.0	-2.4	-2.6	-4.0	1.2	559.1	560.8	561.8	94	35	**30**	ENE 3	ENE 3	WNW 2	0	0	1	.	
16	-2.8	-2.2	-4.4	-3.1	1.9	561.5	562.1	562.2	85	69	78	SW 3	WSW 3	NNW 2	6	2	0	.	≡ 8-17 m.U.
17	-1.6	0.2	-6.2	-2.5	2.4	560.9	560.9	560.3	40	52	100	N 1	SSW 1	WSW 1	5	8	10≡*	0.6	✳° 20½-n, ≡ 15½-n
18	-8.8	-6.6	-13.5	-9.6	-4.8	558.3	558.9	558.8	92	90	88	W 1	W 1	N 0	10≡*	10≡	10≡*	0.7	✳° 6-9½, 16-n m.U., ≡ n-n m.U.
19	-12.8	-10.4	-12.8	-12.0	-7.4	557.0	557.8	557.6	82	61	87	NNW 1	NNW 1	WSW 2	3	9	10*	11.2	✳ 10-n ztw., ≡ 8½-15
20	-12.6	-12.5	-14.4	-13.2	-8.7	556.2	557.2	558.5	91	86	90	N 1	NW 3	NNE 1	10≡*	10≡*	10≡*	**19.8**	✳ ≡ n-n
21	-15.2	-11.3	-15.4	-14.0	-9.7	558.4	558.5	558.4	86	85	80	NE 1	NNE 1	NNE 0	10≡*	10≡*	10≡	1.2	✳ n-12, 13¼-15¾, ≡ n-n m.U.
22	-14.4	-10.8	-14.2	-13.1	-8.9	556.9	557.1	557.0	67	74	78	NE 1	SW 1	W 2	1	3	5	0.8	✳ sch. 15½-15¾, ≡ 15¼-16¼
23	-13.4	-7.6	-9.9	-10.3	-6.3	556.2	557.0	558.3	84	87	88	W 3	W 2	WSW 2	10≡*	10≡*	10≡	1.5	✳ n-19 m.U., ≡ n-n
24	-9.4	-7.4	-8.7	-8.5	-4.7	558.0	558.4	559.0	86	88	92	WNW 1	WNW 2	N 1	10≡	10≡*	10≡*	14.6	✳° 10¾-17, ≡ n-n
25	-9.4	-7.4	-11.0	-9.3	-5.6	557.4	557.0	557.5	85	85	88	WNW 1	WNW 2	N 1	10≡*	10≡*	10≡	18.5	✳ n-20, ≡ n-n
26	-11.3	-9.4	-12.0	-10.9	-7.4	556.1	556.6	556.3	52	69	90	NE 2	ENE 1	NE 3	1	3	0	2.0	✳ 16-19, ≡ 14-20½
27	-10.6	-6.2	-10.0	-8.9	-5.6	553.7	555.0	555.8	90	74	94	SW 1	SW 1	W 1	10≡*	10≡*	10≡	4.2	✳ n-15, ≡ n-n m.U.
28	-8.6	-5.0	-6.8	-6.8	-3.7	555.8	557.9	558.3	57	83	90	WNW 3	WNW 3	SSW 1	4	4	1	.	✳ 8½-16 m.U.
29	-3.6	-1.8	-5.6	-3.7	-0.8	556.7	556.2	554.5	77	70	96	W 1	W 2	WSW 2	3	8	10≡*	11.8	✳ 16-n m.U., △sch. ⊼ *)
30	-9.1	-4.8	-9.4	-7.8	-5.1	**552.5**	553.1	553.5	92	96	95	W 2	N 0	NE 2	10≡*	10≡*	10≡*	3.0	✳ n-n m.U., ≡ n-n
Mittel	-8.7	-6.5	-9.3	-8.2	—	559.6	560.1	560.3	81	79	87				6.7	7.6	7.3	Summe 130.8	*) **29.** 13¼-13½, ≡ 19½-n

April 1938.
Beobachter: Frl. *F. Lombardi.*

St. Gotthard (Hospiz)

$\lambda = 8^\circ 34'$, $\beta = 46^\circ 33'$,
$H_b = 2095.7^m$, $G = -0.25$ m/m.

1	5.0	5.5	1.5	4.0	8.6	598.1	**599.0**	598.6	50	50	60	N 1	N 1	N 2	0	0	0	.	
2	4.0	4.5	2.0	3.5	8.0	596.0	597.3	595.0	45	38	41	N 1	N 1	N 1	0	0	0	.	
3	1.0	7.0	-7.0	0.3	4.8	592.7	589.3	589.0	40	34	60	NE 1	SW 1	N 2	0	0	10*≡	14.5	✳ ⸗ ≡ n-n
4	-10.2	-9.2	-11.2	-10.2	-5.8	590.3	592.2	593.9	90	90	80	N 3	N 2	N 2	10≡	0	0	.	≡ n-9
5	-5.5	-5.0	-7.2	-5.9	-1.6	592.5	592.5	593.3	70	48	50	NE 1	NE 1	N 1	10	2	0	.	
6	-6.8	-3.5	-4.0	-4.8	-0.6	592.5	593.3	593.5	48	50	61	N 1	N 1	N 1	4	10	10	.	
7	-3.0	-0.5	-1.5	-1.7	2.4	594.3	593.6	592.3	50	47	78	NE 1	N 1	N 2	2	0	10≡	.	≡ 19½-n
8	-1.0	-4.0	-8.5	-4.5	-0.5	590.5	589.4	589.9	78	60	93	NE 1	N 3	N 3	2	10≡	10*≡	4.5	✳ ⸗ 16¼-n, ≡ 11-n
9	-9.0	-5.2	-9.8	-8.0	-4.2	590.0	589.8	589.1	81	62	88	N 3	N 1	N 3	10≡	2	8≡	9.5	✳ ⸗ 15-n, ≡ n-10, p-n
10	-13.6	-10.0	-12.4	-12.0	-8.4	590.1	591.2	593.8	78	76	87	N 3	N 3	N 3	8	8	8	4.9	✳ ⸗ zeitw.
11	-10.8	-8.8	-10.6	-10.1	-6.6	593.7	594.3	595.1	80	63	98	N 1	N 1	N 2	0	0	6	.	
12	-10.4	-4.0	-6.8	-7.1	-3.8	592.8	593.2	592.8	69	**22**	52	N 1	N 1	N 2	0	0	0	.	
13	-4.7	-1.8	-3.0	-3.2	-0.1	591.5	591.4	589.3	40	47	71	N 1	NE 1	NE 3	0	5	5	0.7	
14	-4.8	-1.6	-3.2	-3.2	-0.3	587.4	587.7	587.8	74	66	81	NE 2	NE 2	N 2	8	2	10≡	.	≡ 18-n
15	-2.4	1.4	-1.4	-0.8	1.9	588.3	589.9	591.3	68	42	78	N 1	N 1	N 1	0	0	0	.	
16	-3.0	1.8	-0.4	-0.5	2.0	590.9	591.4	591.6	65	65	80	N 1	N 1	N 1	0	0	5	.	
17	-3.4	4.6	-2.0	-0.3	2.0	590.6	590.3	589.7	78	41	100	NE 0	NE 0	NE 0	3	2	10≡	0.5	≡ 17½-n
18	-5.5	-4.4	-6.8	-5.6	-3.5	588.2	588.6	588.5	95	95	89	N 1	N 1	N 1	8	8	10≡	0.7	≡ 15-n
19	-8.6	-8.2	-8.4	-8.4	-6.5	587.2	587.5	587.9	81	65	53	E 0	N 1	N 1	5	3	3	3.0	
20	-9.8	-7.6	-11.2	-9.5	-7.8	587.4	587.6	588.4	65	63	64	N 2	N 2	N 3	10	8	10*≡	13.1	✳ ⸗ 20-n, ≡ 18-n
21	-12.0	-8.8	-11.4	-10.7	-9.2	588.8	588.8	588.5	80	64	71	N 2	N 2	N 2	10*≡	8≡	8≡	1.5	≡ ⸗ n-10, ≡ n-n
22	-17.2	-8.8	-12.4	-12.8	-11.5	587.4	587.3	587.6	60	43	58	N 1	N 1	N 2	0	1	0	.	
23	-7.2	-4.0	-12.7	-8.0	-6.9	586.7	587.3	588.4	51	46	64	N 1	N 0	N 1	3	7	8	.	
24	-4.8	-1.6	-5.4	-3.9	-3.0	588.4	588.6	588.6	70	38	88	N 0	N 0	N 1	0	5	10≡	1.5	≡ 19-n
25	-5.0	-3.3	-5.4	-4.6	-3.9	587.5	587.2	586.9	72	68	71	N 1	N 1	NW 2	5≡	5≡	10*≡	4.7	✳ 9¼-11½, 15¾-n, [≡ n-n
26	-8.0	-4.5	-7.0	-6.5	-6.0	586.0	586.2	585.7	75	49	71	N 1	N 1	N 1	7	0	5	.	
27	-2.8	-5.2	-7.2	-5.1	-4.8	584.5	584.6	585.5	67	60	63	N 0	N 0	N 0	2	10*	5	0.5	✳ 12¼-14
28	-5.4	0.8	-1.4	-2.0	-1.9	586.2	587.8	587.8	64	49	50	E 0	S 1	S 1	0	5	5	.	
29	-2.2	1.0	-2.4	-1.2	-1.3	586.6	585.9	584.6	70	55	60	SE 1	SE 1	SE 1	10≡	5	8	2.5	✳ 18¼-19¼, ≡ n-9
30	-1.8	-4.2	-7.2	-4.4	-4.7	582.3	**582.2**	582.7	71	68	70	SE 1	N 1	NW 2	8	10*	10*≡	**37.0**	✳ 9¼-n, ≡ 14-n
Mittel	-5.6	-2.9	-6.2	-4.9	—	589.7	589.8	589.9	68	56	71				4.2	3.9	6.1	Summe 99.1	

$\lambda = 7^\circ 26'$, $\beta = 46^\circ 57'$,
$H_b = 572.2^m$, $G = 0.00\,^m/_m$.

Bern

Mai 1938.
Beobachter: *Tellur. Observatorium.*

Tag	Lufttemperatur 7³⁰	13³⁰	21³⁰	Mittel	Abweich. vom Normalst.	Luftdruck 7³⁰	13³⁰	21³⁰	Relative Feuchtigkeit 7³⁰	13³⁰	21³⁰	Windrichtung und Stärke 7³⁰	13³⁰	21³⁰	Bewölkung 7³⁰	13³⁰	21³⁰	Niederschlag	Witterung
1	3.2	5.0	2.7	3.6	−6.8	704.8	705.0	704.5	88	77	85	NE 0	SE 1	N 0	10	10	1	0.7	● 0–9¼ m.U.
2	1.3	7.5	4.8	4.5	−6.1	705.8	706.9	707.6	91	67	75	W 0	NE 0	SE 0	10≡*	8	0	2.7	* 6½–10 m.U., ≡ 6½–8
3	2.3	14.3	10.0	8.9	−1.8	708.2	706.4	707.8	89	43	63	E 0	NE 1	W 1	0	0	10	2.1	● 20–20¼, △ fr.
4	8.0	13.4	6.9	9.4	−1.5	709.8	709.2	709.0	89	57	79	SE 1	NE 2	NNE 1	8	3	0	.	● 1¼–5
5	4.1	12.0	10.5	8.9	−2.1	708.0	706.6	706.2	74	54	48	NNE 1	NE 1	NE 1	10	3	10	.	
6	8.5	15.8	12.1	12.1	1.0	708.4	707.4	707.9	59	42	66	E 0	NE 2	WSW 2	10	4	10	.	☾ 21½
7	10.0	16.8	11.0	12.6	1.3	708.5	707.3	708.5	80	36	72	S 0	N 1	E 0	9	7	10	1.4	● 14½–15, 23½–24
8	9.6	15.0	9.2	11.3	−0.1	709.9	710.0	712.0	83	49	67	S 0	NNE 1	NE 1	0	7	0	.	● 0½, △ fr.
9	6.0	14.8	13.2	11.3	−0.2	711.4	709.4	708.1	83	57	63	NE 0	NE 1	SE 0	10	5	10	.	
10	11.0	18.0	11.8	13.6	1.9	707.9	708.3	711.4	82	43	71	SE 0	NE 1	E 0	2	8	6	.	
11	8.2	16.2	13.4	12.6	0.8	713.9	714.5	715.5	70	31	44	N 1	NE 2	NE 1	0	0	0	.	△ fr.
12	7.5	19.5	14.8	13.9	2.0	716.7	715.9	714.7	86	31	42	S 0	WNW 1	SE 0	3	3	0	.	
13	9.7	20.8	14.7	15.1	3.0	716.5	715.4	714.1	81	23	45	S 0	N 0	SW 0	3	1	0	.	
14	10.7	22.3	16.2	16.4	4.2	714.2	712.4	711.5	78	25	50	SE 0	NE 0	S 0	0	0	7	.	
15	12.0	18.0	14.4	14.8	2.5	714.7	712.8	713.9	75	49	73	S 0	W 2	SE 0	0	10	10	0.0	●° 16–n
16	13.0	20.7	16.6	16.8	4.4	714.0	712.3	710.2	84	47	48	E 0	E 1	S 0	8	9	10	.	
17	11.9	16.5	9.5	12.6	0.0	709.3	708.8	711.7	81	58	90	W 0	WSW 1	SW 1	10	10	10●	4.6	● 15¼–16¼, 20¼–22¼
18	9.0	14.4	13.0	12.1	−0.6	710.6	708.0	706.1	85	60	49	W 0	WSW 1	SW 1	10	8	5	0.0	●° 21
19	10.0	14.5	10.0	11.5	−1.3	704.9	704.7	706.2	82	59	89	NE 0	NE 1	W 1	10	10	10●	21.7	● 17¼–18, 20–n
20	5.1	5.3	3.5	4.6	−8.3	708.2	708.4	709.0	91	86	90	NW 0	W 0	SE 1	10●	10	10	7.3	● n–12, 16–17½, 22½–23¼
21	3.1	5.4	5.4	4.6	−8.5	707.2	707.4	708.9	93	90	89	NE 0	NE 1	NE 0	10●	10	10	0.4	● 0–8¼, 15½
22	6.2	7.0	7.2	6.8	−6.4	710.7	711.7	712.9	87	85	89	SE 0	E 0	E 0	10	10	10	4.4	● 10½–12, 14¼–21¾
23	8.0	12.9	12.4	11.1	−2.2	713.2	713.1	713.0	88	68	70	E 0	NNE 1	NW 0	10	9	10	2.0	
24	10.1	9.7	9.7	9.8	−3.6	711.2	711.5	713.2	94	89	72	W 1	W 1	SW 0	10●	10	10	3.9	● 0¼–12¼, 22¾–23
25	7.2	11.5	10.4	9.7	−3.8	712.1	711.4	711.3	89	58	64	W 0	W 1	SW 0	10●	10	10	1.7	● 5¾–8
26	8.2	16.4	13.4	12.7	−1.0	710.7	709.4	707.3	82	40	55	E 0	NE 1	SE 0	0	0	1	.	
27	12.5	21.5	16.2	16.7	2.9	705.6	703.9	704.0	73	42	60	SE 0	NE 1	SW 1	7	9	10	9.1	△ fr.
28	7.0	10.0	9.5	8.8	−5.1	706.1	706.4	709.6	89	84	76	W 1	SE 1	SW 2	10●	10	10	2.9	● 0¼–9½, 16¾–21¾
29	9.0	10.7	11.0	10.2	−3.8	710.4	712.0	712.3	83	77	78	W 1	W 2	SW 0	10	10	10	2.0	● 5¼–9¼, 12¼–13, 23¼–23½
30	10.5	16.0	12.8	13.1	−1.0	710.4	709.7	711.5	83	60	87	W 1	WSW 4	WSW 2	10	10	10	8.5	● 6¼, 6¾–7, 17½–21
31	11.2	18.5	16.2	15.3	1.1	715.0	714.3	713.0	86	43	64	N 0	W 1	S 0	7	1	1	.	● 2–5¼
Mittel	8.2	14.2	11.0	11.1	—	710.3	709.7	710.1	83	56	68				7.0	6.6	6.8	75.4	

$\lambda = 6^\circ 57'$, $\beta = 47^\circ 0'$,
$H_b = 487.3^m$, $G = 0.02\,^m/_m$.

Neuchâtel

Mai 1938.
Beobachter: *Observatorium.*

Tag	7³⁰	13³⁰	21³⁰	Mittel	Abweich.	7³⁰	13³⁰	21³⁰	7³⁰	13³⁰	21³⁰	7³⁰	13³⁰	21³⁰	7³⁰	13³⁰	21³⁰	Niederschlag	Witterung
1	3.6	6.9	3.2	4.6	−6.5	712.9	712.8	712.3	82	56	93	E 0	SE 1	NE 0	10	10	2	2.0	● 19½–n
2	1.8	7.8	4.7	4.8	−6.5	714.1	715.0	715.5	96	73	77	NE 0	SE 1	N 0	10●	9	0	1.9	● n–10¼
3	3.2	16.7	9.4	9.8	−1.6	716.5	714.4	716.1	87	30	74	E 1	NE 1	SW 2	0	1	10	1.3	
4	8.1	16.4	8.1	10.9	−0.7	717.8	717.2	717.0	93	53	71	NE 0	NE 2	E 3	7	2	0	.	
5	5.2	14.9	12.2	10.8	−0.9	716.2	714.6	714.2	66	49	37	NE 2	E 2	NE 3	10	4	7	.	
6	8.5	19.5	10.9	13.0	1.2	716.6	715.6	716.7	73	36	71	NE 0	N 1	SW 2	10●	5	7	.	● tr. a
7	10.3	17.2	11.4	13.0	1.0	716.5	715.5	716.6	83	44	74	S 1	S 1	NE 1	6	2	10	.	
8	9.3	18.3	9.7	12.4	0.3	717.9	718.1	719.9	84	40	67	E 1	SW 0	E 2	1	4	1	.	
9	7.4	15.5	14.2	12.4	0.2	719.4	717.2	715.8	72	53	62	E 1	S 1	NE 0	10	3	10	.	
10	11.7	18.1	11.9	13.9	1.5	715.8	716.4	719.5	72	41	70	E 0	NE 2	NE 0	2	9	2	.	
11	10.1	19.9	14.6	14.9	2.4	722.0	722.3	723.2	57	30	43	E 2	E 2	NE 2	0	0	0	.	
12	8.3	20.1	16.5	15.0	2.4	724.9	723.8	722.9	73	36	35	SE 1	S 1	NW 1	4	0	0	.	
13	9.5	23.7	19.0	17.4	4.6	724.5	723.0	721.7	77	26	22	SW 0	SE 1	N 2	0	0	0	.	
14	10.3	24.4	16.0	16.9	4.0	722.2	720.3	719.2	79	30	49	E 0	S 1	NW 0	0	0	1	.	
15	13.4	17.9	14.8	15.4	2.4	720.8	720.8	722.0	71	44	69	E 0	SW 2	W 0	2	10	10●	0.3	● tr. 14¼, 21½
16	13.0	22.7	17.0	17.6	4.5	722.0	719.7	718.0	85	41	56	NE 0	E 1	NW 0	8	7	9	0.2	
17	13.0	18.1	9.8	13.6	0.3	716.7	716.8	719.8	81	61	91	NW 1	SW 2	W 1	10●	8	10	6.4	● n–9, 15¼–n
18	9.8	15.9	13.0	12.9	−0.5	718.6	715.9	714.0	82	51	53	SW 2	SW 2	W 1	10	2	9	.	
19	9.7	14.6	10.4	11.6	−1.9	713.0	712.7	714.4	84	53	67	E 0	N 2	NW 3	10	10	10●	4.2	● 17½–n
20	6.6	8.9	4.1	6.5	−7.1	716.1	716.1	717.0	88	64	93	NW 0	SE 1	NE 1	10	10	10●	3.4	● 17–n
21	4.2	6.1	5.9	5.4	−8.4	715.2	715.6	717.1	97	90	93	E 0	E 0	NE 0	10	10●	10	3.3	● seit 13¼
22	7.1	7.7	7.8	7.5	−6.4	718.7	720.0	721.0	89	90	97	E 0	E 0	NE 0	10	10●	10	1.4	● seit 11¼ m.U.
23	9.5	14.3	12.4	12.1	−1.9	721.1	721.3	721.0	96	69	80	SE 1	E 1	E 0	10	10	10	.	
24	11.3	13.9	10.5	11.9	−2.2	719.2	719.5	721.4	89	53	73	SW 1	NW 3	NW 1	10●	8	10●	1.5	● 7½–11, ●sch. 21½
25	9.4	12.2	11.1	10.9	−3.3	720.0	719.5	719.2	84	54	57	SW 1	W 1	NW 1	10	10	9	.	
26	7.9	18.4	12.3	12.9	−1.5	719.0	717.4	715.3	81	34	66	E 1	SE 1	NE 1	0	0	0	.	
27	11.8	21.9	14.9	16.2	1.7	713.7	711.7	711.6	82	46	70	NW 0	S 1	NW 2	6	9	10●	6.1	● 21–n
28	7.4	10.7	8.7	8.9	−5.7	714.1	714.5	718.1	91	73	93	SW 2	SW 3	SW 2	10●	10●	10●	8.6	● I, II, 16¼–n
29	8.0	10.6	11.1	9.9	−4.8	718.9	720.2	720.2	92	69	85	SW 1	W 3	SW 2	10●	10	10	4.8	● n–n m.U.
30	11.0	13.7	13.8	12.8	−2.0	718.6	718.6	719.8	87	77	66	SW 3	SW 3	W 3	10●	10	8	8.4	● n–abds. m.U.
31	12.6	21.0	14.5	16.0	1.1	723.1	722.2	721.1	70	45	78	SW 1	SW 1	NW 0	1	1	1	.	
Mittel	8.8	15.7	11.4	12.0	—	718.3	717.7	718.1	82	52	69				6.7	5.9	6.3	53.8	

Mai 1938.
Beobachter: Frl. *H. Nager.*

Altdorf

$\lambda = 8° 39'$, $\beta = 46° 53'$,
$H_b = 456.3^m$, $G = -0.05^m/_m$.

Tag	Lufttemperatur 7³⁰	13³⁰	21³⁰	Mittel	Abweich. vom Normalst	Luftdruck 7³⁰	13³⁰	21³⁰	Relative Feuchtigkeit 7³⁰	13³⁰	21³⁰	Windrichtung und Stärke 7³⁰	13³⁰	21³⁰	Bewölkung 7³⁰	13³⁰	21³⁰	Niederschlag	Witterung
1	3.9	2.3	**0.8**	2.3	-8.9	715.3	716.1	715.4	93	93	93	E 0	E 0	E 0	10●	10*	6	14.1	● l, ✳ 9¼-p
2	3.0	9.1	4.0	5.4	-5.9	716.1	717.4	718.8	95	47	96	SW 0	W 0-1	E 0	10	6	0	.	
3	3.0	13.3	12.4	9.6	-1.9	719.3	717.4	717.1	85	38	30	E 0	NW 0	SE 0-1	0	0	7	2.0	
4	8.3	12.2	8.9	9.8	-1.8	720.7	719.8	720.3	92	58	85	E 0	NW 0-1	NW 0	10●	7	9	.	
5	7.9	11.6	14.5	11.3	-0.5	718.8	717.6	716.4	87	59	31	W 0	NW 0	SE 1-2	8	1	4	.	
6	10.5	16.7	14.0	13.7	1.8	719.1	718.0	718.0	55	37	32	NW 0	NW 0	NW 0	7	6	8	.	
7	9.7	16.7	11.5	12.6	0.5	719.3	717.4	720.6	93	39	66	NE 0	NW 0-1	NW 0	10	7	10	3.2	● n (7./8.)
8	10.3	14.0	10.5	11.6	-0.6	720.6	720.9	722.9	95	55	74	N 0	NW 1	NW 0-1	9	7	10	0.4	
9	9.2	13.2	13.6	12.0	-0.3	722.0	719.9	718.3	79	61	46	W 0	NW 1	W 0	10	6	3	.	
10	9.7	11.8	10.2	10.6	-1.9	718.7	718.8	722.5	83	80	98	NW 0	W 0	NW 0	10	10●	10	4.7	
11	9.6	15.9	10.6	12.0	-0.6	724.9	725.1	726.5	89	47	69	N 0	W 0	NE 0	10	7	5	.	
12	8.2	16.6	12.8	12.5	-0.3	**727.4**	726.0	725.8	86	47	61	NE 0	NW 0	SE 0	4	2	0	.	
13	11.6	19.3	14.5	15.1	2.2	726.7	725.6	725.0	95	37	42	E 2	NW 1	SE 0	0	4	0	.	
14	12.6	24.4	18.8	18.6	5.6	724.5	722.6	722.8	54	**25**	29	W 0	SE 1	SE 0-1	0	0	0	.	
15	17.7	24.5	17.8	20.0	6.8	722.7	722.4	724.5	34	28	30	E 1-2	SE 1-2	S 1-2	2	3	4	.	
16	14.5	**27.3**	19.2	20.3	7.0	724.8	723.6	722.6	65	28	30	NW 0	S 2-3	S 2-3	6	7	8	.	
17	15.3	21.2	13.4	16.6	3.2	719.6	718.8	721.1	50	30	60	NW 0-1	SE 2-3	SE 2	10	7	10	6.1	● a
18	11.3	13.9	10.8	12.0	-1.5	721.2	718.9	717.5	84	54	88	NW 0	NW 0	NW 0	10	10	10	0.3	●° n-n zeitw.
19	10.0	19.5	12.7	14.2	0.5	715.1	714.2	716.0	88	77	69	E 0	SE 2	NW 0	5	7	9	11.2	
20	7.9	5.9	4.2	6.0	-7.8	718.3	719.3	720.7	90	83	93	SE 0	NW 0	NW 0	10●	10●	10●	18.8	● n-n
21	5.3	8.9	6.0	6.7	-7.2	718.0	718.0	719.8	86	62	90	SE 0	S 0-1	NW 0	10●	10●	10	0.0	●° zeitw.
22	7.0	10.4	8.0	8.5	-5.5	721.5	722.4	724.2	89	60	97	S 0	SE 0	SE 0	10	10	10	6.7	
23	7.9	15.8	12.4	12.0	-2.1	722.9	722.8	723.6	93	51	80	E 0	NW 1	NE 0	3	6	8	2.2	
24	11.3	11.5	8.9	10.6	-3.6	721.5	721.5	724.0	96	95	93	NW 0	NW 0	SE 0	10	10	10	8.9	
25	9.4	12.6	9.2	10.4	-3.9	722.4	722.6	722.5	86	56	86	W 0	NW 0	NW 0	10	10	10	0.0	●° zeitw.
26	9.1	16.6	11.4	12.4	-2.0	721.5	719.3	718.2	75	44	80	N 0	NW 0	SE 0	3	4	0	.	
27	17.6	24.5	15.5	19.2	4.7	716.1	715.0	**714.1**	36	30	32	E 0	SE 2-3	SE 1-2	4	7	8	.	
28	17.6	12.6	9.3	13.2	-1.4	714.9	717.4	720.2	65	90	45	NW 2	SE 1	NW 0	10	10	10●	10.2	● 9-n m.U.
29	9.7	14.6	10.7	11.7	-3.0	721.4	721.8	723.3	88	48	86	NW 0	NW 0	NW 0	10	10	10	0.3	● zeitw.
30	9.9	13.7	11.8	11.8	-3.0	721.1	720.4	722.1	95	76	98	E 0	NW 0	NW 0	10●	10●	10●	**18.9**	● n-n
31	11.4	17.1	13.2	13.9	-1.0	725.9	724.9	724.5	80	49	82	W 0	NW 0	SE 0	10	4	1	.	
Mittel	10.0	15.1	11.3	12.1	—	720.7	720.2	720.9	80	54	67				7.5	7.0	6.8	108.0	

Mai 1938.
Beobachter: *Observatorium.*

Genf

$\lambda = 6° 9'$, $\beta = 46° 12'$,
$H_b = 405.0^m$, $G = -0.03^m/_m$.

Tag	7³⁰	13³⁰	21³⁰	Mittel	Abweich. vom Normalst	7³⁰	13³⁰	21³⁰	7³⁰	13³⁰	21³⁰	7³⁰	13³⁰	21³⁰	7³⁰	13³⁰	21³⁰	Niederschlag	Witterung
1	**1.8**	9.8	6.3	6.0	-5.4	720.3	718.8	719.0	79	42	54	NE 0	NE 1	NNE 1	0	10	10	0.9	●sch.° p, ● n
2	4.2	8.9	6.2	6.4	-5.2	721.7	721.7	722.4	80	51	53	N 0	NNE 1	E 0	10	9	0	.	
3	4.2	13.4	8.0	8.5	-3.2	723.5	721.0	724.2	76	44	83	E 0	NNE 1	E 1	0	10	10	2.0	● 18¼-n
4	8.0	15.7	10.0	11.2	-0.7	724.9	723.7	723.3	86	36	50	E 0	NNE 1	NNE 2	0	2	0	.	
5	8.0	12.3	11.9	10.7	-1.3	723.2	721.5	721.2	72	58	56	NE 1	NNE 1	SSW 0	10	9	9	.	
6	10.8	16.0	11.0	12.6	0.4	723.5	721.9	723.6	73	49	85	NE 0	NNE 1	E 0	1	8	10	1.5	● 18-n
7	10.0	15.2	13.3	12.8	0.5	724.0	722.9	723.7	89	58	66	NE 0	NNE 1	E 0	10	10	10	0.3	●sch.° 21
8	11.6	16.2	12.9	13.6	1.1	725.4	724.9	725.7	80	63	64	NE 0	NNE 1	NNE 1	0	1	0	.	
9	8.0	13.0	14.2	11.7	-0.9	726.6	724.4	722.9	77	64	56	NE 1	NNE 1	NNE 1	0	10	9	.	
10	12.9	19.5	12.8	15.1	2.4	722.5	722.7	725.4	68	40	46	NNE 1	NE 1	NNE 1	9	5	1	.	
11	11.6	19.2	14.0	14.9	2.0	728.7	728.7	730.0	56	30	57	NE 2	NNE 2	NNE 1	0	0	0	.	
12	11.0	17.0	16.3	14.8	1.8	**732.2**	730.8	729.9	65	49	45	NNE 0	NNE 1	E 0	8	3	0	.	
13	12.0	**21.4**	16.8	16.7	3.6	731.7	730.0	729.1	74	37	32	NE 0	NNE 1	E 0	0	0	0	.	
14	13.0	20.6	17.7	17.1	3.8	729.3	727.0	726.9	62	41	**29**	E 0	NNE 1	SSW 1	0	0	1	.	
15	14.2	17.8	14.4	15.5	2.1	728.4	728.0	728.6	67	61	72	SW 1	NNE 0	E 0	10	10	10	0.6	●sch.° a, p
16	13.8	18.4	17.5	16.6	3.1	728.9	727.1	725.9	84	56	46	NE 0	NNE 1	SW 1	8	10	10	**8.0**	● n (16./17.)
17	11.7	15.8	10.9	12.8	-0.9	725.3	724.9	727.8	94	69	88	E 0	SSW 1	SSW 1	10	10	10	5.3	● p, n
18	10.3	17.7	13.2	13.7	-0.1	726.3	723.0	721.7	82	42	41	NE 0	SSW 2	SSW 1	9	6	9	.	
19	9.6	14.8	10.3	11.6	-2.3	719.7	720.0	722.0	79	56	89	NE 1	NNE 0	E 0	10	10	10	2.7	●sch.° p, ● n
20	7.9	9.3	7.0	8.1	-5.9	723.6	723.2	723.3	79	57	56	NE 0	NE 1	NNE 2	9	10	10	0.8	●° n (20./21.)
21	5.5	8.5	7.4	7.1	-7.1	721.9	722.2	724.0	85	66	85	NNE 1	NE 2	NNE 1	10	10	10	1.3	● p
22	7.8	8.5	8.7	8.3	-6.0	725.1	727.2	728.3	89	86	90	E 0	NE 1	NE 0	10	10	10	1.5	●° a, p, n
23	10.1	14.1	13.0	12.4	-2.0	728.5	728.6	728.2	85	67	77	NE 1	NNE 1	SW 0	10	10	10	1.4	● n (23./24.)
24	11.4	13.3	11.6	12.1	-2.4	727.0	727.5	728.9	95	71	57	NE 0	E 1	E 1	10	9	10	2.7	●sch. a, p
25	10.0	13.4	11.1	11.5	-3.2	727.3	726.8	726.4	76	55	54	E 0	NNE 1	NE 0	9	9	1	.	
26	9.6	16.2	15.4	13.7	-1.1	726.0	724.5	722.4	74	46	53	NE 0	NNE 1	ENE 0	0	2	0	.	
27	12.6	19.6	13.2	15.1	0.2	720.8	**718.5**	720.1	74	49	61	NE 0	W 1	SW 1	1	10	10	3.0	●tr. 17, ● abds.-n
28	8.8	13.0	11.2	11.0	-4.0	721.5	722.3	725.9	84	67	75	NNE 0	SW 1	S 1	10	9	10	4.3	●sch.° ab 11, ● p-n
29	9.6	14.0	12.0	11.9	-3.3	727.1	728.0	728.2	88	62	65	SW 0	SSW 1	SW 1	10	10	10	2.0	●sch. a, ● abds.-n
30	12.5	16.5	16.0	15.0	-0.3	727.5	727.4	728.3	82	58	67	SW 1	SSW 1	SSW 1	10	10	10	0.8	●sch.° a, ● abds.
31	15.8	**21.4**	19.5	18.9	3.5	730.3	729.1	728.4	64	41	44	SSW 1	W 1	SW 0	4	0	1	.	
Mittel	10.0	15.2	12.4	12.5	—	725.6	724.8	725.3	78	54	61				6.1	7.2	6.5	39.1	

$\lambda = 8° 33'$, $\beta = 47° 23'$, $H_b = 493.2^m$, $G = 0.03$ m/m.

Zürich

Mai 1938.
Beobachter: *Meteorol. Zentralanstalt.*

Tag	Lufttemperatur 7³⁰	13³⁰	21³⁰	Mittel	Abweich. vom Normalst	Luftdruck 7³⁰	13³⁰	21³⁰	Relative Feuchtigkeit 7³⁰	13³⁰	21³⁰	Windrichtung und Stärke 7³⁰	13³⁰	21³⁰	Bewölkung 7³⁰	13³⁰	21³⁰	Niederschlag	Witterung
1	2.4	3.0	1.6	2.3	−8.5	712.1	712.5	712.2	95	93	98	NNE 1	W 2	ENE 0	10●*	10●	1	3.4	✳° n–10, ●° 7½–15
2	**0.2**	10.2	5.3	5.2	−5.8	713.0	714.0	715.0	100	47	67	N 1	SSE 1	ESE 0	10	3	0	.	≡ fr.
3	3.4	16.0	11.4	10.3	−0.8	715.9	714.6	714.1	87	34	68	ESE 0	N 2	NE 2	0	1	9	4.2	⊔ fr.
4	8.0	8.3	6.1	7.5	−3.8	717.3	717.9	717.3	99	83	76	N 1	NE 2	E 1	10●	10	1	2.0	● 4¾–9¼
5	4.2	16.6	10.2	10.3	−1.1	715.9	714.5	713.7	63	33	33	NE 2	SW 2	ENE 2	6	1	2		
6	8.1	17.8	11.9	12.6	1.0	715.8	715.1	714.3	51	36	55	E 0	WNW 1	ENE 1	10	2	6	0.0	●° n–9¼ zeitw.
7	10.6	17.2	11.5	13.1	1.4	715.7	714.2	715.4	65	40	64	S 0	SSE 0	S 1	3	5	10	0.0	●tr. 16–17
8	9.0	13.7	7.1	9.9	−2.0	717.6	718.3	720.4	72	56	77	NNW 1	N 1	NE 2	10	8	9	.	
9	6.3	16.9	11.6	11.6	−0.5	718.9	716.7	714.9	76	48	73	NW 1	SSE 1	ENE 0	8	7	3	.	
10	10.2	16.7	10.3	12.4	0.2	715.3	715.9	718.8	74	47	89	W 1	NE 1	NW 0	6	9	3	0.1	●° 15¼
11	7.9	18.4	12.0	12.8	0.4	722.0	722.4	723.2	69	38	46	WNW 1	ENE 2	ENE 1	0	1	0	.	
12	9.1	20.3	13.5	14.3	1.8	**724.1**	723.0	722.3	56	32	46	WNW 0	ESE 1	NNE 0	4	1	0	.	
13	10.1	23.6	14.2	16.0	3.3	723.5	722.3	721.4	70	27	47	NNW 1	N 0	ESE 1	0	2	0	.	
14	11.4	**26.0**	16.2	17.9	5.1	721.5	719.4	718.6	68	**25**	48	NNW 1	S 1	ESE 1	0	1	0	.	
15	14.1	24.9	16.4	18.5	5.6	719.7	719.0	721.2	58	30	49	SE 1	SE 2	WNW 1	1	3	9	0.0	⌧ ●° 15¾–16
16	14.1	24.5	17.5	18.7	5.6	721.8	719.1	717.8	70	35	35	NW 0	N 0	SE 1	3	7	9	.	
17	13.6	18.6	11.4	14.5	1.3	716.3	715.7	718.1	66	55	98	NW 1	NW 2	WSW 2	10	8	10●	6.5	●tr. seit 17¾. ● 20¼–n
18	10.1	13.7	10.7	11.5	−1.8	717.8	715.4	713.6	74	49	67	WSW 2	S 2	SE 1	10	9	3	0.8	● n–3, 22¾–23¼
19	10.9	16.5	10.2	12.5	−1.0	712.2	711.4	713.3	76	45	98	W 0	NW 2	NW 2	5	10	10●	21.2	● 20½–n
20	5.8	5.0	3.2	4.7	−8.9	715.2	715.7	716.4	93	93	97	W 2	W 1	SE 1	10●	10●	10●	20.6	● n–n
21	3.7	6.9	5.7	5.4	−8.3	714.6	714.9	716.6	97	78	93	S 0	ENE 1	E 1	10	10●	10	1.0	● n–7, 13¼–15
22	6.6	8.2	8.2	7.7	−6.2	718.2	718.9	720.6	96	85	99	N 0	W 0	S 0	10	10●	10	6.1	● 9¼–23½
23	8.7	13.8	11.5	11.3	−2.7	720.5	720.3	720.3	98	69	87	SE 0	NNW 1	NW 1	10	10	10	5.1	
24	10.7	10.3	10.9	10.6	−3.5	717.8	718.0	720.0	100	90	57	SSE 0	WNW 3	WNW 1	10●	10	10	11.9	● 4–13
25	8.3	10.8	9.1	9.4	−4.8	719.1	718.7	718.8	82	63	79	W 0	SE 2	E 0	10●	9	6	0.0	● 5¼–8
26	8.7	19.4	14.1	14.1	−0.3	718.3	716.7	714.9	86	33	51	ESE 1	NW 1	ENE 2	3	3	1	.	
27	13.1	25.3	15.4	17.9	3.4	713.1	**710.6**	710.8	59	26	62	ESE 1	SSE 2	NNW 1	4	4	4	1.2	
28	8.3	10.1	10.6	9.7	−4.9	712.8	713.5	715.8	95	71	69	WNW 2	S 1	WSW 3	10●	10	10	3.4	● 5½–12¼, 18¾–23 m.U.
29	9.5	12.5	10.1	10.7	−4.0	717.3	718.4	719.4	77	71	92	SW 3	WSW 2	W 1	10●	6	10●	4.9	● 5¾–23¼ m.U.
30	11.6	15.1	12.9	13.2	−1.6	717.1	716.3	717.5	73	66	88	SW 2	SSW 3	W 2	10●	10	10	10.1	● 5¼–22 m.U.
31	11.7	19.4	13.7	14.9	0.0	722.3	721.3	720.7	67	42	76	WSW 2	S 1	ESE 0	5	4	2	.	● 0½–2
Mittel	8.7	15.5	10.8	11.6	—	717.5	716.9	717.3	78	53	70				6.7	6.3	5.7	Summe 102.5	

$\lambda = 8° 30'$, $\beta = 47° 3'$, $H_b = 1787.3^m$, $G = -0.20$ m/m.

Rigi-Kulm

Mai 1938.
Beobachter: *J. Steiner.*

Tag	7³⁰	13³⁰	21³⁰	Mittel	Abweich. vom Normalst	7³⁰	13³⁰	21³⁰	7³⁰	13³⁰	21³⁰	7³⁰	13³⁰	21³⁰	7³⁰	13³⁰	21³⁰	Niederschlag	Witterung
1	−5.0	−5.3	−3.2	−4.5	−6.5	**605.1**	605.4	606.8	92	92	70	E 1	W 2	W 1	10≡	10✳	1	11.0	≡ I, ✳ II ⊠
2	−3.0	1.0	−3.0	−1.7	−3.9	606.0	607.8	608.9	**30**	65	80	E 2	SE 1	NE 1	5	7	3	.	⊠
3	0.7	3.8	2.5	2.3	−0.1	610.1	610.4	609.5	35	52	56	SW 1	SE 1	SW 1	0	0	10	1.5	⊠
4	−0.7	3.5	−0.8	0.7	−1.8	611.7	612.0	611.5	70	82	80	W 1	W 0	E 1	10✳	10≡	3	0.6	✳ I, ≡ II ⊠
5	3.2	4.3	2.8	3.4	0.7	610.1	610.2	609.3	54	70	52	SE 3	SW 2	SE 3	0	1	1	.	
6	1.8	4.8	3.8	3.5	0.6	611.2	611.7	610.7	82	54	46	WSW 1	NNE 1	E 1	10	4	2	0.1	
7	1.4	5.9	1.2	2.8	−0.3	611.2	611.1	611.1	84	61	88	W 1	SW 1	E 1	4	7	5	3.9	
8	1.0	4.0	1.8	2.3	−1.0	612.5	613.5	614.0	92	86	94	W 1	W 1	W 1	10≡	10=	10≡	0.3	≡ n–n
9	6.6	7.2	5.4	6.4	2.9	613.5	612.9	612.2	44	56	55	W 0	SSE 3	SE 1	0	5	5	.	
10	3.7	4.0	3.0	3.6	0.0	611.3	612.2	613.9	87	88	67	NNE 2	NE 1	NE 1	10≡	10≡	4	4.6	● 16, ≡ I, II
11	3.2	4.1	3.2	3.5	−0.3	616.0	617.5	618.0	51	78	70	ESE 1	NE 1	E 1	0	3	0	.	
12	6.4	6.7	5.6	6.2	2.2	618.7	619.1	618.8	76	70	60	SW 0	WSW 1	SW 1	3	3	0	.	
13	7.4	8.6	7.0	7.7	3.5	**619.4**	**619.4**	618.6	45	44	38	NW 1	NNW 1	NE 1	0	2	1	.	
14	8.7	11.5	8.6	9.6	5.3	617.8	617.5	617.1	46	40	52	SE 1	SE 1	SE 1	0	1	0	.	
15	8.5	11.5	5.1	8.4	3.9	616.7	617.4	617.6	45	62	78	S 1	SW 1	SE 1	1	5	3	.	
16	6.4	**12.0**	8.1	8.8	4.1	617.2	617.2	615.8	59	40	40	SE 3	SE 2	S 3	2	5	8	.	
17	7.0	10.0	1.2	6.1	1.3	613.7	613.0	613.4	61	58	62	SSW 2	SE 2	SW 2	10	7	10●	22.6	● 19¼–n
18	−0.3	1.9	2.1	1.0	−4.0	612.6	611.4	609.2	93	81	76	W 1	W 1	SE 2	10≡	10≡	8	1.5	≡ I, II
19	3.0	7.4	2.2	4.2	−0.9	607.3	607.8	609.3	76	51	86	E 2	SE 1	W 1	4	10	10≡	29.3	≡ zeitw.
20	−3.5	−1.5	**−5.6**	−3.5	−8.7	608.9	609.1	609.4	93	91	93	NW 1	W 1	NW 1	10✳	10✳	10✳	30.2	✳ n–n ⊠
21	−3.7	0.0	−3.0	−2.2	−7.6	607.8	608.5	609.6	90	80	74	NE 1	W 0	NE 1	10≡	10≡	10≡	1.0	≡ n–n ⊠
22	−1.0	1.4	0.0	0.1	−5.4	611.7	613.1	614.4	70	78	85	NE 1	NE 1	NE 1	10≡	10≡	10	7.5	≡ I, II ⊠
23	1.2	8.2	3.0	4.1	−1.5	615.6	615.5	616.8	90	50	86	E 1	SE 1	W 1	10≡	10≡	10	6.3	≡ I, II ⊠
24	2.3	1.8	−0.5	1.2	−4.5	613.4	613.5	614.7	94	93	92	W 1	WNW 2	NW 1	10●	10●	10	**31.2**	● n–16 zeitw. ⊠
25	−1.0	−0.1	0.0	−0.4	−6.2	613.2	613.6	613.2	94	98	80	NNW 1	WNW 1	W 1	10≡	10≡	10≡	2.9	≡ n–n
26	3.2	7.0	5.6	5.3	−0.7	613.3	613.4	612.4	62	65	68	SW 1	SE 1	SE 1	1	2	0	.	
27	6.2	10.7	7.0	8.0	1.9	610.6	610.0	609.0	56	41	65	SE 3	SSW 3	S 3	4	5	3	0.2	
28	0.0	−1.0	0.0	−0.3	−6.5	608.0	608.5	610.8	72	82	88	WNW 3	SW 2	W 3	10≡	10	10	12.0	✳ 8–11½, ≡ I
29	−0.6	1.4	1.2	0.7	−5.6	612.6	613.7	614.5	70	86	88	SW 1	WSW 2	W 2–3	10✳	10	10	11.2	✳ ≡ zeitw.
30	4.1	5.5	4.5	4.7	−1.7	613.2	613.4	613.2	70	76	92	WSW 2-3	SW 3	SW 3	10	10	10≡	17.6	●sch. zeitw, ≡ III
31	1.4	6.0	9.0	5.5	−1.0	616.8	618.0	618.4	93	78	65	WSW 1	WSW 1	W 2	10●	7	1	0.3	● I
Mittel	2.2	4.7	2.5	3.1	—	612.5	612.8	613.0	70	68	72				6.3	6.9	5.7	Summe 195.8	

Mai 1938.
Beobachter: *P. Nogler.*

Bevers

$\lambda = 9^\circ 53'$, $\beta = 46^\circ 33'$,
$H_b =$ ca. 1710^m, $G = -0.23$ ‰.

Tag	Lufttemperatur 7³⁰	13³⁰	21³⁰	Mittel	Abweich. vom Normalst	Luftdruck 7³⁰	13³⁰	21³⁰	Relative Feuchtigkeit 7³⁰	13³⁰	21³⁰	Windrichtung und Stärke 7³⁰	13³⁰	21³⁰	Bewölkung 7³⁰	13³⁰	21³⁰	Niederschlag	Witterung
1	3.8	1.5	**-3.6**	0.6	-2.9	**611.0**	**611.0**	613.1	74	85	85	S 0	W 2	W 1	10*	10*	0	0.4	✳ ⊹ n-10 zeitw., ✳ 14-16
2	-2.4	5.1	-1.5	0.4	-3.2	612.7	612.8	615.6	80	37	92	SW 0	SW 2	SW 1	0	4	0	.	
3	-1.8	9.6	-1.0	2.3	-1.5	617.0	616.8	616.9	83	32	68	W 0	SW 1	W 1	0	0	0	.	
4	3.0	6.4	1.2	3.5	-0.5	617.3	617.2	617.9	93	67	95	NW 1	N 1	NW 0	10	10●	6	0.1	● II
5	2.0	9.3	2.0	4.4	0.2	617.8	616.6	618.0	75	50	95	W 0	SW 3	NW 2	6	6	10	0.5	
6	3.1	9.0	3.2	5.1	0.7	617.7	617.3	618.3	88	54	75	SW 1	S 1-2	SW 3	0	0	0	.	
7	3.2	10.1	2.1	5.1	0.5	617.7	616.5	617.6	85	47	97	W 0	SW 2	W 0	4	7	10	0.3	● 19½-20½
8	2.4	8.8	1.8	4.3	-0.5	618.1	618.9	620.5	93	45	94	SW 1	SW 2	SW 1	10	6	1	.	
9	4.0	11.1	3.4	6.2	1.2	621.0	619.7	618.9	81	50	92	WSW 0	SW 3	W 0	4	8	6	.	
10	5.0	10.8	7.1	7.6	2.5	616.7	616.0	619.0	81	44	67	WSW 0	NNW 1	W 1	8	10	6	.	
11	6.6	12.3	3.0	7.3	2.0	621.3	621.8	624.4	60	39	75	NE 1-2	SW 3	NW 1	10	1	0	.	
12	1.5	15.0	4.5	7.0	1.5	625.2	625.0	624.8	85	46	60	NW 1	NW 2	W 1	7	3	0		
13	2.1	14.0	4.0	6.7	1.1	625.2	624.5	**625.6**	76	32	86	SW 0	W 2	SW 1	0	3	0	.	
14	3.0	14.5	4.4	7.3	1.5	625.1	623.8	624.9	85	36	98	W 0	SW 2	NE 1	0	4	5	0.5	●sch. 17½-19
15	5.8	13.5	6.5	8.6	2.6	624.5	623.5	**625.6**	77	45	84	SW 0	SSW 3	SW 1	5	5	9	.	
16	4.6	12.6	6.7	8.0	1.9	625.3	624.7	624.8	82	47	81	W 0	W 1	W 0	10	8	10	1.2	
17	7.0	6.7	3.2	5.6	-0.7	622.1	621.3	620.2	89	83	100	W 0	WSW 2	W 0	10●	10●	10●	7.6	● a, p zeitw.
18	5.2	6.9	3.8	5.3	-1.1	618.5	617.5	617.1	85	82	84	SW 0	SW 2	W 1	10	10●	5	2.4	● 13-15½ m.U.
19	5.8	8.3	4.6	6.2	-0.4	616.0	615.9	615.5	75	45	93	NW 1	SW 0	W 0	6	10	10	.	
20	2.6	3.2	-1.5	1.4	-5.3	612.9	613.2	613.9	100	100	100	NW 1	N 1	NE 2	10●	10*	10*	**35.0**	● n-7¾, ✳ 7¾-n
21	-1.2	-0.6	0.6	-0.4	-7.3	612.9	614.0	616.8	90	89	99	NW 1	NW 0	NW 3	10*	10*	9	5.5	✳ n-n m.U.
22	1.7	8.7	3.1	4.5	-2.5	617.1	618.1	620.2	99	57	93	NW 0	NE 2	NE 1	10*	10	9	0.0	✳° n-10
23	4.2	10.1	6.4	6.9	-0.2	620.6	620.2	620.7	88	51	60	NE 2	N 3-4	N 1	3	3	0	.	
24	8.6	8.2	3.8	6.9	-0.4	619.3	618.4	619.9	81	73	63	WNW 0	W 1	N 1-2	10	10●	10	0.2	● II
25	4.2	7.2	2.6	4.7	-2.7	618.7	618.7	619.7	61	51	73	WNW 0	N 1	NW 0	7	10	9	.	
26	5.8	10.6	3.3	6.6	-0.9	619.5	619.4	619.9	60	42	80	NW 0	SW 2	N 0	5	6	0	.	
27	5.4	9.3	6.2	7.0	-0.7	619.0	618.7	617.9	85	63	86	W 0	SW 3	W 0	10	9●	6	2.1	●° II
28	3.8	7.6	2.8	4.7	-3.1	615.1	614.8	617.5	100	88	100	SW 0	W 0	SW 1	10	10●*	10	4.6	● ✳ II
29	5.5	7.6	4.7	5.9	-2.0	618.7	619.4	620.8	80	55	83	SW 1	SW 3	SW 1	5	5	5	.	
30	7.0	9.0	7.4	7.8	-0.2	620.4	620.0	619.5	67	70	91	S 1	S 4	SW 3	10	10	10	0.6	● n (30./31.)
31	6.8	**15.2**	8.0	10.0	1.9	623.8	623.4	625.0	81	**31**	67	WSW 1	W 1	SW 0	4	1	0	.	
																		Summe	
Mittel	3.8	9.1	3.3	5.4	—	619.0	618.7	619.7	82	56	84				6.6	6.7	5.4	61.0	

Mai 1938.
Beobachter: *Kapuzinerkloster.*

Sitten

$\lambda = 7^\circ 21'$, $\beta = 46^\circ 14'$,
$H_b = 548.6^m$, $G = -0.11$ ‰.

1	4.9	7.0	4.6	5.5	-6.9	705.5	705.8	705.4	78	62	60	NW 1	E 3	E 1	10	8	6	0.7	
2	**2.3**	10.8	5.4	6.2	-6.4	706.7	707.7	708.4	98	45	65	W 1	W 2	E 1	10●*	5	0	.	● ✳ I
3	4.8	15.7	13.3	11.3	-1.4	710.3	707.2	707.6	67	**27**	36	E 2	E 3	W 3	0	1	8	.	
4	8.9	19.4	13.3	13.9	1.0	710.8	708.0	707.5	80	33	49	NW 1	W 2	W 0	6	3	0	.	
5	8.9	17.0	13.6	13.2	0.2	708.5	706.1	707.2	71	46	42	NW 1	W 2	W 0	1	7	7	.	
6	12.5	20.3	14.5	15.8	2.6	709.0	706.4	708.3	49	32	38	ENE 1	E 0	E 0	1	4	8	0.4	
7	10.0	16.3	11.4	12.6	-0.7	710.0	707.9	708.9	83	44	64	W 0	W 1	W 3	10	8	10	1.2	
8	10.6	21.0	15.0	15.5	2.0	711.0	709.6	709.6	83	37	38	N 0	W 1	W 2	8	4	3	.	
9	9.7	18.7	16.7	15.0	1.4	713.0	708.5	707.8	75	46	38	NE 1	W 3	W 2	0	7	7	.	
10	11.6	17.2	15.4	14.7	0.9	708.0	706.7	709.9	62	43	49	NE 0	NW 2	W 3	3	8	7	.	
11	12.4	21.6	15.4	16.5	2.6	713.9	712.6	714.1	64	36	50	N 0	W 2	W 0	2	2	0	.	
12	12.2	21.5	14.5	16.1	2.1	717.2	714.8	716.2	66	44	52	N 0	W 0	W 0	1	5	0	.	
13	11.6	**24.4**	17.8	17.9	3.7	**717.3**	714.1	713.8	61	33	40	NE 0	W 2	W 1	2	5	0	.	
14	13.3	24.2	19.2	18.9	4.6	715.6	713.0	712.1	60	32	39	W 1	W 2	W 2	0	3	3	.	
15	15.4	19.2	17.5	17.4	3.0	713.9	713.0	713.6	48	49	50	NE 1	W 2	W 1	1	8	8	.	
16	15.7	21.0	19.5	18.7	4.1	714.7	713.0	711.7	55	36	37	NE 0	E 4	E 4	6	6	10	1.0	
17	13.0	18.3	11.0	14.1	-0.6	710.9	709.1	711.5	78	44	88	E 1	E 4	E 4	10●	8	10●	1.3	● I, III
18	10.8	18.9	13.2	14.3	-0.5	711.0	707.2	706.4	78	39	52	NW 1	W 2	W 0	10	4	3	.	
19	10.4	18.2	11.4	13.3	-1.6	705.0	**703.7**	706.1	75	36	78	NW 0	E 3	E 1	10	9	10	2.6	
20	6.9	7.2	5.7	6.6	-8.5	706.8	707.4	707.9	82	73	69	W 3	W 3	W 3	10	10	10	0.0	
21	5.8	10.9	5.3	7.3	-7.9	707.2	706.4	709.7	75	47	97	NE 1	W 2	W 1	9	10	8	4.6	● (15)
22	5.2	10.1	8.8	8.0	-7.3	711.9	712.7	713.8	90	64	87	E 1	E 1	E 1	10	10	10	0.6	
23	9.1	16.4	12.2	12.6	-2.8	714.2	713.3	713.4	86	61	70	NE 1	NE 0	NE 1	10	10	3	0.3	
24	11.5	12.9	11.6	12.0	-3.5	712.3	711.3	713.4	86	79	57	N 1	W 1	W 0	10	10	8	0.4	
25	13.5	17.5	12.3	14.4	-1.3	712.1	710.3	711.0	56	39	49	W 2	W 3	W 3	6	5	10	.	
26	10.8	21.3	15.7	15.9	0.1	712.3	708.5	708.5	68	35	55	NE 1	W 2	W 2	0	4	8	.	
27	17.0	21.0	17.6	18.5	2.6	707.6	705.1	703.7	50	35	38	E 1	E 3	E 3	5	6	10	2.3	
28	8.7	11.0	9.6	9.8	-6.2	706.5	707.8	711.3	81	68	94	W 2	E 1	W 1	10●	10	10●	**4.8**	● I, III
29	10.4	14.3	11.9	12.2	-3.9	712.5	713.2	713.2	75	53	80	NE 0	NE 0	W 0	10	10	10	0.4	
30	10.0	14.2	13.1	12.4	-3.8	713.2	713.0	712.7	96	69	88	E 0	E 1	E 1	10	10●	10	4.1	● II
31	14.7	22.3	15.7	17.6	1.3	715.2	713.5	713.9	65	45	69	SW 1	W 2	W 2	0	0	0	.	
																		Summe	
Mittel	10.4	17.1	13.0	13.4	—	711.1	709.6	710.3	72	46	59				5.8	6.5	6.4	24.7	

$\lambda = 8^\circ 57'$, $\beta = 46^\circ 0'$,
$H_b = 276.2^m$, $G = -0.01$ m/m.

Lugano

Mai 1938.
Beobachter: *G. Vicari.*

Tag	Lufttemperatur 7³⁰	13³⁰	21³⁰	Mittel	Abweich. vom Normalst	Luftdruck 7³⁰	13³⁰	21³⁰	Relative Feuchtigkeit 7³⁰	13³⁰	21³⁰	Windrichtung und Stärke 7³⁰	13³⁰	21³⁰	Bewölkung 7³⁰	13³⁰	21³⁰	Niederschlag	Witterung
1	6.6	10.0	**6.0**	7.5	−5.8	729.3	728.4	730.8	92	73	83	E 1	E 1	N 1	10●	10	10	8.7	● 7½–13 m.U., ⌒ ● 15½–17½
2	7.6	14.2	8.4	10.1	−3.3	730.4	730.6	733.4	73	44	63	ENE 1	S 1	N 1	6	8	0	.	
3	6.6	18.2	11.2	12.0	−1.6	735.1	734.3	735.8	73	38	65	NNE 0	S 1	N 1	0	0	10	1.4	
4	11.6	19.2	12.6	14.5	0.8	735.4	734.7	734.5	88	46	64	SSE 0	SE 1	N 0	7	5	3	5.3	● n (3./4.)
5	9.8	9.2	9.0	9.3	−4.5	736.2	737.8	737.9	83	66	82	WNW 1	N 1	N 1	10●	10	10	1.6	● n–10½ m.U.
6	10.6	17.2	10.6	12.8	−1.2	737.6	736.2	736.6	58	73	58	E 0	SW 1	ENE 1	8	8	10	1.3	
7	9.8	16.2	11.0	12.3	−1.8	736.3	734.6	734.6	83	48	67	E 1	ESE 1	N 1	5	8	2	.	●° fr.
8	10.2	16.8	10.2	12.4	−1.8	735.9	735.7	736.9	82	53	64	SW 0	SSW 0	N 1	0	8	3	4.6	⌒ ● 14–15
9	11.8	14.6	10.8	12.4	−2.0	739.0	738.0	735.4	83	74	81	W 0	E 0	N 0	10	10	10	5.3	● fr., p–n
10	12.6	15.8	12.4	13.6	−0.9	732.9	732.7	734.3	68	54	70	N 1	SE 1	N 1	8	10	4	.	
11	11.6	20.6	15.8	16.0	1.4	736.7	737.0	739.6	84	42	60	S 0	SE 1	N 1	4	1	2	.	
12	13.6	20.2	15.4	16.4	1.6	742.9	741.6	741.8	73	43	66	E 0	W 1	N 1	3	0	6	.	
13	13.8	20.2	12.2	15.4	0.5	743.0	741.3	**743.3**	73	48	83	N 1	S 1	N 1	5	1	2	4.5	⌒ ● 17½–19½
14	11.2	21.8	15.2	16.1	1.1	742.6	740.8	741.5	78	44	58	N 0	S 1	N 1	0	0	0	.	
15	12.6	19.2	16.2	16.0	0.8	741.8	741.1	741.6	75	57	63	N 0	S 0	SSE 1	8	9	10	0.3	● 13–13½, 16–16½
16	14.2	20.0	15.6	16.6	1.3	742.9	742.1	741.8	78	53	73	NW 0	SW 1	S 0	10	10	10●	18.0	⌒ ● 15, ● n
17	12.6	11.6	10.4	11.5	−3.9	740.7	739.9	738.8	87	83	86	WNW 1	W 1	W 0	10●	10	10●	29.5	● n–n m.U.
18	11.2	13.8	10.4	11.8	−3.8	737.2	736.1	735.3	88	73	91	W 1	SSE 0	NE 1	10●	8	10●	32.3	● n–11, ⌒ ● p, 17½–n
19	10.8	11.8	10.8	11.1	−4.6	734.5	734.2	733.3	74	76	94	W 1	SE 1	NW 1	10	10	10●	24.2	● 9–n m.U.
20	9.8	9.6	8.8	9.7	−6.1	730.0	729.2	728.8	84	59	49	N 1	N 2	WNW 3	10●	10●	10●	19.4	● n–n m.U.
21	10.6	11.8	9.2	10.5	−5.5	727.5	**726.9**	733.8	63	64	88	ESE 1	SSE 1	N 1	10●	10	10	2.0	● n–7½, p m.U.
22	10.8	14.2	12.6	12.5	−3.6	733.8	735.7	738.3	82	66	80	ENE 1	SE 0	NE 1	10●	10	10	.	● 7¼
23	12.6	20.6	14.4	15.9	−0.3	738.6	736.4	735.1	76	47	63	N 0	S 1	N 1	3	0	0	.	
24	13.6	19.2	19.6	17.5	1.1	734.0	732.2	733.8	58	52	**24**	NNE 1	SW 1	NNE 2	6	7	0	.	
25	17.0	21.2	17.6	18.6	2.1	733.9	733.0	733.8	28	**24**	26	NNE 2	N 2	N 2	4	3	0	.	
26	14.2	20.0	15.4	16.5	−0.1	736.7	736.4	736.4	53	48	73	NNE 1	S 1	S 1	4	7	10	7.3	
27	12.8	13.6	12.0	12.8	−4.0	736.7	736.4	735.4	86	74	91	ENE 0	NW 1	ENE 1	10●	10	10●	**60.2**	● n–n m.U.
28	9.6	9.8	9.4	9.6	−7.3	731.6	732.3	734.3	87	84	80	WNW 1	W 1	N 1	10	10●	3	26.7	● n–15 m.U.
29	10.6	18.4	15.6	14.9	−2.1	735.9	736.3	736.7	64	45	68	N 1	S 1	N 1	7	10	2	.	
30	12.4	16.6	13.4	14.1	−3.1	738.1	737.7	736.7	73	68	87	ESE 0	SE 0	W 0	7	10	10●	2.1	● p, 18–21 m.U.
31	13.2	**24.2**	18.6	18.7	1.4	737.5	738.1	740.7	84	42	73	S 0	SE 1	N 1	0	0	7	.	
Mittel	11.5	16.4	12.6	13.5	—	736.3	735.7	736.5	75	57	70				6.6	6.9	6.3	Summe 254.7	

$\lambda = 7^\circ 35'$, $\beta = 47^\circ 33'$,
$H_b = 318^m$, $G = 0.11$ m/m.

Basel

Mai 1938.
Beobachter: *Astronom.-Meteorol. Anstalt.*

Tag	7³⁰	13³⁰	21³⁰	Mittel	Abweich. vom Normalst	7³⁰	13³⁰	21³⁰	7³⁰	13³⁰	21³⁰	7³⁰	13³⁰	21³⁰	7³⁰	13³⁰	21³⁰	Niederschlag	Witterung
1	2.6	4.7	2.4	3.2	—	728.2	728.2	727.5	82	86	87	WNW 1	SSE 1	ENE 1	10	10●	0	0.8	● 11¼–13¾ m.U.
2	**1.6**	11.0	4.2	5.6	—	729.0	729.6	730.3	96	46	77	W 1	NW 1	SSW 1	10	9	1	.	⌣° fr.
3	5.2	17.8	12.3	11.8	—	731.2	729.6	730.0	75	27	56	E 1	E 1	SE 1	0	1	10	6.5	⌣° fr.
4	8.3	11.4	6.6	8.8	—	733.0	733.3	733.0	96	69	83	SE 1	ENE 1	E 1	10●	10	2	1.0	● 3½–8¾, 14–15
5	5.2	17.0	10.8	11.0	—	732.0	729.7	729.6	72	26	37	WNW 1	ESE 1	ENE 1	1	1	2	.	
6	8.4	18.8	10.2	12.5	—	731.4	730.6	730.1	59	47	65	ESE 1	N 1	SW 1	9	2	0	.	
7	11.6	18.4	11.4	13.8	—	731.2	729.6	730.6	69	44	78	ENE 1	WNW 1	ENE 1	9	5	10	.	● 21¾, 23¾
8	7.0	11.2	5.0	7.7	—	734.0	735.1	736.0	81	53	82	NNW 1	NW 1	ESE 1	10	1	3	.	
9	4.3	17.4	10.4	10.7	—	734.9	732.1	730.9	93	45	74	NW 1	ENE 1	WSW 1	10	8	2	.	
10	10.0	16.2	14.0	13.4	—	731.6	731.7	734.3	62	51	43	W 1	NNW 1	WNW 1	3	9	8	.	⌓ fr.
11	8.2	18.8	9.0	12.0	—	738.2	738.1	739.0	73	44	67	WSW 1	WNW 1	SSW 1	0	1	0	.	⌓° fr.
12	9.6	20.2	10.5	13.4	—	**740.1**	738.6	737.6	59	33	67	ESE 1	N 1	SSW 1	2	1	0	.	
13	11.6	24.2	13.4	16.4	—	738.9	737.3	736.7	62	**23**	66	ENE 1	NNW 1	S 1	0	1	0	.	
14	13.1	**27.0**	15.2	18.4	—	736.5	734.4	733.5	61	28	58	S 1	ESE 1	E 1	0	1	1	.	
15	15.4	22.4	15.5	17.8	—	734.9	734.5	736.4	60	41	63	E 1	NW 1	SSW 1	3	9	10	.	●° 15–17, 21–21¼
16	14.5	22.4	13.5	16.8	—	736.4	734.5	732.5	74	39	79	SE 1	ESE 1	S 1	4	10	8	.	●° 3½–4
17	12.0	17.0	10.5	13.2	—	732.5	732.0	734.1	86	66	88	NE 0	WNW 1	WSW 1	10	9	10	9.2	● 9–9½, 16–20½ m.U.
18	11.6	15.2	8.7	11.8	—	733.2	730.3	728.8	75	54	88	SW 1	NW 1	E 1	8	8	6	2.5	● ▲° 17¾
19	11.3	16.2	10.0	12.5	—	727.8	727.5	729.4	80	58	92	SSW 1	WSW 1	WSW 1	7	10	10●	18.5	●˘ 16½–17, ● 20–n, ⊕² 9–11
20	6.8	8.2	6.2	7.1	—	731.4	731.6	731.8	93	65	81	WNW 1	NW 1	ESE 1	10●	10	10	3.2	● n–10 m.U.
21	5.5	7.4	7.2	6.7	—	730.5	730.8	732.6	94	76	91	WSW 1	NNW 1	E 1	10●	10●	10	1.7	● 1–8, 13½–15½
22	8.0	9.6	9.2	8.9	—	734.0	734.6	735.8	94	94	98	SSW 0	WNW 1	WNW 1	10	10●	10●	7.3	● 7¾–22¼ m.U.
23	9.1	15.0	11.3	11.8	—	736.5	736.2	735.9	99	73	94	WNW 1	SSE 1	SSW 1	10≡	10	10	1.7	● 0¼–0½, ≡ 5–8½
24	11.4	14.8	10.7	12.3	—	733.7	734.1	735.6	93	66	71	WSW 1	WNW 1	SSW 1	10	10	10	2.2	● 5¾–7¼, 10¾–11¾
25	10.5	14.8	10.6	12.0	—	734.7	734.1	734.1	79	51	71	W 1	WSW 1	SSW 1	10	10	9	.	
26	10.4	19.3	11.1	13.6	—	733.8	732.3	729.9	72	43	81	ESE 1	NNW 1	NE 1	7	2	1	.	⊕² 10–12
27	14.4	24.7	15.0	18.0	—	727.8	**725.0**	726.8	64	39	65	ENE 1	ENE 1	WNW 1	3	4	10	**24.7**	● 15½–16, ▲° 15¾, 16, ⌒ 15¾–[16¼
28	9.3	13.6	10.3	11.1	—	728.7	728.4	731.5	92	60	83	S 1	SSW 2	WSW 2	10●	10	6	1.7	● 0–8¼ m.U., 19¾–21
29	10.2	16.2	10.7	12.4	—	732.6	733.9	734.6	76	42	85	SSW 1	WNW 1	SW 1	10	8	9	1.2	●° 1½, 5¼–10½ m.U.
30	13.5	16.7	14.8	15.0	—	732.3	731.6	733.6	74	65	63	SSW 1	WSW 2	WSW 2	10●	10	7	5.4	● 4¾–7½, 12¾–18¼ zeitw.
31	13.2	20.0	12.8	15.3	—	738.1	737.0	736.1	71	45	87	WSW 1	NW 1	NNW 1	9	1	1	.	
Mittel	9.5	16.4	10.4	12.1	—	733.2	732.5	632.9	78	52	75				6.9	6.5	5.7	Summe 87.6	

Mai 1938.
Beobachter: *Observatorium.*

Säntis

$\lambda = 9^\circ 20'$, $\beta = 47^\circ 15'$,
$H_b = 2500.1^m$, $G = -0.27$ m/m.

Tag	Lufttemperatur 7³⁰	13³⁰	21³⁰	Mittel	Abweich. vom Normalst.	Luftdruck 7³⁰	13³⁰	21³⁰	Relative Feuchtigkeit 7³⁰	13³⁰	21³⁰	Windrichtung und Stärke 7³⁰	13³⁰	21³⁰	Bewölkung 7³⁰	13³⁰	21³⁰	Niederschlag	Witterung
1	-8.2	-4.3	**-10.4**	-7.6	-5.1	**552.3**	552.6	553.7	94	96	80	E 1	S 1	SW 1	10≡	10≡	1	0.8	✳° 13¾-17¼, ≡ n-7½
2	-6.8	-6.9	-6.6	-6.8	-4.5	553.7	555.0	556.8	60	76	90	ENE 3	NE 3	SE 2	1	1	4	.	
3	-3.8	-1.4	-2.4	-2.5	-0.4	557.8	559.0	558.8	42	60	56	SW 2	SSW 1	WSW 2	1	2	4	0.4	
4	-2.7	1.2	-4.4	-2.0	-0.1	559.2	559.7	559.5	93	72	93	NNW 1	SW 1	E 1	10≡*	10≡	0	9.0	✳ n-11¼, 16-16¾, ≡ n-19½
5	0.4	0.2	-2.2	-0.5	1.2	558.7	559.0	558.5	52	74	70	E 1	S 2	SE 2	1	2	2	0.5	
6	-3.2	0.8	-2.4	-1.6	0.0	558.9	560.0	559.5	94	72	80	SW 1	W 2	SSE 1	10*	10	9	1.6	✳° n-11 m.U.
7	-0.2	-2.4	-3.0	-1.9	-0.5	559.1	559.2	559.4	70	90	100	W 1	NE 1	N 1	9	10≡*	10≡*	6.4	≡° ✳ 7¾-14, 17½-n
8	-3.1	-2.0	-2.6	-2.6	-1.4	559.9	561.2	562.1	100	100	100	WNW 1	WNW 2	W 2	10≡	10≡	10≡	.	≡ n-n
9	-0.3	3.1	0.0	0.9	2.0	561.8	561.9	561.0	57	67	78	W 2	SSW 2	SSW 2	1	9	1	.	⊕ !!
10	-0.6	-1.0	-2.2	-1.3	-0.4	559.7	560.5	562.4	97	100	100	NNE 2	NNE 2	NNE 2	10≡	10≡	10≡	1.4	△sch. 12½, 13¾ ✳° 14¼-17 [m.U., ≡ n-n
11	-2.4	-1.0	-2.6	-2.0	-1.2	563.7	565.3	566.2	94	92	68	NE 1	NE 1	SW 1	8	10■	1	.	≡ 8-17½ m.U.
12	3.2	4.1	0.0	2.4	3.1	566.6	567.3	566.9	**38**	65	96	NE 0	SW 1	SW 2	4	4	1	.	⊕ !
13	0.7	4.2	1.2	2.0	2.5	567.2	**567.8**	567.3	53	61	61	NW 2	NW 1	S 1	1	3	0	.	
14	4.0	**6.4**	2.7	4.6	5.0	566.5	566.6	566.0	50	49	56	SW 1	SSW 1	SSE 2	0	2	1	.	
15	5.0	5.2	1.4	3.9	4.2	565.6	565.9	566.4	51	54	75	NE 1	SW 2	SSW 2	1	9	10	.	
16	1.6	5.2	2.0	2.9	3.1	566.2	566.3	565.1	70	60	63	S 3	SSW 3	S 4	9	6	8	.	
17	2.4	3.8	-0.4	1.9	1.9	562.7	562.2	561.6	74	65	100	SSW 4	SSW 2	W 2	10	10	10≡	7.4	≡ 20¼-n
18	-4.0	0.1	-2.2	-2.0	-2.1	560.0	559.2	558.8	100	98	90	WNW 2	SSW 1	WSW 1	10≡	10≡*	10	.	✳° 13¾-13¾, ≡ n-18¼
19	-1.0	3.4	-1.6	0.3	0.1	557.1	557.8	557.6	76	57	100	S 2	SSW 2	SW 2	7	10	10≡	12.0	≡ 19-n
20	-6.2	-5.8	-8.6	-6.9	-7.2	556.0	555.8	556.0	97	94	92	NNW 2	NNW 1	NNE 1	10≡*	10≡*	10≡*	16.2	✳ ≡ n-n
21	-6.0	-4.8	-0.2	-3.7	-4.1	554.7	555.8	558.8	86	90	68	NE 1	NE 1	NNE 2	10	10≡*	10	0.1	✳° 13-13¾, ≡ 10-17½
22	-2.3	-0.6	-1.6	-1.5	-2.0	559.5	560.8	562.4	100	100	100	NE 3	NE 3	NE 2	10■	10≡	10≡*	2.0	✳ 8-n m.U., ≡ 6-n
23	-1.2	-0.1	-2.4	-1.2	-1.8	563.0	563.4	563.5	84	72	98	ENE 2	NNE 1	NNW 2	1	1	8	0.6	≡ 14½-16, 19-21
24	-1.2	-1.0	-4.6	-2.3	-3.0	561.3	560.8	561.8	100	97	97	WNW 2	WNW 2	WNW 2	10≡*	10≡*	10■	38.5	✳ 6¼-n, ≡ n-20
25	-5.0	-4.0	-4.8	-4.6	-5.4	560.1	560.7	561.1	97	98	94	WNW 1	NNW 2	WNW 2	10≡*	10≡	10≡	3.9	✳ n-13, ≡ n-n m.U.
26	-1.8	1.0	0.0	-0.3	-1.2	560.9	561.7	561.4	92	83	74	W 2	SW 2	SSW 2	8	8	1	.	≡ 9¾-12
27	3.0	3.2	1.8	2.7	1.7	560.3	559.6	558.7	65	64	62	SSW 3	SSW 4	SSW 3	2	9	7	.	⸗ P
28	-0.3	-4.8	-3.3	-2.8	-3.9	556.9	556.4	558.0	87	98	97	E 1	WNW 4	W 3	10	10■*	10≡*	24.4	✳ 7¾-n m.U., ≡ 8-n
29	-4.6	-2.4	-3.0	-3.3	-4.5	559.6	560.9	561.8	98	98	96	W 3	WSW 3	WNW 3	10≡*	10≡*	10≡*	11.9	✳ 6¼-n m.U., ≡ 6-n
30	-1.1	0.0	0.0	-0.4	-1.7	560.8	560.6	560.9	100	100	100	WSW 5	W 5	W 4	10≡*	10≡	10≡*	**53.4**	≡ ✢ n-10, ✳ p zeitw., 17-n,
31	-2.4	0.0	2.8	0.1	-1.3	563.6	565.8	566.8	98	90	87	NW 4	SW 3	W 3	10≡*	10≡	1	0.4	✳° n-9, ≡ n-14 [≡ ⸗ n-n
																		Summe	
Mittel	-1.5	0.0	-1.9	-1.1	—	560.4	560.9	561.3	80	80	84				6.9	7.9	6.4	190.9	

Mai 1938.
Beobachter: Frl. *F. Lombardi.*

St. Gotthard (Hospiz)

$\lambda = 8^\circ 34'$, $\beta = 46^\circ 33'$,
$H_b = 2095.7^m$, $G = -0.25$ m/m.

Tag	Lufttemperatur 7³⁰	13³⁰	21³⁰	Mittel	Abweich. vom Normalst.	Luftdruck 7³⁰	13³⁰	21³⁰	Relative Feuchtigkeit 7³⁰	13³⁰	21³⁰	Windrichtung und Stärke 7³⁰	13³⁰	21³⁰	Bewölkung 7³⁰	13³⁰	21³⁰	Niederschlag	Witterung
1	**-8.0**	-4.0	-5.8	-5.9	-6.4	**581.5**	581.7	583.5	71	70	62	N 1	N 1	N 0	10*≡	10*≡	5	**55.0**	✳ ≡ n-15
2	-0.8	-2.5	-5.4	-2.9	-3.5	582.9	584.5	585.9	62	49	69	E 0	NW 1	N 0	8	8	5	0.4	✳° 11¼-11½, 14½-14¾
3	-6.2	0.0	-1.2	-2.5	-3.3	587.5	588.6	588.8	44	**38**	59	N 0	E 1	SE 2	0	0	5	0.9	
4	-0.8	0.0	-0.6	-0.5	-1.4	588.6	589.3	588.7	70	67	85	NE 1	NE 1	N 1	10≡	6	10≡	.	≡ n-9, 17-n
5	-1.0	2.0	-2.0	-0.3	-1.4	588.4	588.5	588.3	75	51	75	N 0	N 0	N 1	10	10	10*≡	4.0	● 10-10¾, ● ✳ 14-n ztw., [≡ 15-n
6	-1.2	2.4	-1.2	0.0	-1.2	589.0	589.6	589.4	69	55	82	N 0	N 0	N 0	8	8	10≡	1.0	≡ 19-n, ● n
7	1.2	1.8	0.0	1.0	-0.3	588.6	588.5	588.1	75	57	70	SE 0	E 0	N 1	5	5	8	1.5	
8	-0.8	1.6	0.2	0.3	-1.1	589.0	590.6	591.0	87	65	81	N 1	N 1	N 1	10■	5	5	0.9	✳° n-8¼, ≡ n-9
9	1.0	1.4	0.8	1.1	-0.4	591.6	591.5	590.7	83	83	85	N 0	SE 1	SE 1	8	10●	8	2.7	●° 10-15 zeitw.
10	1.2	1.2	0.6	1.0	-0.6	588.1	588.6	590.5	63	76	90	N 1	N 1	NE 3	5	10≡	10≡	1.4	≡ 10¼-n
11	-0.8	1.2	0.8	0.4	-1.3	592.8	594.0	595.2	85	55	81	N 0	N 1	N 1	8	0	6	.	
12	-0.2	5.8	2.0	2.5	0.7	595.8	596.2	596.2	78	39	71	N 0	N 0	N 1	5	3	0	.	
13	1.8	5.8	2.6	3.4	1.5	596.3	**596.6**	596.4	58	41	71	N 1	N 1	N 0	0	3	1	.	
14	4.0	**8.4**	4.6	5.7	3.7	595.7	595.5	595.9	60	54	58	N 0	S 1	S 0	0	3	5	0.8	
15	1.6	2.5	2.2	2.1	0.0	595.4	595.4	595.7	74	88	78	SE 1	SE 1	SE 0	6	10●	10	4.2	● fr., 10¾-15½
16	1.7	5.2	3.0	3.3	1.1	596.1	596.4	595.8	84	69	89	SE 1	SE 1	SE 1	10	8	10	13.0	≡ abds. zeitw.
17	1.0	0.8	0.0	0.6	-1.7	592.7	592.2	591.5	86	78	90	SE 1	SE 2	SE 0	10●	10●*	10*■	17.6	● ✳ n-n. ≡ 15-n
18	0.6	1.7	0.0	0.8	-1.6	589.7	588.8	588.0	85	66	98	S 0	S 0	S 0	10≡	10*●≡	10≡	31.0	● ✳ 10¼-15¾, ≡ n-n
19	0.4	1.0	0.0	0.5	-2.0	586.6	587.3	587.1	87	74	94	E 1	SE 2	SE 0	10*≡	10*≡	10*≡	22.4	✳ n-n zeitw., ≡ n-n
20	-3.8	-4.5	-6.4	-4.9	-7.5	584.7	584.7	584.3	76	74	90	N 3	N 3	N 4	10≡	10*≡	10*≡	52.0	✳ ⸗ 9-n, ≡ n-n
21	-6.4	-4.6	-5.8	-5.6	-8.3	583.9	584.1	586.9	82	85	90	N 3	N 3	N 2	10≡	10≡	10≡	5.7	✳ ✢ zeitw., ≡ n-n
22	-2.7	0.6	-1.8	-1.3	-4.1	588.3	589.6	590.9	85	71	99	NE 2	NE 0	NE 1	10	10≡	10■	7.5	✳ 8½-11¼, ≡ 9-n
23	-0.2	1.5	0.8	0.7	-2.2	592.0	592.3	592.1	83	63	92	N 1	N 1	N 2	0	0	10≡	0.5	≡ 18-n
24	0.8	1.8	-1.6	0.3	-2.7	590.5	590.1	590.6	81	75	95	N 1	N 0	N 3	10≡	10≡	10≡	7.0	● n, ✳ ✢ 16¾-n zeitw.,
25	-1.6	-0.4	-1.6	-1.2	-4.3	589.4	590.0	590.1	81	65	83	N 2	N 2	N 2	8	6	10≡	.	≡ 17-n [≡ n-n
26	0.0	5.8	2.5	2.8	-0.4	590.4	590.9	591.1	71	54	77	N 0	N 0	S 1	5	6	8	6.1	
27	0.6	1.4	1.3	1.1	-2.2	590.0	590.1	589.2	85	78	81	SE 1	SE 1	SE 1	10*●≡	10	10●	25.4	● ✳ n-10¼. ● 19¼-n,
28	0.0	0.2	-0.4	-0.1	-3.5	586.0	586.3	588.3	80	86	93	SE 1	SE 1	SE 0	10*≡	10*■	10*≡	26.9	✳° ≡ n-n [≡ n-11
29	0.8	5.2	0.8	2.3	-1.2	589.9	591.2	591.9	85	56	81	N 0	W 0	NW 0	5	10	5	.	
30	2.2	3.0	3.0	2.7	-0.9	592.2	592.3	592.9	85	67	81	NW 1	S 1	S 1	10	10	10●	7.4	● 16-n
31	1.5	4.2	6.0	3.9	0.3	593.5	595.4	596.4	81	65	70	N 2	N 1	E 0	5	0	3	.	
																		Summe	
Mittel	-0.4	1.6	-0.1	0.4	—	589.9	590.3	590.7	76	65	81				7.3	7.1	7.9	295.3	

$\lambda = 7^\circ 26'$, $\beta = 46^\circ 57'$.
$H_b = 572.2^m$, $G = 0.00$ m/m.

Bern

Juni 1938.
Beobachter: *Tellur. Observatorium.*

Tag	Lufttemperatur 7³⁰	13³⁰	21³⁰	Mittel	Abweich. vom Normalst.	Luftdruck 7³⁰	13³⁰	21³⁰	Relative Feuchtigkeit 7³⁰	13³⁰	21³⁰	Windrichtung und Stärke 7³⁰	13³⁰	21³⁰	Bewölkung 7³⁰	13³⁰	21³⁰	Niederschlag	Witterung
1	13.4	23.0	15.2	17.2	2.9	712.6	710.6	711.3	83	49	87	SE 0	N 0	W 2	1	7	10	23.6	● ⊼ 19¼-n m.U., △ fr.
2	14.0	10.6	**7.7**	10.8	−3.7	711.8	714.2	716.4	88	89	86	S 0	NW 1	SSE 1	10	10	9	16.1	● 0¼-18¼ m.U.
3	8.0	14.7	11.0	11.2	−3.4	717.0	716.5	716.3	87	35	60	SE 1	SW 1	E 0	8	4	0	.	● 3¾
4	9.0	18.7	14.5	14.1	−0.6	715.4	713.8	711.6	78	38	54	E 1	N 1	NNE 1	4	0	0	.	△ fr.
5	12.0	21.6	13.2	15.6	0.8	711.8	711.1	714.7	84	37	82	SE 0	W 2	S 0	1	9	10	1.2	● 18, 20¼-21¼, △ fr.
6	12.6	19.6	16.5	16.2	1.3	716.3	716.0	715.8	86	50	55	NE 0	NE 0	N 0	8	1	0	.	
7	13.6	24.8	19.4	19.3	4.3	716.9	716.3	716.7	83	22	61	S 0	NE 0	W 0	0	0	0	.	△ fr
8	15.5	26.5	21.0	21.0	5.9	717.5	716.4	716.1	80	**21**	52	S 0	W 1	S 0	0	0	8	.	△ fr.
9	17.3	26.2	17.2	20.2	5.0	716.2	715.3	715.8	77	36	83	S 0	SW 0	NE 0	8	1	10	21.7	● 21½-23½, ⊼ 21½-22
10	15.0	15.4	14.0	14.8	−0.5	716.0	716.1	715.6	87	89	88	S 0	S 1	N 0	10	10	10	18.6	● 3¾-18½ m.U.
11	13.0	18.8	13.2	15.0	−0.4	714.5	712.6	712.1	89	59	85	NE 0	ENE 1	W 1	10	6	10	15.0	● 17¾-22 m.U., ⊼ 18-19¾
12	13.0	14.0	11.8	12.9	−2.6	709.3	707.8	**706.3**	84	76	88	NE 1	NE 1	SW 2	10	10	10	27.6	● 13¼, 18¼-24 m.U.
13	9.0	9.3	9.2	9.2	−6.4	707.1	708.9	711.3	90	86	88	W 1	W 1	NE 0	10	10	10	**31.6**	● 0-20½ m.U.
14	9.0	10.0	10.0	9.7	−6.0	712.2	713.8	715.0	90	86	94	NE 1	NE 1	SW 0	10	10	10	0.7	● 4¼-8¼ m.U., 7¾-8¼, [13¾, 20
15	10.5	19.7	16.0	15.4	−0.4	715.8	715.4	715.2	88	42	72	E 0	SE 1	W 0	3	8	10	.	
16	13.0	17.3	12.1	14.1	−1.8	716.6	717.3	717.8	75	56	70	N 0	N 1	NE 1	7	3	0	.	
17	10.4	19.9	14.5	14.9	−1.1	716.6	715.8	715.5	82	38	71	NE 1	NE 1	NE 0	0	0	0	.	△ fr.
18	12.0	22.3	17.8	17.4	1.3	716.8	713.1	712.5	83	27	61	E 0	N 1	SW 0	0	0	10	1.1	△ fr.
19	14.0	23.0	18.0	18.3	2.1	714.2	714.3	716.8	88	44	59	W 0	W 1	SW 0	9	3	3	.	● 2½-4½ m.U.
20	14.2	20.3	18.0	17.5	1.2	718.7	**718.8**	718.5	85	49	65	S 0	NE 1	NE 1	9	8	0	.	
21	15.2	24.9	20.9	20.3	3.9	718.0	716.7	716.0	82	42	68	NE 0	W 1	W 0	0	0	0	.	△ fr.
22	18.0	22.4	18.4	19.6	3.1	717.1	716.3	717.2	73	64	73	S 1	NW 1	SE 0	5	0	9	.	
23	15.9	18.7	18.0	17.5	0.9	715.8	717.0	716.2	88	70	74	N 1	SW 1	SE 1	10	9	10	11.6	● 7¾-10¾, ⊼ 8-8½
24	16.7	25.0	21.6	21.1	4.5	716.5	714.8	713.4	84	38	67	E 0	S 1	SW 0	1	1	0	.	△ fr.
25	18.4	**28.7**	25.3	24.1	7.4	713.5	712.4	711.4	77	42	45	SE 0	W 1	SW 1	0	1	1	.	△ fr.
26	21.0	24.3	19.7	21.7	4.9	713.1	713.4	713.7	49	40	73	SW 1	W 1	SE 0	9	8	2	.	
27	18.5	24.9	22.5	22.0	5.1	713.3	711.6	710.6	79	40	59	E 0	NE 1	SW 1	0	0	0	.	
28	19.8	24.0	20.4	21.3	4.3	711.1	711.0	710.8	66	46	72	WSW 1	WNW 2	W 1	2	1	0	.	
29	19.5	25.8	20.0	21.8	4.8	709.7	709.7	711.0	65	30	64	WSW 1	SW 2	SW 0	1	3	1	.	
30	18.4	24.0	20.2	20.8	3.7	710.5	708.5	707.2	61	46	72	NE 0	NNE 0	E 0	2	7	3	.	
Mittel	14.3	20.6	16.6	17.2	—	714.4	713.9	714.0	80	50	71				4.9	4.7	4.9	Summe 168.8	

$\lambda = 6^\circ 57'$, $\beta = 47^\circ 0'$.
$H_b = 487.3^m$, $G = 0.02$ m/m.

Neuchâtel

Juni 1938.
Beobachter: *Observatorium.*

Tag	Lufttemperatur 7³⁰	13³⁰	21³⁰	Mittel	Abweich. vom Normalst.	Luftdruck 7³⁰	13³⁰	21³⁰	Relative Feuchtigkeit 7³⁰	13³⁰	21³⁰	Windrichtung und Stärke 7³⁰	13³⁰	21³⁰	Bewölkung 7³⁰	13³⁰	21³⁰	Niederschlag	Witterung
1	12.5	22.3	14.9	16.6	1.6	720.7	718.6	719.5	86	49	93	E 0	SE 0	W 0	1	7	10●	8.9	● 19-n, ⊤ abds.
2	14.3	10.9	**8.3**	11.2	−4.0	719.8	722.1	724.4	95	85	98	W 0	SW 1	NW 1	10●	10●	9	6.4	● n-17¾
3	10.0	16.5	11.4	12.6	−2.7	725.1	724.5	724.1	82	49	59	SE 1	SE 1	NW 1	5	3	0	.	
4	10.0	21.3	16.3	15.9	0.5	723.3	721.7	719.6	77	41	51	E 1	SE 1	NE 1	0	0	0	.	
5	12.3	22.2	13.6	16.0	0.5	719.8	719.1	722.7	81	46	92	SE 1	W 1	W 0	6	7	10	0.7	● seit 18½
6	13.1	22.7	17.3	17.7	2.1	724.3	723.8	723.6	92	48	61	SE 0	S 1	N 1	7	1	0	.	
7	13.6	24.7	19.7	19.3	3.6	724.8	724.1	724.3	85	40	58	SE 1	SE 0	NE 0	0	0	0	.	
8	16.2	27.8	21.6	21.9	6.1	725.2	724.1	723.6	81	40	47	E 0	SE 0	SE 0	0	0	3	.	
9	18.0	28.7	18.3	21.7	5.8	724.1	722.9	723.5	76	38	85	SW 0	S 1	NE 1	10	1	10●	14.5	●sch. 20-20½, ● 21¼-n,
10	16.5	17.2	14.4	16.0	0.0	723.5	723.8	723.4	97	91	93	SW 0	SE 0	SW 0	10	10	10●	6.0	●sche zeitw. [⊤ 14¾, 20-n
11	14.1	22.3	13.7	16.7	0.6	721.8	720.4	720.0	93	59	98	E 1	SE 1	NW 1	10	2	10	6.2	● seit 18¾
12	13.5	13.1	11.0	12.5	−3.7	717.4	715.8	**713.9**	95	76	97	N 1	NW 3	SW 2	10●	10●	10●	**50.0**	● 7½-n zeitw.
13	9.6	10.0	8.9	9.5	−6.8	715.2	717.1	719.3	97	97	97	SW 1	SE 0	N 0	10●	10●	10●	27.6	● n-n
14	10.0	12.0	10.7	10.9	−5.5	720.5	721.9	723.3	97	83	97	SE 0	E 1	E 0	10	10	10	0.2	●sch. 18-19
15	11.1	19.5	15.5	15.4	−1.1	723.9	723.5	723.2	95	52	86	E 1	S 0	W 1	7	10	10	0.7	●sch. 14¾, 20-20¾
16	13.4	20.0	12.2	15.2	−1.4	724.5	724.9	725.6	62	46	75	N 1	N 1	N 1	6	1	0	.	
17	12.3	22.1	14.8	16.4	−0.3	724.7	723.5	723.3	77	53	74	SE 1	SE 1	NE 0	0	0	0	.	
18	12.7	22.3	17.5	17.5	0.7	722.9	721.1	720.2	81	53	67	SE 0	SE 0	SE 0	0	0	6	0.8	
19	14.8	23.9	18.2	19.0	2.1	722.3	722.5	724.5	91	54	62	NE 1	W 2	NW 3	7	3	2	.	
20	15.5	23.7	18.2	19.1	2.1	**726.7**	726.4	726.1	84	49	77	E 0	S 1	E 0	6	1	0	.	
21	15.6	25.9	20.2	20.6	3.6	725.9	724.5	723.4	84	50	76	E 0	S 1	NW 0	0	0	0	.	
22	18.1	16.4	18.1	17.5	0.4	724.9	724.1	724.7	87	80	94	SE 0	NW 3	N 0	2	10●	9	7.8	●² ⊼ 11½-14
23	16.4	20.3	17.7	18.1	0.9	723.6	724.9	723.9	97	78	90	NE 0	S 1	NW 1	10●	5	6	5.1	● 7½-9¾, ⊤ a
24	17.1	26.6	20.0	21.2	3.9	723.6	722.6	721.0	90	55	76	SE 0	S 1	NW 0	0	0	0	.	
25	18.5	**29.1**	24.6	24.1	6.7	721.3	720.1	719.3	90	59	66	SE 0	S 1	W 1	0	0	0	0.2	●°sch. 23¾, ⊲ abds., ⊼ 23- [23½
26	20.9	27.2	21.1	23.1	5.6	721.0	721.2	721.2	63	49	64	SW 1	S 1	NW 2	5	5	1	0.1	●sch. 19½
27	18.8	25.8	23.1	22.6	5.1	721.4	719.6	718.4	82	53	48	SE 0	SW 1	NW 1	7	0	0	.	
28	20.6	26.9	20.1	22.5	4.9	718.8	718.7	718.4	69	**36**	59	W 2	W 2	NW 1	8	1	0	.	
29	20.7	26.1	20.4	22.4	4.7	717.2	717.8	718.7	68	46	65	SW 2	W 3	W 1	1	7	9	.	
30	18.6	27.4	21.2	22.4	4.6	718.2	716.1	714.7	66	45	63	S 0	SE 1	NW 1	1	0	4	5.6	● 22-n
Mittel	15.0	21.8	16.8	17.9	—	722.2	721.7	721.7	84	57	76				5.0	3.8	4.6	Summe 140.8	

Juni 1938.
Beobachter: Frl. *H. Nager.*

Altdorf

$\lambda = 8^\circ 39'$, $\beta = 46^\circ 53'$.
$H_b = 456.3^m$, $G = -0.05$ ‰.

Tag	Lufttemperatur 7³⁰	13³⁰	21³⁰	Mittel	Abweich. vom Normalst	Luftdruck 7³⁰	13³⁰	21³⁰	Relative Feuchtigkeit 7³⁰	13³⁰	21³⁰	Windrichtung und Stärke 7³⁰	13³⁰	21³⁰	Bewölkung 7³⁰	13³⁰	21³⁰	Niederschlag	Witterung
1	13.1	26.3	19.8	19.7	4.7	722.8	721.7	721.9	76	**32**	40	SW 0	S 2–3	SE 1	0	4	10	6.6	
2	9.1	13.7	13.1	12.0	−3.1	722.8	723.9	728.0	90	69	93	E 1	W 2	SE 0	5	10	10●	**27.8**	●² III
3	**7.7**	14.1	9.4	10.4	−4.8	728.2	727.4	727.8	94	48	76	E 0	S 0	SE 0	10●	7	3	1.1	● I
4	9.1	16.7	12.7	12.8	−2.5	726.2	724.2	722.7	72	44	82	S 0	NW 0	E 0	1	0	0	.	
5	11.9	22.7	14.8	16.5	1.1	722.1	720.6	725.5	73	39	91	NE 0	NW 1	E 0	0	3	10	2.4	● ⸗ 19
6	14.4	19.9	16.8	17.0	1.6	727.1	726.8	726.9	93	53	67	E 0	NW 0	SE 0	10	6	1	.	
7	13.8	22.7	18.8	18.4	2.9	727.0	726.6	727.5	76	45	61	E 0	NW 0–1	SE 0	0	1	0	.	
8	17.1	24.8	20.3	20.7	5.1	727.6	726.4	727.7	86	44	59	E 0	NW 0	E 0	0	0	0	.	
9	17.8	**26.5**	17.9	20.7	5.0	725.9	725.1	727.0	68	44	93	NE 0	NW 0–1	E 0	0	3	10●	13.5	● 19½–n, ⸗ 19¾
10	16.6	18.9	15.3	16.9	1.1	726.6	726.2	726.5	93	78	94	E 0	NW 0	NW 0	10●	10●	10	7.8	● n–n zeitw.
11	15.7	19.3	15.3	16.8	0.9	724.4	723.0	722.6	84	59	85	N 0	NW 1–2	W 0	10	7	10●	3.3	● 19–n
12	15.6	17.3	15.3	16.1	0.2	719.6	718.3	**715.2**	80	69	92	W 0	NW 0	NW 0	10	10	10	3.5	
13	12.9	12.5	11.5	12.3	−3.7	716.9	718.8	721.6	89	90	90	W 0	SW 0	NW 0	10●	10●	10	9.4	● I, II
14	12.1	13.6	11.8	12.5	−3.6	722.3	723.9	725.9	84	78	90	NW 0	SE 0	NW 0	10●	10●	10●	3.9	● n–n
15	12.3	18.8	14.8	15.3	−0.9	726.4	725.7	725.5	90	47	86	N 0	NW 0	NW 0	10	7	10	9.5	● p–n zeitw.
16	14.0	14.6	12.7	13.8	−2.5	727.0	728.6	728.9	66	62	88	NW 1–2	NW 1–2	NE 0	8	10	8	.	
17	11.2	18.3	14.5	14.7	−1.6	727.1	726.2	726.7	84	53	75	NW 0	NW 0–1	E 0	0	1	0	.	
18	12.4	20.5	16.9	16.6	0.2	725.4	723.4	723.5	84	48	72	E 0	N 0	NW 0	0	0	10	1.0	
19	16.5	20.3	16.7	17.8	1.3	723.5	725.0	726.9	60	53	86	SE 0–1	N 0	SW 0	9	6	10	0.7	● zeitw.
20	17.3	22.1	19.0	19.5	2.9	**729.0**	728.1	**729.0**	73	51	77	S 0	NW 1–2	SE 0	8	4	6	.	
21	15.4	22.8	20.5	19.6	3.0	728.0	726.7	726.5	85	55	68	N 0	NW 0–1	SE 0	0	1	0	1.6	● n (21./22.)
22	18.2	25.9	16.4	20.2	3.5	727.0	725.3	727.9	70	47	90	N 0	NW 0	SE 0	2	9	10	3.9	● ⸗ 15½
23	18.4	19.4	17.4	18.4	1.6	725.6	727.1	727.8	74	75	45	NW 0	NW 0	SE 0	6	10	10	5.9	● 9½
24	17.8	25.0	20.7	21.2	4.3	726.0	724.5	724.3	77	52	70	NW 0	NW 0	SE 0–1	3	2	0	.	
25	16.4	26.2	21.6	21.4	4.5	723.7	722.1	722.0	73	46	70	W 0	NW 0	W 0	0	3	6	.	
26	19.9	24.5	17.7	20.7	3.7	723.6	722.9	724.6	76	45	91	SW 0	NW 1	SW 0	6	7	8	15.5	● zeitw.
27	17.7	23.7	19.8	20.4	3.3	723.9	721.4	721.3	79	59	90	E 0	NW 1	SE 1	2	4	4	0.9	● 17½
28	18.9	24.5	20.8	21.4	4.3	721.1	720.4	720.7	73	55	70	NW 0	NW 1–2	NW 0	5	4	7	.	
29	18.9	25.8	21.5	22.1	4.9	719.8	719.2	721.3	80	47	67	N 0	NW 1–2	NW 0	0	4	10	.	
30	18.4	22.8	20.1	20.4	3.1	721.2	718.6	718.5	84	57	93	NE 0	NW 0–1	NW 0	10	4	10●	10.1	● a zeitw., 21¼–n, T n
Mittel	15.0	20.8	16.8	17.5	—	724.6	723.9	724.7	80	55	78				4.8	5.2	6.8	Summe 128.4	

Juni 1938.
Beobachter: *Observatorium.*

Genf

$\lambda = 6^\circ 9'$, $\beta = 46^\circ 12'$,
$H_b = 405.0^m$, $G = -0.03$ ‰.

1	13.0	20.3	17.2	16.8	1.3	727.5	725.5	726.8	81	58	50	NE 0	NNE 0	SW 1	2	4	10	1.2	⊕ 9½
2	15.0	11.7	11.0	12.6	−3.0	727.7	729.8	731.6	85	84	73	SSW 1	SSW 1	ESE 0	10	10	7	3.1	● n–a, ●sch. p, n
3	11.3	15.2	12.7	13.1	−2.6	732.6	731.8	731.0	68	**38**	47	SE 1	NNE 1	NNE 1	0	1	0	.	
4	10.8	17.8	15.9	14.8	−1.1	730.3	728.9	726.6	72	47	31	NNE 0	NNE 0	NNE 0	0	0	0	.	
5	13.6	19.0	15.0	15.9	−0.1	727.1	727.0	729.8	75	53	68	NE 0	W 0	NE 0	1	10	9	0.5	● 18¾–n
6	14.8	19.7	18.0	17.5	1.4	731.5	730.7	730.3	87	55	55	NE 0	NNE 1	E 0	6	0	0	.	
7	15.0	20.8	20.6	18.8	2.6	731.9	731.1	730.2	75	50	39	E 0	NNE 1	NE 0	0	0	0	.	
8	17.8	23.4	21.7	21.0	4.7	732.3	731.0	730.3	71	55	39	E 0	NNE 1	E 0	0	0	1	.	
9	20.7	24.2	21.9	22.3	5.9	731.3	729.8	730.5	67	54	52	NE 0	NNE 1	SE 0	6	0	9	3.3	
10	17.0	16.9	16.6	16.8	0.3	731.2	731.2	730.2	93	89	88	NNE 0	E 0	NE 0	10	10	9	2.4	● n–a, p m.U.
11	15.8	19.6	17.0	17.5	0.9	728.9	727.3	726.7	85	67	59	NE 0	NNE 1	SSE 0	9	5	10	0.6	●sch.° 6½
12	14.2	13.2	10.5	12.6	−4.1	724.4	723.2	723.3	92	89	94	NE 0	SSW 0	E 0	10	10	10	**57.6**	● n–n
13	**10.2**	10.8	10.6	10.5	−6.3	722.7	724.3	726.0	94	96	87	E 0	E 0	NE 1	10	10	10	21.4	● n–p, ● abds., n
14	11.6	15.2	13.1	13.3	−3.6	727.2	728.4	729.6	83	64	71	NE 1	NE 1	NE 1	10	9	2	.	
15	12.2	19.7	18.2	16.7	−0.3	731.0	730.9	731.0	82	54	43	E 0	NNE 1	S 1	0	1	10	0.1	●sch.° 22¼
16	16.0	20.3	15.8	17.4	0.3	731.3	731.4	731.4	71	43	44	NNE 0	NNE 1	NNE 2	1	0	0	.	
17	12.9	20.2	18.0	17.0	−0.2	731.7	730.4	729.5	76	54	56	NNE 1	NNE 1	NNE 1	0	0	0	.	
18	14.9	19.8	19.6	18.1	0.8	729.9	728.3	727.3	75	57	65	NNE 1	NNE 1	NE 1	0	0	9	0.1	⸗° (N, fern), ●sch. 19
19	16.6	22.6	19.7	19.6	2.2	729.6	729.6	732.1	82	62	66	NE 0	NNE 1	NE 0	9	0	0	.	
20	17.0	21.8	19.4	19.4	1.9	**734.1**	733.3	732.6	75	52	66	E 0	NNE 1	NNE 0	0	0	0	.	
21	18.0	22.8	23.6	21.5	3.9	733.0	731.5	730.6	77	59	42	NE 0	NNE 1	S 1	0	0	0	.	
22	21.4	24.9	20.5	22.3	4.7	731.9	731.4	731.9	69	61	67	NE 0	NNW 1	E 0	0	10	9	.	T 12¾, ●tr. 14¼
23	19.3	20.4	19.2	19.6	1.9	730.5	732.2	730.8	80	71	85	E 0	NNE 0	NE 0	8	6	5	8.2	⸗° 10¼, ● ab 10½, [●sch.° 18½, ⌒ 19¼
24	18.4	24.2	21.8	21.5	3.7	730.7	729.5	727.7	86	60	66	NE 0	NNE 1	NE 0	0	0	0	.	
25	20.4	24.7	26.0	23.7	5.8	728.5	727.0	727.0	80	68	48	NE 0	NNE 1	SW 1	0	1	9	.	⸗, ●tr. 20¾–21¼
26	22.5	25.7	22.4	23.5	5.5	728.4	727.9	728.6	55	58	71	E 0	NNE 1	NNE 0	5	9	0	.	
27	20.0	**27.6**	22.0	23.2	5.1	728.3	726.3	725.4	77	51	54	SW 0	NW 1	SW 0	8	0	6	1.8	
28	22.0	26.0	21.0	23.0	4.9	726.4	726.2	726.3	75	55	43	E 0	W 1	SSW 1	7	1	0	.	⸗ ab 0, ⸗, ●sch. 1
29	22.0	26.7	20.7	23.1	4.9	725.3	725.5	725.6	64	45	44	SW 1	W 1	W 1	0	2	1	.	
30	18.0	26.2	22.4	22.2	3.9	725.2	723.0	**721.4**	74	47	43	NNE 0	SW 1	NE 0	1	1	9	1.0	●sch.° 20½, ● n, ⸗ 21
Mittel	16.4	20.7	18.4	18.5	—	729.4	728.8	728.7	77	60	58				3.8	3.3	4.5	Summe 101.3	

$\lambda = 8° 33'$, $\beta = 47° 23'$, $H_b = 493.2^m$, $G = 0.03$ m/m.

Zürich

Juni 1938.
Beobachter: *Meteorol. Zentralanstalt.*

Tag	Lufttemperatur 7³⁰	13³⁰	21³⁰	Mittel	Abweich. vom Normalst	Luftdruck 7³⁰	13³⁰	21³⁰	Relative Feuchtigkeit 7³⁰	13³⁰	21³⁰	Windrichtung und Stärke 7³⁰	13³⁰	21³⁰	Bewölkung 7³⁰	13³⁰	21³⁰	Niederschlag	Witterung
1	13.1	26.4	19.9	19.8	4.8	719.9	717.4	717.8	71	34	48	SE 0	SW 0	WSW1	1	7	10	5.9	●tr. 18½–19, 24–n, △ fr.
2	14.7	9.8	7.6	10.7	−4.4	719.4	722.0	723.8	98	90	92	S 1	WNW2	SE 1	10●	10●	9	17.5	● n–20½, ⸗ 10¾
3	8.3	11.9	9.4	9.9	−5.3	724.4	724.3	723.9	97	57	71	S 1	WNW2	SE 1	10	8	1	0.0	● 3¾–7½
4	8.6	20.8	15.3	14.9	−0.4	723.1	721.2	719.2	83	32	45	WSW1	ESE 2	NE 1	3	1	1		
5	12.1	25.7	15.3	17.7	2.3	719.0	717.9	721.6	75	33	63	SSW 1	WSW2	W 1	1	1	10	0.5	●° 19–19¾, 22–22¾
6	14.4	23.1	16.0	17.8	2.3	723.9	723.3	723.2	76	42	72	NW 0	WNW1	E 0	9	3	0	.	
7	14.2	27.0	18.7	20.0	4.4	723.8	723.4	723.8	80	31	56	SW 0	WNW1	N 0	0	1	1	.	
8	16.0	28.8	20.7	21.8	6.1	724.3	723.2	722.9	76	31	61	NNE 0	N 0	SE 0	0	1	1	.	△ fr.
9	18.5	28.9	21.9	23.1	7.3	722.4	722.4	722.2	73	34	51	ESE 1	WNW2	WSW0	1	2	10	13.8	● 23–n
10	16.5	16.0	13.6	15.4	−0.5	722.7	723.0	722.8	97	95	96	SSE 1	W 0	ENE 1	10	10●	10	12.3	● n–19¾ m.U.
11	14.2	17.6	14.1	15.3	−0.7	721.2	720.3	719.4	83	58	59	NNE 1	WNW1	W 1	10	10	10●	23.0	●° 5¼, ● 21¼–n, ⸗ 20¼–21
12	13.8	16.2	14.4	14.8	−1.3	716.8	715.3	712.5	89	71	72	N 0	N 1	NE 3	10	10●	10	16.8	●° n–2½, ●sch. 13½, 23¼–n
13	10.9	11.6	9.8	10.8	−5.4	713.9	715.1	718.5	100	97	97	NW 1	N 1	NW 1	10●	10●	10●	31.8	● n–n
14	10.0	10.8	10.6	10.5	−5.7	719.5	721.0	722.4	99	89	100	NNW0	NW 1	WNW0	10	10●	10●	3.6	●° n–22¼
15	11.9	19.4	15.7	15.7	−0.6	722.8	722.2	721.9	94	43	60	SSE 1	SW 1	NW 1	10	7	10	0.4	● 20¼–20¾
16	11.7	17.4	11.7	13.6	−2.8	724.2	725.1	725.3	71	46	82	NNE 1	WSW2	NE 0	9	5	3	.	
17	10.7	19.3	14.6	14.9	−1.6	724.2	723.3	723.0	86	47	70	WNW0	WNW1	NE 2	0	1	1	.	△ fr.
18	11.6	22.7	16.5	16.9	0.4	722.4	720.6	719.9	80	42	61	NNW0	NNE 1	NE 1	0	1	9	.	△ fr.
19	17.5	24.5	19.0	20.3	3.7	720.9	721.4	723.7	60	46	65	NW 1	SSW 2	NW 2	9	4	2	0.3	●° 7½, 10–10¼
20	16.3	23.8	17.4	19.2	2.5	726.0	725.7	725.8	71	47	68	NW 1	WNW1	NW 0	10	4	4	.	
21	15.9	26.9	20.2	21.0	4.2	725.3	723.7	722.8	80	43	70	WNW1	SW 0	ESE 0	0	1	2	.	△ fr.
22	19.0	26.4	18.8	21.4	4.6	724.0	722.5	724.0	81	47	66	ESE 0	NW 2	SSE 1	1	9	10	0.6	⸗ ● 15¼–15¾
23	17.1	20.3	17.8	18.4	1.5	723.0	723.5	723.2	90	63	97	WSW0	SSE 2	ENE 1	10●	8	8	3.6	⸗ ● 7¼–8, ● 8–11¼, 19¼– [20½, n–n
24	17.5	26.4	19.6	21.2	4.2	722.8	721.7	720.5	93	40	80	NE 0	NW 2	NNW0	1	2	1	.	△ fr.
25	18.8	30.2	23.4	24.1	7.1	720.4	719.2	718.2	88	41	80	S 0	WSW1	N 1	1	1	4	.	△ fr.
26	21.2	24.4	18.8	21.5	4.4	720.3	720.5	721.3	58	50	99	WNW1	NW 3	SE 1	5	8	10●	2.7	⸗ ● 21–22
27	18.6	25.4	22.0	22.0	4.8	721.0	718.6	717.3	59	49	77	WNW1	NNW1	NW 1	7	2	1	.	
28	19.4	25.2	19.2	21.3	4.1	718.1	718.0	717.7	74	48	73	NW 1	NNW2	W 1	6	3	2	.	
29	19.3	27.3	20.7	22.4	5.1	716.3	716.0	718.0	64	32	62	WNW0	W 3	NW 1	2	3	9	.	△ fr.
30	18.5	25.1	20.8	21.5	4.2	718.0	715.7	714.6	68	48	82	WNW0	ESE 1	SSE 1	9	3	8	0.0	
Mittel	15.0	22.0	16.8	17.9	—	721.5	720.9	721.0	80	51	73				5.5	4.9	5.9	Summe 132.8	

$\lambda = 8° 30'$, $\beta = 47° 3'$, $H_b = 1787.3^m$, $G = -0.20$ m/m.

Rigi-Kulm

Juni 1938.
Beobachter: *J. Steiner.*

Tag	7³⁰	13³⁰	21³⁰	Mittel	Abweich. vom Normalst	7³⁰	13³⁰	21³⁰	7³⁰	13³⁰	21³⁰	7³⁰	13³⁰	21³⁰	7³⁰	13³⁰	21³⁰	Niederschlag	Witterung
1	11.9	16.0	10.5	12.8	6.2	617.6	617.2	615.9	32	40	45	SW 1	SSE 2	SW 2	1	2	10	0.2	
2	6.7	3.0	−0.5	3.1	−3.6	616.3	616.8	617.7	84	88	92	ENE 1	NW 1	W 1	10≡	10≡	10	26.5	● p zeitw., ✳ 18–20½, [≡ I, II ⊠
3	−1.2	3.2	1.2	1.1	−5.7	617.5	618.3	618.6	90	72	68	W 1	W 1	SE 1	10*	7	0	0.2	
4	6.9	10.8	10.0	9.2	2.3	617.6	617.9	617.2	28	58	44	SE 1	S 1	S 1	1	0	1	.	
5	11.2	12.4	6.4	10.0	3.1	616.5	616.6	618.9	40	72	86	S 1	SW 1	W 2	1	2	10	2.9	●sch. 18
6	6.2	10.0	9.4	8.5	1.5	619.4	620.1	620.5	88	72	76	S 1	SW 1	SE 1	10≡	7	1	.	≡ I
7	11.2	14.0	15.5	13.6	6.5	621.1	622.0	622.1	55	61	54	W 1	SW 1	SE 1	0	1	0	.	
8	14.6	15.8	18.6	16.3	9.1	622.5	622.4	622.4	52	58	56	NW 0	NE 1	SW 1	0	1	0	.	
9	14.0	15.6	11.5	13.7	6.5	621.3	621.7	620.8	55	58	90	W 1	SW 1	SW 1	1	3	10	11.5	
10	8.4	7.6	6.0	7.3	0.0	619.6	619.6	619.2	89	90	92	W 1	W 1	W 1	10●	10●	10	23.2	● n–n zeitw.
11	9.3	10.5	4.6	8.1	0.7	617.3	617.1	615.8	72	72	92	NE 1	SW 1	SW 1	10≡	10≡	10	13.3	≡ I, II
12	7.7	6.3	6.2	6.7	−0.7	613.2	611.7	609.6	67	90	90	E 1	NE 1	E 2	10	10≡	10≡	5.7	● abds. zeitw., ≡ II, III
13	4.2	4.3	1.9	3.5	−4.0	610.0	611.1	613.2	89	90	90	NE 1	SW 1	SW 1	10●	10●	10	36.2	● 7¼–n zeitw.
14	2.7	3.8	2.8	3.1	−4.5	614.2	615.8	616.8	89	90	90	SW 1	SW 1	SW 1	10■	10●	10≡	9.7	● n–n zeitw., ≡ I, III
15	3.7	8.6	6.6	6.3	−1.4	617.9	619.1	618.4	90	67	78	WSW1	W 1	W 2	10	9	10	10.3	●sch. 22
16	3.5	4.7	3.3	3.8	−3.9	618.8	619.8	620.2	92	90	88	W 1	WNW1	SW 1	10≡	10≡	10≡	0.3	≡ n–n m.U.
17	8.6	9.7	6.6	8.3	0.5	619.2	619.7	619.5	21	76	76	W 1	SW 1	SW 1	0	1	0	.	
18	8.4	11.3	10.4	10.0	2.1	618.3	618.3	618.0	52	65	65	WSW1	W 1	W 1	0	1	0	.	
19	8.4	11.7	9.7	9.9	1.9	618.2	619.8	620.7	65	72	86	W 2	WSW1	E 1	10	3	10≡	1.0	△sch. 10, ≡ III
20	9.1	11.4	9.1	9.9	1.9	621.8	622.6	622.9	79	76	92	SW 1	W 1	W 1	10≡	10≡	10	.	≡ n–p m.U.
21	12.0	15.2	14.2	13.8	5.7	622.1	622.4	621.9	72	58	58	SW 1	W 1	SW 1	0	2	4	.	
22	13.7	16.9	11.8	14.1	5.9	622.4	622.5	622.3	64	68	63	SW 1	W 1	W 1	1	5	8	4.3	⸗ ● 15–15¾
23	12.4	9.1	10.5	10.7	2.5	620.5	621.0	620.8	58	68	83	W 1	SW 3	SW 2	9	9	9	17.4	
24	11.0	15.4	14.5	13.6	5.3	620.2	620.6	620.0	72	71	62	SW 1	SW 1	W 1	1	7	0	.	
25	14.6	18.6	18.2	17.1	8.7	619.5	620.0	619.1	56	46	42	WSW2	SW 2	SW 1	0	1	1	0.5	
26	12.0	14.5	11.0	12.5	4.0	619.0	619.0	619.3	67	58	64	WSW1	SW 1	SW 2	2	5	10●	16.3	●sch. 17–n zeitw.
27	11.4	16.3	13.8	13.8	5.3	618.5	618.0	617.2	78	64	77	WSW1	SW 1	SW 2	2	2	1	.	
28	12.0	13.5	11.8	12.4	3.8	616.7	617.0	616.4	90	88	70	W 1	W 2	SW 1	9	9	3	.	
29	11.2	12.3	11.0	11.5	2.8	615.1	615.9	616.5	75	76	83	SW 1	W 1	W 1	1	9	10	0.1	
30	10.3	15.4	12.3	12.7	3.9	615.7	614.7	614.4	86	70	73	WSW1	S 1	W 1	10≡	5	10	0.8	≡ I
Mittel	9.2	11.3	9.3	9.9	—	618.3	618.6	618.5	68	71	74				5.1	5.5	6.1	Summe 180.4	

Juni 1938.
Beobachter: *P. Nogler.*

Bevers

$\lambda = 9^\circ 53'$, $\beta = 46^\circ 33'$,
$H_b =$ ca. 1710^m, $G = -0.23$ ‰.

Tag	Lufttemperatur 7³⁰	13³⁰	21³⁰	Mittel	Abweich. vom Normalst	Luftdruck 7³⁰	13³⁰	21³⁰	Relative Feuchtigkeit 7³⁰	13³⁰	21³⁰	Windrichtung und Stärke 7³⁰	13³⁰	21³⁰	Bewölkung 7³⁰	13³⁰	21³⁰	Niederschlag	Witterung
1	9.0	17.8	9.5	12.1	3.9	625.6	624.1	623.9	71	48	90	W 0	SW 2	W 1	6	5	0	0.9	
2	9.2	10.6	9.3	9.7	1.4	624.6	623.7	622.1	85	75	100	SW 1	NW 2	SW 1	10●	10●	10●	**19.6**	●sch. n–n zeitw.
3	**1.4**	5.9	9.5	5.6	−2.8	623.2	623.7	623.9	100	70	90	NNE 1	NE 2	W 1	10●*	10	0	16.3	✳ T n–a
4	9.2	18.7	3.8	10.6	2.1	624.6	624.3	624.1	85	59	75	SW 1	SW 1	W 1	0	0	0	.	
5	8.2	12.2	9.9	10.1	1.5	623.5	622.0	623.7	73	50	88	S 0	SW 2	SW 1	0	0	3	.	
6	11.2	15.5	9.2	12.0	3.3	624.7	624.7	626.8	73	55	88	SW 0	W 4	NE 2	7	7	2	.	
7	7.1	19.8	9.2	12.0	3.2	628.0	626.7	628.5	91	**28**	73	NW 0	NE 2	W 0	10≡	0	0	.	≡ l
8	11.7	19.2	11.0	14.0	5.1	628.6	627.2	628.6	64	32	80	NW 1	S 2	NW 0	0	0	4	.	
9	12.2	22.0	12.6	15.6	6.6	627.6	625.8	627.0	57	34	85	SW 0	S 1	W 0	0	3	10	6.5	⌫ ● 21–n
10	11.0	18.2	7.4	12.2	3.1	625.9	624.5	625.6	90	44	95	W 0	SW 0	W 0	8	6	10●	10.2	● n–11, 17–n
11	8.2	15.2	8.8	10.7	1.5	624.1	623.1	622.6	88	55	81	NW 1	NE 1	S 1	10●	6	8	0.9	● ≡ l
12	9.2	9.3	8.1	8.9	−0.4	620.5	619.3	617.3	94	93	100	SW 1	SE 0	SE 0	10●	10●	10	9.6	● n–n m.U.
13	7.2	9.2	4.7	7.0	−2.4	**616.3**	617.3	618.3	100	93	97	NE 1	S 0	S 1	10●	10●	10	6.8	● n–n zeitw.
14	9.3	8.5	6.4	8.1	−1.4	619.0	620.0	621.4	65	63	72	WSW 2	S 0	SW 1	6	10	10	0.2	●° p
15	8.6	14.7	7.2	10.2	0.6	622.7	623.3	624.1	61	72	90	NW 0	N 1	WSW 2	8	6	10●	0.3	● 20–n
16	8.5	15.0	7.0	10.2	0.5	623.9	624.4	624.4	80	38	48	SW 1	SW 1	S 0	10	2	0	0.3	
17	7.0	15.7	6.4	9.7	−0.1	625.0	624.8	625.2	60	47	77	W 0	W 2–3	SW 0	0	4	0	.	
18	8.5	19.5	8.0	12.0	2.1	624.3	623.2	624.0	65	30	74	WSW 0	SW 2	S 0	0	0	0	.	
19	10.5	15.1	9.6	11.7	1.7	624.5	625.1	626.9	61	46	81	W 2	SW 3	W 0	10	10	0	.	
20	10.8	21.0	12.0	14.6	4.5	628.0	627.3	628.3	69	32	84	S 0	S 1	SW 1	4	0	2	.	
21	12.0	21.6	12.7	15.4	5.3	628.6	627.8	628.3	73	44	91	W 0	SW 3	S 2	0	4	6		
22	14.6	22.5	10.8	16.0	5.8	**628.9**	627.5	627.7	69	37	83	SW 1	SW 2	S 0	5	6	0	.	
23	13.8	18.1	13.2	15.0	4.7	626.6	626.0	626.6	67	57	63	SW 0	E 0	N 1	4	8	9	.	
24	13.0	22.2	12.5	15.9	5.5	626.5	625.5	625.4	66	37	78	S 0	SW 1	S 1	4	3	0	.	
25	15.3	**23.2**	15.0	17.8	7.4	626.1	625.4	626.0	68	40	90	W 0	SW 3	W 0	0	5	0	0.3	● ⌿ n (25./26.)
26	15.1	23.0	12.3	16.8	6.3	625.3	624.9	625.1	59	46	80	S 0	W 2	NW 1	3	4	7	1.1	● 18–19
27	13.2	22.7	14.8	16.9	6.3	624.7	623.1	623.5	69	42	83	SW 1	W 2	S 0	0	5	7	5.6	
28	12.1	**23.2**	11.3	15.5	4.9	623.1	622.0	622.4	94	38	94	NW 1	SW 3	NW 1	1	7	0	.	
29	15.2	22.6	16.3	18.0	7.3	621.6	620.8	621.5	76	45	81	N 0	SW 3	SW 0	6	5	0	.	
30	16.8	21.5	14.7	17.7	6.9	621.8	620.6	620.5	71	53	93	NE 0	SE 2	W 1	6	8	3	15.2	
Mittel	10.6	17.5	10.1	12.7	—	624.6	623.9	624.5	76	50	84				4.9	5.1	4.0	Summe 93.8	

Juni 1938.
Beobachter: *Kapuzinerkloster.*

Sitten

$\lambda = 7^\circ 21'$, $\beta = 46^\circ 14'$,
$H_b = 548.6^m$, $G = -0.11$ ‰.

Tag	7³⁰	13³⁰	21³⁰	Mittel	Abweich. vom Normalst	7³⁰	13³⁰	21³⁰	7³⁰	13³⁰	21³⁰	7³⁰	13³⁰	21³⁰	7³⁰	13³⁰	21³⁰	Niederschlag	Witterung
1	15.9	26.0	20.6	20.8	4.4	714.6	710.6	711.2	65	35	44	E 1	NE 1	E 0	0	2	10	1.5	
2	16.1	19.1	**9.6**	14.9	−1.6	712.3	712.6	716.3	87	59	85	E 0	W 2	W 1	8	6	8	13.8	● (5, 15½)
3	11.2	18.6	11.5	13.8	−2.8	716.6	715.4	715.7	73	38	57	W 1	W 3	W 1	5	5	0	.	
4	11.9	22.0	16.0	16.6	−0.1	717.5	712.8	712.3	59	40	62	E 1	W 1	W 1	0	0	0	.	
5	17.1	24.1	18.3	19.8	3.0	712.5	710.0	713.4	55	41	53	NE 1	W 2	W 3	1	5	9	0.0	
6	15.3	22.6	18.0	18.6	1.7	716.6	715.0	715.2	78	46	53	N 1	W 2	W 2	6	2	0	.	
7	15.8	26.4	20.4	20.9	3.9	717.7	714.9	715.8	62	39	47	E 0	W 2	W 2	0	0	0	.	
8	18.1	29.4	22.4	23.3	6.2	718.3	714.8	715.3	60	36	42	E 1	W 2	W 2	0	0	0	.	
9	19.1	29.3	23.5	24.0	6.8	716.5	713.5	714.6	57	**30**	49	E 1	W 2	SE 3	1	2	10	3.6	
10	16.8	17.7	16.1	16.9	−0.4	715.9	717.1	715.8	79	87	82	E 1	W 1	W 0	10	10●	10	6.3	● n–n m.U.
11	17.1	23.2	14.7	18.3	1.0	713.8	710.4	712.2	79	46	84	W 0	W 2	W 0	7	3	10●	11.0	⌫ ● 18–18½, ● III
12	16.6	19.2	11.4	15.7	−1.7	709.1	707.0	**705.7**	79	55	89	E 1	W 2	W 4	8	9	10●	**16.0**	● III
13	10.4	10.5	10.1	10.3	−7.2	708.1	709.7	711.0	87	89	78	NW 1	E 1	E 1	10	10●	8	6.1	● II
14	12.5	18.7	12.6	14.6	−3.0	712.3	711.8	713.9	74	45	71	NW 0	W 3	W 3	9	6	5	.	
15	14.3	20.2	17.6	17.4	−0.3	716.2	715.1	715.5	66	49	50	W 1	W 1	W 2	0	4	8	0.2	
16	17.4	22.4	17.2	19.0	1.2	715.7	714.3	715.6	63	42	56	W 1	W 3	W 3	0	0	0	.	
17	15.2	22.4	19.2	18.9	1.0	716.4	714.0	714.0	65	46	40	E 0	W 2	W 2	0	0	0	.	
18	14.7	24.7	19.7	19.7	1.8	715.5	712.8	712.6	63	39	45	E 0	W 2	W 0	0	0	4	3.0	
19	14.2	20.5	18.7	17.8	−0.2	716.6	715.3	715.9	89	52	62	NE 1	W 1	W 1	9	6	5	.	● (5½)
20	17.4	25.2	20.3	21.0	2.9	**719.0**	717.3	717.1	67	42	56	NE 1	W 2	W 1	0	0	0	.	
21	17.7	26.5	22.3	22.2	4.0	718.5	715.2	714.9	72	52	62	NE 1	W 2	W 1	0	0	3	0.7	
22	19.7	29.7	18.4	22.6	4.3	717.9	714.3	718.2	65	43	86	E 1	SW 1	W 1	1	7	7	2.3	● (4)
23	18.7	18.9	19.2	18.9	0.5	716.7	718.3	715.4	70	79	67	E 1	W 1	W 1	3	9	5	4.1	● (10½)
24	19.9	27.3	21.4	22.9	4.5	717.4	713.5	712.7	67	43	61	NE 1	W 1	W 0	0	0	0	.	
25	20.2	**29.8**	24.4	24.8	6.3	711.6	711.7	710.9	68	42	57	ENE 1	W 1	W 1	1	1	0	.	
26	21.9	29.0	23.6	24.8	6.2	713.5	710.8	712.1	59	49	50	NE 1	W 3	W 2	1	3	3	.	
27	22.4	27.4	23.0	24.3	5.6	713.6	710.3	710.2	65	54	62	NE 1	NE 2	NE 0	1	2	0	.	
28	21.0	29.0	22.8	24.3	5.5	711.5	709.9	709.3	70	42	53	E 1	W 3	W 2	0	4	0	.	
29	19.8	27.8	23.2	23.6	4.8	710.4	708.9	709.1	66	47	52	E 1	W 3	W 3	1	3	4	.	
30	20.4	27.4	23.9	23.9	5.0	710.4	707.5	707.2	70	51	52	NE 1	W 3	W 1	0	0	5	.	
Mittel	17.0	23.8	18.7	19.8	—	714.8	712.8	713.3	69	49	60				2.7	3.3	4.1	Summe 68.6	

$\lambda = 8^\circ 57'$, $\beta = 46^\circ 0'$,
$H_b = 276.2^m$, $G = -0.01$ m/m.

Lugano

Juni 1938.
Beobachter: *G. Vicari.*

Tag	Lufttemperatur 7³⁰	13³⁰	21³⁰	Mittel	Abweich. vom Normalst	Luftdruck 7³⁰	13³⁰	21³⁰	Relative Feuchtigkeit 7³⁰	13³⁰	21³⁰	Windrichtung und Stärke 7³⁰	13³⁰	21³⁰	Bewölkung 7³⁰	13³⁰	21³⁰	Niederschlag	Witterung
1	17.2	21.4	18.6	19.1	1.7	741.8	741.4	739.7	84	58	83	SW 0	S 0	NE 1	10	10	10	17.3	● 9–10 m.U.
2	15.0	19.8	15.4	16.7	−0.8	739.8	739.7	738.6	85	69	88	W 1	E 0	W 1	7	10	10●	45.3	⊼ ● n, 19½–n, ● 17½–18
3	11.8	21.8	17.2	16.9	−0.8	737.5	738.0	739.3	63	32	33	NNW 3	NNW 2	NNE 1	10●	0	0	0.9	● n–8 m.U.
4	13.6	23.4	16.2	17.7	−0.1	741.7	740.2	740.3	54	44	63	S 0	S 1	N 1	0	0	0	.	
5	14.0	24.4	18.4	18.9	1.0	739.5	738.2	738.8	76	43	62	NNW 0	SE 1	N 1	0	3	4	.	
6	16.0	24.6	20.2	20.3	2.3	739.8	739.6	741.0	82	54	67	E 0	S 1	N 1	0	7	8	.	
7	17.8	26.2	20.2	21.4	3.2	743.0	741.8	743.1	74	53	74	ENE 0	W 1	N 1	0	0	0	.	
8	19.0	27.8	22.0	22.9	4.6	743.7	742.2	741.8	78	48	63	E 0	S 1	N 1	1	0	0	.	
9	21.0	28.8	23.0	24.3	5.9	742.5	740.5	741.2	78	52	48	S 0	S 1	N 2	6	2	10	13.6	⊼ ● 22½
10	17.2	24.2	17.0	19.5	1.0	741.2	739.6	739.7	85	58	88	N 1	SE 0	N 1	9	10	7	6.1	● n–8¼, 15½–17½, ⊼ 15¼
11	17.2	21.8	14.8	17.9	−0.7	739.2	738.5	737.0	73	64	87	NE 0	S 1	NE 1	2	10	10●	31.1	● 17½–19, 21–21½, ⊼ 17½–
12	14.6	15.8	15.8	15.4	−3.4	736.7	735.1	731.7	83	88	68	NW 1	S 1	ENE 2	10●	10●	10●	48.9	● n–20¾ m.U., ⊼ n [21½, n
13	13.6	14.2	13.0	13.6	−5.3	731.3	733.6	734.7	84	76	78	NNW 1	W 0	N 1	10●	10	3	24.2	● n–11 m.U.
14	14.6	22.0	14.0	16.9	−2.1	735.2	734.6	737.4	66	46	78	NNE 1	SW 1	N 1	3	4	5	.	
15	15.8	22.8	16.2	18.3	−0.8	737.3	737.5	737.6	73	34	63	E 1	ENE 1	N 1	7	10	5	.	
16	18.2	27.4	22.4	22.7	3.5	737.9	737.4	739.6	68	38	28	SW 0	E 0	NNE 2	0	0	0	.	
17	15.6	24.2	18.6	19.5	0.2	740.7	739.3	738.0	55	58	63	NNE 0	S 1	N 1	0	0	0	.	
18	17.6	24.8	19.6	20.7	1.3	739.9	738.4	739.1	79	53	74	E 1	S 1	N 1	0	0	10	4.4	
19	16.2	22.4	17.6	18.7	−0.8	740.3	740.9	742.3	80	57	77	N 1	S 1	N 1	10	3	0	.	● n–7½
20	18.2	25.8	20.6	21.5	1.9	743.5	742.9	743.3	74	54	71	NE 1	S 1	N 1	0	0	0	.	
21	20.0	27.0	22.6	23.2	3.5	743.8	742.9	743.1	72	55	72	E 0	S 1	N 1	0	2	8	0.5	● sch. n (21./22.)
22	21.0	28.4	22.0	23.8	3.9	743.6	742.0	741.2	79	48	77	NE 0	S 1	N 1	5	0	10	.	
23	20.4	27.0	23.4	23.6	3.7	740.9	739.7	738.9	73	58	64	E 0	S 1	N 1	3	10	0	1.7	⊼ ●° 14
24	19.6	29.4	22.0	23.7	3.7	740.2	739.6	739.6	65	46	68	S 0	SE 1	N 1	0	0	0	.	
25	21.4	29.8	23.0	24.8	4.7	740.2	739.2	739.1	74	48	73	NE 0	S 1	N 1	8	1	8	.	
26	22.0	30.2	24.2	25.5	5.3	738.0	736.5	737.1	76	56	65	ENE 0	S 1	N 1	0	0	1	.	
27	21.6	29.0	25.2	25.3	5.0	738.1	736.8	736.7	68	52	53	NNE 0	SSE 1	N 1	0	0	0	.	
28	21.0	30.0	24.6	25.2	4.8	736.3	735.0	734.8	73	53	63	ENE 0	S 1	N 1	0	1	0	.	
29	22.2	27.8	25.0	25.0	4.5	734.8	733.9	733.7	78	63	65	SE 0	S 1	N 1	10	5	0	.	
30	22.4	26.8	19.2	22.8	2.2	734.7	734.0	732.4	79	56	83	E 0	S 1	S 1	0	10	10●	69.9	● sch. p, ⊼ ● 20–21½
Mittel	17.9	25.0	19.7	20.9	—	739.4	738.6	738.8	74	54	68				3.7	3.9	4.3	Summe 263.9	

$\lambda = 7^\circ 35'$, $\beta = 47^\circ 33'$,
$H_b = 318^m$, $G = 0.11$ m/m.

Basel

Juni 1938.
Beobachter: *Astronom.-Meteorol. Anstalt.*

1	14.8	25.6	14.9	18.4	—	734.4	732.1	733.1	75	48	97	ESE 1	ESE 1	SSW 1	1	8	10●	41.3	● 20¾–n, ⊼ 20¼–21
2	15.6	12.0	9.5	12.4	—	734.5	737.8	739.0	94	74	87	SE 1	WSW 1	ESE 1	9	10	7	4.9	● n–17¼ m.U.
3	9.5	17.2	8.9	11.9	—	740.1	739.5	739.5	89	48	83	SSE 0	WSW 1	S 1	3	4	1	.	● tr. 11½
4	10.7	21.2	14.7	15.5	—	738.7	736.6	734.2	76	42	62	SE 1	ESE 1	NE 1	3	0	1	.	
5	15.2	23.6	14.2	17.7	—	734.0	733.4	737.3	67	41	91	SE 1	WNW 1	SSW 1	5	8	10	0.4	● 19½–20¾ m.U.
6	14.1	23.0	14.9	17.3	—	739.5	738.7	738.5	88	55	82	NE 0	WNW 0	SSE 0	8	4	1	.	●° 2½
7	16.7	26.8	17.8	20.4	—	739.0	738.7	739.0	72	35	68	ESE 1	NW 1	SSW 1	0	1	1	.	△ fr.
8	18.3	30.1	20.1	22.8	—	739.4	738.1	737.9	66	38	81	E 1	N 1	S 1	1	1	1	.	△ fr.
9	22.0	27.5	21.3	23.6	—	737.8	737.6	737.5	67	42	63	E 0	NW 1	WSW 1	9	1	10	8.7	⊼ ● 21½–23¾
10	18.1	16.3	15.9	16.8	—	738.3	738.8	738.4	88	93	84	WSW 1	SSW 1	SSE 1	10	10	9	1.4	● 0¼–5¾ m.U., 11½–13¼, 19½– [21¾
11	13.7	17.3	14.5	15.2	—	737.5	736.3	734.8	87	72	93	NW 1	NW 1	W 1	10	10	10●	2.6	● 19½–21¾
12	12.8	13.3	12.3	12.8	—	732.7	731.6	728.3	91	91	95	WNW 1	NNW 1	NNW 1	10	10●	10●	45.1	● 11¾–12, 13½–n
13	9.9	9.5	9.3	9.6	—	730.2	732.2	735.2	96	96	96	NNW 1	WNW 1	W 1	10●	10●	10●	33.3	● n–a m.U., 12–n
14	9.3	11.4	12.2	11.0	—	736.0	737.4	738.1	96	89	91	NW 1	W 1	SW 1	10	10	10	0.1	● n–7, 9¼
15	14.8	18.8	14.8	16.1	—	738.7	737.8	737.7	76	57	92	S 1	WNW 1	SW 1	5	10	9	1.6	● tr. 14½, ● 19–20¾ m.U.
16	12.0	16.7	10.8	13.2	—	740.6	741.3	741.2	72	54	83	WSW 1	NNW 1	WSW 1	10	7	1	.	
17	12.0	20.2	12.8	15.0	—	740.3	739.4	739.3	74	53	77	NNE 0	WNW 1	W 1	0	1	1	.	△ fr.
18	12.2	23.7	15.1	17.0	—	738.2	735.8	734.8	78	49	82	NNE 1	W 1	S 1	0	1	9	0.2	△ fr.
19	15.8	25.2	18.0	19.7	—	735.6	736.4	739.2	85	46	74	SSE 1	W 2	WSW 1	10	1	1	.	● 6¾–8½ m.U.
20	17.6	23.7	15.6	19.0	—	741.7	741.4	741.4	76	53	83	WSW 0	WSW 1	SW 1	9	7	1	.	△° fr.
21	16.3	25.8	19.4	20.5	—	740.8	739.0	738.0	73	46	83	NE 1	NNE 1	SSW 1	0	0	1	.	△ fr.
22	19.6	25.7	17.8	21.0	—	739.2	738.3	738.8	73	63	91	E 1	WSW 1	SE 1	1	10	1	6.4	● 14¼–16¼, ▲° 14½, ⊼ 13½–
23	16.0	26.6	18.2	20.3	—	738.6	738.3	738.5	93	64	87	SSW 1	S 1	SE 0	10●	6	7	1.7	● 7¼–8¼, ⊼ 6¾–7¼ [15¼
24	19.4	26.1	19.0	21.5	—	738.5	737.1	735.6	76	51	85	SE 1	N 1	S 1	0	1	1	.	△ fr.
25	20.2	31.4	23.7	25.1	—	735.4	734.0	733.1	73	56	91	E 1	W 1	SSW 1	1	1	4	.	△° fr.
26	22.6	24.6	20.4	22.5	—	734.8	735.6	736.6	75	64	71	S 1	WNW 1	NW 1	8	8	10	.	
27	18.9	26.0	19.8	21.6	—	736.2	733.5	732.5	73	56	81	ESE 1	NW 1	WSW 1	2	1	1	.	
28	18.9	23.8	17.0	19.9	—	733.8	733.4	732.6	80	60	85	WNW 1	NW 1	WSW 1	10	3	1	.	
29	21.2	23.0	18.0	20.7	—	731.5	732.0	733.0	63	59	82	WSW 1	WSW 2	SSW 1	2	9	3	.	
30	18.8	26.5	18.3	21.2	—	733.1	730.9	729.5	67	47	86	ENE 1	SE 1	SSW 1	1	5	2	5.2	△°
Mittel	15.9	22.1	16.0	18.0	—	737.0	736.4	736.4	79	58	83				5.3	5.3	4.9	Summe 152.9	

Juni 1938.
Beobachter: *Observatorium.*

Säntis

$\lambda = 9^\circ 20'$, $\beta = 47^\circ 15'$,
$H_b = 2500.1^m$, $G = -0.27\,^m/_m$.

Tag	Lufttemperatur 7³⁰	13³⁰	21³⁰	Mittel	Abweich. vom Normalst.	Luftdruck 7³⁰	13³⁰	21³⁰	Relative Feuchtigkeit 7³⁰	13³⁰	21³⁰	Windrichtung und Stärke 7³⁰	13³⁰	21³⁰	Bewölkung 7³⁰	13³⁰	21³⁰	Niederschlag	Witterung
1	6.2	8.7	5.8	6.9	5.4	566.9	567.1	566.1	53	53	55	W 3	SSW 2	SSW 2	2	9	10	0.8	⊕ a, ll
2	2.2	4.1	−2.1	1.4	−0.2	565.1	565.3	565.3	96	96	100	SSE 2	SSW 3	WSW 2	10▬	10≡	10≡*	18.1	● n, ✳ 18¾-n, ≡ 7-n m.U.
3	−4.4	−1.2	−4.4	−3.3	−5.0	564.7	565.4	566.2	100	98	76	N 1	WNW 2	W 1	10≡*	10▬	0	1.2	✳ n-9¾, △ach. 17½, [≡ n-19 m.U.
4	5.5	5.8	4.0	5.1	3.3	560.0	566.6	566.3	38	34	42	SE 1	WSW 2	WSW 2	2	1	1	.	
5	6.2	7.6	3.0	5.6	3.7	565.6	565.9	566.9	45	65	100	WSW 2	W 2	WSW 2	1	2	10≡	.	≡ 17-n
6	2.6	3.7	3.3	3.2	1.2	567.5	568.5	569.2	92	92	98	WNW 2	W 1	W 2	10	10▬	10≡	.	≡ 11-n m.U.
7	6.7	10.6	7.2	8.2	6.1	569.8	571.0	571.6	43	62	67	W 2	W 1	WNW 2	1	3	1	.	
8	7.6	11.4	9.0	9.3	7.2	571.5	571.9	572.0	63	53	63	WNW 2	SSW 1	WSW 2	1	2	1	.	
9	8.6	11.2	7.8	9.2	7.0	570.5	571.2	570.2	68	61	95	WSW 3	WSW 1	NW 0	1	6	10	18.8	
10	4.4	5.8	1.8	4.0	1.7	568.3	568.3	567.5	98	91	98	W 2	NW 1	ENE 1	10≡	10≡	10≡	22.0	● n-10¼, 14¼-21, ≡ n-n
11	5.8	10.2	3.0	6.3	3.9	566.1	566.0	564.3	61	69	93	ESE 1	SSW 2	SSW 4	2	10▬	10≡●	1.1	● 21¼-n, ≡ 11½-n m.U.
12	2.8	4.2	3.2	3.4	0.9	562.8	561.6	559.7	78	83	100	SW 1	SE 2	E 2	10	10≡	10≡	.	● tr. 8-8¼, ≡ 12¾-n m.U.
13	2.2	1.4	−1.2	0.8	−1.8	559.2	559.5	561.3	97	100	100	NE 1	ESE 1	NNE 1	10≡	10≡	10▬*	8.0	●✳ a ztw., ✳ 14¼-n m.U. ≡ n-n
14	−0.8	−0.8	−1.0	−0.9	−3.6	562.2	563.5	564.9	97	100	100	NNE 1	NNW 2	NNE 2	10≡	10≡*	10▬*	13.2	✳ 9¾-14½, 20-n, ≡ n-n
15	−0.8	0.2	1.2	0.2	−2.6	565.3	566.3	566.0	100	98	100	NW 2	WSW 3	WNW 3	10≡	10≡	10≡●	8.0	✳ ● 15½-n, ≡ n-n
16	−1.1	0.1	0.2	−0.3	−3.1	566.0	567.2	568.2	100	100	38	WNW 3	WNW 3	WNW 1	10≡	10≡	1	.	≡ n-16
17	1.8	3.8	1.4	2.3	−0.6	567.1	567.7	567.5	38	65	74	WNW 2	WSW 2	WNW 3	1	1	0	.	
18	2.8	5.3	3.8	4.0	1.0	566.6	567.1	566.9	48	61	55	WSW 3	W 1	WNW 3	0	0	8	.	
19	4.0	5.1	4.7	4.6	1.5	566.8	568.2	569.6	68	80	100	WNW 2	W 3	NW 2	10	7	10≡	0.3	≡ 16½-n
20	3.8	8.9	5.4	6.0	2.8	570.3	571.2	571.6	98	68	98	W 2	WSW 2	W 2	10≡	10	10≡	.	≡ n-n m.U.
21	7.4	12.4	8.6	9.5	6.2	571.0	571.6	571.6	54	64	95	W 3	SW 2	W 2	0	8	8	.	≡ 20¾-21½
22	7.2	12.7	5.6	8.5	5.1	571.3	571.6	570.9	96	60	80	W 3	WSW 1	WNW 3	6	10	9	20.7	⌒● 16-17¾, ▲ 18½, ≡ 15-17¼
23	5.6	5.0	4.4	5.0	1.5	569.4	569.6	569.7	98	90	100	W 3	W 3	WNW 3	10≡	10	10≡	14.0	● n-10 m.U., ⌒ 9¼, ≡ 7-n m.U.
24	5.1	10.6	8.3	8.0	4.5	569.3	569.9	569.6	100	68	95	W 2	WSW 2	WSW 2	10≡	3	1	.	≡ n-11
25	8.0	12.5	12.4	11.2	7.6	569.0	569.9	569.5	70	55	47	W 4	W 3	WSW 2	1	3	3	5.2	● ⌒ n (25./26.)
26	6.6	7.8	6.8	7.1	3.4	568.1	568.3	568.7	76	97	98	W 4	WNW 3	WSW 1	9	10	10≡	13.5	● n (26./27.), ≡ 16-n m.U.
27	6.4	11.2	8.5	8.7	4.9	567.6	567.7	567.1	97	63	91	W 2	WSW 2	W 3	10≡	3	1	.	≡ n-9½
28	8.2	12.6	8.2	9.7	5.8	566.0	566.6	566.2	86	67	98	WSW 2	WSW 1	WSW 2	4	10	10≡	.	≡ 11-n m.U.
29	7.6	8.2	6.1	7.3	3.3	564.7	565.2	565.8	82	96	100	W 3	W 2	WNW 3	1	10≡	10≡	1.3	≡ 11½-n
30	8.2	12.2	8.4	9.6	5.5	565.2	564.8	564.6	98	68	94	SW 1	SW 3	W 2	10≡	1	10≡	.	≡ n-9¾, 19¼-n
Mittel	4.6	7.0	4.4	5.3	—	567.0	567.5	567.5	78	75	85				6.1	7.0	7.1	Summe 146.2	

Juni 1938.
Beobachter: Frl. *F. Lombardi.*

St. Gotthard (Hospiz)

$\lambda = 8^\circ 34'$, $\beta = 46^\circ 33'$,
$H_b = 2095.7^m$, $G = -0.25\,^m/_m$.

1	5.8	6.4	5.8	6.0	2.3	596.5	596.3	595.3	76	71	84	E 0	SE 1	SE 2	5	10●≡	10●	27.5	● 13¼-n, ⌒ seit 19, ≡ 14¾-15
2	3.4	4.2	−0.8	2.3	−1.5	594.5	594.6	594.0	89	90	98	SE 1	SE 1	N 3	10	10●	10*	66.0	● seit 9¾, ⌒ ▲ 18¾-19, ✳ 19-n
3	−3.4	−0.6	−0.8	−1.6	−5.5	593.8	594.6	594.9	83	60	80	N 2	N 1	N 1	10≡	10≡	10≡	.	≡ n-n
4	−0.4	7.2	3.8	3.5	−0.5	595.2	595.8	595.6	64	55	74	N 1	N 1	N 1	0	0	0	.	
5	6.6	9.9	4.8	7.1	3.0	594.9	596.0	595.7	61	55	90	NE 1	S 1	S 1	0	4	10≡	1.2	≡ 20-n, ● n
6	3.0	7.8	5.0	5.3	1.1	596.1	596.2	597.2	81	68	76	NE 1	NE 1	NE 1	5	5	5	.	
7	8.7	10.5	7.3	8.8	4.5	599.1	599.2	600.0	61	48	55	N 1	N 1	N 1	0	0	0	.	
8	6.6	12.2	8.3	9.0	4.6	600.3	600.1	599.2	58	41	71	N 1	N 0	SE 1	0	0	0	.	
9	7.5	11.0	6.6	8.4	3.9	599.5	598.9	599.3	64	60	86	N 0	N 0	S 0	2	4	8	4.8	●° seit 19 zeitw., ⌒ 18½-19
10	5.6	7.8	3.8	5.7	1.1	597.8	597.3	596.5	77	85	77	N 0	N 0	NE 0	8	8	6	12.5	●° 10¼-12½, seit 14¾ zeitw.
11	6.6	8.9	4.8	6.8	2.1	595.4	594.5	594.3	76	50	75	NE 0	NE 0	SE 1	5	10	10●≡	14.8	⌒ ● seit 17¾, ≡ 20-n
12	3.4	5.0	4.8	4.4	−0.4	591.6	590.3	587.6	87	71	90	SE 1	SE 1	SE 3	10●≡	10●	10●	53.9	● n-n. ≡ n-10
13	0.8	4.6	0.8	2.1	−2.8	587.6	588.9	590.1	92	94	96	SE 0	SE 0	N 2	10	10	10*≡	24.5	✳ 6¼-7¼, 10¾-13¼, ●✳ 20¾-
14	0.5	2.0	1.0	1.2	−3.8	590.7	592.1	593.2	92	81	100	N 2	N 2	N 2	8≡	10≡	10≡	3.0	≡ n-n [21¾, ≡ 16-n
15	0.8	4.7	3.2	2.9	−2.2	594.1	595.0	595.5	91	71	90	N 2	N 1	N 1	10≡	5	10●▬	4.8	● 19¾-n ztw., ≡ n-9½, 17-n
16	2.4	5.0	2.2	3.2	−1.9	595.1	596.3	596.8	87	60	83	N 1	N 1	N 2	10	0	10▬	.	≡ 18¼-n
17	3.2	7.8	5.0	5.3	0.1	596.3	596.6	596.7	58	46	58	N 1	N 1	N 1	0	0	0	.	
18	3.8	11.8	7.8	7.8	2.5	595.7	595.8	596.0	58	43	78	N 1	N 1	N 0	0	0	2	4.3	● n (18./19.)
19	4.6	9.9	6.2	6.9	1.5	596.1	596.9	598.4	87	80	78	NE 0	NE 0	NE 0	10	10	8	2.5	● 8-8¼, 13¾-14¼
20	4.2	14.0	7.3	8.5	3.0	599.2	600.4	600.4	67	65	85	N 0	N 0	N 1	2	5	10≡	.	≡ 19¼-n
21	8.4	15.2	11.4	11.7	6.1	600.1	600.2	600.2	64	45	85	N 0	N 0	SE 1	2	5	7	8.5	[16¾, 20-21
22	7.2	16.2	6.4	9.9	4.2	600.4	600.1	599.9	71	44	68	N 0	SE 1	SE 1	0	2	6	6.7	▲ ⌒ seit 0¼, ⌒ ● 15¼-
23	7.6	8.8	7.6	8.0	2.2	598.7	598.6	598.3	78	65	70	N 0	N 1	N 1	5	8	5	1.3	● 11¼-11½, 14-14½
24	5.7	15.4	11.0	10.7	4.8	598.1	598.4	598.5	64	52	63	N 1	N 1	N 0	0	0	0	.	
25	12.4	17.8	13.6	14.6	8.6	598.0	598.6	598.5	73	47	81	N 0	NW 0	SE 1	0	3	5	.	
26	9.8	16.4	9.8	12.0	5.9	597.2	596.9	596.9	55	43	64	N 0	N 0	N 1	5	5	5	0.4	● 17¾-18
27	7.0	17.0	12.0	12.0	5.8	596.2	596.2	596.1	58	44	80	N 1	N 0	NE 1	0	3	10	6.1	≡ 19½-n, ● n
28	10.1	18.0	13.0	13.7	7.4	595.0	595.0	594.2	64	51	70	N 1	S 1	NE 0	5	5	5	.	
29	11.8	17.0	10.8	13.2	6.8	593.6	593.8	594.0	68	58	78	S 1	S 0	N 1	5	4	5	.	
30	9.4	13.6	11.0	11.3	4.8	593.8	594.1	592.9	70	71	80	N 0	SE 0	SE 1	6	6	10●	18.4	● 20¾-n, ⌒ ▲ 21¼-21½
Mittel	5.4	10.2	6.4	7.3	—	596.0	596.3	596.2	73	61	79				4.4	5.1	6.6	Summe 261.2	

$\lambda = 7° 26'$, $\beta = 46° 57'$,
$H_b = 572.2^m$, $G = 0.00^m/_m$.

Bern

Juli 1938.
Beobachter: *Tellur. Observatorium.*

Tag	Lufttemperatur 7³⁰	13³⁰	21³⁰	Mittel	Abweich. vom Normalst	Luftdruck 7³⁰	13³⁰	21³⁰	Relative Feuchtigkeit 7³⁰	13³⁰	21³⁰	Windrichtung und Stärke 7³⁰	13³⁰	21³⁰	Bewölkung 7³⁰	13³⁰	21³⁰	Niederschlag	Witterung
1	18.0	20.5	12.8	17.1	−0.1	705.6	**704.7**	708.2	87	59	93	W 1	W 1	E 0	10	10	10	25.6	● 14½-n m.U.
2	11.4	12.4	11.0	11.6	−5.7	707.9	709.5	711.5	93	89	89	SE 0	NE 0	SW 1	10	10	10	17.5	● n-18¾ m.U.
3	**9.8**	10.0	10.6	10.1	−7.3	713.4	715.3	717.0	86	88	78	WSW 1	S 1	S 0	10●	10	10	17.5	● 1½, 7¼-17 m.U.
4	11.4	18.8	13.9	14.7	−2.7	715.7	712.0	709.4	80	46	93	SE 1	W 1	S 0	3	9	10●	25.6	● 15¾-n, ⌓ fr.
5	12.0	13.0	12.0	12.3	−5.2	707.0	709.3	710.9	91	80	70	SW 1	SSE 1	S 0	10●	8	5	21.7	● n-12¼, 23½-23¾
6	11.3	17.9	14.5	14.9	−2.7	713.2	713.9	714.9	82	38	68	SW 0	NW 1	NE 1	8	2	1	.	● 5-5¾
7	12.0	22.0	19.4	17.8	0.2	714.5	712.9	712.3	77	44	74	NNE 0	NE 1	SE 0	0	1	8	.	
8	15.6	23.5	13.2	17.4	−0.3	712.7	711.0	716.4	79	49	89	SE 0	W 2	W 1	1	10●	10	15.5	● 13¼-22¼ m.U., ⌊ 18
9	12.8	15.9	13.0	13.9	−3.8	716.4	716.9	717.6	82	53	56	W 1	SW 1	WSW 1	10	9	9	.	
10	10.9	15.5	13.0	13.1	−4.7	**717.8**	**717.8**	717.6	75	45	57	SW 1	SW 1	SW 0	9	9	10	0.2	● 9¾
11	10.8	20.0	17.0	15.9	−1.9	715.9	713.8	712.5	77	45	67	N 0	W 1	W 0	10	8	8	3.0	
12	14.0	19.2	14.9	16.0	−1.9	711.2	710.2	710.6	92	56	90	SW 1	WSW 1	SW 0	10●	10	10●	9.7	● 5½-7½, 18-24
13	14.3	19.9	16.0	16.7	−1.2	711.8	713.0	714.6	85	53	83	W 0	W 1	NE 1	10	8	10	0.1	● 0¾-2½, 9¼
14	13.9	20.4	18.5	17.6	−0.3	714.3	713.4	712.2	90	58	73	N 0	N 1	NE 0	10	1	0	.	≡ n-6½
15	15.8	25.8	16.2	19.3	1.4	712.0	710.7	713.0	89	41	94	S 0	N 1	W 0	2	2	10●	**45.0**	● 15¾-22 m.U., ▲² 15¾-16¼, [⌊ p
16	15.3	19.5	17.9	17.6	−0.4	713.6	713.6	715.3	91	64	71	S 0	W 1	NE 0	10	7	9	0.1	● 0, 4¼-6¼, 11¾
17	15.0	20.4	17.0	17.5	−0.5	716.6	716.2	717.0	65	44	65	NE 0	N 1	NE 0	7	8	10	.	
18	15.0	19.6	17.5	17.4	−0.6	716.7	715.8	715.8	76	53	63	NE 0	NE 1	NE 0	3	7	10	.	⌓ fr.
19	15.0	21.2	17.1	17.8	−0.2	715.1	714.3	714.5	74	37	65	NE 0	NE 1	NE 1	0	3	0	.	
20	14.6	22.6	20.4	19.2	1.2	714.1	713.3	712.7	81	40	58	E 0	NNE 1	NE 0	0	0	0	.	⌓ fr.
21	15.6	24.4	20.0	20.0	2.0	713.0	712.0	712.2	77	40	53	SE 0	NE 1	SW 0	1	1	7	.	⌓ fr.
22	15.6	25.0	20.5	20.4	2.4	711.4	709.8	709.5	76	**32**	68	SE 0	N 1	NE 0	0	0	0	.	⌓ fr.
23	15.8	19.9	17.0	17.6	−0.4	709.1	709.4	709.7	80	77	85	E 1	W 1	SE 0	0	10	2	14.3	● 12½-12¾, 13¾-14½, ⌓ fr.
24	14.0	13.4	12.8	13.4	−4.6	709.9	711.2	712.0	89	93	89	WSW 1	SE 1	SE 1	10●	10●	10	23.7	● 5½-17¾, 20-21¾
25	14.5	22.0	18.6	18.4	0.4	712.3	711.5	711.2	85	54	79	SE 1	NE 1	NW 0	9	5	0	.	
26	15.4	25.6	17.8	19.6	1.7	711.0	710.1	713.1	86	38	90	S 0	NE 1	S 0	0	0	10	5.9	● 19-21¼, ⌓ fr.
27	16.0	19.2	17.2	17.5	−0.4	714.8	714.6	714.6	89	59	84	NE 1	NE 1	ENE 1	10●	8	0	.	● 1¼-1¾
28	14.4	24.0	20.0	19.5	1.6	715.1	714.1	713.6	92	39	74	SSE 0	WNW 1	N 0	0	0	0	.	⌓ fr.
29	17.6	24.2	19.7	20.5	2.6	714.3	714.5	714.9	75	46	72	SSE 0	NNE 1	NE 1	5	5	0	.	⌓ fr.
30	16.8	26.6	21.3	21.6	3.8	715.6	715.5	715.0	83	**32**	71	SE 1	WSW 1	SW 0	0	0	0	.	⌓ fr.
31	18.0	**27.2**	22.2	22.5	4.7	715.4	714.9	714.5	82	39	67	SSE 0	NNE 1	NW 0	1	1	0	.	⌓ fr.
Mittel	14.3	20.3	16.5	17.0	—	713.1	712.8	713.4	83	53	75				5.5	5.5	5.8	225.4	

$\lambda = 6° 57'$, $\beta = 47° 0'$,
$H_b = 487.3^m$, $G = 0.02^m/_m$.

Neuchâtel

Juli 1938.
Beobachter: *Observatorium.*

Tag	7³⁰	13³⁰	21³⁰	Mittel	Abweich.	7³⁰	13³⁰	21³⁰	7³⁰	13³⁰	21³⁰	7³⁰	13³⁰	21³⁰	7³⁰	13³⁰	21³⁰	Niederschlag	Witterung
1	17.3	16.9	12.8	15.7	−2.2	712.8	**712.3**	716.1	91	73	98	SW 1	NW 4	SW 1	8	10	10●	37.1	● n-n ztw., T 6½, seit 13¾
2	12.1	13.9	10.9	12.3	−5.6	716.1	717.2	719.4	98	94	97	SW 0	SE 0	NW 1	10	10●	8	22.9	● n-n m.U.
3	**10.0**	14.0	12.4	12.1	−5.9	721.7	723.4	724.9	96	65	69	NW 0	W 2	W 2	10	9	10	1.9	●sch. zeitw.
4	12.4	18.1	14.0	14.8	−3.3	723.5	719.7	717.3	85	57	94	SW 1	SW 2	NW 1	10	10	10●	31.8	● 15-n
5	12.2	13.2	13.0	12.8	−5.4	714.7	717.2	718.8	99	94	62	SW 0	W 2	NW 2	10●	10●	6	17.5	● n-12, ●sch. p
6	12.9	20.5	14.6	16.0	−2.2	721.3	721.9	722.8	74	50	62	W 1	S 1	E 1	9	2	3	.	
7	12.8	22.0	18.4	17.7	−0.6	722.6	721.1	720.1	85	53	74	SE 1	S 1	W 0	0	1	5	.	
8	17.4	21.8	12.8	17.3	−1.1	720.7	719.5	724.3	90	68	98	E 0	SW 1	W 1	1	10	10●	27.4	●sch. 15¾-n
9	12.5	16.5	13.3	14.1	−4.3	724.4	724.6	725.2	75	50	58	NW 2	NW 1	NW 3	10	8	8	.	
10	11.8	14.3	12.6	12.9	−5.6	725.8	**725.9**	725.2	71	54	60	W 1	W 3	NW 3	9	9	3	2.3	● 8¼-10
11	12.1	19.6	17.5	16.4	−2.2	723.6	721.8	720.5	75	58	67	SW 1	SW 1	W 1	10	8	8	0.9	
12	14.7	18.8	15.2	16.2	−2.4	718.9	718.0	718.3	95	73	99	SW 1	W 2	SW 1	10	10	10	10.6	●sch. 10¼, ● 14-n m.U.
13	14.8	18.9	16.9	16.9	−1.8	720.0	721.2	722.6	87	73	69	W 1	W 2	NE 0	10	8	10	0.2	●sch. seit 13
14	15.6	22.3	18.1	18.7	0.0	722.4	721.4	720.0	87	68	75	E 1	SE 1	NE 0	1	0	0	.	
15	15.9	26.5	16.5	19.6	0.9	720.0	718.5	720.9	91	58	99	SE 0	S 1	NE 1	0	2	10	**55.6**	●sch. 15½, ●² ▲ 16¼-17¼, [⌓ fr., T p
16	16.8	21.5	18.5	18.9	0.1	721.5	721.5	723.1	96	73	62	SW 0	S 1	NW 2	10	4	9	2.6	● 11½-11¾
17	15.5	23.1	18.1	18.9	0.1	724.4	724.1	724.6	76	56	56	SE 1	SE 1	NW 3	3	5	9	.	
18	15.4	22.7	18.2	18.8	0.0	724.7	723.7	723.4	79	58	52	SE 0	SE 1	N 2	3	5	4	.	
19	15.9	23.4	17.3	18.9	0.1	722.8	722.2	722.4	80	50	69	E 1	E 1	N 1	0	2	0	.	
20	14.7	24.6	20.6	20.0	1.2	722.1	721.2	720.6	91	48	62	SE 0	S 1	NE 0	0	0	0	.	
21	16.2	26.4	19.7	20.8	2.0	721.1	719.8	720.0	87	53	67	SE 1	SE 1	NE 0	0	1	1	.	
22	16.3	26.5	20.7	21.2	2.3	719.3	717.6	717.3	86	**42**	66	E 1	SW 1	E 0	0	1	0	.	
23	17.3	18.9	19.0	18.4	−0.5	717.0	717.1	717.4	87	89	65	SE 1	NW 1	NW 1	1	10■	1	22.4	● 12½-13¾, ●sch. 16½, T 12½
24	14.1	14.5	14.3	14.3	−4.6	717.9	718.9	720.0	95	98	99	W 2	NW 1	NE 0	10●	10●	10	20.8	● n-16
25	14.9	23.2	17.9	18.7	−0.2	720.1	719.6	719.0	94	68	78	NE 0	SE 1	N 1	8	1	0	.	
26	15.3	26.2	17.4	19.6	0.7	718.9	718.1	721.2	98	56	86	E 0	S 1	NW 1	10≡	0	10●	2.6	● 18¼-n, ⌊ 18¼-18¾, [≡ n-8
27	16.8	19.9	17.7	18.1	−0.8	722.8	722.7	722.4	87	74	82	E 0	NE 1	NE 1	9	10	0	.	
28	16.1	24.7	20.3	20.4	1.6	723.2	722.1	721.6	93	64	76	SE 0	SE 1	NW 0	10	0	0	0.1	
29	17.4	26.9	19.8	21.4	2.6	722.2	722.4	722.7	93	60	77	E 0	S 1	N 0	7	3	4	.	
30	17.4	27.5	22.3	22.4	3.6	723.6	723.2	722.7	93	56	69	SE 1	SE 1	NE 1	0	0	1	.	
31	19.2	**28.9**	23.0	23.7	4.9	723.3	722.8	722.3	87	57	63	SE 0	S 0	NE 0	6	0	1	.	
Mittel	15.0	21.2	16.9	17.7	—	721.1	720.7	721.2	88	64	74				6.0	5.1	5.2	256.7	

Juli 1938.
Beobachter: Frl. *H. Nager.*

Altdorf

$\lambda = 8° 39'$, $\beta = 46° 53'$,
$H_b = 456.3^m$, $G = -0.05^{m}/_{m}$.

Tag	Lufttemperatur 7³⁰	13³⁰	21³⁰	Mittel	Abweich. vom Normalst	Luftdruck 7³⁰	13³⁰	21³⁰	Relative Feuchtigkeit 7³⁰	13³⁰	21³⁰	Windrichtung und Stärke 7³⁰	13³⁰	21³⁰	Bewölkung 7³⁰	13³⁰	21³⁰	Niederschlag	Witterung
1	18.5	19.4	18.5	18.8	1.5	714.2	**713.4**	719.2	84	60	93	N 0	NW 0	NW 0	6	7	10●	**49.6**	● 14½-n
2	10.1	13.9	**10.0**	11.3	-6.1	719.8	719.9	722.8	89	80	90	SE 2	SE 0	SE 0	10	10	10	28.2	● n-n, ⊤ 3
3	11.8	15.7	11.8	13.1	-4.3	723.8	725.0	727.8	86	52	86	W 0	E 0	NW 0	10	8	10	0.3	
4	13.3	19.0	14.6	15.6	-1.9	725.4	721.6	719.9	83	41	92	N 0	NW0-1	NW 0	6	5	10	2.4	● p-n zeitw.
5	14.5	13.2	13.1	13.6	-3.9	715.9	720.1	721.5	83	85	84	N 0	NW 0	SE 0	10	10●	8	4.3	● II
6	13.0	18.3	14.8	15.4	-2.2	723.9	724.0	725.9	86	48	70	E 0	NW1-2	NW 0	9	4	8	.	
7	13.3	25.7	23.2	20.7	3.1	725.3	723.6	724.4	83	**31**	**31**	S 0	S 2	SE 1-2	2	2	4	.	
8	24.4	26.7	20.3	23.8	6.1	723.8	721.9	725.6	**31**	**31**	87	SE 2-3	E 2	NW 1	1	8	10	10.0	● 21-n m.U.
9	14.6	15.3	13.3	14.4	-3.3	726.7	727.5	**728.2**	90	59	89	N 0	NW0-1	NW 0	10	10	10●	3.4	● III
10	11.8	14.5	13.3	13.2	-4.5	727.9	727.6	727.8	70	56	72	W 0	NW1-2	E 0	10●	8	10	.	● I
11	13.0	18.7	14.7	15.5	-2.3	726.1	724.0	723.5	78	46	92	E 0	NW 0	NW 0	10	7	10	1.4	
12	14.2	19.2	15.4	16.3	-1.5	721.7	720.9	721.0	38	54	90	E 0	NW 0	NW 0	10	10	10	8.7	● zeitw.
13	14.9	18.7	15.8	16.5	-1.3	722.7	723.4	726.0	95	68	94	NW 0	NW 0	NW 0	10●	10●	10●	5.5	● n-n m.U.
14	15.4	20.3	16.9	17.5	-0.3	725.2	724.0	723.1	95	66	86	NW0-1	NW0-1	NE 0	6	6	0	.	≡ 5½-6½
15	16.0	24.9	16.2	19.0	1.1	722.4	721.0	723.3	83	49	95	NW 0	NW 0	SE 0	5	4	10	9.9	● 17, ⊤ 16½
16	16.7	22.5	16.3	18.5	0.6	724.6	724.0	726.2	93	74	93	E 0	E 0	NW 0	10	10	10	8.4	● zeitw.
17	16.2	14.0	16.9	15.7	-2.2	727.1	726.7	727.5	89	52	88	W 0	W 0	NW 0	10●	7	10	.	● I
18	16.2	21.7	17.7	18.5	0.6	727.1	725.5	726.1	84	53	74	NW 0	NW 0	NW 0	7	8	10	.	
19	17.1	21.7	17.8	18.9	1.0	725.4	724.4	725.1	77	45	75	NW 0	NW0-1	NW 0	10	4	9	.	
20	14.8	23.9	17.9	18.9	1.0	724.5	723.1	723.6	78	46	79	S 0	NW0-1	NE 0	0	3	0	.	
21	16.6	24.4	18.7	19.9	1.9	723.5	721.6	722.5	81	47	76	E 0	NW0-1	NW 0	4	3	7	.	
22	17.1	24.4	19.1	20.2	2.2	721.9	719.5	720.1	74	44	75	N 0	W 0-1	SE 2	2	4	5	.	
23	17.1	15.5	16.9	16.5	-1.5	719.7	717.9	720.9	79	49	90	NE 0	W 0-1	NW 0	0	4	10	8.8	● ⊤ 16¾
24	15.7	15.5	13.8	15.0	-3.0	719.8	722.8	723.0	94	84	93	E 0	S 0	NW 0	10●	10●	10	34.7	● 6¼-p, ⊤ 11, 11¼
25	14.4	22.7	17.1	18.1	0.1	723.2	721.6	722.3	93	60	90	SE 0	NW0-1	E 0	10	4	0	.	
26	15.6	24.3	18.3	19.4	1.4	721.3	720.4	723.7	90	58	89	SE 0	NW 0	NW 1	0	0	10●	11.8	● 20½-n
27	17.5	18.9	17.2	17.9	-0.1	725.4	725.3	725.6	84	70	90	E 0	NW0-1	NE 0	7	10	8	.	
28	15.8	25.0	19.3	20.0	2.0	725.6	724.3	724.4	92	44	75	SW 0	NW 0	SE 0	3	2	0	.	
29	15.1	24.4	19.8	19.8	1.8	724.4	724.4	725.6	90	48	85	S 0	NW 1	NW 0	2	8	7	.	
30	17.6	24.7	19.5	20.6	2.6	726.1	725.9	725.9	82	55	81	S 0	NW 0	NE 0	0	2	1	.	
31	18.2	**27.7**	16.9	20.9	1.0	725.8	725.4	725.4	83	47	82	E 0	NW0-1	E 0	3	2	3	.	
Mittel	15.5	20.5	16.6	17.5	—	723.5	722.9	724.1	82	55	83				6.2	6.1	7.4	187.4	

Juli 1938.
Beobachter: *Observatorium.*

Genf

$\lambda = 6° 9'$, $\beta = 46° 12'$,
$H_b = 405.0^m$, $G = -0.03^{m}/_{m}$.

1	19.6	18.8	13.5	17.3	-1.1	720.1	**720.0**	723.0	76	71	92	SW 0	SSW 1	NNE 0	10	10	10●	11.9	●°sch. a, ● 13¾-n, ⊤ 13¼
2	14.3	16.2	**12.0**	14.2	-4.3	723.8	724.1	728.0	85	69	74	SSE 0	E 1	E 1	10	9●	10●	19.1	●sch. n-n zeitw.
3	12.6	14.8	**12.0**	13.1	-5.5	729.7	731.5	732.7	74	63	79	SSW 1	SSE 1	E 0	9	9	9	2.4	●sch. a, ●°sch. p-n zeitw.
4	13.2	21.2	17.6	17.3	-1.3	731.1	727.6	725.0	82	48	72	NE 0	SW 2	SW 0	9	9	10●	14.3	● 20-n
5	13.0	17.0	13.5	14.5	-4.2	722.6	725.5	726.4	96	64	83	S 1	SW 1	W 1	10	9	10●	5.8	● a, n
6	14.0	19.4	14.7	16.0	-2.8	729.1	729.0	729.3	67	46	51	S 1	NW 1	NNE 0	1	1	2	.	
7	14.2	19.6	18.8	17.5	-1.4	729.7	728.1	726.9	76	58	66	E 0	NNE 1	NNE 0	0	0	4	.	
8	17.2	22.0	13.0	17.4	-1.6	727.6	726.1	732.1	81	63	92	NE 0	NNE 0	E 0	0	9	10	**28.6**	●° ⊼ 10, ● n, ⊤ 13¾
9	13.8	19.0	14.3	15.7	-3.3	732.0	732.4	733.0	90	46	52	NE 0	W 1	E 0	9	2	8	.	
10	13.6	17.5	14.2	15.1	-4.0	**733.3**	733.0	732.8	64	**45**	65	NNW 0	NNE 1	NNE 1	9	4	2	.	
11	13.4	21.0	18.0	17.5	-1.7	731.3	729.0	727.8	73	49	46	E 1	NNE 1	S 0	3	3	8	.	⊕ 12
12	17.4	21.6	17.2	18.7	-0.6	726.4	725.8	725.6	72	58	80	S 0	SSW 1	SSW 0	10	10	10●	4.6	●°sch. 9, ● 19-n
13	15.3	21.2	17.6	18.0	-1.3	727.7	728.5	729.2	90	65	72	SSE 0	W 1	NE 1	10●	4	4	.	●°sch. 7½
14	17.0	21.2	19.7	19.3	-0.1	729.3	728.2	726.9	83	62	62	NE 0	NNE 1	NE 0	0	0	0	.	
15	18.2	26.5	20.5	21.7	2.3	727.2	725.6	727.0	80	52	67	NE 1	W 1	E 0	0	9	10	5.0	●° 18½, ● 22-n
16	18.0	23.0	19.0	20.0	0.6	728.8	728.4	730.4	79	60	60	E 0	NNE 1	NE 0	9	4	1	.	
17	15.7	21.6	18.9	18.7	-0.7	721.5	731.1	731.5	84	53	56	NE 0	NNE 1	NNE 0	9	4	5	.	
18	17.2	21.6	18.8	19.2	-0.3	731.6	730.6	730.7	72	61	60	NNE 0	NNE 1	NE 1	0	3	0	.	
19	16.6	22.8	19.8	19.7	0.2	739.7	729.0	728.9	75	58	57	NE 1	NE 1	NE 1	0	0	0	.	
20	17.8	23.0	21.8	20.9	1.4	729.1	728.1	727.1	76	55	55	NE 0	NNE 1	NE 0	0	0	0	.	
21	18.7	23.5	23.0	21.7	2.2	728.0	726.7	726.1	78	59	47	NE 0	NNE 1	NE 1	0	0	0	.	
22	18.2	25.0	22.0	21.7	2.2	726.1	724.3	723.7	71	46	63	E 0	NNE 1	NE 0	0	0	0	.	
23	19.0	21.3	19.0	19.8	0.3	723.8	724.7	724.3	77	69	60	E 1	SSW 1	W 0	7	8	9	3.0	●sch. a zeitw., ● n
24	16.8	19.6	16.8	17.7	-1.8	725.5	726.0	726.7	85	67	66	W 1	NE 1	NE 0	9	10●	3	19.6	●sch. a zeitw., 13, ●² ⊼ 13½
25	15.1	22.0	21.0	19.4	-0.1	727.1	726.4	725.8	88	63	56	E 0	NNE 1	NE 0	1	0	0	.	
26	17.0	**27.6**	19.0	21.2	1.8	725.8	725.2	727.7	83	53	76	E 0	S 1	NW 1	0	0	10	0.5	●°sch. 18, ●° ⊼ 18½
27	18.6	21.6	20.0	20.1	0.7	729.6	729.3	729.3	78	66	64	NNE 1	NNE 1	NE 0	9	1	0	.	
28	16.8	23.7	21.0	20.5	1.1	730.3	729.0	728.2	83	53	69	NE 0	NNE 1	E 0	0	0	0	.	
29	19.8	25.0	23.0	22.6	3.2	729.4	729.2	729.2	77	61	58	E 1	NNE 1	NE 0	3	3	0	.	
30	19.2	25.8	24.0	23.0	3.7	730.6	730.0	729.5	79	57	69	NE 0	NNE 1	NNE 0	0	0	1	.	
31	18.7	27.2	24.4	23.4	4.1	730.4	729.7	729.4	83	46	71	ENE 0	NNE 1	NE 0	7	2	0	.	
Mittel	16.5	21.7	18.3	18.8	—	728.3	727.8	728.2	79	58	66				4.6	4.0	4.4	114.8	

$\lambda = 8^\circ 33'$, $\beta = 47^\circ 23'$.
$H_b = 493.2^m$, $G = 0.03$ m/m.

Zürich

Juli 1938.
Beobachter: *Meteorol. Zentralanstalt.*

Tag	Lufttemperatur 7³⁰	13³⁰	21³⁰	Mittel	Abweich. vom Normalst	Luftdruck 7³⁰	13³⁰	21³⁰	Relative Feuchtigkeit 7³⁰	13³⁰	21³⁰	Windrichtung und Stärke 7³⁰	13³⁰	21³⁰	Bewölkung 7³⁰	13³⁰	21³⁰	Niederschlag	Witterung
1	19.0	23.7	13.5	18.7	1.3	711.2	**711.0**	715.6	85	54	100	SSE 0	NW 1	S 1	2	5	10●	19.8	● 16¼-n m.U., ⚷ 16
2	11.7	14.4	10.9	12.3	−5.2	715.5	716.5	718.4	100	71	100	ESE 1	SSE 1	S 1	10●	10	10●	23.0	● n-8¾, 13¾-n
3	**10.4**	12.8	11.2	11.5	−6.0	720.7	722.0	723.8	100	89	90	SSW 0	W 1	S 1	10	9	10●	14.4	● n-10¾, 13¼-15½, 21-23¼
4	12.4	21.4	14.0	15.9	−1.7	722.5	718.8	716.2	82	40	100	S 1	S 1	SE 1	7	5	10●	24.9	● 16½-23, 23½-n
5	12.6	12.5	12.5	12.5	−5.2	714.1	716.4	717.9	100	93	60	WSW 0	SSW 3	W 1	10●	8	2	17.2	● n-13½
6	12.7	19.1	13.1	15.0	−2.7	720.5	721.2	722.7	71	44	71	SW 2	WSW 2	N 1	9●	5	1	0.0	● 0¾-2¼ m.U.
7	12.3	26.3	20.3	19.6	1.8	722.0	720.2	719.5	85	44	43	NW 1	ENE 1	SE 1	1	1	1	0.0	△ fr.
8	17.8	**29.8**	14.2	20.6	2.7	720.0	717.0	723.2	70	**30**	100	NW 1	SSE 3	S 1	1	9	10●	10.7	● 14¾-15¼ 18¾-22, 23-24, ⚷
9	13.2	13.3	12.3	12.9	−5.0	723.7	724.1	724.4	84	74	74	WNW 1	S 1	NW 1	10	10	10	0.2	● 0¼-1¼, ●sch. 17 [14¾
10	12.2	12.2	12.7	12.4	−5.6	724.6	**724.9**	724.5	67	73	65	W 1	SSW 2	WNW 1	9	9●	10	2.1	●sch. 9¾-15¼ zeitw.
11	12.7	19.7	15.1	15.8	−2.2	722.6	721.1	719.6	77	45	90	S 1	S 1	E 1	9	8	10	2.7	
12	14.1	18.6	15.2	16.0	−2.1	718.3	717.4	717.3	100	70	100	S 1	S 1	S 1	10●	10	10●	12.9	● 5¾-9, 13¾-23¾ m.U.
13	15.0	19.7	15.6	16.8	−1.3	719.1	720.2	722.3	87	66	90	S 1	SE 2	N 1	10	9	10	0.1	●° 0¼-15 zeitw.
14	14.4	21.8	17.7	18.0	−0.2	721.9	720.8	719.5	91	54	77	NE 1	NE 1	NE 1	9	3	0	.	
15	15.8	27.6	16.7	20.0	1.8	719.2	717.9	719.6	90	44	100	W 0	S 2	E 1	5	4	10	5.5	● 18¼-20½, 23¼-23½, ⚷ ⚷ [18¼
16	17.3	20.6	17.5	18.5	0.3	721.0	721.0	722.5	88	66	99	NW 0	SSW 0	S 0	10	9	10	10.2	● 0½, 9-n zeitw.
17	15.2	21.2	16.4	17.6	−0.7	723.9	723.7	724.0	74	48	76	W 0	WSW 1	NW 1	7	9	5	.	● n-2
18	15.7	21.4	16.9	18.0	−0.3	723.8	723.0	723.0	75	52	76	NW 1	N 0	N 0	7	9	10	.	
19	15.6	20.7	16.1	17.5	−0.8	722.4	721.9	721.9	73	51	80	N 0	NNW 1	N 0	6	6	2	.	
20	14.6	24.8	17.7	19.0	0.7	721.4	720.6	720.1	93	39	77	N 0	NW 1	WNW 0	0	1	1	.	△ fr.
21	16.2	26.3	18.7	20.4	2.0	720.3	719.2	719.2	92	36	76	NNW 0	WSW 2	N 1	2	2	2	.	△ fr.
22	16.6	26.5	19.4	20.8	2.4	718.4	717.0	716.7	88	35	70	N 0	WSW 1	WNW 1	0	1	0	.	△ fr
23	16.8	27.2	18.1	20.7	2.3	716.4	715.2	716.8	86	44	93	WNW 0	N 1	SE 1	1	1	10	5.7	● 15¼-15¾, 16-17¾
24	16.2	14.1	13.4	14.6	−3.8	716.3	717.7	718.9	100	95	100	NW 1	S 1	S 1	10●	10●	10●	**33.5**	● 7-16, ●° 16-n
25	14.9	23.6	17.3	18.6	0.2	719.4	718.9	718.4	100	54	97	SSE 1	NNE 1	ENE 0	10	3	0	.	● n-4
26	15.0	28.3	17.7	20.3	1.9	718.2	717.2	720.8	100	40	90	NNE 1	N 1	WNW 1	10≡	1	10●	5.7	●tr. 20½, ⚷ ● 21-24,
27	15.0	18.8	16.2	16.7	−1.6	722.5	722.2	722.0	93	73	99	NW 0	NNE 1	ESE 1	9	10	1	.	● 3¾-7½ m.U. [≡ n-9
28	16.4	25.6	18.7	20.2	1.9	722.4	721.5	721.1	98	39	77	ESE 0	N 1	N 1	10	1	2	.	≡ fr.
29	17.6	26.4	19.3	21.1	2.8	721.5	721.6	722.3	95	44	78	W 0	NW 1	NW 1	5	5	5	.	△ fr.
30	17.3	28.6	19.5	21.8	3.5	722.8	722.5	722.1	95	38	76	NE 0	WNW 1	N 0	1	2	1	.	△ fr.
31	17.6	29.1	21.0	22.6	4.4	722.5	722.4	721.9	94	42	77	N 0	NNE 2	NE 1	1	3	5	.	△ fr.
																		Summe	
Mittel	15.0	21.8	16.1	17.6	—	720.3	719.8	720.5	88	54	84				6.5	5.7	6.1	188.6	

$\lambda = 8^\circ 30'$, $\beta = 47^\circ 3'$.
$H_b = 1787.3^m$, $G = -0.20$ m/m.

Rigi-Kulm

Juli 1938.
Beobachter: *J. Steiner.*

Tag	7³⁰	13³⁰	21³⁰	Mittel	Abweich. vom Normalst	7³⁰	13³⁰	21³⁰	7³⁰	13³⁰	21³⁰	7³⁰	13³⁰	21³⁰	7³⁰	13³⁰	21³⁰	Niederschlag	Witterung
1	13.7	14.0	4.1	10.6	1.8	611.0	**610.8**	612.4	58	85	93	S 2	ESE 1	W 1	5	10≡	10●	35.1	●sch. 16-19, 19½-n zeitw., [≡ II
2	3.0	5.7	1.8	3.5	−5.4	611.8	612.7	613.7	83	82	88	WSW 1	W 1	W 2	10●	10●	10●	23.9	● n-n
3	1.5	1.3	1.8	1.5	−7.5	615.3	617.1	618.4	60	90	92	W 2	W 1-2	W 1	10●	10●	9	8.8	● n-n- ✳° zeitw.
4	3.5	9.1	7.1	6.6	−2.5	617.9	616.0	614.0	62	56	78	WSW 1	SW 1	W 2-3	3	2	10●	18.3	● 16-n
5	6.0	3.2	3.5	4.2	−4.9	610.9	612.3	614.0	84	83	62	N 1	SW 3	SW 2-3	10●	9	7	22.0	● n-p
6	1.8	7.3	5.1	4.7	−4.5	616.7	617.4	618.6	92	78	86	WSW 2	WSW 1	SE 1	10≡	9	4	.	≡ I
7	10.3	14.4	13.4	12.7	3.4	618.5	619.1	618.8	59	44	39	S 1	S 4	S 3	0	0	1	.	
8	14.3	16.2	6.5	12.3	2.9	618.8	617.3	618.7	41	42	88	S 4	S 4	S 2	0	9	10●	16.4	● 19-n
9	3.8	3.7	3.3	3.6	−5.8	618.8	619.0	619.1	86	79	92	NW 1	NW 2	NE 1	10≡	10●	10	9.0	● n-n zeitw., ≡ I
10	1.3	**1.1**	3.0	1.8	−7.7	619.0	619.3	619.3	93	90	89	WSW 2	W 1	W 1	10≡	10≡	10	1.6	≡ I, II
11	3.8	8.4	6.3	6.2	−3.4	617.7	617.7	617.0	62	67	86	WSW 1	WSW 1	W 1	9	5	10	0.8	
12	6.0	8.4	7.3	7.2	−2.4	615.2	615.1	614.5	89	78	72	WSW 2	WSW 1	W 1	10●	10	10≡	19.5	● p zeitw., ≡ III
13	5.8	8.0	7.0	6.9	−2.8	616.0	617.5	618.6	86	88	88	WSW 1	NW 1	W 1	10≡	10≡	10●	24.0	● n-n zeitw., ≡ I, II
14	8.6	12.4	12.8	11.3	1.5	618.3	618.5	618.2	74	69	62	E 1	W 1	SW 1	0	1	0	.	
15	14.2	14.9	10.5	13.2	3.4	617.6	617.7	617.9	58	69	68	SW 1	NW 1	SW 1	2	3	9	10.7	● 17-18¼
16	9.2	13.2	9.0	10.5	0.6	618.3	619.0	619.8	88	80	74	W 1	SW 1	E 1	10	10	10	13.2	
17	8.4	9.7	7.3	8.5	−1.4	620.1	620.4	620.8	90	78	77	E 1	NW 1	NE 1	10≡	10≡	8	0.1	≡ n-n zeitw.
18	7.8	10.8	8.0	8.9	−1.0	620.0	620.2	620.1	88	72	90	NE 1	NNW 1	NNE 1	10≡	10≡	10≡	.	≡ n-n m.U.
19	8.2	9.8	8.6	8.9	−1.1	618.6	619.0	619.3	72	76	72	NNW 0	NNE 1	NE 1	10	9	6	.	
20	10.7	12.0	11.4	11.4	1.4	618.3	618.9	618.5	72	75	94	SW 0	WSW 1	SW 1	1	2	1	.	
21	12.0	13.7	11.4	12.4	2.4	618.1	618.2	618.1	65	40	55	SW 1	WSW 1	SW 1	2	1	2	.	
22	11.2	13.2	12.0	12.1	2.1	616.7	616.2	616.0	60	68	79	W 0	W 0	W 1	1	4	2	.	
23	11.0	14.8	11.0	12.3	2.3	615.0	615.0	614.5	64	62	76	WSW 1	WSW 1	W 1	1	4	5	8.2	
24	8.0	5.4	7.0	6.8	−3.3	614.0	615.5	615.5	88	93	95	WNW 2	SW 3	SW 4	10●	10●	10●	**55.1**	● n-n
25	8.0	13.2	12.2	11.1	1.0	616.5	617.0	617.2	98	70	77	W 0	SSE 1	W 0	10●	5	1	1.3	● I
26	14.4	**18.4**	10.5	14.4	4.3	616.9	617.3	617.8	**38**	48	90	SW 1	W 1	W 3	0	1	10●	53.5	⚷ ● 20-n
27	8.8	11.8	10.5	10.4	0.3	618.7	619.4	619.6	88	80	76	SE 2	E 1	SW 1	7	10≡	5	0.1	≡ II
28	10.2	15.0	12.2	12.5	2.4	619.9	620.2	620.1	55	65	76	W 1	SSW 1	SW 1	1	1	2	.	
29	13.5	14.7	12.2	13.5	3.4	620.0	620.6	620.8	62	64	86	W 1	NW 1	W 1	4	4	1	.	
30	14.0	16.0	15.0	15.0	4.9	621.0	**621.9**	**621.9**	53	58	74	W 0	NW 1	NW 1	0	1	0	.	
31	15.6	16.0	15.0	15.5	5.4	621.7	621.4	621.6	64	70	69	NE 1	NW 1	NE 1	1	1	1	.	
																		Summe	
Mittel	8.7	10.8	8.6	9.4	—	617.3	617.7	617.9	72	73	79				5.7	6.2	6.3	321.6	

Juli 1938.
Beobachter: *P. Nogler.*

Bevers

$\lambda = 9^\circ 53'$, $\beta = 46^\circ 33'$.
H_b = ca. 1710^m, $G = -0.23$ m/m.

Tag	Lufttemperatur 7^{30}	13^{30}	21^{30}	Mittel	Abweich. vom Normalst.	Luftdruck 7^{30}	13^{30}	21^{30}	Relative Feuchtigkeit 7^{30}	13^{30}	21^{30}	Windrichtung und Stärke 7^{30}	13^{30}	21^{30}	Bewölkung 7^{30}	13^{30}	21^{30}	Niederschlag	Witterung
1	12.2	16.4	10.2	12.9	2.1	619.6	618.4	617.8	95	74	97	NW 0	S 2	SW 0	6	8●	4	7.2	● 13½, ⌒ p zeitw.
2	10.6	6.7	4.9	7.4	−3.5	**616.4**	618.5	619.8	99	99	100	S 0	NE 2	NE 1	10●	9●	10●	**34.7**	● n–n
3	5.3	7.3	**4.2**	5.6	−5.4	620.6	621.3	624.0	89	65	97	S 0	NW 1	N 1	10●	10●	10	3.1	● I, II
4	8.7	13.9	9.1	10.6	−0.4	623.8	622.5	621.1	50	40	80	NE 1	S 2	N 0	7	2	8	.	
5	8.7	10.4	5.2	8.1	−3.0	618.6	618.2	618.9	75	81	100	SW 1	SW 2	W 0	10	10●	0	1.1	● 12–p, ≡ 22–n
6	9.5	16.7	7.4	11.2	0.0	621.4	622.3	625.5	71	38	81	N 0	S 1	WSW 1	4	3	0	.	
7	10.7	18.4	11.3	13.5	2.3	627.0	626.8	**628.2**	79	41	86	WSW 1	SW 3	S 1	8	3	5	.	
8	14.0	11.2	11.2	12.1	0.8	628.1	627.3	626.1	65	61	100	NE 1	SW 2	S 0	7	8	10	21.3	
9	11.4	12.6	8.2	10.7	−0.7	624.2	622.6	624.2	85	61	67	NE 1	SW 3	SW 1	8	8	6	0.2	
10	6.4	9.4	6.8	7.5	−3.9	623.6	624.5	624.7	61	46	62	NNE 2	N 2	NW 2	10	10	8	.	
11	8.3	18.6	7.9	11.6	0.1	623.6	623.3	622.6	56	47	76	SW 1	SW 2	SW 1	8	7	5	.	
12	7.6	13.8	9.4	10.3	−1.2	621.5	621.0	621.8	81	50	100	NW 0	SW 3	W 0	10	10	10●	4.5	● 21–n
13	10.2	15.8	9.1	11.7	0.2	621.5	622.4	624.3	96	52	85	NNE 1	SW 2–3	NW 0	10●	7	3	0.6	● I
14	8.2	19.1	12.5	13.3	1.7	624.8	623.9	624.6	60	42	91	SW 0	SW 2	S 0	3	3	7	.	
15	15.2	20.2	10.8	15.4	3.8	624.5	623.2	624.7	65	47	99	NE 0	SW 2	NW 1	6	5	9●	4.1	● III
16	12.0	15.8	10.8	12.9	1.3	624.7	624.5	625.4	90	60	98	SW 1	SW 1	W 1	10	9	10	2.9	
17	11.2	19.1	13.0	14.4	2.7	624.9	624.6	626.9	86	45	65	W 1	SW 3	W 2	10	5	6	.	
18	18.3	18.6	12.2	16.4	4.7	625.1	624.3	624.9	57	40	63	S 0	SW 3	W 0	2	9	6	.	
19	11.5	17.2	9.8	12.8	1.1	624.0	623.6	623.6	75	41	76	NE 2	WNW 3	W 1–2	7	5	6	.	
20	8.2	20.8	11.6	13.5	1.8	624.1	623.1	624.3	63	31	76	S 0	SW 1	WSW 0	0	2	0	.	
21	10.2	20.7	13.8	14.9	3.1	624.1	622.7	623.3	77	32	57	SW 0	W 2	W 0	3	6	4	.	
22	11.1	23.2	7.6	14.0	2.2	622.6	621.1	621.8	71	**24**	65	S 0	SW 2	W 1	2	6	4	.	
23	11.2	20.3	10.8	14.1	2.3	621.4	620.6	622.4	80	45	98	SSW 0	S 2	SW 0	6	8	10●	9.4	● sch. 19, ● III
24	8.8	9.5	9.6	9.3	−2.5	620.8	620.7	620.1	100	97	75	NNE 1	SSW 1	W 2	10●	10●	8	7.7	● n–p
25	11.2	19.6	10.4	13.7	1.9	622.2	622.1	623.9	77	40	92	NE 0	NE 1	W 0	7	4	0	.	
26	10.8	20.4	12.2	14.5	2.8	624.3	623.6	624.5	82	43	85	W 0	SW 3	W 0	1	1	0	.	
27	13.0	21.8	11.0	15.3	3.6	625.2	624.2	625.5	78	39	95	SW 0	SW 3	W 0	1	3	0	0.2	● 17¼–17½
28	12.2	20.8	14.2	15.7	4.0	626.0	625.0	626.1	80	43	76	SW 0	WNW 1	NW 1	8	8	4	.	
29	10.8	21.5	13.5	15.3	3.6	626.9	625.7	626.6	98	39	81	NE 0	S 2	SW 0	6	8	8	.	
30	13.0	23.4	14.2	16.9	5.3	627.6	627.1	627.1	75	37	85	W 0	SW 3	W 0	0	6	0	.	
31	15.1	**28.5**	15.2	17.9	6.3	627.1	626.4	627.0	67	33	60	SW 0	W 3	SW 0	0	2	3	.	
																		Summe	
Mittel	10.8	17.0	10.3	12.7	—	623.5	623.1	623.9	77	50	83				6.1	6.3	5.3	97.0	

Juli 1938.
Beobachter: *Kapuzinerkloster.*

Sitten

$\lambda = 7^\circ 21'$, $\beta = 46^\circ 14'$,
$H_b = 548.6^m$, $G = -0.11$ m/m.

Tag	7^{30}	13^{30}	21^{30}	Mittel	Abweich.	7^{30}	13^{30}	21^{30}	7^{30}	13^{30}	21^{30}	7^{30}	13^{30}	21^{30}	7^{30}	13^{30}	21^{30}	Niederschlag	Witterung
1	19.9	24.7	14.1	19.6	0.6	706.4	**702.3**	706.9	73	59	86	NW 0	W 2	W 3	4	6	10	15.0	● (9), n
2	13.7	16.7	14.8	15.1	−3.9	708.6	708.5	711.5	73	62	68	NE 1	W 3	W 1	9	10●	10	1.9	● II
3	**11.6**	16.2	13.0	13.6	−5.5	714.1	715.6	716.7	80	57	58	NW 0	W 3	W 2	10	6	8	0.0	
4	13.0	22.0	17.0	17.3	−1.9	716.6	711.7	710.3	64	**32**	66	E 1	W 1	W 1	1	4	10	5.9	
5	13.6	14.6	13.2	13.8	−5.4	708.3	711.1	710.8	90	76	61	W 0	W 0	NE 2	10●	10	2	**24.0**	● I, n
6	16.2	20.8	15.3	17.4	−1.9	714.1	713.1	715.1	62	45	59	W 1	WSW 2	WNW 1	4	2	1	.	
7	15.0	25.0	21.5	20.5	1.2	715.9	715.7	714.8	68	37	43	ENE 1	E 3	ENE 1	1	4	1	.	
8	20.3	24.4	15.6	20.1	0.8	713.9	712.7	715.8	56	43	78	ENE 1	W 2	W 2	1	9	10●	11.0	● (13¾), 19¼–n, ⌒ 21
9	15.6	19.6	15.8	17.0	−2.4	716.1	715.1	716.1	73	48	46	W 1	WSW 2	WSW 2	7	4	8	.	
10	12.7	15.8	15.1	14.5	−4.9	**717.5**	716.2	715.9	60	45	47	W 2	W 3	W 2	8	3	0	.	
11	13.6	21.5	18.0	17.7	−1.7	716.6	713.0	712.9	63	44	52	NE 1	W 2	W 1	0	4	10	.	
12	15.4	18.3	17.2	17.0	−2.5	712.2	711.3	713.4	74	65	80	NE 1	N 1	SW 1	10	10	10	6.6	●° n (12./13.)
13	14.3	20.6	16.6	17.2	−2.3	712.9	713.1	713.8	92	53	73	W 1	W 2	W 1	10	8	1	0.9	● a m.U.
14	17.6	24.2	20.4	20.7	1.2	715.1	712.5	712.5	67	49	59	NE 0	W 2	W 1	2	2	1	.	
15	18.3	26.4	18.1	20.9	1.4	714.9	711.3	713.1	42	52	82	NE 1	SW 2	NE 1	4	5	10	4.5	● p m.U.
16	16.2	23.2	19.0	19.5	−0.1	713.7	710.0	712.6	90	53	66	NE 1	E 2	W 3	10	8	6	.	
17	19.1	23.3	20.1	20.8	1.2	710.2	713.4	711.7	65	50	52	NE 3	W 2	W 1	4	2	1	.	
18	18.1	22.4	20.1	20.2	0.6	711.9	711.6	715.2	67	51	53	W 1	W 1	W 1	1	4	7	.	
19	16.9	24.4	20.3	20.5	0.9	715.6	713.3	714.8	68	52	52	NE 1	NE 2	W 2	2	1	1	.	
20	18.7	25.0	20.3	21.3	1.7	715.5	711.9	715.6	63	51	60	NE 1	W 2	NW 2	2	2	1	.	
21	17.7	27.0	23.1	22.6	3.0	713.0	711.1	708.9	74	39	44	NE 1	W 1	W 1	2	3	2	.	
22	18.2	26.8	23.3	22.8	3.3	711.6	707.8	708.8	66	45	45	NE 3	W 1	NW 2	1	1	2	.	
23	17.8	24.4	18.0	20.1	0.6	710.9	709.0	710.5	65	54	75	NE 1	NW 2	W 1	2	10	9	4.5	● n (23./24.)
24	16.3	17.4	17.9	17.2	−2.3	708.9	708.3	708.9	74	74	82	NW 3	WSW 2	WSW 2	10●	10	9	4.3	● I
25	17.1	25.0	19.0	20.4	0.9	711.6	708.0	710.6	74	46	73	W 2	W 1	N 0	10	2	0	.	
26	21.0	**29.0**	23.0	24.3	4.9	708.1	709.3	710.1	68	37	59	NE 3	NW 4	W 2	1	1	8	.	● tr. (20)
27	18.2	24.3	20.7	21.1	1.7	714.2	712.6	713.5	82	55	63	W 0	W 3	W 0	10	1	3	.	
28	17.5	26.9	23.1	22.5	3.1	715.6	712.9	712.7	79	44	45	W 1	W 3	W 2	0	1	1	.	
29	18.0	27.8	25.0	23.6	4.2	715.0	713.5	713.4	72	39	55	NE 0	W 2	W 1	2	6	1	.	
30	18.9	28.2	23.2	23.4	4.1	716.2	714.8	714.0	72	44	52	E 0	W 2	W 1	0	1	0	.	
31	19.2	28.6	25.5	24.4	5.1	715.8	713.4	712.7	69	43	49	NE 0	W 1	W 1	1	1	1	.	
																		Summe	
Mittel	16.8	23.0	18.9	19.6	—	713.3	711.8	712.7	70	50	61				4.5	4.5	4.6	78.6	

$\lambda = 8^\circ\ 57'$, $\beta = 46^\circ\ 0'$,
$H_b = 276.2^m$, $G = -0.01\ ^m/_m$.

Lugano

Juli 1938.
Beobachter: *G. Vicari.*

Tag	Lufttemperatur 7³⁰	13³⁰	21³⁰	Mittel	Abweich. vom Normalst	Luftdruck 7³⁰	13³⁰	21³⁰	Relative Feuchtigkeit 7³⁰	13³⁰	21³⁰	Windrichtung und Stärke 7³⁰	13³⁰	21³⁰	Bewölkung 7³⁰	13³⁰	21³⁰	Niederschlag	Witterung
1	19.6	24.6	19.2	21.1	0.5	734.1	732.1	730.5	85	58	83	N 0	NE 0	N 1	7	5	10	7.9	● a, p zeitw., ⌿ ● 17½
2	20.0	19.8	**11.2**	17.0	−3.7	**729.5**	731.3	733.8	73	52	87	SW 2	S 0	NNE 2	10●	7	10	30.6	● fr., ⌿ ● 9–11½, 17½–
3	15.4	24.0	16.6	18.7	−2.1	734.5	734.9	738.7	62	28	34	E 1	NNE 2	N 1	1	8	0	.	[20½
4	17.6	25.0	17.0	19.9	−0.9	739.7	738.2	737.2	48	41	63	E 1	S 1	N 1	0	0	3	.	
5	16.6	15.2	14.0	15.3	−5.6	735.4	735.2	734.9	64	84	80	N 0	NNW 1	N 1	10	10●	0	9.5	● 9½–14½ m.U.
6	15.2	25.0	19.2	19.8	−1.2	737.1	737.8	740.4	68	46	66	NE 0	S 1	N 1	0	1	0	.	
7	17.6	26.0	19.8	21.1	0.1	**743.7**	743.3	743.3	74	44	72	N 1	S 1	NNE 1	10	4	2	.	
8	19.6	23.8	17.4	20.3	−0.8	743.4	742.5	741.6	74	66	88	SW 0	W 1	N 1	4	10	10	16.9	● p–n m.U.
9	18.6	27.0	21.2	22.3	1.2	739.4	737.1	737.5	84	44	33	S 0	S 1	NNE 2	10	4	0	.	● fr.
10	18.8	24.2	17.8	20.3	−0.9	737.6	738.8	739.2	28	**26**	31	NNE 2	NNE 2	NE 1	0	0	0	.	
11	13.8	25.0	18.8	19.2	−2.0	739.2	737.7	736.9	54	42	58	W 0	S 0	N 1	0	0	0	.	
12	16.0	25.2	20.0	20.4	−0.9	737.0	736.6	736.2	72	44	68	NE 0	S 1	N 1	4	5	10●	3.4	● 21½–n
13	17.8	26.0	22.2	22.0	0.7	736.4	736.2	737.5	83	51	63	NNW 1	S 1	N 1	10	5	0	.	
14	19.6	26.2	21.0	22.3	1.0	739.9	739.0	739.1	74	48	73	E 0	S 1	N 1	10	4	2	.	
15	20.0	27.6	22.8	23.5	2.1	739.4	738.1	738.6	74	52	68	NNE 0	S 1	S 1	3	1	10	.	●tr. III, ⌿ 20½
16	19.8	26.8	21.2	22.6	1.2	739.3	739.1	739.1	73	48	60	N 1	W 1	N 1	8	4	3	.	
17	18.2	28.2	21.8	22.7	1.3	740.0	738.9	739.5	78	49	70	N 1	SW 1	N 1	1	0	0	.	
18	17.0	27.2	22.0	22.1	0.6	739.0	737.9	736.7	71	48	60	N 1	S 1	SSW 1	0	7	0	.	
19	17.8	26.2	22.8	22.3	0.8	738.5	737.7	737.4	68	55	58	N 1	E 1	N 1	0	5	0	.	
20	18.0	27.2	22.2	22.5	1.0	738.7	737.9	737.4	78	50	69	N 1	E 1	NNE 1	2	4	2	.	
21	19.8	28.0	23.4	23.7	2.1	738.3	736.5	734.8	83	52	55	E 1	SSE 1	E 1	10	4	4	.	
22	19.2	28.8	23.6	23.9	2.3	735.6	734.2	733.3	66	54	68	N 1	S 1	N 1	5	4	2	8.7	
23	20.0	22.4	21.0	21.1	−0.5	735.2	735.1	735.1	87	66	82	N 1	W 1	SSW 1	10	10	5	36.5	● 4–6
24	16.4	15.4	16.4	16.1	−5.5	734.8	735.6	734.6	88	84	70	NW 1	N 1	E 2	10●	10●	8	28.8	● 3½–14 m.U.
25	15.6	26.6	20.4	20.9	−0.7	734.8	735.8	736.7	72	51	73	NNE 1	E 1	N 1	0	0	0	.	
26	17.0	28.0	22.0	22.3	0.7	738.4	738.0	737.3	80	51	72	N 1	S 1	N 1	0	2	3	.	
27	19.6	27.6	22.4	23.2	1.6	738.4	737.8	738.1	80	53	79	N 1	ESE 1	N 1	2	4	0	.	
28	19.6	29.2	24.0	24.3	2.7	739.0	738.5	737.9	78	52	70	N 0	S 1	N 1	0	3	1	**46.7**	⌿ ● n (28./29.)
29	17.6	28.0	22.8	22.8	1.3	739.8	739.3	738.6	89	53	72	N 1	S 1	N 1	0	4	3	.	
30	19.8	29.8	23.8	24.5	3.0	740.8	740.6	738.7	79	47	69	N 1	E 0	N 1	0	2	0	.	
31	20.8	**30.0**	24.0	24.9	3.4	740.6	739.6	737.7	79	58	64	N 1	S 1	N 1	3	4	0	.	
																		Summe	
Mittel	18.1	25.6	20.4	21.4	—	738.0	737.5	737.4	73	52	66				4.2	4.2	2.8	189.0	

$\lambda = 7^\circ\ 35'$, $\beta = 47^\circ\ 33'$,
$H_b = 318^m$, $G = 0.11\ ^m/_m$.

Basel

Juli 1938.
Beobachter: *Astronom.-Meteorol. Anstalt.*

Tag	7³⁰	13³⁰	21³⁰	Mittel	Abweich. vom Normalst	7³⁰	13³⁰	21³⁰	7³⁰	13³⁰	21³⁰	7³⁰	13³⁰	21³⁰	7³⁰	13³⁰	21³⁰	Niederschlag	Witterung
1	17.2	17.8	13.2	16.1	—	727.7	**727.4**	731.0	92	86	96	WSW 1	WSW 1	S 1	10●	10	10●	26.7	●sch. 0½–n zeitw.
2	12.8	15.0	11.2	13.0	—	730.9	732.0	733.5	96	87	95	ESE 1	S 1	SSE 1	10	10●	10	15.4	● n–21¼ zeitw.
3	**10.6**	14.2	11.1	12.0	—	736.3	738.1	739.1	94	82	85	WSW 1	WSW 1	SE 1	10●	10	10	6.7	● 1¼–19½ zeitw.
4	12.8	19.5	14.1	15.5	—	738.0	733.8	730.8	87	57	95	E 1	WNW 1	ENE 1	6	10	10●	**34.8**	● 0½–1, 14¼–n m.U.
5	12.6	18.1	13.0	14.6	—	729.6	730.8	733.2	95	68	73	SE 1	W 1	S 1	10●	10	10	8.2	● n–10¾, 13¼–14 m.U.
6	13.2	20.5	12.2	15.3	—	735.9	736.6	738.0	73	50	84	WSW 1	W 1	NW 0	9	3	1	.	
7	15.4	26.0	21.0	20.8	—	736.9	734.8	734.1	66	45	70	NE 1	E 1	E 1	0	1	7	.	
8	19.8	26.0	13.8	19.9	—	735.0	733.3	738.5	72	57	96	E 1	W 1	SW 0	1	10	10●	20.4	●sch. 10½–24¼ zeitw.,
9	13.2	19.2	14.2	15.5	—	739.6	739.3	740.1	85	53	61	WSW 1	W 1	WSW 1	10	6	9	.	[⌿ 17¼–17¾, ⌿ 16¼
10	13.2	17.4	12.5	14.4	—	**740.5**	**740.5**	740.2	75	58	77	WSW 1	WSW 1	SW 1	9	8	8	0.1	
11	12.2	20.4	16.0	16.2	—	738.2	736.4	734.9	86	65	89	ESE 1	NW 1	E 1	10	10	9	1.0	●sch. 7, 13, 15½, 17¼, 23¼
12	15.2	17.8	15.0	16.0	—	733.2	732.3	732.4	89	80	94	E 1	NNE 1	SE 1	10	10	10●	6.4	● 4¾–6¾, 11¾–24¾ m.U.
13	15.9	21.4	15.0	17.4	—	734.3	735.4	737.7	85	70	93	SSW 1	WNW 1	S 1	10	8	10	1.0	● 18–19¾
14	13.6	24.6	16.6	18.3	—	737.7	736.0	734.7	97	57	90	SSE 0	SE 1	ESE 1	10	1	0	.	≡ 4–7
15	18.5	27.8	16.4	20.9	—	734.1	732.9	735.2	75	60	97	ESE 1	SSE 1	S 1	1	4	10●	20.4	● 17–23½, ⌿ 17¾–20, △° fr.
16	17.1	19.0	17.9	18.0	—	735.8	736.4	738.0	95	87	82	ESE 0	WSW 1	WSW 1	10	10●	9	17.4	● 1½–3½, 10¾–13½ m.U.
17	17.5	22.6	15.8	18.6	—	739.5	739.2	739.8	69	53	84	SSW 1	WNW 1	W 1	1	4	6	.	
18	16.0	21.4	17.2	18.2	—	739.9	738.9	738.7	81	59	82	SW 0	NW 1	SW 1	9	8	10	.	
19	16.9	22.4	17.7	19.0	—	737.9	737.6	737.5	79	52	85	SE 0	WNW 1	SSW 1	8	3	9	.	
20	16.0	25.8	17.2	19.7	—	737.0	736.0	735.5	79	48	88	E 1	WNW 1	WNW 1	0	1	2	.	△ fr.
21	18.0	28.0	18.5	21.5	—	735.6	734.3	734.4	79	**41**	81	SE 1	WNW 1	SSW 1	1	3	0	.	△ fr.
22	18.6	26.8	18.2	21.2	—	734.0	732.1	732.0	77	54	84	SSE 1	W 1	SW 1	0	0	1	.	△ fr.
23	17.6	26.0	17.0	20.2	—	731.5	730.0	732.0	83	58	92	NE 0	NW 1	ESE 1	1	2	7	6.9	● 14½–15¾, ⌿ 14¼–15¼
24	16.0	17.0	16.1	16.4	—	731.7	732.9	733.7	93	92	96	SE 0	WSW 0	E 0	10●	10●	10	27.7	● 7½–17¾ m.U.
25	16.0	25.2	17.6	19.6	—	734.2	733.6	733.4	93	55	92	E 1	E 1	ESE 1	10	3	0	.	
26	18.8	**29.5**	17.6	22.0	—	732.9	732.1	735.4	82	49	92	ESE 1	S 1	WNW 1	0	1	10	3.9	● 16¼, 17¾, 19½–20, ⌿ 17¼–
27	16.8	22.5	17.6	19.0	—	738.0	737.4	736.9	79	60	90	WSW 1	W 1	ESE 0	5	8	0	.	● 1–1¼ [20. ⌿ 19¼
28	15.2	27.0	19.3	20.5	—	737.3	736.8	736.5	98	52	85	ESE 1	W 1	ESE 1	10≡	3	8	.	≡ 5–7½
29	19.2	27.1	20.2	22.2	—	736.8	736.7	737.3	84	51	84	S 0	W 1	SSW 1	8	3	9	.	
30	18.6	29.2	20.4	22.7	—	737.8	737.2	737.1	82	50	91	E 1	NW 1	WNW 0	0	1	1	.	△ fr.
31	19.0	29.4	22.2	23.5	—	737.6	737.3	737.0	77	**41**	87	E 1	NE 1	SE 1	1	2	8	.	△ fr.
																		Summe	
Mittel	15.9	22.7	16.3	18.3	—	735.7	735.1	735.8	84	60	87				6.1	5.6	6.9	197.0	

Juli 1938.
Beobachter: *Observatorium.*

Säntis

$\lambda = 9° 20'$, $\beta = 47° 15'$,
$H_b = 2500.1^m$. $G = -0.27$ m/m.

Tag	Lufttemperatur 7³⁰	13³⁰	21³⁰	Mittel	Abweich. vom Normalst.	Luftdruck 7³⁰	13³⁰	21³⁰	Relative Feuchtigkeit 7³⁰	13³⁰	21³⁰	Windrichtung und Stärke 7³⁰	13³⁰	21³⁰	Bewölkung 7³⁰	13³⁰	21³⁰	Niederschlag	Witterung
1	8.4	9.3	0.8	6.2	2.0	561.6	561.5	561.1	65	65	100	SW 3	SW 3	NW 3	6	6	10≡●	25.5	● 12¹/₄-12³/₄, 18¹/₄-n, ≡ 17-n
2	-0.6	0.4	-2.3	-0.8	-5.1	560.2	561.1	561.6	100	98	100	WNW 2	W 1	WNW 2	10≡*	10≡	10≡*	42.4	✳ n-12¹/₄, 16¹/₄-n, ≡ n-n [✳
3	-2.2	-1.1	-2.4	-1.9	-6.2	562.5	563.8	566.0	98	98	96	WNW 2	WNW 2	WNW 2	10≡*	10≡*	10≡	12.4	✳ n-17¹/₂, ≡ n-n [✳
4	-2.0	1.6	2.3	0.7	-3.7	565.6	564.6	562.9	95	87	100	WNW 1	SW 2	W 4	10≡	4	10≡●	10.1	● 16¹/₂-n, ≡ n-10³/₄, 17-n [✳
5	1.6	-0.1	-1.4	0.0	-4.5	559.9	560.8	562.0	100	100	98	SW 4	WNW 3	W 3	10	10≡	10≡	8.3	● n, 8-9¹/₄, ✳ 9¹/₄-14³/₄. [✳
6	-1.3	5.0	1.5	1.7	-2.9	563.2	565.6	567.4	98	76	98	WNW 3	WSW 1	SSW 2	10≡	10≡	0	.	△ n, ≡ n-20¹/₄ [≡ ↙ 8-n
7	6.8	9.8	7.1	7.9	3.5	567.9	569.1	569.4	60	55	54	SSW 3	SSW 2	SSW 3	1	1	1	.	
8	9.8	11.6	4.1	8.5	3.8	569.8	568.5	568.2	51	52	98	S 3	SSW 4	WSW 2	9	9	10≡	10.1	● 15¹/₄, 20-n, m.U., ≡ 19¹/₂-n
9	-0.3	3.4	-1.8	0.4	-4.4	566.7	566.9	566.8	100	82	100	W 1	WSW 1	NW 2	10≡	10≡●	10≡*	14.8	● n-9, ✳ 9-12, p ztw., ≡ n-n
10	-2.6	-2.4	-2.2	-2.4	-7.2	565.9	566.4	566.7	98	97	97	WNW 1	WNW 2	NW 2	10≡	10≡	10≡*	6.9	✳ 11-n m.U., ≡ n-n [✳
11	-1.8	1.0	1.6	0.3	-4.6	565.4	565.9	565.0	98	100	100	WSW 2	WNW 3	WNW 4	10≡*	10≡	10≡	4.8	✳ 7¹/₄-11 m.U., ● 16¹/₄, ≡ n-n [✳
12	1.4	2.8	4.3	2.8	-2.1	563.3	563.9	563.5	100	100	100	W 4	W 5	W 4	10≡	10≡●	10≡●	19.8	● 13-n m.U., ≡ n-n m.U.
13	2.2	3.9	3.2	3.1	-1.9	564.0	565.9	567.6	100	100	100	W 3	WNW 2	NNW 1	10≡	10≡	10≡	6.9	● 17-n, ≡ n-n
14	5.6	9.7	6.6	7.3	2.3	567.2	567.8	567.6	76	65	74	SE 1	SW 2	W 3	1	4	1	.	≡ 15-17¹/₂ zeitw. [zeitw
15	8.0	11.2	5.5	8.2	3.1	567.3	567.3	567.4	80	74	80	W 2	SSW 1	WSW 2	5	10≡	10	22.0	⊼● 19¹/₄-21, ▲△ 19³/₄, ≡ 11-2
16	6.0	8.4	5.0	6.5	1.4	567.5	568.1	568.7	76	87	98	S 1	SW 1	WNW 1	10	10	10≡	10.9	● 8-9 m.U., 16-16³/₄, ≡ 8³/₄-n m.U
17	4.8	8.0	3.6	5.5	0.4	568.7	569.1	569.4	100	86	98	NNW 1	SSW 1	NNW 1	10≡	10≡	4	0.9	≡ n-21
18	4.5	7.0	2.9	4.8	-0.4	568.4	568.7	568.4	86	70	99	WSW 1	WSW 1	NW 2	4	10≡	10≡	0.3	≡ 9¹/₂-n
19	2.8	7.2	2.8	4.3	-0.9	567.0	567.5	568.0	99	72	92	W 1	WSW 1	NW 2	10≡	10≡	3	.	≡ n-21
20	5.0	9.2	5.2	6.5	1.3	567.1	567.7	567.7	65	62	58	W 1	WSW 2	WNW 2	0	4	1	.	
21	6.4	8.4	5.8	6.9	1.6	567.2	567.3	567.0	58	54	100	WNW 2	WNW 2	WNW 3	2	3	10≡	.	≡ 21¹/₄-n
22	5.2	10.6	5.2	7.0	1.7	565.6	565.6	565.4	85	55	96	WNW 2	SW 2	W 1	1	3	1	.	≡ n-6¹/₂, 18-21 m.U. [⊼ 16-17¹/₄
23	6.5	11.8	6.1	8.1	2.8	564.6	565.0	565.3	90	57	74	W 2	W 2	WSW 1	10	10	10	13.5	● 15¹/₄-16¹/₄ m.U., ≡ 14¹/₂-17¹/₂
24	5.0	2.6	2.8	3.5	-1.8	563.5	563.3	564.1	83	100	100	ESE 2	WNW 3	W 3	10	10≡●	10≡●	40.8	● 8¹/₂-17, abds. zeitw. ≡ n-n m.U.
25	4.4	9.0	7.0	6.8	1.4	565.4	566.4	567.1	100	71	90	NW 1	S 1	W 2	10≡	10	0	.	≡ n-16 m.U.
26	9.6	14.3	6.4	10.1	4.7	566.9	567.6	568.3	48	56	100	WSW 2	SW 1	WNW 2	1	2	10≡●	31.0	● ≡ 21-n, ▲ 21
27	5.4	11.4	7.2	8.0	2.6	568.4	568.5	569.0	80	78	72	WNW 1	S 1	WNW 2	9	10≡	0	.	≡ 11-20
28	6.5	10.8	7.4	8.2	2.8	568.7	569.7	569.6	50	63	57	W 2	SW 2	WNW 1	1	3	1	.	
29	8.4	12.8	8.0	9.7	4.3	569.3	570.1	570.6	82	69	94	W 2	SW 2	WNW 2	2	10	6	.	≡ 17³/₄-19 zeitw.
30	11.7	15.9	9.5	12.4	7.0	570.6	571.6	571.6	60	70	76	SSW 1	WSW 2	WNW 2	1	9	2	.	≡ 12-16 m.U.
31	10.0	13.8	8.6	10.8	5.4	571.0	571.7	571.0	67	68	74	NW 2	S 1	NNW 1	1	10	2	.	
Mittel	4.4	7.3	3.9	5.2	—	566.1	566.7	566.9	82	76	89				6.6	8.0	6.5	Summe 281.4	

Juli 1938.
Beobachter: Frl. *F. Lombardi.*

St. Gotthard (Hospiz)

$\lambda = 8° 34'$, $\beta = 46° 33'$,
$H_b = 2095.7^m$. $G = -0.25$ m/m.

Tag	7³⁰	13³⁰	21³⁰	Mittel	Abweich. vom Normalst.	Luftdruck 7³⁰	13³⁰	21³⁰	Relative Feuchtigkeit 7³⁰	13³⁰	21³⁰	Windrichtung und Stärke 7³⁰	13³⁰	21³⁰	Bewölkung 7³⁰	13³⁰	21³⁰	Niederschlag	Witterung
1	8.8	9.2	5.0	7.7	1.1	591.3	590.0	589.5	74	85	95	SE 1	SE 1	SE 0	10	10●	10●≡	150.9	● n-n, ● ✳ ▲ 21³/₄-n, ≡ III
2	0.2	1.4	0.0	0.5	-6.2	588.6	590.1	590.7	85	80	81	N 1	N 1	N 1	10●≡*	10≡	10*≡	41.2	✳ 15¹/₄-n, ≡ n-n, ● ✳ I
3	0.0	1.8	0.2	0.7	-6.1	592.2	592.6	594.4	85	84	93	N 2	N 2	N 3	10≡	10≡	10≡	2.1	≡ n-n
4	0.6	4.4	4.0	3.0	-3.9	595.2	594.3	593.5	80	75	88	N 2	N 1	SE 1	5≡	3	10●	6.5	≡ I, ● III
5	2.8	6.2	2.6	3.9	-3.1	590.2	590.8	591.8	85	100	94	SE 1	SE 1	N 0	10●	10●	8	10.0	●° n-14
6	1.6	9.9	7.6	6.4	-0.7	592.9	594.7	596.4	84	65	63	N 1	N 1	N 0	0	2	5	.	
7	6.8	7.5	7.0	7.1	-0.1	595.7	598.5	599.1	75	80	76	SE 1	SE 1	SE 0	10	10	10	1.0	
8	9.0	9.4	6.0	8.1	0.8	599.1	598.6	597.3	70	83	100	SE 2	SE 1	SE 1	8	10	10●≡	57.0	● 14¹/₄-n, ≡ 17-n
9	5.0	4.0	2.4	3.8	-3.6	595.7	595.6	595.4	100	88	85	N 1	N 1	N 2	10≡	10≡	10≡	4.9	●° zeitw., ≡ n-n
10	0.0	3.6	1.2	1.6	-5.9	594.3	595.7	595.5	82	77	84	N 2	N 2	N 2	8	5	10≡	.	≡ 18-n
11	3.6	9.4	7.4	6.8	-0.8	594.8	594.8	594.0	65	65	68	N 2	N 2	N 1	5	5	5	.	
12	6.0	10.0	6.3	7.4	-0.3	593.2	593.4	593.8	63	75	89	N 0	N 0	N 0	10	10	10≡	3.7	●°sch. zeitw., ≡ 20¹/₄-n
13	5.8	8.3	2.4	5.5	-2.3	593.5	594.9	594.9	90	70	94	NE 0	NE 1	N 1	10●	8	10≡	5.7	● n-8¹/₄, 14¹/₄-18¹/₂, ≡ 19-n
14	6.0	14.0	10.2	10.1	2.2	595.9	596 4	596.6	64	55	84	N 0	S 0	S 1	5	5	10≡	.	≡ 18-n
15	9.2	15.2	9.4	11.3	3.3	596.3	595.8	596.0	84	58	94	S 0	S 0	S 0	5	5	10	2.8	●° 17-n zeitw.
16	9.2	9.8	8.0	9.0	0.9	595.7	596.8	596.8	90	85	87	S 0	S 0	N 0	10	10≡	6	3.7	≡ 12-14, ● n
17	7.2	9.6	7.8	8.2	0.0	597.5	597.3	598.0	82	64	88	N 2	N 1	N 1	5	5	10≡	.	≡ 19-n
18	5.8	9.8	6 8	7.5	-0.8	597.4	597.1	597.0	82	62	82	N 1	NE 1	N 1	5	6	10≡	.	≡ 19¹/₂-n
19	6.0	11.8	7.2	8.3	0.0	596.1	596.2	596.6	91	68	83	N 1	N 1	N 1	4	5	3	.	
20	6.0	13.2	9.2	9.5	1.1	596.1	596.1	596.5	61	47	74	N 1	N 1	N 1	0	2	4	.	
21	11.4	15.0	9.8	12.1	3.7	595.9	596.4	596.0	78	48	75	N 1	N 1	N 0	0	0	6	.	
22	10.0	14.6	10.0	11.5	3.1	594.5	593.6	594.1	47	45	80	N 1	N 0	N 1	0	0	3	.	
23	9.6	16.8	9.3	11.9	3.4	593.2	593.2	593.8	62	61	94	N 1	S 1	N 1	3	8	4	11.3	● ⊼ 15³/₄-16
24	7.2	1.0	4.0	4.1	-4.4	592.7	592.5	592.6	64	84	76	SE 1	N 1	N 1	10●	10●*	10≡	42.2	● n-20³/₄. ● ✳ 10³/₄-15¹/₄,
25	4.2	14.8	10.2	9.7	1.2	594.2	594.7	595.8	54	60	52	N 2	N 1	N 0	3	5	5	.	[≡ 16-n
26	9.6	15.4	11.4	12.1	3.6	595.6	596.5	596.7	73	48	74	SE 1	SE 1	SE 1	5	3	5	8.3	
27	7.3	15.2	9.6	10.7	2.2	596.8	596.8	597.5	80	48	84	SE 1	SE 1	N 1	7	8	10≡	0.5	● ⊼ seit 1, ● 15¹/₄-15¹/₂.
28	9.2	14.6	11.0	11.6	3.1	597.1	598.2	598.1	81	62	60	N 1	N 1	N 1	0	5	4	.	[≡ 17³/₄-n
29	10.8	17.2	11.2	13.1	4.6	597.9	598.4	598.7	58	49	98	N 0	N 0	N 1	3	5	10≡	.	≡ 19¹/₂-n
30	10.4	18.4	12.0	13.6	5.1	598.8	599.9	600.0	63	41	72	N 0	N 0	N 1	0	3	0	.	
31	15.0	18.2	12.2	15.1	6.6	599.3	599.6	599.0	47	39	74	N 1	N 1	N 1	0	0	0	.	
Mittel	6.6	10.6	7.1	8.1	—	595.1	595.5	595.7	74	66	82				5.2	6.1	4.1	Summe 351.8	

$\lambda = 7^\circ 26'$, $\beta = 46^\circ 57'$,
$H_b = 572.2^m$, $G = 0.00^m/_m$.

Bern

August 1938.
Beobachter: *Tellur. Observatorium.*

Tag	Lufttemperatur 7³⁰	13³⁰	21³⁰	Mittel	Abweich. vom Normalst	Luftdruck 7³⁰	13³⁰	21³⁰	Relative Feuchtigkeit 7³⁰	13³⁰	21³⁰	Windrichtung und Stärke 7³⁰	13³⁰	21³⁰	Bewölkung 7³⁰	13³⁰	21³⁰	Niederschlag	Witterung
1	19.0	26.8	20.6	22.1	4.4	714.5	713.9	714.5	76	39	76	ESE 0	NE 2	NE 1	4	3	2	.	△ fr.
2	17.2	24.9	21.0	21.0	3.3	715.7	713.0	713.5	79	41	54	NE 1	NE 2	ESE 0	0	0	0	.	△ fr.
3	16.6	26.3	22.8	21.9	4.3	713.5	712.5	712.7	79	**33**	61	SE 0	NNE 1	NE 0	0	0	0	.	△ fr.
4	18.4	**28.7**	22.9	23.3	5.7	713.1	712.5	712.3	78	35	71	SE 0	WNW 1	SE 0	0	1	0	.	△ fr.
5	19.0	28.5	22.3	23.3	5.8	713.6	712.0	712.1	81	38	57	SSE 0	NE 1	SE 1	1	2	6	.	△ fr.
6	19.9	26.7	17.2	21.3	3.8	711.3	710.7	711.9	71	42	83	SSE 1	NNE 1	SE 1	5	1	10	6.6	● 17–18¾
7	16.6	22.2	17.3	18.7	1.3	710.5	710.4	711.3	80	52	92	SE 0	WNW 1	SSE 1	1	9	10●	1.2	● 15¼, 20¼–21¾
8	16.6	19.6	17.7	18.0	0.6	711.3	711.1	711.5	85	67	80	SE 0	ESE 1	ENE 1	10	9	10	.	
9	14.6	22.4	16.4	17.8	0.5	710.8	709.4	711.7	87	51	81	SSW 0	NE 1	SW 1	1	4	9	2.3	● 21¾–22¼, ≡ a, △ fr.
10	15.7	21.8	17.3	18.3	1.1	711.8	711.1	711.7	92	54	81	S 0	NE 1	SE 1	10	6	4	.	● 3¼–3½
11	14.0	22.4	14.8	17.1	−0.1	711.2	709.8	710.8	87	49	94	S 0	SE 0	SSE 1	3	8	10●	15.0	● 16½–18¼, 18½–22, ≡ a, △ fr.
12	14.4	17.8	14.8	15.7	−1.4	710.4	709.5	709.4	94	64	76	SE 0	W 2	SW 1	8	9	10	6.6	● 2¾–21¼ m.U.
13	13.4	15.6	13.6	14.2	−2.8	708.0	708.3	708.6	91	85	94	WSW 1	SW 1	SE 0	10●	10●	10●	**40.3**	● 4¾–23¾ m.U.
14	13.1	14.3	13.6	13.7	−3.3	708.3	709.5	709.5	94	91	86	S 1	S 0	SW 0	10●	10●	10	4.9	● 2¾–14¼ m.U., ≡ a
15	12.6	17.2	15.6	15.1	−1.8	709.9	710.4	711.4	94	61	82	S 0	NE 0	W 1	10	10	10	.	
16	12.6	21.0	17.2	16.9	0.1	711.5	711.4	711.6	96	57	81	SE 0	WNW 0	SW 0	2	3	0	.	≡ a, △ fr.
17	14.9	23.0	17.4	18.4	1.6	711.2	711.0	712.3	86	56	70	SE 0	SW 3	SW 0	7	8	0	.	△ fr.
18	13.9	20.2	16.2	16.8	0.1	714.0	712.9	711.8	80	53	75	S 0	W 1	S 0	9	1	0	.	△ fr.
19	12.2	25.0	21.8	16.3	−0.3	710.5	708.8	708.2	87	48	67	SW 0	SW 0	S 0	0	1	0	0.2	△ fr.
20	18.2	23.2	17.6	19.7	3.1	709.0	708.0	708.6	82	73	88	SE 0	N 0	W 2	2	9●	10●	28.0	● 6¼, 9¾, 15½–24 m.U., ⊠ 15½
21	16.3	13.7	11.6	13.9	−2.6	708.6	712.7	715.1	96	94	95	W 0	S 0	SE 0	10●	10●	7	13.8	● 0–19 m.U.
22	10.0	17.4	14.4	13.9	−2.5	**715.8**	715.0	714.7	96	47	68	S 0	NNW 0	NW 0	4	5	7	0.2	△ fr.
23	12.0	16.2	11.2	13.1	−3.3	714.3	714.2	714.7	86	57	83	SSE 0	NW 0	NE 1	10	3	0	0.6	● 2½–3¾, 10–10¼
24	**7.3**	16.2	12.0	11.8	−4.5	713.4	712.5	712.7	95	52	65	NE 0	NNE 1	NE 0	7	1	0	.	△ fr.
25	7.6	17.5	13.0	12.7	−3.5	711.8	711.1	712.3	90	50	68	SE 0	NE 0	N 0	0	1	0	.	△ fr.
26	10.4	18.0	14.6	14.3	−1.8	712.0	712.1	713.3	82	51	72	SE 0	N 0	NE 0	5	7	10	.	△ fr.
27	12.0	17.2	14.3	14.5	−1.6	712.4	711.9	711.8	89	68	82	NE 0	NE 0	NE 0	8	9	4	1.2	△ fr.
28	13.0	16.7	14.4	14.7	−1.3	709.8	709.0	707.6	95	71	85	NE 0	NE 1	NE 0	10	9	10	.	● 3¾–6¾ m.U.
29	13.0	18.6	13.6	15.1	−0.8	705.3	**704.1**	704.7	92	67	95	NE 0	N 0	SW 0	9	8	10●	34.7	● 18½–23½, △ fr.
30	12.4	17.4	13.7	14.5	−1.3	705.4	705.6	707.2	95	66	90	SE 0	WNW 0	SW 1	10	10	10●	5.4	● 16–21½ m.U.
31	12.0	13.9	11.0	12.3	−3.4	708.3	709.6	711.4	93	60	85	W 0	N 0	N 0	10●	10	10●	1.5	● 3¼–9, 18–19, 19½–21¼
Mittel	14.2	20.3	16.2	16.9	—	711.2	710.8	711.3	87	57	79				5.7	5.7	5.8	162.5	

$\lambda = 6^\circ 57'$, $\beta = 47^\circ 0'$,
$H_b = 487.3^m$, $G = 0.02^m/_m$.

Neuchâtel

August 1938.
Beobachter: *Observatorium.*

Tag	7³⁰	13³⁰	21³⁰	Mittel	Abweich. vom Normalst	7³⁰	13³⁰	21³⁰	7³⁰	13³⁰	21³⁰	7³⁰	13³⁰	21³⁰	7³⁰	13³⁰	21³⁰	Niederschlag	Witterung
1	18.9	29.3	23.1	23.8	5.1	722.4	721.9	722.2	88	47	59	SE 0	E 1	NE 2	6	3	0	.	
2	19.3	28.1	22.3	23.2	4.5	721.7	721.0	721.4	74	46	64	NE 1	E 2	NE 1	0	0	0	.	
3	17.5	27.7	23.2	22.8	4.1	721.6	720.4	720.6	87	57	66	NE 0	SE 0	NE 1	0	0	0	.	
4	18.3	28.0	23.4	23.2	4.6	721.2	720.6	720.1	90	54	69	NE 0	SE 0	NE 0	0	2	7	.	
5	20.1	**30.0**	23.2	24.4	5.8	721.3	720.1	719.8	90	49	70	NW 0	S 1	N 0	1	1	1	.	T 12½–13½
6	20.1	28.7	16.9	21.9	3.4	719.4	718.5	719.3	82	**40**	90	SE 0	S 1	N 0	3	0	9	**47.8**	● 8¾–9¼, 16¾–17¼,
7	17.6	21.5	18.2	19.1	0.6	718.4	718.6	719.0	81	70	78	SW 1	SW 1	N 0	3	9	4	.	●tr. a [⊠ ▲ ⸙ 17–17¾
8	17.6	22.0	18.7	19.4	1.0	719.2	719.0	719.7	90	68	82	E 0	SE 0	NE 0	4	9	10●	0.4	●⌣ 21¼–n
9	15.7	24.0	16.8	18.8	0.5	718.8	717.6	719.5	93	62	93	NE 1	S 1	W 1	10	1	10	1.0	● 21–n, T 13¾
10	16.4	24.3	17.9	19.5	1.2	719.7	719.1	719.6	91	56	69	NW 0	S 1	N 1	10	4	2	.	
11	16.5	22.7	14.4	17.9	−0.3	719.2	717.8	718.6	90	65	94	SE 1	E 1	NW 0	3	7	9	3.4	● 18½–21
12	15.0	16.0	15.4	15.5	−2.6	718.3	717.7	717.5	83	92	82	NW 0	W 2	NW 1	8	10●	9	4.6	●sch. n–n zeitw.
13	13.5	16.5	14.7	14.9	−3.2	716.8	715.8	716.5	95	83	95	W 1	SW 2	W 1	10●	10●	10●	11.2	●sch. 6¾–7¾, ● p m.U.
14	13.9	15.5	14.9	14.8	−3.2	716.4	717.2	717.5	98	93	74	W 0	W 0	NW 1	10●	10	10	3.1	● n–11½
15	13.7	19.0	17.2	16.6	−1.3	718.0	718.5	719.3	91	64	64	E 1	S 1	NE 2	10	10	10	.	
16	14.3	22.8	19.3	18.8	0.9	719.8	719.5	719.6	90	59	65	NE 1	S 2	N 2	0	1	6	.	
17	17.2	24.2	17.7	19.7	1.9	719.1	719.0	720.1	73	51	55	SW 2	SW 3	NW 4	7	4	0	.	
18	13.8	22.3	16.0	17.4	−0.3	722.0	721.1	719.6	76	55	81	N 0	S 1	NW 0	6	1	0	.	
19	13.9	25.0	21.0	20.0	2.3	718.6	716.5	715.8	94	57	72	SE 1	S 1	N 0	1	1	0	0.2	
20	20.8	22.1	17.2	20.0	2.4	716.9	715.9	716.6	82	79	93	S 1	E 1	W 0	3	9	10●	22.9	● 9–n m.U., T 8
21	15.8	13.9	11.5	13.7	−3.8	716.5	720.9	723.2	90	92	77	W 2	W 1	W 0	10	10●	0	3.8	● n–14 m.U.
22	11.5	16.1	14.9	14.2	−3.2	**724.1**	723.3	722.7	86	63	57	SE 1	SW 0	N 3	5	7	10	0.1	
23	12.8	18.4	12.8	14.7	−2.7	722.4	722.2	722.8	77	63	71	N 2	SE 1	E 2	10	4	0	.	
24	10.0	18.3	14.2	14.2	−3.1	721.7	720.8	720.7	87	54	59	E 2	E 3	E 2	6	1	0	.	
25	**9.7**	20.7	13.6	14.7	−2.5	720.0	719.2	720.2	89	50	63	E 1	E 2	E 0	0	0	0	.	
26	11.0	18.2	15.2	14.8	−2.3	720.1	720.2	721.4	90	64	59	E 1	SE 2	NE 1	8	9	4	.	
27	13.2	21.3	15.0	16.5	−0.5	720.6	720.0	719.7	83	58	75	N 0	SE 1	NE 1	7	6	0	0.5	
28	13.9	17.6	14.6	15.4	−2.5	718.1	717.1	715.6	95	80	86	NE 0	NE 2	NE 0	10●	10	7	7.2	● n–10
29	14.5	20.5	13.6	16.2	−1.6	712.9	**711.5**	712.4	91	64	98	NE 0	S 1	W 0	10	5	10	9.2	● 19–20½
30	13.4	18.6	13.6	15.2	−2.5	713.4	715.6	715.4	99	65	89	N 0	N 3	W 2	10	9	10●	1.8	● 18–n m.U.
31	12.6	13.9	12.3	12.9	−4.7	716.3	717.6	719.3	77	62	73	N 2	N 3	N 0	10●	10	10	.	●tr. a
Mittel	15.2	21.5	16.9	17.9	—	719.2	718.9	719.2	87	63	75				5.8	5.3	5.1	117.2	

August 1938.
Beobachter: Frl. *H. Nager.*

Altdorf

$\lambda = 8° 39'$, $\beta = 46° 53'$,
$H_b = 456.3^m$, $G = -0.05\,^m/_m$.

Tag	Lufttemperatur 7³⁰	13³⁰	21³⁰	Mittel	Abweich. vom Normalst	Luftdruck 7³⁰	13³⁰	21³⁰	Relative Feuchtigkeit 7³⁰	13³⁰	21³⁰	Windrichtung und Stärke 7³⁰	13³⁰	21³⁰	Bewölkung 7³⁰	13³⁰	21³⁰	Niederschlag	Witterung
1	18.7	26.7	20.4	21.9	4.0	725.5	724.4	725.4	83	54	77	N 0	NW 0	NW 0	1	4	8	.	
2	17.7	25.3	18.6	20.5	2.6	725.0	723.7	724.7	82	46	71	N 0	NW 1	NE 0	2	5	0	.	
3	17.5	25.7	20.0	21.1	3.2	724.5	723.1	724.2	84	49	71	E 0	N 0	SE 0	0	2	0	.	
4	19.8	27.6	20.5	22.6	4.8	724.0	723.5	723.5	68	45	80	E 0	NW0-1	NW 0	2	3	4	1.0	
5	19.2	**27.2**	21.2	22.5	4.7	725.9	722.5	723.3	88	48	70	W 0	NW0-1	SE 0	10●	2	6	1.8	● I, ⊼ 4
6	18.9	26.8	21.2	22.3	4.5	722.1	720.7	722.9	75	48	54	E 0	NW 1	NW 0	0	4	8	.	
7	17.9	23.1	18.8	19.9	2.2	721.4	721.3	722.5	82	54	85	NW 0	W 0	NW 0	1	9	10●	1.5	● III
8	17.8	22.5	17.3	19.2	1.5	722.1	721.9	722.8	90	68	91	NW 0	NW 0	NW 0	10	10●	8	5.4	● zeitw.
9	15.4	22.3	18.4	18.7	1.0	721.4	720.3	722.2	89	58	78	E 0	NW 0	NW 0	5	5	9	1.7	● 12½–12¾
10	17.2	21.4	16.8	18.5	0.9	722.7	721.6	723.3	88	56	92	S 0	NW0-1	W 0	8	6	10	2.8	
11	14.4	21.2	18.3	18.0	0.4	722.2	720.9	721.1	93	60	60	S 0	NW0-1	NW 2	2	4	10●	5.5	● 21¼–n
12	15.3	19.2	15.1	16.5	−1.0	721.1	719.7	720.4	93	70	94	E 0	NW 0	NW 0	8	10●	10●	7.1	● p–n
13	14.6	15.4	13.7	14.6	−2.9	718.5	718.9	719.1	95	82	95	E 0	E 0	NW 0	10●	10●	10●	**57.3**	● n–n
14	13.3	15.4	13.7	14.1	−3.3	719.2	720.5	720.6	95	84	94	W 0	W 0	NW 0	10●	10●	10	2.8	● n–15
15	13.9	19.8	15.8	16.5	−0.9	721.0	720.6	722.5	85	47	73	SW 0	NW 1	E 0	7	8	10	.	
16	13.8	21.2	16.3	17.1	−0.2	723.0	722.0	722.8	90	54	86	E 0	NW 1	E 0	3	6	0	.	
17	13.8	22.0	19.9	18.6	1.4	721.8	721.5	723.1	94	57	60	S 0	NW0-1	NW0-1	4	5	10	.	
18	16.5	20.2	15.6	17.4	0.2	724.9	723.7	723.1	70	52	81	NE 0	NW 1	NE 0	8	0	0	.	
19	13.2	22.8	19.8	18.6	1.5	721.5	720.1	718.9	88	52	72	E 0	NW 0	E 0	0	1	2	0.0	
20	21.1	25.7	18.9	21.9	4.9	719.2	718.4	720.2	56	54	94	S 0-1	NW 0	NW 0	3	6	10●	10.0	● 20½–n
21	18.4	15.1	13.0	15.5	−1.5	719.3	723.1	726.5	95	68	89	W 0	N 2	N 0	9●	10●	10●	16.4	● n–n
22	11.8	17.8	13.3	14.3	−2.6	**727.4**	725.9	725.9	84	**34**	83	NE 0	NW0-1	NW 0	8●	7	10	7.1	● I
23	11.2	15.2	8.6	12.0	−4.8	725.7	726.0	727.0	92	60	94	E 0	NW 0	E 0	10●	7	0	3.9	● zeitw.
24	**8.4**	16.4	11.2	12.0	−4.7	725.8	723.5	724.2	54	54	87	NE 0	NW 0	NE 0	3	3	0	.	
25	**8.4**	17.6	13.9	13.3	−3.4	724.1	721.9	723.2	94	52	80	E 0	NW0-1	NW 0	0	1	4	.	
26	10.2	18.3	15.2	14.6	−2.0	722.9	722.3	724.5	93	50	75	SW 0	NW 1	NW 0	0	7	10	.	
27	14.4	16.5	13.8	14.9	−1.6	723.3	723.0	722.9	90	69	93	SE 0	NW 0	NW 0	10	9	10	0.8	● 16–n
28	12.4	18.9	15.4	15.6	−0.8	720.6	719.4	718.5	95	59	90	E 0	NW0-1	E 0	6●	8	10	.	● I
29	14.5	23.0	15.4	17.6	1.3	716.0	**713.5**	714.6	88	52	89	W 0	NW0-1	NW 0	9	6	10	2.8	
30	14.3	19.6	14.6	16.2	0.0	716.2	715.6	717.9	93	52	94	S 0	W 0	W 0	10●	7	10	16.5	● I
31	13.9	14.6	12.8	13.8	−2.3	718.7	720.0	722.1	95	66	87	NW 0	W 0	SE 0	10●	10●	10●	1.8	●° n–n
Mittel	15.1	20.8	16.4	17.4	—	722.2	721.4	722.4	86	57	82				5.5	6.0	7.1	146.2	

August 1938.
Beobachter: *Observatorium.*

Genf

$\lambda = 6° 9'$, $\beta = 46° 12'$,
$H_b = 405.0^m$, $G = -0.03\,^m/_m$.

Tag	Lufttemperatur 7³⁰	13³⁰	21³⁰	Mittel	Abweich. vom Normalst	Luftdruck 7³⁰	13³⁰	21³⁰	Relative Feuchtigkeit 7³⁰	13³⁰	21³⁰	Windrichtung und Stärke 7³⁰	13³⁰	21³⁰	Bewölkung 7³⁰	13³⁰	21³⁰	Niederschlag	Witterung
1	19.8	27.4	24.0	23.7	4.4	729.3	728.5	728.3	77	54	58	ENE 0	NNE 1	NNE 1	3	0	0	.	
2	20.4	26.0	23.3	23.2	4.0	728.6	727.8	727.6	78	55	48	E 0	NE 1	NNE 0	0	0	1	.	
3	19.8	25.8	23.1	22.9	3.7	727.5	727.1	727.1	76	62	53	ENE 0	NNE 1	NE 0	0	0	0	.	
4	19.6	27.0	24.4	23.7	4.5	728.2	727.1	727.0	76	63	59	E 0	NNE 1	E 0	0	0	3	.	
5	21.6	28.2	24.5	24.8	5.7	728.3	726.9	726.4	69	58	**35**	E 0	NNE 1	NE 0	1	7	1	11.0	⊼ ● seit 6, ⊼ ●² ▲ seit 18
6	17.4	26.2	18.4	20.7	1.6	726.9	725.3	725.6	98	48	93	NE 0	NNE 1	NNE 1	9	0	10	18.3	
7	17.7	22.9	20.2	20.3	1.3	726.0	725.8	725.9	85	64	77	E 0	E 0	NE 0	9	9	1	.	
8	18.8	23.2	20.0	20.7	1.7	726.3	725.5	725.7	81	58	61	SE 0	NNE 1	NNE 0	0	1	0	.	
9	17.8	24.8	17.0	19.9	1.0	725.7	724.3	726.6	82	60	88	NE 0	NNE 1	E 0	0	2	10	5.0	● 16–n
10	15.8	23.2	20.6	19.9	1.1	727.1	726.1	726.0	91	54	55	E 0	NNE 1	E 0	9	2	1	.	
11	16.8	22.6	16.6	18.7	−0.1	726.1	724.7	725.4	83	66	86	E 0	NE 0	E 0	9	10	9	5.1	●sch. p–n, ● ⊼ 14¼
12	16.4	18.8	15.9	17.0	−1.7	725.8	725.6	725.1	79	71	82	S 1	SW 1	NE 0	9●	10	9	4.6	● 14–n
13	14.6	19.3	14.5	16.1	−2.5	724.0	724.0	724.1	93	72	86	NE 0	N 0	SW 0	10●	9	10●	**26.6**	● n–n
14	15.2	16.4	16.0	15.9	−2.6	723.8	724.2	724.4	89	79	78	E 0	NNE 1	NE 1	10	10●	10	0.3	● seit 13½
15	14.2	18.3	16.2	16.2	−2.3	725.0	725.8	726.1	86	67	66	NE 0	NNE 0	NE 0	10	10	9	.	
16	15.0	21.0	19.0	18.3	−0.1	726.9	726.7	726.8	85	58	56	E 0	NNE 1	E 0	0	1	1	.	
17	16.5	24.0	19.0	19.8	1.5	727.0	727.4	727.3	84	54	53	NE 0	W 1	SW 1	9	8	0	.	
18	15.0	21.6	18.2	18.3	0.1	729.0	728.1	726.6	72	59	74	NE 0	NE 1	NE 0	0	0	0	.	
19	15.1	**28.8**	24.0	22.6	4.5	725.7	723.5	723.2	84	39	45	E 0	SW 1	SW 1	0	3	5	.	
20	22.2	24.2	19.8	22.1	4.1	724.3	722.6	723.8	69	67	81	SW 1	SSW 1	SSW 1	9	9	10●	1.6	●°sch. 10½, ●° 15–n
21	19.0	16.0	14.0	16.3	−1.7	723.3	728.0	730.5	78	83	69	ESE 1	SSW 0	NE 0	9	10	0	5.5	● a mU.
22	12.0	18.0	15.8	15.3	−2.6	**731.2**	730.6	730.5	83	44	55	E 0	NNE 1	NNE 1	0	2	0	.	
23	12.8	18.6	15.0	15.5	−2.3	729.4	728.6	728.7	79	57	55	ENE 0	NNE 1	NNE 1	3	1	0	.	
24	12.5	17.3	14.5	14.8	−2.9	728.5	727.7	727.3	77	61	52	NE 1	NNE 1	ENE 0	2	0	0	.	
25	**10.8**	18.2	16.0	15.0	−2.6	726.9	726.3	726.6	80	57	47	E 0	NNE 1	NE 1	0	0	0	.	
26	11.4	19.9	16.4	15.9	−1.6	727.3	727.2	727.9	83	55	55	E 0	NNE 1	NE 1	1	8	1	.	⊕ II
27	12.2	19.8	17.0	16.3	−1.1	727.8	727.0	726.1	83	58	64	NNE 0	NNE 1	NE 1	9	2	10	0.3	●° n (27./28.)
28	15.2	19.4	17.0	17.2	−0.1	725.0	724.0	722.5	91	67	81	E 0	NNE 1	W 0	10	3	10	0.1	●°sch. a
29	16.0	18.0	15.8	16.6	−0.6	719.8	**719.0**	719.5	89	80	87	W 0	NE 0	W 0	9	9	10	0.6	●°sch. n–n zeitw.
30	14.8	18.8	15.2	16.3	−0.8	720.5	721.1	722.8	89	69	64	W 0	NNE 1	E 0	9	10	10	0.3	●°sch. 19½–n
31	14.0	15.4	13.7	14.4	−2.6	723.6	724.6	726.4	84	64	78	NNW 0	NNE 1	E 0	10	10	10	0.1	●sch. a
Mittel	16.1	21.6	18.2	18.6	—	726.3	725.8	726.0	82	61	66				5.1	4.7	4.5	79.4	

$\lambda = 8^{\circ}\,33'$, $\beta = 47^{\circ}\,23'$.
$H_b = 493.2^{m}$, $G = 0.03\ ^{m}/_{m}$.

Zürich

August 1938.
Beobachter: *Meteorol. Zentralanstalt.*

Tag	Lufttemperatur 7³⁰	13³⁰	21³⁰	Mittel	Abweich. vom Normalst	Luftdruck 7³⁰	13³⁰	21³⁰	Relative Feuchtigkeit 7³⁰	13³⁰	21³⁰	Windrichtung und Stärke 7³⁰	13³⁰	21³⁰	Bewölkung 7³⁰	13³⁰	21³⁰	Niederschlag	Witterung
1	18.8	28.6	21.0	22.8	4.6	721.9	721.4	722.1	91	38	66	NE 0	N 1	E 1	1	3	1	0.0	●tr. 15½, △ fr.
2	17.5	26.9	19.3	21.2	3.0	721.4	720.9	720.9	85	40	81	WNW 1	NW 2	N 0	1	1	0	.	△ fr.
3	17.7	28.7	20.2	22.2	4.1	720.7	719.9	720.1	95	40	75	NNW 0	ESE 1	NE 0	1	3	2	.	△ fr
4	18.0	**29.6**	21.5	23.0	4.9	720.3	719.9	719.5	95	44	77	ENE 0	NW 2	ESE 1	0	1	3	.	△ fr.
5	20.5	**29.6**	22.0	24.0	6.0	720.9	719.5	719.1	81	**37**	84	SE 1	SSW 2	ESE 1	9	2	3	.	
6	20.3	28.3	18.0	22.2	4.2	718.5	717.6	719.1	92	40	90	SW 0	WNW 2	W 1	2	3	10	4.1	⌇ ● 17¾-19 m.U., △ fr.
7	15.7	24.2	19.1	19.7	1.8	717.8	717.7	718.6	90	50	98	N 1	NW 1	SE 1	2	10	10	0.2	⌇ ● 19-19¼
8	18.2	18.8	17.0	18.0	0.2	718.5	718.4	718.8	84	82	100	NW 1	NW 0	S 1	10	10●	9	1.7	⌇ ● 13¼-15, ●° 14¾-15½
9	17.3	25.2	17.7	20.1	2.3	717.8	716.9	718.0	96	53	93	E 1	S 1	SSE 2	9	3	10	8.8	⌇ ● 19-19½, 21½-23 m.U., △ fr.
10	15.6	22.4	17.0	18.3	0.5	718.9	718.5	718.9	100	60	96	S 0	WNW 1	SSE 1	10●	5	6	0.2	● 6¾-7¾, 11½
11	15.8	24.3	15.9	18.7	1.1	718.5	717.4	717.6	96	52	100	W 0	SSE 1	WNW 2	9	6	10●	31.0	⌇ ● 19¼-21, ● 21½-23¾
12	14.6	16.3	15.3	15.4	−2.2	717.2	716.5	715.9	100	82	90	WNW 0	SE 0	W 1	10●	9●	10●	10.4	● 2¾-3½, 6-21¾ zeitw.
13	13.8	14.7	14.2	14.2	−3.3	714.0	714.2	714.6	96	97	100	SSW 3	SW 3	WSW 1	10●	10●	10●	38.0	●° 3¾-7½, ● 7½-n
14	14.6	16.5	14.7	15.3	−2.1	714.7	715.9	716.5	94	75	88	SSW 1	SSW 2	WNW 1	10	10	9	0.0	● n-3½, 4-5, ●° 11
15	12.5	20.4	17.3	16.7	−0.6	717.2	717.4	718.7	100	48	76	NE 0	NNW 2	NE 1	3	8	10	.	
16	15.3	22.2	17.2	18.2	1.0	718.9	718.4	718.5	99	50	92	N 0	NW 0	NW 1	9	3	3	.	
17	19.1	22.5	16.6	19.4	2.2	717.7	717.8	719.5	63	54	73	WSW 2	WNW 3	NW 1	7	8	2	.	
18	14.7	21.6	15.4	17.2	0.1	721.2	720.1	719.1	70	45	93	WSW 1	WNW 1	N 1	5	3	0	.	
19	13.1	27.2	19.5	19.9	2.9	717.5	715.9	715.1	100	42	72	NNW 0	SSW 1	SE 1	0	1	0	0.1	△ fr.
20	18.7	25.6	17.7	20.7	3.8	716.3	715.3	715.9	97	54	100	SW 0	NNW 1	W 1	7	9	10●	**40.7**	⌇ ● ⚡ 17-18, ● 20-n
21	15.7	14.2	13.0	14.3	−2.5	715.7	720.0	722.4	100	94	91	WNW 1	WNW 2	SSW 1	10●	10●	10●	11.3	● n-16¾, ●° 21½-22
22	10.8	19.4	13.9	14.7	−2.1	**723.0**	722.3	722.0	100	40	62	ESE 1	S 2	WNW 1	2	4	10	0.0	●°sch. 17½
23	12.2	12.3	9.6	11.4	−5.3	721.8	722.1	722.8	65	91	96	WNW 0	NE 1	ESE 0	10●	6	1	9.3	● 7¼-9¼, 12-15¾ m.U., [▲ 13-13½
24	**8.7**	19.6	10.8	13.0	−3.6	721.6	720.5	720.4	99	44	73	ENE 1	E 2	ENE 1	3	2	0	.	
25	8.8	20.2	12.6	13.9	−2.6	719.5	718.8	719.5	100	38	93	N 0	E 2	NNW 0	0	1	1	.	△ fr.
26	10.9	20.9	15.4	15.7	−0.7	719.2	719.2	720.6	100	43	68	NNW 0	WNW 1	WNW 2	3	5	10	.	△ fr.
27	13.6	18.3	15.4	15.8	−0.5	720.0	719.7	719.3	87	61	86	N 0	NE 1	SE 0	9	9	10	.	
28	14.0	18.2	15.3	15.8	−0.4	717.3	716.3	714.7	99	71	96	N 1	N 2	NNW 0	10	9	10	0.0	
29	15.0	20.1	15.1	16.7	0.5	712.2	**710.7**	711.0	93	59	88	SSW 0	NNW 1	ESE 0	10	4	7	0.1	●° 23¾-24¼
30	14.7	20.6	15.0	16.8	0.7	712.3	712.4	714.0	90	63	90	SW 1	NW 2	WNW 1	10	4	10●	6.5	● 18-n
31	12.4	13.0	11.5	12.3	−3.7	715.0	716.8	718.5	100	96	100	NW 2	WNW 1	NW 1	10●	10	10●	8.6	● n-n m.U.
																		Summe	
Mittel	15.1	21.6	16.3	17.7	—	718.3	718.0	718.4	92	58	87				6.2	5.5	6.4	171.0	

$\lambda = 8^{\circ}\,30'$, $\beta = 47^{\circ}\,3'$.
$H_b = 1787.3^{m}$, $G = -0.20\ ^{m}/_{m}$.

Rigi-Kulm

August 1938.
Beobachter: *J. Steiner.*

Tag	7³⁰	13³⁰	21³⁰	Mittel	Abweich. vom Normalst	7³⁰	13³⁰	21³⁰	7³⁰	13³⁰	21³⁰	7³⁰	13³⁰	21³⁰	7³⁰	13³⁰	21³⁰	Niederschlag	Witterung
1	14.4	15.4	12.6	14.1	4.0	620.6	620.9	619.7	63	84	75	NE 1	N 1	NE 1	1	3	7	.	
2	12.3	17.0	12.0	13.8	3.7	619.1	619.9	621.5	65	78	73	ESE 1	NNW 1	W 0	0	2	0	.	
3	13.2	15.4	13.2	13.9	3.8	619.2	619.4	619.7	72	63	68	ESE 1	SW 1	NE 1	1	2	1	.	
4	15.4	16.6	15.5	15.8	5.7	619.5	620.3	619.9	54	73	69	SW 1	W 1	NE 1	0	0	1	3.8	
5	14.5	**20.0**	15.2	16.6	6.6	**621.7**	620.1	619.7	82	44	64	WSW 1	ESE 1	NE 1	9	1	1	.	⌇ ● 7-7½
6	16.3	17.2	12.5	15.3	5.3	618.6	617.8	617.7	54	71	64	ESE 1	SW 1	SW 2	1	6	8	.	
7	10.6	14.0	11.5	12.0	2.0	616.0	616.6	616.5	74	70	76	NW 1	SW 1	SW 1	1	5	9	2.5	
8	10.2	12.4	9.2	10.6	0.6	616.3	616.5	616.9	82	74	84	SE 1	SW 1	NE 1	10≡	10●	8	1.3	●° 13½, 17, ≡ I
9	10.0	14.7	8.6	11.1	1.2	615.6	615.8	616.0	72	71	68	E 1	SW 1	SW 2	3	5	10	6.4	⌇ ● 20½
10	8.3	10.8	8.8	9.3	−0.6	616.3	616.6	616.9	72	83	88	WSW 1	NW 1	NE 1	10≡	10≡	8	0.9	● 17½-18, ≡ I, II
11	10.8	14.7	7.0	10.8	0.9	616.0	616.0	614.6	68	56	92	ENE 1	SW 0	SW 2	3	9	10	16.6	⌇ ● 19½
12	6.4	7.2	5.8	6.5	−3.3	614.4	614.3	613.5	90	92	92	SW 1	WNW 1	W 1-2	10≡	10	10●	17.2	● 20-n, ≡ I
13	5.4	6.0	5.2	5.5	−4.3	611.6	611.8	612.0	90	92	92	SW 2	SW 2	SW 2-3	10●	10●	10●	**70.8**	●sch. n-n zeitw.
14	6.0	5.7	5.5	5.7	−4.0	612.2	613.5	613.9	90	92	92	W 2	W 1	W 1	10≡	10≡	10≡	0.9	●° a zeitw., ≡ n-n
15	6.2	8.0	7.1	7.1	−2.6	613.9	614.9	615.8	76	86	84	SW 0	NE 1	N 1	2	10≡	10≡	.	≡ a-n
16	7.4	12.7	9.3	9.8	0.2	616.0	616.6	617.0	87	78	74	ENE 1	SW 1	W 1	1	10≡	3	.	≡ II
17	8.6	10.8	8.3	9.2	−0.3	616.1	616.5	616.9	84	84	90	WSW 2	W 2	W 1	2	10	10≡	0.3	≡ III
18	3.7	11.0	9.7	8.1	−1.4	617.2	617.7	617.2	90	75	78	WNW 1	SW 1	W 1	9	1	0	.	
19	13.7	18.7	17.0	16.5	7.1	616.2	616.2	616.1	**32**	93	45	WSW 2	SW 1	W 1	0	1	1	0.1	
20	14.4	14.5	11.2	13.4	4.1	616.0	615.2	614.4	62	86	98	S 1	E 1	W 1	3	10≡	10●	29.4	● 20-n, ≡ II
21	9.6	4.0	3.5	5.7	−3.6	613.9	614.9	617.4	88	90	90	WSW 1	W 1	W 1	10●	10●	10●	69.0	● n-n
22	2.0	6.6	4.6	4.4	−4.8	618.0	619.6	618.0	93	70	85	NW 1	SW 1	SSW 1	3	5	6	6.5	
23	2.2	3.8	3.6	3.2	−5.9	617.8	617.3	618.7	87	95	64	W 1	NW 2	N 1	10●	8	3	12.6	● I
24	3.4	6.8	3.4	4.5	−4.6	616.0	616.5	616.6	59	84	90	E 1	NE 1	E 1	0	3	0	.	
25	3.8	8.8	5.2	5.9	−3.1	615.1	615.5	616.4	65	66	73	E 1	S 1	S 0	0	2	0	.	
26	6.0	7.6	5.0	6.2	−2.7	615.5	616.4	617.0	80	78	93	SW 0	NW 1	NW 1	0	10	10●	0.6	● III
27	5.4	7.5	6.8	6.6	−2.2	616.0	616.3	616.2	83	86	90	NE 1	NE 0	NE 2	10	8	10●	0.3	● III
28	6.0	13.0	7.6	8.9	0.1	614.0	614.0	613.2	97	56	85	E 2	E 1	NW 0	10	10	10	.	
29	6.4	9.0	8.2	7.9	−0.8	609.9	609.6	**609.2**	90	85	86	NE 0	NW 1	ESE 1	10≡	10≡	8	9.2	≡ I, II
30	6.4	8.8	6.8	7.3	−1.3	611.2	611.0	611.2	90	83	90	W 1	SW 0	SW 1	10≡	10≡	10●	55.0	≡ I, II, ● III
31	4.4	4.4	3.4	4.1	−4.4	612.5	613.1	613.7	90	97	93	SW 1	WNW 1	SW 1	10●	10●	10●	32.0	● n-n
																		Summe	
Mittel	8.5	11.1	8.5	9.4	—	615.9	616.2	616.2	77	79	81				5.1	6.8	6.6	335.4	

August 1938.
Beobachter: *P. Nogler.*

Bevers

$\lambda = 9^\circ 53'$, $\beta = 46^\circ 33'$.
H_b = ca. 1710^m, $G = -0.23$ m/m.

Tag	Lufttemperatur 7³⁰	13³⁰	21³⁰	Mittel	Abweich. vom Normalst.	Luftdruck 7³⁰	13³⁰	21³⁰	Relative Feuchtigkeit 7³⁰	13³⁰	21³⁰	Windrichtung und Stärke 7³⁰	13³⁰	21³⁰	Bewölkung 7³⁰	13³⁰	21³⁰	Niederschlag	Witterung
1	11.8	21.6	13.8	15.7	4.1	626.0	625.3	626.1	72	35	87	W 0	W 2	NW 0	5	7	9	0.0	●tr. 19¾
2	9.8	17.2	12.1	13.0	1.5	625.5	624.6	625.4	96	61	89	SW 1	SSW 2	SW 0	10	8	6	.	≡ a
3	12.8	21.0	13.2	15.7	4.2	625.1	624.6	625.9	80	41	90	WSW 1	W 1	W 0	7	8	7	.	
4	11.4	**23.6**	12.2	15.7	4.3	626.6	625.4	**627.3**	86	41	100	SW 1	S 2	SW 0	1	7	10	3.7	● 17½–19
5	9.2	21.8	12.7	14.6	3.2	627.1	625.8	625.7	84	38	85	W 0	SW 1	SW 1	5	5	2	.	
6	13.0	22.0	13.0	16.0	4.6	625.3	624.5	623.7	70	76	87	SW 0	S 0	SW 0	5	3	6	.	
7	13.8	14.8	10.1	12.9	1.6	622.4	623.4	622.5	74	57	85	W 0	SW 2–3	S 1	2	10	4	.	
8	11.0	12.2	10.8	11.3	0.0	621.9	622.1	622.7	81	81	100	SSW 1	SW 2–3	S 0	6	10	10●	6.3	●² 15–19, ● III
9	12.2	16.3	10.3	12.9	1.7	622.1	622.1	622.4	75	97	100	S 0	SW 1	SW 0	10●	10●	10	2.3	●° n–n
10	10.6	14.6	10.6	11.9	0.7	622.0	621.9	623.0	95	67	100	W 0	S 2	WSW 0	10	10●	10	0.0	● II
11	10.1	16.4	9.4	12.0	0.9	622.7	622.0	621.5	86	91	92	S 0	S 0	S 0	10	10	10●	**32.6**	● 16–n
12	7.4	14.3	7.2	9.6	−1.5	620.8	619.3	619.0	96	70	97	N 0	WNW 0	N 0	10●	10●	10	16.2	● n–9, 15–20
13	9.2	12.0	8.4	9.9	−1.1	617.6	617.0	618.0	74	73	85	SW 0	W 0	N 0	10●	10●	10	5.6	● n–n m.U.
14	8.0	11.0	9.1	9.4	−1.5	617.3	618.4	619.2	99	64	85	N 1	NW 0	N 0	10	10●	10	2.0	●sch. n–n zeitw.
15	8.8	15.6	10.0	11.5	0.6	619.5	619.5	621.1	85	46	78	N 0	NW 2	W 0	10	3	2	.	
16	7.2	17.4	9.8	11.5	0.7	622.3	621.5	622.9	91	46	89	N 0	SW 3	SW 1	3	4	2	.	
17	12.2	17.3	10.2	13.2	2.5	622.4	622.2	622.1	75	66	93	W 0	SW 1	SW 0	4	5	0	.	
18	12.2	17.2	9.2	12.9	2.2	622.8	622.9	623.3	69	**30**	77	SW 1	SW 2	SSW 1	0	2	0	.	
19	9.4	20.2	11.0	13.5	2.9	623.6	622.6	623.9	84	50	95	NW 0	SW 1	W 1	0	0	0	.	
20	13.4	19.3	13.8	15.5	5.0	623.5	621.7	621.4	83	61	95	WSW 0	SW 2	SW 0	7	3	10●	9.6	● 16–19 zeitw, ●² 20–n
21	11.5	11.0	6.1	9.5	−0.9	620.3	620.4	622.9	95	84	96	WSW 0	W 2–3	SW 1	10●	10■	10	18.3	● n–16
22	7.2	10.1	4.0	7.1	−3.3	622.8	623.0	623.4	76	47	81	N 0	SW 3	N 0	6	4	0	5.0	
23	7.5	8.0	3.1	6.2	−4.1	622.8	622.2	623.4	77	63	30	N 1	N 0–1	N 0	6●	10●	0	2.1	● 6–16 zeitw.
24	**0.0**	12.0	4.2	5.4	−4.8	622.5	621.0	621.8	97	31	61	NW 0	NW 2	N 1	0	0	0	.	⊔ fr.
25	0.8	15.4	8.2	8.1	−2.0	620.9	620.1	621.7	85	**30**	60	S 0	SW 2	NW 2	0	0	0	.	⊔ fr.
26	3.1	17.5	10.8	10.5	0.5	621.7	620.3	622.1	100	46	72	W 0	SW 2	NW 2	0	3	0	1.1	● 5, ⊔ fr.
27	9.4	16.0	8.6	11.3	1.4	622.2	621.2	621.7	89	52	100	S 0	SW 1	W 0	10	6	0	1.7	●sch. a
28	9.3	14.7	8.5	10.8	1.0	620.4	618.8	618.4	86	47	96	SW 0	NE 2	NE 1	10	9	3	0.4	● n–11, 16½–18½
29	8.1	15.3	8.4	10.6	0.9	616.1	**615.1**	615.5	98	50	95	NW 0	WSW 0	W 0	10	7■	10	0.2	●° p–18
30	8.6	13.2	9.6	10.5	0.9	616.1	616.5	616.9	89	94	96	W 1	SW 0	W 0	6	10●	10●	3.6	● p–n
31	8.5	10.3	7.5	8.8	−0.7	616.5	617.4	619.0	93	93	91	NE 1	W 1	N 1	10●	10●	10●	1.9	● n–n
Mittel	9.3	15.8	9.5	11.5	—	621.9	621.4	622.1	85	59	87				6.2	6.6	5.5	Summe 112.6	

August 1938.
Beobachter: *Kapuzinerkloster.*

Sitten

$\lambda = 7^\circ 21'$, $\beta = 46^\circ 14'$,
$H_b = 548.6^m$, $G = -0.11$ m/m.

Tag	7³⁰	13³⁰	21³⁰	Mittel	Abweich. vom Normalst.	7³⁰	13³⁰	21³⁰	7³⁰	13³⁰	21³⁰	7³⁰	13³⁰	21³⁰	7³⁰	13³⁰	21³⁰	Niederschlag	Witterung
1	21.6	29.0	23.3	24.6	5.3	714.3	711.6	712.3	64	48	56	NE 1	W 1	W 1	1	1	0	.	
2	19.8	28.1	25.0	24.3	5.1	713.5	711.2	711.8	72	52	50	NE 0	W 2	W 3	0	4	2	.	●tr. (18)
3	19.6	28.6	23.2	23.8	4.6	713.7	710.7	711.3	69	47	60	NE 0	W 2	W 1	1	2	0	.	
4	19.7	**30.0**	25.3	25.0	5.9	713.6	711.3	711.5	70	43	55	NE 0	W 2	W 0	0	2	8	.	
5	20.1	29.5	24.5	24.7	5.6	714.6	711.4	711.4	68	45	52	NE 0	W 2	W 0	0	1	4	.	
6	20.0	27.5	18.8	22.1	3.1	712.0	709.0	712.5	60	49	68	W 2	W 2	W 3	3	5	10	3.6	T (13½, 14½)
7	18.4	22.0	20.1	20.2	1.2	711.1	709.9	711.0	72	64	67	E 1	W 1	W 1	9	6	9	1.3	T (18¼)
8	17.7	25.5	20.1	21.1	2.2	711.3	709.1	710.8	86	48	59	W 0	W 2	W 1	8	5	4	.	
9	18.4	25.6	16.4	20.1	1.3	711.3	707.9	712.5	69	46	89	NE 1	W 2	N 1	3	3	10	5.4	● seit 19½
10	16.3	23.3	18.4	19.3	0.5	712.7	710.3	710.7	77	57	57	NE 0	W 1	W 1	4	4	1	.	
11	17.0	24.3	17.7	19.7	1.0	711.5	709.4	710.4	75	53	77	NE 1	W 1	W 1	2	4	9■	5.5	● 19½–n
12	17.4	22.0	17.4	18.9	0.3	710.8	708.9	715.4	80	57	67	W 1	W 3	W 0	10	7	9	0.5	● (a), p m.U.
13	16.4	18.2	16.0	16.9	−1.7	709.6	709.8	710.0	74	75	77	NW 1	W 2	W 1	10	10●	10	3.2	● II
14	14.8	17.7	16.8	16.4	−2.1	710.3	709.9	710.3	88	67	67	W 1	W 2	W 2	10	10	8	0.3	
15	13.3	20.1	17.8	17.1	−1.3	710.4	709.6	711.6	85	55	64	NE 0	W 2	W 2	7	7	10	.	
16	15.3	23.1	18.4	18.9	0.6	712.5	710.6	711.6	77	52	58	NE 1	W 2	W 2	0	0	0	.	
17	16.4	24.5	20.1	20.3	2.0	712.1	711.3	711.4	75	55	60	NE 1	W 2	W 3	0	4	3	.	
18	17.4	22.4	17.2	19.0	0.8	712.6	711.7	712.2	63	48	64	WNW 3	W 3	W 3	0	1	1	.	
19	15.6	27.0	22.7	21.8	3.7	711.9	708.7	708.2	70	43	60	NE 1	W 2	W 2	0	2	4	0.7	
20	19.2	25.2	18.2	20.9	2.9	711.4	707.3	709.8	78	61	97	NE 0	W 1	W 1	5	8	10	**19.6**	K ● (3), ● 18¼–20, n m.U.
21	18.8	17.0	15.1	17.0	−1.0	708.9	711.4	713.9	79	69	62	NW 0	W 3	W 3	8	10●	4	2.5	● II
22	14.4	20.3	15.7	16.8	−1.1	**715.8**	713.9	714.4	61	**40**	54	NW 1	W 3	W 1	1	4	2	.	
23	15.2	21.8	15.3	17.4	−0.4	714.1	712.5	713.4	58	**40**	56	W 1	W 3	W 0	8	7	0	.	
24	**11.1**	19.5	15.5	15.4	−2.3	714.2	711.9	711.8	67	53	62	ENE 1	W 3	W 1	0	0	0	.	
25	11.5	19.8	15.5	15.6	−2.0	711.5	710.2	711.6	75	54	56	NE 0	W 2	W 1	0	0	0	.	
26	13.3	20.6	16.6	16.8	−0.8	712.8	710.9	712.3	72	55	60	NE 0	W 1–2	W 1	2	8	4	.	
27	14.3	20.8	15.0	16.7	−0.8	712.9	710.9	712.0	77	51	91	NE 0	W 2	W 1	7	2	10●	16.4	● III
28	15.0	19.6	15.6	16.7	−0.7	711.5	709.0	708.0	67	50	82	W 1	W 1	W 1	5	6	6	0.0	
29	14.3	19.8	16.6	16.9	−0.4	705.6	**703.3**	704.2	82	58	64	NE 1	W 2	W 1	7	6	4	4.4	
30	14.2	20.0	16.0	16.7	−0.5	706.1	705.5	707.7	92	57	83	ENE 1	W 2–3	W 1	10	8	10■	8.3	● (0), III
31	12.8	17.1	13.8	14.6	−2.5	706.8	709.8	710.5	87	57	75	NW 1	W 3	W 2	9	7	9	.	
Mittel	16.4	22.9	18.3	19.2	—	711.7	710.0	711.2	74	53	66				4.2	4.6	5.2	Summe 71.7	

λ = 8° 57′, β = 46° 0′,
H_b = 276.2 m, G = −0.01 m/m.

Lugano

August 1938.
Beobachter: *G. Vicari.*

Tag	Lufttemperatur 7³⁰	13³⁰	21³⁰	Mittel	Abweich. vom Normalst	Luftdruck 7³⁰	13³⁰	21³⁰	Relative Feuchtigkeit 7³⁰	13³⁰	21³⁰	Windrichtung und Stärke 7³⁰	13³⁰	21³⁰	Bewölkung 7³⁰	13³⁰	21³⁰	Niederschlag	Witterung
1	21.2	28.6	23.6	24.5	3.1	739.3	739.0	739.2	83	56	73	N 1	SSE 1	N 1	4	3	10	4.4	K ● 23
2	20.2	26.8	21.6	22.9	1.5	**740.2**	739.3	739.6	76	50	78	NNE 1	SSE 1	N 1	10	4	8	0.7	●° p m.U.
3	20.0	28.0	23.4	23.8	2.5	739.2	738.7	739.0	79	54	71	NNE 1	S 1	N 1	0	4	0	.	
4	20.6	29.8	23.0	24.5	3.2	**740.2**	739.1	740.0	78	53	63	N 1	S 1	N 1	7	4	0	.	
5	20.2	29.4	23.0	24.2	3.0	740.1	739.0	738.2	73	48	64	N 1	S 0	N 1	0	0	3		
6	20.8	**30.4**	20.4	23.9	2.7	738.5	736.7	737.0	74	48	68	N 1	SE 1	NNE 1	0	0	3	5.1	K ● 18³/₄–n zeitw.
7	17.2	25.8	20.6	21.2	0.1	736.0	735.5	735.2	88	42	63	NNW 1	N 2	N 1	10	5	3	1.2	K ● n–a zeitw.
8	19.4	19.8	16.8	18.7	−2.3	735.1	734.4	735.3	76	75	81	W 1	W 1	NNE 1	10	10	7	10.8	● 8–13, K 8
9	18.4	27.2	16.2	20.6	−0.4	736.5	735.2	736.8	78	48	88	W 0	E 1	N 1	4	3	3	42.7	● 14–17, K 14–15
10	16.4	26.2	20.0	20.9	0.0	737.0	735.9	736.7	74	48	81	NNW 1	N 1	S 1	4	2	10	7.2	
11	17.4	20.8	16.2	18.1	−2.7	737.6	737.1	736.3	79	74	92	W 1	S 0	S 1	7	8	10●	16.2	K ● n, 17¹/₂–n, ●°sch. a ztw.
12	16.8	22.8	18.0	19.2	−1.6	734.7	733.1	732.3	86	56	65	N 1	SSE 1	SW 1	7	6	2	.	K ● fr.
13	15.6	23.6	16.6	18.6	−2.1	731.3	730.3	729.9	71	46	65	N 1	S 1	N 1	5	10	9	.	
14	18.6	25.8	20.6	21.7	1.1	730.2	730.0	730.9	56	53	39	W 1	W 0	NNE 2	10	2	0	.	
15	15.0	26.6	18.2	19.9	−0.6	732.5	732.7	734.1	68	52	73	N 1	SE 1	N 1	0	3	0	.	
16	15.6	27.2	19.6	20.8	0.3	736.2	736.5	736.1	77	48	73	N 1	SE 1	N 1	0	0	0	.	
17	17.2	26.8	18.4	20.8	0.4	737.6	736.0	735.5	84	50	77	N 0	S 1	N 1	4	5	0	.	
18	15.8	28.4	19.0	21.1	0.8	735.5	735.0	736.9	84	36	64	N 1	S 1	N 1	0	4	0	.	
19	19.0	24.0	21.0	21.3	1.1	738.3	738.2	737.4	80	66	79	N 1	S 1	N 1	10	8	0	.	
20	18.8	27.6	20.6	22.3	2.2	737.8	736.3	735.1	86	54	92	N 0	S 1	N 1	1	7	10	92.6	● 20–21, K 20–n
21	17.8	20.4	16.6	18.3	−1.8	734.6	736.0	735.5	97	92	81	N 1	S 1	SSW 1	10●	8	5	**109.7**	● n–15¹/₂ m U.
22	17.8	24.0	19.4	20.4	0.4	736.3	736.6	737.0	32	**26**	34	NNE 2	N 2	NNE 2	0	0	0	.	
23	13.2	24.4	17.4	18.3	−1.6	737.7	735.9	737.7	72	43	38	N 1	SE 1	NE 2	0	0	0	.	
24	**10.8**	22.8	15.4	16.3	−3.5	738.5	736.6	736.3	63	40	68	N 1	S 1	N 1	0	0	0	.	
25	11.0	24.8	16.8	17.5	−2.2	734.3	733.2	735.0	66	43	76	N 1	S 0	NE 1	0	0	0	.	
26	14.4	24.4	17.2	18.7	−0.9	736.3	735.6	736.4	78	58	73	N 1	S 1	N 1	0	7	0	.	
27	16.2	18.6	15.6	16.8	−2.7	737.4	736.8	736.8	83	88	88	N 0	NNW 0	N 1	10	10●	10●	22.0	● 13–14, 20–n, K 13, 20
28	14.8	19.4	16.4	16.9	−2.5	736.7	734.6	733.0	93	62	80	NW 0	E 0	N 1	10●	10	4	2.1	● n–9
29	15.6	18.4	15.8	16.6	−2.7	730.6	**729.9**	730.3	83	84	84	NW 0	E 0	NNW 1	8	10	2	1.2	●sch. 12¹/₂–14¹/₂ zeitw.
30	14.6	19.4	15.4	16.5	−2.7	731.0	730.9	731.1	82	83	89	NNW 0	NE 0	N 1	1	10●	6	0.5	●°sch. 13–14 zeitw.
31	15.0	23.4	17.8	18.7	−0.4	730.0	**729.9**	732.3	86	54	76	NW 0	N 1	WNW 1	10	10	8	.	
																		Summe	
Mittel	17.0	24.7	18.7	20.1	—	736.0	735.3	735.6	77	56	72				4.6	4.9	3.7	316.4	

λ = 7° 35′, β = 47° 33′,
H_b = 318 m, G = 0.11 m/m.

Basel

August 1938.
Beobachter: *Astronom.-Meteorol. Anstalt.*

1	21.2	28.6	20.0	23.3	—	737.1	736.8	737.2	80	57	91	E 0	NW 1	SE 1	3	2	0	.	
2	18.2	27.0	20.0	21.7	—	736.9	736.1	735.9	82	56	91	ENE 0	NNW 1	S 1	0	4	0	.	
3	19.0	29.0	21.2	23.1	—	736.1	735.0	734.9	79	55	86	E 1	W 1	SSW 1	0	1	0	.	
4	20.0	31.4	22.4	24.6	—	735.2	734.7	734.4	78	50	83	E 1	WNW 1	SE 0	0	1	2	.	
5	20.8	**32.2**	21.6	24.9	—	735.1	734.1	733.9	77	48	81	ESE 1	WNW 1	S 1	8	2	3	.	
6	22.0	29.0	17.3	22.8	—	733.3	733.0	734.0	76	50	97	E 1	WNW 1	ENE 1	3	2	10●	21.4	● 19–22¹/₄, K 17³/₄–20
7	18.4	24.8	18.3	20.5	—	733.1	732.9	733.3	82	69	90	SE 1	WNW 1	SSW 1	3	8	3	0.1	● 17–18
8	17.6	24.8	18.8	20.4	—	734.0	733.2	733.7	92	64	87	SE 0	WSW 1	ESE 1	8	9	9	.	
9	17.0	26.3	18.4	20.6	—	733.0	731.6	733.0	91	53	91	E 1	NNE 1	W 1	3	7	10	0.6	● 17³/₄–18¹/₄, 23¹/₂–24
0	17.2	23.2	16.8	19.1	—	734.0	733.8	734.1	92	67	92	SW 1	WNW 1	WSW 1	10	9	4	.	● 0³/₄–3¹/₄ m.U., 10
1	14.4	25.4	15.0	18.3	—	733.7	732.1	733.0	96	71	96	E 1	E 1	S 1	10	9	10●	11.8	● 14³/₄–22¹/₄ m.U.
2	14.8	17.9	16.1	16.3	—	732.7	732.2	731.3	94	85	84	ESE 0	S 1	SSW 1	9	10	10	14.0	● 11³/₄–12¹/₄
3	14.5	15.5	14.8	14.9	—	729.2	729.7	729.9	95	93	93	SW 1	W 1	SSW 1	10●	10●	10●	31.8	● 1³/₄–n m.U.
4	15.4	19.8	14.8	16.7	—	730.2	731.3	732.3	89	65	84	WSW 1	SSW 1	S 1	10	8	9	.	● n–4¹/₄ m.U.
5	13.0	21.4	16.0	16.8	—	732.6	732.9	733.9	83	53	87	E 1	WNW 1	SSW 1	1	4	8	.	
6	15.8	25.0	18.4	19.7	—	734.4	733.6	733.8	84	**45**	90	SE 1	WSW 1	S 1	0	2	9	.	
7	17.4	23.9	16.2	19.2	—	732.6	732.9	735.6	90	49	89	SSW 1	W 2	WSW 1	9	4	10	0.4	● 14³/₄–15³/₄
8	15.8	22.8	14.6	17.7	—	736.5	735.5	734.5	85	47	89	S 1	WNW 1	SSW 1	2	2	0	.	
9	14.0	27.5	19.2	20.2	—	732.4	730.0	729.7	84	49	89	ESE 1	SE 1	S 1	0	1	0	2.2	
0	17.6	23.6	17.4	19.5	—	731.6	730.6	730.9	94	70	98	ENE 1	SE 1	SE 1	10	10	10●	**43.1**	● 4¹/₂–n m.U., K 4¹/₂–10 ztw.
1	16.2	13.8	10.4	13.5	—	731.2	735.2	737.9	95	94	93	WSW 1	WSW 1	SSE 1	9	10●	0	5.3	● n–6³/₄ m.U., 11¹/₄–14¹/₂, 17³/₄–19
2	9.8	19.0	13.2	14.0	—	**738.6**	737.9	737.7	98	47	83	E 1	WNW 1	SSW 1	8	4	9	.	● 8¹/₂–8³/₄
3	11.9	17.2	12.2	13.8	—	737.6	737.7	738.3	87	74	88	S 1	WSW 1	E 1	10●	9	4	0.2	● 11³/₄–12
4	**8.7**	19.2	11.8	13.2	—	737.4	736.2	736.0	93	59	90	NE 0	ESE 1	SSW 1	9	2	0	.	
5	9.0	20.0	12.6	13.9	—	735.4	734.6	735.2	89	51	87	E 1	NW 1	SSW 1	1	1	4	.	
6	12.0	20.1	13.0	15.0	—	735.1	735.1	736.3	89	57	98	SSE 1	NW 1	S 1	8	9	10	.	
7	12.0	19.5	14.5	15.3	—	735.8	735.1	735.2	89	63	93	SE 1	NNE 1	SSW 1	1	8	9	.	
8	13.3	18.0	15.4	15.6	—	733.4	732.1	730.3	99	77	100	NW 0	W 0	W 0	10≡	10	10	0.4	●° 5–8³/₄ m.U., ≡ 1
9	15.3	21.1	16.0	17.5	—	727.1	**725.9**	726.2	97	64	77	WNW 1	WNW 1	W 1	10	2	9	.	
0	14.7	19.4	14.0	16.0	—	727.5	727.9	729.7	91	72	95	ESE 1	WSW 1	WSW 1	10	10	10●	15.6	● 18¹/₄–22¹/₄
1	12.5	12.4	11.3	12.1	—	731.2	732.9	734.6	97	95	97	W 1	SSW 1	SSW 1	10●	10●	10●	6.0	● 1¹/₂–21³/₄ m.U.
																		Summe	
tel	15.5	22.5	16.2	18.1	—	733.7	733.3	733.8	89	63	90				6.0	5.8	6.2	152.9	

August 1938.
Beobachter: *Observatorium.*

Säntis

$\lambda = 9^\circ 20'$, $\beta = 47^\circ 15'$,
$H_b = 2500.1^m$, $G = -0.27$ m/m.

Tag	Lufttemperatur 7³⁰	13³⁰	21³⁰	Mittel	Abweich. vom Normalst	Luftdruck 7³⁰	13³⁰	21³⁰	Relative Feuchtigkeit 7³⁰	13³⁰	21³⁰	Windrichtung und Stärke 7³⁰	13³⁰	21³⁰	Bewölkung 7³⁰	13³⁰	21³⁰	Niederschlag	Witterung
1	8.5	11.2	6.3	8.7	3.3	570.0	**570.3**	570.2	67	71	70	NE 2	W 1	NNE 1	2	8	3	.	≡ 11½–21 m.U.
2	7.8	9.8	7.0	8.2	2.8	568.6	568.9	569.4	60	81	92	NE 1	S 1	SSW 0	1	10≡	1	.	≡ 11–19½ m.U.
3	8.2	10.5	9.2	9.3	3.9	568.5	569.0	569.7	63	76	65	N 1	SW 1	WSW0	1	10	0	.	≡ 11–17 m.U.
4	11.0	13.2	10.6	11.6	6.3	569.2	570.0	570.0	54	65	70	SW 2	W 2	SW 1	0	3	1	0.6	● n (4./5.)
5	9.8	14.6	10.6	11.7	6.4	570.0	570.2	569.8	98	50	63	WNW2	SW 1	WNW0	10≡	3	3	.	≡ 6½–9 [⊠ 13–1
6	13.0	**14.8**	8.4	12.1	6.8	568.9	568.2	567.4	55	58	75	SE 1	SSE 1	FSE 1	1	10	6	8.5	● 14¼–19¼ m.U., ≡ 13¾–14½
7	8.6	10.6	7.0	8.7	3.4	565.9	566.1	566.3	56	76	81	N 1	SSE 1	SSW 1	3	10≡	10●	16.8	● 14½–n m.U., ≡ 11½–17 m.U.
8	6.4	6.6	4.8	5.9	0.6	565.5	565.6	566.0	95	92	95	W 0	NNE 1	N 1	10≡	10≡●	10	3.7	● sch. 11¼–16 zeitw., ≡ n-20 m.U
9	6.7	9.8	5.4	7.3	2.1	565.3	565.4	565.7	72	67	80	E 1	W 1	WNW1	7	7	7	13.2	● 14¾–17½ m.U., ≡ 14¼–16
10	4.2	8.0	4.2	5.5	0.3	565.4	565.7	566.1	82	80	100	SW 1	NW 2	WNW1	10●	10	10	6.2	● n-8, 16¼-n m.U., ≡ 10-n m.U.
11	8.1	10.0	5.6	7.9	2.7	565.3	565.5	564.0	65	77	100	SW 1	SSW 1	SW 2	6	10	10≡	2.0	≡ 11¾-15 m.U., 20-n, ⊕ (10½)
12	2.4	3.0	2.2	2.5	−2.7	563.2	562.8	562.1	100	100	100	WNW2	WNW3	WNW3	10≡●	10≡	10≡●	22.1	● n-n m.U., △sch. 14¼, ≡ n-n
13	1.0	1.4	2.2	1.5	−3.6	559.7	559.6	560.2	100	100	100	WNW4	WNW4	WNW4	10≡●	10≡●	10≡●	**91.2**	● ≡ ⚡ n-n, ✳ zeitw.
14	2.6	1.8	1.6	2.0	−3.1	560.4	561.5	562.2	100	100	100	WNW3	WNW4	WNW3	10≡●	10≡●	10≡	18.7	◐ n-14, ≡ n-n
15	1.6	5.8	3.2	3.5	−1.6	562.6	563.9	564.9	79	80	100	NNW 2	WSW1	N 1	10	10≡	10≡	3.3	≡ 8½–9, 11-n m.U.
16	5.6	10.1	5.7	7.1	2.1	564.9	565.7	566.2	73	68	99	ESE 1	WSW2	WNW3	2	10	10≡	.	≡ 14-n m.U.
17	6.0	6.2	4.6	5.6	0.6	565.3	565.5	565.6	70	100	100	WNW3	SW 4	WNW3	6	10≡	10≡	6.9	● 15¾–16½, ≡ 8¼-n, ⚡ n-n
18	0.4	4.0	6.2	3.5	−1.4	565.2	566.3	566.6	100	65	62	WNW4	WSW2	WSW3	10≡	6	1	.	≡ n-13, ⊕ (16½)
19	8.8	12.6	11.4	10.9	6.0	565.7	566.5	566.9	43	43	58	WNW3	W 3	WSW3	1	1	1	.	
20	9.4	12.9	8.4	10.2	5.4	566.5	565.8	564.5	80	76	100	WSW2	S 2	WSW2	10	10	10≡	49.0	● 7½, 20–21, ≡ 20-n [n-n m.U.
21	4.6	3.6	−0.3	2.6	−2.2	563.3	564.1	565.6	95	100	100	W 3	NW 3	NW 2	10●	10≡●	10≡*	35.2	● n-16¼ m.U., ✳ 16¼-n m.U., ≡
22	−3.5	−1.2	−0.8	−1.8	−6.5	565.6	565.7	565.6	100	100	100	NW 1	W 1	NW 1	3	10	10≡	3.0	✳ 11½–12¼, ≡ 11½-n m.U. ⊠
23	−2.6	−2.2	−3.8	−2.9	−7.5	564.0	564.7	565.5	95	100	100	NW 1	NNE 1	NE 1	10≡	10≡*	3	12.4	✳ n, 8¼–15, ≡ n-20 ⊠
24	−1.4	0.6	−1.8	−0.9	−5.5	564.0	564.6	564.4	70	98	46	ENE 1	S 1	WNW2	1	10≡	3	.	≡ 12¾–17½ m.U. ⊠
25	0.6	5.0	3.2	2.9	−1.6	563.3	564.0	565.1	**33**	65	**33**	NW 2	WSW2	WSW1	2	2	0	.	⊠
26	5.2	7.1	2.8	5.0	0.6	564.1	564.9	565.6	66	77	99	ESE 1	SW 1	SSW 1	3	10≡	10≡	0.1	≡ 13¼-n
27	3.0	7.6	2.6	4.4	0.0	564.8	565.0	565.1	99	61	100	E 1	SW 1	NE 1	10≡	10≡	10≡	3.4	≡ n-n
28	4.2	7.8	3.8	5.3	1.0	563.1	563.0	561.9	89	74	97	ESE 2	SW 1	SE 1	9	10≡	10	.	
29	3.6	7.9	2.8	4.8	0.6	559.4	**558.8**	558.9	90	70	94	SSE 1	WSW2	S 1	9	10≡	2	0.9	
30	2.3	6.8	2.6	3.9	−0.2	559.1	560.0	560.3	100	75	100	WNW2	SW 1	W 2	10≡	10≡	10≡	24.9	
31	1.4	1.0	−0.1	0.8	−3.2	560.3	561.2	562.3	100	100	100	NW 1	NNW1	N 1	10≡●	10≡	10≡*	21.8	
Mittel	4.8	7.1	4.4	5.4	—	564.7	565.1	565.3	79	79	86				6.4	8.7	6.8	Summe 343.9	

August 1938.
Beobachter: Frl. *F. Lombardi.*

St. Gotthard (Hospiz)

$\lambda = 8^\circ 34'$, $\beta = 46^\circ 33'$,
$H_b = 2095.7^m$, $G = -0.25$ m/m.

Tag	Lufttemperatur 7³⁰	13³⁰	21³⁰	Mittel	Abweich. vom Normalst	Luftdruck 7³⁰	13³⁰	21³⁰	Relative Feuchtigkeit 7³⁰	13³⁰	21³⁰	Windrichtung und Stärke 7³⁰	13³⁰	21³⁰	Bewölkung 7³⁰	13³⁰	21³⁰	Niederschlag	Witterung
1	11.7	15.6	11.8	13.0	4.5	598.2	598.4	598.7	54	47	71	N 1	N 1	N 2	0	0	10≡	.	≡ 20-n
2	9.7	15.2	10.6	11.8	3.3	597.1	596.8	597.6	74	44	63	N 1	N 0	N 1	0	5	5		
3	10.4	16.8	12.2	13.1	4.6	597.1	597.0	597.8	61	**38**	53	N 1	N 1	N 1	0	5	0	.	
4	12.8	**17.2**	11.4	13.8	5.4	598.0	597.9	**598.8**	56	55	75	N 0	N 0	S 0	5	10	6	.	
5	16.7	**17.2**	13.0	15.6	7.2	598.5	**598.8**	598.2	70	46	80	N 0	S 0	N 0	0	8	4	.	●°sch. 13¼
6	13.4	16.8	9.8	13.3	4.9	596.1	597.5	596.4	51	51	70	N 0	N 0	N 0	2	8	8	3.6	● ⊠ 14-14¼, ●°sch. 21¾-23
7	11.0	9.8	10.0	10.3	1.9	594.3	594.9	594.4	48	68	71	N 0	S 1	N 1	6	10	10≡	4.8	● sch. 13–13¼, ≡ 19½-n
8	8.4	11.2	7.2	8.9	0.6	594.0	593.7	594.5	81	64	90	NE 1	N 1	N 2	10●	10	10≡	2.6	●°sch. zeitw., ≡ 18-n
9	8.2	14.2	8.6	10.3	2.0	594.0	594.0	594.3	74	58	81	N 1	N 0	N 0	5	5	10●	35.0	● ⊠ 17¼–17¾, ● 19¼-n
10	7.4	14.2	7.6	9.7	1.4	594.0	594.1	594.6	81	64	81	N 1	N 1	N 1	5	5	10	3.8	●° seit 15¼ zeitw.
11	9.3	11.0	7.2	9.2	1.0	593.9	594.0	593.3	65	75	100	N 0	S 0	S 1	8	6	10●≡	34.5	● 14½-n, ≡ 18-n
12	5.0	9.0	4.7	6.2	−2.0	592.1	590.9	591.4	84	64	81	N 1	N 1	N 1	5	8	8	4.2	● 10–11, 14–15¼
13	5.4	6.2	4.0	5.3	−2.8	589.5	589.5	589.7	80	78	90	N 0	N 1	N 1	8	10●	10●	10.4	● 9¼–11¼, 13½-n zeitw.
14	6.8	6.4	4.2	5.8	−2.3	589.1	590.3	591.9	81	73	91	N 2	N 2	N 2	10≡	7	10≡	.	≡ n-9, 16-n
15	3.8	9.8	5.6	6.4	−1.6	591.3	592.0	593.2	95	64	91	N 1	N 1	N 2	10≡	5	10≡	.	≡ n-10, 16-n
16	5.8	14.4	9.6	9.9	2.0	593.6	594.4	595.1	74	58	81	N 1	NE 1	S 0	2	5	5	.	
17	9.2	14.2	9.0	10.8	2.9	594.7	594.4	594.6	75	75	81	SE 1	SE 1	N 1	5	10	5	.	
18	4.6	10.8	8.8	8.1	0.3	594.1	594.1	595.4	91	49	63	N 1	N 2	N 1	10≡	0	0	.	≡ n-8¾
19	7.4	14.2	9.5	10.4	2.7	595.2	596.0	595.8	61	60	91	N 1	N 1	S 1	0	0	10≡	4.5	≡ 18-n
20	7.8	11.4	9.0	9.4	1.8	595.8	594.7	593.7	64	72	91	SE 1	SE 1	SE 1	8	8	10●≡	**36.9**	● ⊠ 5-5½, ● 18¼-n, ≡ 14¾-n
21	8.6	6.1	2.8	5.8	−1.8	592.0	592.3	593.6	80	81	80	SE 0	N 1	N 3	10●≡	10≡	10≡	19.5	● n-11, 16¼-20 zeitw., ≡ n-n
22	0.8	4.7	2.0	2.5	−5.0	593.7	594.6	594.7	100	62	78	N 2	N 2	N 2	8	3	5	1.7	
23	0.2	1.5	0.4	0.7	−6.7	593.6	593.6	594.3	100	97	98	N 3	N 2	N 3	10≡	10●*≡	10≡	3.4	● ✳ 10½–10¾, 13¼–14¼,
24	0.0	6.8	3.2	3.3	−4.0	593.2	593.2	593.5	81	47	89	N 2	N 2	N 2	0	0	0	.	[≡ n-n
25	1.2	8.4	5.0	4.9	−2.3	591.4	592.4	593.6	74	42	81	N 2	N 2	N 2	0	0	4	.	
26	5.4	9.3	5.2	6.6	−0.6	592.7	593.3	594.1	71	64	100	N 2	N 1	N 2	0	5	10●≡	1.5	●° 19-n zeitw., ≡ 17-n
27	5.6	10.4	5.2	7.1	0.0	593.7	593.7	593.7	82	83	84	N 0	N 0	S 1	5	5	10≡	24.6	● 14¼–15¾, ● ⊠ 22–23¾,
28	5.2	11.0	6.4	7.5	0.5	592.0	591.5	590.8	83	85	98	SE 0	S 0	N 1	8	5	5	0.8	●°sch. seit 14 ztw. [≡ 20-n
29	9.3	8.8	5.8	8.0	1.1	587.9	587.7	**587.5**	72	74	89	NE 0	SE 1	SE 0	3	10●	5	4.3	●sch. 13¼–17½
30	4.8	9.9	6.2	7.0	0.2	587.8	589.0	589.1	87	85	88	S 0	N 1	N 1	6	10	10≡	6.8	● 15¼–17½, ≡ 16¾-n
31	4.2	4.5	2.7	3.8	−2.9	588.5	589.7	591.0	83	85	100	N 2	N 1	N 2	10≡	10≡	10≡	1.8	●°sch. zeitw., ≡ n-n
Mittel	7.1	10.9	7.0	8.3	—	593.4	593.7	594.0	75	65	83				5.1	6.2	7.4	Summe 204.7	

$\lambda = 7° 26'$, $\beta = 46° 57'$,
$H_b = 572.2^m$, $G = 0.00^m/_m$.

Bern

September 1938.
Beobachter: *Tellur. Observatorium.*

Tag	Lufttemperatur 7³⁰	13³⁰	21³⁰	Mittel	Abweich. vom Normalst.	Luftdruck 7³⁰	13³⁰	21³⁰	Relative Feuchtigkeit 7³⁰	13³⁰	21³⁰	Windrichtung und Stärke 7³⁰	13³⁰	21³⁰	Bewölkung 7³⁰	13³⁰	21³⁰	Niederschlag	Witterung
1	10.4	15.0	11.8	12.4	−3.2	712.0	712.0	712.9	93	60	88	NE 0	NE 2	NE 0	9	5	1	.	
2	9.6	18.0	14.4	14.0	−1.5	712.9	712.8	713.2	90	50	84	E 0	SW 0	N 0	10	1	5	0.2	
3	12.6	12.4	12.8	12.6	−2.7	712.8	713.6	713.9	95	92	94	N 0	N 0	E 0	10	10	10	20.2	● 5³/₄–6, 8³/₄–n m.U.
4	12.2	14.4	12.4	13.0	−2.2	713.0	713.6	714.3	93	76	86	W 0	E 0	W 0	9	9	4	0.2	● n–3, 17–17¹/₄
5	9.8	14.6	10.6	11.7	−3.4	713.6	713.4	713.9	94	46	73	NW 0	NE 0	SW 0	7≡	8	8	.	≡ n–8¹/₂, △ fr.
6	9.5	13.0	11.0	11.2	−3.7	712.7	712.4	711.8	89	50	79	SE 0	W 1	W 1	10	9	10●	2.1	● 21¹/₄–24¹/₄, △ fr.
7	9.6	15.6	12.0	12.4	−2.4	710.5	709.3	708.8	88	47	77	S 0	NW 1	E 0	4	4	10	.	
8	11.0	17.8	14.5	14.4	−0.3	709.2	709.1	709.0	91	45	81	NE 0	NNE 2	NE 0	9	9	10	.	△ fr.
9	12.4	15.7	14.0	14.0	−0.5	708.4	709.2	708.9	86	71	86	NNE 1	NW 1	NW 0	6	10	10	1.4	
10	12.5	15.6	12.0	13.4	−1.0	**706.9**	709.8	712.7	92	59	83	W 1	W 1	SE 0	10	8	2	4.3	● 3¹/₄–3¹/₂, 4–5¹/₄, 8¹/₄–10³/₄
11	9.6	19.0	14.0	14.2	0.0	715.4	714.9	715.5	91	47	85	SE 0	ENE 0	SW 0	9	1	1	.	△ fr.
12	9.8	18.5	15.6	14.6	0.5	715.7	715.5	**716.2**	93	57	62	SE 0	NE 0	ENE 1	4≡	7	0	.	≡ a–7³/₄, △ fr.
13	10.4	19.0	14.5	14.6	0.7	716.0	715.9	714.9	89	58	86	SE 0	NE 1	SW 0	0	1	1	.	△ fr.
14	10.9	21.5	16.0	16.1	2.3	713.6	712.1	710.7	93	**48**	83	S 0	W 0	S 0	10■	0	2	.	≡ n–8¹/₄, △ fr.
15	13.0	14.0	11.0	12.7	−0.9	709.4	709.6	713.0	88	88	82	SW 0	SE 0	ENE 1	3	7	10	11.8	⊼ ● 13–13¹/₄, 18–18³/₄
16	8.2	13.0	9.4	10.2	−3.3	715.7	715.6	715.1	82	61	78	NE 1	NNE 2	N 0	9	1	0	.	
17	9.7	17.9	14.3	14.0	0.7	715.4	714.9	715.2	86	59	88	S 0	NE 1	S 0	9	0	0	.	
18	10.0	20.0	15.0	15.0	1.8	715.8	714.5	713.7	92	46	79	S 0	N 0	SW 0	1	1	7	.	△ fr.
19	12.4	19.2	13.0	14.9	1.9	713.0	711.5	712.0	89	56	89	SW 0	N 0	SW 0	8	9	10●	9.1	● 18–23³/₄ m.U., △ fr.
20	11.1	17.1	13.1	13.8	0.9	711.4	711.2	711.6	93	55	85	SE 0	N 0	SE 1	10≡	4	0	.	● 0¹/₂–1¹/₄ zeitw., ≡ n–a
21	10.0	19.6	14.3	14.6	1.9	711.7	711.3	712.9	89	44	89	SE 1	W 1	W 0	3	8	1	.	△ fr.
22	13.1	21.5	16.5	17.0	4.5	714.4	713.9	714.5	86	52	82	SE 0	NE 1	S 0	9	1	10	.	△ fr.
23	13.7	**21.6**	15.4	16.9	4.5	714.3	714.0	714.0	91	53	81	SE 0	W 1	SE 0	9	4	0	.	△ fr.
24	12.7	21.3	15.4	16.5	4.3	713.6	712.9	712.9	89	50	81	S 0	NE 0	SE 0	8	1	0	.	△ fr.
25	11.1	18.7	16.1	15.3	3.2	713.0	714.9	713.8	91	64	76	SE 0	W 1	SW 0	1	9	10	.	△ fr.
26	11.6	19.5	15.5	15.5	3.6	713.0	712.6	713.3	90	64	90	S 0	W 1	W 0	7	9	10	0.7	●sch. 17¹/₂–21
27	14.0	19.3	16.3	16.5	4.8	714.2	714.4	714.7	93	69	79	S 0	NE 0	SE 0	10≡	4	2	.	●sch. 1¹/₄, ≡ n–8¹/₄
28	14.0	21.0	17.0	17.3	5.8	713.9	712.5	711.6	88	46	86	S 0	NE 1	NE 0	8	3	10	0.0	● 19–19¹/₄
29	14.3	18.3	16.1	16.2	4.9	711.0	710.6	711.5	90	67	85	S 0	W 0	W 0	10	10	8	6.9	
30	15.0	16.5	14.3	15.3	4.2	712.0	712.0	712.5	98	83	91	W 0	NW 1	SE 0	10●	10	10	**26.5**	●° 1–4 zeitw., ● 4³/₄–22³/₄ [zeitw.
Mittel	11.5	17.6	13.9	14.3	—	712.8	712.7	713.0	90	59	83				7.4	5.4	5.4	Summe 83.4	

$\lambda = 6° 57'$, $\beta = 47° 0'$,
$H_b = 487.3^m$, $G = 0.02^m/_m$.

Neuchâtel

September 1938.
Beobachter: *Observatorium.*

Tag	7³⁰	13³⁰	21³⁰	Mittel	Abweich. vom Normalst.	7³⁰	13³⁰	21³⁰	7³⁰	13³⁰	21³⁰	7³⁰	13³⁰	21³⁰	7³⁰	13³⁰	21³⁰	Niederschlag	Witterung
1	11.5	17.9	13.4	14.3	−2.2	720.2	720.6	721.0	89	63	77	NE 1	NW 2	E 2	9	9	0	.	
2	12.2	19.5	15.6	15.8	−0.6	721.1	720.9	721.3	88	59	78	NE 1	SE 1	E 1	8	1	6	2.1	
3	13.8	13.1	12.9	13.3	−3.0	720.9	721.6	722.1	98	98	99	N 1	NE 1	E 1	10	10●	10	**20.7**	● n, 8–17
4	12.7	19.0	14.2	15.3	−0.9	721.2	721.3	722.1	98	64	56	NE 0	SE 1	N 3	10	5	9	.	
5	11.1	16.3	11.8	13.1	−3.0	721.9	721.6	721.6	87	**47**	63	NE 0	N 2	NW 3	8	2	4	0.5	● 19¹/₄–20¹/₄, n
6	10.7	13.4	11.6	11.9	−4.1	720.8	720.4	719.7	74	60	75	NW 1	NW 2	NW 1	10	10	10	0.7	● 11–11³/₄
7	10.2	14.9	12.3	12.5	−3.3	718.5	717.3	716.8	86	72	80	NE 0	SW 1	NE 0	10	10	10	0.1	
8	11.4	19.0	16.3	15.6	−0.1	717.2	717.0	716.9	90	55	73	NE 0	E 1	E 0	9	8	10	.	●tr. 10
9	14.2	16.1	13.5	14.6	−1.0	716.4	716.7	717.1	78	81	94	NE 1	SE 0	SW 1	9	10	10●	6.0	●tr. 13, 16¹/₂, 18, 20³/₄–n
10	13.0	13.6	11.7	12.8	−2.6	**715.2**	718.2	720.6	98	81	92	SW 0	SW 2	NW 0	10	10	1	19.4	● n–11
11	10.3	20.0	14.4	14.9	−0.4	723.6	723.2	723.4	97	64	85	NE 0	SE 0	NE 0	3	2	1	.	△ fr.
12	10.8	20.1	13.1	14.7	−0.5	724.0	723.6	**724.1**	98	65	79	NE 0	SE 0	NE 0	1	2	0	.	≡ 8–9¹/₂, ≡ fr.
13	13.4	21.6	15.7	16.9	1.9	724.0	723.7	722.9	89	59	85	NE 1	E 2	N 0	4	0	2	.	
14	12.3	21.1	15.7	16.4	0.5	721.6	720.2	718.6	99	70	87	NE 0	SE 1	SW 0	2	0	1	.	△ fr.
15	13.2	21.1	12.6	15.6	0.9	717.4	716.7	721.1	99	54	78	SW 0	NW 2	N 0	2	4	10	0.1	● 17¹/₄–17³/₄, △ fr.
16	9.6	15.7	11.3	12.2	−2.4	724.0	723.7	723.5	82	59	68	NE 3	E 3	E 3	10	1	0	.	
17	**8.5**	19.0	13.7	13.7	−0.7	723.6	722.9	723.0	92	58	89	NE 0	S 1	NE 0	1	0	0	.	
18	11.0	20.8	14.9	15.6	1.4	723.8	722.5	721.5	100	63	91	NE 0	S 1	N 0	10	1	0	.	≡ n–11
19	13.0	20.0	12.9	15.3	1.2	720.9	719.3	719.8	99	67	92	N 0	SE 1	W 1	10	7	10	11.2	● 19–n, ≡ n–11
20	12.3	17.6	12.5	14.1	0.2	719.5	719.3	719.5	99	64	94	NE 0	SE 1	N 0	10	8	0	.	
21	11.6	19.7	14.5	15.3	1.6	719.8	719.3	720.9	99	61	89	SE 0	SE 0	NW 0	8	8	0	.	△ fr.
22	13.7	22.3	16.6	17.5	3.9	722.5	721.8	722.3	98	66	88	SE 0	S 1	NE 0	10	1	0	.	
23	14.4	21.3	14.8	16.8	3.4	722.3	721.9	721.8	97	70	88	N 0	SE 0	N 0	9	1	0	.	
24	13.1	20.7	15.2	16.3	3.1	721.7	720.7	720.6	98	68	88	SE 0	S 1	NE 0	4	2	0	.	
25	12.8	18.7	15.3	15.6	2.6	721.0	721.0	721.5	100	75	95	NE 0	S 1	W 0	10	10	10	0.2	● 18–19, ≡ n–9¹/₂
26	13.5	19.3	14.4	15.7	2.9	720.9	720.8	721.4	98	75	97	E 0	SW 1	NW 0	9	10	8	1.9	● 14¹/₄–19 m.U.
27	14.5	21.3	15.8	17.2	4.6	722.4	722.4	722.5	98	74	85	NW 0	SE 1	NW 0	9	2	7	.	
28	15.0	**22.2**	17.8	18.3	5.9	721.9	720.3	719.5	93	58	86	NE 0	SW 1	NW 0	5	1	10	0.1	●tr. seit 19
29	15.3	17.8	16.1	16.4	4.2	718.9	718.6	719.4	96	85	95	N 0	S 0	S 0	10	10	10	2.7	●tr. 7¹/₂, 14³/₄, 23³/₄–n
30	15.5	17.3	15.0	15.9	3.9	719.8	719.8	720.2	99	88	97	SW 0	SW 1	NW 0	10	10	10	10.5	●° n–n zeitw.
Mittel	12.5	18.7	14.2	15.1	—	720.9	720.6	720.9	94	67	85				7.7	5.2	5.0	Summe 76.2	

September 1938.
Beobachter: Frl. *H. Nager.*

Altdorf

$\lambda = 8° 39'$, $\beta = 46° 53'$,
$H_b = 456.3^m$, $G = -0.05^m/_m$.

Tag	Lufttemperatur 7³⁰	13³⁰	21³⁰	Mittel	Abweich. vom Normalst	Luftdruck 7³⁰	13³⁰	21³⁰	Relative Feuchtigkeit 7³⁰	13³⁰	21³⁰	Windrichtung und Stärke 7³⁰	13³⁰	21³⁰	Bewölkung 7³⁰	13³⁰	21³⁰	Niederschlag	Witterung
1	13.4	15.5	12.8	13.9	−2.1	722.4	723.1	723.8	84	66	90	N 0	NWo-1	NE 0	10	10	0	.	
2	11.2	16.7	13.4	13.8	−2.1	723.7	723.6	724.4	88	63	88	SW 0	NWo-1	NE 0	1	1	6	.	
3	13.2	15.9	11.4	13.5	−2.3	723.7	723.8	724.7	90	84	85	SE 0	NW 0	NE 0	8	10●	7	12.8	● II
4	12.7	14.5	11.9	13.0	−2.7	723.2	723.9	725.2	96	79	93	E 0	NW 0	NW 0	10●	10	10	15.3	● I
5	10.7	15.1	10.0	11.9	−3.7	724.5	723.6	724.8	94	45	90	W 0	NW 0	NW 0	9	7	10●	10.1	● III
6	9.8	12.5	10.2	10.8	−4.7	723.4	723.1	722.7	90	68	90	NE 0	E 0	NE 0	10	10	10	1.2	
7	9.2	17.1	9.8	12.0	−3.4	721.3	719.2	720.1	94	41	89	E 0	NWo-1	SE 0	7	4	7	.	
8	14.1	20.0	17.9	17.3	2.0	719.5	719.2	719.9	90	**32**	94	E 0	SW 2	S 1-2	7	6	9	.	
9	18.8	21.8	15.8	18.8	3.6	719.9	718.4	718.8	35	**32**	75	S 2-3	S 2	NW 0	8	9	10	1.1	
10	14.8	18.4	11.9	15.0	−0.1	**717.3**	718.4	723.5	68	52	93	SE 1	NW 0	NW 0	8	9	7	2.0	
11	11.4	18.4	14.8	14.9	−0.1	725.8	725.5	727.3	94	56	90	N 0	NW 0	W 0	3	5	10	.	
12	11.2	19.1	13.7	14.7	−0.2	727.1	725.8	726.2	93	55	88	NW 0	NWo-1	W 0	2	4	10	.	
13	10.8	17.8	13.0	13.9	−0.8	726.2	726.5	725.6	94	68	92	NE 0	NW 0	NE 0	0	1	0	.	
14	13.0	20.2	15.4	16.2	1.6	724.3	722.3	721.1	94	55	90	NW 0	NW 0	NW 0	1	2	10	.	☾ 21¾
15	13.7	16.0	13.9	14.5	0.0	719.9	720.1	722.8	90	83	87	E 0	N 0	NWo-1	10	10●	10●	**28.3**	● a-n m.U.
16	11.8	14.8	9.8	12.1	−2.3	**726.9**	726.6	726.1	88	58	91	NW 0	NWo-1	E 0	10	4	0	.	
17	**8.6**	16.0	11.6	12.1	−0.1	726.5	725.4	726.0	88	56	93	W 0	NW 0	E 0	0	2	0	.	
18	9.3	19.0	13.3	13.9	−0.2	726.5	724.5	724.4	95	50	89	NW 0	NW 0	NE 0	0	1	0	.	
19	9.7	19.3	13.5	14.2	0.2	723.8	721.8	722.7	89	46	82	SE 0	W 0	NE 0	5	4	0	.	
20	11.1	18.5	11.9	13.8	0.0	722.0	721.2	722.6	90	54	86	SE 0	NWo-1	NW 0	7	4	3	.	
21	9.3	18.7	12.9	13.6	−0.1	722.2	721.8	723.5	93	49	90	W 0	NW 0	SE 0	0	2	0	.	
22	10.6	19.6	14.4	14.9	1.4	725.1	724.1	725.0	95	52	85	S 0	NW 0	NE 0	0	2	0	.	
23	10.6	20.0	13.3	14.6	1.3	725.0	724.0	725.0	93	46	70	S 0	NW 0	E 0	1	6	0	.	
24	13.4	19.6	14.0	15.7	2.5	724.1	723.2	723.9	90	63	94	SE 0	NW 0	NW 0	7	7	3	3.8	● 16
25	12.7	22.5	15.8	17.0	4.0	723.6	722.7	723.7	93	34	71	SW 0	SW 1	SE 0	2	7	4	.	
26	16.2	22.7	19.9	19.6	6.8	722.9	722.7	723.9	65	**32**	53	E 0-1	SE 2-3	S 3	7	5	7	.	
27	19.1	22.3	19.1	20.2	7.5	724.6	725.1	725.2	35	**32**	33	SE 2	S 2-3	S 2-3	4	6	0	.	
28	15.3	**23.4**	22.4	20.4	7.9	724.2	723.3	721.8	74	54	35	NW 0	SE 0-1	S 1-2	6	6	8	.	
29	15.9	20.4	16.7	17.7	5.4	721.1	720.4	721.8	90	62	90	NW 0	NW 0	NW 0	8	8	10	2.0	
30	15.4	17.5	15.7	16.2	4.1	722.4	722.3	723.0	95	84	95	NW 0	NW 0	NW 0	10●	10	10●	22.8	● 6¾-n zeitw.
																		Summe	
Mittel	12.6	18.4	14.0	15.0	—	723.4	722.9	723.6	86	55	83				5.4	5.7	5.4	99.4	

September 1938.
Beobachter: *Observatorium.*

Genf

$\lambda = 6° 9'$, $\beta = 46° 12'$,
$H_b = 405.0^m$, $G = -0.03^m/_m$.

Tag	Lufttemperatur 7³⁰	13³⁰	21³⁰	Mittel	Abweich. vom Normalst	Luftdruck 7³⁰	13³⁰	21³⁰	Relative Feuchtigkeit 7³⁰	13³⁰	21³⁰	Windrichtung und Stärke 7³⁰	13³⁰	21³⁰	Bewölkung 7³⁰	13³⁰	21³⁰	Niederschlag	Witterung
1	13.4	17.4	14.3	15.0	−1.9	726.9	727.4	727.7	86	61	64	E 0	NNE 1	E 0	9	1	0	.	
2	12.0	19.2	17.8	16.3	−0.5	728.3	727.6	727.8	87	59	72	NE 0	NNE 1	NE 0	9	3	9	10.0	
3	14.2	15.7	14.2	14.7	−2.0	728.4	728.6	728.8	98	90	87	E 0	SW 0	NE 0	10●	10	10	11.8	● n-n m.U.
4	13.6	18.3	15.2	15.7	−0.9	728.2	728.6	729.6	95	62	55	NE 0	NNE 1	E 0	9	1	2	.	
5	**9.4**	16.0	12.5	12.6	−3.9	729.0	728.7	729.1	86	47	59	E 1	NNE 1	E 0	4	6	3	.	
6	9.6	16.0	12.0	12.5	−3.9	728.5	727.6	727.2	84	77	64	E 0	NNE 1	E 0	9	9	9	0.1	●°sch. abds.
7	11.2	19.6	15.7	15.5	−0.8	725.8	724.1	723.6	84	**41**	61	E 0	SW 1	NE 1	9	3	9	.	
8	13.8	17.7	15.0	15.5	−0.6	723.7	724.2	723.6	82	66	87	NE 0	NE 0	NE 0	9	10	10	.	●tr. 18
9	13.4	16.4	13.2	14.3	−1.7	723.6	**723.2**	724.0	88	85	93	NE 0	NE 0	E 0	10	10	10●	**30.1**	●tr. 7¼, ● p-n
10	12.4	16.3	14.4	14.4	−1.5	723.7	725.6	727.5	100	69	82	E 0	NE 0	NE 0	10●	9	9	6.3	● n-10, ☾ 19
11	12.8	18.6	15.4	15.6	−0.2	730.4	730.0	730.2	96	64	67	SW 0	NNE 1	NE 0	9	1	1	.	
12	11.2	19.5	16.4	15.7	0.0	731.1	730.5	730.5	90	66	76	E 0	NNE 1	NNE 0	0	3	1	.	
13	11.7	19.4	16.0	15.7	0.2	**731.2**	731.1	730.2	92	68	79	W 0	NNE 1	NE 0	10	0	0	.	
14	11.4	19.6	17.5	16.2	0.8	728.8	727.1	725.4	97	72	87	E 0	NNE 1	NE 0	10≡	0	0	.	
15	13.8	17.6	15.5	15.6	0.3	724.9	725.0	727.1	91	71	83	E 0	NW 1	NE 1	2	10	1	0.8	☾ ● seit 13½, ●° n
16	11.8	15.2	14.8	13.9	−1.2	730.3	730.0	730.1	76	66	70	NNE 2	NE 1	NNE 1	9	0	9	.	
17	11.2	17.6	16.0	14.9	−0.1	730.6	730.0	730.2	85	65	83	NE 1	NNE 1	NE 0	1	0	6	.	
18	12.9	**22.2**	17.2	17.4	2.6	730.9	729.4	728.9	87	62	88	E 0	W 0	NE 0	1	1	1	.	
19	13.6	20.2	14.4	16.1	1.4	727.9	726.5	727.3	91	72	84	E 0	NNE 0	NE 0	10	10	10	1.9	● p-n
20	13.0	18.0	15.0	15.3	0.8	726.6	726.1	727.3	93	69	86	E 0	NNE 1	NE 0	9	2	6	.	
21	11.9	18.4	16.8	15.7	1.4	726.9	726.4	727.9	92	71	63	E 0	NNE 1	NE 0	2	8	0	.	
22	14.2	21.0	19.0	18.1	4.0	729.3	728.8	729.4	91	67	77	NE 0	NNE 1	E 0	7	0	9	.	
23	15.1	20.8	17.4	17.8	3.9	729.1	728.9	729.0	86	67	78	E 0	NNE 1	NE 0	9	0	0	.	
24	13.6	20.4	17.3	17.1	3.4	728.7	727.7	727.9	91	71	86	NE 0	NNE 1	NE 0	1	0	0	.	
25	13.2	19.0	16.6	16.3	0.8	728.1	728.3	728.8	93	73	92	E 0	NNE 0	NE 0	7	10	10●	0.3	● 15¼-n
26	15.2	18.1	16.2	16.5	3.2	728.0	728.0	728.9	94	91	96	NNE 0	ENE 0	NNE 0	10	10	10	1.6	●°sch. n-n
27	14.2	19.0	16.8	16.7	3.6	729.6	729.3	729.6	98	75	88	ENE 0	NNE 1	NE 0	10	6	0	.	●tr. 17
28	14.4	19.8	18.0	17.4	4.5	729.2	727.2	726.7	93	74	82	E 0	NNE 0	NE 0	1	8	10	.	●°sch. p
29	14.8	19.0	16.2	16.7	4.0	726.2	725.9	727.0	95	83	96	E 0	NNE 0	NNE 0	10	10●	10●	2.2	●° 6, 12¾-n
30	14.8	20.0	15.8	16.9	4.4	727.5	726.9	727.5	99	74	93	ENE 0	S 0	E 0	10≡	10	10●	29.8	● 17½-n, ≡ 7
																		Summe	
Mittel	12.9	18.5	15.7	15.7	—	728.1	727.6	728.0	91	69	79				7.2	5.0	5.5	94.9	

$\lambda = 8^{\circ}\,33'$, $\beta = 47^{\circ}\,23'$.
$Hb = 493.2^{m}$, $G = 0.03$ m/m.

Zürich

September 1938.
Beobachter: *Meteorol. Zentralanstalt.*

Tag	Lufttemperatur 7³⁰	13³⁰	21³⁰	Mittel	Abweich. vom Normalst.	Luftdruck 7³⁰	13³⁰	21³⁰	Relative Feuchtigkeit 7³⁰	13³⁰	21³⁰	Windrichtung und Stärke 7³⁰	13³⁰	21³⁰	Bewölkung 7³⁰	13³⁰	21³⁰	Niederschlag	Witterung
1	11.2	16.1	12.1	13.1	−2.8	719.6	720.2	720.4	100	62	91	NNW 0	N 1	NE 0	10	9	5	.	
2	10.8	16.1	13.1	13.3	−2.5	720.3	720.8	720.9	100	60	100	NW 1	WNW 2	N 0	10	4	10	0.1	
3	13.4	14.6	12.9	13.6	−2.1	720.5	720.6	721.2	100	98	100	SE 0	NW 2	E 1	10	10●	10	10.8	●° 6¼–7½, ● 12¾–23¼ m.U.
4	12.5	15.5	12.0	13.3	−2.3	720.1	720.4	721.5	100	77	100	NNW 1	WNW 1	SE 1	10	10	10	4.2	● 3¼–5¾, 14¾–24¼ zeitw.
5	10.6	16.8	9.9	12.4	−3.1	721.1	720.5	720.8	100	50	89	NW 0	SW 2	W 0	10	7	8	0.1	● 14¼
6	10.6	14.2	10.3	11.7	−3.7	719.8	719.4	718.9	80	62	87	WNW 0	NW 2	SE 1	10	9	10	1.9	
7	10.3	17.7	11.4	13.1	−2.1	717.7	716.4	716.5	98	45	77	SE 1	SW 2	NW 0	9	4	9	.	● 0¾–6¼ m.U.
8	10.6	20.0	15.7	15.4	0.3	716.6	716.5	716.5	99	52	70	ESE 0	ENE 2	NE 2	8	5	10	0.2	
9	13.8	17.3	15.0	15.4	0.4	716.4	716.5	715.9	87	72	90	NE 2	ENE 1	NW 1	9	10	10	1.5	●° 6¼–7
10	13.6	14.4	11.1	13.0	−1.8	**714.2**	717.1	720.0	99	76	100	NNE 1	WNW 1	S 1	10●	10	1	0.3	●° 4–8½, ●°sch. 10¼, 14¾
11	10.6	20.7	12.9	14.7	0.0	722.6	722.5	722.7	100	43	92	SE 0	NNW 1	NW 1	9≡	1	0	.	≡ n-9
12	12.7	20.5	13.5	15.6	1.0	723.2	722.9	723.7	95	46	93	WNW 0	WNW 1	NNW 1	10	3	0	.	
13	11.1	21.3	14.1	15.5	1.1	723.4	723.1	722.0	100	50	98	ESE 0	NE 1	NNE 0	0	5	0	.	
14	12.6	23.1	15.8	17.2	2.9	720.9	719.4	717.9	100	45	90	E 0	W 2	N 1	10≡	1	3	.	≡ a
15	14.7	19.1	10.2	14.7	0.5	716.4	716.2	721.2	98	64	86	N 0	SSE 1	N 2	5	7●	10	26.4	●² 10½–10¾, 15–19¾ m.U., [K 17–17¾
16	8.7	16.2	9.4	11.4	−3.6	**724.3**	723.7	723.1	80	48	78	NE 2	ENE 2	NE 1	9	3	0	.	
17	**7.8**	18.9	12.6	13.1	−0.8	723.3	722.3	722.4	83	50	95	WNW 0	SSW 2	ESE 1	10	1	0	.	
18	10.2	22.5	13.8	15.5	1.8	723.0	721.6	720.7	100	44	94	SE 1	NW 1	SE 1	10≡	1	0	.	≡ I
19	13.3	21.8	13.9	16.3	2.7	720.2	718.4	718.9	94	46	90	SSE 1	NW 0	NW 2	6	6	10●	5.4	K ● 21¼–22, ●° 22¾–23
20	13.3	20.4	12.7	15.5	2.1	718.6	718.2	718.9	96	43	93	WNW 1	NW 1	ESE 1	9	3	0	.	
21	9.5	23.1	13.8	15.5	2.3	718.9	718.4	719.9	100	40	95	ESE 0	SSE 0	N 0	2	3	0	.	
22	11.8	23.4	15.2	16.8	3.7	721.7	721.1	721.4	100	45	94	ESE 0	NNE 1	N 0	2	2	0	.	
23	13.7	22.1	15.4	17.1	4.2	721.6	721.0	721.2	99	52	96	NE 0	N 1	E 0	5	7	0	.	
24	14.2	23.3	14.6	17.4	4.7	721.0	719.8	720.2	100	48	97	E 1	WNW 1	SSE 1	10≡	2	5	1.9	●² 19½–20, ≡ n-9¾
25	12.0	23.2	16.3	17.2	4.7	720.5	719.7	720.7	100	46	94	ESE 0	WNW 1	NW 1	2	4	10	1.7	● 20½–21¼
26	13.4	22.0	16.3	17.2	4.9	720.4	719.6	720.4	100	50	93	NNE 1	NNE 1	NNW 1	10≡	3	8	.	≡ n-8½
27	14.2	23.8	14.8	17.6	5.5	721.7	721.6	721.6	100	**88**	84	S 0	NNE 1	NE 0	9	2	2	.	
28	14.5	**24.3**	16.5	18.4	6.5	721.2	719.5	718.6	90	44	77	ENE 1	N 1	E 1	8	5	9	.	△ fr.
29	14.3	21.5	17.4	17.7	6.0	718.1	717.4	718.3	99	57	88	NE 0	WNW 1	NNW 1	8	10	10	0.3	●°sch. 18¾
30	16.1	17.1	15.5	16.2	4.7	718.8	718.9	719.4	95	85	92	NNW 1	NW 2	NW 1	10●	10	10	**45.8**	●° 1¼–4½, ● 7¼–12¾
Mittel	12.2	19.7	13.6	15.2	—	720.2	719.8	720.2	96	55	91				8.0	5.2	5.3	Summe 100.6	

$\lambda = 8^{\circ}\,30'$, $\beta = 47^{\circ}\,3'$.
$Hb = 1787.3^{m}$, $G = -0.20$ m/m.

Rigi-Kulm

September 1938.
Beobachter: *J. Steiner.*

Tag	7³⁰	13³⁰	21³⁰	Mittel	Abweich. vom Normalst.	7³⁰	13³⁰	21³⁰	7³⁰	13³⁰	21³⁰	7³⁰	13³⁰	21³⁰	7³⁰	13³⁰	21³⁰	Niederschlag	Witterung
1	4.2	6.0	4.4	4.9	−3.6	614.7	615.9	616.5	93	89	85	E 1	NW 0	E 1	10	10	3	0.2	
2	6.5	9.0	9.2	8.2	−0.2	616.1	617.2	617.5	43	**36**	56	WSW 1	W 1	W 1	0	0	1	.	
3	9.2	10.0	5.7	8.3	0.0	617.2	617.0	617.5	64	78	80	SW 1	SE 1	SW 1	9	10●	10≡	18.2	● 11½–n zeitw., ≡ III
4	5.6	5.0	3.7	4.8	−3.4	616.1	616.5	617.0	86	90	92	SW 1	SW 1	W 1	10●	10≡	10≡	15.0	● n–n zeitw., ≡ II, III
5	1.5	3.0	1.7	2.1	−6.0	616.2	616.1	616.0	94	80	76	NW 1	SW 1	SW 1	10≡	10≡	10≡	7.3	● seit 12, ✳sch. 15, △ 17½, ≡ n-n
6	**0.6**	2.1	1.6	1.4	−6.6	614.5	614.6	614.7	84	91	82	SW 1	W 1	W 1	10≡	10●*	7	8.8	● ✳sch. n–n zeitw., ≡ I
7	1.0	4.5	4.0	3.2	−4.7	613.1	613.0	613.2	82	76	76	SW 2	WNW 1	SW 1	6	8	7	.	
8	5.2	10.0	8.0	7.7	−0.2	613.0	614.2	613.9	55	44	48	SSE 2	S 3	S 3	8	8	7	0.4	
9	8.4	10.2	8.7	9.1	1.3	613.6	613.7	614.2	52	48	52	SSE 3	SSE 3	S 3	6	9	10	0.1	● 5
10	7.0	4.7	4.8	5.5	−2.2	**611.7**	613.4	616.3	62	88	85	SE 2	SW 2	SW 1	10	10≡	2	1.4	≡ 13–19
11	6.3	9.0	6.3	7.2	0.4	618.4	619.3	619.6	62	72	78	SW 1	ESE 1	E 1	1	2	0	.	
12	7.0	8.5	7.0	7.5	0.0	619.2	619.7	**620.4**	70	76	88	SW 1	WNW 1	SW 1	0	2	1	.	
13	7.7	12.9	11.3	10.6	3.2	619.4	620.1	619.8	67	57	46	E 2	SW 0	NW 1	0	0	0	.	
14	11.0	**13.8**	10.0	11.6	4.3	618.3	617.9	616.4	46	56	80	WSW 1	SW 1	W 1	1	1	2	7.3	
15	7.0	7.0	4.2	6.1	−1.1	614.2	614.2	615.1	88	82	80	NW 1	WNW 1	W 1	10●	10●	10≡	13.5	● I, II, ≡ III
16	1.9	4.0	4.3	3.4	−3.7	617.6	618.4	618.4	92	78	84	E 1	ESE 1	SE 1	10≡	0	0	.	≡ I
17	9.0	9.4	8.4	8.9	1.9	618.5	619.5	619.5	38	70	74	SW 2	NNW 2	NE 1	0	0	0	.	
18	7.4	10.4	8.8	8.9	2.0	619.4	619.1	618.5	80	75	66	WSW 1	SW 1	SW 1	0	2	5	.	
19	8.0	11.4	8.3	9.2	2.4	617.4	616.6	616.0	72	62	88	S 1	ESE 1	SW 1	3	3	10≡	0.3	●° 20½, ≡ III
20	5.7	9.1	6.5	7.1	0.4	615.2	615.7	616.3	68	64	62	SE 1	SW 1	SW 1	2	5	0	.	
21	8.4	13.6	11.0	11.0	4.4	616.3	616.7	617.8	52	41	**36**	SE 1	SW 1	SE 1	0	3	0	.	
22	9.3	10.0	9.5	9.6	3.1	619.1	619.1	619.2	67	83	67	NE 1	NE 1	E 1	0	2	1	.	
23	9.2	13.6	10.3	11.0	4.6	619.2	619.2	619.3	64	54	70	WNW 1	SW 1	SW 1	3	6	3	.	
24	9.0	12.2	9.0	10.1	3.8	618.4	618.4	618.3	68	67	80	S 1	SE 1	SE 2	2	5	5	0.1	●°sch. 19
25	10.2	13.7	10.0	11.3	5.2	618.0	618.4	618.7	56	48	66	SSE 2	SW 1	S 2	1	4	3	.	
26	9.3	12.3	9.0	10.2	4.2	617.5	617.6	617.9	60	50	56	SSE 2	SSE 2	S 1	4	2	6	.	
27	8.9	12.2	9.6	10.2	4.3	618.6	619.4	619.3	56	58	54	SSE 2	SSE 2	S 1	1	2	3	.	
28	9.6	12.7	10.6	11.0	5.2	618.9	618.0	617.1	56	54	59	SE 1	S 2	S 1	9	1	2	.	
29	10.1	12.8	9.5	10.8	5.2	616.0	616.0	616.6	60	60	75	S 2	ESE 2	SW 1	9	10	8	20.8	
30	7.8	9.2	6.6	7.9	2.4	616.3	616.4	616.5	88	90	90	WNW 1	W 0	SW 2	10●	10≡	10≡	**54.7**	● I, ≡ II, III
Mittel	7.1	9.4	7.4	8.0	—	616.7	617.0	617.3	68	67	71				4.8	5.2	4.5	Summe 148.1	

September 1938.
Beobachter: *P. Nogler.*

Bevers

$\lambda = 9^\circ 53'$, $\beta = 46^\circ 33'$.
H_b = ca. 1710^m, $G = -0.23$ m/m.

Tag	Lufttemperatur 7³⁰	13³⁰	21³⁰	Mittel	Abweich. vom Normalst	Luftdruck 7³⁰	13³⁰	21³⁰	Relative Feuchtigkeit 7³⁰	13³⁰	21³⁰	Windrichtung und Stärke 7³⁰	13³⁰	21³⁰	Bewölkung 7³⁰	13³⁰	21³⁰	Niederschlag	Witterung
1	7.2	12.8	6.2	8.7	−0.7	620.2	621.3	622.6	89	78	86	NNE 1	N 2	NW 1	7	6	0	.	
2	4.2	13.2	7.8	8.4	−0.9	623.0	622.7	624.4	100	64	92	W 0	SW 3	W 2	10≡	0	4	.	≡ I
3	5.4	13.0	8.7	9.0	−0.1	624.2	623.2	623.3	98	68	100	W 1	SW 2	W 1	3	10	10	5.1	● 16–19½
4	9.2	10.2	6.4	8.6	−0.4	621.3	621.2	621.7	80	72	92	N 1	NW 1	N 0	10	10	5	2.1	
5	6.2	10.3	5.9	7.5	−1.4	621.2	620.9	620.4	85	46	90	N 0	WSW 2	W 1	10●	10	6	3.4	● n–11
6	5.6	6.2	4.0	5.3	−3.5	620.2	620.0	620.2	65	74	79	N 1	NW 2	N 1	10●	10	10	2.4	● I
7	2.4	7.3	3.8	4.5	−4.1	619.6	619.7	621.8	98	67	90	NE 0	N 1	WSW 0	10●*	10	10	0.3	● * I
8	5.7	10.0	5.0	6.9	−1.6	621.8	621.8	622.6	85	55	93	SSE 1	SW 3	SW 1	10	10	2	0.9	
9	6.2	12.0	5.5	7.9	−0.5	622.2	622.1	623.1	100	55	99	WSW 1	SW 1–2	S 1	10●	10	10	15.1	● I, 16–21
10	7.4	7.3	4.2	6.3	−1.9	618.8	620.7	623.3	85	81	100	NE 1	N 1	NW 0	10●	10	10	9.6	● n–13
11	5.2	13.2	7.2	8.6	0.5	624.7	624.7	625.7	90	42	85	SW 0	W 0	SW 0	10≡	10	3	0.0	≡ I
12	1.6	16.2	6.6	8.1	0.1	625.7	624.2	625.9	97	39	80	SW 1	SW 2	N 0	0	1	0	.	
13	2.5	17.5	5.0	8.3	0.5	625.6	625.3	625.1	89	42	80	N 0	S 2	SW 0	0	0	0	.	
14	6.2	16.4	9.8	10.8	3.1	624.9	623.0	622.3	97	49	99	W 0	SW 2	SW 1	1	5	9	0.8	
15	9.2	11.2	8.2	9.5	1.9	619.9	618.9	620.4	87	68	76	SW 0	W 3	W 0	2	10●	10●	1.3	● p–n
16	3.2	12.5	2.0	5.9	−1.5	623.6	623.2	625.7	80	39	89	NE 1	W 1	SW 0	1	0	0	.	
17	0.6	15.0	3.0	6.2	−1.1	626.1	623.9	626.3	98	45	100	W 0	S 1	SW 0	0	0	1	.	
18	1.7	16.2	2.7	6.9	−0.3	626.0	624.3	625.2	91	36	95	W 1	SW 3	SW 0	0	0	0	.	
19	1.0	14.0	3.0	6.0	−1.0	624.0	623.5	623.0	97	40	95	W 0	W 0	SW 0	1	4	0	.	
20	2.4	14.8	2.3	6.5	−0.4	621.5	622.3	623.1	98	42	93	NW 0	W 1	W 0	5	2	0	.	
21	2.3	15.2	4.6	7.4	0.6	623.6	622.5	624.7	97	43	98	W 0	SW 2	SW 0	1	3	0	.	
22	6.2	15.0	12.2	11.1	4.5	625.3	625.6	625.6	96	58	98	S 0	SW 1	SW 0	1	6	9	.	
23	8.0	14.8	10.0	10.9	4.4	626.1	624.9	625.4	97	53	92	N 0	S 2	S 0	10	10	10	.	
24	11.2	11.8	8.2	10.4	4.0	624.8	624.3	625.3	79	77	99	S 1	S 2	SW 0	10	8	10	0.1	● mtgs.
25	9.5	14.3	8.2	10.7	4.5	625.3	625.1	626.0	99	53	90	SW 0	SW 2	SW 0	10≡	5	9	.	≡ I
26	9.4	10.3	8.2	9.3	3.2	625.5	625.8	626.5	85	74	82	N 0	SW 1	SW 1	10	10	10	.	
27	8.2	11.7	8.0	9.3	3.3	627.3	627.3	627.5	84	60	80	W 0	SW 1	SW 1	8	9	9	.	
28	8.6	13.2	9.3	10.4	4.6	626.8	625.3	625.3	83	60	98	N 0	S 1	NW 0	9	9	10	4.3	●° 16–18
29	9.7	15.2	9.0	11.3	5.6	623.8	623.0	623.1	94	55	100	W 0	W 0	W 0	10	10	10●	3.9	● 21–n
30	9.3	12.6	9.5	10.5	5.0	622.6	622.2	622.7	96	67	99	SW 0	W 0	NW 1	10	10	10	2.9	● 14–15½, 17–n m.U.
Mittel	5.8	12.8	6.5	8.4	—	623.5	623.1	623.9	91	57	92				6.3	6.6	5.9	Summe 52.2	

September 1938.
Beobachter: *Kapuzinerkloster.*

Sitten

$\lambda = 7^\circ 21'$, $\beta = 46^\circ 14'$,
$H_b = 548.6^m$, $G = -0.11$ m/m.

1	12.7	19.2	13.6	15.2	−1.8	712.3	711.7	713.0	80	53	80	W 1	W 2	W 1	10	3	0	.	
2	11.1	20.3	16.6	16.0	−0.9	714.3	712.3	713.2	81	54	66	ENE 1	W 2	W 2–3	0	0	5	.	
3	14.0	15.5	15.3	14.9	−1.9	713.5	713.8	714.0	82	89	87	ENE 1	W 1	W 1	10	10●	10	5.0	● II
4	13.4	18.4	16.6	16.1	−0.6	712.9	712.1	713.8	95	56	61	W 1	W 2–3	W 1	10	9	6	0.2	
5	16.2	18.7	13.4	16.1	−0.5	713.4	711.9	713.0	73	41	53	NE 1	W 3–4	W 3	2	4	4	.	
6	10.0	18.2	13.5	13.9	−2.5	713.4	711.4	711.8	78	43	60	NNE 0	W 2–3	W 1	5	7	10	.	
7	11.3	18.4	13.3	14.3	−2.0	711.8	709.1	710.1	74	38	72	NE 1	W 1	W 1–2	6	3	5	.	
8	11.8	19.7	15.4	15.6	−0.6	710.3	710.2	710.1	74	41	57	ENE 1	W 1	W 1	7	10	8	0.0	
9	13.5	19.8	12.9	15.4	−0.7	710.7	709.1	710.8	74	49	92	NE 0	E 2–3	W 1	10	10	5	9.5	● (17), n
10	11.4	18.2	13.2	14.3	−1.7	709.1	711.4	713.5	91	49	71	WNW 1	W 1	W 2	10●	5	0	9.0	● I
11	11.4	19.7	15.2	15.4	−0.4	715.7	714.8	715.3	74	45	72	W 1	W 1	W 1	0	0	0	.	
12	12.0	20.8	16.1	16.3	0.6	716.8	714.6	715.4	83	49	68	ENE 1	W 2	W 1	0	1	0	.	
13	12.4	20.3	16.4	16.4	0.8	716.6	717.2	715.6	81	56	79	NE 1	NE 1	W 1	0	0	1	.	
14	12.8	22.7	18.0	17.8	2.3	714.9	711.7	710.8	90	51	60	NE 1	W 1	W 1	0	2	1	.	
15	12.7	19.7	15.6	16.0	0.7	710.2	708.9	711.4	93	64	73	ENE 0	W 1	W 1	5	8	10	2.6	● (13, 16¼)
16	13.2	20.2	12.0	15.1	−0.1	715.3	714.7	714.9	84	70	83	W 0	W 1	W 1–2	10	0	0	.	
17	9.1	20.5	15.4	15.0	−0.1	716.0	714.4	715.4	94	47	65	NE 1	W 2	W 1	0	2	0	.	
18	11.1	21.4	15.7	16.1	1.2	716.9	714.0	714.4	88	45	65	NE 1	W 1	W 2	5	0	0	.	
19	11.1	19.9	16.3	15.8	1.0	714.3	711.4	711.8	75	44	75	ENE 1	W 1	W 1–2	3	8	6	.	
20	11.2	19.7	14.0	15.0	0.4	712.6	710.9	712.7	82	47	72	NE 1	W 1–2	W 2	1	5	0	.	
21	10.5	20.2	15.9	15.5	1.1	713.4	711.1	713.4	81	45	69	E 1	W 1	W 2	2	8	0	.	
22	10.7	20.9	17.7	16.4	2.1	715.6	714.6	714.1	93	50	74	E 1	W 2	W 2	0	0	5	.	
23	13.6	21.5	16.7	17.3	3.2	715.4	713.7	714.6	83	51	68	NE 1	W 1	W 2	8	7	0	.	
24	13.2	21.3	16.8	17.1	3.2	715.9	713.1	713.8	85	49	61	ENE 1	W 1	W 1	9	9	0	.	
25	13.7	21.0	16.2	17.0	3.3	714.9	713.1	714.9	74	52	83	ENE 1	W 1–2	W 3	0	8	8	0.8	●° (20)
26	15.7	21.3	17.4	18.1	4.6	713.9	712.7	715.1	65	45	45	ENE 1	W 1–2	W 3	9	10	6	.	
27	14.6	22.3	18.7	18.5	5.2	714.7	714.6	715.6	64	40	42	ENE 1	E 2	E 2	10	6	7	.	
28	13.5	23.3	17.5	18.1	5.0	715.4	712.0	712.8	66	41	58	E 1	E 1	W 1	0	5	5	.	
29	17.1	21.2	15.8	18.0	5.1	711.8	711.4	712.5	60	60	93	ENE 1	ENE 1	W 1	9	9	10	0.7	●° (20)
30	14.6	20.9	15.7	17.1	4.4	712.8	712.5	712.5	90	60	88	W 1	W 2	W 0	8	7	7	8.5	
Mittel	12.6	20.2	15.6	16.1	—	713.8	712.5	713.3	80	51	70				5.0	5.2	4.0	Summe 36.3	

$\lambda = 8^\circ 57'$, $\beta = 46^\circ 0'$,
$H_b = 276.2^m$, $G = -0.01$ m/m.

Lugano

September 1938.
Beobachter: *G. Vicari.*

Tag	Lufttemperatur 7³⁰	13³⁰	21³⁰	Mittel	Abweich. vom Normalst	Luftdruck 7³⁰	13³⁰	21³⁰	Relative Feuchtigkeit 7³⁰	13³⁰	21³⁰	Windrichtung und Stärke 7³⁰	13³⁰	21³⁰	Bewölkung 7³⁰	13³⁰	21³⁰	Niederschlag	Witterung
1	15.8	**25.4**	17.8	19.7	0.7	733.2	734.5	737.4	73	42	78	N 1	S 0	N 1	4	0	0	.	
2	15.6	24.2	17.4	19.1	0.2	738.5	738.7	739.7	78	54	83	N 1	S 1	N 1	5	2	0	.	
3	16.6	19.4	15.6	17.2	−1.6	740.0	739.3	739.0	77	84	91	WNW 0	W 1	NNE 1	10	10●	10●	1.2	● 13–21½ m U.
4	15.2	16.2	14.4	15.3	−3.4	737.2	736.1	736.2	86	88	81	N 1	NE 0	N 1	10●	10●	0	10.6	● n–14½ m.U.
5	12.6	24.0	16.6	17.7	−0.8	735.4	734.6	736.0	88	**27**	37	N 1	NNW 2	NE 1	2	4	1	.	
6	**9.4**	21.0	14.8	15.1	−3.3	736.6	735.5	736.7	73	48	82	N 1	S 1	NNE 1	0	1	10	14.3	
7	11.6	15.6	13.4	13.5	−4.8	737.3	737.7	737.9	92	74	85	NE 1	S 0	W 0	10●	10	10	28.1	● 0½–10½
8	12.8	14.2	12.6	13.2	−5.0	739.0	740.0	739.8	88	78	89	NW 0	W 1	N 0	10●	10	10●	12.4	● n–n m.U.
9	13.6	14.4	13.8	13.9	−4.1	739.0	739.2	738.0	91	88	93	W 0	W 0	E 1	10●	10●	10●	**46.1**	● n–n
10	14.6	14.6	14.8	14.7	−3.2	734.9	737.6	740.6	93	91	92	W 0	ENE 0	NE 1	10●	10●	10●	30.4	● n–23½
11	11.6	22.4	15.8	16.6	−1.2	740.9	739.8	740.2	85	53	83	N 1	SE 0	N 1	0	0	0	.	
12	12.6	23.6	15.8	17.3	−0.3	740.5	739.8	740.0	86	53	86	N 1	S 0	N 1	0	0	0	.	
13	12.6	23.8	16.4	17.6	0.1	741.2	741.3	741.6	84	49	87	N 1	S 0	NNE 1	0	0	0	.	
14	15.8	22.4	17.4	18.5	1.1	740.6	739.4	737.4	83	68	83	N 1	ENE 1	N 1	0	8	7	.	
15	16.6	23.4	17.8	19.3	2.1	735.2	**732.7**	733.0	76	58	70	N 1	SE 1	N 1	8	0	0	0.1	● ⊼ 14½
16	17.6	23.0	15.6	18.7	1.6	737.1	737.5	741.1	32	41	75	ENE 3	SSE 1	N 1	0	0	0	.	
17	14.8	20.2	15.2	16.7	−0.2	743.7	742.8	742.5	76	48	77	N 1	S 1	N 1	1	8	10	.	
18	11.6	21.8	14.8	16.1	−0.7	742.8	741.7	741.2	85	53	80	N 1	S 1	N 1	0	0	0	.	
19	11.6	21.6	13.2	15.5	−1.1	740.2	739.0	738.7	83	53	82	N 1	E 0	N 1	0	5	0	.	
20	12.4	21.6	13.4	15.8	−0.6	737.8	737.2	738.7	78	48	82	N 1	S 1	N 1	8	2	0	.	
21	11.8	21.8	14.2	15.9	−0.3	739.8	738.8	740.0	86	54	81	N 1	S 1	N 1	0	3	0	.	
22	12.6	21.8	16.0	16.8	0.8	741.5	741.2	742.5	88	58	86	N 1	S 1	N 1	1	0	0	.	
23	14.8	22.4	15.0	17.4	1.5	742.9	741.9	741.8	88	53	82	N 1	W 1	NE 1	5	6	0	.	
24	13.8	21.2	15.8	16.9	1.2	741.6	741.3	742.1	82	54	84	N 0	SE 0	NNE 1	4	3	10	.	
25	15.2	20.2	17.2	17.5	2.0	742.6	742.6	743.2	83	62	89	N 0	S 0	NNE 1	10	8	10	4.7	
26	15.6	16.8	14.6	15.7	0.4	743.3	743.9	744.3	92	78	91	W 0	NW 1	NNE 1	10●	10	10	1.7	● 4½–9½ m.U.
27	14.6	18.6	15.4	16.2	1.1	745.0	**745.3**	744.6	88	64	84	N 1	SSW 1	N 1	10●	10	10	.	● 6½–7½ m.U.
28	14.8	17.6	14.6	15.7	0.8	743.8	742.9	742.4	83	73	95	N 1	E 0	N 1	10	10	10●	19.1	● 14–n m.U.
29	15.6	16.8	15.2	15.9	1.2	740.3	739.7	739.4	88	86	94	NNW 1	W 1	NNE 1	10●	10●	10●	12.1	● n–n m.U.
30	15.6	19.4	17.2	17.4	2.9	738.6	738.0	738.5	88	68	88	N 1	E 0	N 0	7	10	10	0.2	● n–8½ m.U.
Mittel	14.0	20.3	15.4	16.6	—	739.7	739.3	739.8	82	62	83				5.2	5.3	4.9	Summe 181.0	

$\lambda = 7^\circ 35'$, $\beta = 47^\circ 33'$,
$H_b = 318^m$, $G = 0.11$ m/m.

Basel

September 1938.
Beobachter: *Astronom.-Meteorol. Anstalt.*

Tag	7³⁰	13³⁰	21³⁰	Mittel	Abweich. vom Normalst	7³⁰	13³⁰	21³⁰	7³⁰	13³⁰	21³⁰	7³⁰	13³⁰	21³⁰	7³⁰	13³⁰	21³⁰	Niederschlag	Witterung
1	11.7	16.8	12.0	13.5	—	735.3	735.9	736.0	95	69	96	SW 0	W 1	SSW 1	10	10	5	.	● 13¼–13½
2	9.7	20.0	15.0	14.9	—	735.9	735.6	735.6	91	60	85	ESE 1	E 1	E 1	10	1	10	0.3	
3	13.5	14.0	13.4	13.6	—	736.0	736.7	736.8	93	96	98	ESE 1	NW 1	NW 1	10	10●	10●	10.2	● 4–4¼, 10¾–21½ m.U.
4	13.0	18.6	12.1	14.6	—	736.3	736.2	737.2	96	70	95	WNW 1	WNW 1	SW 0	10	6	8	0.7	● 15¾–16½
5	9.7	14.9	11.3	12.0	—	737.1	736.5	736.5	92	71	78	ESE 1	NW 1	W 1	9	10	9	1.7	● 16½
6	10.8	15.5	11.1	12.5	—	735.5	735.2	734.5	83	67	91	SW 0	WNW 1	S 1	10	10	9	0.6	
7	11.1	18.1	11.0	13.4	—	732.8	731.8	731.6	91	54	89	ENE 1	SW 1	E 1	9	10	5	.	● 3¾–5¼
8	10.3	20.4	14.1	14.9	—	732.0	732.1	732.3	89	61	90	E 1	NW 1	WSW 1	10	4	10	0.1	
9	11.7	17.2	14.5	14.5	—	732.0	732.0	731.8	98	78	98	W 1	WNW 1	SW 1	10≡	10	10	0.4	●° 19½–22¼ m.U., ≡ 2–8
10	12.7	14.2	10.8	12.6	—	**729.9**	732.4	735.3	99	92	98	WNW 1	WNW 1	NW 1	10≡●	10	1	5.3	● 4½–12¾, ≡ 3–8½, 23–n
11	9.3	21.1	12.8	14.4	—	738.2	737.9	738.2	99	65	96	NE 1	WNW 1	S 1	10≡	1	5	.	≡ n–8½
12	12.0	20.3	13.4	15.2	—	738.9	738.7	739.2	84	62	85	SE 0	WNW 1	SSW 1	10	2	0	.	⌓ fr.
13	10.8	21.4	13.7	15.3	—	739.3	738.8	737.5	98	61	97	ESE 1	NE 1	S 1	10≡	1	0	.	≡ 2–8½
14	11.4	24.4	14.7	16.8	—	736.0	734.5	732.9	98	60	94	ESE 1	W 1	S 1	10≡	1	0	.	≡ 7–9
15	12.4	22.0	10.4	14.9	—	731.9	731.5	737.1	98	57	88	NE 1	WSW 2	WNW 1	8≡	5	10	3.0	● 15–15½, T ● 16
16	8.2	16.7	9.2	11.4	—	**740.8**	739.2	738.7	92	**51**	80	NW 0	NE 1	E 1	9	1	0	.	≡ 3–6½
17	**6.7**	20.2	12.5	13.1	—	738.3	737.4	737.5	87	54	94	ENE 1	NE 1	E 1	0	0	0	.	⌓ fr
18	10.4	23.6	14.9	16.3	—	738.0	736.8	735.9	95	52	93	ESE 1	N 1	E 0	1	2	0	.	⌓ fr.
19	13.3	22.5	13.8	16.5	—	735.1	733.9	734.9	91	61	94	ENE 1	NW 1	WSW 1	8	4	10●	16.5	⊼ ● 16¾–17¾, 18¼–n, ⌓
20	11.3	22.6	13.2	15.7	—	734.2	733.4	733.8	98	56	85	ESE 1	SE 1	ESE 1	5	2	0	.	≡ 7–7¼ [fr., ⊕ 14
21	12.4	23.4	13.6	16.5	—	733.8	733.2	735.0	89	59	92	ESE 1	E 1	SE 1	1	8	3	.	
22	12.0	**25.1**	14.2	17.1	—	736.9	736.2	736.7	96	**51**	95	ESE 1	SSE 1	E 0	7≡	1	1	.	≡ 7–8
23	14.4	24.8	14.7	18.0	—	736.7	736.1	736.7	90	55	97	ESE 1	NNW 1	SSW 1	9	2	0	.	
24	12.4	**25.1**	17.3	18.3	—	736.0	734.8	735.0	98	57	77	ESE 1	ENE 1	ESE 1	10≡	1	1	.	≡ 7–8
25	13.4	24.9	16.0	18.1	—	735.2	735.0	736.4	91	56	81	E 1	ESE 1	W 1	1	7	10	.	
26	14.8	21.8	16.1	17.5	—	736.3	735.0	735.7	91	64	97	SSW 1	NE 1	SSW 1	10	4	9	0.2	●° 16½–19½ m.U.
27	15.4	25.0	16.3	18.9	—	736.8	736.5	736.7	92	53	96	E 1	ESE 1	NNW 1	8	1	8	.	
28	14.8	24.6	16.8	18.7	—	736.6	734.7	733.9	93	56	90	ESE 1	ENE 0	SSW 0	6	3	10	.	
29	15.1	20.2	16.0	17.1	—	733.3	733.0	733.7	94	83	96	E 0	NW 1	W 1	10	10	5	0.3	
30	16.0	16.6	15.2	15.9	—	734.4	734.5	735.1	96	94	98	WSW 0	WNW 1	WSW 1	10	10●	10●	**27.0**	● 2¾–21¾ m.U.
Mittel	12.0	20.5	13.7	15.4	—	735.6	735.2	735.6	93	64	91				8.0	4.9	5.3	Summe 66.3	

September 1938.
Beobachter: *Observatorium.*

Säntis

$\lambda = 9^\circ 20', \beta = 47^\circ 15',$
$H_b = 2500.1^m, G = -0.27$ m/m.

Tag	Lufttemperatur 7³⁰	13³⁰	21³⁰	Mittel	Abweich. vom Normalst.	Luftdruck 7³⁰	13³⁰	21³⁰	Relative Feuchtigkeit 7³⁰	13³⁰	21³⁰	Windrichtung und Stärke 7³⁰	13³⁰	21³⁰	Bewölkung 7³⁰	13³⁰	21³⁰	Niederschlag	Witterung
1	−0.2	1.6	0.2	0.5	−3.5	562.9	564.3	565.0	100	94	98	NNW 0	SW 1	SSW 2	10≡*	10≡	0	0.1	✳° n-9, ≡ n-21
2	3.6	5.0	4.1	4.2	0.3	564.8	566.0	566.8	46	46	61	W 3	W 3	WSW 2	1	1	1	.	
3	3.5	6.6	1.8	4.0	0.2	566.3	565.8	565.9	86	80	100	WSW 2	SSE 2	WSW 2	10	10	10	14.9	● 14½-21, ≡ 14-20½
4	1.3	1.8	−0.3	0.9	−2.8	564.2	564.7	564.8	100	100	100	NNW 2	NW 1	WNW 2	10≡●	10≡●	10≡	17.1	● n-8½, 10-n, ✳ 8½-10, ≡ n-n
5	−3.3	−2.0	−3.1	−2.8	−6.4	563.6	563.6	563.3	98	98	95	NW 2	WNW 2	WNW 2	10	10≡*	10≡	15.3	✳ 12-14¾, 17-19½, ≡ 10¾-n ✳
6	−3.0	−2.3	−3.2	−2.8	−6.4	561.7	561.9	562.1	95	95	96	WNW 2	WNW 2	WNW 2	10≡*	10≡	10■	17.3	✳ n-16 m.U., ≡ n-17¾, 20½-n ✳
7	−2.9	0.1	−1.0	−1.3	−4.8	560.8	561.3	561.8	95	89	88	WNW 2	SW 2	SW 2	10≡*	10≡	5	0.3	✳° n-9, ≡ n-20½ m.U., ∨a ✳
8	0.6	5.0	2.8	2.8	−0.6	562.1	563.5	563.7	76	72	60	S 3	SW 2	SW 1	7	9	10	1.7	● n (8./9.) ✳
9	2.5	5.6	4.6	4.2	0.9	563.6	564.1	563.6	80	64	67	SE 2	SE 3	SE 3	10	10	10	.	
10	3.2	5.2	0.5	3.0	−0.2	561.5	562.6	565.0	95	70	95	ENE 2	SW 1	WNW 4	10	10	10	1.6	● n, 16-17, ≡ 13¾-20
11	0.6	4.6	2.2	2.5	−0.6	566.7	567.8	567.9	100	77	93	WNW 2	SW 1	WSW 2	10≡	10■	1	0.2	≡ n-9½, ● n
12	1.8	6.4	3.0	3.7	0.6	567.4	568.2	568.9	70	67	33	WNW 3	SW 2	WNW 1	6	8	1	.	≡ 11-17 zeitw.
13	6.8	10.4	6.8	8.0	5.0	568.9	569.5	569.0	65	52	52	ENE 2	ESE 1	WSW 3	1	1	1	.	
14	6.1	9.5	5.1	6.9	4.0	567.3	567.2	565.7	49	55	92	W 3	WSW 2	WSW 2	3	2	6	1.0	[✳ zeitw., ≡ n-n
15	4.0	2.2	0.0	2.1	−0.7	563.0	562.4	563.8	98	100	100	WNW 2	WNW 3	N 2	10≡●	10≡●	10≡	25.5	● 12¾-21 m.U., △ 16½-16¾,
16	−3.2	0.4	2.8	0.0	−2.7	565.1	566.5	567.1	84	63	35	W 1	ESE 1	E 1	1	0	0	.	≡ n-7¼
17	3.0	4.6	3.2	3.6	1.0	567.1	568.1	568.3	46	77	62	SW 3	WSW 3	W 2	1	1	0	.	
18	4.0	7.2	3.6	4.9	2.4	568.1	568.1	567.4	68	63	96	SE 1	SSW 2	WSW 2	0	1	1	.	≡ 15-19½ zeitw.
19	3.4	7.6	3.0	4.7	2.3	566.2	565.7	564.9	80	62	80	N 1	SSW 1	SW 1	3	9	3	.	≡ 15-17 m.U., △² fr.
20	1.0	5.4	2.8	3.1	0.8	563.7	564.3	565.3	98	72	76	ESE 1	SW 1	SW 1	9	10≡	0	.	≡ n-16 m.U.
21	5.8	9.0	6.8	7.2	5.0	565.5	566.2	567.4	48	55	60	SW 1	SSW 1	W 1	4	8	2	.	
22	5.0	8.4	6.2	6.5	4.4	568.0	568.2	568.7	72	74	87	ENE 2	SSW 1	SSW 1	2	10≡	2	.	≡ 12-17½ m.U.
23	6.8	9.1	5.1	7.0	5.0	568.2	568.5	568.4	60	72	62	E 1	SSW 1	W 1	3	9	4	0.0	●° 16½-16¾/4
24	4.5	7.0	4.3	5.3	3.4	567.4	567.3	567.3	97	74	80	WNW 1	S 1	SSE 2	9	10	10	9.5	● 12½-16, △ 15-19
25	5.2	8.6	5.1	6.3	4.5	567.4	567.8	567.8	85	53	67	SW 1	SSW 2	ESE 1	1	5	1	0.1	● 14¼-14½
26	4.3	8.4	4.4	5.7	4.0	566.9	567.2	567.4	65	62	65	SSE 2	SSW 2	SW 2	4	5	10	.	
27	4.8	7.8	4.6	5.7	4.1	568.0	568.8	568.7	63	58	65	SSW 1	SSW 2	SW 1	5	5	1	.	
28	6.8	9.1	6.4	7.4	5.9	567.9	567.6	567.0	61	60	65	SSE 1	SSW 2	SSW 3	9	8	10	.	
29	5.9	8.8	6.0	6.9	5.5	565.8	566.0	565.9	68	61	78	S 2	SSE 2	S 2	10	9	10	0.8	●sch. 17¼, n
30	4.6	4.6	4.1	4.4	3.1	565.3	565.1	565.3	98	96	100	SSW 1	W 2	W 2	10≡	10≡	10≡	20.7	● 8½-12 m.U., ≡ n-n
Mittel	2.9	5.5	3.1	3.8	—	565.5	565.9	566.1	78	72	77				6.3	7.2	5.3	Summe 126.1	

September 1938.
Beobachter: Frl. *F. Lombardi.*

St. Gotthard (Hospiz)

$\lambda = 8^\circ 34', \beta = 46^\circ 33',$
$H_b = 2095.7^m, G = -0.25$ m/m.

Tag	Lufttemperatur 7³⁰	13³⁰	21³⁰	Mittel	Abweich. vom Normalst.	Luftdruck 7³⁰	13³⁰	21³⁰	Relative Feuchtigkeit 7³⁰	13³⁰	21³⁰	Windrichtung und Stärke 7³⁰	13³⁰	21³⁰	Bewölkung 7³⁰	13³⁰	21³⁰	Niederschlag	Witterung
1	2.8	6.4	4.4	4.5	−2.2	591.6	592.8	594.1	100	75	89	N 2	N 2	N 2	10■	4	10≡	.	≡ n-9, 19-n
2	4.8	11.4	8.4	8.2	1.6	594.1	595.0	595.8	78	67	94	N 0	N 0	S 0	5	5	10≡		≡ 19¼-n
3	7.2	8.4	5.0	6.9	0.4	595.3	594.9	595.0	78	78	100	S 1	S 1	S 0	7	10●	10●≡	26.4	● 9¼-n, ≡ 14½-n
4	4.5	4.4	2.0	3.6	−2.8	593.1	592.9	593.4	100	95	90	N 1	N 1	N 2	10≡	10≡	10≡	4.3	●°sch. zeitw., ≡ n-n
5	0.8	3.6	−0.5	1.3	−5.0	592.7	592.7	592.7	94	72	88	N 2	N 2	N 3	10≡	5	10≡	3.0	● 17¾-18¼, ≡ n-10¾, 17-n
6	−0.6	2.5	0.8	0.9	−5.3	591.3	591.9	590.7	64	65	79	N 2	N 2	N 2	8	10	10	0.3	● ✳ 8¼-8½, ≡ 20-n
7	0.7	2.5	1.4	1.5	−4.6	590.5	591.0	591.5	78	95	100	N 1	N 1	S 1	7	10●	10■	5.7	● 13-17¼, ≡ 18¼-n
8	0.8	3.2	2.8	2.3	−3.7	592.0	593.4	593.7	90	98	100	SE 1	SE 1	SE 1	10≡	10●≡	10●≡	7.0	● 11½-n, ≡ n-n
9	2.6	4.6	2.8	3.3	−2.6	593.9	593.7	593.0	88	100	100	SE 1	SE 1	SE 1	10●≡	10●■	10●≡	50.0	● ≡ n-n
10	1.6	4.2	3.0	2.9	−2.9	590.4	592.0	594.1	95	100	100	SE 0	SE 0	SE 1	10●≡	10●≡	10≡	16.0	● ✳ 8¾-10¼, ● 10¼-18½, [≡ n-n
11	2.2	9.2	5.8	5.7	0.0	595.8	596.6	596.9	95	66	89	N 1	N 1	N 1	4●	5	10	.	≡ 19-n
12	3.6	9.7	5.1	6.1	0.5	596.2	596.7	597.0	83	54	81	N 2	N 2	N 1	0	1	0	.	
13	7.4	13.5	7.3	9.4	3.9	597.4	598.2	598.2	63	52	100	N 1	N 1	N 0	0	0	0	.	
14	8.0	12.2	8.0	9.4	4.0	596.6	596.0	594.8	84	61	100	N 0	SE 0	SE 0	5	5	10●≡	1.2	● 20¼-21¾, ≡ 19¼-n
15	7.0	8.2	3.6	6.3	1.0	592.9	592.5	592.1	80	75	81	S 0	N 0	N 2	5	10	10≡	4.3	● 14¼-16½, n, ≡ 17-n
16	0.6	6.2	1.5	2.8	−2.3	594.6	595.2	595.7	82	48	71	N 2	N 2	N 1	8	0	0	.	
17	3.0	5.5	5.2	4.6	−0.4	597.1	596.8	597.3	71	68	81	E 0	N 1	N 1	5	0	0	.	
18	4.2	11.2	5.8	7.1	2.2	597.0	597.0	596.8	68	44	67	N 1	N 0	N 0	0	0	0	.	
19	4.2	9.9	3.0	5.7	0.9	595.1	595.0	593.9	48	55	80	N 1	S 1	S 1	1	10	2	.	
20	4.2	9.8	5.0	6.3	1.7	592.9	593.2	593.9	52	78	75	N 1	S 1	S 0	1	4	0	.	
21	5.2	10.8	6.8	7.6	3.1	594.5	595.1	596.1	68	62	74	S 0	S 0	S 0	2	4	0	.	
22	6.4	12.3	7.0	8.6	4.2	596.6	597.1	597.7	59	52	89	N 1	S 1	S 0	0	5	10≡	.	≡ 20¼-n
23	6.2	11.6	7.2	8.3	4.1	597.4	597.5	597.5	80	74	100	S 1	S 0	S 0	4	5	10≡	.	≡ 19½-n
24	6.3	7.2	5.8	6.4	2.3	596.5	596.6	596.7	65	65	96	S 0	S 0	S 0	8■	10≡	10≡	4.9	● 20¼-20¾, 22½-n, ≡ n-n
25	5.2	6.8	6.6	6.2	2.3	596.9	597.2	597.5	78	95	100	S 0	S 0	S 0	8	8	10	2.0	
26	4.3	5.0	4.0	4.4	0.6	596.9	597.3	597.8	78	98	98	S 1	S 2	S 1	10	10●	10≡	2.8	● 11¾-15¾, ≡ 18-n
27	3.6	5.2	4.6	4.5	0.9	598.2	597.9	598.5	80	80	98	E 1	NE 1	E 1	10	10	10≡	0.6	≡ 16¾-n
28	3.8	5.5	5.0	4.8	1.3	597.8	597.5	596.6	90	100	100	E 0	S 1	S 0	10≡	10≡	10●≡	12.8	● 17-n zeitw., ≡ n-n
29	6.2	8.5	6.0	6.9	3.6	594.9	596.0	595.8	98	98	100	S 1	S 1	SE 1	8≡	10≡	10■	12.0	● 8¼-12¾, 14½-18½, ≡ n-n
30	5.8	9.0	6.1	7.0	3.9	594.0	594.2	594.4	81	90	100	SE 0	SE 0	SE 0	10	10≡	10≡	17.5	● 10¼-12, 15-20¾, ≡ a-n
Mittel	4.1	7.6	4.6	5.4	—	594.8	595.1	595.3	79	75	91				6.2	6.7	7.4	Summe 170.8	

$\lambda = 7^\circ 26'$, $\beta = 46^\circ 57'$, $Hb = 572.2^m$, $G = 0.00$ m/m.

Bern

Oktober 1938.

Beobachter: *Tellur. Observatorium.*

Tag	Lufttemperatur 7³⁰	13³⁰	21³⁰	Mittel	Abweich. vom Normalst	Luftdruck 7³⁰	13³⁰	21³⁰	Relative Feuchtigkeit 7³⁰	13³⁰	21³⁰	Windrichtung und Stärke 7³⁰	13³⁰	21³⁰	Bewölkung 7³⁰	13³⁰	21³⁰	Niederschlag	Witterung
1	11.0	12.2	11.0	11.4	0.5	714.3	714.5	714.8	86	80	90	SW 1	SE 1	SE 0	10●	10	10	7.6	● 2¾–12, 16¼–18½ m.U.
2	9.0	14.7	10.4	11.4	0.7	714.1	712.3	711.8	91	53	88	W 0	S 0	S 0	4	4	0	1.7	≡ n–7¼, △ fr.
3	9.4	11.8	8.1	9.8	−0.7	712.5	712.9	712.2	87	61	88	SW 0	WSW 1	S 0	10	10	0	0.8	● 5¼–11½ m.U.
4	8.0	11.9	8.6	9.5	−0.8	707.9	708.0	711.7	82	89	80	SE 0	WNW 2	W 0	10	10●	4	12.3	● 11½–15¾ m.U., △ fr.
5	7.0	13.1	11.1	10.4	0.3	711.6	709.7	709.9	95	56	68	S 0	SW 1	SE 0	10≡	9	9	2.1	≡ 6¾–8¼, ⌣ fr.
6	10.5	13.2	7.5	10.4	0.5	712.1	713.8	716.1	73	53	80	SW 1	W 2	S 0	7	5	0	.	● 2¾–3¾
7	3.6	13.5	13.2	10.1	0.4	714.6	712.3	710.5	95	61	64	W 0	W 1	SSW 3	4	1	9	6.5	⸗ 22–n, △ fr.
8	10.3	12.5	8.0	10.3	0.8	713.7	717.2	718.2	81	53	86	WSW 1	WSW 2	SE 0	9	9	10	.	● 2¾–6¾ zeitw., ⸗ n–5½
9	6.0	16.4	11.4	11.3	2.0	715.4	713.4	712.9	91	35	87	S 0	N 0	S 0	1	1	0	.	△ fr.
10	7.9	21.0	16.1	15.0	5.9	712.2	710.2	710.7	91	49	77	S 1	SW 1	S 1	0	0	0	.	△ fr.
11	10.4	13.5	10.1	11.3	2.4	711.0	713.8	718.0	91	87	93	S 0	WNW 1	NE 0	9	10●	10	5.0	● 9½–19½ m.U.
12	8.7	13.4	8.3	10.1	1.4	719.9	719.7	720.3	89	58	89	NE 1	E 0	SW 0	9	6	0	.	
13	6.0	15.0	10.8	10.6	2.1	719.7	719.2	718.6	94	69	89	S 0	NW 0	S 0	1	1	1	.	≡ n–5½, ⌣ fr.
14	6.7	17.5	11.0	11.7	3.4	718.7	717.7	718.1	92	57	83	S 0	SW 1	SE 0	4	1	0	.	△ fr.
15	6.4	16.7	11.1	11.4	3.3	716.5	715.1	714.6	94	62	89	S 0	NE 1	W 0	0	1	0	.	△ fr.
16	9.1	15.8	11.5	12.1	4.1	713.6	713.5	714.3	91	70	89	S 0	N 0	SE 0	10	3	0	.	
17	7.3	17.5	12.0	12.3	4.5	715.2	714.4	715.1	92	64	89	SE 0	W 1	SE 0	1	7	1	.	△ fr.
18	7.9	18.4	13.4	13.2	5.6	714.5	714.1	715.2	94	62	86	S 0	SSW 1	SE 0	6	8	9	0.5	△ fr.
19	12.6	16.0	11.7	13.4	6.0	715.9	716.9	718.7	88	53	80	W 1	WSW 1	WSW 0	6	10	2	.	● 5¾–6¾
20	6.9	12.4	7.0	8.8	1.6	718.2	717.1	717.4	91	61	73	NE 0	NE 2	NE 1	6	1	0	.	△ fr.
21	3.5	8.7	5.1	5.8	−1.2	716.9	716.7	716.6	96	71	91	NE 1	SW 1	NE 0	8	1	0	.	⌣ fr.
22	3.1	5.4	5.6	4.7	−2.2	713.3	711.1	709.5	97	91	90	N 0	N 1	N 0	10≡	10	10	0.1	≡ n–11, △ fr.
23	2.6	3.2	2.6	2.8	−3.9	708.6	708.6	710.7	96	92	95	NE 1	NE 1	NE 1	10≡	10	10	.	●° 4–4¾, ≡ n–12½
24	2.3	4.2	2.2	3.0	−3.5	712.0	712.7	712.4	93	89	89	NNE 0	NE 0	N 1	10	10	10	0.1	△ fr.
25	3.0	6.1	4.1	4.4	−1.9	710.7	708.5	707.0	88	80	89	W 0	NE 0	NE 0	10	1	1	1.9	●° 3¼–3¾
26	4.7	8.6	7.8	7.0	0.9	705.5	705.5	705.3	96	89	93	SW 0	SW 0	W 0	10≡	10●	10	2.8	● 2¼–4, 13¼–23¼ ztw., ≡ n–8¼
27	7.7	9.8	5.1	7.5	1.5	703.1	702.4	703.6	94	48	89	W 0	WNW 1	NE 0	10	9	9	8.3	● 8–8½ m.U., ● 22¼–n
28	1.6	3.0	1.3	2.0	−3.8	702.5	702.0	703.9	95	95	93	N 1	NE 1	W 0	10●	10	10	5.2	● n–18¾
29	1.6	5.0	3.5	3.4	−2.2	704.4	705.2	706.8	95	78	89	N 0	E 0	NE 0	10	7	10	.	≡ n–10¾
30	2.8	5.7	1.3	3.3	−2.2	707.1	707.9	709.5	90	59	89	W 0	SE 0	NNE 0	10	10	0	.	
31	−1.6	6.6	2.0	2.3	−3.0	711.5	711.6	712.3	96	58	91	SE 0	NE 0	SE 1	0	0	0	.	≡ n–7, ⌣ fr.
Mittel	6.3	11.7	8.2	8.7	—	712.5	712.2	712.8	91	67	86				6.9	6.0	4.4	Summe 54.9	

$\lambda = 6^\circ 57'$, $\beta = 47^\circ 0'$, $Hb = 487.3^m$, $G = 0.02$ m/m.

Neuchâtel

Oktober 1938.

Beobachter: *Observatorium.*

Tag	7³⁰	13³⁰	21³⁰	Mittel	Abweich. vom Normalst	7³⁰	13³⁰	21³⁰	7³⁰	13³⁰	21³⁰	7³⁰	13³⁰	21³⁰	7³⁰	13³⁰	21³⁰	Niederschlag	Witterung
1	11.1	14.2	12.0	12.4	0.6	722.4	722.7	722.9	97	83	93	W 1	SW 1	NE 0	10●	10	10	5.8	● n–11½, 16¼–16½
2	8.5	17.3	11.6	12.5	0.9	722.2	720.3	719.7	98	61	92	NE 0	SW 1	NW 0	4	1	1	2.6	
3	10.0	13.1	8.2	10.4	−1.0	720.1	721.1	720.0	78	53	85	W 2	W 2	NW 0	10	10	0	.	
4	13.1	11.1	9.4	11.2	0.0	715.4	715.2	719.9	62	80	71	SW 5	NW 4	W 1	10	10●	3	18.4	● 8–16½
5	7.8	16.2	12.7	12.2	1.2	719.5	717.6	717.8	81	57	74	W 0	SW 1	W 2	0	0	10	0.5	● ⸗ n (5./6.)
6	11.6	15.7	10.4	12.6	1.8	720.3	721.8	723.8	59	48	57	SW 3	W 3	W 1	8	1	3	.	
7	4.5	14.7	13.6	10.9	0.3	722.7	720.3	718.5	98	62	73	N 0	S 1	SW 3	1	4	10	1.6	● ⸗ (7./8.)
8	11.5	15.5	10.0	12.3	1.9	722.6	725.1	726.0	63	43	70	SW 2	W 3	W 1	7	2	8	.	
9	8.7	17.2	14.0	13.3	3.1	723.1	721.3	720.8	79	59	75	W 1	SW 1	W 1	0	0	0	.	
10	13.4	22.5	15.5	17.1	7.1	719.9	717.9	718.3	76	51	80	W 1	SW 2	NW 1	0	2	0	0.6	
11	14.1	13.0	11.1	12.7	2.9	719.2	722.0	725.8	85	95	61	W 1	S 0	NW 2	10●	10	7	5.2	● 6¾–13¼
12	8.3	16.3	8.6	11.1	1.5	728.1	727.7	728.3	81	59	92	N 0	E 1	N 0	6	0	0	.	
13	7.1	14.6	10.6	10.8	1.4	728.0	727.2	726.5	100	76	96	N 0	SE 1	S 0	10≡	0	0	.	≡ n–8½
14	7.2	16.4	11.7	11.8	2.6	726.7	725.5	725.9	97	69	85	NW 0	SE 0	SE 0	2	0	0	.	△ fr.
15	9.3	18.9	11.8	13.3	4.3	724.4	722.9	722.7	100	66	92	SE 0	E 1	W 0	10	0	0	.	
16	10.3	16.7	11.8	12.9	4.1	721.6	721.4	722.2	97	75	93	SW 0	SE 1	NW 0	10	2	0	.	
17	11.0	14.3	11.6	12.3	3.7	723.1	722.7	723.0	97	84	96	NE 0	S 1	NW 0	10	9	0	.	
18	9.7	17.1	15.6	14.1	5.7	722.6	722.0	723.1	100	71	76	S 0	W 1	W 2	10≡	10	2	0.3	●°sch. 16¼, 21, ≡ n–8¼
19	14.5	17.5	12.5	14.8	6.6	723.8	724.6	726.5	69	43	66	W 2	NW 3	E 1	2	10	2	.	
20	8.9	14.6	9.6	11.0	2.9	726.2	725.3	725.3	77	56	59	NE 1	E 2	E 3	3	0	3	.	
21	5.8	11.8	5.9	7.8	−0.1	725.1	724.9	724.6	80	66	91	NE 3	SE 1	NW 0	7	1	0	.	
22	4.0	9.5	4.3	5.9	−1.8	721.7	719.1	717.7	97	76	97	E 0	SE 1	NE 1	7	2	0	.	≡ n–12¾
23	3.9	5.1	2.6	3.9	−3.6	716.9	716.9	719.1	89	84	93	NE 1	NE 2	NE 1	10	10	10	.	
24	3.3	4.9	2.3	3.5	−3.9	720.5	721.0	720.9	87	84	82	E 1	E 1	NE 1	10	10	10	.	
25	3.2	6.3	4.7	4.7	−2.5	719.1	717.0	714.6	88	80	95	N 0	E 1	N 0	10	10	9	0.5	
26	5.3	8.8	7.7	7.3	0.3	712.4	712.7	712.3	97	93	98	W 0	SW 0	W 0	10●	10●	10	0.7	●° n–14 zeitw.
27	6.4	10.3	5.2	7.3	0.4	709.7	709.4	711.2	90	53	92	SW 0	W 2	W 1	7	9	10	12.6	● 20–n
28	2.8	3.6	2.3	2.9	−3.8	710.0	709.3	711.2	96	89	98	NW 0	NE 0	NE 0	10●	10	10	5.7	● n–a, ● ✳ seit 18 m.U.
29	2.7	6.0	3.6	4.1	−2.4	712.4	713.3	715.0	98	82	82	NE 0	E 0	NE 1	10	10	10	.	
30	4.4	7.6	2.3	4.8	−1.6	715.3	716.0	717.6	65	62	86	N 1	SE 1	NE 0	10	10	0	.	
31	0.4	7.2	2.6	3.4	−2.8	719.9	720.0	720.4	98	72	95	NE 0	SE 0	N 0	10	0	0	.	⌣ fr.
Mittel	7.8	12.8	8.9	9.8	—	720.5	720.1	720.7	86	69	84				7.2	5.3	4.1	Summe 54.5	

Oktober 1938.
Beobachter: Frl. *H. Nager.*

Altdorf

$\lambda = 8^\circ 39'$, $\beta = 46^\circ 53'$,
$H_b = 456.3^m$, $G = -0.05$ m/m.

Tag	Lufttemperatur 7³⁰	13³⁰	21³⁰	Mittel	Abweich. vom Normalst.	Luftdruck 7³⁰	13³⁰	21³⁰	Relative Feuchtigkeit 7³⁰	13³⁰	21³⁰	Windrichtung und Stärke 7³⁰	13³⁰	21³⁰	Bewölkung 7³⁰	13³⁰	21³⁰	Niederschlag	Witterung
1	14.0	11.8	11.9	12.6	0.7	723.7	726.0	726.0	71	80	93	NW 2	E 0-1	NW 0	10●	10	8	16.2	● |
2	9.8	16.3	10.4	12.2	0.4	725.0	722.6	722.7	95	52	89	SE 0	NW 0	NE 0	5	3	6	.	
3	11.2	11.2	6.4	9.6	-2.0	722.5	723.7	723.8	93	86	93	NW 0	NE 0	SE 0	10●	10●	4	6.2	● 6¾-p
4	9.5	12.0	10.4	10.6	-0.8	717.5	718.1	722.6	82	88	95	NW 0	NW 0-1	NW 0	10	10●	10	5.0	● seit 12½
5	8.6	14.7	9.5	10.9	-0.3	722.0	720.6	721.4	95	50	90	SE 0	NW 0	NW 0	4	2	6	0.6	
6	10.2	15.4	11.3	12.3	1.3	722.6	723.8	726.9	94	46	78	SE 0	NW 0	NE 0	10●	7	6	.	● |
7	6.4	13.6	9.3	9.8	-1.1	725.4	722.2	721.3	93	54	96	SE 0	NW 0	NW 0	4	2	6	4.1	
8	11.4	14.0	9.3	11.6	0.9	723.4	726.6	729.0	95	49	89	SE 0	NW 0-1	SE 0	10●	8	4	1.1	● |
9	8.7	15.3	9.9	11.3	0.8	725.8	723.3	724.0	88	50	87	NE 0	NW 0	W 0	8	0	2	.	
10	7.1	**18.6**	10.3	12.0	1.7	722.9	720.5	721.5	90	46	89	E 0	NW 0	E 0	0	0	0	.	
11	9.2	15.7	11.3	12.1	1.9	721.6	723.7	728.8	95	78	95	W 0	NW 0-1	NW 0	3	10●	10●	8.6	● 13½-n
12	10.1	13.1	9.3	10.5	0.5	730.7	730.6	**731.4**	96	67	96	W 0	NW 0	NW 0	10●	10	10	0.0	●° |
13	6.4	14.6	8.4	9.8	0.0	730.4	729.8	729.4	98	61	92	NW 0	NW 0	NE 0	3	4	0	.	
14	6.1	16.2	9.0	10.4	0.7	729.6	728.2	729.0	95	**45**	92	NW 0	W 0	NW 0	2	0	0	.	
15	5.8	15.1	9.4	10.1	0.6	726.7	727.0	725.6	96	96	98	S 0	S 0	NW 0	0	0	0	.	
16	6.7	14.8	8.9	10.1	0.8	724.4	723.6	724.7	98	72	95	SE 0	NW 0	NW 0	5	0	0	.	
17	6.3	15.7	11.2	11.1	1.9	725.8	724.6	725.8	96	60	94	NW 0	NW 0	NW 0	2	0	8	.	
18	8.2	16.7	12.9	12.6	3.6	724.9	724.2	725.9	96	60	60	SE 0	W 0	W 0	7	6	10●	1.3	● 21½-n
19	11.8	17.3	13.7	14.3	5.4	726.4	726.4	728.9	95	49	58	E 0	NW 0	SE 1	10●	9	10	0.0	● |
20	8.6	13.7	8.7	10.3	1.6	729.3	728.0	728.6	90	65	92	NE 0	NW 0	NE 0	10	2	0	.	
21	5.8	10.9	4.5	7.1	-1.4	728.4	728.9	727.9	74	62	95	NE 0	NW 0	E 0	6	1	0	.	
22	5.9	9.0	8.0	7.6	-0.8	723.8	721.2	720.4	92	72	75	N 0	NW 0	NE 0	8	10	10	.	
23	6.4	7.4	6.8	6.9	-1.3	719.5	719.6	721.8	85	85	91	E 0	NW 0	NE 0	10	10	10	.	
24	6.3	8.3	6.6	7.1	-1.0	722.8	723.2	722.9	75	68	80	SE 0	NW 0	NW 0	10	10	10	.	
25	3.8	9.3	3.0	5.4	-2.5	721.7	719.1	717.0	80	64	92	NW 0	NW 0	E 0	4	2	0	.	
26	6.4	9.9	7.9	8.1	0.3	714.6	715.0	714.7	95	74	95	E 0	NW 0	NW 0	8	10	10	0.4	
27	7.9	8.3	6.9	7.7	0.1	712.5	712.1	713.8	97	86	95	NW 0	NW 0	NW 0	10	10	10	6.4	
28	4.4	4.3	3.5	4.1	-3.4	712.2	**711.7**	713.7	94	91	94	E 0	SE 0	E 0	10●	10●	10●	10.0	● n-n, ✳ 16
29	2.9	7.8	5.1	5.3	-2.0	715.3	715.8	717.7	91	53	83	SE 0	NW 0	NE 0	10	8	10	.	
30	4.7	6.6	4.7	5.3	-1.9	718.0	718.8	720.6	82	59	88	W 0	W 0	SE 0	10	10	10	.	
31	**0.6**	7.5	1.0	3.0	-4.0	723.1	722.2	723.6	90	51	94	SE 0	NW 0	E 0	3	2	0	.	
Mittel	7.5	12.4	8.4	9.4	—	723.0	722.6	723.6	90	65	89				6.8	5.7	5.8	Summe 59.9	

Oktober 1938.
Beobachter: *Observatorium.*

Genf

$\lambda = 6^\circ 9'$, $\beta = 46^\circ 12'$,
$H_b = 405.0^m$, $G = -0.03$ m/m.

1	12.4	15.8	13.0	13.7	1.4	730.1	729.9	730.5	98	75	88	NW 1	E 1	E 0	10●	9	10	0.6	●° a
2	8.3	17.2	13.2	12.9	0.8	729.4	727.7	727.3	93	59	79	NW 0	W 1	NE 0	0	1	3	2.2	● n (2./3.)
3	11.0	14.8	9.0	11.6	-0.3	728.1	728.6	727.5	85	61	76	NW 0	SSW 1	E 0	10	9	0	.	
4	12.8	12.4	12.0	12.4	0.6	724.8	725.4	727.5	61	87	86	W 1	W 1	SW 1	10	10	9	7.2	●sch. a, ●° p-n
5	8.2	16.2	14.2	12.9	1.3	727.0	725.4	725.8	89	55	69	N 0	S 1	W 1	0	0	9	1.5	● n (5./6.)
6	12.6	15.8	9.4	12.6	1.2	728.9	730.0	731.4	72	58	67	SSW 1	SSW 1	NE 0	9	1	0	.	
7	4.0	16.0	15.6	11.9	0.7	730.1	727.8	726.9	90	62	64	NNE 0	E 0	SSW 1	0	3	9	1.0	● 23½-n
8	12.6	15.8	9.2	12.5	1.5	730.6	733.3	733.6	83	49	67	SSW 1	SSW 1	NE 0	9	2	0	.	
9	6.2	20.6	14.6	13.8	3.0	731.1	729.2	728.5	88	**48**	66	SE 0	W 1	NE 0	0	0	0	.	
10	12.0	**24.2**	18.6	18.3	7.6	727.6	725.2	725.9	79	48	64	NE 0	SSW 1	SW 1	0	0	3	.	
11	16.2	16.0	13.3	15.2	4.7	726.8	729.1	732.4	81	90	88	SSW 1	NE 0	NNE 1	9	10	9	6.4	●° 7¼-a
12	11.6	14.8	11.3	12.6	2.3	735.0	734.6	735.2	73	68	80	NE 1	NNE 1	E 0	9	0	0	.	
13	7.0	18.4	11.0	12.1	2.0	**736.3**	734.1	733.7	94	69	90	E 0	E 0	NE 0	0	0	0	.	△ fr.
14	7.0	16.1	11.2	11.4	1.5	734.1	732.7	733.0	91	74	87	E 1	NNE 1	E 0	1	0	1	0.1	
15	6.6	16.0	12.2	11.6	1.8	731.5	730.2	729.9	94	75	86	E 0	NNE 0	E 0	0	0	0	.	△ fr.
16	10.0	17.6	13.0	13.5	3.9	729.0	728.3	729.4	95	74	94	E 0	NNE 0	NE 0	10	3	0	0.1	△ fr.
17	9.4	20.0	13.2	14.2	4.8	730.3	729.7	729.9	95	58	82	NE 0	W 1	E 0	1	9	1	.	△ fr.
18	9.4	19.8	15.0	14.7	5.5	730.0	729.8	730.8	92	62	75	E 0	SSE 1	SW 0	3	9	9●	0.3	△ fr., ●° n
19	13.6	19.0	11.5	14.7	5.7	732.1	732.3	733.6	89	52	68	E 0	SSW 1	NE 0	3	9	0	.	
20	6.5	14.6	10.4	10.5	1.6	733.0	731.4	731.8	90	58	68	NNW 0	NNE 2	NNE 1	9	0	0	.	
21	7.6	10.6	7.2	8.5	-0.2	732.0	731.8	731.8	80	75	81	NNE 1	NNE 1	E 0	10	1	0	.	
22	8.0	11.4	8.8	9.4	0.9	728.4	725.7	723.6	91	78	89	NE 0	NE 0	NE 1	10	3	9	.	
23	7.2	9.6	6.0	7.6	-0.7	723.5	723.5	726.5	85	79	85	NE 0	NNE 1	NNE 1	10	10	10	.	
24	5.7	7.1	6.0	6.3	-1.9	727.5	727.8	727.4	85	81	85	NNE 1	E 1	NE 1	10	10	10	.	
25	5.5	7.0	7.0	6.5	-1.5	726.0	724.0	721.9	85	83	86	ENE 1	NE 0	NE 0	10	10	10	6.2	● n (25./26.)
26	7.0	9.2	9.2	8.5	0.7	720.1	719.9	719.6	97	95	95	E 0	E 0	ENE 1	10●	10●	10	7.1	● n-16
27	5.9	10.8	5.8	7.5	-0.2	717.6	717.1	718.7	78	44	78	S 1	SW 1	SSW 1	6	10	10●	4.1	●° 17¼-n m.U.
28	3.2	2.5	2.4	2.7	-4.8	717.2	**716.8**	719.0	93	95	93	W 1	S 1	SW 1	10●	10●	10●	14.8	● ✳° a, ● p-n
29	2.8	5.0	4.2	4.0	-3.3	719.9	720.7	722.6	93	85	87	NNE 0	NNE 0	NNE 0	10	10	10	.	●°sch. a
30	3.6	7.8	3.2	4.9	-2.3	722.9	723.3	724.9	89	65	80	NNE 0	NNE 0	E 0	10	10	0	.	
31	**0.0**	7.8	4.0	3.9	-3.1	726.8	727.1	727.7	93	68	90	ENE 0	NNE 1	NE 0	5	1	0	.	
Mittel	8.2	13.9	10.1	10.7	—	728.0	727.5	728.0	87	69	80				6.3	5.3	4.6	Summe 51.6	

$\lambda = 8^\circ 33'$, $\beta = 47^\circ 23'$.
$H_b = 493.2^m$, $G = 0.03$ ‰.

Zürich

Oktober 1938.
Beobachter: *Meteorol. Zentralanstalt.*

Tag	Lufttemperatur 7³⁰	13³⁰	21³⁰	Mittel	Abweich. vom Normalst.	Luftdruck 7³⁰	13³⁰	21³⁰	Relative Feuchtigkeit 7³⁰	13³⁰	21³⁰	Windrichtung und Stärke 7³⁰	13³⁰	21³⁰	Bewölkung 7³⁰	13³⁰	21³⁰	Niederschlag	Witterung
1	12.6	11.6	11.7	12.0	0.7	720.6	722.1	722.3	98	92	96	W 2	SSW 1	SE 1	10●	10●	10	0.4	● 2¾–15, 23¾–24½
2	11.4	17.4	11.6	13.5	2.4	721.4	719.4	718.6	100	45	78	S 0	W 1	SE 2	9	5	6	0.1	
3	9.8	11.2	7.1	9.4	−1.5	719.7	720.5	719.5	74	81	96	NW 2	SE 1	SE 1	10●	10	2	2.8	● 5¾–17¼ m.U.
4	11.5	12.3	10.3	11.4	0.7	714.2	714.9	719.1	52	84	66	SSW 3	WNW 3	SW 2	10	10●	2	7.7	●° 4¾–7, ●² 11¾–16¾
5	7.8	15.6	13.3	12.2	1.7	718.7	716.7	717.3	89	47	53	SE 1	SW 1	SW 3	2	4	9	1.4	
6	9.6	15.0	9.6	11.4	1.0	719.2	720.5	723.6	90	46	65	WNW 2	WSW 2	SSW 1	10	5	10	0.1	●° 2¾–7½ m.U.
7	5.5	16.3	14.6	12.1	1.9	721.7	719.1	717.1	98	45	51	ESE 0	WNW 1	W 2	5	1	10	3.5	
8	10.7	14.2	8.6	11.2	1.2	720.6	723.5	724.9	68	44	67	WNW 2	WNW 2	S 1	9	8	3	.	●° 0½–3 m.U., ● 3¾–5¾
9	10.1	20.0	12.7	14.3	4.5	722.4	720.0	719.6	70	**89**	75	S 1	S 1	SE 1	9	2	2	.	
10	10.6	**23.5**	15.0	16.4	6.7	719.3	717.3	717.6	93	44	81	SE 1	SSW 1	NNE 1	1	1	1	.	
11	13.3	12.2	10.6	12.0	2.5	718.2	721.2	725.4	88	93	97	SE 1	NW 2	NW 1	9	10●	10	3.9	●° 11¾, ● 13–19¾
12	9.4	14.3	7.8	10.5	1.2	**727.7**	727.1	727.5	94	58	85	WNW 0	ENE 1	ESE 0	9	5	0	.	
13	7.8	16.6	10.6	11.7	2.6	726.7	726.2	725.4	100	55	99	ESE 0	WNW 1	SE 0	10≡	4	6	0.1	≡ n-9
14	9.0	19.4	11.9	13.4	4.5	725.5	724.6	725.4	100	43	95	SE 1	WSW 1	SSW 0	5	1	6	.	
15	9.8	17.8	10.7	12.8	4.0	723.7	722.4	722.0	99	57	78	SE 1	N 1	NE 0	10	3	2	0.0	
16	9.1	17.2	11.2	12.5	3.9	721.0	720.4	721.5	100	58	99	NE 0	SSW 1	NNW 0	10≡	3	0	0.0	≡ n-mtgs.
17	9.8	20.7	12.5	14.3	5.9	722.3	721.3	722.1	100	46	94	SE 1	SSW 1	SE 1	10≡	4	6	.	≡ n-8, △ fr.
18	11.1	20.4	13.8	15.1	6.9	721.2	720.8	721.9	100	44	89	SE 1	SW 2	W 1	4	6	9	0.0	●°sch. 17¾, ⊕ a
19	12.8	16.6	10.8	13.4	5.3	722.7	723.2	726.0	93	51	75	WNW 1	NW 2	WNW 1	5	9	9	.	
20	8.2	14.8	7.7	10.2	2.3	726.1	725.3	725.4	93	44	68	NW 0	NNE 1	N 1	9	3	0	.	
21	4.7	14.1	7.1	8.6	0.9	725.0	723.7	724.5	95	43	67	NNE 0	NNW 1	NE 1	7	1	0	.	
22	4.0	11.3	4.1	6.5	−1.0	720.8	718.1	717.3	96	54	76	N 1	N 1	NW 1	10	1	0	.	
23	2.1	3.3	**0.8**	2.1	−5.3	716.9	717.2	718.5	90	85	98	NE 3	NNW 1	NNW 1	10	10	4	.	
24	2.2	3.3	3.6	3.0	−4.2	720.1	720.6	719.9	91	82	78	NE 1	N 2	NE 1	10	10	10	.	
25	3.8	9.5	4.0	5.8	−1.2	718.3	715.7	713.7	84	53	98	SSW 1	NW 1	NE 0	10	1	0	0.0	
26	3.7	9.6	8.2	7.2	0.4	711.6	711.9	711.5	97	67	99	NNE 0	WNW 0	NW 0	10	10	10●	2.0	●° 5¼–6, 15¼–23¼ m.U.
27	4.9	7.2	5.5	5.9	−0.8	709.5	709.2	710.4	96	75	91	WNW 1	WNW 1	WNW 0	10	10	10	1.1	●° 3¾–5¾, ●tr. 11–12
28	3.9	2.9	2.0	2.9	−3.6	709.4	**708.7**	710.1	96	90	98	N 1	NNE 1	NW 1	10	10●	10	**11.6**	● 0¼–15¼ zeitw., ✳ 15¼–[18½
29	2.7	6.6	4.3	4.5	−1.9	711.7	712.5	714.2	94	65	78	WNW 1	WNW 1	NW 1	10	9	10	.	
30	3.5	6.1	4.5	4.7	−1.5	714.6	715.4	717.1	87	67	87	NW 1	WNW 1	S 0	10	10	10	.	
31	1.2	7.7	1.8	3.6	−2.5	719.0	719.2	720.0	100	61	95	S 0	WNW 1	E 0	10≡	5	0	.	≡ n-9
Mittel	7.6	13.2	8.6	9.8	—	719.7	719.3	720.0	91	60	83				8.5	5.8	5.4	Summe 34.7	

$\lambda = 8^\circ 30'$, $\beta = 47^\circ 3'$.
$H_b = 1787.3^m$, $G = -0.20$ ‰.

Rigi-Kulm

Oktober 1938.
Beobachter: *J. Steiner.*

Tag	7³⁰	13³⁰	21³⁰	Mittel	Abweich. vom Normalst.	7³⁰	13³⁰	21³⁰	7³⁰	13³⁰	21³⁰	7³⁰	13³⁰	21³⁰	7³⁰	13³⁰	21³⁰	Niederschlag	Witterung
1	4.5	3.6	3.2	3.8	−1.6	616.3	617.2	617.6	90	90	90	W 2	W 2	SW 1	10	10	10≡	**19.4**	≡ III
2	3.7	7.2	5.2	5.4	0.2	616.6	615.6	615.2	87	70	86	SW 1	W 2	W 1	9	3	5	0.1	
3	3.2	0.6	0.6	1.5	−3.6	614.6	615.0	613.7	88	90	78	W 2	W 2	W 1	10≡	10✳	2	9.5	● seit 8, ● ✳ 10-p, ≡ I
4	6.2	3.7	1.8	3.9	−1.0	611.3	611.4	613.1	42	91	88	SW 3	SE 3	SW 1	10	10●	10≡	19.1	● 12-n zeitw., ≡ III
5	0.6	5.0	2.6	2.7	−2.1	613.8	612.8	613.1	91	80	83	S 1	SW 1	W 1	2	10≡	10≡	1.1	≡ 10-n
6	1.6	3.2	0.3	1.7	−2.9	614.3	616.0	617.4	87	87	86	W 2	W 2	W 2	10≡	10	2	1.2	≡ I
7	4.3	8.8	6.0	6.4	2.0	616.4	616.0	614.8	27	30	49	SW 1	S 1	W 1	1	1	2	5.3	
8	3.5	1.2	0.0	1.6	−2.7	615.0	617.9	619.2	92	94	82	SW 2	W 2	SW 2	10●	10≡	5	0.6	● I, ≡ II
9	7.4	7.4	10.6	8.5	4.4	617.6	617.1	617.6	41	58	37	SW 3	SW 2	SW 2	10	0	1	.	
10	9.8	**13.7**	9.0	10.8	6.9	616.9	616.5	616.2	56	41	67	SW 2	SW 1	SW 2	0	0	0	.	
11	7.4	6.8	1.8	5.3	1.5	615.6	617.3	619.2	82	88	90	SW 1	WSW 1	SW 1	10	10m	10≡	6.0	●° 15-n zeitw., ≡ 10-n
12	2.8	6.2	5.7	4.9	1.3	621.1	621.6	622.3	90	59	43	SSW 1	W 0	W 1	4	0	0	.	
13	7.4	10.4	9.2	9.0	5.6	622.0	**622.4**	622.1	39	32	40	SW 1	WSW 1	W 2	1	1	1	.	
14	9.4	9.8	7.5	8.9	5.6	621.5	621.2	621.6	42	34	39	WSW 2	WSW 2	W 1	1	1	0	.	
15	8.7	10.7	10.0	9.8	6.7	619.4	619.2	618.6	44	37	59	SW 1	W 1	W 1	0	0	1	.	
16	10.0	11.0	8.6	9.9	6.9	617.5	617.9	618.4	48	39	49	SW 1	W 1	W 2	1	3	1	.	
17	7.0	8.0	6.2	7.1	4.3	618.5	618.4	618.9	62	76	82	WSW 1	SW 1	W 2	0	1	3	.	
18	8.1	8.7	8.3	8.4	5.7	618.1	618.3	618.7	40	56	63	SW 1	SW 2	W 2–3	1	8	6	0.2	
19	5.5	5.3	1.8	4.2	1.6	618.8	619.1	619.4	88	92	96	W 3	W 2	W 1	10≡	10≡	10≡	0.1	≡ n-n
20	0.8	3.0	0.5	1.4	−1.0	619.5	619.3	618.8	76	68	54	SW 1	SE 1	E 2	1	5	1	.	
21	3.4	5.7	3.7	4.3	2.0	618.3	618.3	618.6	**17**	**17**	68	E 3	E 1	W 1	2	1	0	.	∨ II
22	3.0	4.8	2.0	3.3	1.1	615.0	613.1	612.4	70	25	40	ESE 1	ENE 1	W 1	0	0	1	.	∨ II
23	2.2	3.2	1.8	2.4	0.3	611.0	611.7	612.4	73	70	60	WSW 1	W 1	E 1	2	4	0	.	∨ II
24	1.6	2.0	4.7	2.8	0.9	613.4	613.8	613.6	43	31	26	E 1	E 2	SE 3	0	0	0	.	
25	3.0	6.0	5.6	4.9	3.1	612.6	611.7	610.5	45	42	34	WNW 2	SE 1	S 2	0	1	1	.	
26	4.3	6.0	1.8	4.0	2.3	608.0	608.3	606.4	54	50	70	SW 1	SW 1	SW 1	10	10	10	4.0	
27	0.8	0.0	−2.4	−0.5	−2.1	605.0	604.7	605.5	90	90	97	WSW 1	W 1	WNW 1	10■	10✳	10✳	4.7	✳° 13½-n, ≡ I
28	−4.6	−3.0	−4.8	−4.1	−5.6	603.3	**602.8**	603.9	70	86	76	NNE 1	SE 1	S 1	10✳	10✳	10≡	7.3	✳ I, II, ≡ III
29	−5.6	−1.8	−5.0	−4.1	−5.4	605.1	607.3	607.7	92	85	90	SW 1	W 1	W 1	10■	10≡	10≡	.	≡ n-n
30	−4.5	−3.3	−5.2	−4.3	−5.5	607.8	608.6	610.1	95	85	89	SW 1	SW 1	SW 1	10≡	10≡	10≡	0.1	≡ n-n
31	−3.2	−0.1	−1.0	−1.4	−2.5	611.8	612.7	613.5	50	52	30	SW 1	SW 1	E 1	1	0	1	.	
Mittel	3.7	5.0	3.3	4.0	—	614.7	614.9	615.2	65	63	66				5.0	5.1	4.3	Summe 78.7	

Oktober 1938.
Beobachter: *P. Nogler.*

Bevers

$\lambda = 9^\circ 53'$, $\beta = 46^\circ 33'$.
H_b = ca. 1710^m, $G = -0.23$ m/m.

Tag	Lufttemperatur 7³⁰	13³⁰	21³⁰	Mittel	Abweich. vom Normalst.	Luftdruck 7³⁰	13³⁰	21³⁰	Relative Feuchtigkeit 7³⁰	13³⁰	21³⁰	Windrichtung und Stärke 7³⁰	13³⁰	21³⁰	Bewölkung 7³⁰	13³⁰	21³⁰	Niederschlag	Witterung
1	9.3	11.2	5.7	8.7	3.4	621.9	622.9	623.1	90	82	85	NW 1	NW 2	N 1-2	8	10●	10	7.8	● 13-16¾, abds.
2	4.2	12.2	4.3	6.9	1.7	622.8	621.4	622.4	97	49	89	NW 1	SW 2	W 2	7	7	3	.	
3	5.2	6.8	1.3	4.4	−0.6	621.0	620.9	621.9	98	83	100	NW 1	NE 1	NE 1	9	10●	10●	11.9	● a-n, ✳ 19¼
4	4.2	7.8	4.1	5.4	0.6	620.6	619.4	620.6	98	70	100	S 1	W 2	W 1	10	10	6	4.7	
5	2.2	11.8	3.2	5.7	1.1	621.2	619.5	620.0	98	52	95	NW 1	NE 2	W 1	10	1	10	.	
6	0.1	10.7	0.3	3.7	−0.7	620.4	621.9	623.8	100	49	82	SW 0	W 1	W 0	1	3	0	.	
7	−2.5	11.7	5.9	5.0	0.8	624.2	622.9	622.0	94	38	84	SW 0	W 2	SW 0	4	2	5	.	
8	3.4	10.1	1.4	5.0	1.0	621.0	622.3	625.7	98	40	78	W 0	S 3	SW 1	8	0	0	.	
9	−0.3	14.0	2.5	5.4	1.5	624.4	623.4	624.6	94	39	87	W 0	S 2-3	SW 0	2	0	2	.	
10	−1.0	15.1	5.1	6.4	2.7	624.1	622.7	623.3	97	38	96	W 0	SW 2	W 2	0	0	7	.	
11	6.3	12.2	4.8	7.8	4.3	623.0	622.9	625.1	84	54	96	NE 1	S 2	W 1	9	3	9	.	
12	4.9	11.2	3.8	6.6	3.3	627.3	626.8	628.8	100	42	96	WSW 0	SW 2	SW 1	7	2	7	.	
13	0.8	15.2	3.3	6.4	3.3	**629.0**	628.7	628.6	98	40	76	W 1	W 1	W 1	4	3	0	.	
14	0.4	**16.2**	3.2	6.6	3.7	628.3	628.3	627.6	88	46	84	NW 0	S 2	S 1	5	3	0	.	
15	−0.5	**16.2**	4.8	6.8	4.1	626.3	624.4	625.5	98	36	84	WNW 1	W 3-4	W 0	0	2	0	.	
16	1.5	15.8	3.2	6.8	4.3	625.2	623.9	625.4	98	35	87	W 1	SW 2	SW 1	9	2	0	.	
17	−0.3	15.1	4.6	6.5	4.2	625.2	624.1	625.6	100	46	89	WSW 0	W 2	W 1	0	0	0	.	⊔ fr.
18	1.0	13.8	3.3	6.0	3.9	625.3	625.5	625.2	100	40	94	W 1	NW 2	W 1	1	3	1	.	
19	−0.5	13.7	8.4	7.2	5.3	625.1	624.0	625.1	100	38	59	WSW 0	W 0	NW 3	2	6	9	.	⊔ fr.
20	3.0	8.4	−0.4	3.7	2.0	625.0	623.9	625.2	82	38	61	NE 1	SW 3	W 1	6	1	0	.	
21	−6.0	8.0	−2.4	−0.1	−1.6	625.9	623.7	624.2	94	35	62	W 1	NE 2	NW 0	5	0	0	.	
22	−6.3	6.4	−1.2	−0.4	−1.7	622.1	618.9	618.8	88	64	100	NW 0	SW 3	NW 1	0	0	10	.	⊔ fr.
23	−2.2	7.1	−3.4	0.5	−0.6	617.5	616.5	619.4	85	45	97	W 1	S 1	W 0	4	0	0	.	
24	−7.2	7.5	−4.0	−1.2	−2.2	620.0	619.6	621.4	100	**29**	75	W 0	NE 2	N 0	0	0	0	.	⊔ fr.
25	−6.2	8.9	−1.1	0.5	0.3	620.4	618.3	618.2	87	32	71	W 0	NW 2-3	NW 0	0	0	3	.	⊔ fr.
26	−0.4	4.7	1.8	2.0	1.4	616.1	614.2	613.6	85	87	100	W 1	NW 1	NW 0	10	10	10	3.2	● 11½-n m.U.
27	1.7	4.8	2.5	3.0	2.6	611.5	610.7	610.6	100	86	100	N 1	SW 1	W 0	10●	10●	10●	4.1	● n-n zeitw.
28	1.7	1.3	−3.9	−0.3	−0.5	610.6	**607.7**	610.8	76	98	94	NW 2	NE 2	NW 0	10✳	10✳	0	**18.3**	✳ n-n
29	−6.0	0.8	−6.0	−3.7	−3.7	612.1	612.5	613.7	94	72	96	NE 0	SW 1	SW 0	2	3	0	0.1	
30	−2.9	1.4	−2.3	−1.3	−1.1	613.7	614.1	616.7	95	66	92	NE 1	NE 2	NW 1	9	10	9	.	✳° 14-15
31	**−9.3**	1.2	−7.0	−5.0	−4.7	618.5	618.2	619.7	91	52	92	W 0	W 0-1	W 0	1	0	0	.	
																		Summe	
Mittel	0.0	9.7	1.5	3.7	—	621.6	620.8	621.8	94	52	87				4.9	3.6	3.9	50.1	

Oktober 1938.
Beobachter: *Kapuzinerkloster.*

Sitten

$\lambda = 7^\circ 21'$, $\beta = 46^\circ 14'$,
$H_b = 548.6^m$, $G = -0.11$ m/m.

Tag	Lufttemperatur 7³⁰	13³⁰	21³⁰	Mittel	Abweich. vom Normalst.	Luftdruck 7³⁰	13³⁰	21³⁰	Relative Feuchtigkeit 7³⁰	13³⁰	21³⁰	Windrichtung und Stärke 7³⁰	13³⁰	21³⁰	Bewölkung 7³⁰	13³⁰	21³⁰	Niederschlag	Witterung
1	13.7	17.4	12.4	14.5	2.0	714.7	714.1	715.1	80	57	76	W 1	W 2	W 1	10●	6	5	0.6	
2	10.0	17.9	11.2	13.0	0.7	715.5	711.8	713.5	82	48	83	NE 1	W 1	W 2	3	0	2	.	
3	11.6	13.7	8.5	11.3	−0.8	712.8	713.2	714.2	83	69	78	ENE 1	W 2	W 1	10	10	4	0.6	
4	8.7	12.7	9.7	10.4	−1.5	712.6	709.9	713.2	79	76	89	W 1	NE 1	W 1	10	10●	0	**13.4**	● n-p m.U.
5	9.0	15.8	11.1	12.0	0.3	713.4	710.1	712.0	95	51	78	NE 1	E 1	E 1	5	0	1	.	
6	10.0	16.9	11.3	12.7	1.2	713.6	713.8	716.6	89	50	67	ENE 1	W 3	W 1-2	7	2	0	.	
7	6.4	15.5	11.1	11.0	−0.3	716.5	713.0	712.4	81	**43**	76	NE 1	NE 1	W 1	1	1	7	1.7	
8	10.9	16.2	11.3	12.8	1.7	714.8	715.6	718.6	94	51	62	E 1	W 3	W 1	9	5	1	0.7	● a m.U.
9	8.0	17.2	11.9	12.4	1.5	717.9	714.2	715.2	87	46	77	NE 1	NE 1	NE 1	5	0	0	.	
10	9.0	**19.5**	14.9	14.5	3.8	714.8	710.8	711.6	78	44	67	E 1	E 0	E 2-3	0	0	0	.	
11	9.8	18.9	13.5	14.1	3.6	712.9	713.1	716.8	90	59	79	NE 1	W 1-2	W 1-2	4	7	9	0.0	● ° (20½)
12	11.8	16.6	10.7	13.0	2.7	720.0	719.1	721.4	84	61	88	W 1	NE 1	W 1	10	2	0	.	
13	8.6	17.3	12.1	12.7	2.6	**721.6**	720.0	720.0	95	53	76	E 1	E 1	E 1	8	1	2	.	
14	7.9	17.1	12.3	12.4	2.5	720.1	717.6	719.5	84	49	60	NE 1	NW 1	NW 2	2	1	0	.	
15	6.7	16.9	11.8	11.8	2.1	717.7	714.6	716.1	90	49	78	ENE 1	SW 1-2	W 1	0	0	0	.	
16	8.8	16.9	12.9	12.9	3.3	714.9	713.5	715.4	92	51	78	ENE 1	E 1	E 1	9	2	0	.	
17	7.9	16.7	14.0	12.9	3.5	717.0	714.6	716.2	99	58	78	ENE 1	W 1-2	W 2	0	1	5	.	
18	8.7	16.5	13.6	12.9	3.7	716.5	714.9	715.8	95	55	76	ENE 1	ENE 1	E 0	5	8	8	1.4	
19	10.7	18.1	13.6	14.1	5.1	717.4	716.3	717.5	99	59	62	ENE 1	W 1-2	E 2	4	2	0	.	
20	8.4	15.2	9.5	11.0	2.2	718.6	716.0	717.0	85	54	81	ENE 1	E 1	W 1-2	10	1	0	.	
21	6.7	13.3	6.9	9.0	0.4	717.4	716.3	717.9	92	61	92	ENE 1	W 2	W 2	8	0	0	.	
22	3.6	12.5	7.9	8.0	−0.5	714.3	710.5	711.6	98	58	85	N 1	W 1-2	W 1	1	1	1	.	
23	7.2	13.6	8.4	9.7	1.4	709.5	707.8	712.3	86	56	83	ENE 1	W 1	W 1	9	3	3	.	
24	7.4	10.8	5.8	8.0	−0.1	712.9	712.2	713.2	80	63	90	NW 1	WNW 1	W 1	10	4	8	.	
25	2.2	11.4	6.8	6.8	−1.1	712.8	709.1	708.1	94	54	84	E 1	NW 1	W 1	0	7	7	0.0	
26	9.3	11.3	8.2	9.6	1.9	706.1	705.8	705.5	67	77	97	NE 1	W 1	W 1	10●	10	10●	0.7	● I, III
27	9.0	9.6	7.4	8.7	1.1	702.9	702.0	702.5	87	67	60	W 1	W 2	W 1	10≡	10	10●	6.5	≡ I, ● III
28	2.9	2.8	2.8	2.8	−4.6	701.6	**701.3**	703.8	90	92	90	W 2	W 1	W 1	10●	10●✳	10	8.3	● ✳ I, a, II
29	2.1	6.4	4.8	4.4	−2.8	705.4	705.6	707.3	90	55	84	E 1	ENE 1-2	W 1	9	4	10	.	
30	4.4	7.6	5.4	5.8	−1.2	708.4	709.5	710.4	83	60	81	E 1	E 1	E 1	10	8	8	.	
31	**−0.3**	8.4	2.9	3.7	−3.2	713.0	712.1	713.4	83	49	84	NE 1	E 1	E 1	0	0	5	0.0	
																		Summe	
Mittel	7.8	14.2	9.8	10.6	—	713.8	712.2	713.7	88	57	79				6.1	3.7	3.7	33.9	

λ = 8° 57′, β = 46° 0′,
H_b = 276.2 m, G = −0.01 m/m.

Lugano

Oktober 1938.
Beobachter: *G. Vicari.*

Tag	Lufttemperatur 7³⁰	13³⁰	21³⁰	Mittel	Abweich. vom Normalst	Luftdruck 7³⁰	13³⁰	21³⁰	Relative Feuchtigkeit 7³⁰	13³⁰	21³⁰	Windrichtung und Stärke 7³⁰	13³⁰	21³⁰	Bewölkung 7³⁰	13³⁰	21³⁰	Niederschlag	Witterung
1	16.4	15.4	12.6	14.8	0.4	737.6	738.3	738.3	87	86	89	NNW 0	N 1	N 1	10	8	0	27.7	● 9½–12½, ●sch. 14–14½
2	10.6	**19.6**	14.8	15.0	0.8	739.1	738.3	738.5	77	**53**	85	N 1	E 0	W 0	0	7	10	26.2	● 22¼–n
3	14.2	15.8	11.0	13.7	−0.3	738.2	737.7	738.6	93	84	88	SE 1	ESE 0	NNE 1	10●	10	10●	**55.0**	● n–n m.U., ⌒° 16½
4	11.6	15.6	11.4	12.9	−0.9	738.3	737.0	737.2	88	68	82	N 1	S 0	N 1	10	10	2	4.1	● 13½–17½ m.U.
5	8.8	17.8	14.8	13.8	0.2	737.9	736.7	737.1	88	56	90	N 1	SE 0	N 1	0	4	10●	0.3	●° 21–21¾
6	10.6	18.8	12.6	14.0	0.6	736.7	737.2	739.3	92	62	94	N 1	S 0	NNE 1	0	0	0	.	
7	9.6	17.8	13.2	13.5	0.3	741.9	741.3	739.6	93	68	92	N 0	SE 1	N 0	5	2	10	.	
8	10.8	17.6	12.6	13.7	0.7	738.3	737.5	740.1	91	66	91	N 0	ESE 0	N 1	4	4	5	.	
9	7.8	17.4	13.4	12.9	0.1	742.1	741.2	741.1	85	64	94	N 1	SE 1	N 1	5	0	3	.	
10	10.6	16.2	14.8	13.9	1.3	741.5	741.1	740.5	97	73	90	NW 1	SW 0	N 1	5	10	10	.	
11	14.6	19.2	13.6	15.8	3.4	740.0	740.1	742.0	94	68	94	N 1	SSE 1	N 1	10	7	0	.	
12	10.6	18.0	13.8	14.1	1.8	743.5	744.0	745.7	96	68	94	N 1	SE 1	N 1	0	0	0	.	
13	12.6	18.8	13.6	15.0	2.9	**745.9**	744.6	744.5	95	72	95	N 1	SE 1	NNE 1	8	0	0	.	
14	11.6	19.0	12.8	14.5	2.6	744.2	742.5	742.0	95	64	96	N 1	E 1	N 1	5	0	0	.	
15	10.6	18.0	13.2	13.9	2.2	742.5	741.1	741.0	94	68	94	N 1	E 0	N 1	0	1	0	.	
16	10.6	18.2	12.2	13.7	2.2	741.1	740.5	741.7	95	68	95	N 1	N 1	NNE 1	5	0	0	.	
17	10.0	17.8	12.0	13.3	2.0	742.2	741.4	742.8	93	66	92	N 1	S 1	N 1	0	0	0	.	
18	10.2	17.4	11.6	13.1	2.0	742.7	741.7	742.3	97	66	97	N 1	SE 1	NNE 1	0	7	0	.	
19	10.6	17.8	13.4	13.9	3.0	742.0	740.5	739.7	94	66	82	N 1	E 0	N 1	7	7	0	.	
20	15.4	18.2	13.8	15.8	5.1	739.4	739.0	741.5	46	68	92	SE 1	S 1	NW 1	10	0	7	.	
21	13.6	15.0	9.4	12.7	2.1	743.6	743.0	741.6	86	58	90	N 1	S 1	N 1	10	8	0	.	
22	7.8	11.0	8.8	9.2	−1.2	740.3	739.1	737.5	94	82	91	N 1	NW 0	NNE 1	7	10	10	.	
23	9.6	11.6	8.0	9.7	−0.5	736.3	736.3	737.9	84	58	93	N 1	S 1	N 1	10	1	0	.	
24	6.6	11.8	6.2	8.2	−1.8	739.5	738.5	739.7	93	56	88	NW 0	W 1	N 1	10	0	0	.	
25	**3.8**	12.0	7.6	7.8	−1.8	739.8	737.8	736.7	97	63	89	N 1	S 1	NNE 1	0	2	10	.	
26	9.6	10.4	8.8	9.6	0.0	734.0	732.4	731.1	94	95	99	N 1	W 1	N 1	10	10●	10●	4.5	●° 0½–n m.U.
27	9.6	11.0	9.6	10.1	0.7	728.0	727.5	726.9	99	96	99	N 1	S 0	WSW 0	10●	10●	10●	14.5	●° n–n m.U.
28	9.6	6.8	4.2	6.9	−2.3	**725.0**	**725.0**	727.8	91	83	97	NNE 1	NNW 1	N 1	10●	10●	0	25.8	● n–15½ m.U.
29	6.4	11.2	7.6	8.4	−0.6	730.1	729.9	730.1	92	63	88	N 1	W 1	NNE 1	5	7	10	.	●°sch. fr.
30	6.8	11.6	6.4	8.3	−0.5	731.0	731.3	734.3	87	56	90	N 1	SE 1	NNE 1	10	2	0	.	
31	4.0	11.8	6.2	7.3	−1.3	735.4	734.5	735.9	88	**53**	86	N 1	SE 1	N 1	0	0	0	.	
Mittel	10.2	15.4	11.1	12.2	—	738.7	738.0	738.5	90	68	91				5.7	4.4	3.8	Summe 158.1	

λ = 7° 35′, β = 47° 33′,
H_b = 318 m, G = 0.11 m/m.

Basel

Oktober 1938.
Beobachter: *Astronom.-Meteorol. Anstalt.*

Tag	7³⁰	13³⁰	21³⁰	Mittel	Abweich. vom Normalst	7³⁰	13³⁰	21³⁰	7³⁰	13³⁰	21³⁰	7³⁰	13³⁰	21³⁰	7³⁰	13³⁰	21³⁰	Niederschlag	Witterung
1	12.2	14.0	11.9	12.7	—	736.6	737.5	737.7	94	82	96	SW 1	S 1	ESE 1	10●	10	10	3.3	● 2–12¼, 15–15¼
2	10.2	17.3	10.1	12.5	—	737.1	734.8	733.6	95	61	96	SE 1	S 1	E 0	10	3	6	0.8	
3	10.1	13.1	6.9	10.0	—	735.7	736.2	734.6	91	67	91	WSW 1	WSW 1	SSE 1	10	10	0	.	● 4¾–6¼
4	10.2	12.2	9.2	10.5	—	738.0	730.0	734.5	82	76	75	W 1	WSW 2	W 1	10	10●	0	5.0	● 7¾–14¼ m.U.
5	6.9	15.8	12.6	11.8	—	734.5	732.3	731.7	93	56	68	ENE 1	W 1	SSE 1	7	6	8	2.5	△ fr.
6	9.2	15.6	6.8	10.5	—	735.2	736.8	739.1	92	49	87	SW 1	SW 1	SE 1	9	2	3	.	● 1–1¾, 3½–6½
7	4.6	17.4	10.8	10.9	—	737.5	734.0	731.9	90	49	86	ESE 1	ESE 1	ENE 1	5	6	10	2.2	● 22¾–23¼, △ fr., ⊕ a
8	10.8	14.0	10.7	11.8	—	737.3	739.6	740.5	73	53	70	W 2	WNW 1	SW 1	10	8	3	.	● 1½–1¾, 3–4
9	9.0	20.3	10.6	13.3	—	737.3	734.9	734.8	84	67	95	ENE 1	N 1	SSE 0	8	2	1	.	△ fr.
10	9.4	**23.6**	14.5	15.8	—	734.3	732.5	732.5	96	70	95	ESE 1	WNW 1	ESE 1	1	2	9	**17.4**	● 22¾–23, △ fr.
11	11.8	11.0	7.5	10.1	—	733.7	737.7	741.2	98	94	99	WNW 0	NW 1	S 0	10●	10●	1	5.3	● 0¾–14¾ m.U., 17¼–18
12	6.0	16.6	6.5	9.7	—	**743.7**	742.9	743.0	97	71	96	SE 1	E 1	SE 0	10≡	1	0	.	≡ 4–10
13	5.6	18.3	9.8	11.2	—	742.9	741.7	740.9	99	65	98	ESE 1	SE 1	SE 0	10≡	5	3	.	≡ 3½–9½
14	6.7	20.1	14.6	13.8	—	740.9	740.4	740.8	98	78	93	ESE 1	W 1	NW 0	4	1	10	.	
15	11.9	14.8	9.0	11.9	—	739.6	738.2	737.8	97	88	86	NW 1	NW 1	SSW 0	10	10	0	.	≡ 22½–n
16	9.4	13.8	11.4	11.5	—	736.5	736.3	736.9	99	84	96	SSW 0	W 0	ESE 1	10≡	10	1	.	≡ n–8¼
17	9.6	18.6	11.4	13.2	—	737.5	736.8	737.4	98	68	98	SE 1	NE 1	ESE 1	10≡	9	1	.	≡ 3½–8
18	10.4	19.0	12.8	14.1	—	736.5	735.6	737.4	99	68	96	ESE 1	ESE 1	WSW 1	9	8	9	1.1	●tr. 14½, ● 15¼–16¼,
19	14.0	16.2	9.6	13.3	—	738.5	739.7	742.0	78	69	89	W 1	WNW 1	SSW 1	9	9	2	.	[21¾–22. △ fr.
20	5.8	14.4	4.6	8.3	—	742.3	741.3	741.6	97	65	97	NE 1	WNW 1	WSW 1	10≡	1	0	.	≡ 7–8¾
21	2.3	11.6	6.4	6.8	—	741.1	739.8	740.2	98	62	87	WNW 1	NNW 1	N 1	10≡	1	0	.	≡ 4–10
22	3.9	14.2	4.8	7.6	—	736.5	733.6	732.9	93	**41**	90	NE 1	NNE 1	ENE 1	1	1	0	.	
23	2.6	5.3	0.2	2.7	—	732.1	732.7	734.3	91	89	98	SE 1	SE 1	ESE 0	9	3	0	.	△ fr.
24	2.0	6.4	2.0	3.5	—	736.0	736.1	736.4	89	88	91	ENE 1	ENE 1	E 1	9	1	9	.	⌣ fr.
25	−1.8	7.2	1.7	2.4	—	734.0	731.3	729.7	96	77	98	WNW 1	NW 1	NW 1	10≡	1	10≡	.	≡ 6–11, 20–n
26	1.5	4.4	2.5	2.8	—	727.6	728.0	727.8	98	92	98	NNW 0	WNW 1	NW 1	10≡	10	10≡	0.1	≡ n–10, 21–n
27	4.0	7.6	5.0	5.5	—	725.3	**724.8**	726.6	98	77	90	ESE 1	W 1	WNW 1	10≡	10	10●	7.3	● 2½–n, ≡ n–8
28	3.7	2.9	0.8	2.5	—	725.6	**724.8**	726.6	98	98	96	WNW 1	W 1	SSW 1	10●≡	10●≡	10●	11.5	● n–16¼, ● ✳ 16¼–18¾,
29	2.0	5.6	3.6	3.7	—	727.7	728.6	730.4	96	82	93	SSW 1	WSW 1	ESE 1	10●	10	10	.	[6½–15
30	3.4	7.2	−0.5	3.4	—	730.6	731.0	732.7	95	74	94	SE 0	S 1	S 0	10	9	0	.	
31	−1.1	11.2	2.2	4.1	—	735.0	734.9	735.6	100	57	93	E 1	SE 1	ESE 1	10≡	0	1	.	≡ 5½–8¾, ⌣ fr., ▽ abds.
Mittel	6.7	13.2	7.4	9.1	—	735.4	735.0	735.6	94	72	92				8.7	5.8	4.4	Summe 56.5	

Oktober 1938.
Beobachter: *Observatorium.*

Säntis

$\lambda = 9^\circ 20', \beta = 47^\circ 15',$
$H_b = 2500.1^m, \; G = -0.27$ m/m.

Tag	Lufttemperatur 7³⁰	13³⁰	21³⁰	Mittel	Abweich. vom Normalst	Luftdruck 7³⁰	13³⁰	21³⁰	Relative Feuchtigkeit 7³⁰	13³⁰	21³⁰	Windrichtung und Stärke 7³⁰	13³⁰	21³⁰	Bewölkung 7³⁰	13³⁰	21³⁰	Niederschlag	Witterung
1	2.6	-0.4	-0.8	0.5	-0.6	564.6	565.1	565.4	100	100	100	NW 2	WNW 2	W 1	10≡●	10≡*	10≡	15.1	● n-8½, ✳ 8½-17, ≡ n-n, ∨
2	-1.4	2.6	0.9	0.7	-0.3	564.6	563.9	564.1	98	80	85	WSW 1	SW 2	W 3	10≡*	10■	9	0.6	✳° 7¼-7¾, ≡ n-8½, 12½-16 m.U.
3	-0.6	-2.8	-4.7	-2.7	-3.6	562.9	562.7	562.7	100	100	68	W 2	WNW 3	W 3	10≡*	10≡*	6	10.9	✳ 6¾-17½, ≡ n-17½
4	1.4	2.6	-1.6	0.8	0.0	560.0	560.1	561.6	78	100	100	W 4	W 3	W 2	10	10≡●	10≡	16.5	● 12½-14¼, ✳ 14¼-17½,
5	-3.6	1.0	-1.2	-1.3	-1.9	561.9	561.5	561.4	68	78	100	SW 3	SSW 3	W 4	1	1	10≡	12.4	≡ 20-n [≡ 13-n
6	-2.0	-2.0	-3.1	-2.4	-2.9	561.4	563.0	565.2	100	100	100	W 4	WSW 3	W 2	10≡*	10≡	10■	9.7	✳ n-12½, ≡ ∨ n-n
7	-1.4	2.8	1.4	0.9	0.5	564.8	564.6	563.0	49	53	61	SW 2	SSW 3	SW 3	8	1	8	13.6	
8	-1.4	-3.5	-4.3	-3.1	-3.3	561.7	563.9	565.9	100	100	100	W 4	W 4	SW 3	10≡	10≡	10≡	6.4	● ✳ n-7, ≡ ∨ n-n
9	0.6	3.0	3.8	2.5	2.4	565.7	566.0	565.9	85	74	51	W 4	WSW 4	W 5	10	2	3	.	↙ n-n
10	3.7	8.2	4.0	5.3	5.3	565.9	566.1	565.2	60	50	84	W 4	SW 2	W 3	1	1	1	.	↙ a
11	2.6	3.0	0.6	2.1	2.3	564.6	565.8	567.2	94	100	100	S 1	WSW 2	W 3	7	10■	10≡	3.2	≡ 8-n
12	-0.5	2.6	2.6	1.6	1.9	568.7	569.8	570.4	88	59	38	W 2	SSW 1	W 2	1	1	1	.	
13	2.6	5.5	4.4	4.2	4.7	570.2	**570.7**	**570.7**	43	36	39	SW 3	W 3	W 3	3	8	1	.	
14	5.4	7.1	4.0	5.5	6.1	570.1	569.9	570.3	42	38	34	WSW 3	WSW 3	W 2	6	1	6	.	
15	5.3	**9.0**	6.1	6.8	7.6	568.3	568.2	568.0	50	55	52	WSW 2	SW 2	WSW 2	1	1	1	.	
16	7.6	8.8	5.0	7.1	8.0	567.0	567.2	567.4	49	51	55	SSW 2	SSW 1	SSW 1	10	4	1	.	
17	3.8	7.5	3.3	4.9	6.0	567.2	567.2	567.4	63	59	79	WSW 2	SW 2	WSW 2	2	1	7	.	
18	3.2	3.4	2.4	3.0	4.2	566.8	567.0	567.0	56	65	100	W 3	WSW 3	W 3	4	10	10≡	7.2	≡ 21-n, ⊕ 10½, ● n
19	1.6	0.9	-2.0	0.2	1.5	566.3	566.7	567.6	100	100	100	W 4	W 4	W 2	10≡	10≡	10≡	4.4	≡ n-n
20	-3.8	-2.0	-3.8	-3.2	-1.7	566.7	566.5	566.5	100	93	28	WNW 1	SW 1	NE 2	10≡	9	0	.	≡ n-16 m.U., ∽ l
21	-1.4	0.6	-0.4	-0.4	1.2	566.5	566.5	566.5	34	33	32	NE 3	NE 2	NNE 1	8	2	0	.	
22	-0.6	1.4	0.6	0.5	2.2	563.5	561.8	560.3	54	36	**18**	NE 1	SSW 0	NW 0	1	1	0	.	
23	-3.8	-1.1	-2.2	-2.4	-0.5	558.7	559.5	560.6	72	72	40	WNW 2	SSE 0	ENE 1	3	1	0	.	
24	-1.4	0.2	0.7	-0.2	1.8	561.4	562.1	562.5	32	42	39	NNE 1	SSE 1	S 1	0	0	0	.	
25	0.2	2.9	0.6	1.2	3.3	560.9	560.7	559.0	38	41	32	SW 2	SW 1	S 2	0	1	3	.	
26	0.2	2.4	-1.5	0.4	2.7	557.1	557.0	555.8	72	67	100	SSW 1	SSW 0	W 1	10	10	10≡*	6.4	✳° 14-16, 19¼-n, ≡ 19-n
27	-2.2	-1.2	-6.0	-3.1	-0.7	553.4	553.1	552.9	98	96	95	WSW 1	SE 1	NW 0	10≡*	10≡	10≡*	2.7	✳° n-10, 16-n, ≡ n-n
28	-7.8	-4.6	-5.3	-5.9	-3.4	551.1	**550.4**	551.9	93	95	86	ENE 1	NE 3	ESE 2	10≡	10■	3	0.3	✳ n, 14½-17, ≡ n-18
29	-5.8	-4.9	-6.0	-5.6	-2.9	552.9	554.2	555.1	65	64	77	ESE 2	ESE 1	ENE 1	2	1	3	.	
30	-5.8	-3.8	-5.5	-5.0	-2.2	555.0	555.7	557.5	70	68	56	NNE 2	NE 2	W 0	2	2	0	.	
31	-4.6	-2.4	-4.6	-3.9	-1.0	559.2	560.3	561.2	49	42	80	ESE 0	WSW 2	NE 2	1	1	1	.	
																		Summe	
Mittel	-0.2	1.5	-0.4	0.3	—	562.9	563.1	563.4	71	69	69				5.8	5.1	5.0	109.4	

Oktober 1938.
Beobachter: Frl. *F. Lombardi.*

St. Gotthard (Hospiz)

$\lambda = 8^\circ 34', \beta = 46^\circ 33',$
$H_b = 2095.7^m, \; G = -0.25$ m/m.

Tag	7³⁰	13³⁰	21³⁰	Mittel	Abweich. vom Normalst	7³⁰	13³⁰	21³⁰	7³⁰	13³⁰	21³⁰	7³⁰	13³⁰	21³⁰	7³⁰	13³⁰	21³⁰	Niederschlag	Witterung
1	5.2	2.5	0.2	2.6	-0.4	593.0	594.4	594.1	100	94	100	SE 0	N 1	N 1	10●	10	10≡	42.6	● n-8¼, ✳ 8½-12¾,
2	-0.2	2.5	2.0	1.4	-1.4	593.4	592.7	592.1	90	70	93	N 1	N 1	S 0	0	2	10≡	5.6	≡ 20¾-n [≡ 16-n
3	3.2	1.5	-0.5	1.4	-1.2	591.7	591.5	592.1	91	100	89	SE 0	SE 1	N 1	10≡	10●■	0	14.9	● fr., 20¼-17, ✳ p. ≡ n-n
4	1.0	2.5	2.0	1.8	-0.7	591.2	590.4	591.2	93	100	100	SE 0	SE 0	N 0	10	10●≡	3	12.2	● 11½-14¼, ≡ 12¾-17
5	0.4	5.2	3.8	3.1	0.8	591.2	591.0	591.0	78	68	74	N 0	SE 1	SE 1	0	5	10≡	.	≡ 19½-n
6	0.7	4.5	1.2	2.1	0.0	591.7	593.7	594.1	84	90	90	N 1	N 1	N 1	8	2	0	.	
7	2.0	5.5	3.2	3.6	1.6	594.4	594.0	592.9	74	80	81	N 0	N 0	SE 2	0	2	8	1.1	● n (7./8.)
8	2.7	1.2	0.6	1.5	-0.3	591.9	593.8	595.6	68	85	89	SE 0	N 2	N 3	5	8	10■	.	≡ 18-n
9	4.0	7.5	5.0	5.5	3.9	595.3	595.2	595.6	71	85	86	N 0	N 0	N 0	0	0	0	.	
10	4.7	8.6	4.2	5.8	4.3	595.0	594.8	594.4	81	54	100	NW 0	S 1	S 1	0	0	10≡	.	≡ 17¾-n
11	4.0	7.8	2.2	4.7	3.4	593.8	594.6	595.5	81	84	100	S 0	S 0	N 1	7≡	5≡	10≡	1.0	≡ n-n
12	2.0	7.2	5.4	4.9	3.8	597.5	598.4	**599.6**	72	64	92	N 1	N 1	N 1	5	2	2	.	
13	3.5	9.8	6.2	6.5	5.6	599.1	599.2	599.4	63	**40**	81	N 0	N 1	N 0	3	0	2	.	
14	5.6	11.0	5.2	7.3	6.5	598.6	598.3	598.5	51	48	64	N 1	N 1	N 1	0	0	0	.	
15	6.2	**11.3**	7.0	8.2	7.6	596.7	596.8	596.3	74	48	68	N 0	N 0	N 0	0	0	0	.	
16	7.0	10.4	5.6	7.7	7.3	595.8	595.7	596.3	64	51	70	N 0	S 1	S 0	0	2	0	.	
17	4.7	9.5	5.2	6.5	6.3	595.8	595.9	596.2	58	42	100	S 0	S 0	S 0	0	0	10≡	.	≡ 19½-n
18	4.8	9.0	5.4	6.4	6.4	595.6	595.8	596.3	53	69	58	S 0	S 1	S 0	2	5	0	.	
19	4.0	8.8	1.8	4.9	5.0	596.1	596.1	596.2	63	64	100	N 0	N 0	N 0	2	2	10≡	0.5	≡ 16-n
20	-0.2	3.8	0.0	1.2	1.5	595.3	594.8	595.2	82	71	100	N 2	N 2	N 2	8	0	10■	.	≡ 15¾-n
21	0.8	5.8	0.8	2.5	3.0	595.3	595.0	595.2	64	59	84	N 1	N 0	N 1	2	0	0	.	
22	2.2	1.0	-1.0	0.7	1.4	592.2	590.5	589.3	43	84	94	N 1	NE 0	N 0	0	10■	10≡	.	≡ 12-n
23	-0.8	1.2	-2.0	-0.5	0.3	587.4	587.8	589.2	81	100	100	N 1	S 0	N 0	3	10≡	10≡	.	≡ 12½-n
24	-1.7	4.3	-0.4	0.7	1.7	589.9	590.8	591.5	64	45	74	N 0	N 0	N 0	0	0	0	.	
25	-0.8	4.2	-0.4	1.0	2.2	590.7	590.0	588.8	73	58	74	N 0	N 0	S 0	0	0	0	0.3	
26	-2.0	2.0	0.4	0.1	1.4	587.0	585.9	585.0	85	85	100	S 0	S 0	S 0	8≡	10≡	10≡	1.2	≡ n-n, ✳ n
27	0.8	1.4	-2.7	-0.2	1.3	582.3	581.8	581.1	94	98	100	S 0	S 0	S 1	10≡	10●≡	10*≡	**60.0**	● 10¾-19½, ✳ 19½-n,
28	-4.4	-4.2	-4.2	-4.3	-2.6	579.4	**579.0**	579.8	98	95	92	N 2	NW 2	S 0	10*≡	10*≡	0	30.0	✳ ≡ n-16½ [≡ n-n
29	-3.8	-2.8	-4.0	-3.5	-1.7	582.0	583.4	583.8	88	64	89	E 0	E 0	N 0	6	5	4	.	
30	-8.4	-6.9	-7.0	-7.4	-5.4	583.8	584.5	585.9	88	85	100	N 2	N 2	N 2	5	5	10	.	≡ 15-n
31	-6.0	-2.3	-5.8	-4.7	-2.5	588.8	588.8	589.5	74	63	84	N 2	N 2	N 2	0	0	0	.	
																		Summe	
Mittel	1.3	4.3	1.3	2.3	—	592.0	592.1	592.3	76	72	88				3.7	4.0	5.1	169.4	

$\lambda = 7° 26'$, $\beta = 46° 57'$,
$H_b = 572.2^m$, $G = 0.00^m/_m$.

Bern

November 1938.
Beobachter: *Tellur. Observatorium.*

Tag	Lufttemperatur 7³⁰	13³⁰	21³⁰	Mittel	Abweich. vom Normalst.	Luftdruck 7³⁰	13³⁰	21³⁰	Relative Feuchtigkeit 7³⁰	13³⁰	21³⁰	Windrichtung und Stärke 7³⁰	13³⁰	21³⁰	Bewölkung 7³⁰	13³⁰	21³⁰	Niederschlag	Witterung
1	-1.7	6.2	4.5	3.0	-2.2	710.7	709.1	708.6	96	79	89	SW 0	NW 0	SE 0	10≡	1	10	.	≡ 7–10¼, ⌣ fr.
2	3.8	8.5	6.5	6.3	1.3	707.1	707.5	711.7	89	79	79	S 0	W 0	SW 0	9	9	10	0.4	● 10½–16¼ zeitw.
3	1.2	9.7	2.7	4.5	-0.4	713.4	714.1	715.7	89	54	85	SW 0	W 0	SE 0	3	10	0	.	
4	2.2	11.5	9.6	7.8	3.1	716.9	717.1	718.8	90	66	76	S 0	NE 0	S 0	7	10	9	.	
5	6.0	**13.8**	11.3	10.4	5.8	719.6	719.2	719.7	81	56	80	S 1	SE 0	S 0	9	9	9	.	
6	5.3	13.0	8.0	8.8	4.4	719.4	717.9	717.3	96	72	97	SE 0	NE 1	NE 0	10≡	1	10≡	0.2	≡ n–8¼, 21–n
7	4.7	8.4	4.4	5.8	1.5	716.7	716.1	715.7	100	89	93	S 1	W 0	W 0	10≡	1	9≡	.	≡ n–11¾, 20¼–n
8	0.4	12.3	4.9	5.9	1.7	715.1	714.4	714.5	95	64	89	SE 0	W 0	SW 0	8≡	0	0	.	≡ n–8½, ⌣ fr.
9	0.6	11.0	2.6	4.7	0.7	714.4	714.4	715.4	90	59	96	S 0	N 1	NE 0	0	0	10≡	.	≡ 17½–n, ⌣ fr.
10	0.5	8.1	3.1	3.9	0.0	716.0	715.8	715.2	96	72	97	NE 0	N 1	WSW 0	10≡	0	10≡	.	≡ n–9¾, 16¾–n, ⌣ fr.
11	0.6	7.2	4.4	4.1	0.4	714.1	713.2	714.8	94	85	89	NW 0	NE 0	S 0	10≡	1	10	.	≡ n–11½, 16–20
12	5.0	12.1	6.8	8.0	4.4	717.2	718.2	719.0	89	73	89	W 0	NW 0	E 0	9	8	0	.	● tr. 12–13
13	2.0	12.8	5.0	6.6	3.2	720.3	720.2	721.1	92	52	88	SW 0	S 0	W 0	0	1	0	.	
14	1.6	12.5	4.0	6.0	2.7	**722.7**	722.1	**722.7**	96	69	91	S 0	NE 0	NW 0	10≡	7	0	.	≡ n–9, ⌣ fr.
15	1.3	9.9	3.5	4.9	1.7	722.2	721.4	721.0	91	69	97	W 0	W 1	NW 0	10■	8	10■	.	≡ 7–9¾, 16½–n
16	2.2	7.7	2.8	4.2	1.2	719.9	718.0	717.3	97	80	91	S 0	NE 1	W 0	10≡	5	10≡	0.1	≡ n–10½
17	4.3	9.9	6.2	6.8	3.9	716.1	716.1	717.0	91	79	95	S 0	NE 1	NE 0	10	9	10≡	0.4	●° 5¾–9¾ m.U., ≡ 20¼–n
18	3.8	6.0	4.9	4.9	2.2	717.1	717.0	716.6	93	89	87	NE 1	NNE 1	NE 0	10≡	10	10	.	≡ n–n
19	5.4	7.4	4.4	5.7	3.1	714.4	714.1	713.0	83	71	81	W 1	SE 1	S 0	10	10	1	2.8	
20	5.0	10.3	6.8	7.4	5.0	712.6	711.2	707.9	89	80	85	SE 0	SE 0	SW 0	10	8	10	9.3	● 3¾–4½, 23–n, ●° a, p zeitw.
21	6.3	8.0	11.8	8.7	6.4	704.9	699.1	697.9	90	83	48	E 0	W 1	WSW 2	10	10	10	**13.8**	● 1–9, 17, 22¾–23¼ m.U., ≡ 8¼
22	5.4	6.5	3.3	5.1	2.9	**693.2**	699.4	704.8	88	67	85	S 1	WSW 3	WSW 2	10●	5	10	6.1	● 4½–19¾ zeitw., ⚲ 8¼–14
23	2.8	6.3	9.5	6.2	4.2	705.3	706.0	705.9	86	82	66	SW 1	SE 0	E 0	10	10	8	9.1	✳ 8¼. ● 8¾–10, 16¼–n zeitw.
24	7.8	11.5	7.8	9.0	7.1	708.2	708.6	712.6	89	80	64	E 1	WSW 2	SW 1	10	9	1	8.6	● 0¾–16 m.U. ⚲ 14¼–15¾
25	3.5	7.8	5.4	5.6	3.9	717.1	717.7	717.9	76	**48**	71	SW 1	WSW 2	S 0	1	0	9	.	
26	0.0	6.5	2.4	3.0	1.4	713.8	711.0	710.4	79	54	78	S 1	E 0	S 0	0	4	5	.	
27	1.3	7.2	1.9	3.5	2.1	710.5	711.5	713.0	80	50	88	NE 0	NE 1	E 0	10	3	1	.	⌣ fr.
28	**-1.9**	4.0	0.0	0.7	-0.6	711.8	708.8	706.7	92	77	89	SE 0	NE 0	S 0	3	0	0	.	⌣ fr.
29	0.0	3.7	0.3	1.3	0.1	704.4	704.2	706.9	93	73	96	SW 0	NE 0	W 0	9	6	10≡	.	≡ 19¼–n m.U., ⌣ fr.
30	2.1	6.9	4.1	4.4	3.4	708.0	706.5	706.0	90	75	88	S 0	N 0	W 0	10	10	10	0.6	● 21–21¼, ≡ 8¼–16¼
Mittel	2.7	8.9	5.1	5.6	—	713.4	713.0	713.5	90	71	85				7.9	5.5	6.7	Summe 51.4	

$\lambda = 6° 57'$, $\beta = 47° 0'$,
$H_b = 487.3^m$, $G = 0.02^m/_m$.

Neuchâtel

November 1938.
Beobachter: *Observatorium.*

Tag	Lufttemperatur 7³⁰	13³⁰	21³⁰	Mittel	Abweich. vom Normalst.	Luftdruck 7³⁰	13³⁰	21³⁰	Relative Feuchtigkeit 7³⁰	13³⁰	21³⁰	Windrichtung und Stärke 7³⁰	13³⁰	21³⁰	Bewölkung 7³⁰	13³⁰	21³⁰	Niederschlag	Witterung
1	1.9	7.7	6.6	5.4	-0.7	718.9	717.3	716.7	98	76	87	NE 0	SW 1	W 1	10≡	4	9	0.2	≡ n–mtgs.
2	6.7	9.7	6.8	7.7	1.8	715.2	715.7	719.9	90	80	61	NW 1	SW 2	NW 2	10●	10	4	0.5	● 7¼–a
3	1.8	10.1	3.3	5.1	-0.7	721.7	722.4	724.1	93	60	92	NW 0	SE 1	S 0	1	7	0	.	
4	3.3	12.5	12.9	9.6	4.0	725.4	725.1	726.7	97	62	**42**	NE 0	SW 2	SW 2	8	7	10	.	
5	11.0	**16.5**	12.7	13.4	7.9	727.5	727.3	727.3	79	54	85	SW 2	SW 2	NE 0	10	6	10	.	
6	9.1	15.6	8.6	11.1	5.8	727.2	726.1	725.2	97	75	98	E 1	E 2	NE 1	10	0	0	.	
7	7.7	11.1	7.5	8.8	3.6	724.6	724.0	723.7	98	78	98	NW 0	SW 1	SW 0	10	0	10	.	
8	6.0	7.3	5.0	6.1	1.1	723.3	722.7	722.7	95	93	100	N 0	S 1	SW 0	10	10	10≡	.	≡ p–n
9	4.2	5.9	5.1	5.1	0.2	722.7	723.0	723.6	100	95	100	SW 0	S 1	SW 0	10≡	10≡	10≡	0.3	≡ n–n
10	3.7	5.5	4.7	4.6	-0.1	724.4	724.1	723.6	100	100	100	SW 0	S 0	NE 0	10≡	10≡	10≡	0.3	≡ n–n
11	3.5	6.0	5.2	4.9	0.3	722.5	721.6	723.1	100	95	100	SE 0	S 0	NE 0	10≡	10≡	10≡	0.2	≡ n–n
12	5.9	9.6	7.7	7.7	3.3	725.1	726.2	726.9	100	88	95	SE 0	SE 0	W 1	10≡	9	0	0.2	●°sch. 11¼, ≡ n–a
13	5.6	7.7	6.1	6.5	2.2	728.6	728.8	729.6	100	97	100	SW 1	SW 0	SW 0	10≡	10■	10≡	0.1	≡ n–n
14	5.4	6.9	5.8	6.0	1.9	**731.0**	730.6	730.8	100	100	100	SW 0	SW 1	SW 0	10≡	10≡	10≡	0.1	≡ n–n
15	5.8	5.9	5.8	5.8	1.8	730.3	729.8	729.3	100	100	100	W 0	SW 0	W 0	10■	10≡	10≡	.	≡ n–n
16	5.2	5.9	5.8	5.6	0.7	727.9	726.2	725.2	100	100	100	NW 1	SW 1	W 0	10≡	10≡	10■	0.8	≡ n–n, ● n
17	6.1	8.4	6.8	7.1	2.4	724.1	724.2	725.3	100	98	100	SW 0	SE 0	NW 1	10=	10■	0	.	≡ n–13½
18	3.2	6.1	5.8	5.0	0.4	725.2	725.2	724.6	98	90	88	E 0	E 1	E 1	10	10	10	.	
19	6.0	8.3	8.1	7.5	3.0	722.4	722.0	721.0	88	83	85	W 1	W 1	W 1	10	10	0	2.2	●°sch. 13¾, 15½
20	8.4	10.7	8.2	9.1	4.8	720.4	719.0	715.9	94	85	93	SW 1	W 2	NE 1	10	10	10	4.1	● n–a
21	7.6	8.3	7.9	7.9	3.7	711.8	705.9	705.5	90	93	84	W 1	E 0	W 5	10●	10●	10●	**35.9**	● n–n zeitw., ⚲ abds.–n
22	6.8	6.9	4.0	5.9	1.8	**699.6**	706.4	712.7	98	72	91	W 1	SW 3	W 1	10	9	3	15.6	● n–n m.U.
23	4.1	7.1	11.0	7.4	2.5	713.9	713.9	714.0	89	97	75	SW 3	SW 2	W 2	10●	10●	10	6.0	● n–13¾ m.U.
24	9.3	9.6	7.7	8.9	4.1	716.4	717.1	721.0	96	72	68	W 1	NW 4	NW 3	10●	10	6	4.3	● n–a m.U.
25	5.0	9.4	7.5	7.3	2.6	725.3	725.8	725.8	61	49	63	NW 2	SW 3	W 2	1	4	10	.	
26	3.8	8.7	4.2	5.6	1.1	721.7	718.8	718.4	72	55	78	W 1	SE 0	W 1	0	1	1	.	
27	1.8	7.2	2.5	3.8	-0.6	718.8	720.0	721.4	98	72	89	NE 1	SE 1	W 1	10	5	0	.	
28	**0.2**	3.0	0.7	1.3	-3.0	718.9	716.9	714.9	100	93	100	E 1	S 0	SW 0	10≡	10	10	.	≡ a
29	0.7	3.3	2.4	2.1	-2.0	712.5	712.6	715.4	100	93	100	NE 1	NE 1	NE 0	10■	10≡	10≡	.	≡ n–n
30	2.9	5.6	5.1	4.5	0.5	716.1	714.7	713.8	100	89	92	NE 0	NE 1	SW 1	10≡	10≡	10	4.1	● 22–n, ≡ n–15
Mittel	5.1	8.2	6.4	6.6	—	721.5	721.1	721.6	94	83	89				9.0	8.1	7.1	Summe 74.9	

November 1938.
Beobachter: Frl. *H. Nager.*

Altdorf

$\lambda = 8° 39'$, $\beta = 46° 53'$,
$H_b = 456.3^m$, $G = -0.05^m/_m$.

Tag	Lufttemperatur 7³⁰	13³⁰	21³⁰	Mittel	Abweich. vom Normalst	Luftdruck 7³⁰	13³⁰	21³⁰	Relative Feuchtigkeit 7³⁰	13³⁰	21³⁰	Windrichtung und Stärke 7³⁰	13³⁰	21³⁰	Bewölkung 7³⁰	13³⁰	21³⁰	Niederschlag	Witterung
1	-0.7	7.3	3.1	3.2	-3.7	721.7	719.9	719.8	97	59	92	E 0	NW 0	SE 0	0	0	8	.	
2	3.3	9.0	6.9	6.4	-0.3	717.8	718.1	722.6	91	55	90	E 0	NW 0	NW 0	6	10	10	2.0	
3	4.1	10.2	3.8	6.0	-0.6	724.8	724.9	726.4	96	53	89	S 0	S 0	E 0	8	7	0	.	
4	3.6	11.2	8.8	7.9	1.4	728.3	727.0	729.1	92	47	80	NW 0	NW 0	SE 0	7	8	10	.	
5	7.3	12.1	10.2	9.9	3.6	730.1	729.6	730.4	94	62	93	NW 0	NE 0	NE 0	10	8	10	0.3	● 19¾
6	7.9	13.0	5.1	8.7	2.5	730.6	728.8	728.5	95	70	93	NE 0	NW 0	NW 0	10●	0	0	.	●I
7	4.8	8.2	3.2	5.3	-0.8	727.3	726.5	726.5	95	82	94	E 0	NW 0	NW 0	10	0	0	.	≡
8	2.6	7.7	2.8	4.4	-1.5	726.2	725.2	725.5	95	92	95	NW 0	NW 0	NW 0	10	10	0	.	
9	0.7	7.2	3.2	3.7	-2.1	725.5	725.8	726.8	94	85	95	NW 0	NW 0	NW 0	0	10≡	10≡	.	≡ II, III
10	0.3	9.0	3.0	4.1	-1.5	727.5	726.3	726.6	98	74	97	NW 0	NW 0-1	SW 0	0	0	0	.	
11	2.9	8.7	4.7	5.4	-0.1	724.8	723.2	726.0	96	77	95	SE 0	NW 1	NW 0	6	2	5	.	
12	4.1	12.4	6.0	7.5	2.1	727.9	728.6	730.1	98	66	92	S 0	NW 0	NW 0	7	5	0	.	
13	2.7	9.0	5.1	5.6	0.4	731.0	731.0	732.2	99	89	90	NW 0	E 0	SE 0	4	0	0	.	
14	5.1	11.8	5.4	7.4	2.3	**734.0**	732.7	733.8	98	62	90	SE 0	SE 0	NE 0	10≡	4	0	.	≡I
15	3.3	9.1	3.3	5.2	0.2	733.2	732.0	732.0	95	85	96	N 0	NW 0	SE 0	6	0	0	.	
16	1.4	9.3	3.9	4.9	0.1	730.9	728.2	728.1	96	73	95	SE 0	NW 0	NW 0	4	2	0	.	
17	5.1	9.8	7.1	7.3	2.6	726.0	727.0	728.2	96	80	98	W 0	NW 0	NW 0	10	10	7	1.6	
18	7.5	8.7	5.3	7.2	2.6	728.2	727.8	727.6	98	85	90	NW 0	NW 0	NW 0	10	10	7	.	
19	0.5	7.9	2.4	3.6	-0.8	726.1	725.1	721.7	90	54	84	SE 0	NW 0	NW 0	3	6	0	.	
20	4.1	11.1	13.3	9.5	5.2	716.0	712.1	707.6	77	49	30	SE 0	NW 0	SE 2-3	5	5	7	.	
21	13.4	**14.0**	13.1	13.5	9.3	707.6	707.7	706.1	29	32	37	SE 3-4	SE 2	SE 2	6	8	0	0.0	●° 18
22	8.7	10.7	7.2	8.9	4.9	**700.9**	706.5	714.1	73	36	45	NW 1-2	NW 2	NW 1	10	7	10	5.0	
23	5.3	7.4	3.3	5.3	1.4	715.5	715.8	717.2	53	80	97	NE 0	NW 0	NE 0	10	4	0	1.7	● a-mtgs. zeitw.
24	6.7	11.6	7.3	8.5	4.8	719.9	719.4	723.8	95	71	97	SW 0	NW 0-1	W 0	10●	8	10●	**7.1**	●I, 17-n
25	3.9	8.4	3.6	5.3	1.7	727.6	728.2	728.9	90	55	69	E 0	W 0	NW 0	10	2	0	.	
26	0.3	13.5	12.2	8.7	5.2	724.6	721.4	720.2	85	20	**16**	NE 0	SE 1-2	S 3-4	2	4	3	.	
27	2.5	7.4	1.8	3.9	0.6	721.6	722.2	725.0	44	46	46	NE 0	NW 0-1	NE 0	10	6	0	.	
28	**-1.1**	4.8	0.9	1.5	-1.7	722.9	719.1	717.5	47	49	54	E 0	NW 0	NW 0	0	0	4	0.3	
29	2.3	5.5	2.8	3.5	0.4	715.5	715.1	717.9	55	55	56	NE 0	NW 0	NE 0	10●	10	6	0.0	●°I
30	1.6	6.6	4.1	4.1	1.2	719.3	717.1	716.5	57	58	58	N 0	NE 0	NW 0	10	8	10	1.0	
Mittel	3.8	9.4	5.4	6.2	—	723.8	723.1	723.9	84	63	78				6.8	5.1	3.9	Summe 19.0	

November 1938.
Beobachter: *Observatorium.*

Genf

$\lambda = 6° 9'$, $\beta = 46° 12'$,
$H_b = 405.0^m$, $G = -0.03^m/_m$.

Tag	Lufttemperatur 7³⁰	13³⁰	21³⁰	Mittel	Abweich. vom Normalst	Luftdruck 7³⁰	13³⁰	21³⁰	Relative Feuchtigkeit 7³⁰	13³⁰	21³⁰	Windrichtung und Stärke 7³⁰	13³⁰	21³⁰	Bewölkung 7³⁰	13³⁰	21³⁰	Niederschlag	Witterung
1	-0.8	6.8	6.2	4.1	-2.8	726.2	724.8	724.5	96	82	88	ENE 0	W 1	N 0	10	3	9	0.1	≡a
2	4.5	10.8	7.8	7.7	1.0	722.9	723.8	726.9	95	75	77	NNE 0	E 0	E 0	10	9	10	0.2	●°sch. a
3	2.1	10.1	4.2	5.5	-1.1	728.9	729.6	731.6	94	63	90	E 0	NNE 1	E 0	2	8	0	.	
4	1.2	13.8	10.4	8.5	2.1	733.0	733.0	735.6	96	62	80	S 0	NNE 1	NE 0	5	9	9	.	
5	6.2	**15.2**	8.8	10.1	3.8	735.4	734.9	734.6	89	58	92	NE 0	NE 0	NNE 0	8	4	0	.	
6	5.0	12.8	9.0	8.9	2.8	734.1	732.9	732.4	84	83	88	ESE 0	NNE 1	E 0	10	9	0	.	
7	8.6	11.0	5.8	8.5	2.5	732.0	731.3	731.0	89	83	94	E 0	NE 1	NE 0	10	7	0	0.1	
8	4.6	7.4	5.9	6.0	0.1	730.9	729.9	730.0	100	94	100	E 0	NE 1	NE 0	10≡	10≡	10≡	0.1	≡ n-n
9	1.2	6.0	5.7	4.3	-1.4	730.5	730.1	731.3	96	94	97	NE 0	NNE 1	E 0	10≡	10≡	10≡	0.2	≡ n-n
10	5.2	7.0	6.2	6.1	0.5	731.6	731.4	730.8	100	93	98	NE 0	NE 0	E 0	10≡	10≡	10≡	0.2	≡ n-n
11	4.8	6.4	6.2	5.8	0.3	730.0	729.0	731.0	100	94	97	E 0	E 0	E 0	10≡	10≡	10≡	.	≡ n-n
12	6.8	11.0	7.2	8.3	3.0	732.6	733.2	734.3	97	82	93	E 0	NE 0	ENE 0	10≡	9	0	.	≡I
13	4.1	7.6	6.5	6.1	0.9	736.3	736.1	737.0	98	91	98	E 0	W 0	NE 0	10≡	10≡	10≡	0.1	≡ n-n
14	4.6	7.2	6.2	6.0	0.9	**738.6**	738.1	738.5	99	91	100	E 0	NE 0	NE 0	10≡	10≡	10■	0.1	≡ n-n
15	5.4	7.2	6.0	6.2	1.3	738.0	737.0	736.6	100	92	100	E 0	NE 0	NE 0	10≡	10≡	10≡	0.1	≡ n-n
16	4.0	5.6	5.5	5.0	0.2	735.4	733.6	732.8	100	94	97	E 1	NE 0	NE 0	10≡	10≡	10≡	0.1	≡ n-n
17	5.6	10.2	7.6	7.8	3.1	731.8	731.3	732.0	97	80	92	ENE 0	NNE 1	ENE 0	10≡	9	10	.	≡a
18	8.6	10.0	7.5	8.7	4.1	732.2	732.0	731.8	83	74	83	NE 1	NNE 1	NE 0	10	9	1	.	
19	2.6	10.5	10.3	7.8	3.4	730.1	730.0	728.4	93	73	75	W 0	E 1	SW 1	10	10	10	1.0	●tr. 14, ●n
20	10.9	14.2	11.5	12.2	7.9	728.1	726.4	723.1	81	66	78	SSW 1	WSW 1	E 1	9	5	10●	10.1	●°sch. 11¼, ●° 19½-n
21	8.6	9.4	10.6	9.5	5.3	718.3	713.2	712.6	92	94	77	NNE 1	NNE 0	SSW 0	10	10●	10●	**31.4**	●n-n, ⚐ 21¼
22	9.4	8.8	6.4	8.2	4.1	**708.2**	715.3	721.3	81	64	72	SSW 1	SSW 1	SE 0	10●	10	9	4.5	●sch. n-n zeitw.
23	5.3	9.2	11.7	8.7	4.8	722.0	722.3	722.2	84	84	65	SSE 1	NNW 0	SW 1	10●	8	10	1.8	●° a, n
24	12.0	12.0	9.3	11.1	7.3	723.7	725.1	729.3	74	74	67	SW 1	SW 2	SSW 1	10	9●	2	4.9	●°sch. a, ●sch. 13¼-n, [◠ 13½
25	5.0	10.8	7.2	7.7	4.0	733.5	734.0	734.0	71	50	66	SSW 1	SSW 1	NE 0	0	0	4	.	
26	1.6	12.8	8.4	7.6	4.0	729.5	725.8	725.7	78	**47**	55	ENE 1	E 0	E 0	1	1	0	.	⌴° fr.
27	4.6	9.4	5.0	6.3	2.9	726.0	727.0	728.6	84	64	85	NE 0	NNE 1	E 0	10	9	0	.	
28	3.0	6.5	2.5	4.0	0.7	727.2	724.0	721.9	93	71	87	E 0	NNE 0	NE 0	10	0	0	6.0	●n (28./29.)
29	3.4	6.4	4.4	4.7	1.5	719.6	719.8	722.7	99	88	93	NW 0	E 0	NE 0	10	10	10	.	●°sch. n (29./30.)
30	5.6	8.0	4.8	6.1	3.0	723.4	722.1	721.3	91	81	87	NNE 0	W 1	NNE 0	10	4	9	0.1	
Mittel	5.1	9.5	7.2	7.3	—	729.0	728.6	729.1	91	78	86				8.8	7.7	6.4	Summe 61.1	

$\lambda = 8^\circ 33'$, $\beta = 47^\circ 23'$, $Hb = 493.2^m$, $G = 0.03$ m/m.

Zürich

November 1938.
Beobachter: *Meteorol. Zentralanstalt.*

Tag	Lufttemperatur 7³⁰	13³⁰	21³⁰	Mittel	Abweich. vom Normalst	Luftdruck 7³⁰	13³⁰	21³⁰	Relative Feuchtigkeit 7³⁰	13³⁰	21³⁰	Windrichtung und Stärke 7³⁰	13³⁰	21³⁰	Bewölkung 7³⁰	13³⁰	21³⁰	Niederschlag	Witterung
1	1.0	7.6	5.2	4.6	−1.3	717.9	716.2	715.8	100	63	94	NW 1	NW 1	E 1	10≡	1	10	0.2	≡ n-a
2	6.1	7.8	6.5	6.8	1.1	714.4	714.4	719.2	91	88	88	SE 0	NW 1	S 1	10●	10●	10	3.6	● 5¾–16 m.U.
3	3.0	10.2	3.6	5.6	0.0	720.8	721.4	723.3	95	47	92	NW 0	WNW 1	SE 0	5	9	0	.	
4	3.0	11.3	11.9	8.7	3.3	724.1	723.7	724.9	100	54	49	NNE 1	W 2	W 1	10	10	9	.	
5	11.3	14.4	11.8	12.5	7.2	726.2	726.2	727.0	60	59	86	NW 1	NW 1	SW 0	10	9	10	0.0	●° 18½–n
6	11.0	12.9	10.2	11.4	6.3	726.6	725.8	724.9	96	80	100	NW 0	SSW 0	N 0	10	10	10	0.1	●° abds., ≡ III
7	8.8	13.7	6.1	9.5	4.5	723.4	722.6	722.7	91	53	98	SE 0	SSW 1	W 0	10	1	0	.	
8	3.9	14.9	6.2	8.3	3.5	722.0	721.5	721.7	100	50	97	SE 0	WNW 1	WNW 0	10≡	1	0	0.0	≡ n-10¼
9	3.3	5.6	3.8	4.2	−0.5	722.1	722.1	723.1	100	91	100	WNW 0	WNW 1	E 1	10≡	7	10≡	0.1	≡ n-mtgs., p-n
10	3.7	6.0	4.1	4.6	0.1	723.6	723.0	722.9	100	86	100	SSE 0	WNW 1	WNW 1	10≡	8	10≡	0.0	●° 2–3, ≡ n-mtgs., p-n
11	2.3	7.9	3.3	4.5	0.1	721.7	720.6	722.2	100	69	100	ENE 0	WNW 1	WNW 0	10	4	10≡	.	≡ III
12	2.4	10.7	6.4	6.5	2.3	724.3	725.2	726.3	100	60	95	NW 0	SSW 1	E 1	8≡	9	0	0.0	≡ n-7¾
13	2.5	9.6	5.2	5.8	1.7	727.6	727.8	728.4	100	82	100	N 1	SSW 0	N 1	10≡	1	0	0.0	≡ n-10¾, abds.
14	2.3	13.4	5.9	7.2	3.3	729.9	729.1	729.9	100	54	100	NNE 0	NW 1	WNW 0	10≡	6	0	.	≡ n-10½
15	3.2	9.1	5.3	5.9	2.1	729.4	728.6	728.2	100	77	100	WNW 0	WNW 1	W 0	10≡	3	10≡	0.1	≡ n-11, abds.-n
16	3.6	10.2	3.9	5.9	2.3	727.0	725.1	724.2	100	70	100	W 0	WNW 1	W 1	10≡	6	9≡	0.1	≡ n-11¾, abds.-n
17	5.0	9.2	6.8	7.0	3.5	723.2	723.5	724.7	100	77	96	NW 0	NW 1	S 1	10	10	9	.	
18	5.3	5.2	3.6	4.7	1.4	725.2	724.7	723.9	98	89	99	NNW 1	N 1	N 1	10	10	10	.	
19	6.0	10.2	6.7	7.6	4.4	721.7	721.4	720.2	76	61	78	SSE 1	WSW 1	S 1	9	10	0	1.3	●tr. 16½
20	7.6	12.1	7.3	9.0	6.0	720.2	718.5	714.8	92	59	85	W 1	NE 0	SE 1	10	8	10	2.7	●° 3¾, ● 4¾–6¾
21	8.0	11.7	12.4	10.7	7.8	710.6	704.0	703.4	95	69	47	SE 1	SSW 1	SSW 3	9	9	10	3.9	● 3–5¾, 18–19½
22	6.5	6.5	4.5	5.8	3.1	698.5	704.1	711.0	97	74	82	SSE 0	WNW 3	W 2	10●	10	10	10.4	●° 1–1¾, ● 4¾–19¾ m.U.
23	4.7	7.5	7.9	6.7	4.1	712.1	712.3	712.8	68	67	74	SSE 1	SSE 2	S 1	10	8	5	4.9	● 9½–11¼, ●tr. 11¼–13
24	8.2	10.0	9.0	9.1	6.7	715.7	716.0	719.8	100	82	59	SSE 2	S 2	SW 3	10●	10●	7	3.8	● 0–17¼ m.U.
25	5.0	9.9	6.8	7.2	4.9	724.2	724.5	724.7	61	45	57	W 1	W 2	S 2	4	1	9	.	
26	2.0	9.8	3.1	5.0	2.9	721.0	718.1	717.0	70	40	80	ESE 1	WNW 1	N 1	1	4	0	.	
27	0.0	8.5	3.8	4.1	2.1	718.2	719.0	721.0	94	51	84	WNW 1	W 1	NW 1	10	4	8	.	⌴² fr.
28	3.0	5.8	1.5	3.4	1.6	719.1	716.2	714.3	93	66	96	ENE 1	NW 1	ENE 1	10	10	10	.	
29	0.8	2.1	1.8	1.6	−0.1	712.1	712.0	714.5	98	93	97	NNW 1	NNW 1	SSE 1	10	10	10	.	≡ a
30	2.8	6.8	5.5	5.0	3.5	715.4	713.6	713.0	100	76	90	SE 1	SW 0	S 0	9	9	10	4.4	
Mittel	4.5	9.4	6.0	6.6	—	720.6	720.0	720.7	92	68	87				9.2	6.9	6.9	Summe 35.6	

$\lambda = 8^\circ 30'$, $\beta = 47^\circ 3'$, $Hb = 1787.3^m$, $G = -0.20$ m/m.

Rigi-Kulm

November 1938.
Beobachter: *J. Steiner.*

Tag	7³⁰	13³⁰	21³⁰	Mittel	Abweich. vom Normalst	7³⁰	13³⁰	21³⁰	7³⁰	13³⁰	21³⁰	7³⁰	13³⁰	21³⁰	7³⁰	13³⁰	21³⁰	Niederschlag	Witterung
1	0.0	1.0	−1.2	−0.1	−1.1	611.8	610.9	610.6	51	41	78	SE 0	W 1	NW 2	0	0	7	.	⊠
2	1.0	1.0	2.5	1.5	0.6	609.8	609.8	612.6	80	86	90	SW 2	W 2	W 1	10	10≡	10*	9.5	≡ II, ✳ III
3	−3.4	0.8	2.2	−0.1	−0.9	614.3	615.3	617.0	90	76	36	SW 1	SW 1	W 2	7	9	0	.	⊠
4	4.2	4.5	5.6	4.8	4.1	618.2	619.3	620.4	32	39	48	SW 2	WSW 2	WSW 2	9	10	10	.	
5	6.2	5.6	5.0	5.6	5.0	621.5	621.4	622.1	68	89	30	W 3	WSW 3	W 2	10	10	10≡	1.6	≡ 14-n
6	4.6	9.5	7.2	7.1	6.6	622.7	620.2	620.5	76	35	22	W 0	SE 0	E 1	1	0	0	.	
7	9.7	11.6	10.3	10.5	10.1	619.5	619.6	619.6	9	24	26	S 0	W 2	SW 2	0	0	0	.	
8	7.0	10.0	8.1	8.4	8.1	618.7	618.1	618.1	36	30	32	WSW 1	WSW 1	W 1	0	0	0	.	
9	6.2	6.7	3.6	5.5	5.3	617.4	617.5	618.0	41	41	51	NW 1	W 1	SSE 0	0	0	0	.	
10	3.2	6.4	3.8	4.5	4.4	618.1	618.5	618.0	76	49	70	W 1	SW 1	ESE 1	0	0	0	.	
11	6.4	8.0	4.4	6.3	6.3	616.9	616.2	617.9	41	36	47	ESE 1	S 3	SSW 2	1	3	7	.	
12	6.0	7.6	5.4	6.3	6.4	619.4	620.8	621.9	42	40	58	E 2	WSW 1	SE 0	3	9	0	.	
13	6.0	8.0	6.4	6.8	7.0	622.3	623.5	623.6	65	52	58	E 2	SW 1	NW 1	0	0	1	.	
14	5.0	6.2	4.8	5.3	5.6	624.2	624.2	624.5	74	56	76	E 1	NNE 1	E 1	3	3	0	.	
15	4.2	7.2	5.2	5.5	5.9	623.4	623.1	622.7	73	64	61	E 0	SW 1	W 1	5	1	1	.	
16	3.6	4.8	3.6	4.0	4.6	621.2	620.0	619.0	78	78	75	WSW 2	W 1	W 1	3	1	0	.	
17	2.4	4.0	1.0	2.5	3.2	617.9	617.8	618.4	90	84	90	WNW 1	W 1	W 1	10	10	10≡	0.3	≡ III
18	−0.8	−0.2	0.6	−0.1	0.7	617.9	617.4	616.8	84	76	54	SE 1	E 3	E 3	1	0	0	.	
19	0.8	3.4	2.2	2.1	3.0	615.8	616.2	615.2	82	50	47	WSW 3	WSW 1	WNW 1	0	10	3	.	
20	0.2	4.6	3.8	2.9	3.9	614.8	613.8	612.2	63	51	54	WSW 1	SSW 2	SSE 3	10	5	9	.	
21	2.0	5.4	1.6	3.0	4.1	608.3	602.0	601.4	57	40	65	S 4	S 4	SSE 3	10	10	10	1.5	
22	0.0	−3.0	−4.4	−2.5	−1.3	595.7	599.7	605.1	78	88	86	WSW 1	W 4	W 4	10*	10≡	10≡	8.7	✳ I, ≡ II, III ⊠
23	−3.5	3.7	4.0	1.4	2.7	606.9	608.4	611.3	78	76	52	WSW 3	SW 3	WSW 3	10	8	0	7.1	⊠
24	1.9	1.8	−2.0	0.6	2.0	611.4	612.0	613.9	82	85	90	WSW 2	W 2	W 4	10	10≡	5	4.3	≡ II
25	−4.2	−3.2	−0.4	−2.6	−1.1	616.3	617.4	618.0	72	70	26	WSW 3	WSW 2	WSW 3	6	0	9	.	⊠
26	0.2	4.0	0.0	1.4	3.0	615.0	613.6	612.5	40	36	25	S 1	S 3	SE 1	0	2	0	.	
27	−2.0	−1.0	−2.4	−1.8	−0.1	612.0	613.1	614.0	50	46	68	SE 3	SE 2	E 2	9	1	0	.	
28	−0.8	3.2	1.2	1.2	3.0	612.4	610.6	609.5	48	43	40	S 1	S 2	SW 1	0	0	1	.	
29	0.8	5.5	−0.5	1.9	3.8	606.9	606.7	609.0	78	52	64	SE 2	SE 3	S 1	9	8	1	.	
30	−3.0	2.2	−1.0	−0.6	1.4	609.5	608.3	607.8	86	58	90	WSW 1	W 1	W 3	10≡	9	10	1.3	≡ I
Mittel	2.1	4.3	2.7	3.0	—	615.3	615.2	615.7	64	56	58				4.9	4.6	3.8	Summe 34.3	

November 1938.
Beobachter: *P. Nogler.*

Bevers

$\lambda = 9^\circ 53'$, $\beta = 40^\circ 33'$,
H_b = ca. 1710^m, $G = -0.23$ ‰

Tag	Lufttemperatur 7³⁰	13³⁰	21³⁰	Mittel	Abweich. vom Normalst.	Luftdruck 7³⁰	13³⁰	21³⁰	Relative Feuchtigkeit 7³⁰	13³⁰	21³⁰	Windrichtung und Stärke 7³⁰	13³⁰	21³⁰	Bewölkung 7³⁰	13³⁰	21³⁰	Niederschlag	Witterung
1	-10.5	1.3	-6.4	-5.2	-4.7	618.9	616.4	616.7	92	65	92	W 0	W 0	SW 3	0	0	8	.	
2	-5.3	5.4	-2.9	-0.9	-0.2	616.2	615.4	618.0	94	48	94	W 0	WSW 1	W 1	3	7	3	.	
3	-6.8	3.0	-5.6	-3.1	-2.2	620.2	621.0	623.7	98	60	86	W 0	SW 0	W 0	7	0	0	.	
4	-6.6	8.0	5.0	2.1	3.2	624.9	624.7	625.5	90	**35**	70	W 1	SW 1	N 2	7	9	5	.	
5	7.5	9.6	6.2	7.8	9.1	626.1	626.2	626.4	74	68	98	NE 3	NNW 2	NE 0	10	10●	10●	0.8	● II, III
6	0.1	9.8	-1.6	2.8	4.3	626.9	626.9	627.4	95	48	78	SW 1	SSW 1	W 0	3	3	0	.	
7	-4.2	**10.3**	-1.7	1.5	3.2	628.9	625.6	625.9	86	36	76	WSW 0	W 1	W 0	0	0	0	.	⊔ fr.
8	-3.8	9.4	-1.2	1.5	3.4	625.8	624.0	624.3	81	37	69	SW 1	SW 1	W 0	0	0	0	.	⊔ fr.
9	-4.7	8.9	-3.2	0.3	2.4	624.1	623.3	625.1	86	38	81	WSW 0	W 0	W 0	0	0	0	.	⊔ fr.
10	-5.5	8.8	0.0	1.1	3.4	625.3	624.5	625.5	89	39	85	WSW 0	SW 2	W 1	0	0	0	.	⊔ fr.
11	-3.4	6.2	0.0	0.9	3.4	625.7	624.8	625.7	100	60	89	NW 1	W 2	W 1	1	6	3	..	⊔ fr.
12	-4.2	8.4	-2.2	0.7	3.4	626.9	626.3	629.1	100	45	94	W 1	S 1	SW 0	0	3	0	.	⊔ fr.
13	-4.2	8.9	-2.5	0.7	3.6	630.0	629.3	630.7	100	44	93	SSW 0	W 1	SW 0	0	0	0	.	⊔ fr.
14	-4.5	7.8	-2.0	0.4	3.5	**631.1**	630.2	**631.1**	100	46	86	WSW 0	W 2	W 1	0	0	0	.	⊔ fr.
15	-5.2	6.7	-3.8	-0.8	2.5	630.7	630.3	630.5	95	43	81	SW 1	W 2	SW 0	1	0	0	.	⊔ fr.
16	-6.6	5.8	-4.0	-1.6	1.9	627.9	625.3	625.3	89	42	83	WSW 1	SW 1	W 0	2	1	0	.	⊔ fr.
17	-6.2	8.8	-0.3	0.8	4.5	624.3	622.9	623.7	94	47	81	SW 0	W 3	W 0	1	8	0	.	⊔ fr.
18	-6.6	3.0	-6.6	-3.4	0.5	624.5	623.6	626.5	78	55	91	WNW 0	WNW 0	W 0	0	0	0	.	⊔ fr.
19	-6.1	4.6	-4.0	-1.8	2.3	622.9	622.3	621.3	88	50	85	W 0	SW 2	W 0	0	10	0	.	⊔ fr.
20	-1.0	3.2	-0.4	0.6	4.9	622.4	621.5	621.1	75	51	96	NW 0	W 2-3	NW 1	8	7	9	12.5	
21	0.0	1.5	1.0	0.8	5.3	616.6	614.1	610.2	100	93	100	W 0	NW 2	NW 0	10*	10*	10*	**20.7**	✳ n-n zeitw.
22	1.6	0.3	-2.2	-0.1	4.6	**603.6**	603.9	608.9	93	88	66	NW 1	SW 3-4	W 0	10	10*	10*	6.4	✳ II, III
23	-8.4	-0.8	-7.8	-5.7	-0.8	614.8	616.9	618.9	81	57	96	SW 0	W 0	W 1	4	10*	0	0.4	✳ II
24	-8.0	1.9	-2.8	-3.0	2.1	619.7	618.9	620.4	98	62	92	SW 1	SSW 1	W 0	5	0	10	.	
25	-3.8	1.3	-10.0	-4.2	1.1	622.0	623.5	625.8	98	50	85	NW 1	SW 2	W 0	10	3	0	.	
26	**-12.4**	-2.2	-10.5	-8.4	-2.9	624.8	622.6	621.6	93	58	83	SW 0	NW 1	W 0	0	0	0	.	
27	-10.4	-1.5	-4.6	-5.5	0.2	619.7	620.0	620.5	86	63	86	NW 1	N 1	N 1	8	9	8	.	
28	-4.5	2.4	1.3	-0.3	5.6	620.1	617.5	616.9	94	79	100	WNW 1	W 0	SW 0	8	6	10●	4.6	
29	0.4	3.3	0.2	1.3	7.3	615.0	614.5	616.5	100	85	100	NW 1	S 0	SW 0	8	9●	10●	1.4	● II, 19-n, ✳ abds., ≡ III
30	-0.6	1.2	1.5	0.7	6.9	616.7	616.7	614.9	100	100	96	W 0	W 0	W 1	10*	10●	10	4.3	✳ I, ● II
Mittel	-4.5	4.8	-2.4	0.7	—	622.6	621.8	622.6	92	56	87				3.9	4.4	3.5	Summe 51.1	

November 1938.
Beobachter: *Kapuzinerkloster.*

Sitten

$\lambda = 7^\circ 21'$, $\beta = 46^\circ 14'$,
$H_b = 548.6^m$, $G = -0.11$ ‰

Tag	Lufttemperatur 7³⁰	13³⁰	21³⁰	Mittel	Abweich. vom Normalst.	Luftdruck 7³⁰	13³⁰	21³⁰	Relative Feuchtigkeit 7³⁰	13³⁰	21³⁰	Windrichtung und Stärke 7³⁰	13³⁰	21³⁰	Bewölkung 7³⁰	13³⁰	21³⁰	Niederschlag	Witterung
1	**-0.3**	8.2	3.8	3.9	-2.8	712.2	710.2	711.4	90	50	81	NE 1	W 1	W 1	0	1	4	.	⊔ fr.
2	3.3	10.4	7.2	7.0	0.5	710.5	708.3	711.7	84	52	82	NE 1	NE 1	W 1	8	5	8	.	
3	6.2	10.8	5.7	7.6	1.3	714.5	714.8	717.1	80	56	80	NE 1	NE 1	NE 1	10	8	0	.	
4	3.2	11.4	9.1	7.9	1.7	718.5	718.1	719.6	87	47	70	NE 1	NE 0	NE 0	3	8	8	.	
5	7.0	13.0	10.4	10.1	4.1	720.5	719.9	719.7	79	53	76	ENE 0	ENE 1	ENE 1	10	8	8	.	
6	5.6	**14.3**	8.3	9.4	3.6	719.9	717.9	718.0	95	55	80	ESE 1	E 1	NE 1	5	0	0	.	
7	5.0	14.1	7.5	8.9	3.2	718.2	717.2	716.7	76	46	66	NE 1	NE 0	NE 0	0	0	0	.	
8	3.5	13.9	7.3	8.2	2.7	716.8	714.7	715.7	75	45	65	NE 0	NE 1	NE 1	0	0	0	.	
9	3.4	12.8	5.5	7.2	1.8	715.9	714.7	716.4	75	45	75	NE 1	W 1	W 1	0	0	0	.	
10	1.8	10.2	5.5	5.8	0.6	717.2	715.9	716.4	87	54	73	N 1	W 1	W 1	0	0	0	.	
11	4.5	**14.3**	10.4	9.7	4.7	716.1	713.9	716.0	75	43	53	NE 1	NE 1	NE 1-2	2	2	2	0.1	
12	7.7	13.1	8.6	9.8	4.9	718.9	718.4	720.2	75	51	69	E 1	E 1	E 1	9	5	0	.	
13	5.0	13.1	7.9	8.7	4.0	721.7	720.6	722.5	86	55	75	ENE 1	NE 1	NE 1	0	0	0	.	
14	4.5	11.0	7.3	7.6	3.1	**724.0**	722.6	723.6	84	62	73	NE 1	W 1	NE 1	2	5	0	.	
15	4.1	12.1	6.7	7.6	3.2	723.5	721.4	723.1	84	52	78	ENE 1	NW 1	NW 1	3	1	0	.	
16	3.0	11.4	6.1	6.8	2.6	720.2	718.1	718.2	82	51	73	W 1	W 1	W 1	2	7	0	.	
17	4.1	11.0	7.0	7.4	3.3	717.3	716.1	717.1	81	54	79	NE 1	W 1	W 0	8	8	0	.	
18	6.0	11.3	5.0	7.4	3.5	717.6	715.8	717.1	80	57	86	W 1-2	W 1-2	W 1	10	0	0	.	
19	1.1	8.2	4.5	4.6	0.9	716.6	715.3	714.4	88	53	69	ENE 1	E 1	E 1	3	10	0	.	
20	4.3	10.1	8.8	7.7	4.1	714.3	712.3	711.0	76	53	56	E 1	E 1	E 1	10	5	5	7.1	● n (20./21.)
21	5.5	11.7	6.1	7.8	4.4	707.3	706.2	701.4	90	49	87	NE 1	NW 1-2	NW 1	10	10	10	**19.5**	
22	5.2	8.3	4.3	5.9	2.7	**696.3**	699.1	705.1	100	65	82	W 1	W 1	W 2	10●	10	10●	8.9	● I, III
23	3.2	4.6	2.4	3.4	0.3	709.2	709.8	710.0	83	80	93	NNE 1	E 1	E 1	10●	8	0	9.4	● ✳ a
24	3.9	9.7	8.0	7.2	4.3	710.8	710.4	713.7	97	74	69	ENE 1	W 1	W 1	10●	4	8	0.7	● I
25	3.7	8.2	4.2	5.4	2.6	717.8	718.9	720.0	83	56	63	W 1	W 1	W 1	4	3	0	.	
26	2.3	8.1	4.7	5.0	2.4	717.0	713.2	711.9	62	43	49	NE 1	NE 1	NE 1	0	2	2	.	
27	4.4	8.9	2.9	5.4	3.0	711.8	711.9	713.9	50	**42**	65	E 1	E 1	NE 1	10	2	0	.	
28	**-0.3**	6.8	2.3	2.9	0.6	713.1	709.8	707.1	76	47	75	NE 1	NE 1	NE 1	0	0	2	.	
29	2.3	9.0	4.3	5.2	3.1	705.1	705.2	707.6	84	71	94	SW 1	SW 1	W 1	10	9	10	0.0	
30	4.5	8.9	4.2	5.9	4.0	709.1	707.1	706.4	95	69	95	SW 1	SW 1	SW 1	10	10	10	2.7	
Mittel	3.9	10.6	6.2	6.9	—	715.1	713.9	714.8	82	54	74				5.3	4.4	2.9	Summe 48.4	

$\lambda = 8^\circ 57'$, $\beta = 46^\circ 0'$,
$H_b = 276.2^m$, $G = -0.01$ m/m.

Lugano

November 1938.
Beobachter: *G. Vicari.*

Tag	Lufttemperatur 7³⁰	13³⁰	21³⁰	Mittel	Abweich. vom Normalst	Luftdruck 7³⁰	13³⁰	21³⁰	Relative Feuchtigkeit 7³⁰	13³⁰	21³⁰	Windrichtung und Stärke 7³⁰	13³⁰	21³⁰	Bewölkung 7³⁰	13³⁰	21³⁰	Niederschlag	Witterung
1	3.6	11.8	6.2	7.2	−1.3	735.9	733.7	733.8	84	54	84	N 1	S 0	N 1	0	0	0	.	
2	5.6	12.8	6.4	8.3	0.0	734.4	733.9	735.3	93	64	92	N 1	S 1	N 1	1	2	0	.	
3	4.8	11.6	5.8	7.4	−0.7	738.4	739.0	741.6	97	63	90	N 1	S 1	NNE 1	2	1	0	.	
4	4.8	13.0	7.8	8.5	0.6	744.0	743.7	743.1	95	57	92	N 1	S 1	N 1	0	10	10	.	
5	6.4	14.2	14.4	11.7	3.9	742.0	740.6	740.3	94	66	57	N 1	N 0	NNE 2	10	2	4	.	
6	12.2	**19.2**	11.2	14.2	6.6	740.6	739.8	742.2	38	42	68	NNW 1	S 0	NNE 1	8	0	0	.	
7	5.8	13.4	7.4	8.9	1.5	742.6	742.3	742.3	88	62	83	N 1	S 0	N 1	0	0	0	.	
8	5.6	13.2	7.8	8.9	1.6	742.0	740.6	741.1	88	56	83	N 1	SW 1	N 1	0	0	0	.	
9	4.8	12.8	7.8	8.5	1.4	741.5	741.4	743.0	98	62	96	N 1	S 0	NNE 1	0	0	0	.	
10	5.4	12.4	9.6	9.1	2.1	743.8	743.4	744.5	98	64	91	N 1	E 0	NNE 0	0	0	10	.	
11	10.0	12.4	10.0	10.8	4.0	744.8	744.3	745.1	94	78	94	N 1	S 1	N 1	10	10	10	.	
12	9.8	13.8	10.0	11.2	4.5	745.5	745.3	748.0	92	68	97	N 1	SE 1	NNE 1	10	0	10	.	
13	8.8	12.8	8.2	9.9	3.4	749.0	748.4	749.3	76	66	90	N 1	S 1	NNE 1	10	0	0	.	
14	5.6	12.8	7.4	8.6	2.2	749.7	748.7	**749.8**	87	54	82	N 1	S 0	NNE 1	0	0	0	.	
15	5.2	11.8	6.2	7.7	1.5	749.6	748.3	748.9	92	63	92	N 1	S 0	NE 1	1	1	0	.	
16	3.6	9.4	6.6	6.5	0.4	746.9	744.7	744.8	98	76	98	N 1	SE 0	NE 1	2	0	10	.	
17	4.4	6.8	5.4	5.5	−0.4	743.6	742.5	742.1	95	84	94	N 1	N 1	NNE 1	10	10	10	.	
18	6.0	8.8	4.4	6.4	0.6	743.0	744.4	745.4	87	66	91	WNW 1	ENE 0	NNE 1	10	1	0	.	
19	1.8	8.8	3.8	4.8	−0.8	744.1	743.0	743.3	86	58	88	N 1	S 0	N 1	0	10	10	.	
20	5.2	7.2	6.4	6.3	0.8	743.5	743.0	742.2	84	78	88	N 1	N 0	NNW 1	10	10	10	12.7	● tr. III
21	4.8	4.6	4.4	4.6	−0.8	738.3	734.4	729.0	99	98	99	N 1	W 1	S 1	10●	10●	10●	**55.2**	● n–n m.U.
22	5.8	10.0	8.6	8.1	2.9	720.2	**718.2**	727.0	99	77	37	NNW 1	W 1	N 2	10●	7	0	9.8	● n–10
23	4.2	11.0	4.2	6.5	1.4	731.7	734.7	738.0	53	43	65	N 1	ESE 1	N 1	1	0	0	.	
24	2.6	8.4	4.8	5.3	0.4	739.0	738.6	739.8	74	67	80	N 1	SE 0	N 1	0	10	10	.	
25	3.0	13.8	4.6	7.1	2.3	741.1	741.7	744.4	93	**28**	53	N 1	NNE 2	N 1	0	0	0	.	
26	**1.4**	8.6	2.6	4.2	−0.5	745.5	743.1	742.1	73	56	83	N 1	S 1	N 1	0	0	0	.	
27	2.6	8.8	6.2	5.9	1.4	740.2	739.5	739.9	86	53	78	N 1	W 1	S 1	2	7	10	0.2	●° (27./28.)
28	6.0	9.8	6.8	7.5	3.1	739.3	737.5	735.7	83	68	98	N 0	S 0	NE 1	10	10	10●	21.4	● 16½–n
29	7.2	8.2	8.2	7.9	3.6	733.1	732.6	733.9	96	93	96	N 0	W 1	S 1	10●	10●	10●	11.0	● n–n m.U.
30	7.8	10.0	9.2	9.0	4.9	733.9	733.6	733.3	94	93	96	N 1	E 0	N 1	10●	10●	10●≡	39.6	● n–21½ m.U., ≡ III
Mittel	5.5	11.1	7.1	7.9	—	740.9	740.2	741.0	84	65	85				4.6	4.0	4.8	Summe 149.9	

$\lambda = 7^\circ 35'$, $\beta = 47^\circ 33'$,
$H_b = 318^m$, $G = 0.11$ m/m.

Basel

November 1938.
Beobachter: *Astronom.-Meteorol. Anstalt.*

1	**−1.0**	9.2	5.2	4.5	—	733.8	731.8	731.3	100	67	92	ESE 1	SE 1	ENE 1	10≡	8	10	.	≡ n–9½. ⌓ fr.
2	5.6	9.8	7.3	7.6	—	729.5	730.3	734.8	94	87	78	ESE 1	WSW 1	SW 1	10	10●	10	1.3	
3	2.5	11.8	4.4	6.2	—	736.6	737.3	739.0	95	60	97	ESE 1	WSW 1	ENE 1	9	10	0	.	
4	1.9	12.6	9.6	8.0	—	739.9	739.7	741.0	98	63	86	E 1	E 1	E 1	9	10	10	.	⌓ fr., ⊕ 14
5	12.4	15.3	13.2	13.6	—	742.3	742.1	742.8	82	93	87	SSW 1	W 1	SW 1	10	9	10	.	
6	11.2	**16.2**	10.6	12.7	—	742.5	741.2	740.6	97	73	94	WNW 1	E 1	E 1	10	1	10	.	
7	9.3	15.5	7.0	10.6	—	738.9	737.8	738.0	89	63	91	SE 1	SE 1	ENE 1	10	0	0	.	
8	4.6	12.2	8.2	8.3	—	737.5	737.3	738.0	100	82	98	ESE 1	WNW 1	WNW 0	10≡	2	10	.	≡ n–9¼
9	6.2	7.3	5.8	6.4	—	738.0	738.0	738.6	97	90	97	ESE 1	E 1	N 0	10≡	10	10≡	.	≡ n–12¼, 16½–22½
10	3.8	11.2	4.7	6.6	—	738.4	737.8	737.5	93	66	96	E 1	E 1	ESE 1	1	0	0	.	⌓ fr.
11	3.4	12.4	4.2	6.7	—	736.3	735.8	737.2	93	66	96	ESE 1	ESE 1	E 1	2	1	3	0.1	
12	5.6	9.2	9.4	8.1	—	739.4	740.5	741.3	91	81	80	ENE 1	ENE 1	SE 1	10	10	0	.	
13	5.3	14.2	8.5	9.3	—	742.5	742.3	743.1	91	63	87	ESE 1	ESE 1	ESE 1	0	1	0	.	⌓ fr
14	4.0	12.6	7.4	8.0	—	745.0	744.6	**745.1**	97	71	91	ESE 1	ENE 1	ESE 1	8≡	8	0	.	≡ n–8½
15	4.2	9.0	5.5	6.2	—	744.7	744.0	743.6	97	84	99	E 1	ESE 1	ESE 1	10≡	9	10≡	.	≡ n–10½, III, ⊕ 14
16	4.4	10.6	6.1	7.0	—	742.3	740.3	739.7	98	74	96	E 1	ESE 1	E 1	10≡	1	0	.	≡ n–8¾
17	5.7	9.1	8.4	7.7	—	739.3	739.6	741.0	98	92	94	S 1	WNW 1	NNW 1	10	10	10≡	.	≡ 8¾–10, 11½–12½, III
18	5.6	8.3	2.1	5.3	—	741.1	740.8	739.7	94	75	98	NNE 1	N 1	SW 0	9	2	10≡	.	≡ III
19	2.2	8.4	6.8	5.8	—	737.3	736.4	735.7	96	81	96	SE 1	ENE 1	SE 1	10≡	10	8	3.0	● 13¾–14¼
20	6.7	9.6	10.2	8.8	—	735.4	733.9	729.4	96	92	76	E 1	E 1	ENE 1	9	9●	10	0.4	● 1¾–4, 9¼–9½, 13½–13¾
21	11.6	9.1	10.0	10.2	—	725.0	719.4	719.3	62	84	74	SSW 1	ESE 1	WSW 1	9	10	9●	5.0	● 0¾–1½ m.U., 16½–21½ zeitw., [⌐ abds.
22	6.5	7.3	5.2	6.3	—	**713.2**	720.6	727.0	94	76	83	ESE 1	WNW 2	WSW 2	10●	10	9●	3.4	● 4¾–21½ m.U.
23	3.8	13.0	15.4	10.7	—	726.8	726.9	727.1	83	72	50	ESE 1	SW 1	SSW 2	10	10	10	1.6	● 9¼, 22¼–22½
24	12.2	9.7	9.6	10.5	—	730.3	732.0	735.3	65	74	56	SSW 1	WSW 1	SSW 1	10●	10	3	0.6	● 0½–2¾ m.U., 1, 13–13¼, [⌐ 13–14
25	4.3	11.0	7.6	7.6	—	740.1	740.2	740.0	70	45	67	SSW 1	SW 1	SW 1	1	3	10	.	
26	3.4	14.2	3.2	6.9	—	735.5	732.1	733.1	97	**40**	83	E 1	ESE 1	SSE 1	2	9	2	.	
27	1.3	9.7	3.8	4.9	—	734.2	735.4	737.1	89	65	90	E 1	WNW 1	S 1	10	6	10	.	⌓ fr.
28	2.7	8.2	2.0	4.3	—	735.0	731.1	729.4	93	62	89	ESE 1	E 1	E 1	10	2	0	.	
29	2.0	5.2	1.6	2.9	—	727.3	727.7	730.7	93	78	96	E 1	E 1	E 1	10	8	8	.	
30	3.8	6.0	5.5	5.1	—	731.1	729.6	728.9	93	88	86	E 1	E 1	W 1	10	10	10	3.1	● 20¼–24½
Mittel	5.2	10.6	6.9	7.6	—	736.0	735.5	736.2	91	74	87				8.3	6.6	6.4	Summe 18.5	

November 1938.
Beobachter: *Observatorium.*

Säntis

$\lambda = 9^\circ 20'$, $\beta = 47^\circ 15'$,
$H_b = 2500.1^m$, $G = -0.27$ m/m.

Tag	Lufttemperatur 7³⁰	13³⁰	21³⁰	Mittel	Abweich. vom Normalst	Luftdruck 7³⁰	13³⁰	21³⁰	Relative Feuchtigkeit 7³⁰	13³⁰	21³⁰	Windrichtung und Stärke 7³⁰	13³⁰	21³⁰	Bewölkung 7³⁰	13³⁰	21³⁰	Niederschlag	Witterung
1	-4.6	-1.2	-5.6	-3.8	-0.7	559.5	558.6	558.0	81	70	100	NW 1	SSW 2	W 2	0	1	10≡	0.2	≡ 21-n
2	-4.2	-2.6	-6.5	-4.4	-1.2	557.1	557.4	559.4	98	94	100	W 3	W 2	WNW 2	10≡*	10≡*	10≡*	19.1	✳ n, 8½-9¼, 12½-n,
3	-7.6	-6.1	-4.2	-6.0	-2.7	560.9	562.6	564.2	91	63	58	WNW 3	SW 3	WNW 4	7	10	1	.	≡ 7¾-8½ [≡ 7¼-n
4	-2.7	0.1	-1.6	-1.4	2.1	565.1	566.0	566.8	47	41	54	W 5	W 5	W 6	10	10	10	0.1	
5	0.3	1.8	1.4	1.2	4.8	568.7	569.0	569.6	100	100	100	WSW 4	W 4	W 3	10≡	10≡	10≡●	16.0	● 18-n, ≡ n-n
6	-0.2	2.3	6.4	2.8	6.5	569.1	569.7	569.3	100	41	**20**	NW 2	NNW 1	N 2	10≡	1	0	.	≡ 7-9½
7	7.3	**8.4**	4.6	6.8	10.6	568.6	568.8	568.4	**20**	36	41	WNW 2	SW 2	W 4	1	2	0	.	
8	3.4	6.8	2.4	4.3	8.3	567.5	567.2	566.7	44	39	35	W 2	SW 2	W 3	0	1	0	.	
9	1.8	5.9	2.4	3.4	7.5	566.1	566.5	566.8	42	48	35	SW 0	S 1	SW 2	0	0	0	.	
10	3.5	3.1	0.2	2.3	6.5	566.5	566.8	566.2	37	43	52	SE 2	WNW 3	ESE 3	0	0	0	.	
11	0.0	4.8	2.4	2.4	6.7	565.9	565.6	566.3	52	44	48	S 0	SSW 1	ESE 1	1	7	5	.	
12	0.2	3.0	0.8	1.3	5.7	567.8	568.9	570.1	60	67	78	NE 2	SSW 2	SW 2	6	9	1	.	
13	0.8	5.7	1.8	2.8	7.4	570.9	571.4	571.8	72	48	58	E 0	SW 1	SSW 1	1	1	1	.	
14	0.2	4.5	1.0	1.9	6.6	572.1	572.3	**572.4**	63	57	56	ESE 2	S 1	S 1	3	2	1	.	
15	1.2	4.0	0.4	1.9	6.7	571.4	571.3	570.6	50	48	53	SSE 0	SSW 1	W 3	9	6	1	.	
16	-2.0	0.8	-2.0	-1.1	3.8	568.4	567.9	566.5	98	72	100	W 4	SW 2	W 3	3	3	10≡	.	≡ 10-10¾, 20-n
17	-2.8	-2.0	-3.8	-2.9	2.1	565.5	565.1	565.2	98	98	98	WNW 2	W 2	WNW 2	10≡	10≡	10≡	4.9	✳ 11¼-13, 14-19½, ✳ 7¼-
18	-7.8	-3.1	-2.1	-4.3	0.8	565.0	565.4	564.8	60	53	38	N 2	E 1	ENE 1	1	1	0	.	
19	-3.4	-3.4	-2.8	-3.2	2.1	563.4	563.4	563.0	57	72	78	W 3	WNW 3	W 3	1	10	10	.	
20	-4.6	-1.2	-2.2	-2.7	2.7	562.2	562.1	560.0	92	60	52	SSW 2	SW 3	S 3	10	9	10	.	
21	-2.2	-1.4	-3.2	-2.3	3.2	556.0	551.3	550.0	69	69	96	SSW 4	SW 5	SW 3	10	10	10*	0.4	✳ 18¼-n m.U., ⌒ 14-18
22	-3.6	-7.0	**-9.4**	-6.7	-1.1	**545.3**	545.8	551.0	97	98	86	SW 3	W 4	W 2	10≡*	10≡*	10≡*	**22.7**	✳ ≡ n-n, ✢ 8½-n
23	-9.0	-0.8	-3.1	-4.3	1.4	554.2	555.5	558.5	85	100	96	W 4	W 6	SW 3	10	10≡	0	5.1	✳ 10¼-12, ✢ n-12, ≡ 10-17½,
24	-2.2	-0.4	-6.0	-2.9	2.9	560.0	559.9	560.5	97	98	94	SW 2	W 2	W 3	10■	10≡	10■*	15.2	✳ ✢ 16-n, ≡ 7¼-n m.U. [∨ II
25	-9.2	-8.6	-7.7	-8.4	-2.5	561.9	563.6	564.3	92	88	55	W 4	W 3	W 5	10≡	2	4	.	≡ n-10¼
26	-5.6	-3.8	-6.4	-5.3	0.7	563.2	562.0	560.2	66	65	54	SW 3	S 2	SW 3	1	3	1	.	
27	-8.4	-5.0	-6.2	-6.5	-0.5	559.6	560.3	561.2	62	63	65	SW 2	SW 2	SSE 2	10	6	0	.	
28	-5.0	-2.2	-2.3	-3.2	2.9	560.3	559.3	558.0	76	68	80	SW 2	SW 2	SW 3	1	1	6	.	
29	-1.0	0.2	-1.0	-0.6	5.6	556.1	556.1	557.8	72	68	74	S 3	SW 4	ESE 3	9	9	2	.	
30	-2.4	-0.4	-2.8	-1.9	4.4	557.7	556.6	556.3	72	76	94	SW 3	SW 3	SW 2	8	8	6	1.5	
																		Summe	
Mittel	-2.3	0.1	-1.8	-1.3	—	563.2	563.2	563.5	72	66	68				5.7	5.7	4.6	85.2	

November 1938.
Beobachter: Frl. *F. Lombardi.*

St. Gotthard (Hospiz)

$\lambda = 8^\circ 34'$, $\beta = 46^\circ 33'$,
$H_b = 2095.7^m$, $G = -0.25$ m/m.

Tag	7³⁰	13³⁰	21³⁰	Mittel	Abweich. vom Normalst	Luftdruck 7³⁰	13³⁰	21³⁰	Relative Feuchtigkeit 7³⁰	13³⁰	21³⁰	Windrichtung und Stärke 7³⁰	13³⁰	21³⁰	Bewölkung 7³⁰	13³⁰	21³⁰	Niederschlag	Witterung
1	-3.4	0.8	-4.2	-2.3	0.0	588.7	588.0	587.6	61	58	73	N 1	N 1	N 1	0	0	5	.	
2	-3.6	2.4	1.8	0.2	2.7	587.1	587.1	588.6	64	44	82	N 1	N 0	N 1	0	5	5	0.3	
3	4.2	1.0	2.0	2.4	5.0	591.3	592.3	593.9	86	61	65	N 2	N 1	N 0	10≡	0	2	.	≡ n-9
4	2.0	2.2	2.5	2.2	5.0	595.7	596.6	596.7	61	48	72	N 0	NW 0	NE 3	2	5	5		
5	2.4	2.8	2.8	2.7	5.6	597.7	598.0	598.0	70	72	98	N 2	N 2	N 2	8	8	8	.	
6	1.0	2.6	3.7	2.4	5.4	598.2	598.5	598.2	54	34	80	N 2	N 2	N 1	3	0	0	.	
7	5.5	**5.6**	3.0	4.7	7.9	597.6	597.6	597.3	58	41	54	N 1	N 0	N 1	0	0	0	.	
8	1.8	3.0	3.0	2.6	5.9	596.4	596.3	595.6	60	**27**	55	N 1	N 0	N 1	0	0	0	.	
9	1.0	1.6	2.0	1.5	4.9	595.2	596.4	595.7	52	36	63	N 1	N 0	N 0	0	0	0	.	
10	1.6	2.8	0.0	1.5	5.0	596.1	596.4	596.2	61	48	82	S 0	S 1	S 1	0	0	10≡	.	≡ 20¼-n
11	0.2	1.2	1.0	0.8	4.5	596.3	596.0	596.4	68	68	68	S 0	SE 1	SE 1	5	8	8	.	
12	-0.2	2.6	1.0	1.1	4.9	597.2	597.7	599.4	65	51	83	E 0	N 0	N 0	5	3	0	.	
13	1.2	3.8	2.0	2.3	6.2	600.6	600.8	**600.9**	61	50	71	N 0	N 0	S 1	0	0	0	.	
14	0.5	-1.5	-1.0	-0.7	3.3	599.9	600.2	600.1	98	90	95	S 1	S 1	S 1	0	0	0	.	
15	2.0	2.5	1.0	1.8	5.9	599.9	599.8	599.6	85	80	80	S 1	S 1	S 1	4	2	0	.	
16	0.5	2.5	0.5	1.2	5.4	597.9	596.9	596.3	85	85	90	N 1	N 1	N 1	2	2	0	.	
17	-2.0	-1.0	-2.5	-1.8	2.5	594.9	594.8	594.7	78	70	70	N 1	N 1	N 1	4	4	10≡	0.3	≡ 15-n
18	-4.0	-2.0	-4.5	-3.5	0.9	594.5	594.3	593.9	70	95	85	N 1	N 1	N 1	10	0	0	.	⌣ fr.
19	-4.8	-1.5	-4.2	-3.5	1.0	593.5	593.5	593.0	85	75	85	N 0	S 1	S 1	0	10	0	.	
20	-4.5	-2.5	-2.5	-3.2	1.4	593.1	593.1	590.9	85	75	75	S 1	S 1	S 1	10	10	10*	7.2	✳ 21-n
21	-2.5	-4.0	-4.0	-3.5	1.2	589.9	585.5	580.0	80	80	80	S 1	S 1	S 1	10*	10*	10*	**29.5**	✳ n-n
22	-3.8	-4.0	-4.6	-4.1	0.7	576.0	**575.3**	580.0	88	75	90	S 2	NE 1	N 2	10*	10*	10*	17.1	✳ n-n
23	-4.8	-3.2	-4.5	-4.2	0.7	583.3	587.1	590.0	90	85	90	N 1	S 1	S 1	10	10	0	4.1	✳ 8½-11¼
24	-4.8	-3.0	-4.5	-4.1	0.9	590.3	590.3	591.3	90	85	80	S 1	S 1	S 1	4	0	10	4.5	
25	-6.2	-5.5	-5.8	-5.8	-0.7	593.3	594.1	594.3	85	70	78	N 1	N 2	N 1	10≡	0	0	.	≡ 1
26	-6.5	-4.0	**-6.8**	-5.8	-0.6	594.5	593.2	592.9	80	75	80	S 1	S 1	S 1	0	0	0	.	
27	-6.0	-4.2	-4.2	-4.8	0.5	590.3	590.7	590.7	80	80	80	S 1	S 1	S 1	10	2	0	.	
28	-4.2	-1.0	-2.0	-2.4	3.0	590.8	589.7	586.4	80	80	80	S 1	S 1	S 1	10	10	10	18.1	✳ 16-n
29	-2.2	-1.0	-1.0	-1.4	4.1	585.3	585.6	587.5	80	80	80	S 1	S 2	S 2	10*	10*	10*	12.4	✳ n-n
30	-0.5	0.2	-0.5	-0.3	5.2	587.8	586.5	586.2	85	80	80	S 1	S 1	S 1	10	10*	10*	12.0	✳ 9-n
																		Summe	
Mittel	-1.3	0.0	-1.0	-0.8	—	593.1	593.1	593.1	75	67	78				4.9	4.0	4.1	105.5	

$\lambda = 7^\circ 26'$, $\beta = 46^\circ 57'$.
$H_b = 572.2^m$, $G = 0.00^m/_m$.

Bern

Dezember 1938.
Beobachter: *Tellur. Observatorium.*

Tag	Lufttemperatur 7³⁰	13³⁰	21³⁰	Mittel	Abweich. vom Normalst	Luftdruck 7³⁰	13³⁰	21³⁰	Relative Feuchtigkeit 7³⁰	13³⁰	21³⁰	Windrichtung und Stärke 7³⁰	13³⁰	21³⁰	Bewölkung 7³⁰	13³⁰	21³⁰	Niederschlag	Witterung
1	4.2	**8.3**	4.0	5.5	4.6	706.5	706.6	706.8	88	63	80	SE 0	SW 1	SE 1	9	4	9	0.7	● 0–0¼, 0¾–1¾
2	4.0	6.3	3.4	4.6	3.9	707.2	709.2	712.4	93	85	87	S 0	SW 1	S 0	9	7	10	4.8	● 2½–3¾, 8–13¼ m.U.
3	2.8	7.3	5.3	5.1	4.5	711.3	711.6	712.8	85	64	80	S 0	SW 1	WSW 2	10	9	9	1.2	● 8½–11 m.U.
4	1.6	5.0	−0.1	2.2	1.7	714.0	714.5	**715.8**	90	66	80	S 0	NE 1	NE 0	1	1	0	.	● 3¾–4¼ m.U.
5	−2.6	3.1	2.8	1.1	0.8	715.1	713.2	710.9	89	**60**	86	S 0	S 0	SE 0	8	10	10	**13.2**	● 16¾–17½ m.U., 23¾, ⊔ fr.
6	2.2	4.5	−0.3	2.1	1.9	713.9	714.6	714.5	93	86	92	S 0	S 0	NE 0	10	3	5≡	.	● 0½–6¼, ≡ 21½–n
7	−1.0	1.0	−0.8	−0.3	−0.4	713.3	712.4	710.5	94	80	90	NE 0	SE 1	SW 0	10≡	6	10	.	≡ n–8½
8	−1.0	2.0	0.0	0.3	0.3	708.9	706.9	705.9	90	82	89	E 1	N 0	SE 0	10	10	8	.	
9	2.0	6.1	2.4	3.5	3.6	706.2	707.1	706.1	83	76	94	SW 0	E 0	NE 0	9	10	10≡	0.1	● 9¼–9¾, ≡ 19¾–n
10	0.2	2.5	1.0	1.2	1.4	704.7	704.2	704.0	98	91	98	SW 0	NE 1	SE 0	10≡	10≡	10≡	.	≡ n–11½
11	0.5	2.0	0.0	0.8	1.1	704.3	704.2	705.1	99	91	91	SW 0	N 0	W 1	10≡	10≡	10	.	≡ n–21¼
12	1.0	5.5	4.0	3.5	3.9	707.9	709.5	711.2	89	88	86	NE 0	NW 0	W 0	10	10	10	.	
13	1.7	7.0	2.4	3.7	4.2	712.4	713.0	713.8	90	79	88	SE 0	E 0	SW 0	10	9	10	.	
14	0.0	7.0	0.8	2.6	3.2	713.9	713.4	714.2	89	69	90	S 0	W 0	S 0	5	2	0	.	≡ 8–9¾ m.U., 20–21¼, ⊔ fr.
15	−2.2	1.0	−0.8	−0.7	0.0	714.7	713.9	712.4	92	89	98	S 0	N 0	NE 0	1	4	10≡	.	≡ 6¾–10, 15–n, ⊔ fr.
16	−1.5	−0.9	0.6	−0.6	0.2	711.7	711.6	712.7	91	94	92	W 0	NE 1	NE 1	10≡	10≡	10	.	≡ n–16¼, ⊔ fr.
17	−2.0	−3.0	−5.0	−3.3	−2.5	712.9	713.0	713.2	89	87	70	NE 2	NE 2	NE 2	10	10	10	.	
18	−9.0	−8.8	−10.5	−9.4	−8.5	710.5	708.1	706.6	76	69	76	NE 2	NE 2	NE 2	10	10	10	3.4	✳° 13¾–n
19	−10.9	−8.4	−9.6	−9.6	−8.6	704.5	703.6	701.6	78	74	80	NE 1	NE 1	NE 1	10	10	10	5.9	✳ 0½–8¼, 12½–n m.U. ⊠
20	−8.9	−6.0	−6.1	−7.0	−6.0	699.5	698.9	**698.5**	84	80	84	NE 1	NE 0	NE 0	10	10*	10	4.1	✳ n–13½, 18½–19¼ m.U. ⊠
21	−5.3	−3.5	−7.3	−5.4	−4.3	700.0	700.3	702.7	90	80	81	NE 0	NE 0	W 1	10	10	10	0.8	✳ 2½–n zeitw. ⊠
22	−10.3	−7.9	**−13.5**	−10.6	−9.5	703.4	703.0	703.1	81	75	79	S 0	NE 0	S 0	8	2	9	.	⊠
23	−12.1	−6.3	−7.7	−8.7	−7.5	702.6	701.0	703.4	89	79	79	NE 0	NE 1	W 0	10≡	8	10	.	≡ n–9¼ ⊠
24	−10.9	−5.6	−8.3	−8.3	−7.1	706.6	707.8	709.5	81	68	74	S 0	NE 1	N 0	10	10	10	.	⊠
25	−6.4	−6.0	−6.9	−6.4	−5.1	710.5	711.3	714.0	81	79	81	ENE 1	NE 2	NE 2	10	10	10	.	⊠
26	−7.1	−7.2	−8.9	−7.7	−6.4	715.0	714.8	715.5	80	65	70	ENE 2	NE 3	NE 1	10	3	1	.	
27	−12.5	−6.9	−5.8	−8.4	−7.0	714.2	711.7	710.3	80	70	82	S 0	S 0	SE 0	10	10	10	2.4	✳ 13¾–19¾ m.U. ⊠
28	−3.3	0.3	−1.0	−1.3	0.1	705.4	705.8	707.5	87	82	89	S 0	W 1	W 1	10	10	10	2.1	✳ 7½–18¾ zeitw., ● 20–n ⊠
29	−2.4	−0.9	−8.1	−3.8	−2.3	708.5	708.8	709.1	88	69	80	W 0	SE 0	S 0	10	1	2	0.0	[24 m.U., ≡ 8–10 ⊠
30	−6.5	−0.3	0.3	−2.2	−0.7	705.6	703.9	703.7	78	75	89	SE 0	S 0	W 1	10*	9	9	1.1	✳ 7–11¾, 19¼–20¾ m.U., ●12¼ ⊠
31	−0.3	1.6	1.0	0.8	2.3	705.3	705.9	707.5	79	67	78	W 1	SW 2	W 1	7	10	10	1.5	✳ 9, 11¼–19 zeitw., 23–24 ⊠
																		Summe	
Mittel	−3.1	−0.1	−2.4	−1.9	—	708.7	708.5	708.9	87	77	84				8.9	7.7	8.5	41.3	

$\lambda = 6^\circ 57'$, $\beta = 47^\circ 0'$,
$H_b = 487.3^m$, $G = 0.02^m/_m$.

Neuchâtel

Dezember 1938.
Beobachter: *Observatorium.*

Tag	7³⁰	13³⁰	21³⁰	Mittel	Abweich. vom Normalst	7³⁰	13³⁰	21³⁰	7³⁰	13³⁰	21³⁰	7³⁰	13³⁰	21³⁰	7³⁰	13³⁰	21³⁰	Niederschlag	Witterung
1	6.0	**9.5**	6.9	7.5	5.6	714.6	714.8	714.9	83	68	76	W 1	SW 2	W 1	10	2	10	1.1	
2	6.4	8.1	5.8	6.8	5.0	715.3	717.3	720.3	84	67	75	W 1	SW 2	W 1	10●	2	10	2.5	● n–a m.U.
3	4.9	6.3	5.8	5.7	4.0	719.5	720.0	721.3	81	80	75	NW 3	SW 3	W 2	10	8	10	5.7	● 7¾–a, n
4	2.0	7.0	1.1	3.4	1.8	722.3	723.0	724.2	75	58	84	W 0	SE 1	E 0	0	0	0	.	
5	−1.2	2.6	5.9	2.4	0.9	723.6	721.5	719.2	98	89	82	NE 0	E 0	W 2	10	10	10●	**12.3**	● 16–n. ⊔ fr.
6	4.1	7.4	1.2	4.2	2.8	722.4	722.8	722.7	79	**56**	84	NW 1	S 1	NE 0	9	1	0	.	
7	0.0	0.4	−0.7	−0.1	−1.4	721.8	720.7	719.1	93	86	91	NE 1	NE 1	E 1	10	10	10	.	⊔ fr.
8	−1.3	1.1	0.1	0.0	−1.2	717.1	715.2	714.2	96	93	96	E 0	E 1	NE 0	10	10	10	4.9	
9	3.1	4.9	4.5	4.2	3.1	714.4	715.0	714.2	100	98	98	SW 0	E 0	E 0	10●	10	10	1.8	● n–10½
10	2.7	3.4	2.1	2.7	1.7	712.6	712.0	712.0	100	100	100	E 0	E 0	E 0	10≡	10≡	10≡	0.1	≡ n–n
11	1.6	2.2	1.6	1.8	0.9	712.4	712.4	713.4	100	100	100	E 0	SE 1	E 0	10≡	10≡	10≡	.	≡ n–n
12	2.6	4.9	4.2	3.9	3.1	716.0	717.6	719.3	100	95	97	NE 0	SE 1	NE 0	10≡	10	10	.	≡ a
13	2.2	5.6	3.2	3.7	2.9	720.8	721.4	722.1	100	92	97	E 0	SE 0	SE 0	10	8	4	0.2	≡ 9–11½
14	2.3	3.9	2.9	3.0	2.3	722.1	721.7	722.6	100	100	100	SE 0	NE 0	E 0	10≡	10≡	10≡	0.2	≡ n–n
15	0.7	2.7	1.7	1.7	1.1	723.2	722.2	721.0	100	100	100	NE 0	SW 1	NW 1	10≡	10≡	10≡	0.5	≡ n–n,
16	0.1	0.4	1.1	0.5	0.0	719.9	719.9	721.1	100	100	95	NE 0	E 1	E 1	10≡	10	10	.	≡ n–a
17	−1.5	−2.7	−5.2	−3.1	−3.5	721.6	721.7	721.7	92	87	74	NE 2	E 3	E 3	10	10	10	.	
18	−8.5	−8.4	−10.2	−9.0	−9.4	719.2	716.9	715.3	83	80	85	E 4	E 3	E 2	10	10	10	0.1	✳fl. zeitw.
19	−9.6	−8.3	−8.4	−8.8	−9.1	712.7	711.3	709.2	82	86	92	E 1	E 1	E 1	10	10*	10*	12.1	✳fl. a, ✳° 12–n ⊠
20	−8.6	−7.0	−6.1	−7.2	−7.4	706.6	**706.0**	706.1	94	92	95	E 1	NE 1	NE 1	10	10*	10	8.7	✳ n–n zeitw. ⊠
21	−4.9	−4.3	−8.1	−5.8	−6.0	706.7	707.9	711.0	95	93	72	NE 1	SW 0	NW 2	10	10*	10	3.1	✳ n–n zeitw. ⊠
22	−11.6	−6.7	**−13.3**	−10.5	−10.6	711.8	711.4	711.2	87	79	89	NE 0	E 1	NW 0	8	2	2	.	⊠
23	−11.4	−7.6	−7.6	−8.9	−8.9	710.0	708.7	712.0	94	84	84	NE 0	NE 1	NE 0	10	10	10	.	⊠
24	−9.2	−6.3	−8.5	−8.0	−8.0	715.3	716.4	718.0	92	80	89	NE 1	NE 1	NE 0	10	10	10	.	⊠
25	−6.8	−5.1	−6.2	−6.0	−5.9	719.2	719.9	722.9	89	88	90	SW 1	E 2	E 2	10	10	10	.	⊠
26	−6.7	−5.3	−7.9	−6.6	−6.4	723.8	723.4	**724.5**	79	65	75	E 2	E 3	E 2	10	2	9	.	✳fl. a ⊠
27	−9.2	−5.2	−3.4	−5.9	−5.7	722.8	719.9	718.3	88	79	92	E 0	SW 2	W 1	10	10	9	5.7	✳ 13½–15¼, 18, n ⊠
28	−1.4	−0.1	−0.3	−0.6	−0.3	713.7	714.1	716.0	98	93	95	SW 1	W 1	W 0	10*	10	10*	4.2	✳ n–n zeitw. ⊠
29	−1.3	1.2	−6.0	−2.0	−1.7	716.9	717.2	717.6	73	58	93	SE 1	NE 1	W 1	8	1	4	2.6	⊠
30	−2.4	0.3	0.8	−0.4	0.0	713.8	712.2	712.1	98	98	98	SW 3	W 3	W 1	10*	10*	10	7.4	✳ n–14 ⊠
31	0.9	0.9	1.3	1.0	1.4	713.7	714.5	716.4	85	85	95	W 2	W 3	W 3	9	10*	10	5.4	✳ p–n ⊠
																		Summe	
Mittel	−1.8	0.2	−1.4	−1.0	—	717.0	716.7	717.2	91	85	89				9.5	8.0	9.0	78.6	

Dezember 1938.
Beobachter: Frl. *H. Nager.*

Altdorf

$\lambda = 8° 39'$, $\beta = 46° 53'$,
$H_b = 456.3^m$. $G = -0.05^m/_m$.

Tag	Lufttemperatur 7³⁰	13³⁹	21³⁰	Mittel	Abweich. vom Normalst	Luftdruck 7³⁰	13³⁰	21³⁰	Relative Feuchtigkeit 7³⁰	13³⁰	21³⁰	Windrichtung und Stärke 7³⁰	13³⁰	21³⁰	Bewölkung 7³⁰	13³⁰	21³⁰	Niederschlag	Witterung
1	3.9	7.4	4.7	5.3	2.5	717.5	717.7	717.8	57	59	60	SE 0	E 0	SE 0	10	10	8	.	
2	4.1	6.8	2.5	4.5	1.8	718.1	720.5	723.6	60	59	60	NE 0	NW 0-1	NW 0	9	10●	1	2.7	● 13½-p
3	1.9	6.8	4.7	4.5	1.9	722.0	721.7	723.1	61	55	62	E 0	NW 1-2	SE 0	10	7	10	6.0	
4	4.1	5.7	0.1	3.3	0.9	725.2	726.2	**727.4**	68	57	64	NE 0-1	E 0	SE 0	10	4	0	.	
5	-3.1	5.1	3.3	1.8	-0.5	726.0	723.6	722.1	77	53	84	SE 0	NW 0	NW 0	7	7	10	11.2	●° abds.
6	2.8	4.8	1.2	2.9	0.7	724.5	725.4	726.1	97	73	75	E 0	NW 0-1	SE 0	10●	10	4	2.8	● l
7	-2.7	2.4	-1.8	-0.7	-2.8	724.6	723.3	721.8	86	64	93	E 0	NW 0	SE 0	0	0	0	.	
8	-0.8	11.4	4.1	4.9	2.9	720.4	716.4	716.6	95	**24**	76	NE 0	SE 1	NW 1	7	7	8	.	
9	6.2	7.8	3.2	5.7	3.8	716.1	717.4	716.9	59	86	95	W 0-1	NW 0	W 0	8	3	9	.	
10	3.1	15.5	13.3	10.6	8.8	714.4	713.7	714.2	97	26	38	N 0	SE 2-3	SE 1-2	9	4	5	.	
11	13.9	15.2	14.9	14.7	13.0	713.9	715.6	716.4	28	28	27	NE 2	SE 2-3	S 2-3	4	6	4	.	
12	14.5	**16.4**	15.5	15.5	13.9	718.7	720.6	721.5	27	26	27	SE 2-3	SE 1-2	S 2-3	7	10	6	.	
13	11.8	9.0	4.1	8.3	6.8	722.4	723.8	725.0	33	97	65	W 0	NW 0	NW 0	8	10	4	.	
14	1.1	5.3	0.3	2.2	0.8	724.8	724.2	725.7	69	72	72	NW 0	NW 0	NW 0	0	3	0	.	≡ mtgs.. 16½
15	1.5	3.0	0.1	1.5	0.2	726.2	725.5	723.8	92	72	95	NW 0	NW 0	NW 0	10≡	10≡	10≡	.	≡ n-n
16	1.4	3.4	3.1	2.6	1.4	722.4	722.4	724.2	73	74	76	SW 0	SW 0	NW 0	10≡	10≡	10≡	0.0	≡ n-n
17	1.4	0.4	-1.8	0.0	-1.1	724.5	724.2	724.4	75	74	72	NW 0	NW 1	NW 0-1	10●	10	10	0.4	● l, p
18	-5.1	-5.7	-6.6	-5.8	-6.8	721.5	719.4	718.0	71	79	65	NW 0	NW 0	NW 0	10	10	10	0.5	✳° p, n
19	-6.4	-5.2	-4.8	-5.5	-6.4	715.5	714.0	711.9	67	68	72	NW 0	NW 0	NW 0	10	10	10	.	
20	-4.1	-2.4	-3.1	-3.2	-4.1	709.5	**708.0**	708.9	75	72	74	NW 0	NW 0	NW 0	10	8	10	2.4	
21	-2.7	-2.1	-5.2	-3.3	-4.1	709.5	710.2	712.9	80	74	70	NW 0	NW 0	NW 0-1	10	10	10	6.4	
22	-6.3	-4.1	-9.2	-6.5	-7.2	714.6	714.1	713.6	82	59	75	NE 0	NE 0	NE 0	10	10	5	1.1	✳° a
23	-5.8	-4.9	-5.5	-5.4	-6.0	712.1	710.9	714.4	84	67	75	E 0	NW 0	NW 0	10*	10*	10	1.8	✳ l, ll
24	-6.2	-4.5	-6.0	-5.6	-6.2	718.0	719.1	722.2	65	60	70	SE 0	E 0	E 0	10	10	10	.	
25	-4.9	-3.0	-3.4	-3.8	-4.3	722.7	722.9	725.8	77	60	65	SE 0	S 0	NW 0	10	10	10	.	✳° a
26	-4.6	-3.0	-7.1	-4.9	-5.3	726.5	726.1	727.3	75	61	61	N 0	NW 0	NE 0	10	7	10	0.6	✳ 10-mtgs.
27	**-11.2**	-3.8	-4.4	-6.5	-6.9	725.0	722.3	721.4	74	62	88	E 0	NW 0	SE 0	0	10	10*	3.7	✳ 16-n
28	-3.1	0.4	0.0	-0.9	-1.2	716.1	716.2	717.8	92	86	95	SE 0	SE 0	NW 0	10*	10*	10*	**14.3**	✳ n-n
29	-1.1	0.2	-5.5	-2.1	-2.4	719.0	718.9	720.2	82	62	75	SE 0	NW 0	E 0	10*	10	0	0.2	✳ l
30	-4.6	-1.2	0.3	-1.8	-2.0	716.4	714.0	714.2	79	85	75	SE 0	S 0	SE 0	10	10*	10	4.0	✳ seit 9¾
31	0.8	2.0	3.6	2.1	1.9	715.5	716.1	717.1	72	66	48	NW 0	N 0	NW 1	10*	10	10	9.2	✳ zeitw.
																		Summe	
Mittel	0.0	2.9	0.5	1.1	—	719.5	719.2	719.9	72	63	69				8.4	8.3	7.2	67.3	

Dezember 1938.
Beobachter: *Observatorium.*

Genf

$\lambda = 6° 9'$, $\beta = 46° 12'$,
$H_b = 405.0^m$, $G = -0.03^m/_m$.

1	7.2	**10.0**	9.1	8.8	5.8	722.4	722.7	722.9	77	69	64	SE 0	SSW 1	SW 1	9	9	10	0.7	●°sch. 9¼, ● 23-n
2	6.8	9.4	5.8	7.3	4.4	723.5	725.2	728.1	85	69	76	W 1	SE 1	ENE 0	10●	4	9	0.8	●°sch. a, ● n
3	4.0	6.4	5.2	5.2	2.5	728.2	728.6	729.7	90	88	81	NW 0	E 0	NE 0	10●	10	0	1.3	●sch. a, ●°sch. n
4	2.8	7.6	3.0	4.5	1.9	728.9	729.5	731.0	91	61	80	E 0	NNE 1	N 0	9	0	0	.	
5	-1.2	4.6	5.2	2.9	0.4	731.3	729.3	727.5	92	77	75	NE 0	NE 0	NNE 1	6	10	10●	8.3	●sch. p, ● n, ⌴ fr.
6	5.2	7.4	3.5	5.4	3.0	729.7	729.9	729.6	84	**53**	73	NE 0	NNE 1	NNE 0	10●	0	0	.	● a
7	1.4	3.2	2.3	2.3	0.0	729.0	727.6	726.5	89	78	85	ENE 0	NE 1	NE 1	10	9	10	.	
8	2.0	3.0	2.0	2.3	0.1	724.1	722.2	721.0	89	83	93	NE 0	NNE 1	NW 0	10	10	10●	16.0	● 21-n
9	3.4	5.9	6.0	5.1	3.0	722.2	722.3	721.5	97	94	95	W 0	NE 0	NNE 0	10●	10≡	10●	1.2	● n-n m.U.
10	6.0	6.0	4.9	5.6	3.6	719.7	719.1	718.9	91	90	92	E 0	E 0	ENE 0	10	10	10	.	
11	3.4	4.6	4.7	4.2	2.3	719.7	719.4	720.5	97	93	88	E 1	E 0	E 0	10	10	10	.	
12	3.4	5.3	5.0	4.6	2.8	723.2	724.3	726.1	97	90	92	NNE 0	N 0	E 0	10≡	10	10	.	
13	3.4	8.2	4.0	5.2	3.5	728.0	728.5	729.2	93	79	90	E 0	NNE 0	ENE 0	10	10	4	.	
14	1.6	3.8	2.4	2.6	1.0	729.5	729.2	730.1	96	98	100	ENE 0	NE 0	NNW 0	2	10≡	10≡	0.1	
15	1.6	1.8	1.9	1.8	0.3	730.6	729.6	728.3	100	98	100	NNW 0	NW 0	NW 0	10≡	10≡	10≡	.	
16	0.8	2.7	2.8	2.1	0.7	727.3	726.9	727.9	96	95	89	E 1	NW 0	NNE 1	10	10	10	.	
17	1.8	1.4	-1.5	0.6	-0.7	728.1	728.1	728.2	84	81	92	NNE 1	NNE 1	NNE 2	10	10	10	.	
18	-4.0	-5.0	-6.1	-5.0	-6.2	725.6	723.7	722.2	87	89	86	NNE 2	NNE 2	NNE 2	10	10	10	0.2	● ✳sch. p-n
19	-7.1	-5.8	-6.0	-6.3	-7.4	719.7	718.1	716.1	83	87	87	NNE 1	NNE 1	NNE 1	10	10*	10*	19.0	✳ n-n
20	-5.0	-4.0	-3.8	-4.3	-5.4	714.0	**712.9**	713.2	90	95	93	NNE 0	NNE 0	NW 0	9	10*	10*	**25.1**	✳ n-n
21	-3.8	-6.0	-7.5	-5.8	-6.8	714.7	715.7	719.8	87	84	83	SSW 0	W 1	SSW 1	10	10	10	.	
22	**-13.0**	-7.6	-8.9	-9.8	-10.7	719.8	718.6	718.2	87	78	91	E 1	NW 1	E 0	0	0	10	.	
23	-10.2	-6.6	-8.0	-8.3	-9.1	717.3	716.6	719.5	90	86	89	E 0	E 0	E 0	10	10*	10	0.8	✳ 9½-n
24	-9.8	-6.0	-5.4	-7.1	-7.9	722.7	723.2	725.2	87	92	92	E 1	NNE 0	NE 1	10	10	10	.	
25	-5.6	-4.6	-4.2	-4.8	-5.5	726.0	727.0	729.6	82	82	83	E 0	E 0	NE 1	10	10	10	.	
26	-5.2	-4.6	-5.8	-5.2	-5.8	730.5	730.0	**731.4**	78	71	74	NNE 1	NNE 2	NNE 1	10	9	10	.	✳fl. a
27	-6.6	-5.0	-4.4	-5.3	-5.9	730.5	728.3	726.3	74	73	86	NE 0	E 0	NE 0	10	10	10	1.2	✳ p-n
28	-4.2	-0.5	-0.4	-1.7	-2.2	722.1	722.3	724.4	92	91	89	NNW 1	NE 0	E 0	10	10*	10	0.8	✳° a, p
29	-1.6	2.6	-6.7	-1.9	-2.4	724.7	724.5	724.9	92	72	92	E 0	NE 0	ENE 0	9	1	0	1.0	
30	-4.7	0.4	1.0	-1.1	-1.5	722.9	721.3	720.6	95	89	93	ENE 0	NNE 1	NE 0	10*	9	10●	6.6	✳ n-21, ● 21-n
31	1.8	2.8	2.8	2.5	2.1	722.5	723.6	724.8	82	93	93	SSW 1	SSW 1	SSW 0	10	9	10	0.6	● ✳sch. p. ● n
																		Summe	
Mittel	-0.8	1.3	0.1	0.2	—	724.5	724.1	724.6	89	83	87				9.2	8.4	8.5	83.7	

$\lambda = 8^\circ 33'$, $\beta = 47^\circ 23'$.
$H_b = 493.2^m$, $G = 0.03$ m/m.

Zürich

Dezember 1938
Beobachter: *Meteorol. Zentralanstalt.*

Tag	Lufttemperatur 7³⁰	13³⁰	21³⁰	Mittel	Abweich. vom Normalst.	Luftdruck 7³⁰	13³⁰	21³⁰	Relative Feuchtigkeit 7³⁰	13³⁰	21³⁰	Windrichtung und Stärke 7³⁰	13³⁰	21³⁰	Bewölkung 7³⁰	13³⁰	21³⁰	Niederschlag	Witterung
1	6.3	8.5	4.6	6.5	5.1	713.8	713.9	713.8	70	64	87	WNW 1	W 2	SSE 1	10	9	3	0.6	● 0³/₄-2³/₄
2	6.8	5.8	4.3	5.6	4.3	714.6	716.8	719.5	75	93	82	SSW 2	SSE 1	SE 1	9	10	9	4.4	● 3-5, 9³/₄-15 m.U.
3	3.6	5.6	6.7	5.3	4.1	718.2	718.6	718.8	90	79	60	S 1	WNW 1	SW 3	10●	9	9	5.1	● 7-12 zeitw., ●tr. p
4	2.2	7.5	0.8	3.5	2.4	721.8	722.3	723.7	96	49	91	SSE 1	WSW 1	ESE 1	8	2	0	.	● 0¹/₄-4
5	-4.1	2.4	4.2	0.8	-0.2	722.7	720.1	717.6	99	80	80	ESE 1	WSW 0	SE 2	5	10	10	13.5	≡ n-a, ● 15³/₄-17³/₄, 23-n
6	2.6	4.8	2.1	3.2	2.3	721.2	722.2	722.7	95	79	96	WNW 1	W 1	ESE 1	10	5	10	0.3	● n-7¹/₂, ●° 9³/₄-10³/₄
7	-1.2	1.2	-0.9	-0.3	-1.1	721.2	720.0	718.7	99	74	83	N 0	NW 1	NNE 1	3	8	8	.	
8	-0.6	2.6	0.5	0.8	0.0	716.9	714.3	713.5	90	74	91	SSE 0	WNW 1	NNW 1	10	7	9	.	
9	0.3	6.2	1.5	2.7	2.0	713.4	714.3	713.9	97	71	99	SE 1	W 1	ENE 0	7	10	5	.	⌴ fr.
10	1.9	1.8	0.9	1.5	0.9	711.9	711.2	711.3	100	100	100	ENE 0	ENE 1	E 0	10≡	10	10≡	0.0	≡ n-n m.U.
11	0.4	3.7	1.1	1.7	1.2	711.8	711.9	712.4	100	88	99	NNW 0	W 0	N 0	10	9	0	.	
12	1.5	6.5	4.2	4.1	3.7	714.7	716.6	718.8	93	71	90	NW 0	WNW 0	NW 0	8	9	9	.	
13	1.4	6.0	2.1	3.2	2.9	719.7	720.8	721.5	98	74	97	NNW 0	WNW 0	ESE 0	10	9	7	.	
14	-0.2	1.9	0.4	0.7	0.4	721.3	720.8	722.1	100	100	100	ESE 1	SSE 0	SW 0	10≡	1≡	10≡	.	≡ n-p, abds.-n
15	-1.3	-1.0	-1.4	-1.2	-1.4	722.6	721.6	720.5	100	100	100	SSW 1	W 0	ESE 0	10≡	10≡	10	.	≡ n-abds.
16	-0.1	1.1	-1.1	0.0	-0.1	719.4	719.4	721.2	100	98	89	E 0	NNE 1	ENE 2	10	10	10	0.2	
17	-2.8	-4.3	-6.8	-4.6	-4.6	721.9	722.0	722.3	83	79	68	NE 2	NE 3	NE 3	10	10	10	.	
18	-10.1	-9.6	-11.5	-10.4	-10.4	720.2	717.6	715.8	70	70	65	NE 3	NE 2	NE 3	10	10*	10	0.1	✳fl. 10-p m.U.
19	-10.9	-9.2	-9.7	-9.9	-9.8	712.6	711.3	709.2	71	70	82	ENE 2	NE 1	NE 1	10*	10*	10	2.0	✳° a, ✳ 13³/₄-19¹/₂ m.U.
20	-8.4	-5.3	-7.2	-7.0	-6.8	706.7	705.3	705.6	82	71	81	N 1	NNE 1	NNW 0	10	10	9	0.5	✳° 3¹/₂ ⊠
21	-6.5	-5.5	-9.5	-7.2	-7.0	706.5	707.5	710.4	90	77	83	NW 1	NW 1	NW 1	10*	10	10*	3.4	✳ 6¹/₄-10¹/₂, 20³/₄-n ⊠
22	-11.2	-5.5	-11.6	-9.4	-9.1	711.5	710.7	710.6	90	66	92	WNW 0	WNW 1	ENE 0	2	2	0	.	✳ n-6 ⊠
23	-9.2	-7.3	-8.5	-8.3	-7.9	709.3	707.8	711.5	85	75	80	N 1	NNE 1	NNW 1	10	10	10	0.0	✳° 15¹/₂-16, ✳fl. 18-19 ⊠
24	-9.2	-5.4	-6.2	-6.9	-6.5	714.4	715.7	717.6	90	61	82	WSW 1	WSW 1	W 1	7	9	10*	0.4	✳ 21-23 ⊠
25	-6.1	-6.0	-7.0	-6.4	-5.9	719.1	720.4	722.9	87	78	82	N 1	N 1	NE 1	10	10	10	0.0	✳° 4¹/₄-8 ⊠
26	-7.5	-5.2	-9.0	-7.2	-6.6	724.0	723.6	723.8	71	55	74	N 2	ENE 2	NE 2	10	3	4	0.0	⊠
27	-8.8	-5.2	-3.9	-6.0	-5.4	721.2	718.6	717.2	81	61	86	SW 1	SSW 1	W 1	8	10	10	5.2	✳ 14-16, 18-19³/₄ ⊠
28	-1.8	0.2	-0.4	-0.7	0.0	712.5	713.0	714.2	96	87	100	W 1	WNW 0	WNW 2	10≡*	9	10≡*	8.3	✳ 1¹/₄-n m.U., ≡ I, III ⊠
29	-1.9	-1.1	-4.8	-2.6	-1.9	716.2	716.6	716.4	94	82	92	NW 1	WNW 1	W 1	10	10	10	0.3	✳° n-12 m.U. ⊠
30	-2.3	0.4	1.9	0.0	0.8	712.4	710.2	710.7	81	81	71	SSW 1	WSW 3	W 1	10	10	10	3.1	✳ 8¹/₂-13, 22³/₄-23¹/₂ ⊠
31	1.1	1.7	1.0	1.3	2.1	712.1	712.3	714.3	82	80	87	SW 1	W 3	W 1	9	10	10*	7.8	✳ 4¹/₂-5, 10-23 zeitw. ⊠
																		Summe	
Mittel	-2.4	-0.1	-2.0	-1.5	—	716.3	716.1	716.5	89	77	86				8.9	8.4	8.1	55.2	

$\lambda = 8^\circ 30'$, $\beta = 47^\circ 3'$.
$H_b = 1787.3^m$, $G = -0.20$ m/m.

Rigi-Kulm

Dezember 1938.
Beobachter: *J. Steiner.*

Tag	7³⁰	13³⁰	21³⁰	Mittel	Abweich.	7³⁰	13³⁰	21³⁰	7³⁰	13³⁰	21³⁰	7³⁰	13³⁰	21³⁰	7³⁰	13³⁰	21³⁰	Niederschlag	Witterung
1	-2.0	-1.8	-2.0	-1.9	0.2	608.0	608.7	609.0	82	88	86	W 3	W 2	W 2	10≡	10≡	10	0.1	≡ I, II ⊠
2	-2.0	-2.3	-4.0	-2.8	-0.6	609.1	610.6	612.7	78	89	86	W 2	W 2	SW 2	10	10≡	2	11.5	≡ II ⊠
3	-4.8	-3.0	-4.5	-4.1	-1.8	611.5	611.5	612.6	86	80	82	SW 3	W 3	W 3	10	10≡	10≡	12.1	≡ II, III ⊠
4	-7.0	-5.5	-6.0	-6.2	-3.8	613.6	614.5	615.6	78	63	52	W 2	W 1	W 1	5	3	0	.	⊠
5	-0.8	2.8	0.8	0.9	3.4	615.0	614.1	612.2	10	8	90	SW 1	WSW 2	W 3-4	3	9	10≡	29.8	≡ III ⊠
6	-4.4	-4.6	-6.8	-5.3	-2.7	613.3	614.0	614.4	93	93	92	NW 1	NW 1	W 1	10*	10*	0	12.0	✳ n-13¹/₂ ⊠
7	-3.8	-0.7	-2.6	-2.4	0.3	613.0	612.3	611.7	38	20	28	E 2	SE 1	SW 1	0	0	1	.	⊠
8	0.6	3.4	0.5	1.5	4.3	610.7	609.6	609.0	21	24	48	SW 0	SE 3	SE 3	10	9	10	.	⊠
9	0.4	0.4	-1.5	-0.2	2.7	608.6	609.1	608.5	52	62	63	SSE 1	SSW 2	SE 2	8	3	8	.	⊠
10	2.5	3.2	3.0	2.9	5.9	607.1	606.9	606.9	40	48	43	SSE 3	SSE 3	S 4	3	5	7	.	⊠
11	3.2	5.2	4.5	4.3	7.4	607.8	608.0	610.0	45	47	50	S 4	S 4	S 4	5	5	7	.	⊠
12	4.6	6.0	4.6	5.1	8.2	611.6	613.7	614.2	30	34	42	S 3	SE 2	S 3	9	9	9	.	⊠
13	3.8	4.7	2.2	3.6	6.8	615.3	615.9	616.1	46	42	48	SSW 1	SSW 1	W 1	8	8	10	.	⊠
14	2.0	2.8	0.8	1.9	5.2	615.9	615.5	616.1	47	49	58	ENE 1	NE 1	NE 1	3	1	0	.	⊠
15	-0.7	2.7	0.8	0.9	4.3	615.9	615.4	614.0	52	60	50	NW 0	SSW 0	NNE 1	1	3	2	.	⊠
16	-0.2	0.0	-1.6	-0.6	2.8	612.4	612.0	612.7	58	58	66	S 0	W 1	NE 1	10	8	1	.	⊠
17	-3.2	-3.3	-10.8	-5.8	-2.3	612.2	611.6	610.5	72	78	82	N 1	E 1	E 1	1	2	10≡	.	≡ III ⊠
18	-11.0	-11.5	-10.6	-11.0	-7.4	607.1	605.4	603.5	88	90	82	SW 1	SW 2	NW 2	10≡	10≡	10≡	2.0	≡ n-n ⊠
19	-8.2	-5.4	-6.0	-6.5	-2.9	601.9	601.7	600.5	82	84	86	W 2	WSW 2	S 3	10*	10≡	10	1.2	✳ I, ≡ II ⊠
20	-2.6	-3.2	-3.8	-3.2	0.5	599.7	598.1	598.8	58	52	55	SE 1	S 2	S 3	10	9	9	1.7	⊠
21	-5.5	-7.5	-13.1	-8.7	-5.0	598.7	598.9	600.1	63	68	71	SW 1	WSW 1	E 1	10*	10≡	10≡	3.4	✳ I, ≡ II, III ⊠
22	-16.6	-14.2	-15.2	-15.3	-11.5	600.5	600.7	601.1	70	72	65	W 1	SE 0	SE 2	1	4	1	0.1	⊠
23	-11.5	-10.2	-10.5	-10.7	-6.9	599.4	597.6	600.5	70	84	65	ENE 2	E 1	SE 1	10	5	1	0.6	⊠
24	-9.6	-5.2	-10.8	-8.5	-4.7	604.1	605.3	607.0	46	34	72	E 2	S 1	NE 1	1	0	9	.	⊠
25	-12.0	-10.6	-14.5	-12.4	-8.5	607.5	608.4	610.2	82	78	82	E 3	E 3	E 1	0	1	10≡	.	≡ III ⊠
26	-16.2	-14.7	-13.3	-14.7	-10.8	610.6	610.8	611.1	78	71	43	ENE 1	SE 1	SE 3	10≡	0	0	0.6	✳ 10-11, ≡ n-12¹/₂ ⊠
27	-9.4	-9.8	-10.0	-9.7	-5.8	610.6	608.3	607.9	18	23	80	W 1	W 4	W 3	2	10	10	8.5	✳ seit 14 ⊠
28	-7.5	-8.2	-8.7	-8.1	-4.1	604.5	604.9	606.8	82	82	90	W 3	W 3	W 2	10*	10*	10≡	30.2	✳ I, II, ≡ III ⊠
29	-10.6	-10.8	-11.5	-11.0	-7.0	606.5	607.1	607.4	80	82	81	WSW 1	W 2	W 1	10*	10≡	0	3.0	✳ I, ≡ II ⊠
30	-8.2	-5.0	-7.0	-6.7	-2.7	604.3	603.8	604.4	80	80	85	W 4	W 4	W 1	10	10*	10≡	10.3	✳ II, ≡ III ⊠
31	-8.2	-9.0	-7.5	-8.2	-4.1	604.6	604.8	602.7	90	85	92	W 2	W 3	W 3	10≡	10	10≡	15.3	≡ I, III ⊠
																		Summe	
Mittel	-4.8	-3.7	-5.4	-4.6	—	608.4	608.4	608.7	62	62	68				6.8	6.6	6.4	142.4	

Dezember 1938.
Beobachter: *P. Nogler.*

Bevers

$\lambda = 9^\circ 53'$, $\beta = 46^\circ 33'$.
H_b = ca. 1710^m, $G = -0.23$ m/m.

Tag	Lufttemperatur 7^{30}	13^{30}	21^{30}	Mittel	Abweich. vom Normalst	Luftdruck 7^{30}	13^{30}	21^{30}	Relative Feuchtigkeit 7^{30}	13^{30}	21^{30}	Windrichtung und Stärke 7^{30}	13^{30}	21^{30}	Bewölkung 7^{30}	13^{30}	21^{30}	Niederschlag	Witterung
1	1.0	**3.8**	-1.8	1.0	7.4	614.4	614.4	615.8	98	73	92	WSW 1	SW 1	W 0	10*	8	3●	0.9	✳ I, ● III
2	-4.0	-0.3	-2.2	-2.2	4.4	615.9	616.7	618.0	94	76	85	NW 0	WNW 1	NW 0	0	2	7	.	
3	-7.4	-1.4	-6.0	-4.9	1.8	618.6	617.8	618.4	84	53	77	WNW 0	SW 1	W 1	0	2	7	1.6	
4	-3.6	-1.2	-8.6	-4.5	2.4	619.5	620.1	621.9	54	45	70	NW 1	NW 1	W 0	6	8	3	0.0	
5	-14.7	-5.7	-3.4	-7.9	-0.9	622.1	620.7	619.3	87	55	65	NW 1	NNW 1	NW 0	0	2	8	0.7	
6	-0.6	-1.6	-8.1	-3.4	3.8	617.6	618.5	621.3	83	69	72	NW 1	N 2-3	NW 0	10*	10*	0	0.2	✳ I, II
7	-14.7	-5.1	-12.9	-10.9	-3.6	620.8	619.9	620.8	80	50	78	WNW 0	SW 1	W 1	0	0	0	.	
8	-12.5	-1.2	-4.5	-6.1	1.3	619.6	618.8	618.4	81	**35**	85	WNW 1	SW 1	W 0	4	9	8	.	
9	-2.5	2.0	-1.0	-0.5	7.1	617.4	616.9	617.1	92	100	95	SW 0	SW 2	W 0	10	10	10	1.7	
10	-1.0	1.5	-1.2	-0.2	7.5	616.5	616.3	616.5	100	87	100	SW 0	SSW 1	SW 0	10	10*	7	0.0	✳ II
11	-0.8	3.2	0.2	0.9	8.7	618.1	618.2	620.0	85	65	92	N 0	SSW 2	SW 1	9	8	5	.	
12	-0.1	2.8	-1.2	0.5	8.5	621.4	622.5	623.4	94	70	90	WSW 0	SSW 1	SW 0	10	8	10	.	
13	-2.9	3.0	-3.9	-1.3	6.8	**623.7**	623.3	623.4	91	71	88	SW 0	SW 1	SW 0	9	9	5	.	
14	-5.5	-1.0	-8.2	-4.9	3.3	622.3	621.6	622.4	89	63	82	WSW 1	SW 1	W 0	0	1	0	.	
15	-10.4	-2.0	-8.0	-6.8	1.5	622.1	620.4	620.2	85	60	85	W 1	W 0	SW 0	0	0	0	.	
16	-6.2	0.0	-2.4	-2.9	5.6	618.5	618.2	618.4	87	71	80	W 0	SW 1	W 0	10	6	10	.	
17	-6.6	-4.6	-7.8	-6.3	1.3	619.1	618.1	617.5	97	74	82	N 1	N 2	N 1	10	8	10	0.2	
18	-9.2	-8.8	-10.6	-9.5	-0.8	614.2	612.6	612.5	80	72	70	SW 2	SW 2-3	SW 1	10	10	10	.	
19	-13.5	-8.4	-8.4	-10.1	-1.3	610.8	610.7	609.6	76	67	88	WSW 1	W 0	W 0	10	7	10*	7.1	✳ 19½-n
20	-7.5	-6.7	-4.7	-6.3	2.6	608.5	607.7	607.2	92	69	99	SW 1	SW 1	NW 1	10*	10*	10*	**36.4**	✳ n-n
21	-2.9	-0.3	-2.0	-1.7	7.3	605.2	**604.9**	605.2	100	97	91	NW 2	NW 1	W 0	10*	10*	0	2.6	✳ n-p zeitw.
22	-9.4	-6.8	-14.6	-10.3	-1.2	605.6	606.7	608.5	76	54	75	NW 1	SW 3	W 0	9	6	0	1.4	
23	-10.4	-7.6	-9.3	-9.1	0.0	605.7	606.2	608.9	90	85	92	NNE 2	N 2	NW 1	10*	10*	2	7.7	✳ n-abds.
24	-17.0	-10.9	-15.8	-14.6	-5.4	611.3	611.6	612.9	88	73	85	W 0	SW 0	SW 0	0	0	0	0.1	
25	-14.2	-10.8	-16.6	-13.9	-4.6	615.0	616.4	617.1	87	56	85	SW 1	SW 2	SW 1	10*	4	8	.	✳ I
26	-21.0	-11.4	-16.9	-16.4	-7.1	616.8	617.0	617.0	82	68	86	SW 1	NE 1	NW 0	6	3	0	.	
27	**-25.0**	-11.6	-9.2	-15.3	-5.9	617.3	614.0	612.9	80	59	88	SW 0	SW 1	SW 0	2	10	10	0.2	
28	-11.5	-5.5	-9.6	-8.9	0.5	610.8	610.4	611.4	93	58	84	SW 1	SW 1	SW 0	10	8	10	.	
29	-11.5	-5.4	-17.3	-11.4	-1.9	612.6	612.4	613.5	88	45	80	SW 1	SSW 2	SW 1	10	8	0	.	
30	-17.9	-7.4	-8.5	-11.3	-1.8	611.9	609.4	609.5	80	68	90	SW 0	SW 1	SW 0	7	9	5	3.1	✳ a zeitw.
31	-9.2	-5.1	-7.8	-7.4	2.2	610.6	610.3	612.2	74	49	94	SW 1	SW 3	SW 0	10	10	10*	1.5	✳ III
																		Summe	
Mittel	-8.8	-3.7	-7.5	-6.7	—	615.6	615.3	615.9	86	66	85				6.8	6.6	5.4	65.4	

Dezember 1938.
Beobachter: *Kapuzinerkloster.*

Sitten

$\lambda = 7^\circ 21'$, $\beta = 46^\circ 14'$,
$H_b = 548.6^m$, $G = -0.11$ m/m.

Tag	7^{30}	13^{30}	21^{30}	Mittel	Abweich.	7^{30}	13^{30}	21^{30}	7^{30}	13^{30}	21^{30}	7^{30}	13^{30}	21^{30}	7^{30}	13^{30}	21^{30}	Niederschlag	Witterung
1	5.3	8.4	4.3	6.0	4.2	707.9	708.0	709.7	97	69	83	NE 1	NE 1	NE 1	10	5	3	.	
2	3.6	6.6	3.7	4.6	3.0	709.3	710.4	713.2	87	80	81	ENE 1	W 1	W 1	5	9●	3	0.7	● II, ✳ n
3	1.3	4.6	2.7	2.9	1.4	714.3	713.6	714.2	88	81	83	NE 1	E 1-2	E 1	10	6	5	1.2	● ✳ a m.U.
4	5.4	7.5	2.0	5.0	3.6	713.0	714.4	716.6	63	51	66	W 1-2	W 1-2	W 1-2	9	3	0	.	
5	-0.7	4.4	2.4	2.0	0.8	**717.0**	714.8	713.3	71	53	73	NE 1	NE 1	NE 1	5	9	8	4.3	
6	3.7	6.8	1.7	4.1	3.0	713.6	713.9	715.2	90	66	82	W 1-2	SW 2	SW 1	10●	4	1	0.0	● I
7	-0.9	3.1	-0.3	0.6	-0.4	714.7	712.5	712.4	80	54	73	NE 1	NE 1	NE 1	0	0	0	1.0	⊔ fr.
8	1.3	6.2	4.8	4.1	3.2	711.2	710.2	708.1	61	47	45	E 1	E 1	E 1	4	8	8	.	
9	5.3	6.9	3.8	5.3	4.6	707.6	707.9	706.9	48	58	74	ENE 1	NE 1	NE 1	10	8	4	.	
10	6.0	10.9	6.7	7.9	7.3	705.6	705.1	705.8	58	49	56	NE 1	ENE 1	ENE 1-2	4	7	1	.	
11	6.2	11.1	11.7	9.7	9.2	706.5	706.2	707.4	60	50	45	ENE 1	E 1	E 1-2	7	10	6	.	
12	10.3	**12.3**	9.7	10.8	10.4	710.4	711.8	712.9	49	**46**	53	E 1	NE 2	NE 1	10	10	10	.	
13	9.1	**12.3**	7.1	9.5	9.2	713.7	713.3	714.6	56	52	79	NE 1	NE 1	NE 1	10	10	5	.	
14	3.8	7.9	4.9	5.5	5.3	715.0	713.9	715.1	73	53	66	NE 1	NE 1	NE 1-2	3	1	0	.	
15	0.7	6.1	1.7	2.8	2.7	715.8	714.4	713.5	71	58	78	ENE 1	NE 1-2	NE 1	1	1	1	.	
16	-0.5	4.1	2.4	2.0	2.0	712.5	711.4	712.7	82	72	86	E 1	SW 1-2	SW 1	5	7	7	.	
17	0.5	1.9	0.3	0.9	1.0	713.0	712.5	712.5	89	85	95	ENE 1	NE 1	NE 1	10	10	10	.	
18	-1.7	-2.5	-3.4	-2.5	-2.4	710.4	707.5	706.3	100	90	91	W 1-2	W 2	W 1	10	10*	10	.	✳° II
19	-4.2	-1.5	-3.7	-3.1	-2.9	704.3	702.8	700.9	94	82	86	W 1-2	W 1-2	W 1	10	9	10	.	
20	-1.1	2.1	2.7	1.2	1.5	699.5	699.0	**698.6**	85	73	64	NE 0	NE 1	NE 2	10	9	8	2.6	
21	-0.1	-0.3	-4.7	-1.7	-1.4	698.9	699.6	701.2	91	82	76	W 1	W 1	W 2-3	10*	10	10	.	✳ 4-a
22	-8.9	-5.0	-7.4	-7.1	-6.7	705.0	703.9	703.7	72	63	65	NE 1-2	NE 1	NE 2-3	2	3	0	.	
23	-7.3	-4.4	-5.9	-5.9	-5.4	701.6	700.7	704.2	76	74	80	NE 1	NE 1	NE 1	10	10	10	.	✳° a m.U.
24	-10.4	-6.0	-9.1	-8.5	-8.0	708.0	707.9	710.2	90	70	84	ENE 1	NE 1	NE 1	4	0	2	.	
25	-8.1	-5.6	-7.7	-7.1	-6.5	711.0	711.0	713.8	85	74	82	NE 1	NE 1	NE 1	2	0	10	.	
26	-6.2	-4.2	-7.0	-5.8	-5.2	714.7	714.2	716.1	76	65	70	NE 1	E 1	E 1	10	8	10	.	✳ (10)
27	**-11.1**	-5.6	-6.0	-7.6	-6.9	715.4	712.8	711.6	81	65	90	E 1	E 1	W 1	2	10	10	2.0	✳ (16)
28	-6.1	-3.2	-1.0	-3.4	-2.7	707.9	707.1	708.4	94	85	90	NE 1	NE 1	NE 1	10*	10	10	1.7	✳ I
29	-1.4	1.6	-4.0	-1.3	-0.6	710.2	708.5	710.1	86	68	70	NNE 1	NW 1-2	N 2	10*	5	0	.	✳° I
30	-4.3	-2.4	-3.0	-3.2	-2.4	708.9	705.4	705.0	80	86	100	NE 1	E 1	E 1	10	10	10	**11.6**	✳ a
31	0.1	4.0	1.0	1.7	2.5	706.6	706.8	708.5	80	47	71	WNW 1	SW 1-2	W 1	9	10	10	3.4	
																		Summe	
Mittel	-0.3	2.8	0.4	1.0	—	709.8	709.1	709.8	78	66	75				7.2	6.8	5.9	28.5	

$\lambda = 8^\circ 57'$, $\beta = 46^\circ 0'$,
$Hb = 276.2^m$, $G = -0.01$ m/m.

Lugano

Dezember 1938.
Beobachter: *G. Vicari.*

Tag	Lufttemperatur 7³⁰	13³⁰	21³⁰	Mittel	Abweich. vom Normalst	Luftdruck 7³⁰	13³⁰	21³⁰	Relative Feuchtigkeit 7³⁰	13³⁰	21³⁰	Windrichtung und Stärke 7³⁰	13³⁰	21³⁰	Bewölkung 7³⁰	13³⁰	21³⁰	Niederschlag	Witterung
1	9.0	10.0	9.0	9.3	5.3	732.1	732.6	733.5	98	87	98	W 1	E 0	N 1	10●	10●	10●	10.4	● 7½-n m.U.
2	7.8	10.6	6.6	8.3	4.4	734.1	734.2	735.8	93	71	80	N 1	SE 0	N 1	8	0	0	.	
3	2.8	10.8	3.4	5.7	1.9	736.4	735.4	736.1	73	38	75	N 1	SE 0	N 1	0	0	0	.	
4	8.6	11.8	4.2	8.2	4.6	737.4	737.7	739.8	41	**26**	43	NNE 2	NNE 2	NE 1	0	0	0	.	
5	1.2	8.2	3.8	4.4	0.9	740.8	739.6	739.1	53	48	69	N 1	SE 1	NE 1	0	0	10	.	
6	3.8	**14.0**	5.2	7.7	4.3	735.5	734.2	739.4	62	28	45	NNE 1	NNE 3	S 1	10	0	0	.	
7	0.6	7.0	1.4	3.0	−0.3	741.7	741.1	742.3	86	62	78	NW 1	WSW 1	N 1	0	0	0	.	
8	0.0	5.6	4.0	3.2	0.0	741.0	740.2	739.7	83	64	71	N 1	S 0	N 1	8	10	10	.	
9	4.0	5.8	3.0	4.3	1.1	739.2	738.3	738.5	76	68	98	N 1	W 1	N 1	10	10	10●	15.3	● 15½-n m.U.
10	2.2	4.4	4.0	3.5	0.4	737.7	736.8	736.8	96	93	98	NNW 1	NW 1	NNW 1	10●	10●	10●	12.1	● n-n m.U.
11	5.2	6.4	5.4	5.7	2.7	737.5	738.3	740.5	97	91	96	NNW 1	W 1	W 0	10●	10	10●	9.3	● n-n m.U.
12	6.6	8.2	5.6	6.8	3.9	741.5	742.4	743.5	98	91	97	N 1	E 0	NNW 0	10	10	10	0.3	●° n-a zeitw.
13	7.0	9.0	5.8	7.3	4.4	743.6	**744.1**	743.2	94	78	93	NNE 1	SSW 1	NNE 1	10	10	4	.	
14	6.2	9.0	6.8	7.3	4.5	742.3	741.5	742.0	82	64	83	NNE 1	NNE 1	N 1	10	7	10	.	
15	6.8	9.0	3.6	6.5	3.8	741.6	740.5	739.9	78	56	83	NNW 1	NNE 1	N 1	10	2	0	.	
16	2.0	6.8	6.4	5.1	2.5	738.4	737.6	738.9	88	68	85	N 1	S 1	S 1	2	10	10	0.2	●° 22-n
17	3.6	2.6	0.6	2.3	−0.3	740.3	740.9	741.9	78	74	80	ENE 1	NNE 1	SW 1	10●	10	10	0.3	● n-7½
18	−1.8	−2.4	−2.6	−2.3	−4.8	740.0	739.0	738.0	72	57	60	W 1	SW 1	S 1	10*	10	10	0.2	* ● n-a, * a-12½ m.U. ⊠
19	−4.0	−2.4	−3.4	−3.3	−5.7	735.2	734.3	734.0	56	54	82	ENE 1	E 1	NNW 1	10	10	10*	7.4	* 7½-n ⊠
20	−3.2	−1.6	−1.0	−1.9	−4.3	731.5	729.5	727.4	91	94	98	N 0	NE 0	S 0	10*	10*	10*	**34.9**	* n-n ⊠
21	0.4	1.0	0.0	0.5	−1.8	**724.3**	725.3	725.7	98	96	99	N 0	N 0	N 1	10*	10	10*●	8.4	* ● n-n ⊠
22	0.6	2.4	0.6	1.2	−1.0	726.1	728.0	729.9	94	64	85	N 1	N 1	N 1	10	7	10	0.3	●° * 21-21½ ⊠
23	−0.8	0.0	−1.8	−0.9	−3.1	725.2	725.2	729.1	88	92	95	N 0	N 0	N 1	10*	10*	1	9.2	* 6½-15½ ⊠
24	−5.2	1.0	−3.8	−2.7	−4.8	731.6	730.6	731.0	84	66	82	N 1	SW 1	N 1	0	0	0	.	⊠
25	−4.0	2.8	−3.2	−1.5	−3.5	734.3	734.7	737.9	83	58	83	N 1	SE 1	N 1	0	0	0	.	⊠
26	−4.6	1.0	−1.4	−1.7	−3.7	737.3	739.2	741.6	76	67	82	N 1	WSW 2	NE 1	5	10	10	.	⊠
27	−5.2	0.0	−5.4	−3.5	−5.4	740.5	737.7	734.5	65	58	70	N 1	SSE 0	N 1	2	8	0	.	⊠
28	**−7.6**	−2.0	−5.6	−5.1	−6.9	732.4	731.1	731.6	76	64	78	N 1	N 1	NE 1	10	1	10	.	⊠
29	−5.4	6.4	0.0	0.3	1.5	732.1	731.6	732.6	81	28	45	N 1	NNE 1	S 1	7	0	0	.	⊠
30	−4.6	1.4	−4.6	−2.6	−4.3	733.2	731.3	729.7	66	56	73	N 1	S 0	NNE 1	0	0	0	.	⊠
31	−5.6	1.8	−2.8	−2.2	−3.9	730.5	730.1	732.0	78	62	80	N 1	E 0	N 1	0	0	0	.	⊠
Mittel	0.8	4.8	1.4	2.3	—	736.0	735.6	736.3	80	65	80				6.5	5.6	5.6	Summe 108.3	

$\lambda = 7^\circ 35'$, $\beta = 47^\circ 33'$,
$Hb = 318^m$, $G = 0.11$ m/m.

Basel

Dezember 1938.
Beobachter: *Astronom.-Meteorol. Anstalt.*

Tag	Lufttemperatur 7³⁰	13³⁰	21³⁰	Mittel	Abweich. vom Normalst	Luftdruck 7³⁰	13³⁰	21³⁰	Relative Feuchtigkeit 7³⁰	13³⁰	21³⁰	Windrichtung und Stärke 7³⁰	13³⁰	21³⁰	Bewölkung 7³⁰	13³⁰	21³⁰	Niederschlag	Witterung
1	4.4	**10.7**	5.5	6.9	—	729.4	729.3	728.7	97	65	80	E 1	SE 1	E 1	10	6	6	0.1	●° 9¼-9¾
2	7.2	8.7	6.5	7.5	—	730.0	732.5	734.8	80	69	75	NW 0	WSW 1	SW 1	10	8	8	1.9	● 8¾-10¼
3	3.6	7.9	7.4	6.3	—	733.0	734.3	735.2	90	73	67	E 1	WSW 1	WSW 1	10	8	10	8.0	● 6, 9¼-n zeitw.
4	1.3	9.0	0.4	3.6	—	737.6	738.4	739.6	94	**48**	94	SSW 1	S 0	E 1	1	0	0	.	● n-2½, ⌣ fr.
5	−1.0	2.4	3.0	1.5	—	738.1	735.5	732.3	92	79	96	ESE 1	ESE 1	E 1	3	10	10	**11.0**	● 17¼-19¼, 22¼-23½, ⌣ fr.
6	3.7	6.7	0.2	3.5	—	737.6	738.4	738.7	88	70	96	W 1	WSW 1	ENE 1	10	10	0	.	● 0½-5¾ m.U., ⌣ fr.
7	−0.6	4.2	0.0	1.2	—	737.2	735.3	733.5	94	62	81	ESE 1	ENE 1	ESE 1	9	0	0	.	≡ 0-6, ⌣ fr., ⊽ 18¼
8	0.0	3.8	1.6	1.8	—	730.6	729.1	727.9	86	64	85	ENE 2	E 1	ENE 1	10	10	10	1.3	⌣ fr.
9	2.0	7.0	5.0	4.7	—	729.2	729.9	728.4	91	85	87	SE 1	E 1	ESE 1	10	10	10	0.8	● 1¾-9¾ zeitw.
10	4.0	7.9	1.4	4.4	—	726.6	725.9	726.0	87	71	96	ENE 1	ESE 1	E 1	10	1	1	.	
11	1.1	5.3	1.3	2.6	—	726.5	726.7	727.6	92	78	98	ENE 1	WNW 1	W 0	7	8	10≡	.	≡ 21-n
12	1.3	5.0	2.8	3.0	—	730.5	733.1	735.1	96	87	98	SE 0	WSW 1	WNW 0	10	10	10≡	.	≡ n-2, 18-n
13	0.6	6.0	1.8	2.8	—	736.0	736.1	737.1	100	81	98	E 0	ESE 1	NE 0	10≡	8	10≡	.	≡ n-11½, 17-22
14	0.6	2.0	1.0	1.2	—	736.9	736.7	738.0	100	96	100	E 1	ENE 0	ESE 1	10≡	10≡	10≡	.	≡ n-n
15	−1.0	0.6	0.2	−0.1	—	738.6	737.4	736.6	96	96	98	E 1	SE 1	WNW 0	10≡	10≡	10≡	.	≡ n-n
16	0.1	2.8	0.5	1.1	—	735.6	735.5	737.3	94	82	80	ESE 0	E 1	ENE 2	10	10	10	.	
17	−1.6	−3.0	−6.0	−3.5	—	738.2	738.5	739.3	70	67	56	NE 2	ESE 2	ENE 2	10	10	9	.	
18	−9.2	−8.8	−10.2	−9.4	—	736.9	734.4	732.4	62	58	61	E 2	E 2	ENE 2	10	10	10	.	*fl. a, p zeitw.
19	−10.0	−8.9	−10.0	−9.6	—	729.3	727.7	725.6	65	72	87	ENE 1	ENE 1	WNW 1	10	10*	10*	8.0	* 7¾-22 m.U. ⊠
20	−9.2	−7.5	−7.9	−8.2	—	722.6	721.5	**721.4**	90	85	92	WNW 1	WNW 1	W 1	10	10*	10*	5.0	* 0¾-n m.U. ⊠
21	−6.8	−7.4	−9.7	−8.0	—	723.4	724.7	727.7	92	76	82	E 0	WNW 1	WNW 1	10*	10*	10*	2.4	* 4-n m.U. ⊠
22	**−16.9**	−7.0	−16.7	−13.5	—	727.9	726.8	726.8	85	65	90	SSE 1	SE 1	E 1	1	2	0	.	⊠
23	−15.4	−10.9	−10.3	−12.2	—	726.4	725.3	728.3	87	82	87	SW 0	WNW 1	NW 0	8	10	10	.	*fl. p ⊠
24	−9.7	−5.6	−7.0	−7.4	—	731.3	732.6	734.5	87	65	84	WNW 0	WNW 1	SW 1	10	2	10*	0.9	*° 20½-n ⊠
25	−7.8	−6.4	−8.3	−7.5	—	736.1	737.3	739.9	93	82	85	WNW 1	NW 1	WNW 1	10*	10	10	.	*fl. a ⊠
26	−8.5	−3.8	−15.3	−9.2	—	**741.4**	740.5	740.7	87	53	85	SW 0	NW 1	NE 1	10	2	0	.	⊠
27	−12.8	−8.2	−6.0	−9.0	—	737.9	734.8	734.1	83	83	87	SSE 1	SSE 1	ENE 1	10	10*	10*	4.9	* 13¼-17½, 21½, 22¾-23½ ⊠
28	−3.9	−0.6	0.4	−1.4	—	728.8	729.4	730.7	95	92	87	NE 0	E 0	WSW 1	10*	10	10	3.5	* 6¼-23¼ zeitw. ⊠
29	−2.4	2.1	−7.5	−2.6	—	733.0	733.0	732.4	84	65	95	WSW 1	SW 1	E 1	10	9	2	0.2	* 2¾ ⊠
30	−5.0	3.1	1.8	0.0	—	727.3	726.0	726.7	93	82	83	ENE 1	WSW 2	NW 1	10*	9	9	1.0	* 6-12 ztw., ●° 12-12½ ⊠
31	2.0	1.2	2.4	1.9	—	728.0	728.5	731.0	80	89	82	WSW 1	SSW 1	WSW 1	10	10*	10	1.2	*°△ 10¼, *● 12-13½ ⊠
Mittel	−2.9	0.6	−2.3	−1.5	—	732.3	732.1	732.5	88	75	86				9.0	7.8	7.6	Summe 50.2	

Dezember 1938.
Beobachter: *Observatorium.*

Säntis

$\lambda = 9^\circ 20'$, $\beta = 47^\circ 15'$.
$H_b = 2500.1^m$, $G = -0.27$ m/m

Tag	Lufttemperatur 7³⁰	13³⁰	21³⁰	Mittel	Abweich. vom Normalst.	Luftdruck 7³⁰	13³⁰	21³⁰	Relative Feuchtigkeit 7³⁰	13³⁰	21³⁰	Windrichtung und Stärke 7³⁰	13³⁰	21³⁰	Bewölkung 7³⁰	13³⁰	21³⁰	Niederschlag	Witterung
1	-5.4	-5.2	-6.8	-5.8	0.6	555.6	555.8	556.3	95	93	93	W 2	W 2	W 2	10≡	10≡	5	0.5	✳ n, ≡ n-21
2	-6.6	-5.8	-9.6	-7.3	-0.8	556.9	557.7	558.9	90	94	85	SW 3	WNW 2	W 3	4	10≡*	6	7.8	✳ 11½-20½, ≡ 9-21¼
3	-9.8	-6.6	-9.2	-8.5	-2.0	557.9	557.6	558.1	87	90	86	WSW 2	W 4	W 3	10	10≡*	10≡	28.4	✳ 7¾-20 m.U., ⊹ 10-n, ≡ 8-n
4	-12.4	-10.6	-10.5	-11.2	-4.0	559.1	560.5	561.7	84	83	85	WSW 3	W 2	NNW 2	10≡	10≡	0	3.1	✳ n, 8-13, ≡ n-19
5	-9.4	-5.2	-2.1	-5.6	1.1	562.0	561.3	559.8	42	41	100	WNW 3	W 5	W 2	1	10	10≡	31.4	≡ 10-n, ∨ III. ⚲ p
6	-8.6	-9.6	-12.7	-10.3	-3.5	559.6	560.1	561.0	98	90	53	WNW 3	NNW 2	NNE 3	10≡*	10≡*	0	5.4	✳ n-16, ≡ n-17½
7	-8.1	-4.8	-5.4	-6.1	0.8	560.6	560.4	559.6	49	53	48	NE 2	S 1	SSE 3	1	0	1	.	
8	-4.8	-1.4	-2.2	-2.8	4.1	558.9	558.8	557.6	44	43	54	W 2	SW 1	ESE 2	10	10	7	.	
9	-3.7	-2.6	-2.8	-3.0	4.0	557.0	557.5	556.8	75	75	79	SSW 3	S 3	SSW 4	6	8	5	.	
10	-2.8	-2.2	-2.2	-2.4	4.7	556.4	556.2	556.5	70	65	63	SSW 3	SSW 4	SSE 4	9	9	3	.	
11	-2.4	-1.9	-2.4	-2.2	5.0	557.2	557.6	558.7	62	63	65	SSE 2	S 4	SW 4	6	10	2	.	
12	-1.1	**0.4**	-0.2	-0.3	6.9	560.6	562.2	563.2	53	50	50	S 2	SW 2	SSW 2	10	10	6	.	
13	-0.2	0.0	-2.0	-0.7	6.6	563.6	**564.0**	**564.0**	47	50	54	S 1	N 1	SE 1	10	10	7	.	
14	-2.6	-2.4	-3.8	-2.9	4.5	563.3	563.1	563.4	64	63	67	W 2	WSW 1	NNW 1	9	3	1	.	
15	-4.3	-2.8	-3.8	-3.6	3.8	563.3	562.7	561.6	65	57	58	NNW 2	WSW 0	N 1	1	2	4	.	
16	-4.5	-5.0	-6.4	-5.3	2.2	559.8	559.3	559.7	61	68	98	WNW 2	WSW 2	NW 2	10	2	1	.	
17	-7.6	-7.6	-11.4	-8.9	-1.3	559.1	558.5	556.8	32	31	**18**	N 1	N 1	NNE 1	1	1	0	.	
18	-14.5	-13.2	-13.6	-13.8	-6.2	553.1	551.0	549.6	20	45	92	NW 1	W 3	W 3	1	1	10≡*	2.2	✳ ≡ 18-n
19	-11.2	-9.8	-8.8	-9.9	-2.2	548.8	549.0	548.8	90	93	75	W 3	W 2	SW 2	10≡*	10≡	10	1.3	✳ ⊹ n-13 m.U., ≡ n-15½
20	-7.4	-6.2	-6.6	-6.7	1.0	548.3	547.6	547.4	76	85	82	SW 1	SSW 2	SSW 4	10	10	10	1.1	✳° 9-10 m.U., ⚲ p
21	-7.0	-7.4	-11.2	-8.5	-0.7	546.8	546.8	547.0	94	93	86	SE 2	SSE 3	SSE 3	10≡*	4	1	0.7	✳ n-10, ≡ n-10¼, 16¼-18
22	**-19.6**	-18.0	-17.2	-18.2	-10.4	546.4	546.5	547.6	81	80	80	W 2	SW 2	SW 2	10≡	1	0	.	≡ n-9
23	-11.2	-7.6	-9.6	-9.5	-1.7	546.8	**546.1**	548.6	85	80	70	NE 3	E 4	ESE 3	10≡	6	1	.	
24	-11.2	-9.4	-10.4	-10.3	-2.4	551.3	552.5	553.4	72	76	87	NNE 2	N 2	NW 1	1	4	10≡	.	≡ 15½-n
25	-12.0	-11.8	-12.4	-12.1	-4.2	554.4	555.3	556.4	88	86	86	NE 3	NNE 3	NNE 2	6	1	1	.	
26	-17.8	-18.4	-15.8	-17.3	-9.4	555.5	556.1	557.0	48	49	40	NNE 3	NNE 3	NNE 4	1	1	0	.	
27	-12.8	-14.7	-15.0	-14.2	-6.2	556.2	553.5	553.4	46	43	88	N 1	W 4	SW 2	1	10	10≡*	11.4	✳ ⊹ ≡ 14½-n, ⚲ p
28	-13.0	-13.0	-14.0	-13.3	-5.3	550.6	550.7	551.6	92	87	86	W 2	W 2	W 1	10≡*	10≡*	10≡*	18.5	✳ ≡ n-n
29	-16.8	-15.4	-16.4	-16.2	-8.2	552.1	552.5	552.7	86	84	83	NW 1	WNW 2	W 1	10≡*	10≡*	2	1.0	✳ ≡ n-17
30	-11.4	-9.4	-12.0	-10.9	-2.8	551.0	549.1	549.5	85	92	92	WSW 3	W 4	W 4	10≡	10≡*	10≡*	10.0	✳ 8-n, ≡ ⊹ ⚲ n-n, ∨ I
31	-14.0	-14.0	-12.6	-13.5	-5.4	550.1	549.9	551.4	92	93	96	WSW 4	W 3	W 3	10≡*	10≡*	10≡*	14.7	✳ ⊹ ≡ n-n, ∨ I
Mittel	-8.8	-7.8	-8.7	-8.4	—	555.6	555.5	555.7	70	71	74				7.0	6.9	4.9	Summe 146.5	

Dezember 1938.
Beobachter: Frl. *F. Lombardi.*

St. Gotthard (Hospiz)

$\lambda = 8^\circ 34'$, $\beta = 46^\circ 33'$.
$H_b = 2095.7^m$, $G = -0.25$ m/m.

Tag	7³⁰	13³⁰	21³⁰	Mittel	Abweich. vom Normalst.	7³⁰	13³⁰	21³⁰	7³⁰	13³⁰	21³⁰	7³⁰	13³⁰	21³⁰	7³⁰	13³⁰	21³⁰	Niederschlag	Witterung
1	-0.5	**0.5**	-3.5	-1.2	4.4	585.8	586.2	586.6	88	80	80	S 1	S 1	S 1	2	4	10	.	
2	-4.0	-3.0	-0.2	-2.4	3.3	586.7	587.5	589.7	80	80	80	S 1	S 1	S 1	2	0	10*	2.0	✳ 16-18½
3	-3.2	-3.2	-6.8	-4.4	1.4	590.0	589.8	589.6	80	85	80	S 1	N 1	N 2	4	1	0	8.6	
4	-7.2	-6.8	-9.0	-7.7	-1.8	589.3	591.8	591.9	80	85	65	N 2	N 2	N 1	10	10≡	0	.	⊹ n-17, ≡ 10-14½
5	-9.2	-4.8	-5.5	-6.5	-0.6	592.0	591.3	590.2	65	**60**	100	N 1	N 1	N 1	0	0	0	5.6	
6	-6.2	-5.5	-9.9	-7.2	-1.2	588.3	587.8	592.0	100	98	100	S 1	N 1	N 1	10*	10	10	5.5	✳° n-10¾
7	-9.5	-6.2	-8.2	-8.0	-1.9	590.4	590.5	591.0	70	85	78	N 1	N 1	N 1	0	0	0	.	
8	-7.2	-5.0	-5.5	-5.9	0.3	589.8	589.5	588.7	78	80	80	S 1	S 1	S 1	10	2	10≡	.	≡ 17-n
9	-5.5	-4.8	-4.5	-4.9	1.3	588.3	588.4	588.2	80	80	80	S 1	SE 1	N 1	10	10	10	4.0	✳ ⊹ 11¾-n
10	-3.2	-1.8	-2.5	-2.5	3.8	587.6	587.3	587.8	80	80	80	N 1	S 1	S 1	10	10*	10*	8.5	✳ 8½-n zeitw.
11	-3.5	-1.0	-2.0	-2.2	4.2	588.4	589.4	590.5	80	95	90	S 1	S 2	S 2	10*	10*≡	10*≡	13.0	✳ ⊹ n-n, ≡ 11-n
12	-2.0	-0.5	-1.0	-1.2	5.2	592.4	593.4	594.2	88	80	80	S 1	S 1	S 1	10*	10*	10*	6.2	✳ n-n, ⊹ zeitw.
13	-1.0	-0.5	-2.0	-1.2	5.3	594.4	**595.1**	**595.1**	80	80	90	S 1	S 1	S 1	10*	10*	10≡	5.0	✳ n-14¼, ≡ 17-n
14	-6.0	-3.0	-4.0	-4.3	2.2	593.9	592.5	592.5	85	80	78	S 1	S 1	S 1	10	0	0	.	
15	-4.8	-4.0	-5.2	-4.7	1.9	592.8	592.3	591.1	85	75	75	NE 1	NE 1	NE 1	0	0	0	.	
16	-4.5	-3.8	-7.5	-5.3	1.3	589.3	588.8	588.7	75	70	75	NE 1	NE 1	NE 1	10	4	0	.	
17	-8.8	-6.2	-9.9	-8.3	-1.7	589.2	588.3	586.5	75	75	80	NE 1	NE 1	S 1	0	10≡	10*	1.2	✳ ⊹ 20¼-n, ≡ 13-n
18	-12.2	-12.0	-13.8	-12.7	-6.0	585.2	584.0	581.4	80	80	80	S 1	S 2	S 2	10≡	10≡	10*≡	2.3	✳ 20-n, ≡ n-n
19	-14.2	-14.0	-9.9	-12.7	-6.0	580.4	579.8	580.3	80	70	75	S 1	S 1	S 2	10≡	10≡	10≡	.	
20	-12.2	-9.9	-9.5	-10.5	-3.8	579.0	579.4	578.7	75	75	80	S 2	S 2	S 2	10	10*≡	10*	16.5	✳ 9-n, ≡ 12-14¼
21	-4.8	-4.5	-14.2	-7.8	-1.2	577.1	576.1	576.8	80	80	84	S 1	S 1	N 1	10*	10*	10*≡	25.0	✳ n-n, ⊹ ≡ abds.
22	-18.2	-14.5	-14.6	-15.8	-9.0	577.3	576.7	576.5	80	80	80	NE 2	NE 2	NE 2	10*≡	10*	10*	12.5	✳ ⊹ n-n, ≡ n-10
23	-14.8	-7.0	-14.5	-12.1	-5.3	**575.8**	576.5	579.1	80	80	85	NE 2	NE 1	NE 1	10*	10*	10*	9.5	✳° n-n, ⊹ zeitw.
24	-15.2	-13.2	-14.5	-14.3	-7.4	580.8	582.2	583.3	85	65	70	S 1	NE 1	NE 1	0	0	0	.	
25	-14.8	-12.2	-17.0	-14.7	-7.8	583.8	584.7	584.9	70	85	85	NE 1	NE 1	NE 2	0	0	0	.	
26	-16.8	-16.8	**-19.5**	-17.7	-10.8	585.9	586.2	586.7	85	85	80	NE 2	NE 2	NE 1	10≡	0	0	.	≡ n-10½
27	-13.5	-9.5	-13.5	-12.2	-5.3	586.8	584.9	584.6	80	80	80	NE 2	NE 1	NE 1	0	10	0	8.5	
28	-10.4	-9.6	-10.7	-10.2	-3.2	580.5	581.0	581.4	85	87	87	N 1	N 1	N 2	10	10	10≡	**31.0**	≡ 10-12¾, 14¾-17, ✳ ≡ 16-n
29	-12.6	-13.0	-15.4	-13.7	-6.7	582.3	582.4	583.1	90	90	84	N 2	N 2	N 3	10≡	10≡	10≡	6.0	✳ ≡ n-n
30	-9.6	-4.2	-8.8	-7.5	-0.5	581.7	580.5	580.2	74	71	85	N 1	N 0	N 3	8	5	5≡	6.4	✳ 10-12½, ⊹ 15-n, ≡ 18-n
31	-10.4	-9.8	-9.8	-10.0	-3.0	581.2	581.0	582.5	80	78	88	NE 1	NE 1	NE 1	8	10*	10*	20.0	✳ 12¾-n, ≡ p zeitw.
Mittel	-8.6	-6.8	-8.8	-8.1	—	586.0	586.0	586.3	80	80	82				6.9	6.3	6.3	Summe 197.3	

Ergänzende Witterungsnotizen zu den Tabellen Seite 1—72.

Januar.

Bern. Alpen klar: **13.** u. **16.** d. g. T. — Alpen hell: **5.** Vm., **0.** Nm. — Neblig: **6.** $13^1/_4$–$16^1/_2{}^h$, **9.** nachts-$9^1/_4{}^h$, **18.** $7^3/_4{}^h$, **3.** $13^1/_2$–$20^1/_4{}^h$, **25.** $10^1/_4$–$11^1/_4{}^h$. — Schneehöhe: **5.** 0.5 cm, . 6.5, **8.** 6.0, **9.** 17, **27.** 15, **28.** 70. — **Neuchâtel.** Alpen ichtbar: **7.** Nm. zeitw., **13.** Vm., **14.** Nm., **16.** Vm., **20.** nachts-$^1/_2{}^h$. — Hochnebel: **23.** Nm., **24.** u. **25.** d. g. T., — Joran: **6.** seit 14^h, **29.** Nm., **30.** starke Stösse seit $15^3/_4{}^h$. — Schneeöhe: **6.** Ab. 2 cm, **28.** 3, **31.** 4. — **Altdorf.** Föhn: **9.** Vm. Nm. ordlicht: **25.** — Schneehöhe: **7.** 33 cm. — **Zürich.** Alpen ell: **10.** d. g. T., **13.** Vm., **14.** Nm., **15.** Vm., **16.** Nm. — lpen sichtbar: **16.** Vm., **19.** Nm., **20.** Vm. (teilw.), **25.** Nm., **1.** Nm. (teilw.) — Alpen schwach sichtbar: **18.** Nm. — Dunst: . d. g. T., **4.** Vm., **5.** d. g. T., **6.** **7.** **15.** je Vm., **18.** Nm., **22.** m., **25.** Nm., **28.** Vm. — Tal neblig: **18.** u. **26.** Vm. — icht: **6.** III 700 m., **24.** III 600, **25.** Vm. 100, **27.** I 800, **28.** I 00. Hochnebel: **6.** Vm., **21.** Nm., **23.** d. g. T., **24.** Vm. — ewitter: **29.** ⊼ mit ▲ $12^1/_4$–$12^1/_2{}^h$ (Bö). — Neuschnee: **2.** $^1/_2$ cm, **3.** 1, **5.** 1, **7.** 14, **8.** 4, **11.** $4^1/_2$, **21.** $3^1/_2$, **28.** $5^1/_2$. — chneehöhe: **28.** 6 cm. — Schneegrenze: **13.** 550 m — ordlicht: **25.** Ab. 22–23^h. — **Rigi-Kulm.** Nebelmeer **4.** 1450 m, 1400, **21.** 1400, **23.** 900, **24.** 900, **25.** 600. — Neuschnee: 6 cm, **5.** 1, **7.** bis **10.**, **12.** je verweht, **18.** 10, **20.** 7, **21.** 0, **26.** 2, **27.** 8, **28.** 30, **29.** 30. **31.** je verweht. — Schneeöhe: **7.** 70 cm, **14.** 80, **21.** 100, **28.** 125. — Nordlicht: **5.** Sehr starke strahlenförmige Beleuchtung am NW-Himmel $20^1/_2$-$^2{}^h$. — **Bevers.** Neuschnee: **7.** 4 cm., **9.** 2, **10.** 3, **12.** $2^1/_2$, **5.** 2, **18.** $^1/_2$, **20.** 13, **21.** $^1/_2$, **27.** 2, **28.** 6, **29.** 2, **30.** 15, **1.** 18. — Schneehöhe: **7.** 36 cm, **14.** 38, **21.** 51, **28.** 53. — ordlicht: **25.** Dunkelrote Färbung $20^1/_4$–22^h. — **Sitten.** Hochebel: **11.** **18.** **21.** je I, **28.** II, **29.** I. — Neuschnee: **8.** 5 cm, **3.** 2. — Schneehöhe: **10.** 30 cm. — **Lugano.** Nordföhn: **7.** u bis Mitt. (NNE), **20.** $5^1/_2$–9^h (NNE). — Nordlicht: **25.** $20^1/_2$-$^4{}^h$. — **Basel.** Abendrot: **13.** — Gewitter: **29.** ⊼ 11^{46}–12^{20h}. euschnee: **2.** 2 cm, **6.** $^1/_2$, **7.** 9. — Schneehöhe: **2.** bis **6.** 2 cm, **7.** 10, **8.** 4. — Nordlicht: **25.** 20^h (rot). — **Säntis.** ebelmeer: **3.** Nm. 2100–800 m, **4.** Früh 900, **5.** Nm. 1300, **1.** Vm. 1000, Nm. 1200–1000, **22.** Ab. 2500–2300, **23.** d. g. T. 000–1200, **24.** d. g. T. 800, **25.** d. g. T. 700–600. — Spitzenntladungen: **30.** $18^3/_4{}^h$. — Neuschnee: **1.** 2 cm, **2.** 25, **3.** 5. $^1/_2$, **7.** bis **13.** **16.** **18.** je unbestimmbar, **20.** 50, **21.** 23, **7.** unb., **28.** 45, **29.** **30.** **31.** je 40. — Schneehöhe: **7.** 220 cm, **4.** 220, **21.** 250, **28.** 240. — Schneegrenze: **7.** Bodensee, **4.** 700 m, **21.** 600, **28.** 600. — Nordlicht: **25.** Fächerfö mig it beweglichen Strahlen, hellgelb bis dunkelrot, Höhe 80°, 20^{40}–21^{50h}. **t. Gotthard.** Neblig: **10.** d. g. T., **18.** nachts-17^h, **26.** nachts-$9^3/_4{}^h$. ebel auf dem Pass: **2.** Vm. Nm., **22.** **26.** u. **31.** Ab. — Neuchnee: **2.** u. **7.** verweht, **8.** 10 cm, **9.** 10, **10.** 5, **11.** 7, **12.** 5, **16.** 10, **17.** 4, **18.** **20.** **21.** je verweht, **27.** 3, **28.** 10, **29.** 0, **30.** u. **31.** verweht. — Schneehöhe: **7.** 120 cm, **14.** 145, **1.** 140, **28.** 130.

Februar.

Bern. Alpen klar: **1.** d. g. T., **3.** Nm., **5.** u. **6.** d. g. T., **7.** **2.** **23.** **25.** **26.** je Vm. — Alpen schwach sichtbar: **24.** Vm. eblig: **2.** nachts-8^h, **8.** $16^1/_2$–17^h, **13.** $13^1/_4$–14^h, **28.** 10–$11^3/_4{}^h$. chneehöhe: **13.** 2.1 cm, **14.** 4.0, **15.** 5.0, **16.** 3.8, **17.** 2.5, **8.** 2.5. — **Neuchâtel.** Alpen sichtbar: **28.** Nm. — Dunst: **12.** urze Zeit seit $8^1/_2{}^h$. — Hochnebel: **3.** u. **8.** Vm. Nm., **9.** Vm., **6.** u. **17.** Vm. Nm., **18.** nachts-16^h, **19.** nachts-$15^1/_2{}^h$, **20.** Vm. chneehöhe: **3.** 2 cm, **11.** 1, **12.** 2, **13.** 20. — **Altdorf.** Neblig: . Nm., **19.** u. **20.** Vm. — Schneehöhe: **12.** 28 cm, **13.** 5 . — **ürich.** Alpen hell: **3.** Nm. — Alpen sichtbar: **1.** u. **3.** Vm., **2.** Nm. — Alpen schwach sichtbar: **21.** Nm. — Dunst: **5.** g. T., **7.** Nm, **8.** Vm., **18.** u. **19.** Nm., **21.** bis **25.** je d. g. T. al neblig: **6.** Nm., **9.** d. g. T., **18.** Vm. — Talnebel: **7.** Vm. icht: **6.** I 60 m, **7.** I 300, **9.** I 300, **28.** I 60. — Hochnebel: **8.** nachts-$13^1/_4{}^h$, **19.** nachts-13^h. — Purpurlicht: **23.** Ab. — euschnee: **3.** $^1/_2$ cm, **11.** 6, **12.** 25, **13.** 8, **14.** $5^1/_2$, **15.** 1. chneehöhe: **18.** 9 cm. — **Rigi-Kulm.** Talnebel: **4.** III (strichw.), . II, **6.** **7.** **22.** **24.** je I. — Nebelmeer: **8.** I 1000 m, II 800, **9.** 600, **15.** II 1700, III 1500, **16.** I 1400, **17.** I 1200, **18.** I 1300, **9.** I 1200, II 1450, **20.** I 1500, **21.** I 1300, **23.** I 1100. — Neuchnee: **2.** verweht, **3.** 15 cm, **4.** 1, **10.** verweht, **11.** 15, **12.** 5, **13.** 13, **14.** 25, **15.** 4, **28.** verweht, — Schneehöhe: **4.** 5 cm, **11.** 155, **18.** 170, **25.** 160. — **Bevers.** Neuschnee: **2.** $^1/_2$ cm, **3.** 4, **11.** 11, **12.** 4, **13.** $^1/_2$, **18.** $3^1/_2$, **19.** 2. — Schneehöhe: **4.** 68 cm, **11.** 70. **18.** 68, **25.** 59, — **Sitten.** Dunst: **8.** III. — Neblig: **16.** I, II. - Hochnebel: **10.** u. **28.** I. Schneehöhe: **13.** 14 cm. — **Lugano.** Nordföhn: **2.** $14^1/_2$–16^h, 21^h bis **3.** $17^1/_2{}^h$ (NNE), **11.** 3^h bis **12.** $13^1/_2{}^h$ (NNE), **13.** 15–22^h, **14.** $10^1/_2$–$15^1/_2{}^h$ (NNE). — Schneehöhe: **18.** 3 cm. — **Basel.** Dunst **22.** d. g. T. — Neuschnee: **14.** 4 cm. — Schneehöhe: **12.** 3 cm, **13.** 4, **14.** 7, **15.** 4, **16.** 4, **17.** 4, **18.** 3. — **Säntis.** Nebelmeer: **4.** Vm. 1000 m, Nm. 1400, **5.** Vm. 1000, **6.** d. g. T. 600. **7.** Vm. 600, **8.** Vm. 900, **15.** d. g. T. 1700, **16.** Vm. 1100, Nm. 1400, **17.** Vm. 900, Nm. 1100, **18.** Vm. 600–900, **19.** Vm. 1300, Nm. 1500–1800, **20.** Vm. u. Nm. 1400, **21.** u. **23.** Vm. 900, **28.** Vm. 600. — Neuschnee: **1.** u. **2.** unbestimmbar, **3.** 40 cm, **4.** 1, **10.** u. **11.** unb., **12.** 90, **13.** 45, **14.** u. **15.** unb., **28.** 10. Schneehöhe: **4.** 330 cm, **11.** 300, **18.** 430, **25.** 400. — Schneegrenze: **4.** 800 m, **11.** Bodensee. — **St. Gotthard.** Neblig: **2.** Vm. Nm., **14.** nachts bis 9^h. — Neuschnee: **2.** 10 cm. **3.** u. **4.** verweht, **11.** u. **12.** unbestimmbar, **13.** **14.** **15.** je verweht, **17.** 2, **18.** 10, **19.** 5. — Schneehöhe: **4.** 140 cm, **11.** 160, **18.** 160, **25.** 150.

März.

Bern. Alpen klar: **4.** Nm., **5.** u. **6.** d. g. T., **7.** **8.** **16.** je Vm. — Alpen schwach sichtbar: **1.** u. **3.** Nm., **4.** u. **18.** Vm. **Neuchâtel.** Alpen sichtbar: **1.** **3.** **4.** **13.** je Nm. — Dunst: **4.** Vm. — Joran: **10.** $15^1/_4$–17^h, **23.** $13^3/_4{}^h$-nachts., schwache Stösse mit Unterbrechungen, **25.** seit $14^1/_2{}^h$, **29.** 16^h-nachts, **30.** 17^h-nachts. — **Altdorf.** Föhn: **22.** Nm. — **Zürich.** Alpen hell: **1.** Nm. — Alpen sichtbar: **1.** Vm., **2.** u. **3.** Nm., **4.** d. g. T., **5.** Vm., **7.** Nm., **13.** Vm., **15.** d. g. T., **16.** Vm., **31.** Nm. — Alpen schwach sichtbar: **9.** d. g. T., **14.** **17.** **22.** je Nm. — Taldunst: **3.** Vm., **5.** d. g. T., **6.** u. **7.** Vm., **8.** u. **10.** d. g. T., **11.** u. **14.** Nm., **17.** Vm., **18.** bis **21.** d. g. T., **22.** Vm., **23.** d. g. T., **24.** Nm., **25.** d. g. T., **28.** u. **29.** Nm., **31.** Vm. — Tal neblig: **1.** Vm. — Talnebel: **2.** Vm. — Purpurlicht: **7.** **9.** **12.** **13.** je Ab. — **Rigi-Kulm.** Nebelmeer: **12.** 1200 m, **31.** 1600 (strichw.). — Neuschnee: **2.** 25 cm, **27.** 15, **28.** u. **29.** verweht. Schneehöhe: **4.** 160 cm, **11.** 120, **18.** 80, **25.** 50. — **Bevers.** Optische u. Phaenologische Erscheinungen: **7.** Erste Potentilla-verna-Knöpfe gefunden, **9.** In Spinas schöne voll entwickelte Tussilago gefunden. — Neuschnee: **2.** $^1/_2$ cm, **27.** 4, **28.** 23, **29.** 4. — Schneehöhe: **4.** 50 cm, **11.** 30, — **Sitten.** Dunst: **12.** II. — **Lugano.** Nordföhn: **2.** $7^1/_2$–22^h (NNE), **3.** 21^h bis **4.** $20^1/_2{}^h$ (NNE), **11.** 11–23^h (NNE), **26.** 19^h bis **27.** 6^h (NNE), **28.** $4^1/_2$–21^h (NNE). — **Basel.** Morgenrot: **4.** — **Säntis.** Purpurlicht: **4.** u. **5.** Ab. — Nebelmeer: **29.** Nm. 2100 m. — Spitzenentladungen: **27.** Ab. — Neuschnee: **2.** 18 cm, **3.** 1, **11.** $^1/_2$, **12.** 3. **27.** **28.** **29.** je unbestimmbar. — Schneehöhe: **4.** 380 cm, **11.** 350, **18.** 300, **25.** 260. — Schneegrenze: **4.** 800 m, **18.** 1100, **25.** 1200. — **St. Gotthard.** Neblig: **12.** Nachts-9^h, **20.** d. g. T. Nebel auf dem Pass: **12.** 17^h-nachts. — Neuschnee: **2.** 12 cm, **25.** 5, **26.** 5, **27.** 10, **28.** 40, **29.** 10. — Schneehöhe: **4.** 135 cm, **11.** 115, **18.** 100, **25.** 85.

April.

Bern. Alpen klar: **1.** bis **4.** je Nm., **5.** Vm. — Alpen hell: **3.** Vm. — Alpen schwach sichtbar: **5.** u. **13.** Nm. — Neblig: **20.** $8^1/_2$–$9^1/_4{}^h$, $12^1/_4$–$12^3/_4{}^h$, **21.** nachts-$7^3/_4{}^h$, **26.** nachts-$7^1/_4{}^h$ — **Neuchâtel.** Alpen sichtbar: **2.** d. g. T., **3.** Vm., **4.** Nm., **19.** Joran: **1.** u. **2.** seit 17^h schwach, **3.** $15^1/_2$–18^h, **6.** $19^1/_2$-nachts mässig, **7.** seit 14^h, **8.** Nm., **9.** seit 13^h mässig, **24** seit $13^{1.2h}$ mässig, **25.** seit 14^h mässig, **29.** seit 16^h. — Schneehöhe: **22.** 3 cm. — **Zürich.** Alpen sichtbar: **2.** Nm. — Alpen schwach sichtbar: **1.** Nm., **2.** Vm., **4.** Nm., **5.** Vm., **13.** Nm. — Dunst: **1.** d. g. T., **2.** bis **5.** Vm., **6.** d. g. T., **7.** Vm. Ab., **13.** Vm., **15.** d. g. T., **17.** Vm., **27.** Nm., **28.** u. **29.** Vm. Sicht: **28.** Vm., 70–100 m. — Purpurlicht: **15.** Ab. — Schneegrenze: **4.** 750 m, **11.** 800–900, **19.** 1100–1200. — **Rigi-Kulm.** Tal neblig: **28.** II (strichweise). — Nebelmeer: **22.** 1500 m, **26.** 700. - Neuschnee: **10.** 1 cm, **11.** 10, **20** 5, **21.** 15, **22.** 3, **25.** 3, **26.** 8, **28.** 1, **30.** verweht. — Schneehöhe: **1.** 50 cm, **8.** 30, **22.** 15, **29.** 10. — **Bevers.** Neuschnee: **9.** $^1/_2$ cm, **10.** $^1/_2$, **26.** 2, **28.** 1, **30.** 4. **Sitten.** Dunst **6.** - **Lugano.** Nordföhn: **3.** 21^h bis **4.** $22^1/_2{}^h$ (NE), **8.** 11–24^h (NNE), **9.** 15^h bis **10.** $7^1/_2{}^h$ (NNE), $7^1/_2$–24^h (N), **13.** $19^1/_2{}^h$ bis **14.** $9^1/_2{}^h$ (NNE). — **Basel.** Dunst: **26.** I. — **Säntis.** Nebelmeer: **12.** Nm. 2500 m, **17.** Vm. 1200–2300, **22.** Vm. 1200–2100, **26.** Vm. 800–2000. — Gewitter: **29.** Nah-⊼ im NE 13^{20}-13^{35h}. — Spitzenentladungen: **20.** ($16^1/_2{}^h$). — Neuschnee: **4.**

25 cm, **5.** 5, **8.** 3, **9.** 10, **10.** 11. **14.** je unbestimmbar, **18.** 1/2, 19. 1, 20. 22, 21. 55, 22. 4, 23. 2, 24. 6, 25. 18, 26. 4, 27. 5, 28. 7, **30.** 22. — Schneehöhe: **1.** 320 cm, **8.** 300, **15.** 330, **22.** 380, **29.** 400. — Schneegrenze: **1.** 1200 m, **8.** 1300, **22.** 600. — **St. Gotthard.** Neblig: **10.** d. g. T., **14.** nachts,-9h, **18.** nachts-15h, **19.** nachts-10h, **26.** nachts-10h, 20h-nachts. — Nebel auf dem Pass: **11.** 17h-nachts, **13.** Ab., **15.** Ab., **27.** Nm. — Neuschnee: **4.** 10 cm, **9.** 5, **10.** u. **11.** verweht, **20.** 2, **21.** 10, **22.** 5. **26.** 10. **28.** 1, **30.** 2. — Schneehöhe: **1.** 90 cm, **8.** 80, **15.** 65, **22.** 60, **29.** 55.

Mai.

Bern. Alpen klar: **3.** Nm. — Alpen hell: **26.** u. **28.** Ab. — Neblig: **24.** nachts-8¼h. — **Neuchâtel.** Alpen sichtbar: **31.** Joran: **8.** seit 14¾h, **27.** seit 18½h. — **Altdorf.** Neblig: **9.** u. **11.** Vm. — Föhn: **3.** Ab., **5.** seit 17h, **14.** Nm. bis **15.** nachts, **16.** Nm. bis **17.** Vm., **19.** Vm., **27.** 6½h-nachts. — **Zürich.** Alpen klar: **31.** Nm. — Alpen sichtbar. **13.** Ab., **16.** Nm., **19.** Vm., **26.** d. g. T., **27.** Vm. — Alpen schwach sichtbar: **3.** **15.** **27.** je Vm. — Dunst: **2.** Vm. Nm., **3.** Vm., **9.** bis **13.** je d. g. T., **14.** **15.** **16.** **17.** **21.** je Vm. — Hochnebel: **2.** Vm. — Wolkenröte: **5.** Ab. — Gewitter: **15.** Nah-⟡ 15³⁰-16h, Zug W-E, langsam. — Schneegrenze: **6.** 1250 m, **26.** 1550-1600. — **Rigi-Kulm.** Nebelmeer: **5.** 1300 m, **9.** 1200, **11.** 1300. — Neuschnee: **1.** 10 cm, **2.** verweht, **20.** 7, **21.** 20. — Schneehöhe: **20.** 7 cm. — **Bevers.** Phänologisches: **13.** Kuckuck. — Schneehöhe: **21.** 45 cm. — **Sitten.** Hochnebel: **18.** **22.** **26.** je I, **28.** II. — **Lugano.** Nordföhn: **24.** 18h bis **25.** 22h (N). — **Basel.** Gewitter: **7.** 15½h T aus E, **18.** 17²²-17³⁵h T aus SW, **27.** Fern-⟡ 15²⁷-15⁴⁰h im SE 3-4 km, Nah-⟡ 15⁴⁵-16¹⁵h im NW, Entfernung 1 km, einige ▲-körner 15¾h, 16h. — **Säntis.** Nebelmeer: **2.** Vm. 900-1800 m, Nm. 2100-2500, **5.** Früh 1300, **12.** Früh 1200. Gewitter: **4.** III ⟨ im S, **7.** 16½h, ferner T im NE, **19.** Fern-⟡ im N 16⁴⁰-17³⁰h. — Neuschnee: **1.** 5 cm, **2.** unbestimmbar, **4.** 1, **5.** 15, **6.** 1, **7.** 2, **8.** 5, **11.** 1, **18.** 6, **20.** 17, **21.** 30, **23.** 2, **24.** 1/2. — Schneehöhe: **6.** 350 cm, **13.** 300, **20.** 240, **27.** 250, **29.** bis **31.** je unbestimmbar. — Schneegrenze: **6.** 1400 m, **13.** 1500, **20.** 1100, **27.** 1700. — **St. Gotthard.** Neblig: **9.** d. g. T., **11.** nachts-10¾h, **25.** d. g. T., **31.** nachts-9¼h. — Nebel auf dem Pass: **1.** Nm., **7.** 18h-nachts, **8.** 17h-nachts. — Neuschnee: **1.** 45 cm, **2.** 40, **6.** 2, **18.** 10, **19.** 15, **20.** bis **22.** je verweht, **23.** 10. **28.** 12, **29.** 15. — Schneehöhe: **6.** 90 cm, **13.** 55. **20.** 50, **27.** 45.

Juni.

Bern. Alpen klar: **1.** d. g. T., **4.** Vm., **7.** d. g. T., **8.** u. **18.** Nm., **26.** Vm. — Neblig: **14.** nachts-12¾h, **15.** nachts-8h. — Gewitter: **1.** ⟡ 19¹⁵-19⁴⁵h, **9.** ⟡ 21²⁵-22⁰⁵h, **11.** ⟡ 17⁵⁹-19⁴⁰h, **23.** ⟡ 8⁰⁷-8⁵⁵h — **Neuchâtel.** Alpen sichtbar: **4.** **6.** **7.** je d. g. T. Joran: **4.** schwach seit 18h, **8.** schwach seit 19h, **11.** 17-18½h, **12.** seit 11¾h, **19.** seit 16h, **26.** seit 19h, **27.** seit 19h. — **Altdorf.** Neblig: **16.** Nm. — Föhn: **1.** 9h-nachts. — **Zürich.** Alpen hell: **4.** Nm. — Alpen sichtbar: **4.** Vm., **5.** d. g. T., **18.** Vm. — Alpen schwach sichtbar: **7.** bis **9.** je d. g. T., **17.** u. **21.** Nm. Dunst: **7.** u. **8.** d. g. T., **9.** **15.** **17.** je Vm., **18.** u. **21.** d. g. T., **24.** Vm. Tal neblig: **13.** Vm. — Purpurlicht: **6.** Ab. — Gewitter: **11.** Nah-⟡ 20¼-21h, **22.** Fern-⟡, ferne T im WNW 14½h, im SSW 15⁰⁶-15²¹h, **23.** Fern-⟡ im W 6⁰⁰-7¹⁵h, Nah-⟡ 7³⁰-7⁴⁵h, über Station 7³⁷h, Zug WNW-ESE, **26.** Nah-⟡, T hörbar seit 20²⁰h, Zug W-E, im SSW vorbei, Entfernung ca. 3 km, wenige Entladungen. — **Rigi-Kulm.** Tal neblig: **17.** I (strichweise). — Nebelmeer: **12.** 1200 m. Neuschnee: **3.** 5 cm. — Schneehöhe: **3.** 5 cm. — **Bevers.** Schneehöhe: **3.** 2 cm. — **Sitten.** Hochnebel: **6.** **11.** **12.** **13.** **15.** **20.** **27.** **30.** je I. — **Basel.** Gewitter: **1.** T 16⁵⁵-17⁰⁰h, ⟡ 20¹⁵-21h, **9.** ⟡ 21³⁰-22⁴⁰h, im SSW-NNE, **11.** Fern-⟡ im N 19⁵⁵-20⁴⁵h, **19.** vereinzelte T aus NW 7-9h, **22.** ⟡ 13³⁵-14⁰⁰h, 14¹⁰-14⁴⁰h, 14⁴⁵-15¹⁵h, **23.** ⟡ 6⁴⁰-7²⁰h, **25.** ⟨ 20¹⁵-24h aus S. — **Säntis.** Nebelmeer: **6.** Vm. 2200 m, **11.** Vm. 1600-2200, **16.** Ab. 2400, **17.** Vm. 2100 (strichweise). — Gewitter: **3.** T 7h, **9.** Fern-⟡ im E. u. SW III, **9./10.** Nah-⟡ nachts, **22.** starkes Nah-⟡ im E 16¼-18h, **23.** schwaches Nah-⟡ im SE 9¹⁰-9²⁰h. **25./26.** Nah-⟡ im SE nachts, **26./27.** Fern-⟡ im SE nachts, **27.** ⟨ im SE III. — Spitzenentladungen: **2.** III, **3.** 7h. — Nebelregen: **2.** 17¼-18¾h, **10.** nachts-10¼h, **13.** 7-14¼h, **14.** 14½-20h, **15.** nachts-10h, 15½-nachts, **16.** nachts-9h, **23.** 10-12½h, 20½-nachts, **29.** 17h-nachts (zeitweise), **30.** nachts-7h. — Neuschnee: **3.** 38 cm, **15.** 4. — Schneehöhe: **3.** 210 cm, **10.** 80, **17.** Gipfel schneefrei. — **St. Gotthard.** Neblig: **1.** Vm. (zeitweise), **6.** d. g. T. — Nebel auf dem Pass: **16.** Nachts-9h, **25.** nachts-7h, **28.** 20h-nachts, **29.** III. — Nebelmeer im Süden: **8.** Ab., **25.** Ab. — Neuschnee: **3.** 15 cm. — Schneehöhe: **3.** 25 cm.

Juli.

Bern. Alpen hell: **4.** u. **8.** Nm. — Gewitter: **8.** ⟡ 18[illegible] **15.** ⟡ 14²⁶-15⁵⁵h. — **Neuchâtel.** Joran: **1.** 13-14¾h, **8.** 16-17[illegible] **9.** seit 16h, **10.** seit 16h, **11.** Ab., **16.** seit 16h, **17.** seit 17[illegible] **18.** seit 17½h, **19.** seit 19¼h, **20.** seit 19¼h, **21.** seit 18¼h. — **Altdorf.** Neblig: **18.** Vm. Nm. — Föhn: **7.** 9½h bis **8.** Nm. — **Zürich.** Alpen hell: **4.** Ab. — Alpen sichtbar: **7.** d. g. T., **11.** Vm., **28.** Nm. — Alpen schwach sichtbar: **28.** u. [illegible] Vm. — Föhnmauer: **7.** d. g. Z., **8.** Vm. — Dunst: **18.** bis [illegible] je Vm., **22.** d. g. T., **23.** u. **25.** Vm., **27.** Nm, **28.** **29.** **30.** Vm. — Tal neblig: **21.** Vm., **26.** Vm. — Sicht: **26.** Vm. 500 [illegible] Hochnebel: **14.** Vm. — Wolkenröte: **17.** Ab. — Gewitter: T u. ⟨ im W 13½h, Sturmbö 14¾h, Zug W-E, **15.** Nah-⟡, hörbar 18-19¼h, über der Station 18²³h (Böenlinie), Zug WSW-EN[illegible] mässige Entladungen, **23.** Nah-⟡ 15½-16h, kam aus W, mäss[illegible] Entladungen, **26.** Nah-⟡ 20¼-21¾h, Zug W-E. — **Sitten.** Hoc[illegible] nebel: **3.** u. **9.** I. — **Lugano.** Nordföhn: **2.** 19-21½h (NN[illegible] **3.** 9½-20h (NNE), **9.** 16½-20½h (NNE). — **Basel.** Gewitt[illegible] **1.** T 15-15¾h, **8.** ⟡ 17¼-17¾h, W-E, **15.** ⟡ 17⁵⁰-20⁰⁰h, [illegible] T 13½-14½h vereinzelt, **23.** T 13³⁰-15⁴⁰h, ⟡ 14¹⁵-15¹⁰h, **26** [illegible] 15³⁰-16³⁰h, ⟡ 17¹⁵-18⁰⁰h, ⟡ 19²⁰-20⁰⁰h. — **Säntis.** Föhnmau[illegible] **7.** u. **8.** Vm. — Nebelmeer: **6.** Ab. 2300 m, **14** Vm. 1300-19[illegible] **18.** u. **27.** Vm. 2200. — Gewitter: **15.** Nah-⟡ im E 18¾-21[illegible] **23.** Nah-⟡ im SE 16-17¼h, **26.** Fern-⟡ im SW u. N 20¾h-nach[illegible] **29.** ⟨ im E u. SE, **31.** ⟨ im S u. SE. — Spitzenentladunge[illegible] **2.** I. — Nebelregen: **5.** 12-14¾h, 17-19h, **9.** 12h-nachts m.[illegible] **11.** 19h-nachts, **12.** nachts 9h, **13.** nachts-14h, 17h-nachts, [illegible] 17½-19h, **17.** nachts-12½h, **19.** früh, **24.** 17h-nachts, **25.** nach[illegible] 8h, **27.** 17¼-17½h. — Neuschnee: **2.** 8 cm, **3.** 26, **4.** 7, [illegible] 1, **11.** 4. — **St. Gotthard.** Neblig: **10.** nachts-11h, **18.** nach[illegible] 10h, **19.** nachts-9h, 20h-nachts, **20.** 20h-nachts. — Nebel [illegible] dem Pass: **5.** 16h-nachts, **6.** nachts-10h, **13.** d. g. T., **16.** [illegible] **17.** d. g. T. — Nebelmeer im Süden: **15.** nachts-10¾h. — N[illegible] schnee: **2.** 2 cm, **3.** 10.

August.

Bern. Alpen klar: **18.** Nm. — Alpen hell: **19.** Nm. Alpen sichtbar: **18.** Vm., **22.** Nm. — Alpen schwach sich[illegible] bar: **19.** Vm., **23.** u. **25.** Nm. — Neblig: **15.** **24.** **28.** **29.** je V[illegible] Gewitter: **20.** 15½-16h. — **Neuchâtel.** Hochnebel: **9.** nacht[illegible] 9¾h. — Joran: **7.** seit 18h, **10.** schwach seit 16¾h, **11.** 16½-17[illegible] **Altdorf.** Dunst: **2.** Vm. — Neblig: **27.** Vm., **28.** Ab., **29.** V[illegible] **Zürich.** Alpen sichtbar: **5.** Vm., **18.** d. g. T., **19.** Nm. — Alpe[illegible] schwach sichtbar: **19.** u. **20.** Vm., **25.** Nm. — Dunst: **1.** u. [illegible] Vm, **3.** u. **4.** d. g. T., **6.** Vm., **9.** **15.** **16.** je d. g. T., **18.** N[illegible] **19.** **20.** **25.** **26.** je Vm., **27.** bis **29.** je d. g. T., **30.** Nm. Gewitter: **5.** T 3-4h (in S), 6-7h, **6.** Nah-⟡ 17¾-18h, Nah-[illegible] 18¾-19¼h, Zug S-N, mässige Entladungen, **7.** Nah-⟡ 19-19½[illegible] **8.** Nah-⟡ 13-14h, Zug W-E, schwach, **9.** Nah-⟡ über Station 19[illegible] Zug S-N (?), ⟨ u. T nachts, **11.** Nah-⟡ 19½-19¾h, über Stati[illegible] 19½h, **20.** Nah-⟡ 17¼-17¾h, Zug NW-SE, über Station 17[illegible] mässige Entladungen, **29** ⟨ u. T. SW-S 18½h-nachts. — **Sitte**[illegible] Neblig: **15.** I. — Hochnebel: **8.** **14.** **16.** **21.** **31.** je I. — **Lugan**[illegible] Nordföhn: **14.** 15h-nachts (NNE), **21.** 22h bis **22.** 22h (NNE), **2**[illegible] 15-22h (ENE-NE). — **Basel.** Gewitter: **6.** ⟡ 17¾-20h W-E, [illegible] T 15½-16½h, 17¼-17½h, **11.** T 14-16h, 18-19h, **12.** T 12[illegible] **20.** ⟡ 4½-5h, T 5½-7½h, 8-9h, ⟡ 9-10h. — **Säntis.** Gross[illegible] Lichtermeer: **18.** **19.** **25.** je Ab. — Nebelmeer: **9.** Vm. 80[illegible] 1500 m, **11.** Vm. 1500, **26.** Vm. 2000, **28.** Vm. 1600, **29.** V[illegible] 2000. — Gewitter: **1.** ⟨ im S Ab., **5.** Fern-⟡ im E 4-6½h, [illegible] Nah-⟡ im N 13-15h, Fern-⟡ im S 16¾-19h, ⟨ im N Ab., **7.** Fer[illegible] ⟡ im E 14¼-15h. Fern-⟡ im W Ab., **9.** ⟨ im W Ab., **11.** [illegible] im N Ab., **28.** ⟨ im E Ab. — Nebelregen: **12.** 8-11¼h, 1[illegible] nachts-16¾h. **15.** 15-17¼h, **21.** 10-10½h, **27.** 16-17¼h, 20h-[illegible] **28.** 17¾-18h, **29.** 15½-19h m.U., **30.** nachts, 17¼h-nachts. — **St. Gotthard.** Neblig: **4** seit 10h, **10.** d. g. T., **17.** 17h-nach[illegible] **22.** nac ts-10h. — Nebel auf dem Pass: **12.** u. **13.** d. g. T., **2**[illegible] 16h-nachts, **25.** Ab., **27.** seit 8h, **28.** Ab. — Nebelmeer i[illegible] Süden: **2.** nachts-8½h, **16.** Ab., **30.** Vm.

September.

Bern. Alpen schwach sichtbar: **28.** Vm. — Neblig: [illegible] u. **4.** Vm, **10.** nachts-9¼h, **13.** nachts-9h, **30.** Vm.— Gewitte[illegible] **15.** 12⁵⁷-13²⁷h, 17⁴⁹-18⁰²h. — **Neuchâtel.** Dunst: **21.** Nm., **2**[illegible] nachts-8½h. — Hochnebel: **14.** 8¼-10¼h, **27.** nachts-10¾h. — Joran: **11.** 17¼h-nachts, **12.** 16h-nachts, **15.** 13h-nachts. — **Altdorf.** Föhn: **8.** 10h bis **10.** Vm., **25.** **26.** **27.** je Nm., **28.** Nm. nachts. — **Zürich.** Alpen sichtbar: **9.** Nm. — Alpen schwa[illegible]

chtbar: 12. 21. 27. je Nm., 28. Vm. — Föhnmauer: 28. Vm. inst: 1. Vm., 2. Nm., 5. Vm., 6. u. 7. Nm., 8. d. g. T., 9. n, 11. u. 13. Nm., 14. d. g. T., 15. u. 16. Nm., 17. Vm., 19. g. T., 21. u. 22. Nm., 23. d. g. T., 26. Nm., 27. d. g. T., 28. n, 29. d. g. T. - Tal neblig: 2. 3. 13. 15. 20. 21. 22. 23. . 30. je Vm. — Talnebel: 21. Vm. — Sicht: 11. I 600 m, . I 150. 18. I 100, 24. I 100, 26 I 250. — Hochnebel: 2. 12. Vm., 17. nachts-8½h, 18. nachts-9½h, 27. Vm. — Purrlicht: 16. u. 17. Ab. — Gewitter: 15. Nah-K 16¾-17½h, im enith 17 06h, Zug NW-SE, ziemlich häufige und stärkere Entlaungen, 19. Nah-K 21-21½h, Zug aus SW, häufige Entladungen, Fern-K 19½-20h im S, 27. Wetterleuchten im W-NW 20½-h. — **Rigi-Kulm.** Tal neblig: 3. 10. 12. 13. 14. je I, 23. I ichweise. — Nebelmeer: 2. I 800 m, 16. II 1750, 17. I 750. **tten.** Dunst: 19. I, 21. II. — Hochnebel: 11. 12. 16. je I. — **gano.** Nordföhn: 5. 12-17h (NNW), 17-24h (NNE), 7. 0½-1h NE), 16. 5½-8½h (ENE). — **Basel.** Gewitter: 15. Fern-K ¾-15½h, T 16 05h, 19. K 16 30-17 25h (WSW-NE). — **Säntis.** rgenrot: 28. — Grosses Lichtermeer: 20. Ab. — Föhnauer: 8. 9. 27. 28. je Vm. — Nebelmeer: 2. Vm. 1200-1300 m, Vm. 1400-1300, 13. Vm. 900-1300, Nm. 1900-2000, Ab. 1500, . Vm. 2200, 17. Vm. 900, 26. Vm. 600-800. — Gewitter: 1. aus SE Ab., 24. Fern-K im N u. NW 15-19h, 29. Fern-K im 18¾-20h. — Nebelregen: 1. 9-11¼h m.U., 3. Nm. zeitw., zeitw., 10. 17-19½h. 15. nachts, 7¼-9h, 21h-nachts, 30. 1.h-chts. Neuschnee: 1. 3 cm, 5. 1, 6. 9, 7. 6, 16. 2. — hneegrenze: 16. 2300 m. — **St. Gotthard.** Neblig: 16. nachts-h, 23. nachts-9h, 25. d. g. T. — Nebelmeer im Nordtal: . 19¾h-nachts, 13. 17¼h-nachts. — Neuschnee: 6. 0.4 cm.

Oktober.

Bern. Alpen klar: 10. Vm., 14. Nm. — Alpen hell: 7. u. Nm., 20. Vm. — Neblig: 13. 5½-8h, 14. Vm., 17. nachts-¼h, 18. nachts-9h, 22. nachts-11¾h, 23. 12½h-nachts, 24. chts-12¾h, 26. 8¼h-nachts, 27. nachts-10h, 31. 7-8¾h. — **euchâtel.** Alpen sichtbar: 9. u. 10. d. g. T. — Dunst: 8. Vm., . 12-12¾h, 18. Vm., 21. nachts-10¼h, 22. Nm. — Hochbel: 13. nachts-11¼h, 15. nachts-9¾h m.U., 16. nachts-12h, . nachts-11½h, 18. nachts-9½h, 23. d. g. T., 24. d. g. T., 25. chts-14h, 31. nachts-11¼h. — Joran: 6. Nm. (stark), 8. seit ¼h, 10. seit 18½h, 11. Ab. — **Altdorf.** Neblig: 16. u. 26. Vm. öhn: 4. 10-12½h, 19. Ab. — **Zürich.** Alpen hell: 9. Vm. — pen sichtbar: 10. d. g. T., 13. u. 14. Nm., 18. Vm., 22. Nm. pen schwach sichtbar: 4. u. 5. Vm., 7. Nm., 14. Vm., 21. n. — Dunst: 7. Vm. Nm., 12. Nm., 14. d. g. T., 17. Nm., . u. 20. Vm., 25. d. g. T. — Tal neblig: 2. 12. 15. 17. 22. . je Vm., 27. Nm. — Sicht: 13. I 100 m, 17. 100, 31. I 100-0. — Hochnebel: 22. u. 23. Vm., 24. d. g. T., 25. Vm., 27. g. T., 29. Vm. — Wolkenröte: 13. 15. 16. 20. 22. je Ab. — hneegrenze: 9. I 2200-2300 m. — **Rigi-Kulm.** Tal neblig: . 17. 21. je I. — Nebelmeer: 12. I 1700 m, II 1650, 16. I 0, 21. I 1200, 22. I 1100, 23. I 1100, 24. I 1100, 25. I 1000, . I 1500. — Neuschnee: 28. I 3 cm, 29. 8. - **Bevers.** euschnee: 29. 11 cm. — **Sitten.** Dunst: 2. III, 8. II, . I. 16. I, 19. II. 21. I. — Neblig: 19. I, 24. III. — chnebel: 8. I, 12. I, 24. I, II, 29. I, 30. I. — Talbel: 19. I. — **Basel.** Abendrot: 20. 17¾h auf Ci. — Neuhnee: 29. 11 cm. — **Säntis.** Nebelmeer: 2. Nm. 1900 m, 5. g. T. 2000, 12. Vm. 2200-1900, Nm. 1700-1400, 13. Vm. 600, Vm. 1600-1800 (strichweise), 16. Vm. 800, Nm. 700 (strw.), Nm. 2000, 21. Vm. 900 (strw.), 22. Vm. 1000, 23. Vm. 1100, n. 1000 (strw.), 24. Vm. 1200, Nm. 1300, 25. Vm. 1000, 26. n. 800, 28. Ab. 2000, 29. d. g. T. 1800, 30. d. g. T. 2400, 31. g. T. 1800 (strw.). — Nordlicht: 14. (schwach) 19½-21h, 8-10° er dem Horizont. Segmentbogen rötlichgelb. — Nebelregen: 1. 2-12h, 8. nachts-7h, 11. 14½h-nachts, 19. 18h-nachts. — euschnee: 3. 0.5 cm, 4. 12, 5. 3, 6. 4, 7. 8, 27. 4, 28. 5. hneehöhe: 28. 7 cm. — Schneegrenze: 28. 900 m. — **St. tthard.** Neblig: 6. nachts-10h. — Nebel auf dem Pass: 3. 12. III, 16. 17h-nachts. - Nebelmeer im Süden. 23. I — euschnee: 2. 4 cm, 4. 2, 27. ½, 28. 25, 29. 20. — Schneehe: 22. 40 cm, 23. 20, 26. 45.

November.

Bern. Alpen klar: 3. u. 4. Vm., 6. Nm., 9. d. g. T., 12. Vm., . d. g. T., 15. Nm., 20. d. g. T. - Alpen hell: 25. Nm., 26. d. T. — Alpen schwach sichtbar: 23. Nm. — Neblig: nachts-7h, 11. 11½-12¼h, 15. nachts-7h, 18. 9-13h, 17-18h, . nachts-8¼h, 29. nachts-9h, 30. nachts-8¼h. — **Neuchâtel.** pen sichtbar: 3. 4. Ab., 5. 6. u. 25. Nm., 26. Vm. — Dunst: 12-16½h, 18. Vm., 28. Nm. — Hochnebel: 6. Vm., 7. Vm. m.U., 15h-nachts, 8. Vm., 17. 16½-19h, 19. Vm., 28. 9-13¾h. Joran: 2. 14-16½h. — **Altdorf.** Neblig: 18. Vm., 29. Nm. — Föhn: 11. 9½h-Mitt., 20. 19½h. 21./22. nachts. — **Zürich.** Alpen hell: 26. Vm. — Alpen sichtbar: 3. 4. 23. 26. je Nm. — Alpen schwach sichtbar: 3. u. 4. Vm., 7. 8. 13. 14. je Nm., 23. u. 25. Vm., 27. Nm. — Dunst: 2. Vm., 3. Vm., 7. Nm., 8. d. g. T., 11. u. 14. Nm., 20. 21. 26. je Vm., 27. u. 28. Nm. — Tal neblig: 1. Vm., 2. Nm., 4. Vm., 10. Nm, 11. u. 14. Vm., 15. d. g. T., 16. Nm., 17. Vm., 18. d. g. T., 28. Vm., 29. Nm., 30. d. g. T. — Talnebel: 12. Vm., 13. d. g. T. — Sicht: 6. 300-400 m, 8. Vm. 150-80, 9. I 100, III 600, 10. I 200, III 70, 11. III 100, 12. I 200, 13. I 150, 14. I 70, 15. I 150, III 70, 16. I 70, II 80, 29. Vm. 400. — Hochnebel: 6. nachts-14½h, 10. Nm., 11. Vm., 29. Nm. — Purpurlicht: 8. Ab. — Schneegrenze: 5. 1600 m, 24. 1200. — **Rigi-Kulm.** Nebelmeer: 6. I 1200 m, 7. I 800, 8. bis 11. u. 13. bis 16. je I 600, 18. I 900, 28. I 800, 29. I 700. — Neuschnee: 3. 3 cm, 22. 2, 23. verweht, 25. 1. — **Bevers.** Neuschnee: 21. 9 cm, 22. 3, 23. 4. — **Sitten.** Dunst: 3. u. 16. II. — Neblig: 29. III, 30. d. g. T. — Hochnebel: 3. u. 28. I. — **Lugano.** Nordföhn: 5. 21-22h (NNE), 22. 16-24h (N). **Basel.** Abendrot: 15. auf Ci. — **Säntis.** Grosses Lichtermeer: 23. Ab. — Nebelmeer: 6. d. g. T. 900 m, 7. Vm. 900, 8. Vm. 600, 9. Vm. 700, 10. Vm. 700, 11. d. g. T. 700, 12. bis 16. je Vm. 600, 18. Vm. 900, Nm. 1000, 28. d. g. T. 800-1000, 29. Vm. 800, Nm. 900. 30. Vm. 1500-1800 (strw.). Nebelregen: 5. nachts-8½h, 15-18h. — Neuschnee: 18. 1 cm, 22. u. 23. unbestimmbar, 24. 2, 25. unbestimmbar. — Schneehöhe: 25. 20 cm. Schneegrenze: 25. 1300 m. — **St. Gotthard.** Nebel auf dem Pass: 2. 18h-nachts, 5. d. g. T. — Neuschnee: 21. 15 cm, 22. 40, 23. 20, 25. 5, 29. 20, 30. 15. — Schneehöhe: 25. 45 cm.

Dezember.

Bern. Alpen klar: 2. Vm., 3. u. 4. Nm., 5. u. 15. Vm. — Alpen hell: 9. Nm. — Alpen sichtbar: 9. Vm. — Neblig: 7. 8½-12h, 13. 6¼-10h, 15. 13¾-14¾h, 16. 16¼h-nachts, 22. nachts-Vm., 23. 9¼-9¾h, 24. nachts-9¼h, 28./29. nachts, 30. nachts-8½h. — Schneehöhe: 19. 5.5 cm, 20. 18.5, 21. 25.1, 22. 27.1, 23. 20.1, 24. 18.1, 25. 16.8, 26. 15.8, 27. 15.6, 28. 23.1, 29. 29.1, 30. 28.0, 31. 25.3. — **Neuchâtel.** Alpen sichtbar: 4. u. 12. Nm. — Hochnebel: 8. zeitw. — Schneehöhe: 19. leichte Decke, 20. 13 cm. — **Altdorf.** Neblig: 19. Nm. — Föhn: 8. Nm.-nachts, 10. Nm. bis 12. Ab. — Schneehöhe: 29. 35 cm. - **Genf.** Neuschnee: 19. 1 cm, 20. 27, 21. 23, 24. 4, 28. 2, 29. 2, 30. 3, 31. 4. — **Zürich.** Alpen sichtbar: 5. u. 7. Vm., 11. Nm., 27. Vm. — Alpen schwach sichtbar: 5. Nm. Dunst: 4. 5. 7. 13. je Nm., 22. d. g. T., 24. u. 27. Vm., 29. Nm. Tal neblig: 5. u. 8. Vm., 9. u. 11. d. g. T., 12 u 13. Vm., 14. Nm., 16. d. g. T., 20. Vm., 23. d. g. T., 29. u. 30. Vm. — Sicht: 10. I 200 m, III 200, 14. I 50, II 600, III 50. 15. 70-150, 28. I 600. — Hochnebel: 8. u. 9. Vm., 16. u. 17. d. g. T., 18. Vm. Neuschnee: 19. verweht, 20. 3½ cm, 21. 2, 22. 8, 25. 1. 28. 9½. 29. 10, 30. ½, 31. 5. — Schneehöhe: 23. 7½ cm, 30. 18, 31. 19½. — **Rigi-Kulm.** Tal neblig: 7. Nm. (strichweise), 9. u. 14. (strichw.). Nebelmeer: 7. 900 m, 10. 800, 15. I 550, 16. II 900, 17. I 1700, 20. I 900, 24. II 1300, 25. I 1750, 27. I 1000. — Neuschnee: 1. verweht, 3. 12 cm., 4. verweht, 6. u. 7. 15, 20. u. 21. 2, 22. verweht, 24. 2, 27. 1, 28. verweht, 29. 45, 30. u. 31. verweht. — Schneehöhe: 9. (II) 20 cm, 16. 10, 23. 20, 30. 50. — **Bevers.** Neuschnee: 4. 3 cm, 6. ½, 10. 2, 18. 1, 20. 9, 21. 30, 22. 3, 23. 2, 24. 8, 25. 1, 28. 1, 31. 4. — Schneehöhe: 23. 45 cm, 30. 42. — **Sitten.** Neblig: 1. I, 17. u. 18. d. g. T., 24. u. 25. III. — Hochnebel: 28. d. g. T. — Schneehöhe: 21. 1½ cm, 28. 5½, 31. 21. **Lugano.** Nordföhn: 4. 6-16h, 6. 12½-19h, 29. 15-19h (NNE). — Schneehöhe: 18. ½ cm, 21. 40, 23. 27, 25. u. 26. 30, 30. 20. — **Basel.** Neuschnee: 21. 6 cm, 22. 4, 25. 2, 28. 9, 29. 6, 30. 1. — Schneehöhe: 19. 1 cm, 20. 11, 21. 15, 22. 18, 23. 15, 24. 13, 25. 13, 26. 12, 27. 12, 28. 21, 29. 25, 30. 20, 31. 12. - **Säntis.** Nebelmeer: 5. Vm. 600 m, 7. d. g. T. 800-1000, 8. d. g. T. 800, 9. d. g. T. 600-1500 (strichweise), 10. d. g. T. 800, 11. Vm. 700, 13. Vm. 700 (strw.), 14. d. g. T. 600, 15. d. g. T. 700, 16. Vm. 1200, Nm. 1500, 17. d. g. T. 1600-1800, 18. d. g. T. 1800, 20. d. g. T. 1000, 21. Vm. 2300, 23. d. g. T. 1200-1500, 24. Vm. 1400, 25. d. g. T. 1600. 26. Vm. 2200, Nm. 1600. — Neuschnee: 1. 3 cm, 2. 1, 3. unbestimmbar, 4. 24, 5. 5, 6. 22, 7. 8, 19. unb., 20. 5, 21. 2, 28. 25, 29. 80, 30. 14, 31. unb. — Schneehöhe: 2. 20 cm. 9. 60, 16. 40, 21. 40. 30. 130. — Schneegrenze: 2. 1500 m, 16. 1400. — **St. Gotthard.** Neuschnee: 1. 5 cm, 3. 3, 4. 5, 6. 5, 7. 5, 10. 5, 11. 10, 12. 15, 13. 10, 14. 5, 18. 3, 19. 5, 21. 25, 22. 25, 23. 10, 24. 10, 28. 10, 29. bis 31. je verweht. — Schneehöhe: 2. 70 cm, 9. 65, 16. 85, 23. 110, 30. 100.

1938 **Tägliche Maxima und Minima der Lufttemperatur** **Zürich**

(Nach den Aufzeichnungen des Thermographen)

Tag	Januar Max	Januar Min	Februar Max	Februar Min	März Max	März Min	April Max	April Min	Mai Max	Mai Min	Juni Max	Juni Min	Juli Max	Juli Min	August Max	August Min	Septemb. Max	Septemb. Min	Oktober Max	Oktober Min	Novemb. Max	Novemb. Min	Dezemb. Max	Dezemb. Min
1	-2.2	-6.6	9.3	1.2	12.4	1.7	22.5	6.3	4.9	0.6	30.0	9.6	25.8	12.6	30.1	16.4	18.3	10.3	15.4	11.3	8.4	0.8	**9.0**	4.[illegible]
2	0.0	-6.9	5.0	0.8	10.3	6.6	**23.0**	5.3	12.9	**-0.8**	18.5	7.5	14.9	10.5	28.4	15.3	19.0	9.0	19.3	10.6	8.2	4.8	7.6	4.[illegible]
3	-3.5	-10.8	6.1	0.5	13.8	2.6	20.1	3.1	18.4	1.2	17.4	7.5	16.2	10.1	30.0	15.7	17.0	11.4	11.4	6.1	12.1	2.9	6.7	3.[illegible]
4	-6.0	-12.5	8.4	2.1	15.2	2.1	10.0	0.6	9.3	4.6	23.1	**5.9**	23.1	9.8	31.4	16.7	17.0	10.9	13.8	5.9	12.8	1.7	8.3	-0.[illegible]
5	-3.6	-10.9	8.9	-0.2	16.1	0.4	11.5	-0.3	18.4	2.6	27.2	8.5	18.9	10.7	**32.3**	17.9	18.1	9.5	17.4	7.0	14.4	9.8	5.0	-4.[illegible]
6	-3.4	**-11.3**	7.3	-2.4	16.5	0.3	13.4	1.0	19.9	6.0	25.0	12.9	21.0	10.6	29.7	16.9	15.3	10.0	16.1	8.1	14.2	9.2	6.3	0.[illegible]
7	3.3	-3.4	6.0	-1.1	17.8	1.3	16.6	6.2	20.5	8.4	28.3	10.8	29.2	**9.5**	26.7	15.9	19.3	9.4	18.1	5.4	15.2	5.3	3.0	-1.[illegible]
8	4.0	0.0	4.8	-2.6	15.7	1.2	13.9	3.6	15.8	6.9	31.0	12.3	**31.9**	13.6	23.9	15.6	21.2	9.1	15.7	8.1	**15.3**	4.0	2.9	-1.[illegible]
9	5.4	0.7	4.3	-3.0	17.9	1.7	11.3	0.1	20.2	4.9	31.3	14.9	16.2	11.1	26.5	15.1	18.4	12.6	21.3	7.5	7.1	2.4	6.6	-0.[illegible]
10	7.5	-0.4	7.5	-0.3	13.4	1.9	5.6	-1.3	18.2	7.6	18.1	13.3	17.4	10.7	24.6	15.6	16.2	9.9	**24.7**	9.8	7.1	3.5	2.3	0.[illegible]
11	5.5	0.3	0.9	-1.1	11.6	4.3	7.5	-2.0	19.6	5.4	22.6	12.0	21.4	10.1	25.9	13.9	22.4	9.4	16.5	10.1	9.2	1.7	4.8	0.[illegible]
12	9.1	1.1	1.7	-1.9	11.4	1.4	11.1	-0.7	22.6	5.7	18.3	12.8	20.0	13.8	20.4	14.1	21.7	10.8	15.4	6.6	11.5	2.5	7.1	1.4
13	11.6	3.6	2.8	-2.8	10.5	-1.5	16.2	-0.2	25.5	6.9	14.2	9.7	23.2	13.3	15.4	13.7	21.9	10.3	18.0	5.4	10.9	2.8	6.8	1.[illegible]
14	**12.0**	2.9	3.2	-3.6	12.2	**-2.8**	14.3	5.9	**27.1**	8.2	11.0	9.4	25.2	12.4	19.3	12.7	24.2	11.5	20.0	8.1	14.4	2.2	3.0	-0.[illegible]
15	9.3	2.0	1.1	-4.4	17.2	-1.1	17.2	4.2	26.6	10.4	21.5	10.0	29.9	13.0	22.2	10.7	21.5	10.0	19.8	9.1	11.0	3.1	-0.1	-1.[illegible]
16	7.4	3.3	-0.6	-4.4	19.2	1.1	19.2	2.7	26.4	11.6	20.0	9.9	24.0	15.6	25.6	13.8	17.2	6.9	18.8	8.0	11.2	3.6	1.3	-1.[illegible]
17	8.0	3.8	3.0	**-6.2**	19.7	4.2	15.6	5.0	20.0	9.6	21.8	7.6	23.9	14.0	25.2	15.1	21.2	**5.0**	22.1	9.4	9.6	3.5	-1.2	-8.[illegible]
18	6.3	0.4	3.9	-3.5	19.3	2.4	9.5	1.8	17.6	9.1	26.1	8.7	23.4	13.2	24.1	13.4	24.1	8.6	21.1	10.7	6.1	4.1	-8.3	-11.[illegible]
19	7.4	0.4	4.5	-3.4	19.8	2.7	10.2	-1.0	18.0	8.5	26.1	13.6	23.6	13.5	28.6	11.5	24.0	12.0	17.3	10.3	10.3	4.2	-8.4	-11.[illegible]
20	4.3	0.3	1.5	-3.8	20.0	3.2	6.8	-0.3	10.1	2.9	25.0	15.6	26.7	11.8	27.8	16.7	22.3	11.8	16.1	5.5	13.5	6.7	-4.8	-9.[illegible]
21	3.7	0.4	4.9	-5.9	17.8	4.1	4.3	-1.2	8.0	2.6	28.7	13.2	28.1	13.2	17.0	11.7	23.6	9.3	14.5	4.0	12.7	7.8	-3.6	-9.[illegible]
22	5.4	0.9	6.3	-5.1	18.5	3.2	9.3	**-2.1**	9.0	4.0	29.2	15.6	28.0	14.5	20.8	9.4	24.5	11.0	12.8	3.0	8.7	2.9	-3.2	**-12.4**
23	2.9	1.7	5.1	-3.6	18.2	3.7	9.7	0.0	14.4	8.0	25.0	15.0	27.8	14.2	18.1	8.8	24.8	12.0	4.6	0.9	9.9	3.7	-6.5	-11.[illegible]
24	3.1	-1.1	6.5	-4.2	18.8	3.8	13.8	-0.2	15.3	9.3	28.8	14.7	16.0	13.3	20.7	**7.4**	24.5	12.8	4.2	2.0	11.3	6.7	-4.0	-9.[illegible]
25	5.1	-2.1	8.3	-3.5	19.5	3.4	9.8	2.3	14.8	7.8	**32.6**	15.4	25.3	13.5	21.8	7.6	25.1	11.7	12.5	2.6	10.6	4.5	-5.6	-7.[illegible]
26	5.9	3.0	8.6	-3.6	11.6	2.5	11.7	0.1	21.2	5.7	27.5	17.7	30.7	13.7	22.5	9.3	23.3	12.2	9.9	3.1	10.3	1.7	-3.0	-10.[illegible]
27	2.8	0.0	4.9	-0.5	5.4	2.8	9.5	1.1	26.2	9.2	28.5	16.9	22.0	14.7	21.1	12.7	25.2	12.9	7.2	4.4	9.2	**0.0**	-3.4	-10.[illegible]
28	3.8	-0.7	**10.9**	-1.0	10.4	3.6	15.1	-0.0	13.2	8.0	26.7	16.7	27.7	14.8	19.4	13.8	**25.4**	12.6	4.4	1.0	7.1	0.5	1.0	-3.5
29	7.4	0.6			12.6	4.2	16.8	2.6	15.5	9.1	28.6	16.3	27.7	14.9	22.2	13.9	23.1	13.4	7.0	2.2	3.9	0.6	0.1	-6.[illegible]
30	4.6	0.5			17.5	6.6	6.1	2.3	16.8	9.6	27.0	17.4	29.8	15.2	22.6	13.0	17.9	15.3	6.1	3.3	7.0	2.1	2.3	-6.5
31	5.9	0.1			**21.2**	8.5			22.7	10.0			30.7	15.4	13.5	11.1			8.4	0.4			3.8	-0.2
Mittl. Max.	4.29		5.18		15.53		12.70		17.71		24.64		24.18		23.80		21.26		14.51		10.44		1.17	
Mittl. Min.	-1.31		-2.52		2.41		1.47		6.57		12.38		12.82		13.40		10.72		6.13		3.64		-3.96	
Differenz	5.60		7.70		13.12		11.23		11.14		12.26		11.36		10.40		10.54		8.38		6.80		5.13	
Abs. Max.	12.0		10.9		21.2		23.0		27.1		32.6		31.9		32.3		25.4		24.7		15.3		9.0	
Abs. Min.	-11.3		-6.2		-2.8		-2.1		-0.8		5.9		9.5		7.4		5.0		0.4		0.0		-12.4	
Differenz	23.3		17.1		24.0		25.1		27.9		26.7		22.4		24.9		20.4		24.3		15.3		21.4	

Stündliche Monatsmittel der Lufttemperatur

	Januar	Februar	März	April	Mai	Juni	Juli	August	Septemb.	Oktober	Novemb.	Dezemb.	Jahr
1^{30}	0.28	-0.83	4.82	3.67	8.27	14.27	14.54	14.94	12.04	8.35	5.10	-2.23	6.94
2^{30}	0.16	-1.12	4.51	3.23	8.04	13.83	14.13	14.77	11.91	8.12	4.90	-2.26	6.68
3^{30}	0.17	-1.31	4.06	2.87	7.76	13.47	13.86	14.55	11.84	7.90	4.81	-2.29	6.47
4^{30}	0.19	-1.49	3.64	2.49	7.55	13.17	13.62	14.28	11.70	7.64	4.88	-2.41	6.27
5^{30}	0.26	-1.47	3.35	2.27	7.27	13.20	13.55	14.14	11.48	7.56	4.68	-2.41	6.16
6^{30}	0.13	-1.40	3.00	2.39	7.59	13.72	13.99	14.40	11.48	7.36	4.56	-2.44	6.23
7^{30}	0.33	-1.35	3.26	3.29	8.72	15.01	14.98	15.12	12.20	7.63	4.54	-2.45	6.77
8^{30}	0.33	-1.24	4.52	4.54	9.71	16.07	16.05	16.10	12.95	8.04	4.70	-2.38	7.45
9^{30}	0.86	-0.42	6.95	6.63	11.48	18.34	17.80	17.81	14.51	9.18	5.54	-1.89	8.90
10^{30}	1.75	0.59	9.00	8.28	12.82	19.68	19.54	19.39	16.56	10.66	6.54	-1.44	10.28
11^{30}	2.67	1.96	11.16	9.79	14.23	20.92	20.79	20.69	18.25	12.06	7.72	-0.76	11.62
12^{30}	2.94	3.09	12.80	10.67	15.41	21.99	21.79	21.60	19.42	12.98	8.97	-0.00	12.64
13^{30}	3.02	3.42	13.58	10.77	15.47	21.98	21.81	21.63	19.70	13.18	9.35	-0.09	12.82
14^{30}	3.17	4.12	14.74	11.11	16.15	22.64	22.44	22.19	20.04	13.44	9.65	0.09	13.32
15^{30}	2.97	3.92	14.16	10.47	16.18	22.74	21.75	22.10	19.61	13.05	9.04	-0.19	12.98
16^{30}	2.52	3.24	13.77	9.99	15.89	22.36	21.56	21.80	19.15	12.22	8.36	-0.66	12.52
17^{30}	1.83	2.49	12.90	9.60	15.10	21.91	20.97	20.93	17.96	10.91	7.28	-1.25	11.72
18^{30}	1.71	1.75	10.92	8.37	14.01	20.70	19.98	19.55	16.27	9.93	6.88	-1.49	10.71
19^{30}	1.33	1.10	9.12	7.06	12.63	19.12	18.09	17.67	14.98	9.50	6.36	-1.70	9.61
20^{30}	1.31	0.71	8.23	6.12	11.51	17.71	16.91	16.69	14.17	8.93	6.37	-1.80	8.90
21^{30}	1.36	0.54	7.61	5.39	10.79	16.78	16.09	16.26	13.61	8.64	6.00	-2.04	8.42
22^{30}	1.08	0.11	6.79	4.82	9.98	16.10	15.58	15.85	13.23	8.48	5.61	-2.11	7.96
23^{30}	0.87	-0.32	6.21	4.37	9.55	15.40	15.16	15.41	12.88	8.27	5.37	-2.18	7.58
0^{30}	0.59	-0.52	5.67	3.89	9.03	14.96	14.91	15.06	12.49	8.03	5.36	-2.30	7.26
Mittel	1.33	0.65	8.12	6.34	11.47	17.75	17.50	17.62	14.93	9.67	6.36	-1.61	9.18

1938

Tägliche Maxima und Minima der Lufttemperatur

Säntis

(Nach den Aufzeichnungen des Thermographen)

Tag	Januar		Februar		März		April		Mai		Juni		Juli		August		Septemb.		Oktober		November		Dezember	
	Max.	Min.	Max.	Min.	Max.	Min.	Max.	Min.	Max.	Min.	Max.	Min.	Max.	Min.	Max.	Min.	Max.	Min.	Max.	Min.	Max.	Min.	Max.	Min.
1	-16.0	-18.9	-5.3	-10.1	-1.8	-4.7	1.2	-1.9	-4.3	-10.4	9.1	2.7	13.6	0.6	11.4	6.1	2.4	-0.7	3.6	-1.4	-1.2	-5.6	-3.5	-7.6
2	-17.0	-21.0	-10.4	-13.2	-5.6	-11.0	1.4	-2.4	-6.1	-9.2	5.9	-3.0	1.0	-2.4	10.7	6.2	6.2	-0.4	3.1	-1.6	-2.1	-6.7	-4.9	-10.0
3	-17.5	-22.0	-7.3	-13.3	-2.8	-8.7	0.6	-13.0	-0.4	-6.4	-1.1	-4.9	-1.0	-2.6	12.2	6.4	6.6	1.0	0.4	-5.6	-3.6	-7.6	-6.6	-10.0
4	-16.6	-21.0	-3.2	-7.8	-1.4	-8.2	-9.6	-14.2	1.5	-4.5	6.1	-5.3	3.2	-2.2	13.7	8.5	2.3	-1.4	3.7	-3.6	0.1	-3.4	-9.2	-12.4
5	-18.3	-20.3	-2.6	-4.7	1.0	-3.0	-6.7	-13.5	1.2	-3.6	7.6	2.3	2.0	-2.2	14.6	9.3	-1.1	-3.3	2.1	-3.8	1.8	-1.6	-1.6	-10.4
6	-13.2	-18.2	-2.5	-5.5	-0.1	-2.9	-5.1	-10.2	1.1	-3.5	5.3	1.6	5.0	-2.1	14.8	7.4	-2.2	-3.5	-1.0	-4.5	6.9	-0.4	-2.6	-12.8
7	-10.1	-14.0	-2.3	-5.0	-3.0	-5.5	-2.8	-6.4	-0.5	-3.0	10.6	3.3	10.3	1.4	10.6	7.0	1.3	-3.3	3.2	-5.0	8.4	4.1	-4.8	-11.0
8	-9.4	-11.1	-0.4	-6.3	0.0	-5.5	-4.2	-11.4	-1.2	-3.3	12.1	6.2	11.6	2.0	6.8	4.7	5.1	-1.7	0.7	-5.3	7.1	2.0	-1.4	-4.8
9	-5.6	-11.2	-7.0	-9.5	-1.4	-3.8	-9.1	-16.0	3.2	-3.1	11.8	5.1	3.4	-2.6	9.8	5.0	6.3	2.3	3.9	-5.5	5.9	1.8	-2.2	-3.9
10	-10.2	-11.8	-7.0	-12.0	-0.2	-3.8	-14.1	-16.9	-0.6	-4.2	6.2	1.8	-1.6	-2.9	8.3	4.0	5.2	0.3	8.2	3.3	6.6	-0.1	-1.9	-3.0
11	-10.0	-11.8	-12.8	-15.8	-2.5	-8.4	-13.5	-17.1	-0.4	-4.0	10.2	1.7	2.0	-3.2	10.0	2.9	4.6	0.0	3.3	0.1	4.9	-0.1	-1.9	-2.7
12	-3.4	-10.8	-13.0	-16.8	-7.6	-10.4	-5.0	-13.9	4.4	-2.0	4.4	1.5	4.4	1.3	3.0	2.0	6.4	1.6	3.8	-0.6	3.0	0.0	0.4	-2.4
13	-3.0	-4.8	-12.4	-16.1	-5.8	-12.3	-3.9	-6.6	4.2	-1.0	3.0	-1.6	4.0	2.2	2.3	0.5	10.7	3.3	5.5	2.6	5.7	0.8	0.4	-2.4
14	0.0	-7.0	-15.5	-18.2	-2.2	-5.3	-2.8	-7.8	7.0	0.4	-0.6	-1.2	9.7	2.8	2.6	1.3	9.7	4.8	7.1	3.4	4.7	0.2	-1.9	-3.9
15	-0.5	-10.2	-12.1	-17.7	-1.8	-5.4	-2.0	-8.5	5.3	0.4	1.2	-1.6	12.4	5.0	5.8	0.6	4.6	-1.6	9.2	4.2	4.2	-0.4	-2.8	-4.5
16	-4.3	-10.8	-11.7	-13.8	-3.0	-4.8	-1.8	-4.4	5.3	0.1	1.4	-1.1	9.4	4.8	10.1	3.0	2.8	-3.2	9.4	3.8	0.8	-2.4	-4.1	-7.2
17	-1.5	-5.0	-7.8	-13.3	-0.5	-4.9	1.1	-6.6	4.0	-3.0	4.1	0.4	8.2	3.2	6.2	3.2	5.1	2.3	7.5	2.5	-1.6	-6.0	-7.1	-12.4
18	-5.7	-10.8	-5.2	-7.4	2.5	-3.5	-6.6	-13.6	0.3	-4.5	5.9	1.3	8.0	2.5	6.2	0.4	7.2	2.8	4.2	1.9	-1.8	-7.9	-12.8	-14.6
19	-4.5	-9.4	-6.4	-8.5	4.4	-1.7	-10.4	-14.0	3.4	-3.6	6.6	3.9	7.2	2.4	14.0	6.6	7.6	2.3	1.6	-3.8	-1.2	-3.8	-7.7	-12.6
20	-9.5	-12.0	-4.0	-8.0	0.9	-3.5	-11.8	-14.9	-2.2	-8.7	8.9	3.5	9.2	2.7	13.6	6.5	5.7	0.6	-2.1	-4.3	-1.2	-4.6	-6.2	-7.6
21	-6.0	-10.6	-5.1	-9.0	1.0	-3.6	-11.3	-15.9	0.4	-8.7	12.4	4.9	9.8	4.6	6.4	-1.5	9.0	2.4	0.7	-2.5	-1.4	-3.9	-6.4	-12.9
22	-3.0	-7.6	-2.7	-9.0	0.0	-5.0	-10.5	-15.8	0.3	-2.4	12.7	5.4	10.6	4.3	-0.2	-4.0	9.3	4.8	0.1	-0.7	-3.6	-9.7	-15.0	-20.6
23	0.6	-5.4	-4.3	-9.6	-0.8	-5.0	-7.6	-14.1	0.0	-3.0	5.7	3.6	12.0	4.6	-1.7	-4.1	9.5	4.8	1.0	-3.8	-0.6	-10.6	-7.6	-16.6
24	1.4	-3.1	-4.3	-6.9	0.2	-4.5	-6.6	-10.5	-1.0	-5.1	10.8	4.6	6.3	2.4	1.8	-4.0	7.3	4.3	0.8	-1.8	-0.4	-7.0	-9.3	-12.0
25	1.8	-7.5	-1.9	-6.0	-0.2	-4.4	-7.4	-11.5	-3.7	-5.4	13.8	7.9	9.4	3.5	5.0	-2.1	8.6	4.4	2.9	0.2	-6.3	-9.7	-11.4	-13.5
26	-7.5	-9.2	-1.2	-4.2	-4.5	-12.1	-8.6	-13.0	2.2	-4.5	10.3	6.4	14.4	5.4	8.2	2.4	8.4	4.0	2.5	-1.8	-3.5	-7.4	-14.6	-18.4
27	-7.4	-15.3	-2.3	-9.0	-7.8	-12.8	-5.8	-11.6	3.5	-0.3	11.7	6.0	11.7	5.4	7.7	1.9	8.2	4.2	-0.5	-7.7	-5.0	-8.4	-12.4	-15.3
28	-6.2	-15.9	-3.7	-10.5	-6.5	-9.4	-4.6	-10.9	1.1	-4.8	12.6	6.8	11.1	6.0	7.8	2.6	9.1	4.2	-2.8	-8.0	-2.0	-5.8	-12.4	-15.0
29	-4.0	-12.8			-3.0	-6.8	-1.8	-7.0	-2.4	-5.0	10.6	6.0	13.1	7.2	8.0	2.6	8.8	5.4	-4.4	-6.5	0.2	-2.3	-14.9	-17.0
30	-8.0	-13.9			-2.6	-5.7	-4.3	-9.6	0.7	-2.7	12.7	6.9	15.9	7.7	6.8	2.0	5.6	3.2	-3.8	-6.5	-0.4	-4.6	-8.6	-16.6
31	-6.4	-14.5			0.5	-3.4			2.8	-2.8			13.8	7.4	2.0	-0.5			-1.5	-5.0			-12.4	-14.0
Mittl. Max	-7.13		-6.14		-1.76		-5.79		0.94		7.73		8.07		7.69		6.01		2.34		0.81		-6.69	
Mittl. Min.	-12.19		-10.27		-6.13		-11.11		-3.93		2.50		2.23		2.80		1.46		-2.17		-3.70		-10.58	
Differenz	5.06		4.13		4.37		5.32		4.87		5.23		5.84		4.89		4.55		4.51		4.51		3.89	
Abs. Max	1.8		1.2		4.4		1.4		7.0		13.8		15.9		14.8		10.7		9.4		8.4		0.4	
Abs. Min.	-22.0		-18.2		-12.8		-17.1		-10.4		-5.3		-3.2		-4.1		-3.5		-8.0		-10.6		-20.6	
Differenz	23.8		19.4		17.2		18.5		17.4		19.1		19.1		18.9		14.2		17.4		19.0		21.0	

Stündliche Monatsmittel der Lufttemperatur

	Januar	Februar	März	April	Mai	Juni	Juli	August	Sept.	Okt.	Nov.	Dez.	Jahr
1^{30}	-10.03	-8.63	-4.76	-9.39	-2.74	3.70	3.44	4.15	2.53	-0.44	-2.21	-8.52	-2.74
2^{30}	-9.99	-8.52	-4.69	-9.44	-2.73	3.59	3.44	4.07	2.45	-0.30	-2.28	-8.65	-2.75
3^{30}	-9.96	-8.55	-4.75	-9.46	-2.78	3.52	3.39	4.05	2.45	-0.26	-2.29	-8.84	-2.79
4^{30}	-10.04	-8.75	-4.75	-9.46	-2.81	3.51	3.37	3.99	2.37	-0.22	-2.33	-9.01	-2.84
5^{30}	-9.97	-8.92	-4.81	-9.40	-2.60	3.81	3.58	4.06	2.28	-0.18	-2.33	-9.01	-2.79
6^{30}	-9.94	-9.09	-4.88	-9.18	-2.06	4.20	3.98	4.29	2.42	-0.25	-2.35	-8.98	-2.65
7^{30}	-9.83	-9.09	-4.68	-8.73	-1.53	4.57	4.36	4.76	2.88	-0.23	-2.33	-8.85	-2.39
8^{30}	-9.66	-8.80	-4.20	-8.53	-1.16	4.99	4.87	5.01	3.33	0.04	-1.88	-8.67	-2.06
9^{30}	-9.41	-8.23	-3.57	-8.09	-0.96	5.54	5.44	5.49	3.99	0.52	-1.30	-8.37	-1.58
10^{30}	-9.14	-7.62	-3.17	-7.44	-0.75	6.13	6.00	6.14	4.64	1.12	-0.51	-7.94	-1.04
11^{30}	-9.14	-7.54	-2.93	-7.26	-0.56	6.49	6.39	6.57	4.88	1.31	-0.20	-7.84	-0.82
12^{30}	-9.17	-7.36	-2.79	-6.93	-0.24	6.72	6.98	6.89	5.23	1.48	0.05	-7.80	-0.58
13^{30}	-9.32	-7.28	-2.74	-6.47	-0.02	7.04	7.33	7.13	5.52	1.51	0.07	-7.79	-0.42
14^{30}	-9.60	-7.39	-2.86	-6.48	0.00	7.10	7.39	6.99	5.42	1.24	-0.18	-8.00	-0.53
15^{30}	-9.78	-7.61	-3.12	-6.88	-0.32	6.84	7.19	6.44	5.17	0.90	-0.56	-8.22	-0.83
16^{30}	-10.09	-7.81	-3.29	-7.24	-0.59	6.28	6.77	5.95	4.76	0.65	-1.06	-8.46	-1.18
17^{30}	-10.34	-8.03	-3.51	-7.82	-0.74	6.07	6.39	5.70	4.29	0.39	-1.33	-8.67	-1.47
18^{30}	-10.24	-8.17	-3.84	-8.23	-1.03	5.80	5.89	5.43	3.94	0.18	-1.55	-8.73	-1.71
19^{30}	-10.15	-8.20	-4.15	-8.84	-1.30	5.39	5.22	4.94	3.42	-0.05	-1.70	-8.74	-2.02
20^{30}	-9.96	-8.20	-4.32	-9.15	1.68	4.83	4.48	4.58	3.19	-0.24	-1.80	-8.72	-2.25
21^{30}	-9.71	-8.18	-4.42	-9.28	1.92	4.45	3.88	4.37	3.06	-0.41	-1.84	-8.68	-2.39
22^{30}	-9.75	-8.20	-4.50	-9.39	2.06	4.24	3.68	4.17	2.93	-0.54	-1.93	-8.74	-2.51
23^{30}	-9.78	-8.24	-4.54	-9.49	2.17	4.09	3.60	4.04	2.76	-0.64	-2.04	-8.79	-2.60
0^{30}	-9.70	-8.47	-4.61	-9.58	2.25	3.98	3.54	3.89	2.72	-0.73	-2.12	-8.80	-2.68
Mittel	-9.78	-8.20	-3.99	-8.42	-1.46	5.12	5.03	5.13	3.61	0.20	-1.50	-8.54	-1.90

Temperatur-Minima 1938.

(Ablesungen an den Minimumthermometern)

Tag	Januar Bern	Neuchâtel	Genf	Basel	Altdorf	Bevers	Lugano	Februar Bern	Neuchâtel	Genf	Basel	Altdorf	Bevers	Lugano	März Bern	Neuchâtel	Genf	Basel	Altdorf	Bevers	Lugano
1	-9.7	-9.1	**-10.0**	-8.2	-6.3	-22.5	-6.2	-0.3	2.5	3.0	3.9	-0.1	-15.7	-2.2	-0.2	-0.4	1.3	2.2	1.3	-5.5	0.[illegible]
2	-8.7	-7.1	-6.8	-8.1	-6.4	-22.5	-6.4	0.4	-0.6	1.4	2.0	1.1	-11.5	-2.0	1.2	0.7	4.3	1.3	1.1	-7.2	1.[illegible]
3	-8.7	-9.2	-5.8	-10.1	-10.5	-25.0	-6.2	-1.0	-2.3	0.8	-0.8	1.1	-12.2	2.2	1.6	0.4	0.5	2.2	1.3	-7.5	-0.[illegible]
4	-12.2	**-11.6**	-8.3	**-16.0**	-8.4	**-26.6**	-7.0	-0.8	-0.6	1.8	2.9	-0.1	-13.5	-1.4	2.1	2.9	5.0	0.1	1.7	-6.5	10.[illegible]
5	**-14.2**	**-11.6**	-8.2	-14.1	**-12.2**	-26.5	**-8.4**	-1.5	-2.2	-1.9	3.0	-1.7	-14.5	-1.2	-0.9	0.3	1.0	-2.0	-0.5	-11.4	4.[illegible]
6	-14.1	-11.5	-8.0	-8.2	-9.4	-17.2	-6.8	-2.1	-2.4	-2.3	-0.8	-2.2	-16.4	-1.4	-0.6	-0.9	0.0	0.9	-0.1	-11.0	1.[illegible]
7	-13.2	-4.2	-4.0	-4.1	-4.9	-15.6	-6.4	-3.0	-5.5	-4.5	-2.4	-2.8	-16.0	-2.0	0.3	-0.5	0.0	1.2	1.1	-11.2	1.[illegible]
8	-3.0	-0.8	0.8	0.5	-0.8	-14.6	-5.4	-2.7	-4.1	-3.2	-2.4	-0.9	-16.1	-1.8	0.1	0.0	0.2	-2.0	0.1	-10.5	4.[illegible]
9	-0.2	1.8	3.8	1.2	0.1	-13.5	-5.0	-3.8	-2.7	-3.0	-2.3	-3.2	-16.5	-2.2	0.4	-0.6	0.0	1.3	0.7	-10.4	2.[illegible]
10	-1.0	0.8	3.3	0.5	-3.3	-14.0	-3.2	-3.5	-0.1	1.6	2.5	0.0	-15.0	-2.0	1.1	-0.1	0.0	0.8	1.3	-10.0	1.[illegible]
11	2.0	1.3	2.6	1.2	0.0	-16.5	-3.8	-0.7	-1.4	0.6	-0.2	-0.6	-11.5	-1.0	1.4	1.2	1.6	3.9	4.6	-5.0	2.[illegible]
12	2.3	1.4	2.0	2.6	1.5	-11.0	-2.0	-1.7	-2.4	-1.0	-1.7	-1.4	-10.1	3.0	0.9	2.0	4.2	-1.7	1.8	-9.8	4.[illegible]
13	2.7	3.7	4.6	6.2	1.8	-9.7	-2.6	-2.7	-3.8	-1.6	-2.6	-1.8	-15.0	-1.4	-1.4	0.9	1.0	-2.5	-1.1	-12.6	1.[illegible]
14	1.1	2.3	3.0	1.7	0.8	-9.8	-0.8	-3.4	-5.4	-2.0	-3.1	-2.1	-16.5	-1.0	**-2.9**	**-3.3**	**-2.0**	**-2.6**	**-2.9**	**-15.5**	**-1.8**
15	1.7	0.3	2.2	2.1	1.3	-8.6	0.6	-4.4	-5.4	-2.6	-3.2	-6.3	-20.1	0.2	-2.6	-2.4	-1.4	-0.4	-1.0	-11.5	-0.[illegible]
16	1.7	0.4	2.7	3.1	1.7	-9.7	-0.4	-6.0	-5.7	-3.3	-3.7	-6.3	-19.0	-0.8	-0.7	-1.0	-1.0	2.6	1.1	-10.9	0.[illegible]
17	1.7	3.0	3.2	3.8	3.7	-5.6	-1.6	**-6.2**	-5.9	-3.5	**-9.2**	**-9.2**	**-20.5**	0.0	0.3	0.3	0.4	4.5	3.7	-10.4	1.[illegible]
18	3.0	1.3	2.6	0.6	0.9	-8.9	-1.4	-5.3	-3.1	-2.0	-2.2	-5.4	-10.5	-0.4	2.2	1.5	1.8	1.9	3.1	-8.8	3.[illegible]
19	1.7	1.2	0.0	-0.3	0.8	-12.2	0.0	-4.2	-1.9	-0.3	-3.7	-4.0	-12.2	0.8	2.2	1.5	1.9	3.4	2.0	-8.0	3.4
20	1.0	0.6	0.0	2.6	1.5	-6.5	-1.0	-1.6	-2.9	0.7	-4.4	-0.2	-14.6	0.4	2.5	2.0	4.5	2.3	3.8	-6.0	6.[illegible]
21	1.0	1.0	2.2	2.4	-0.1	-15.6	1.6	-4.0	-4.7	-0.4	-6.8	-2.7	-18.5	-1.8	2.5	1.6	3.3	2.8	4.8	-5.5	3.4
22	1.2	0.8	2.8	2.6	-0.8	-18.0	-1.4	-5.6	**-6.3**	**-5.0**	-5.4	-6.3	-17.5	-1.2	2.0	1.4	2.6	2.8	5.0	-2.2	4.4
23	0.1	0.4	2.7	3.3	-2.9	-15.2	-1.6	-5.3	-4.5	-4.0	-3.0	-5.2	-17.5	**-2.4**	2.3	1.6	2.6	3.6	4.0	-5.0	4.[illegible]
24	-1.0	-0.6	1.8	1.2	-1.2	-12.0	-1.4	-4.6	-5.3	-4.3	-3.1	-5.4	-19.5	-2.2	2.4	2.0	3.3	2.8	3.8	-5.5	3.8
25	-3.0	-2.5	-1.5	-1.2	-4.5	-11.5	-0.4	-4.6	-4.6	-3.5	-2.3	-5.4	-17.0	-1.2	2.1	1.9	3.0	3.2	3.7	-6.6	4.4
26	-3.0	0.6	-1.0	3.0	-1.8	-11.5	-0.2	-3.5	-4.2	-2.9	-2.0	-4.8	-17.2	-2.0	2.5	2.4	6.0	2.6	3.3	-3.0	7.4
27	0.0	-1.7	0.2	0.3	0.8	-11.2	2.8	-2.7	-1.0	3.3	0.4	-2.1	-15.6	-1.0	2.3	1.3	2.5	2.9	1.7	-4.5	7.2
28	-0.9	-2.1	-1.3	-0.2	-0.3	-16.0	1.6	-0.9	-2.2	-0.5	-2.2	1.1	-7.8	-1.0	3.1	2.9	4.0	7.2	1.8	-3.0	5.4
29	-0.6	-0.8	1.6	1.3	0.3	-14.6	-1.8								1.5	0.8	1.4	4.2	3.9	-3.2	6.4
30	0.6	-0.5	2.0	1.3	0.9	-7.8	0.2								1.8	5.4	3.7	7.8	7.3	-5.8	3.[illegible]
31	-0.6	-1.2	0.0	0.3	0.3	-9.8	0.2								4.7	4.2	4.2	7.3	6.8	0.3	8.2
Mittel	-2.2	-1.7	-0.4	-0.9	-1.8	-14.2	-2.4	-3.1	-3.2	-1.4	-1.9	-2.4	-15.3	-1.0	1.1	1.0	1.9	2.1	2.2	-7.5	3.5

Tag	April Bern	Neuchâtel	Genf	Basel	Altdorf	Bevers	Lugano	Mai Bern	Neuchâtel	Genf	Basel	Altdorf	Bevers	Lugano	Juni Bern	Neuchâtel	Genf	Basel	Altdorf	Bevers	Lugano
1	5.5	4.9	5.6	3.1	5.8	-4.2	7.6	2.7	-0.3	**-1.0**	0.8	0.8	-4.1	4.2	10.0	8.2	10.0	9.3	13.1	2.0	9.8
2	5.0	4.0	4.8	2.9	5.8	-4.8	9.4	0.5	0.2	3.0	-0.8	**0.5**	**-8.1**	3.6	7.7	7.3	10.2	9.1	9.1	9.0	13.5
3	4.7	3.7	6.0	2.8	2.3	-5.0	6.8	**0.3**	**-1.1**	0.0	**-2.0**	1.3	-3.0	**2.6**	7.4	6.0	7.8	7.2	7.3	-2.0	10.4
4	0.3	-0.7	2.0	-1.1	2.0	-6.8	7.2	2.6	5.7	4.8	6.6	6.3	-6.4	9.8	**5.8**	**5.4**	**5.8**	**4.4**	**6.2**	**-4.0**	**8.6**
5	-0.7	0.1	1.3	-1.2	0.2	-10.4	1.0	4.1	4.0	7.5	2.9	6.7	-2.4	8.6	9.0	7.5	9.0	8.1	8.7	-0.2	10.6
6	-0.1	-0.4	0.0	1.1	1.8	-8.0	0.6	4.4	6.4	8.0	4.3	8.6	0.0	7.0	11.8	9.4	11.3	9.3	13.9	4.1	12.2
7	0.8	2.0	2.0	5.1	2.2	-1.5	2.6	8.5	7.3	8.5	7.9	7.8	-2.2	7.6	10.9	9.8	10.8	10.3	11.8	3.1	14.6
8	3.3	4.0	3.5	3.3	6.9	-3.5	6.4	9.0	5.7	9.0	4.8	9.8	-1.1	6.8	13.1	12.0	13.0	12.4	14.1	3.5	15.8
9	-0.5	-1.4	1.0	2.3	2.9	-5.3	3.4	4.3	4.9	6.3	0.1	7.3	-1.9	9.6	14.4	13.3	15.0	13.9	15.8	4.0	18.2
10	**-1.5**	-1.6	0.8	-2.9	0.6	-8.9	4.4	6.3	8.1	10.5	5.3	8.0	0.0	8.6	14.0	13.4	16.5	15.8	15.3	7.4	15.6
11	-1.3	-2.2	-0.3	-5.2	**-2.3**	-12.2	-0.2	6.3	5.6	9.5	2.6	9.3	2.0	8.2	13.0	11.7	14.0	12.3	14.5	4.5	13.6
12	-1.0	0.1	1.3	**-5.4**	-1.7	-10.5	-0.8	5.7	6.1	7.0	1.8	6.8	-3.5	10.0	11.8	9.1	10.4	12.3	14.1	8.2	12.0
13	-0.2	-0.1	0.0	-2.7	0.2	-8.5	0.6	7.2	6.1	9.0	4.7	8.4	-3.7	10.6	9.0	7.8	9.0	9.1	11.5	4.7	11.8
14	1.4	3.3	6.0	6.2	5.2	-2.8	10.4	8.3	7.0	9.0	8.3	10.1	-2.0	7.6	8.9	7.8	10.5	9.3	11.8	4.2	11.8
15	3.6	3.0	5.7	0.3	3.2	-5.2	6.2	9.6	9.9	12.8	9.6	14.9	0.7	9.6	9.3	7.0	8.2	10.1	11.7	5.0	11.6
16	2.7	1.7	3.0	0.3	3.6	-5.4	4.8	10.4	10.1	11.3	11.8	13.5	4.0	11.8	10.8	10.2	12.3	10.8	12.7	5.0	13.6
17	3.6	6.4	6.0	1.2	4.4	-5.5	7.0	9.5	8.7	10.7	9.1	13.4	3.2	11.6	7.8	7.1	11.0	5.3	8.7	-1.2	11.4
18	2.7	2.5	4.2	1.1	1.4	-4.2	5.8	8.8	7.6	9.1	8.4	10.8	1.8	9.0	9.7	8.3	12.0	6.7	12.4	0.5	13.8
19	-0.5	-1.4	1.2	-2.9	1.3	-9.3	2.4	7.3	6.0	8.0	4.7	9.3	1.4	8.6	12.3	12.5	15.0	13.3	14.8	3.2	15.6
20	0.3	-0.6	1.6	0.4	0.6	-10.2	0.2	3.5	3.1	6.9	5.9	4.5	-2.0	8.6	12.8	11.9	13.0	12.9	16.3	4.2	14.8
21	-1.4	-3.4	-2.0	-3.1	0.7	-11.2	1.2	3.1	2.1	4.5	5.0	4.2	-3.0	6.8	12.8	11.6	13.6	10.0	13.8	4.5	15.8
22	-1.3	**-3.8**	-1.0	-1.0	-2.1	**-13.0**	**-2.0**	3.4	4.5	6.0	7.1	6.3	-0.4	7.6	15.2	14.4	17.8	14.6	16.4	8.6	18.8
23	-1.0	-2.1	**-2.3**	-0.8	-0.1	-11.5	-1.0	6.5	6.5	8.5	9.1	5.9	1.0	10.0	14.9	13.5	15.3	13.9	16.0	8.6	17.0
24	-0.7	-2.1	-0.4	-1.9	0.7	-9.0	1.4	8.3	9.8	10.8	9.9	8.9	3.0	7.8	15.0	13.2	15.0	14.4	15.7	7.0	15.8
25	0.4	1.0	0.5	2.1	4.2	-5.1	2.6	7.2	7.1	8.2	7.9	8.3	1.1	13.8	16.2	14.5	16.6	15.2	15.9	6.2	17.2
26	0.6	1.0	3.4	-2.2	2.3	-7.2	3.0	5.8	3.7	5.0	5.3	6.3	-2.1	9.8	18.7	19.3	21.2	19.8	17.7	9.3	19.2
27	-0.4	0.0	0.9	-1.7	0.2	-7.2	4.2	8.5	7.9	8.5	7.1	10.3	1.6	11.4	17.6	15.0	17.0	13.9	16.8	6.6	17.4
28	-0.9	-1.9	0.6	-3.3	-0.2	-11.4	0.8	7.0	6.3	8.0	8.3	9.3	1.3	8.4	17.9	18.2	17.6	16.6	17.0	7.2	17.6
29	1.5	1.7	3.0	-1.4	2.2	-4.0	5.6	7.3	6.9	9.0	9.3	7.8	-0.4	5.8	15.5	15.4	18.0	14.7	16.9	7.8	19.0
30	3.2	1.6	4.6	2.4	3.7	-1.5	6.8	8.6	9.2	11.3	10.1	9.3	0.0	8.6	17.5	15.3	15.0	15.2	18.4	11.4	19.6
31								10.3	8.4	12.4	11.4	10.8	4.2	9.8							
Mittel	0.9	0.6	2.1	-0.1	1.9	-7.1	3.6	6.3	5.9	7.8	6.0	7.9	-0.7	8.5	12.4	11.2	13.1	11.7	13.6	4.8	14.6

Temperatur-Minima 1938.

Tag	Juli Bern	Juli Neuchâtel	Juli Genf	Juli Basel	Juli Altdorf	Juli Bevers	Juli Lugano	August Bern	August Neuchâtel	August Genf	August Basel	August Altdorf	August Bevers	August Lugano	September Bern	September Neuchâtel	September Genf	September Basel	September Altdorf	September Bevers	September Lugano
1	12.8	11.7	13.3	13.2	17.3	10.2	17.6	16.3	15.9	17.2	16.8	17.1	6.7	19.8	10.4	9.5	11.0	10.8	12.5	5.1	13.8
2	11.0	9.8	11.8	11.2	**10.0**	4.0	11.2	15.5	15.7	17.0	14.1	16.3	6.6	18.4	8.8	9.3	9.2	7.8	9.5	1.9	12.2
3	**9.3**	**8.1**	9.6	10.3	10.7	1.5	10.8	15.1	14.6	16.0	14.8	15.6	7.0	18.4	9.9	11.9	13.8	12.5	11.4	3.0	12.8
4	11.4	9.3	11.0	9.8	10.9	3.5	12.4	16.5	15.4	16.4	15.8	16.3	6.7	18.2	12.2	10.5	13.0	12.1	11.8	6.2	12.8
5	10.9	10.0	12.5	12.2	13.1	5.2	12.8	18.1	16.9	18.8	18.3	18.8	6.3	17.4	9.5	8.0	8.6	8.2	10.0	3.2	9.0
6	10.6	10.3	11.8	12.2	11.7	3.0	11.0	17.9	13.5	17.0	17.1	17.4	7.7	18.2	9.5	8.9	**7.5**	10.1	9.3	3.0	**7.8**
7	9.9	8.2	10.0	**8.7**	11.0	5.2	11.2	15.3	14.4	16.6	14.5	16.4	6.9	16.0	9.1	8.4	9.2	10.1	9.0	0.8	10.0
8	12.3	11.6	12.8	13.5	17.2	5.2	15.4	16.5	14.0	16.2	16.1	12.6	5.3	16.8	10.6	9.0	12.5	9.2	9.3	2.8	10.6
9	12.2	8.7	11.4	10.7	13.3	7.5	16.4	13.5	13.1	14.5	14.7	14.7	7.3	15.2	11.3	12.4	12.5	11.7	14.9	2.0	12.0
10	10.7	9.1	11.0	10.9	11.8	3.5	16.6	15.1	14.1	14.5	16.8	16.6	7.2	13.2	12.0	10.4	12.0	10.3	11.9	3.8	12.6
11	9.4	8.9	**9.0**	10.2	11.8	**1.0**	10.6	13.3	12.2	13.8	12.8	13.7	4.8	15.6	9.2	8.0	12.0	7.9	11.0	−0.2	9.8
12	11.1	13.3	15.3	14.5	13.1	4.0	12.4	14.1	12.4	15.0	12.9	15.1	6.7	15.0	9.6	8.9	9.6	10.3	10.8	−0.6	10.4
13	13.7	12.3	14.5	14.2	14.7	8.7	15.2	13.4	12.3	13.7	14.2	13.7	5.2	11.8	10.1	10.6	10.8	10.3	10.6	0.5	10.8
14	13.2	10.9	13.5	12.3	13.8	3.0	16.4	13.1	12.4	14.0	14.8	13.3	6.8	16.4	10.7	10.1	10.2	10.8	10.9	6.2	13.6
15	14.1	12.4	15.0	12.2	14.6	7.9	17.6	12.1	11.6	12.0	9.3	12.7	6.2	12.4	11.0	10.9	12.8	10.4	12.8	4.0	14.6
16	15.3	13.8	16.7	15.8	15.3	8.8	17.4	12.3	10.7	12.0	11.5	12.8	4.0	13.4	8.2	8.4	11.5	7.5	9.1	1.5	13.8
17	14.6	12.1	14.0	10.4	15.8	10.4	16.0	12.9	13.4	14.2	15.3	13.8	6.4	15.0	**7.7**	**6.3**	10.3	**4.5**	**8.6**	**−2.0**	12.4
18	13.6	12.3	13.7	11.5	15.0	5.0	**10.4**	13.3	11.1	13.0	11.5	15.6	5.8	14.2	9.9	9.0	10.6	9.7	8.9	−1.3	9.8
19	13.2	11.5	13.0	11.7	15.8	7.6	14.6	10.7	10.3	12.0	9.3	12.8	3.1	16.8	10.3	10.3	13.0	11.6	9.5	−1.5	9.4
20	12.3	10.8	13.5	11.7	13.3	3.1	15.6	12.5	17.2	19.5	17.3	17.5	7.2	16.4	11.1	9.9	11.0	9.8	10.8	−1.4	10.0
21	13.8	12.6	14.7	12.9	14.4	4.0	17.2	11.6	11.5	13.8	10.4	13.0	6.2	15.4	9.9	9.3	10.5	11.0	9.3	−1.5	10.2
22	13.0	12.2	14.3	12.9	14.4	4.6	16.6	9.8	7.1	8.5	8.3	11.8	4.0	14.2	10.3	11.0	13.4	11.6	10.6	0.4	10.8
23	14.4	13.4	15.5	12.8	14.8	4.7	19.0	11.2	10.5	11.2	11.4	8.6	3.0	10.6	13.4	12.4	14.0	12.8	10.6	4.5	13.2
24	12.8	12.5	15.0	14.3	13.8	8.4	15.4	**7.1**	8.1	10.5	8.0	**6.7**	**−3.0**	**8.6**	12.0	11.2	13.0	11.7	13.3	7.7	12.4
25	12.7	11.5	12.3	14.9	14.4	7.7	12.0	**7.1**	**7.0**	**7.8**	**6.5**	8.2	**−3.0**	8.8	11.1	10.6	12.3	12.3	11.8	7.2	12.8
26	13.7	12.5	13.5	14.6	14.0	5.2	14.8	9.5	7.5	8.5	9.2	9.6	0.0	12.0	11.4	11.9	14.7	13.8	14.6	6.9	14.0
27	15.9	14.6	16.5	14.7	15.8	7.3	17.4	11.5	10.1	9.5	8.6	13.6	7.2	13.0	11.9	12.6	13.7	14.1	18.2	7.2	12.6
28	12.9	12.2	14.0	13.1	14.0	9.5	17.2	12.3	12.0	14.6	13.3	12.3	6.8	13.6	14.0	12.9	13.8	14.3	15.3	5.4	13.4
29	15.1	14.1	16.0	15.0	15.1	9.4	15.6	12.6	11.5	15.0	14.3	13.2	6.4	13.0	14.3	13.1	14.6	14.2	15.9	7.6	13.4
30	15.3	14.2	15.5	14.8	16.3	6.8	17.4	12.3	10.5	13.8	12.3	13.8	6.2	12.2	14.3	13.7	14.3	15.2	15.4	7.9	14.2
31	16.5	15.2	16.8	15.5	16.6	7.0	18.8	11.0	10.9	13.5	11.3	12.8	6.2	12.8							
Mittel	12.8	11.6	13.5	12.7	14.0	5.9	14.9	13.0	12.2	13.9	13.0	13.8	5.3	14.6	10.8	10.3	11.9	10.9	11.6	3.0	11.8

Tag	Oktober Bern	Oktober Neuchâtel	Oktober Genf	Oktober Basel	Oktober Altdorf	Oktober Bevers	Oktober Lugano	November Bern	November Neuchâtel	November Genf	November Basel	November Altdorf	November Bevers	November Lugano	Dezember Bern	Dezember Neuchâtel	Dezember Genf	Dezember Basel	Dezember Altdorf	Dezember Bevers	Dezember Lugano
1	11.0	9.6	12.2	11.6	11.8	5.1	12.6	−1.7	−0.3	**−1.3**	**−1.4**	−0.7	−11.0	1.8	2.4	3.7	4.8	4.1	3.8	−1.8	7.8
2	9.0	6.7	7.0	8.5	9.8	2.4	8.8	−1.4	4.6	3.7	5.0	0.6	−6.9	4.0	3.4	4.5	5.4	5.2	2.5	−5.8	6.4
3	8.1	7.1	8.8	6.9	6.4	0.5	13.0	1.2	0.7	1.8	2.3	3.8	−7.3	3.2	2.1	2.3	3.0	3.1	0.8	−8.1	1.2
4	8.0	5.9	7.5	6.8	6.3	1.0	10.0	1.0	0.4	0.8	0.8	1.8	−8.2	3.4	−0.1	0.0	2.0	0.2	0.1	−9.0	1.8
5	7.0	5.4	7.3	6.1	8.6	1.1	7.6	2.5	9.4	5.9	9.6	5.8	−0.1	4.6	−2.7	−3.1	−2.0	−1.5	−3.1	−16.0	0.0
6	7.3	10.0	9.3	6.8	8.8	−0.6	9.0	5.3	7.4	4.1	9.5	5.1	−2.0	10.6	−2.3	0.1	3.2	−0.1	0.0	−8.5	0.6
7	3.6	2.8	3.0	4.0	6.4	−4.3	7.8	4.3	6.3	5.5	7.0	3.2	−5.0	4.2	−1.9	−2.2	0.8	−2.8	−2.7	−16.0	−0.4
8	3.9	8.4	9.0	7.8	9.3	1.2	9.8	0.4	3.1	3.6	4.6	2.3	−5.0	4.2	−1.0	−2.5	1.0	−0.9	−1.5	−14.5	−1.4
9	6.0	7.1	4.3	8.1	7.7	−2.0	6.2	0.6	3.0	0.8	5.3	0.7	−5.8	3.2	−0.7	−1.1	1.8	1.7	3.2	−8.5	2.6
10	6.3	10.4	10.4	7.3	6.9	−2.1	8.8	0.5	2.5	4.6	3.8	0.3	−6.6	4.2	0.2	0.9	4.5	1.4	3.0	−1.9	1.0
11	8.2	9.8	13.0	7.5	8.8	4.1	12.4	0.6	2.3	4.5	3.3	2.4	−5.2	8.6	0.0	0.3	2.0	0.2	6.8	−2.8	3.6
12	8.3	5.9	11.0	5.3	9.3	2.8	9.4	0.9	3.9	6.0	4.2	3.7	−5.0	8.2	0.3	0.6	3.0	1.3	14.3	−1.2	3.4
13	5.7	4.9	6.2	5.0	6.4	0.2	10.8	2.0	4.2	3.0	5.3	2.7	−5.0	7.4	1.3	1.0	3.0	0.6	4.1	−5.2	5.2
14	6.7	5.8	6.0	5.9	6.1	−0.6	9.6	1.6	3.4	4.0	4.0	3.9	−5.5	3.6	0.0	1.0	0.6	0.2	0.3	−8.8	3.8
15	6.4	7.3	6.0	9.0	5.4	−1.0	8.8	1.3	4.1	5.0	4.2	3.3	−6.0	3.4	−2.2	−0.6	0.8	−1.0	0.1	−11.0	3.6
16	6.7	7.5	9.0	8.4	6.7	−0.5	8.8	1.6	3.8	3.8	4.3	1.4	−7.4	2.0	−2.1	−1.0	0.5	−0.2	1.4	−9.1	0.6
17	7.3	8.6	8.8	9.5	6.3	−0.3	8.6	2.0	4.5	5.0	5.1	4.3	−7.1	3.2	−5.0	−6.2	−1.9	−6.0	−1.8	−9.1	0.6
18	7.6	7.9	8.4	10.2	8.2	−0.4	8.4	3.8	1.5	7.3	1.3	5.0	−7.0	4.2	−10.5	−11.1	−6.6	−10.2	−6.6	−11.0	−3.0
19	8.2	11.3	11.3	9.6	11.3	−1.4	8.8	4.1	4.3	2.0	1.8	0.5	−10.1	0.2	−10.9	−11.4	−7.7	−10.2	−6.4	−14.4	−5.2
20	6.9	6.2	6.0	4.6	8.6	−0.7	10.2	3.6	5.7	9.6	5.9	1.5	−5.0	1.6	−10.6	−10.1	−5.4	−10.0	−4.1	−9.1	−4.4
21	3.5	4.5	7.0	2.2	4.5	−8.0	9.4	5.3	6.2	8.0	9.1	7.6	−2.1	3.4	−8.7	−0.1	−8.1	−10.0	−5.2	−5.5	−2.4
22	3.1	2.9	5.5	3.6	3.8	−7.4	5.6	3.3	2.4	5.6	4.8	5.4	−3.2	3.0	−13.5	−13.3	**−13.3**	−18.2	−9.2	−16.0	−0.2
23	2.6	1.4	5.8	0.2	6.4	−4.0	8.0	2.2	1.6	4.0	2.8	3.3	−9.0	3.0	**−15.7**	**−14.3**	−10.5	**−20.9**	−9.0	−16.0	−2.0
24	2.2	0.3	5.0	−1.7	6.2	−7.2	2.8	7.2	6.7	9.0	8.8	3.9	−9.9	1.0	−10.9	−10.6	−10.2	−10.2	−6.2	−18.2	−6.4
25	2.1	1.3	5.0	**−1.9**	3.0	−7.6	2.6	3.5	3.8	4.8	2.8	3.6	−10.2	1.6	−10.7	−9.3	−6.3	−8.3	−5.2	−18.0	−5.2
26	3.3	3.1	6.3	1.3	3.8	−2.4	7.2	0.0	2.6	1.0	3.2	0.3	**−13.5**	**0.2**	−8.9	−8.9	−6.8	−15.5	−7.1	−23.0	−5.8
27	5.0	4.7	5.2	2.2	6.9	1.0	8.4	0.3	0.8	4.0	1.3	1.8	−12.0	1.0	−13.7	−11.4	−7.6	−16.9	**−11.2**	**−26.5**	−6.2
28	0.9	0.0	1.5	0.3	3.3	−4.5	4.2	**−1.9**	**−1.3**	1.8	2.0	**−1.1**	−6.1	4.2	−5.7	−4.6	−4.5	−6.0	−7.7	−12.1	**−8.8**
29	0.9	1.0	2.0	0.8	2.9	−9.0	3.2	−1.6	**−1.3**	1.0	1.5	1.3	−0.2	6.0	−8.1	−7.0	−7.0	−7.5	−5.5	−17.7	−6.8
30	1.3	1.2	1.9	−0.7	4.7	−7.0	5.2	0.2	1.1	4.2	1.6	1.6	−1.4	6.0	−10.2	−9.0	−4.9	−10.7	−7.0	−22.0	−5.8
31	**−1.6**	**−2.0**	**−0.8**	**−1.9**	**0.6**	**−10.0**	**2.2**								−6.2	−1.2	0.8	0.9	−2.2	−10.4	−6.8
Mittel	5.3	5.4	6.7	5.0	6.6	−2.1	8.0	1.8	3.3	4.1	4.1	2.6	−6.3	3.8	−4.9	−4.3	−2.1	−4.8	−2.0	−11.5	−0.9

Temperatur-Maxima 1938. (Ablesungen an den Maximumthermometern)

Tag	Januar Bern	Neuchâtel	Genf	Basel	Altdorf	Bevers	Lugano	Februar Bern	Neuchâtel	Genf	Basel	Altdorf	Bevers	Lugano	März Bern	Neuchâtel	Genf	Basel	Altdorf	Bevers	Lugano
1	-2.5	-2.1	-1.5	-1.2	-1.1	-7.3	2.0	7.5	7.2	9.8	10.8	8.5	-2.0	6.4	11.5	11.2	14.5	15.6	8.5	7.2	10.[illegible]
2	-3.2	-0.5	-1.0	-3.0	-1.3	-10.5	3.0	5.[illegible]	3.6	6.6	6.1	3.9	-2.0	10.0	7.5	10.2	9.6	10.5	8.5	1.5	15.[illegible]
3	-5.0	-3.6	-2.9	-2.6	-3.7	-14.0	1.6	4.3	2.4	5.4	5.9	5.6	-3.1	12.4	11.3	13.5	11.0	13.8	8.3	6.5	18.[illegible]
4	-6.9	-5.8	-5.5	-5.2	-4.9	-15.0	-2.2	6.1	8.6	7.3	9.8	5.8	-1.0	7.2	13.5	16.4	16.0	17.6	13.5	6.2	23.[illegible]
5	-6.4	-4.2	-5.4	-4.0	-4.9	-15.2	-1.0	7.0	2.1	5.4	9.6	5.3	-1.0	8.4	12.9	15.7	13.8	14.3	13.5	4.9	18.[illegible]
6	-5.1	-3.2	-3.7	-4.1	-1.9	-8.0	-0.6	7.9	0.6	1.5	8.4	4.6	-1.6	7.6	14.5	14.4	12.2	18.7	15.5	7.1	16.[illegible]
7	2.0	1.4	4.0	2.6	2.3	-4.5	4.0	5.4	-0.5	0.4	0.9	2.7	-1.2	8.6	15.0	15.4	13.0	18.4	17.7	6.0	17.[illegible]
8	4.2	3.9	7.3	5.4	4.8	-4.4	2.6	0.4	-0.6	0.6	6.5	2.2	0.0	8.8	14.1	13.4	13.7	16.8	15.6	6.5	18.[illegible]
9	3.8	6.5	9.2	8.8	7.7	-2.5	0.2	2.6	2.4	4.0	4.5	2.5	[illegible]	7.6	15.0	15.7	10.7	18.9	15.9	8.0	19.[illegible]
10	5.3	5.1	7.8	8.4	3.8	-3.9	3.0	6.7	5.2	8.8	8.8	10.0	1.0	6.6	14.5	14.8	15.3	8.5	16.6	7.5	17.[illegible]
11	4.3	4.1	5.7	6.7	3.2	-3.1	5.0	1.0	2.1	7.4	7.8	0.5	0.0	6.8	12.0	15.2	13.7	13.2	11.8	5.6	22.[illegible]
12	7.4	7.3	7.5	13.3	5.8	2.5	6.6	0.9	0.2	3.0	2.1	2.1	-4.0	9.4	8.5	1[illegible].9	11.0	11.9	11.5	2.5	14.[illegible]
13	8.0	10.4	11.2	13.2	7.5	1.4	7.4	2.0	0.6	2.0	1.8	2.0	-5.0	7.8	7.4	10.0	9.7	10.9	12.1	0.0	10.[illegible]
14	9.1	10.4	12.4	14.3	7.8	3.8	0.4	-0.3	0.4	1.0	2.1	1.3	-5.5	8.4	10.2	10.1	8.0	14.4	14.5	4.7	11.[illegible]
15	5.9	7.2	10.6	11.7	11.1	2.4	6.6	-1.3	-1.0	0.0	-1.3	0.7	-6.0	3.2	13.9	13.8	10.0	17.9	18.3	7.1	16.[illegible]
16	5.6	5.8	8.0	8.7	8.6	-1.2	7.0	-1.0	-2.2	-1.2	0.0	0.5	-4.0	6.0	15.3	15.6	11.8	19.5	20.0	8.7	20.[illegible]
17	6.7	8.4	10.7	11.8	8.7	3.0	4.8	-1.8	-0.5	-0.2	3.0	-1.0	-2.5	7.4	16.1	17.3	14.7	19.9	18.9	7.1	20.[illegible]
18	5.3	6.9	7.1	8.4	8.2	2.5	6.2	2.0	1.1	1.5	2.5	1.8	2.5	7.0	16.2	17.3	16.0	19.6	20.0	8.7	21.[illegible]
19	6.5	7.4	8.8	10.6	8.5	3.4	5.8	1.4	2.2	2.8	5.0	2.6	1.5	9.4	16.1	17.[illegible]	16.2	19.9	19.0	8.5	19.[illegible]
20	4.6	4.0	7.[illegible]	5.9	5.2	-1.0	12.2	2.3	2.5	4.0	4.6	2.1	1.3	8.[illegible]	15.6	16.9	19.0	20.1	19.9	7.5	19.[illegible]
21	4.0	5.2	6.7	5.8	5.2	-4.0	9.8	2.7	4.5	3.2	5.6	2.9	-0.5	10.0	15.0	16.3	17.8	19.6	12.7	8.2	17.[illegible]
22	6.[illegible]	5.6	6.5	6.6	5.0	0.0	6.0	5.9	4.5	5.8	8.4	3.5	1.0	7.6	15.0	16.7	14.8	17.9	18.3	6.4	19.[illegible]
23	1.9	2.3	6.1	4.7	2.6	-2.5	6.2	3.0	4.2	4.0	6.4	3.0	0.0	9.0	15.0	17.6	16.2	18.1	17.0	7.4	17.[illegible]
24	1.3	1.9	3.0	7.5	3.2	4.0	7.4	5.4	5.8	5.2	9.8	3.9	1.5	8.2	14.5	16.5	14.8	18.5	18.0	7.5	17.[illegible]
25	3.2	7.8	1.8	6.8	2.0	2.0	13.6	7.1	7.0	6.2	10.7	5.7	0.7	9.2	15.0	16.6	18.8	18.9	17.0	8.0	16.[illegible]
26	7.3	8.5	11.4	8.5	6.0	2.0	11.6	7.9	6.0	6.6	10.7	5.5	2.0	9.6	9.7	8.7	12.0	12.4	10.0	3.0	14.[illegible]
27	4.1	3.0	7.4	3.9	2.9	-2.0	7.0	4.2	6.5	10.0	7.1	5.1	4.8	9.4	4.7	4.7	8.3	7.5	11.8	1.0	15.[illegible]
28	1.0	2.5	3.3	4.3	2.7	-4.5	8.0	8.5	9.4	10.1	13.4	9.7	4.0	12.8	10.3	10.2	10.4	13.5	10.4	5.5	20.[illegible]
29	8.5	6.3	9.8	1[illegible].3	6.2	-3.9	8.0								12.7	13.7	14.0	14.2	13.4	7.2	16.[illegible]
30	4.4	5.3	8.4	6.5	6.0	-4.6	4.2								16.3	16.7	16.0	18.1	14.7	8.2	19.[illegible]
31	3.7	4.0	6.2	6.3	4.3	-3.3	9.2								20.3	18.8	19.0	21.3	23.5	11.2	24.[illegible]
Mittel	3.1	3.9	5.4	5.8	3.9	-2.9	5.5	3.7	3.0	4.3	6.1	3.7	-0.7	8.4	13.2	14.3	13.6	16.1	15.1	6.3	17.[illegible]

Tag	April Bern	Neuchâtel	Genf	Basel	Altdorf	Bevers	Lugano	Mai Bern	Neuchâtel	Genf	Basel	Altdorf	Bevers	Lugano	Juni Bern	Neuchâtel	Genf	Basel	Altdorf	Bevers	Lugano
1	19.8	21.5	21.0	20.5	20.5	11.6	27.4	9.0	9.5	10.6	7.1	6.0	5.3	11.8	25.0	24.7	27.8	30.0	27.4	18.2	25.[illegible]
2	21.5	21.3	21.3	23.5	25.0	12.0	23.0	10.0	10.5	10.3	13.5	9.4	8.4	15.0	14.7	14.5	17.2	16.7	19.0	13.0	21.[illegible]
3	17.7	18.2	20.4	18.3	19.1	11.6	17.8	16.2	18.1	16.0	19.1	24.3	10.8	18.4	16.4	17.4	16.4	19.2	21.9	18.2	23.8
4	7.9	10.7	8.8	9.9	12.1	0.1	16.2	13.5	17.4	16.9	14.1	13.4	11.8	19.8	20.2	21.5	20.6	23.3	26.7	22.5	24.2
5	9.4	12.4	10.6	12.5	11.0	3.5	15.4	16.6	16.8	14.2	18.5	19.6	11.0	10.6	22.6	23.7	23.8	26.7	25.7	19.5	25.0
6	13.0	14.2	14.0	14.8	12.5	4.3	15.6	18.4	19.9	17.9	20.1	20.4	11.0	17.8	22.3	23.2	21.6	24.4	27.3	20.4	27.2
7	15.0	14.0	16.8	15.7	14.8	7.8	19.6	17.0	18.1	18.0	20.3	17.3	11.5	20.0	26.0	26.3	23.5	29.2	32.4	26.0	27.4
8	12.0	14.6	15.8	12.7	9.5	5.6	22.6	17.1	19.2	20.0	12.9	14.8	11.0	19.8	28.1	28.5	25.8	31.6	32.2	28.5	29.4
9	9.2	11.4	13.0	9.2	8.0	2.1	19.2	18.7	17.9	17.7	20.3	24.7	13.2	15.8	27.4	30.0	29.2	29.0	30.2	26.8	29.4
10	3.7	6.2	6.0	7.5	5.0	-1.8	12.2	18.0	19.8	20.0	19.3	12.3	11.5	17.8	17.2	17.2	22.1	21.5	23.2	19.2	26.[illegible]
11	6.0	8.4	7.5	9.3	7.3	2.5	15.6	17.1	20.6	20.5	20.1	20.0	14.0	21.6	20.2	23.2	23.7	20.5	21.3	21.0	23.8
12	10.2	11.1	10.2	13.3	13.5	5.5	15.0	21.2	21.6	19.4	24.3	20.8	20.2	20.6	15.6	14.9	17.0	14.5	18.7	12.5	16.8
13	14.1	16.4	16.0	14.6	15.6	6.9	17.4	22.0	24.3	22.7	26.1	27.3	19.3	21.4	9.6	10.4	11.3	12.3	14.1	12.4	20.0
14	12.1	14.6	13.4	12.8	14.1	8.5	20.0	23.6	25.0	26.1	28.1	31.0	15.2	23.6	10.5	12.8	15.8	13.5	13.9	10.5	25.0
15	15.5	17.4	16.0	18.2	17.6	11.3	15.8	19.5	19.4	19.0	24.9	25.0	14.2	20.3	19.7	20.3	21.4	21.5	21.5	15.2	25.2
16	18.1	18.4	16.2	18.6	17.4	13.0	19.0	22.3	23.4	21.5	25.2	27.3	13.5	22.4	17.3	20.7	21.5	18.0	15.6	21.0	28.8
17	13.7	16.0	15.0	15.0	12.7	10.4	19.8	17.7	19.4	17.5	18.9	23.2	8.5	12.8	20.9	23.1	22.2	21.0	24.1	19.2	25.0
18	8.5	9.8	12.3	9.8	6.0	5.0	22.0	17.0	17.6	18.9	18.4	18.6	9.2	16.6	24.5	23.5	22.0	25.9	27.7	23.5	25.6
19	8.8	10.4	9.7	10.2	11.4	1.0	14.8	14.7	15.6	15.7	17.5	21.3	10.2	13.8	24.5	24.8	26.3	25.9	27.5	21.6	24.6
20	4.9	6.4	8.7	8.3	4.8	-1.0	15.6	10.0	9.2	11.0	10.3	8.1	4.5	10.4	22.7	24.2	23.2	25.0	25.7	25.1	27.4
21	4.3	5.9	7.6	7.2	7.0	-2.0	12.6	6.1	6.7	10.6	8.5	9.7	4.4	12.4	26.7	26.4	29.3	27.6	32.3	23.0	27.8
22	8.1	6.9	7.3	10.1	9.2	2.5	12.2	8.5	8.2	9.4	10.1	11.1	9.5	15.2	26.1	23.7	29.5	28.7	25.7	23.5	29.6
23	9.3	9.6	10.4	10.3	9.5	1.7	16.0	15.0	15.4	15.2	16.0	19.0	13.5	21.4	22.1	22.1	23.0	28.0	24.0	22.4	28.4
24	11.4	13.2	12.3	12.3	13.0	4.2	16.0	1.30	15.4	15.1	15.2	12.7	12.5	21.2	26.6	26.9	28.7	28.6	32.5	27.5	30.2
25	10.0	11.2	12.0	10.9	9.1	3.2	16.2	13.7	15.1	17.0	16.8	12.6	8.0	24.2	31.0	30.0	31.7	33.6	35.4	25.4	30.6
26	10.4	12.6	11.6	13.2	12.5	3.1	15.0	18.4	19.4	18.3	20.7	25.6	16.6	21.4	26.2	28.1	28.1	27.3	27.9	25.1	31.4
27	9.3	10.7	12.7	10.1	6.5	4.4	11.4	21.5	22.2	22.2	26.5	24.5	15.0	21.4	27.3	27.5	29.3	28.8	30.9	23.0	30.6
28	13.3	15.6	14.3	13.8	16.2	9.6	15.4	12.6	10.8	14.0	15.3	13.0	9.3	12.6	26.1	27.7	27.2	24.8	29.0	25.7	31.8
29	16.0	16.9	15.8	18.3	13.5	8.8	16.6	12.3	12.2	16.2	17.3	14.8	10.5	22.0	25.8	26.6	27.3	26.3	28.0	25.0	30.2
30	8.0	8.5	10.4	10.7	6.5	6.1	15.8	16.8	13.8	17.9	17.9	14.0	11.0	19.2	24.8	27.4	28.4	28.2	30.8	23.0	28.0
31								21.0	21.6	24.4	22.1	28.0	20.6	25.2							
Mittel	11.4	12.8	12.9	13.1	12.5	5.4	17.0	16.1	16.9	17.2	18.2	18.5	11.8	18.3	22.3	23.0	23.8	24.4	25.8	21.3	26.7

Temperatur-Maxima 1938.

Tag	Juli							August							September						
	Bern	Neu-châtel	Genf	Basel	Altdorf	Bevers	Lugano	Bern	Neu-châtel	Genf	Basel	Altdorf	Bevers	Lugano	Bern	Neu-châtel	Genf	Basel	Altdorf	Bevers	Lugano
1	21.4	20.2	22.8	18.9	24.4	20.0	27.6	27.4	29.3	29.1	29.4	29.1	22.5	29.2	16.0	19.0	18.8	18.6	15.9	14.2	26.4
2	14.2	14.4	17.2	18.0	14.6	14.4	22.6	25.6	28.3	27.3	29.1	28.0	20.0	27.6	20.0	20.2	20.3	21.9	23.4	16.4	25.0
3	13.5	16.1	17.7	17.5	18.3	11.4	24.6	27.6	28.7	27.8	30.0	30.5	21.4	28.4	14.4	14.0	18.0	15.2	16.5	14.7	20.8
4	19.3	18.8	22.0	21.8	21.2	15.2	25.2	29.8	29.8	28.6	32.3	29.7	24.2	31.4	16.4	19.1	19.6	20.5	14.8	10.4	16.6
5	16.3	17.0	19.3	20.1	22.1	15.0	19.2	30.4	30.2	32.3	33.9	28.0	22.8	32.0	15.6	17.3	17.7	17.2	15.4	11.0	25.0
6	19.3	20.9	21.3	21.2	23.8	20.2	26.0	27.6	29.6	28.0	30.9	27.7	23.2	31.8	14.5	14.7	17.3	16.1	14.4	9.0	21.6
7	24.0	24.0	22.0	28.6	29.5	18.6	27.2	23.2	24.6	24.3	25.3	29.1	21.2	28.2	16.8	15.9	20.7	19.1	18.0	9.5	17.8
8	24.6	22.9	25.2	27.4	29.9	20.6	26.2	22.0	24.2	24.4	26.4	22.5	18.0	25.0	18.0	19.6	18.3	21.3	20.1	12.0	15.8
9	17.7	18.6	20.0	19.9	16.4	18.5	28.4	24.8	25.1	25.7	27.6	25.5	18.0	28.0	15.9	17.0	16.7	18.9	22.8	12.7	15.6
10	16.5	17.6	18.8	18.0	17.0	12.5	25.8	23.5	24.8	24.4	24.3	22.3	16.6	27.2	17.0	16.3	18.5	15.9	18.5	9.6	16.2
11	20.8	21.3	24.0	22.1	20.6	20.6	26.0	23.0	23.6	23.3	26.9	23.4	18.0	24.2	20.2	21.2	20.7	21.9	21.2	14.0	24.2
12	19.5	18.8	22.3	18.1	19.3	16.5	26.4	18.9	18.6	20.0	21.9	19.5	15.5	26.0	20.1	20.4	21.0	21.8	20.4	16.2	24.6
13	20.5	21.3	23.2	22.8	22.7	21.9	27.0	15.8	17.4	21.0	16.3	16.5	14.6	25.0	20.2	22.3	20.2	22.1	24.0	17.6	25.6
14	22.7	23.4	22.3	26.0	28.3	22.2	28.2	15.0	16.7	21.3	21.9	15.8	11.5	29.2	23.0	21.9	21.5	24.7	23.8	17.5	25.4
15	26.2	26.0	28.4	28.4	26.0	21.5	29.0	17.6	20.4	20.7	23.5	19.8	18.4	27.2	18.9	21.1	24.0	22.4	16.6	15.3	24.8
16	23.1	23.3	25.6	24.9	22.5	19.0	27.4	22.5	23.5	24.7	26.6	25.4	21.2	28.0	14.0	16.4	16.3	17.6	20.0	12.6	24.6
17	21.2	23.7	23.0	23.7	21.0	23.1	29.6	23.1	24.9	26.0	25.1	28.1	19.0	27.6	20.0	20.0	19.2	23.9	17.4	16.5	21.0
18	21.0	23.4	23.2	23.3	21.9	19.0	29.4	22.4	22.9	22.2	23.6	28.2	17.5	29.0	21.0	21.4	24.0	25.1	22.5	16.3	23.0
19	22.0	24.3	24.0	25.1	22.8	19.8	27.6	28.2	27.2	30.7	31.0	31.6	23.0	27.2	20.2	20.8	22.0	23.3	22.4	15.0	22.6
20	24.4	25.5	24.9	27.2	25.4	25.0	28.4	24.0	23.0	27.0	23.6	25.7	21.5	28.8	18.7	18.9	20.0	23.5	22.5	15.5	22.8
21	24.5	27.2	27.0	29.2	26.0	24.0	29.0	17.6	17.1	19.2	17.4	19.3	13.5	20.4	20.4	20.5	22.0	25.1	23.0	15.9	23.6
22	26.4	27.3	26.0	27.9	25.4	25.0	29.8	18.8	19.0	19.3	20.6	18.5	12.5	25.6	22.0	23.2	22.8	26.4	25.5	16.8	23.8
23	24.2	23.3	25.0	27.0	26.2	21.3	25.6	17.2	19.5	20.2	19.6	16.0	11.0	25.8	22.2	22.4	25.0	25.4	24.0	15.6	23.4
24	15.1	15.5	21.8	18.1	16.5	12.0	20.6	17.3	19.0	19.0	20.9	21.6	19.7	24.0	22.3	22.5	22.2	25.9	19.6	14.0	22.6
25	23.2	23.8	24.2	27.6	29.4	23.4	28.0	18.4	21.5	21.0	21.7	22.9	18.2	26.0	19.1	19.6	20.0	26.7	22.5	14.5	20.6
26	27.9	27.2	29.1	31.1	33.0	23.0	29.6	18.6	19.8	20.6	20.3	18.7	17.6	25.8	19.8	19.4	18.7	22.7	22.7	13.7	16.8
27	20.8	21.7	23.7	24.6	20.0	22.4	30.0	18.7	21.8	21.0	20.7	16.5	17.4	24.6	19.5	21.4	20.8	25.9	25.2	12.2	18.8
28	26.0	25.5	25.2	28.6	29.8	22.6	30.6	17.7	18.5	20.4	19.5	19.3	15.9	24.6	21.8	22.7	21.9	26.2	24.5	13.7	18.6
29	25.4	27.3	26.7	28.6	27.5	22.0	30.0	19.8	21.3	19.9	22.7	24.4	16.0	21.8	18.5	18.2	19.3	20.7	20.7	15.3	18.6
30	28.2	28.1	27.2	30.8	30.0	25.7	31.2	19.0	19.3	20.1	19.8	19.8	16.1	22.8	16.8	17.6	20.2	17.4	18.5	13.6	20.4
31	28.7	29.7	29.0	32.0	31.3	28.2	31.0	14.0	14.2	16.0	14.0	18.0	12.0	24.2							
Mittel	21.9	22.6	23.6	24.5	24.0	20.1	27.3	21.6	22.7	23.4	24.1	23.3	18.0	26.7	18.8	19.5	20.3	21.8	20.6	14.0	21.6

Tag	Oktober							November							Dezember						
	Bern	Neu-châtel	Genf	Basel	Altdorf	Bevers	Lugano	Bern	Neu-châtel	Genf	Basel	Altdorf	Bevers	Lugano	Bern	Neu-châtel	Genf	Basel	Altdorf	Bevers	Lugano
1	14.3	15.1	16.3	15.2	16.4	12.5	18.6	9.5	8.9	8.5	10.6	7.4	2.1	12.2	9.0	9.9	11.6	11.3	7.4	4.2	10.4
2	15.3	17.4	18.8	19.6	21.0	12.2	20.6	9.1	9.8	11.2	10.6	10.0	6.0	12.8	6.9	8.8	10.5	10.1	7.0	-0.3	11.0
3	13.3	15.0	15.8	15.9	14.1	7.7	16.2	10.0	10.1	11.0	12.5	10.3	5.2	13.0	7.9	6.9	8.3	8.9	6.8	-0.9	10.8
4	12.2	13.3	15.0	16.7	18.9	8.7	15.8	13.0	13.0	16.0	13.3	11.2	8.1	13.0	5.4	7.2	8.0	9.3	5.8	-1.2	12.0
5	15.0	16.6	17.0	17.9	19.2	11.8	18.8	15.0	17.1	16.1	16.1	12.5	9.6	14.8	3.3	6.5	5.4	3.0	6.1	-3.4	8.6
6	14.2	16.0	16.8	16.1	19.0	11.1	19.6	14.0	15.6	13.8	17.3	13.2	10.2	19.4	4.7	7.7	7.8	7.6	4.8	1.3	14.0
7	14.8	15.7	18.1	19.2	15.6	11.7	19.6	12.6	11.5	11.8	15.9	8.4	10.3	13.8	1.4	0.6	3.6	4.3	2.4	-5.1	7.4
8	13.2	15.8	16.8	16.3	14.4	11.2	18.6	14.0	7.4	7.8	12.8	7.9	9.5	14.8	2.1	1.5	3.6	5.1	12.0	-1.2	6.4
9	19.7	18.7	22.2	22.2	19.4	14.0	18.2	11.3	6.2	6.5	8.2	7.6	9.0	12.8	6.5	5.5	6.6	7.9	7.8	2.5	6.0
10	23.3	24.3	25.0	24.9	22.0	15.5	18.0	8.7	5.5	7.3	11.6	9.0	8.8	13.2	3.4	3.4	6.6	8.0	15.5	3.0	6.2
11	16.1	14.3	19.0	14.6	16.3	12.6	19.6	8.7	6.1	7.0	12.8	15.5	6.5	12.6	2.4	2.3	5.3	6.2	15.3	4.2	6.8
12	14.1	16.7	15.2	17.5	13.1	13.8	19.8	12.9	10.4	11.6	12.3	12.5	8.4	14.4	5.6	5.7	6.7	5.6	16.4	3.0	8.6
13	16.7	16.2	19.1	19.3	17.6	15.8	19.4	13.8	8.0	8.3	14.6	9.2	9.0	13.0	7.3	6.2	9.6	6.7	12.2	3.0	9.4
14	19.1	18.3	16.6	20.6	17.8	17.5	19.2	12.8	7.0	7.8	13.6	11.8	7.8	12.8	8.1	4.1	4.1	3.4	5.9	-1.0	9.4
15	17.3	18.9	17.5	16.3	17.3	16.2	19.4	10.1	6.3	7.4	11.1	9.1	8.2	12.8	1.4	2.7	2.3	1.0	3.4	-2.0	9.6
16	17.3	16.9	21.2	17.7	16.5	15.8	18.6	8.1	6.2	6.7	11.3	9.4	6.0	10.8	0.7	1.1	3.8	3.1	4.0	0.0	7.4
17	17.9	15.6	20.4	19.5	17.0	16.2	18.0	10.1	9.2	11.0	9.2	9.8	9.0	7.2	0.6	-1.1	2.9	0.5	0.4	-2.4	3.6
18	19.9	19.3	21.2	21.3	16.7	13.8	18.0	6.2	6.6	10.4	9.1	8.7	3.0	9.0	-5.0	-8.2	-1.5	-6.0	-4.0	-8.0	-1.8
19	16.0	18.0	20.0	17.9	17.5	14.0	19.6	8.0	10.0	12.2	8.7	7.9	4.6	9.4	-8.0	-8.1	-5.8	-8.0	-3.2	-8.4	-1.6
20	12.5	14.8	15.0	14.9	13.8	8.7	19.4	11.1	12.4	16.0	10.8	13.6	4.5	7.6	-5.5	-5.9	-3.6	-6.8	-1.8	-4.7	-0.4
21	10.7	11.9	11.7	13.6	11.4	9.8	15.6	12.0	10.4	13.0	13.7	14.0	2.0	4.8	-2.7	-3.3	-2.0	-5.3	-1.1	-0.2	1.0
22	7.0	10.0	12.4	14.3	9.1	6.4	11.6	8.3	7.9	10.8	10.2	10.7	2.2	12.0	-7.3	-6.7	-7.6	-5.5	-2.7	0.0	2.6
23	5.6	5.2	10.0	6.6	8.3	7.1	12.0	12.0	12.0	12.7	15.8	8.3	-0.8	11.2	-5.9	-7.1	-6.6	-9.5	-3.5	-7.5	0.2
24	4.3	4.9	7.6	7.7	8.8	7.6	13.0	11.5	11.0	15.3	15.7	12.0	1.9	8.6	-5.5	-6.1	-4.8	-4.3	-4.0	-9.0	1.4
25	7.0	7.8	8.2	8.1	9.5	8.9	12.6	7.8	9.7	11.1	11.2	8.5	2.0	13.8	-6.0	-5.0	-3.6	-5.5	-2.5	-10.5	2.8
26	8.8	9.1	9.8	4.9	10.0	5.0	10.6	7.7	9.0	13.2	17.2	13.5	-2.0	9.6	-6.0	-4.9	-3.8	-2.6	-2.5	-11.4	1.0
27	9.8	10.8	11.2	8.9	8.5	6.5	11.4	7.5	8.0	9.8	10.5	7.6	-1.2	9.4	-5.8	-3.3	-4.4	-6.0	-2.5	-8.5	0.0
28	5.1	3.9	6.0	5.0	5.5	2.8	11.2	5.0	3.9	6.9	8.3	4.8	3.5	10.2	0.3	0.8	0.7	0.4	1.3	-4.4	-1.6
29	5.3	7.8	6.2	5.9	7.8	1.5	11.8	4.1	3.5	7.0	6.4	5.5	3.5	9.0	-0.7	1.4	3.5	2.8	0.4	-5.2	6.4
30	6.0	8.9	8.3	10.7	7.4	2.6	12.8	6.9	6.0	9.0	6.5	6.6	3.3	10.0	1.2	1.2	1.2	3.9	3.2	-5.8	1.6
31	8.5	8.4	8.6	12.8	7.5	1.2	12.4								1.6	1.9	3.6	4.1	3.6	-3.5	2.4
Mittel	12.9	13.7	15.1	14.9	14.1	10.3	16.5	10.1	9.0	10.6	11.9	9.9	5.3	11.6	0.7	0.8	1.8	1.7	3.7	-2.7	5.2

Tagesmittel der Abkühlungsgrösse in mill' cal/cm² · sec.

1938 (Davoser Frigorimeter nach Dorno und Thilenius) — Ablesung: Sommer 7^{30h}, Winter 8^{00h} Zürich

Tag	Januar	Februar	März	April	Mai	Juni	Juli	August	Sept.	Oktober	Nov.	Dez.
1	21.6	34.7	17.2	**9.3**	19.4	8.1	15.7	6.0	11.5	14.7	15.3	23.2
2	20.5	24.7	16.0	10.2	13.7	**21.3**	19.2	5.7	10.0	14.8	17.6	22.0
3	32.2	19.1	14.4	22.4	13.6	12.5	18.8	4.4	13.3	17.8	14.4	30.9
4	23.2	16.1	12.7	15.8	20.2	8.2	18.8	**4.1**	12.8	**24.5**	16.7	16.7
5	21.3	**15.4**	12.9	13.7	15.7	9.3	**20.1**	4.8	14.6	19.0	**12.6**	23.0
6	25.4	15.8	11.8	12.7	11.0	6.7	11.3	7.7	17.0	16.6	13.1	18.2
7	31.0	17.1	11.4	13.7	13.1	4.8	6.4	7.3	12.2	20.6	13.0	19.0
8	28.6	18.6	13.0	16.6	15.7	4.6	12.7	8.6	10.8	21.1	**12.6**	18.4
9	33.2	21.3	12.6	19.2	9.8	8.6	15.1	9.4	11.8	13.9	16.3	15.7
10	36.2	**43.3**	16.2	**23.2**	12.8	12.9	16.8	8.6	12.9	**9.7**	15.5	17.1
11	36.2	26.5	16.9	22.2	12.4	12.5	12.0	12.7	8.2	15.5	15.7	16.4
12	32.3	39.8	21.2	18.7	8.2	16.0	17.8	19.0	9.4	12.2	12.7	**14.4**
13	24.7	23.3	21.6	12.7	7.3	20.7	11.3	**28.6**	8.3	11.2	13.5	**14.4**
14	21.9	26.0	13.4	17.8	**6.9**	12.9	7.2	14.4	7.6	11.0	12.8	16.3
15	39.4	24.0	13.2	14.3	9.1	14.3	8.1	7.7	17.2	10.5	13.8	17.8
16	21.8	22.1	12.8	13.4	9.6	11.0	10.5	8.7	13.3	11.7	13.7	29.8
17	28.4	22.2	10.5	19.5	19.9	9.7	9.3	15.4	10.2	11.6	13.8	39.6
18	17.8	17.6	10.3	19.8	13.9	7.4	8.2	8.7	8.0	13.8	18.8	**43.2**
19	31.2	20.2	10.6	19.2	19.2	10.2	7.1	6.3	10.4	16.1	18.5	31.9
20	20.6	19.6	10.9	21.3	20.2	8.1	5.8	13.9	8.8	17.0	15.8	22.7
21	17.8	17.8	12.2	19.3	14.0	4.6	5.7	15.2	8.1	16.7	22.8	29.1
22	**16.4**	17.1	10.8	16.3	15.1	8.5	6.2	12.5	6.9	17.8	**32.5**	23.4
23	18.3	19.0	11.0	17.1	11.9	10.2	8.3	15.0	7.3	20.0	23.7	23.5
24	18.8	15.7	10.5	16.2	19.5	4.8	20.0	11.2	9.4	20.0	30.2	21.1
25	18.0	15.6	20.3	19.2	14.2	5.7	7.2	8.1	7.9	14.0	24.7	25.6
26	19.8	16.9	28.3	18.9	8.9	8.7	8.6	10.2	7.6	15.2	14.8	29.8
27	26.0	17.5	**40.8**	16.0	13.0	5.9	9.0	10.7	7.5	17.8	15.1	28.7
28	35.6	16.4	15.4	13.8	26.7	9.0	5.4	10.0	**7.0**	20.0	18.3	24.3
29	**44.7**		13.4	17.5	24.5	10.4	5.7	9.5	8.5	17.3	17.1	22.8
30	35.7		11.5	19.5	**27.3**	**4.5**	4.1	14.5	**17.8**	14.2	18.8	33.7
31	30.9		**9.3**		10.3		**3.9**	17.1		15.1		37.5
Mittel	26.8	21.6	14.9	17.0	14.7	9.7	10.8	10.8	10.5	15.9	17.1	24.2

Tägliche Wärmeeinstrahlung in cal/cm² auf eine horizontale Fläche

1938 (Bimetall-Aktinograph nach Robitsch) Zürich

1	—	—	—	—	—	602	440	596	384	85	194	87
2	—	—	—	—	—	142	188	652	360	392	62	40
3	—	—	—	—	—	477	238	580	174	75	238	87
2	—	—	—	—	—	746	572	626	178	91	128	124
5	—	—	—	—	—	600	322	538	344	317	136	95
6	—	—	—	—	444	538	519	544	270	266	107	44
7	—	—	—	—	386	693	715	544	444	412	222	142
8	—	—	—	—	352	654	558	309	517	287	228	105
9	—	—	—	—	478	658	234	471	181	430	119	91
10	—	—	—	—	324	101	422	380	162	416	134	46
11	—	—	—	—	539	406	466	495	558	72	184	99
12	—	—	—	—	595	293	279	295	424	256	160	101
13	—	—	—	—	557	66	342	77	448	342	186	105
14	—	—	—	—	604	77	582	216	462	398	214	93
15	—	—	—	—	512	464	584	511	266	332	168	40
16	—	—	—	—	460	501	528	540	538	266	148	26
17	—	—	—	—	422	752	300	520	505	332	70	22
18	—	—	—	—	414	734	526	608	477	277	83	68
19	—	—	—	—	330	570	524	677	424	226	146	36
20	—	—	—	—	86	602	711	356	491	303	134	77
21	—	—	—	—	148	718	658	132	468	340	103	20
22	—	—	—	—	118	448	675	544	466	254	64	109
23	—	—	—	—	175	412	524	350	414	85	115	54
24	—	—	—	—	150	664	71	677	398	79	70	77
25	—	—	—	—	316	695	503	650	446	248	200	24
26	—	—	—	—	640	524	654	489	428	148	184	134
27	—	—	—	—	502	677	301	374	418	58	166	66
28	—	—	—	—	186	624	668	208	394	32	105	20
29	—		—	—	253	685	588	436	277	144	48	50
30	—		—	—	244	483	658	319	121	81	85	56
31	—		—		484		642	111		228		75
Summe	—	—	—	—	—	15606	14992	13825	11437	7272	4201	2213
Mittel	—	—	—	—	—	520.2	483.6	446.0	381.2	234.6	140.0	71.4

Monats- und Jahresübersichten sämtlicher schweiz. meteorologischen Stationen.

In die hier folgenden Uebersichten werden die Beobachtungsresultate aller schweizerischen Stationen, soweit es die Zuverlässigkeit und Vollständigkeit derselben gestattet, aufgenommen. Zu beachten ist:

1. Die Minima und Maxima bei Luftdruck, Temperatur und die Minima bei der relativen Feuchtigkeit sind stets den üblichen Terminbeobachtungen entnommen (7^{30} 13^{30} 21^{30}, resp. 7^{30} 13^{30} 20^{30}).
2. Die Monatsmittel der Temperatur werden aus den 3 Terminbeobachtungen in der Weise abgeleitet, dass der Abendbeobachtung (21^{30}) das doppelte Gewicht beigelegt ist [$m = {}^1/_4\ (7^{30} + 13^{30} + 2 \,.\, 21^{30})$]. Bei den wenigen Stationen, die eine andere Kombination der Beobachtungsstunden haben, wird eine nach den stündlichen Werten von Bern und Säntis berechnete Reduktion angebracht.
3. Als Tage mit Niederschlag werden diejenigen gezählt, an denen wenigstens 0.3^{mm} gemessen wurden. Eine zweite Rubrik enthält die Zahl der Tage mit Niederschlagsmengen von mindestens 1.0^{mm}.
4. Tage mit mehreren Gewittern werden nur einfach gezählt.
5. Als heitere (trübe) Tage werden solche bezeichnet, deren mittlere Bewölkung < 2 (> 8) ist.
6. Bei der Uebersicht der Windverteilung wird nur die Häufigkeit der verschiedenen Windrichtungen mit Index > 0 berücksichtigt.
7. λ bezeichnet die geographische Länge in Graden von Greenwich, β die geographische Breite, H_b die Höhe des Stationsbarometers über dem Meer in Metern, H die Höhe der Station (des Regenmessers) über Meer, G ist die Korrektion, welche an den Luftdruckdaten für deren Reduktion auf die Normalschwere (45° Breite und das Meeresniveau) noch anzubringen ist, h_r die Höhe des oberen Randes des Regenmessers über dem Erdboden. Die Stationen, bei denen die Höhe (des Barometergefässes) bis auf den Dezimeter angegeben ist, sind an das schweizerische Präzisionsnivellement angeschlossen. Alle Höhen sind auf Pierre du Niton 373.6^{m} bezogen.

NB. Die Schwerekorrektionen (G) sind vom Jahrgang 1936 an auf Grund neuer Berechnungen von Herrn Prof. Niethammer, Basel, eingesetzt worden.

Reihenfolge der Gebiete: Nordostschweiz, Zentralschweiz, Jura, Oberes Aare- und Saanegebiet, Südwestschweiz, Graubünden, Tessin.

Zürich

$\lambda = 8^\circ 33'$, $\beta = 47^\circ 23'$, $H_b = 493.2^m$, $G = 0.03$ m/m, $h_r = 1.4^m$

1938	Luftdruck					Luft-Temperatur								Relative Feuchtigkeit					
	Mittel	Minimum	Tag	Maximum	Tag	7^{30}	13^{30}	21^{30}	Mittel	Minimum	Tag	Maximum	Tag	7^{30}	13^{30}	21^{30}	Mittel	Minimum	Tag
Januar	719.3	701.5	10	734.5	24	0.3	3.0	1.4	1.5	-11.6	4	11.4	14	87	73	82	81	48	31
Februar	723.5	709.1	13	733.0	28	-1.3	3.4	0.5	0.8	-6.2	17	9.3	28	86	61	81	76	39	21
März	725.7	714.3	26	734.0	3	3.3	13.6	7.6	8.0	-2.2	14	19.5	31	86	44	64	65	30	12. 13.
April	720.8	711.8	30	730.4	10	3.3	10.8	5.4	6.2	-1.3	10. 11	21.4	2	81	44	67	64	29	3
Mai	717.2	710.6	27	724.1	12	8.7	15.5	10.8	11.4	0.2	2	26.0	14	78	53	70	67	25	14
Juni	721.1	712.5	12	725.8	20	15.0	22.0	16.8	17.6	7.6	2	30.2	25	80	51	73	68	31	7. 8
Juli	720.2	711.0	1	724.9	10	15.0	21.8	16.1	17.2	10.4	3	29.8	8	88	54	84	75	30	8
August	718.2	710.7	29	723.0	22	15.1	21.6	16.3	17.3	8.7	24	29.6	4. 5	92	58	87	79	37	5
September	720.1	714.2	10	724.3	16	12.2	19.7	13.6	14.8	7.8	17	24.3	28	96	55	91	81	38	27
Oktober	719.7	708.7	28	727.7	12	7.6	13.2	8.6	9.5	0.8	23	23.5	10	91	60	83	78	39	9
November	720.4	698.5	22	730.9	14	4.5	9.4	6.0	6.5	0.0	27	14.9	8	92	68	87	82	40	26
Dezember	716.3	705.3	20	724.0	26	-2.4	-0.1	-2.0	-1.6	-11.6	22	8.5	1	89	77	86	84	49	4
Jahr	720.2	698.5	XI	734.5	I	6.8	12.8	8.4	9.1	-11.6	I/XII	30.2	VI	87	58	80	75	25	V

Winterthur

$\lambda = 8^\circ 44'$, $\beta = 47^\circ 30'$, $H_b =$ ca. 448^m, $G = 0.05$ m/m, $h_r = 1.6^m$

Januar	—	—	—	—	—	-0.5	2.4	0.4	0.7	-11.4	3	10.1	14	85	70	84	80	43	13
Februar	—	—	—	—	—	-2.4	2.6	-1.1	-0.5	-8.6	21	8.8	1	80	65	83	76	42	26
März	—	—	—	—	—	1.7	11.4	4.6	5.6	-4.1	14	16.8	31	79	46	77	67	22	20
April	—	—	—	—	—	2.8	9.5	4.1	5.1	-1.8	28	18.2	2	76	48	75	66	36	2. 4
Mai	—	—	—	—	—	8.5	14.6	9.7	10.6	1.2	1. 3	22.6	16	73	51	72	65	29	14.27
Juni	—	—	—	—	—	14.8	21.1	15.8	16.9	6.8	4	27.5	25	71	49	79	66	33	5
Juli	—	—	—	—	—	14.2	21.2	15.5	16.6	10.4	7	28.9	8	76	50	83	70	36	23
August	—	—	—	—	—	14.6	20.7	16.2	16.9	6.9	25	27.3	6	81	54	83	73	38	3. 5. 8
September	—	—	—	—	—	10.5	17.9	13.3	13.7	5.5	17	20.6	25	83	55	86	75	43	8
Oktober	—	—	—	—	—	6.7	11.8	7.2	8.2	-0.5	23	17.8	10	84	62	86	77	41	20
November	—	—	—	—	—	3.3	8.3	5.0	5.4	-1.9	1	13.9	5	85	72	81	79	46	25.26
Dezember	—	—	—	—	—	-2.7	-1.0	-2.7	-2.3	-13.9	22	6.1	3	77	70	78	75	50	24
Jahr	—	—	—	—	—	6.0	11.7	7.3	8.1	-13.9	XII	28.9	VII	79	58	81	72	22	III

Frauenfeld

$\lambda = 8^\circ 54'$, $\beta = 47^\circ 34'$, $H_b = 432.9^m$, $G = 0.06$ m/m, $h_r = 1.5^m$

Januar	724.9	706.3	30	740.1	24	-0.5	2.5	0.8	0.9	-11.4	4	10.1	14	90	78	85	84	47	10
Februar	729.4	714.8	13	738.7	28	-2.3	2.5	-0.1	0.0	-8.2	21	9.4	1	90	70	83	81	48	21
März	731.4	719.6	26	739.9	3. 5	1.4	12.0	5.9	6.3	-4.5	14	17.1	31	93	46	67	69	29	13.16
April	726.7	717.6	30	736.6	10	3.3	9.5	4.6	5.5	-1.4	21	19.2	2	84	45	71	67	33	1.2. 15.19
Mai	722.9	716.1	27	730.0	12	9.0	15.1	10.0	11.0	0.5	1	24.0	27	80	54	73	69	27	13
Juni	726.6	718.5	12	731.7	20	16.0	21.4	16.2	17.5	8.3	2. 3	28.8	25	76	51	70	68	33	8
Juli	725.7	716.4	1	730.1	10	16.1	21.5	16.0	17.4	10.6	3	31.2	8	82	52	83	72	27	8
August	723.7	716.1	29	729.9	22	15.0	20.9	15.8	16.9	7.9	25	28.5	6	90	57	90	79	36	25
September	725.6	720.3	10	730.2	16	10.7	18.0	12.8	13.6	4.8	17	21.8	25	97	59	93	83	41	8
Oktober	725.3	714.2	28	733.6	12	6.4	11.9	7.4	8.3	-1.3	22	21.0	10	94	65	89	83	39	9
November	726.1	703.6	22	735.7	14	3.2	7.5	5.2	5.3	-2.0	1	14.3	5	95	83	89	89	46	3. 25
Dezember	722.2	711.2	20	730.3	26	-2.9	-0.8	-2.8	-2.3	-12.4	22	7.7	1	88	82	88	86	54	26
Jahr	725.9	703.6	XI	740.1	I	6.3	11.8	7.7	8.4	-12.4	XII	31.2	VII	88	62	82	77	27	V/VII

Kreuzlingen (West)

$\lambda = 9^\circ 10'$, $\beta = 47^\circ 39'$, $H_b = 445.6^m$ $G = 0.06$ m/m, $h_r = 1.4^m$

Januar	723.0	704.0	30	738.5	23	-0.3	2.3	0.4	0.7	-10.0	4	10.3	14	86	79	84	83	54	10
Februar	727.6	713.2	13	737.0	28	-1.5	2.1	-0.2	0.0	-5.8	21	9.0	1	88	75	81	81	58	21
März	729.7	717.8	26	738.2	3. 4	3.4	10.5	6.3	6.6	-0.8	15	16.4	31	87	56	68	70	39	9.12.13
April	725.1	715.7	30	734.8	10. 11	4.2	8.6	4.3	5.4	-2.0	10	19.0	2	82	55	74	70	35	1
Mai	721.3	714.2	27	728.3	12	8.6	14.6	10.0	10.8	0.4	1	23.0	16.18	83	60	74	72	35	5
Juni	724.9	717.3	12	729.9	20	15.3	20.9	15.8	16.9	6.8	2	28.8	25	79	55	78	71	31	8
Juli	723.8	714.7	1	728.2	10	15.9	20.9	15.4	16.9	10.6	3. 10	29.4	8	82	61	84	76	44	7
August	722.1	714.8	29	727.2	23	15.5	20.4	15.5	16.7	10.2	24	29.2	6	85	64	87	79	45	2
September	724.0	718.9	10	728.7	16	11.8	17.7	12.8	13.8	5.8	17	21.0	27	92	66	90	83	48	8
Oktober	723.9	713.1	28	732.8	12	7.5	11.7	7.6	8.6	-1.0	24	20.8	10	88	68	86	81	47	9
November	724.5	702.9	22	734.0	14	4.3	7.9	5.2	5.7	-0.4	1	14.0	5	92	80	88	87	52	3
Dezember	720.6	709.9	20	729.1	26	-2.7	-0.6	-2.6	-2.1	-13.6	22	8.0	1	86	79	86	84	57	24
Jahr	724.2	702.9	XI	738.5	I	6.8	11.4	7.5	8.3	-13.6	XII	29.4	VII	86	65	82	78	31	VI

Beobachter: **Meteorol. Zentralanstalt**

Zürich

Bewölkung 7³⁰	13³⁰	21³⁰	Mittel	Niederschlag Summe	Maximum	Tag	Zahl der Tage ● *	●* ≥1.0	*	▲	K	≡	heiter	trüb	Windverteilung N	NE	E	SE	S	SW	W	NW	Calmen	1938
9.5	8.3	8.6	8.8	125	24	17	22	16	13	1	1	6	—	22	1	5	2	5	13	19	17	6	25	Januar
7.5	6.1	6.5	6.7	30	11	10	8	7	6	—	—	5	5	14	5	4	4	9	7	6	9	7	53	Februar
4.1	3.0	3.1	3.4	38	14	27	4	4	1	—	—	1	15	6	1	6	3	15	8	9	7	6	38	März
5.6	5.6	5.0	5.4	27	11	29	10	9	5	—	—	1	6	7	14	17	8	6	1	2	5	16	21	April
6.7	6.3	5.7	6.2	103	21	19	15	14	1	—	1	1	4	12	7	8	6	10	9	6	11	13	23	Mai
5.5	4.9	5.9	5.4	133	32	13	14	10	—	—	3	—	6	8	6	6	3	6	6	5	12	19	27	Juni
6.5	5.7	6.1	6.1	189	34	24	14	14	—	—	3	2	4	10	9	7	4	6	18	4	8	13	24	Juli
6.2	5.5	6.4	6.0	171	41	20	11	11	—	—	6	—	6	10	6	4	7	7	7	7	11	18	26	August
8.0	5.2	5.3	6.2	101	46	30	11	9	—	—	2	5	3	7	11	9	6	8	3	2	5	18	28	September
8.5	5.8	5.4	6.6	35	12	28	9	8	1	—	—	4	1	9	9	6	—	13	7	8	12	18	20	Oktober
9.2	6.9	6.9	7.7	36	10	22	8	8	—	—	—	12	1	16	7	1	5	6	10	4	14	16	27	November
8.9	8.4	8.1	8.5	55	14	5	14	9	9	—	—	6	1	23	8	14	4	7	4	8	15	9	24	Dezember
7.2	6.0	6.1	6.4	1043	46	IX	140	119	36	1	16	43	52	144	84	87	52	98	93	80	126	159	316	Jahr

Beobachter: **E. Bachmann**

Winterthur

9.1	8.9	8.1	8.7	143	30	17	22	16	10	—	1	1	—	21	—	10	—	1	3	34	5	7	33	Januar
7.7	6.5	6.0	6.7	32	9	10	9	7	7	—	—	2	5	15	2	11	—	6	5	5	5	11	39	Februar
4.2	3.9	3.3	3.8	36	16	27	4	3	—	—	—	—	14	7	—	9	—	3	2	12	7	4	56	März
6.1	6.7	6.0	6.3	42	12	29	12	9	6	—	—	—	3	13	8	12	1	5	—	1	3	22	38	April
6.7	6.3	5.2	6.1	107	23	20	14	13	—	—	—	—	6	11	4	8	1	7	4	11	7	14	37	Mai
6.2	5.6	5.6	5.8	163	50	11	13	11	—	—	2	1	4	9	1	2	1	5	3	7	6	23	42	Juni
6.9	6.2	7.0	6.7	179	24	2	14	14	—	—	2	—	1	10	3	10	—	3	9	13	3	6	46	Juli
7.0	6.4	6.5	6.6	228	51	20	15	13	—	—	2	—	2	11	4	2	5	5	5	12	1	23	36	August
8.2	5.5	5.2	6.3	63	19	30	12	8	—	—	2	2	2	8	3	13	1	5	—	4	2	18	44	September
8.4	5.7	5.1	6.4	63	12	1	11	10	1	—	—	1	—	9	7	4	—	5	1	14	4	21	37	Oktober
8.9	7.3	7.7	8.0	44	14	22	9	7	—	—	—	5	1	20	2	2	—	7	2	6	11	21	39	November
9.6	8.8	8.9	9.1	49	14	3	14	10	9	—	—	6	—	26	5	13	—	4	1	10	7	10	43	Dezember
7.4	6.5	6.2	6.7	1149	51	VIII	149	121	33	—	9	18	38	160	39	96	9	56	35	129	61	180	490	Jahr

Beobachter: **S. Dannacher**

Frauenfeld

9.4	9.1	8.4	9.0	103	14	17	22	16	13	—	—	3	—	24	—	5	8	2	7	32	15	—	24	Januar
8.0	6.3	6.5	6.9	29	12	10	9	7	7	—	1	4	4	17	2	13	10	4	4	9	12	2	28	Februar
4.1	3.8	2.9	3.6	27	12	27	5	3	1	—	—	—	14	7	2	9	4	10	6	10	12	4	36	März
5.8	6.9	5.2	6.0	35	6	29	11	8	6	—	—	1	4	9	6	12	11	7	5	4	6	5	34	April
6.9	6.4	5.4	6.2	84	21	20	15	13	—	—	—	—	6	12	3	11	8	6	5	17	9	2	32	Mai
6.0	5.3	6.2	5.8	117	33	13	11	10	—	—	3	2	5	9	2	10	6	2	3	13	15	6	33	Juni
6.3	5.7	5.9	6.0	140	21	4	14	14	—	—	1	2	4	9	6	10	9	6	8	12	10	5	27	Juli
7.9	5.8	6.5	6.7	172	35	20	14	14	—	—	2	6	2	15	2	7	6	6	4	10	10	5	43	August
9.1	5.7	4.6	6.5	75	28	15	10	7	—	1	1	14	1	9	5	8	8	5	4	4	4	2	50	September
8.3	5.8	5.0	6.4	45	10	1	10	8	—	—	—	6	1	8	2	6	7	3	6	11	18	2	38	Oktober
9.2	8.1	7.7	8.3	27	10	22	11	8	—	—	—	16	—	21	1	4	4	4	4	14	7	—	52	November
9.4	9.3	9.0	9.2	52	12	5	14	10	9	—	—	12	—	25	1	17	8	7	4	18	7	—	31	Dezember
7.5	6.5	6.1	6.7	906	35	VIII	146	118	36	1	8	66	41	165	32	112	89	62	60	154	125	33	428	Jahr

Beobachter: **P. Zwick**

Kreuzlingen (West)

9.2	9.1	8.5	8.9	109	14	17	22	17	12	—	—	4	—	22	1	3	2	—	4	24	19	—	40	Januar
7.8	5.4	6.2	6.5	27	13	10	10	7	6	—	1	7	5	11	—	1	18	—	1	9	12	—	43	Februar
4.0	3.5	2.8	3.4	34	14	27	5	3	2	—	—	1	13	5	—	—	8	—	—	9	13	1	62	März
6.3	6.2	3.9	5.5	32	12	30	8	5	2	—	—	1	5	6	3	5	23	—	—	7	12	2	38	April
6.7	6.0	5.1	5.9	89	27	19	12	9	1	—	—	1	5	12	—	1	17	2	—	7	16	1	49	Mai
5.3	4.9	5.6	5.3	105	27	13	15	12	—	—	2	—	6	7	—	4	12	—	—	10	14	—	50	Juni
5.9	5.4	6.1	5.8	164	25	2	15	14	—	—	3	1	3	10	—	—	7	—	—	6	19	—	61	Juli
7.6	5.4	5.4	6.1	186	44	20	18	14	—	—	3	3	3	11	—	1	8	—	1	8	18	—	57	August
9.3	5.1	4.6	6.3	63	23	15	12	7	—	—	1	17	—	9	—	—	7	—	—	1	8	—	74	September
8.2	5.6	4.0	5.9	45	10	4	12	10	—	—	—	8	2	11	—	—	6	—	1	10	11	—	65	Oktober
9.1	8.5	6.9	8.2	25	8	22	16	7	—	—	—	18	2	20	—	—	3	—	—	10	8	—	69	November
9.4	8.8	7.7	8.6	51	13	5	14	10	9	—	—	8	—	21	—	—	14	—	—	6	14	—	59	Dezember
7.4	6.2	5.6	6.4	930	44	VIII	159	115	32	—	10	69	44	145	4	15	125	2	7	107	164	4	667	Jahr

Haidenhaus

$\lambda = 9^\circ\ 0'$, $\beta = 47^\circ\ 39'$, $H_b = 694.4^m$, $G = -\,^m/_m$, $h_r = 1.7$

1938	Luftdruck					Luft-Temperatur								Relative Feuchtigkeit					
	Mittel	Minimum	Tag	Maximum	Tag	7^{30}	13^{30}	21^{30}	Mittel	Minimum	Tag	Maximum	Tag	7^{30}	13^{30}	21^{30}	Mittel	Minimum	T.
Januar	—	—	—	—	—	−1.4	0.4	−1.0	−0.8	−12.0	3. 4	8.2	14	80	73	78	77	44	1
Februar	—	—	—	—	—	−3.1	1.1	−1.8	−1.4	−8.0	15	8.2	6	79	65	73	72	40	21
März	—	—	—	—	—	3.9	10.6	6.1	6.7	−5.0	14	17.0	31	62	50	53	55	29	5
April	—	—	—	—	—	2.6	6.8	2.6	3.6	−3.5	10. 11	16.0	1	67	47	63	59	29	2
Mai	—	—	—	—	—	8.2	13.4	9.3	10.0	0.0	2	23.0	15	62	51	57	57	26	12.
Juni	—	—	—	—	—	15.5	20.7	16.1	17.1	7.5	13	34.0	29	56	52	56	55	29	5
Juli	—	—	—	—	—	15.4	19.9	16.1	16.9	9.0	3	27.4	26	66	53	64	61	28	8
August	—	—	—	—	—	15.1	19.7	16.2	16.8	8.5	24	27.5	5	71	55	64	63	32	3
September	—	—	—	—	—	11.8	16.6	13.0	13.6	6.2	16	20.0	23. 24	80	55	68	68	31	21
Oktober	—	—	—	—	—	6.3	11.3	7.6	8.2	−1.5	28	19.2	10	82	60	71	71	38	1
November	—	—	—	—	—	4.8	8.5	5.4	6.0	−1.5	1	15.8	6	80	68	77	75	35	20
Dezember	—	—	—	—	—	−4.0	−2.0	−3.5	−3.3	−15.0	18	10.0	12	80	74	80	78	30	12
Jahr	—	—	—	—	—	6.3	10.6	7.2	7.8	−15.0	XII	34.0	VI	72	59	67	66	26	V

St. Gallen (Bruggen)

$\lambda = 9^\circ\ 20'$, $\beta = 47^\circ\ 24'$, $H_b = 678.8^m$, $G = -0.01\ ^m/_m$, $h_r = 1.5^m$

Januar	702.8	686.3	30	717.2	24	−1.6	1.8	−0.9	−0.4	−18.0	4	8.8	13	76	61	76	71	41	25
Februar	706.9	693.1	13	716.5	28	−4.0	2.2	−2.1	−1.5	−10.3	22	8.0	28	83	61	82	75	47	22
März	709.5	698.3	26	717.9	4	2.1	10.8	4.1	5.3	−5.2	14	16.2	31	83	51	78	71	35	16
April	704.8	696.0	30	713.7	11	2.0	7.4	1.9	3.3	−2.6	19. 22	18.2	2	79	53	84	72	37	2
Mai	701.6	695.7	27	708.5	11	8.3	13.3	7.9	9.3	−0.8	1. 2	22.0	27	74	57	84	72	35	27
Juni	705.7	697.6	13	709.7	16	15.7	20.2	14.3	16.1	6.0	3	28.8	25	71	55	84	70	39	25
Juli	704.9	696.6	1	709.0	10	14.8	19.8	14.3	15.8	8.9	2	28.1	8	91	56	85	77	30	28
August	702.9	695.6	29	707.4	23	14.0	19.4	14.0	15.4	5.5	24	26.8	4	93	59	87	80	42	19
September	704.6	699.4	10	708.4	16	10.9	17.1	11.2	12.6	4.8	17	21.2	24	90	66	96	84	48	28
Oktober	703.9	693.3	28	711.7	12	5.7	11.0	6.4	7.4	−0.5	31	22.1	10	95	70	92	86	45	10
November	704.4	684.0	22	713.7	14	2.6	8.8	4.3	5.0	−3.5	28	15.0	8	89	71	87	82	44	21. 2
Dezember	700.0	689.6	20	708.8	4	−4.5	−1.2	−3.6	−3.2	−15.6	27	9.4	12	89	76	86	84	50	11
Jahr	704.3	684.0	XI	717.9	III	5.5	10.9	6.0	7.1	−18.0	I	28.8	VI	84	61	85	77	30	VII

St. Gallen: Im Juli und August wurden Temperatur und Feuchtigkeit um 7^{30h} wenn nötig an einer Hilfsaufstellung abgelesen.

Heiden

$\lambda = 9^\circ\ 32'$, $\beta = 47^\circ\ 27'$, $H_b = 809.4^m$, $G = -0.03\ ^m/_m$, $h_r = 1.7^m$

Januar	690.8*	675.5	10	704.3	24	−1.2	1.3	−1.3	−0.6	−15.5	5	11.9	25	90	91	91	91	70	15
Februar	695.0	682.4	14. 15	703.9	28	−3.7	−0.1	−2.9	−2.4	−11.9	16	8.2	1	88	89	90	89	66	5. 24
März	697.2	682.6	27	705.3	4	4.6	8.6	5.0	5.8	−1.7	13	14.0	19	72	66	70	69	38	9.17.21
April	692.7	684.1	30	701.1	11	2.2	5.7	2.0	3.0	−2.8	20	15.9	2	81	82	83	82	43	3
Mai	689.6	684.3	1	696.0	12	8.3	12.2	8.2	9.2	−0.5	2	20.8	16	74	70	71	72	39	27
Juni	694.4	686.3	13	698.9	20	15.2	18.6	15.4	16.2	4.9	3	24.7	1. 9	76	72	75	74	40	7
Juli	693.5	684.8	1	697.2	10. 30	14.6	17.4	13.0	14.5	7.9	2	26.3	8	87	78	91	85	47	8
August	—	—	—	—	—	14.4	17.3	13.2	14.5	4.8	23	24.9	5	88	80	93	87	63	4. 5
September	—	—	—	—	—	11.2	15.7	11.4	12.4	4.6	17	19.7	25	89	81	91	87	60	27
Oktober	692.2	680.8	28	700.2	12	6.4	9.3	6.8	7.3	−4.1	24	19.3	10	92	84	91	89	53	9
November	692.4	671.0	21	701.8	14	3.5	8.8	5.3	5.7	−2.9	28	15.6	11	87	70	81	79	22	26
Dezember	687.8	676.4	20	695.7	4	−2.9	−0.9	−2.3	−2.1	−14.1	18	13.3	12	83	78	86	82	36	12
Jahr	—	—	—	—	—	6.1	9.5	6.2	7.0	−15.5	I	26.3	VII	84	78	84	82	22	XI

Heiden: Beobachterwechsel am 1. Juli. Neue Höhe ca. 810^m.

Altstätten

$\lambda = 9^\circ\ 33'$, $\beta = 47^\circ\ 23'$, $H_b = \text{ca. } 474^m$, $G = 0.01\ ^m/_m$, $h_r = 1.5^m$

Januar	722.2	704.5	30	737.3	24	−1.6	2.3	−1.0	−0.3	−17.6	4	8.8	17	86	73	84	81	49	9. 31
Februar	726.6	711.7	13	735.8	28	−4.2	2.3	−1.6	−1.3	−11.6	16	7.8	28	91	64	85	80	48	25
März	728.6	717.0	26	738.2	5	2.7	12.2	5.7	6.6	−3.2	14	18.2	31	85	52	71	69	35	15. 16
April	723.8	714.4	29	733.3	10. 11	3.1	9.6	3.9	5.1	−1.6	21	20.0	3	81	51	72	68	36	3
Mai	720.3	713.6	27	725.9	12	9.1	15.9	10.3	11.4	0.6	2	24.8	14. 15. 16	79	55	73	69	31	19
Juni	724.0	715.6	12	728.9	20	15.6	21.7	16.6	17.6	5.8	3	28.2	9	75	55	73	68	37	1
Juli	723.1	714.2	1	727.4	9. 10	16.0	21.5	16.1	17.4	10.0	2	29.8	8	79	59	78	72	33	8
August	720.9	713.7	29	726.5	22	15.0	21.0	15.9	16.9	8.0	24	29.4	6	85	59	80	75	41	1
September	722.9	717.5	10	727.3	16	12.2	19.6	13.3	14.6	7.2	17	24.4	27	91	61	83	78	47	26
Oktober	722.7	711.5	28	730.6	12	7.1	12.6	7.3	8.6	−0.2	23	20.8	10	90	65	86	80	46	10
November	723.5	701.2	22	733.3	15	3.1	9.3	4.7	5.5	−1.4	1	16.0	21	90	66	86	81	22	26
Dezember	719.3	708.4	20	727.2	4	−3.1	0.0	−2.1	−1.8	−14.4	27	15.8	12	86	73	82	80	36	11. 12
Jahr	723.2	701.2	XI	738.2	III	6.2	12.3	7.4	8.4	−17.6	I	29.8	VII	85	61	79	75	22	XI

Beobachter: **J. und E. Sommer**

Haidenhaus

Bewölkung				Niederschlag			Zahl der Tage								Windverteilung									1938
7³⁰	13³⁰	21³⁰	Mittel	Summe	Maximum	Tag	● ✱	●✱ ≧1.0	✱	▲	⚿	≡	heiter	trüb	N	NE	E	SE	S	SW	W	NW	Calmen	
9.0	8.5	7.9	8.5	79	9	17	19	19	12	—	—	5	—	21	—	3	—	—	—	67	—	—	23	Januar
5.7	4.7	4.9	5.1	24	14	10	5	5	4	—	—	—	9	11	1	14	—	—	—	21	1	3	44	Februar
3.3	2.2	2.3	2.6	22	13	27	3	3	—	—	—	—	20	5	1	9	—	—	1	32	—	--	50	März
5.2	6.2	5.6	5.7	27	6	30	7	7	2	—	—	—	7	10	1	27	2	1	—	17	—	8	34	April
6.5	5.5	5.5	5.8	92	19	20	9	9	—	—	—	2	9	12	1	14	—	1	3	22	—	5	47	Mai
4.5	4.1	5.5	4.7	163	45	13	10	10	—	—	3	—	7	8	1	7	1	2	—	25	—	4	50	Juni
5.3	5.7	5.6	5.5	188	30	2	15	15	—	—	1	—	5	8	—	5	—	3	2	33	—	4	46	Juli
5.9	5.0	4.9	5.3	194	42	20	15	15	—	—	1	5	8	9	1	5	—	1	2	19	—	2	63	August
4.9	3.7	2.9	3.8	107	66	30	8	6	—	—	—	5	12	3	1	6	1	1	—	12	—	3	66	September
6.3	4.1	3.7	4.7	39	10	4	10	9	1	—	—	4	9	7	—	9	—	—	—	34	—	1	49	Oktober
7.0	6.4	4.7	6.0	31	11	21	7	6	—	—	—	6	6	12	—	—	—	4	—	32	—	—	54	November
8.5	8.4	7.5	8.1	49	*12	5	9	9	7	—	—	8	1	19	1	16	—	2	--	28	2	—	44	Dezember
6.0	5.4	5.1	5.5	1015	66	IX	117	113	26	—	5	35	93	125	8	115	4	15	8	342	3	30	570	Jahr

Beobachter: **P. Flückiger**

St. Gallen (Bruggen)

8.3	7.6	7.8	7.9	111	22	6	20	19	14	—	—	1	2	19	2	6	3	22	7	22	16	2	13	Januar
6.2	4.8	5.9	5.6	33	9	10	8	7	6	—	—	2	6	9	1	18	3	27	5	13	7	6	4	Februar
4.0	3.7	2.9	3.5	51	20	26	6	5	3	—	—	—	16	6	1	13	2	41	11	3	9	9	4	März
6.5	6.2	5.4	6.0	74	14	20	13	10	10	—	—	1	4	9	6	19	—	21	10	7	8	11	8	April
7.1	6.1	5.5	6.2	134	31	24	16	13	2	—	—	1	5	13	9	13	—	27	7	10	11	10	6	Mai
5.6	5.1	6 1	5.6	134	36	13	13	11	—	—	2	—	5	9	7	15	1	21	11	13	9	8	5	Juni
5.9	5.8	5.8	5.8	208	41	2	18	17	—	—	3	—	4	7	5	9	5	33	8	13	6	8	6	Juli
5.7	5.8	5 7	5.7	249	45	20	16	16	—	1	4	—	7	8	8	10	3	30	11	10	5	10	6	August
6.2	4.9	4.0	5.0	84	29	15	10	9	—	—	—	1	7	8	8	19	—	33	15	4	3	4	4	September
7.0	5.7	5.7	6.1	58	14	1	11	10	—	—	—	4	3	12	7	10	—	19	18	11	11	8	9	Oktober
5.0	6.1	4.0	5.0	29	12	22	7	6	1	—	—	7	7	10	10	1	1	37	13	5	10	1	12	November
7.8	8.4	7.0	7.7	74	17	28	14	13	13	—	—	4	2	16	3	13	1	22	11	14	10	1	18	Dezember
6.3	5.8	5.5	5.9	1239	45	VIII	152	136	49	1	9	21	68	126	67	146	19	333	127	125	105	78	95	Jahr

Beobachter: **R. Landolf, Frl. F. Tobler**

Heiden

6.2	7.1	8.1	7.1	55	11	6	17	16	12	—	—	2	4	15	—	—	—	—	7	10	10	—	66	Januar
3.4	3.9	8.1	5.1	20	5	10. 12	8	5	7	—	1	3	13	7	3	—	—	—	4	6	2	—	69	Februar
3.1	2.8	2.6	2.8	?12	5	27	5	4	2	—	—	1	18	4	1	2	—	—	7	4	4	—	75	März
5.0	4.8	6.1	5.3	51	10	24. 25	11	9	8	—	—	1	5	6	3	11	2	1	4	5	8	10	46	April
5.2	4.3	4.8	4.8	140	32	24	12	11	2	—	—	3	11	8	2	8	7	13	13	9	15	2	24	Mai
4.0	3.3	3.7	3.7	183	50	13	14	13	—	—	1	3	11	4	4	6	10	—	8	9	9	2	42	Juni
6.5	5.6	5.6	5.9	194	40	2	17	17	—	—	3	3	6	11	3	24	2	6	15	21	7	4	11	Juli
6.1	5.8	5.3	5.7	243	51	13	17	16	—	—	2	2	7	11	13	10	14	4	4	21	2	7	18	August
5.4	4.6	3.5	4.5	158	71	30	9	8	—	—	—	3	10	7	9	15	12	5	15	7	2	4	21	September
6.5	5.4	4.9	5.6	64	13	4	11	11	—	—	—	7	8	12	8	10	5	6	10	13	6	6	29	Oktober
4.9	5.7	3.0	4.5	46	19	2	7	7	—	—	—	4	10	5	2	2	2	7	14	8	6	1	48	November
7.0	8.1	6.3	7.1	88	27	28	16	15	15	—	—	3	2	15	3	2	—	7	17	11	5	3	45	Dezember
5.3	5.1	5.2	5.2	1254	71	IX	144	132	46	—	7	35	105	105	51	90	54	49	118	124	76	39	494	Jahr

Beobachter: **B. Heldstab**

Altstätten

8.5	8.0	6.9	7.8	163	26	29	21	19	12	—	1	1	1	18	—	—	—	—	—	3	13	5	72	Januar
5.4	4.7	4.8	5.0	60	24	10	8	7	5	—	1	—	9	8	5	—	—	—	1	—	5	—	73	Februar
4.3	4.2	3.7	4.1	66	30	26	4	4	2	—	—	1	14	9	4	3	3	1	—	2	2	—	78	März
6.3	6.9	5.9	6.4	67	14	25	10	8	7	—	—	—	2	9	4	8	9	—	—	1	4	5	59	April
6.6	6.3	5.8	6.2	135	28	24	13	11	—	1	2	—	4	13	3	—	6	—	1	7	7	3	66	Mai
5.5	5.9	6.5	6.0	124	28	2	12	12	—	—	4	—	5	11	6	3	2	—	2	2	7	3	65	Juni
6.1	6.2	6.7	6.3	161	36	2	16	16	—	—	3	—	4	14	6	2	3	1	1	4	5	—	71	Juli
6.2	6.7	6.0	6.3	240	55	13.20	15	14	—	—	2	2	4	13	4	4	7	--	—	—	4	—	74	August
6.1	5.7	5.1	5.6	68	29	15	8	6	—	—	—	—	2	7	1	4	3	—	1	2	1	3	75	September
7.5	6.1	5.3	6.3	55	13	3	10	8	—	—	—	2	3	11	7	1	2	—	—	3	5	2	73	Oktober
6.5	5.7	5.8	6.0	35	12	22	8	5	1	—	—	3	4	11	1	—	3	2	1	4	—	2	77	November
8.7	8.8	7.3	8.3	88	24	5	14	11	13	—	—	5	1	18	2	1	3	—	—	3	5	—	79	Dezember
6.5	6.3	5.8	6.2	1262	55	VIII	139	121	40	1	13	14	53	142	43	26	41	4	7	31	58	23	862	Jahr

Säntis

$\lambda = 9° 20'$, $\beta = 47° 15'$, $H_b = 2500.1^m$, $G = -0.27$ ‰, $h_r = 1.3^m$

1938	Luftdruck					Luft-Temperatur								Relative Feuchtigkeit					
	Mittel	Minimum	Tag	Maximum	Tag	7³⁰	13³⁰	21³⁰	Mittel	Minimum	Tag	Maximum	Tag	7³⁰	13³⁰	21³⁰	Mittel	Minimum	Tag
Januar	557.6	543.9	30	573.8	24	-9.8	-9.3	-9.7	-9.6	-21.4	3	1.0	25	82	84	79	82	28	23
Februar	561.7	547.7	13	570.1	28	-9.1	-7.3	-8.2	-8.2	-18.2	14	1.0	26	71	67	68	69	35	24
März	566.3	555.9	27	574.0	4	-4.7	-2.7	-4.4	-4.1	-12.0	27	3.2	19	72	66	69	69	29	4
April	560.0	552.5	30	569.7	1	-8.7	-6.5	-9.3	-8.4	-16.4	10	1.2	2	81	79	87	82	30	15
Mai	560.9	552.3	1	567.8	13	-1.5	0.0	-1.9	-1.3	-10.4	1	6.4	14	80	80	84	81	38	12
Juni	567.3	559.2	13	572.6	21	4.6	7.0	4.4	5.1	-4.4	3	12.7	22	78	75	85	79	34	4
Juli	566.6	559.9	5	571.7	31	4.4	7.3	3.9	4.9	-2.6	10	15.9	30	82	76	89	82	48	26
August	565.0	558.8	29	570.3	1	4.8	7.1	4.4	5.2	-3.8	23	14.8	6	79	79	86	81	33	25
September	565.8	560.8	7	569.5	13	2.9	5.5	3.1	3.6	-3.3	5	10.4	13	78	72	77	76	33	12
Oktober	563.1	550.4	28	570.7	13	-0.2	1.5	-0.4	0.1	-7.8	28	9.0	15	71	69	69	70	18	22
November	563.3	545.3	22	572.4	14	-2.3	0.1	-1.8	-1.5	-9.4	22	8.4	7	72	66	68	69	20	6. 7
Dezember	555.6	546.1	23	564.0	13	-8.8	-7.8	-8.7	-8.5	-19.6	22	0.4	12	70	71	74	72	18	17
Jahr	562.8	543.9	I	574.0	III	-2.4	-0.4	-2.4	-1.9	-21.4	I	15.9	VII	76	74	78	76	18	X/XII

Sargans

$\lambda = 9° 26'$, $\beta = 47° 3'$, $H_b = 508.0^m$, $G = -0.05$ ‰, $h_r = 1.5^m$

Januar	718.8	701.5	10	733.9	24	-0.8	1.5	0.2	0.3	-13.6	4	8.0	14	81	74	82	79	41	15
Februar	722.9	708.1	13	732.2	28	-2.9	1.0	-0.7	-0.8	-10.2	16	6.3	28	85	73	87	82	41	26
März	725.0	713.4	26	733.9	5	4.4	11.0	6.6	7.1	0.8	14	17.4	31	70	51	63	61	30	16
April	720.0	710.5	29	729.3	11	3.7	9.2	4.8	5.6	-0.6	11	19.8	3	77	53	71	67	36	3
Mai	716.7	710.4	19	723.4	13	10.2	14.3	10.7	11.5	1.4	1	22.9	14	76	60	73	70	32	14
Juni	720.3	711.5	12	724.8	20	16.1	21.0	16.3	17.4	4.9	3	27.5	25	81	64	82	75	36	1
Juli	719.5	711.2	1	723.9	10	16.4	20.3	16.1	17.2	9.2	2	27.0	8	83	68	85	78	36	8
August	717.4	709.7	29	722.5	22	15.7	20.2	16.1	17.0	8.8	23	27.0	5	89	71	90	83	41	5
September	719.4	714.2	10	723.8	12	13.3	18.6	14.1	15.0	8.6	6	23.8	29	84	67	88	80	42	25
Oktober	719.0	707.5	28	726.8	12	7.6	12.1	8.5	9.2	0.3	23	18.4	10	93	74	92	86	48	4
November	720.1	697.3	22	729.6	14	5.1	10.2	6.6	7.1	-2.2	28	16.3	11	77	61	79	72	24	26
Dezember	715.7	704.5	20	723.5	4	-0.9	1.2	-0.4	-0.1	-10.9	27	14.8	11	84	78	85	82	25	8
Jahr	719.6	697.3	XI	722.5	VIII	7.3	11.7	8.2	8.9	-13.6	I	27.5	VI	82	66	81	76	24	XI

Glarus

$\lambda = 9° 4'$, $\beta = 47° 3'$, $H_b = 479.6^m$, $G = -0.04$ ‰, $h_r = 1.6^m$

Januar	721.2	703.9	10	736.5	24	-2.8	1.0	-1.8	-1.3	-14.7	4	7.6	14	92	74	88	85	38	15
Februar	725.3	710.5	13	735.0	28	-5.5	0.9	-3.2	-2.8	-14.3	17	5.8	28	90	65	88	81	45	25
März	727.5	717.0	26	736.4	4	0.6	9.8	3.7	4.5	-4.2	14	18.1	31	91	46	71	69	28	22
April	722.4	713.4	30	732.0	11	1.6	9.5	3.9	4.7	-5.6	22	19.3	3	84	42	74	67	22	3
Mai	719.0	712.4	19	725.9	12	7.7	14.9	9.6	10.5	-0.6	2	24.1	15	87	50	79	72	19	14
Juni	722.8	713.5	12	727.6	20	13.3	21.3	15.6	16.4	4.7	4	28.6	25	89	49	83	74	24	1
Juli	722.0	712.5	1	727.2	10	14.4	21.1	15.6	16.7	9.9	2	28.9	8	91	52	88	77	24	8
August	720.0	711.7	29	725.2	22	13.6	20.6	14.7	15.9	4.1	24	28.3	6	93	55	92	80	37	19
September	721.8	716.3	10	725.6	12.13	10.2	18.4	12.2	13.2	4.5	17	21.8	14	97	55	94	82	37	27
Oktober	721.4	709.8	28	729.4	12	6.0	11.8	6.9	7.9	-1.5	31	19.7	13	95	64	93	84	46	18
November	722.4	699.6	22	732.1	14	1.7	8.7	3.2	4.2	-3.7	28	15.5	21	94	60	92	82	28	21
Dezember	718.1	707.1	20	725.1	26	-2.5	0.5	-2.2	-1.6	-14.3	27	16.5	11	86	73	88	82	22	12
Jahr	722.0	699.6	XI	736.5	I	4.9	11.5	6.5	7.4	-14.7	I	28.9	VII	91	57	86	78	19	V

Elm

$\lambda = 9° 10'$, $\beta = 46° 55'$, $H = 959^m$, $G = -$ ‰, $h_r = 1.6^m$

Januar	—	—	—	—	—	-3.2	-0.3	-2.8	-2.3	-18.0	4	8.8	15	80	66	76	74	29	15
Februar	—	—	—	—	—	-5.1	1.0	-3.7	-2.9	-11.4	16	5.8	28	76	56	74	69	41	25.26
März	—	—	—	—	—	0.8	8.9	2.5	3.7	-6.2	14	16.2	21	70	48	65	61	29	21
April	—	—	—	—	—	-0.4	6.5	1.5	2.3	-8.8	22	17.6	2	73	48	71	64	31	2. 26
Mai	—	—	—	—	—	7.0	12.0	8.3	8.9	-3.8	1	21.4	14	72	52	70	65	27	3
Juni	—	—	—	—	—	13.0	18.8	14.5	15.2	2.0	3	26.0	25	72	55	73	67	32	1
Juli	—	—	—	—	—	13.3	18.0	13.6	14.6	6.8	2	25.4	8	78	60	81	73	30	7
August	—	—	—	—	—	11.9	17.3	13.2	13.9	2.6	24	26.4	5	85	60	85	77	38	19
September	—	—	—	—	—	9.6	15.9	11.6	12.2	4.4	17	21.6	28	81	57	78	72	36	28
Oktober	—	—	—	—	—	4.5	9.9	5.6	6.4	-3.6	31	18.4	10	85	65	84	78	37	25
November	—	—	—	—	—	2.8	7.2	4.0	4.5	-2.6	1	13.6	11	70	58	68	65	33	26
Dezember	—	—	—	—	—	-3.1	-1.5	-3.1	-2.7	-14.8	24	12.6	12	76	72	77	75	32	11
Jahr	—	—	—	—	—	4.3	9.5	5.4	6.1	-18.0	I	26.4	VIII	77	58	75	70	27	V

Beobachter: **E. Hostettler**

Säntis

Bewölkung				Niederschlag			Zahl der Tage								Windverteilung									1938
7.30	13.30	21.30	Mittel	Summe	Maximum	Tag	● *	●* ≥1.0	*	▲	K	≡	heiter	trüb	N	NE	E	SE	S	SW	W	NW	Calmen	
8.5	8.1	7.5	8.0	253	37	19	21	20	21	—	—	24	3	21	17	5	—	—	—	24	44	2	1	Januar
4.2	4.6	4.2	4.3	119	22	11	11	9	11	—	—	12	11	8	5	15	19	5	3	7	20	9	1	Februar
4.3	5.1	4.0	4.5	108	50	27	9	6	9	—	—	10	13	9	10	11	7	1	8	20	23	9	4	März
6.7	7.6	7.3	7.2	131	20	20	20	17	20	—	1	28	3	15	13	17	3	—	2	11	25	15	4	April
6.9	7.9	6.4	7.1	191	53	30	18	13	18	—	—	20	3	15	7	14	5	3	14	21	18	10	1	Mai
6.1	7.0	7.1	6.7	146	22	10	15	13	5	1	4	22	4	12	4	2	3	3	4	17	45	11	1	Juni
6.6	8.0	6.5	7.0	281	42	2	18	16	7	2	2	27	4	13	2	—	1	1	9	20	38	22	—	Juli
6.4	8.7	6.8	7.3	344	91	13	20	18	5	—	1	28	3	14	8	5	5	5	8	18	22	18	4	August
6.3	7.2	5.3	6.3	126	26	15	12	10	4	—	—	16	5	13	3	2	6	8	14	27	21	9	—	September
5.8	5.1	5.0	5.3	109	17	4	14	12	10	—	—	14	9	10	2	9	4	3	7	21	37	3	7	Oktober
5.7	5.7	4.6	5.3	85	23	22	8	7	7	—	—	10	7	8	3	1	4	6	11	24	31	6	4	November
7.0	6.9	4.9	6.3	147	31	5	15	13	15	—	—	17	3	10	12	7	2	5	12	15	31	8	1	Dezember
6.2	6.8	5.8	6.3	2040	91	VIII	181	154	132	3	8	228	68	148	86	88	59	40	92	225	355	122	28	Jahr

Beobachter: **K. Albrecht**

Sargans

7.1	6.9	6.0	6.7	154	43	30	18	17	13	—	1	—	4	14	9	6	7	29	1	—	6	—	44	Januar
4.1	3.2	4.4	3.9	100	40	11	8	7	6	—	—	1	11	6	1	14	11	13	1	1	3	3	37	Februar
3.5	3.2	3.6	3.4	69	31	27	6	5	2	—	—	—	15	7	3	6	6	13	10	9	4	—	42	März
5.5	5.4	5.6	5.5	62	13	20	11	9	6	—	—	—	7	8	7	19	8	—	1	3	6	6	40	April
5.9	6.0	6.0	6.0	96	22	20	13	11	2	—	—	—	5	13	5	2	8	10	15	2	9	4	38	Mai
4.5	4.2	5.7	4.8	151	37	2	15	15	—	—	2	—	7	7	5	—	11	9	7	4	7	5	42	Juni
5.4	5.4	5.8	5.5	133	47	2	18	12	—	—	5	—	8	10	2	6	13	8	8	3	4	1	48	Juli
5.7	6.1	6.1	6.0	160	50	13	17	15	—	—	1	—	6	11	2	5	7	—	6	2	7	4	60	August
4.4	4.5	4.1	4.3	42	19	15	6	5	—	—	—	—	12	6	—	8	13	9	12	1	4	1	42	September
5.5	4.5	4.1	4.7	45	11	3	11	8	1	—	—	4	9	8	3	7	18	5	—	1	2	2	55	Oktober
4.3	3.8	3.9	4.0	11	7	22	6	3	—	—	—	2	11	6	5	4	16	24	1	3	3	1	33	November
7.5	6.9	6.4	6.9	80	14	3	10	10	8	—	—	4	2	14	1	17	11	8	5	2	2	3	44	Dezember
5.3	5.0	5.1	5.1	1103	50	VIII	139	117	38	—	9	11	97	110	43	94	129	119	67	31	57	30	525	Jahr

Beobachter: **E. Wehrli**

Glarus

7.2	7.4	6.0	6.9	172	22	29	18	16	13	—	—	—	4	15	—	—	—	2	—	—	1	11	79	Januar
4.3	3.0	4.5	3.9	64	24	12	9	7	7	—	—	—	13	9	1	—	—	—	—	—	3	17	63	Februar
3.4	3.1	3.0	3.2	84	38	27	5	4	1	—	—	—	17	5	1	—	—	—	1	—	10	13	68	März
5.0	5.4	5.2	5.2	60	14	20	13	9	6	—	—	—	6	7	8	1	—	1	1	—	3	28	48	April
6.2	6.1	5.6	6.0	118	26	30	17	12	2	—	—	—	6	14	1	1	—	—	7	—	—	28	56	Mai
4.6	4.7	5.4	4.9	155	33	2	18	16	—	—	4	—	8	8	1	—	—	4	1	1	4	27	52	Juni
5.8	5.7	6.2	5.9	189	42	1	18	18	—	—	3	—	7	12	3	—	—	1	3	-	6	23	57	Juli
5.9	5.5	6.6	6.0	216	52	13	19	19	—	—	2	—	7	13	1	—	—	2	2	—	10	19	59	August
4.6	4.6	4.0	4.4	76	27	15	10	8	—	—	1	—	14	10	1	—	—	2	—	1	9	18	59	September
5.5	4.5	4.7	4.9	71	20	1	13	11	1	—	—	—	10	9	—	—	—	1	3	—	10	20	59	Oktober
4.3	3.7	3.4	3.8	21	8	22	6	4	—	—	—	—	14	6	1	—	—	1	2	2	6	12	66	November
7.4	7.6	5.8	6.9	80	16	28	13	11	9	—	—	3	3	14	1	—	—	3	2	—	—	18	69	Dezember
5.4	5.1	5.0	5.2	1306	52	VIII	159	135	39	—	10	3	109	122	19	2	—	17	22	4	62	234	735	Jahr

Beobachter: **J. Kubli**

Elm

7.7	7.4	5.4	6.8	180	31	29	17	16	15	—	—	3	4	16	14	—	1	—	1	—	—	—	77	Januar
4.4	3.6	4.9	4.3	85	26	10	9	7	9	—	—	5	11	7	7	—	—	—	2	—	—	1	74	Februar
4.1	4.2	3.6	4.0	53	29	27	4	4	3	—	—	—	13	8	4	—	·	—	6	—	—	—	83	März
5.3	6.5	7.5	6.4	58	21	30	10	8	10	—	—	2	3	12	23	—	—	—	1	—	—	—	66	April
6.4	7.4	6.1	6.6	113	30	20	17	14	4	—	—	2	4	14	8	—	—	1	11	—	—	—	73	Mai
4.8	5.6	6.7	5.7	145	40	2	17	14	1	—	3	7	6	10	16	1	—	—	3	1	—	2	67	Juni
6.1	6.9	7.3	6.8	221	58	1	19	17	—	—	2	7	4	14	20	—	—	3	3	—	—	—	67	Juli
6.2	7.4	7.3	7.0	244	57	13	21	21	—	—	1	2	3	17	14	—	—	—	—	—	—	—	79	August
5.1	6.1	5.7	5.6	56	21	15	11	9	—	—	—	7	5	10	9	—	—	2	12	—	—	1	66	September
5.3	5.0	5.1	5.1	88	22	1	13	9	2	—	—	10	11	11	4	—	—	—	1	—	—	—	88	Oktober
4.3	4.4	3.5	4.1	24	10	21	10	6	1	—	—	1	9	4	3	—	—	—	5	—	—	—	82	November
7.1	7.6	5.6	6.8	78	18	31	13	10	13	—	—	7	3	10	12	—	2	7	5	1	—	—	66	Dezember
5.6	6.0	5.7	5.8	1345	58	VII	161	135	58	—	6	53	76	133	134	1	3	13	50	2	—	4	888	Jahr

Auen (Linthal)

$\lambda = 8° 59'$, $\beta = 46° 54'$, $H_b = 821^m$, $G = -0.11\,^m/_m$, $h_r = 1.5^m$

1938	Luftdruck					Luft-Temperatur								Relative Feuchtigkeit					
	Mittel	Minimum	Tag	Maximum	Tag	7^{30}	13^{30}	21^{30}	Mittel	Minimum	Tag	Maximum	Tag	7^{30}	13^{30}	21^{30}	Mittel	Minimum	Tag
Januar	689.6	672.8	30	703.7	24	-2.9	1.0	-1.9	-1.4	-15.4	4	8.8	25	82	64	80	75	35	19.25
Februar	693.2	679.4	13	703.1	28	-3.3	2.1	-1.8	-1.2	-10.2	16	7.8	26	76	54	76	69	32	26
März	696.6	684.5	26	705.8	3	2.8	9.4	4.5	5.3	-3.6	13	14.0	23	65	45	61	57	30	7.11.1
April	691.1	682.6	30	699.0	11	1.6	7.7	2.7	3.7	-5.6	22	16.7	3	72	48	71	64	30	22
Mai	688.8	682.4	1	696.2	15	6.9	13.3	8.6	9.4	-1.7	2	21.8	14	79	52	75	69	30	11.25
Juni	693.1	684.1	12	698.0	20	12.8	19.5	14.6	15.4	3.4	3	26.8	25	79	58	77	71	36	1
Juli	692.6	684.7	1	696.1	10	13.7	18.7	14.3	15.2	7.8	2	25.7	31	82	60	86	76	33	7
August	690.7	683.2	29	695.8	5	12.8	18.5	13.7	14.7	4.5	24	26.5	4	87	61	88	79	41	5
September	691.9	686.7	10	695.2	12	10.4	17.0	12.2	13.0	5.6	17	23.5	28	81	58	83	74	33	8
Oktober	691.2	679.2	28	699.1	12	6.0	10.9	6.8	7.6	-0.6	25	19.5	10	84	64	86	78	36	10
November	691.7	669.3	22	701.9	14	4.3	9.4	5.2	6.0	-1.0	28	14.4	21	68	54	70	64	21	26
Dezember	686.6	675.1	20	694.4	4	-2.7	-0.1	-2.3	-1.8	-12.9	18	13.4	12	79	69	79	76	32	12
Jahr	691.4	669.3	XI	705.8	III	5.2	10.6	6.4	7.2	-15.4	I	26.8	VI	78	57	78	71	21	XI

Oberiberg

$\lambda = 8° 47'$, $\beta = 47° 2'$, $H_b = 1090^m$, $G = -0.10\,^m/_m$, $h_r = 1.7^m$

Januar	668.0	652.1	10	682.9	24	-3.8	0.8	-3.5	-2.5	-21.0	4	9.5	25	86	65	81	77	36	25
Februar	671.8	657.9	13	681.4	28	-6.9	2.2	-4.6	-3.5	-17.4	16	7.2	6	86	58	84	76	41	26
März	675.3	664.8	26	683.2	4	-0.7	8.7	0.9	2.4	-8.0	14	14.8	31	83	52	82	72	33	16
April	669.9	661.1	30	677.8	11	-1.1	6.5	-0.5	1.1	-9.4	22	15.1	2	88	52	87	76	36	1
Mai	667.8	660.9	1	674.5	12	5.9	12.0	5.9	7.4	-4.6	1	20.0	31	81	56	85	74	31	14
Juni	672.6	663.6	12	677.2	20	12.4	18.7	12.0	13.8	2.4	3	26.0	25	80	58	86	75	34	1
Juli	671.7	663.7	1	675.3	10.17	12.2	18.5	12.0	13.7	5.8	2	27.4	30.31	85	59	88	77	34	8
August	669.9	662.6	29	674.3	1	11.7	18.1	11.6	13.2	2.4	24	27.6	5	86	61	88	78	40	5
September	671.2	665.5	10	674.7	12	8.6	16.9	9.4	11.1	5.0	5. 6	21.4	14	89	58	92	80	35	11
Oktober	669.9	658.1	28	677.5	12	3.8	10 8	4.8	6.0	-5.0	31	20.5	10	90	65	89	81	42	10.25
November	670.5	650.0	22	679.9	14	1.9	10.2	3.0	4.5	-4.4	28	17.2	7	84	54	83	74	34	7
Dezember	664.9	653.4	20	672.5	4	-4.5	-0.2	-4.5	-3.4	-16.4	26	11.4	12	83	67	85	78	38	11
Jahr	670.3	650.0	XI	683.2	III	3.3	10.2	3.9	5.3	-21.0	I	27.4	VIII	85	59	86	77	31	V

Einsiedeln

Die Abendbeobachtung geschieht um 20^{30}. $\lambda = 8° 45'$, $\beta = 47° 8'$, $H_b = 913.9^m$, $G = -0.08\,^m/_m$, $h_r = 1.5^m$

Januar	682.7	666.3	10	697.6	24	-2.4	0.3	-1.5	-1.3	-17.3	4	7.7	13	79	71	76	75	30	4
Februar	686.6	672.8	13	696.0	28	-5.1	0.6	-1.8	-2.3	-12.0	17	6.2	1	84	64	82	77	42	7
März	689.8	679.3	26	698.0	4	1.2	8.3	4.2	4.4	-5.0	14	12.2	25	80	52	71	68	29	16
April	684.6	675.6	30	692.7	11	1.1	6.3	2.8	3.1	-5.5	22	15.9	2	80	54	71	68	29	2
Mai	682.0	675.6	1	688.1	12	6.9	11.9	8.9	8.7	0.0	2	19.4	14	82	60	72	71	31	27
Juni	686.5	678.2	12	691.3	20	13.5	18.1	15.2	15.1	5.4	3	26.4	25	79	60	74	71	31	1
Juli	685.6	677.6	1	690.1	17	13.7	18.1	15.3	15.2	8.7	3	25.8	8	78	56	70	68	22	8
August	683.9	676.4	29	688.2	1	13.2	17.6	14.4	14.7	5.8	24	25.5	5	82	62	78	74	35	4
September	685.3	679.7	10	688.8	12	10.0	15.5	11.6	12.1	6.2	17	19.6	25	88	62	85	78	43	17
Oktober	684.2	672.6	28	691.9	12	5.8	10.2	7.2	7.5	-0.2	25	17.9	10	87	69	85	80	38	9
November	684.8	663.7	22	694.2	14	3.1	9.3	4.6	5.5	-0.6	1. 28	13.2	21	83	59	79	74	30	21
Dezember	679.5	668.2	20	687.0	4	-3.4	-0.9	-2.9	-2.5	-14.0	27	9.2	11	83	74	83	80	38	11
Jahr	684.6	663.7	XI	698.0	III	4.8	9.6	6.5	6.7	-17.3	I	26.4	VI	82	62	77	54	22	VII

Zentralschweiz

Luzern

$\lambda = 8° 19'$, $\beta = 47° 3'$, $H_b = 497.8^m$, $G = -0.17\,^m/_m$, $h_r = 1.5^m$

Januar	719.2	701.9	10	734.7	24	0.3	2.8	1.2	1.4	-11.4	5	9.6	14	82	71	78	77	49	10
Februar	723.4	709.3	13	732.7	27.28	-1.8	2.8	0.8	0.6	-5.4	17	8.1	28	85	67	79	77	53	12
März	725.6	715.0	26	734.2	3	3.4	12.1	7.8	7.8	-2.1	14	17.1	31	83	49	63	65	34	16
April	720.6	711.9	30	730.0	10	2.7	10.0	6.1	6.2	-1.3	28	19.3	3	85	48	68	67	34	3
Mai	717.2	710.9	27	724.0	12	8.2	14.7	11.2	11.3	1.4	2	23.2	16	86	57	72	72	30	13
Juni	721.2	712.2	12	726.6	20	14.8	21.1	17.5	17.7	6.6	4	28.3	25	85	56	75	72	36	5
Juli	720.3	711.1	1	725.0	10	14.9	21.0	17.3	17.6	11.0	3	28.2	8	89	59	81	76	34	8
August	718.3	710.7	29	723.0	22	15.0	21.0	17.0	17.5	8.1	25	28.2	5	88	57	83	76	38	3
September	719.9	714.1	10	723.7	12	11.7	18.2	14.6	14.8	5.9	17	22.2	22.28	95	62	88	82	45	7
Oktober	719 7	709.3	28	727.6	12	7.3	12.0	8.9	9.3	1.0	31	19.4	10	93	66	86	82	44	6
November	720.5	698.6	22	730.7	14	4.0	8.5	6.0	6.1	-0.4	27	14.5	6	91	74	86	84	45	26
Dezember	716.5	705.8	20	724.2	26	-2.5	-0.2	-1.7	-1.5	-11.6	22	8.5	1	86	77	84	82	47	3
Jahr	720.2	698.6	XI	734.7	I	6.5	12.0	8.9	9.1	-11.6	XII	28.3	VI	87	62	79	76	30	V

Beobachter: **L. Curt**

Auen (Linthal)

Bewölkung 7³⁰	13³⁰	21³⁰	Mittel	Niederschlag Summe	Maximum	Tag	Zahl der Tage ●	●≥1.0	✳	▲	⚡	≡	heiter	trüb	Windverteilung N	NE	E	SE	S	SW	W	NW	Calmen	1938
7.7	7.0	6.5	7.1	207	30	30	17	14	14	—	—	3	4	15	9	—	—	1	1	—	—	—	82	Januar
4.6	3.5	4.8	4.3	104	28	10	10	7	9	—	—	5	10	8	3	—	1	—	—	—	—	—	80	Februar
4.4	3.5	3.5	3.8	124	78	27	4	4	4	—	—	2	14	8	8	1	6	—	8	—	—	—	70	März
6.0	6.2	7.4	6.5	75	17	3	15	9	12	—	—	1	4	13	18	—	—	—	—	—	—	1	71	April
6.7	6.4	6.8	6.6	110	30	20	15	10	4	—	—	5	4	14	11	—	—	—	6	—	—	—	76	Mai
4.8	5.1	7.6	5.8	157	45	2	19	15	—	—	3	2	7	10	20	—	—	—	2	—	1	—	67	Juni
6.3	6.5	7.5	6.8	192	38	2	17	15	—	—	6	8	5	15	16	—	—	—	4	1	—	—	72	Juli
6.2	6.7	7.0	6.6	202	84	13	22	21	—	—	1	3	5	14	14	—	—	—	—	—	—	—	79	August
5.2	5.9	5.4	5.5	64	16	15	10	9	—	—	—	—	5	11	11	—	—	—	2	—	—	—	77	September
5.9	4.4	5.7	5.3	83	17	1	11	9	1	—	—	8	8	10	11	—	—	—	—	—	—	—	82	Oktober
4.9	4.4	4.1	4.5	25	14	22	9	7	1	—	—	1	10	9	2	—	1	—	3	—	—	—	84	November
7.7	7.8	6.5	7.3	89	24	31	16	13	15	—	—	10	3	14	3	—	—	—	6	—	—	—	84	Dezember
5.9	5.6	6.1	5.9	1432	84	VIII	165	133	60	—	10	48	79	141	126	1	8	1	32	1	1	1	924	Jahr

Beobachter: **A. Holdener**

Oberiberg

7.8	7.7	6.4	7.3	205	27	29	19	18	14	—	—	1	3	19	—	—	—	—	3	11	11	1	67	Januar
4.5	4.6	4.9	4.7	96	25	10	10	9	10	—	—	—	13	10	—	1	—	1	1	6	9	—	66	Februar
3.9	3.5	2.7	3.4	77	33	27	5	5	4	—	—	—	15	5	—	2	2	—	4	4	4	—	77	März
5.1	7.2	5.0	5.8	94	21	20	13	12	12	—	—	—	5	9	8	5	2	1	3	6	3	5	57	April
6.7	7.4	6.2	6.8	175	52	30	19	17	4	—	—	1	4	16	2	2	—	2	4	9	2	3	69	Mai
5.2	6.4	5.8	5.8	164	33	2	18	17	2	—	3	—	8	10	2	9	4	1	2	3	5	—	64	Juni
6.1	6.8	6.1	6.3	246	45	1	17	15	—	—	1	—	5	12	2	1	6	—	3	6	3	1	71	Juli
5.9	7.4	5.9	6.4	358	88	13	19	19	—	1	3	—	5	13	2	4	2	—	1	5	6	—	73	August
5.4	6.8	4.6	5.6	152	43	24	12	10	—	1	1	1	5	10	2	3	1	—	—	1	2	—	81	September
6.2	5.7	5.6	5.8	104	28	4	14	12	2	—	—	3	9	13	—	3	4	1	1	4	3	4	73	Oktober
5.4	4.4	3.3	4.4	36	14	22	7	5	1	—	—	2	10	8	1	—	—	—	2	2	2	1	82	November
7.5	7.5	5.5	6.8	93	17	28	15	13	15	—	—	1	2	12	1	—	—	—	5	5	3	—	79	Dezember
5.8	6.3	5.2	5.8	1800	88	VIII	168	152	64	2	8	9	84	137	20	30	21	6	29	62	53	15	859	Jahr

Beobachter: P. **Th. Schwegler**

Einsiedeln

7.9	8.3	6.3	7.5	177	34	29	21	18	18	—	—	3	3	17	—	1	5	1	3	7	18	1	57	Januar
5.7	5.3	5.6	5.5	69	16	12	9	8	8	—	—	2	9	12	2	2	—	—	1	2	9	3	65	Februar
4.0	3.6	2.9	3.5	79	31	27	6	5	3	—	—	—	15	6	10	1	7	8	—	3	6	2	56	März
5.2	6.4	5.8	5.8	70	17	20	11	9	10	—	—	1	6	11	15	4	8	1	1	1	6	10	44	April
6.8	6.8	6.0	6.5	142	31	30	18	12	4	—	—	3	4	14	15	3	1	1	1	9	14	7	42	Mai
5.6	5.8	6.2	5.9	168	46	13	17	16	—	1	4	2	5	12	11	1	1	1	1	5	14	9	47	Juni
6.2	6.0	5.8	6.0	238	32	1. 24	17	16	—	—	2	1	4	11	15	—	1	—	4	5	17	10	41	Juli
5.5	6.3	6.5	6.1	286	70	13	15	14	—	—	2	—	6	11	16	1	—	3	3	4	13	5	48	August
5.2	5.5	4.3	5.0	133	53	30	13	10	—	—	1	2	7	8	15	1	—	1	—	2	2	10	59	September
7.0	6.4	4.8	6.1	80	15	1	13	12	1	—	—	7	4	13	5	—	—	—	—	3	13	5	67	Oktober
4.6	5.0	3.4	4.3	35	11	22	7	4	1	—	—	1	11	8	10	—	9	2	4	3	15	7	40	November
7.1	7.4	5.6	6.7	87	18	28	13	12	13	—	—	8	3	13	—	1	—	—	1	15	10	3	63	Dezember
5.9	6.1	5.3	5.8	1564	70	VIII	160	136	58	1	9	30	77	136	114	15	32	18	19	59	137	72	629	Jahr

Beobachter: **Kloster Wesemlin**

Luzern

8.8	8.0	6.5	7.8	82	12	6	20	16	6	—	—	2	—	13	4	3	2	7	—	3	3	4	67	Januar
7.4	6.2	6.5	6.7	38	11	11	8	8	6	—	—	3	5	16	6	4	1	6	1	2	2	6	56	Februar
3.2	2.4	2.5	2.7	35	17	1	5	4	—	—	—	—	18	3	9	5	4	18	—	1	3	3	50	März
4.7	5.6	4.9	5.1	29	11	29	7	6	4	—	—	—	6	8	19	14	3	4	2	—	3	9	36	April
7.1	6.2	6.2	6.5	121	29	19	16	13	—	—	—	—	4	14	16	6	13	17	—	—	5	5	31	Mai
5.6	5.0	5.8	5.5	139	47	13	14	12	—	—	3	1	6	9	23	7	11	16	—	—	3	4	26	Juni
6.0	5.6	5.5	5.7	210	35	1	15	14	—	—	2	2	5	10	19	3	10	17	—	—	—	1	43	Juli
5.8	5.8	6.7	6.1	208	37	13	16	14	—	1	3	1	5	11	11	3	8	7	4	1	2	4	53	August
6.6	5.2	4.9	5.6	92	35	30	10	9	—	—	1	6	6	9	7	7	5	11	—	—	1	2	57	September
6.7	5.8	5.3	5.9	51	15	4	10	9	1	—	—	5	4	10	16	7	1	11	1	—	2	2	53	Oktober
7.7	5.8	5.3	6.3	24	7	22	8	6	—	—	—	12	3	11	4	3	3	15	—	—	3	1	61	November
9.0	8.8	7.9	8.6	67	17	28	15	13	11	—	—	9	1	22	15	5	2	2	—	2	2	3	62	Dezember
6.6	6.9	5.7	6.4	1096	47	VI	144	124	28	1	9	41	63	136	149	67	63	131	8	9	29	44	595	Jahr

Walchwil

$\lambda = 8° 30'$, $\beta = 47° 6'$, $H = 452^m$, $G = -^m/_m$, $h_r = 1.5$

1938	Luftdruck					Luft-Temperatur								Relative Feuchtigkeit					
	Mittel	Minimum	Tag	Maximum	Tag	7^{30}	13^{30}	21^{30}	Mittel	Minimum	Tag	Maximum	Tag	7^{30}	13^{30}	21^{30}	Mittel	Minimum	Tag
Januar	—	—	—	—	—	0.4	2.7	1.4	1.5	-10.4	4	11.6	14	82	67	79	76	45	10.3
Februar	—	—	—		—	-1.3	2.0	0.2	0.3	-7.2	17	7.3	28	84	66	75	75	26	1
März	—	—	—	—	—	3.3	11.5	7.2	7.3	-2.2	14	18.0	22	87	51	62	67	27	2
April	—	—	—	—	—	3.7	9.7	5.4	6.1	-1.2	10	21.4	2	81	49	65	65	26	2
Mai	—	—	—	—	—	9.2	14.2	11.0	11.3	2.0	1	24.8	16	82	55	69	69	24	1
Juni	—	—	—	—	—	15.2	20.8	17.2	17.6	8.1	2. 3	26.7	25	80	53	71	68	30	[illegible]
Juli	—	—	—	—	—	15.6	20.6	16.4	17.3	10.8	3	26.8	31	81	57	76	71	25	7
August	—	—	—	—	—	15.7	20.8	16.1	17.2	8.6	25	28.0	1	85	57	81	74	37	23
September	—	—	—	—	—	12.9	17.9	14.2	14.8	9.6	7	24.0	23	90	60	84	78	42	27
Oktober	—	—	—	—	—	8.6	11.7	9.3	9.7	3.0	23. 31	18.6	10	87	64	86	79	40	8
November	—	—	—	—	—	5.5	8.0	6.4	6.6	0.3	28	14.9	5	88	74	85	82	44	20
Dezember	—	—	—	—	—	-1.5	0.2	-1.0	-0.8	-9.2	23	8.9	1	86	73	81	80	39	[illegible]
Jahr	—	—	—	—	—	7.3	11.7	8.7	9.1	-10.4	I	28.0	VIII	84	61	76	74	24	V

Rigi-Kulm

$\lambda = 8° 30'$, $\beta = 47° 3'$, $H_b = 1787.3^m$, $G = -0.20^m/_m$, $h_r = 1.8^m$

Januar	611.3	596.3	30	627.0	24	-5.5	-4.8	-5.2	-5.2	-18.7	4	6.9	25	79	76	77	77	20	25
Februar	615.0	601.3	13	623.6	28	-5.3	-3.1	-4.3	-4.2	-13.6	15	5.2	26	70	64	65	66	18	22.2
März	619.3	609.5	26	627.0	4	0.0	2.4	0.5	0.8	-7.0	27	8.5	31	64	61	65	63	12	14
April	613.5	605.2	30	622.0	1	-3.9	-1.5	-4.4	-3.5	-10.8	10.11	7.9	2	75	71	80	75	42	2
Mai	612.8	605.1	1	619.4	13	2.2	4.7	2.5	3.0	-5.6	20	12.0	16	70	68	72	70	30	2
Juni	618.5	609.6	12	622.9	20	9.2	11.3	9.3	9.8	-1.2	3	18.6	25	68	71	74	71	21	17
Juli	617.6	610.8	1	621.9	30	8.7	10.8	8.6	9.2	1.1	10	18.4	26	72	73	79	75	38	26
August	616.1	609.2	29	621.7	5	8.5	11.1	8.5	9.1	2.0	22	20.0	5	77	79	81	79	32	19
September	617.0	611.7	10	620.4	12	7.1	9.4	7.4	7.8	0.6	6	13.8	14	68	67	71	69	36	21
Oktober	614.9	602.8	28	622.4	13	3.6	5.0	3.3	3.8	-5.6	29	13.7	10	65	63	66	65	17	21
November	615.4	595.7	22	624.5	14	2.1	4.3	2.7	3.0	-4.4	22	11.6	7	64	56	58	59	9	7
Dezember	608.5	598.1	20	616.1	13.14	-4.8	-3.7	-5.4	-4.8	-16.6	22	6.0	12	62	62	68	64	8	5
Jahr	615.0	595.7	XI	627.0	I/III	1.8	3.8	2.0	2.4	-18.7	I	20.0	VIII	69	68	71	69	8	XII

Pilatus-Kulm

Die Abendbeobachtung geschieht um 20^{30h}

$\lambda = 8° 16'$, $\beta = 46° 59'$, $H_b = 2068^m$, $G = -0.23^m/_m$, $h_r = 2.0^m$

Januar	587.2	573.4	10. 30	603.1	24	-6.7	-5.4	-7.0	-6.5	-19.4	3	3.2	24	80	83	83	82	20	23
Februar	590.9	576.9	13	599.4	28	-6.9	-3.4	-5.7	-5.5	-15.6	15	4.0	26	69	60	64	64	16	5
März	595.1	585.4	26	602.7	4	-2.0	1.8	-1.6	-0.8	-8.2	27	5.8	31	68	61	67	65	19	5
April	589.5	581.4	30	597.9	1	-5.9	-2.9	-5.7	-5.1	-13.2	11	6.0	2	78	81	82	80	46	6
Mai	589.0	580.6	1	595.9	12	0.4	3.3	1.0	1.2	-7.2	2	12.0	14	80	73	83	78	40	14.15
Juni	595.0	586.7	12	599.2	22	7.7	11.5	7.7	8.5	-0.2	2. 3	19.4	24	72	72	87	77	36	17
Juli	564.4	588.0	5	598.8	31	7.5	11.3	7.8	8.4	0.2	3	17.4	30	80	72	88	80	38	31
August	592.8	597.5	1	586.8	29	7.3	10.3	7.1	7.8	0.0	22	17.4	5. 19	79	80	85	81	28	24
September	593.4	588.1	10	596.9	13	5.4	9.1	5.8	6.5	-0.6	6	14.2	23	76	71	81	76	22	16
Oktober	590.9	578.9	28	598.7	13	3.1	6.1	3.1	3.9	-7.8	29	14.8	16.17	71	66	69	69	15	21
November	591.5	572.1	22	600.6	14	0.7	4.3	1.1	1.8	-7.2	22	11.8	7	71	57	66	65	11	7
Dezember	584.2	573.1	23	592.1	13	-6.5	-4.7	-6.5	-6.0	-18.4	22	3.2	12	74	77	78	76	26	27
Jahr	591.1	572.1	XI	603.1	I	0.3	3.4	0.6	1.2	-19.4	I	19.4	VI	75	71	78	74	11	XI

Pilatus-Kulm: Alle Luftdruckwerte sind ca. 2.8 mm zu tief.

Sarnen

$\lambda = 8° 15'$, $\beta = 46° 54'$, $H_b =$ ca. 474.5^m, $G = -0.03^m/_m$, $h_r = 1.7^m$

Januar	721.0	703.2	10	736.2	24	-0.4	2.9	0.4	0.8	-11.2	4	8.1	15	87	72	84	81	50	15
Februar	725.2	710.7	13	735.0	27	-2.4	2.7	-0.3	-0.1	-6.6	24	7.8	10	88	64	82	78	46	25
März	727.3	716.1	26	736.1	3	1.8	11.7	5.0	5.9	-4.0	14	16.7	31	91	49	76	72	32	16
April	722.1	713.0	30	731.3	11	2.6	9.7	4.7	5.4	-1.6	12	20.0	3	85	51	75	70	30	3
Mai	718.8	711.5	27	726.0	12	9.2	14.7	10.0	11.0	0.7	1	22.0	15. 27	82	56	81	73	33	13
Juni	722.6	713.4	12	727.6	20	15.9	20.7	16.3	17.3	8.1	3	27.6	25	78	57	82	72	36	1
Juli	721.6	711.8	1	726.5	10	15.7	21.0	16.1	17.2	11.0	3	28.0	31	84	57	86	76	35	8
August	719.7	712.0	29	724.7	22	15.4	20.9	15 8	17.0	8.5	23	28.0	5	88	58	87	78	45	3. 5
September	721.5	715.4	10	725.3	16	11.6	18.1	13.4	14.1	7.1	17	21.7	23	96	63	91	83	48	21
Oktober	721.2	709.8	28	729.4	12	7.4	12.2	8.1	8.9	-0.3	31	18.7	19	92	67	91	83	46	10
November	722.1	701.3	22	732.0	14	3.2	8.7	4.5	5.2	-1.4	28	13.8	6	94	72	90	85	50	3. 21
Dezember	717.7	706.8	20	725.3	4	-2.3	0.5	-1.5	-1.2	-12.2	27	7.8	1	90	78	85	84	53	3
Jahr	721.7	701.3	XI	736.2	I	6.5	12.0	7.7	8.5	-12.2	XII	28.0	VII-VIII	88	62	84	78	30	IV

Beobachter: **A. Wyss**

Walchwil

Bewölkung 7³⁰	13³⁰	21³⁰	Mittel	Niederschlag Summe	Maximum	Tag	Zahl der Tage ● *	●* ≧1.0	*	▲	⊼	≡	heiter	trüb	Windverteilung N	NE	E	SE	S	SW	W	NW	Calmen	1938
8.3	8.3	7.9	8.2	105	21	27	16	13	7	—	—	3	1	19	7	2	3	—	—	1	3	4	73	Januar
7.4	6.5	6.8	6.9	42	17	11	8	7	5	—	—	4	6	16	1	—	1	—	—	—	2	7	73	Februar
3.2	2.7	2.7	2.9	64	23	27	4	4	—	—	—	—	16	6	1	4	—	—	—	—	1	1	86	März
5.5	6.1	4.8	5.5	40	15	29	8	7	4	—	—	—	5	7	5	5	—	—	—	—	—	6	74	April
7.1	6.2	5.5	6.3	139	30	19	15	13	1	—	1	1	5	10	2	2	2	3	1	1	5	2	75	Mai
5.6	4.3	5.5	5.1	129	38	13	12	11	—	—	4	1	8	7	—	—	1	1	1	—	4	7	76	Juni
5.6	5.1	5.4	5.4	216	34	1	16	14	—	—	2	—	5	8	1	3	—	1	1	1	—	5	81	Juli
5.2	5.5	5.7	5.5	195	49	13	10	10	—	—	4	1	6	8	2	6	1	1	—	—	5	6	72	August
7.1	5.3	4.3	5.6	82	30	30	9	8	—	—	—	2	6	8	1	3	—	—	—	—	2	2	82	September
7.3	6.4	5.5	6.4	34	?	—	7	6	—	—	—	6	3	12	2	4	—	—	—	—	6	14	67	Oktober
8.2	7.0	5.6	6.9	17	16	23	3	2	—	—	—	10	4	15	—	1	—	—	—	—	3	1	85	November
9.2	9.0	7.4	8.5	74	?	—	9	9	5	—	—	4	—	21	3	4	—	—	—	—	1	—	85	Dezember
6.6	6.0	5.6	6.1	1137	49	VIII	117	104	22	—	11	32	65	137	25	34	8	6	3	3	32	55	929	Jahr

Beobachter: **J. Steiner**

Rigi-Kulm

7.5	8.0	6.2	7.2	199	32	27	20	18	20	—	—	13	3	18	—	4	7	2	1	24	47	5	3	Januar
4.4	4.5	4.2	4.4	110	30	10	10	9	10	—	—	8	11	8	—	4	13	18	1	12	24	2	10	Februar
3.4	2.9	3.2	3.2	84	32	26	4	4	4	—	—	5	17	4	1	2	18	15	4	15	26	4	8	März
5.3	6.8	5.7	5.9	107	24	29	13	11	13	—	—	11	6	9	4	28	8	2	1	16	17	9	5	April
6.3	6.9	5.7	6.3	195	31	24	19	16	10	—	—	12	5	12	2	11	9	18	5	16	22	6	4	Mai
5.1	5.5	6.1	5.6	180	36	13	16	13	1	—	1	9	7	11	—	4	4	4	6	36	34	1	1	Juni
5.7	6.2	6.3	6.1	322	55	24	17	16	1	—	1	9	7	13	3	7	5	2	9	15	29	16	7	Juli
5.1	6.8	6.6	6.2	335	71	13	19	14	—	—	3	10	6	11	4	12	11	3	3	23	20	8	9	August
4.8	5.2	4.5	4.8	148	55	30	11	9	2	—	—	10	8	8	1	3	8	15	15	28	12	5	3	September
5.0	5.1	4.3	4.8	79	19	1	11	10	3	—	—	12	13	10	1	—	9	5	5	35	36	1	1	Oktober
4.9	4.6	3.8	4.4	34	10	2	8	7	5	—	—	6	10	8	1	—	9	8	10	20	31	4	7	November
6.8	6.6	6.4	6.6	142	30	28	15	13	15	—	—	14	2	12	2	5	11	11	14	10	32	3	5	Dezember
5.4	5.8	5.3	5.5	1946	71	VIII	163	140	84	—	5	119	95	124	19	80	112	103	74	250	330	64	63	Jahr

Beobachter: **A. von Wyl, F. X. Furrer, M. Ambühl**

Pilatus-Kulm

7.1	8.0	6.7	7.3	257	43	30	21	19	20	—	—	17	5	17	—	14	—	—	6	58	2	1	12	Januar
3.4	3.8	4.0	3.7	117	37	10	8	8	8	—	—	9	15	7	—	17	11	—	4	21	3	—	28	Februar
3.1	2.9	2.6	2.9	48	17	27	5	4	5	—	—	7	17	5	1	17	9	—	14	15	—	—	37	März
4.6	7.2	7.6	6.5	106	22	3	13	13	13	—	1	15	5	10	1	26	—	—	3	3	—	31	26	April
6.6	7.8	6.5	7.0	157	41	19	16	16	13	—	—	12	5	15	—	4	—	1	—	24	—	29	35	Mai
5.7	7.8	6.4	6.6	204	41	13	15	14	3	—	4	17	4	12	1	10	—	6	3	30	—	—	40	Juni
6.5	8.4	7.2	7.4	229	41	1	15	15	4	—	4	20	3	16	—	—	—	—	—	48	—	1	44	Juli
5.7	8.1	7.3	7.0	279	53	13	16	15	—	—	—	24	2	14	—	4	—	—	1	30	—	1	57	August
5.1	6.7	4.5	5.4	167	45	30	11	10	2	—	—	12	7	9	—	5	—	2	—	20	—	—	63	September
5.2	5.3	3.8	4.8	49	9	4	10	10	3	—	—	15	9	8	—	5	1	2	—	38	—	—	47	Oktober
4.3	4.2	3.1	3.9	28	9	22	8	6	8	—	—	7	11	5	—	2	4	—	9	29	1	1	44	November
6.3	6.9	4.5	5.9	123	34	28	14	11	14	—	—	12	5	9	1	4	6	—	3	39	—	1	39	Dezember
5.3	6.4	5.4	5.7	1764	53	VIII	152	141	93	—	9	167	88	127	4	108	31	11	43	355	6	65	472	Jahr

Beobachter: P. **Ch. Durrer**

Sarnen

9.1	8.6	7.4	8.4	99	18	30	17	15	10	—	—	2	—	19	—	30	—	—	—	10	—	—	53	Januar
7.6	6.1	6.3	6.7	36	16	10	8	6	6	—	—	7	3	15	—	22	—	—	—	5	—	—	57	Februar
3.5	3.1	2.7	3.1	22	12	26	4	3	—	—	—	—	14	2	—	29	—	—	—	6	—	—	58	März
4.8	5.5	5.4	5.2	43	14	20	11	9	4	—	—	—	3	4	—	39	—	—	—	1	—	—	50	April
7.0	6.5	6.1	6.5	139	23	20	15	12	1	1	1	1	2	12	—	31	—	—	—	3	—	—	59	Mai
5.4	5.7	5.6	5.6	158	25	13	17	16	—	1	3	—	5	7	—	36	—	—	—	4	—		50	Juni
5.8	5.9	5.7	5.8	194	38	1	16	13	—	—	2	—	3	6	—	33	—	—	—	4	—	—	56	Juli
6.4	6.1	6.6	6.4	153	38	21	16	12	—	—	1	—	3	11	—	31	—	—	—	4	—	—	58	August
6.9	5.9	5.7	6.2	99	28	30	12	10	—	—	—	6	1	7	—	26	—	—	—	2	—	—	62	September
7.9	5.9	5.6	6.5	52	14	4	10	9	1	—	—	6	2	12	—	34	—	—	—	5	—	—	54	Oktober
8.1	5.3	5.1	6.2	21	6	22	7	6	—	—	—	14	—	9	—	30	—	—	—	4	—	—	56	November
8.9	8.1	8.6	8.5	60	16	28	16	11	13	—	—	6	—	21	—	41	—	—	—	6	—	—	46	Dezember
6.8	6.1	5.9	6.3	1076	38	VIII	149	122	35	2	7	42	36	125	—	382	—	—	—	54	—	—	659	Jahr

Engelberg

Die Abendbeobachtung geschieht um 20^{30}. $\lambda = 8° 25'$, $\beta = 46° 49'$, $H_b = 1017.8^m$, $G = -0.12$ m/m, $h_r = 1.6^m$

1938	Luftdruck					Luft-Temperatur								Relative Feuchtigkeit					
	Mittel	Minimum	Tag	Maximum	Tag	7^{30}	13^{30}	21^{30}	Mittel	Minimum	Tag	Maximum	Tag	7^{30}	13^{30}	21^{30}	Mittel	Minimum	Tag
Januar	672.2	655.5	10	687.0	24	-3.3	-0.2	-2.2	-2.0	-17.9	4	9.7	15	80	68	77	75	32	10
Februar	675.9	662.4	13	685.1	28	-5.2	0.4	-3.4	-2.9	-11.4	17	5.3	6	84	66	83	78	31	26
März	679.1	668.7	26	688.1	3	0.3	8.2	2.7	3.5	-4.9	14	13.8	31	73	45	68	62	17	16
April	673.9	665.1	30	681.2	10	-0.7	5.8	1.8	2.0	-7.9	22	16.5	3	81	52	73	69	15	8
Mai	671.5	665.1	1	677.6	12.13	5.3	11.0	7.6	7.6	-2.3	3	18.7	15	82	55	76	71	21	14
Juni	676.0	666.9	12	680.4	20	11.1	17.5	13.3	13.5	3.0	4	25.5	25	85	59	80	75	23	1
Juli	675.2	666.6	1	678.7	10	11.7	17.2	13.5	13.6	7.1	2	23.9	8.31	88	60	84	77	23	8
August	673.5	666.4	29	677.6	1	11.4	16.7	13.3	13.4	3.3	24	24.6	5	91	65	88	81	39	5
September	674.8	669.0	10	678.1	12	8.6	14.6	10.7	11.0	4.1	17	18.7	28	93	67	92	84	40	21
Oktober	673.5	662.1	28	681.0	12	4.4	9.6	5.4	6.3	-4.2	29	18.5	10	9[illegible]	69	90	83	30	10
November	674.1	653.1	22	683.4	14	2.3	8.1	3.4	4.4	-3.3	28	13.0	21	76	54	74	68	17	26
Dezember	668.7	657.4	20	676.2	4	-3.8	-1.4	-3.7	-3.1	-14.4	27	11.6	12	81	79	83	81	20	11. 1
Jahr	—	—	—	—	—	3.5	9.0	5.2	5.6	-17.9	I	25.5	VI	84	62	81	75	15	III

Engelberg: Die Luftdruckwerte sind zu niedrig, die Korrektion beträgt anfänglich ca. 1.2 mm, später 2.5 mm, Wechsel wahrscheinlich im Mai. Der letztere Wert wurde im Oktober mit dem Hypsometer ermittelt.

Altdorf

$\lambda = 8° 39'$, $\beta = 46° 53'$, $H_b = 456.3^m$, $G = -0.05$ m/m, $h_r = 1.5^m$

Januar	722.8	705.0	10	738.6	24	-0.6	3.0	0.2	0.7	-11.3	5	8.6	16	80	66	79	75	35	9
Februar	727.0	712.2	13	736.8	27.28	-2.2	2.7	-0.5	-0.1	-9.2	17	8.4	1	85	66	86	79	46	28
März	729.2	717.4	26	738.4	3	2.9	11.1	6.2	6.6	-2.9	14	16.9	22	84	48	63	65	26	22
April	724.1	715.1	30	733.6	2	3.2	9.5	5.3	5.8	-1.9	11	18.3	3	74	46	67	62	35	12
Mai	720.6	714.1	27	727.4	12	10.0	15.1	11.3	11.9	0.8	1	27.3	16	80	54	67	67	25	14
Juni	724.4	715.2	12	729.0	20	15.0	20.8	16.8	17.4	7.7	3	26.5	9	80	55	78	71	32	1
Juli	723.5	713.4	1	728.2	9	15.5	20.5	16.6	17.3	10.0	2	27.7	31	82	55	83	73	31	7. 8
August	722.0	713.5	29	727.4	22	15.1	20.8	16.4	17.2	8.4	24.25	27.2	5	86	57	82	75	34	22
September	723.3	717.3	10	726.9	16	12.6	18.4	14.0	14.8	8.6	17	23.4	28	86	55	83	75	32	8.9 26.27
Oktober	723.1	711.7	28	731.4	12	7.5	12.4	8.4	9.2	0.6	31	18.6	10	90	65	89	81	45	14
November	723.6	700.9	22	734.0	14	3.8	9.4	5.4	6.0	-1.1	28	14.0	21	84	63	78	75	16	26
Dezember	719.5	708.0	20	727.4	4	0.0	2.9	0.5	1.0	-11.2	27	16.4	12	72	63	69	68	24	8
Jahr	723.6	700.9	XI	738.6	I	6.9	12.2	8.4	9.0	-11.3	I	27.7	VII	82	58	77	72	16	XI

Göschenen

$\lambda = 8° 35'$, $\beta = 46° 40'$, $H_b = 1107.2^m$, $G = -0.16$ m/m, $h_r = 2.7^m$

Januar	666.0	651.1	30	681.0	24	-2.6	-0.7	-2.4	-2.0	-16.4	4	7.0	25	82	82	82	82	41	14
Februar	669.8	655.7	13	679.3	28	-2.6	0.3	-1.6	-1.4	-11.4	15	7.2	8	79	69	76	75	40	8. 23
März	673.3	663.0	26	681.1	3	2.6	6.4	3.1	3.8	-2.8	14	11.4	25	69	58	70	66	36	21
April	667.6	659.0	30	674.9	11	0.5	5.3	1.1	2.0	-6.4	22	14.2	3	75	65	80	73	31	3
Mai	666.1	658.7	1	672.0	13	6.3	10.3	7.2	7.7	-1.0	20	17.8	14	77	67	81	75	36	14
Juni	670.6	661.5	12	674.8	20	12.4	17.3	12.5	13.7	2.4	3	27.6	25	76	66	87	76	41	5
Juli	669.9	662.0	1	674.2	31	12.4	16.7	13.4	14.0	5.2	2	23.4	26	83	73	89	82	51	21.26
August	667.9	661.9	29.30	672.7	5	12.5	16.7	13.3	13.9	3.6	24	26.6	5	85	73	90	83	47	5. 16
September	669.7	665.0	10	673.5	27	10.1	14.7	11.5	12.0	5.8	6	19.6	23	78	70	80	76	45	23
Oktober	668.0	656.1	28	675.7	12	5.9	9.4	6.6	7.1	-2.2	29	18.8	10	77	74	83	78	27	25
November	668.8	649.3	22	677.0	14	5.0	7.3	5.3	5.7	0.0	27	11.8	7	70	65	70	68	30	26
Dezember	663.4	652.9	23	670.7	4	-2.0	-1.1	-1.5	-1.5	-12.6	24	8.8	12.13	82	80	77	80	33	7
Jahr	668.4	649.3	XI	681.1	I	5.0	8.5	5.7	6.2	-16.4	I	27.6	V	78	70	80	76	27	X

St. Gotthard

$\lambda = 8° 34'$, $\beta = 46° 33'$, $H_b = 2095.7^m$, $G = -0.25$ m/m, $h_r = 1.8^m$

Januar	588.2	574.9	30	603.4	24	-8.8	-7.0	-8.6	-8.3	-22.4	4	2.0	25	72	71	71	71	40	25
Februar	591.7	577.2	13	600.3	28	-8.6	-4.9	-7.6	-7.2	-15.8	15	1.3	5	60	59	65	61	34	22
März	596.1	587.5	25	603.2	4	-3.9	-0.2	-3.7	-2.9	- 9.2	27	3.6	19	63	58	62	61	30	5
April	589.8	582.2	30	599.0	1	-5.6	-2.9	-6.2	-5.2	-17.2	22	7.0	3	68	56	71	65	22	12
Mai	590.3	581.5	1	596.6	13	-0.4	1.6	-0.1	0.3	-8.0	1	8.4	14	76	65	81	74	38	3
Juni	596.2	587.6	12.13	600.4	20.22	5.4	10.2	6.4	7.1	-3.4	3	18.0	28	73	61	79	71	41	8
Juli	595.4	588.6	2	600.0	30	6.6	10.6	7.1	7.9	0.0	2.3.10	18.4	30	74	66	82	74	39	31
August	593.7	587.5	29	598.8	4. 5	7.1	10.9	7.0	8.0	0.0	24	17.2	4. 5	75	65	83	74	38	3
September	595.1	590.4	10	598.5	27	4.1	7.6	4.6	5.2	-0.6	6	13.5	13	79	75	91	82	44	18
Oktober	592.1	579.0	28	599.6	12	1.3	4.3	1.3	2.0	-8.4	30	11.3	15	76	72	88	79	40	13
November	593.1	575.3	22	600.9	13	-1.3	0.0	-1.0	-0.8	-6.8	26	5.6	7	75	67	78	73	27	8
Dezember	586.1	575.8	23	595.1	13	-8.6	-6.8	-8.8	-8.2	-19.5	26	0.5	1	80	80	82	81	60	5
Jahr	592.3	574.9	I	603.4	I	-1.1	2.0	-0.8	-0.2	-22.4	I	18.4	VII	73	66	78	72	22	IV

Beobachter: P. N. Kaeser

Engelberg

Bewölkung				Niederschlag			Zahl der Tage								Windverteilung									1938
7^{30}	13^{30}	21^{30}	Mittel	Summe	Maximum	Tag	● *	●* ≥1.0	*	▲	⇘	≡	heiter	trüb	N	NE	E	SE	S	SW	W	NW	Calmen	
7.5	6.9	5.8	6.7	170	35	30	16	14	12	—	—	—	5	15	—	23	—	12	—	14	—	1	43	Januar
5.4	4.6	5.1	5.0	123	64	11	9	8	9	—	—	—	9	8	—	11	—	7	—	20	—	1	45	Februar
3.5	3.1	2.8	3.1	48	18	27	4	4	3	—	—	—	16	6	—	10	—	13	—	26	—	1	43	März
5.3	6.3	6.7	6.1	79	23	20	13	12	13	—	—	1	6	12	—	6	—	4	—	42	—	2	36	April
7.2	7.1	7.2	7.2	133	22	20	18	14	5	—	—	2	3	14	—	7	—	11	—	33	—	—	42	Mai
5.1	5.7	6.7	5.8	189	31	2	20	17	—	—	4	4	5	10	—	6	—	3	—	33	—	3	45	Juni
6.2	6.5	7.9	6.9	236	43	1	17	14	—	—	2	2	4	15	—	3	—	4	—	45	—	—	41	Juli
5.3	6.5	7.6	6.5	174	44	13	20	18	—	—	—	1	2	13	—	2	—	3	—	35	1	2	50	August
5.0	5.9	5.3	5.4	101	31	15	10	8	—	—	2	5	5	9	—	—	—	1	—	31	5	1	52	September
4.9	5.9	5.4	5.4	94	21	4	12	10	2	—	—	4	7	8	—	10	—	3	—	30	1	1	48	Oktober
4.7	4.8	3.6	4.4	28	9	22	7	5	1	—	—	—	11	7	—	15	—	7	—	19	—	—	49	November
7.0	8.0	5.1	6.7	91	21	28	12	12	12	—	—	3	3	11	—	14	—	6	—	33	—	2	38	Dezember
5.6	5.9	5.8	5.8	1466	64	II	158	136	57	—	8	22	76	128	—	107	—	74	—	361	7	14	532	Jahr

Beobachter: Frl. H. Nager

Altdorf

8.9	8.0	7.0	8.0	108	16	20	15	14	9	—	—	2	1	17	—	—	2	1	2	—	—	8	80	Januar
7.1	5.9	6.3	6.4	57	19	10	8	8	6	—	—	2	4	12	—	1	1	—	—	—	2	5	75	Februar
4.4	3.4	3.1	3.6	47	30	27	4	4	1	—	—	—	15	6	—	—	—	3	1	—	—	6	83	März
4.9	6.2	5.9	5.7	43	10	3	8	8	3	—	1	—	5	8	1	—	—	—	—	—	2	26	61	April
7.5	7.0	6.8	7.1	108	19	30	15	12	1	—	—	—	2	15	—	—	2	11	4	—	1	9	66	Mai
4.8	5.2	6.8	5.6	128	28	2	19	17	—	—	3	—	6	10	—	—	1	4	1	—	1	14	69	Juni
6.2	6.1	7.4	6.6	187	50	1	15	14	—	—	4	1	3	13	—	—	1	3	1	—	2	15	71	Juli
5.5	6.0	7.1	6.2	146	57	13	18	17	—	—	1	—	3	11	1	—	—	—	1	—	—	17	74	August
5.4	5.7	5.4	5.5	99	28	15	10	10	—	—	1	—	5	8	—	—	1	4	7	2	—	7	69	September
6.8	5.7	5.8	6.1	60	16	1	11	9	—	—	—	—	5	12	—	—	1	1	—	—	—	4	87	Oktober
6.8	5.1	3.9	5.3	19	7	24	8	6	—	—	—	3	3	9	—	—	—	5	1	—	—	7	77	November
8.4	8.3	7.2	8.0	67	14	28	15	12	11	—	—	3	2	16	—	2	—	6	2	—	1	8	74	Dezember
6.4	6.1	6.1	6.2	1069	57	VIII	146	131	31	—	10	11	54	137	2	3	9	38	20	2	9	126	886	Jahr

Beobachter: O. Lendenmann

Göschenen

7.5	7.2	5.4	6.7	153	28	20	13	12	11	—	—	—	5	16	6	—	—	—	31	—	—	—	56	Januar
4.1	4.1	4.3	4.2	75	20	10	8	7	8	—	—	1	11	8	11	—	—	—	33	—	—	—	40	Februar
3.9	3.4	2.6	3.3	67	25	26	4	4	3	—	—	2	16	6	4	—	—	—	51	—	—	—	38	März
4.8	5.9	5.3	5.3	48	24	30	9	7	7	—	—	—	7	9	31	—	—	—	18	—	—	1	40	April
6.9	7.1	6.7	6.9	108	27	20	14	14	6	—	—	1	4	14	9	—	—	—	43	—	1	—	40	Mai
3.9	4.8	5.3	4.7	169	37	2	15	14	—	—	4	4	10	8	15	—	—	—	26	1	—	—	48	Juni
6.4	7.0	6.3	6.6	188	69	1	14	13	—	—	1	4	6	16	15	—	—	—	22	—	—	—	56	Juli
5.5	6.5	6.0	6.0	105	20	13	16	16	—	—	—	—	5	10	14	—	—	—	13	—	—	—	66	August
4.6	5.4	4.4	4.8	61	15	9	10	8	—	—	1	2	10	7	9	—	—	—	16	—	—	—	35	September
4.0	4.9	4.1	4.3	82	25	27	9	8	2	—	—	6	11	7	7	—	—	—	26	—	—	—	60	Oktober
3.5	4.7	3.6	3.9	44	21	21	8	6	3	—	—	1	12	6	3	—	—	—	41	—	—	—	43	November
8.2	8.1	5.4	7.2	76	19	31	13	12	13	—	—	2	3	15	12	—	—	—	34	—	—		47	Dezember
5.3	5.8	4.9	5.3	1176	69	VII	133	121	53	—	6	23	100	122	136	—	—	—	387	1	1	1	569	Jahr

Beobachter: Frl. F. Lombardi

St. Gotthard

6.0	6.0	5.0	5.7	206	37	30	22	20	22	—	—	15	5	10	54	8	—	5	8	—	—	4	14	Januar
3.0	3.4	4.3	3.6	134	36	10	13	11	13	—	—	7	13	6	48	8	—	5	3	2	—	7	11	Februar
4.3	3.7	3.7	3.9	87	40	27	8	7	8	—	—	9	13	4	53	2	—	—	13	—	—	—	25	März
4.2	3.9	6.1	4.7	99	37	30	15	11	15	—	—	14	6	4	61	9	—	4	2	1	—	2	11	April
7.3	7.1	7.9	7.4	295	55	1	24	19	16	—	—	19	2	18	31	5	2	16	4	—	—	2	33	Mai
4.4	5.1	6.6	5.4	261	66	2	18	17	3	2	6	11	6	9	35	5	—	14	4	—	—	—	32	Juni
5.2	6.1	4.1	5.1	352	151	1	16	15	3	—	1	15	3	12	50	2	—	16	2	—	—	—	23	Juli
5.1	6.2	7.4	6.2	205	37	20	19	18	1	—	4	16	3	10	56	2	—	7	3	—	—	—	25	August
6.2	6.7	7.4	6.8	171	50	9	17	15	3	—	—	21	5	16	32	1	2	8	14	—	—	—	33	September
3.7	4.0	5.1	4.3	169	60	27	11	9	5	—	—	17	9	3	33	—	—	4	5	—	—	1	50	Oktober
4.9	4.0	4.1	4.3	106	30	21	10	8	8	—	—	4	9	6	33	1	—	2	38	—	—	—	16	November
6.9	6.3	6.3	6.5	197	31	28	20	20	20	—	—	15	6	15	24	28	—	1	39	—	—	—	1	Dezember
5.1	5.2	5.7	5.3	2282	151	VII	193	170	117	2	11	163	80	113	510	71	4	82	135	3	—	16	274	Jahr

Basel (Binningen)

$\lambda = 7^\circ 35'$, $\beta = 47^\circ 33'$, $H_b = 318^m$, $G = 0.11$ m/m, $h_r = 1.5^m$

1938	Luftdruck					Luft-Temperatur								Relative Feuchtigkeit					
	Mittel	Minimum	Tag	Maximum	Tag	7^{30}	13^{30}	21^{30}	Mittel	Minimum	Tag	Maximum	Tag	7^{30}	13^{30}	21^{30}	Mittel	Minimum	Tag
Januar	735.1	716.1	10	750.7	24	0.8	4.6	1.9	2.3	-15.9	4	13.2	14	86	72	82	80	49	10
Februar	739.6	725.3	13	748.8	28	-1.0	4.3	1.2	1.4	-6.8	21	11.4	28	87	68	82	79	43	26
März	741.5	730.4	26	750.1	3	3.0	14.6	7.3	8.0	-1.8	5. 13	18.7	17.31	84	43	70	60	24	13
April	737.0	727.6	30	747.1	11	3.0	11.5	4.8	6.0	-1.8	11	22.1	2	80	44	73	66	24	19
Mai	732.8	725.0	27	740.1	12	9.5	16.4	10.4	11.7	1.6	2	27.0	14	78	52	75	68	23	13
Juni	736.6	728.3	12	741.7	20	15.9	22.1	16.0	17.5	9.3	13.14	31.4	25	79	58	83	73	35	7
Juli	735.5	727.4	1	740.5	10	15.9	22.7	16.3	17.8	10.6	3	29.5	26	84	60	87	77	41	31
August	733.6	725.9	29	738.6	22	15.5	22.5	16.2	17.6	8.7	24	32.2	5	89	63	90	81	45	16
September	735.5	729.9	10	740.3	16	12.0	20.5	13.7	15.0	6.7	17	25.1	22.24	93	64	91	83	51	22
Oktober	735.3	724.8	27 28	743.7	12	6.7	13.2	7.4	8.7	-1.8	25	23.6	10	94	72	92	86	41	22
November	735.9	713.2	22	745.1	14	5.2	10.6	6.9	7.4	-1.0	1	16.2	6	91	74	87	84	40	26
Dezember	732.3	721.4	20	741.4	26	-2.9	0.6	-2.3	-1.7	-16.9	22	10.7	1	88	75	86	83	48	4
Jahr	735.9	713.2	XI	750.7	I	7.0	13.6	8.3	9.3	-16.9	XII	32.2	VIII	86	62	83	77	23	V

La Chaux-de-Fonds

$\lambda = 6^\circ 50'$, $\beta = 47^\circ 7'$, $H_b = 989.9^m$, $G = -0.03$ m/m, $h_r = 1.3^m$

Januar	676.1	659.5	10	691.9	24	-2.1	0.8	-1.6	-1.1	-13.7	4. 5	8.4	25	88	75	84	82	35	25
Februar	679.7	665.6	13	689.2	27	-6.0	1.4	-3.3	-2.8	-16.5	16	7.0	8	86	65	82	78	32	8
März	683.0	673.0	26	690.9	3	-0.2	9.1	2.1	3.3	-4.1	14	14.7	31	88	48	83	73	29	3
April	677.9	669.7	30	685.2	10	0.1	6.3	1.1	2.2	-5.0	22	16.1	2	85	52	77	71	28	1
Mai	675.3	668.8	1	681.5	12	6.5	11.8	7.3	8.2	0.1	2	20.7	14	82	59	81	74	32	3
Juni	680.1	672.4	12	685.2	20	13.3	17.9	13.2	14.4	5.3	13	27.9	25	76	56	84	72	30	18
Juli	679.0	671.1	1	683.6	30	12.7	17.7	13.2	14.2	7.3	3	26.1	31	81	57	84	74	38	21
August	677.3	670.2	29	681.4	1	13.0	17.6	12.9	14.1	6.9	25	26.2	5	83	60	89	77	30	19
September	678.6	672.7	10	683.7	12	9.8	16.0	10.6	11.7	4.7	17	20.1	28	90	58	92	80	41	28
Oktober	677.4	666.5	28	685.1	12	4.4	11.1	5.9	6.8	-4.7	30	20.5	10	90	59	89	79	33	16
November	678.0	659.2	22	687.4	14	2.8	9.4	4.0	5.0	-4.0	1	16.4	7	91	63	87	80	29	26
Dezember	672.3	660.3	23	679.7	4	-3.2	0.0	-3.4	-2.5	-15.3	26	9.2	10	85	73	87	82	36	5
Jahr	677.9	629.2	XI	791.9	I	4.3	9.9	5.2	6.1	-16.5	II	27.9	VI	85	60	85	77	28	IV

Neuchâtel

$\lambda = 6^\circ 57'$, $\beta = 47^\circ 0'$, $H_b = 487.3^m$, $G = 0.02$ m/m, $h_r = 1.3^m$

Januar	720.4	703.1	10	735.6	24	0.3	2.8	1.6	1.6	-10.6	4	10.1	14	90	80	82	84	52	25
Februar	724.4	710.1	13	733.9	28	-1.5	1.9	0.2	0.2	-5.3	22	7.9	4	88	80	85	84	50	21
März	726.5	716.0	26	734.9	3	2.7	12.4	7.5	7.5	-1.8	14	17.7	31	85	48	63	65	29	5
April	721.3	712.3	30	730.2	10	3.6	11.3	6.4	6.9	-0.7	21. 22	19.9	1	76	44	56	59	23	2
Mai	718.0	711.6	27	724.9	12	8.8	15.7	11.4	11.8	1.8	2	24.4	14	82	52	69	68	22	13
Juni	721.9	713.9	12	726.7	20	15.0	21.8	16.8	17.6	8.3	2	29.1	25	84	57	76	72	36	28
Juli	721.0	712.3	1	725.9	10	15.0	21.2	16.9	17.5	10.0	3	28.9	31	88	64	74	75	42	22
August	719.1	711.5	29	724.1	22	15.2	21.5	16.9	17.6	9.7	25	30.0	5	87	63	75	75	40	6
September	720.8	715.2	10	724.1	12	12.5	18.7	14.2	14.9	8.5	17	22.2	28	94	67	85	82	47	5
Oktober	720.4	709.3	28	728.3	12	7.8	12.8	8.9	9.6	0.4	31	22.5	10	86	69	84	80	43	8. 19
November	721.4	699.6	22	731.0	14	5.1	8.2	6.4	6.5	0.2	28	16.5	5	94	83	89	89	42	4
Dezember	717.0	706.0	20	724.5	26	-1.8	0.2	-1.4	-1.1	-13.3	22	9.5	1	91	85	89	88	56	6
Jahr	721.0	699.6	XI	735.6	I	6.9	12.4	8.8	9.2	-13.3	XII	30.0	VIII	87	66	77	77	22	V

Chaumont

$\lambda = 6^\circ 49'$, $\beta = 47^\circ 1'$, $H_b =$ ca. 1115^m, $G = -0.06$ m/m, $h_r = 1.3^m$

Januar	664.2	648.3	10	678.7	24	-2.4	-0.9	-2.1	-1.9	-15.0	4	10.2	25	91	91	91	91	25	24
Februar	667.6	654.9	13.14	677.3	27	-3.6	-0.8	-2.6	-2.4	-10.0	16	5.4	7	86	79	83	83	42	8
März	671.1	661.8	26	678.7	3	2.7	8.1	4.3	4.8	-3.4	14	14.6	31	71	57	67	65	30	4
April	665.8	657.7	30	672.9	10	0.3	5.1	0.8	1.8	-6.5	11	16.2	1	77	63	73	71	40	2
Mai	663.9	657.7	1	670.9	13	5.4	9.6	6.7	7.1	-1.4	2	19.4	14	86	70	78	78	42	14.15
Juni	668.5	661.1	13	673.1	20	11.8	16.2	12.6	13.3	3.4	3	24.2	25	84	72	81	79	44	9
Juli	667.7	659.6	1	671.3	9	11.8	15.5	12.0	12.8	6.0	3	22.6	31	89	77	87	84	51	31
August	666.1	659.3	29	669.9	1	12.1	15.2	12.8	13.2	6.2	31	24.2	4. 5	88	74	86	83	47	19
September	667.3	663.0	9	670.6	12	10.1	13.8	10.8	11.4	4.6	16	18.4	28	93	78	90	87	61	5. 21
Oktober	666.0	654.7	28	673.5	12	4.6	8.9	5.4	6.1	-2.4	31	17.8	10	93	77	88	86	51	25
November	666.4	646.7	22	675.6	14	4.2	8.0	4.7	5.4	-1.2	28	14.4	14	86	72	80	79	40	26
Dezember	660.8	649.5	20	667.8	4	-3.7	-1.7	-3.6	-3.1	-14.8	18.22	9.2	13	86	82	85	84	46	8. 12
Jahr	666.3	646.7	XI	678.7	I/III	4.4	8.1	5.1	5.7	-15.0	I	24.2	VI. VIII	86	74	82	81	25	I

Basel (Binningen)

Beobachter: **Astronom. Meteorol. Anstalt**

Bewölkung 7³⁰	13³⁰	21³⁰	Mittel	Niederschlag Summe	Maximum	Tag	Zahl der Tage ●	●≥1.0	✳	▲	K	≡	heiter	trüb	Windverteilung N	NE	E	SE	S	SW	W	NW	Calmen	1938
8.7	8.5	7.8	8.3	74	8	29	22	17	6	1	1	—	—	19	—	4	21	7	10	21	13	5	12	Januar
6.8	5.7	5.2	5.9	24	10	10	8	6	4	—	—	1	9	12	8	8	24	9	4	10	6	8	7	Februar
4.6	3.2	2.9	3.6	18	10	26	4	4	—	—	—	1	15	8	5	5	21	15	12	8	10	13	4	März
5.3	5.7	5.0	5.3	14	5	29	5	4	2	—	—	1	6	7	16	10	7	4	18	9	5	17	4	April
6.9	6.5	5.7	6.4	88	25	27	15	14	—	2	1	1	5	11	8	5	13	10	16	12	10	17	2	Mai
5.3	5.3	4.9	5.2	153	45	12	12	11	—	1	4	—	7	7	7	3	7	9	14	15	13	14	8	Juni
6.1	5.6	6.9	6.2	197	35	4	14	14	—	—	5	2	4	13	1	2	17	12	12	9	16	11	13	Juli
6.0	5.8	6.2	6.0	153	43	20	12	9	—	—	2	1	6	10	2	2	14	9	22	14	12	9	9	August
8.0	4.9	5.3	6.1	66	27	30	11	6	—	—	1	10	2	7	3	10	15	12	10	4	14	11	11	September
8.7	5.8	4.4	6.3	57	17	10	10	9	1	—	—	12	1	6	4	6	12	16	8	8	14	11	14	Oktober
8.3	6.6	6.4	7.1	19	5	21	8	6	—	—	—	9	2	15	3	4	35	19	9	7	6	4	3	November
9.0	7.8	7.6	8.1	50	11	5	13	11	8	—	—	6	2	21	—	9	26	9	4	9	10	9	17	Dezember
7.0	5.9	5.7	6.2	913	45	VI	134	111	21	4	14	44	59	136	57	68	212	131	139	126	129	129	104	Jahr

La Chaux-de-Fonds

Beobachter: **Agents de Police municipale**

7.2	7.9	6.5	7.2	236	32	29	21	20	15	—	—	2	4	17	—	3	—	—	—	21	4	—	65	Januar
5.7	4.9	4.1	4.9	143	50	12	11	9	11	—	—	2	11	11	—	3	—	1	—	8	4	3	65	Februar
2.7	3.3	1.9	2.6	49	24	27	5	5	3	—	—	—	16	3	1	3	—	—	—	2	1	—	86	März
3.5	5.2	2.2	3.6	21	6	3	7	7	7	—	—	1	8	2	4	8	—	—	—	2	1	4	71	April
5.9	6.8	5.0	5.9	126	36	30	19	16	5	—	—	1	8	10	1	1	—	—	—	8	—	—	83	Mai
5.1	5.2	4.7	5.0	177	62	12	13	12	—	1	4	2	7	7	—	2	—	—	—	8	—	3	77	Juni
5.2	6.4	5.0	5.5	199	42	4	17	14	—	—	3	1	6	11	—	—	—	—	—	5	1	—	87	Juli
5.9	6.5	4.7	5.7	153	55	20	14	13	—	—	2	2	5	6	—	—	—	—	—	5	2	—	86	August
6.5	6.6	4.5	5.9	91	22	30	11	11	—	—	1	2	3	9	—	—	—	—	1	1	—	—	88	September
4.8	5.1	3.4	4.4	69	16	4	10	9	2	—	—	3	11	7	—	—	—	—	—	10	2	—	81	Oktober
5.2	5.8	4.8	5.3	76	22	21	9	9	3	—	—	2	8	9	—	—	—	—	5	14	2	1	68	November
8.3	7.2	6.8	7.4	153	23	31	15	13	13	—	—	1	4	19	—	1	—	—	—	5	2	—	85	Dezember
5.5	5.9	4.5	5.3	1493	62	VI	152	138	59	1	10	19	91	111	6	21	—	1	6	89	19	11	942	Jahr

Neuchâtel

Beobachter: **Observatorium**

8.5	8.4	7.0	8.0	159	35	29	18	16	5	—	—	1	—	17	3	9	12	2	—	28	24	2	13	Januar
7.2	7.2	6.3	6.9	46	17	12	9	8	6	—	—	4	5	15	2	9	14	3	2	5	11	3	35	Februar
2.7	2.3	1.3	2.1	18	14	27	4	3	—	—	—	—	21	3	1	5	13	3	8	4	7	10	42	März
2.9	4.4	1.9	3.1	9	5	21	4	3	3	—	—	1	13	2	—	15	29	8	2	1	5	13	17	April
6.7	5.9	6.3	6.3	54	9	28	14	13	—	—	—	—	6	12	3	9	11	7	6	17	5	7	28	Mai
5.0	3.8	4.6	4.5	141	50	12	13	10	—	—	3	—	8	6	5	3	4	9	8	6	8	11	36	Juni
6.0	5.1	5.2	5.4	257	56	15	14	13	—	1	3	1	6	10	3	4	5	12	7	10	12	14	26	Juli
5.8	5.3	5.1	5.4	117	48	6	13	11	—	1	1	—	5	8	7	10	12	6	10	5	7	3	33	August
7.7	5.2	5.0	6.0	76	21	3	10	8	—	—	—	4	3	10	3	6	7	6	5	6	1	6	50	September
7.2	5.3	4.1	5.5	53	18	4	12	7	1	—	—	3	3	9	1	8	8	5	2	9	18	4	38	Oktober
9.0	8.1	7.1	8.1	75	36	21	11	7	—	—	—	11	1	18	—	6	5	2	2	16	16	7	36	November
9.5	8.0	9.0	8.8	79	12	5	15	14	8	—	—	6	1	23	—	10	19	4	1	9	14	3	33	Dezember
6.5	5.7	5.2	5.8	1086	56	VII	137	113	23	2	7	31	72	133	28	94	139	67	53	116	128	83	387	Jahr

Chaumont

Beobachter: **Frl. B Humbert**

7.2	7.7	5.8	6.9	111	15	17	18	17	13	—	—	7	4	14	—	—	7	1	—	4	40	4	37	Januar
5.4	5.9	5.0	5.4	47	13	12	8	7	8	—	—	9	10	13	—	—	19	—	—	1	12	2	50	Februar
2.9	3.0	1.5	2.5	16	12	27	2	2	2	—	—	1	17	2	1	3	17	—	—	—	3	—	69	März
2.9	8.0	2.1	4.3	12	6	21	5	4	5	—	—	1	12	1	5	5	34	—	—	—	1	8	37	April
7.2	6.3	6.1	6.5	64	14	30	16	11	5	—	—	10	4	14	1	2	12	2	—	7	12	4	53	Mai
5.1	4.7	4.4	4.7	150	37	12	13	10	—	—	3	5	6	7	—	1	4	—	1	4	13	10	57	Juni
5.5	5.7	5.2	5.5	210	35	4	14	12	—	—	2	7	7	10	—	6	3	1	—	6	16	10	51	Juli
5.7	5.5	5.0	5.4	125	50	6	12	11	—	—	3	6	8	9	2	—	15	1	—	2	14	5	54	August
7.1	5.5	4.8	5.8	62	21	3	10	9	—	—	—	6	2	8	—	—	14	—	—	—	8	6	62	September
6.4	4.7	2.5	4.5	54	13	4	10	9	2	—	—	4	8	4	—	—	8	—	—	4	26	5	50	Oktober
4.5	4.7	4.3	4.5	68	37	21	9	7	2	—	—	8	8	7	—	3	—	—	—	12	11	4	60	November
6.9	6.6	6.5	6.7	89	11	20	15	14	11	—	—	4	4	13	—	—	12	—	—	3	4	4	70	Dezember
5.6	5.7	4.4	5.2	1008	50	VIII	132	113	48	—	8	68	90	102	9	20	145	5	1	43	160	62	650	Jahr

Solothurn

$\lambda = 7^\circ 32', \beta = 47^\circ 13', H = 470^m, G = -\,^m/_m, h_r = 1.5^m$

1938	Luftdruck					Luft-Temperatur								Relative Feuchtigkeit					
	Mittel	Minimum	Tag	Maximum	Tag	7^{30}	13^{30}	21^{30}	Mittel	Minimum	Tag	Maximum	Tag	7^{30}	13^{30}	21^{30}	Mittel	Minimum	Tag
Januar	—	—	—	—	—	-0.6	2.5	0.3	0.6	-11.4	4	11.0	14	97	88	90	92	52	25
Februar	—	—	—	—	—	-2.4	2.7	-0.3	-0.1	-7.4	21	9.7	28	93	88	92	91	56	28
März	—	—	—	—	—	2.0	13.9	6.8	7.4	-1.7	15	19.8	31	85	70	76	77	39	3
April	—	—	—	—	—	3.4	10.7	5.2	6.1	-1.5	21	22.7	1	86	70	77	78	39	8
Mai	—	—	—	—	—	9.1	16.1	10.7	11.6	0.6	1	27.1	14	90	67	76	78	33	14
Juni	—	—	—	—	—	15.2	22.5	16.0	17.4	7.6	2	30.3	8. 9	85	53	83	74	30	8
Juli	—	—	—	—	—	15.1	22.2	15.9	17.3	10.0	3	30.4	31	87	56	83	76	37	28
August	—	—	—	—	—	14.9	22.4	15.8	17.2	8.6	25	32.0	5	92	54	87	78	36	6
September	—	—	—	—	—	11.8	19.6	13.4	14.6	5.7	17	24.5	28	96	59	92	82	43	28
Oktober	—	—	—	—	—	6.8	13.2	7.8	8.9	-2.6	31	23.2	10	95	64	91	83	41	8
November	—	—	—	—	—	3.7	7.9	5.2	5.5	-1.2	1	15.4	5	98	85	94	92	45	20
Dezember	—	—	—	—	—	-3.3	-0.5	-2.5	-2.2	-17.8	22	10.8	1	94	84	93	90	51	4
Jahr	—	—	—	—	—	6.3	12.8	7.9	8.7	-17.8	XII	32.0	VIII	92	70	86	83	33	V

Weissenstein

$\lambda = 7^\circ 30', \beta = 47^\circ 15', H_b = 1285^m, G = -0.05\,^m/_m, h_r = 1.5^m$

Januar	651.6	635.7	10	666.8	24	-3.1	-2.1	-2.7	-2.7	-15.8	4	10.4	25	91	88	87	89	19	25
Februar	655.2	641.6	13	664.0	28	-3.6	-1.6	-2.6	-2.6	-11.0	15.16	6.0	6	78	74	75	76	24	6
März	659.1	648.7	26	666.8	4	2.5	5.4	3.7	3.8	-4.0	13	11.0	31	67	59	67	64	34	4-5.7
April	653.7	644.8	30	661.1	1	-1.4	2.0	-0.4	-0.1	-8.0	11	12.1	2	84	62	74	73	36	1
Mai	651.8	645.1	1	658.0	12.13	4.4	7.8	5.7	5.9	-2.8	1	18.0	27	84	71	75	77	35	14
Juni	656.8	648.0	12	661.2	20	10.9	14.5	11.9	12.3	3.0	2	23.0	25	82	69	82	78	34	8
Juli	655.9	648.3	1	659.6	30.31	10.7	14.3	11.3	11.9	4.6	3	22.4	31	85	75	86	82	45	21
August	654.3	647.6	29	658.8	1	11.3	14.3	11.1	12.0	4.8	31	25.2	5	85	75	88	83	52	4. 5
September	654.6	648.9	10	657.9	12	9.4	12.4	9.8	10.3	2.6	16	17.0	25	87	77	91	85	55	25
Oktober	653.7	641.8	28	661.0	12	4.5	7.1	5.0	5.4	-3.6	28	15.6	10	82	74	81	79	33	24
November	654.2	633.4	22	663.6	14	4.0	6.5	4.4	4.8	-2.2	28	13.4	7	79	69	79	76	27	7
Dezember	648.3	637.4	20	655.8	4	-3.8	-2.8	-3.5	-3.4	-16.4	18	9.2	11	80	79	83	81	26	5
Jahr	654.1	633.4	XI	666.8	I/III	3.8	6.5	4.5	4.8	-16.4	XII	25.2	VIII	82	73	81	79	19	I

Langenbruck

$\lambda = 7^\circ 46', \beta = 47^\circ 21', H_b = 704.7^m, G = 0.02\,^m/_m, h_r = 1.6^m$

Januar	700.6	683.8	10	715.5	24	-1.2	1.2	-0.7	-0.4	-12.5	4	7.7	13	90	79	87	85	40	2
Februar	704.6	690.2	13	714.0	27.28	-4.1	1.2	-2.6	-2.0	-11.0	22	5.3	28	89	71	86	82	38	21
März	707.2	696.8	26	715.6	4	0.6	10.6	2.6	4.1	-5.4	14	16.0	31	88	52	80	73	35	17
April	702.3	693.4	30	710.9	11	0.9	8.0	2.0	3.2	-3.2	11	18.0	2	83	50	76	70	33	3
Mai	699.4	692.4	27	705.7	11	7.0	13.1	7.3	8.7	-1.5	3	22.2	14.15	83	57	82	74	32	13
Juni	703.5	695.7	12	708.6	20	13.4	19.6	13.3	14.9	5.3	3	28.3	25	80	56	84	73	28	8
Juli	702.6	694.3	1	707.1	10	13.7	19.3	13.6	15.0	9.3	3	27.5	30	85	58	85	76	40	20-21 26
August	700.7	693.6	29	704.8	1	13.0	19.4	13.7	14.9	6.0	25	29.2	5	88	58	85	77	40	5
September	702.3	696.7	10	705.9	12	9.8	17.7	11.2	12.5	4.7	17	22.8	25	91	58	88	79	45	25
Oktober	701.5	690.6	28	709.5	12	5.2	10.5	5.7	6.8	-4.0	31	21.5	10	90	67	89	82	42	10
November	702.1	682.1	22	711.4	14	2.4	7.9	3.4	4.3	-4.2	1	13.5	5	92	74	88	85	47	27
Dezember	697.5	686.6	20	704.5	26	-4.3	-1.5	-4.2	-3.5	-21.0	22	7.3	13	87	78	86	84	62	4. 23
Jahr	702.0	682.1	XI	715.6	III	4.7	10.6	5.4	6.5	-21.0	XII	29.2	VIII	87	63	85	78	28	VI

Aarau

$\lambda = 8^\circ 2', \beta = 47^\circ 23', H_b = 406.1^m, G = 0.07\,^m/_m, h_r = 1.6^m$

Januar	727.6	710.2	10	743.1	24	-0.1	2.9	1.0	1.2	-10.3	5	10.6	14	86	70	79	78	48	3. 10
Februar	731.9	717.6	13	741.3	28	-1.5	2.5	0.1	0.3	-7.6	21	7.4	4	84	62	78	75	39	21
März	733.9	722.8	26	742.4	3	1.4	12.3	6.2	6.5	-2.4	14.16	16.6	31	90	39	66	65	26	3. 13
April	729.1	719.5	30	738.8	10	2.6	10.6	5.4	6.0	-0.4	11.21	18.8	1	80	38	60	59	24	3
Mai	725.4	720.2	19	732.4	12	8.6	15.0	10.5	11.2	0.8	3	23.0	14.27	78	47	71	65	24	13
Juni	729.0	720.4	12	733.8	20	14.4	21.2	16.6	17.2	8.2	2	28.6	25	79	47	71	66	27	8
Juli	728.1	719.2	1	732.8	10	14.7	21.3	16.3	17.1	10.4	7	28.0	31	83	48	77	69	30	21
August	726.2	718.8	29	731.7	23	14.5	21.1	16.4	17.1	7.2	25	28.0	1.4.5	87	49	80	72	33	1. 2
September	728.0	721.9	10	732.3	16	11.9	18.5	13.6	14.4	5.4	17	22.0	23	91	53	87	77	43	5. 8
Oktober	727.8	717.1	28	735.8	12	7.2	12.0	7.6	8.6	-0.2	23	20.4	10	90	58	89	79	37	8
November	728.9	707.5	22	738.4	14	4.3	8.1	5.6	5.9	-0.8	27	14.8	5	92	69	88	83	42	26
Dezember	724.8	714.2	20	733.0	26	-2.7	-0.3	-2.3	-1.9	-16.0	22	9.2	1	83	70	81	78	48	26
Jahr	728.4	707.5	XI	743.1	I	6.3	12.1	8.1	8.6	-16.0	XII	28.6	VI	85	54	77	72	24	IV/V

Beobachter: **B. und G. Glutz**

Solothurn

Bewölkung				Niederschlag			Zahl der Tage								Windverteilung									1938
7^{50}	13^{30}	21^{30}	Mittel	Summe	Maximum	Tag	●	●≥1.0	✳	▲	⌇	≡	heiter	trüb	N	NE	E	SE	S	SW	W	NW	Calmen	
9.1	8.1	7.8	8.3	191	25	29	22	19	10	—	—	3	—	18	—	4	4	1	—	12	17	3	52	Januar
8.0	6.7	6.5	7.1	36	17	10	9	6	5	—	—	6	4	16	—	1	16	4	—	4	13	2	44	Februar
3.2	2.4	2.0	2.5	17	8	27	4	4	—	—	—	2	17	4	—	—	13	2	—	14	8	1	55	März
4.3	4.7	2.6	3.9	11	4	29	7	4	5	—	—	2	10	1	3	9	19	6	1	—	4	4	44	April
6.9	6.6	5.9	6.5	83	20	27	14	12	—	—	—	—	4	10	2	1	12	6	1	4	14	3	50	Mai
5.0	4.7	4.4	4.7	133	37	12	14	12	—	—	4	1	6	6	—	4	5	6	—	6	9	4	56	Juni
6.4	5.9	5.6	6.0	234	32	4	14	14	—	1	4	1	2	10	—	1	3	5	—	4	7	12	61	Juli
6.7	6.0	4.9	5.9	224	68	20	14	9	—	—	2	4	3	9	—	2	6	7	1	5	8	5	59	August
8.5	5.0	4.7	6.1	70	29	30	8	8	—	—	—	11	2	8	1	3	5	6	—	5	3	2	65	September
7.6	5.5	4.2	5.8	58	17	4	11	11	—	—	—	8	2	8	1	—	8	2	—	7	15	1	59	Oktober
8.8	7.8	7.6	8.1	75	24	21	9	8	—	—	—	15	1	21	—	—	4	1	—	2	12	3	68	November
9.3	8.3	8.5	8.7	84	16	31	12	11	8	—	—	8	2	25	—	14	5	—	—	2	4	1	67	Dezember
7.0	6.0	5.4	6.1	1216	68	VIII	138	118	28	1	10	61	53	136	7	39	100	46	3	65	114	41	680	Jahr

Beobachter: **A. Ostendorf**

Weissenstein

8.0	8.2	6.3	7.5	218	26	29	24	20	19	—	—	22	2	16	5	14	6	1	1	29	21	15	1	Januar
5.0	5.0	4.6	4.9	59	25	10	10	9	10	—	—	9	9	10	5	17	10	7	5	12	17	11	—	Februar
3.0	3.3	1.6	2.6	10	8	27	3	2	2	—	1	3	17	2	20	26	4	3	3	10	19	8	—	März
5.3	6.1	3.8	5.1	16	5	21	9	6	9	—	—	6	4	4	17	43	4	2	1	3	4	14	2	April
7.0	7.6	6.4	7.0	110	27	30	17	14	2	—	2	13	2	12	13	18	9	8	6	13	10	16	—	Mai
5.5	6.0	4.9	5.5	147	51	12	16	13	—	—	1	8	5	7	16	10	6	6	10	15	13	14	—	Juni
5.6	7.1	6.0	6.2	276	50	4	16	13	—	2	1	9	2	12	14	9	5	11	3	25	11	15	—	Juli
5.4	6.4	5.1	5.6	227	68	13	16	13	—	1	2	11	5	6	13	21	5	1	8	11	10	24	—	August
6.3	6.3	5.2	5.9	77	22	3	11	9	—	—	—	7	3	9	12	16	6	11	7	16	6	16	—	September
5.0	5.4	4.4	4.9	55	9	7	10	10	1	—	—	5	8	7	9	4	2	9	2	29	15	23	—	Oktober
4.8	5.8	4.4	5.0	77	23	23	8	8	3	—	—	9	7	8	9	3	—	4	4	42	15	13	—	November
7.6	7.5	7.0	7.4	81	13	5	16	13	13	—	—	18	4	17	8	11	4	20	3	21	6	20	—	Dezember
5.7	6.2	5.0	5.6	1353	68	VIII	156	130	59	3	7	120	68	110	141	192	61	83	53	226	147	189	3	Jahr

Beobachter: **T. Bider**

Langenbruck

9.5	8.6	8.4	8.8	149	23	17	22	17	13	—	—	4	—	24	5	5	6	8	4	4	30	22	9	Januar
6.8	5.4	5.6	5.9	57	26	10	9	6	7	—	—	1	7	10	10	12	4	16	—	5	8	10	19	Februar
3.4	3.7	2.9	3.3	15	9	27	4	3	2	—	—	—	17	5	13	7	6	12	8	4	3	13	27	März
4.7	6.4	4.9	5.3	20	5	19	10	7	9	—	—	—	5	6	19	22	19	—	—	1	5	17	7	April
7.1	6.8	6.0	6.6	124	26	27	16	14	1	—	—	2	4	12	17	—	9	4	2	3	14	25	19	Mai
5.4	5.7	4.8	5.3	156	45	13	15	15	—	—	3	—	7	9	18	5	7	7	4	2	9	16	22	Juni
6.0	6.9	6.4	6.4	207	33	4	16	15	—	—	4	3	5	13	14	—	—	4	—	9	22	22	22	Juli
5.7	6.6	6.5	6.3	151	46	13	15	13	—	—	2	—	6	12	26	4	7	5	1	5	11	14	20	August
7.2	6.0	5.5	6.2	50	17	30	11	7	—	—	—	4	2	11	8	2	9	3	8	—	13	12	35	September
7.4	5.8	5.0	6.1	61	10	11	12	10	2	—	—	7	3	10	20	3	—	12	5	9	7	14	23	Oktober
6.9	6.2	4.3	5.8	39	15	21	8	8	—	—	—	5	4	10	8	—	—	5	6	15	23	9	24	November
8.9	8.6	7.3	8.3	71	11	5	13	11	9	—	—	4	1	21	18	16	2	5	1	8	11	13	19	Dezember
6.6	6.4	5.6	6.2	1100	46	VIII	151	126	43	—	9	30	61	143	176	76	69	81	39	65	156	187	246	Jahr

Beobachter: **H. Amsler-Baumann**

Aarau

8.9	7.0	7.5	7.8	128	19	17	25	19	14	1	1	1	—	18	1	1	2	2	—	25	26	2	34	Januar
8.0	5.2	5.5	6.2	48	18	10	9	8	4	—	—	5	4	11	4	—	14	4	—	4	13	1	44	Februar
3.2	2.5	2.1	2.6	23	15	27	4	3	1	—	—	—	16	3	—	1	6	6	1	2	18	6	53	März
4.3	4.4	3.4	4.0	13	3	19	7	6	4	—	—	1	3	1	8	13	10	1	—	—	14	9	35	April
6.4	5.1	5.5	5.7	93	15	19	17	16	—	—	1	2	4	5	6	8	7	5	3	6	14	11	33	Mai
5.0	4.3	3.9	4.4	139	30	12	16	12	—	—	6	—	6	5	11	5	2	2	1	8	13	8	40	Juni
5.5	4.6	5.0	5.0	159	25	4	15	13	—	1	6	3	6	5	5	2	1	3	1	7	12	12	50	Juli
5.7	4.6	5.3	5.2	115	32	20	17	14	—	—	6	4	5	4	7	2	3	2	—	8	11	11	49	August
8.3	4.4	4.5	5.7	68	31	30	11	7	—	—	1	11	1	5	3	3	7	2	—	2	9	9	55	September
8.0	4.9	4.0	5.6	47	10	28	11	7	1	—	—	9	3	7	2	5	6	2	—	9	18	2	49	Oktober
8.5	6.6	7.8	7.6	42	13	24	10	8	—	—	—	14	1	12	—	1	3	1	—	6	23	5	51	November
9.4	7.3	9.0	8.6	56	8	5	13	10	8	—	—	10	1	22	2	11	12	1	1	9	9	—	48	Dezember
6.8	5.1	5.3	5.7	931	32	VIII	155	123	32	2	21	60	50	98	49	52	73	31	7	86	180	76	541	Jahr

Beznau

$\lambda = 8° 14'$, $\beta = 47° 33'$, $H =$ ca. 330^{m}. $G = -$ mm. $h_r = 1.5^{m}$

1938	Luftdruck					Luft-Temperatur								Relative Feuchtigkeit					
	Mittel	Minimum	Tag	Maximum	Tag	7^{30}	13^{30}	21^{30}	Mittel	Minimum	Tag	Maximum	Tag	7^{30}	13^{30}	21^{30}	Mittel	Minimum	Tag
Januar	—	—	—	—	—	0.7	3.7	1.8	2.0	−12.0	5	12.2	14	83	71	77	77	39	2
Februar	—	—	—	—	—	−0.8	3.5	0.4	0.9	−6.8	21	8.4	28	80	59	77	72	40	23.26
März	—	—	—	—	—	1.5	12.8	5.4	6.3	−3.2	15	18.4	31	89	37	74	67	21	13
April	—	—	—	—	—	2.7	10.6	4.9	5.8	−1.4	22	20.0	2	78	34	63	58	12	13
Mai	—	—	—	—	—	8.5	16.2	10.4	11.4	1.4	1	25.6	27	73	42	70	62	20	5.13.14
Juni	—	—	—	—	—	14.9	22.1	16.1	17.3	8.4	2	31.0	25	73	42	74	63	27	4.5.7
Juli	—	—	—	—	—	15.3	22.5	16.2	17.5	11.4	3	29.4	8	77	44	82	68	27	22
August	—	—	—	—	—	14.9	22.0	16.5	17.5	8.0	25	31.8	5	83	46	80	70	30	2.22
September	—	—	—	—	—	11.8	19.6	13.4	14.6	3.4	17	24.2	27	87	47	86	73	33	27
Oktober	—	—	—	—	—	7.1	12.7	7.6	8.7	−0.4	23	21.2	10	85	53	87	75	36	6.8.20
November	—	—	—	—	—	5.0	8.7	6.2	6.5	−1.2	27	15.0	5	87	68	83	79	38	25
Dezember	—	—	—	—	—	−2.4	0.2	−1.9	−1.5	−14.8	22	8.6	1	80	65	76	74	43	20
Jahr	—	—	—	—	—	6.6	12.9	8.1	8.9	−14.8	XII	31.8	VIII	81	51	77	70	12	IV

Hallau

$\lambda = 8° 27'$, $\beta = 47° 42'$, $H_b = 449.5^{m}$, $G = 0.09$ mm, $h_r = 1.3^{m}$

Januar	723.1	704.9	30	738.4	24	−0.1	2.5	1.0	1.1	−9.4	5	8.8	13	90	79	83	84	52	3
Februar	727.7	713.2	13	737.1	28	−1.4	3.0	0.6	0.7	−5.7	22	7.5	28	83	68	79	77	35	21
März	729.8	718.4	26	738.5	3	2.5	12.0	7.1	7.2	−2.8	15	16.8	31	82	49	63	65	29	12
April	725.1	715.9	30	734.9	10. 11	3.1	10.0	5.2	5.9	−2.5	22	18.4	2	78	46	64	63	32	19
Mai	721.4	714.8	27	728.3	12	8.7	15.2	11.3	11.6	1.5	1	23.7	15	77	53	67	66	27	5
Juni	725.1	717.3	12	730.1	20	15.1	21.2	17.1	17.6	8.8	2	28.1	25	75	51	72	66	38	4.6
Juli	724.2	714.9	1	728.4	10	15.5	21.9	16.8	17.7	11.8	3	29.1	8	81	51	78	70	39	20.21
August	722.2	714.8	29	727.1	22.23	14.9	21.3	16.7	17.4	8.2	22	28.6	5	86	55	81	74	39	25
September	724.1	718.6	10	728.7	16	11.3	18.7	13.7	14.4	4.7	17	22.9	27	90	59	84	78	43	8
Oktober	723.7	713.0	28	732.0	12	6.7	11.9	7.5	8.4	−1.2	31	19.0	10	90	62	87	80	40	6.21
November	724.5	702 5	22	734.1	14	3.6	7.7	5.3	5.5	−1.5	1	12.6	5	94	79	89	87	45	26
Dezember	720.6	710.1	20	729.0	26	−2.7	−0.1	−2.4	−1.9	−12.9	22	9.0	1	84	76	83	81	54	26
Jahr	724.3	702.5	XI	738.5	III	6.4	12.1	8.3	8.8	−12.9	XII	29.1	VII	84	61	77	74	27	V

Lohn

$\lambda = 8° 40'$, $\beta = 47° 45'$, $H_b =$ ca. 643^{m}. $G = 0.06$ mm, $h_r = 1.6^{m}$

Januar	705.8	687.6	30	720.6	24	−1.5	0.6	−0.5	−0.5	−11.6	3	6.0	14	95	89	89	91	58	25
Februar	710.4	696.0	13	719.3	27.28	−2.2	1.4	−0.3	−0.4	−6.6	15	6.1	28	87	76	82	82	36	21
März	712.8	700.8	26	721.1	4	4.4	11.0	7.4	7.6	−0.9	14	15.6	20	77	52	61	63	35	4. 12
April	708.1	698.9	30	717.6	10	3.4	7.9	4.0	4.8	−1.9	11	18.1	2	80	54	72	69	36	1. 19
Mai	704.7	698.5	27	711.3	12	8.8	13.2	10.0	10.5	−0.9	2	22.0	15	78	61	71	70	29	5
Juni	708.7	701.4	13	713.5	20	15.6	19.4	15.9	16.7	7.2	2	26.5	25	76	62	75	71	44	8
Juli	707.7	699.2	1	711.7	17	15.8	19.6	15.7	16.7	10.0	3	27.1	8	80	63	78	74	43	8
August	705.8	698.5	29	710.5	1. 23	15.5	19.4	15.8	16.6	10.2	24	27.7	6	85	66	82	78	46	24
September	707.7	702.3	10	711.8	16	12.3	16.9	13.6	14.1	7.3	17	20.7	24.27	90	70	83	81	51	16
Oktober	706.9	695.9	28	714.9	12	6.5	10.3	7.6	8.0	−1.0	24	18.0	10	93	74	87	85	51	6
November	707.6	686.4	22	717.0	14	3.7	6.8	5.3	5.3	−0.8	29	11.4	6	96	86	92	91	52	27
Dezember	703.3	692.8	21	711.1	26	−3.9	−1.9	−3.4	−3.2	−13.6	19	9.8	12	90	84	88	87	49	12
Jahr	707.5	686.4	XI	721.1	III	6.5	10.4	7.6	8.0	−13.6	XII	27.7	VIII	86	70	80	79	29	V

Oberes Aare- und Saanegebiet

Bern

$\lambda = 7° 26'$, $\beta = 46° 57'$, $H_b = 572.2^{m}$ $G = 0.0$ mm, $h_r = 1.5^{m}$

Januar	712.3	695.8	10	727.4	24	−1.1	2.0	0.5	0.5	−14.2	5	8.3	14	85	77	81	81	53	10
Februar	716.1	701.9	13	725.6	28	−2.0	2.3	0.0	0.1	−6.0	16	7.0	1	86	70	81	79	40	26
März	718.4	707.9	26	726.7	3	1.8	11.2	6.9	6.7	−2.9	14	15.6	31	88	50	69	69	29	16
April	713.3	704.4	30	721.9	10	2.1	9.4	5.6	5.7	−1.4	21	18.5	2	86	46	65	66	24	2
Mai	710.0	703.9	27	716.7	12	8.2	14.2	11.0	11.1	1.3	2	22.3	14	83	56	68	69	23	13
Juni	714.1	706.3	12	718.8	20	14.3	20.6	16.6	17.0	7.7	2	28.7	25	80	50	71	67	21	8
Juli	713.1	704.7	1	717.8	10	14.3	20.3	16.5	16.9	9.8	3	27.2	31	83	53	75	70	32	22.30
August	711.1	704.1	29	715.8	22	14.2	20.3	16.2	16.7	7.3	24	28.7	4	87	57	79	74	33	3
September	712.8	706.9	10	716.2	12	11.5	17.6	13.9	14.2	8.2	16	21.6	23	90	59	83	77	43	14
Oktober	712.5	702.8	28	720.3	12	6.3	11.7	8.2	8.6	−1.6	31	21.0	10	91	67	86	81	35	9
November	713.3	693.2	22	722.7	14	2.7	8.9	5.1	5.4	−1.9	28	13.8	5	90	71	85	82	48	25
Dezember	708.7	698.5	20	715.8	4	−3.1	−0.1	−2.4	−2.0	−13.5	22	8.3	1	87	77	84	83	60	5
Jahr	713.0	693.2	XI	727.4	I	5.8	11.5	8.2	8.4	−14.2	I	28.7	VI/VIII	86	61	77	75	21	VI

Beobachter: **U. Schifferli**

Beznau

Bewölkung 7³⁰	13³⁰	21³⁰	Mittel	Niederschlag Summe	Maximum	Tag	Zahl der Tage ●	●≥1.0	✳	▲	K	≡	heiter	trüb	Windverteilung N	NE	E	SE	S	SW	W	NW	Calmen	1938
9.5	8.1	6.9	8.2	171	32	17	20	19	6	—	1	1	—	20	6	1	—	—	65	—	1	—	20	Januar
8.8	6.0	6.0	6.9	38	13	12	7	7	4	—	—	5	3	14	13	3	4	3	31	—	5	1	24	Februar
7.1	3.5	1.6	4.1	42	25	27	5	5	1	—	—	10	7	4	7	—	1	5	25	—	4	1	50	März
6.0	6.0	3.6	5.2	8.	2	3	7	5	1	—	—	3	4	4	19	5	1	4	9	2	9	10	31	April
7.5	6.4	5.2	6.4	82	22	30	15	13	—	—	—	3	5	11	8	3	6	6	23	1	6	4	36	Mai
5.2	4.8	5.3	5.1	122	28	13	10	8	—	—	4	1	5	7	10	1	5	—	19	1	8	6	40	Juni
6.1	5.4	5.8	5.8	164	34	4	13	12	—	—	4	4	5	8	7	2	1	5	27	1	6	4	40	Juli
7.1	6.1	5.0	6.1	104	31	20	15	13	—	—	3	5	4	10	11	1	3	—	23	2	14	4	35	August
9.5	4.8	5.1	6.5	48	20	30	9	7	—	—	1	16	2	9	13	1	3	2	6	—	8	2	55	September
9.2	5.4	5.3	6.6	60	13	7	12	11	1	—	1	15	—	9	15	—	4	—	26	1	5	—	42	Oktober
9.4	7.8	8.9	8.7	40	12	22	8	7	—	—	—	17	1	23	3	—	6	1	34	—	4	—	42	November
9.5	8.0	9.3	8.9	62	16	3	10	9	7	—	—	8	—	23	22	—	3	1	24	—	4	1	38	Dezember
7.9	6.0	5.7	6.5	941	34	VII	131	116	20	—	14	88	36	142	134	17	37	27	312	8	74	33	453	Jahr

Beobachter: **Hs. Huber-Rupli**

Hallau

9.5	9.1	8.2	8.9	141	23	29	20	18	12	—	1	2	—	22	3	3	—	—	—	36	1	3	47	Januar
7.9	6.0	5.5	6.5	31	14	10	8	5	4	—	—	4	5	15	7	13	1	2	—	15	3	1	42	Februar
3.5	2.7	2.1	2.8	17	7	27	4	3	2	1	1	—	15	4	4	9	—	3	4	18	3	—	52	März
4.8	6.2	4.8	5.3	12	4	29	7	3	2	—	—	1	5	7	8	23	—	5	—	8	2	3	41	April
6.2	5.7	5.6	5.8	78	24	19	14	12	1	—	—	—	6	12	5	13	—	5	1	14	1	3	51	Mai
4.4	4.4	4.5	4.4	156	44	9	10	8	—	1	2	—	8	7	10	—	—	2	3	12	2	2	59	Juni
5.2	5.2	5.3	5.2	117	22	2	13	8	—	—	3	2	7	6	5	1	—	4	8	18	2	2	53	Juli
6.0	5.5	6.3	5.9	85	20	20	14	11	—	—	3	1	6	12	6	5	1	3	1	20	1	4	52	August
7.0	5.0	4.4	5.5	39	15	3	10	6	—	—	1	2	3	7	6	4	2	—	—	11	—	—	67	September
7.5	4.7	3.8	5.3	47	10	11	11	9	—	—	1	5	5	7	3	6	—	3	4	9	1	2	65	Oktober
9.1	7.9	6.3	7.8	38	11	21	9	8	—	—	—	12	1	16	2	1	—	—	1	17	—	1	68	November
9.9	8.4	7.9	8.7	36	10	31	11	10	7	—	—	4	—	23	7	18	2	—	—	18	1	—	47	Dezember
6.7	5.9	5.4	6.0	797	44	VI	131	101	28	2	12	33	61	138	66	96	6	27	22	196	17	21	644	Jahr

Beobachter: **A. Läuchli**

Lohn

9.5	8.6	8.5	8.9	145	26	29	23	17	14	—	—	2	—	22	1	1	3	—	1	36	23	1	27	Januar
6.3	5.3	5.4	5.7	31	14	10	9	7	7	—	—	3	8	11	—	8	12	6	—	17	10	2	29	Februar
3.5	3.5	3.1	3.4	18	10	27	5	4	2	—	—	—	16	7	3	—	12	3	3	18	12	3	39	März
5.7	7.3	5.8	6.3	18	6	30	8	6	6	—	—	1	2	11	—	4	26	1	—	8	18	4	29	April
6.6	6.3	5.1	6.0	76	17	19	14	13	1	—	—	3	6	12	1	2	10	8	2	15	16	1	38	Mai
4.8	5.2	6.0	5.3	146	49	9	11	9	—		3	—	6	7	4	4	1	1	6	21	14	4	35	Juni
5.8	6.3	6.3	6.1	127	23	24	15	12	—	—	3	2	5	12	3	—	5	—	4	17	19	3	42	Juli
6.2	6.4	6.0	6.2	110	22	10	17	13	—	—	3	—	5	13	2	4	5	—	6	10	17	2	47	August
6.4	5.6	5.0	5.7	56	14	3	10	8	—	—	3	5	4	8	1	1	8	2	2	5	6	2	63	September
7.2	5.4	4.6	5.7	47	9	11	12	10	1	—	—	7	3	8	—	2	11	—	2	21	17	—	40	Oktober
7.9	7.6	6.5	7.3	39	12	21	12	9	—	—	—	11	3	17	—	—	3	—	—	21	11	—	55	November
9.7	8.3	7.4	8.5	52	10	31	12	11	10	—	—	6	—	21	3	11	11	1	—	14	15	—	38	Dezember
6.6	6.3	5.8	6.3	865	49	VI	148	119	41	—	12	40	58	149	18	37	107	22	26	203	178	22	482	Jahr

Oberes Aare- und Saanegebiet

Beobachter: **Tellur. Observatorium**

Bern

9.0	8.4	7.3	8.2	77	12	9	18	12	8	—	—	7	1	19	—	5	—	6	2	10	11	1	58	Januar
6.6	6.2	5.3	6.0	11	6	10	7	2	5	—	—	4	7	14	2	18	1	—	6	8	5	1	43	Februar
2.8	2.1	1.9	2.3	25	11	26	5	4	—	—	—	—	20	3	1	20	3	1	3	8	6	4	47	März
3.4	5.4	3.7	4.2	20	6	29	7	5	3	—	—	1	10	4	9	30	4	1	2	1	3	1	39	April
7.0	6.6	6.8	6.8	75	22	19	16	14	2	—	—	1	3	15	4	16	1	4	—	7	14	—	47	Mai
4.9	4.7	4.9	4.8	169	32	13	11	10	—	—	4	1	9	7	5	10	2	3	4	8	13	2	43	Juni
5.5	5.5	5.8	5.6	225	45	15	12	12	—	1	2	1	6	11	6	13	2	5	2	8	14	1	42	Juli
5.7	5.7	5.8	5.7	163	40	13	14	13	—	—	1	4	6	10	2	10	2	4	3	5	6	1	60	August
7.4	5.4	5.4	6.1	83	27	30	9	8	—	—	1	6	1	8	2	8	1	2	—	—	8	3	66	September
6.9	6.0	4.4	5.8	55	12	4	12	10	1	—	—	7	6	11	3	9	—	2	3	9	8	1	58	Oktober
7.9	5.5	6.7	6.7	51	14	21	9	6	1	—	—	15	2	13	3	5	1	1	4	5	6	—	65	November
8.9	7.7	8.5	8.4	41	13	5	12	10	8	—	—	11	1	23	—	21	2	2	—	4	8	—	56	Dezember
6.3	5.8	5.5	5.9	995	45	VII	132	106	28	1	8	58	72	138	37	165	19	31	29	73	102	15	624	Jahr

Freiburg

$\lambda = 7^\circ 9'$, $\beta = 46^\circ 47'$, $H_b = 670^m$, $G = -^m/_m$, $h_r = 1.6^m$

1938	Luftdruck					Luft-Temperatur								Relative Feuchtigkeit					
	Mittel	Minimum	Tag	Maximum	Tag	7^{30}	13^{30}	21^{30}	Mittel	Minimum	Tag	Maximum	Tag	7^{30}	13^{30}	21^{30}	Mittel	Minimum	Tag
Januar	—	—	—	—	—	-1.0	1.9	0.3	0.4	-15.6	4	10.0	14	80	70	77	76	34	25
Februar	—	—	—	—	—	-2.7	2.1	-0.7	-0.5	-7.2	16.17	6.6	6.28	81	62	80	74	43	26
März	—	—	—	—	—	2.8	11.5	6.4	6.8	-3.7	14	15.5	31	71	47	60	59	35	13
April	—	—	—	—	—	1.9	9.3	4.1	4.9	-2.8	22	18.2	2	75	44	61	60	28	19
Mai	—	—	—	—	—	8.1	14.0	9.7	10.4	1.4	1.2	20.8	16	76	51	69	65	32	13
Juni	—	—	—	—	—	14.5	19.9	15.7	16.5	6.9	2	29.0	25	76	53	68	66	29	4
Juli	—	—	—	—	—	14.3	19.8	15.6	16.3	9.4	3	26.6	31	81	58	72	70	35	20.21.30
August	—	—	—	—	—	14.1	20.2	15.2	16.2	6.9	24	27.5	5	86	61	79	75	43	6
September	—	—	—	—	—	11.5	17.6	12.9	13.7	7.5	16	20.7	22	88	69	86	81	55	2
Oktober	—	—	—	—	—	6.6	11.6	7.9	8.5	-1.5	31	21.4	10	88	74	83	82	50	10
November	—	—	—	—	—	3.2	9.2	5.5	5.9	-1.2	1	14.8	5	89	74	86	83	55	27
Dezember	—	—	—	—	—	-3.3	-0.3	-2.6	-2.2	-15.3	22.23	8.2	1	88	79	87	85	64	1
Jahr	—	—	—	—	—	5.8	11.4	7.5	8.1	-15.6	I	29.0	VI	82	62	76	73	28	IV

Langnau i. E.

$\lambda = 7^\circ 47'$, $\beta = 46^\circ 56'$, $H = 685^m$, $G = -^m/_m$, $h_r = 1.6^m$

Januar	—	—	—	—	—	-2.1	1.8	-0.8	-0.5	-17.2	5	7.4	14	89	74	89	84	56	31
Februar	—	—	—	—	—	-4.0	2.7	-1.4	-1.0	-12.4	17	8.0	26	88	64	85	79	38	26
März	—	—	—	—	—	1.6	11.3	4.0	5.2	-3.6	14	17.0	31	90	46	83	73	32	7
April	—	—	—	—	—	1.9	9.1	2.8	4.1	-3.2	22	18.4	2	85	48	77	70	28	1
Mai	—	—	—	—	—	8.0	13.6	8.5	9.6	0.3	1	22.0	27	85	58	88	77	26	13
Juni	—	—	—	—	—	15.1	20.6	14.5	16.2	6.4	2	28.6	25	78	51	87	72	34	8
Juli	—	—	—	—	—	14.7	20.1	14.4	15.9	9.2	3.5	27.4	31	82	55	91	76	35	21
August	—	—	—	—	—	14.0	20.0	14.0	15.5	7.6	23	28.3	5	88	54	93	78	37	5
September	—	—	—	—	—	11.0	17.8	12.1	13.2	6.6	16	21.8	14	94	59	95	83	44	8
Oktober	—	—	—	—	—	6.0	11.8	6.9	7.9	-2.0	31	20.3	10	96	65	95	85	36	14
November	—	—	—	—	—	2.9	9.9	5.0	5.7	-2.9	28	15.6	5	97	64	91	84	44	4
Dezember	—	—	—	—	—	-3.5	0.0	-2.7	-2.2	-16.8	22	8.0	13	92	76	89	86	58	3
Jahr	—	—	—	—	—	5.5	11.6	6.4	7.5	-17.2	I	28.6	VI	89	59	89	79	26	V

St. Beatenberg

$\lambda = 7^\circ 48'$, $\beta = 46^\circ 41'$, $H_b = 1148^m$, $G = -0.13\ ^m/_m$, $h_r = 1.1^m$

Januar	663.9	648.2	10	678.5	24	-1.8	0.3	-1.7	-1.2	-14.4	5	9.7	25	74	70	70	71	27	25
Februar	667.2	653.5	14	676.6	28	-3.7	0.8	-2.0	-1.7	-10.6	16	6.4	1	70	64	71	68	35	8
März	670.6	660.9	26	678.2	3.4	2.4	8.2	3.2	4.2	-3.6	13	14.2	31	63	50	68	60	29	16
April	665.1	656.5	30	672.6	11	1.0	6.1	0.2	1.9	-6.6	12	15.0	1	73	55	75	68	30	3
Mai	663.1	656.5	1	669.2	12.13	6.4	10.7	6.0	7.3	-2.4	1	19.6	14	79	62	78	73	34	3
Juni	667.8	659.2	12	672.1	20	12.8	17.0	12.1	13.5	4.2	3	23.8	25	79	67	79	75	35	1
Juli	666.9	658.5	1	671.7	18	12.6	16.7	12.2	13.4	6.5	5	23.6	31	83	69	84	79	40	7
August	665.1	658.1	29	668.9	1	12.3	16.5	12.0	13.2	6.8	23.24	24.2	5	83	71	86	80	47	22
September	666.2	660.6	10	669.6	12	10.5	14.3	10.4	11.4	5.4	5	18.4	14	82	74	85	80	53	25
Oktober	664.8	653.3	28	673.6	12	5.5	9.3	5.7	6.5	-3.2	31	17.4	10	81	72	84	79	42	10
November	665.9	647.4	22	675.1	14	4.1	8.3	4.8	5.5	-1.8	28	13.6	7	68	61	70	66	35	8
Dezember	660.1	649.3	20	667.8	4	-2.8	-0.7	-2.8	-2.3	-14.8	22	10.4	11	76	74	77	76	30	11
Jahr	665.6	647.4	XI	678.5	I	4.9	9.0	5.0	6.0	-14.8	XII	24.2	VIII	76	66	77	73	29	III

Interlaken (Unterseen)

$\lambda = 7^\circ 51'$, $\beta = 46^\circ 42'$, $H_b = 568.4^m$, $G = -0.07\ ^m/_m$, $h_r = 1.5^m$

Januar	713.4	696.6	10	728.2	24	-0.9	2.4	-0.1	0.3	-10.6	5	7.4	14	79	66	78	74	41	3
Februar	717.0	703.3	14	725.6	27.28	-2.9	2.2	-0.5	-0.4	-8.6	17	7.9	10	80	59	75	71	39	26
März	719.4	709.0	26	727.4	3	2.4	11.1	6.1	6.4	-2.0	13	15.5	17	80	47	58	62	26	16
April	714.3	705.8	30	722.3	11	3.2	10.3	4.7	5.7	-1.0	22	20.2	3	70	43	62	58	24	3
Mai	711.0	700.8	4	718.8	12	8.9	14.5	10.1	10.9	1.0	2	23.0	16	77	52	69	66	29	16
Juni	715.1	706.6	12	719.5	20	14.9	21.0	15.8	16.9	6.6	2	27.0	25.29	75	51	70	65	34	25
Juli	714.2	704.9	1	718.9	10	15.5	20.9	15.6	16.9	9.2	3	28.4	31	75	52	77	68	42	4
August	712.4	705.2	29	716.7	22	15.0	20.8	15.5	16.7	9.6	24	28.8	5	78	54	81	71	38	22
September	714.0	708.6	10	716.9	12.13	11.7	18.0	13.7	14.3	8.8	17	22.2	14	88	57	81	75	45	7
Oktober	713.6	702.3	28	721.7	12	7.2	12.3	8.0	8.9	0.2	31	18.5	19	87	61	83	77	40	10
November	714.5	695.4	22	723.5	14	3.5	9.6	5.1	5.8	-2.6	28	14.2	6	86	58	78	74	43	20
Dezember	709.9	698.8	20	716.8	4	-1.7	1.5	-1.5	-0.8	-11.8	27	13.5	12	81	66	78	75	35	12
Jahr	714.1	695.4	XI	728.2	I	6.4	12.1	7.7	8.5	-11.8	XII	28.8	VIII	80	56	74	70	24	IV

Beobachter: **Frau P. Gockel**

Freiburg

Bewölkung				Niederschlag			Zahl der Tage								Windverteilung									1938
7.30	13.30	21.30	Mittel	Summe	Maximum	Tag	● *	●* ≥1.0	*	▲	⊠	≡	heiter	trüb	N	NE	E	SE	S	SW	W	NW	Calmen	
8.2	8.5	7.7	8.1	74	12	9	19	14	11	1	—	2	2	21	2	5	—	—	—	42	10	1	33	Januar
7.0	6.0	6.3	6.4	23	8	10	9	6	7	—	—	1	6	13	5	8	—	—	1	17	3	1	49	Februar
2.7	2.6	2.6	2.6	18	9	26	5	4	1	—	—	—	19	3	8	19	—	—	2	22	10	5	27	März
2.8	4.5	4.0	3.8	17	4	20	7	6	5	—	—	—	10	2	6	37	—	—	1	9	2	7	28	April
7.3	6.6	7.8	7.2	68	16	19	16	13	2	—	—	—	2	16	3	22	2	—	—	33	7	7	19	Mai
5.2	5.0	5.3	5.2	167	44	12	12	11	—	—	3	—	7	8	8	16	—	1	—	23	9	19	14	Juni
5.4	5.8	5.6	5.6	153	26	1	14	12	—	—	3	—	7	9	11	4	—	—	2	28	12	13	23	Juli
5.9	5.9	5.8	5.9	138	37	11	12	11	—	—	4	—	5	12	9	12	1	—	3	29	13	7	?	August
7.3	6.7	5.5	6.5	75	35	30	8	7	—	—	—	1	2	11	5	26	—	—	—	21	3	20	15	September
7.1	6.4	5.7	6.4	58	13	27	12	11	2	—	—	2	5	11	7	9	2	—	1	26	21	3	24	Oktober
6.6	5.9	6.4	6.3	43	18	21	8	6	—	—	—	3	3	11	2	1	—	—	1	22	12	12	40	November
8.6	7.5	8.5	8.2	57	12	19	15	12	10	—	—	6	1	20	2	12	—	—	—	23	6	4	46	Dezember
6.2	5.9	5.9	6.0	891	44	VI	137	113	38	1	10	15	69	137	68	170	5	1	11	295	108	99	?	Jahr

Beobachter: **Frl. R. Zbinden**

Langnau i. E.

8.3	8.8	8.1	8.4	122	17	30	16	15	13	—	—	2	2	23	1	1	32	—	1	10	17	2	29	Januar
6.2	6.1	5.9	6.1	45	15	10	9	8	8	—	—	—	8	13	1	—	42	3	1	6	18	1	12	Februar
3.3	3.0	3.0	3.1	35	14	26	5	4	2	—	1	—	18	5	—	6	52	1	1	9	18	—	6	März
4.4	6.8	4.1	5.1	29	8	30	9	8	6	—	—	—	4	6	—	3	55	4	2	1	18	5	2	April
7.5	7.9	7.2	7.5	124	34	19	18	15	3	—	3	—	3	17	3	2	36	1	1	9	24	—	17	Mai
6.0	6.7	4.8	5.8	159	33	13	15	13	—	—	4	—	4	10	1	1	36	1	5	4	22	2	18	Juni
5.8	7.1	5.7	6.2	192	25	1	14	14	—	—	3	—	6	13	5	5	32	2	6	7	15	3	18	Juli
6.2	6.7	6.5	6.5	294	62	20	16	15	—	—	5	—	5	13	3	1	34	3	1	3	24	2	22	August
7.7	7.3	5.6	6.9	130	42	30	11	9	—	—	1	2	—	11	2	3	37	4	1	9	14	—	20	September
7.5	6.2	5.1	6.3	61	18	4	12	10	1	—	—	1	3	11	3	2	38	4	7	6	23	—	10	Oktober
6.0	5.8	4.4	5.4	47	16	21	7	6	—	—	—	1	8	8	1	1	41	2	5	7	13	2	18	November
8.2	8.5	7.7	8.1	82	19	5	13	11	11	—	—	2	1	20	—	—	57	6	—	3	11	1	15	Dezember
6.4	6.7	5.7	6.3	1320	62	VIII	145	128	44	—	17	8	62	150	20	25	492	31	31	74	217	18	187	Jahr

Beobachter: **Fr. Rupp**

St. Beatenberg

7.7	8.2	7.0	7.6	134	22	20	18	14	15	—	—	8	3	19	—	—	—	3	1	—	4	24	61	Januar
5.0	5.4	5.0	5.1	86	30	11	8	8	8	—	—	7	10	10	1	—	—	—	—	—	5	29	49	Februar
3.3	3.0	2.5	2.9	46	25	27	4	4	3	—	—	1	17	4	—	1	1	5	5	1	1	31	48	März
4.6	5.4	5.4	5.1	64	16	20	7	7	7	—	—	4	6	4	—	2	1	13	3	3	1	22	45	April
6.9	7.9	7.1	7.3	110	23	19	20	15	5	—	—	10	1	15	—	—	—	9	2	3	1	16	62	Mai
6.4	5.3	5.8	5.8	177	26	2	16	14	—	1	4	6	4	9	—	—	1	9	1	1	2	20	56	Juni
5.9	6.3	5.9	6.0	172	28	8	14	14	—	—	4	8	6	10	—	—	—	5	3	1	3	15	66	Juli
6.4	6.8	6.6	6.6	189	28	21	19	17	—	—	2	8	2	13	—	—	—	4	3	1	1	20	64	August
6.1	6.7	6.4	6.4	112	30	3	12	8	—	—	1	6	2	12	—	—	—	1	—	—	—	10	79	September
6.8	5.5	4.8	5.7	60	15	4	10	10	1	—	—	8	7	13	—	—	—	—	1	4	—	14	74	Oktober
5.2	4.9	3.2	4.4	39	16	21	6	6	1	—	—	4	7	4	2	—	—	2	—	3	2	33	48	November
8.5	7.8	6.7	7.7	83	21	28	14	10	14	—	—	12	1	18	1	2	1	2	—	1	1	24	61	Dezember
6.1	6.1	5.5	5.9	1272	30	IX	148	127	54	1	11	82	66	131	4	5	4	53	19	18	21	258	713	Jahr

Beobachter: **P. Furrer**

Interlaken (Unterseen)

8.5	7.2	7.2	7.6	97	17	27	14	14	4	—	—	—	—	16	—	3	17	3	1	4	6	1	58	Januar
5.5	5.5	5.5	5.5	64	24	11	7	7	7	—	—	—	7	9	—	—	12	1	1	13	3	—	54	Februar
2.1	2.3	2.1	2.2	18	9	1	3	3	—	—	—	—	22	3	—	2	17	—	4	12	3	1	54	März
3.4	4.8	4.1	4.1	41	12	20	7	7	3	—	—	—	9	4	2	3	16	—	2	13	10	—	44	April
5.5	5.5	6.1	5.7	100	24	20	14	12	1	—	—	—	5	9	1	—	20	5	1	23	7	—	36	Mai
4.4	3.9	5.1	4.5	168	27	22	17	16	—	—	—	—	7	6	—	—	21	1	1	23	6	—	38	Juni
4.7	5.0	5.1	4.9	160	27	23	14	11	—	—	1	—	8	6	—	—	11	2	1	21	5	1	52	Juli
5.2	5.2	6.4	5.6	194	34	13.21	18	16	—	—	—	—	7	12	1	1	7	1	5	15	2	—	61	August
6.3	5.0	5.6	5.6	96	24	4	7	7	—	—	—	—	3	8	—	1	16	—	3	20	9	—	41	September
6.7	4.7	5.3	5.6	68	19	4	11	10	—	—	—	—	9	12	—	1	15	1	4	17	7	1	47	Oktober
4.1	3.7	3.6	3.8	28	8	22	6	5	—	—	—	1	10	5	—	2	31	—	2	15	5	—	35	November
7.6	7.3	6.4	7.1	65	17	28	9	9	6	—	—	—	3	15	—	—	15	2	—	14	7	—	55	Dezember
5.3	5.0	5.2	5.2	1099	34	VIII	127	117	21	—	1	1	90	105	4	13	198	16	25	190	70	4	575	Jahr

Meiringen

$\lambda = 8° 12'$, $\beta = 46° 44'$, $H_b = 604.7^m$. $G = -0.08$ ‰, $h_r = 1.6^m$

1938	Luftdruck					Luft-Temperatur								Relative Feuchtigkeit					
	Mittel	Minimum	Tag	Maximum	Tag	7^{30}	13^{30}	21^{30}	Mittel	Minimum	Tag	Maximum	Tag	7^{30}	13^{30}	21^{30}	Mittel	Minimum	Tag
Januar	710.0	693.0	10	724.8	24	−2.3	1.3	−1.3	−0.9	−11.7	5	6.2	19	91	73	88	84	44	4
Februar	713.7	699.6	13	723.3	28	−4.3	2.2	−1.5	−1.3	−8.7	22	5.3	26	94	55	88	79	30	25
März	716.2	705.8	26	724.4	3	1.1	10.9	6.6	6.3	−2.6	14.15	18.3	31	91	37	52	60	19	16
April	710.9	702.3	30	718.9	11	2.5	9.9	6.2	6.2	−3.4	22	20.3	3	81	36	51	56	17	3
Mai	708.0	701.7	27	714.6	12	8.6	14.8	11.6	11.6	1.3	1	23.6	15	85	46	63	65	15	14
Juni	711.9	702.4	12	716.6	20	14.4	21.6	16.6	17.3	6.8	3	28.4	25	88	45	77	70	18	1
Juli	711.0	701.0	1	715.7	10	15.1	21.2	17.0	17.6	10.0	2	28.0	31	88	47	78	71	17	8
August	709.2	701.7	29	714.1	22	14.7	20.7	16.0	16.9	8.0	24	29.2	5	90	48	86	75	30	1.4.22
September	710.8	704.8	10	714.2	18	11.1	18.5	14.4	14.6	7.5	11	23.0	26	94	47	84	75	21	27
Oktober	710.2	698.6	27	718.1	13	6.0	12.9	8.1	8.8	−2.0	31	19.8	10	97	57	93	82	33	10.11
November	711.1	689.5	22	721.2	14	2.2	9.9	4.6	5.3	−3.6	28	14.6	21	95	47	87	76	9	26
Dezember	706.5	695.2	20	713.7	4	−1.9	1.6	−1.0	−0.6	−13.4	27	15.2	12	90	67	84	80	15	11.12
Jahr	710.8	689.5	XI	724.8	I	5.6	12.1	8.1	8.5	−13.4	XII	29.2	VIII	90	50	78	73	9	XI

Guttannen

$\lambda = 8° 17'$, $\beta = 46° 39'$. $H_b =$ ca. 1055^m. $G = -0.15$ ‰, $h_r = 1.5^m$

Januar	671.0	655.0	10	685.9	24	−2.4	−0.1	−1.9	−1.6	−15.8	5	8.5	15	84	78	81	81	35	14
Februar	674.4	660.6	13	683.7	27	−4.1	−0.1	−2.7	−2.4	−11.8	15	4.1	28	81	71	79	77	40	17
März	677.9	667.9	26	685.9	3	1.2	7.1	2.8	3.5	−4.4	14	11.8	31	75	59	72	69	37	21
April	672.3	663.5	30	679.5	10	−0.2	6.4	1.9	2.5	−8.6	22	14.8	3	84	56	78	73	39	19
Mai	670.5	663.3	1	676.6	13	6.1	1.8	7.7	8.2	−2.1	1	19.8	14	84	63	76	74	29	14
Juni	674.9	666.2	12	679.6	20	11.5	8.7	13.4	14.2	4.0	4	26.4	25	85	61	83	76	40	1
Juli	674.2	665.8	1	677.9	10	12.3	8.7	13.6	14.3	6.8	4	25.6	26	86	64	87	79	36	26
August	672.3	665.3	29	676.6	1	11.6	8.6	13.4	14.0	4.2	24	25.2	5	91	66	88	82	43	20
September	673.8	669.7	7	677.0	12	10.1	7.0	11.4	12.1	5.9	7	20.0	28	81	65	80	75	49	25
Oktober	672.4	660.4	28	680.2	12	5.6	3.8	6.3	7.0	−3.0	31	17.5	10	90	73	86	83	31	25
November	673.2	651.8	22	682.6	14	3.7	1.5	4.4	4.8	−1.6	28	12.1	11	78	69	76	74	29	26
Dezember	667.6	656.7	20	675.2	4	−1.8	−5.7	−1.6	−1.3	−14.2	26	11.2	13	79	76	79	78	40	8
Jahr	672.9	651.8	XI	685.9	I/III	4.5	9.2	5.7	6.3	−15.8	I	26.4	VI	83	67	80	77	29	V.XI

Grimsel

$\lambda = 8° 20'$, $\beta = 46° 34'$, $H = 1962.5^m$. $G = -$ ‰, $h_r = 1.5^m$

Januar	—	—	—	—	—	−6.3	−5.6	−6.6	−6.3	−23.2	3	5.6	24	67	64	70	67	3	23
Februar	—	—	—	—	—	−7.1	−2.9	−6.0	−5.5	−15.2	14	2.2	26	42	40	46	43	5	21
März	—	—	—	—	—	−2.9	3.0	−1.6	−0.8	−7.2	27	9.8	31	42	37	46	42	3	4
April	—	—	—	—	—	−5.5	−1.0	−4.9	−4.1	−13.6	22	9.4	1	60	54	75	63	11	28
Mai	—	—	—	—	—	0.5	4.2	1.3	1.8	−6.2	1	10.6	14	67	48	65	60	8	3
Juni	—	—	—	—	—	7.2	12.2	7.7	8.7	−1.0	2	21.0	25	50	40	62	51	7	4
Juli	—	—	—	—	—	7.3	11.1	8.1	8.7	1.2	22.23	21.2	5	61	48	78	62	11	25
August	—	—	—	—	—	7.3	11.0	8.0	8.6	0.0	2	18.0	26.31	58	48	76	61	20	15 23.26
September	—	—	—	—	—	5.6	9.3	6.6	7.0	0.2	5.6	14.6	18	56	45	61	54	11	18
Oktober	—	—	—	—	—	2.5	6.5	3.0	3.8	−6.4	30	15.2	10.16	56	48	61	55	7	13.14
November	—	—	—	—	—	0.4	3.6	0.9	1.5	−5.6	22	11.0	13	60	53	61	58	20	9
Dezember	—	—	—	—	—	−6.4	−4.4	−6.0	−5.7	−16.6	22	2.4	13	70	69	70	70	30	7
Jahr	—	—	—	—	—	0.2	3.9	0.9	1.5	−23.2	I	21.2	VIII	57	50	64	57	3	I/III

Südwestschweiz

Genf

$\lambda = 6° 9'$, $\beta = 46° 12'$, $H_b = 405.0^m$, $G = -0.03$ ‰, $h_r = 1.7^m$

Januar	728.3	711.4	10	743.4	24	1.4	4.1	2.4	2.6	−8.2	1	10.4	14	83	73	76	77	50	17
Februar	731.9	716.9	14	741.4	28	−0.5	2.9	1.5	1.4	−4.4	22	7.4	28	86	71	80	79	50	26
März	733.6	724.8	26	742.0	3	3.1	11.5	8.3	7.8	−0.8	14	18.2	25	81	50	56	62	29	12
April	728.1	719.8	30	735.0	11	4.5	10.9	7.8	7.7	1.0	11 22.23	18.7	3	70	43	48	54	23	19
Mai	725.2	718.5	27	732.2	12	10.0	15.2	12.4	12.5	1.8	1	21.4	13	78	54	61	64	29	14
Juni	729.0	721.4	30	734.1	20	16.4	20.7	18.4	18.5	10.2	13	27.6	27	77	60	58	65	38	3
Juli	728.1	720.0	1	733.3	10	16.5	21.7	18.3	18.7	12.0	2. 3	27.6	26	79	58	66	68	45	10
August	726.0	719.0	29	731.2	22	16.1	21.6	18.2	18.5	10.8	25	28.8	19	82	61	66	70	35	5
September	727.9	723.2	9	731.2	13	12.9	18.5	15.7	15.7	9.4	5	22.2	18	91	69	79	80	41	7
Oktober	727.8	716.8	28	735.3	13	8.2	13.9	10.2	10.6	0.0	31	24.2	10	87	69	80	79	43	9
November	728.9	708.2	22	738.6	14	5.1	9.5	7.2	7.2	−0.8	1	15.2	5	91	78	86	85	47	26
Dezember	724.4	712.9	20	731.4	26	−0.8	1.3	0.1	0.2	−13.0	22	10.0	1	89	83	87	86	53	6
Jahr	728.3	708.2	XI	743.4	I	7.7	12.7	10.0	10.1	−13.0	XII	28.8	VIII	83	64	70	72	23	IV

Beobachter: **A. Michel**

Meiringen

Bewölkung				Niederschlag			Zahl der Tage								Windverteilung									1938
7[30]	13[30]	21[30]	Mittel	Summe	Maximum	Tag	● *	●* >1.0	*	▲	⌇	≡	heiter	trüb	N	NE	E	SE	S	SW	W	NW	Calmen	
7.9	7.2	7.4	7.5	125	25	30	16	14	10	—	—	1	2	16	—	—	—	—	—	—	2	5	86	Januar
6.1	4.6	5.6	5.4	75	27	10	7	7	5	—	—	1	8	10	—	—	—	1	—	—	—	5	78	Februar
3.5	2.8	3.2	3.2	43	22	27	4	4	1	—	—	—	16	4	—	—	—	—	—	—	9	11	73	März
5.1	5.1	6.3	5.5	43	18	20	8	5	4	—	—	—	3	6	—	—	1	—	—	—	8	37	44	April
6.6	7.4	7.0	7.0	118	19	30	16	14	2	—	—	—	2	14	—	1	9	1	—	—	3	20	59	Mai
5.2	5.1	6.6	5.6	148	24	2	17	16	—	—	2	—	6	9	—	—	2	—	—	—	1	25	62	Juni
5.4	6.2	7.4	6.3	182	42	1	16	14	—	—	3	—	4	12	—	—	4	—	—	1	4	21	63	Juli
6.1	6.0	7.9	6.7	170	34	13	19	17	—	—	2	—	1	12	—	1	—	—	—	1	—	27	64	August
5.7	6.1	6.9	6.2	88	21	15	11	10	—	—	—	—	2	10	—	—	7	—	—	—	—	20	63	September
6.7	5.3	6.2	6.1	76	18	4	13	11	2	—	—	—	6	11	—	—	—	—	—	—	3	20	70	Oktober
5.9	4.5	4.2	4.9	30	14	22	6	6	—	—	—	—	8	7	—	—	3	2	—	—	3	3	79	November
8.5	8.0	7.5	8.0	69	12	21	12	11	9	—	—	—	1	19	—	1	8	1	—	—	—	12	71	Dezember
6.1	5.7	6.3	6.0	1167	42	VII	145	129	33	—	7	2	59	130	—	3	34	5	—	2	33	206	812	Jahr

Beobachter: **Hs. Huber**

Guttannen

6.8	7.5	6.1	6.8	169	31	20	14	14	13	—	—	1	4	14	—	—	—	8	—	—	—	4	81	Januar
4.7	4.5	4.5	4.6	111	34	11	6	6	6	—	—	—	11	6	—	—	—	5	—	—	—	8	71	Februar
3.5	2.5	2.8	2.9	59	27	27	3	3	3	—	—	—	18	5	—	—	—	7	—	—	—	3	83	März
5.3	4.9	6.0	5.4	61	20	20	9	7	9	—	—	—	3	6	—	—	—	—	—	—	10	20	60	April
6.8	7.1	6.5	6.8	165	37	20	15	15	4	—	—	—	3	14	—	—	—	24	—	—	3	5	61	Mai
4.6	4.6	6.3	5.2	155	38	2	19	18	—	—	—	—	9	9	—	—	—	3	—	1	12	5	69	Juni
5.4	6.0	6.6	6.0	214	61	1	15	13	—	—	—	—	4	11	—	—	—	10	1	—	13	1	68	Juli
5.6	6.3	7.7	6.5	184	31	13	17	15	—	—	1	1	3	14	—	—	—	3	—	1	15	5	69	August
5.1	5.7	6.4	5.7	101	26	4	10	9	—	—	—	2	6	11	—	—	—	22	—	1	10	2	55	September
5.1	4.6	4.7	4.8	94	28	27	9	8	2	—	—	3	12	8	—	—	—	5	—	—	3	4	81	Oktober
4.6	4.5	3.1	4.1	15	5	2	4	4	—	—	—	—	11	7	—	—	—	15	—	—	1	1	73	November
7.5	7.8	5.7	7.0	111	20	28	8	8	8	—	—	3	4	14	—	—	—	20	—	1	2	1	69	Dezember
5.4	5.5	5.5	5.5	1439	61	VII	129	120	45	—	1	10	88	119	—	—	—	122	1	4	69	59	840	Jahr

Beobachter: **Imbaumgarten und Salzgeber**

Grimsel

7.5	7.9	6.7	7.4	264	35	20	18	17	18	—	—	5	3	18	14	6	—	14	9	7	3	2	38	Januar
3.9	4.4	4.4	4.2	114	27	11	8	8	8	—	—	1	11	7	8	5	—	8	3	16	1	—	43	Februar
4.0	4.3	3.6	4.0	93	26	27	5	5	5	—	—	5	14	6	13	—	—	5	9	11	3	—	52	März
5.1	6.2	6.8	6.0	116	20	30	17	14	17	—	—	10	6	9	31	6	1	—	5	4	3	—	40	April
7.2	7.6	7.8	7.5	216	37	1	18	17	13	—	—	9	1	16	2	3	2	12	22	4	2	2	44	Mai
4.9	5.6	6.9	5.8	171	34	2	19	18	3	—	4	6	5	10	5	1	4	11	14	7	3	4	41	Juni
5.4	6.7	8.5	6.9	160	33	13	20	18	—	—	—	17	—	14	10	2	1	5	6	6	3	7	53	Juli
5.8	6.7	7.8	6.8	222	61	1	17	16	4	—	2	9	1	13	12	5	4	9	11	7	3	3	39	August
6.1	6.4	6.1	6.2	115	22	3	14	12	3	—	—	5	5	12	3	3	5	15	17	13	3	1	30	September
5.7	4.4	3.4	4.5	105	37	27	12	9	4	—	—	5	8	7	1	3	1	12	24	10	1	1	40	Oktober
4.9	4.8	3.8	4.5	52	19	22	11	9	8	—	—	2	9	8	4	—	3	26	17	7	5	3	25	November
7.5	7.3	5.3	6.7	167	31	31	14	13	14	—	—	3	4	15	4	3	3	28	7	13	2	14	19	Dezember
5.7	6.0	5.9	5.9	1795	61	VII	173	156	97	—	6	77	67	135	107	37	24	145	144	105	32	37	464	Jahr

Südwestschweiz

Beobachter: **Observatorium**

Genf

8.1	8.7	6.9	7.9	56	9	17	13	12	2	—	2	1	—	18	7	19	2	1	6	15	4	3	36	Januar
7.4	6.4	6.7	6.8	17	6	10	6	4	2	—	—	4	5	16	16	22	4	1	1	4	—	—	36	Februar
2.8	1.7	1.3	1.9	6	3	26	3	3	—	—	—	—	21	3	22	18	1	—	2	2	—	—	48	März
1.9	2.0	1.1	1.7	0.4	0.1	—	—	—	—	—	—	—	20	—	27	36	1	—	—	1	1	—	24	April
6.1	7.2	6.5	6.6	39	8	16	17	12	—	—	—	—	7	14	13	23	3	—	6	10	2	—	36	Mai
3.8	3.3	4.5	3.9	101	58	12	11	9	—	—	3	—	10	4	12	15	—	1	4	5	3	1	49	Juni
4.6	4.0	4.4	4.3	115	29	8	11	10	—	—	4	—	11	6	9	17	5	—	6	4	5	2	45	Juli
5.1	4.7	4.5	4.8	79	27	13	12	8	—	1	2	—	11	9	12	18	1	—	2	6	1	—	53	August
7.2	5.0	5.5	5.9	95	30	9	10	8	—	—	2	1	3	10	9	13	1	—	—	1	—	1	65	September
6.3	5.3	4.6	5.4	52	15	28	11	9	1	—	—	—	6	10	6	9	4	—	9	9	7	1	48	Oktober
8.8	7.7	6.4	7.6	61	31	21	7	7	—	—	—	11	1	15	4	7	4	—	4	7	2	—	62	November
9.2	8.4	8.5	8.7	84	25	20	14	9	8	—	—	4	—	23	10	13	4	1	2	3	2	1	57	Dezember
5.9	5.4	5.1	5.5	705	58	VI	115	91	13	1	13	21	95	128	147	210	30	4	42	67	27	9	559	Jahr

Lausanne (Champ de l'Air)

$\lambda = 6° 38'$, $\beta = 46° 31'$, $H_b = 552.9^m$, $G = -0.02^{m}/_{m}$, $h_r = 1.4^m$

1938	Luftdruck					Luft-Temperatur								Relative Feuchtigkeit					
	Mittel	Minimum	Tag	Maximum	Tag	7^{30}	13^{30}	21^{30}	Mittel	Minimum	Tag	Maximum	Tag	7^{30}	13^{30}	21^{30}	Mittel	Minimum	Tag
Januar	715.0	698.7	10	729.5	24	0.1	3.0	1.5	1.5	-11.6	4. 5	9.6	14	82	75	77	78	56	4. 6
Februar	718.6	704.0	14	727.9	28	-1.1	2.6	0.4	0.6	-5.8	17	7.3	28	82	70	76	76	50	25
März	720.6	711.6	26	728.5	3	4.6	11.9	8.3	8.3	-0.4	14	15.8	31	67	42	50	53	27	17
April	715.1	706.5	30	722.4	10	4.2	11.5	6.3	7.1	-1.2	11	18.4	1	65	37	51	51	22	23
Mai	712.6	706.6	1	718.9	12	9.7	15.3	11.1	11.8	2.2	2	23.0	14	72	47	64	61	21	13
Juni	716.5	709.5	30	721.1	20	16.3	21.4	17.1	18.0	8.7	13	28.1	25	69	51	66	62	29	1. 3
Juli	715.6	707.6	1	720.4	10	16.4	21.3	17.1	18.0	10.2	2	27.6	31	79	59	72	70	38	6
August	713.7	706.6	29	718.2	22	16.1	21.2	16.8	17.7	10.5	24	29.0	1	82	57	73	71	35	5
September	715.3	710.6	10	718.4	13	13.3	18.1	14.5	15.1	9.6	16	21.3	18. 23	90	64	84	79	47	5. 7
Oktober	715.1	703.7	28	722.6	12	8.3	13.0	9.3	10.0	1.2	31	20.5	10	90	63	85	79	41	9
November	716.0	695.7	22	725.1	14	5.9	9.3	6.8	7.2	2.2	26	14.2	6	90	75	85	83	37	26
Dezember	711.2	700.1	20	717.9	4	-0.9	1.0	-.05	-0.2	-11.0	22	9.2	2	89	83	87	86	69	4. 24
Jahr	715.4	695.7	XI	729.5	I	7.7	12.5	9.1	9.6	-11.6	I	29.0	VIII	80	60	73	71	21	V

Montreux-Clarens

$\lambda = 6° 54'$, $\beta = 46° 27'$, $H_b = 412^m$, $G = -0.03^{m}/_{m}$, $h_r = 1.5^m$

Januar	727.7	710.8	10	742.4	24	0.1	3.7	1.5	1.7	-10.2	6	10.4	14	81	68	77	75	53	4
Februar	731.3	716.6	14	740.6	28	-1.1	3.3	1.1	1.1	-6.8	15	7.0	26. 28	82	68	75	75	46	1
März	733.0	723.4	26	741.3	3	3.9	11.1	7.6	7.6	-0.6	13	14.6	4. 31	77	61	68	69	51	30. 31
April	727.5	719.1	30	734.6	11	3.8	11.4	7.7	7.7	0.0	21	18.4	3	74	52	57	61	47	23
Mai	724.7	718.6	27	731.2	12	10.1	14.7	12.0	12.2	3.2	2	23.0	14	79	62	73	71	48	3. 6
Juni	728.5	721.1	30	733.2	20	16.5	21.4	18.2	18.6	9.2	2	27.6	25	78	61	70	70	42	19
Juli	727.6	719.5	1	734.6	10	16.5	21.8	18.3	18.7	11.6	3	28.2	31	87	65	76	76	51	6
August	725.5	718.1	29	730.6	22	16.0	21.9	18.0	18.5	10.5	22	29.2	5	94	68	81	81	47	6
September	727.3	722.4	9	730.5	13	13.2	19.2	15.3	15.7	10.4	7	22.2	11. 24	95	73	90	86	56	7
Oktober	727.1	715.5	28	734.7	13	9.1	13.7	10.8	11.1	1.0	31	21.4	10	94	80	90	88	55	6
November	728.3	707.4	22	737.6	14	5.3	10.5	6.9	7.4	1.4	1	13.8	6	94	81	92	89	63	23
Dezember	723.7	712.1	20	730.8	5	0.1	2.5	0.5	0.9	-9.5	22	9.1	1	92	86	91	90	73	5
Jahr	727.7	707.4	XI	742.4	I	7.8	12.9	9.8	10.1	-10.2	I	29.2	VIII	86	69	78	78	42	VI

Rochers de Naye

$\lambda = 6° 59'$, $\beta = 46° 26'$, $H_b = 1986^m$, $G = -{}^{m}/_{m}$, $h_r = 1.5^m$

Januar	—	—	—	—	—	-6.2	-4.7	-5.7	-5.6	-18.6	3. 5	8.6	25	70	75	71	72	2	23
Februar	—	—	—	—	—	-6.8	-1.7	-5.3	-4.8	-15.8	14	7.4	26	56	54	55	55	10	26
März	—	—	—	—	—	-0.8	3.3	-0.6	0.3	-7.6	27	8.8	5	49	49	56	51	6	5
April	—	—	—	—	—	-3.8	0.3	-4.9	-3.3	-13.5	10	8.8	1	63	60	73	65	17	2
Mai	—	—	—	—	—	1.4	5.2	1.3	2.3	-6.5	1	11.6	14	73	65	80	73	30	3
Juni	—	—	—	—	—	8.6	12.0	7.9	9.1	-0.4	2. 3	20.5	25	63	60	73	65	2	4
Juli	—	—	—	—	—	8.1	11.5	7.7	8.8	0.0	3	18.2	26	67	67	82	72	27	26
August	—	—	—	—	—	8.5	11.3	7.9	8.9	2.0	21. 22	18.6	19	68	65	83	72	14	24
September	—	—	—	—	—	6.4	10.1	6.5	7.4	0.6	6	14.4	13	67	57	73	66	23	16
Oktober	—	—	—	—	—	3.0	5.6	2.9	3.6	-5.8	28	13.6	10	63	62	63	63	8	11. 20
November	—	—	—	—	—	1.3	4.4	1.2	2.0	-6.2	22	12.2	7	61	51	62	58	4	7
Dezember	—	—	—	—	—	-4.8	-3.1	-5.3	-4.6	-18.2	21	6.0	13	61	62	66	63	2	5
Jahr	—	—	—	—	—	1.2	4.5	1.1	2.0	-18.6	I	20.5	VI	63	61	70	65	2	I VI XII

Leysin

$\lambda = 7° 0'$, $\beta = 46° 21'$, $H_b = 1350^m$, $G = -{}^{m}/_{m}$, $h_r = 1.5^m$

Januar	—	—	—	—	—	-2.1	0.4	-1.3	-1.1	-14.6	4	10.8	25	70	65	68	68	24	25
Februar	—	—	—	—	—	-2.7	0.9	-1.8	-1.4	-10.4	14	6.4	8	61	57	65	61	28	8
März	—	—	—	—	—	3.3	7.1	4.2	4.7	-0.8	27	11.4	31	56	53	57	55	25	4
April	—	—	—	—	—	1.0	5.3	1.3	2.2	-5.8	21	13.6	1	65	55	64	61	36	2
Mai	—	—	—	—	—	5.9	9.7	6.5	7.2	-2.2	1. 2	16.6	16	73	64	71	69	35	3
Juni	—	—	—	—	—	13.2	16.1	12.8	13.7	3.2	3	25.0	25	71	67	69	69	38	1
Juli	—	—	—	—	—	12.8	15.9	12.5	13.4	6.2	3	22.2	31	74	69	74	72	46	7. 8
August	—	—	—	—	—	12.7	15.8	12.4	13.3	7.2	22	24.4	19	78	74	80	77	32	19
September	—	—	—	—	—	10.6	13.7	10.5	11.3	6.1	6	17.0	28	74	71	76	74	46	17
Oktober	—	—	—	—	—	6.3	9.2	6.4	7.1	-1.6	31	19.6	10	74	75	73	74	33	25
November	—	—	—	—	—	4.8	8.2	5.1	5.8	-1.4	22	15.3	7	63	57	63	61	28	7
Dezember	—	—	—	—	—	-2.2	-0.1	-2.0	-1.6	-13.2	26	9.6	11	70	68	69	69	24	5
Jahr	—	—	—	—	—	5.3	8.5	5.5	6.2	-14.6	I	25.0	VI	69	65	69	68	24	I XII

Beobachter: **A. George**

Lausanne (Champ de l'Air)

Bewölkung				Niederschlag			Zahl der Tage								Windverteilung									1938
7³⁰	13³⁰	21³⁰	Mittel	Summe	Maximum	Tag	● *	●* ≥1.0	*	▲	⊼	≡	heiter	trüb	N	NE	E	SE	S	SW	W	NW	Calmen	
7.1	7.3	5.9	6.8	75	16	17	16	14	2	—	—	3	3	14	—	19	3	4	2	17	18	5	25	Januar
6.7	5.8	4.8	5.8	26	7	10	8	6	4	—	—	4	5	10	3	21	5	—	3	10	6	3	33	Februar
2.1	1.5	1.2	1.6	9	3	27	3	3	—	—	—	—	23	3	2	19	10	2	8	12	4	1	35	März
1.0	2.5	1.3	1.6	8	3	19	5	4	1	—	—	—	20	2	6	38	10	1	5	7	3	1	19	April
6.8	6.2	6.3	6.4	68	19	19	15	13	—	—	1	1	5	14	4	16	8	4	2	20	16	—	23	Mai
3.7	3.3	4.5	3.8	141	52	12	13	12	—	—	3	—	12	5	3	14	9	6	8	16	13	—	21	Juni
4.5	4.3	4.0	4.3	168	31	1	12	11	—	—	3	1	11	8	5	14	9	4	8	19	13	2	19	Juli
5.5	4.8	4.8	5.0	92	21	9	12	12	—	—	3	—	9	11	5	22	4	4	10	6	13	1	28	August
6.7	5.5	5.9	6.0	136	61	30	9	7	—	—	1	1	4	9	5	13	7	1	5	13	4	2	40	September
6.2	4.5	4.4	5.0	59	13	4	11	11	—	—	—	—	8	9	4	18	11	2	4	14	17	3	20	Oktober
7.9	6.5	5.7	6.7	72	30	21	9	6	—	—	—	7	2	11	1	6	14	3	4	13	14	5	30	November
8.8	7.7	8.2	8.2	82	14	19	15	15	9	—	—	4	1	19	5	28	8	1	4	6	14	6	21	Dezember
5.6	5.0	4.8	5.1	936	61	IX	128	114	16	—	11	21	103	115	43	228	98	32	63	153	135	29	314	Jahr

Beobachter: **M. Thétaz**

Montreux-Clarens

5.9	6.0	6.2	6.0	90	16	27	15	14	2	—	—	1	3	7	—	7	1	—	3	2	—	4	76	Januar
4.4	4.5	5.3	4.7	28	10	12	6	6	4	—	—	2	8	9	—	1	—	3	2	3	2	—	73	Februar
1.6	1.4	1.5	1.5	12	6	1	3	3	—	—	—	—	23	2	4	1	—	1	—	2	—	1	84	März
1.7	2.7	2.2	2.2	12	4	3	6	5	1	—	—	—	18	1	2	7	—	5	1	6	—	7	62	April
5.8	5.8	6.1	5.9	70	22	19	13	12	—	—	—	—	7	11	1	3	1	4	4	3	3	—	74	Mai
4.0	3.8	4.0	3.9	173	53	12	14	12	—	—	1	—	11	5	1	2	—	—	2	2	1	1	81	Juni
3.8	3.8	3.9	3.8	185	36	1	12	11	—	—	—	—	13	4	1	—	—	3	2	7	—	1	79	Juli
4.7	4.7	4.6	4.7	186	47	13	13	11	—	—	—	—	8	6	—	2	—	1	2	5	2	2	79	August
5.3	4.7	4.7	4.9	118	44	30	9	8	—	—	—	—	6	8	—	3	—	—	3	6	—	1	77	September
5.4	5.1	4.5	5.0	61	19	4	13	10	—	—	—	—	10	9	1	2	—	—	—	9	—	3	78	Oktober
3.7	3.7	3.6	3.7	86	34	21	8	8	—	—	—	2	12	5	—	5	—	—	—	3	—	1	81	November
7.5	7.4	7.0	7.3	59	16	5	13	10	8	—	—	1	2	18	2	—	—	—	—	1	—	2	88	Dezember
4.5	4.5	4.5	4.5	1080	53	VI	125	110	15	—	1	6	121	85	12	33	2	17	19	49	8	23	932	Jahr

Beobachter: **A. Lenoir**

Rochers de Naye

6.4	7.5	5.9	6.6	373	64	27	19	18	19	—	—	18	5	14	—	22	3	1	—	51	3	1	12	Januar
3.8	4.9	4.5	4.4	223	47	12	8	8	8	—	—	10	11	8	—	13	11	—	1	19	7	—	33	Februar
3.1	3.1	2.0	2.7	67	25	26	4	4	4	—	—	5	18	3	2	19	10	4	—	11	4	1	42	März
2.7	6.0	4.5	4.4	88	18	30	9	9	9	—	—	9	7	4	—	22	18	—	—	2	—	4	44	April
7.0	8.5	7.9	7.8	214	36	19	16	15	12	—	—	18	—	16	—	15	5	3	4	27	—	—	39	Mai
5.1	6.5	5.0	5.5	223	60	12	12	12	2	3	3	12	6	10	1	14	—	—	2	45	—	—	28	Juni
5.3	7.1	6.2	6.2	290	53	23	12	11	2	—	1	15	6	14	—	3	—	2	2	31	5	5	42	Juli
6.2	8.3	6.8	7.1	365	83	20	14	14	—	1	1	17	—	14	—	12	1	—	3	9	9	4	55	August
7.0	7.4	5.8	6.7	176	88	30	10	9	2	—	—	9	1	13	1	8	—	3	3	26	4	—	45	September
5.1	5.5	4.3	5.0	107	29	4	13	13	4	—	—	11	6	7	—	2	2	1	2	37	11	—	38	Oktober
5.2	5.5	4.0	4.9	130	40	22	8	8	8	—	—	5	8	7	—	4	—	—	—	25	39	—	22	November
6.7	6.3	4.8	5.9	168	35	28	12	12	12	—	—	10	5	12	—	12	3	—	4	31	7	2	34	Dezember
5.3	6.4	5.1	5.6	2424	88	IX	137	133	82	4	5	139	73	122	4	146	53	14	21	317	89	17	434	Jahr

Beobachter: **M. Baud**

Leysin

5.6	7.2	5.7	6.2	152	38	30	17	16	13	—	1	2	7	13	—	13	—	—	—	18	12	15	35	Januar
2.8	4.3	3.5	3.5	82	20	10	7	6	7	—	—	1	14	7	—	17	—	—	—	12	4	19	32	Februar
2.1	2.1	1.6	1.9	24	11	27	4	3	3	—	—	2	23	3	—	20	—	1	—	15	11	15	31	März
1.5	4.9	2.5	3.0	36	13	20	7	5	7	—	—	1	15	2	1	38	—	2	—	15	1	10	23	April
6.0	7.5	6.3	6.6	91	13	19	17	16	7	—	1	3	4	13	—	17	—	—	—	21	13	8	34	Mai
5.1	5.0	4.5	4.9	212	63	12	13	12	—	1	4	2	7	7	7	4	—	—	5	37	10	19	8	Juni
4.5	5.8	4.6	5.0	193	31	2	13	13	—	1	3	6	7	7	1	8	—	—	1	27	8	18	30	Juli
5.2	7.3	5.9	6.1	207	55	13	17	16	—	—	2	9	4	11	—	13	—	—	—	21	—	15	44	August
5.8	6.8	4.8	5.8	86	28	30	9	9	—	—	—	7	5	10	—	8	—	—	1	16	11	16	38	September
5.1	5.2	3.6	4.6	65	20	4	11	10	2	—	—	12	10	7	—	8	—	1	—	10	21	15	38	Oktober
4.7	4.6	3.6	4.3	79	29	20	8	8	3	—	—	3	13	8	1	15	—	—	—	16	22	13	23	November
7.3	7.9	5.9	7.0	78	19	28	13	11	13	—	—	9	5	16	—	4	1	—	—	3	17	22	46	Dezember
4.6	5.7	4.4	4.9	1305	63	VI	136	125	55	2	11	57	114	104	10	165	1	4	7	211	130	185	382	Jahr

St. Bernhard

$\lambda = 7^\circ 11', \beta = 45^\circ 52', H_b = 2475.8^m, G = -0.32^m/_m, h_r = 6.0^m$

1938	Luftdruck					Luft-Temperatur								Relative Feuchtigkeit					
	Mittel	Minimum	Tag	Maximum	Tag	7^{30}	13^{30}	21^{30}	Mittel	Minimum	Tag	Maximum	Tag	7^{30}	13^{30}	21^{30}	Mittel	Minimum	Tag
Januar	560.7	548.1	10. 30	576.3	24	-7.9	-7.2	-8.2	-7.9	-19.8	3. 5	5.0	25	64	65	70	66	17	25
Februar	563.5	548.0	14	572.4	25	-9.3	-6.8	-8.3	-8.2	-17.3	14	1.5	7	66	66	69	67	23	23.
März	568.2	559.7	26	575.3	4	-4.2	-1.4	-3.2	-3.0	-11.0	27	2.9	31	56	56	63	58	25	5
April	561.6	554.2	30	571.5	1	-6.8	-3.7	-6.8	-6.0	-15.0	21	4.6	1	68	55	80	68	29	3
Mai	562.6	553.3	1	569.5	31	-2.5	-0.2	-1.5	-1.4	-9.0	2	8.5	12	82	73	82	79	40	3
Juni	569.1	559.5	13	573.6	21	6.0	8.8	5.6	6.5	-3.6	3	15.5	25	67	61	72	67	22	4
Juli	568.3	561.9	1. 2	573.2	30	5.9	8.6	6.0	6.6	-2.3	10	16.1	30	72	64	77	71	34	31
August	566.6	560.1	29	571.7	4	6.0	8.5	5.6	6.4	-1.9	22	16.0	4	69	60	79	69	24	24
September	567.4	561.8	10	571.2	13. 27	2.5	5.2	3.4	3.6	-3.0	6	11.2	13	80	71	79	77	34	13
Oktober	565.1	550.5	28	572.5	13	0.5	3.0	1.2	1.5	-8.8	29	11.2	15	59	55	60	58	23	25
November	565.5	547.7	22	573.8	14	-1.5	0.2	-1.2	-0.9	-8.8	27	7.8	6	59	57	61	59	17	7
Dezember	557.7	545.3	23	565.9	13	-8.8	-8.2	-9.1	-8.8	-20.5	22	-2.0	5	70	67	68	68	18	5
Jahr	564.7	545.3	XII	576.3	I	-1.7	0.6	-1.4	-1.0	-20.5	XII	16.1	VII	68	62	72	67	17	I/X

Sitten

$\lambda = 7^\circ 21', \beta = 46^\circ 14', H_b = 548.6^m, G = -0.11^m/_m, h_r = 2.4^m$

Januar	713.5	698.4	10	727.3	24	-1.7	2.1	0.0	0.1	-13.8	5	7.2	14	83	67	78	76	42	25
Februar	716.7	702.0	13	726.3	28	-2.5	3.9	0.5	0.6	-9.2	15	8.0	28	81	53	75	70	35	24
März	718.6	709.6	26	726.9	3	3.6	13.6	8.7	8.7	0.8	15	18.1	20	75	42	56	58	30	15
April	712.8	704.7	29. 30	721.2	11	4.6	14.0	8.2	8.8	0.2	21	21.3	3	72	39	52	54	28	3. 9
Mai	710.3	703.7	19	717.3	13	10.4	17.1	13.0	13.4	2.3	2	24.4	13	72	46	59	59	27	3
Juni	713.6	705.7	12	719.0	20	17.0	23.8	18.7	19.5	9.6	2	29.8	25	69	49	60	59	30	9
Juli	712.6	702.3	1	717.5	10	16.8	23.0	18.9	19.4	11.6	3	29.0	26	70	50	61	60	32	4
August	711.0	703.3	29	715.8	22	16.4	22.9	18.3	19.0	11.1	24	30.0	4	74	53	66	64	40	22. 23
September	713.2	708.9	15	716.9	18	12.6	20.2	15.6	16.0	9.1	17	23.3	28	80	51	70	67	38	7
Oktober	713.2	701.3	28	721.6	13	7.8	14.2	9.8	10.4	-0.3	31	19.5	10	88	57	79	75	43	7
November	714.6	696.3	22	724.0	14	3.9	10.6	6.2	6.7	-0.3	1. 2. 8	14.3	6. 11	82	54	74	70	42	27
Dezember	709.6	698.6	20	717.0	5	-0.3	2.8	0.4	0.8	-11.1	27	12.3	12. 13	78	66	75	73	46	12
Jahr	713.3	696.3	XI	727.3	I	7.4	14.0	9.9	10.3	-13.8	I	30.0	VIII	77	52	67	65	27	V

Sitten: Luftdruckwerte zu tief.

Montana

$\lambda = 7^\circ 29', \beta = 46^\circ 19', H_b = 1453.2^m, G = -0.21^m/_m, h_r = 1.5^m$

Januar	640.2	626.3	10	653.1	24	-3.7	0.3	-2.8	-2.3	-16.7	4	10.8	25	78	66	78	74	28	25
Februar	643.3	631.2	14	653.2	28	-4.2	2.4	-2.5	-1.7	-10.8	14	8.3	26	66	52	69	62	28	26
März	646.7	638.3	26	653.8	4	2.0	7.9	3.3	4.2	-2.3	27	13.5	31	64	53	61	59	30	5
April	640.7	632.4	30	648.8	1	0.6	6.5	1.3	2.4	-6.5	21	16.3	1	73	47	62	61	33	11
Mai	639.9	632.6	1	646.9	12	5.8	10.7	6.7	7.5	-2.7	1. 2	19.0	14	77	57	68	67	29	3
Juni	644.7	636.4	12	649.0	8	12.7	17.7	12.9	14.0	4.2	13	23.7	30	76	57	68	67	34	17
Juli	644.0	636.2	1	647.1	30. 31	12.6	17.4	13.0	14.0	5.7	3	23.7	31	80	59	71	70	37	31
August	642.1	635.3	29	646.5	1	12.6	17.3	12.2	13.6	6.8	23	25.8	5	83	62	78	74	34	19
September	643.5	638.6	10	646.2	27	10.0	15.3	10.3	11.5	5.1	6	19.7	14	78	58	77	71	44	18
Oktober	641.9	629.0	28	648.5	13	5.8	10.7	6.0	7.1	-3.4	31	20.2	10	81	66	79	75	26	25
November	642.8	624.5	22	650.3	13	3.1	8.4	4.3	5.0	-3.0	22. 23	15.2	7	69	58	69	65	29	7
Dezember	636.2	625.8	21	643.3	5. 14	-2.9	0.3	-2.7	-2.0	-15.0	22	8.0	13	75	65	75	72	21	5
Jahr	642.2	624.5	XI	653.8	III	4.5	9.6	5.2	6.1	-16.7	I	25.8	VIII	75	58	71	68	21	XII

Montana: Beobachterwechsel im Mai.

Reckingen

$\lambda = 8^\circ 14', \beta = 46^\circ 28', H_b = 1332.4^m, G = -0.19^m/_m, h_r = 1.6^m$

Januar	647.9	634.0	30	661.5	25	-8.2	-2.3	-6.4	-5.8	-23.6	4	4.8	18	89	68	85	81	43	3
Februar	651.2	637.0	13	659.9	28	-10.5	0.0	-6.7	-6.0	-18.2	15	5.2	28	83	54	78	72	30	24
März	654.3	645.1	26	661.9	4	-3.8	7.4	-0.2	0.8	-8.2	14	14.2	31	80	44	71	65	32	31
April	648.1	640.0	30	656.2	1	-2.1	7.2	-0.4	1.1	-8.6	22	14.4	15. 17	74	40	62	59	28	15
Mai	647.5	640.6	1. 2	653.1	14	5.1	10.2	5.6	6.6	-2.9	1	18.1	30	76	55	71	67	32	13
Juni	652.5	644.3	12	657.6	22	12.0	19.8	11.4	13.6	3.4	3	25.4	26	70	44	74	63	23	4
Juli	651.7	645.9	1	655.5	31	11.8	18.8	12.4	13.8	3.2	2	25.8	30	79	48	73	67	32	22. 23. 30
August	649.7	642.6	29	654.2	1	11.1	18.7	12.2	13.5	2.6	24	26.4	4	83	45	76	68	26	8
September	651.3	647.3	7. 10	654.7	27	6.4	15.4	8.8	9.8	1.6	11	20.8	14	91	51	81	74	28	19
Oktober	649 5	637.3	28	657.1	13	1.7	11.3	4.3	5.4	-10.4	31	18.6	16	91	52	87	77	23	25
November	650.8	631.7	22	658.8	14	-1.8	7.3	0.2	1.5	-10.2	1	12.4	7. 8	89	51	83	74	34	8
Dezember	644.8	634.5	21. 23	651.9	14	-5.8	-1.6	-5.7	-4.7	-19.6	26	7.2	9	87	66	83	78	36	8
Jahr	649.9	631.7	XI	661.9	III	1.3	9.3	3.0	4.1	-23.6	I	26.4	VIII	83	51	77	70	23	VI/X

Beobachter: **Hospiz**

St. Bernhard

Bewölkung				Niederschlag			Zahl der Tage								Windverteilung									1938
7⁸⁰	13⁸⁰	21⁸⁰	Mittel	Summe	Maximum	Tag	● *	●* ≥1	*	▲	⚡	≡	heiter	trüb	N	NE	E	SE	S	SW	W	NW	Calmen	
4.9	5.9	5.5	5.4	270	40	29	15	14	15	—	—	11	7	11	—	74	—	—	—	16	—	—	3	Januar
4.0	4.1	4.3	4.1	121	31	18	9	9	9	—	—	8	13	8	—	51	—	—	—	28	—	—	5	Februar
1.8	2.8	2.6	2.4	63	22	27	4	4	4	—	—	3	17	3	—	59	—	—	—	27	—	—	7	März
2.4	2.9	3.7	3.0	64	19	3	7	7	7	—	—	10	13	3	—	77	—	—	—	12	—	—	1	April
7.2	7.3	7.7	7.4	227	36	20	16	16	14	—	—	15	2	17	—	38	—	—	—	39	—	—	16	Mai
3.9	4.3	5.5	4.6	186	58	12	12	12	3	—	—	13	10	6	—	46	—	—	—	33	—	—	11	Juni
4.8	5.5	6.0	5.4	173	35	1	12	12	3	—	—	13	8	10	—	53	—	—	—	31	1	—	8	Juli
5.0	5.8	7.0	5.9	160	43	27	16	15	1	1	—	20	7	11	—	65	—	—	—	21	—	—	7	August
6.0	5.4	6.1	5.8	203	67	9	12	12	3	—	—	15	7	13	—	30	—	—	—	51	—	—	9	September
2.9	2.7	2.6	2.7	150	64	28	8	8	5	—	—	6	18	5	—	36	—	—	—	48	—	—	9	Oktober
3.3	3.9	3.2	3.5	138	47	21	7	7	7	—	—	8	14	4	—	36	—	—	—	43	—	—	11	November
4.9	5.6	5.0	5.2	172	40	30	14	14	14	—	—	16	9	11	—	50	—	—	—	42	—	—	1	Dezember
4.3	4.7	4.9	4.6	1927	67	IX	132	130	85	1	—	138	125	102	—	615	—	—	—	391	1	—	88	Jahr

Beobachter: **Kapuzinerkloster**

Sitten

6.8	5.6	5.4	5.9	79	15	9	14	13	9	—	—	1	4	10	7	9	2	—	—	1	8	1	65	Januar
4.0	3.6	3.2	3.6	19	9	12	6	4	6	—	—	2	12	4	35	20	5	—	—	—	9	8	7	Februar
2.3	2.3	0.9	1.8	6	3	26	3	2	—	—	—	—	22	2	8	56	2	—	—	7	17	—	3	März
2.6	3.5	3.1	3.1	3	2	29	4	1	2	—	—	—	10	1	14	11	4	—	—	6	50	5	—	April
5.8	6.5	6.4	6.2	25	5	28	14	8	1	—	—	—	2	10	1	6	22	—	—	1	36	5	22	Mai
2.7	3.3	4.1	3.4	69	16	12	11	10	—	—	2	—	13	3	1	10	13	1	—	1	51	1	12	Juni
4.5	4.5	4.6	4.5	79	24	5	10	9	—	—	1	—	7	3	1	16	5	—	—	4	51	5	11	Juli
4.2	4.6	5.2	4.7	72	20	20	13	10	—	—	1	—	7	5	1	8	2	—	—	—	62	4	16	August
5.0	5.2	4.0	4.7	36	10	9	7	5	—	—	—	—	8	5	—	14	13	—	—	—	58	—	5	September
6.1	3.7	3.7	4.5	34	13	4	9	5	1	—	—	1	7	4	1	19	25	—	—	1	41	4	2	Oktober
5.3	4.4	2.9	4.2	48	20	21	6	5	1	—	—	—	10	4	1	31	18	—	—	5	24	4	7	November
7.2	6.8	5.9	6.6	29	12	30	9	8	7	—	—	—	4	12	2	47	19	—	—	5	18	1	1	Dezember
4.7	4.5	4.1	4.4	499	24	VII	106	80	27	—	4	4	106	63	72	247	130	1	—	31	425	38	151	Jahr

Beobachter: **Sanatorium La Moubra: Ed. Voneschen, A. Hauenstein**

Montana

5.3	6.2	5.1	5.5	128	?	—	17	15	14	—	—	1	4	8	1	10	3	—	—	1	22	17	39	Januar
3.0	4.0	2.7	3.2	65	32	11	8	7	8	—	—	2	14	3	3	18	9	1	—	1	10	8	34	Februar
2.4	1.9	1.2	1.8	20	11	27	3	3	2	—	—	1	20	2	2	14	7	2	—	2	9	9	48	März
2.8	3.6	2.2	2.9	6	2	29	3	3	3	—	—	—	12	—	6	3	2	3	1	6	21	12	36	April
6.2	7.1	4.9	6.1	52	13	30	11	10	3	—	—	5	3	11	1	25	9	3	—	7	9	9	30	Mai
2.9	3.9	4.3	3.7	85	18	12	11	10	—	—	2	2	11	2	1	2	4	—	1	8	2	—	72	Juni
5.5	5.6	4.1	5.1	105	24	5	12	11	—	—	—	4	6	7	1	2	5	—	—	8	13	5	59	Juli
4.6	6.3	5.3	5.4	108	29	30	14	11	—	—	—	6	6	6	—	3	4	—	—	7	14	10	55	August
5.5	5.6	4.2	5.1	44	20	30	8	5	—	—	—	5	7	8	1	5	19	—	—	3	5	—	57	September
4.9	3.7	2.6	3.7	39	15	4	8	6	2	—	—	5	10	3	—	1	1	—	—	1	8	2	80	Oktober
4.6	3.5	2.4	3.5	41	18	22	5	5	3	—	—	2	9	3	—	5	8	—	—	2	3	—	72	November
6.4	6.1	4.9	5.8	45	12	31	11	10	10	—	—	6	5	9	—	5	16	—	—	—	13	1	58	Dezember
4.5	4.8	3.7	4.3	738	32	II	111	96	45	—	2	39	107	62	16	93	87	9	2	46	129	73	640	Jahr

Beobachter: **J. Stucky**

Reckingen

7.1	7.0	6.0	6.7	139	28	30	18	16	16	—	—	4	3	15	—	4	—	—	—	—	—	23	66	Januar
3.5	4.5	3.9	4.0	47	17	11	5	5	5	—	—	—	12	6	—	4	—	3	—	—	—	21	56	Februar
2.5	2.7	1.9	2.4	33	30	27	2	2	2	—	—	1	17	3	—	4	—	1	—	4	—	11	73	März
2.9	4.2	4.1	3.7	7	4	30	4	2	4	—	—	—	8	2	—	7	—	11	1	3	—	18	50	April
6.7	7.5	6.0	6.7	96	22	17	13	12	5	—	—	1	3	11	—	7	—	5	—	8	—	17	56	Mai
4.3	5.1	4.4	4.6	155	42	12	15	14	2	—	1	—	7	6	—	3	—	9	3	3	—	11	61	Juni
5.5	6.0	5.2	5.6	137	69	1	13	12	—	—	1	2	1	8	—	6	—	6	2	10	—	3	66	Juli
4.9	6.4	6.5	5.9	100	23	12	16	14	—	—	2	—	3	7	—	9	—	2	—	4	—	15	63	August
5.6	6.6	4.9	5.7	74	20	9	9	9	—	—	—	—	4	12	1	2	—	7	—	3	—	4	73	September
5.7	4.9	4.0	4.9	67	19	1	6	6	2	—	—	1	8	8	—	2	—	5	—	13	—	3	70	Oktober
4.3	4.2	3.4	4.0	37	10	29	6	6	3	—	—	1	11	5	—	4	1	3	—	—	—	6	76	November
6.4	7.1	6.3	6.6	54	11	31	12	11	12	—	—	—	6	15	1	3	—	—	—	1	—	14	74	Dezember
5.0	5.5	4.7	5.1	946	69	VII	119	109	51	—	4	10	83	98	2	55	1	52	6	49	—	146	784	Jahr

Chur

$\lambda = 9^\circ 32'$, $\beta = 46^\circ 51'$, $H_b = 609.9^m$, $G = -0.10$ m/m, $h_r = 1.7^m$

1938	Luftdruck					Luft-Temperatur								Relative Feuchtigkeit					
	Mittel	Minimum	Tag	Maximum	Tag	7^{30}	13^{30}	21^{30}	Mittel	Minimum	Tag	Maximum	Tag	7^{30}	13^{30}	21^{30}	Mittel	Minimum	Tag
Januar	709.1	693.0	10	724.1	24	-2.3	1.5	-1.2	-0.8	-14.6	4	8.6	15	84	72	87	81	50	15
Februar	712.8	698.4	13	722.4	28	-3.2	3.5	-1.2	-0.5	-7.8	16	10.2	26	78	54	77	70	29	20
März	715.4	703.8	26	724.2	4. 5	2.8	12.0	5.4	6.4	-2.2	13	18.2	31	73	57	62	64	36	6
April	709.8	700.9	30	718.9	11	2.1	9.6	4.8	5.3	-1.8	22	20.0	2	72	56	64	64	29	2
Mai	707.2	700.6	1	713.9	13	8.7	15.2	10.7	11.3	0.2	2	23.9	14	72	52	64	63	27	14
Juni	711.0	702.5	12	715.6	20	14.3	21.4	16.2	17.0	2.6	3	29.5	25	76	58	73	69	34	25
Juli	709.7	702.7	1	714.4	10	14.6	21.1	16.0	16.9	7.8	2	28.8	8	79	54	72	68	32	8
August	706.8	699.4	29	711.5	22	14.6	21.3	15.6	16.8	6.2	24	32.0	6	78	50	74	67	30	19
September	710.1	705.3	10	713.9	13	11.7	19.4	13.6	14.6	8.2	17	24.2	29	78	49	74	67	35	25
Oktober	709.4	698.1	28	717.3	12	6.5	13.0	7.7	8.7	-1.7	25	19.4	10	83	57	77	72	38	7
November	710.6	689.2	22	720.2	14	3.6	9.8	5.2	6.0	0.0	30	14.9	11	73	51	68	64	37	8. 9
Dezember	706.0	695.0	20.21	714.0	4	-1.7	2.0	-0.8	-0.3	-12.8	19	14.2	12	77	66	78	74	47	3
Jahr	709.8	689.2	XI	724.2	III	6.0	12.5	7.7	8.5	-14.6	I	32.0	VIII	77	56	73	69	27	V

Platta-Medels

$\lambda = 8^\circ 51'$, $\beta = 46^\circ 39'$, $H_b = 1378^m$, $G = -0.21$ m/m, $h_r = 1.2^m$

Januar	644.9	629.6	30	659.3	24	-5.4	-0.4	-5.2	-4.1	-19.6	4	9.2	24	68	53	70	64	22	12
Februar	648.4	633.9	13	657.5	28	-6.1	3.7	-4.3	-2.7	-13.2	15	10.0	7	66	42	69	59	27	22
März	652.1	641.4	26	660.0	4	-1.2	8.3	1.1	2.3	-6.2	14	13.0	9	69	43	66	59	28	15
April	646.1	636.7	30	654.0	1	-1.9	6.4	-0.2	1.0	-9.0	22	17.6	2	73	42	69	61	30	1. 3
Mai	645.2	636.7	1	651.4	12	4.0	10.4	5.6	6.4	-2.8	1	17.0	12.31	73	50	70	64	25	12
Juni	649.9	641.7	13	653.9	21	10.7	19.3	11.3	13.1	0.6	3	26.0	9	74	45	76	65	32	7. 9 11. 20
Juli	649.1	642.5	1	652.8	30	11.0	18.3	11.4	13.0	2.4	2	27.0	31	74	50	79	68	32	14 21. 25
August	647.1	639.4	29	652.2	5	10.5	18.4	11.0	12.7	1.2	24	26.0	5	79	48	81	69	31	5
September	648.8	644.4	10	652.7	27	8.4	14.9	9.8	10.7	4.4	7	22.0	13	74	50	72	65	29	19
Oktober	647.0	635.0	28	654.5	13	3.8	12.4	4.9	6.5	-6.2	31	20.0	14	72	48	73	64	24	25
November	648.0	628.7	22	657.1	14	1.8	9.3	3.0	4.3	-4.0	1	18.0	7	69	50	66	62	28	20
Dezember	642.0	631.0	21	649.3	4	-4.5	0.0	-3.3	-2.8	-16.2	26	9.6	14	74	54	72	66	24	8
Jahr	647.4	628.7	XI	660.0	III	2.6	10.1	3.8	5.1	-19.6	I	27.0	VII	72	48	72	64	22	I

Arosa

$\lambda = 9^\circ 41'$, $\beta = 46^\circ 47'$, $H_b = 1865^m$, $G = -0.24$ m/m, $h_r = 1.6^m$

Januar	605.8	591.5	30	621.1	24	-6.4	-3.7	-6.5	-5.8	-19.3	4. 5	6.7	24	70	63	72	68	29	15. 25
Februar	609.5	595.3	14	618.0	28	-6.4	-1.2	-5.5	-4.6	-14.6	15	4.2	8. 26	58	49	62	56	30	8
März	613.7	603.2	26	621.4	4	-1.4	3.5	-0.6	0.2	-8.5	13	9.0	19	58	50	59	56	26	4
April	607.6	599.3	30	616.2	1	-4.5	0.4	-4.4	-3.2	-12.8	11	11.7	3	68	53	75	65	30	3
Mai	607.5	599.0	1	613.6	13	2.5	6.5	2.4	3.4	-6.6	1	12.9	14	69	59	73	67	32	12
Juni	613.0	604.5	13	617.6	20	8.8	14.3	8.8	10.2	-0.2	3	22.4	25	69	54	75	66	30	7
Juli	612.2	606.2	5	616.5	30	8.9	13.8	8.7	10.0	0.6	2	21.9	30	77	60	80	72	36	7. 26 31
August	610.4	603.7	29	615.6	5	8.4	13.4	8.7	9.8	0.2	23	22.3	20	78	60	81	73	29	25
September	611.7	606.8	10	614.9	27	6.2	12.1	6.7	7.9	0.8	6	17.7	13	73	57	80	70	33	17
Oktober	609.5	596.4	28	616.9	13	2.9	9.7	2.9	4.6	-6.2	30	18.5	16	66	52	70	63	22	21
November	610.1	590.6	22	619.0	14	1.3	6.8	1.7	2.9	-6.2	23	15.6	7	60	49	60	56	22	7
Dezember	603.2	592.9	23	610.7	13	-5.8	-2.7	-5.7	-5.0	-18.2	26	5.8	12	75	65	76	72	29	5
Jahr	609.5	590.6	XI	621.4	III	1.2	6.1	1.4	2.5	-19.3	I	22.4	VI	68	56	72	65	22	X XI

Davos-Platz

$\lambda = 9^\circ 49'$, $\beta = 46^\circ 48'$, $H_b = 1560.7^m$, $G = -0.21$ m/m, $h_r = 0.5^m$

Januar	629.8	618.4	30	645.1	24	-8.9	-2.8	-7.5	-6.7	-23.7	4	5.4	17	88	70	88	82	48	19
Februar	633.4	619.0	13. 14	641.9	25.28	-10.5	-0.9	-7.1	-6.4	-17.2	15	4.1	27	84	57	81	74	37	23. 27
März	637.2	626.3	26	645.6	4	-3.8	5.4	-1.2	-0.2	-10.8	13	9.5	19	85	50	80	72	28	14
April	631.2	622.7	30	639.6	1	-1.7	2.8	-2.2	-0.8	-7.7	21	13.3	3	73	50	80	68	28	2
Mai	630.5	622.0	1	636.9	13	5.7	9.3	4.1	5.8	-4.1	1	15.4	15	72	55	82	70	28	12
Juni	635.6	627.0	13	640.5	22	12.7	16.3	9.9	12.2	0.8	3	23.3	25	68	53	84	68	31	4. 7
Juli	634.9	628.5	1	639.1	30	11.9	15.7	10.5	12.1	1.3	2	22.7	31	77	58	85	73	35	29
August	633.0	625.8	29	637.9	4. 5	10.8	15.2	9.8	11.4	2.2	23	24.7	6	83	60	91	78	28	25
September	634.5	630.0	10	638.2	27	7.0	13.5	7.6	8.9	2.6	7	17.4	14	90	56	88	78	35	17
Oktober	632.6	619.7	28	640.2	12	1.2	9.7	2.3	3.9	-7.4	31	17.8	10	91	55	87	78	27	21
November	633.3	613.2	22	642.6	14	-1.7	6.3	-0.2	1.0	-6.6	23	10.3	8	90	56	86	77	33	26
Dezember	626.9	615.8	21	634.1	12. 13	-6.7	-1.9	-5.6	-5.0	-18.4	27	7.3	11	89	72	88	83	38	8
Jahr	632.7	613.2	XI	645.6	III	1.3	7.4	1.7	3.0	-23.7	I	24.7	VIII	83	58	85	75	27	X

Chur

Beobachter: **Frl. M. Defila**

Bewölkung 7³⁰	13³⁰	21³⁰	Mittel	Niederschlag Summe	Maximum	Tag	Zahl der Tage ● *	●* ≥1.0	*	▲	⌇	≡	heiter	trüb	Windverteilung N	NE	E	SE	S	SW	W	NW	Calmen	1938
7.6	7.0	6.5	7.0	89	19	30	14	11	11	—	—	—	3	16	—	—	—	—	—	—	—	—	—	Januar
3.9	3.6	4.3	3.9	36	13	10	8	6	6	—	—	—	12	6	—	—	—	—	—	—	—	—	—	Februar
4.2	3.7	3.3	3.7	33	23	27	4	3	1	—	—	—	14	7	—	—	—	—	—	—	—	—	—	März
5.2	5.3	5.8	5.4	27	8	29	8	7	3	—	—	—	9	9	—	—	—	—	—	—	—	—	—	April
6.0	6.6	7.1	6.6	55	14	20	14	10	2	—	—	—	4	14	—	—	—	—	—	—	—	—	—	Mai
4.2	4.8	6.2	5.1	127	32	2	14	13	1	—	4	—	6	7	—	—	—	—	—	—	—	—	—	Juni
5.8	5.9	6.2	6.0	102	39	2	13	12	—	—	—	—	6	11	—	—	—	—	—	—	—	—	—	Juli
6.3	6.4	6.3	6.3	79	18	27	17	15	—	—	—	—	4	13	—	—	—	—	—	—	—	—	—	August
5.0	5.8	5.4	5.4	14	5	4	7	5	—	—	—	—	4	10	—	—	—	—	—	—	—	—	—	September
5.2	3.9	4.4	4.5	49	18	3	8	6	1	—	—	—	10	7	—	—	—	—	—	—	—	—	—	Oktober
4.7	4.6	4.4	4.6	24	14	21	6	3	—	—	—	1	8	7	—	—	—	—	—	—	—	—	—	November
7.5	7.7	7.1	7.4	48	11	31	13	11	11	—	—	1	2	14	—	—	—	—	—	—	—	—	—	Dezember
5.5	5.4	5.6	5.5	683	39	VII	126	102	36	—	4	2	82	121	—	—	—	—	—	—	—	—	—	Jahr

Platta-Medels

Beobachter: **G. Riedi**

7.5	7.3	5.0	6.6	109	?	—	10	10	10	—	—	—	4	14	—	—	—	—	16	1	—	—	76	Januar
4.3	4.0	4.2	4.2	71	20	11	7	7	7	—	—	2	11	7	5	1	1	—	7	2	—	—	68	Februar
4.7	4.4	2.4	3.8	27	23	28	3	3	3	—	—	3	13	5	2	2	4	—	14	—	—	—	71	März
5.5	5.2	5.4	5.4	51	32	30	9	7	9	—	—	3	6	6	17	5	2	4	9	—	3	5	45	April
7.3	7.8	7.7	7.6	126	29	20	16	14	6	—	—	8	2	17	1	5	5	5	24	5	1	—	47	Mai
5.0	5.8	6.4	5.7	160	33	1	16	13	1	—	4	8	4	9	—	10	1	2	19	2	—	—	56	Juni
6.7	7.3	6.7	6.9	235	82	1	14	14	1	—	5	8	2	14	—	2	1	1	12	4	—	—	73	Juli
6.0	6.5	6.9	6.5	124	25	21	19	18	—	—	2	10	3	11	—	5	1	—	12	—	—	—	75	August
6.8	7.0	6.0	6.6	69	17	9	12	11	—	—	1	6	3	16	2	—	1	2	30	5	2	—	48	September
5.5	4.3	4.3	4.7	86	31	1	6	4	2	—	—	7	9	5	2	1	2	1	19	4	—	—	64	Oktober
5.1	4.9	3.8	4.6	46	25	21	7	6	1	—	—	2	8	7	—	—	1	5	18	4	2	—	60	November
7.3	7.1	7.0	7.1	74	19	21	14	10	12	—	—	6	3	15	—	—	1	5	24	3	1	—	59	Dezember
6.0	6.0	5.5	5.8	1178	82	VII	133	117	52	—	12	63	68	126	29	31	20	25	204	30	9	5	742	Jahr

Arosa

Beobachter: **Lichtklimatisches Observatorium**

7.4	7.3	6.1	6.9	127	28	30	15	11	15	—	—	1	4	16	—	—	1	4	—	6	4	2	76	Januar
3.9	3.9	3.9	3.9	58	19	10	9	9	9	—	—	—	10	7	—	—	—	2	—	4	9	4	65	Februar
4.4	4.7	3.5	4.2	52	29	27	5	5	5	—	—	1	14	9	—	—	1	2	—	4	12	7	67	März
5.1	7.0	7.3	6.5	52	14	8	13	10	13	—	—	1	3	11	—	—	3	12	1	7	8	6	53	April
6.7	7.5	7.6	7.3	85	33	20	14	12	11	—	—	3	3	17	—	—	2	12	4	9	1	2	63	Mai
4.5	5.1	6.2	5.3	189	41	2	17	16	2	2	5	8	8	8	—	—	5	18	—	4	4	5	54	Juni
5.9	6.7	6.8	6.5	154	46	2	18	13	1	—	3	9	2	12	—	—	13	10	—	3	1	—	66	Juli
6.3	7.0	6.7	6.7	175	34	20	17	15	—	—	1	12	3	13	—	—	7	11	1	2	4	1	67	August
5.3	6.8	5.6	5.9	60	12	4	11	10	—	—	—	5	5	11	—	1	7	11	—	2	1	5	63	September
4.7	4.0	4.2	4.3	66	22	3	8	7	3	—	—	7	11	6	—	1	11	11	1	2	1	4	62	Oktober
4.8	4.6	4.0	4.5	37	15	21	7	5	5	—	—	1	10	7	—	—	1	9	5	7	4	8	56	November
6.6	6.7	6.9	6.7	60	11	31	14	13	14	—	—	3	2	12	—	—	5	4	—	3	4	6	71	Dezember
5.5	5.9	5.7	5.7	1115	46	VII	148	126	78	2	9	51	75	129	—	2	56	106	12	53	53	50	763	Jahr

Davos-Platz

Beobachter: **Kurverein**

6.9	7.2	6.3	6.8	107	23	30	14	13	14	—	—	—	5	14	—	4	6	—	1	3	2	1	76	Januar
3.5	3.8	4.0	3.8	42	19	10	7	5	7	—	—	—	13	6	1	7	7	5	—	1	—	—	63	Februar
4.2	4.0	3.4	3.9	41	33	27	5	3	5	—	—	—	14	8	1	5	13	9	—	6	—	—	59	März
4.5	6.7	6.1	5.8	18	4	3	10	9	10	—	—	1	6	8	1	22	12	7	2	2	1	1	42	April
6.2	7.2	6.7	6.7	54	14	28	12	11	6	—	—	1	6	15	1	15	3	4	3	2	2	—	63	Mai
4.5	5.4	5.4	5.1	126	25	2	15	14	2	—	5	—	9	7	1	18	7	6	—	6	—	1	51	Juni
5.7	6.3	7.1	6.4	113	48	2	15	13	1	—	1	—	5	12	1	21	6	1	3	3	1	—	57	Juli
6.3	7.2	6.4	6.6	179	37	21	19	17	—	2	1	1	3	13	1	18	4	4	2	3	—	—	61	August
5.4	6.7	5.3	5.8	53	9	14	11	10	—	—	—	2	6	11	—	12	6	6	2	4	—	—	60	September
5.2	3.9	3.9	4.3	52	15	28	6	6	3	—	—	2	10	7	1	9	9	3	2	4	2	—	63	Oktober
4.5	4.3	3.3	4.0	21	7	22	6	4	2	—	—	—	11	6	—	4	4	1	3	6	3	—	69	November
6.9	7.0	6.5	6.8	51	15	31	14	10	14	—	—	1	2	10	1	6	1	3	2	10	2	—	68	Dezember
5.3	5.8	5.4	5.5	857	48	VII	134	115	64	2	7	8	90	117	9	141	78	49	20	50	13	3	732	Jahr

Schatzalp (ob Davos)

$\lambda = 9° 49'$, $\beta = 46° 48'$, $H_b = 1868.3^m$, $G = -$ m/m, $h_r = 1.5^m$

1938	Luftdruck					Luft-Temperatur								Relative Feuchtigkeit					
	Mittel	Minimum	Tag	Maximum	Tag	7^{30}	13^{30}	21^{30}	Mittel	Minimum	Tag	Maximum	Tag	7^{30}	13^{30}	21^{30}	Mittel	Minimum	Tag
Januar	—	—	—	—	—	-6.8	-3.0	-6.7	-5.8	-20.4	5	6.0	17	67	58	71	65	28	25
Februar	—	—	—	—	—	-7.0	-0.7	-5.8	-4.8	-15.2	15	4.6	26	55	42	59	52	28	26
März	—	—	—	—	—	-1.5	4.4	-1.0	0.2	-9.1	13	9.3	19	66	48	64	59	20	6
April	—	—	—	—	—	-4.4	0.8	-4.2	-3.0	-11.5	22	11.1	3	77	65	88	77	36	2
Mai	—	—	—	—	—	2.7	7.7	3.0	4.1	-5.8	1	14.5	16	76	66	87	76	36	12
Juni	—	—	—	—	—	9.3	15.2	9.5	10.9	0.5	3	22.8	25	77	63	88	76	38	7
Juli	—	—	—	—	—	9.1	14.3	9.8	10.7	1.0	2	22.7	26	82	69	88	80	44	29
August	—	—	—	—	—	8.9	14.2	9.1	10.3	0.4	24	24.2	6	84	73	92	83	37	25
September	—	—	—	—	—	8.5	12.9	7.3	9.0	1.5	7	17.1	14	85	69	92	82	44	17
Oktober	—	—	—	—	—	3.6	9.2	3.3	4.9	-4.0	30	17.0	10. 14. 16	78	66	82	75	35	21
November	—	—	—	—	—	0.7	6.3	1.4	2.5	-5.9	23	13.1	7	74	62	78	71	31	7
Dezember	—	—	—	—	—	-5.9	-1.6	-5.1	-4.4	-15.6	26	6.8	11	86	76	88	83	31	5
Jahr	—	—	—	—	—	1.4	6.6	1.7	2.9	-20.4	I	24.2	VIII	76	63	81	73	20	III

Schuls

$\lambda = 10° 18'$, $\beta = 46° 48'$, $H_b = 1253.2^m$, $G = -0.17$ m/m, $h_r = 1.5^m$

Januar	654.4	639.5	30	668.9	24	-8.5	-1.7	-6.5	-5.8	-21.4	4	5.2	17	82	56	81	73	39	19
Februar	658.3	643.1	13	667.4	25	-9.4	1.6	-5.8	-4.9	-13.6	16	7.8	27. 28	76	42	74	64	24	27
März	661.4	648.7	26	670.2	5	-1.7	9.5	1.0	2.5	-9.0	14	15.6	31	79	34	64	59	23	31
April	655.2	645.2	30	663.6	1	0.1	8.1	0.0	2.0	-6.2	21	18.0	3	71	29	64	55	17	3
Mai	654.0	645.0	1	661.1	13	7.7	14.3	7.2	9.1	-0.6	1. 2	19.6	13	69	35	65	56	18	14
Juni	658.8	651.2	13	663.7	8	13.5	21.2	12.9	15.1	2.0	3	29.0	27	66	36	72	58	20	7. 9. 18. 25
Juli	658.1	651.3	1	662.9	8	13.0	21.0	12.6	14.8	6.8	2	28.0	31	75	38	79	64	20	31
August	656.4	649.2	29	661.9	4	11.8	19.3	11.4	13.5	3.0	24	28.0	5	83	42	85	70	20	18
September	658.1	653.3	15	661.8	27	7.4	16.4	9.0	10.5	2.6	17	22.0	14	95	43	88	75	24	17
Oktober	656.1	642.6	28	664.2	13	2.8	12.2	4.1	5.8	-5.8	24	19.6	6	93	45	84	74	24	24
November	657.4	637.3	22	666.8	14	-1.9	6.3	0.0	1.1	-7.6	27	11.8	6	88	51	84	74	34	7. 8
Dezember	651.5	640.2	21	659.3	13	-6.2	-1.4	-5.3	-4.5	-18.6	27	5.4	12	84	60	85	76	35	8
Jahr	656.6	637.3	XI	670.2	III	2.4	10.6	3.4	4.9	-21.4	I	29.0	VI	80	43	77	67	17	VI

Buffalora (Ofenpass)

$\lambda = 10° 16'$, $\beta = 46° 38'$, $H =$ ca. 1977^m, $G = -$ m/m, $h_r = 1.5^m$

Januar	—	—	—	—	—	-14.3	-4.6	-12.8	-11.1	-31.0	4	5.0	17	82	55	85	74	24	24
Februar	—	—	—	—	—	-15.9	-0.7	-12.7	-10.5	-23.0	15	5.0	27	87	41	88	72	22	22
März	—	—	—	—	—	-8.4	4.4	-6.4	-4.2	-17.0	14	9.0	31	90	42	84	72	24	4
April	—	—	—	—	—	-6.9	1.2	-6.3	-4.6	-14.6	22	10.4	3	78	41	78	66	26	2. 3
Mai	—	—	—	—	—	1.8	7.8	1.3	3.0	-8.0	2	14.0	31	78	50	85	71	23	12
Juni	—	—	—	—	—	8.5	15.6	7.5	9.8	-1.4	3	24.4	30	70	44	83	66	22	25
Juli	—	—	—	—	—	8.4	15.0	7.6	9.7	2.0	3	21.2	26	77	45	81	68	30	31
August	—	—	—	—	—	7.7	13.3	7.5	9.0	-2.0	24	20.6	5	83	55	90	76	23	25
September	—	—	—	—	—	4.3	10.5	4.3	5.8	-1.0	19	16.0	14. 18. 20. 22	92	58	93	81	26	16
Oktober	—	—	—	—	—	-0.4	9.5	-0.6	2.0	-10.2	31	17.2	16	95	50	93	79	25	14
November	—	—	—	—	—	-4.8	5.6	-4.6	-2.1	-17.0	26	13.0	7	92	50	93	78	20	7
Dezember	—	—	—	—	—	-12.1	-3.6	-11.1	-9.5	-27.0	26	3.4	13	91	62	90	81	27	8
Jahr	—	—	—	—	—	-2.7	6.2	-2.2	-0.2	-31.0	I	24.4	VI	85	49	87	74	20	XI

Buffalora: O. Waldburger † im Juli. Die Beobachtungen werden durch die Familie Waldburger weitergeführt.

Sta. Maria

$\lambda = 10° 25'$, $\beta = 46° 36'$, $H_b = 1411^m$, $G = -0.21$ m/m, $h_r = 1.5^m$

Januar	640.8	626.8	30	654.5	24	-5.5	-1.5	-4.1	-3.8	-17.6	4	6.4	24	56	46	55	52	30	25
Februar	644.7	629.4	14	654.1	25	-5.8	1.3	-3.1	-2.7	-10.8	15	5.4	22	56	39	52	49	26	22
März	648.1	636.3	26	655.9	5	1.5	8.9	2.9	4.0	-4.2	13	14.0	31	53	35	50	46	24	4
April	642.1	633.4	30	650.3	1	1.3	7.0	0.9	2.5	-6.2	11	15.0	2	49	34	51	45	24	2
Mai	641.1	633.4	1	648.2	14. 16	7.1	12.3	6.8	8.3	0.8	2	18.4	14	57	43	66	55	23	3
Juni	646.7	638.9	13	651.6	8	13.3	18.5	12.8	14.3	5.6	3	23.2	24. 26	48	49	70	56	25	17
Juli	645.8	639.2	2	650.9	8	13.8	18.7	13.3	14.8	8.6	3	24.4	31	50	48	72	57	30	18
August	644.1	637.2	29	649.4	4	12.6	17.9	12.5	13.9	5.8	24	24.8	5	60	49	70	60	27	25
September	646.2	640.9	15	651.0	27	8.6	13.9	9.0	10.1	5.4	16	18.0	12	74	52	75	67	34	12. 16
Oktober	644.2	630.9	28	652.4	13	4.3	10.1	5.0	6.1	-3.0	24	15.4	19	69	50	67	62	25	21
November	645.2	625.4	22	654.0	14	0.5	4.5	1.4	1.9	-5.4	23. 27	13.4	5	63	52	62	59	33	7
Dezember	638.8	627.8	23	647.5	13	-5.0	-2.0	-4.3	-3.9	-14.2	19	4.0	1. 13	66	53	65	61	28	5
Jahr	644.0	625.4	XI	655.9	III	3.9	9.1	4.4	5.5	-17.6	I	24.8	VIII	58	46	63	56	23	V

Beobachter: **Sanatorium**

Schatzalp (ob Davos)

Bewölkung 7³⁰	13³⁰	21³⁰	Mittel	Niederschlag Summe	Maximum	Tag	Zahl der Tage ●	●* ≥1.0	*	▲	⚡	≡	heiter	trüb	Windverteilung N	NE	E	SE	S	SW	W	NW	Calmen	1938
7.6	7.1	6.1	6.9	113	23	30	15	15	15	—	—	—	4	15	—	3	4	2	—	3	13	4	64	Januar
3.6	3.7	3.7	3.7	48	20	10	7	7	7	—	—	1	13	7	—	8	7	9	—	3	2	5	50	Februar
4.3	4.4	3.1	3.9	42	?	—	6	4	6	—	—	—	15	7	—	—	3	13	—	2	4	6	65	März
4.6	6.7	4.9	5.4	27	5	24	12	11	12	—	—	1	6	8	—	17	5	3	—	2	2	10	51	April
6.5	7.5	6.5	6.8	60	20	20	13	11	9	—	—	3	3	14	—	1	11	6	—	5	8	16	46	Mai
4.9	5.7	5.6	5.4	122	23	2	15	15	2	—	—	3	6	9	—	—	11	6	—	1	8	—	64	Juni
5.7	7.3	6.6	6.5	115	47	2	15	12	5	—	1	7	4	11	—	—	12	1	—	4	4	2	70	Juli
6.8	7.2	7.0	7.0	177	40	21	18	18	—	—	—	6	1	14	—	—	12	3	—	4	3	3	68	August
5.7	7.3	6.2	6.4	63	15	15	10	10	1	—	1	2	3	12	—	—	6	5	—	4	7	—	68	September
4.8	3.4	4.4	4.2	51	13	3	6	16	3	—	—	3	14	7	1	—	6	1	2	7	9	1	66	Oktober
4.6	4.3	3.4	4.1	19	7	22	8	6	5	—	—	2	13	6	—	—	3	4	—	5	5	6	67	November
6.8	7.6	5.9	6.8	62	20	31	*16	*11	*16	—	—	3	3	10	—	1	2	2	—	1	10	8	69	Dezember
5.5	6.0	5.3	5.6	899	47	VII	141	126	81	—	2	31	85	120	1	30	82	55	2	41	75	61	748	Jahr

Beobachter: **J. Stocker**

Schuls

6.3	5.6	5.5	5.8	49	15	30	10	10	9	—	—	2	8	11	—	—	—	—	—	—	3	1	89	Januar
4.0	3.8	4.2	4.0	18	6	11	6	5	6	—	—	—	12	6	1	—	—	—	—	—	3	2	78	Februar
4.4	3.5	2.4	3.4	19	18	27	3	1	3	—	—	—	16	6	—	3	3	—	—	1	1	1	84	März
4.3	5.3	3.2	4.3	6	5	27	2	1	2	—	—	1	5	4	1	2	5	1	—	7	5	6	63	April
6.8	6.7	6.7	6.7	48	30	20	7	6	2	—	—	—	3	14	—	1	4	—	1	10	3	1	73	Mai
4.2	4.8	4.4	4.5	93	19	10	10	10	—	—	2	1	9	7	1	—	1	1	2	4	2	4	75	Juni
6.2	6.1	6.3	6.2	106	44	2	14	12	—	—	2	—	4	9	—	2	10	—	—	3	4	1	73	Juli
6.0	6.6	6.2	6.3	103	20	30	19	17	—	—	2	3	4	14	1	—	9	—	1	1	4	1	76	August
6.0	6.1	5.7	5.9	66	23	10	9	8	—	—	1	2	9	12	—	1	4	—	—	2	1	—	82	September
5.5	3.8	4.0	4.4	32	9	28	6	6	1	—	—	1	9	7	—	—	—	—	2	3	2	—	86	Oktober
4.2	4.6	3.4	4.1	20	11	21	5	3	2	—	—	3	14	9	—	—	—	—	—	—	4	—	86	November
7.5	6.8	6.4	6.9	46	20	20	9	7	8	—	—	3	3	13	—	—	—	—	—	—	3	—	90	Dezember
5.5	5.3	4.9	5.2	606	44	VII	100	86	33	—	7	16	96	112	4	9	36	2	6	31	35	17	955	Jahr

Beobachter: **O. Waldburger**

Buffalora (Ofenpass)

4.6	4.8	2.9	4.1	53	18	30	12	10	12	—	—	—	10	5	1	5	11	5	—	2	26	11	32	Januar
2.5	2.9	2.7	2.7	28	15	10	6	6	6	—	—	—	15	3	1	6	11	3	—	1	13	10	39	Februar
3.3	3.4	2.2	3.0	29	23	27	4	3	4	—	—	—	15	3	2	6	8	5	3	4	24	5	36	März
2.7	3.9	3.1	3.2	9	4	27	6	3	6	—	—	—	13	—	—	9	9	5	1	1	33	9	23	April
5.5	6.3	6.1	6.0	88	33	20	10	10	5	—	—	—	6	9	1	9	16	18	2	6	19	4	18	Mai
3.4	4.6	4.1	4.0	113	19	13	13	13	2	—	—	—	10	5	1	2	11	11	2	3	21	7	32	Juni
5.4	6.6	6.2	6.1	116	40	2	14	13	1	—	—	1	2	7	1	4	6	11	4	5	38	6	18	Juli
4.6	6.4	6.6	5.9	116	17	21	19	19	—	—	—	1	3	10	3	13	3	11	—	3	31	10	19	August
5.4	6.3	5.3	5.7	105	35	10	9	9	1	—	—	—	9	13	—	7	14	1	—	2	25	9	32	September
4.9	3.4	3.1	3.8	32	20	28	6	6	3	—	—	2	15	7	2	6	13	6	—	—	21	4	41	Oktober
3.3	3.7	3.8	3.6	34	16	21	4	4	4	—	—	—	14	9	3	2	13	4	4	3	22	1	38	November
6.8	5.9	5.3	6.0	41	18	20	9	9	9	—	—	—	5	10	4	7	16	9	3	3	22	1	28	Dezember
4.4	4.8	4.3	4.5	764	40	VII	112	105	53	—	—	4	117	81	19	76	131	89	19	33	295	77	356	Jahr

Beobachter: **J. Rothenberger**

Sta. Maria

4.2	4.3	3.6	4.0	17	7	30	4	4	4	—	—	—	9	5	—	—	—	—	8	11	2	—	72	Januar
1.9	3.1	2.2	2.4	16	12	17	3	3	3	—	—	1	16	1	—	1	—	1	6	7	3	1	65	Februar
2.9	2.9	1.7	2.5	10	10	27	2	1	1	—	—	—	16	2	—	1	—	4	6	14	1	—	67	März
2.6	3.9	2.7	3.1	2	2	27	1	1	1	—	—	—	10	—	2	6	—	6	6	2	2	1	65	April
5.3	5.7	4.8	5.3	67	22	20	12	9	2	—	—	1	5	7	2	2	—	—	3	2	1	—	83	Mai
3.6	4.5	4.1	4.1	103	31	13	13	12	—	—	6	—	9	3	—	—	—	—	1	1	—	—	88	Juni
4.7	5.4	6.2	5.4	104	36	2	15	10	—	—	1	1	4	5	1	—	—	—	—	—	1	—	91	Juli
4.7	6.1	5.8	5.5	85	16	21	16	14	—	—	—	2	4	8	1	4	—	1	5	2	—	1	79	August
5.9	5.6	4.7	5.4	76	27	10	11	9	—	—	—	9	8	10	1	1	—		1	1	1	2	83	September
3.6	3.5	2.0	3.0	37	21	28	5	5	—	—	—	4	14	3	1	—	—	—	3	1	—	2	86	Oktober
3.0	3.4	2.7	3.0	33	25	21	2	2	2	—	—	3	16	5	—	—	—		3	3	—		84	November
5.9	5.6	4.7	5.4	79	25	20	7	7	6	—	—	1	6	5	1	—	—	—	3	5	3	1	80	Dezember
4.0	4.5	3.8	4.1	629	36	VII	91	77	19	—	7	22	117	54	9	15	—	12	45	49	14	8	943	Jahr

Bevers

$\lambda = 9° 53'$, $\beta = 46° 33'$, H_b = ca. 1711 m, $G = -0.23$ m/m, $h_r = 1.4$ m

1938	Luftdruck					Luft-Temperatur								Relative Feuchtigkeit					
	Mittel	Minimum	Tag	Maximum	Tag	7^{30}	13^{30}	21^{30}	Mittel	Minimum	Tag	Maximum	Tag	7^{30}	13^{30}	21^{30}	Mittel	Minimum	Tag
Januar	618.0	604.1	30	632.6	24	-11.1	-4.2	-10.1	-8.9	-26.4	4	3.6	14	84	63	85	77	39	18
Februar	621.6	607.0	13.14	630.5	25	-13.5	-2.0	-9.5	-8.6	-18.7	15	3.6	27	88	51	78	72	31	27
März	625.4	615.8	27	632.9	5	-5.5	5.5	-2.3	-1.2	-14.1	14	10.3	31	89	48	80	72	35	4. 18
April	619.0	610.9	30	627.7	1	-3.6	3.8	-2.4	-1.2	-10.2	22	11.6	1. 3	76	47	74	66	30	2
Mai	619.1	611.0	1	625.6	13.15	3.8	9.1	3.3	4.9	-3.6	1	15.2	31	82	56	84	74	31	31
Juni	624.3	616.3	13	628.9	22	10.6	17.5	10.1	12.1	1.4	3	23.2	25.28	76	50	84	70	28	7
Juli	623.5	616.4	2	628.2	7	10.8	17.0	10.3	12.1	4.2	3	23 5	31	77	50	83	70	24	22
August	621.8	615.1	29	627 3	4	9.3	15.8	9.5	11.0	0.0	24	23.6	4	85	59	87	77	30	18.2[illegible]
September	623.5	618.8	10	627.5	27	5.8	12.8	6.5	7.9	0.6	17	17.5	13	91	57	92	80	36	18
Oktober	621.4	607.7	28	629.0	13	0.0	9.7	1.5	3.2	-9.3	31	16.2	14.15	94	52	87	78	29	24
November	622.3	603.6	22	631.1	14	-4.5	4.8	-2.4	-1.1	-12.4	26	10.3	7	92	56	87	78	35	4
Dezember	615.6	604.9	21	623.7	13	-8.8	-3.7	-7.5	-6.9	-25.0	27	3.8	1	86	66	85	79	35	8
Jahr	621.3	603.6	XI	632.9	III	-0.6	7.2	0.6	1.9	-26.4	I	23.6	VIII	85	55	84	74	24	VII

Sils-Maria

$\lambda = 9° 46'$, $\beta = 46° 26'$, $H_b = 1813.6$ m, $G = -$ m/m, $h_r = 1.5$ m

Januar	—	—	—	—	—	-10.1	-4.4	-9.1	-8.2	-23.3	4	1.7	13	71	48	74	64	28	23
Februar	—	—	—	—	—	-12.5	-2.5	-8.9	-8.2	-17.6	17	2.0	18	77	41	68	62	25	27
März	—	—	—	—	—	-5.1	4.0	-2.4	-1.5	-12.6	14	7.6	1	76	38	69	61	26	4
April	—	—	—	—	—	-3.0	1.8	-3.2	-1.9	-9.1	11	9.2	1	57	39	63	53	23	2. 20
Mai	—	—	—	—	—	3.1	7.3	2.9	4.0	-6.4	1	12.4	31	69	49	79	66	23	31
Juni	—	—	—	—	—	9.7	15.3	9.7	11.1	2.0	3	20.7	26	65	44	76	62	20	18
Juli	—	—	—	—	—	9.9	14.9	9.6	11.0	3.2	2	20.9	31	71	49	80	67	28	22
August	—	—	—	—	—	9.0	14.5	9.3	10.5	-0.8	24	21.4	5	78	50	83	70	23	25
September	—	—	—	—	—	4.4	10.5	6.6	7.0	0.3	21	14.6	13	95	60	86	80	28	16
Oktober	—	—	—	—	—	0.3	7.3	1.9	2.8	-6.6	24	14.1	14	94	52	83	76	21	20
November	—	—	—	—	—	-4.1	3.6	-2.3	-1.3	-11.0	26	8.2	8	91	51	83	75	24	8
Dezember	—	—	—	—	—	-8.0	-3.6	-7.3	-6.5	-19.4	27	2.9	11	87	59	82	76	28	5
Jahr	—	—	—	—	—	-0.5	5.7	0.6	1.6	-23.3	I	21.4	VIII	78	48	77	68	20	VI

Vicosoprano

$\lambda = 9° 37'$, $\beta = 46° 21'$, $H = 1087$ m, $G = -$ m/m, $h_r = 1.5$ m

Januar	—	—	—	—	—	-1.7	0.7	-1.2	-0.9	-13.6	4	12.3	25	55	51	56	54	26	25
Februar	—	—	—	—	—	-2.2	-1.1	-0.7	-0.6	-6.8	15	7.6	7	53	46	58	52	25	23
März	—	—	—	—	—	5.1	10.1	6.0	6.8	-1.2	13	15.8	31	47	39	52	46	24	4
April	—	—	—	—	—	2.8	7.7	4.3	4.8	-3.0	11	18.0	2	48	39	48	45	22	2
Mai	—	—	—	—	—	7.9	11.3	7.8	8.7	0.7	1	18.1	31	66	56	76	66	24	31
Juni	—	—	—	—	—	15.0	19.3	14.6	15.9	5.7	3	24.6	28	58	50	71	60	26	17
Juli	—	—	—	—	—	14.9	19.2	14.9	16.0	8.8	2	24.5	31	64	52	68	61	34	10
August	—	—	—	—	—	13.7	18.8	14.5	15.4	8.5	24	24.8	5	68	52	71	64	26	24.25
September	—	—	—	—	—	10.1	14.4	11.1	11.7	6.7	18.19	18.5	13	80	60	81	74	27	16
Oktober	—	—	—	—	—	6.0	10.6	7.5	7.9	-0.7	25	15.2	15	78	59	78	72	26	20
November	—	—	—	—	—	3.0	4.2	2.8	3.2	-3.6	26	15.3	6	65	68	74	69	27	6
Dezember	—	—	—	—	—	-2.9	-1.3	-2.2	-2.2	-10.8	27	4.5	6	74	68	74	72	32	5
Jahr	—	—	—	—	—	6.0	9.7	6.6	7.2	-13.6	I	24.8	VIII	63	53	67	61	22	IV

Splügen (Dorf)

$\lambda = 9° 19'$, $\beta = 46° 33'$, H_b = ca. 1500 m, $G = -0.21$ m/m, $h_r = 0.8$ m

Januar	634.8	620.3	30	649.0	24	-7.7	-2.9	-7.6	-6.4	-24.1	4	5.8	17	77	40	77	71	38	25
Februar	638.4	623.7	13	647.1	28	-9.3	-0.7	-6.3	-5.6	-15.0	15	4.3	26.27	75	45	71	64	33	25.27
März	642.1	631.7	27	650.1	5	-3.1	6.7	-0.5	0.7	-10.3	14	10.9	31	81	41	71	64	21	4
April	636.0	62[illegible].5	30	644.3	1	-2.2	3.8	-1.2	-0.2	-8.5	11	13.2	1	71	46	66	61	21	2
Mai	635.6	627.9	1	642.0	13	4.1	8.5	4.3	5.3	-5.3	2	16.3	14	71	54	75	67	21	12
Juni	640.3	633.1	13	645.4	8	11.1	16.4	11.4	12.6	0.7	3	24.5	25	71	46	71	63	24	7
Juli	639.4	633.4	1	643.9	8	11.2	16.6	11.4	12.7	1.9	2	24.5	30	73	52	77	67	31	20
August	637.6	630.0	30	642.7	1	10.6	15.8	11.0	12.1	4.3	24	24.0	5	79	50	78	69	25	25
September	639.2	635.2	10	643.8	27	6.9	11.8	9.3	9.3	0.5	19	18.2	13	82	53	72	69	30	13
Oktober	637 1	625.3	28	644.0	12	2.2	9.7	3.5	4.7	-7.1	31	17.0	15	83	48	80	70	19	21
November	638.3	618.5	22	646.9	14	-0.4	5.1	0.2	1.3	-8.4	1	10.9	13	77	54	78	70	33	10.26
Dezember	632.2	621.9	21	639.8	13	-6.5	-2.9	-5.3	-5.0	-20.4	27	5.5	13	79	62	78	73	27	8
Jahr	637.6	618.5	III	650.1	III	1.4	7.3	2.5	3.5	-24.1	I	24.5	VI/VII	77	51	74	67	19	X

Splügen: Bewölkung zu klein.

Beobachter: **P. Nogler**

Bevers

Bewölkung 7³⁰	13³⁰	21³⁰	Mittel	Niederschlag Summe	Maximum	Tag	Zahl der Tage ●	●≥1.0	✳	▲	⚲	≡	heiter	trüb	Windverteilung N	NE	E	SE	S	SW	W	NW	Calmen	1938
6.3	5.8	4.9	5.7	64	20	30	12	10	12	—	—	1	5	10	4	3	—	—	5	12	19	10	40	Januar
4.0	3.7	2.8	3.5	22	8	10	6	5	6	—	—	1	13	3	—	6	1	—	4	7	8	5	53	Februar
4.8	3.9	2.3	3.7	23	18	27	3	3	3	—	—	—	12	4	4	8	3	—	7	12	6	9	44	März
3.5	5.1	3.8	4.1	12	4	29	6	4	6	—	—	—	9	3	14	12	1	1	5	9	10	20	18	April
6.6	6.7	5.4	6.2	61	35	20	12	7	4	—	—	—	5	13	7	6	—	—	4	24	11	9	32	Mai
4.9	5.1	4.0	4.7	94	20	2	14	9	2	—	1	2	6	4	3	5	—	1	7	23	10	6	35	Juni
6.1	6.3	5.3	5.9	97	35	2	11	10	1	—	1	1	4	7	3	9	—	—	7	23	10	5	36	Juli
6.2	6.6	5.5	6.1	113	33	11	16	15	—	—	—	1	5	11	5	3	—	—	5	20	6	4	50	August
6.3	6.6	5.9	6.3	52	15	9	13	10	1	—	—	3	7	11	7	2	—	—	8	18	9	4	42	September
4.9	3.6	3.9	4.1	50	18	28	6	6	2	—	—	—	10	6	2	10	—	—	7	11	23	12	28	Oktober
3.9	4.4	3.5	3.9	51	21	21	8	6	6	—	—	1	11	6	4	1	—	—	2	14	17	8	44	November
6.8	6.6	5.4	6.3	65	36	20	11	9	11	—	—	—	4	10	7	1	—	—	2	30	6	10	37	Dezember
5.4	5.4	4.4	5.1	704	36	XII	118	94	54	—	2	10	91	88	60	66	5	2	63	203	135	102	459	Jahr

Beobachter: **A. Fluor**

Sils-Maria

5.3	5.1	5.0	5.1	29	11	30	7	5	7	—	—	—	9	11	15	1	—	—	7	—	5	—	65	Januar
2.8	3.5	3.1	3.1	11	5	10	4	4	4	—	—	—	15	4	9	2	1	—	1	—	2	1	68	Februar
3.3	3.4	2.3	3.0	18	14	27	2	2	2	—	—	—	16	3	10	—	—	—	1	2	4	1	75	März
2.9	4.1	2.4	3.1	18	13	30	3	3	3	—	—	—	13	2	15	2	—	2	2	2	6	6	55	April
6.9	6.6	6.6	6.7	86	29	20	14	12	10	—	—	—	5	15	6	—	—	—	2	2	16	2	65	Mai
3.9	4.2	4.4	4.2	152	22	2	14	13	2	—	2	—	13	5	4	—	—	—	4	2	15	1	64	Juni
5.5	6.0	5.3	5.6	145	46	2	13	11	1	—	3	—	5	8	4	—	—	1	9	2	14	2	61	Juli
5.3	5.8	6.3	5.8	133	44	21	18	15	—	1	3	—	5	12	3	—	—	—	4	1	10	—	75	August
5.8	6.0	5.9	5.9	77	35	9	13	13	1	—	—	2	8	13	4	—	—	1	2	—	8	2	73	September
4.1	3.0	3.5	3.5	57	25	28	7	7	5	—	—	—	13	7	2	—	1	—	10	1	7	—	72	Oktober
3.8	4.0	3.4	3.7	58	21	21	6	6	6	—	—	—	14	7	—	—	—	—	5	—	3	—	82	November
6.8	5.9	6.5	6.4	70	22	20	10	10	10	—	—	—	6	14	3	—	—	—	1	—	6	1	82	Dezember
4.7	4.8	4.6	4.7	854	46	VII	111	101	51	1	8	2	122	101	75	5	2	4	48	31	96	16	837	Jahr

Beobachter: **H. Roffler**

Vicosoprano

5.4	4.6	3.4	4.5	24	10	30	5	5	5	—	—	—	10	5	2	42	—	—	—	—	—	—	49	Januar
2.4	2.9	2.6	2.6	5	3	18	3	2	3	—	—	—	16	1	—	29	—	—	—	—	—	—	55	Februar
3.3	3.3	3.2	3.3	15	7	27	4	3	—	—	—	—	14	3	1	49	1	—	—	1	—	—	41	März
2.1	3.3	3.2	2.9	26	17	30	2	2	—	—	—	—	11	2	—	46	1	—	—	1	—	—	42	April
6.0	7.2	5.8	6.3	148	31	17	18	14	1	—	—	1	6	13	—	16	—	—	—	—	—	—	77	Mai
3.4	4.6	5.6	4.5	198	40	2	15	14	—	—	3	—	8	4	—	17	1	—	1	2	—	—	69	Juni
4.4	5.7	4.4	4.8	199	26	8	11	11	—	—	2	—	5	7	1	19	—	—	—	—	—	—	73	Juli
4.5	5.8	5.8	5.4	162	47	21	15	13	—	—	3	—	5	6	—	27	—	—	—	—	—	—	66	August
5.1	6.0	6.2	5.8	105	32	9	13	13	—	—	—	—	7	14	—	14	—	—	—	1	1	—	74	September
3.8	3.6	4.5	4.0	97	40	28	8	8	1	—	—	—	12	7	—	18	—	—	—	—	—	—	75	Oktober
2.8	3.8	4.0	3.5	140	71	21	6	6	2	—	—	—	16	7	—	14	—	—	—	—	—	—	76	November
6.5	6.1	6.0	6.2	124	36	20	11	11	8	—	—	1	5	14	1	21	—	—	—	—	—	—	71	Dezember
4.1	4.7	4.6	4.5	1243	71	XI	111	102	20	—	8	2	115	83	5	312	3	—	1	5	1	—	768	Jahr

Beobachter: **Frau A. Felix**

Splügen (Dorf)

4.9	3.8	2.7	3.8	57	18	30	7	6	7	—	—	—	7	2	3	—	26	—	1	—	19	—	44	Januar
2.6	2.1	1.9	2.2	26	10	11	5	5	5	—	—	—	17	1	—	—	17	—	1	—	13	—	53	Februar
2.1	2.4	1.5	2.0	30	29	28	2	2	2	—	—	—	20	1	—	3	17	—	1	1	14	—	57	März
2.5	3.5	2.7	2.9	55	40	30	8	5	8	—	—	—	7	1	6	19	30	—	—	—	5	—	30	April
4.8	4.9	4.4	4.7	147	26	20	12	10	5	—	—	—	6	3	4	—	15	—	—	—	25	—	49	Mai
3.5	3.1	4.1	3.6	186	50	2	14	14	1	—	3	—	12	4	8	—	12	2	2	2	30	—	34	Juni
4.8	4.5	5.1	4.8	211	55	2	13	12	—	—	3	—	6	4	6	—	31	—	—	4	26	—	26	Juli
3.5	4.1	4.5	4.0	171	52	20	16	13	—	—	1	2	10	2	2	—	31	1	—	—	20	—	39	August
5.5	5.6	6.2	5.8	71	18	9	14	14	1	—	—	3	5	11	4	11	4	2	17	15	20	—	17	September
3.6	2.6	3.3	3.2	116	36	3	7	7	3	—	—	—	17	3	3	1	21	—	—	—	27	2	39	Oktober
3.1	2.6	2.0	2.6	45	15	30	7	7	2	—	—	—	16	2	—	—	3	—	—	3	23	—	61	November
5.2	4.7	4.0	4.6	76	19	21	13	12	12	—	—	—	6	3	1	—	13	1	—	—	27	—	51	Dezember
3.8	3.7	3.5	3.7	1191	55	VII	118	107	46	—	7	5	129	37	37	34	220	6	22	25	249	2	500	Jahr

Bernhardin

$\lambda = 9^\circ 10'$, $\beta = 46^\circ 30'$, $H_b = 2273^m$, $G = -0.25\,^m/_m$, $h_r = 7.9^m$

1938	Luftdruck					Luft-Temperatur								Relative Feuchtigkeit					
	Mittel	Minimum	Tag	Maximum	Tag	7^{30}	13^{30}	21^{30}	Mittel	Minimum	Tag	Maximum	Tag	7^{30}	13^{30}	21^{30}	Mittel	Minimum	Tag
Januar	590.8	581.8	10	604.7	24	-8.1	-5.9	-7.4	-7.2	-20.0	3	5.6	25	53	47	51	50	3	25
Februar	594.1	582.4	14	601.8	25.28	-7.4	-3.7	-6.3	-6.0	-14.2	15	1.8	6. 8	37	26	39	34	3	7
März	598.1	588.9	26	605.4	4	-2.4	2.6	-1.4	-0.6	-8.4	27	7.4	18	38	26	41	35	2	14
April	592.0	585.4	30	600.8	1	-5.5	-0.6	-4.6	-3.9	-13.4	11	9.2	2	48	25	49	41	4	2
Mai	592.7	585.2	1	598.7	12	0.6	3.9	0.4	1.2	-6.2	3	10.2	8.31	59	46	76	60	3	12
Juni	598.4	590.3	13	603.1	20	8.2	11.4	7.2	8.4	-1.8	3	17.0	25	45	41	64	50	2	4
Juli	597.4	590.3	2	602.0	8	8.4	11.3	7.8	8.7	0.0	2	18.2	29. 31	57	46	64	56	10	29
August	595.6	589.6	29	600.8	4. 5	8.1	11.2	7.4	8.5	1.2	23	18.8	5	57	50	61	56	8	25
September	597.2	593.2	6	601.6	27	5.2	7.6	5.1	5.7	0.6	6	12.2	13	62	58	75	65	3	20
Oktober	594.9	584.5	28	602.1	13.14	1.8	4.7	1.7	2.5	-6.6	30	11.4	13	50	48	70	56	5	11. 20
November	595.4	581.7	22	604.0	14	-0.8	2.3	-0.2	0.2	-7.8	26	10.0	7	51	40	50	47	0	7
Dezember	588.7	581.9	21.22 23	596.1	12.13	-8.1	-5.8	-7.5	-7.2	-20.0	19	1.4	1	62	53	65	60	0	5. 7
Jahr	594.6	581.7	XI	605.4	III	0.0	3.3	0.2	0.9	-20.0	I/XII	18.8	VIII	52	42	59	71	0	XI/XII

Bernhardin: Die Abendbeobachtung geschieht um 20^h 30.

Braggio

$\lambda = 9^\circ 7'$, $\beta = 46^\circ 18'$, $H_b = 1332^m$, $G = -\,^m/_m$, $h_r = 1.5^m$

Januar	—	—	—	—	—	-2.8	2.1	-2.1	-1.2	-14.1	5	13.7	25	63	56	66	62	30	25
Februar	—	—	—	—	—	-2.9	3 6	-1.2	-0.4	-6.9	15	11.3	7	67	51	66	61	28	23
März	—	—	—	—	—	3.9	10.6	4.9	6.1	-3.3	2	15.9	31	59	46	57	54	22	4
April	—	—	—	—	—	0.8	7.8	2.3	3.3	-5.5	22	18.7	2	63	44	58	55	26	2
Mai	—	—	—	—	—	5.8	10.3	6.6	7.3	0.3	1. 2. 20	18.5	13	81	70	82	78	31	11
Juni	—	—	—	—	—	12.4	18.6	13.9	14.7	3.7	3	24.4	26	79	63	78	74	36	16
Juli	—	—	—	—	—	12.8	18.2	13.9	14.7	5.5	5	24.1	31	80	65	79	75	35	19
August	—	—	—	—	—	12.7	18.3	13.5	14.5	5.7	24	23.9	6	80	64	78	74	34	25
September	—	—	—	—	—	9.1	14.0	10.4	11.0	6.1	6. 8	18.7	13	86	75	83	81	35	5
Oktober	—	—	—	—	—	5.9	11.4	6.9	7.8	-0.5	24	18.5	15	81	73	83	79	44	31
November	—	—	—	—	—	3.5	8.8	4.3	5.2	-1.3	23	17.9	6	70	63	72	68	31	6
Dezember	—	—	—	—	—	-3.3	0.6	-2.6	-2.0	-11.7	27	7.9	5	80	72	80	77	31	5
Jahr	—	—	—	—	—	4.8	10.4	5.9	6.8	-14.1	I	24.4	VI	74	62	74	70	22	III

Tessin

Bellinzona

$\lambda = 9^\circ 1'$, $\beta = 46^\circ 12'$, $H_b = 236.6^m$, $G = -0.02\,^m/_m$, $h_r = 1.6^m$

Januar	739.9	725.9	30	753.5	24	-0.7	5.1	0.4	1.3	-9.4	5	15.8	26	77	57	74	69	26	20
Februar	743.9	726.6	13	754.6	25	0.2	8.0	2.7	3.4	-2.3	9	10.8	3	84	49	77	70	27	3
März	744.9	735.3	26	752.8	5	6.4	16.9	10.6	11.1	0.6	3	25.6	31	74	43	57	58	21	4
April	739.0	730.5	30	747.1	11	6.9	16.2	10.5	11.0	0.6	12	26.4	1	62	38	50	50	22	7
Mai	738.0	730.7	21	744.7	16	11.7	17.6	13.1	13.9	1.8	1	27.3	31	82	58	78	73	32	31
Juni	740.3	733.4	12.3	745.0	21	18.0	25.6	19.8	20.8	11.5	3	32.8	24	76	56	78	70	28	16
Juli	739.1	731.8	2	744.9	7	18.1	25.4	19.8	20.8	12.6	2	31.3	31	80	59	80	73	33	10
August	737.1	731.1	29	741.5	2	17.2	25.7	19.1	20.3	10.3	24	30.8	4	79	52	76	69	26	18
September	741.0	733.8	15	746.7	27	13.5	20.1	15.4	16.1	9.7	19	25.4	1	89	61	85	78	29	16
Oktober	740.0	728.6	28	747.3	13	9.1	15.6	11.0	11.7	1.8	25	20.2	20	91	62	89	81	40	20
November	742.4	721.6	22	751 6	14	3.4	10.8	6.3	6.7	-0.6	19	22.2	6	93	61	86	80	30	25
Dezember	738.0	727.1	21.23	745.2	13	0.0	4.1	1.2	1.6	-8.9	27	13.4	6	87	67	85	80	28	4
Jahr	740.5	721.6	XI	754.6	II	8.7	15.9	10.8	11.6	-9.4	I	32.8	VI	81	55	76	71	21	III

Bosco-Gurin

$\lambda = 8^\circ 30'$, $\beta = 46^\circ 19'$, $H_b = 1486^m$, $G = -\,^m/_m$, $h_r = 2.0^m$

Januar	—	—	—	—	—	-4.6	-1.8	-4.0	-3.6	-17.5	4	9.5	24	67	58	64	63	27	25
Februar	—	—	—	—	—	-5.2	-0.6	-4.1	-3.5	-11.3	15	4.4	10	59	51	66	59	36	23
März	—	—	—	—	—	1.4	7.2	2.0	3.1	-4.2	13	15.0	31	62	50	63	58	30	4
April	—	—	—	—	—	0.3	7.3	0.6	2.2	-5.0	11. 21 22	15.8	2	58	44	61	54	27	18
Mai	—	—	—	—	—	4.8	9.0	4.9	5.9	-1.0	1. 2	17.2	14	74	64	81	73	30	11
Juni	—	—	—	—	—	12.0	16.7	11.3	12.8	5.0	3	23.4	25	73	63	82	73	30	16
Juli	—	—	—	—	—	11.9	16.9	12.2	13 3	6.5	2	24.4	31	80	64	78	74	35	3
August	—	—	—	—	—	11.5	16.7	11 8	12.9	5.6	24	22.2	1	81	62	82	75	36	18
September	—	—	—	—	—	7.9	12.8	8.7	9.5	5.0	8	10.0	13	85	71	85	80	31	16
Oktober	—	—	—	—	—	4.0	9.3	4.9	5.8	-2.7	31	15.5	19	81	62	80	74	32	12
November	—	—	—	—	—	0.8	3.1	1.4	1.7	-4.7	26	12.4	5	69	62	73	68	40	6
Dezember	—	—	—	—	—	-5.0	-2.8	-4.7	-4.3	-14.6	26	3.4	13	75	66	73	71	38	3. 6
Jahr	—	—	—	—	—	3.3	7.8	3.7	4.6	-17.5	I	24.4	VII	72	60	74	69	27	I/IV

Beobachter: **E. Albertini**

Bernhardin

Bewölkung 7³⁰	13³⁰	21³⁰	Mittel	Niederschlag Summe	Maximum	Tag	Zahl der Tage ● *	●* ≧1.0	*	▲	K	≡	heiter	trüb	Windverteilung N	NE	E	SE	S	SW	W	NW	Calmen	1938
5.6	5.3	4.9	5.3	58	15	29	14	9	14	—	—	8	6	8	59	—	—	—	27	—	—	—	7	Januar
3.0	2.9	3.0	3.0	15	7	16	7	3	7	—	—	2	15	3	55	—	—	—	9	—	—	—	20	Februar
3.3	3.3	3.2	3.3	49	28	26	5	3	5	—	—	3	14	1	63	—	—	—	18		—	—	12	März
4.1	4.9	4.5	4.5	106	53	30	7	3	7	—	—	6	6	3	71	—	—	—	13	—	—	—	6	April
6.5	7.3	7.1	7.0	401	71	27	13	13	10	—	—	15	3	14	38	—	—	—	39	—	—	—	16	Mai
5.0	5.1	5.5	5.2	266	59	2	13	12	1	—	2	9	6	7	35	—	—	—	44	—	—	—	11	Juni
6.3	6.6	6.0	6.3	254	53	1	12	12	1	—	2	8	1	9	41	—	—	—	44	—	—	—	8	Juli
6.0	6.8	5.7	6.2	176	62	20	13	13	—	—	3	5	2	8	56	—	—	—	32	—	—	—	5	August
6.2	6.3	6.4	6.3	202	45	10	14	14	3	—	—	16	5	14	23	—	—	—	58	—	—	—	9	September
4.6	4.7	4.9	4.7	135	45	27	8	7	4	—	—	16	8	6	36	—	—	—	42	—	—	—	15	Oktober
4.0	4.2	3.9	4.0	282	111	21	6	6	6	—	—	7	11	7	36	—	—	—	36	—	—	—	18	November
6.7	6.5	6.5	6.6	184	33	10	13	11	13	—	—	18	5	14	48	—	—	—	40	—	—	—	5	Dezember
5.1	5.3	5.1	5.2	2128	111	XI	125	106	71	—	7	113	82	94	561	—	—	—	402	—	—	—	132	Jahr

Beobachter: **C. Berera**

Braggio

4.4	4.9	3.5	4.3	30	17	30	5	5	5	—	—	—	12	8	17	6	2	3	2	2	3	3	55	Januar
4.1	2.8	3.4	3.4	8	3	17	4	3	4	—	—	2	13	5	12	3	2	1	6	2	—	—	58	Februar
3.3	3.3	1.5	2.7	7	5	26	2	2	1	—	—	—	16	—	13	5	2	3	14	6	—	2	48	März
3.2	4.0	2.7	3.3	56	46	30	3	3	2	—	—	—	8	1	23	3	1	1	9	3	1	5	44	April
7.0	7.7	7.1	7.3	216	39	27	16	14	4	—	2	2	4	17	11	—	2	7	16	1	1	—	55	Mai
4.0	5.1	4.9	4.7	265	68	2	12	10	—	2	4	—	9	7	7	2	2	2	19	2	—	1	55	Juni
4.8	6.9	3.9	5.2	203	40	2	11	9	—	—	5	1	6	8	7	4	9	—	23	3	—	—	47	Juli
5.6	7.2	5.9	6.2	153	58	20	12	12	—	—	1	2	6	12	8	7	6	2	17	3	1	—	49	August
5.4	6.3	5.6	5.8	147	57	9	14	12	—	—	—	2	10	12	8	3	9	2	10	5	—	—	53	September
4.3	4.2	4.4	4.3	139	46	3	7	7	1	—	—	2	9	6	2	3	7	3	8	6	4	—	60	Oktober
3.6	3.8	3.4	3.6	118	62	21	6	6	2	—	—	—	13	6	3	1	13	5	2	2	2	2	60	November
6.8	6.3	6.2	6.4	90	35	20	9	8	9	—	—	10	6	15	7	4	2	5	4	2	1	—	68	Dezember
4.7	5.2	4.4	4.8	1432	68	VI	101	91	28	2	12	21	112	97	118	41	57	34	130	37	13	13	652	Jahr

Beobachter: **A. Lienhard**

Bellinzona

4.5	4.4	3.5	4.1	29	15	30	6	4	3	—	—	1	11	2	12	19	—	—	2	7	1	—	52	Januar
4.6	3.3	2.2	3.4	12	6	18	2	2	—	—	—	—	11	5	6	12	—	—	4	11	—	—	51	Februar
3.4	3.1	1.0	2.5	2	1	26	2	—	—	—	—	—	15	1	10	10	—	—	1	25	1	1	45	März
3.3	3.1	2.0	2.8	56	41	30	3	3	—	—	—	—	13	1	13	19	1	1	12	9	—	1	34	April
6.6	7.0	6.2	6.6	193	47	27	16	13	—	—	—	—	3	15	9	13	—	—	16	3	1	—	51	Mai
4.9	4.5	4.1	4.5	276	61	9	12	10	—	—	5	—	9	5	10	25	—	6	13	1	—	—	35	Juni
4.7	4.9	3.0	4.2	147	36	1	8	7	—	—	4	—	10	6	12	18	3	2	20	3	—	—	35	Juli
5.2	5.2	4.5	5.0	154	65	21	8	7	—	—	4	—	8	6	11	19	—	3	14	3	—	—	43	August
6.0	5.6	5.1	5.6	112	33	9	12	12	—	—	2	—	8	12	5	18	—	1	13	3	—	—	50	September
4.9	4.1	3.5	4.2	139	43	3	7	7	—	—	—	—	9	3	8	11	—	—	18	1	—	—	55	Oktober
4.5	4.4	3.8	4.2	129	59	21	5	5	—	—	—	—	9	7	8	4	2	—	9	—	—	—	67	November
6.8	5.7	5.3	5.9	80	24	20	9	9	5	—	—	1	7	13	16	8	1	—	—	1	1	—	66	Dezember
4.9	4.6	3.7	4.4	1329	65	VIII	91	79	8	—	15	2	113	76	120	176	7	13	122	67	4	2	584	Jahr

Beobachter: **W. Sartori**

Bosco-Gurin

4.3	5.3	3.6	4.4	66	25	29	10	9	10	—	—	—	9	7	2	—	1	—	2	11	3	1	73	Januar
3.2	3.7	2.7	3.2	35	13	17	7	5	7	—	—	1	13	3	—	—	—	1	6	2	2	2	71	Februar
3.0	3.1	1.5	2.5	12	8	27	3	3	2	—	—	2	17	1	—	—	—	—	2	4	7	2	78	März
2.7	4.3	2.7	3.2	31	18	30	4	3	3	—	—	1	11	1	—	—	1	—	17	7	1	2	62	April
6.9	7.3	7.0	7.1	273	47	1	19	16	5	—	—	2	2	16	—	—	5	—	4	5	1	—	78	Mai
4.8	6.4	5.1	5.4	248	82	12	14	13	—	2	7	—	4	7	—	—	1	—	3	6	1	1	78	Juni
5.0	7.2	4.6	5.6	256	126	1	12	12	—	—	3	—	5	7	—	—	—	—	2	8	2	1	80	Juli
5.4	6.6	5.1	5.7	147	29	27	16	13	—	1	3	—	5	10	—	—	—	1	1	5	1	3	82	August
5.8	6.3	5.7	5.9	239	81	9	15	13	—	—	1	—	7	11	—	—	—	2	—	3	2	2	81	September
4.5	4.5	3.5	4.2	128	50	37	7	7	3	—	—	3	8	3	—	—	—	—	—	6	—	—	87	Oktober
3.9	3.7	3.5	3.7	144	41	29	7	7	5	—	—	—	15	7	—	—	—	1	—	1	1	5	82	November
5.5	5.9	5.4	5.6	104	15	11	14	14	14	—	—	5	9	11	—	—	—	—	2	3	3	1	84	Dezember
4.6	5.4	4.2	4.7	1683	126	VII	128	115	49	3	14	14	105	84	2	—	8	5	39	61	24	20	936	Jahr

Locarno-Muralto

$\lambda = 8^\circ 48'$, $\beta = 46^\circ 10'$, $H_b = 238.7^m$, $G = -0.02$ m/m, $h_r = 1.2^m$

1938	Luftdruck					Luft-Temperatur								Relative Feuchtigkeit					
	Mittel	Minimum	Tag	Maximum	Tag	7^{30}	13^{30}	21^{30}	Mittel	Minimum	Tag	Maximum	Tag	7^{30}	13^{30}	21^{30}	Mittel	Minimum	Tag
Januar	741.4	727.3	30	755.2	24	0.6	5.4	1.6	2.3	-7.0	5	14.8	26	65	55	65	62	22	20.28
Februar	745.4	228.3	13	756.4	25	1.1	8.0	3.7	4.1	-0.8	1	10.6	3	73	50	62	62	22	12
März	746.6	737.3	26	754.5	5	6.9	15.8	11.0	11.2	1.0	14	23.0	31	61	39	45	48	10	2. 4
April	740.6	732.9	30	748.4	10. 11	7.8	15.7	9.9	10.8	3.4	22	23.0	2	58	33	42	44	10	18
Mai	739.6	729.9	21	746.7	13	11.5	16.4	12.8	13.4	4.4	1	23.6	31	79	58	73	70	30	25
Juni	742.2	734.9	12	747.4	21	17.8	23.8	19.3	20.1	11.2	3	29.6	26	79	56	72	69	26	16
Juli	741.2	733.0	2	747.1	8	18.4	23.8	19.3	20.2	11.4	2	28.8	31	82	57	77	72	29	10
August	738.8	732.7	13	743.7	5	17.7	23.6	18.8	19.7	11.8	24	28.4	4	83	58	78	73	26	18
September	742.8	735.8	15	748.9	27	14.1	19.0	15.4	16.0	11.6	6. 19	23.4	15	90	70	86	82	27	16
Oktober	741.7	729.0	28	749.5	13	10.1	15.4	11.4	12.1	3.8	31	19.8	20	94	66	92	84	45	20
November	744.0	722.3	22	753.2	14	5.3	11.1	7.3	7.7	1.4	19	21.0	6	91	66	86	81	37	6. 8
Dezember	739.5	727.8	21	747.0	13	1.1	4.8	2.3	2.6	-6.0	28	13.4	6	82	67	78	76	28	4. 6
Jahr	742.0	722.3	XI	756.4	II	9.4	15.2	11.1	11.7	-7.0	I	29.6	VI	78	56	71	69	10	III IV

Locarno-Monti

$\lambda = 8^\circ 48'$, $\beta = 46^\circ 10'$, $H_b = 380^m$, $G = -0.01$ m/m, $h_r = 1.2^m$

Januar	728.7	714.4	30	742.2	24	1.2	4.9	2.0	2.5	-7.8	5	14.9	25	60	58	61	60	27	20
Februar	732.8	715.7	13	743.6	25	1.4	6.9	3.9	4.0	0.0	2. 10 28	10.0	3	68	54	59	60	31	3
März	734.2	724.6	26	742.0	5	7.9	14.8	11.6	11.5	1.4	14	22.6	31	57	44	46	49	22	4
April	728.2	720.2	30	736.3	10	7.4	14.0	10.1	10.4	3.4	12. 22	21.9	2	61	42	47	50	24	18
Mai	727.2	717.6	21	734.0	16	11.0	15.1	12.8	12.9	2.9	1	21.0	31	78	61	65	68	30	24
Juni	730.2	722.7	12	734.9	21	17.7	22.5	20.2	20.2	10.0	3	27.8	26	77	59	63	66	32	16
Juli	729.0	721.3	2	734.7	7	18.3	22.7	20.2	20.3	12.0	2	27.6	30	76	59	63	66	31	10
August	726.9	720.7	29	734.4	2. 4. 5	17.7	22.8	19.5	19.9	11.8	24	27.7	5	76	57	66	66	28	22
September	730.7	724.0	15	736.4	27	13.9	18.3	15.7	15.9	11.3	19	21.9	1. 16	83	66	76	75	36	5. 16
Oktober	729.3	716.4	28	736.8	13	9.9	14.4	11.7	11.9	4.2	31	18.6	20	85	64	77	75	40	8
November	731.5	709 9	22	740.6	14	5.8	10.3	7.7	7.9	1.8	19	20.9	6	75	64	73	71	36	5. 6
Dezember	726.7	714.3	21	734.2	13	1.0	3.9	2.0	2.2	-6.7	28	13.6	6	75	67	72	71	28	6
Jahr	729.6	709.9	XI	743.6	II	9.4	14.2	11.5	11.6	-7.8	I	27.8	VI	73	58	64	65	22	III

Lugano

$\lambda = 8^\circ 57'$, $\beta = 46^\circ 0'$, $H_b = 276.2^m$, $G = -0.01$ m/m, $h_r = 1.7^m$

Januar	737.9	723.4	30	751.6	24	-0.1	4.6	0.3	1.3	-7.4	5	12.8	25	71	58	71	67	22	20
Februar	742.1	724.9	13	752.8	25	0.7	6.9	3.2	3.5	-1.4	9	11.4	3	76	52	67	65	23	3
März	743.3	732.5	26	751.4	5	5.4	15.1	9.7	10.0	0.0	14	22.6	4	73	45	56	58	17	4
April	737.3	729.1	30	745.1	11	6.3	15.7	9.7	10.4	1.2	10	24.2	1	64	38	48	50	14	18
Mai	736.2	726.9	21	743.3	13	11.5	16.4	12.6	13.3	6.0	1	24.2	31	75	57	70	67	24	24.25
Juni	738.9	731.3	13	743.8	21	17.9	25.0	19.7	20.6	11.8	3	30.2	26	74	54	68	65	32	3
Juli	737.6	729.5	2	743.7	7	18.1	25.6	20.4	21.1	11.2	2	30.0	31	73	52	66	64	26	10
August	735.6	729.9	29.31	740.2	2. 4	17.0	24.7	18.7	19.8	10.8	24	30.4	6	77	56	72	68	26	22
September	739.6	732.7	15	745.3	27	14.0	20.3	15.4	16.3	9.4	6	25.4	1	82	62	83	76	27	5
Oktober	738.4	725.0	28	745.9	13	10.2	15.4	11.1	12.0	3.8	25	19.6	2	90	68	91	83	53	2. 31
November	740.7	718.2	22	749.8	14	5.5	11.1	7.1	7.7	1.4	26	19.2	6	84	65	85	78	28	24
Dezember	736.0	724.3	21	744.1	13	0.8	4.8	1.4	2.1	-7.6	28	14.0	6	80	65	80	75	26	4
Jahr	738.6	718.2	XI	752.8	II	8.9	15.5	10.8	11.5	-7.6	XII	30.4	VIII	77	56	71	68	14	IV

Monte Generoso

$\lambda = 9^\circ 1'$, $\beta = 45^\circ 56'$, $H_b = 1610^m$, $G = -0.20$ m/m, $h_r = 1.4^m$

Januar	—	—	—	—	—	—	—	—	—	—	—	—	—	—	—	—	—	—	—
Februar	—	—	—	—	—	—	—	—	—	—	—	—	—	—	—	—	—	—	—
März	—	—	—	—	—	—	—	—	—	—	—	—	—	—	—	—	—	—	—
April	—	—	—	—	—	—	—	—	—	—	—	—	—	—	—	—	—	—	—
Mai	627.1	619.1	20	634.9	13	5.8	7.6	5.8	6.2	0.0	1. 20 22	20.2	14	57	55	61	58	3	25
Juni	632.3	626.4	13	637.2	21	15.4	18.6	14.6	15.8	3.8	3	28.0	27	42	37	50	43	4	16
Juli	631.2	623.6	2	637.2	8	14.8	17.7	13.6	14.9	6.4	3	25.0	11	41	42	48	44	10	4. 11 21. 25
August	629.7	623.7	31	635.9	5	14.5	16.6	11.8	13.7	5.8	23	27.0	6	38	36	49	41	3	18. 26
September	631.5	626.9	3	636.4	27	10.1	13.0	9.2	10.4	4.0	7. 8 9. 10	20.6	22	55	51	62	56	5	16
Oktober	—	—	—	—	—	—	—	—	—	—	—	—	—	—	—	—	—	—	—
November	—	—	—	—	—	—	—	—	—	—	—	—	—	—	—	—	—	—	—
Dezember	—	—	—	—	—	—	—	—	—	—	—	—	—	—	—	—	—	—	—
Jahr	—	—	—	—	—	—	—	—	—	—	—	—	—	—	—	—	—	—	—

Beobachter: **Frau A. Mariani**

Locarno-Muralto

Bewölkung 7³⁰	13³⁰	21³⁰	Mittel	Niederschlag Summe	Maximum	Tag	Zahl der Tage ●	●≥1.0	✳	▲	⚠	≡	heiter	trüb	Windverteilung N	NE	E	SE	S	SW	W	NW	Calmen	1938
3.2	3.3	2.2	2.9	23	12	30	5	4	2	—	—	1	15	3	1	—	4	—	2	—	2	—	84	Januar
2.8	2.3	2.1	2.4	25	16	17	4	3	2	—	—	—	16	1	1	1	1	—	2	—	3	—	76	Februar
2.0	2.2	0.7	1.6	3	3	26	1	1	—	—	—	—	22	1	9	2	2	—	4	1	10	—	65	März
2.6	2.5	2.2	2.4	46	36	30	3	3	—	—	—	—	12	1	7	1	6	—	10	—	13	2	51	April
6.5	6.1	6.5	6.4	259	67	27	17	14	—	1	2	—	4	13	2	—	1	—	3	—	10	1	76	Mai
4.2	4.0	3.8	4.0	215	48	1	11	10	—	1	5	—	11	5	1	1	1	—	5	1	12	—	69	Juni
4.3	3.6	2.9	3.6	368	151	2	11	10	—	—	4	—	11	4	2	1	1	—	3	—	12	1	73	Juli
4.2	4.5	3.6	4.1	182	86	20	11	9	—	—	5	—	7	3	1	—	—	—	3	—	13	—	76	August
5.2	5.2	5.1	5.2	167	54	9	13	13	—	—	1	—	10	11	3	1	1	—	—	—	10	—	75	September
4.6	3.8	3.7	4.0	170	65	3	7	7	—	—	1	—	10	3	2	—	—	1	1	1	6	2	80	Oktober
3.8	3.7	3.6	3.7	154	68	21	6	6	—	—	—	—	13	7	1	—	—	—	—	—	—	—	89	November
6.1	5.3	5.3	5.6	104	27	20	9	9	5	—	—	1	9	13	3	—	—	—	2	—	3	1	84	Dezember
4.1	3.9	3.5	3.8	1716	151	VII	98	89	9	2	18	2	140	65	33	7	17	1	35	3	94	7	898	Jahr

Beobachter: **Osservatorio meteorologico Ticinese**

Locarno-Monti

2.9	3.0	2.8	2.9	23	12	30	5	4	2	—	—	2	17	3	9	15	6	1	3	8	6	11	34	Januar
2.7	2.3	2.6	2.5	22	16	17	5	2	4	—	—	—	17	1	13	6	6	4	4	9	4	11	27	Februar
2.1	1.7	1.3	1.7	3	3	26	1	1	—	—	—	—	23	1	13	7	3	2	8	18	6	6	30	März
2.3	2.5	2.5	2.4	49	38	30	3	3	—	—	2	—	16	3	7	8	6	3	12	14	10	7	23	April
6.5	6.0	5.8	6.1	269	59	27	18	12	—	1	1	1	5	13	4	8	6	1	8	11	9	11	35	Mai
4.0	3.4	3.9	3.8	204	48	1	11	10	—	—	5	—	11	5	5	5	5	1	5	15	8	12	34	Juni
4.7	4.5	3.5	4.2	318	135	2	12	9	—	—	5	2	10	3	10	7	6	1	11	12	3	18	25	Juli
4.8	4.2	4.0	4.3	165	94	20	9	7	—	—	4	—	9	2	11	8	5	2	11	11	4	12	29	August
5.9	5.1	5.5	5.5	166	55	9	14	12	—	—	—	1	8	10	3	5	2	2	4	9	6	9	50	September
4.5	3.3	3.7	3.8	157	65	3	7	7	—	—	1	—	10	3	7	3	3	3	6	9	7	11	44	Oktober
3.6	3.6	4.0	3.7	152	70	21	6	6	—	—	—	3	12	6	10	5	6	5	5	—	1	8	50	November
5.4	5.3	6.0	5.6	98	22	20	10	9	5	—	—	2	10	13	12	7	4	8	—	6	2	11	43	Dezember
4.1	3.7	3.8	3.9	1626	135	VII	101	82	11	1	18	11	148	63	104	84	58	33	77	122	66	127	424	Jahr

Beobachter: **G. Vicari**

Lugano

4.6	4.8	2.3	3.9	17	6	27	4	4	1	—	—	—	11	4	50	7	3	4	7	1	3	3	15	Januar
3.6	2.9	1.8	2.8	26	16	17	4	3	3	—	—	—	14	2	47	6	2	4	7	1	1	2	14	Februar
2.9	2.8	0.9	2.2	11	7	25	4	2	—	—	—	—	15	—	47	10	2	4	11	2	1	2	14	März
3.8	3.2	2.0	3.0	52	42	30	5	4	—	—	1	—	11	3	36	10	7	2	21	1	2	1	10	April
6.6	6.9	6.3	6.6	255	60	27	19	18	—	—	5	—	2	14	23	9	6	7	9	3	6	5	25	Mai
3.7	3.9	4.3	4.0	264	70	30	12	10	—	—	8	—	10	4	29	5	3	2	20	1	3	2	25	Juni
4.2	4.2	2.8	3.7	189	47	28	9	9	—	—	4	—	10	3	40	5	9	—	17	3	3	2	14	Juli
4.6	4.9	3.7	4.4	316	110	21	14	12	—	—	9	—	10	4	44	5	1	5	15	1	5	1	16	August
5.2	5.3	4.9	5.1	181	46	9	11	11	—	—	1	—	9	11	41	8	2	1	8	1	4	2	23	September
5.7	4.4	3.8	4.6	158	55	3	8	7	—	—	1	—	7	5	49	5	1	9	6	—	3	2	18	Oktober
4.6	4.0	4.8	4.5	150	55	21	6	6	—	—	—	1	11	7	46	8	1	1	9	1	5	1	18	November
6.5	5.6	5.6	5.9	108	35	20	11	8	6	—	—	—	7	14	42	11	2	2	6	4	5	4	17	Dezember
4.7	4.4	3.6	4.2	1727	110	VIII	107	94	10	—	29	1	117	71	494	89	39	41	136	19	41	27	209	Jahr

Beobachter: **P. Vassalli**

Monte Generoso

—	—	—	—	—	—	—	—	—	—	—	—	—	—	—	—	—	—	—	—	—	—	—	—	Januar
—	—	—	—	—	—	—	—	—	—	—	—	—	—	—	—	—	—	—	—	—	—	—	—	Februar
—	—	—	—	—	—	—	—	—	—	—	—	—	—	—	—	—	—	—	—	—	—	—	—	März
—	—	—	—	—	—	—	—	—	—	—	—	—	—	—	—	—	—	—	—	—	—	—	—	April
6.8	7.7	7.2	7.2	281	53	27	17	17	6	—	—	14	1	14	10	2	—	8	57	10	2	3	1	Mai
6.0	6.6	5.4	6.0	260	66	30	9	8	—	—	—	15	3	10	18	1	1	7	34	25	—	3	1	Juni
5.5	6.3	4.5	5.4	168	85	23	8	8	—	—	?	10	4	6	23	3	1	23	40	1	—	2	—	Juli
5.3	5.5	4.9	5.2	252	75	21	12	12	—	—	—	12	7	6	23	1	—	24	28	10	—	7	—	August
6.1	7.0	5.7	6.3	218	48	9	12	12	—	—	—	15	3	12	10	—	—	10	62	3	—	5	—	September
—	—	—	—	—	—	—	—	—	—	—	—	—	—	—	—	—	—	—	—	—	—	—	—	Oktober
—	—	—	—	—	—	—	—	—	—	—	—	—	—	—	—	—	—	—	—	—	—	—	—	November
—	—	—	—	—	—	—	—	—	—	—	—	—	—	—	—	—	—	—	—	—	—	—	—	Dezember
—	—	—	—	—	—	—	—	—	—	—	—	—	—	—	—	—	—	—	—	—	—	—	—	Jahr

Baden

$\lambda = 8^\circ 19'$, $\beta = 47^\circ 22'$, $H_b = 386.6^m$, $h_r = 1.5^m$. Beobachter: **Nordostschweiz. Kraftwerke**

1938	Luft-Temperatur 7^{30}	13^{30}	21^{30}	Mittel	Minimum	Tag	Maximum	Tag	Relative Feuchtigkeit 7^{30}	13^{30}	21^{30}	Mittel	Minim.	Tag	Bewölkung 7^{30}	13^{30}	21^{30}	Mitt.	Niederschlag Summe	Maxim.	Tag	Zahl der Tage ●	●* ≥1.0	*	▲	K	≡	helle	trübe
Jan.	0.1	3.1	1.0	1.3	-10.9	5	11.1	14	90	72	84	82	46	2	9.3	8.6	8.3	8.7	123	23	17	21	18	13	—	1	1	—	20
Febr.	-1.3	3.2	0.2	0.6	-5.8	21	8.1	28	88	63	80	79	30	21	8.2	5.5	6.0	6.6	39	12	10	9	7	6	—	—	6	4	14
März	2.0	13.1	5.4	6.5	-1.9	15	18.4	31	91	38	75	68	20	13.16	3.7	2.8	2.0	2.8	43	29	27	6	6	—	—	—	2	19	4
April	2.9	10.9	4.9	5.9	-1.2	11	20.8	2	82	37	67	62	20	1	5.4	5.2	3.5	4.7	10	2	30	9	5	4	—	—	1	6	8
Mai	8.7	15.9	10.3	11.3	1.5	2	25.6	27	79	48	75	67	14	14	6.6	6.2	5.0	5.9	98	21	19	17	15	—	—	—	1	6	11
Juni	15.5	22.0	16.2	17.5	8.2	2	30.5	25	80	48	80	69	26	8	5.0	4.2	4.7	4.6	123	24	13	12	12	—	—	3	—	7	7
Juli	15.3	22.2	16.1	17.4	11.1	3	29.9	31	88	51	89	76	30	22	6.3	5.3	5.5	5.7	163	25	2.4	13	12	—	—	2	4	6	10
Aug.	15.0	21.9	16.0	17.2	8.7	25	30.7	5	95	54	91	80	31	25	6.5	5.6	5.7	5.9	197	38	13	15	13	—	—	4	6	6	10
Sept.	12.2	19.2	13.7	14.7	8.1	17	23.0	23	96	56	92	81	42	8	8.9	4.6	5.2	6.2	52	22	30	8	7	—	-	1	14	1	9
Okt.	7.2	12.5	7.7	8.8	-0.4	23	20.9	10	92	61	92	82	34	12	8.1	5.5	4.7	6.1	39	9	28	11	8	1	—	—	9	5	11
Nov.	4.4	8.7	5.7	6.1	-1.5	27	14.3	5	93	70	90	84	42	26	8.7	6.8	7.3	7.6	32	8	22	8	8	—	—	—	11	—	15
Dez.	-2.6	-0.2	-2.5	-1.9	-14.6	22	8.8	1	86	72	84	81	49	24	9.3	8.4	8.5	8.7	53	11	3	12	10	9	-	-	4	1	23
Jahr	6.6	12.7	7.9	8.8	-14.6	XII	30.7	VIII	88	56	84	76	14	V	7.2	5.7	5.5	6.1	972	38	VIII	141	121	33	—	11	59	61	139

Muri

$\lambda = 8^\circ 20'$, $\beta = 47^\circ 16'$, $H_b = 483^m$, $h_r = 0.9^m$. Beobachter: **A. Müller**

1938	Luft-Temperatur 7^{30}	13^{30}	21^{30}	Mittel	Minimum	Tag	Maximum	Tag	Relative Feuchtigkeit 7^{30}	13^{30}	21^{30}	Mittel	Minim.	Tag	Bewölkung 7^{30}	13^{30}	21^{30}	Mitt.	Niederschlag Summe	Maxim.	Tag	Zahl der Tage ●	●* ≥1.0	*	▲	K	≡	helle	trübe
Jan.	-0.4	2.5	0.4	0.7	-12.3	4	10.6	14	94	79	89	87	55	10	8.7	8.1	7.6	8.1	112	?	—	20	19	8	—	—	2	—	18
Febr.	-2.1	1.7	-0.2	-0.2	-7.0	22	6.8	28	92	79	88	86	50	21	8.0	7.3	6.5	7.3	42	16	10	6	5	4	—	—	5	3	15
März	2.8	11.7	6.5	6.9	-2.0	14	16.3	31	96	73	82	84	45	22	3.5	2.6	2.8	3.0	46	27	27	3	3	1	—	—	—	19	5
April	3.5	9.5	4.7	5.6	-1.2	28	18.8	1	85	55	75	71	40	1.3	5.9	5.8	5.7	5.8	17	5	3	8	6	5	—	—	1	5	8
Mai	9.0	14.1	10.1	10.8	0.3	2	22.0	15.16 27	85	74	80	80	53	15.31	6.8	6.4	6.4	6.5	94	22	19	15	14	—	—	—	1	4	14
Juni	15.8	20.5	15.9	17.0	7.0	2	27.8	25	78	67	73	73	42	8	5.4	5.0	5.6	5.3	148	36	13	12	11	—	—	3	—	7	9
Juli	15.5	20.8	15.6	16.8	10.0	3	26.8	31	86	74	81	80	45	8	6.3	5.3	6.6	6.1	177	28	1	14	14	—	—	4	1	5	12
Aug.	15.0	20.1	15.9	16.7	8.0	27	27.4	4	85	76	82	81	50	25	6.5	5.6	5.9	6.0	146	34	20	12	11	—	—	3	2	6	13
Sept.	11.6	17.9	13.3	14.0	6.4	17	22.2	19	85	76	80	80	50	15	8.8	5.3	4.1	6.1	115	4	24	9	7	—	2	2	9	1	7
Okt.	6.8	11.4	8.1	8.6	-0.4	31	20.0	10	—	—	—	—	—	—	8.4	6.0	4.3	6.2	35	11	28	9	9	—	—	—	5	1	9
Nov.	3.6	7.6	4.8	5.2	-1.0	27	16.0	5	—	—	—	—	—	—	8.9	7.7	6.0	7.5	45	13	21	8	8	—	—	—	13	1	16
Dez.	-3.4	-0.8	-2.8	-2.4	-13.7	22	8.3	1	—	—	—	—	—	—	9.3	8.6	8.8	8.9	64	15	28	11	10	7	—	—	7	1	24
Jahr	6.5	11.4	7.7	8.3	-13.7	XII	27.8	VI	—	—	—	—	—	—	7.2	6.1	5.9	6.4	1041	40	IX	127	117	25	2	12	46	53	150

Rorschach (Mariaberg)

$\lambda = 9^\circ 30'$, $\beta = 47^\circ 29'$, $H = 455^m$, $h_r = 1.4^m$. Beobachter: **Seminar: J. Schenk**

1938	Luft-Temperatur 7^{30}	13^{30}	21^{30}	Mittel	Minimum	Tag	Maximum	Tag	Relative Feuchtigkeit 7^{30}	13^{30}	21^{30}	Mittel	Minim.	Tag	Bewölkung 7^{30}	13^{30}	21^{30}	Mitt.	Niederschlag Summe	Maxim.	Tag	Zahl der Tage ●	●* ≥1.0	*	▲	K	≡	helle	trübe
Jan.	0.6	2.8	1.0	1.3	-13.4	3	11.2	13.14	86	83	85	85	46	31	8.6	8.9	7.5	8.3	107	24	6	17	17	8*	—	1	4	—	21
Febr.	-1.6	1.4	-0.3	-0.2	-8.0	16	11.2	1	80	79	79	79	54	5.6	7.5	6.9	5.0	6.5	32	15*	10	6	4	5	1	1	2	2	9
März	3.4	8.7	6.9	6.5	-2.0	14	12.1	20	79	68	67	71	37	7	5.7	4.5	3.0	4.4	42	21	26	3	3	1	—	—	—	11	9
April	3.3	8.1	4.1	4.9	-0.6	11	19.4	3	71	67	64	67	35	19	6.2	6.2	5.2	5.9	56	30	29	7	7	2	—	-	2	5	10
Mai	8.9	13.6	10.2	10.7	1.7	1	23.2	27	72*	67*	65*	68*	?	—	6.4	5.1	4.7	5.4	122	33	19	12*	11*	—	—	1	1	7	8
Juni	15.8	21.0*	16.6	17.5*	7.7	3	27.2	26	72	67	66	68	38	18	6.1	5.2	5.2	5.5	146	?	—	12	11	—	—	1	—	2	7
Juli	16.3	19.7	16.5	17.3	10.6	3	26.6	26	73	63	71	69	32	7.8 26	7.6	5.8	5.9	6.4	170	40	2	15	15	-	—	2	2	2	10
Aug.	16.3	19.8	16.5	17.3	8.8	24	25.9	7	82	66	74	74	35	25	6.8	6.1	5.5	6.1	217	55	20	15	15	—	1	1	—	6	11
Sept.	12.9	16.1	13.4	14.0	7.4	17	20.4	29	90	75	84	83	52	28	8.5	5.1	3.6	5.7	101	34	30	7	6	—	—	1	2	—	7
Okt.	8.5	11.4	8.9	9.4	2.1	31	19.2	10	87	77	77	80	42	7	9.0	6.4	5.0	6.8	55	11	1	7	7	—	—	—	7	—	11
Nov.	4.8	7.2	6.2	6.1	1.2	28	15.6	21	89	84	84	86	33	21	8.5	8.7	7.7	8.3	24	8	22	6	6	—	—	—	16	—	21
Dez.	-1.8	-0.5	-1.1	-1.1	-10.8	23	8.0	1	87	81	82	83	54	3	9.5	9.2	8.5	9.1	72	18	28	10*	9*	8*	—	—	7	—	23
Jahr	7.3	10.8	8.2	8.6	-13.4	I	27.2	VI	81	73	75	76	?	—	7.5	6.5	5.6	6.5	1144	55	VIII	117	111	24	2	8	43	35	147

Schwäbrig (bei Gais)

$\lambda = 9^\circ 29'$, $\beta = 47^\circ 23'$, $H = 1152^m$, $h_r = 1.6^m$ Beobachter: **Fran Küng**

1938	Luft-Temperatur 7^{30}	13^{30}	21^{30}	Mittel	Minimum	Tag	Maximum	Tag	Relative Feuchtigkeit 7^{30}	13^{30}	21^{30}	Mittel	Minim.	Tag	Bewölkung 7^{30}	13^{30}	21^{30}	Mitt.	Niederschlag Summe	Maxim.	Tag	Zahl der Tage ●	●* ≥1.0	*	▲	K	≡	helle	trübe
Jan.	-2.6	-1.0	-2.1	-2.0	-16.2	4	10.0	25	83	80	81	81	22	25	7.7	7.6	6.9	7.4	140	19	29	19	19	18	—	1	2	3	17
Febr.	-3.2	-0.2	-2.3	-2.0	-10.2	15	6.2	6	78	67	74	73	26	8	4.9	4.5	4.5	4.6	71	17	11	10	10	9	—	—	5	12	8
März	2.9	6.7	3.7	4.2	-3.4	13.	13.1	31	66	55	62	61	31	4	3.8	3.9	3.4	3.7	83	40	27	6	6	3	—	—	2	16	8
April	-0.3	2.7	-0.7	0.2	-6.4	10.11	13.4	3	82	63	78	74	32	2	5.9	7.3	5.8	6.3	107	18	27	15	15	11	—	—	7	3	11
Mai	6.3	9.1	6.8	7.2	-2.4	1	17.4	16	80	69	78	76	35	14	6.9	6.7	5.7	6.4	131	35	24	14	14	5	—	—	10	5	15
Juni	12.7	15.4	12.4	13.2	2.0	3	24.1	25	75	67	76	73	35	1	5.5	6.1	5.7	5.8	184	49	2	13	13	—	—	3	6	6	8
Juli	13.3	15.2	12.0	13.1	5.4	2.3	22.3	8	82	77	86	82	35	8	5.7	6.9	6.2	6.3	246	46	2	15	15	—	—	2	6	8	14
Aug.	12.7	14.6	11.8	12.7	4.4	23	23.0	1	87	82	89	86	45	19	6.4	7.4	5.9	6.6	243	67	13	13	13	—	—	2	3	5	15
Sept.	11.1	13.6	10.6	11.5	3.4	16	19.1	29	85	81	85	83	36	17	5.7	6.1	3.8	5.2	96	38	15	9	7	—	—	—	5	10	9
Okt.	5.7	8.2	5.5	6.2	-3.0	24	17.2	10	90	85	90	88	43	9.16	6.4	6.0	4.9	5.8	71	24	3	9	9	2	—	—	5	7	13
Nov.	4.8	7.5	5.0	5.6	-1.2	27	15.0	14	77	73	77	76	27	26	5.1	4.8	3.9	4.6	44	16	22	5	5	1	—	—	2	11	8
Dez.	-3.5	-2.3	-3.5	-3.2	-16.2	18	11.0	12	89	88	88	88	35	8	8.2	8.5	6.7	7.8	121	22	5	14	13	14	—	—	9	1	16
Jahr	5.0	7.5	4.9	5.6	-16.2	I XII	24.1	VI	81	74	80	78	22	I	6.0	6.3	5.3	5.9	1537	67	VIII	142	139	63	—	8	62	87	142

$\lambda = 9° 8'$, $\beta = 47° 16'$, $H = 649^m$, $h_r = 1.9^m$.

Ebnat

Beobachter: **Frl. M. Kuratle**

1938	Luft-Temperatur								Relative Feuchtigkeit						Bewölkung				Niederschlag			Zahl der Tage							
	7^{30}	13^{30}	21^{30}	Mittel	Minimum	Tag	Maximum	Tag	7^{30}	13^{30}	21^{30}	Mittel	Minim.	Tag	7^{30}	13^{30}	21^{30}	Mitt.	Summe	Maxim.	Tag	● ✱	● ✱ ≥1.0	✱	▲	K	≡	helle	trübe
Jan.	-2.7	1.5	-1.5	-1.0	-19.0	4	8.4	13	87	72	89	83	40	25	6.7	7.0	6.9	6.9	207	28	29	19	19	11	—	1	1	4	14
Febr.	-4.7	1.9	-2.8	-2.1	-11.8	21	6.6	28	87	60	87	78	42	26	6.6	4.8	5.9	5.8	74	25	10	9	9	5	—	—	3	6	13
März	0.9	10.6	2.9	4.3	-5.0	13	17.6	31	89	48	84	74	30	6	3.7	3.2	2.8	3.2	82	38	27	6	3	3	—	—	—	16	5
April	0.9	8.2	2.3	3.4	-4.4	11.12	18.0	2	89	52	85	75	30	2	5.1	5.0	5.3	5.1	57	12	20	10	10	7	—	—	—	7	7
Mai	6.7	13.8	7.7	9.0	-3.6	2	22.6	16	84	56	85	75	30	14	5.9	5.5	5.2	5.5	174	39	19	15	12	3	—	—	—	9	12
Juni	14.0	20.6	14.3	15.8	5.0	2	28.0	25	80	54	86	73	28	1	4.2	4.5	5.1	4.6	115	22	13	13	11	—	—	2	—	8	7
Juli	13.6	20.1	14.2	15.5	8.6	2	28.8	8	81	55	89	75	32	8	5.5	5.5	5.2	5.4	173	26	16	16	14	—	—	2	—	6	8
Aug.	12.3	19.4	13.9	14.9	0.4	25	27.6	4	87	58	89	78	32	19	4.8	5.0	5.9	5.2	316	56	13	17	15	—	—	4	—	8	8
Sept.	8.8	17.9	11.0	12.2	3.6	17	23.4	25	93	59	91	81	40	26	4.6	4.2	3.4	4.1	107	23	24	11	10	—	—	1	—	11	5
Okt.	5.5	11.9	6.3	7.5	-2.0	31	18.6	16	91	61	89	80	35	9	6.1	4.9	5.0	5.3	77	25	4	12	11	1	—	—	1	8	6
Nov.	1.9	9.7	3.0	4.4	-4.8	28	15.5	6	90	60	91	80	38	4	4.0	3.5	3.4	3.6	51	19	22	7	7	—	—	—	2	11	3
Dez.	-4.5	-0.5	-3.9	-3.2	-16.4	27	12.2	12	87	73	85	82	32	11	7.0	6.8	6.3	6.7	98	19	5	12	12	11	—	—	—	2	10
Jahr	4.4	11.3	5.6	6.7	-19.0	I	28.8	VII	87	59	88	78	28	VI	5.3	5.0	5.0	5.1	1531	56	VIII	147	133	41	—	10	7	96	98

$\lambda = 8° 56'$, $\beta = 47° 16'$, $H = 912.3^m$, $h_r = 6.7^m$.

Wald-Hittenberg

Beobachter: **Sanatorium**

1938	7^{30}	13^{30}	21^{30}	Mittel	Minimum	Tag	Maximum	Tag	7^{30}	13^{30}	21^{30}	Mittel	Minim.	Tag	7^{30}	13^{30}	21^{30}	Mitt.	Summe	Maxim.	Tag	● ✱	● ✱ ≥1.0	✱	▲	K	≡	helle	trübe
Jan.	-1.3	0.4	-0.8	-0.6	-14.0	4	9.6	25	77	73	78	76	27	25	8.1	8.3	6.8	7.7	156	19	6	19	18	18	—	—	7	2	20
Febr.	-2.1	0.9	-0.8	-0.7	-8.6	16	6.3	6	74	66	71	70	38	6.26	5.4	5.5	4.8	5.2	64	15	12	9	8	9	—	—	3	8	11
März	4.3	8.9	5.9	6.3	-2.4	14	14.3	31	59	51	55	55	30	16	3.5	3.9	2.9	3.4	69	31	27	5	4	4	—	—	1	17	6
April	2.0	5.7	3.0	3.4	-3.8	22	15.2	2	70	54	65	63	36	3	6.0	6.5	4.1	5.5	70	13	4	14	13	13	1	—	1	4	9
Mai	8.3	12.5	8.9	9.6	0.0	1.2	19.6	14	76	60	67	68	29	14	6.3	6.5	6.2	6.3	128	28	24	15	13	3	—	—	9	5	12
Juni	13.8	18.2	15.0	15.5	5.6	2	27.8	28	73	59	70	67	32	1	4.5	5.3	5.6	5.1	179	30	13	13	12	—	—	6	1	7	9
Juli	13.9	18.0	14.1	15.0	7.7	3	25.3	8	75	62	72	70	29	8	5.8	5.3	5.1	5.4	248	49	1	17	17	—	—	2	5	8	10
Aug.	13.7	17.7	14.4	15.0	7.5	23	25.2	5	79	62	75	72	37	5	5.9	6.0	5.4	5.8	340	112	13	15	15	—	—	2	11	6	11
Sept.	11.3	16.0	12.5	13.1	6.2	16	19.9	27	79	67	77	74	49	28	5.7	6.0	3.0	4.9	85	27	30	9	8	—	1	2	4	3	4
Okt.	7.2	9.9	7.8	8.2	0.0	31	18.5	11	80	70	73	74	35	9	6.7	6.5	4.5	5.9	68	19	4	9	9	—	—	—	10	5	10
Nov.	5.6	8.7	6.8	7.0	0.5	28	13.2	8	65	62	65	64	28	26	5.6	5.4	3.1	4.7	35	11	23	7	6	—	—	—	5	8	8
Dez.	-2.4	-0.6	-1.8	-1.7	-11.2	19	12.8	12	75	70	75	73	30	11	8.4	8.6	5.2	7.4	101	22	5	15	13	14	—	—	8	1	15
Jahr	6.2	9.7	7.1	7.5	-14.0	I	27.8	VI	74	63	70	69	27	I	6.0	6.2	4.7	5.6	1543	112	VIII	147	136	61	2	12	65	74	125

$\lambda = 9° 0'$, $\beta = 46° 56'$, $H = 1189.5^m$, $h_r = 1.5^m$.

Braunwald (ob Linthal)

Beobachter: **Sanatorium**

1938	7^{30}	13^{30}	21^{30}	Mittel	Minimum	Tag	Maximum	Tag	7^{30}	13^{30}	21^{30}	Mittel	Minim.	Tag	7^{30}	13^{30}	21^{30}	Mitt.	Summe	Maxim.	Tag	● ✱	● ✱ ≥1.0	✱	▲	K	≡	helle	trübe
Jan.	-3.0	0.3	-2.4	-1.9	-17.4	4	8.2	25	79	71	75	75	33	25	7.6	7.7	6.1	7.1	276	47	11	17	15	14	—	—	3	3	15
Febr.	-3.5	1.5	-2.3	-1.6	-10.2	15	9.2	26	70	60	72	67	38	6.8.25	4.1	4.2	4.8	4.4	118	43	10	9	7	9	—	—	3	13	8
März	2.0	7.8	3.1	4.0	-4.0	13	11.2	25	63	51	65	60	30	15	4.0	3.9	3.1	3.7	99	42	27	4	4	4	—	—	1	15	8
April	0.5	5.6	0.4	1.7	-5.8	21	14.0	3	73	54	77	68	36	3	6.1	6.1	7.0	6.4	75	16	30	14	10	12	—	—	1	6	15
Mai	6.7	11.3	6.2	7.6	-3.4	1	18.8	26	75	60	76	70	31	15	7.1	7.5	7.0	7.2	123	30	20	17	13	4	—	—	5	2	15
Juni	13.0	17.3	12.2	13.7	2.2	2.3	22.4	22.25	78	64	82	75	41	1	5.5	5.6	5.6	5.6	156	40	2	18	15	—	—	1	8	6	10
Juli	13.2	16.7	12.2	13.6	6.3	1.3	23.0	31	79	67	85	77	37	7	7.1	7.0	6.1	6.7	214	55	1	18	17	—	—	1	8	3	14
Aug.	12.7	16.3	11.9	13.2	4.4	23	23.7	6	82	71	88	80	50	19	5.7	6.8	6.2	6.2	260	88	13	19	19	—	—	1	1	4	12
Sept.	9.9	14.6	10.4	11.3	4.8	6	18.2	26	80	67	81	76	42	27	5.3	6.3	5.6	5.7	64	11	15	12	11	—	—	—	6	6	10
Okt.	5.7	9.5	5.7	6.7	-3.0	31	16.8	10	76	70	82	76	38	25	5.7	5.5	5.4	5.5	99	17	1.4	13	12	2	—	—	4	7	9
Nov.	4.3	8.5	5.0	5.7	-0.3	18	13.4	8	64	56	65	62	24	26	5.2	4.5	4.1	4.6	22	12	22	7	5	1	—	—	2	10	6
Dez.	-2.8	-0.4	-3.0	-2.3	-14.8	26	11.7	12	73	69	77	73	32	5	5.8	5.5	5.8	5.7	108	28	31	14	11	13	—	—	8	1	16
Jahr	4.9	9.1	5.0	6.0	-17.4	I	23.7	VIII	74	63	77	71	24	XI	5.8	5.9	5.6	5.8	1614	88	VIII	162	139	59	—	3	50	76	138

$\lambda = 9° 26'$, $\beta = 46° 55'$, $H_b = 950^m$, $h_r = 1.5^m$.

Vättis

Beobachter: **F. W. Sprecher**

1938	7^{30}	13^{30}	21^{30}	Mittel	Minimum	Tag	Maximum	Tag	7^{30}	13^{30}	21^{30}	Mittel	Minim.	Tag	7^{30}	13^{30}	21^{30}	Mitt.	Summe	Maxim.	Tag	● ✱	● ✱ ≥1.0	✱	▲	K	≡	helle	trübe
Jan.	-3.9	-0.1	-3.4	-2.7	-19.4	4	10.2	15	81	69	82	77	12	15	7.8	7.1	6.5	7.1	132	22	29	16	14	13	—	—	—	5	19
Febr.	-6.3	0.8	-4.1	-3.4	-12.0	15	6.0	26	84	60	83	76	33	27	4.2	3.2	4.4	3.9	55	19	10	6	6	6	—	—	—	13	7
März	-0.4	8.3	1.2	2.6	-6.8	13	14.8	31	77	41	74	64	16	21	4.7	3.9	3.7	4.1	51	31	27	4	4	4	—	—	—	14	7
April	-1.3	6.1	0.6	1.5	-8.0	22	16.0	2	81	47	74	67	17	2	5.4	5.7	5.7	5.6	49	8	30	10	9	10	—	—	—	7	11
Mai	6.4	12.4	7.5	8.4	-4.6	2	19.8	14	72	46	68	62	14	14	5.5	6.4	6.9	6.3	79	14	22	15	12	3	—	—	—	5	13
Juni	13.4	19.3	12.5	14.4	1.2	3	27.0	25	68	47	78	64	22	1.4	4.4	4.3	6.6	5.1	142	36	2	14	14	1	—	2	—	7	7
Juli	13.1	18.8	13.0	14.5	6.6	2	25.5	26	76	51	81	69	22	8	5.6	5.7	6.3	5.9	131	42	2	14	13	—	—	1	—	8	13
Aug.	11.7	18.6	12.8	14.0	2.0	24	28.4	6	85	52	83	74	18	6	5.6	6.1	6.4	6.0	88	16	13	17	16	—	—	1	—	6	12
Sept.	9.5	17.0	10.6	11.9	4.5	16	22.5	13	79	49	79	69	32	25.28	4.2	5.4	4.4	4.7	28	6	15	9	8	—	—	—	—	8	7
Okt.	4.2	11.3	4.6	6.2	-4.6	25	17.8	7	86	56	85	76	15	7	5.1	3.9	3.8	4.3	48	12	3	11	9	1	—	—	—	11	6
Nov.	2.1	8.1	3.1	4.1	-3.0	1.28	14.4	11	77	53	77	69	12	26	4.7	3.6	3.7	4.0	26	13	21	5	4	1	—	—	—	10	5
Dez.	-2.7	-0.1	-2.4	-1.9	-15.4	26	12.4	12	75	66	74	72	12	8	8.7	6.8	6.3	7.3	69	20	31	13	11	12	—	—	—	2	14
Jahr	3.8	10.0	4.7	5.8	-19.4	I	27.0	VI	78	53	78	70	12	1/XI XII	5.5	5.2	5.4	5.4	898	42	VII	134	120	51	—	4	—	96	121

Werthenstein

$\lambda = 8° 6'$, $\beta = 47° 3'$, $H_b = 594.4^m$, $h_r = 1.5^m$. Beobachter: **D. Ineichen**

1938	Luft-Temperatur 7³⁰	13³⁰	21³⁰	Mittel	Minimum	Tag	Maximum	Tag	Relative Feuchtigkeit 7³⁰	13³⁰	21³⁰	Mittel	Minim.	Tag	Bewölkung 7³⁰	13³⁰	21³⁰	Mitt.	Niederschlag Summe	Maxim.	Tag	Zahl der Tage ●	●* >1.0	*	▲	K	≡	helle	trü
Jan.	-0.8	2.2	-0.2	0.3	-12.3	4	10.8	14	83	72	82	79	49	10	9.1	8.5	7.8	8.5	95	19	30	10	17	12	—	—	5	—	1
Febr.	-3.0	2.3	-1.1	-0.7	-8.5	17	8.6	28	84	68	82	78	40	26	6.7	6.4	6.1	6.4	36	13	10	8	8	7	—	—	1	6	10
März	2.0	13.0	4.9	6.2	-4.5	13.14	17.8	18.31	84	47	74	68	36	3	3.6	2.8	2.6	3.0	30	14	1	4	3	1	—	1	1	17	[illegible]
April	1.8	9.4	3.0	4.3	-2.0	11	20.5	2	82	49	76	69	32	19	5.4	6.0	4.3	5.2	29	9	29	8	6	6	—	1	—	4	[illegible]
Mai	7.8	14.1	8.5	9.7	-0.9	1	23.5	14	80	58	82	73	30	27	7.0	6.8	6.4	6.7	127	30	19	17	16	1	—	—	—	5	1
Juni	14.8	21.0	14.8	16.3	6.0	2	29.6	25	78	57	83	73	39	19	5.7	5.3	5.1	5.4	211	76	13	14	12	—	—	2	1	6	[illegible]
Juli	14.4	21.0	14.5	16.1	9.9	2, 5, 3	28.4	31	81	59	87	76	45	11.21 12.26	5.7	6.0	5.4	5.7	207	33	1	14	13	—	—	5	—	7	1
Aug.	14.0	20.8	14.4	15.9	7.0	24.25	30.2	5	86	58	87	77	38	4	6.2	6.0	6.1	6.1	260	62	31	16	13	—	—	3	1	6	1
Sept.	10.9	18.4	12.3	13.5	4.8	17	23.4	14.23	92	62	90	81	44	18	6.2	6.3	5.2	5.9	96	35	30	10	8	—	—	1	2	4	[illegible]
Okt.	6.3	12.3	6.9	8.1	-1.0	31	22.6	10	92	69	90	83	42	9	7.4	6.1	4.7	6.1	60	11	4	10	9	1	—	—	4	4	[illegible]
Nov.	2.5	8.8	4.6	5.1	-2.3	28	15.5	5	92	72	86	83	41	4	6.1	5.5	4.8	5.5	26	10	22	7	6	1	—	—	5	4	[illegible]
Dez.	-3.9	-1.1	-3.1	-2.8	-14.6	22	7.4	1	88	78	86	84	54	3	8.1	8.3	7.5	8.0	58	16	5	16	12	11	—	—	5	3	1
Jahr	5.7	11.9	6.6	7.7	-14.6	XII	30.2	VIII	85	62	84	77	30	V	6.4	6.2	5.5	6.0	1235	76	VI	143	123	40	—	13	25	66	13

Weggis

$\lambda = 8° 26'$, $\beta = 47° 2'$, $H = \text{ca. } 444^m$, $h_r = 1.5^m$. Beobachter: **Frau R. Zimmermann**

Jan.	0.6	3.0	1.6	1.7	-0.0	4	11.0	14	78	69	74	74	45	15	7.3	8.1	6.6	7.3	101	21	6	18	16	6	—	—	1	1	14
Febr.	ᵀ-1.5	*3.0	*0.5	*0.6	?	—	?	—	*80	*65	*75	*73	?	—	*7.0	*6.0	*6.5	*6.5	54	18	11	7	6	4	—	—	—	—	—
März	3.7	10.2	7.5	7.2	-1.5	14	15.1	31	81	51	60	64	35	15	3.2	2.2	3.0	2.8	40	19	1	3	3	—	—	—	—	17	4
April	4.2	10.0	5.2	6.1	0.0	10.11 21	18.0	3	72	46	64	61	34	3	4.2	4.5	5.0	4.6	58	19	29	8	7	4	—	—	—	8	6
Mai	9.4	15.0	11.0	11.6	3.0	1	22.4	15	71	53	66	63	20	6	6.9	4.4	5.7	5.7	155	33	19	16	14	—	—	6	1	4	9
Juni	16.2	21.6	16.4	17.7	7.8	3	28.0	9.22 25 29	67	52	72	64	39	9	4.8	4.2	5.2	4.7	176	38	13	14	13	—	—	3	—	6	7
Juli	16.1	21.8	16.0	17.5	10.0	2	29.5	8	70	51	76	66	27	8	5.1	4.4	5.2	5.9	240	53	24	15	15	—	—	1	—	8	7
Aug.	15.9	21.9	16.2	17.5	8.8	23	29.5	6	78	51	77	69	39	19	5.6	4.7	5.5	5.3	294	82	13	14	14	—	—	—	—	7	9
Sept.	12.8	18.1	14.0	14.7	9.5	17	21.5	22	81	57	80	73	40	21	5.6	4.7	3.8	4.7	146	40	30	12	10	—	—	—	1	9	5
Okt.	8.5	12.6	9.1	9.8	2.9	28	17.5	2.5	81	61	76	73	42	6	6.2	4.8	4.4	5.1	49	10	4	8	8	—	—	—	1	7	8
Nov.	*5.9	*9.0	*6.5	*7.0	?	—	13.9	5	*82	*65	*77	*75	?	—	*7.2	*4.4	*5.0	*5.5	25	?	—	7	6	—	—	—	4	6	10
Dez.	*-1.1	*0.5	*-0.7	*-0.5	?	—	?	—	*79	*65	*74	*73	?	—	*9.2	*8.3	*8.4	*8.6	63	?	—	13	12	*10	—	—	—	—	—
Jahr	7.6	12.2	8.6	9.2	-10.0	I	29.5	VII VIII	77	57	73	69	20	V	6.0	5.1	5.4	5.6	1401	82	VIII	135	124	24	—	10	8	73	79

Lungern

$\lambda = 8° 10'$, $\beta = 46° 48'$, $H = \text{ca. } 745^m$, $h_r = 1.7^m$. Beobachter: **O. Imfeld**

Jan.	-0.1	1.7	0.0	0.4	-12.0	4	12.3	25	80	77	82	80	21	25	9.4	8.3	7.9	8.5	164	30	30	17	16	6	—	—	2	—	22
Febr.	-1.5	1.6	-0.9	-0.4	-6.0	8	7.0	6	76	72	78	75	38	26	6.1	6.2	5.8	6.0	94	36	10	8	7	5	—	—	1	8	14
März	4.1	10.6	5.2	6.3	-4.0	4	17.4	21	59	45	55	53	22	16	4.0	3.1	2.7	3.3	58	27	27	4	4	1	—	—	—	15	6
April	2.2	6.5	3.0	3.7	-3.4	10	19.4	3	72	53	70	65	34	3.19	5.7	7.0	5.9	6.2	48	11	20	12	9	9	—	—	—	4	10
Mai	8.2	12.4	8.9	9.6	0.0	1	21.0	16	78	63	75	72	25	16	7.5	7.6	7.0	7.4	122	24	30	14	13	2	—	—	2	3	17
Juni	14.3	18.9	15.1	15.9	6.0	3	25.2	27	83	71	83	79	23	4	5.8	5.9	6.3	6.0	146	23	22	19	16	—	—	1	—	4	11
Juli	15.4	18.5	14.6	15.8	8.3	3	25.3	8	79	68	85	77	34	8	5.5	6.2	5.8	5.8	215	38	1	16	14	—	—	—	—	3	7
Aug.	14.2	18.3	14.1	15.2	6.0	24	26.3	5	88	72	87	82	51	19	6.2	7.5	6.9	6.9	204	43	13	19	15	—	—	1	—	2	14
Sept.	11.6	15.9	12.6	13.2	6.0	17	20.1	24	92	74	92	86	42	18	5.8	6.7	6.1	6.2	92	22	15	12	9	—	—	—	2	2	10
Okt.	7.3	10.9	7.7	8.4	0.0	28	20.0	10	88	75	87	83	48	10	7.0	5.9	6.1	6.3	67	20	4	10	10	2	—	—	8	3	12
Nov.	5.1	9.0	6.2	6.6	-0.4	28	14.3	13	78	67	77	74	42	8	5.5	5.1	4.0	4.9	39	17	22	6	6	—	—	—	2	8	8
Dez.	-2.0	0.0	-1.8	-1.4	-13.4	19	15.1	12	87	81	88	85	33	11.12	8.9	8.3	7.7	8.3	83	15	5	16	12	14	—	—	8	1	21
Jahr	6.6	10.4	7.1	7.8	-13.4	XII	26.3	VIII	80	68	80	76	21	I	6.4	6.5	6.0	6.3	1332	43	VIII	153	131	39	—	2	25	53	152

Gurtnellen

$\lambda = 8° 37'$, $\beta = 46° 44'$, $H = 742^m$, $h_r = 1.5^m$. Beobachter: **J. Meier**

Jan.	-1.1	1.2	-0.9	-0.4	-12.2	5	11.5	15	79	74	82	78	30	15	6.9	6.3	5.5	6.2	131	25	20	14	13	10	—	—	—	5	13
Febr.	-3.1	1.2	-1.4	-1.2	-9.4	15	4.6	28	80	69	82	77	48	25	4.3	4.0	4.6	4.3	78	24	12	7	7	7	—	—	2	11	8
März	3.3	9.4	5.1	5.7	-2.0	14	15.5	31	71	52	67	63	30	21	3.4	3.4	3.1	3.3	46	29	27	4	4	2	—	—	1	15	5
April	2.2	8.3	4.3	4.8	-3.6	22	17.5	3	75	52	72	66	33	3	4.3	5.1	4.7	4.7	38	13	30	9	8	5	—	—	—	6	4
Mai	8.3	13.2	10.3	10.5	-0.4	1	21.0	14	79	56	74	70	29	3	6.5	6.6	6.9	6.7	118	29	20	18	13	2	—	—	1	4	15
Juni	13.0	19.4	15.1	15.6	6.4	3	26.3	25	82	56	78	72	40	5	4.3	4.2	5.9	4.8	131	34	2	17	16	—	—	—	1	9	7
Juli	14.3	19.5	15.4	16.1	8.3	2	27.7	26	79	57	80	72	32	26	5.7	5.5	5.6	5.6	170	51	1	15	12	—	—	1	2	6	9
Aug.	13.8	19.4	15.6	16.1	6.1	24	28.2	5	83	58	79	73	40	22	4.9	5.8	5.6	5.4	81	27	13	15	12	—	—	—	—	6	9
Sept.	12.3	17.2	13.4	14.1	7.4	17	21.6	28	74	57	75	69	38	25	4.2	4.3	4.1	4.2	50	13	30	8	7	—	—	1	—	10	4
Okt.	7.4	11.2	8.4	8.9	-0.6	31	17.9	6	83	67	83	78	31	25	4.1	4.2	4.0	4.1	77	20	1	9	8	2	—	—	1	13	6
Nov.	5.2	8.8	5.6	6.3	0.0	1.28	15.2	11	73	64	74	70	24	26	3.2	3.2	3.7	3.4	22	6	22	9	7	—	—	—	1	16	5
Dez.	0.2	1.8	0.2	0.6	-11.0	26	13.8	13	74	69	79	74	25	8	6.6	7.3	5.1	6.3	70	17	31	13	13	11	—	—	2	5	13
Jahr	6.3	10.9	7.6	8.1	-12.2	I	28.2	VIII	78	61	77	72	24	XI	4.9	5.0	4.9	4.9	1012	51	VII	138	120	39	—	2	11	106	98

Andermatt

$\lambda = 8° 35', \beta = 46° 38', H = 1442^m, h_r = 1.5^m$.

Beobachter: **P. Engelhard**

1938	Luft-Temperatur 7³⁰	13³⁰	21³⁰	Mittel	Minimum	Tag	Maximum	Tag	Relative Feuchtigkeit 7³⁰	13³⁰	21³⁰	Mittel	Minim.	Tag	Bewölkung 7³⁰	13³⁰	21³⁰	Mitt.	Niederschlag Summe	Maxim.	Tag	Zahl der Tage ●	●* >1.0	*	▲	⌇	≡	helle	trübe
Jan.	-6.9	-3.6	-6.2	-5.6	-24.4	5	6.6	17	—	—	—	—	—	—	7.0	6.4	5.1	6.2	168	40	30	15	14	15	—	—	—	7	12
Febr.	-10.1	-1.2	-6.2	-6.0	-17.4	15	3.8	26	—	—	—	—	—	—	3.7	3.2	4.4	3.8	104	32	11	8	8	8	—	—	—	14	7
März	-3.9	4.9	-0.4	0.0	-10.0	13	10.0	19	—	—	—	—	—	—	4.2	3.5	2.4	3.4	52	27	27	4	4	4	—	—	1	14	5
April	-3.9	2.8	-1.3	-1.1	-12.6	22	13.2	3	—	—	—	—	—	—	4.5	4.1	3.4	4.0	55	20	30	9	7	8	—	—	4	5	8
Mai	3.8	8.0	4.7	5.1	-8.2	3	15.0	14	—	—	—	—	—	—	6.9	7.2	7.8	7.3	136	33	1	17	16	8	—	—	4	4	17
Juni	9.7	15.3	11.1	11.5	0.6	3	23.6	25	—	—	—	—	—	—	4.5	4.6	6.4	5.2	147	27	12	15	15	1	—	5	4	7	8
Juli	10.2	14.6	10.7	11.3	0.6	2	21.0	26	—	—	—	—	—	—	6.2	5.7	7.9	6.6	213	81	1	12	12	2	—	3	5	3	13
Aug.	10.2	14.3	10.9	11.4	1.4	24	23.0	5	—	—	—	—	—	—	5.4	6.5	7.5	6.5	102	22	20	19	15	—	—	—	5	5	14
Sept.	6.8	12.4	8.4	8.9	1.0	20	17.8	14	—	—	—	—	—	—	5.8	5.9	6.3	6.0	53	14	9	11	8	—	—	—	4	7	13
Okt.	2.0	8.5	3.8	4.6	-10.8	31	16.6	10	—	—	—	—	—	—	4.7	3.4	4.8	4.3	91	32	1	7	5	2	—	—	5	13	7
Nov.	-0.8	5.3	1.1	1.7	-8.8	1	11.0	6	—	—	—	—	—	—	4.1	3.1	3.4	3.5	34	10	21. 28	6	6	3	—	—	3	13	5
Dez.	-5.9	-2.7	-4.6	-4.5	-20.0	26.27	5.8	13	—	—	—	—	—	—	6.8	6.0	6.1	6.3	91	20	31	15	13	15	—	—	1	5	14
Jahr	0.9	6.5	2.7	3.1	-24.4	I	23.6	VI	—	—	—	—	—	—	5.3	5.0	5.5	5.3	1246	81	VII	138	123	66	—	8	36	97	123

Andermatt: Die Abendbeobachtung geschieht um 20ʰ 30.

Jura

La Brévine (La Ghâtagne)

$\lambda = 6° 38', \beta = 46° 59', H = \text{ca. } 1077^m, h_r = 1.5^m$.

Beobachter: **A. Pellaton**

Jan.	-4.1	-0.4	-2.8	-2.5	-21.6	5	7.4	15	90	82	92	88	33	15	7.7	8.0	7.2	7.6	208	46	29	20	20	16	—	—	1	3	19
Febr.	-10.6	0.5	-7.3	-6.2	-26.2	17	6.3	26	88	66	92	82	25	7	5.1	5.1	4.1	4.8	110	36	10	10	9	8	—	—	—	9	9
März	-4.8	7.7	-1.0	0.2	-11.9	9	13.9	31	89	44	92	75	24	7	2.6	3.4	2.3	2.8	37	16	27	5	5	2	—	—	2	15	4
April	-2.2	5.8	-0.8	0.5	-11.6	22	15.6	2	78	42	86	69	19	2	3.5	5.2	2.4	3.7	16	4	3	7	7	7	—	—	1	7	—
Mai	5.1	11.0	5.1	6.6	-1.8	1	20.4	16	83	52	87	74	22	13.14	6.4	7.5	6.3	6.7	109	24	30	16	16	3	1	—	1	3	13
Juni	11.8	17.0	10.4	12.4	3.7	3	26.4	25	75	48	80	68	21	18	5.6	5.7	5.3	5.5	136	57	12	15	13	—	—	4	1	4	8
Juli	10.7	17.1	11.5	12.7	6.8	6	24.5	31	86	50	85	74	29	30	5.8	6.8	5.2	5.9	158	38	4	14	14	—	—	1	—	4	11
Aug.	10.3	16.7	11.1	12.3	2.3	25.26	25.6	2.5	89	54	87	77	22	19	6.1	7.1	4.6	5.9	213	34	8	17	16	—	—	2	2	6	8
Sept.	7.3	15.6	9.0	10.2	-0.6	17	20.4	22	92	51	91	78	31	17.28	6.4	6.6	5.9	6.3	100	30	30	11	10	—	—	—	2	3	11
Okt.	2.0	10.4	4.7	5.5	-12.3	31	20.6	10	91	51	91	73	24	16	6.1	5.8	3.9	5.3	55	18	4	10	9	2	—	—	2	4	6
Nov.	0.4	9.2	2.3	3.6	-11.6	1	17.7	7	89	57	90	79	18	26	5.5	6.4	5.8	5.9	67	23	21	13	11	2	—	—	3	6	11
Dez.	-5.7	-1.0	-5.0	-4.2	-24.6	22	10.0	12	85	70	88	81	20	12	7.8	7.1	6.4	7.1	95	16	8	14	13	12	—	—	1	4	17
Jahr	1.7	9.1	3.1	4.3	-26.2	II	26.4	VI	86	56	88	77	18	XI	5.7	6.2	4.9	5.6	1304	57	VI	152	143	52	1	7	16	68	117

Cernier

$\lambda = 6° 54', \beta = 47° 4', H_b = 800^m, h_r = 1.7^m$.

Beobachter: **Ecole d'Agriculture**

Jan.	-1.5	1.7	-0.2	-0.1	-13.0	5	6.6	13	—	—	—	—	—	—	8.0	8.3	8.9	8.4	163	34	29	19	19	4	—	—	2	1	22
Febr.	-3.5	1.8	-1.8	-1.3	-8.4	17	5.0	28	—	—	—	—	—	—	5.4	4.9	4.4	4.9	50	14	10	6	6	1	—	—	3	10	8
März	3.8	10.0	3.7	5.3	-1.8	14	15.0	31	—	—	—	—	—	—	2.6	3.0	0.8	2.1	40	17	17	4	3	4	—	—	—	18	2
April	3.1	7.9	2.1	3.8	-3.0	21	17.6	1	—	—	—	—	—	—	2.8	4.8	2.6	3.4	12	?	—	6	4	9	—	—	—	12	3
Mai	8.0	13.2	8.1	9.4	0.2	2	20.0	16	—	—	—	—	—	—	6.4	6.7	6.0	6.4	77	18	30	14	10	1	—	—	—	5	11
Juni	14.1	18.5	13.7	15.0	7.2	3	26.0	25	—	—	—	—	—	—	4.4	5.2	5.0	4.9	193	41	12	14	12	—	—	1	—	6	7
Juli	12.9	18.3	13.6	14.6	8.6	10	25.8	31	—	—	—	—	—	—	4.5	6.0	4.8	5.1	174	29	1	16	13	—	—	—	—	8	8
Aug.	13.9	18.3	14.3	15.2	8.0	25	26.6	5	—	—	—	—	—	—	5.0	5.8	4.8	5.2	92	24	6	14	10	—	—	1	—	9	8
Sept.	11.0	16.0	12.0	12.7	7.8	16	20.6	14	—	—	—	—	—	—	6.9	6.2	5.9	6.3	63	19	3	12	9	—	—	—	—	3	10
Okt.	5.9	11.1	6.7	7.6	-2.2	31	19.0	10	—	—	—	—	—	—	5.2	4.8	4.6	4.9	41	11	4	12	9	2	—	—	4	8	10
Nov.	3.8	9.4	4.7	5.6	-1.8	1	15.4	6	—	—	—	—	—	—	4.9	4.9	4.0	4.6	82	34	21	7	7	—	—	—	—	11	8
Dez.	-3.4	-0.3	-2.6	-2.2	-15.4	22	8.6	14	—	—	—	—	—	—	7.8	7.3	7.7	7.6	76	21	1	14	13	10	—	—	4	3	19
Jahr	5.7	10.5	6.2	7.1	-15.4	XII	26.6	VIII	—	—	—	—	—	—	5.3	5.7	5.0	5.3	1063	41	VI	138	115	31	—	2	13	94	116

Mont Soleil

$\lambda = 7° 0', \beta = 47° 9', H = \text{ca. } 1200.^m, h_r = 1.5^m$.

Beobachter: **H. Kocher**

Jan.	-2.4	0.1	-2.7	-2.5	-14.4	4	12.0	30	86	81	85	84	16	25	4.6	8.3	6.6	4.9	167	23	17	21	11	16	—	—	5	6	8
Febr.	-4.1	0.7	-0.4	-2.7	-10.8	16	7.0	20	81	71	77	76	29	6.7	2.5	5.4	3.7	4.9	86	23	10	10	20	10	—	—	3	8	7
März	2.5	7.9	-1.0	3.5	-2.4	13.14	13.4	31	67	50	66	61	24	7	5.6	3.1	6.5	2.4	36	20	27	4	4	3	—	—	6	7	9
April	-0.1	4.8	3.4	0.2	-5.8	10	14.0	1	80	55	73	69	26	1	8.6	5.2	3.1	4.3	32	9	20	11	8	11	—	—	9	4	16
Mai	-0.1	10.3	6.2	7.1	-0.4	1	19.0	14	84	65	78	76	29	13.14	6.4	6.8	5.6	6.3	117	34	30	17	14	4	—	—	5	5	12
Juni	5.8	15.6	11.7	12.7	4.4	13	23.8	25	81	64	84	76	38	28	5.2	5.0	4.3	4.8	232	56	12	14	13	—	1	5	6	8	6
Juli	11.9	15.8	11.8	12.7	6.2	2.3	24.2	31	89	68	87	81	42	21	5.3	6.0	4.9	5.4	227	36	8	16	14	—	—	3	3	6	11
Aug.	11.6	5.9	11.6	12.8	6.6	31	25.2	5	87	73	91	84	40	5	5.3	6.4	4.6	5.4	162	43	13	14	13	—	—	2	1	7	7
Sept.	9.9	14.3	9.8	11.0	5.0	16	18.6	24.28	92	71	92	85	48	17	5.9	5.7	4.5	5.4	105	122	26	14	11	—	—	—	5	6	18
Okt.	5.1	9.5	5.3	6.3	-3.4	31	18.4	10	86	69	83	79	37	21	5.1	4.9	3.5	4.5	71	83	15	10	9	2	—	—	3	8	17
Nov.	4.0	8.2	4.4	5.2	-1.6	25	15.0	8	87	68	82	79	32	26	5.0	6.0	4.4	7.1	64	29	24	11	8	2	—	—	6	7	9
Dez.	-3.4	-0.9	-3.5	-2.8	-15.6	22	9.4	12	78	73	81	77	30	5	7.8	7.0	6.4	5.1	113	39	17	15	14	11	—	—	9	4	16
Jahr	4.4	8.5	4.7	5.6	-15.6	XII	25.2	VIII	82	77	82	77	16	I	5.7	5.8	4.5	5.3	1412	56	VI	157	139	59	1	10	49	89	110

Olten

$\lambda = 7^\circ 54'$, $\beta = 47^\circ 21'$, H_b = ca. 400^m, $h_r = 1.5^m$. Beobachter: **E. Naef**

1938	Luft-Temperatur 7^{30}	13^{30}	21^{30}	Mittel	Minimum	Tag	Maximum	Tag	Relative Feuchtigkeit 7^{30}	13^{30}	21^{30}	Mittel	Minim.	Tag	Bewölkung 7^{30}	13^{30}	21^{30}	Mitt.	Niederschlag Summe	Maxim.	Tag	Zahl der Tage ●	●* ≧1.0	*	▲	K	≡	helle	trübe
Jan.	0.0	2.9	0.9	1.2	-11.0	5	10.2	14	96	85	93	91	57	2	9.1	8.8	8.7	8.9	144	27	17	22	20	8	—	1	2	—	25
Febr.	-1.5	2.0	0.1	0.4	-7.0	22	8.4	1	90	74	85	83	45	21	8.9	6.3	5.9	7.0	50	24	10	9	7	4	—	—	4	3	15
März	1.7	12.9	6.3	6.8	2.6	14	18.0	31	92	51	80	74	35	12	3.7	3.2	3.0	3.3	18	7	27	6	4	1	—	—	1	13	5
April	2.8	10.7	5.8	6.3	0.8	28	20.2	2	90	52	73	72	36	1	5.9	6.4	5.3	5.9	17	5	3	10	7	3	—	—	2	2	5
Mai	8.9	15.8	11.2	11.8	0.0	3	23.4	27	88	58	81	76	31	14	7.7	6.7	5.9	6.8	111	17	17	17	15	—	—	1	5	3	12
Juni	14.9	22.0	17.0	17.7	6.0	4	30.6	25	84	59	83	75	39	8	5.8	5.7	4.9	5.5	158	38	13	16	13	—	—	2	4	4	7
Juli	15.4	22.2	17.0	17.9	11.4	3	29.4	31	89	61	87	79	44	21	6.9	6.0	5.7	6.2	184	33	4	15	14	—	1	4	7	3	9
Aug.	14.9	22.0	17.0	17.7	8.0	25	29.6	5	97	62	89	83	44	25	7.1	6.0	6.3	6.5	118	34	20	14	12	—	—	1	7	3	12
Sept.	11.9	19.4	14.4	15.0	5.0	17	23.0	28	99	65	95	86	52	22	9.5	5.6	5.9	7.0	55	19	30	11	8	—	—	—	17	1	10
Okt.	7.1	12.7	8.1	9.0	0.0	23	20.0	10	98	70	97	88	46	8	8.7	6.5	5.6	6.9	55	10	11	11	11	—	—	—	10	2	11
Nov.	4.5	8.3	6.1	6.2	1.0	27	14.0	5	99	86	97	94	55	26	9.3	8.5	8.4	8.7	47	12	21	9	9	—	—	—	19	—	24
Dez.	-2.5	0.0	-2.2	-1.7	-16.8	22	9.4	1	94	86	93	91	62	26	9.4	8.9	8.7	9.0	60	10	5	12	11	9	—	—	9	1	25
Jahr	6.5	12.7	8.5	9.0	-16.8	XII	30.6	VI	93	67	88	83	31	V	7.7	6.6	6.2	6.8	1017	38	VI	152	131	25	1	9	87	35	15

Liestal

$\lambda = 7^\circ 44'$, $\beta = 47^\circ 29'$, $H_b = 342^m$, $h_r = 1.5^m$. Beobachter: **O. Affolter**

Jan.	0.5	4.2	1.6	2.0	-12.8	5	13.6	13	85	67	79	77	40	25	9.0	8.1	8.0	8.4	110	14	17	22	20	6	—	1	3	—	21
Febr.	-1.8	3.6	0.3	0.6	-7.7	17.22	9.8	1	81	65	72	73	40	21	6.6	5.6	6.4	6.2	35	14	10	9	7	6	—	—	3	6	12
März	1.2	12.8	5.1	6.0	-3.9	14	17.4	31	86	43	65	65	25	13	4.2	3.6	2.8	3.5	17	11	26	3	3	—	—	—	1	13	7
April	1.9	10.4	3.4	4.8	-2.5	21	20.2	2	82	41	63	62	24	2	4.8	6.3	3.4	4.8	20	7	29	8	4	3	—	—	1	7	5
Mai	8.0	15.6	9.9	10.8	0.3	1	24.5	14	79	48	71	66	23	14	6.8	6.8	5.3	6.3	118	23	27	16	14	—	—	2	1	6	13
Juni	14.3	21.1	15.2	16.4	7.6	3	28.8	25	82	50	87	73	31	8	4.7	5.5	4.4	4.9	154	44	12	16	14	—	—	3	1	8	7
Juli	14.6	21.3	15.7	16.8	10.6	3	28.2	31	88	52	88	76	34	7	5.6	5.8	7.4	6.3	200	30	4	15	14	—	—	2	—	5	11
Aug.	14.1	20.9	15.4	16.5	7.8	25	29.0	5	92	54	91	79	35	24	5.2	5.9	5.8	5.6	161	41	20	12	11	—	1	2	1	9	12
Sept.	11.1	18.9	12.9	13.9	4.6	17	23.2	23	96	56	94	82	35	8	7.0	5.5	6.2	6.2	51	20	30	10	6	—	—	—	5	3	10
Okt.	6.1	12.3	6.6	7.9	-2.5	31	21.2	10	93	61	95	83	38	6.21 22	7.3	6.0	5.0	6.1	56	11	28	11	11	1	—	—	7	2	9
Nov.	3.9	9.9	5.7	6.3	-3.0	1	15.5	23	93	68	91	84	26	26	6.7	6.3	7.0	6.7	33	9	21	8	8	—			6	3	14
Dez.	-3.4	0.2	-2.7	-2.2	-17.0	22	8.3	1	87	72	84	81	45	26	8.9	8.4	7.9	8.4	60	17	5	13	10	10	—	—	4	1	23
Jahr	5.9	12.6	7.4	8.3	-17.0	XII	29.0	VIII	87	56	82	75	23	V	6.4	6.1	5.8	6.1	1015	44	VI	143	122	26	1	10	33	63	144

Rheinfelden

$\lambda = 7^\circ 47'$, $\beta = 47^\circ 33'$, $H = 283^m$, $h_r = 1.6^m$. Beobachter: **Frl. A. Hoffmann**

Jan.	0.8	4.4	2.0	2.3	-11.9	4	13.6	13	85	69	81	78	48	10	9.2	8.1	7.7	8.3	103	15	17	23	20	6	—	1	1	—	18
Febr.	-0.6	3.8	0.7	1.1	-6.1	21	9.2	26	82	64	83	76	44	26	6.4	5.6	5.9	6.0	34	9	10	9	7	4	—	—	4	7	13
März	2.5	13.2	5.6	6.7	-1.8	5	18.3	31	86	46	76	69	32	13	4.3	2.7	2.5	3.2	19	10	27	3	3	1	—	—	1	16	6
April	3.4	11.3	4.5	5.9	-0.7	12	20.2	2	77	44	73	65	31	2	4.3	4.9	3.7	4.3	12	6	3	4	3	1	—	—	1	6	2
Mai	9.9	16.8	10.5	11.9	1.8	1	24.3	14	74	48	74	65	28	13	6.3	5.8	4.9	5.7	88	17	17	14	14	—		—	—	6	10
Juni	16.0	22.5	16.1	17.7	9.3	2	29.7	25	70	49	76	65	35	7.8	4.8	4.4	3.8	4.3	111	39	12	12	9	—	—	—	—	10	6
Juli	16.0	22.8	16.5	18.0	11.4	3	29.1	31	77	51	84	71	35	21	5.8	5.0	5.9	5.6	184	40	4	14	14	—	—	2	2	6	11
Aug.	15.5	22.5	16.4	17.7	8.2	25	30.3	5	81	52	83	72	40	5	6.7	4.9	5.4	5.7	156	43	20	11	10	—	—	1	6	6	10
Sept.	12.3	20.2	13.4	14.8	8.0	17	24.7	24	85	56	87	76	45	7.25	7.7	4.2	4.8	5.6	74	32	30	9	7	—	—	1	8	3	8
Okt.	7.4	13.2	7.3	8.8	-0.5	31	21.7	10	90	60	89	80	38	6	8.1	4.7	4.6	5.8	60	14	10	11	11	1	—	1	11	3	7
Nov.	4.8	9.8	6.5	6.9	-0.7	1	15.8	5	89	67	85	80	42	26	4.4	5.6	6.2	5.4	27	7	21	9	7	—	—	—	7	4	12
Dez.	-2.4	0.8	-1.8	-1.3	-14.7	22	8.7	1.2	83	68	81	77	49	17.18 26	9.1	7.6	8.3	8.3	64	17	5	12	10	8	—	—	5	1	22
Jahr	7.1	13.4	8.1	9.2	-14.7	XII	30.3	VIII	82	56	81	73	28	V	6.4	5.3	5.3	5.7	932	43	VIII	131	115	21	—	6	46	68	125

Schaffhausen

$\lambda = 8^\circ 38'$, $\beta = 47^\circ 42'$, $H_b = 448^m$, $h_r = 1.5^m$ Beobachter: **G. Meyer**

Jan.	-0.9	2.1	0.4	0.5	-11.8	5	9.3	13	94	81	87	87	55	3	9.4	8.4	8.1	8.6	127	17	29	23	20	13	—	1	2	—	23
Febr.	-1.9	2.7	-0.1	0.2	-5.8	21.25	7.4	1	87	69	82	79	36	21	7.1	5.6	5.7	6.1	30	14	10	10	7	5	—	—	2	7	13
März	2.0	12.5	6.1	6.7	-3.0	15	17.3	31	88	48	66	67	35	13.16	2.6	2.3	2.9	2.6	25	12	27	5	4	1	—	—	1	20	4
April	3.0	9.7	4.5	5.4	-2.0	22	20.0	2	77	49	68	65	34	2	5.0	5.6	5.9	5.5	16	3	29	9	5	2	—	—	1	5	9
Mai	8.4	14.9	10.1	10.9	0.3	2	23.3	14	78	55	71	68	30	5	5.7	5.0	5.1	5.3	84	20	30	14	12	—	—	—	—	11	11
Juni	14.9	21.0	16.1	17.0	7.9	3	28.3	25	74	54	73	67	35	8	3.6	4.3	5.2	4.4	121	40	13	11	9	—	—	3	—	10	7
Juli	14.9	21.5	15.6	16.9	10.4	3	29.1	8	79	54	80	71	40	8	4.7	4.7	5.5	5.0	133	28	4	13	12	—	—	1	1	7	7
Aug.	14.5	21.5	15.6	16.7	9.2	22	28.5	6	85	57	83	75	43	2	5.9	4.5	6.3	5.6	108	24	20	16	15	—	—	1	—	8	12
Sept.	11.0	18.5	12.9	13.8	5.2	17	22.6	27	92	62	87	80	45	8	6.7	3.6	4.1	4.8	58	15	3	11	8	—	—	2	5	5	7
Okt.	6.3	11.9	7.0	8.1	-0.8	24	20.0	10	93	64	89	82	44	6	6.8	3.8	3.9	4.8	50	10	11	12	10	—	—	—	7	8	8
Nov.	3.3	7.4	5.0	5.2	-1.0	27	13.0	5	97	80	91	89	49	26	8.5	7.7	7.5	7.9	39	11	21	11	9	—	—	—	17	3	21
Dez.	-3.6	-0.9	-3.5	-2.9	-14.0	22	7.0	1	88	78	87	84	56	17	8.9	8.2	8.3	8.5	44	8	3	12	11	8	—	—	7	1	21
Jahr	6.0	11.9	7.5	8.2	-14.0	XII	29.1	VII	86	63	80	76	30	V	6.2	5.3	5.7	5.7	835	40	VI	147	122	29	—	8	43	85	143

Thun

$\lambda = 7° 37', \beta = 46° 46', H_b = 565^m, h_r = 1.9^m$.

Beobachter: **Eidg. Munitionsfabrik: E. Stucki**

1938	Luft-Temperatur 7³⁰	13³⁰	21³⁰	Mittel	Minimum	Tag	Maximum	Tag	Relative Feuchtigkeit 7³⁰	13³⁰	21³⁰	Mittel	Minim.	Tag	Bewölkung 7³⁰	13³⁰	21³⁰	Mitt.	Niederschlag Summe	Maxim.	Tag	Zahl der Tage ● *	●* >1.0	✳	▲	K	≡	helle	trübe
Jan.	-1.3	2.4	0.6	0.6	-14.6	5	9.3	14	84	70	80	78	36	10	8.4	7.7	8.3	8.1	68	14	20	10	10	5	—	—	2	—	18
Febr.	-2.5	2.6	-0.7	-0.3	-7.1	17	7.9	10	84	61	81	75	41	26	5.5	4.8	5.5	5.3	21	11	11	7	4	—	—	—	2	8	7
März	1.7	12.0	5.8	6.3	-2.7	14	16.9	31	90	42	67	66	25	15	2.1	2.5	2.1	2.2	8	7	26	2	1	—	—	—	—	19	2
April	2.0	9.9	5.1	5.5	-2.1	10	19.7	1	82	43	62	62	18	1	3.4	5.2	5.1	4.6	26	7	20	6	6	2	—	—	—	5	2
Mai	8.5	14.5	11.1	11.3	0.9	1.2	21.9	27	81	49	69	66	22	6	7.0	6.9	6.8	6.9	102	25	19	14	13	1	—	1	—	1	11
Juni	15.1	20.9	16.3	17.2	8.9	2	26.9	8	79	52	73	68	28	5.8	4.8	4.9	4.6	4.8	151	26	2	14	13	—	—	4	—	10	6
Juli	15.3	21.3	17.3	17.8	10.9	3.10	27.9	31	79	49	72	67	32	18	5.3	5.4	5.5	5.4	163	48	1	13	12	—	1	2	—	7	7
Aug.	14.9	21.1	16.5	17.2	7.9	24	28.9	5	86	48	80	71	31	22	5.4	5.4	6.4	5.7	204	36	20	17	16	—	—	4	—	4	9
Sept.	12.3	18.4	14.1	14.7	9.1	17	22.3	28	92	55	86	78	41	5.11 21.22	5.3	5.5	5.4	5.4	82	35	30	9	8	—	—	—	—	3	6
Okt.	6.6	12.4	7.8	8.7	-1.7	31	18.5	14	95	60	88	81	38	9	5.9	5.6	5.8	5.8	35	13	27	8	7	1	—	—	9	5	8
Nov.	2.5	9.1	4.5	5.2	-2.5	28	12.3	12	92	61	87	80	38	25	4.7	4.2	4.1	4.3	28	17	21	5	5	—	—	—	2	5	3
Dez.	-3.1	0.1	-2.6	-2.1	-17.1	22	7.4	2	90	75	84	83	52	4.5	7.6	7.3	8.0	7.6	45	15	5	9	9	7	—	—	5	—	16
Jahr	6.0	12.1	8.0	8.5	-17.1	XII	28.9	VIII	86	55	77	73	18	IV	5.5	5.5	5.6	5.5	933	48	VII	114	104	16	1	11	20	67	95

Heiligenschwendi

$\lambda = 7°41', \beta = 46°45', H_b = 1125^m, h_r = 1.4^m$.

Beobachter: **Sanatorium**

1938	Luft-Temperatur 7³⁰	13³⁰	21³⁰	Mittel	Minimum	Tag	Maximum	Tag	Relative Feuchtigkeit 7³⁰	13³⁰	21³⁰	Mittel	Minim.	Tag	Bewölkung 7³⁰	13³⁰	21³⁰	Mitt.	Niederschlag Summe	Maxim.	Tag	Zahl der Tage ● *	●* >1.0	✳	▲	K	≡	helle	trübe
Jan.	-1.1	1.5	-0.5	-0.1	-13.8	5	11.7	25	76	64	73	71	25	25	7.5	8.0	6.8	7.4	96	22	27	14	12	11	—	—	2	3	15
Febr.	-2.4	2.6	-0.6	-0.3	-7.6	16	7.5	8	69	55	71	65	37	26	4.9	5.3	5.4	5.2	68	39	11	8	7	8	—	—	3	8	10
März	2.9	9.7	5.3	5.8	-1.8	13.14	15.0	31	67	50	64	60	32	16	2.7	3.4	2.2	2.8	18	9	1	4	4	3	—	—	—	18	5
April	1.6	6.7	2.9	3.4	-3.6	11	16.2	2	73	51	68	64	30	2	3.8	5.8	4.3	4.6	38	11	3	8	6	8	—	—	—	6	4
Mai	6.7	10.3	7.9	7.9	-0.6	1	19.8	14	78	61	78	72	31	27	6.4	7.8	7.1	7.1	126	34	19	20	16	4	—	—	2	4	14
Juni	13.4	17.3	13.8	14.3	5.0	3	24.9	25	74	60	75	70	40	18	5.1	5.3	5.7	5.4	186	26	12	15	14	—	—	4	3	9	9
Juli	12.9	17.1	13.8	14.1	7.2	3	24.2	31	81	64	78	74	46	22	5.6	6.7	6.5	6.3	167	24	24	15	15	—	—	3	2	5	13
Aug.	13.0	17.2	13.9	14.3	7.6	23	26.1	5	83	64	81	76	42	22	5.9	6.3	6.9	6.4	281	45	30	16	15	—	—	1	7	5	13
Sept.	10.8	15.2	11.8	12.3	6.6	7	20.0	14	86	67	86	80	44	17	6.7	6.6	4.9	6.1	119	30	30	12	10	—	—	—	5	4	9
Okt.	6.5	10.3	7.3	7.8	-1.6	31	19.5	10	82	70	81	78	41	14	6.4	5.9	5.1	5.8	38	8	27	11	10	2	—	—	8	6	11
Nov.	4.6	9.8	5.8	6.5	-0.6	28	15.3	7	71	59	71	67	38	7	4.0	4.6	2.7	3.8	23	12	21	6	5	1	—	—	1	11	3
Dez.	-2.1	1.0	-1.7	-1.0	-11.7	22	13.5	16	75	67	76	73	36	5	7.6	7.8	5.2	6.9	76	19	28	15	14	15	—	—	2	3	12
Jahr	5.6	9.9	6.6	7.1	-13.8	I	26.1	VIII	76	61	75	71	25	I	5.5	6.1	5.2	5.6	1236	45	VIII	144	128	52	—	8	35	82	118

Heiligenschwendi: Die Abendbeobachtung geschieht um 20h 30.

Adelboden

$\lambda = 7° 35', \beta = 46° 30', H = ca. 1345^m, h_r = 1.5^m$.

Beobachter: **G. Gyger-Spori**

1938	Luft-Temperatur 7³⁰	13³⁰	21³⁰	Mittel	Minimum	Tag	Maximum	Tag	Relative Feuchtigkeit 7³⁰	13³⁰	21³⁰	Mittel	Minim.	Tag	Bewölkung 7³⁰	13³⁰	21³⁰	Mitt.	Niederschlag Summe	Maxim.	Tag	Zahl der Tage ● *	●* >1.0	✳	▲	K	≡	helle	trübe
Jan.	-2.6	1.1	-2.2	-1.5	-19.0	4	11.1	15	69	61	84	71	30	25	7.2	7.2	8.2	7.5	144	26	27	13	13	11	—	—	—	3	16
Febr.	-5.2	0.9	-3.2	-2.7	-14.0	15	7.2	7	69	58	88	72	30	24	4.4	4.3	3.8	4.2	44	18	12	6	6	6	—	—	—	13	7
März	0.7	7.8	2.1	3.2	-4.0	13	14.0	31	67	47	86	67	29	15	2.4	3.0	3.0	2.8	28	?	—	2	2	1	—	—	—	20	6
April	—	—	—	—	—	—	—	—	—	—	—	—	—	—	—	—	—	—	*40	—	—	*10	*8	*10	—	—	—	—	—
Mai	—	—	—	—	—	—	—	—	—	—	—	—	—	—	—	—	—	—	*95	—	—	*16	*13	*5	—	—	—	—	—
Juni	—	—	—	—	—	—	—	—	—	—	—	—	—	—	—	—	—	—	*160	—	—	*15	*14	—	—	—	—	—	—
Juli	13.9	17.9	14.6	15.3	6.8	24	24.8	26	64	53	85	67	29	7.8	4.7	5.8	7.4	6.0	218	48	3.24	*14	*14	—	—	2	1	1	15
Aug.	12.0	15.9	12.4	13.2	6.4	22	23.8	19	73	63	87	74	30	19	5.3	6.6	8.1	6.7	177	42	13	17	17	—	—	1	—	3	8
Sept.	8.8	14.0	9.5	10.4	6.1	2	18.1	11	70	52	84	69	32	16	4.0	5.6	6.8	5.5	*90	?	—	*10	*9	—	—	—	—	5	10
Okt.	5.0	10.7	6.1	7.0	-5.0	31	18.1	9	74	60	82	72	32	25	4.8	4.8	5.0	4.9	64	?	—	*10	*9	*2	—	—	2	10	6
Nov.	2.7	7.7	3.4	4.3	-2.0	1	13.4	7	71	52	72	65	26	7	3.7	4.4	4.1	4.1	40	18	22	6	6	2	—	—	—	12	6
Dez.	-3.4	0.1	-3.5	-2.6	-17.0	22.23	10.1	12	72	64	81	72	31	5	7.3	7.5	6.8	7.2	78	20	21	18	8	8	—	—	—	5	17
Jahr	—	—	—	—	—	—	—	—	—	—	—	—	—	—	—	—	—	—	1178	?	—	*127	*119	*45	—	—	—	—	—

Adelboden: III–V fehlen infolge Verlust des Beobachtungs-Tagebuches.

Château d'Oex

$\lambda = 7° 7', \beta = 46° 29', H = 1010^m, h_r = 1.5^m$.

Beobachter: **C. Delachaux**

1938	Luft-Temperatur 7³⁰	13³⁰	21³⁰	Mittel	Minimum	Tag	Maximum	Tag	Relative Feuchtigkeit 7³⁰	13³⁰	21³⁰	Mittel	Minim.	Tag	Bewölkung 7³⁰	13³⁰	21³⁰	Mitt.	Niederschlag Summe	Maxim.	Tag	Zahl der Tage ● *	●* >1.0	✳	▲	K	≡	helle	trübe
Jan.	-3.2	0.2	-2.4	-2.0	-18.6	4	7.0	25	87	74	82	81	50	10	6.0	7.9	6.1	6.7	127	30	30	14	14	10	—	—	1	5	15
Febr.	-6.8	0.0	-3.4	-3.4	-14.0	16	4.4	26.28	88	65	84	79	35	26	3.8	4.6	4.0	4.1	69	17	10.12	7	7	7	—	—	—	13	9
März	-0.1	9.0	2.8	3.6	-5.0	14	15.2	31	84	48	77	70	13	23	3.7	3.4	2.9	3.3	33	12	27	4	4	3	—	—	—	17	8
April	-0.2	8.1	1.9	2.9	-6.1	21	17.4	2	80	46	75	67	29	2	3.0	5.1	3.2	3.8	26	8	3	6	6	6	—	—	—	10	4
Mai	6.2	12.3	7.7	8.5	-0.8	2	19.4	16	84	53	82	73	28	3	6.4	7.8	6.3	6.8	127	36	30	20	16	3	—	—	—	1	13
Juni	12.3	19.3	13.3	14.5	5.4	13	26.8	25	82	51	82	72	28	1	5.2	5.2	5.0	5.1	158	44	12	13	13	—	—	2	—	7	6
Juli	12.5	18.7	13.9	14.8	7.0	3	25.4	31	83	55	83	74	34	6	5.4	6.0	4.9	5.4	145	24	5	11	11	—	—	4	—	5	5
Aug.	12.6	18.5	13.2	14.4	7.9	22	27.0	5	89	57	89	78	22	19	5.8	6.7	6.1	6.2	156	34	13	18	16	—	3	4	—	3	10
Sept.	9.8	16.2	11.5	12.2	6.4	17	20.2	14	91	60	92	81	42	7	6.5	6.1	5.1	5.9	80	27	30	11	8	—	—	—	1	3	8
Okt.	4.7	11.5	6.5	7.3	-1.1	25	22.5	10	95	60	93	83	29	10	5.5	4.1	4.5	4.7	51	15	4	12	9	2	—	—	1	9	6
Nov.	1.6	8.9	3.1	4.2	-3.8	28	13.4	6	91	59	90	80	36	7	4.8	4.7	3.5	4.3	104	29	21	11	11	2	—	—	—	9	6
Dez.	-4.1	0.1	-3.2	-2.6	-16.2	24	9.6	12	83	68	86	79	30	31	7.0	6.7	5.4	6.4	77	18	28	12	10	12	—	—	2	5	11
Jahr	3.8	10.2	5.4	6.2	-18.6	I	27.0	VIII	87	58	85	76	13	III	5.3	5.7	4.7	5.2	1153	44	VI	139	125	45	3	10	5	87	101

Marsens

$\lambda = 7°4'$, $\beta = 46°39'$, $H_b = 727^m$, $h_r = 1.5^m$.

Beobachter: **M. Galley**

1938	Luft-Temperatur 7³⁰	13³⁰	21³⁰	Mittel	Minimum	Tag	Maximum	Tag	Relative Feuchtigkeit 7³⁰	13³⁰	21³⁰	Mittel	Minim.	Tag	Bewölkung 7³⁰	13³⁰	21³⁰	Mitt.	Niederschlag Summe	Maxim.	Tag	Zahl der Tage ●*	●* ≥1.0	✱	▲	K	≡	helle	trü[be]
Jan.	-2.2	1.4	-0.7	-0.6	-19.6	5	7.8	17	93	85	92	90	59	25	7.4	8.3	6.8	7.5	116	20	29	16	16	9	—	—	2	1	1[illegible]
Febr.	-4.2	2.1	-1.4	-1.2	-10.2	22	6.4	5	94	80	93	89	64	25	5.8	5.7	4.5	5.3	45	11	11	7	7	6	—	—	2	8	10
März	1.1	11.1	4.7	5.4	-5.2	14	15.6	31	92	69	85	82	52	15	2.8	2.9	2.2	2.6	29	9	27	4	4	1	—	—	—	2	17
April	0.5	8.7	3.6	4.1	-4.2	21	18.0	2	92	69	83	81	57	19	4.1	4.7	3.1	4.0	28	6	3	7	6	5	—	—	1	7	4
Mai	8.0	13.6	9.4	10.1	1.2	1	19.8	14	94	76	89	86	58	8	7.1	7.7	7.5	7.4	110	26	19	15	15	1	—	1	1	2	17
Juni	13.9	20.3	15.2	16.1	8.4	3	27.2	25	92	72	86	83	55	17	4.6	4.6	4.9	4.7	194	55	9	13	12	—	1	5	1	7	[illegible]
Juli	14.2	20.2	15.5	16.4	10.2	3	24.6	29	92	73	90	85	60	10	5.6	5.8	5.7	5.7	168	27	1	13	13	—	—	3	—	5	[illegible]
Aug.	14.4	19.9	15.4	16.3	4.8	24	27.6	4	93	75	90	86	60	22	6.4	6.5	6.4	6.4	178	58	20	14	13	—	—	3	—	4	13
Sept.	10.8	16.6	12.2	12.9	7.0	13	20.4	14	97	79	96	91	63	7	7.0	6.3	5.2	6.2	121	44	30	7	7	—	—	1	—	3	9
Okt.	6.0	12.0	7.6	8.3	-2.0	31	20.2	9	96	81	94	90	65	14	6.9	6.4	4.9	6.1	60	17	4	11	10	2	—	—	5	6	11
Nov.	2.9	10.0	4.6	5.5	-2.4	1.28	14.2	5.8	96	81	93	90	68	4.26	5.6	5.3	4.0	5.0	75	?	—	8	8	—	—	—	2	7	7
Dez.	-3.7	-0.3	-3.1	-2.6	-17.8	22	8.0	1	95	90	95	93	75	15	7.8	7.5	6.9	7.4	69	20	5	11	11	9	—	—	6	1	17
Jahr	5.1	11.3	6.9	7.6	-19.6	I	27.6	VIII	94	77	91	87	52	III	5.9	6.0	5.2	5.7	1193	58	VIII	126	122	33	1	13	20	53	13

Romont

$\lambda = 6°55'$, $\beta = 46°41'$, $H_b = 764^m$, $h_r = 1.5^m$.

Beobachter: **Couvent des Capucins**

1938	Luft-Temperatur 7³⁰	13³⁰	21³⁰	Mittel	Minimum	Tag	Maximum	Tag	Relative Feuchtigkeit 7³⁰	13³⁰	21³⁰	Mittel	Minim.	Tag	Bewölkung 7³⁰	13³⁰	21³⁰	Mitt.	Niederschlag Summe	Maxim.	Tag	Zahl der Tage ●*	●* ≥1.0	✱	▲	K	≡	helle	trü[be]
Jan.	-1.6	1.1	-0.5	-0.4	-14.8	4	6.6	17	88	77	85	83	41	25	7.1	7.6	6.3	7.0	106	16	30	21	17	15	—	—	2	2	15
Febr.	-3.3	0.8	-1.4	-1.3	-8.1	17	6.0	28	88	74	85	82	51	26	5.4	5.6	4.9	5.3	36	10	10	9	7	7	—	—	2	9	10
März	2.0	9.3	5.0	5.3	-3.4	14	13.4	31	79	56	70	68	40	16	2.4	2.2	1.0	1.9	17	7	26	5	3	2	—	—	1	23	2
April	0.7	8.2	3.3	3.9	-4.8	21	15.6	2	85	51	71	69	36	2	2.6	3.1	1.7	2.5	11	3	21	6	4	5	—	—	2	13	1
Mai	7.3	13.2	9.1	9.7	0.0	1	19.4	16	86	58	79	74	37	13	7.1	7.0	7.4	7.2	86	19	6	17	14	3	—	—	2	5	15
Juni	13.7	19.2	15.1	15.8	6.8	2	27.3	25	83	59	79	74	44	5	4.6	4.5	4.6	4.6	147	47	12	12	11	—	—	4	—	9	6
Juli	13.6	19.5	15.3	15.9	9.0	2	24.0	30	87	60	82	76	39	22	5.1	5.3	5.0	5.1	151	25	1	12	12	—	—	3	1	8	9
Aug.	13.4	19.2	15.0	15.6	6.2	24	26.5	5	88	61	84	78	41	22	5.7	5.8	4.6	5.4	129	42	20	11	10	—	—	3	3	7	9
Sept.	10.9	16.5	12.4	13.0	7.1	5	19.1	14	94	66	90	83	52	5.7	6.5	6.3	5.0	5.9	111	50	30	9	8	—	—	—	1	5	11
Okt.	6.3	10.6	7.4	7.9	-1.5	31	18.0	10	93	73	90	85	46	27	6.6	5.5	4.4	5.5	54	15	4	13	10	2	—	—	7	5	9
Nov.	3.5	8.3	5.3	5.6	-0.9	28	13.0	5	88	72	85	82	45	8	5.0	5.0	4.4	4.8	44	13	20	7	7	1	—	—	2	9	8
Dez.	-3.2	-0.7	-2.6	-2.3	-14.0	22.23	8.0	13	88	80	88	85	58	5	8.0	7.3	6.8	7.4	62	13	19	16	15	11	—	—	6	5	18
Jahr	5.3	10.4	7.0	7.4	-14.8	I	27.3	VI	87	66	82	78	36	IV	5.5	5.4	4.7	5.2	954	50	IX	139	118	46	—	10	29	100	11

Siders

$\lambda = 7°32'$, $\beta = 46°18'$, $H_b = 572.7^m$, $h_r = 1.5^m$.

Beobachter: **Hôpital d'Arrondissement**

1938	Luft-Temperatur 7³⁰	13³⁰	21³⁰	Mittel	Minimum	Tag	Maximum	Tag	Relative Feuchtigkeit 7³⁰	13³⁰	21³⁰	Mittel	Minim.	Tag	Bewölkung 7³⁰	13³⁰	21³⁰	Mitt.	Niederschlag Summe	Maxim.	Tag	Zahl der Tage ●*	●* ≥1.0	✱	▲	K	≡	helle	trü[be]
Jan.	-2.5	0.5	-1.7	-1.4	-15.2	5	7.1	15	78	65	70	71	36	22	6.1	5.5	6.8	6.1	52	17	30	14	12	7	—	—	—	5	11
Febr.	-3.6	1.6	-2.2	-1.6	-8.9	15	7.2	28	79	56	65	67	34	26	3.1	3.8	3.2	3.4	18	5	17	7	4	*7	—	—	—	12	2
März	2.8	12.0	4.5	5.9	-1.4	14	17.2	22	75	48	57	60	34	25	2.6	2.3	1.7	2.2	6	4	27	2	2	—	—	—	—	21	3
April	3.5	13.1	4.5	6.4	0.2	11	19.9	3	74	40	50	55	28	21	2.2	3.0	2.0	2.4	1	1	29	1	1	—	—	—	—	14	1
Mai	9.3	17.2	11.2	12.2	2.4	2	25.0	14	74	47	58	60	28	3	5.7	6.1	5.7	5.8	39	11	28	8	6	—	—	—	—	4	9
Juni	15.2	22.4	17.4	18.1	9.0	13	29.5	29	72	49	61	61	28	28	3.8	3.5	3.6	3.6	64	15	11	10	9	—	—	—	—	11	3
Juli	15.7	24.1	17.5	18.7	11.0	4	28.9	22	81	54	66	67	28	1	3.9	4.1	3.8	3.9	97	26	5	11	8	—	—	—	—	10	2
Aug.	14.7	23.3	16.9	18.0	9.9	25	30.4	5	78	43	61	61	33	19	4.5	4.3	4.5	4.4	79	23	27	10	8	—	—	—	—	11	5
Sept.	11.9	19.9	15.9	15.9	8.1	11	22.9	29	79	44	55	59	30	8	4.4	5.0	4.4	4.6	33	6	10	7	5	—	—	—	—	9	5
Okt.	7.4	12.9	9.1	9.6	-0.8	31	17.3	11	84	54	67	68	40	2.7	5.3	3.6	4.0	4.3	36	18	4	7	5	—	—	—	—	10	7
Nov.	3.0	8.0	4.4	4.9	-1.0	1	12.0	5	75	55	62	64	40	2	4.2	4.1	2.7	3.7	34	14	22	6	5	—	—	—	—	12	4
Dez.	-1.1	2.3	-0.3	0.2	-13.4	27	14.2	12	72	61	60	64	29	12	6.7	6.7	6.1	6.5	27	12	30	8	5	5	—	—	—	4	12
Jahr	6.4	13.1	8.1	8.9	-15.2	I	30.4	VIII	77	51	61	63	28	IV/V VI/VII	4.4	4.3	4.0	4.2	486	26	VII	91	70	19	—	—	—	123	64

Leukerbad

$\lambda = 7°37'$, $\beta = 46°23'$, $H_b = 1415^m$, $h_r = 1.1^m$

Beobachter: **Schw. G. Gränicher**

1938	Luft-Temperatur 7³⁰	13³⁰	21³⁰	Mittel	Minimum	Tag	Maximum	Tag	Relative Feuchtigkeit 7³⁰	13³⁰	21³⁰	Mittel	Minim.	Tag	Bewölkung 7³⁰	13³⁰	21³⁰	Mitt.	Niederschlag Summe	Maxim.	Tag	Zahl der Tage ●*	●* ≥1.0	✱	▲	K	≡	helle	trü[be]
Jan.	-3.9	-0.1	-3.4	-2.7	-16.2	4.5	7.0	17 24.25	75	58	74	69	26	25	6.0	6.2	5.7	6.0	174	32	29	16	16	15	—	—	—	7	12
Febr.	-4.9	1.6	-3.1	-2.4	-12.0	14.15	7.0	26	58	40	61	53	18	26	3.0	3.6	3.5	3.4	45	19	10	6	5	6	—	—	2	14	6
März	0.4	7.6	2.4	3.2	-3.3	14	12.0	31	53	35	46	45	15	4	2.4	2.8	1.8	2.3	40	25	27	3	3	3	—	—	—	19	3
April	-1.3	5.7	0.8	1.5	-7.0	11	15.0	1	57	37	50	48	22	9	2.4	3.9	3.2	3.2	18	6	20	5	5	5	—	—	—	11	3
Mai	5.6	10.5	5.9	7.0	-2.2	1	17.0	14	65	43	59	56	18	14.15	5.9	7.2	5.4	6.2	63	24	30	14	13	6	—	—	7	5	11
Juni	12.7	17.6	11.7	13.4	4.2	13	24.0	25	62	45	64	57	16	17	3.4	3.9	4.7	4.0	82	22	11	10	8	—	—	4	6	11	5
Juli	12.5	17.8	12.1	13.6	5.0	5	23.2	31	69	44	73	62	28	26	4.6	5.1	4.0	4.6	139	25	1	11	11	—	—	4	7	9	5
Aug.	12.3	17.6	11.8	13.4	4.2	24	25.0	5	77	49	75	67	21	19	4.4	5.5	5.1	5.0	149	24	20	12	11	—	—	4	5	8	7
Sept.	8.7	14.6	9.4	10.5	5.0	6.7	18.0	28	80	47	79	69	31	6	4.3	5.8	4.3	4.8	54	17	30	9	7	—	—	—	6	10	6
Okt.	4.4	10.5	5.5	6.5	-3.3	29.31	19.0	13	83	58	81	74	26	25	4.3	4.2	3.5	4.0	57	25	4	10	10	1	—	—	8	13	6
Nov.	2.1	7.4	3.3	4.0	-2.2	25	13.0	7	65	46	63	58	19	7	4.2	4.0	2.7	3.6	61	28	22	6	5	4	—	—	1	14	6
Dez.	-3.3	0.0	-3.4	-2.5	-14.3	23	8.3	10	71	54	72	66	25	12	6.8	6.6	4.3	5.9	63	14	31	12	9	12	—	—	5	3	8
Jahr	3.8	9.2	4.4	5.5	-16.2	I	25.0	VIII	68	46	66	60	15	III	4.3	4.9	4.0	4.4	945	32	I	114	103	52	—	12	47	124	78

Grächen

$\lambda = 7^\circ 51'$, $\beta = 46^\circ 12'$, $H_b = 1629^m$, $h_r = 1.5^m$. Beobachter: **St. Venetz**

1938	Luft-Temperatur								Relative Feuchtigkeit						Bewölkung				Nieder-schlag			Zahl der Tage							
	7^{30}	13^{30}	21^{30}	Mittel	Minimum	Tag	Maximum	Tag	7^{30}	13^{30}	21^{30}	Mittel	Minim.	Tag	7^{30}	13^{30}	21^{30}	Mitt.	Summe	Maxim.	Tag	●*	●* ≧1.0	*	▲	⚿	≡	helle	trübe
Jan.	−5.9	−1.7	−5.2	−4.5	−18.4	5	8.9	25	—	—	—	—	—	—	5.5	5.5	4.4	5.1	*40	?	—	*10	*10	*10	—	—	—	6	6
Febr.	−6.2	0.6	−4.0	−3.4	−12.9	14	6.2	7	—	—	—	—	—	—	4.1	4.0	3.5	3.9	17	9	17	2	2	2	—	—	—	12	4
März	−0.6	6.4	2.1	2.5	−3.9	13	11.7	31	—	—	—	—	—	—	2.9	2.2	1.4	2.2	5	5	27	1	1	1	—	—	—	18	2
April	−2.2	5.3	0.6	1.1	−9.3	22	14.9	2	—	—	—	—	—	—	3.8	4.0	6.0	4.6	0	0	0	—	—	—	—	—	—	10	1
Mai	3.4	8.3	5.0	5.4	−4.2	1	16.0	31	—	—	—	—	—	—	7.0	7.3	6.6	7.0	64	14	21	9	9	7	—	—	10	3	13
Juni	10.1	16.6	12.0	12.7	2.1	3	24.8	25	—	—	—	—	—	—	4.7	4.8	5.4	5.0	76	27	12	8	8	—	—	—	—	8	6
Juli	10.4	16.2	12.7	13.0	2.9	4	23.0	31	—	—	—	—	—	—	6.1	6.5	5.8	6.1	78	31	1	9	9	—	—	—	—	4	9
Aug.	9.9	16.0	11.6	12.3	3.1	24	22.8	1	—	—	—	—	—	—	5.9	5.7	6.7	6.1	68	22	27	7	7	—	—	—	—	2	8
Sept.	7.4	12.6	9.5	9.7	4.1	6.10	16.3	14	—	—	—	—	—	—	5.5	5.7	5.5	5.6	67	40	9	5	5	—	—	—	—	6	6
Okt.	4.3	9.8	5.4	6.2	−4.5	28	17.1	10	—	—	—	—	—	—	5.7	4.0	4.5	4.7	41	19	27	4	4	2	—	—	—	9	7
Nov.	0.9	6.7	2.2	3.0	−4.1	27	10.9	12	—	—	—	—	—	—	3.7	3.7	2.9	3.4	27	12	29	6	6	4	—	—	—	14	4
Dez.	−5.2	−2.2	−4.7	−4.2	−15.1	26	5.8	13	—	—	—	—	—	—	6.5	6.7	6.0	6.4	19	8	21	5	5	5	—	—	—	4	12
Jahr	2.2	7.9	3.9	4.5	−18.4	I	24.8	VI	—	—	—	—	—	—	5.1	5.0	4.9	5.0	502	40	IX	66	66	31	—	—	10	96	78

Zermatt

$\lambda = 7^\circ 45'$, $\beta = 46^\circ 8'$, $H_b = 1610^m$, $h_r = 0.8^m$. Beobachter: **G. Brantschen**

Jan.	−7.5	−0.9	−6.6	−5.4	−20.0	3.4	8.0	17	72	55	73	67	41	28	4.5	4.3	4.8	4.5	38	11	30	14	9	14	—	—	—	7	4
Febr.	−9.5	1.6	−7.0	−5.5	−16.0	15	6.2	7.8	68	43	67	59	31	7	2.2	3.1	2.2	2.5	33	15	12	7	4	7	—	—	1	15	3
März	−3.1	7.5	0.1	1.1	−6.2	3.14 15	14.0	31	72	45	66	61	34	14	2.3	2.1	1.0	1.8	14	12	27	3	2	3	—	—	—	20	1
April	−3.1	7.9	0.0	1.2	−8.3	11	15.1	1	70	39	62	57	29	3.12	1.9	3.8	2.5	2.7	4	2	30	4	1	3	—	—	—	13	—
Mai	3.4	10.4	4.5	5.7	−6.0	3	17.4	12	76	53	71	66	30	13	5.9	6.8	5.6	6.1	74	18	28	14	11	6	—	—	1	2	7
Juni	9.6	18.9	10.0	12.1	2.3	3	25.0	25	71	46	73	63	29	8	3.2	3.9	4.5	3.9	77	18	2	16	13	1	—	—	3	9	4
Juli	9.9	18.1	10.3	12.2	5.0	4.11	25.1	31	76	49	74	66	34	29	4.2	4.6	4.6	4.5	65	28	1	10	10	—	—	—	5	7	5
Aug.	8.2	18.0	10.2	11.7	2.0	24.25	25.0	1	83	50	77	70	31	5	3.9	4.8	6.0	4.9	90	27	24	17	13	—	—	1	3	9	6
Sept.	4.4	14.6	7.5	8.5	1.0	6.8 9.10	19.0	13.22	87	53	80	73	35	11.17	4.4	4.5	4.4	4.4	62	24	9	9	7	2	—	—	2	9	5
Okt.	1.5	11.9	2.9	4.8	−8.0	31	18.4	10.15	82	47	78	69	23	8	4.4	2.8	3.7	3.6	36	16	27	6	5	2	—	—	1	13	5
Nov.	−1.9	6.7	−0.6	0.9	−7.0	26	12.2	8	76	47	73	65	35	8	3.3	2.9	2.9	3.0	36	9	29	7	6	6	—	—	—	15	4
Dez.	−6.4	−0.7	−6.4	−5.0	−17.0	22.26	6.3	1	74	56	74	68	37	4	4.9	4.9	4.4	4.7	24	9	31	7	6	6	—	—	2	9	7
Jahr	0.5	8.7	2.1	3.5	−20.0	I	25.1	VII	76	49	72	65	23	X	3.8	4.0	3.9	3.9	553	28	VII	114	87	50	—	1	18	128	51

Saas-Fee

$\lambda = 7^\circ 56'$, $\beta = 46^\circ 7'$, $H =$ ca. 1800^m, $h_r = 1.5^m$. Beobachter: **Ad. Imseng**

Jan.	−7.2	−3.6	−7.0	−6.2	−20.8	3	4.2	25	61	53	60	58	22	25	4.4	5.4	4.4	4.7	57	14	29	13	12	13	—	—	1	6	6
Febr.	−8.1	−0.7	−6.5	−5.4	−14.9	14	3.6	7	42	33	49	41	16	25	3.6	3.6	3.5	3.6	21	9	17	4	4	4	—	—	—	13	5
März	−2.5	6.1	−0.1	0.9	−5.4	15	12.8	31	53	32	45	43	15	14	2.8	2.4	1.6	2.3	14	12	27	3	2	3	—	—	—	17	2
April	−1.9	4.6	−0.3	0.5	−8.6	21	14.2	2	57	29	43	43	12	18	3.1	3.7	3.2	3.3	8	5	30	3	2	3	—	—	—	12	1
Mai	3.2	6.4	3.7	4.3	−5.2	2	14.3	31	64	49	58	57	17	3	6.3	7.2	7.2	6.9	88	17	28	12	11	6	—	—	—	1	11
Juni	10.3	15.9	10.5	11.8	2.5	13	21.6	8	52	35	56	48	14	4	3.1	4.2	5.2	4.2	94	30	12	13	12	1	—	—	—	9	5
Juli	10.7	15.6	10.5	11.8	2.4	3	24.6	31	59	38	58	52	20	29.31	4.1	4.8	4.8	4.6	91	45	1	11	10	—	—	—	—	7	6
Aug.	10.1	15.3	10.0	11.4	3.6	22	23.9	1	72	42	68	61	19	19	4.5	6.0	6.6	5.7	88	23	27	12	12	—	—	—	1	6	8
Sept.	6.6	12.4	7.3	8.4	1.5	6	18.4	23	70	43	64	59	18	2	3.8	5.1	4.8	4.6	119	70	9	8	8	—	—	—	—	8	3
Okt.	2.8	9.0	3.6	4.8	−7.1	31	16.9	10	70	41	64	58	10	8	4.7	3.1	4.0	3.9	72	31	27	7	7	2	—	—	—	12	6
Nov.	−1.2	4.7	−0.1	0.8	−5.5	1	9.8	8	57	40	56	51	20	8	3.1	3.2	3.3	3.2	37	19	29	6	6	6	—	—	—	11	3
Dez.	−6.4	−3.0	−5.8	−5.3	−16.8	26	4.0	13	58	51	60	56	24	5	5.6	5.5	4.4	5.2	19	6	5	6	4	5	—	—	—	6	7
Jahr	1.3	6.9	2.1	3.1	−20.8	I	24.6	VII	60	40	57	52	12	IV	4.1	4.5	4.4	4.3	708	70	IX	98	90	43	—	—	2	108	63

Graubünden

Seewis

$\lambda = 9^\circ 38'$, $\beta = 46^\circ 59'$, $H = 953.8^m$, $h_r = 1.5^m$ Beobachter: **Frau B. Janett**

Jan.	−4.0	0.3	−2.9	−2.4	−17.4	4	7.1	14.15	84	64	85	78	34	25	6.1	6.2	6.0	6.1	152	30	30	18	15	16	—	—	—	6	13
Febr.	−4.3	2.1	−2.1	−1.6	−11.0	15	7.4	26.28	78	55	78	71	34	26	3.1	3.1	4.1	3.4	87	35	10	9	8	9	—	—	—	15	6
März	1.6	9.4	2.3	3.9	−3.2	13	16.4	31	75	48	71	65	31	31	2.9	2.9	2.9	2.9	56	43	27	4	4	3	—	—	—	20	6
April	1.3	7.4	1.4	2.9	−4.1	10	17.0	2	74	51	78	68	29	2	4.9	5.0	4.6	4.8	45	12	20	11	10	11	—	—	1	8	6
Mai	7.7	12.9	7.3	8.8	−0.2	1	20.1	14	73	55	76	68	30	14	4.9	5.1	5.7	5.2	114	26	28	15	11	3	1	—	3	6	9
Juni	14.1	21.1	13.3	15.5	1.2	3	30.0	25	72	53	80	68	33	4	4.1	3.4	4.2	3.9	139	36	2	17	13	2	—	2	2	12	6
Juli	14.2	20.0	13.5	15.3	7.2	2	27.3	26	76	58	85	73	33	7.26	5.0	4.0	4.8	4.6	120	37	2	16	13	—	—	1	1	9	7
Aug.	13.7	19.4	13.4	15.0	6.4	23.24	29.0	6	80	60	87	76	37	5.6	5.3	4.8	4.7	4.9	136	55	13	19	17	—	—	—	3	10	6
Sept.	11.0	17.2	11.2	12.6	6.4	16	22.2	29	80	59	88	76	37	25	4.1	3.7	3.2	3.7	20	6	15	10	8	—	—	—	1	14	2
Okt.	6.0	11.0	5.8	7.2	−0.2	24	17.1	7	85	65	88	79	33	7	4.5	3.1	3.8	3.8	59	16	3	12	9	1	—	—	5	13	6
Nov.	2.9	9.0	3.7	4.8	−1.2	1	14.3	11	78	52	79	70	34	26	3.1	2.4	3.1	2.9	21	7	22	7	7	1	—	—	2	15	2
Dez.	−3.4	0.6	−2.7	−2.0	−13.0	26	10.2	10	84	69	84	79	37	8	5.8	5.5	5.8	5.7	65	?	—	15	9	12	—	—	3	5	9
Jahr	5.1	10.9	5.4	6.7	−17.4	I	30.0	VI	78	57	82	72	29	IV	4.5	4.1	4.4	4.3	1014	55	VIII	153	124	58	1	3	21	133	78

Schiers

$\lambda = 9° 41'$, $\beta = 46° 58'$, $H = 670^m$, $h_r = 1.0^m$. Beobachter: **G. Tarnutzer**

1938	Luft-Temperatur 7³⁰	13³⁰	21³⁰	Mittel	Minimum	Tag	Maximum	Tag	Relative Feuchtigkeit 7³⁰	13³⁰	21³⁰	Mittel	Minim.	Tag	Bewölkung 7³⁰	13³⁰	21³⁰	Mitt.	Niederschlag Summe	Maxim.	Tag	Zahl der Tage ●	●* ≥1.0	✳	▲	K	≡	heiter	trüb
Jan.	-5.3	-0.9	-3.7	-3.4	-18.7	4	6.8	15	89	72	87	83	49	15	7.1	6.9	6.8	6.9	131	27	6	15	14	11	—	—	2	5	17
Febr.	-7.0	0.7	-4.0	-3.6	-12.5	16	6.9	28	90	73	87	83	50	2	3.8	3.4	4.6	3.9	61	24	10	7	7	6	—		—	12	[illegible]
März	-0.7	9.2	2.4	3.3	-5.9	14	17.1	31	*85	*51	*70	*69	?	—	3.9	3.5	3.7	3.7	42	31	27	4	3	2	—	—	—	14	7
April	0.7	8.1	2.9	3.7	-2.9	22	18.7	2	84	50	77	70	30	2	5.6	5.8	5.7	5.7	26	7	20	9	9	6	—	—	—	7	[illegible]
Mai	5.9	13.8	9.3	9.6	-2.7	2	21.5	14	90	56	77	74	30	9	6.5	5.7	7.6	6.6	78	21	20	13	11	1	—	—	—	6	15
Juni	11.7	20.3	14.6	15.3	1.0	3	27.9	25	88	58	84	76	35	4	5.2	4.4	6.1	5.2	149	33	2	16	14	2	—	5	—	7	[illegible]
Juli	12.5	19.7	14.9	15.5	8.1	3	26.9	26	92	61	85	79	37	4.8	5.9	4.7	6.3	5.6	96	35	2	16	13	—	—	1	—	7	13
Aug.	12.2	19.4	14.4	15.1	2.0	24	29.0	6	93	60	88	80	38	5	6.2	5.9	5.8	6.0	104	31	13	15	14	—	—	—	1	7	12
Sept.	8.6	18.0	11.6	12.5	3.3	17	22.3	29	96	56	90	81	39	7	5.1	5.1	4.4	4.9	19	5	4	10	7	—	—	—	—	9	8
Okt.	3.8	11.2	5.4	6.5	-4.3	25	17.3	10	97	63	95	85	41	10	5.6	3.7	5.2	4.8	44	16	3	8	7	—	—	—	2	9	8
Nov.	0.1	6.9	2.1	2.8	-4.2	26	11.9	6	95	62	91	83	43	7	4.5	4.2	3.6	4.1	14	4	22	6	6	—	—	—	4	11	6
Dez.	-4.8	-1.2	-3.5	-3.2	-16.0	27	6.8	11	92	76	90	86	56	3	7.7	6.6	6.8	7.0	55	11	31	12	10	10	—	—	—	2	13
Jahr	3.1	10.4	5.5	6.1	-18.7	I	29.0	VIII	91	61	85	79	30	IV/V	5.6	5.0	5.6	5.4	819	35	VII	131	115	38	—	6	9	96	12[illegible]

Flims

$\lambda = 9° 17'$, $\beta = 46° 50'$, $H =$ ca. 1100^m, $h_r = 1.5^m$. Beobachter: **K. Wuhrmann, W. Baumann**

Jan.	-3.6	0.2	-3.2	-2.5	-17.2	4	7.8	25	78	67	79	75	38	25	7.9	7.1	5.1	6.7	142	23	30	16	16	13	—	—	1	2	13
Febr.	-4.1	3.2	-2.5	-1.5	-10.2	15	8.4	26	70	54	70	65	30	26	3.5	3.7	3.7	3.6	49	20	12	6	6	6	—	—	2	14	6
März	1.5	9.4	3.5	4.5	-3.6	14	14.8	19	66	47	59	57	32	5.14 15	4.3	3.3	2.6	3.4	37	?	—	3	3	3	—	—	4	14	5
April	1.3	8.2	1.5	3.1	-4.2	22	16.8	3	72	50	72	65	30	3	5.8	5.2	3.7	4.9	41	14	30	8	8	1	—	—	—	6	5
Mai	6.5	12.2	7.3	8.3	-2.9	1	19.8	14	70	55	69	65	30	14	6.5	7.2	7.0	6.9	102	?	—	*15	*14	*3	—	—	—	3	17
Juni	13.0	19.8	13.7	15.0	0.6	3	27.8	25	70	54	72	65	32	5	4.8	4.6	5.8	5.1	125	24	10	13	13	2	—	4	—	7	7
Juli	13.1	19.1	13.4	14.8	5.0	2	27.1	31	77	58	78	71	36	26	6.1	5.3	5.9	5.8	193	51	2	16	12	—	—	2	3	6	10
Aug.	12.7	19.1	13.4	14.7	5.8	24	28.0	6	80	56	77	71	35	6	5.7	5.6	6.0	5.8	126	?	—	21	19	—	—	3	7	6	9
Sept.	10.3	17.3	11.1	12.4	6.2	16	20.9	23	76	53	76	68	37	17	5.3	5.8	5.0	5.4	29	6	15	11	7	—	—	—	3	6	11
Okt.	5.8	12.2	6.5	7.8	-1.9	29	20.7	10	76	60	77	71	34	7	5.3	3.8	3.0	4.0	72	22	28	9	6	2	—	—	8	11	5
Nov.	3.2	9.6	4.3	5.4	-1.6	1	15.2	7	68	52	70	63	27	26	4.4	3.8	3.7	4.0	32	14	21	6	4	1	—	—	2	10	4
Dez.	-3.2	0.4	-2.5	-2.0	-13.0	24	10.4	12.13	75	66	75	72	31	8	7.1	7.2	6.9	7.5	67	21	31	11	10	10	—	—	9	2	13
Jahr	4.7	10.9	5.5	6.7	-17.2	I	28.0	VIII	73	56	73	67	27	XI	5.6	5.2	4.9	5.2	1015	51	VII	135	118	48	—	9	39	87	105

Flims: Beobachterwechsel im April.

Tschiertschen (ob Chur)

$\lambda = 9° 36'$, $\beta = 46° 49'$, $H = 1351^m$, $h_r = 1.2^m$. Beobachter: **Gg. Meister**

Jan.	-4.5	-1.8	-4.7	-3.9	-18.4	4	7.0	15	—	—	—	—	—	—	6.9	6.4	5.5	6.3	122	39	30	16	12	15	—	—	2	5	12
Febr.	-4.6	0.4	-3.8	-2.9	-11.3	15	5.3	8	—	—	—	—	—	—	3.2	3.1	3.7	3.3	61	23	10	8	8	8	—	—	—	14	4
März	0.8	6.2	1.7	2.6	-6.1	13	11.9	31	—	—	—	—	—	—	3.5	3.8	3.3	3.5	39	22	27	5	4	5	—	—	—	15	7
April	-1.2	3.7	-1.2	0.0	-8.6	10	13.2	3	—	—	—	—	—	—	4.8	5.1	3.5	4.5	53	12	29	16	9	15	—	—	—	4	9
Mai	5.7	9.9	5.8	6.8	-3.5	1	18.0	14	—	—	—	—	—	—	6.0	6.0	6.7	6.2	79	18	20	16	13	5	—	—	1	5	14
Juni	11.8	17.2	11.7	13.1	0.0	3	23.9	25	—	—	—	—	—	—	4.6	3.9	4.8	4.4	183	36	2	15	14	2	—	4	—	10	7
Juli	12.4	16.4	11.9	13.1	4.0	2	23.3	31	—	—	—	—	—	—	5.4	4.8	5.6	5.3	107	42	2	15	13	—	—	2	—	8	9
Aug.	12.0	16.5	11.8	13.0	3.9	23	24.9	6	—	—	—	—	—	—	5.2	5.3	5.5	5.3	119	29	20	18	13	—	—	—	2	10	11
Sept.	9.6	14.1	9.7	10.8	4.3	6	17.8	28	—	—	—	—	—	—	4.4	5.3	4.4	4.7	25	10	4	10	5	—	—	—	—	9	6
Okt.	4.3	9.4	4.7	5.8	-4.9	31	16.6	10	—	—	—	—	—	—	3.9	3.2	3.6	3.6	62	20	3	8	6	2	—	—	2	13	6
Nov.	2.9	7.4	3.5	4.3	-2.3	23	13.7	7	—	—	—	—	—	—	4.0	3.7	4.0	3.9	22	9	21	6	4	—	—	—	—	11	5
Dez.	-4.5	-1.3	-4.1	-3.5	-14.3	26	9.1	11	—	—	—	—	—	—	6.6	6.0	6.0	6.2	61	17	31	16	12	16	—	—	—	2	9
Jahr	3.7	8.2	3.9	4.9	-18.4	I	24.9	VIII	—	—	—	—	—	—	4.9	4.7	4.7	4.8	933	42	VII	149	113	68	—	6	7	106	99

St. Moritz

$\lambda = 9° 50'$, $\beta = 46° 30'$, $H_b =$ ca. 1853^m, $h_r = 2.7^m$. Beobachter: **J. Tuena**

Jan.	-9.1	2.4	-7.8	-6.8	-23.6	4	7.5	24	71	56	67	65	32	24	4.8	4.8	3.9	4.5	22	9	30	9	8	9	—	—	—	8	6
Febr.	-9.9	0.6	-6.9	-5.8	-16.6	15	5.1	24	68	43	62	58	26	22	2.6	3.2	2.9	2.9	11	4	10	5	5	5	—	—	—	15	4
März	-3.4	6.2	-1.5	0.0	-10.5	14	10.0	31	71	44	69	61	30	6	3.0	3.4	1.5	2.6	16	14	27	2	2	2	—	—	—	16	1
April	-3.0	3.9	-3.0	-1.3	-10.4	22	12.0	1.2	66	43	66	59	28	2	3.0	3.8	2.6	3.1	5	5	30	1	1	1	—	—	—	12	2
Mai	3.1	8.2	2.5	4.1	-5.4	1	14.1	12	77	55	81	71	30	12	6.0	6.1	5.6	5.9	45	29	20	11	10	9	—	—	—	5	8
Juni	9.8	16.0	9.4	11.1	0.5	4	22.0	26	73	49	75	66	30	7	3.5	3.7	3.7	3.6	116	18	3	14	14	1	—	2	1	13	6
Juli	9.0	15.3	9.8	11.0	3.0	3	22.4	31	81	57	72	70	33	31	4.7	5.2	5.0	5.0	118	37	2	12	11	1	—	—	—	6	5
Aug.	7.9	14.9	8.9	10.2	-0.5	24	22.6	1	84	57	75	72	33	18	4.9	5.4	5.4	5.2	124	29	21	16	14	—	—	—	3	8	9
Sept.	4.7	11.6	6.5	7.3	0.6	7	16.0	17	89	62	83	78	33	17	5.7	5.6	4.8	5.4	49	20	9	13	9	1	—	—	3	9	9
Okt.	0.8	9.1	2.3	3.6	-8.2	31	18.4	14	82	59	75	72	26	21.22	4.4	2.8	3.8	3.7	48	11	28	7	7	3	—	—	—	14	6
Nov.	-2.2	6.0	-0.5	0.7	-9.0	26	11.6	8	*82	*60	*80	*74	?	—	2.8	3.5	3.4	3.2	44	22	21	6	6	6	—	—	1	16	7
Dez.	-8.1	-2.4	-7.0	-6.1	-19.1	27	4.0	1	85	62	82	76	40	8	6.5	5.8	4.9	5.7	52	28	20	11	7	11	—	—	2	4	9
Jahr	0.0	7.3	1.0	2.3	-23.6	I	22.6	VIII	77	54	74	68	26	II/X	4.3	4.4	4.0	4.2	650	37	VII	107	94	49	—	2	10	126	72

Pontresina

$\lambda = 9° 54'$, $\beta = 46° 30'$, $H = 1805^m$, $h_r = 2.2^m$. Beobachter: **L. Schmid**

1938	Luft-Temperatur 7³⁰	13³⁰	21³⁰	Mittel	Minimum	Tag	Maximum	Tag	Relative Feuchtigkeit 7³⁰	13³⁰	21³⁰	Mittel	Minim.	Tag	Bewölkung 7³⁰	13³⁰	21³⁰	Mitt.	Niederschlag Summe	Maxim.	Tag	Zahl der Tage ● *	●* ≧1.0	✳	▲	⌇	≡	helle	trübe
Jan.	-10.1	-2.8	-8.4	-7.4	-26.3	4	4.8	17	—	—	—	—	—	—	6.8	6.6	6.1	6.5	22	9	30	9	5	9	—	—	—	5	14
Febr.	-11.3	-0.6	-7.7	-6.8	-17.9	15	5.1	27	—	—	—	—	—	—	4.0	4.5	2.9	3.8	11	3	17	5	5	5	—	—	—	12	5
März	-4.9	5.3	-1.2	-0.5	-12.8	14	9.6	31	—	—	—	—	—	—	4.6	4.5	2.4	3.8	15	15	27	1	1	1	—	—	—	14	7
April	-4.8	3.1	-2.3	-1.6	-12.6	11	11.2	2.3	—	—	—	—	—	—	4.6	5.2	5.1	5.0	11	8	30	3	2	3	—	—	—	7	5
Mai	2.4	8.5	3.9	4.7	-8.4	2	14.6	14	—	—	—	—	—	—	7.5	7.3	6.7	7.2	61	29	20	11	10	5	—	—	—	2	14
Juni	—	—	—	—	—	—	—	—	—	—	—	—	—	—	—	—	—	—	97	17	3	11	9	—	—	—	—	—	—
Juli	—	—	—	—	—	—	—	—	—	—	—	—	—	—	—	—	—	—	—	—	—	—	—	—	—	—	—	—	—
Aug.	—	—	—	—	—	—	—	—	—	—	—	—	—	—	—	—	—	—	—	—	—	—	—	—	—	—	—	—	—
Sept.	—	—	—	—	—	—	—	—	—	—	—	—	—	—	—	—	—	—	—	—	—	—	—	—	—	—	—	—	—
Okt.	—	—	—	—	—	—	—	—	—	—	—	—	—	—	—	—	—	—	—	—	—	—	—	—	—	—	—	—	—
Nov.	—	—	—	—	—	—	—	—	—	—	—	—	—	—	—	—	—	—	—	—	—	—	—	—	—	—	—	—	—
Dez.	—	—	—	—	—	—	—	—	—	—	—	—	—	—	—	—	—	—	—	—	—	—	—	—	—	—	—	—	—
Jahr	—	—	—	—	—	—	—	—	—	—	—	—	—	—	—	—	—	—	—	—	—	—	—	—	—	—	—	—	—

Pontresina: Abbruch der Beobachtungen infolge Wegzug des Beobachters.

Scarl (Unterengadin)

$\lambda = 10° 20'$, $\beta = 46° 43'$, $H =$ ca. 1810^m, $h_r = 1.5^m$. Beobachter: **Eidg. Grenzwachtposten**

Jan.	—	—	—	—	—	—	—	—	—	—	—	—	—	—	—	—	—	—	—	—	—	—	—	—	—	—	—	—	—
Febr.	—	—	—	—	—	—	—	—	—	—	—	—	—	—	—	—	—	—	—	—	—	—	—	—	—	—	—	—	—
März	—	—	—	—	—	—	—	—	—	—	—	—	—	—	—	—	—	—	—	—	—	—	—	—	—	—	—	—	—
April	—	—	—	—	—	—	—	—	—	—	—	—	—	—	—	—	—	—	—	—	—	—	—	—	—	—	—	—	—
Mai	3.1	8.3	3.1	4.4	-4.8	2	14.8	14	62	38	63	54	13	12	5.7	5.8	6.0	5.8	50	16	20	12	10	6	—	—	—	5	10
Juni	10.3	15.6	9.4	11.2	2.2	3	21.2	22.25	57	36	62	52	16	7	3.7	4.4	4.6	4.2	110	24	13	12	12	2	—	—	—	12	5
Juli	9.8	15.6	9.6	11.2	3.4	2	21.2	30	67	40	70	59	21	22	4.8	5.4	5.5	5.2	112	29	2	13	13	—	—	—	3	7	8
Aug.	8.8	13.9	8.3	9.8	0.2	25	21.6	5	79	49	81	70	20	18	4.6	6.3	6.0	5.6	146	28	3	19	19	—	—	2	—	6	9
Sept.	5.4	12.0	6.5	7.6	1.5	17	16.5	17	78	43	76	66	17	19	4.8	5.5	5.4	5.2	85	29	9	11	11	—	—	1	3	10	10
Okt.	2.2	8.7	2.3	3.9	-7.8	31	16.6	10	68	43	65	59	20	10	3.6	2.6	2.7	3.0	37	12	27	6	6	4	—	—	4	18	6
Nov.	-1.0	2.8	-0.4	0.3	-8.2	23	9.8	5	60	44	59	54	21	4	2.5	2.9	2.9	2.8	12	7	21	3	3	2	—	—	1	17	2
Dez.	—	—	—	—	—	—	—	—	—	—	—	—	—	—	—	—	—	—	—	—	—	—	—	—	—	—	—	—	—
Jahr	—	—	—	—	—	—	—	—	—	—	—	—	—	—	—	—	—	—	—	—	—	—	—	—	—	—	—	—	—

Grono

$\lambda = 9° 9'$, $\beta = 46° 15'$, $H = 335^m$, $h_r = 1.3^m$. Beobachter: **A. Parolini**

Jan.	-0.3	4.2	0.8	1.4	-9.3	5	16.2	25	63	51	62	59	21	21	3.5	4.1	2.3	3.3	26	14	30	4	3	3	—	—	1	14	3
Febr.	0.5	7.0	2.5	3.1	-2.0	17	9.2	28	69	45	42	52	22	13	3.6	3.2	2.9	3.2	13	6	18	4	4	1	—	—	2	12	3
März	7.1	16.1	9.8	10.7	1.0	14	24.2	31	49	30	40	40	12	4	3.4	3.1	1.7	2.7	2	2	26	2	1	—	—	—	—	15	2
April	6.6	15.6	9.2	10.2	0.4	12	25.0	1	44	27	37	36	17	26	2.7	3.9	2.5	3.0	38	34	30	2	2	—	—	—	—	12	1
Mai	11.1	17.3	11.5	12.8	2.0	1	26.0	14	72	51	69	64	17	11	7.1	7.8	6.6	7.2	169	39	27	16	15	—	—	—	—	2	15
Juni	17.5	24.7	18.5	19.8	8.3	3	30.4	26	63	46	65	58	21	17	5.5	5.1	5.1	5.2	210	67	2	9	9	—	—	7	2	4	9
Juli	18.0	23.9	18.3	19.6	12.6	6	29.0	31	73	51	68	64	25	10	4.5	5.6	3.5	4.5	191	47	2	10	10	—	—	2	—	10	6
Aug.	17.1	24.3	17.4	19.1	10.6	25	31.0	4	78	53	72	68	24	22	5.1	6.0	4.6	5.2	117	44	21	9	6	—	—	2	—	4	6
Sept.	13.1	19.4	14.6	15.4	10.0	6	24.2	1	84	60	78	74	28	5	5.1	6.0	5.3	5.5	92	32	9	14	12	—	—	—	5	8	11
Okt.	9.9	15.0	10.6	11.5	3.0	28	20.0	20	87	61	81	76	25	20	4.5	4.5	3.4	4.1	133	38	3	8	8	—	—	1	2	9	5
Nov.	4.9	10.1	6.2	6.9	0.4	19	19.4	6	79	58	74	70	28	6	4.1	4.4	3.9	4.1	113	60	21	6	6	1	—	—	5	11	7
Dez.	0.1	3.3	0.8	1.2	-8.6	27	10.4	4	76	65	75	72	21	4	5.7	5.5	5.4	5.5	86	27	20	8	8	6	—	—	4	9	12
Jahr	8.8	15.1	10.0	11.0	-9.3	I	31.0	VIII	70	50	64	61	12	III	4.6	4.9	3.9	4.5	1190	67	VI	92	84	11	—	12	21	110	80

Tessin

Airolo

$\lambda = 8° 36'$, $\beta = 46° 31'$, $H_b =$ ca. 1170^m, $h_r = 0.8^m$. Beobachter: **Fr. Burkhalter**

Jan.	-2.9	0.6	-2.3	-1.7	-14.4	4	9.8	24	71	59	69	66	37	24	5.5	5.2	4.5	5.1	79	20	30	10	9	9	—	—	—	7	9
Febr.	-3.4	2.1	-2.0	-1.3	-10.4	15	7.6	7	67	48	68	61	31	23	2.8	3.1	3.4	3.1	19	8	11	6	5	6	—	—	—	13	3
März	3.1	9.6	3.7	5.0	-2.0	14	15.5	31	63	45	60	56	29	4	2.7	2.7	2.2	2.5	23	15	27	4	3	1	—	—	—	16	2
April	1.9	7.1	1.9	3.2	-4.0	10.21	16.5	2	61	47	64	57	32	2	2.9	3.3	2.6	2.9	26	19	30	5	4	3	—	—	—	15	1
Mai	6.1	10.2	6.5	7.3	-2.6	1	17.2	14	78	62	78	73	30	3	6.5	6.8	6.9	6.7	161	33	27	19	16	3	—	—	—	3	15
Juni	13.3	19.1	12.8	14.5	6.0	3	25.8	26	72	54	78	68	31	18	3.6	4.4	4.4	4.1	232	62	11	16	15	—	2	7	—	8	4
Juli	13.6	18.6	13.2	14.7	6.2	2	25.4	31	76	57	79	71	36	6.21	4.9	5.5	4.5	5.0	273	117	1	13	13	—	—	3	—	8	6
Aug.	12.5	18.2	12.9	14.1	6.4	24	24.2	4	79	58	82	73	31	24	4.7	5.4	5.0	5.0	129	39	20	15	13	—	—	4	—	4	5
Sept.	9.5	14.2	10.1	11.0	7.0	5.7.21	18.6	13	86	65	88	80	30	16	5.5	5.5	5.9	5.6	158	53	9	15	11	—	—	1	—	8	13
Okt.	5.0	10.7	6.1	7.0	-1.2	28.30	16.6	14.16	79	61	80	73	39	14	3.5	3.5	3.7	3.6	94	28	27	8	7	2	—	—	—	14	5
Nov.	1.7	6.2	2.6	3.3	-4.2	27	16.6	6	71	61	72	68	35	6	3.1	4.1	3.4	3.5	112	40	21	7	6	4	—	—	1	14	7
Dez.	-4.0	-1.8	-3.5	-3.2	-12.6	27	3.3	13	77	68	77	74	42	5	6.3	6.2	5.4	6.0	100	29	11	12	10	10	—	—	1	8	14
Jahr	4.7	9.6	5.2	6.2	-14.4	I	25.8	VI	73	57	75	68	29	III	4.3	4.7	4.3	4.4	1406	117	VII	130	112	38	2	15	2	118	84

Tessin

Comprovasco

$\lambda = 8° 56'$, $\beta = 46° 28'$, $H = 544.1^m$, $h_r = 1.6^m$. Beobachter: **Frl. Pia Gianella**

1938	Luft-Temperatur								Relative Feuchtigkeit						Bewölkung				Niederschlag			Zahl der Tage							
	7³⁰	13³⁰	21³⁰	Mittel	Minimum	Tag	Maximum	Tag	7³⁰	13³⁰	21³⁰	Mitt.	Minimum	Tag	7³⁰	13³⁰	21³⁰	Mitt.	Summe	Maximum	Tag	•	≧1.0	✳	▲	K	≡	helle	trüb
Jan.	−0.6	4.2	0.4	1.1	−11.0	6	18.1	25	—	—	—	—	—	—	4.4	4.8	2.9	4.0	30	16	30	5	5	3	—	—	—	10	[illegible]
Febr.	−0.6	6.4	1.4	2.2	−3.3	22	10.4	28	—	—	—	—	—	—	2.4	2.4	2.5	2.4	7	5	10	4	1	1	—	—	—	17	[illegible]
März	6.2	15.0	9.0	9.8	−1.9	14	22.1	31	—	—	—	—	—	—	2.6	2.6	1.8	2.3	2	2	26	1	1	—	—	—	—	16	[illegible]
April	4.8	13.4	7.5	8.3	−1.7	22	24.4	2	—	—	—	—	—	—	2.6	3.3	2.1	2.7	45	34	36	3	3	1	—	—	—	13	[illegible]
Mai	9.5	16.0	10.5	11.6	1.0	1	23.3	31	—	—	—	—	—	—	6.3	6.8	7.1	6.7	131	31	27	14	11	1	—	—	—	3	[illegible]
Juni	15.9	23.3	16.7	18.1	6.5	4	28.9	26	—	—	—	—	—	—	4.5	4.6	5.3	4.8	176	33	9	13	10	—	—	6	—	6	[illegible]
Juli	15.6	23.2	16.4	17.9	9.1	11	28.8	31	—	—	—	—	—	—	5.0	4.8	4.8	4.9	211	57	1	12	9	—	—	3	—	6	[illegible]
Aug.	15.3	23.2	15.9	17.6	7.5	24	28.3	6	—	—	—	—	—	—	5.0	5.3	5.3	5.2	102	27	20	12	10	—	—	1	—	7	[illegible]
Sept.	11.8	17.8	12.7	13.7	7.5	19	23.3	1	—	—	—	—	—	—	5.8	5.3	6.3	5.8	101	40	9	14	12	—	—	1	—	7	12
Okt.	7.3	13.9	8.7	9.7	0.4	25	20.7	20	—	—	—	—	—	—	4.3	3.9	4.1	4.1	96	25	28	7	7	1	—	—	1	8	[illegible]
Nov.	3.2	9.8	4.3	5.4	−1.7	18	22.8	6	—	—	—	—	—	—	3.5	3.8	3.8	3.7	135	82	21	6	6	2	—	—	2	13	[illegible]
Dez.	−1.2	2.6	−0.3	0.2	−11.4	27	10.5	6	—	—	—	—	—	—	6.2	5.6	5.9	5.9	78	27	20	13	9	9	—	—	2	8	1
Jahr	7.3	14.1	8.6	9.6	−11.4	XII	28.9	VI	—	—	—	—	—	—	4.4	4.4	4.3	4.4	1114	82	XI	104	84	18	—	11	5	114	77

Monte Brè (ob Lugano)

$\lambda = 8° 59'$, $\beta = 46° 1'$, $H = 910^m$, $h_r = 1.5^m$ Beobachter: **A. Rezzonico**

Jan.	0.1	1.6	0.1	0.5	−9.6	5	14.6	25	—	—	—	—	—	—	4.0	4.0	1.4	3.1	11	4	15	4	4	3	—	—	1	16	[illegible]
Febr.	−0.2	3.1	0.9	1.2	−3.0	17	7.6	7	—	—	—	—	—	—	3.5	2.3	2.9	2.9	16	10	17	4	4	4	—	—	1	14	[illegible]
März	6.4	11.4	7.4	8.2	−1.0	14	18.8	31	—	—	—	—	—	—	2.3	2.7	1.7	2.2	9	9	25	1	1	—	—	—	—	18	—
April	4.1	10.5	4.0	5.6	−1.2	22	20.2	1	—	—	—	—	—	—	3.1	3.4	2.6	3.0	42	32	30	4	4	2	—	—	3	11	[illegible]
Mai	8.6	12.5	8.7	9.6	1.6	1	19.4	31	—	—	—	—	—	—	6.2	6.3	6.5	6.3	190	48	27	18	18	1	—	2	1	3	12
Juni	15.8	20.6	16.4	17.3	7.2	3	25.8	29	—	—	—	—	—	—	4.0	3.3	3.6	3.6	205	43	30	11	11	—	—	2	—	11	[illegible]
Juli	16.4	20.7	17.2	17.9	10.0	2	24.8	31	—	—	—	—	—	—	4.1	3.4	3.6	3.7	179	45	28	10	10	—	—	2	—	11	2
Aug.	15.5	19.7	16.2	16.9	10.0	24	25.0	5.6	—	—	—	—	—	—	4.7	3.7	4.3	4.2	264	121	21	13	13	—	—	3	—	8	2
Sept.	12.1	15.3	12.6	13.2	8.0	7	19.2	14	—	—	—	—	—	—	5.2	5.2	5.2	5.2	123	22	9	10	10	—	—	—	—	8	10
Okt.	9.2	11.7	9.1	9.8	3.0	28	15.2	11	—	—	—	—	—	—	4.7	4.1	4.2	4.3	142	55	3	8	8	—	—	—	1	9	5
Nov.	6.2	8.4	6.1	6.7	1.2	21	18.0	6	—	—	—	—	—	—	3.7	3.6	3.3	3.5	132	57	21	6	6	—	—	—	3	14	5
Dez.	−0.3	1.5	−0.1	0.3	−8.2	28	7.6	2	—	—	—	—	—	—	6.1	6.0	5.9	6.0	62	14	20	12	12	8	—	—	5	8	13
Jahr	7.8	11.4	8.2	8.9	−9.6	I	25.8	VI	—	—	—	—	—	—	4.3	4.0	3.8	4.0	1375	121	VIII	101	101	18	—	9	15	131	60

Anhang

zum Jahrgang 1938 der

Annalen der Schweizerischen Meteorologischen Zentralanstalt

Ergänzende Beobachtungen und

Abhandlungen

Nr. 1.

Übersicht über den Witterungsverlauf in der Schweiz im Jahre 1938

von M. Grütter.

Das Jahr 1938 war etwas zu warm. Die Abweichun-
n der Temperatur vom Normalwert waren allerdings
was kleiner als im Vorjahr. Sie betrugen im Mittelland
wa 0.5°, am Genfersee und im Wallis 0.7°. Ost- und
idschweiz zeigen normale Temperaturverhältnisse. Die
ermische Veränderlichkeit (Summe der positiven und
gativen Monat-abweichungen) ist wesentlich größer
letztes Jahr. Für Zürich ergibt sich 18.9 (+ 12.6,
- 6.3). Was die einzelnen Monate anbetrifft, so waren
warm vor allem März und November, in geringerem
aße auch Januar und Juni. Kalt waren dagegen April,
ai und Dezember. — Die Niederschlagsmengen zeigen
n Mittelland ungefähr normale, im Wallis und in der
st-schweiz um etwa 10 bis 30 % zu kleine, in der Jura-
one und im Tessin um ebensoviel zu große Werte.
Nasse» Monate waren für die Nordseite der Alpen: Ja-
nar, Juli und August, für die Südseite: Juni und Au-
st. «Trocken» waren namentlich März, April und No-
mber. Für die jährliche Sonnenscheindauer ergeben
ch für Davos und Lugano ungefähr normale, für die
rigen Stationen zu große Werte, so namentlich für
ontreux (mit 15 %, d. h. 240 Std. Ueberschuß). Helle
onate waren besonders März und April, trübe Mai
d August.

Ueber Charakter und Ablauf der Witterung in den
nzelnen Monaten geben die nachfolgenden Angaben
ufschluß:

Der **Januar** brachte der Nordschweiz abnorm hohe
mperaturen. Die Abweichungen vom Normalwert be-
agen in Basel 3.2°. Etwas kleiner sind sie im Mittelland
2.5—3°), negativ auf den Gipfelstationen. Der Alpen-
idfuß war ungefähr normal warm. — Der Bewölkungs-
rad ist im Tessin und am Genfersee etwas zu klein,
nst zeigt er besonders in der Höhe (Gipfelstationen,
raubünden) erheblich zu große Werte. Davos hatte 14
att 7 trübe und nur 5 statt 12 helle Tage. Dement-
rechend zeigt die Sonnenscheindauer besonders im
ordosten des Landes ein Defizit, auf dem Säntis von
9 Stunden. Die Niederschlagsmengen betragen in der
ordschweiz etwa das Dreifache des Normalwerts. Nach
üden nehmen sie ab. Ein Defizit weist nur der Alpen-
südfuß auf. In Lugano wurden nur 30 % des Normalbetrags gemessen. Die Zahl der Niederschlagstage ist am Alpennordfuß etwa die Doppelte der normalen.

Die Kaltluftzufuhr dauerte auch zu Beginn des Januar noch fort. Die Bewölkung war wechselnd. Nur am Alpensüdfuß herrschte heiteres Wetter vor. Niederschläge sind kaum gefallen. Am 6. hebt eine neue Zyklonentätigkeit über der Nordhälfte unseres Kontinents an. Damit setzt auf der Alpennordseite bei zeitweise sehr lebhafter westlicher Luftbewegung meist warmes und trübes Wetter mit Niederschlägen (Regen und Schnee in den Niederungen) ein. Am Alpensüdfuß fiel nur am 15. etwas Niederschlag. Etwa vom 20. an verlagert sich die Zugstraße der Zyklonen nach dem Nordatlantik, wodurch sich bei uns vorübergehend Beruhigung und Aufhellung im Alpengebiet einstellt. In den Niederungen bleibt das Wetter bei hochnebelartiger Bewölkung (abgesehen vom 25. nachmittags) meist trübe. Unter dem Einfluß eines tiefen Wirbels über Nordeuropa, bei hohem Druck westlich von Portugal, bringen die letzten sechs Tage des Monats wieder Niederschläge, am 29. und 30. stürmischen Wind. Am 29. traten bei Vorübergang einer Böenlinie Gewitterstörungen mit Hagel auf.

Die Nordschweiz, das Mittelland und der Alpensüdfuß hatten im **Februar** nahezu normale Temperaturen. Für die Alpentäler, das Genferseegebiet und die Jurazone ergeben sich mäßige negative, für die ausgesprochenen Gipfelstationen dagegen geringe positive Abweichungen von der Normalen. Diese Verhältnisse sind durch nächtliche Ausstrahlung bedingt. — In der Tat ist im Alpengebiet, in der Jurazone, ferner am Alpensüdfuß der Bewölkungsgrad zu klein, die Zahl der hellen Tage zu groß. Nur im Mittelland bestehen normale Bewölkungsverhältnisse bei etwas zu viel hellen sowohl wie trüben Tagen. — Die Sonnenscheindauer zeigt namhafte Ueberschüsse in Lugano (23 Std.), Davos (27 Std.), Chaux-de-Fonds (18 Std.). — Die Niederschlagsmengen sind nur im zentralschweizerischen Alpengebiet und im Jura zu groß, sonst zu klein, besonders im Genferseegebiet und in der Südschweiz, wo die Hälfte der Normalbeträge nicht erreicht wurde. Auch die Zahl der Niederschlagstage ist überall zu klein.

Das trübe und anfangs noch stürmische Westwetter dauerte auch in den ersten Tagen des Februar noch fort. Unter dem Einfluß eines Hochdruckgebietes über Mitteleuropa herrschte dann vom 4. bis 8. im wesentlichen heiteres Wetter. Die Niederungen hatten vormittags meist Hochnebel oder Nebel und um null Grad schwankende Temperatur. Am 10. verlagerte sich das Hochdruckgebiet nach dem Atlantik. Eine Depression über dem östlichen Europa verursachte bis zum 14. auf der Alpennordseite Niederschläge und in der Höhe Abkühlung durch Kaltluftzufuhr aus Norden. Vom 14. bis 21. herrschte kühle Bisenlage mit hellem Himmel in der Höhe, hochnebelartiger Bewölkung über den Niederungen (Hoch über Großbritannien—Nordsee). Das Tessin erhielt am 18. etwas Niederschlag. Durch Ausbildung eines Hochdruckausläufers in Mitteleuropa setzte sich vom 21. an das heitere Wetter auch in den Niederungen durch. Schließlich verschob sich das Hoch ganz nach Südosteuropa und am 27. brachte uns eine aus Westen kommende Störungslinie wieder etwas Niederschlag.

Der **März** 1938 war sowohl auf der Südseite wie auf der Nordseite der Alpen der wärmste und hellste März, der in der Schweiz seit Bestehen des Stationsnetzes (1864) je beobachtet wurde. Die Ueberschüsse der Temperatur betragen im Mittelland 3—4°, im Jura und in den Alpen 2—3° (auf den Gipfelstationen wegen Wegfall der Strahlungskälte dagegen 4—4½°), im Wallis und am Alpensüdfuß 3—3½°. — Der Bewölkungsgrad ist abnorm gering; relativ und absolut noch am größten im ostschweizerischen Alpengebiet, wo er an drei Viertel des Normalwerts heranreicht, am kleinsten in der West- und Südschweiz (Genf 19%, bisheriges Minimum 30%). Das Mittelland weist 15—23 statt 5—7 helle und nur 3—6 statt zirka 13 trübe Tage auf. Dementsprechend haben wir einen Sonnenscheinüberschuß von 140 Stunden in Genf, 37 Stunden in Davos. — Auch die Niederschlagsmengen sind relativ klein. Sie erreichen den Normalwert in Glarus, sinken im Mittelland unter 40%, in Genf und Lugano bis auf 10% des Normalbetrags herunter.

Die Helligkeit und Wärme erklärt sich durch das Vorherrschen antizyklonaler Wetterlagen bei Luftmassen westlichen oder südlichen Ursprungs. In der Nacht vom 1. zum 2. März brachte uns ein leichter Kaltlufteinbruch aus Nordwesten etwas Niederschlag. Der nachfolgende Druckanstieg baute ein Hoch über Frankreich auf, welches rasch zu einer allgemeinen Aufheiterung führte. Am 11. verursachte ein Vorstoß kalter Luft aus Norden geringe Niederschläge. Am 12. tritt bereits wieder Aufheiterung ein und indem sich das Hoch langsam nach Südosten verschiebt, so daß wir in die warme Südströmung seiner Westseite gelangen, steigt unter Mitwirkung der Sonnenstrahlung die Temperatur wieder kräftig an. Vom 23. bis 25. führte eine allgemeine Verflachung der Druckverteilung zu leichten lokalen Gewittern. Am Morgen des 26. setzte dann ein Kaltlufteinbruch aus Nordwesten der Schönwetterperiode ein vorläufiges Ende. Der 26. und 27. und besonders der 28. brachten namhafte Niederschläge und ziemlich tiefe Temperaturen. Gegen Ende des Monats trat durch Neubildung des Hochs über Frankreich wieder Aufhellung und Erwärmung ein.

Die abnorme Trockenheit und Helligkeit hielt im Westen auch den ganzen **April** hindurch an. Dabei war aber die Temperatur durchweg stark unternormal. Die Abweichungen von der Normaltemperatur betragen im Mittelland etwa (—) 2½°, im Jura und im Alpengebiet (besonders auf den Gipfelstationen) 3—4°, im Wallis und am Genfersee 1—2°, im Tessin weniger als 1°. Der Bewölkungsgrad war im Nordosten des Landes ungefähr normal, nimmt aber gegen Süden und besonders gegen Westen stark ab. In Lugano beträgt er nur die Hälfte, in Genf nur noch ein Viertel des Normalwertes. Die außergewöhnliche Helligkeit in Genf kommt auch darin zum Ausdruck, daß hier kein einziger Tag des Monats als «trübe» bezeichnet werden kann und zwei Drittel hell waren. Dementsprechend war auch die Sonnenscheindauer in Davos nahezu normal, zeigt dagegen in der Westschweiz große Ueberschüsse (Genf 32 statt 183 Stunden). — Die Niederschlagsmengen, die überall zu klein waren, zeigen eine ähnliche Verteilung wie die Bewölkung. Das nordostschweizerische Alpengebiet hat etwa 60—70% des Normalbetrages, das Mittelland und die nördliche Jurazone 20—25%, das Oberengadin und das Tessin 25—35%, die Westschweiz weniger als 20% erhalten. Genf hatte weniger als einen halben Millimeter Niederschlag.

Die Senkung der Temperatur gegenüber derjenigen des März ist durch die Verlagerung des Hochdruckgebiets nach Nordwesten bedingt. Sein Kern lag bis zum 8. westlich von Frankreich, später meist über Irland. Diese Position erklärt auch die Witterungsunterschiede zwischen der Nordost- und der Westschweiz. Die zeitweilige Trübung mit leichten Niederschlägen (meist Schnee) im Nordosten war vorwiegend durch Störungslinien von Zyklonen über Nord- und Osteuropa, später zeitweilig durch den Einfluß von Depressionen (Stau) im Süden oder Südosten der Alpen bedingt, während die Westschweiz unter anhaltendem Biseneinfluß hell und trocken blieb. Das Hochdruckgebiet dehnte sich zeitweilig stark nach Norden und Nordosten aus, wobei auf seiner Ostflanke dem Alpengebiet kalte Luft aus der Polarzone zugeführt wurde. Ein solcher Einbruch kalter Luft verursachte vom 10. bis zum 13. in den Niederungen Nachtfröste, wodurch beträchtlicher Schaden im Obst- und Weinbau, besonders im Wallis, verursacht wurde. Nach einem vorübergehenden Temperaturanstieg war auch das letzte Monatsdrittel wieder kalt mit zeitweiligen Nachtfrösten. Die Südschweiz hat in den letzten Tagen des Monats unter dem Einfluß einer Depression über Norditalien Trübung und Niederschläge bekommen, war aber sonst ebenfalls hell und trocken.

Auch der **Mai** erscheint in den Monatsmitteln noch zu kalt; doch ist das Temperaturdefizit kleiner als im April und erreicht höchstens —1.8° in der Nordost- und Südschweiz. In Graubünden, im Mittelland und im Jura beträgt es 1—1½°, in der Südwestschweiz und in Basel meist weniger als 1°. - Der Bewölkungsgrad war um ein geringes zu groß, dementsprechend die Zahl der trüben Tage, letztere besonders in Graubünden und im Wallis. Sion und Lugano zeigen besonders wenig helle Tage und geringe Sonnenscheindauer (Lugano 143 statt 214 Stunden). — Die Niederschlagsmengen sind nur im Tessin

nd im Rheintal übernormal (zu 50% in Lugano), im ittelland um 10—20%, in Genf um 50% zu klein.

Während des ersten Drittels des Monats lag das Hochruckgebiet noch meist über dem Nordmeer, später über en britischen Inseln. Das Wetter war wechselnd bewölkt, eher hell, dazu etwas unternormal warm, besonders im Westen. Nennenswerte Niederschläge sind während der ersten Monatshälfte nicht gefallen. Etwa am 1. verlagerte sich das Hoch nach Südosteuropa, wodurch ichte Erwärmung eintrat. Am 17. verursachte eine von Westen her kommende Zyklone Niederschläge. Ueberaupt regnete es während der zweiten Monatshälfte fast den Tag. Vom 20. an haben wir infolge Kaltluftzufuhr aus Nordosten bei tiefem Druck über Südosteuropa wieder ziemlich kühles Wetter gehabt, besonders n 20., welcher Tag dem Alpennordfuß auch große und nhaltende Niederschläge (Staulage) brachte. Vom 24. n sind die Niederschläge wieder mehr bedingt durch störungen, die bei hohem Druck im Südwesten von NW ach SE ziehen. Dem Alpensüdfuß brachte die Föhnge vom 27. die größten Niederschläge.

Die mittlere Monatstemperatur des **Juni** war in der anzen Schweiz um 1—2° zu hoch. Die kleinsten Abeichungen vom Normalwert findet man im Mittelland. uf den Hochstationen betragen sie zum Teil mehr als ?. — Die Bewölkung war durchwegs unternormal, am rößten noch in der Nordostschweiz. Die Zahl der trüben age war überall zu klein, besonders in Genf, im Wallis nd im Tessin. Besonders hell erscheinen die Hochstationen, wo die größten Ueberschüsse an Sonnenscheindauer emessen wurden. — Mit den Niederschlägen verhält es ch umgekehrt, indem die Nordostschweiz nur 70—100%, ie Westschweiz, das Wallis, das Tessin und Nordwestraubünden dagegen 130—150% des Normalbetrags erhalten haben. Wallis und Graubünden hatten auch zu viele egentage.

Nach Abzug einer Zyklone, die uns am 2. des Monats iederschläge gebracht hatte, herrschte bis zum 9. unter ntizyklonalem Einfluß helles und gegen Ende der eriode warmes Wetter. Am Abend des 9. leitete ein Einruch maritimer Kaltluft eine etwa fünftägige Schlechtetterperiode ein, mit eigentlichem Regenwetter im Westen und Süden am 12. und 13., im Nordosten am 13. nd 14. Durch Verlagerung des bisher über dem Atlantik legenen Hochs nach Westeuropa trat vom 14. an wieder esserung ein. Die Tage vom 16.—21., sodann der 24. nd 25., waren vorwiegend heiter. Am 25. stieg das hermometer am Alpennordfuß auf das Maximum des onats. Am 22., 23., 26 u. a. traten anläßlich der Passage on Störungslinien Gewitterniederschläge auf. Das Moatsende war wieder relativ hell und warm, nur der essin hatte am 30. noch Niederschläge.

Im **Juli** war die Temperatur in der ganzen Schweiz was zu niedrig. In der Jurazone und im Mittelland erichten die Abweichungen vom Normalwert etwas mehr s 1°, im Genferseegebiet und auch in der Ostschweiz rka ½°, am Alpensüdfuß und namentlich im Wallis ch weniger. — Der Bewölkungsgrad war etwas zu oß, nur im Genferseegebiet und im Tessin zu klein. ementsprechend zeigen von den vorhandenen Stationen ur Genf und Lausanne (unbedeutende) Ueberschüsse an Sonnenscheindauer. — Hinsichtlich der Niederschlagsmengen war der Juli ein nasser Monat, besonders für den Nordwesten des Landes (Jura). In Neuenburg wurde mit 257 mm die bisher größte monatliche Niederschlagsmenge gemessen (bisheriges Maximum 206 mm [1879]), entsprechend dem Dreifachen des Normalbetrages. Die Stationen des Alpenvorlandes haben etwa 100—150% des Normalbetrages erhalten; die Ostschweiz weist ein leichtes Defizit auf. Die Zahl der Niederschlagstage war fast überall ungefähr die normale. Nur Lugano hatte bei etwas übernormalen Mengen statt 11 nur 9 Tage mit Niederschlag.

Die Witterung war bis gegen Ende des Monats sehr unbeständig. Schon der 1. brachte einen Kaltlufteinbruch, der am Alpennordfuß aber auch im Tessin große Niederschläge verursachte. Während der ersten fünf Tage herrschte dann kühles Wetter mit reichlichen Niederschlägen. Eine Depression westlich von Frankreich verursachte am 6. eine Föhnlage. Damit trat Aufheiterung und Erwärmung ein. Der Kaltlufteinbruch auf ihrer Rückseite brachte dann in der Nacht vom 8. zum 9. wieder sehr erhebliche Niederschläge. Dem Einbruch ging am Abend des 8. eine heftige Sturmbö voraus. Dann folgen wieder einige leichtere Störungen. Der 14. und 15. waren unter dem Einfluß eines Zwischenhochs ziemlich hell. Am 15. traten während der Passage eines flachen Drucksattels örtliche Gewitter auf. Eingeleitet durch einen Vorstoß des Azorenhochs bis nach Westdeutschland setzte am 18. wieder eine hellere Phase ein, die infolge großer Trockenheit und stabiler Schichtung der Luftmassen sich trotz neuerlicher Vertiefung des Drucks bis zum 23. zu halten vermochte, worauf ein neuer Einbruch maritimer Kaltluft uns im 24. wieder einen Regentag bescherte. Am 26. passierte eine Gewitterfront unser Land. Dagegen ließ sich das Monatsende wieder günstig an.

Im **August** hielten sich die Temperaturen auf der Alpennordseite innerhalb des Bereichs von 0.3° über bis 0.3° unter dem Normalwert. Sion hatte einen Ueberschuß, Lugano ein Defizit von 0.7°. Die Abweichungen vom Normalwert waren also klein. — Der Bewölkungsgrad war im äußersten Westen nahezu normal, im Osten um zirka 30% zu groß. Zuviel trübe und zu wenig helle Tage erhielt ebenfalls besonders das Alpengebiet, zumal die Ostschweiz. Davos hatte 13 statt 7 trübe und nur 3 statt 8 helle Tage. Im Mittelland waren die Verhältnisse ziemlich normal. Die Sonnenscheindauer betrug meist 80—90%, auf den Höhenstationen 75% des Normalwerts. — Die Niederschlagsmengen waren im Mittelland und am Alpensüdfuß um etwa 30—70% zu groß, im Alpengebiet strichweise bis 30% zu klein. Die Zahl der Tage mit Niederschlag war jedoch im Alpengebiet prozentual größer als im Mittelland.

Die ersten sechs Tage des Monats waren nahezu heiter und warm. Dann bildete sich in Westeuropa ein flaches Tiefdruckgebiet aus, das zu örtlichen Gewittern Anlaß gab. Am 11. begann der Druck im Osten zu fallen, was am Nordfuß der Alpen unter Zufluß maritimer Kaltluft besonders am 13. anhaltende Niederschläge zur Folge hatte. Vom 15.—19. trat in einem Zwischenhoch wieder leichte Aufhellung ein. Eine erste im Norden passierende Depression brachte der Nord-

ostschweiz am 17. etwas windiges Wetter, eine zweite am 21. einen ausgesprochenen kühlen Regentag. Vom 23.—26. August herrschte in der Schweiz im Bereich eines Hochdruckrückens, der sich von Skandinavien nach Frankreich erstreckte, ziemlich helles, vom 27. an bei tiefem Druck im Osten bis Südosten wieder trübes Wetter mit Niederschlägen am Monatsende.

Für den **September** ergeben sich südseits der Alpen zu niedrige, nordseits zu hohe Temperaturmittel. Die Abweichungen vom Normalwert überschreiten aber nirgends 1°. — Die Trübung war meist zu groß, namentlich in der Westschweiz und am Alpensüdfuß, wo zum Teil weniger als 40 % helle und mehr als 150 % trübe Tage gezählt wurden. Die Sonnenscheindauer war fast überall unternormal, besonders in Lugano, wo sie nur 158 statt 201 Stunden beträgt. Ueberschüsse haben Zürich und Säntis. — Niederschläge gingen hauptsächlich im westschweizerischen Mittelland nieder, wo 20 % Ueberschüsse gefunden werden. Dagegen weist die übrige Schweiz ein Defizit auf, das im Osten am größten ist. Für Chur ergeben sich bloß noch 17 % Niederschlag. Die Zahl der Niederschlagstage war auf der Alpennordseite fast überall zu klein, auf der Südseite zu groß.

Die ersten Tage des Monats waren wenigstens auf der Alpensüdseite ziemlich hell. Eine schwach ausgeprägte Druckrinne, die von Westen nach Osten über das Alpengebiet hinwegging und sich dann im Südosten zu einer Depression entwickelte, brachte am 3. und 4. eine allgemeine Trübung mit Niederschlägen. Dann folgte stark bewölktes Wetter mit gelegentlichen Regenfällen. Vom 8. bis 10. herrschte Regenwetter am Alpensüdfuß, verursacht durch eine Depression im Südwesten. Dann trat in einer Zunge des Azorenhochs Aufheiterung ein. Am 15. verursachte ein Kaltlufteinbruch aus Norden Gewitterniederschläge. Er führte zum Aufbau eines kräftigen Hochs über Mitteleuropa, was rasche Aufheiterung zur Folge hatte. Das Hoch verlagerte sich bald nach dem östlichen Europa, so daß während des letzten Monatsdrittels, unter dem Einfluß südlicher Luftzufuhr, bei uns bewölktes aber ziemlich trockenes Wetter bei wesentlich höheren Temperaturen als bisher herrschte. Stärkere Trübung und Niederschläge traten wieder am Monatsende auf, indem der südliche Ausläufer des bisher über dem Atlantik gelegenen Zyklonensystems sich nach dem Kontinent verlagerte.

Der **Oktober** war etwas zu warm, zu hell und zu trocken. Die Ueberschüsse der Temperatur über den Normalwert betragen am Alpennordfuß und im Wallis etwa ¾ bis 1°, in der Jurazone ¼°, auf der Alpensüdseite ½°. Leichte negative Abweichungen ergeben sich für St. Gallen und Chur. — Der Bewölkungsgrad war im Nordosten annähernd normal, sonst überall bis zu 20 % zu klein. Im Norden und Süden herrschten die mittleren Bewölkungsverhältnisse vor, dagegen hat der Westen neben zu wenig trüben, beträchtliche Ueberschüsse an hellen Tagen (Bern 6 statt 2.4). Die Sonnenscheindauer war überall zu groß (Zürich 133 statt 96 Stunden). — Nach der Niederschlagsmenge wie nach der Zahl der Regentage erscheint das nordschweizerische Mittelland als sehr trocken. Zürich hat beispielsweise nur 37 % des Normalbetrages erhalten. Gegen Westen nähert sich die Zahl der Regentage der normalen. Hier sind die Niederschlagsmengen wenig größer als die Hälfte ihres Normalwerts. Für das Tessin und die Ostschweiz ergeben sich etwa 60 % des Normalbetrages.

Während des ersten Drittels des Monats herrschte in der Schweiz veränderlich bewölktes Wetter bei meist lebhaften westlichen Winden. Niederschläge fielen am Alpennordfuß hauptsächlich am 1., 4. und 11., südseits der Alpen am 1. und 3. Der 9. und 10. waren ziemlich heiter, die Temperatur meist etwas übernormal. Vom 12. bis 19. lagerte ein Hochdruckgebiet über den Alpen. Während dieser Zeit war die Südschweiz und die Höhe oberhalb 800 bis 1700 m, anfangs auch die Westschweiz ziemlich heiter, der Alpennordfuß meist etwas neblig bei mäßiger Bewölkung, die Temperatur übernormal. Durch Zufuhr kalter Luft aus NNE baute sich am 20. ein kräftiges Hoch über Westdeutschland auf. Es verlagerte sich später nach der Ostsee, was auch bei uns eine Senkung der Temperatur unter die Normale zur Folge hatte. Vom 25. bis ans Monatsende lagerte ein Tiefdrucksattel über Westeuropa. Während dieser Zeit war der Himmel meist bedeckt, und am 26. bis 28. fielen Niederschläge.

Der **November** zeichnet sich durch ungewöhnlich hohe Temperaturen und große Trockenheit aus. Die Temperaturüberschüsse betragen im Mittelland und in den Tälern Graubündens zirka 2½°, auf den Hochstationen und im Jura 3—3½°, am Alpensüdfuß 1½°. — Der Bewölkungsgrad war unternormal. Luzern und Montreux treten durch ungewöhnlich viele helle Tage hervor. Die Sonnenscheindauer war dementsprechend zu groß, namentlich in Bern mit 117 statt 58 Stunden. Nur kleine Ueberschüsse hatten Genf, Lausanne und Säntis. — Die Niederschläge übersteigen die Normalmenge in der Südschweiz. Auf der Alpennordseite hat man überall ein Defizit. Besonders geringe Beträge bis auf 30% herunter weist das Gebiet von Schwyz und Glarus auf. Die Waadt erhielt etwa 90%, das nördliche Mittelland 40—50%.

Während der ersten Tage befand sich die Schweiz am Rand eines ausgedehnten Tiefdruckgebietes im Norden. Das Wetter war eher kühl und stark bewölkt. Am 2. verursachte eine Kaltfront Niederschläge im Nordosten des Landes. Unter dem Einfluß eine Invasion wärmerer Luft aus Westen trat am 5. eine wesentliche Erwärmung ein, der bald Aufheiterung in der Höhe und Nebelbildung in der Ebene folgten. Dieses Wetter blieb nach Verlagerung des Hochs nach Ost- und später Mitteleuropa erhalten. Am 17. führte die Passage einer alten, unter dem Einfluß des Hochdruckgebietes ziemlich aufgelösten Front zu vorübergehender Trübung. Indem die Störungszonen der atlantischen Depression sich tiefer in den Kontinent hineinarbeiteten, trat vom 20. an eine wesentliche Wetterverschlechterung ein mit täglichen Niederschlägen bis zum 24. Während der folgenden Tage lag die Schweiz wieder in der Randzone einer starken Westströmung, verursacht durch ein Tiefdruckgebiet südlich von Island. Das Wetter war bis ans Monatsende trocken, eher kühl und am 25.—27. unter Föhn- und Hochdruckeinfluß ziemlich heiter.

Im **Dezember** hatten das Mittelland und die Jura-ne um 1—1½ °, der Alpensüdfuß um ½ ° zu tiefe Tem-eraturen. In Graubünden und im Wallis finden sich eberschüsse, die aber 1 ° nicht übersteigen. — Die rübung war besonders im Alpengebiet zu groß. So hatte raubünden nur etwa ¼ der normalen Zahl heller Tage nd einen um die Hälfte zu großen Bewölkungsgrad. uch der Alpensüdfuß erscheint zu stark bewölkt; da-gen zeigt der Nordfuß ungefähr die normalen Bewöl-ngszahlen. Entsprechendes ergibt sich für die Sonnen-heindauer. Davos hatte nur 53 statt 93, Lugano 80 statt 17 Stunden. — Die Niederschlagsmengen zeigen Ueber-hüsse in der Jurazone und im Tessin (bis 40 %), sonst berall ein Defizit, besonders im Wallis (Sion nur 50 % es Normalbetrags). Die Zahl der Niederschlagstage ingegen war überall zu groß. Die große Trockenheit er letzten Monate kam in der geringen Schneehöhe im ebirge zum Ausdruck. Im Mittelland bestand eine chneedecke etwa vom 18. an.

Unter dem Einfluß einer großen Depression im Nord-esten herrschte auf der Alpennordseite zu Beginn des Monats bei ziemlich milden südwestlichen Winden meist bedecktes Wetter mit Regenfällen am 2., 3. und 5. Etwa vom 8. an beginnt der Druck über Osteuropa zu steigen, was zur Ausbildung einer Föhnlage und damit im Süden, wo der Himmel seit Beginn des Monats heiter gewesen war, zu Trübung und Niederschlägen vom 9. bis 12. führte. Die Verstärkung und Verlagerung des Hochs nach Nord- später Nordwesteuropa hatte dann einen Vorstoß kontinentaler Kaltluft aus Rußland zur Folge, dem wir die tiefen Temperaturen der zweiten Monatshälfte zu verdanken haben. Eine Depression, die sich zwischen dem 19. und 23. von Spanien nach Frankreich und Italien verlagerte, brachte besonders dem Alpensüdfuß Schneefälle. Nach einer kurzen Bisenlage am 25. und 26. erfolgte auf der Westseite einer Rinne, die sich am 28. von der Ostsee nach Italien erstreckte, ein Einbruch maritimer Luft aus Norden, wodurch die Temperatur wieder auf den Nullpunkt stieg und am Alpennordfuß kräftiger Schneefall einsetzte. Der Südfuß war vom 23. an meist heiter.

Abweichungen von den langjährigen Mitteln 1938

	Höhe m	Januar	Februar	März	April	Mai	Juni	Juli	August	September	Oktober	November	Dezember	Jahr
		a) **Temperatur** (Monats- und Jahresmittel)												
Basel	318	3.3	0.3	3.7	−2.5	−0.8	1.3	−0.3	0.4	1.2	0.2	3.5	−1.8	0.7
La Chaux-de-Fonds	990	1.5	−1.7	2.1	−3.2	−1.3	1.2	−1.1	−0.3	0.0	0.3	3.1	−1.0	0.0
Zürich	493	2.8	0.0	4.0	−2.5	−1.4	1.2	−1.0	0.1	0.8	0.9	2.8	−1.4	0.5
Bern	572	2.7	0.0	3.5	−2.4	−1.0	1.4	−1.0	0.0	0.5	0.8	2.5	−0.8	0.5
Lausanne	553	1.9	−0.8	4.0	−1.5	−0.9	1.8	−0.5	0.2	0.7	0.9	2.7	−1.1	0.6
Genf	405	2.6	−0.7	2.9	−1.6	−0.7	1.6	−0.6	0.2	0.6	1.1	2.2	−1.0	0.5
Davos	1561	0.5	−1.5	2.3	−3.0	−1.0	1.9	−0.6	0.1	0.6	0.4	2.4	0.8	0.3
Säntis	2500	−0.6	0.8	4.5	−4.0	−0.4	2.5	−0.1	0.6	0.8	1.6	3.3	−1.5	0.6
Lugano	276	−0.1	0.1	3.1	−0.9	−1.8	1.6	−0.3	−0.7	−0.7	0.5	1.5	−0.4	0.2
		b) **Sonnenscheindauer** (Monats- und Jahressummen in Stunden)												
Basel	318	−25	6	101	48	−47	21	−41	−41	−6	19	25	−16	44
La Chaux-de-Fonds	990	−30	18	100	89	−19	46	−15	−51	−20	32	29	−5	174
Zürich	493	−5	5	110	46	−33	16	−33	−29	13	37	23	−16	134
Bern	572	−26	−7	128	108	−32	29	0	−31	0	17	59	−8	237
Lausanne	553	−13	−7	134	142	−55	30	−2	−45	−22	31	11	−21	183
Genf	405	−12	−8	139	141	−56	23	9	−35	−22	40	8	−11	216
Davos	1561	−42	27	37	8	−30	47	−24	−53	−22	33	23	−38	34
Säntis	2500	−69	46	70	−14	−2	46	−7	−47	7	44	16	−37	53
Lugano	276	−5	23	67	78	−70	16	−29	−51	−43	13	37	−37	−1

Nr. 2

Liste des chutes de grêle en Suisse pendant l'année 1938

établie à l'aide des statistiques de la Station centrale de météorologie, de celles de la Société Suisse d'Assurance contre la Grêle à Zurich et de l'Assurance-Grêle cantonale vaudoise à Lausanne, par Ch. Golaz.

Canton	Jan.	Mai													Juin												Juillet								
	29	1	7	10	13	17	18	19	23	27	29	30	31	1	3	4	8	9	10	11	19	22	25	26	27	1	2	3	4	5	8	10	11	13
Argovie	.	.	.	.	.	.	.	.	.	.	.	1	.	.	.	.	.	.	.	.	.	.	.	.	.	.	.	.	.	.	.	.	.	10
Appenzell	.	.	.	.	.	3	.	1	.	.	.	.	.	.	.	.	.	.	.	.	.	.	.	.	.	.	.	.	.	.	.	.	.	.
Bâle	3	.	.	.	.	.	.	.	.	6	.	.	.	.	3	.	.	.	.	.	.	14	.	.	.	.	.	.	.	.	.	.	.	.	1
Berne	.	.	.	.	.	1	.	.	.	6	.	3	7	1	.	.	.	44	.	.	.	23	.	.	.	22	.	3	1	1	2	.	.	7
Fribourg	.	.	.	.	.	.	.	.	.	.	1	1	.	.	.	.	.	10	.	.	.	5	3	.	.	.	.	.	.	.	.	.	.	7
St-Gall	.	.	.	.	.	.	.	.	.	.	.	.	.	.	.	.	.	.	.	.	.	3	1	.	.	5	.	.	.	.	.	.	.	1
Genève	.	.	.	.	.	.	.	.	.	.	.	.	.	.	.	.	.	.	.	.	.	.	.	.	.	.	.	.	.	.	.	.	.	.
Glaris	.	.	.	.	.	.	.	.	.	.	.	.	.	.	.	.	.	.	.	.	.	.	.	.	.	.	.	.	.	.	.	.	.	.
Grisons	.	.	.	.	.	.	.	.	.	.	.	.	.	.	.	.	.	.	.	.	.	.	.	.	.	.	.	.	.	.	.	.	.	.
Lucerne	.	.	1	1	.	.	1	.	.	.	.	.	3	1	.	.	.	.	.	.	.	1	1	3	.	1	.	.	.	.	5	.	.	.
Neuchâtel	.	.	.	.	.	.	.	.	.	.	.	.	.	.	.	.	.	1	.	.	.	22	.	.	.	.	.	.	.	.	.	.	.	14
Schaffhouse	.	.	.	.	.	.	.	.	.	.	.	.	.	.	.	.	.	.	.	.	.	.	.	1	.	.	.	.	.	.	.	.	.	.
Schwyz	.	.	.	.	.	.	.	.	.	.	.	.	.	.	.	.	.	.	.	.	.	1	.	3	.	.	.	.	.	.	.	.	.	.
Soleure	.	.	.	.	.	.	.	.	.	.	.	.	.	.	.	.	.	6	.	.	.	13	.	.	.	1	.	.	.	.	.	.	.	24
Tessin	.	3	.	.	12	.	18	.	1	.	.	.	.	.	7	1	1	10	1	2	2	1	1	4	.	48	6	.	.	.	.	.	.	.
Thurgovie	.	.	.	.	.	.	.	.	.	.	.	.	.	.	.	.	1	3	.	.	.	.	.	1	.	.	.	.	.	.	.	2	.	3
Unterwald	.	.	.	.	.	.	.	.	.	.	.	.	.	.	.	.	.	.	.	.	.	3	.	5	1	.	.	.	.	.	.	.	.	1
Uri	.	.	.	.	.	.	.	.	.	.	.	.	.	.	.	.	.	.	.	.	.	1	.	1	.	.	.	.	.	.	.	.	.	1
Vaud	.	.	.	.	.	.	.	.	.	.	.	.	.	.	.	.	.	1	.	1	1	23	3	.	.	.	2	.	.	.	1	.	.	6
Valais	.	.	.	.	.	.	.	.	.	.	.	.	.	.	.	.	.	.	.	.	.	1	.	.	.	.	.	.	.	.	1	.	.	.
Zurich	.	.	.	.	.	.	.	.	.	.	.	.	.	.	.	.	.	.	.	1	.	.	.	.	.	.	.	1	.	.	.	.	1	23
Zoug	.	.	.	.	.	.	.	.	.	.	.	.	.	.	.	.	.	.	.	.	.	.	.	2	.	.	.	.	.	.	1	.	.	1
Totaux	3	3	1	1	12	4	19	1	1	12	1	5	10	2	10	1	2	75	1	4	3	111	9	20	1	77	8	4	1	1	10	2	1	17
par mois	3	70												239																				

Suite de la dite statistique.

Canton	Juillet					Août																				Septembre						Somme
	21	23	26	27	29	4	5	6	7	8	9	10	11	12	13	14	20	21	22	23	24	25	27	29	30	4	5	6	15	19	24	
Argovie	.	3	53	.	.	.	.	4	3	.	1	.	.	.	.	.	.	.	.	.	.	.	.	1	.	.	.	.	1	9	3	95
Appenzell	.	.	1	.	.	.	.	3	.	.	.	.	3	.	.	.	.	.	.	.	.	.	.	.	.	.	.	.	.	.	.	11
Bâle	.	1	.	.	.	.	.	3	.	.	3	.	11	1	.	.	.	.	.	.	.	.	.	.	.	.	.	.	.	.	.	54
Berne	.	4	74	.	1	.	5	.	1	.	21	2	23	3	.	.	.	.	.	.	.	.	.	6	.	.	.	4	.	2	.	333
Fribourg	.	1	4	1	.	.	.	3	.	.	8	.	6	.	1	.	.	.	.	.	.	.	.	.	.	.	.	.	.	.	.	51
St-Gall	.	2	1	.	.	.	5	8	.	.	1	.	13	.	.	.	22	.	.	.	.	.	.	.	.	.	.	.	3	.	3	68
Genève	.	.	.	.	.	.	.	6	.	.	.	.	.	.	.	.	.	.	.	.	.	.	.	.	.	.	.	.	1	.	.	7
Glaris	.	1	.	.	.	.	1	.	.	.	.	.	.	.	.	.	.	.	.	.	.	.	.	.	.	.	.	.	.	.	.	2
Grisons	.	.	.	.	.	2	.	.	.	.	.	.	.	.	.	.	.	.	.	.	.	.	.	.	.	.	.	.	.	.	.	2
Lucerne	.	5	13	.	.	.	9	6	7	.	7	4	1	.	.	1	2	.	.	.	.	.	.	.	1	.	2	.	1	5	.	82
Neuchâtel	.	.	1	.	.	.	.	28	.	.	.	.	.	.	.	.	.	.	.	.	.	.	.	.	.	.	.	.	.	.	.	66
Schaffhouse	.	.	.	.	.	.	.	.	.	1	.	.	.	.	.	.	1	.	.	.	.	.	.	.	.	1	4	.	.	.	.	8
Schwyz	.	.	.	.	.	.	.	2	.	.	.	.	.	.	.	.	.	.	.	2	.	.	.	2	.	.	.	.	.	.	.	10
Soleure	.	4	45	.	.	3	.	.	1	.	1	.	10	.	.	.	.	.	.	.	.	.	.	.	.	.	.	.	.	1	.	109
Tessin	1	.	.	.	32	.	.	3	11	.	21	5	.	.	.	.	.	2	.	.	.	.	1	.	.	.	.	.	.	.	.	194
Thurgovie	.	1	.	.	.	.	2	3	.	.	.	.	.	.	.	.	6	.	.	.	.	1	.	.	.	.	2	.	6	.	.	31
Unterwald	.	4	1	.	.	.	.	.	.	.	.	.	.	.	.	.	.	.	.	.	.	.	.	.	.	.	.	.	.	.	.	15
Uri	.	.	.	.	.	.	.	.	.	.	.	.	.	.	.	.	.	.	.	.	.	.	.	.	.	.	.	.	.	.	.	3
Vaud	.	.	3	.	.	.	.	9	.	.	3	.	24	.	.	.	.	.	.	.	.	.	.	1	.	.	.	.	4	.	.	82
Valais	.	.	.	.	.	.	.	1	.	.	.	.	.	.	.	.	.	.	.	.	.	.	.	.	.	.	.	.	.	.	.	3
Zurich	.	.	1	.	.	.	.	12	1	.	2	.	2	1	1	.	1	.	1	5	1	.	.	2	.	.	1	.	2	3	1	63
Zoug	.	2	.	.	.	.	.	.	3	.	1	.	.	2	.	.	.	.	.	3	.	.	.	.	.	.	.	1	.	.	1	17
Totaux	1	28	197	1	33	5	22	91	27	1	69	11	93	7	2	1	32	2	1	10	1	1	1	12	1	1	9	5	18	20	8	1306
par mois	543					390																				61						1306

Nr. 3

Monats- und Jahressummen

der Niederschlagsmessungen sämtlicher meteorol. Stationen I.—III. Ordnung

im Jahre 1938.

Bei Zählung der Niederschlagstage sind in dieser Tabelle nur die Tage mit mindestens 1,0 mm berücksichtigt worden.
Die mit * bezeichneten Summen sind nach den Nachbarstationen interpoliert.

Stationen:	Höhe üb. Meer	Jan.	Febr.	März	April	Mai	Juni	Juli	Aug.	Sept.	Okt.	Nov.	Dez.	Jahr	Maxima		Zahl d. Tage
A. Rheingebiet																	
I. Quellgebiet bis Bodensee.																	
Sedrun (Tavetsch)	ca 1401	170	77	31	60	92	148	212	107	44	87	33	81	1142	66	1. VII.	115
Platta (Medels)	1378	109	71	27	51	126	160	235	124	69	86	46	74	1178	82	1. VII.	117
Vial	ca 1280	101	38	28	68	116	184	287	145	53	100	60	57	1237	102	1. VII.	115
Val	1210	75	61	?1	?31	90	151	218	133	42	73	45	60	?	82	1. VII.	92
Surrhein	ca 892	152	53	49	28	83	130	171	135	31	70	22	61	985	60	1. VII.	98
Panix	ca 1300	138	78	48	48	21	127	137	133	27	67	26	59	909	77	1. V.	124
Vrin	ca 1454	86	35	26	52	38	136	185	121	43	84	25	57	888	53	2. VII.	102
Vals	ca 1248	56	20	22	31	26	127	158	100	41	74	103	57	815	74	21. XI.	97
Ilanz	ca 704	103	35	31	20	20	120	147	82	24	71	34	49	736	48	2. VII.	97
Flims	ca 1102	142	49	?37	41	102	125	193	126	29	72	32	67	1015	51	2. VII.	118
Safienplatz	ca 1270	96	37	41	42	80	158	158	125	37	83	32	57	946	43	2. VI/2. VII.	117
Bernhardin-Pass	2073	58	15	49	106	401	266	254	176	202	135	282	184	2128	111	21. XI.	106
Hinterrhein	ca 1624	52	20	4	50	149	198	216	135	100	104	109	49	1186	54	1. VII.	102
Splügen (Dorf)	ca 1500	57	26	30	55	147	186	211	171	71	116	45	76	1191	55	2. VII.	107
Avers am Bach	ca 1955	33	15	19	*25	*95	154	152	117	57	83	20	53	823	61	21. VIII.	97
Inner-Ferrera	ca 1480	21	9	13	24	95	179	188	171	71	61	125	48	1005	86	21. XI.	83
Andeer	ca 980	63	17	28	23	86	157	129	113	44	90	38	54	842	64	2. VI.	75
Thusis	ca 711	60	17	29	32	68	159	149	106	41	73	45	55	834	45	2. VII.	94
Stalla (Bivio)	ca 1780	86	68	40	29	95	111	149	114	55	108	54	79	988	65	2. VII.	109
Savognin	ca 1213	60	23	36	16	66	144	108	144	36	80	29	50	792	50	21. VIII.	99
Weissfluhjoch	2660	185	81	126	49	121	216	162	254	86	72	55	91	1498	80	27. III.	130
Davos-Platz	1561	107	42	41	18	54	126	113	179	53	52	21	51	857	48	2. VII.	115
Davos (Schatzalp)	1868	113	48	42	27	60	122	115	177	63	51	19	62	899	47	2. VII.	126
Albula (Hospiz)	ca 2315	38	15	12	14	50	105	117	200	79	53	45	44	772	50	21. VIII.	95
Filisur	ca 1040	56	18	26	9	55	115	101	131	49	73	21	44	698	52	2. VII.	91
Lenzerheide	ca 1477	79	25	20	34	54	130	115	105	33	59	21	35	710	40	2. VII.	101
Nisellas (Alvaschein)	ca 890	57	20	26	12	42	127	101	115	28	73	22	41	664	46	2. VII.	83
Tomils	ca 823	63	24	28	34	57	138	140	67	33	62	19	52	717	47	2. VII.	96
Arosa	1854	127	58	52	52	85	189	154	175	60	66	37	60	1115	46	2. VII.	126
Langwies	ca 1377	69	45	42	29	61	110	105	123	54	60	20	57	775	38	21. VIII.	110
Tschiertschen	1351	122	61	39	53	79	183	107	119	25	62	22	61	933	42	2. VII.	103
Chur	610	89	36	33	27	55	127	102	79	14	49	24	48	683	39	2. VII.	102
Klosters	ca 1207	129	66	41	32	88	149	107	162	51	63	27	65	980	38	2. VII.	116
St. Antönien	ca 1460	162	71	58	53	96	121	156	155	47	80	29	73	1101	38	27. III/13. VIII	126
Schiers	670	131	61	42	26	78	149	96	104	19	44	14	55	819	35	2. VII.	115
Seewis	954	152	87	56	45	114	139	120	136	20	59	21	65	1014	55	13. VIII.	124
Plantahof b. Landquart	ca 530	100	41	56	34	76	255	105	96	25	41	18	67	814	44	2. VI.	108
Vättis	950	132	55	51	49	79	142	131	88	28	48	26	69	898	42	2. VII.	120
Bad Ragaz	521	—	—	—	—	—	—	—	—	29	42	11	69	—	—	—	—
Valens	925	157	100	94	69	107	139	175	115	37	32	37	89	1151	43	27. III.	125
Sargans	508	154	100	69	62	96	151	133	160	42	45	11	80	1130	50	13. VIII.	117
Sevelen	464	107	55	37	41	99	127	159	165	51	57	11	50	959	45	2. VII.	106
Vaduz (Liechtenstein) *)	ca 460	*) 96	*) 56	*) 36	*) 44	89	128	205	120	42	37	8	35	—	—	—	—
Haag	448	101	51	55	58	122	119	182	177	68	49	20	60	1062	38	27. III.	114

*) Vaduz: Vom I.—IV. wurde noch in Triesenberg (830 m) beobachtet.

Stationen:	Höhe üb. Meer	Jan.	Febr.	März	April	Mai	Juni	Juli	Aug.	Sept.	Okt.	Nov.	Dez.	Jahr	Maxima		Zahl d. Tage
II. Bodensee bis Basel.																	
Altstätten	452	163	60	66	67	135	124	161	240	68	55	35	88	1262	55	13./20. VIII.	121
Heiden	ca 808	55	20	?12	71	140	183	194	243	158	64	46	88	1254	71	30. IX.	132
Rorschach	455	107	32	42	56	122	146	170	217	101	55	24	72	1144	55	20. VIII.	111
St. Gallen	702	111	33	51	74	134	134	208	249	84	58	29	74	1239	45	20. VIII.	136
Arbon	ca 409	101	23	45	48	103	105	174	250	56	48	24	53	1030	59	20. VIII.	119
Amriswil	ca 455	107	27	41	51	111	76	164	233	63	48	22	53	996	50	20. VIII.	123
Altnau	ca 458	120	23	30	39	102	83	131	189	51	44	21	53	886	45	13. VIII.	116
Kreuzlingen	446	109	27	34	32	89	105	164	186	63	45	25	51	930	44	20. VIII.	115
Haidenhaus	694	79	24	22	27	92	163	188	194	107	39	31	49	1015	66	30. IX.	113
Steckborn	ca 400	97	25	31	25	76	157	135	135	72	30	24	49	856	38	30. IX.	109
Eschenz	ca 417	121	31	34	21	76	127	136	144	59	32	30	51	862	38	20. VIII.	104
Thayngen	ca 455	130	31	15	20	68	129	121	120	58	50	32	45	819	35	9. VI.	116
Buch (Schaffhausen)	430	104	19	16	14	79	172	144	126	49	42	30	33	828	47	13. VI.	100
Diessenhofen	ca 410	113	25	28	15	104	186	161	175	43	52	29	38	969	48	13. VI.	108
Lohn	ca 643	145	31	18	18	76	146	127	110	56	47	39	52	865	49	9. VI.	119
Merishausen	ca 535	178	32	22	20	90	124	140	121	36	52	42	56	913	34	13. VI.	117
Schaffhausen	448	127	30	25	16	84	121	133	108	58	50	39	44	835	40	13. VI.	122
Rheinau	ca 361	99	22	19	15	81	127	116	91	46	40	33	32	721	39	9. VI.	110
Flaach	362	117	24	30	10	31	130	146	155	76	43	35	51	848	44	13. VIII.	107
Wil (bei Rafz)	ca 410	141	32	33	20	99	110	154	131	48	48	44	61	921	37	13. VIII.	104
Kaiserstuhl	ca 342	142	46	30	18	92	93	146	137	51	46	42	59	902	31	4. VII.	122
Schleitheim	477	144	36	16	13	76	129	120	97	40	46	38	37	792	27	24. VII.	109
Hallau	450	141	31	17	12	78	156	117	85	39	47	38	36	797	44	9. VI.	101
Wilchingen	ca 415	154	39	24	12	97	153	140	87	43	66	44	41	900	59	11. VI.	115
Laufenburg	ca 325	161	52	29	8	33	100	166	151	87	69	34	64	954	37	17. I.	122
Wittnau	ca 415	119	37	21	11	61	140	151	138	71	61	29	67	906	37	12. VI.	110
Frick	ca 350	144	33	19	13	91	129	159	137	82	63	30	64	964	36	4. VII.	120
Möhlin	ca 332	121	37	19	14	87	119	174	160	90	60	32	67	980	44	20. VIII.	115
Wintersingen	444	113	45	20	25	105	138	163	172	59	57	30	69	996	42	13. VI.	122
Rheinfelden	280	103	34	19	12	88	111	184	156	74	60	27	64	932	43	20. VIII.	115
Kilchberg	ca 582	105	40	17	20	96	180	183	167	56	65	29	55	1013	48	13. VI.	130
Böckten	ca 385	103	42	16	18	95	148	165	178	53	56	29	64	967	43	13. VI.	123
Eptingen	ca 571	142	45	7	19	112	176	207	142	56	75	36	65	1082	55	13. VI.	116
Bennwil	ca 526	122	42	13	19	118	159	191	160	59	65	36	61	1045	48	13. VI.	125
Waldenburg	ca 533	125	41	12	22	124	173	205	159	58	63	40	53	1075	52	13. VI.	120
Lampenberg	ca 404	116	49	15	19	112	158	190	145	56	61	32	62	1015	49	13. VI.	124
Reigoldswil	ca 497	130	43	16	23	124	183	209	192	66	68	43	58	1155	54	12. VI.	123
Liestal	325	110	35	17	20	118	154	200	161	51	56	33	60	1015	44	12. VI.	122
Arisdorf	ca 430	79	31	19	16	99	112	173	147	51	50	19	60	866	42	20. VIII.	107
Basel-Augst	ca 275	81	27	12	14	74	113	191	135	55	55	23	48	828	41	20. VIII.	112
Mervelier	ca 560	111	58	15	23	94	215	160	236	43	68	39	65	1127	51	13. VIII.	107
Bellelay	ca 930	151	66	26	27	96	213	176	123	71	56	51	87	1143	87	12. VI.	129
Delémont	ca 435	93	37	13	17	86	179	136	168	40	52	31	53	905	58	12. VI.	117
Seewen	ca 551	85	42	15	16	118	190	182	176	76	58	34	61	1053	61	12. VI.	123
Grellingen	ca 328	102	41	10	15	115	265	190	178	89	56	29	56	1146	93	12. VI.	119
Pfeffingen	ca 394	102	31	13	20	91	246	188	146	70	60	28	56	1051	88	12. VI.	108
Neue Welt	ca 267	74	25	16	13	95	150	183	177	64	57	16	44	914	57	20. VIII.	105
Therwil	ca 310	77	25	14	13	80	191	170	135	57	62	25	46	895	71	12. VI.	108
Basel-Binningen	310	74	24	18	14	88	153	197	153	66	57	19	50	913	45	12. VI.	111
Basel-Bernoullianum	277	80	23	21	16	89	152	188	148	76	53	21	56	923	45	12. VI.	115
III. Thur.																	
Wildhaus	1115	213	107	69	112	157	175	207	206	129	132	59	87	1653	43	13. VIII.	121*
Starkenbach	ca 894	206	103	121	88	159	224	234	269	109	81	50	114	1758	61	13. VIII.	141
Ebnat	649	207	74	82	57	174	115	173	216	104	77	51	98	1531	56	13. VIII.	133
Ricken	790	158	45	86	68	155	152	243	332	110	76	42	94	1561	105	13. VIII.	141
Lichtensteig	ca 617	198	75	71	58	131	158	178	300*	77	62	36	95*	1439	?	—	129
Peterzell	ca 705	172	60	68	87	167	135	215	298	139	63	39	91	1534	53	13. VIII.	137
Nollen	ca 740	95	24	47	56	118	126	166	232	78	51	26	59	1078	53	20. VIII.	124

Stationen:	Höhe üb. Meer	Jan.	Febr.	März	April	Mai	Juni	Juli	Aug.	Sept.	Okt.	Nov.	Dez.	Jahr	Maxima		Zahl d. Tage
Degersheim . . .	ca 814	124	53	55	77	164	150	209	250	115	71	36	92	1396	50	13. VIII.	140
Herisau	ca 777	131	41	52	70	143	142	216	276	101	50?	26	100	1348	62	20. VIII.	128
Flawil	ca 616	124	39	49	66	133	138	188	237	116	61	30	84	1265	45	20. VIII.	139
Säntis	2500	253	119	108	131	191	146	281	344	126	109	85	147	2040	91	13. VIII.	154
Urnäsch	ca 837	158	69	77	85	160	180	221	270	83	74	43	100	1520	61	13. VIII.	146
Befang b. Hundwil .	870	163	67	72	89	176	176	252	269	113	84	37	123	1621	55	13. VI./13. VIII.	136
Appenzell	ca 781	125	50	65	84	137	172	191	204	73	71	34	76	1282	42	20. VIII.	127
Schwäbrig	1152	140	71	83	107	131	184	246	243	96	71	44	121	1537	67	13. VIII.	139
Teufen	ca 853	136	62	68	103	168	180	280	274	97	77	33	95	1573	49	13. VII.	136
Bischofszell	ca 502	100	37	46	55	125	97	168	215	77	46	23	58	1047	57	20. VIII.	129
Sulgen	ca 483	104	24	35	47	105	107	162	186	65	50	25	50	960	36	13. VI./13. VIII.	124
Weinfelden	ca 446	119	30	37	40	96	96	163	191	71	47	25	56	971	44	20. VIII.	109
Raperswilen . . .	ca 590	116	26	31	31	90	127	162	181	74	35	21	49	943	53	20. VIII.	115
Müllheim	ca 415	110	32	34	30	87	127	166	193	62	47	31	58	977	50	13. VIII.	110
Dussnang	ca 595	171	45	57	50	144	152	217	232	77	71	36	82	1334	63	13. VIII.	132
Eschlikon	ca 502	145	40	48	44	129	124	186	200	83	58	21	49	1127	43	20. VIII.	126
Wängi	ca 430	103	22	31	38	100	96	154	179	60	44	24	47	898	51	20. VIII.	102
Aadorf	ca 538	126	29	34	38	107	123	181	178	72	59	31	61	1039	57	20. VIII.	118
Affeltrangen . . .	ca 495	92	32	44	52	114	141	199	236	63	53	24	50	1100	48	20. VIII.	116
Thundorf	ca 560	63	28	20	32	104	132	154	186	59	44	25	51	898	55	20. VIII.	104
Frauenfeld	433	103	29	27	35	84	117	140	172	75	45	27	52	906	35	20. VIII.	118
Kalchrain	ca 585	102	28	29	26	85	144	142	163	64	38	26	46	893	56	11. VI.	110
Nieder-Neunforn . .	ca 446	96	25	24	21	87	141	145	183	62	44	30	40	898	43	20. VIII.	114
Andelfingen . . .	370	114	33	18	17	91	118	140	159	63	46	35	54	888	40	13. VIII.	119
IV. Töss.																	
Bauma	ca 643	165	61	57	62	138	134	265	331	94	60	33	92	1492	84	13. VIII.	134
Sternenberg	ca 880	143	60	49	56	146	130	259	310	101	63	35	86	1438	77	13. VIII.	137
Kollbrunn	ca 495	151	42	41	44	119	116	217	245	72	67	33	74	1221	61	20. VIII.	125
Fehraltorf	ca 536	112	35	37	43	127	101	218	248	68	49	30	68	1136	55	20. VIII.	128
Winterthur	ca 448	143	32	36	42	107	163	179	228	63	63	44	49	1149	51	20. VIII.	121
V. Glatt.																	
Grüningen	ca 488	121	44	46	39	123	135	242	284	101	50	30	86	1301	52	20. VIII.	133
Hinwil	ca 569	129	53	50	56	142	157	255	348	90	60	28	87	1455	83	13. VIII.	126
Pfäffikon	ca 550	131	38	38	50	135	104	253	322	114	52	32	82	1351	75	13. VIII.	128
Uster	ca 466	119	28	43	33	111	102	214	232	106	39	35	65	1127	47	20. VIII.	125
Strickhof (Landwirtschaftl. Schule)	515	125	32	35	27	103	136	178	165	95	40	34	50	1020	45	13. VIII.	120
Oerlikon	ca 450	134	28	47	23	130	96	207	182	61	18	36	48	1010	52	13. VIII.	102
Hochfelden	ca 401	131	27	30	17	103	105	144	154	53	43	32	51	890	33	19. V.	114
VI. Limmat.																	
Weisstannen . . .	ca 1006	180	104	73	65	109	192	179	156	52	64	23	89	1286	46	2. VII.	142
Walenstadt	ca 430	167	95	64	70	106	129	183	226	64	56	20	81	1261	78	13. VIII.	136
Obstalden	ca 690	141	50	76	62	148	140	190	274	53	64	21	68	1287	88	13. VIII.	141
Auen (Linthal) . .	821	207	104	124	75	110	157	192	202	64	83	25	89	1432	84	13. VIII.	133
Urnerboden . . .	1389	184	101	68	89	108	172	235	267	82	90	27	76	1499	75	13. VIII.	143
Braunwald ob Linthal	1190	276	118	99	75	123	156	214	260	64	99	22	108	1614	88	13. VIII.	139
Elm	959	180	85	53	58	113	145	221	244	56	88	24	78	1345	58	1. VII.	135
Glarus	480	172	64	84	60	118	155	189	216	76	71	21	80	1306	52	13. VIII.	135
Klönthal	ca 838	169	70	73	81	149	188	245	325	99	95	25	80	1599	100	13. VIII.	159
Weesen	ca 430	161	96	69	116	148	143	225	270	64	79	30	104	1505	64	13. VIII.	141
Oberkirch (b. Uznach)	ca 468	151	69	68	68	179	143	230	296	97	68	39	106	1514	94	13. VIII.	133
Vorder-Wäggithal .	ca 740	190	93	72	82	174	180	263	297	121	87	37	102	1698	78	13. VIII.	138
Lachen	ca 410	123	42	40	64	148	148	218	268	97	64	26	81	1319	66	13. VIII.	124
Wald (Sanatorium) .	912	156	64	69	70	128	179	248	340	85	68	35	101	1543	112	13. VIII.	136
Bachtel	1120	68	63	18	97	95	156	170	231	100	21	28	91	1138	62	31. VIII.	125
Rapperswil	ca 412	111	35	49	48	121	121	190	212	92	41	23	69	1112	47	13. VIII.	122
Männedorf	ca 415	135	37	46	43	117	123	239	248	95	53	22	75	1233	56	30. VIII.	122
Horgen	ca 445	138	37	39	36	118	122	220	273	113	41	35	76	1248	67	13. VIII.	128
Thalwil	ca 425	137	34	43	33	111	139	217	246	96	38	39	71	1204	52	13. VIII.	132

Stationen:	Höhe üb. Meer	Jan.	Febr.	März	April	Mai	Juni	Juli	Aug.	Sept.	Okt.	Nov.	Dez.	Jahr	Maxima		Zahl Tage
Pfannenstiel . . .	ca 853	136	40	41	43	136	128	273	321	127	56	31	99	1431	63	13. VIII.	120
Küsnacht (Zürich) .	ca 412	129	29	39	28	97	141	199	223	136	36	39	59	1155	66	30. IX.	128
Zollikon (Anst. f. Epil.)	ca 460	125	22	37	23	101	129	205	188	87	35	36	56	1044	47	30. IX.	122
Zürich (Meteor. Z.-A.)	493	125	30	38	27	103	133	189	171	101	35	36	55	1043	46	30. IX.	110
Oberiberg	1090	205	96	77	94	175	164	246	358	152	104	36	93	1800	88	13. VIII.	152
Euthal	ca 895	199	110	63	71	223	192	319	286	104	97	41	101	1806	70	30. VIII.	143
Willerzell	ca 892	161	79	54	72	154	188	245	288	129	80	34	94	1578	56	30. VIII.	143
Einsiedeln	914	177	69	79	70	142	168	238	286	133	80	35	87	1564	70	13. VIII.	136
Schönenberg (Waldhalde)	ca 700	149	61	68	52	165	177	243	321	134	65	29	108	1572	74	13. VIII.	132
Sihlwald	493	—	—	—	—	—	—	—	—	—	—	—	—	—	—	—	—
Uetliberg (Bahnhof) .	815	47	33	31	33	122	146	201	181	105	46	33	50	1078	50	13. VIII.	128
Dietikon	ca 392	128	35	54	18	109	127	189	210	109	46	33	77	1135	56	6. VIII.	122
Boppelsen	ca 525	133	47	41	16	99	121	179	150	68	49	38	68	1009	53	13. VIII.	118
Otelfingen	ca 447	148	46	43	20	116	126	188	146	87	47	42	66	1075	50	30. IX.	124
Baden	381	123	39	43	10	98	123	163	197	52	39	32	53	972	38	13. VIII.	121
VII. Reuss.																	
Andermatt (Dorf) .	ca 1442	168	104	52	55	136	147	213	102	53	91	34	91	1246	81	1. VII.	123
Göschenen	1102	153	75	67	48	108	169	188	105	61	82	44	76	1176	69	1. VII.	121
Färnigen b. Wasen .	ca 1460	238	175	85	78	89	116	189	128	66	100	33	105	1402	55	27. III.	141
Gurtnellen	742	131	78	46	38	118	131	170	81	50	77	22	70	1012	51	1. VII.	120
Unterschächen . . .	ca 1015	187	103	50	87	134	154	225	209	92	106	17	71	1435	65	14. VIII.	137
Altdorf	456	108	57	47	43	108	128	187	146	99	60	19	67	1069	57	13. VIII.	131
Isenthal	ca 1000	151	101	62	77	118	146	234	201	116	86	28	96	1416	78	13. VIII.	140
Muotathal	ca 624	—	—	—	—	—	—	—	—	120	106	34	127	—	—	—	—
Schwyz	517	169	88	56	71	174	170	244	279	120	96	28	95	1590	73	30. VIII.	137
Sattel	ca 832	164	74	68	60	144	134	252	323	108	72	25	99	1523	77	13. VIII.	126
Gersau	ca 450	142	93	50	54	141	135	223	306	128	73	34	92	1471	100	13. VIII.	121
Weggis	450	101	54	40	58	155	176	240	294	146	49	25	63	1401	82	13. VIII.	124
Rigi-Kulm	1787	199	110	84	107	196	180	322	335	151	79	34	142	1939	71	13. VIII.	140
Küsnacht (Schwyz) .	ca 440	116	95	43	46	134	191	256	204	92	52	20	140	1389	50	13. VIII.	114
Engelberg	1018	170	123	48	79	133	189	236	174	101	94	28	91	1466	64	11. II.	136
Stans	ca 456	118	38	37	39	121	143	206	224	139	59	24	71	1219	55	13. VIII.	123
Lungern	726	164	94	58	48	122	146	215	204	92	67	39	83	1332	43	13. VIII.	131
Sarnen	ca 474	99	36	22	43	139	158	194	153	99	52	21	60	1076	38	21. VIII.	122
Pilatus-Kulm . . .	2068	257	117	48	106	157	204	229	279	167	49	28	123	1764	53	13. VIII.	141
Luzern (Wesemlin) .	498	82	38	35	29	121	139	210	208	92	51	24	67	1096	47	13. VI.	124
Luzern (Regierungsgeb.) .	ca 440	83	31	37	30	121	146	195	191	107	50	21	61	1073	47	13. VI.	119
Flühli	ca 893	161	58	47	42	141	180	239	253	125	74	48	77	1445	60	13. VIII.	130
Entlebuch	ca 722	146	57	51	44	138	177	200	250	109	68	43	75	1358	69	13. VI.	134
Werthenstein . . .	594	95	36	30	29	127	211	207	260	96	60	26	58	1235	76	13. VI.	123
Buchsteg (Eigental) .	ca 1050	172	67	68	67	209	273	272	269	202	92	54	98	1843	91	30. IX.	136
Morgarten	ca 729	155	59	68	63	158	164	244	322	195	74	28	88	1618	91	30. IX.	129
Unter-Aegeri . . .	ca 735	138	63	45	53	179	161	254	280	114	53	29	91	1460	66	13. VIII.	125
Lorzetobel	ca 550	125	56	36	46	175	152	252	390	201	61	28	86	1608	79	30. VIII. / 30. IX.	127
Walchwil	452	105	42	64	40	139	129	216	195	82	34	17	74	1137	49	13. VIII.	104
Zug	ca 429	95	35	32	36	147	156	214	229	111	49	21	71	1196	52	13. VI. / 13. VIII.	117
Hausen a. Albis . .	ca 603	116	39	36	48	134	165	244	274	155	47	20	85	1363	87	13. VIII.	127
Mettmenstetten . .	ca 483	79	26	20	33	104	151	212	184	108	39	25	53	1034	52	30. IX.	113
VIII. Aare.																	
Grimsel	1962	264	114	93	116	216	171	222	160	115	105	52	167	1795	61	1. VII.	156
Guttannen	ca 1055	169	111	59	61	165	155	214	184	101	94	15	111	1439	61	1. VII.	120
Gadmen	1207	179	74	65	55	114	196	232	229	98	84	62	78	1466	78	13. VIII.	140
Meiringen	605	125	75	43	43	118	148	182	170	88	76	30	69	1167	42	1. VII.	129
Brienz	ca 575	130	70	33	51	128	144	200	179	82	80	34	55	1186	49	13. VIII.	127
Grindelwald . . .	1050	110	58	37	47	119	170	169	142	73	94	24	58	1101	42	1. VI. / 13. VIII.	120
Eigergletscher . .	2323	107	101	71	81	185	186	268	241	131	101	31	85	1588	72	1. VII.	134
Lauterbrunnen . . .	ca 810	135	58	45	37	95	159	194	189	90	71	29	47	1149	39	13. VIII.	118
Interlaken	595	97	64	18	41	100	168	160	194	96	68	28	65	1099	34	13./21. VIII.	117
Beatenberg	1148	134	86	46	64	110	177	172	189	112	60	39	83	1272	30	3. IX.	127

Stationen:	Höhe üb. Meer	Jan.	Febr.	März	April	Mai	Juni	Juli	Aug.	Sept.	Okt.	Nov.	Dez.	Jahr	Maxima		Zahl d. Tage
Kandersteg	ca 1170	96	77	35	39	89	157	152	185	86	61	22	67	1066	27	1. VII. 11. VIII.	121
Adelboden . . .	ca 1365	144	44	28	40*	95*	160*	218	177	90*	64	40	78	1178	?	—	119*
Frutigen	ca 820	134	61	29	37	94	154	164	196	83	58	36	56	1102	39	13. VIII.	127
Kienthal	ca 970	123	67	27	38	112	177	191	193	102	58	29	60	1177	29	21. VIII.	132
Zweisimmen . . .	ca 960	181	70	40	30	94	181	148	182	78	50	88	71	1213	56	21. VIII.	124
Boltigen	ca 830	161	71	27	28	131	129	178	201	76	58	65	74	1199	60	1. VII.	112
Wimmis	ca 640	152	41	39	44	126	186	201	208	123	50	46	67	1283	44	30. VIII.	124
Heiligenschwendi . .	1125	96	68	18	38	126	186	167	281	119	38	23	76	1236	45	30. VIII.	128
Thun	565	68	21	8	26	102	151	163	204	82	35	28	45	933	48	1. VII.	104
Schwarzenegg . . .	ca 910	87	39	19	37	155	171	219	276	104	42	31	68	1248	59	30. VIII.	128
Grosshöchstetten . .	ca 750	98	36	23	22	113	192	207	293	120	38	46	69	1257	58	30. VIII.	118
Belp	ca 525	130	23	32	23	96	178	178	263	85	59	69	70	1206	86	30. VIII.	124
Bern	572	77	11	25	20	75	169	225	163	83	55	51	41	995	45	15. VII.	106
Lauenen	ca 1260	150	45	21	26	95	171	158	182	69	61	60	55	1093	32	5. VII.	122
Gsteig bei Saanen .	ca 1180	179	66	33	26	91	146	138	199	81	87	55	47	1148	47	30. I.	126
Château-d'Oex . .	ca 1010	127	69	33	26	127	158	145	156	80	51	104	77	1153	44	12. VI.	125
Jaun	ca 1030	175	92	40	42	130	180	201	223	102	81	101	90	1457	47	13. VIII.	129
La Valsainte . . .	ca 1032	147	66	34	32	127	144	194	266	102	74	90	103	1379	47	11. VIII.	123
Marsens	727	116	45	29	28	110	194	168	178	121	60	75	69	1193	58	20. VIII.	122
La Roche	ca 770	82	33	19	22	117	186	160	188	110	57	79	70	1123	57	20. VIII.	110
Romont	764	106	36	17	11	86	147	151	129	111	54	44	62	954	50	30. IX.	118
Freiburg	670	74	23	18	17	68	167	153	138	75	58	43	57	891	44	12. VI.	113
Gauglera	ca 925	89	30	16	27	100	185	199	184	71	72	71	67	1111	49	12. VI.	116
Schwarzenburg . .	ca 800	104	36	25	30	86	180	169	159	79	78	62	65	1073	39	20. VIII. 30. IX.	117
Wahlendorf . . .	ca 745	104	26	21	12	83	130	196	161	94	65	61	68	1021	48	20. VIII.	112
Aarberg	ca 465	99	24	12	4	56	146	202	182	70	72	76	59	1002	89	20. VIII.	113
Palézieux	ca 633	101	49	26	12	121	139	168	238	119	97	115	143	1328	70	20. VIII.	110
Rossenges s. Moudon	ca 700	93	33	18	14	88	158	153	97	109	65	76	70	974	52	12. VI.	114
Moudon	515	74	29	12	12	63	48	154	103	122	57	54	66	794	48	12. VI.	106
Payerne	ca 445	81	31	17	10	63	188	172	88	87	60	54	63	914	55	12. VI.	118
Avenches	480	70	19	11	9	44	158	156	111	65	55	52	65	815	47	12. VI.	—
Murten	ca 460	69	19	13	7	55	135	189	120	59	47	54	54	821	50	12. VI.	120
Witzwil	ca 448	88	31	18	3	47	100	212	141	66	56	71	54	887	58	20. VIII.	108
La Cure	ca 1165	177	64	28	11	127	140	203	175	99	80	103	116	1323	58	13. VIII.	120
Le Sentier	ca 1024	192	86	33	12	106	146	176	115	116	68	88	118	1256	60	12. VI.	131
Le Pont	ca 1012	187	94	33	18	107	172	150	182	97	68	76	117	1301	83	12. VI.	116
Vallorbe-Reposoir .	930	161	90	31	22	96	188	147	167	99	53	64	120	1238	96	12. VI.	144
Montchérand . . .	565	99	40	14	3	49	113	125	88	96	34	89	74	824	36	12. VI.	112
L'Abergement . . .	640	152	68	18	11	58	141	124	113	136	53	85	92	1051	61	12. VI.	122
Valleyres-sous-Rances	ca 505	102	38	17	2	43	130	112	92	101	33	74	78	822	33	12. VI.	104
Romainmôtier . . .	676	134	54	24	8	73	136	109	82	108	38	80	101	947	42	12. VI.	118
Echallens	ca 625	89	25	11	6	76	152	149	100	106	60	79	76	929	47	12. VI.	121
Corcelles s. Chavornay	ca 560	71	26	8	5	61	166	150	103	92	42	75	62	861	46	12. VI.	109
Bochuz	ca 440	92	32	11	3	50	120	143	98	122	49	77	71	868	45	12. VI.	97
Yverdon	440	90	40	12	3	62	142	150	105	112	49	68	88	921	39	12. VI.	106
Baulmes	ca 634	204	73	38	14	93	132	137	102	152	43	95	119	1202	67	30. IX.	133
L'Auberson	ca 1110	232	90	42	14	103	148	187	152	112	63	93	123	1359	68	12. VI.	136
St-Sulpice	ca 760	197	71	48	6	108	135	163	187	111	49	75	107	1257	60	12. VI.	130
Couvet	ca 750	167	66	38	11	86	156	178	146	94	49	76	96	1163	58	12. VI.	130
Grandchamp-Areuse .	ca 450	150	27	20	3	50	122	209	91	75	39	73	68	927	63	15. VII.	100
Chambrelien . . .	ca 743	185	57	31	10	85	186	191	106	92	47	94	74	1158	50	22. VI.	112
La Brévine	ca 1077	208	110	37	16	109	136	158	213	100	55	67	95	1304	57	12. VI.	143
Les Ponts	1020	175	71	33	16	113	160	181	170	87	58	68	93	1225	55	12. VI.	130
Cernier	800	163	50	40	12	77	193	174	92	63	41	82	76	1063	41	12. VI.	115
Serrières	ca 470	?	?	?	?	?	129	207	128	63	53	61	?	?	—	—	—
Neuchâtel	487	159	46	18	9	54	141	257	117	76	55	75	79	1086	56	15. VII.	113
Chaumont	ca 1115	111	47	16	12	64	150	210	125	62	54	68	89	1008	50	6. VIII	113
Biel	ca 440	156	40	18	5	64	116	214	160	56	48	73	56	1006	70	20. VIII.	107
Evilard	ca 700	230	59	21	11	90	137	185	167	58	66	92	95	1211	64	20. VIII.	116
Mont-Soleil	ca 1200	167	86	36	32	117	232	227	162	105	71	64	113	1412	56	12. VI.	139
Weissenstein . . .	1285	218	59	10	16	110	147	276	227	77	55	77	81	1353	68	13. VIII.	130

Stationen:	Höhe üb. Meer	Jan.	Febr.	März	April	Mai	Juni	Juli	Aug.	Sept.	Okt.	Nov.	Dez.	Jahr	Maxima		Zahl d. Tage
Solothurn	470	191	36	17	11	83	133	234	224	70	58	75	84	1216	68	20. VIII.	118
Marbach	ca 875	138	72	37	48	169	186	235	297	164	71	41	86	1544	62	13. VIII.	137
Escholzmatt	ca 853	136	64	40	55	158	184	226	322	184	61	43	86	1559	58	13. VIII.	148
Langnau i. E.	ca 685	122	45	35	29	124	159	192	294	130	61	47	82	1320	62	20. VIII.	128
Wasen i. E.	ca 755	114	41	40	30	136	197	179	260	105	55	44	71	1272	52	13. VIII.	129
Affoltern i. E.	795	131	51	36	26	99	193	159	171	109	49	45	79	1148	51	13. VIII.	119
Burgdorf	ca 535	101	25	25	12	88	150	155	141	73	48	53	55	926	36	13. VIII.	113
Nieder-Gerlafingen	454	131	25	21	5	73	130	183	158	76	52	71	45	970	41	20. VIII.	119
Herzogenbuchsee	ca 475	77	21	15	9	77	111	188	206	66	39	48	47	904	62	20. VIII.	105
St. Urban	ca 452	162	40	21	10	126	138	178	190	56	56	53	75	1105	57	13. VIII.	126
Luthern	ca 778	133	57	52	29	152	211	171	269	138	66	58	69	1405	77	13. VI.	131
Zofingen	ca 436	141	45	21	11	112	131	172	134	57	45	43	53	965	41	13. VI.	117
Herbetswil	ca 526	155	39	13	18	101	115	234	185	57	61	57	59	1094	72	13. VIII.	118
Langenbruck	705	149	57	15	20	124	156	207	151	50	61	39	71	1100	46	13. VIII.	126
Balsthal	ca 503	158	36	9	15	111	117	172	145	52	49	52	53	969	48	20. VIII.	121
Allerheiligen	ca 900	137	65	15	22	148	157	234	155	61	77	46	78	1195	45	13. VI.	124
Olten	ca 400	144	50	18	17	111	158	184	118	55	54	47	60	1017	38	13. VI.	131
Barmelweid	ca 770	129	55	24	36	89	143	152	93	70	57	29	41	918	38	12. VI.	107
Aarau	406	128	48	23	13	93	139	159	115	68	47	42	56	931	32	20. VIII.	123
Kölliken	ca 431	141	50	25	12	111	145	165	119	60	46	39	49	962	44	13. VI.	121
Beromünster	ca 431	109	49	44	27	100	163	165	169	59	42	39	79	1045	45	13. VI.	122
Burg	ca 625	113	50	43	26	103	139	176	182	61	40	44	77	1054	40	13. VI.	138
Unter-Kulm	ca 470	132	43	30	17	112	151	168	139	66	43	35	57	993	58	20. VIII.	121
Aesch (Hitzkirch)	ca 520	113	45	32	21	96	165	169	168	83	39	55	61	1047	51	13. VI.	129
Muri	483	112	42	46	17	94	148	177	146	115	35	45	64	1041	40	24. IX.	117
Bötzberg	ca 500	114	38	36	12	91	119	162	138	64	47	36	57	914	38	29. VIII.	123
Beznau	ca 330	171	38	42	8	82	122	164	104	48	60	40	62	941	34	4. VII.	116
Schöfflisdorf	ca 476	161	42	33	12	97	105	156	197	58	41	37	66	1005	36	12.13. VIII.	124

B. Rhonegebiet.

I. Rhone und Genfersee.

Furka (Galenhütten)	ca 2406	278	94	48	88	199	218	197	127	90	75	86	163	1663	48	27. III.	120
Reckingen	1332	139	47	33	7	96	155	137	100	74	67	37	54	946	69	1. VII.	109
Fiesch	ca 1080	108	36	26	6	107	167	121	66	82	76	40	62	897	56	1. VII.	98
Binn	ca 1450	61	43	18	10	114	179	165	69	106	82	80	47	974	83	1. VII.	103
Saas-Fee	ca 1800	57	21	14	8	88	94	91	88	119	72	37	19	708	70	9. IX.	90
Zermatt	1610	38	33	14	4	74	77	65	90	62	36	36	24	553	28	1. VII.	87
Grächen	ca 1629	40*	17	5	0	64	76	78	68	67	41	27	19	502	40	9. IX.	67
Visp	648	86	39	3	5	45	70	69	70	54	67	41	34	583	36	9. IX.	80
Kippel	ca 1376	150	70	40	10	62	89	126	109	50	81	47	59	893	27	15. VII.	97
Leukerbad	1415	174	45	40	18	63	82	139	149	54	57	61	63	945	32	29. I.	103
Varen bei Leuk	ca 750	81	34	6	1	31	71	85	68	58	43	32	31	541	25	30. IX.	79
Siders	573	52	18	6	1	39	64	97	79	33	36	34	27	486	26	5. VII.	70
Montana	1453	128	65	20	6	52	85	105	108	44	39	41	45	738	32	11. II.	96
Grimentz	ca 1570	88	44	13	8	73	88	110	129	50	52	35	30	720	30	31. VIII.	112
Hérémence	ca 1240	62	22	9	5	43	104	110	93	52	43	46	27	616	31	5. VII.	93
Sion	549	79	19	6	3	25	69	79	72	36	34	48	29	499	24	5. VII.	80
Bagnes (Châble)	ca 836	98	35	22	11	69	96	100	83	61	54	46	52	727	29	12. VI.	99
St. Bernhard	2475	270	121	63	64	227	186	173	160	203	150	138	172	1927	67	9. IX.	130
Bourg St-Pierre	ca 1633	79	43	17	11	86	131	104	117	99	87	39	38	851	41	12. VI.	96
Orsières	ca 890	55	44	3	10	52	99	124	67	66	53	42	41	656	42	12. VI.	80
Martigny-Ville	ca 480	88	36	7	18	40	105	94	69	63	41	43	38	642	48	12. VI.	88
Marécottes	1090	202	57	27	27	108	166	130	80	67	71	140	117	1222	87	16. XI.	103
Dailly	ca 1253	132	50*	34	26	82	191	176	210	120	60*	101	40*	1222	68	30. IX.	93
Savatan	679	63	19	8	6	47	115	94	88	70	49	83	37	679	38	30. XI.	95
Les Plans	ca 1100	133	87	35	34	118	197	171	194	77	75	56	81	1258	42	13. VI.	104
Gryon	ca 1130	122	80	32	42	120	171	161	196	81	65	61	76	1207	73	12. VI.	118

Stationen:	Höhe üb. Meer	Jan.	Febr.	März	April	Mai	Juni	Juli	Aug.	Sept.	Okt.	Nov.	Dez.	Jahr	Maxima		Zahl d. Tage
Bex	430	85	54	15	16	63	167	153	148	69	59	60	52	941	54	12. VI.	107
Diablerets-village	1168	174	81	24	29	126	145	173	201	71	71	131	75	1301	59	20. VIII.	114
Leysin	1398	152	82	24	36	91	212	193	207	86	65	79	78	1305	63	12. VII.	125
Chessel	380	106	24	34	21	63	178	148	144	92	63	86	73	1032	53	12. VI.	79
Porte du Scex (Vouvry)	478	103	32	23	16	72	174	156	150	94	58	89	56	1023	45	12. VI.	107
Rochers de Naye	1975	373	223	67	88	214	223	290	365	176	107	130	168	2424	88	30. IX.	133
Clarens	412	90	28	12	12	70	173	185	186	118	61	86	59	1080	53	12. VI.	110
Vevey	380	90	32	13	10	82	158	147	198	106	64	68	52	1020	54	20. VIII.	103
Riex	445	109	29	19	7	89	146	169	160	127	74	80	90	1099	52	12. VI.	116
Gourze-Nord	800	88	30	21	8	97	151	193	173	128	80	77	78	1124	47	12. VI.	109
Lausanne	553	75	26	9	8	68	141	168	92	136	59	72	82	936	61	30. IX.	114
Cossonay	ca 575	79	25	4	2	57	140	131	48	108	44	76	52	766	45	12. VI.	104
Morges	380	80	29	8	4	82	163	152	56	111	63	74	70	892	63	12. VI.	101
Marcelin s. Morges	ca 425	67	24	6	4	70	150	136	48	99	59	70	56	789	59	12. VI.	102
Le Marchairuz	1450	205	81	39	14	123	180	169	129	124	60	113	132	1369	74	12. VI.	125
Longirod	ca 900	103	89	23	3	94	152	146	85	104	50	98	82	1029	40	12. IX.	114
Gland	430	86	27	9	1	55	103	131	59	97	49	29	91	737	49	12. VI.	103
Nyon	ca 405	91	27	13	0	56	112	137	91	95	54	75	79	830	37	12. VI.	106
Céligny	ca 435	105	33	12	3	60	117	128	96	113	55	80	92	894	33	12. VI.	116
Genève	405	56	17	6	0	39	101	115	79	95	52	61	84	705	58	12. VI.	91
Jussy	ca 475	53	23	8	1	55	119	102	59	107	71	59	77	734	40	12. VI.	105
Compésières	ca 476	68	17	6	0	37	90	119	64	118	42	67	83	711	37	30. IX.	93
Satigny	ca 460	105	24	9	0	54	92	83	52	94	65	56	69	703	40	12. VI.	98
II. Doubs.																	
Les Brenets	878	165	74	38	18	104	147	187	196	96	65	66	108	1264	58	12. VI.	140
La Chaux-de-Fonds	986	236	143	49	21	126	177	199	153	91	69	76	153	1493	62	12. VI.	138
Saignelégier	ca 985	143	59	30	28	97	174	235	184	98	70	52	98	1268	67	15. VII.	130
Mormont	ca 550	120*	61	40	12	100*	172	205	205	74	73	37	76	1175	46	15. VII.	127
C. Pogebiet.																	
I. Tessin.																	
Gotthard	2103	206	134	87	99	295	261	352	205	171	169	106	197	2282	151	1. VII.	170
Airolo	1143	79	19	23	26	161	232	273	129	158	94	112	100	1406	117	1. VII.	112
Lago di Tremorgio	1851	87	10	21	43	218	260	313	170	164	146	506	87	2025	302	21. XI.	112
Olivone	ca 893	42	8	8	42	148	193	257	104	103	108	113	110	1236	74	1. VII.	101
Comprovasco	544	30	7	2	45	131	176	211	102	101	96	135	78	1114	82	21. XI.	84
Biasca	ca 300	45	4	0	50	243	211	235	115	121	98	203	69	1394	75	28. XI.	87
Misox	ca 785	36	6	12	44	154	260	229	146	116	134	117	117	1371	63	22. XI.	95
Braggio	1332	30	8	7	56	216	265	203	153	147	139	118	90	1432	68	2. VI.	91
Grono	335	26	13	2	38	169	210	191	117	92	133	113	86	1190	67	2. VI.	84
Bellinzona	237	29	12	2	56	193	276	147	154	112	139	129	80	1329	65	21. VIII.	79
Fusio	ca 1285	64	27	16	19	190	241	256	119	147	114	125	111	1429	106	1. VII.	105
Cevio	ca 430	29	15	1	30	219	247	238	91	212	114	135	95	1426	111	1. VII.	85
Bosco	1486	66	35	12	31	273	248	256	147	239	128	144	104	1683	126	1. VII.	115
Mosogno	ca 790	24	10	0	29	247	301	230	103	235	125	141	130	1575	114	1. VII.	88
Camedo	ca 610	35	26	8	34	317	372	280	150*	362	124	159	110	1977	147	12. VI.	87
Locarno-Muralto	239	23	25	3	46	259	215	368	182	167	170	154	104	1716	151	2. VII.	89
Locarno-Monti	380	23	22	3	49	269	204	318	165	166	157	152	98	1626	135	2. VII.	82
Ascona	ca 203	24	18	3	52	262	208	282	154	172	155	158	103	1591	112	2. VII.	84
Brissago	ca 210	17	25	0	52	335	237	256	141	206	173	171	87	1700	76	1. VI.	84
Mezzana	ca 335	10	18	13	62	271	130	173	99	234	141	286	221	1658	102	30. IX.	99
Monte Generoso	1610	—	—	—	—	281	260	168	252	218	—	—	—	—	—	—	—
Monte Brè	910	11	16	9	42	190	205	179	264	123	142	132	62	1375	121	21. VIII.	101
Lugano	276	17	26	11	52	255	264	189	316	181	158	150	108	1727	110	11. VIII.	94
Piandanazzo (Val Colla)	ca 1610	40	36	7	65	287	248	164	217	228	161	130	123	1706	111	20. VIII.	105
Crana-Torricella	1010	23	26	16	88	373	331	196	282	221	160	197	133	2046	140	20. VIII.	104
Ponte Tresa	ca 280	13	22	2	42	290	169	123	419	196	121	160	112	1669	150	20. VIII.	90

Stationen:	Höhe üb. Meer	Jan.	Febr.	März	April	Mai	Juni	Juli	Aug.	Sept.	Okt.	Nov.	Dez.	Jahr	Maxima		Zahl d. Tage
II. Adda.																	
Bernina-Hospiz	ca 2309	61	23	18	22	164	170	154	159	144	75	139	106	1235	62	21. XI.	98
Cavaglia	ca 1701	25	6	20	2	96	111	144	113	99	60	81	110	867	46	20. XII	95
Brusio	ca 755	13	5	10	3	102	110	108	130	100	50	66	65	762	41	21. XI.	87
Vicosoprano	1087	24	5	15	26	148	198	199	162	105	97	140	124	1243	71	21. XI.	102
Soglio	ca 1090	24	6	19	17	154	188	166	135	122	126	120	103	1180	54	21. XI.	99
D. Donaugebiet.																	
Inn.																	
Sils-Maria	1814	29	11	18	18	86	152	145	133	77	57	58	70	854	46	2. VII.	101
St. Moritz	1853	22	11	16	5	45	116	118	124	49	48	44	52	650	37	2. VII.	94
Pontresina	ca 1805	22	11	15	11	61	97	—	—	—	—	—	—	—	—	—	—
Bevers	ca 1710	64	22	23	12	61	94	97	113	52	50	51	65	704	36	20. XII.	94
Buffalora	ca 1977	53	28	29	9	88	113	116	116	105	32	34	41	764	40	2. VII.	105
Süs	ca 1440	39	10	24	4	43	109	80	85	46	35	31	44	550	29	21. VIII.	84
Scarl	ca 1810	—	—	—	—	50	110	112	146	85	37	12	—	—	—	—	—
Schuls	1236	49	18	19	6	48	93	106	103	66	32	20	46	606	44	2. VII.	86
Martinsbruck	1040	71	25	30	12	53	111	110	108	32	41	15	33	641	45	2. VII.	90
E. Etschgebiet.																	
Sta. Maria	1411	17	16	10	2	67	103	104	85	76	37	33	79	629	36	2. VII.	77

Monats- und Jahresmengen im Jahre 1938, ausgedrückt in Prozenten der Normalmengen.

Stationen	Höhe über Meer	Jan.	Febr.	März	April	Mai	Juni	Juli	Aug.	Sept.	Okt.	Nov.	Dez.	Jahr
Platta	1378	237	158	39	60	107	131	188	81	51	51	53	114	96
Bernhardin	2073	62	21	32	51	172	145	128	80	79	42	140	161	94
Splügen	ca 1500	104	67	39	50	94	122	121	99	42	66	39	115	81
Davos-Platz	1561	233	76	75	33	93	124	91	142	56	76	38	81	95
Chur	610	228	88	72	52	83	161	98	75	16	63	45	92	85
Altstätten	452	286	92	85	66	114	76	96	156	55	51	44	113	98
St. Gallen	702	195	50	57	69	101	75	125	161	62	51	39	103	92
Kreuzlingen	446	266	60	67	45	103	108	171	179	72	61	50	98	109
Lohn	ca 643	363	79	37	29	92	151	143	112	72	58	68	98	105
Basel-Bernoullianum	277	216	59	40	24	110	145	214	172	97	65	34	108	111
Glarus	480	257	79	100	58	111	97	94	119	60	59	24	88	92
Einsiedeln	914	242	78	71	56	95	83	118	148	96	61	37	89	98
Zürich	493	255	53	51	28	90	99	143	129	92	34	51	74	91
Rigi-Kulm	1787	398	186	118	91	120	75	122	138	79	64	48	197	116
Engelberg	1018	250	164	49	65	87	88	96	73	62	61	30	102	86
Luzern	498	191	83	51	32	103	94	135	136	81	54	39	122	95
Guttannen	ca 1055	176	106	48	46	123	106	134	108	81	63	13	102	92
Beatenberg	1148	179	106	42	54	85	100	100	111	96	50	43	88	87
Bern	572	175	22	42	29	89	163	221	155	100	58	76	68	108
Chaumont	ca 1115	213	94	26	17	73	136	206	118	69	50	91	135	103
Neuchâtel	487	312	88	29	13	66	140	276	119	90	53	101	116	116
Affoltern i. E.	795	215	80	43	27	84	134	127	129	107	45	60	105	97
Olten	ca 400	282	86	28	24	122	136	167	101	63	57	64	86	101
Muri	483	224	76	69	20	92	116	145	124	122	37	68	94	99
Reckingen	1349	176	63	43	8	99	187	169	119	87	47	33	60	87
St. Bernhard	2475	221	107	52	41	123	112	140	105	147	76	85	128	109
Sion	549	184	41	13	8	58	153	130	96	68	52	81	49	78
Clarens	412	167	46	16	15	66	148	152	148	119	48	113	89	97
Lausanne	553	144	50	13	11	37	148	179	88	139	51	90	121	94
Genf	405	133	38	11	0	48	135	146	88	119	46	77	150	82
Lugano	276	25	47	11	33	142	143	119	173	93	76	109	150	102
Sils-Maria	1814	64	34	33	25	99	167	128	115	68	54	77	127	89
Bevers	ca 1710	183	85	56	21	92	109	89	104	49	57	65	141	85

Ergebnisse

der im Alpengebiet aufgestellten Niederschlags-Totalisatoren

für das hydrographische Jahr 1937—1938

emeinsame Mitteilung der Meteorologischen Zentralanstalt (M Z A) und des Instituts für Gewässerkunde an der Eidg. Techn. Hochschule (I G).

Station	m ü. M.	Zeitdauer	Gemessene Werte in cm	Reduzierte Werte 1. X. 1937 bis 30. IX. 1938
Suchetgebiet (Jura) M Z A				
athoulaz	1137	Außer Betrieb gesetzt ab 1936	—	—
uchet (Chalet)	1465	1. X. 1937 bis 1. X. 1938	157	157
uchet (Sagne)	1535	Außer Betrieb gesetzt ab 1936	—	—
Diableretsgebiet M Z A				
ecca d'Audon	2870	3. X. 1937 bis 29. IX. 1938	134	134
Waadtländervoralpen M Z A				
ochers-de-Naye (Sommet)	2040	1. X. 1937 bis 1. X. 1938	92	92
Mont Blancgebiet M Z A				
ol d'Orny	3169	17. X. 1937 bis 20. IX. 1938	336	355
Dent du Midigebiet I G				
ontagne de Salanfe	1973	1. X. 1937 bis 25. IX. 1938	121	125
a Tour	2211	2. X. 1937 bis 6. X. 1938	218	213
lateau d'Emosson	1800	1. X. 1937 bis 1. X. 1938	153	153
ol de Tanneverge	2501	25. IX. 1937 bis 27. IX. 1938	296	300
ont Ruan	2860	27. IX. 1937 bis 29. IX. 1938	282	286
e Vieux Emosson	2170	26. IX. 1937 bis 28. IX. 1938	220	223
Monte Rosagebiet I G M Z A				
attmark (Seestein)	2117	30. IX. 1937 bis 29. IX. 1938	75	77
eisstal-Stelli	2620	29. IX. 1937 bis 20. IX. 1938	178	182
almen	2690	29. IX. 1937 bis 20. IX. 1938	182	186
chwarzenbergkopf	2565	5. X. 1937 bis 29. IX. 1938	160	167
fentalpass	2800	29. IX. 1937 bis 20. IX. 1938	198	203
eewinenberg	3025	4. X. 1937 bis 23. IX. 1938	277	285
llalingletscher	3369	2. X. 1937 bis 27. IX. 1938	355	360
urgghorn	3390	29. IX. 1937 bis 5. X. 1938	335	331
ornergrat	3100	28. IX. 1937 bis 4. X. 1938	149	147
Simplongebiet M Z A				
agenhorn	2470	Keine Resultate erhalten	—	—
aflish (im Freien)	2000	12. X. 1937 bis 1. X. 1938	94	101
aflish (in Waldlichtung)	2000	12. X. 1937 bis 1. X. 1938	119	128
Jungfraugebiet M Z A				
Mönchgrat	3810	1. X. 1937 bis 1. X. 1938	476	476
rugberg	3530	29. IX. 1937 bis 8. X. 1938	214	210
ranzberg	3180	30. IX. 1937 bis 4. X. 1938	409	400
onkordia	2890	28. IX. 1937 bis 5. X. 1938	206	201
letschwald	2040	11. X. 1937 bis 1. X. 1938	108	116
Grimsel- und Gelmergebiet M Z A				
Gelmer Bergli	2144	14. IX. 1937 bis 6. IX. 1938	173	165
Grimsel I	1900	8. IX. 1937 bis 5. IX. 1938	168	153
Pavillon Dollfuss	2415	10. IX. 1937 bis 21. IX. 1938	172	154
Abschwung	2900	11. IX. 1937 bis 10. IX. 1938	193	176
Oberaaralp	2257	10. IX. 1937 bis 20. IX. 1938	144	129
Oberaarjoch	3310	9. IX. 1937 bis 20. IX. 1938	292	258
Kl. Siedelhorn	2430	8. IX. 1937 bis 5. IX. 1938	213	193
Titlisgebiet M Z A				
Trübsee-Jochpass	1800	1. X. 1937 bis 5. X. 1938	200	194
Gotthardgebiet M Z A				
Fibbia	2740	Keine Resultate erhalten	—	—
Lago Ritom	1960	Keine Resultate erhalten	—	—
Adulagebiet M Z A				
Scopi	2850	Keine Resultate erhalten	—	—
Rhätisches Alpengebiet M Z A I G				
Piz Curvèr	2810	28. VIII. 1935 bis 7. IX. 1936	153	143
		7. IX. 1936 bis 6. IX. 1937	97	113
		6. IX. 1937 bis 29. VIII. 1938	106	96
Piz Scalotta	2970	2. X. 1937 bis 30. IX. 1938	127?	?
Julier-Hospiz	2310	Keine Resultate erhalten	—	—
Cluoza (Blockhaus)	1910	1. X. 1937 bis 1. X. 1938	88	88
Silvrettagebiet M Z A				
Silvrettahütte	2370	6. X. 1937 bis 15. IX. 1938	128	139
Eckhorn	3150	6. X. 1937 bis 15. IX. 1938	128	139
Taminagebiet I G				
Vättnerälpli	1885	1. X. 1937 bis 12. X. 1938	104	101
First (Wasserböden)	2200	27. IX. 1937 bis 10. X. 1938	92	90
St. Martin	1396	1. X. 1937 bis 12. X. 1938	137	133
Panäraalp	2028	30. IX. 1937 bis 11. X. 1938	142	138
Tödigebiet M Z A				
Klaridenfirn	2710	20. IX. 1937 bis 13. X. 1938	318	300
Säntisgebiet M Z A				
Säntis	2504	30. IX. 1937 bis 1. X. 1938	315	315
Gebiet des Hohen Randen (Jura) M Z A				
Auf dem Hagen	915	14. X. 1937 bis 13. X. 1938	85	84

Ergebnisse einiger Totalisatoren, ausgedrückt in Prozenten der mittleren Jahresmenge

Station	1937–1938	Jahres-mittel	Anzahl der Jahre	%
Suchet	157	160	9	98
Hagen	84	84	11	100
Becca d'Audon	134	166	15	81
Col d'Orny	355	322	17	110
Gornergrat	147	120	13	122
Furgghorn	331	312	11	106
Mönchsgrat	476	388	17	123
Trugberg	210	189	11	111
Kranzberg	400	396	9	101

Station	1937–1938	Jahres-mittel	Anzahl der Jahre	%
Konkordia	201	145	17	138
Aletschwald	116	119	2	97
Trübsee	194	216	10	90
Scalotta	?127	?206	16	?62
Julier	—	—	17	—
Cluozza	88	92	19	96
Silvretta	139	148	19	94
Eckhorn	139	134	18	104
Clariden	300	347	19	87

Die Niederschlagsbilanz des Jahres 1938

Das Jahr 1938 erscheint als ziemlich normal überregnet. Ueberschüsse bis zu zirka 10 % finden sich in der Jurazone (mit Südostfuß), der Nordschweiz und am Alpensüdfuß. Dagegen zeigt das Alpengebiet ein Defizit, das im Wallis mit zirka 20 % den größten Betrag erreicht. Nasse Monate waren besonders Januar, Juni, Juli, August und zum Teil der Dezember. Für den größten Teil der Schweiz erscheint der *Januar* als bei weitem der niederschlagsreichste Monat, für den Westen (Genf, Lausanne) jedoch mehr der *Juli*, für den Alpensüdfuß der *Juni* und für das Engadin der *August*. Trockene Monate waren vor allem März, April und November, und zwar der *April* besonders für die Nordschweiz, die Jurazone, das Mittelland, Genferseegebiet, Wallis und Engadin, der *November* namentlich für das nordost- und zentralschweizerische Alpengebiet. (Vgl. umstehende Tabelle der «Monats- und Jahresmengen in Prozenten ...».)

M. Grütter

Nr. 4.

Ergebnisse der Registrierungen der Sonnenscheinautographen im Jahr 1938

U = Stationen mit Sonnenscheinautographen „Usteri“
N = Stationen mit Sonnenscheinautographen „Negretti & Zambra“
F = Stationen mit Sonnenscheinautographen „Fuess“
M = Stationen mit Sonnenscheinautographen „Maurer“

Monats- und Jahressummen der Sonnenscheindauer in Stunden

1938		Januar	Februar	März	April	Mai	Juni	Juli	August	September	Oktober	November	Dezember	Jahr
Zürich	N	43	102	240	196	182	247	218	203	177	133	75	22	1838
Säntis	U	53	164	204	123	150	193	159	133	166	182	153	86	1766
Hallau	U	33	101	224	162	181	244	209	194	166	135	42	26	1717
Braunwald	F	61	134	178	152	158	224	169	144	165	137	135	34	1691
Unterägeri	U	47	114	223	174	158	202	191	182	168	117	141	43	1760
Luzern	N	34	77	237	201	168	227	208	192	155	109	76	15	1699
Jungfraujoch	N	71	135	221	215	129	253	193	189	153	191	156	73	1979
Beatenberg	U	52	129	230	170	129	186	168	151	135	132	147	37	1666
Bern	N	34	93	253	246	173	257	241	206	164	124	117	37	1945
Basel	N	40	106	228	193	170	252	205	193	156	127	89	41	1800
Allerheiligen	U	36	102	221	180	147	191	179	176	160	128	120	41	1681
Mont Soleil a. St. Imier	U	48	117	221	192	155	222	195	168	143	168	121	49	1799
La Chaux-de-Fonds	U	46	113	218	215	155	234	200	161	137	156	112	54	1801
Neuchâtel	U	29	63	252	249	181	276	239	206	150	134	42	33	1854
Genève	N	50	95	291	324	194	307	304	244	180	162	73	39	2263
Lausanne	N	61	103	277	308	177	290	261	215	164	156	85	39	2136
Montreux-Clarens	U	57	106	239	249	149	231	223	182	145	122	112	47	1862
Rochers de Naye	U	68	156	248	185	113	173	158	121	120	154	137	83	1716
Leysin	U	73	161	255	241	146	240	214	160	147	150	144	58	1989
Montana a/Sierre	U	102	174	267	269	160	267	241	219	175	194	162	81	2311
Wallenstadtberg	U	60	132	180	136	138	187	184	163	168	138	132	39	1657
Plantahof b/Landquart	U	55	127	183	175	177	236	206	174	165	151	115	38	1802
Arosa	N	80	152	197	163	169	254	208	157	164	176	136	68	1924
Davos-Platz	N	60	136	186	166	145	223	186	156	150	166	125	53	1752
St. Moritz	U	92	167	201	221	156	244	201	166	135	188	148	66	1985
Schuls	N	73	146	197	221	158	243	197	173	148	169	117	47	1889
Lugano	N	122	170	248	261	144	260	263	222	158	160	141	80	2229
Monte Brè	U	139	181	250	268	153	277	286	239	161	166	155	86	2361
Locarno-Monti	M*)	149	183	265	297	175	276	266	243	167	178	146	94	2439

*) Vom März an Negretti & Zambra.

1938 **Tägliche Dauer des Sonnenscheins in Stunden.**

Januar

Tag	Lugano	Genf	Montana s. Sierre	Chaux-de-Fonds	Bern	Luzern	Basel	Zürich	Davos	Säntis
1	6.1	0.6	4.9	0.0	0.0	0.0	0.0	0.0	0.0	0.0
2	6.5	4.3	6.3	3.2	3.9	1.4	0.0	3.4	2.7	1.4
3	6.9	0.4	6.4	4.2	0.0	2.7	3.4	2.4	4.7	4.9
4	0.0	1.3	4.9	2.8	0.5	0.0	1.3	0.9	1.2	1.2
5	5.8	2.0	7.9	4.9	3.9	1.8	3.3	*5.0	4.8	5.9
6	5.2	0.9	3.6	0.0	0.0	0.0	0.0	0.0	0.0	0.0
7	1.4	2.2	4.0	0.0	1.2	0.5	0.0	0.0	0.2	0.0
8	6.3	1.1	0.0	0.1	0.1	0.0	0.1	0.0	0.0	0.0
9	0.0	0.0	0.0	0.5	0.0	0.0	0.1	0.0	0.3	0.0
10	0.0	1.9	2.5	0.9	2.5	3.6	1.8	3.3	2.5	1.1
11	7.1	0.1	0.0	0.0	0.2	0.0	1.2	0.7	0.0	0.0
12	6.0	0.2	1.7	0.1	0.4	0.1	0.6	0.1	1.1	0.0
13	4.0	5.3	5.0	0.2	0.9	2.3	0.1	2.2	1.2	0.7
14	2.3	3.9	6.2	2.7	2.4	3.3	2.9	4.2	3.5	1.3
15	0.0	2.5	1.6	0.3	1.2	1.2	0.1	0.1	2.2	1.0
16	4.4	2.9	0.5	1.5	1.2	1.5	1.8	3.0	4.0	2.5
17	0.6	0.0	0.1	0.0	0.0	0.0	0.0	0.0	0.9	0.0
18	5.6	0.2	3.4	2.6	1.9	1.1	3.2	2.6	3.1	1.8
19	0.0	0.6	1.0	0.0	0.0	0.2	0.4	0.3	0.0	0.0
20	7.4	2.0	2.7	0.0	0.0	0.0	0.0	0.0	0.1	0.0
21	7.1	5.6	1.3	0.0	0.2	0.0	1.8	0.0	5.7	5.8
22	2.7	2.1	5.0	0.0	0.5	0.1	0.0	0.0	0.0	0.0
23	4.0	0.0	7.7	6.8	0.0	0.0	0.0	0.0	5.0	7.9
24	7.1	0.0	8.6	7.2	0.0	0.0	4.6	3.0	5.3	8.9
25	4.0	0.0	6.6	7.1	5.1	4.8	7.3	4.1	3.3	7.3
26	4.7	2.9	4.3	0.2	1.8	1.3	0.4	1.1	2.1	1.5
27	0.0	0.1	0.0	0.0	0.4	0.0	0.7	0.1	0.0	0.0
28	7.9	4.5	5.3	0.0	5.1	4.7	3.2	3.7	3.7	0.0
29	0.8	1.2	0.7	0.0	0.1	1.0	1.2	0.1	0.2	0.0
30	0.0	1.2	0.0	0.0	0.0	0.0	0.0	0.0	0.0	0.0
31	8.2	0.0	0.0	0.5	0.2	2.7	0.1	2.6	2.4	0.0
Mittel	3.9	1.6	3.3	1.5	1.1	1.1	1.3	1.4	1.9	1.7

Februar

Tag	Lugano	Genf	Montana s. Sierre	Chaux-de-Fonds	Bern	Luzern	Basel	Zürich	Davos	Säntis
1	5.9	0.0	3.7	0.2	0.0	0.6	0.1	0.7	5.5	0.0
2	6.2	1.9	1.0	1.2	0.9	0.5	1.6	0.5	0.8	0.0
3	8.4	5.2	4.9	1.4	4.0	3.6	0.4	3.1	3.5	3.8
4	8.3	7.6	8.5	6.8	5.6	4.5	3.5	3.7	6.3	7.5
5	8.4	8.2	9.1	6.9	7.5	7.7	8.7	5.0	6.1	9.5
6	8.6	0.0	9.1	8.3	8.2	7.0	8.5	5.6	6.2	9.7
7	8.7	0.0	9.1	8.2	7.1	0.9	0.0	5.6	6.6	9.7
8	8.3	0.0	0.0	8.3	2.1	0.0	7.6	4.7	6.6	9.8
9	5.5	1.0	8.8	0.4	0.2	0.4	0.1	1.0	5.2	2.2
10	4.9	0.6	0.0	0.0	0.0	0.0	0.0	0.0	0.0	0.0
11	6.7	1.6	0.8	0.0	0.8	0.0	0.3	0.7	0.0	0.0
12	8.1	2.0	0.0	0.0	0.0	0.0	0.0	0.0	0.0	0.0
13	3.4	0.3	4.4	0.0	0.0	0.1	0.0	0.0	0.3	1.5
14	4.0	0.0	5.9	0.0	0.0	0.2	0.4	0.3	1.2	0.0
15	0.3	4.9	9.0	4.8	0.0	0.0	0.0	1.5	6.7	7.4
16	3.6	0.0	6.0	5.4	0.8	0.0	0.1	0.0	5.6	9.1
17	1.2	2.3	8.1	3.9	0.8	0.7	6.1	3.8	1.1	2.3
18	3.8	0.2	5.2	1.6	3.7	4.6	0.0	3.5	7.0	8.4
19	2.7	0.0	7.4	0.3	0.0	0.0	3.7	2.2	6.8	5.8
20	8.2	4.2	9.7	5.9	0.1	0.0	7.3	2.7	6.3	10.2
21	8.9	5.6	9.8	8.4	6.8	4.4	9.4	9.8	7.2	10.2
22	6.3	9.5	9.8	8.4	8.9	7.2	9.5	9.3	7.3	10.3
23	8.8	7.0	10.0	8.4	7.7	4.7	8.5	9.1	7.4	10.4
24	3.9	9.2	10.1	9.0	9.0	7.5	9.6	9.0	7.5	10.5
25	8.8	9.2	10.1	8.4	9.4	8.6	9.7	8.1	7.4	10.6
26	8.2	5.0	4.7	1.8	4.1	7.6	5.2	6.7	7.2	8.6
27	0.7	2.2	1.4	0.0	0.0	0.0	0.0	0.0	4.1	7.0
28	8.9	7.3	7.4	5.0	4.8	6.1	5.4	5.1	6.4	0.0
Mittel	6.1	3.4	6.2	4.0	3.3	2.7	3.8	3.6	4.9	5.8

März

Tag	Lugano	Genf	Montana s. Sierre	Chaux-de-Fonds	Bern	Luzern	Basel	Zürich	Davos	Säntis
1	0.0	2.8	2.0	1.8	1.1	0.7	0.3	1.1	0.2	0.0
2	8.6	10.1	9.6	7.4	9.0	5.9	6.5	6.1	6.8	8.2
3	6.8	9.3	6.1	8.3	5.2	3.3	6.2	4.2	0.0	1.0
4	6.1	10.1	8.1	7.1	7.9	7.3	8.8	9.2	3.8	7.2
5	10.1	10.8	10.1	9.4	10.3	10.2	9.7	10.3	8.2	10.4
6	10.0	10.6	10.4	9.3	10.2	10.2	10.3	10.3	8.2	10.4
7	10.3	10.7	10.4	9.6	10.3	10.2	9.9	10.2	8.3	10.4
8	10.0	10.9	10.5	9.5	10.0	10.2	9.7	10.1	8.5	10.5
9	10.1	10.6	10.5	9.8	10.2	10.4	9.8	10.4	8.7	10.4
10	10.1	10.7	10.5	7.3	9.8	10.2	0.1	9.3	9.0	10.3
11	9.5	8.6	9.9	2.1	6.7	3.9	2.1	1.0	0.4	0.0
12	10.1	9.6	10.0	10.2	10.5	6.3	10.1	10.8	9.3	10.5
13	3.9	11.4	10.4	10.4	10.9	10.9	10.9	10.9	9.4	10.7
14	10.3	10.8	10.6	*10.2	10.5	10.9	10.7	10.7	9.4	10.7
15	10.5	11.1	10.5	10.2	10.4	10.9	10.4	10.7	9.4	10.7
16	10.4	10.9	9.9	7.5	10.5	11.0	9.4	10.6	9.4	10.8
17	10.5	11.2	10.0	9.5	10.5	10.7	9.5	10.0	9.5	7.5
18	10.3	11.2	9.6	10.2	10.4	10.8	10.5	10.6	9.0	10.9
19	9.9	11.0	10.7	10.2	10.4	10.6	10.5	10.6	9.5	9.9
20	4.4	9.2	7.1	8.5	8.7	10.3	10.2	10.6	7.6	10.6
21	9.7	11.0	9.1	9.7	9.1	4.2	10.4	8.0	8.7	3.2
22	5.1	10.7	10.1	7.7	10.3	9.6	10.5	9.7	6.5	2.3
23	7.5	10.8	10.2	3.8	9.3	8.8	6.7	8.6	4.1	1.8
24	4.2	10.3	9.3	3.9	8.6	10.3	9.7	10.3	8.5	6.7
25	6.0	10.4	9.8	5.1	8.8	8.1	6.2	9.4	5.4	9.0
26	2.5	0.3	0.0	1.7	0.1	0.0	2.3	0.8	0.0	0.0
27	4.0	0.0	0.0	0.0	0.0	0.0	0.0	0.0	0.0	0.0
28	10.8	2.8	5.2	0.5	0.1	0.1	1.9	1.3	0.1	0.0
29	10.4	11.4	8.7	0.1	4.0	3.2	0.7	0.4	0.9	0.9
30	8.6	10.5	6.0	6.0	7.5	6.4	4.3	4.0	0.7	0.4
31	7.5	11.7	11.2	11.0	11.5	10.9	10.1	9.7	6.5	8.3
Mittel	8.0	9.4	8.6	7.0	8.2	7.6	7.4	7.7	6.0	6.6

April

Tag	Lugano	Genf	Montana s. Sierre	Chaux-de-Fonds	Bern	Luzern	Basel	Zürich	Davos	Säntis
1	11.5	12.0	11.4	11.1	11.6	11.5	10.5	11.9	10.1	10.5
2	11.3	12.1	11.5	11.4	11.8	12.0	12.0	11.9	10.1	11.2
3	8.4	8.2	9.7	6.9	6.9	9.0	5.9	7.9	8.9	6.1
4	11.7	12.1	11.6	8.8	11.1	7.6	9.0	7.1	4.4	4.9
5	7.5	9.4	4.6	6.2	5.3	4.8	6.3	4.9	3.6	1.5
6	10.9	12.0	9.9	5.7	6.4	3.1	3.1	1.7	0.2	1.0
7	11.5	11.9	11.5	0.9	10.0	8.3	5.4	8.3	2.6	0.0
8	11.6	11.8	8.9	5.4	5.6	1.9	5.5	3.2	0.0	0.0
9	11.6	12.3	10.1	9.2	8.9	4.8	7.1	6.5	4.1	0.0
10	11.7	12.6	11.8	4.0	6.3	5.6	3.6	6.6	4.0	0.0
11	11.8	12.8	11.9	11.6	10.4	11.3	8.0	9.8	10.4	3.7
12	11.6	12.6	11.9	10.5	9.3	11.5	11.6	8.4	10.4	4.1
13	5.3	12.4	7.8	10.6	11.3	9.3	10.1	7.9	5.4	6.3
14	6.8	7.8	3.6	0.1	5.7	1.1	0.3	3.7	0.5	0.5
15	5.5	10.5	11.2	12.1	12.5	11.7	10.0	11.6	9.1	11.8
16	10.4	12.2	11.9	12.1	12.3	12.6	11.7	12.5	10.5	7.3
17	4.3	10.4	9.1	10.7	11.7	1.8	3.4	7.7	10.3	10.5
18	11.4	13.1	12.2	6.7	4.6	1.9	6.8	3.2	6.1	2.5
19	10.4	12.9	11.1	9.3	11.7	10.7	11.7	9.8	4.3	5.7
20	10.5	8.2	4.2	3.7	2.5	4.0	5.1	2.5	2.2	0.0
21	5.7	9.7	5.9	3.8	3.0	2.7	1.8	2.5	3.8	2.3
22	8.1	7.9	3.7	7.6	6.8	8.7	5.8	6.9	10.7	9.1
23	9.5	11.7	10.2	0.8	6.6	4.0	1.1	1.7	0.9	0.2
24	8.4	11.9	6.9	5.0	8.3	7.9	5.6	7.2	6.6	0.0
25	5.5	10.7	4.2	0.3	1.4	0.0	0.7	0.6	0.8	0.0
26	7.2	11.6	12.4	12.4	11.9	10.5	12.6	12.3	8.1	8.3
27	1.8	12.3	7.6	7.3	9.5	3.7	1.3	1.4	2.5	0.0
28	11.4	11.3	11.3	12.6	12.3	9.8	5.4	10.5	10.0	8.0
29	6.1	8.9	10.6	7.8	9.9	8.7	9.1	6.1	4.7	6.8
30	2.0	0.8	0.6	0.6	0.3	0.0	2.9	0.0	1.1	0.3
Mittel	8.7	10.8	9.0	7.2	8.2	6.7	6.4	6.5	5.5	4.1

Tägliche Dauer des Sonnenscheins in Stunden. 1938

Mai

Tag	Lugano	Genf	Montana s. Sierre	Chaux-de-Fonds	Bern	Luzern	Basel	Zürich	Davos	Säntis
1	0.2	6.0	1.9	0.6	1.4	2.2	1.5	0.9	4.1	1.3
2	7.9	5.8	1.8	0.9	2.7	2.3	4.9	7.1	8.3	12.6
3	9.9	6.8	9.7	9.7	10.2	11.6	11.3	12.6	8.9	13.6
4	6.9	13.6	7.6	6.2	10.1	0.6	0.3	0.0	0.7	0.0
5	0.0	3.3	8.1	10.5	6.9	3.3	11.6	10.8	8.0	12.2
6	5.1	9.7	5.9	4.8	8.9	8.0	7.9	7.1	4.4	5.1
7	2.2	8.1	2.0	1.0	4.3	6.6	4.9	7.3	5.7	2.0
8	10.0	12.8	6.0	10.9	10.1	2.3	7.9	2.6	3.5	0.0
9	0.4	6.4	7.9	7.2	5.1	7.0	6.9	7.0	4.2	10.8
10	1.7	9.3	7.2	11.3	3.2	1.1	8.2	2.1	3.9	0.0
11	11.1	13.6	11.2	12.8	13.5	9.9	12.7	13.4	10.4	2.4
12	10.0	12.0	10.9	11.1	12.3	13.0	12.7	13.1	9.5	13.3
13	9.0	13.8	11.6	11.7	12.9	13.8	13.3	13.8	11.7	12.7
14	12.4	13.6	12.0	12.7	13.1	14.0	13.6	13.8	11.1	14.1
15	1.7	0.0	4.0	4.0	6.4	8.7	5.6	10.0	10.0	10.0
16	5.0	4.7	5.1	4.0	4.9	9.6	4.5	8.5	4.0	7.6
17	0.0	0.7	2.6	0.3	1.0	4.6	0.3	3.7	0.9	0.5
18	0.0	8.3	5.9	2.4	5.9	4.4	2.6	3.3	3.6	0.1
19	0.7	0.0	0.7	0.0	1.0	4.9	3.9	4.9	2.9	5.6
20	0.0	1.4	0.0	0.0	0.0	0.0	0.0	0.0	0.0	0.0
21	0.0	1.4	0.0	0.0	0.0	0.0	0.0	0.0	0.0	0.3
22	0.0	0.0	0.0	0.0	0.0	0.0	0.0	0.0	0.0	0.0
23	12.2	1.4	1.6	0.0	1.5	3.2	0.0	0.1	4.0	8.2
24	2.5	0.7	1.4	0.0	0.3	1.1	0.4	1.3	0.0	0.0
25	10.8	5.6	2.2	1.1	3.3	0.0	1.6	1.1	0.2	0.0
26	2.6	14.4	13.1	10.9	14.2	13.7	13.6	14.2	9.5	6.1
27	0.5	7.4	6.1	7.8	7.6	10.0	7.7	10.0	5.0	6.8
28	0.0	0.9	0.0	0.0	0.1	0.0	0.0	0.0	0.7	0.0
29	7.7	0.0	0.0	0.5	0.1	0.5	1.5	1.0	0.3	0.0
30	1.6	0.0	0.0	0.0	0.3	0.0	0.1	0.1	0.5	0.0
31	11.4	12.7	13.4	12.3	11.8	11.1	10.7	12.0	8.8	4.9
Mittel	4.6	6.3	5.2	5.0	5.6	5.4	5.5	5.9	4.7	4.8

Juni

Tag	Lugano	Genf	Montana s Sierre	Chaux-de-Fonds	Bern	Luzern	Basel	Zürich	Davos	Säntis
1	1.6	10.9	9.0	9.5	10.9	11.0	9.0	11.1	10.0	10.7
2	0.3	0.7	1.0	0.5	0.0	0.0	0.3	0.3	1.3	2.4
3	10.0	14.2	8.9	5.6	10.1	6.8	7.7	6.9	1.2	0.0
4	12.7	14.7	13.6	13.4	13.9	13.6	14.1	13.3	11.7	14.3
5	12.5	6.2	7.2	6.6	7.3	8.7	7.7	9.2	11.8	10.7
6	11.4	13.1	7.5	8.8	10.3	9.4	10.9	8.0	2.1	2.8
7	10.9	14.8	13.9	13.8	14.2	14.1	14.4	14.4	12.0	14.3
8	12.3	14.5	13.8	13.2	14.0	14.3	14.4	14.4	12.2	14.3
9	9.4	9.8	12.0	8.5	11.9	11.0	10.1	13.8	12.0	10.1
10	4.5	1.3	0.8	0.4	0.0	0.0	0.5	0.0	0.6	0.0
11	2.3	8.6	4.2	1.4	5.2	1.9	0.9	2.9	7.2	7.8
12	0.0	0.0	0.0	0.0	0.0	0.0	0.0	0.1	0.6	0.0
13	2.5	0.0	0.0	0.0	0.0	0.0	0.0	0.0	0.4	0.0
14	6.8	2.2	3.6	0.0	0.0	0.0	0.0	0.0	0.0	0.0
15	2.6	11.3	2.9	6.0	6.9	2.9	5.1	2.9	2.1	0.0
16	13.3	14.5	13.1	11.5	10.2	5.8	9.3	4.9	9.4	1.8
17	12.9	14.6	14.0	14.2	14.4	10.8	13.4	13.4	12.0	12.1
18	11.3	12.4	13.0	11.6	12.2	12.9	12.5	13.5	12.1	13.3
19	9.0	12.0	6.9	10.6	9.1	7.2	10.7	8.5	2.3	1.8
20	13.1	14.5	12.0	5.0	5.9	6.5	6.8	10.2	11.8	3.4
21	10.5	14.7	13.8	12.5	14.2	13.9	14.4	14.1	10.9	14.2
22	8.9	6.4	8.2	7.0	6.2	7.0	7.3	6.9	8.1	6.7
23	10.2	7.9	2.7	2.7	2.0	2.2	3.0	3.8	4.9	1.0
24	12.9	14.5	13.9	12.8	14.1	12.3	14.4	13.3	11.5	6.5
25	9.4	13.6	13.0	13.0	14.0	13.6	14.1	14.1	12.2	11.7
26	10.6	8.6	11.0	5.5	7.0	6.1	7.0	6.7	5.9	4.2
27	12.7	12.7	11.4	11.9	11.9	11.7	13.1	11.9	10.3	10.2
28	12.7	13.1	11.1	9.8	11.4	7.2	11.3	9.6	9.4	5.9
29	10.1	12.2	13.6	8.8	11.2	11.9	11.0	13.1	10.3	5.5
30	2.8	12.8	10.9	9.5	8.9	4.6	9.0	5.6	6.2	7.6
Mittel	8.7	10.2	8.9	7.8	8.6	7.6	8.4	8.2	7.4	6.4

Juli

Tag	Lugano	Genf	Montana s. Sierre	Chaux-de-Fonds	Bern	Luzern	Basel	Zürich	Davos	Säntis
1	2.0	1.9	4.9	0.1	2.4	5.7	0.1	6.6	4.4	7.3
2	0.4	1.4	0.5	0.2	0.0	1.1	0.2	0.0	0.0	0.0
3	8.3	5.3	1.7	2.5	1.5	0.0	1.1	0.9	0.0	0.0
4	11.8	5.5	6.4	1.4	6.4	7.4	0.9	6.7	7.9	4.5
5	2.2	5.1	3.4	5.2	5.0	5.3	4.8	5.0	0.0	0.0
6	12.7	13.1	10.6	10.1	10.2	7.2	9.6	8.5	8.1	0.0
7	7.1	14.7	12.7	13.9	14.0	13.9	14.4	14.3	9.3	14.7
8	4.5	6.8	8.2	3.9	7.3	9.3	4.3	9.9	7.7	8.1
9	8.3	9.7	9.0	4.3	2.6	0.0	6.3	1.1	0.0	0.0
10	13.1	10.8	5.4	1.5	4.8	2.8	1.5	2.1	0.7	0.0
11	12.7	14.2	7.3	4.6	5.5	4.9	0.6	2.4	2.1	0.0
12	3.9	0.0	0.0	0.0	0.0	0.0	0.0	0.0	0.1	0.0
13	8.5	4.8	2.9	0.7	3.5	2.7	2.2	2.4	1.8	0.0
14	8.8	14.1	13.1	11.7	10.7	6.5	10.9	8.9	11.2	12.5
15	9.4	9.9	8.3	6.3	8.2	6.7	7.5	9.7	8.7	5.9
16	4.3	7.8	2.2	1.1	4.2	2.2	1.9	1.3	1.8	0.0
17	11.4	10.8	8.1	7.2	7.1	2.5	10.0	3.6	3.6	0.0
18	8.1	13.6	4.6	8.1	9.3	3.6	5.2	5.5	6.0	2.1
19	12.0	13.8	9.1	10.7	14.1	8.9	7.9	9.7	3.6	0.3
20	11.9	14.3	12.8	13.6	13.9	13.4	13.4	14.0	11.9	10.3
21	8.9	14.0	13.1	11.9	12.8	12.5	12.0	12.9	10.5	12.4
22	12.0	14.4	13.6	12.6	14.0	13.5	13.0	13.8	11.1	10.4
23	2.0	7.6	6.4	6.7	7.5	8.1	7.7	10.1	8.3	6.4
24	0.0	4.1	0.0	0.0	0.0	0.0	0.0	0.0	0.0	0.0
25	12.7	13.8	10.5	6.9	11.9	8.7	10.5	7.3	7.5	4.2
26	12.0	10.7	12.3	9.3	11.9	12.2	10.4	10.3	12.0	13.1
27	8.8	10.4	7.3	2.7	3.2	0.5	4.3	1.2	8.0	5.0
28	12.1	13.5	12.5	12.4	12.3	11.4	10.7	11.7	8.5	13.3
29	9.6	12.1	9.9	6.2	11.1	11.0	8.1	11.5	8.8	7.1
30	12.1	13.9	13.2	12.7	13.4	13.7	13.6	14.0	11.0	10.4
31	11.8	11.6	11.5	11.3	12.2	12.1	11.4	12.5	11.6	11.3
Mittel	8.5	9.8	7.8	6.4	7.8	6.7	6.6	7.0	6.0	5.1

August

Tag	Lugano	Genf	Montana s. Sierre	Chaux-de-Fonds	Bern	Luzern	Basel	Zürich	Davos	Säntis
1	8.7	12.6	13.0	11.3	13.1	10.9	10.9	12.6	9.9	6.7
2	6.9	12.3	8.4	12.7	13.6	13.4	10.8	13.3	6.2	5.7
3	10.7	13.2	11.0	11.4	13.0	13.3	12.9	12.3	5.1	4.9
4	10.2	11.0	11.3	8.8	13.1	13.3	11.3	13.6	7.7	14.7
5	10.6	13.0	10.2	9.0	9.7	8.5	7.4	7.9	9.1	7.0
6	9.4	8.4	7.3	4.6	8.3	9.3	8.6	10.0	9.9	8.7
7	7.0	4.7	5.5	4.0	7.6	9.1	5.3	8.3	9.3	6.4
8	2.4	11.8	2.2	3.4	0.9	0.1	1.6	1.2	1.3	0.0
9	5.7	9.9	10.8	8.5	10.7	6.2	7.7	5.0	1.8	1.3
10	9.0	11.1	7.8	4.6	7.7	3.5	6.0	5.9	0.4	0.1
11	1.3	4.8	7.8	5.2	6.1	5.7	4.1	5.4	2.6	5.8
12	6.9	1.1	3.2	1.5	2.3	2.3	2.2	1.4	0.5	0.0
13	2.9	1.8	0.6	0.0	0.0	0.0	0.0	0.0	0.1	0.0
14	6.8	2.9	2.1	0.0	0.0	0.0	3.6	1.0	0.0	0.0
15	8.2	0.4	1.8	0.2	0.6	6.0	10.1	5.9	2.3	0.3
16	12.0	13.1	11.9	5.5	10.9	10.2	10.6	9.1	10.0	6.5
17	9.8	9.9	9.5	4.2	8.6	7.0	5.7	8.4	7.4	1.2
18	9.7	12.4	12.4	11.8	10.9	10.0	12.0	10.8	9.7	6.1
19	4.9	12.9	10.7	12.8	12.9	12.9	12.8	12.7	11.2	13.0
20	6.0	2.4	4.4	0.4	3.2	3.9	0.1	2.6	6.4	4.8
21	0.1	3.1	0.2	0.6	0.0	0.0	0.1	0.0	0.0	0.0
22	12.2	12.3	10.4	7.2	9.3	7.7	6.9	7.9	2.2	3.7
23	12.3	11.6	6.0	4.5	5.0	4.4	6.4	4.8	0.1	0.0
24	12.0	11.4	12.6	12.3	11.8	9.8	10.1	12.1	10.4	7.5
25	12.1	11.3	12.2	12.4	12.5	11.0	12.0	12.6	10.7	13.3
26	8.2	10.9	7.7	1.2	5.4	6.3	3.1	6.6	10.0	7.6
27	4.4	8.0	4.1	1.9	2.0	0.0	4.0	1.1	5.2	1.0
28	1.6	3.8	3.3	0.0	1.3	0.0	0.1	0.2	3.3	4.0
29	2.6	1.2	5.7	2.1	4.1	4.9	6.5	6.7	1.1	2.4
30	4.3	0.3	3.4	0.0	1.6	2.7	0.3	3.3	2.1	0.7
31	3.6	0.0	1.4	0.0	0.0	0.0	0.0	0.0	0.0	0.0
Mittel	7.2	7.9	7.1	5.2	6.7	6.2	6.2	6.5	5.0	4.3

1938 **Tägliche Dauer des Sonnenscheins in Stunden.**

September

Tag	Lugano	Genf	Montana s. Sierre	Chaux-de-Fonds	Bern	Luzern	Basel	Zürich	Davos	Säntis
1	11.1	7.0	5.8	2.7	5.8	0.0	2.1	0.5	1.5	0.0
2	6.1	9.3	11.8	9.7	10.0	6.0	8.7	5.5	10.1	13.0
3	0.1	0.0	0.0	0.0	0.0	0.6	0.0	0.4	4.6	4.4
4	0.0	5.8	3.9	4.1	1.7	1.3	1.9	0.1	0.0	0.0
5	10.9	8.2	8.3	2.2	2.4	2.0	3.7	2.9	1.0	1.0
6	8.2	5.9	3.0	0.1	0.0	1.0	0.4	1.7	1.0	0.0
7	0.9	6.9	7.3	1.1	8.3	6.0	1.7	6.2	2.6	0.3
8	0.0	0.0	4.1	2.3	3.9	6.1	4.3	8.9	3.3	6.9
9	0.0	0.0	0.5	0.2	0.1	1.1	0.3	1.6	0.8	2.0
10	0.2	5.6	3.1	1.2	3.6	0.5	0.0	0.0	0.3	0.3
11	11.3	8.9	10.7	7.3	9.8	10.1	8.7	10.7	0.2	1.4
12	10.9	10.9	10.9	7.5	9.5	6.4	6.1	7.1	10.1	9.9
13	11.2	9.5	11.3	10.5	10.8	7.4	8.8	8.1	10.1	10.5
14	8.1	9.1	8.9	10.1	9.2	9.0	7.0	8.1	6.6	10.9
15	6.6	6.0	2.1	2.7	4.3	0.4	6.0	3.6	2.5	0.0
16	11.2	6.8	7.9	9.6	8.3	0.0	10.2	10.0	9.4	10.7
17	5.7	11.0	11.1	10.5	8.3	8.8	11.3	9.5	9.8	10.6
18	10.9	10.9	9.9	4.9	10.6	10.7	10.2	9.2	9.8	9.2
19	8.9	2.2	5.9	1.3	4.2	7.8	3.8	8.4	8.1	6.9
20	10.1	6.8	10.0	8.1	6.9	10.3	8.6	9.8	8.9	3.2
21	9.3	10.9	8.4	7.6	7.5	8.9	6.6	8.4	9.7	9.4
22	9.3	7.3	10.1	6.1	8.1	9.8	9.5	9.7	8.6	6.0
23	5.2	9.1	3.6	5.9	6.5	7.1	7.1	7.3	8.8	7.0
24	1.7	10.1	1.6	5.2	7.5	7.2	5.8	6.6	0.4	2.3
25	0.0	2.9	4.4	1.3	3.6	6.0	6.6	9.0	5.7	7.2
26	0.0	0.0	0.0	1.9	3.9	3.7	1.7	7.6	4.7	9.7
27	0.0	2.5	3.0	5.6	1.8	7.4	6.8	8.3	4.9	10.2
28	0.0	5.9	6.6	6.9	6.8	7.1	7.8	6.5	3.5	9.7
29	0.0	0.3	0.5	0.2	0.5	2.2	0.0	1.4	2.6	3.5
30	0.0	0.4	0.7	0.0	0.0	0.0	0.0	0.1	0.0	0.0
31										
Mittel	5.3	6.0	5.8	4.6	5.5	5.2	5.2	5.9	5.0	5.5

Oktober

Tag	Lugano	Genf	Montana s. Sierre	Chaux-de-Fonds	Bern	Luzern	Basel	Zürich	Davos	Säntis
1	1.5	0.2	1.4	0.0	0.0	0.0	0.1	0.0	0.0	0.0
2	8.5	10.6	6.4	5.0	5.4	1.6	4.3	7.5	5.1	8.4
3	0.0	3.6	0.0	2.6	1.5	0.3	2.3	0.0	0.0	0.0
4	0.0	0.0	0.0	0.0	0.0	0.3	0.3	0.0	0.0	0.0
5	7.0	10.5	8.1	6.8	4.2	3.8	5.1	8.7	8.2	10.2
6	10.0	8.2	8.4	4.5	5.2	6.4	8.7	7.6	4.7	0.0
7	4.8	9.6	9.2	7.3	7.7	7.9	6.8	8.2	7.9	8.4
8	7.4	9.0	6.9	3.8	0.5	0.2	4.0	3.3	4.3	0.0
9	9.6	10.5	10.0	9.4	10.0	8.7	9.6	8.8	8.2	6.5
10	1.4	10.7	10.4	8.7	10.5	9.9	8.7	10.3	8.2	9.9
11	3.3	0.1	7.2	0.0	0.0	0.2	0.0	0.0	6.7	0.5
12	9.2	5.7	4.1	8.8	4.1	0.3	6.7	3.3	7.7	9.0
13	8.1	9.4	9.4	7.9	8.3	7.8	4.4	6.6	7.8	9.5
14	9.1	9.9	10.3	9.4	10.0	9.8	9.7	10.0	7.1	8.0
15	9.2	9.2	10.2	7.6	9.1	9.5	1.8	7.5	7.7	9.8
16	9.2	7.3	9.1	8.0	4.3	4.4	1.9	4.9	7.7	9.8
17	8.9	3.1	8.4	4.0	6.2	6.4	2.8	7.2	7.6	9.9
18	6.4	5.3	4.9	4.5	7.0	6.0	3.7	6.2	6.1	4.5
19	5.8	8.3	7.5	2.3	2.0	3.3	3.0	3.2	4.7	0.0
20	7.5	9.4	4.2	7.5	8.7	1.1	6.1	5.5	7.1	1.5
21	1.8	5.8	9.3	6.9	4.5	5.5	5.7	7.4	7.3	10.3
22	0.0	3.4	9.6	8.6	1.8	0.5	9.5	5.3	7.3	10.2
23	3.9	0.0	6.7	6.7	0.0	0.0	3.9	1.3	7.3	9.7
24	6.1	0.0	8.9	8.2	0.0	0.0	3.8	0.0	7.1	10.2
25	7.3	0.2	9.3	8.3	2.6	5.1	5.0	5.2	7.0	9.7
26	0.0	0.0	0.0	0.0	0.0	0.0	0.0	0.3	0.0	0.0
27	0.0	4.1	0.2	1.0	1.2	0.0	0.1	0.0	0.0	0.0
28	0.0	0.0	0.0	0.0	0.0	0.0	0.0	0.0	0.0	0.0
29	0.9	0.4	4.8	0.0	0.8	3.5	0.0	0.0	6.8	9.9
30	4.2	0.2	0.0	1.7	0.0	0.0	1.7	0.0	0.0	6.0
31	8.5	6.8	8.7	6.8	7.9	6.6	7.3	4.8	6.2	9.6
Mittel	5.1	5.2	6.2	5.0	4.0	3.5	4.1	4.3	5.3	5.9

November

Tag	Lugano	Genf	Montana s. Sierre	Chaux-de-Fonds	Bern	Luzern	Basel	Zürich	Davos	Säntis
1	8.7	3.4	9.0	3.7	3.2	3.4	4.0	3.6	6.5	8.7
2	8.0	0.3	5.3	0.0	0.2	0.8	0.1	0.0	2.2	0.0
3	6.1	8.2	0.9	5.0	5.2	4.4	2.6	5.6	3.3	4.8
4	5.1	7.0	3.2	2.8	4.3	1.6	1.4	0.0	0.8	0.0
5	3.5	6.5	2.9	0.2	1.8	0.8	0.1	0.1	0.0	0.0
6	6.6	3.7	7.3	8.3	8.6	6.4	4.0	2.0	6.1	7.4
7	8.5	4.1	9.0	8.4	3.7	4.4	6.9	4.9	6.5	9.7
8	8.2	0.4	9.0	8.3	8.2	6.0	4.8	6.2	6.5	9.7
9	8.1	0.0	8.9	8.3	8.3	0.0	0.0	0.1	6.5	9.6
10	7.9	0.0	8.8	8.1	6.5	0.0	8.2	1.2	6.5	9.5
11	0.0	0.0	6.7	7.1	3.2	0.0	6.5	3.8	6.3	9.1
12	4.5	0.4	4.0	0.1	1.2	2.0	0.3	0.7	5.3	3.2
13	7.2	0.0	8.8	8.0	7.7	0.3	8.1	4.6	6.4	9.3
14	7.9	0.0	6.0	2.9	4.9	3.6	3.2	3.6	6.3	8.3
15	7.4	0.0	6.9	3.4	5.6	1.8	1.9	4.1	6.2	7.1
16	7.2	0.0	7.2	5.9	5.1	0.2	4.5	4.3	6.2	5.7
17	0.0	1.0	1.4	0.0	1.2	0.0	0.0	0.1	0.0	0.0
18	2.7	1.5	8.4	7.7	0.0	0.0	4.4	0.0	5.6	9.0
19	3.8	0.2	1.7	0.0	0.0	2.0	0.0	1.0	3.6	3.7
20	0.0	4.3	4.4	1.4	3.1	6.3	0.7	2.8	4.1	5.9
21	0.0	0.0	0.2	0.0	0.0	0.7	0.0	0.2	0.5	0.3
22	3.6	0.4	0.6	0.1	1.7	3.3	0.5	0.3	0.0	0.0
23	6.3	3.2	2.6	0.4	1.8	3.3	1.2	2.9	2.0	0.0
24	2.8	2.8	5.4	0.7	0.7	0.6	0.2	0.9	5.6	0.6
25	7.3	7.9	7.8	5.5	7.4	6.3	7.6	7.3	5.0	6.2
26	7.2	7.4	7.9	5.8	7.3	7.4	5.6	7.6	5.8	8.0
27	2.5	3.3	7.0	2.6	7.0	5.9	4.8	6.0	3.8	4.5
28	0.0	4.5	8.2	7.4	6.3	4.0	7.1	1.4	4.8	8.4
29	0.0	0.0	0.8	0.0	3.1	0.0	0.7	0.0	1.6	1.7
30	0.0	2.3	1.4	0.1	0.0	0.7	0.0	0.2	1.0	2.7
31										
Mittel	4.7	2.4	5.4	3.7	3.9	2.5	3.0	2.5	4.2	5.1

Dezember

Tag	Lugano	Genf	Montana s. Sierre	Chaux-de-Fonds	Bern	Luzern	Basel	Zürich	Davos	Säntis
1	0.0	3.9	0.8	2.1	3.8	1.1	2.3	1.4	0.0	0.0
2	6.5	3.7	2.4	1.4	1.0	0.0	1.4	0.0	3.1	0.2
3	7.1	2.0	2.5	0.4	0.5	2.8	0.4	0.1	4.5	0.0
4	6.4	7.7	7.4	6.9	7.5	6.6	6.4	4.0	0.0	0.0
5	6.4	0.4	1.7	0.0	0.0	0.2	0.2	0.0	3.1	2.8
6	6.6	6.5	4.9	1.4	1.3	0.0	2.2	0.1	0.0	0.0
7	6.4	0.0	7.8	6.0	0.7	0.3	6.2	2.9	5.2	8.3
8	0.8	0.0	0.8	0.1	0.4	0.0	0.0	0.5	0.5	0.8
9	0.0	0.0	0.0	0.4	0.0	2.0	0.1	0.0	2.0	3.5
10	0.0	0.0	3.9	4.5	0.1	0.0	4.4	0.0	1.8	0.6
11	0.0	0.0	0.4	0.2	0.0	0.5	0.4	0.4	1.6	1.7
12	0.0	0.0	0.0	0.0	0.0	0.0	0.1	1.0	0.7	0.7
13	0.0	1.3	0.0	2.9	0.1	0.8	0.0	0.7	0.0	0.3
14	0.0	0.0	7.3	6.9	6.5	0.1	0.0	1.9	5.2	5.9
15	3.2	0.0	7.6	5.6	2.3	0.0	0.0	0.0	4.8	8.0
16	0.0	0.0	3.4	3.0	0.0	0.0	0.0	0.0	2.7	3.8
17	0.0	0.0	4.1	1.2	0.0	0.0	0.0	0.0	1.6	8.0
18	0.0	0.0	0.0	0.0	0.0	0.0	0.0	0.0	0.4	6.6
19	0.0	0.0	0.9	0.0	0.0	0.0	0.0	0.0	1.9	0.0
20	0.0	0.0	0.0	0.0	0.0	0.0	0.0	0.0	0.0	0.3
21	0.0	0.0	0.0	0.0	0.0	0.0	0.0	0.0	1.4	3.2
22	0.0	5.3	5.3	5.5	3.8	0.0	6.3	3.9	2.9	6.2
23	0.0	0.0	0.0	0.0	0.0	0.0	0.0	0.0	0.0	2.5
24	6.0	0.0	6.3	0.0	0.0	0.0	2.0	0.0	4.5	6.8
25	5.7	0.0	7.8	0.0	0.0	0.0	0.0	0.0	4.2	7.4
26	0.0	0.6	0.0	5.1	2.9	0.0	5.2	2.8	1.2	7.7
27	2.4	0.2	0.0	0.0	0.0	0.0	0.0	0.0	0.0	0.9
28	3.5	0.0	0.0	0.0	0.0	0.0	0.0	0.0	0.0	0.0
29	6.9	6.8	5.5	0.0	5.8	0.0	2.2	1.0	0.0	0.0
30	5.5	0.0	0.0	0.0	0.0	0.0	0.1	0.4	0.0	0.0
31	6.3	0.6	0.1	0.0	0.3	1.0	0.7	0.6	0.0	0.0
Mittel	2.6	1.3	2.6	1.7	1.2	0.5	1.3	0.7	1.7	2.8

Nr. 5

Jahresbericht 1938 des Erdbebendienstes

der Schweizerischen Meteorologischen Zentralanstalt.

Von Dr. **E. Wanner.**

ations:	Zürich	Chur	Neuchâtel	Basel	Sion
	Direktor: Prof. P.-L. Mercanton *Bearbeiter:* Dr. E. Wanner	Prof. A. Kreis	Dr. E. Guyot	Prof. Dr. Niethammer	Domherr Gustav Gottsponer

1. Persönliches, statistische Bemerkungen und Besprechung einzelner Fälle.
2. Tabellarische Zusammenstellung der in der Schweiz im Jahre 1938 verspürten und auf den Erdbebenwarten registrierten Erdbeben.

1. Persönliches, statistische Bemerkungen und Besprechung einzelner Fälle.

a) Persönliches.

Im Berichtsjahr waren auf den schweizerischen Erdbebenstationen immer die gleichen Personen tätig. Am 28. ovember 1938 verschied, infolge Unglücksfall Willy Würth. Herr Würth war hier kurz vor seinem Tode Mechaniker n Herrn Prof. Kreis in Chur. In dieser Stellung hat er während Jahren unserer Institution sehr wertvolle Dienste leistet.

b) Statistische Bemerkungen und Besprechung einzelner Fälle.

Im Jahre 1938 sind in unserem Lande 17 Erdbeben, bzw. Erdstöße verspürt worden. Davon hatten die zwei chtigsten Beben ihren Ursprung im Ausland. Die übrigen waren nur von ganz lokaler Natur. Auf die verschienen Tagesstunden verteilen sich die Stöße wie folgt:

2h	2–4h	4–6h	6–8h	8–10h	10–12h	12–14h	14–16h	16–18h	18–20h	20–22h	22–24h
	4	2	2	—	—	—	1	1	2	1	—

d auf die verschiedenen Monate:

nuar	Februar	März	April	Mai	Juni	Juli	August	September	Oktober	November	Dezember
1	1	0	3	1	0	1	0	0	1	7	2

Unabgeklärt sind eine Anzahl Registrierungen im Monat November (vgl. Tab. I, Nr. 57, 60, 61, 66 68 und g. 1 und 2). Alle diese Aufzeichnungen sind identisch. Falls die Phasen richtig interpretiert sind, handelt es sich n Stöße aus 15—20 km Distanz von der Station Zürich. Makroseismische Meldungen liegen keine vor, obschon e Erschütterungen nach unsern Erfahrungen in der Herdgegend verspürt worden sein müssen. Möglicherweise d die Registrierungen nicht seismischen Ursprungs?

Fig. 1

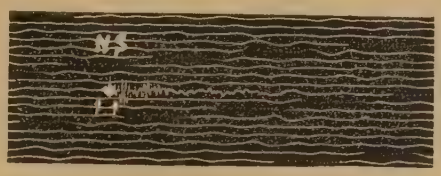

Fig. 2

Instrumentelles. Auf Anfang des Jahres wurde der neue Vertikalseismograph der Warte in Zürich in etrieb gesetzt[1]). Schon heute kann man sagen, daß das Instrument eine wertvolle Ergänzung des Instrumentariums eser Station bedeutet. Im übrigen arbeiteten alle Apparate, mit Ausnahme kurzer Unterbrechungen zur Behebung einer Störungen. Die Konstanten der Instrumente sind:

[1]) Vgl. Jahresbericht 1937, Anhang.

Station	Apparat	Masse in kg	Komponente	Vergrösserung für schnelle Schwingungen	Eigenperioden in Sek.	Dämpfung	Reibung in m/m	Registriergeschwindigkeit pro Minute	Mittlerer Zeitinterpolationsfehler in Sek
Zürich Okt. 2.	U-S Q.-P.	20600	N-S	1450	2.8	2.7 : 1	1.0	ca. 90 m/m	± 0.1
			E-W	1400	3.1	3.1 : 1	0.2	90 m/m	± 0.1
			V	2000	1.0	2.5 : 1	0.8	90 m/m	± 0.1
	Mainka	450	N-S	130	8.7	2.2 : 1	2.0	25 m/m	± 0.5
			E-W	100	8.0	2.8 : 1	2.0	25 m/m	± 0.5
Chur März 2.	Kreis	1050	V	180	7.8	2.3 : 1	1.8	30 m/m	± 0.5
	U-S	13000	N 28° E	1208	2.7	2.5 : 1	1.1	60 m/m	± 0.1
			E 28° S	1360	2.7	2.0 : 1	1.6	60 m/m	± 0.1
			V	2400	1.7	1.9 : 1	0.5	60 m/m	± 0.1
Neuchâtel Mai 24.	U-S	19000	N-S	1690	2.8	4.7 : 1	0.5	60 m/m	± 0.1
			E-W	1640	2.7	3.9 : 1	0.7	60 m/m	± 0.1
			V	2040	1.2	2.4 : 1	0.1	60 m/m	± 0.1
Basel	U-S	19750	N-S	2000	3.2	3.0 : 1	0.2	60 m/m	± 0.1
			E-W	2100	3.4	3.6 : 1	0.2	60 m/m	± 0.1
		19500	V	1930	3.5	4.4 : 1	0.3	60 m/m	± 0.1
Sion	Mainka	135	N-S	80	3.5	3.5 : 1	0.5	25 m/m	—
			E-W	80	3.5	3.5 : 1	0.5	25 m/m	—

U-S Q.-P. = Universalseismograph Quervain-Picard.

2. Tabellarische Zusammenstellung der in der Schweiz verspürten und der an den Erdbebenstationen Zürich, Chur, Basel, Neuchâtel und Sion registrierten Erdbeben

Tabelle I. In der Schweiz verspürte Erdbeben 1938.

Z = Zürich. Ch = Chur. B = Basel. N = Neuchâtel. S = Sion. (Vgl. auch Tafel)

Nr.	Datum	M.-E. Zeit 0—24 h	Epizentralgebiet (gesperrt gedruckt) und erschütterte Gebiete	Grad Forel-Rossi	Grösste Ausdehnung	Zahl d. pos. Meldungen	Zahl d. neg. Meldungen	Registriert in	Bemerkungen über Charakter, Zahl der Stösse und Wirkungen
	1938	h m			km				
1	Jan. 2.	18.10	Splügen lokal (Tafel I)	IV	—	1	—	Ch, Z, N	Stoss N-S, dumpfes Rollen.
2	Febr. 18.	3.02	Frauenfeld-Winterthur (Taf. I)	IV-V	20	6	—	Z, Ch, N, B	Kurzer, stellenw. heftiger Vert'stoss.
3	April 11.	7.42	Mengen-Saulgau Deutschland in der Schweiz verspürt in den Kantonen Thurgau IV-V, St. Gallen IV, Appenzell III-IV, Schaffhausen III-IV, Zürich III-IV, Graubünden III, Glarus III, Luzern III, Zug III, Aargau III, Tessin II (Tafel 2)	—	—	80	—	Z, Ch N, B	Stoss- und wellenartig verspürt.
4	„ 11.	7.47	Nachstoss zu Nr. 3, in der Schweiz ungefähr im gleichen Gebiet verspürt, meistens mit etwas kleinerer Intensität (Tafel 3)	—	—	50	—	Z, Ch N, B	Stoss- und wellenartig verspürt.
5	„ 18.	1.30	Menzingen (Zug) lokal (Tafel 4)	V	—	1	—	—	Einige Personen aus dem Schlafe geweckt, unterirdisches Donnerrollen und Erschütterung im Umkreis von 300 m beobachtet. Kurzschluss bei den Freileitungen.
6	Mai 28.	5.40	Splügen lokal	IV-V	—	1	—	Z, Ch, B, N	Kurzer heftiger Stoss N-S, Krachen im Gebälk.
7	Juli 22.	20.41	Oberes Engadin, Bergell (Taf. 4)	IV	20	2	—	Z, B	Erdstoss von vielen verspürt.
	„ 30.	9.46	Vitznau	III	—	1	—	—	20 Sekunden lange Erschütterung.
8	Okt. 21.	3.16	Wildhorn Kt. Bern vereinzelt im Wallis verspürt III (Tafel 6)	?	10	2	—	N, B, Z, Ch	Leichte Erschütterung.
9	Nov. 4.	15.47	Sitten lokal (Tafel 6)	IV	—	1	—	S, N, B, Z, Ch	Deutlicher Erdstoss mit Getöse, einzelne Personen erwachen.
10	„ 17.	1.00	Frauenfeld lokal (Tafel 6)	III	—	2	—	Z, Ch	Vertikalstoss.
11	„ 17.	1.18	Frauenfeld lokal (Tafel 6)	IV	—	2	—	Z, B, Ch	Deutliche Erschütterung.
12	„ 17.	1.35	Frauenfeld lokal (Tafel 6)	III	—	1	—	Z	Deutliche Erschütterung.
13	„ 17.	3.34	Frauenfeld lokal (Tafel 6)	III	—	1	—	Z	Deutliche Erschütterung.
14	„ 17.	3.50	Frauenfeld lokal (Tafel 6)	III	—	1	—	Z	Deutliche Erschütterung.
15	„ 17.	4.28	Frauenfeld lokal (Tafel 6)	III	—	1	—	Z	Deutliche Erschütterung.
16	Dez. 7.	17.23	Neuchâtel lokal (Tafel 6)	III-IV	—	1	—	—	Lokalstoss mit Lärm, von mehreren Personen wahrgenommen.
17	„ 14.	19.08	Heiligenschwändi (Bern) Lokalstoss (Tafel 5)	III	—	1	—	—	Leichtes Beben, von vielen beob.

Tabelle II. In der Schweiz 1938 registrierte Nahebeben.

	Station	Meereshöhe	Lage	Untergrund
Mittlere Zeit Greenwich;	Erdbebenwarte Zürich (Z);	604 m;	Breite: 47° 22′ 7.2″ N; Länge: 8° 34′ 49.5″ E;	Molassesandstein u. Mergel, wechsellagernd.
	Erdbebenwarte Chur (Ch);	630 m;	Breite: 46° 50′ 59.5″ N; Länge: 9° 32′ 12.1″ E;	Bündnerschiefer der penninischen Decke.
	Observatoire Neuchâtel (N);	487 m;	Breite: 46° 59′ 50.6″ N; Länge: 6° 57′ 26.2″ E;	Gewachsener Kalkfels.
	Erdbebenwarte Basel (B);	309 m;	Breite: 47° 32′ 24″ N; Länge: 7° 34′ 58.5″ E;	Nagelfluhschichten.
	Erdbebenwarte Sion (S);	500 m;	Breite: 46° 16′ 4.0″ N; Länge: 7° 21′ 39″ E;	Alluvium.

Nr.	Datum	Station	Epizentralentfernung nach S–P	Max. Amplitude	Ungefähre Dauer der Registr.	Phasen, Bemerkungen Wo nichts weiteres bemerkt ist, beziehen sich die Ablesungen auf die Apparate Quervain-Piccard der Stationen Zürich, Chur, Neuchâtel und Basel.
	1938		km	μ	Min.	
1	Januar 2.	Z	—	0.5	0.5	$i\bar{S}$ 13^h 16^m 8.9^s, keine makroseismischen Meldungen!
2	„ 2.	Ch	32	—	1.0	$i\bar{P}$ 17^h 10^m 47.5^s, $i\bar{S}$ 17^h 10^m 51.4^s
		Z	110	0.5	0.5	eP 17^h 11^m 1.1^s, $\bar{S}$ 17^h 11^m 3.8^s, $e\bar{S}$ 17^h 11^m 15.2^s, i 17^h 11^m 18.3^s
		B	—	—	0.5	e 17^h 11^m 13.4^s
						Herdtiefe 0 km, Herd bei Splügen, dort verspürt mit Int. IV (vgl. Tab. I, Nr. 1)
3	„ 3.	B	—	—	0.5	$e\bar{S}$ 8^h 47^m 07.3^s
		Z	—	0.2	0.5	$i\bar{S}$ 8^h 47^m 9.0^s, keine makroseismischen Meldungen!
4	„ 10.	Ch	—	—	3.0	eP 18^h 01^m 02.1^s
5	„ 15.	Ch	760	—	4.0	eP 19^h 53^m 50.5^s, eS 19^h 55^m 18.0^s
		Z	—	0.5	4.0	eP 19^h 54^m 1.7^s
		B	—	—	4.0	eP 19^h 54^m 12.0^s, e 19^h 55^m
6	Febr. 15.	N	270	—	3.0	ePn 2^h 32^m 55.4^s, $e\bar{P}$ 2^h 33^m 00.5^s, $i\bar{S}$ 2^h 33^m 33.8^s
		B	330	—	3.0	ePn 2^h 33^m 3.8^s, $e\bar{P}$ 2^h 33^m 12.0^s, $e\bar{S}$ 2^h 33^m 52.0^s
		Z	320	3.0	3.0	ePn 2^h 33^m 4.9^s, $e\bar{P}$ 2^h 33^m 14.7^s, $e\bar{S}$ 2^h 33^m 51.0^s
		Ch	320	—	3.0	$\bar{P}$–$\bar{S}$ = 36.0^s, keine Zeitmarken!
						Herd im Gebiet des Mte. Viso, Westalpen, in Quillestre verspürt.
7	„ 18.	Z	30	8.0	1.0	$i\bar{P}$ 2^h 2^m 3.0^s, i 2^h 2^m 3.6^s, $i\bar{S}$ 2^h 2^m 6.8^s, Azimut 45°
		Ch	70	—	1.0	$e\bar{P}$ 2^h 2^m 14.4^s, $e\bar{S}$ 2^h 2^m 23.0^s
		B	96	—	1.0	$i\bar{P}$ 2^h 2^m 15.6^s, $e\bar{S}$ 2^h 2^m 28.0^s
		N	147	—	1.0	$i\bar{P}$ 2^h 2^m 24.6^s, $i\bar{S}$ 2^h 2^m 43.2^s
						Herd im Gebiet zwischen Frauenfeld und Winterthur (vgl. Tab. I, Nr. 2).
8	„ 28.	N	—	—	0.5	i 23^h 10^m 31.4^s, lokal.
9	März 13.	Ch	190	—	2.0	eP 21^h 27^m 14.7^s, eS 21^h 27^m 39.0^s
		B	—	—	2.0	eP 21^h 27^m 20.0^s, e 21^h 28^m 24.0^s
		Z	300	1.0	2.0	eP 21^h 27^m 27.6^s, eS 21^h 28^m 11.4^s
		N	—	—	2.0	eP 21^h 27^m 40.1^s
						Vermutlich Herdgegend in den südl. Kalkalpen?
10	„ 25.	B	—	—	1.0	eP Min.-Lücke 16^h 21^m 03.6^s
11	„ 25.	N	190	—	1.0	$e\bar{P}$ 23^h 20^m 50.9^s, $e\bar{S}$ 23^h 21^m 15.0^s
12	„ 27.	Ch	570	—	20.0	ePn 11^h 17^m 43.0^s, e 11^h 47^m 45.4^s, $e\bar{S}$ 11^h 19^m 13.0^s, Azimut 110°
		Z	660	>100	20.0	ePn 11^h 17^m 52.0^s, Compr. $e\bar{P}$ 11^h 18^m 14.8^s, $e\bar{S}$ 11^h 19^m 37.0^s, Azimut 100°
		B	640	—	20.0	ePn 11^h 18^m 00.1^s, $e\bar{P}$ 11^h 18^m 36.0^s, $e\bar{S}$ 11^h 19^m 14.0^s, Azimut 90°
		N	750	—	25.0	ePn 11^h 18^m 5.8^s, $e\bar{S}$ 11^h 20^m 08.0^s, Azimut 100°
						Herdgebiet 46° N, 17° E, in Ungarn, Jugoslawien, Venetien und Steiermark stark verspürt.
13	April 1.	Ch	—	—	1.0	e_1 11^h 18^m 57.2^s, e_2 11^h 18^m 58.0^s
		Z	—	1.6	1.0	e_1 11^h 18^m 58.2^s, e_2 11^h 19^m 7.1^s, Analyse nicht möglich.
		B	—	—	1.0	e_1 11^h 19^m 17.3^s, e_2 11^h 19^m 27.6^s
14	„ 9.	Ch	133	—	2.0	$e\bar{P}$ 5^h 39^m 16.2^s, $e\bar{S}$ 5^h 39^m 33.0^s
		Z	226	10.0	2.0	ePn 5^h 39^m 27.0^s, $e\bar{P}$ 5^h 39^m 29.8^s, $e\bar{S}$ 5^h 39^m 57.4^s
		N	264	—	2.0	ePn 5^h 39^m 32.3^s, $e\bar{P}$ 5^h 39^m 38.0^s, $i\bar{S}$ 5^h 40^m 9.5^s
		B	268	—	2.0	ePn 5^h 39^m 34.7^s, $e\bar{S}$ 5^h 40^m 7.7^s
						Herd SE von Bergamo, nach Rom dort verspürt mit Int. V.

Tabelle II (Fortsetzung).

Nr.	Datum	Station	Epizentralentfernung nach S-P	Max. Amplitude	Ungefähre Dauer der Registr.	Phasen, Bemerkungen
	1938		km	μ	Min.	
15	April 11.	Z	95	40.0	2.0	$e\bar{P}$ 6^h 42^m 23.8^s, $i\bar{S}$ 6^h 42^m 36.2^s
		Ch	126	—	2.0	$e\bar{P}$ 6^h 42^m $280.^s$, $e\bar{S}$ 6^h 42^m 44.0^s
		B	140-160	—	2.0	eP 6^h 42^m 30.4^s, $i\bar{P}$ 6^h 42^m 33.0^s, $i\bar{S}$ 6^h 42^m 51.0^s
						Herdgebiet zwischen Mengen und Saulgau, Süddeutschland (vgl. Tab. I, Nr. 3).
16	„ 11.	Z	95	40.0	2.0	$i\bar{P}$ 6^h 47^m 39.8^s, $i\bar{S}$ 6^h 47^m 52.3^s
		Ch	126	—	2.0	$e\bar{P}$ 6^h 47^m 44.1^s, $e\bar{S}$ 6^h 48^m 00.0^s
		B	115?	—	2.0	$i\bar{P}$ 6^h 47^m 46.2^s, i 6^h 47^m 49.0^s, $i\bar{S}$ 6^h 48^m 00.7^s
						Nachstoss zu Nr. 15 (vgl. Tab, I, Nr. 4).
17	„ 13.	Ch	860	—	20.0	eP 2^h 47^m 52.4^s, i 2^h 47^m 53.5^s, eS 2^h 49^m 30.0^s, Dilat. Azimut 160°
		Z	920	>100	25.0	eP 2^h 48^m 00.9^s, iP 2^h 48^m 3.2^s, iS 2^h 49^m 45.2^s Dilat. Azimut 145°
		N	940	—	25.0	eP 2^h 48^m 03.0^s, iP 2^h 48^m 5.7^s, eS Min.-Lücke 49^m 50.0^s Dilat. Azimut 140°
		B	1000	—	25.0	eP 2^h 48^m 05.3^s, i 2^h 48^m 8.0^s, iS 49^m 58.0^s Azimut 130°
						Herd im Tyrrhenischen Meer zirka 39.5° N, 15° E, verspürt in Sizilien, Calabrien und Apulien.
18	„ 20.	Z	—	0.6	1.0	e_1 00^h 37^m 11.0^s, e_2 0^h 37^m 29.8^s
		B	—	—	1.0	e_1 00^h 37^m 20.8^s, e_2 0^h 37^m 56.0^s
		Ch	—	—	1.0	e 00^h 37^m 21.2^s Nur schwache Spuren.
19	„ 22.	Ch	600	—	4.0	eP 11^h 5^m 28.3^s, eS? 6^m 35.0^s
		Z	880	4.0	4.0	eP 11^h 5^m 44.3^s, eS 7^m 24.1^s
		B	—	—	4.0	eP 11^h 5^m 52.0^s
		N	—	—	4.0	eP 11^h 5^m 52.0^s
20	„ 22.	Ch	—	—	5.0	eP 14^h 52^m 31.8^s, e 52^m 35.0^s
		Z	900	4.0	5.0	eP 14^h 52^m 37.6^s, eS 14^h 54^m 24.1^s
		B	—	—	5.0	eP 14^h 52^m 53.4^s
		N	—	—	5.0	eP 14^h 52^m 55.8^s Nachstoss zu Nr. 19.
21	Mai 6.	N	776	—	12.0	ePn 5^h 00^m 21.9^s, e 5^h 02^m 31.9^s
		B	831	—	12.0	ePn 5^h 00^m 30.0^s, e 5^h 02^m 52.0^s
		Z	903	—	13.0	ePn 5^h 00^m 38.7^s, eS 5^h 02^m 12.7^s
						Nach Strasbourg 45° 55′ N, 3° 5.5′ W, in der Charente verspürt.
22	„ 10.	N	17	—	0.5	$i\bar{P}$ 2^h 59^m 12.4^s, $i\bar{S}$ 2^h 59^m 4.6^s Keine makroseismischen Meldungen.
23	„ 14.	Z	330	0.7	2.0	ePn 10^h 33^m 40.4^s, $\bar{S}$ 10^h 34^m 21.2^s
24	„ 24.	Ch	140	—	2.0	$e\bar{P}$ 18^h 05^m 4.8^s, $e\bar{S}$ 18^h 5^m 22.0^s
		Z	200	0.7	2.0	$e\bar{P}$ 18^h 06^m 2.4^s, eS 18^h 6^m 29.0^s
		B	—	0.0	2.0	e 18^h 6^m 43.0^s
		N	—	—	2.0	Spuren Herd nicht lokalisierbar.
25	„ 24.	Z	195	0.7	2.0	eP 19^h 44^m 43.3^s, eS 19^h 45^m 8.5^s Nachstoss zu Nr. 23.
26	„ 27.	N	250	—	2.0	$e\bar{P}$ 19^h 43^m 10.6^s, $e\bar{S}$ 19^h 43^m 42.0^s
		B	320	—	2.0	$e\bar{P}$ 19^h 43^m 22.0^s, $e\bar{S}$ 19^h 44^m 02.0^s
		Ch	320	—	2.0	$e\bar{P}$ 19^h 43^m 22.1^s, $e\bar{S}$ 19^h 44^m 02.0^s
		Z	320	1.0	2.0	$e\bar{P}$ 19^h 43^m 23.0^s, $e\bar{S}$ 19^h 44^m 03.4^s
						Herdgebiet Mte. Viso, Westalpen, nach Strasbourg in Guillestre verspürt V.
27	„ 27.	Ch	740	—	10.0	ePn 21^h 25^m 38.6^s, eSn 21^h 27^m 03.0^s
		Z	980	25.0	10.0	ePn 21^h 25^m 46.5^s, eSn 21^h 27^m 36.8^s
		B	1000	—	10.0	ePn 21^h 25^m 57.6^s, eSn 21^h 27^m 50.0^s
		N	960	—	10.0	ePn 21^h 25^m 58.0^s, eSn 21^h 27^m 47.4^s
						Herd in der Adria zirka 42° N, 17° E, nach Rom in der Provinz Foggia verspürt.
28	„ 28.	Ch	32	—	1.0	$e\bar{P}$ 4^h 40^m 50.5^s, $i\bar{S}$ 4^h 40^m 54.6^s
		Z	110	1.0	1.0	$e\bar{P}$ 4^h 41^m 02.6^s, e 4^h 41^m 6.7^s, $e\bar{S}$ 4^h 41^m 17.4^s, e 4^h 41^m 22.0^s
		B	180	—	1.0	$e\bar{P}$ 4^h 41^m 14.2^s, $e\bar{S}$ 4^h 41^m 37.0^s
		N	180	—	1.0	$e\bar{P}$ 4^h 41^m 17.1^s, $e\bar{S}$ 4^h 41^m 41.0^s
						Verspürt in Splügen Kt. Graubünden (vgl. Tab. I, Nr. 4).
29	Juni 11.	B	460	—	15.0	ePn 10^h 58^m 37.6^s, $e\bar{P}$ 10^h 58^m 46.0^s, eSn? 10^h 59^m 26.0^s, $e\bar{S}$ 10^h 59^m 45.0^s
		N	400	—	15.0	ePn 10^h 58^m 40.9^s, eSn 10^h 59^m 29.0^s
		Z	480	40.0	10.0	ePn 10^h 58^m 46.2^s, eSn 10^h 59^m 43.0^s Min.-Lücke
		Ch	—	—	10.0	ePn 10^h 58^m 58.2^s
						Herd N-W von Brüssel Belgien, Bauschäden in Belgien, ausserdem verspürt in Frankreich, Deutschland, Holland und England.
30	„ 11.	N	—	—	4.0	e 13^h 10^m 06.2^s
		B	—	—	4.0	e 13^h 10^m 30.6^s Nachstoss zu Nr. 29.

Tabelle II (Fortsetzung).

Nr.	Datum	Station	Epizentralentfernung nach S–P	Max. Amplitude	Ungefähre Dauer der Registr.	Phasen, Bemerkungen
	1938		km	μ	Min.	
31	Juni 12.	B	400	—	4.0	ePn 13h 26m 47.3s, eSn 13h 27m 35.0s
		N	400	—	4.0	ePn 13h 26m 47.4s, eSn 13h 27m 35.0s
		Z	486	3.0	4.0	ePn 13h 26m 54.5s, eSn 13h 27m 52.2s
		Ch	—	—	4.0	ePn 13h 27m 05.0s Nachstoss zu Nr. 29.
32	„ 12.	Ch	16	—	0.3	iP̄ 20h 44m 22.0s, iS̄ 20h 44m 24.0s
33	„ 16.	Z	—	—	0.2	e 13h 00m 20.9s
34	Juli 2.	Ch	—	—	10.0	eP 1h 46m 52.9s
		Z	900	10.0	10.0	eP 1h 47m 04.9s, eS? 1h 48m 41.8s
		N	1050	—	10.0	eP 1h 47m 10.0s, eS? 1h 49m 04.0s
		B	1200	—	10.0	eP 1h 47m 10.4s, eS 1h 49m 19.0s, e 1h 50m 04.0s
						Azimut 130°. Herd Adria, in ganz Apulien verspürt.
35	„ 3.	Z	40	1.0	0.5	eP̄ 17h 44m 17.5s, eS̄ 17h 44m 23.1s
		B	—	—	0.5	eP̄ 17h 44m 21.8s, e 17h 44m 42.0s Keine makroseismischen Meldungen.
36	„ 7.	Z	290	9.0	5.0	ePn 07h 48m 50.0s, eS 7h 49m 31.3s
		N	420	—	6.0	ePn 07h 49m 04.0s, eS 7h 50m 09.0s Azimut 100°
		B	380	—	6.0	ePn 07h 49m 06.0s, eS 7h 49m 52.0s
						Herd im Gebiet der südl. Kalkalpen, nach Rom in der Provinz Udine verspürt.
37	„ 8.	Z	900	5.0	6.0	eP 6h 34m 55.0s, eS 6h 35m 33.0s
		B	—	—	6.0	eP 6h 35m 07.1s, e 6h 38m 09.0s
						Herdgebiet Ungarn, 21.1° E, 46.1° N, in Oroshàza und Mako Int. VI, in Szegedin V.
38	„ 12.	B	—	—	2.0	e 18h 44m 31.6s
		Z	—	0.5	2.0	e 18h 45m 5.6s
39	„ 13.	N	160	—	1.0	eP̄ 19h 50m 51.6s, eS̄ 19h 51m 13.0s
		Z	300	0.5	1.0	eP̄ 19h 50m 54.8s, eS̄ 19h 51m 33.3s
		B	—	—	1.0	e 19h 51m 25.0s Vermutliches Epizentrum in Frankreich, Isère.
40	„ 14.	Z	340	8.0	4.0	ePn 19h 58m 39.7s, eP̄ 19h 58m 47.7s, Sn 19h 59m24.0s, eS̄ 19h 51m 30.6s
		B	420	—	4.0	ePn 19h 58m 49.4s, eS̄ 19h 59m 54.0s
		N	445	—	4.0	eNn 19h 58m 54.2s, eS̄ 20h 00m 02.0s
						Epizentrum südl. Kalkalpen, nach Rom im Friaul verspürt mit Intensität IV.
41	„ 18.	S	200	—	4.0	ePn 0h 58m 16.6s, eP̄? 0h 58m 17.6s, eS̄ 0h 59m 41.8s
		N	275	—	10.0	ePn 0h 58m 25.7s, eP̄ 0h 58m 31.0s, i 58m 55.0s, iS̄ 59m 02.0s, i 59m 50.0s
		B	325	—	10.0	ePn 0h 58m 33.4s, iP̄ 0h 58m 41.0s, iS̄ 0h 59m 19.0s
		Z	330	60.0	10.0	ePn 0h 58m 35.4s, iP̄ 0h 58m 43.0s, eS̄ 0h 59m 23.3s
						Epizentrum im Gebiete des Mte. Viso, verspürt in Piemont und im Dep. Hautes Alpes.
42	„ 22.	Z	125	1.5	1.0	eP̄? 19h 40m 57.9s, eS̄ 19h 41m 13.3s
		B	200	—	1.0	eP̄ 19h 41m 8.8s, eS̄ 19h 41m 34.0s
						Gebiet von St. Moritz, Engadin, (vgl. Tab. I, Nr. 7).
43	Aug. 2.	Z	96.0	20.0	1.0	eP̄ 4h 11m 18.1s, Compr. iP̄ 4h 11m 18.7s, iS̄ 4h 12m 30.5s
		B	141.0	—	1.0	iP̄ 4h 11m 21.1s, i 4h 11m 23.0s, eS̄ 4h 11m 39.0s
		N	180.0	—	1.0	iP̄ 4h 11m 35.4s, eS̄ 4h 11m 58.0s Epizentrum bei Ebingen, schwäbische Alb.
44	„ 12.	Ch	—	—	5.0	ePn 2h 29m 49.4s, eS 2h 31m 55.0s
		Z	600	4.0	5.0	ePn 2h 30m 1.7s, eS? 2h 31m 10.3s
		B	720	—	5.0	ePn 2h 30m 7.9s, e 22h 31m 30.0s
						Abruzzen, Italien, nach Rom dort verspürt mit Int. VII.
45	„ 15.	Ch	1020	6.0	10.0	eP 11h 4m 35.2s, eS 6m 29.0s
		Z	1080	—	10.0	eP 11h 4m 48.4s, Dilat. eS 11h 6m 48.4s
		N	—	—	10.0	eP 11h 4m 55.2s
		B	—	—	10.0	eP 11h 4m 55.5s, e 11h 7m 17.0s
						Albanische Küste der Adria, nach Strasbourg 41° N, 20° E.
46	„ 24.	N	78	—	1.0	eP̄ 17h 42m 51.0s, eS̄ 17h 43m 1.0s
		B	120	—	1.0	eP̄? 17h 42m 57.2s, eS̄ 17h 43m 12.6s
		Z	150	1.0	1.0	eP̄? 17h 43m 09.2s, eS̄ 17h 43m 28.1s Epizentrum nördl. von Besançon.
47	Sept. 7.	Ch	—	—	3.0	e 13h 38m 00.9s
		Z	—	1.0	2.0	e 13h 37m 11.0s
		B	—	—	2.1	e 13h 37m 52.0s
48	„ 9.	Z	—	0.3	3.0	eP 19h 22m 17.0s Nach Stuttgart Herd 47° N, 15° E, Steiermark.

Tabelle II (Fortsetzung)

Nr.	Datum	Station	Epizentral-Entfernung nach S-P	Max. Amplitude	Ungefähre Dauer der Registr.	Phasen, Bemerkungen
	1938		km	μ	Min.	
49	Aug. 23.	S	50	—	1.0	$e\bar{P}$ 1^h 51^m 37.2^s, i 1^h 51^m 42.1^s, $i\bar{S}$ 51^m 43.8^s
		N	128	—	3.0	$e\bar{P}$ 1^h 51^m 51.9^s, $e\bar{S}$ 1^h 52^m 08.0^s, i_1 1^h 51^m 54.0^s, i_2 1^h 52^m 04.0^s
		B	210	—	3.0	$e\bar{P}$ 1^h 52^m 00.6^s, $e\bar{S}$ 1^h 52^m 27.0^s
		Z	—	—	3.0	$e\bar{P}$ Min.-Lücke 1^h 52^m 4.4^s, $i\bar{S}$ 1^h 52^m 29.7^s
		Ch	223	8.0	3.0	$e\bar{P}$ 1^h 52^m 5.2^s, $e\bar{S}$ 1^h 52^m 33.1^s
						Herd im Mont-Blancgebiet, verspürt im Aostatal, Italien.
50	Okt. 2.	Z	—	1.0	2.0	e 17^h 38^m 1.7^s
		N	—	—	2.0	e_1 17^h 41^m 28.5^s, e_2 17^h 42^m 21.0^s
		B	—	—	2.0	eP 17^h 41^m 32.8^s, e 17^h 43^m 57.0^s
51	„ 16.	N	820	—	10.0	eP 2^h 21^m 42.2^s, i 2^h 21^m 45.0^s, eS 2^h 23^m 15.0^s, e 24^m 0.9^s
		B	1000	—	10.0	eP 2^h 21^m 52.1^s, eS 2^h 23^m 44.0^s
		Z	950	10.0	10.0	eP 2^h 22^m 00.5^s, eS 2^h 23^m 47.5^s
		Ch	—	—	10.0	eP 2^h 22^m 08.0^s, eM 25^m 10.0^s
						Verspürt nach der Presse im ganzen Baskenland. Epizentrum nach Strasbourg 43.3° N, 3.0° W.
52	„ 26.	N	22	—	1.0	$i\bar{P}$ 3^h 53^m 40.1^s, $i\bar{S}$ 3^h 53^m 42.8^s Keine makroseismischen Meldungen.
53	„ 21.	S	15	—	1.0	$e\bar{P}$ 2^h 16^m 21.8^s, $i\bar{S}$ 2^h 16^m 23.7^s
		N	80	—	1.0	$e\bar{P}$ 2^h 16^m 34.5^s, i_1 2^h 16^m 37.3^s, i_2 2^h 16^m 44.9^s, $i\bar{S}$ 2^h 16^m 48.9^s
		B	145	—	1.0	$e\bar{P}$ 2^h 16^m 43.4^s, $e\bar{S}$ 2^h 17^m 02.0^s, i 2^h 16^m 44.0^s
		Z	155	1.0	1.0	$e\bar{P}$ 2^h 16^m 44.9^s, i 2^h 16^m 46.1^s, e 2^h 17^m 2.7^s, $e\bar{S}$ 2^h 17^m 4.6^s
		Ch	170	—	1.0	$e\bar{P}$ 2^h 16^m 50.5^s, $i\bar{S}$ 2^h 17^m 11.6^s
						Herd Wildhorn, Kt. Bern (vgl. Tab.I, Nr. 8).
54	„ 22.	Ch	160	—	1.0	$i\bar{P}$ 23^h 24^m 18.7^s, $i\bar{S}$ 23^h 24^m 39.1^s Azimut 70°
		Z	215	1.0	1.0	$e\bar{P}$ 23^h 24^m 27.2^s, $i\bar{S}$ 23^h 24^m 54.2^s
						Herdgebiet nördl. Kalkalpen, Karwendelgebirge?
55	Nov. 1.	B	55	—	2.0	$e\bar{P}$ 3^h 29^m 07.7^s, $e\bar{S}$ 3^h 29^m 15.0^s
56	„ 2.	Ch	—	—	2.0	eP 3^h 53^m 25.7^s, e? 3^h 46^m 05.0^s
57	„ 2.	Z	14	5.0	0.2	$i\bar{P}$ 17^h 6^m 11.4^s, iS 17^h 6^m 12.9^s
58	„ 4.	S	80	—	0.2	$i\bar{P}$ 14^h 41^m 1.2^s, $i\bar{S}$ 14^h 41^m 2.2^s
		N	125.0	—	3.0	$i\bar{P}$ 14^h 41^m 16.1^s, $i\bar{S}$ 14^h 41^m 32.3^s
		B	160.0	—	3.0	$e\bar{P}$ 14^h 41^m 24.8^s, $e\bar{S}$ 14^h 41^m 45.0^s
		Z	153.0	10.0	3.0	$e\bar{P}$ 14^h 41^m 27.1^s, $e\bar{S}$ 14^h 41^m 48.2^s
		Ch	203.0	—	3.0	$e\bar{P}$ 14^h 41^m 30.5^s, $i\bar{S}$ 14^h 41^m 56.0^s, i 14^h 41^m 32.0^s Azimut 270°
						Lokalbeben in Sion (vgl. Tab. I, Nr. 9).
59	„ 4.	S	12	—	0.1	$e\bar{P}$ 14^h 46^m 54.6^s, $e\bar{S}$ 14^h 46^m 56.1^s
		N	110?	—	1.0	$e\bar{P}$? 14^h 47^m 11.8^s, $i\bar{S}$ 14^h 47^m 26.0^s
		Z	—	0.5	1.0	$i\bar{S}$ 14^h 47^m 42.2^s Nachstoss zu Nr. 58, keine makroseismischen Meldungen.
60	„ 7.	Z	14	6.0	0.5	$i\bar{P}$ 12^h 23^m 33.1^s, $i\bar{S}$ 12^h 23^m 34.6^s Gleiche Registrierung wie Nr. 57.
61	„ 7.	Z	14	6.0	0.5	$i\bar{P}$ 14^h 36^m 29.5^s, $i\bar{S}$ 14^h 36^m $30.^s$ Gleiche Registrierung wie Nr. 57.
62	„ 8.	Ch	460	—	10.0	ePn 3^h 12^m 47.9^s, eSn 3^h 13^m 42.0^s Azimut 70°
		Z	600	0.5	10.0	ePn 3^h 12^m 54.5^s, $e\bar{P}$ 3^h 13^m 18.0^s, eSn 3^h 13^m 52.0^s, $e\bar{S}$ 3^h 14^m 18.7^s
		B	580	—	10.0	ePn 3^h 13^m 02.3^s, $e\bar{P}$? 3^h 13^m 32.0^s, eSn? 3^h 14^m 09.0^s
		N	630	—	10.0	ePn 3^h 13^m 06.3^s, i 3^h 13^m 38.0^s, $e\bar{S}$ 3^h 14^m 59.0^s
						Nach Stuttgart Herd südl. von Wien, Schäden in Elreichsdorf und Brodersdorf.
63	„ 8.	Ch	470	—	2.0	e 3^h 32^m 50.5^s, $e\bar{S}$ 3^h 33^m 44.0^s
		Z	—	—	2.0	e 3^h 32^m 55.0^s Nachstoss zu Nr. 62.
64	„ 8.	Ch	470	—	2.0	eP 3^h 24^m 28.1^s, $e\bar{S}$ 3^h 25^m 21.0^s
		Z	—	1.0	2.0	e 3^h 24^m 32.0^s
		N	—	—	2.0	e 3^h 24^m 49.7^s
		B	—	—	2.0	eP 3^h 25^m 09.5^s Nachstoss zu Nr. 62.
65	„ 8.	N	—	0.5	1.0	eP 5^h 43^m 06.6^s
66	„ 9.	Z	14	6.0	0.5	$i\bar{P}$ 14^h 29^m 23.3^s, $i\bar{S}$ 14^h 29^m 24.8^s Gleiche Registrierung wie Nr. 57.
67	„ 11.	Ch	—	—	1.0	eP 9^h 25^m 29.8^s
68	„ 12.	Z	14	6.0	0.3	$i\bar{P}$ 15^h 1^m 20.0^s, $i\bar{S}$ 15^h 1^m 21.5^s (vgl. Nr. 57).

Tabelle II (Schluß).

Nr.	Datum	Station	Epizentralentfernung nach S–P	Max. Amplitude	Ungefähre Dauer der Registr.	Phasen, Bemerkungen
	1938		km	μ	Min.	
69	Nov. 13.	N	—	—	1.0	$i\bar{P}$ 11^h 18^m 14.3^s
70	„ 14.	B	22	—	0.4	$e\bar{P}$ 15^h 04^m 30.3^s, $e\bar{S}$ 15^h 04^m 33.0^s, e 04^m 35.0^s
71	„ 17.	Z	32	1.0	0.5	$i\bar{P}$ 0^h 00^m 6.6^s, $i\bar{S}$ 0^h 00^m 10.6^s
		Ch	100	—	0.5	$i\bar{P}$ 0^h 00^m 18.4^s, $i\bar{S}$ 0^h 00^m 31.0^s
						Lokalbeben bei Frauenfeld (vgl. Tab. I, Nr. 10).
72	„ 17.	Z	32	2.0	0.5	$e\bar{P}$ 0^h 18^m 10.7^s, $e\bar{S}$ 00^h 18^m 14.8^s
		Ch	95	—	0.5	$e\bar{P}$ 0^h 18^m 22.7^s, $e\bar{S}$ 00^h 18^m 35.0^s
		B	—	—	0.5	e_1 0^h 18^m 36.3^s, e_2 00^h 18^m 36.0^s
						Nachstoss zu Nr. 71 (vgl. Tab. I, Nr. 11).
73	„ 17.	Z	—	0.5	0.5	$\bar{S}$ 0^h 35^m 47.9^s Nachstoss zu Nr, 71 (vgl. Tab. I, Nr. 12).
74	„ 17.	Z	—	0.5	0.5	$\bar{S}$ 2^h 34^m 46.2^s Nachstoss zu Nr. 71 (vgl. Tab. I, Nr. 13).
75	„ 17.	Z	—	0.5	0.5	$\bar{S}$ 2^h 50^m 16.1^s Nachstoss zu Nr. 71 (vgl. Tab. I, Nr. 14).
76	„ 17.	Z	—	0.4	0.3	$\bar{S}$ 3^h 28^m 01.5^s Nachstoss zu Nr. 71 (vgl. Tab. I, Nr. 15).
77	„ 17.	Z	—	0.3	0.3	$\bar{S}^h$ 3 47^m 37.2^s Nachstoss zu Nr. 71.
78	„ 17.	Z	—	0.3	0.3	$\bar{S}$ 3^h 47^m 42.3^s Nachstoss zu Nr. 71.
79	„ 25.	B	—	—	2.0	$e\bar{P}$ 4^h 33^m 04.1^s
80	„ 25.	B	—	—	1.0	$e\bar{P}$ 8^h 44^m 36.2^s
81	Dez. 2.	Ch	—	—	2.0	$e\bar{P}$ 21^h 24^m 32.1^s
82	„ 3.	B	—	—	1.0	$e\bar{P}$ 19^h 6^m 33.6^s
83	„ 8.	N	240	—	2.0	$e\bar{P}$ 7^h 36^m 34.6^s, $e\bar{S}$ 37^m 08.0^s
		B	300	1.5	2.0	$e\bar{P}$ 7^h 36^m 54.5^s, $e\bar{S}$ 37^m 32.0^s
		Z	330	—	2.0	$e\bar{P}$ 7^h 36^m 58.3^s, $e\bar{S}$ 37^m 39.6^s
						Herd nach Strasbourg Departement Isère, zirka 45° 8′ N, 5° 18′ E.
84	„ 12.	Ch	60	—	1.0	$e\bar{P}$ 19^h 11^m 04.9^s, $e\bar{S}$ 19^h 11^m 13.0^s
		Z	—	0.5	0.5	$e\bar{S}$ 19^h 11^m 42.6^s Vermutliches Herdgebiet Arlberg.
85	„ 13.	Z	50	0.5	0.5	$e\bar{P}$? 4^h 51^m 00.1^s, $i\bar{S}$ 4^h 51^m 6.8^s Herd unbekannt.
86	„ 17.	Z	210	0.5	2.0	eP? 6^h 12^m 23.0^s, $\bar{S}$ 6^h 124^m 51.0^s
		B	—	—	3.0	$e\bar{S}$ 6^h 13^m 13.7^s
87	„ 23.	N	180	—	3.0	$e\bar{P}$ 17^h 35^m 21.4^s, $e\bar{S}$ 17^h 35^m 44.0^s Azimut 180°
		Ch	225	—	3.0	ePn 17^h 35^m 28.8^s, $e\bar{S}$ 17^h 35^m 59.0^s
		Z	230	10.0	3.0	ePn 17^h 35^m 28.8^s, $e\bar{S}$ 17^h 36^m 00.3^s
		B	235	—	3.0	ePn 17^h 35^m 29.1^s, $e\bar{S}$ 17^h 36^m 01.0^s
						Westalpen, im Gebiet des Gr. Paradiso, Italien.

Tabelle III. In der Schweiz 1938 registrierte Fernbeben.

Mittlere Zeit Greenwich.

Nr.	Datum	Station	Epizentralentfernung nach S-P	Ungefähre Dauer der Registr.	Phasen, Bemerkungen (Wo nichts weiteres bemerkt ist, beziehen sich die Ablesungen auf die Apparate Quervain-Piccard.)
	1938		km	Std.	
1	Januar 1.	Ch	10400	0.4	eP 23^h 41^m 25.4^s, ePP 23^h 45^m 14.0^s
		Z	10450	0.5	eP 23^h 41^m 25.6^s, ePP 23^h 45^m 16.8^s
		B	10400	0.5	eP 23^h 41^m 28.4^s, ePP 23^h 45^m 14.0^s
		N	—	0.5	eP 23^h 41^m 29.9^s Herdgebiet Bonin-Inseln
2	„ 2.	Ch	—	0.3	eP 10^h 58^m 48.6^s, e 10^h 02^m 08.0^s
		Z	—	0.3	eP 10^h 59^m 59.3^s, e 10^h 02^m 46.9^s
		B	—	0.3	eP 10^h 59^m 03.7^s, e 10^h 02^m 45.0^s
		N	—	0.3	eP 10^h 59^m 06.7^s
3	„ 2.	Ch	10000	1.5	eP 22^h 40^m 11.9^s, ePP 22^h 43^m 46.0^s, eS? 22^h 51^m 18.8^s
		N	9800	1.5	eP 22^h 40^m 14.1^s, eS 22^h 51^m 00.0^s
		Z	9800	1.5	eP 22^h 40^m 22.7^s, eS 22^h 51^m 7.9^s
					Nach U.S.C.G.S. 16° N, 98° W, Zerstörungen in Ometepec Mexiko.
4	„ 4.	Z	—	0.1	eP 2^h 48^m 06.9^s
		Ch	—	0.1	eP 2^h 48^m 09.4^s
		N	—	0.1	eP 2^h 48^m 09.6^s
		B	—	0.1	eP 2^h 48^m 13.2^s
5	„ 8.	Ch	—	0.1	e 5^h 05^m 56.9^s
6	„ 11.	Z	10000	1.0	eP 15^h 24^m 36.5^s, Dilatation eSKS 15^h 3^m 58.0^s, eS 15^h 35^m 37.0^s
		Ch	9500	1.0	eP 15^h 24^m 36.7^s, eS? 15^h 35^m 10.0^s
		B	9500	1.0	eP 15^h 24^m 39.4^s, eS 15^h 35^m 15.0^s
		N	10000	1.0	eP 15^h 24^m 42.0^s, eSKS 15^h 35^m 04.0^s
					Nach Koti Herd 33° 43′ N, 135° 10′ E, in der Provinz Wakayama Japan verspürt.
7	„ 16.	Ch	—	0.1	eP 13^h 41^m 04.3^s Azimut 120°
		Z	—	0.1	eP 13^h 41^m 11.5^s Dilat. Azimut 130°.
		B	—	0.1	eP 13^h 41^m 19.2^s, e_1 13^h 41^m 22.0^s, e_2 13^h 41^m 31.0^s
		N	—	0.1	eP 13^h 41^m 20.6^s Herd Klein-Asien 30° N, 40° E.
8	„ 16.	Ch	—	0.1	eP 14^h 19^m 20.9^s
		Z	—	0.1	eP 14^h 19^m 25.6^s
		N	—	0.1	eP 14^h 19^m 26.7^s
		B	—	0.1	eP 14^h 19^m 27.1^s
9	„ 18.	Ch	—	0.1	eP 4^h 33^m 16.6^s
		Z	—	0.1	eP 4^h 33^m 47.8^s
10	„ 18.	Ch	—	0.2	eP 9^h 37^m 05.4^s, e_1 9^h 42^m 10.8^s, e_2 9^h 50^m 54.0^s
		Z	—	0.2	eP 9^h 37^m 10.9^s Dilat.
		B	—	0.2	eP 9^h 37^m 13.3^s, eL 10^h 30^m
		N	—	0.2	eP 9^h 37^m 16.6^s
11	„ 23.	N	—	0.2	e 08^h 51^m 03.8^s
		Z	—	0.2	Registriert aber durch Bogenwechsel gestört.
					J.S.A. 21.0° N, 156.2° W, auf Hawai stark verspürt.
12	„ 24.	N	—	0.4	eP 10^h 50^m 31.3^s
		Z	—	0.4	eP? 10^h 50^m 34.9^s, e 10^h 51^m 24.8^s, eS? 11^h 02^m 17.3^s
		Ch	—	0.4	eP? 10^h 50^m 49.0^s
		B	—	0.4	e 10^h 51^m 16.1^s
					Herd 58° S, 37° W, nach U.S.C.G.S. 71° S, 47° W, nach J.S.A. 60.4° S, 35.6° W.
13	„ 25.	Ch	—	0.1	eP 17^h 13^m 39.1^s
		N	—	0.1	eP 17^h 13^m 40.6^s Nach Wellington 34° S, 175° W.
		Z	—	0.1	eP 17^h 13^m 43.4^s
14	„ 26.	Ch	—	0.2	eP 3^h 46^m 20.0^s
		Z	3300	0.2	eP 3^h 46^m 26.5^s Compr. eS 3^h 51^m 31.3^s
		B	3300	0.2	eP 3^h 46^m 33.2^s, eS 3^h 51^m 40.0^s
		N	—	0.2	eP 3^h 46^m 35.8^s
					Herdgebiet zirka 36° N, 48° E, nach Strasbourg 34.8° N, 46.7° E, gespürt in Bagdad.
15	„ 29.	Ch	—	0.1	eP 4^h 23^m 30.2^s
		Z	—	0.1	eP 4^h 24^m 06.0^s

Bemerkung: Die Buchstaben J.S.A. bezw. U.S.C.G.S. sind gebräuchliche Abkürzungen für Jesuit Seismological Association bezw. United States Coast and Geodetic Survey.

Tabelle III (Fortsetzung).

Nr.	Datum	Station	Epizentralentfernung nach S–P	Ungefähre Dauer der Registr.	Phasen, Bemerkungen
	1938		km	Std.	
16	Januar 30.	Ch	1060	0.1	eP 17^h 36^m 44.5^s, eS 17^h 38^m 44.0^s
		Z	—	0.2	eP 17^h 36^m 51.3^s
17	Febr. 1.	Ch	13000	1–2	eP 19^h 19^m 02.5^s, eP′ 19^h 23^m 23.0^s, ePP 19^h 24^m 09.0^s, ePS 19^h 33^m 59.0^s
		Z	12850	1–2	eP 19^h 19^m 39.2^s, eP′ 19^h 23^m 05.0^s, ePP 19^h 24^m 10.6^s, eSKS 19^h 30^m 11.0^s, ePS 19^h 33^m 49.2^s
		B	12900	1–2	eP 19^h 19^m 43.0^s, eP′? 19^h 23^m 09.0^s, ePP 19^h 24^m 14.6^s, eSKS 19^h 30^m 16.0^s, ePS 19^h 33^m 57.0^s
		N	12900	1–2	eP′ 19^h 23^m 00.1^s, ePP 19^h 24^m 14.0^s, ePS 19^h 34^m 14.0^s
					Nach U.S.C.G.S. 131° E, 5° S. nach J.S.A. 5.[illegible]° S, 131° E, nach Strasbourg 5° S, 131.7° E.
18	„ 2.	Ch	—	0.1	eP 0^h 9^m 40.3^s
19	„ 3.	Ch	—	0.1	eP 4^h 42^m 17.4^s
20	„ 5.	N	8750	0.3	eP 2^h 35^m 40.2^s, i 2^h 35^m 44.0^s, eS 2^h 45^m 41.0^s
		B	8890	0.3	eP 2^h 35^m 41.4^s, e 2^h 35^m 45.2^s, eS 2^h 45^m 46.7^s
		Z	8890	0.3	eP 2^h 35^m 45.9^s, epP 2^h 36^m 19.9^s, eS 2^h 45^m 51.0^s
		Ch	8900	0.3	eP 2^h 35^m 53.6^s, eS 2^h 46^m 00.0^s
					Nach Strasbourg 5° N, 76° W, $h = 180$ km, nach J.S.A. 5.1° N, 75.7° W, $h = 130$ km, in Bogota Columbien verspürt.
21	„ 7.	B	—	0.1	e 14^h 55^m 30.5^s
22	„ 7.	B	—	0.1	e 15^h 26^m 14.7^s
23	„ 10.	Ch	1980	0.6	eP 20^h 41^m 59.4^s, eS 20^h 45^m 23.0^s, e 20^h 49^m 37.0^s
		B	2150	0.6	eP 20^h 42^m 15.9^s, eS 20^h 45^m 54.0^s
		N	2100	0.6	eP 20^h 42^m 16.0^s, eS 20^h 45^m 50.0^s
		Z	—	0.6	Keine Registrierung, Uhrwerk gestört
					Oestl. Mittelmeer, nach Strasbourg 35.1° N, 26.5° E.
24	„ 14.	Ch	—	0.7	eP 3^h 00^m 42.6^s Azimut 80°
		Z	—	0.7	eP 8^h 00^m 47.8^s Compr. e 3^h 00^m 59.4^s Azimut 90°
		B	—	0.7	eP 3^h 00^m 53.3^s, e 3^h 01^m 5.0^s
		N	3000?	0.7	eP 3^h 00^m 57.4^s, eS? 3^h 05^m 39.0^s Azimut 80°
					Kaspisches Meer, nach Strasbourg 40.8° N, 53.5° E.
25	„ 15.	N	—	0.2	eP 3^h 35^m 09.6^s
		B	—	0.2	eP 3^h 35^m 15.1^s
		Z	—	0.2	eP 3^h 35^m 18.6^s Compr.
		Ch	—	0.2	Registriert ohne Zeitmarken!
					Atlantischer Ozean, J.S.A. 19.3° N, 26.0° W, Strasbourg 18.2° N, 26.7° W.
26	„ 15.	N	—	0.2	eP 7^h 04^m 37.6^s
		B	—	0.2	eP 7^h 04^m 44.3^s Compr.
		Z	—	0.2	eP 7^h 04^m 47.3^s Compr.
		Ch	—	—	Keiee Zeitmarken!
					Nachstoss zu Nr 25.
27	„ 27.	B	—	0.1	e 1^h 41^m 39.3^s
28	März 3.	Ch	1170	0.1	eP 2^h 36^m 07.2^s, eS 2^h 38^m 16.0^s
		Z	1150	0.1	eP 2^h 36^m 23.2^s, eS 2^h 38^m 23.5^s
		B	—	0.1	eP 2^h 36^m 24.3^s, e 2^h 39^m 21.0^s
29	„ 6.	Ch	—	0.1	eP 2^h 15^m 25.0^s
30	„ 6.	Z	—	0.2	eP 17^h 12^m 57.4^s, i 17^h 12^m 4.3^s Dilat.
		Ch	—	0.2	eP 17^h 12^m 59.7^s
		B	—	0.2	eP 17^h 12^m 59.5^s, e 13^m 43.0^s
		N	—	0.2	eP 17^h 13^m 01.2^s
					Herdgebiet nach Pasadena Tonga-Inseln, Tiefherdbeben.
31	„ 11.	Ch	—	0.2	eP 14^h 53^m 40.9^s, e 14^h 53^m 55.0^s
		Z	1450	0.3	eP 14^h 53^m 49.6^s
		B	—	0.3	eP 14^h 54^m 00.3^s, e 14^h 58^m 39.0^s
		N	—	0.3	eP 14^h 54^m 02.2^s
					Verspürt in Missolonghi und Patrae, Herdgebiet zirka 38° N, 21° E.
32	„ 13.	B	—	0.1	e 15^h 47^m 00^s
		Z	—	0.1	e 15^h 47^m 20^s Schwache Spuren.

Tabelle III (Fortsetzung).

Nr.	Datum	Station	Epizentralentfernung nach S-P	Ungefähre Dauer der Registr.	Phasen, Bemerkungen
	1938		km	Std.	
33	März 13.	Ch	—	0.2	eP 17h 48m 16.0s
		Z	1400	0.2	eP 17h 48m 29.0s, eS 17h 51m 02.0s
		B	—	0.2	eP 17h 48m 30.2s
		N	—	0.2	eP 17h 48m 36.7s
					Nachstoss zu Nr. 32.
34	„ 14.	Ch	—	0.2	eP 0h 58m 22.2s, i 0h 58m 23.3s
		Z	—	0.2	eP 0h 58m 26.8s Compr.
		B	—	0.2	eP 0h 58m 32.2s
		N	—	0.2	eP 0h 58m 34.4s
					Nach Pasadena Nord-Indien.
35	„ 14.	Ch	—	0.3	eP 5h 25m 29.5s, eL 5h 51m 40.0s
		Z	—	0.3	eP 5h 25m 32.2s Compr. Azimut ∞ 45°
		B	—	0.3	eP 5h 25m 35.4s
		N	—	0.3	eP 5h 25m 38.4s
36	„ 22.	Ch	—	0.1	eP 15h 24m 49.7s Dilat.
		B	—	0.1	eP 15h 24m 50.6s, iP 15h 24m 51.0s
37	„ 22.	B	—	1.0	eP 15h 33m 54.1s
		N	—	1.0	eP 15h 33m 54.8s
		Z	8500	1.0	eP 15h 33m 56.1s, e 15h 35m 39.5s, eS 15h 43m 46.3s
		Ch	8660	1.0	eP 15h 34m 00.5s, eS 15h 43m 56.0s
					Azimut zirka 335°, Herd 52° N, 135° W, nach J.S.A. 53° N, 131.8° W, gespürt auf Queen Charlotte-Insel.
38	„ 22.	B	—	0.2	eP 22h 39m 26.6s
		N	—	0.2	eP 22h 39m 27.3s
		Z	—	0.2	eP 22h 39m 29.9s
		Ch	—	0.2	eP 22h 39m 33.5s Vermutlich Nachstoss zu Nr. 37.
39	„ 25.	N	—	0.1	eP? 16h 9m 5.7s
		B	—	0.1	eP 16h 9m 09.1s Pasadena: Samoa-Inseln, Wellington 12° S, 177° W.
40	„ 30.	Z	—	0.1	eP 15h 10m 3.9s
		Ch	—	0.1	eP 15h 10m 11.4s
41	„ 31.	Ch	9900	0.3	eP 22h 44m 10.2s, e 44m 12.0s, eS 22h 55m 00.0s
		Z	10000	0.3	eP 22h 44m 11.0s, ePP 22h 44m 52.4s, eS 22h 55m 4.4s
		B	—	0.3	eP 22h 44m 13.0s
		N	—	0.3	eP 22h 44m 17.5s Auf Luçon verspürt.
42	April 1.	Ch	—	0.1	eP 21h 40m 10.6s
		Z	—	0.1	eP 21h 44m 12.1s
43	„ 2.	Z	—	0.1	eP 7h 42m 23.6s Compr.
		Ch	—	0.1	eP 7h 42m 24.4s
		B	—	0.1	eP 7h 42m 24.7s
		N	—	0.1	eP 7h 42m 27.9s
44	„ 9.	Z	—	0.1	eP 9h 30m 6.4s
45	„ 10.	B	—	0.1	eP 5h 16m 31.1s
46	„ 14.	Z	7460	1.0	eP 1h 27m 35.4s, iP 1h 27m 39.4s Compr. eS 1h 36m 47.0s
		B	7660	1.0	eP 1h 27m 39.4s, i 1h 27m 43.0s, eS 1h 36m 49.0s
		N	7600	1.0	eP 1h 27m 42.4s, i 1h 27m 46.0s, eS 1h 36m 51.0s Azimut 60°
					Nach Agra 22.5° N, 94.5° E, $h = 140$ km, verspürt in Assam und Bengalen.
47	„ 19.	Ch	2120	0.5	eP 11h 03m 45.0s, Compr. i 11h 03m 47.0s. eS 11h 7m 20.0s Azimut 90°
		Z	2220	0.5	eP 11h 03m 48.3s Compr. eS 11h 07m 32.3s, Love-Welle gut ausgebildet 11h 7m 50s
		B	2430	0.5	eP 11h 03m 57.0s, eS 11h 07m 57.0s
		N	2430	0.5	eP 11h 04m 01.5s, eS 11h 08m 02.0s Azimut zirka 100°, Herd 39° N, 34° E.
48	„ 19.	Ch	2120	0.5	eP 23h 15m 38.3s, eS 23h 19m 11.0s
		Z	2220	0.5	eP 23h 15m 45.9s, eS 23h 19m 30.0s
		B	2430	0.5	eP 23h 15m 53.5s, eS 23h 19m 48.0s
		N	2430	0.5	eP 23h 15m 56.3s, eS 23h 19m 51.0s Nachstoss zu Nr. 47.
49	„ 20.	Z	—	0.2	eP′ 6h 46m 58.7s, e 6h 50m 54.3s
		B	—	0.2	eP′ 6h 46m 59.6s, e 6h 50m 50.0s
		N	—	0.2	eP′ 6h 47m 02.6s, e 6h 50m 55.0s
		Ch	—	0.2	eP′ 6h 47m 3.5s Nach Manila 22° S, 17.5° E.

Tabelle III (Fortsetzung).

Nr.	Datum	Station	Epizentralentfernung nach S-P	Ungefähre Dauer der Registr.	Phasen, Bemerkungen
	1938		km	Min.	
50	April 21.	Ch	—	0.1	eP 9^h 22^m 13.8^s, e 9^h 22^m 15.0^s
51	„ 23.	Ch	10330	0.7	eP 00^h 40^m 34.9^s, ePP 00^h 44^m 17.0^s, eS 00^h 51^m 42.0^s, eL 00^h 15^m 00^s
		Z	10220	0.7	eP 00^h 40^m 44.5^s, eS 00^h 51^m 44^s
		B	—	1.0	eP 00^h 40^m 43.0^s
		N	—	1.0	eP 00^h 40^m 47.4^s Nach Colaba 26.5° N, 132.5° E.
52	„ 23.	Ch	4200	0.2	eP 6^h 11^m 34.1^s, eS 6^h 17^m 31.0^s
		Z	4250	0.3	eP 6^h 11^m 40.8^s, eS 6^h 17^m 43.3^s
		B	4310	0.3	eP 6^h 11^m 46.9^s, eS 6^h 17^m 54.0^s
		N	—	0.3	eP 6^h 11^m 48.5^s Azimut 104°, Epizentrum 29° N, 53° E, nach Strasbourg 28° N, 55° E.
53	„ 23.	Ch	4200	0.3	eP 9^h 33^m 32.8^s, eS 9^h 39^m 30.0^s
		Z	4250	0.3	eP 9^h 33^m 38.7^s, eS 9^h 39^m 39.2^s Nachstoss zu Nr. 52.
54	„ 23.	Ch	—	0.1	eP 23^h 16^m 44.2^s
55	„ 25.	Ch	—	0.1	eP 9^h 39^m 21.5^s
		B	—	0.1	e 9^h 39^m 22.7^s Nach Pasadena 19° S, 176° W, $h = 400$ km.
56	„ 25.	Ch	—	0.1	eP 14^h 57^m 42.0^s
57	„ 25.	Ch	—	0.1	eP 17^h 19^m 51.4^s Nach Strasbourg Zentralamerika 13° N, 87° W.
58	„ 28.	Ch	—	0.1	eP 10^h 12^m 36.1^s
59	Mai 1.	Ch	—	0.1	eP 1^h 51^m 22.0^s
60	„ 3.	N	—	0.3	eP 2^h 28^m 8.5^s
		Z	9700	0.3	eP 2^h 28^m 9.0^s Dilat. eS 2^h 38^m 53.4^s
		B	9700	0.4	eP 2^h 28^m 9.5^s, eS 2^h 38^m 51.0^s
		Ch	—	0.3	eP 2^h 28^m 16.0^s Zerstörungen in Jaguala Mexiko.
					Herd nach U. S. C. G. S. 18° N, 99° W.
					nach J. S. A. 18.2° N, 99.1° W.
					nach Tacubaya 17° 47′ N, 99° 10′ W.
61	„ 3.	Ch	—	0.1	eP 19^h 27^m 59.7^s
		Z	—	0.1	eP 19^h 28^m 00.3^s Dilat.
		N	—	0.1	eP 19^h 28^m 06.7^s Pasadena gibt 46° N, 149° E.
62	„ 4.	Ch	—	0.1	eP 2^h 46^m 19.4^s, i 2^h 46^m 25.4^s
		Z	—	0.1	eP 2^h 46^m 19.9^s, Dilat. i 2^h 46^m 25.7^s Compr.
63	„ 6.	Z	—	0.1	eP 18^h 29^m 57.8^s
		Ch	—	0.1	eP 18^h 29^m 59.2^s U.S.C.G.S. gibt 13° N, 87° W, gespürt in Nicaragua.
64	„ 8.	N	—	0.1	e 14^h 59^m 01.6^s
65	„ 11.	N	—	0.1	e 15^h 0.8^m 15.0^s U.S.C.G.S. 16.9° N, 101.0° W, J.S.A. 16.8° N, 101° W.
66	„ 12.	Ch	—	1.0	eP′ 15^h 57^m 59.0^s
		Z	14000	1.2	eP′ 15^h 58^m 02.4^s, ePP 15^h 59^m 58.0^s, ePS 16^h 11^m 14.7^s
		B	14000	1.2	eP′ 15^h 58^m 02.5^s ePP 16^h 00^m 09.0^s
		N	—	1.2	eP′ 15^h 58^m 03.1^s Starke Zerstörungen auf Neu-Guinea.
					Epizentrum nach Strasbourg 5.0° S, 147.5° E, nach U.S.C.G.S. 8.0° S, 147° E.
67	„ 12.	Ch	—	0.6	eP 21^h 38^m 37.6^s
		Z	—	0.6	eP 21^h 38^m 50.3^s
		N	—	0.5	eP 21^h 38^m 53.8^s
		B	—	0.5	eP 21^h 38^m 54.8^s Nach Strasbourg in Nubien verspürt, Herd 18° N, 38.0° E.
68	„ 12.	Ch	1800	0.5	eP 22^h 13^m 38.6^s, eS 22^h 16^m 51.6^s
		Z	1980	0.5	eP 22^h 13^m 49.2^s Dilat. eS 22^h 17^m 7.9^s
		B	2050	0.5	eP 22^h 13^m 5 .2^s, eS 22^h 17^m 28.0^s
		N	2100	0.5	eP 22^h 13^m 56.3^s, eS 22^h 17^m 31.0^s
					Nach Strasbourg 34.0° N, 25.5° E, verspürt in Hierapetros V, Sitios IV.
69	„ 13.	B	—	0.3	eP 2^h 59^m 08.5^s S-W von Island, nach Strasbourg zirka 60° N, 35° W.
70	„ 13	Z	—	0.1	eP 4^h 50^m 43.5^s
71	„ 13.	Z	—	0.1	eP 6^h 59^m 59.0^s
72	„ 13.	Z		0.1	eP 7^h 31^m 58.2^s

Tabelle III (Fortsetzung).

Nr.	Datum	Station	Epizentralentfernung nach S–P	Ungefähre Dauer der Registr.	Phasen, Bemerkungen
	1938		km	Min.	
73	Mai 13.	Ch	—	0.2	eP 12^h 14^m 44.4^s, eL 12^m 45^s
		Z	—	0.2	e 12^h 14^m 50.0^s
74	„ 19.	Ch	11700	1.2	eP 17^h 22^m 42.3^s, ePP 17^h 27^m 09.0^s, ePS 17^h 36^m 15.0^s
		Z	11800	1.3	eP 17^h 22^m 49.9^s, eP′ 17^h 26^m 36.5^s, ePP 17^h 27^m 14.7^s, ePPP 17^h 29^m 26.6^s,
		N	—	1.3	eP′ 17^h 26^m 10.1^s [ePS 17^h 36^m 19.8^s
		B	11800	1.3	eP′ 17^h 26^m 36.6^s, ePP 17^h 27^m 28.0^s, eSKS 17^h 33^m 37.0^s, ePS 17^h 36^m 36.0^s
					Springflut in Mambara, starke Zerstörungen auf Celebes. Herd nach Strasbourg 0.5° N, 119° E, nach J. S. A. 1.0° N, 118.9°E, $h = 100$ km.
75	„ 22.	Ch	—	0.1	eP 8^h 5^m 35.5^s, i 8^h 5^m 40.0^s
		Z	—	0.1	eP 8^h 5^m 38.4^s
		N	—	0.1	eP 8^h 5^m 40.5^s
					Herd nach Manila 20° S, 170 E.
76	„ 22.	Ch	—	0.1	eP 8^h 41^m 54.1^s, i 41^m 58.0^s
		N	—	0.1	eP 8^h 41^m 54.1^s
		Z	—	0 1	eP 8^h 41^m 56.7^s
77	„ 23.	Z	9260	1.0	eP 07^h 31^m 11.9^s Compr. eS 7^h 41^m 34.6^s
		B	9550	1.0	eP 07^h 31^m 12.4^s eS 7^h 41^m 48.0^s
		N	9330	1.0	eP 07^h 31^m 15.8^s eS 7^h 41^m 42.0^s
					Herd nach U. S. C. G. S. 36° N, 141° E, nach J. S. A. 36.9° N, 141° E, $h = 100$ km. Stark verspürt in Japan.
78	„ 23.	Z	9380	1.0	eP 08^h 34^m 52.0^s Dilat. eS 8^h 45^m 20.6^s
		B	—	1.0	eP 08^h 34^m 53.3^s
		N	9370	1.0	eP 08^h 34^m 56.9^s, eS 8^h 45^m 25.0^s
					Nach Strasbourg 19° N, 119° E, nach Manila 18° 15′ N, 119° 45′ E, gespürt in Honkong und auf Luzon,
79	„ 28.	Ch	—	0.1	eP 0^h 9^m 23.6^s
		Z	—	0.1	eP 0^h 9^m 28.4^s
		B	—	0.1	eP 0^h 9^m 36.8^s
		N	—	0.1	eP 0^h 9^m 39.9^s
80	„ 28.	Z	—	1.0	eP 16^h 54^m 20.1^s
		Ch	9800?	1.0	eP 16^h 54^m 21.8^s Min.-Lücke eSKS 16^h 04^m 36.0^s
		B	9800	1.0	eP 16^h 54^m 21.8^s eSKS 16^h 04^m 36.0^s
					Nach Colaba 45° N, 144.5° E, nach Strasbourg 43° N, 144.0° E, auf Yeso verspürt.
81	„ 30.	Ch	—	1.5	e_1 14^h 49^m 30.0^s, e_2 14^h 53^m 42.0^s
		N	—	1.5	e 14^h 49^m 30.7^s Compr. e 14^h 53^m 5.8^s
		Z	—	1.5	e 14^h 49^m 30.5^s Nach U. S. C. G. S. 20° S, 169° E, Neu-Caledonien.
					(Distanz von Zürich 16 800 km) Colaba gibt 18° S, 169° E.
82	„ 30.	Z	—	0.1	eP 23^h 40^m 19.0^s Dilat.
		N	—	0.1	eP 23^h 40^m 22.9^s
83	„ 31.	B	—	0.4	e 17^h 59^m 23.8^s
		Z	—	0.1	e 17^h 59^m 43.0^s
		N	—	0.1	e 17^h 59^m 56.1^s
					Strasbourg gibt: Schwarzes-Meer 42° N, 37° E.
84	„ 31.	B	—	0.1	e 19^h 39^m 18.7^s
		Z	—	0.1	e 19^h 39^m 20.0^s
85	Juni 3.	Ch	—	0.1	eP 16^h 41^m 59.4^s
		Z	2000	0.1	eP 16^h 42^m 7.8^s Dilat. eS 16^h 45^m 32.9^s
		B	2100	0.1	eP 16^h 42^m 13.8^s eS 16^h 45^m 50.0^s
		N	2100	0.1	eP 16^h 42^m 14.9^s eS 16^h 45^m 52.0^s Azimut 120° Herd 36° N, 28° E.
86	„ 8.	Ch	—	0.1	eP 12^h 22^m 00.7^s, i 12^h 22^m 05.0^s
		Z	—	0.1	eP 12^h 22^m 3.8^s
		B	—	0.1	eP 12^h 22^m 4.8^s
87	„ 9.	Z	12400	1.5	eP? 19^h 29^m 46.0^s, eP′ Min.-Lücke 19^h 33^m 43.0^s, eS 19^h 43^m 43.0^s
		Ch	—	1.5	eP′ 19^h 33^m 21.0^s, e 19^h 40^m 29.0^s
		B	—	1.5	eP′ 19^h 33^m 50.6^s, e 19^h 44^m 00.0^s
		N	—	1.5	eP′? 19^h 34^m 36.9^s Banda-See, nach Strasbourg 2.8° S, 126.0° E,
					nach J. S. A. 3.1° S, 125.7° E (Distanz von Zürich 12 300 km).

Tabelle III (Fortsetzung).

Nr.	Datum	Station	Epizentralentfernung nach S-P	Ungefähre Dauer der Registr.	Phasen, Bemerkungen
	1938		km	Std.	
88	Juni 10.	Z	9700	1.0	eP 10^h 06^m 27.1^s, ePP 10^h 09^m 57.7^s, ePS 10^h 18^m 18.6^s, eSS 10^h 23^m 24.5^s
		Ch	9600	1.0	eP 10^h 06^m 27.6^s, ePP 10^h 09^m 55.0^s
		B	9700	1.0	eP 10^h 06^m 31.6^s, ePS 10^h 18^m 27.0^s, eSSS 10^h 27^m 37.0^s
		N	9450?	1.0	eP 10^h 06^m 35.0^s, eS? 10^h 17^m 06.0^s
					Herd nach Koti 25.3° N, 125.2° E. Riou-Kiou Inseln.
89	„ 15.	Z	—	0.1	eP 13^h 00^m 19.5^s
		Ch	—	0.1	eP 13^h 00^m 29.9^s
		B	—	0.1	eP 13^h 00^m 32.4^s
		N	—	0.1	eP 13^h 00^m 43.9^s
90	„ 16.	Ch	—	1.1	eP 2^h 28^m 05.9^s, eSKS? 2^h 38^m 33.0^s
		Z	—	1.2	eP 2^h 28^m 6.8^s Compr. eSKS? 2^h 38^m 33.4^s
		B	9900	1.2	eP 2^h 28^m 09.2^s eSKS 2^h 38^m 38.0^s, eS 2^h 39^m 03.0^s
		N	—	1.2	eP 2^h 28^m 11.5^s, eSKS? 2^h 38^m 38.0^s
					Nach Strasbourg 26.8° N, 129.4° E, nach Koti 27.7° N, 129.4° E, nach J. S. A. 29.2° N, 127.7° E.
91	„ 18.	B	—	0.5	eP 0^h 55^m 53.1^s, e_1 0^h 56^m 05.0^s, e_2 1^h 6^m 47.0^s Nach Hukuoka 36.5° N, 141° E.
92	„ 20.	Ch	—	0.7	eP 23^h 58^m 58.3^s, e 00^h 09^m 06.0^s
		Z	5600	0.7	eP 23^h 59^m 02.0^s, ePP 00^h 00^m 56.3^s, eS? 00^h 06^m 03.0^s
		B	5700	0.7	eP 23^h 59^m 06.3^s, iPP 00^h 01^m 01.0^s, eSS 00^h 09^m 38.0^s
		N	5700	0.7	eP 23^h 59^m 10.5^s, ePP 00^h 01^m 06.0^s
					Azimut 75° Herd Turkestan zirka 38° N, 77° E, Strasbourg gibt 41° N, 77° E, Colaba gibt 42° N, 77° E.
93	„ 21.	B	—	0.1	eP 6^h 48^m 32.3^s
		Z	—	0.1	eP 6^h 48^m 32.6^s
94	„ 23.	B	—	1.0	eP′ 13^h 15^m 06.6^s, i 13^h 15^m 13.0^s Strasbourg gibt 20° S, 169° E, J. S. A. 20° S, 168° E (Distanz von Zürich zirka 16 500 km).
95	„ 25.	Ch	—	0.1	eP 22^h 00^m 34.0^s
		Z	—	0.1	eP 22^h 01^m 27.5^s
96	„ 25.	Z	—	0.1	e 23^h 51^m 15.8^s Nordatlantik, zwischen Spitzbergen und Grönland, nach Strasbourg zirka 77° N, 2° E.
97	„ 28.	Z	—	0.3	eP 19^h 30^m 19.7^s
		B	—	0.3	eP 19^h 30^m 32.5^s, i 19^h 30^m 54.0^s
					J. S. A. 18° N, 99.3° E, Mexiko 18° 12′ N, 100° 18′ W.
98	„ 30.	B	—	0.2	e 17^h 04^m 24.6^s i 17^h 04^m 29.0^s
		Z	—	0.2	i 17^h 04^m 25.4^s Dilat. i 17^h 04^m 29.0^s
		Ch	—	0.2	i 17^h 04^m 26.6^s i 17^h 04^m 30.0^s
		N	—	0.2	i 17^h 04^m 26.8^s i 17^h 04^m 32.0^s
					Nach U. S. C. G. S. 24° S, 167° E, nach Wellington 20° S, 176° E.
99	Juli 2.	B	—	0.2	e 12^h 31^m 4.7^s
100	„ 4.	B	—	0.5	e 21^h 32^m 22.3^s
		N	—	0.5	e 21^h 32^m 24.2^s
		Z	—	0.5	e 21^h 32^m 27.6^s Nach Wellington Nachstoss zu Nr. 98.
101	„ 5.	B	—	0.5	e 2^h 23^m 27.2^s
		N	—	0.5	e 2^h 23^m 28.1^s
		Z	—	0.5	e 2^h 23^m 33.0^s Compr. e 2^h 27^m 12.5^s Nach Wellington Nachstoss zu Nr. 98.
102	„ 5.	B	—	0.1	e 10^h 10^m 57.3^s
103	„ 5.	B	—	0.1	e 3^h 14^m 25.3^s
		N	—	0.1	e 3^h 14^m 26.2^s
		Z	—	0.1	e 3^h 14^m 27.5^s Nachstoss zu Nr. 98.
104	„ 5.	Z	—	0.1	e 17^h 31^m 02.4^s
		B	—	0.1	e 17^h 31^m 08.3^s
105	„ 5.	Z	—	0.1	e 22^h 26^m 51.9^s
		B	—	0.1	e 22^h 26^m 57.3^s Nachstoss zu Nr. 98.
106	„ 6.	B	—	1.5	eP 1^h 41^m 09.3^s
		Z	—	1.0	eP 1^h 44^m 12.6^s Nachstoss zu Nr. 98.

Tabelle III (Fortsetzung).

Nr.	Datum	Station	Epizentralentfernung nach S–P	Ungefähre Dauer der Registr.	Phasen, Bemerkungen
	1938		km	Std.	
107	Juli 11.	B		0.1	e 2^h 08^m 03.8^s
108	„ 12.	B	—	0.2	eP′ 12^h 56^m 37.9^s
		Z	—	0.2	eP′ 12^h 56^m 38.1^s Nachstoss zu Nr. 98.
109	„ 13.	Z	1020	0.1	eP 20^h 18^m 11.0^s, i 20^h 18^m 17.0^s, eS 20^h 20^m 04.0^s
		B	—	0.4	eP 20^h 18^m 22.3^s
		N		0.1	eP 20^h 18^m 23.9^s, e 20^h 18^m 29.0^s Herd im Gebiet von Temesvar, Rumänien.
110	„ 16.	B		0.1	e 23^h 45^m 37.7^s
111	„ 20.	Z	1560	0.4	eP 0^h 26^m 59.2^s Compr. eS 0^h 29^m 43.0^s
		N	1670	0.4	eP 0^h 27^m 07.0^s, i 0^h 27^m 16.0^s, eS 0^h 30^m 07.0^s
					Herd nach Strasbourg 38° 17′ N, 23° 45′ E. Zerstörungen im Norden von Attika.
112	„ 20.	Z	—	0.1	e 12^h 10^m 22.4^s
113	„ 21.	Z	—	0.2	eP 9^h 20^m 45.6^s
114	„ 21.	Z	—	0.2	eP 22^h 00^m 35.0^s
		N	—	0.2	eP 22^h 00^m 47.3^s Nach Strasbourg Herdgebiet Kleinasien, zirka 41° N, 39° E.
115	„ 22.	Z	10500	1.0	eP 8^h 1^m 18.2^s, ePP 8^h 5^m 3.6^s
		B	10400?	1.0	eP 8^h 1^m 18.5^s, eS? 8^h 12^m 30.0^s
		N	9560	1.0	ePP 8^h 4^m 09.9^s, eS 8^h 12^m 24.0^s Nach J. S. A. 18.9° N, 106.6° W.
116	„ 24.	N	—	1.0	e_1 13^h 19^m 42.5^s, e_2 13^h 30^m 28.0^s
		Z	—	1.0	e 13^h 24^m 20.0^s Aleuten, Nach J. S. A. 53° N, 164° W.
117	„ 27.	Z	—	0.2	eP 1^h 32^m 42.6^s, e 1^h 34^m 33.6^s
118	„ 29.	Z	9940	1.0	eP 13^h 19^m 37.5^s, eSKS? 13^h 30^m 5.9^s, eS 13^h 30^m 26.9^s
		B	—	1.0	eP 13^h 19^m 41.2^s
		N	9890	1.0	eP 13^h 19^m 42.5^s, eS 13^h 30^m 28.0^s
					Herdgebiet nördlich von Sumatra, nach Strasbourg 0.3° N, 99.3° E. nach J. S. A. 42° S, 100.5° E, nach U. S. C. G. S. 1° N, 96° E, nach Batavia 0° N, 100° E, an der Westküste von Sumatra verspürt.
119	„ 31.	Z	—	0.1	e 11^h 52^m 10.2^s
120	August 4.	B	—	0.5	eP? 9^h 07^m 31.2^s, e 18^m 23^s
		Z	10700	0.6	eP 9^h 08^m 4.7^s, ePP 9^h 12^m 2.8^s, eSKS? 9^h 18^m 24.8^s, eS 19^m 23.3^s
					Südamerika, nach La Plata 26° S, 68° W, nach U. S. C. G. S. 24° S, 65.4° W, $h = 200$ km.
121	„ 5.	Z	—	0.2	e 14^h 26^m 3.8^s
122	„ 12.	Ch	—	0.1	e 4^h 25^m 47.0^s
		Z	—	0.1	e 4^h 25^m 48.1^s
123	„ 14.	Z	—	0.1	eP 20^h 51^m 54.5^s Compr.
124	„ 16.	Ch	7650	1.0	eP 4^h 39^m 02.7^s, eS 4^h 48^m 09.0^s Azimut 60°
		Z	7400	1.0	eP 4^h 39^m 06.0^s Compr. ePP 4^h 41^m 34.3^s, eS 4^h 47^m 57.9^s Azimut 65°
		B	7780	1.0	eP 4^h 39^m 10.3^s, e 4^h 39^m 14.0^s, eS 4^h 48^m 24.0^s
		N	7780	1.0	eP 4^h 39^m 14.0^s, eS 4^h 48^m 27.0^s Azimut 80°
					Herd Burma, zirka 24° N, 93° E, Strasbourg gibt 22.6° N, 94.6° E
125	„ 17.	B	—	0.2	eP 1^h 57^m 38.5^s, e 1^h 57^m 42.0^s
		Z	8800	0.2	eP 1^h 57^m 40.8^s Compr. eS 2^h 07^m 45.7^s Nach Strasbourg 47° N, 150° E.
126	„ 17.	Z	—	0.1	eP 13^h 39^m 24.3^s
127	„ 22.	B	—	0.2	eP? 21^h 47^m 58.4^s, L 22^h 12^m 14.0^s
		Z	—	0.2	eP? 21^h 47^m 59.8^s
128	„ 25.	Z	10500	0.4	eP 1^h 41^m 29.3^s Dilat. ePP 1^h 45^m 13.2^s, eSKS? 1^h 52^m 12.1^s
		B	—	0.5	eP 1^h 41^m 33.1^s
					Nach Strasbourg Sumatra, zirka 5° S, 100° E, nach U. S. C. G. S. 3° S, 103° E, nach Batavia 4.8° S, 101.9° E, auf den Benkoelen und in Palembang verspürt.
129	„ 29.	Z	10800	1.0	eP 15^h 35^m 57.6^s, ePP 15^h 39^m 47.0^s, eSKS? 15^h 46^m 31.0^s
		B	11000	1.0	eP 15^h 35^m 00.4^s, eSKS? 15^h 46^m 35.0^s
					Batavia 15^h 14^m, gespürt in Celebes. Nach Manila 15° 5′ N, 124° 5′ E.

Tabelle III (Fortsetzung).

Nr.	Datum	Station	Epizentralentfernung nach S–P	Ungefähre Dauer der Registr.	Phasen, Bemerkungen
	1938		km	Std.	
130	August 30.	Z	—	0.2	e_1 12^h 8^m 47.2^s, e_2 12^h 12^m 44.5^s
		B.	—	0.2	e 12^h 9^m 00.3^s
					Nach Apia 5.7 S 143.3 E, nach Neu Guinea 3° S 146° E (Distanz von Zürich 13500 km).
131	„ 31.	Z	—	0.2	e_1 18^h 03^m 38.7^s, e_2 18^h 05 ^{m} 39.5^s, e_3 18^h 05^m 55.0^s
132	Sept. 1.	Z	—	0.1	eP 23^h 01^m 3.3^s
		B	9350	0.2	eP 23^h 01^m 3.7^s, eS 23^h 11^m 27.0^s
					Salvador nach J.S.A. 13° N 89.4° W.
133	„ 3.	Z	—	0.1	eP 4^h 51^m 35.0^s
134	„ 3.	Z	—	0.1	e 9^h 38^m 24.5^s
135	„ 4.	Ch			eP 19^h 34^m 57.1s
		Z	—	0.1	eP 19^h 35^m 00.2^s, e 19^h 35^m 14.5^s, ePP 19^h 39^m 1.0^s
		B	—	0.1	eP 19^h 35^m 1.6s
					Philippinen.
136	„ 4.	Ch	—	0.1	eP 20^h 35^m 26.0^s
		Z	—	0.1	eP 20^h 35^m 26.5^s
		B	—	0.1	eP 20^h 35^m 26.6^s
137	„ 5.	Z	185000	0.1	eP' 15^h 2^m 29.0^s, e 15^h 3^m 25.6^s, ePP 15^h 7^m 11. ^{s}
		B	—	0.1	eP 15^h 2^m 33.7^s
		Ch	—	0.1	eP 15^h 2^m 34.6^s
					Nach Strasbourg 35° S 175° W, nach Pasadena 55° S 145° W.
138	„ 6.	Ch	—	0.3	eP 13^h 34^m 19.6^s
		Z	—	0.3	eP 13^h 34^m 23.8^s
139	„ 6.	Z	—	0.4	eP 20^h 58^m 10.3^s Nach Strasbourg 47° N 147° E, auf Yeso verspürt.
		B	—	0.4	eP 20^h 58^m 10.9^s
140	„ 7.	Ch	—	0.2	e 2^h 10^m
141	„ 7.	Ch	9560	1.0	eP 4^h 16^m 0.7^s, eS 4^h 26^m 36.2^s
		Z	9560	1.0	eP 4^h 16^m 3.4^s Compression ePP 4^h 19^m 6.6^s, eS 4^h 26^m 38.8^s
		B	9500	1.0	eP 4^h 16^m 4.9^s, eS 4^h 26^m 38.0^s
		N	9700	1.0	eP 4^h 16^m 07.7^s, eP 4^h 26^m 49.0^s
					Azimut 66°, Herdgebiet 20° N 116° E. Nach J.S.A. 24.0° N 122° E auf Formosa verspürt.
142	„ 7.	Ch	—	0.2	eP 13^h 17^m 13.2^s
		B	—	0.2	eP 13^h 17^m 14.0^s
		Z	—	0.2	eP 13^h 17^m 14.3^s, epP 13^h 19^m 27.0^s, e 13^h 20^m 20.2^s
					Nach Manila 7° S 150° E, nach Pasadena 6.5° S 155° E h = 160 km
143	„ 10.	Z	—	0.1	e 22^h 34^m 51.9^s
		Ch	—	0.1	e 22^h 34^m 57.5^s, i 22^h 34^m 59.2^s Dilat.
		B	—	0.1	eP 22^h 35^m 07.7^s
144	„ 18.	Z	—	0.1	eP 0^h 47^m 8.8^s
145	„ 18.	Z	—	0.4	eP 1^h 41^m 41.8^s
146	„ 18.	Ch	—	0.3	eP? 3^h 57^m 39.3^s?
		B	—	0.3	eP 3^h 53^m 55.7^s, e 56^m 01.0^s
		N	1560	0.3	eP 3^h 53^m 58.3^s, eS 56^m 44.0^s
		Z	1550	0.3	S-P 164.0^s. Keine Zeitmarken.
					Nach Strasbourg 38° N 23° E Griechenland.
147	„ 18.	N	—	0.5	eP 9^h 43^m 27.1^s
148	„ 19.	Z	—	0.1	e 0^h 49^m 45.0^s
149	„ 21.	Ch	9450	1.0	eP 19^h 04^m 38.8^s, eS 18^h 15^m 11.8^s
		Z	9700	1.0	eP 19^h 04^m 40.0^s Compr., i 19^h 04^m 52.9^s, eS 19^h 15^m 22.4^s
		B	10000	1.0	eP 19^h 04^m 41.2^s, eS 19^h 15^m 41.0^s
		N	9480	1.0	eP 19^h 04^m 44.1^s, eS 19^h 15^m 18.0^s
					Azimut zirka 45°, Herdgebiet 32° N 135° E. Nach Strasbourg 31° N 140° E.
150	„ 22.	N	—	0.1	eP 4^h 59^m 52.1^s
		B	—	0.1	eP 5^h 00^m 12.2^s

Tabelle III (Fortsetzung)

Nr.	Datum	Station	Epizentralentfernung nach S-P	Ungefähre Dauer der Registr.	Phasen, Bemerkungen
	1938		km	Std.	
151	Sept. 27.	Ch	—	0.5	eP 2^h 40^m 1.7^s, ePP 2^h 41^m 56.0^s
		Z	5270	0.5	eP 2^h 40^m 2.4^s, ePP 2^h 41^m 54.2^s, eS 2^h 47^m 2.4^s
		B	5330	0.5	eP 2^h 40^m 10.6^s, eS 2^h 47^m 13.0^s
					Nach Strasbourg 23° N 64° E.
152	„ 27.	Z	—	0.1	eP 10^h 34^m 48.9^s, e 10^h 38^m 10.3^s
		B	—	0.1	eP 10^h 34^m 50.0^s
		Ch	—	0.1	eP 10^h 34^m 50.7^s
					Nach Uccle Herdgebiet Neu-Guinea 6° S 151° E.
153	Okt. 2.	Z	—	0.1	e 17^h 38^m 1.7^s
		N	—	0.1	e_1 17^h 41^m 28.5^s, e_2 17^h 42^m 21.0^s
		B	—	0.1	e_1 17^h 41^m 32.8^s, e_2 17^h 43^m 57.0^s
154	„ 7.	Z	—	0.1	eP 2^h 19^m 13.0^s
		Ch	—	0.1	eP 2^h 19^m 13.0^s
		B	—	0.1	eP 2^h 19^m 27.0^s
155	„ 7.	Ch	—	0.1	eP 6^h 23^m 37.5^s
		Z	—	0.1	eP 6^h 23^m 40.1^s
156	„ 7.	Ch	—	0.1	eP 16^h 35^m 47.6^s
		N	—	0.1	eP 16^h 35^m 56.8^s
157	„ 9.	Z	—	0.1	e 20^h 50^m 13.1^s
158	„ 10.	Ch	11-12000	1.0	eP 21^h 02^m 21.3^s, ePP 21^h 05^m 52.3^s, eSKS 21^h 12^m 59.0^s
		B	—	1.0	eP 21^h 02^m 25.2^s
		N	11-12000	1.0	eP 21^h 02^m 26.5^s, eSKS 21^h 13^m 2.5^s
		Z	11-12000	1.0	eP 21^h 02^m 27.0^s, eP′ 21^h 06^m 11.5^s, ePPP 21^h 06^m 53.5^s, eS 21^h 14^m 22.0^s
					Nach J. S. A. 1.0° N 125° E.
159	„ 12.	Z	9170	1.0	eP 00^h 46^m 58.8^s, ePP 00^h 50^m 15.9^s, eS 00^h 57^m 37.0^s
		Ch	9150	1.0	eP 00^h 47^m 00.3^s, eS 00^h 57^m 17.0^s
		B	9220	1.0	eP 00^h 47^m 00.3^s, eS 00^h 57^m 22.0^s
		N	9260	1.0	eP 00^h 47^m 03.5^s, eS 00^h 57^m 27.0^s
					Azimut etwa 30°. Herd 42° N 147° E. Nach Koti 40.0° N 144.3° E.
160	„ 12.	Ch	—	0.1	eP 11^h 05^m 43.7^s
161	„ 13.	Z	—	0.1	eP 16^h 40^m 3.3^s
162	„ 17.	B	—	0.2	eP 15^h 38^m 40.5^s Strasbourg 44,4° N 140° E. h = 200 km.
163	„ 19.	Z	6000	1.0	eP 4^h 22^m 33.1^s, eSS 4^h 33^m 53.1^s
		Ch	5600	1.0	eP 4^h 22^m 33.4^s, eSS 4^h 33^m 00.0^s
		B	—	1.0	eP 4^h 22^m 36.3^s
		N	6600	1.0	eP 4^h 22^m 39.7^s, eSS 4^h 34^m 12.7^s
					Nach Strasbourg Herd Altaigebirge 48° N 94° E.
164	„ 20.	B	12-13000	1.0	eP 2^h 34^m 26.3^s, eP′ 2^h 37^m 59.0^s, eSKS 2^h 44^m 36.3^s
		Z	12-13000	1.0	eP? 2^h 34^m 29.9^s, eP′ 2^h 37^m 57.3^s, ePP 2^h 39^m 09.2^s, eSKS 2^h 44^m 35.0^s
		Ch	—	1.0	eP′ 2^h 37^m 40.9^s eSKS? 2^h 44^m 30.9^s
		N	—	1.0	eP′ 2^h 38^m 00.5^s, eSKS 2^h 44^m 38.0^s
					Nach Strasbourg Herdgebiet Timor zirka 9° S 123° E.
					Nach Manila 10° S 123° E.
165	„ 20.	Z	—	0.1	eP 13^h 22^m 59.3^s
		B	—	0.1	eP 13^h 23^m 28.1^s
166	„ 21.	Ch	—	0.4	eP 20^h 35^m 1.9^s
		Z	7390	0.4	eP 20^h 35^m 6.2^s, Compr. i 20^h 35^m 35.5^s, eS 20^h 44^m 00.9^s
		B	7450	0.4	eP 20^h 35^m 11.9^s, eS 20^h 44^m 09.0^s
		N	7450	0.4	eP 20^h 35^m 12.4^s, eS 20^h 44^m 10.0^s
					Nach Strasbourg 5° N 70° E.
167	„ 23.	Ch	—	0.5	eP 2^h 37^m 09.0^s, e 38^m 52.0^s, eS 2^h 43^m 39.0^s
		Z	—	0.5	eP 2^h 37^m 13.9^s, e 39^m 00.6^s
168	„ 23.	Z	—	0.2	eP 5^h 17^m 3.1^s
		Ch	—	0.2	eP 5^h 17^m 10.5^s
169	„ 23.	Z	—	0.1	eP 15^h 12^m 38.1^s
		B	—	0.1	eP 15^h 12^m 38.6^s
					Nach Strasbourg Madagascar.

Tabelle III (Fortsetzung).

Nr.	Datum	Station	Epizentralentfernung nach S–P	Ungefähre Dauer der Registr.	Phasen, Bemerkungen
	1938		km	Std.	
170	Okt. 25.	B	—	0.1	eP 16h 13m 45.1s
171	„ 26.	B	—	0.1	eP 16h 57m 39.6s, e 16h 57m 45.0s
172	„ 29.	B	—	0.6	eP 13h 21m 12.5s, eS 31m 51.0s. Strasbourg 34° N 142° E Japan.
173	Nov. 5.	Z	9600	1.0	eP 8h 56m 00.1s, Compr. ePP 8h 59m 22.0s, ePPP 8h 59m 18.0s, eS 9h 6m 37.9s
		B	9530	1.0	eP 8h 56m 00.2s, ePP 8h 59m 24.0s, eS 9h 6m 35.0s
		Ch	9450	1.0	eP 8h 56m 01.0s, eS 8h 6m 32.0s. Azimut 30°
		N	9540	1.0	eP 8h 56m 05.1s, eS 8h 6m 31.0s
					Pazifische Wüste von Japan, nach Strasbourg 36.0° N, 141.2° E. $h = 85$ km. Nach J.S.A. 36.8° N 139.6° E in den Provinzen Migagi, Iwady und Tukushima stark verspürt.
174	„ 5.	Z	9700	1.0	eP 11h 2m 51.7s Compr. ePP 11h 06m 32.6s, ePPP 11h 8m 25.0s, eS 11h 13m 33.5s
		Ch	9600	1.0	eP 11h 2m 52.3s eS 11h 13m 30.0s Azimut 30°
		B	9500	1.0	eP 11h 2m 53.7s ePP 11h 6m 06.0s eS 11h 13m 26.0s
		N	9450	1.0	eP 11h 2m 56.7s eS 11h 13m 28.0s
					Nachstoss zu Nr. 173.
175	„ 6.	Z	9600	1.0	eP 9h 06m 31.3s, e 9h 7m 23.3s, eS 9h 16m 55.8s, eSS 9h 19m 55.8s, ePS 9h 22m 55.8s
		Ch	10000	1.0	eP 9h 06m 31.5s, eSKS 9h 16m 53.0s. Azimut 30°
		B	9450	1.0	eP 9h 06m 32.5s, eS 9h 17m 05.0s
		N	10100	1.0	eP 9h 06m 35.7s, eSKS 9h 17m 01.0s
					Nachstoss zu Nr. 173.
176	„ 6.	Z	9600	1.0	eP 21h 51m 24.7s, eS 22h 02m 00.1s
		N	9500?	1.0	eP 21h 51m 28.6s, eS 22h 01m 55.0s
		B	9500?	1.0	eP 21h 51m 33.7s, eS 22h 02m 01.0s
					Nachstoss zu Nr. 173.
177	„ 6.	B	—	0.1	eP 21h 16m 37.7s
178	„ 7.	Z	—	0.1	eP 1h 00m 32.2s Nachstoss zu Nr. 173.
179	„ 7.	B	9660	1.0	eP 1h 50m 59.7s, eS 2h 1m 41.0s
		Z	—	1.0	eP 1h 51m 6.7s, eS 2h 2m 36.3s
		N	—	1.0	eP 1h 51m 09.2s
					Nachstoss zu Nr. 173.
180	„ 7.	B	—	0.1	eP 1h 50m 03.7s Nachstösse in Japan Nr. 173
181	„ 7.	B	—	0.1	eP 2h 07m 18.0s „ „ „ „ 173
182	„ 7.	B	—	0.1	eP 2h 27m 32.5s „ „ „ „ 173
183	„ 7.	B	—	1.0	e 4h 43m 11.7s „ „ „ „ 173
184	„ 7.	Z	—	1.0	e 5h 30m 10.9s „ „ „ „ 173
185	„ 7.	B	—	1.0	eP 19h 24m 17.7s
		Ch	—	1.0	eP 19h 25m 06.8s
		Z	—	1.0	eP 19h 25m 28.1s
					Nachstoss zu Nr. 173.
186	„ 7.	Ch	9600	0.6	eP 19h 46m 14.7s, eS 56m 53.0s Nachstoss zu Nr. 173.
		B	—	0.6	eP 19h 46m 15.7s
187	„ 9.	Ch	9300?	1.0	eP 9h 28m 37.2s, eS? 9h 39m 00.3s
		Z	9330?	1.0	eP 9h 28m 38.2s, eS? 9h 39m 4.5s
		B	—	1.0	eP 9h 28m 40.8s, eS? 9h 39m 10.0s
		N	9330?	1.0	eP 9h 28m 44.1s, eS? 9h 39m 22.0s
					Nachstoss zu Nr. 173.
188	„ 9.	N	—	1.0	eP 10h 58m 15.1s
		B	—	1.0	eP 10h 59m 19.1s
		Ch	—	1.0	eP 10h 59m 37.0s
					Nachstoss zu Nr. 173.

Tabelle III (Fortsetzung).

Nr.	Datum	Station	Epizentralentfernung nach S–P	Ungefähre Dauer der Registr.	Phasen, Bemerkungen
	1938		km	Min.	
189	Nov. 10.	B	8700	1.0	eP 20h 30m 35.4s, eS 20h 40m 37.0s, e 20h 41m 34.0s
		Z	8700	1.0	eP 20h 30m 35.6s, Compr. i 20h 30m 44.4s Azimut 355° eS 20h 40m 37.1s
		N	8690	1.0	eP 20h 30m 37.1s, eS 20h 40m 38.0s
		Ch	8630	1.0	eP 20h 30m 39.4s, eS 20h 40m 37.0s
					Pazifische Küste von Alaska 56° N, 157.7° W, I.S.A.
190	„ 10	Z	—	1.0	eP 22h 07m 43.0s
		N	—	1.0	eP 22h 07m 44.9s
		Ch	—	1.0	eP 22h 07m 48.3s
					Nachstoss zu Nr. 189.
191	„ 11.	Z	—	0.1	eP 0h 21m 14.3s
		Ch	—	0.1	eP 0h 21m 20.9s
					Nachstoss zu Nr. 189.
192	„ 11.	B	8700	1.0	eP 01h 09m 37.1s eS 1h 19m 36.0s
		Z	8500	1.0	eP 01h 09m 38.8s Compr. eS 1h 19m 26.6s
		N	8660	1.0	eP 01h 09m 39.9s eS 1h 19m 35.0s
		Ch	8550	1.0	eP 01h 09m 42.2s eS 1h 19m 35.0s
					Nachstoss zu Nr. 189.
193	„ 11.	Ch	—	0.1	e 9h 25m 21.8s
194	„ 12.	Ch	—	0.1	eP 15h 02m 17.6s
		N	—	0.1	eP 15h 02m 20.9s
					Nachstoss zu Nr. 173.
195	„ 13.	Z	8700	0.7	eP 13h 25m 56.8s Compr. eS 13h 36m 00.8s
		B	8700	0.7	eP 13h 25m 57.3s eS 13h 35m 15.0s
		Ch	8750	0.7	eP 13h 25m 57.9s eS 13h 36m 03.0s
		N	8800	0.7	eP 13h 26m 09.0s eS 13h 36m 09.0s
					Nach J.S.A. 46.0° N, 149.4° E, h = 100 km
196	„ 13.	B	9550	1.0	eP 22h 44m 11.2s, eS 22h 54m 48.0s
		Z	9550?	1.0	eP 22h 44m 13.2s, eSKS 22h 54m 38.0s eS 22h 55m 4.7s
		Ch	—	1.0	eP 22h 44m 13.4s, eL 23h 17m 38.0s
		N	—	1.0	eP 22h 44m 17.3s
					Nachstoss zu Nr. 173.
197	„ 15.	B	—	0.1	eP 10h 3m 51.2s
		Z	—	0.1	eP 10h 3m 53.5s
		N	—	0.1	eP 10h 3m 53.8s
		Ch	—	0.1	eP 10h 3m 55.7s
					Nachstoss zu Nr. 189.
198	„ 15.	Ch	9670	1.0	eP 21h 13m 32.0s, eS 21h 24m 12.0s
		B	—	1.0	eP 21h 13m 38.1s, e 21h 26m 10.0s
		Z	10100	1.0	eP 21h 13m 38.9s, SKS 21h 24m 17.6s
		N	—	1.0	eP 21h 13m 39.9s
					Nach Strasbourg 5° S, 97° E, Westküste von Sumatra.
199	„ 16.	B	—	0.1	eP 5h 48m 4.3s
		Z	—	0.1	eP 5h 48m 4.9s
		N	—	0.1	eP 5h 48m 7.9s
		Ch	—	0.1	eP 5h 48m 9.3s
					Nachstoss zu Nr. 189.
200	„ 16.	Ch	9250	1.0	eP 11h 20m 45.1s, eS 11h 31m 02.0s
		Z	9250	1.0	eP 11h 20m 45.3s, Dilat. ePP 11h 24m 03.3s, eS 11h 31m 8.4s
		B	9160	1.0	eP 11h 20m 47.9s, eS 11h 31m
		N	—	1.0	eP 11h 20m 49.6s
201	„ 17.	B	8500	1.0	eP 04h 6m 28.4s, eS 4h 16m 13.0s
		Z	8500	1.0	eP 04h 6m 29.8s, Compr. eS 4h 16m 17.5s
		N	8500	1.0	eP 04h 6m 30.6s, eS 4h 16m 15.0s
		Ch	8550	1.0	eP 04h 6m 32.8s, eS 4h 16m 24.0s
					Gleiches Herdgebiet wie Nr. 189. Nach U.S.C.G.S. 55° N, 158° W.
202	„ 18.	Ch	—	0.1	e_1 14h 31m 22.3s, e_2 14h 34m 29s
		Z	—	0.1	e 14h 31m
					Nach Strasbourg Tiefherdbeben (h = 400 km) im Gebiete der Tonga-Inseln.
203	„ 18.	Z	—	0.1	e 15h 44m 36.5s
		Ch	—	0.1	e 15h 44m 41,5s

Tabelle III (Fortsetzung).

Nr.	Datum	Station	Epizentralentfernung nach S–P	Ungefähre Dauer der Registr.	Phasen, Bemerkungen
	1938		km	Std.	
204	Nov. 19.	Z	—	0.1	eP 5^h 51^m 52.0^s
		Ch	—	0.1	eP 5^h 51^m 57.0^s
		N	—	0.1	eP 5^h 52^m 00.0^s
					Nach Strasbourg Kurilen 45° N, 149° E.
205	„ 21.	Ch	8560	0.5	eP 1^h 22^m 14.7^s, eS 1^h 32^m 08.0^s
		N	—	0.1	eP 1^h 22^m 28.5^s
206	„ 21.	Ch	—	0.2	eP 1^h 42^m 35.2^s
207	„ 22.	Z	9500	1.0	eP 1^h 26^m 43.5^s, Dilat. ePP 1^h 30^m 28.0^s, eS 1^h 37^m 17.2^s
		Ch	9400	1.0	eP 1^h 26^m 44.2^s, eS 1^h 37^m 10.0^s
		B	9500	1.0	eP 1^h 26^m 45.6^s, eS 1^h 37^m 19.0^s
		N	9500	1.0	eP 1^h 26^m 48.3^s, eS 1^h 37^m 22.0^s
					Pazifische Küste von Japan. Nach U.S.C.G.S. 36.3° N, 141.6° E. Nach Strasbourg 37.0° N, 142.0° E.
208	„ 29.	Z	9500	0.3	eP 13^h 52^m 9.9^s, eS 14^h 2^m 54.4^s
		Ch	—	0.3	eP 13^h 52^m 13.9^s
		B	—	0.3	eP 13^h 52^m 14.7^s, e 14^h 02^m 25.0^s
					Nachstoss zu Nr. 207.
209	„ 30.	Z	9560	1.0	eP 2^h 42^m 28.5^s, eS 2^h 53^m 6.0^s
		Ch	9260	1.0	eP 2^h 42^m 28.7^s, eS 2^h 52^m 49.0^s
		B	9560	1.0	eP 2^h 42^m 29.6^s, eS 2^h 53^m 07.0^s
		N	9560	1.0	eP 2^h 42^m 32.7^s, eS 2^h 53^m 17.0^s
					Nachstoss zu Nr. 207.
210	Dez. 1.	Ch	—	1.0	eP 2^h 30^m 53.2^s
211	„ 3.	Z	9300	0.3	eP 12^h 24^m 21.2^s, eS 12^h 34^m 44.8^s
		B	9500	0.7	eP 12^h 24^m 22.3^s, eS 12^h 35^m 09.0^s
		Ch	9300	0.7	eP 12^h 24^m 23.3^s, eS 12^h 34^m 46.0^s
					Herdgebiet Kurilen.
212	„ 4.	Ch	—	0.1	eP 16^h 42^m 43.6^s, e 16^h 45^m 31.0^s
213	„ 6.	B	—	0.1	eP 9^h 19^m 11.7^s
214	„ 6.	Ch	11–12000	1.0	eP 23^h 13^m 38.0^s, eSKS 23^h 24^m 10.0^s
		B	11–12000	1.0	eP 23^h 13^m 41.7^s, ePP 23^h 17^m 09.0^s
		N	—	1.0	eP 23^h 13^m 45.0^s
		Z	—	1.0	eP Compr. Keine Zeitmarken.
215	„ 7.	N	—	1.0	eP? 4^h 13^m 45.0^s
		Z	—	1.0	PP–P 3^m 20.6^s, S–P = 645^s
					Keine Zeitmarken.
216	„ 7.	Z	—	0.5	eP 13^h 16^m 51.8^s Compr.
		B	—	0.5	eP 13^h 16^m 53.9^s, e 13^h 25^m 54.0^s
217	„ 7.	Z	—	1.0	eP? 13^h 42^m 54.0^s, eP′ 13^h 46^m 13.0^s, ePP 13^h 47^m 5.0^s, PS 13^h 57^m 46.6^s
218	„ 12.	Ch	—	0.2	eP 19^h 49^m 14.8^s, eL 19^h 52^m 19.0^s
		Z	1500	0.2	eP 19^h 49^m 30.0^s, eS 19^h 52^m 11.0^s, eL 19^h 52^m 43.3^s
		B	1500	0.2	eP 19^h 49^m 35.8^s, eS 19^h 52^m 15.0^s
		N	1200	0.2	eP 19^h 49^m 48.4^s, eS 19^h 50^m 48.3^s
					Herdgebiet westl. Mittelmeer. Nach Strasbourg 39° N, 3° 41′ E.
219	„ 13.	B	—	0.5	eP 17^h 38^m 08.9^s
220	„ 14.	Z	—	—	e 13^h 17^m 16.3^s, i 13^h 17^m 23.6^s Dilat., i 13^h 17^m 24.6^s
		Ch	—	—	e 13^h 17^m 17.5^s Dilat., i 13^h 17^m 24.7 Dilat.
		B	—	—	e 13^h 17^m 17.6^s, e 13^h 17^m 24.0^s
		N	—	—	e 13^h 17^m 18.1^s
					Nach Pasadena Herdgebiet Samoa-Inseln.

Tabelle III (Schluss).

Nr.	Datum	Station	Epizentralentfernung nach S–P	Ungefähre Dauer der Registr.	Phasen, Bemerkungen
	1938		km	Std.	
221	Dez. 16.	Ch	—	0.1	eP 11^h 07^m 29.0^s
		Z	—	0.1	eP 11^h 07^m 36.7^s
		B	—	0.1	eP 11^h 07^m 44.1^s
		N	—	0.1	eP 11^h 07^m 46.0^s
222	„ 16.	Ch	—	1.0	e_1 17^h 41^m 22.4^s, eL 17^h 55^m 05.0^s
		Z	—	1.0	e_1 17^h 41^m 22.8^s, e_2 17^h 42^m 35.3^s, e_3 17^h 46^m 13.6^s
		B	—	1.0	e 17^h 41^m 23.1^s, e 17^h 46^m 27.0^s
		N	—	1.0	e 17^h 41^m 24.3^s
					Nach Manila Herd 48° S, 160° E (Distanz von Zürich 17800 km) auf New-Zéland verspürt.
223	„ 16.	Z	—	0.4	iP 18^h 52^m 27.6^s
		N	—	0.4	e 18^h 52^m 37.4^s
224	„ 17.	Ch	—	0.6	eP 16^h 44^m 48.8^s, e_1 16^h 46^m 49.0^s, e_2 17^h 03^m 25.9^s
		Z	—	0.6	eP 16^h 44^m 49.8^s, Compr. e 17^h 03^m 5.8^s
		B	—	0.6	eP 16^h 44^m 54.4^s, e 17^h 04^m 23.0^s
		N	—	0.6	eP 16^h 44^m 58.8^s, e 17^h 05^m 19.0^s
					Tiefherdbeben.
225	„ 22.	Z	—	0.1	eP 17^h 9^m 31.0^s
226	„ 23.	Z	—	0.1	eP 2^h 04^m 17.0^s
227	„ 26.	Ch	—	0.1	e 5^h 09^m 19.1^s
		Z	—	0.1	e 5^h 10^m 55.7^s
		B	—	0.1	e 5^h 11^m 18.5^s
228	„ 26.	Ch	—	0.5	eP 22^h 05^m 16.2^s
		Z	1400	0.5	eP 22^h 05^m 35.2^s, Compr. eS 22^h 8^m 3.2^s
		N	—	0.5	eP 22^h 05^m 37.8^s
		B	—	0.5	eP 22^h 05^m 43.3^s, eL 22^h 09^m 05.0^s
					Mittelmeer südl. Sizilien.
229	„ 30.	Ch	—	0.2	eP 2^h 40^m 53.8^s, e_1 2^h 42^m $3\,9^s$, e_2 2^h 46^m 56.1^s
					Nach Strasbourg auf New-Zéland verspürt.

In der Schweiz im Jahre 1938 verspürte Erdbeben.

M.E. Zeit.

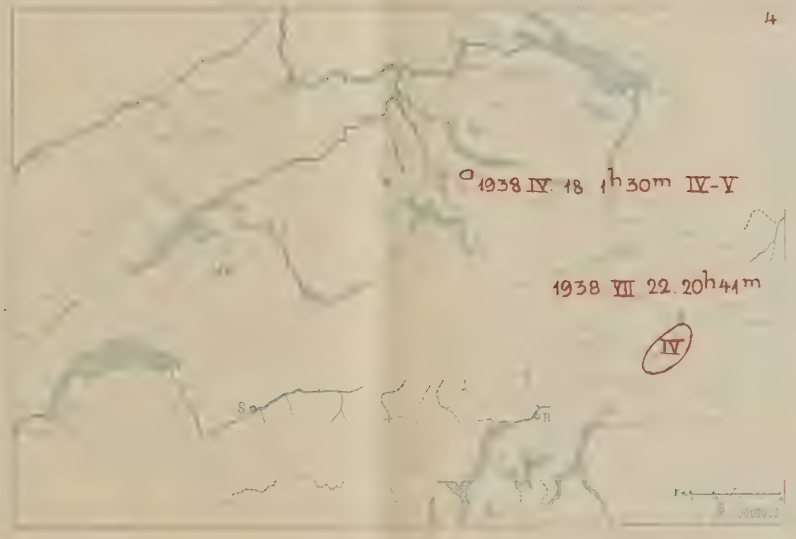

LITH. FREY & KRATZ ZURICH 2

Nr.
221
222
223
224
225
226
227
228
229

Nr. 6

L'Osservatorio Ticinese nell'anno 1938

Dr. W. Brückmann

L'Osservatorio Ticinese a Locarno-Monti, succursale della Centrale Meteorologica Svizzera per il sud delle Alpi, ha continuato regolarmente anche nel 1938 la propria attività senza interruzione ed in modo anologo agli anni precedenti (v. Annali 1935 e 1937).

L'istrumentario ha potuto essere arricchito di un attinografo Robitzsch-Fuess, apparecchio moderno che registra in modo continuo l'energia irradiata — dal sole e dal cielo — sulla superficie orizzontale.

Le ricerche sistematiche sul numero degli ioni elettrici atmosferici erano state rimandate finora per ragioni pratiche. Queste ricerche potevano essere cominciate verso la fine dell'anno 1938. Le misurazioni eseguite precedentemente saranno trattate insieme con le nuove.

Nell'anno relativo il personale dell'Osservatorio ha subito un cambiamento: il Signor R. Broggini ha lasciato l'istituto alla fine di ottobre ed al suo posto è subentrato il Signor Flavio Ambrosetti, matematico diplomato del Politecnico Federale.

Seguono ancora alcune spiegazioni delle tabelle qui unite:

Radiazione ultravioletta e totale del sole. I risultati, separati secondo le stagioni e l'altezza del sole, sono sempre valori medi di diverse determinazioni particolari. Le abbreviazioni significano: h = altezza del sole, s = spessore dello strato atmosferico attraversato dalla radiazione, spessore variabile con l'altezza del sole: s = 1, quando h = 90° (sole allo Zenit). — I_R = intensità delle radiazioni ultraviolette espressa in unità relative, le quali risultano da due misurazioni diverse: l'una mediante un filtro che non lascia entrare nella cellula la luce ultravioletta e l'altra senza filtro. I_D è la stessa intensità in unità di Davos, cioè in unità riferite alla fotocellula Standard dell'Osservatorio di Davos ($1 \backsim 3{,}5 \cdot 10^{-11}$ Amp.). — I_T è l'intensità della radiazione totale in gcal cm^{-2} min^{-1}.

La terza tabella dà le somme giornaliere e mensili dell'energia totale, irradiata su di un cm^2 di superficie orizzontale, ottenute con l'attinografo Robitzsch-Fuess.

Durata del sole. Numero dei giorni con diversa durata d'insolazione, con le percentuali per l'anno completo. Durata mensile in percento della durata possibile, quest'ultima dipende dalla configurazione dell'orizzonte e dalla declinazione del sole, variabile durante l'anno. Sono pure indicati i valori corrispondenti di una stazione nordalpina (Zurigo) per mettere in evidenza la differenza dell'insolazione tra le regioni nord e sud delle Alpi.

Umidità dell'aria. Media giornaliera dell'umidità relativa e assoluta, come pure del deficit di saturazione fisico e fisiologico. Quest'ultimo è definito quale differenza tra l'umidità assoluta dell'aria espirata (temperatura 34.8°, umidità relativa 95 %, umidità assoluta 39.5 mm/m^3) e quella dell'aria inspirata (umidità assoluta atmosferica). La piccola tabella aggiunta del numero dei giorni con umidità minima dimostra che l'umidità è generalmente piccola nella nostra regione.

Temperatura dell'aria. Medie giornaliere, mensili ed annue per l'anno 1938.

Frigorimetro. Valori del potere raffreddante in mgcal cm^{-2} sec^{-1} e precisamente separati per il giorno e la notte (d, n).

Erläuterungen zu den nachfolgenden Tabellen.

Ultraviolett- und Totalstrahlung der Sonne. Die Ergebnisse, getrennt nach Jahreszeiten und Sonnenhöhe, sind stets Mittelwerte mehrfacher Einzelbestimmungen. Die Abkürzungen bedeuten: h = Sonnenhöhe, s = die mit der Sonnenhöhe variable Dicke der durchstrahlten Atmosphärenschichten: s = 1, bei h = 90° (Zenitstand der Sonne). — I_R = Intensität der UV-Strahlung in «relativen» Einheiten. Letztere ergeben sich aus zwei verschiedenen Messungen, bei deren einer die *gesamte* Strahlung der Sonne in die Zelle eintritt, während bei der anderen der ultraviolette Anteil durch ein geeignetes Glasfilter abgeschirmt wird. I_D bedeutet diese Intensität in Davoser Einheiten, d. h. bezogen auf die Standard-Zelle des Davoser Observatoriums ($1 \backsim 3{,}5 \cdot 10^{-11}$ Amp.). — I_T ist die Intensität der *totalen* Strahlung nach Messungen mit dem Pyrograph Volochine. Die dritte Tabelle gibt die Tages- und Monatssummen der auf den cm^2 horizontaler Fläche zugestrahlten totalen Energie nach den Registrierungen des am 1. April 1938 in Betrieb genommenen Aktinographen Robitzsch-Fueß.

Sonnenscheindauer. Zahl der Tage mit verschiedener Dauer des Sonnenscheins und entsprechende Prozentzahlen für das ganze Jahr. Ferner: Monatliche Sonnenscheindauern in Prozenten der möglichen Dauer. Letztere hängt von der Gestalt des Horizontes und der wechselnden Deklination der Sonne ab. Zum Vergleich sind die gleichzeitigen Werte einer nordalpinen Station (Zürich) angegeben. Die wesentlich größere Dauer der Einstrahlung im Süden während des ganzen Jahres tritt in den Zahlen deutlich hervor.

Luftfeuchtigkeit. Tagesmittel der relativen und der absoluten Feuchte sowie des physikalischen und physiologischen Sättigungdefizites. Das letztere ist definiert als Differenz zwischen der absoluten Feuchtigkeit der ausgeatmeten Luft (Temperatur 34,8°, relative Feuchtigkeit 39,5 mm/m^3) und der der eingeatmeten Luft. — Schließlich noch eine Zusammenstellung der Anzahl der Tage mit bestimmter minimaler Luftfeuchtigkeit, aus der sich erkennen läßt, wie durchschnittlich gering die Feuchte im südalpinen Klima ist.

Lufttemperatur. Tages-, Monats- und Jahresmittel von 1938.

Frigorimeter. Werte der Abkühlungsgröße, getrennt für Tag- und Nachtzeit (d, n).

Radiazione ultravioletta / Ultraviolettstrahlung

1938 (ID: Unità/Einheit ∽ $3.5 \cdot 10^{-11}$ Amp.) **Locarno-Monti**

h	s	IR	ID	h	s	IR	ID	h	s	IR	ID	h	s	IR	ID
Primavera - (III-V) - Frühling															
20.7°	2.81	3.02	37.2	35.5°	1.72	4.18	95.9	38.1°	1.62	6.53	174.9	47.2°	1.36	6.04	140.4
30.5	1.97	5.34	66.7	36.0	1.70	5.88	158.5	38.7	1.60	5.35	165.6	47.7	1.35	7.20	256.9
30.6	1.96	6.29	67.2	36.0	1.70	6.34	146.5	39.3	1.58	6.33	169.9	52.2	1.26	6.36	255.5
30.7	1.95	5.22	103.6	36.3	1.68	5.41	143.3	39.5	1.57	5.97	185.3	52.8	1.25	6.86	255.6
32.5	1.86	5.16	105.4	36.5	1.68	5.53	144.0	44.8	1.41	5.87	167.1	53.6	1.24	5.75	198.0
33.0	1.83	5.22	102.8	36.6	1.67	5.54	96.4	45.0	1.41	6.32	140.6	61.1	1.14	7.15	252.1
33.3	1.82	5.86	105.4	36.9	1.66	5.25	146.3	45.9	1.39	6.47	168.7	61.7	1.14	6.77	137.6
35.3	1.73	5.98	141.4	37.6	1.64	6.06	172.9	46.8	1.37	6.36	153.9				
Estate - (VI-VIII) - Sommer															
40.3°	1.54	5.49	188.8	56.3°	1.20	7.17	233.3	58.0°	1.18	7.09	277.2	65.7°	1.10	8.47	343.9
42.5	1.48	7.38	191.9	56.7	1.19	6.98	269.3	64.8	1.10	8.27	340.1	66.5	1.09	8.48	344.3
Autunno (IX-XI) - Herbst															
19.3°	3.00	3.22	20.2	26.0°	2.27	5.48	73.5	34.5°	1.76	6.23	101.3	46.1°	1.38	7.05	258.2
19.3	3.00	3.46	26.6	26.3	2.25	4.48	57.9	34.7	1.75	6.33	123.6	46.7	1.37	7.50	238.8
23.2	2.53	4.19	47.4	27.1	2.19	5.53	94.5	35.4	1.72	6.25	116.3	46.8	1.37	7.40	257.6
24.8	2.37	5.38	64.0	27.5	2.16	5.84	108.9	35.4	1.72	6.38	119.6				
25.1	2.35	4.46	49.4	33.7	1.79	5.56	143.1	35.4	1.72	5.54	159.9				
Inverno (XII-II) -Winter															
19.6°	2.96	2.91	21.4	23.7°	2.48	3.92	52.7	27.0°	2.20	4.02	70.3	31.7°	1.90	4.45	40.3
19.7	2.95	3.34	20.3	24.6	2.39	4.12	47.0	27.4	2.16	4.25	64.6	32.7	1.85	4.70	48.1
20.2	2.88	3.72	21.6	24.9	2.36	3.70	52.3	28.7	2.08	4.62	52.9	33.0	1.83	4.54	96.9
20.9	2.78	9.02	33.9	26.5	2.23	4.09	63.6	29.0	2.06	4.02	77.4	33.2	1.82	5.03	97.2
23.4	2.51	3.74	50.2	26.9	2.20	5.15	40.4	29.5	2.02	4.54	77.7	33.3	1.82	4.49	97.8

Radiazione totale / Totalstrahlung

1938 (IT: in gcal · cm^{-2} · min^{-1}) **Locarno-Monti**

h	s	IT	h	s	IT	h	s	IT	h	s	IT	h	s	IT	h	s	IT
Primavera - (III-V) - Frühling																	
24.8°	2.37	1.311	35.5°	1.72	1.438	38.6°	1.60	1.415	42.2°	1.49	1.368	48.5°	1.33	1.471	60.6°	1.15	1.366
25.6	2.31	1.319	36.4	1.68	1.455	38.7	1.60	1.416	42.6	1.48	1.424	48.6	1.33	1.455	61.0	1.14	1.379
32.0	1.88	1.165	36.8	1.66	1.478	40.4	1.54	1.458	42.7	1.47	1.265	50.2	1.30	1.383	61.5	1.14	1.379
32.6	1.85	1.439	37.4	1.64	1.488	40.8	1.53	1.356	43.0	1.46	1.321	51.0	1.28	1.415	61.6	1.14	1.240
33.8	1.79	1.180	37.8	1.62	1.422	41.4	1.51	1.486	43.5	1.45	1.425	52.1	1.26	1.320	62.2	1.13	1.398
34.6	1.76	1.334	38.0	1.62	1.193	41.7	1.50	1.458	44.3	1.43	1.282	58.9	1.17	1.437	63.7	1.12	1.454
35.2	1.73	1.359	38.3	1.61	1.400	42.0	1.49	1.387	46.5	1.38	1.489	60.4	1.15	1.380			
Estate - (VI-VIII) - Sommer																	
18.5°	3.13	1.083	37.1°	1.66	1.069	46.5°	1.38	1.324	53.8°	1.24	1.269	57.0°	1.19	1.280	66.7°	1.09	1.388
23.7	2.48	1.146	42.7	1.47	1.288	47.4	1.36	1.361	54.2	1.23	1.443	58.5	1.17	1.289	66.9	1.09	1.333
32.0	1.88	1.035	44.5	1.43	1.288	48.6	1.33	1.441	54.4	1.23	1.424	59.6	1.16	1.296	67.0	1.09	1.407
33.8	1.79	1.047	45.5	1.40	1.311	50.6	1.29	1.258	55.5	1.21	1.454	60.2	1.15	1.299			
Autunno - (IX-XI) - Herbst																	
25.9°	2.28	0.987	26.7°	2.22	1.413	34.2°	1.77	1.225	35.5°	1.72	1.316	42.1°	1.49	1.388	47.6°	1.35	1.353
26.3	2.25	1.402	33.7	1.79	1.207	34.5	1.76	1.214	38.7	1.60	1.263	47.2	1.36	1.421	52.1	1.26	1.485
26.6	2.23	0.985	34.0	1.78	1.217	35.3	1.73	1.249	41.3	1.51	1.362	47.4	1.36	1.376	52.2	1.26	1.467
Inverno - (XII-II) - Winter																	
13.2°	4.31	0.991	19.7°	2.95	1.267	21.4°	2.72	1.326	24.7°	2.38	1.123	26.5°	2.23	1.333	30.2°	1.98	1.230
18.0	3.21	1.277	20.3	2.87	1.297	22.3	2.62	1.246	25.3	2.33	1.015	27.0	2.20	1.438			
18.6	3.11	1.237	20.6	2.82	1.260	22.6	2.59	1.341	26.1	2.27	1.002	27.1	2.19	1.428			

Radiazione totale / Totalstrahlung

1938 (Somme giornaliere / Tagessummen in gcal · cm^{-2} · min^{-1}) Locarno-Monti

	IV*)	V	VI	VII	VIII	IX	X	XI	XII
1	518.8	55.4	196.0	198.0	601.9	582.1	150.5	358.4	61.4
2	514.8	546.5	126.7	263.2	479.2	449.5	447.5	322.7	217.8
3	481.1	633.6	651.4	594.0	566.3	77.2	(0)	314.8	229.7
4	566.3	568.3	704.9	681.1	556.4	144.5	85.1	269.3	231.7
5	471.2	95.0	679.1	158.4	542.5	532.6	417.8	170.3	209.9
6	512.8	502.9	578.2	732.6	528.7	510.8	439.6	291.1	221.8
7	538.6	568.3	633.6	324.7	310.9	439.6	352.4	314.8	184.1
8	532.6	556.4	615.8	245.5	277.2	69.3	372.2	334.6	120.8
9	546.5	154.4	570.2	524.7	512.8	37.6	413.8	306.9	33.7
10	516.8	536.6	368.3	716.8	584.1	104.9	285.1	279.2	(0)
11	590.0	615.8	411.8	677.2	360.4	518.8	203.9	69.3	(0)
12	556.4	530.6	83.2	380.2	423.7	524.7	419.8	241.6	(0)
13	366.3	572.2	249.5	572.2	396.0	520.7	386.1	273.2	45.5
14	465.3	659.3	(566.3)	611.8	459.4	362.3	384.1	277.2	174.2
15	502.9	344.5	427.7	528.7	572.2	411.8	396.0	273.2	168.3
16	550.4	320.8	667.3	(114.8)	582.1	548.5	372.2	243.5	164.3
17	372.2	(0)	689.0	655.4	512.8	493.0	384.1	71.3	(0)
18	627.7	(0)	663.3	560.3	580.1	495.0	301.0	87.1	(0)
19	580.1	(0)	546.5	633.6	419.8	481.1	306.9	192.1	(0)
20	601.9	(0)	667.3	598.0	364.3	463.3	372.2	71.3	(0)
21	465.3	209.9	574.2	574.2	53.5	425.7	249.5	(0)	(0)
22	576.2	253.4	520.7	601.9	639.5	437.6	51.5	136.6	(0)
23	518.8	649.4	514.8	275.2	613.8	332.6	146.5	221.8	(0)
24	574.2	(477.2)	683.1	(0)	613.8	239.6	306.9	225.7	180.2
25	576.2	578.2	542.5	659.3	611.8	162.4	346.5	261.4	178.2
26	582.1	510.8	584.1	605.9	522.7	39.6	67.3	233.6	(0)
27	293.0	(0)	647.3	495.0	382.1	108.9	69.3	156.4	(0)
28	613.8	(0)	629.6	574.2	400.0	112.9	13.9	63.4	124.7
29	550.4	542.5	558.4	495.0	346.5	35.6	211.9	(0)	200.0
30	241.6	265.3	231.7	613.8	362.3	273.2	301.0	(0)	174.2
31		693.0		570.2	372.2		376.2		217.8
Somma	15404.3	11440.3	15582.5	15235.9	14549.0	9935.4	8630.8	6060.8	3138.3

*) L'attinografo fu messo in attività alla fine di marzo.

Insolazione / Sonnenscheindauer

Durata registrata in % della durata possibile: / Registrierte Dauer in % der möglichen:

		I	II	III	IV	V	VI	VII	VIII	IX	X	XI	XII	Anno
1938	Locarno	67%	73%	80%	80%	45%	69%	65%	62%	47%	60%	64%	45%	63%
	Zürich	17	38	69	50	42	56	49	49	49	42	29	9	42

Numero dei giorni con durata del sole di ore: / Zahl der Tage mit Sonnenscheindauer von:

	I	II	III	IV	V	VI	VII	VIII	IX	X	XI	XII	Somma	Locarno	Zürich
0^h	5	—	—	—	7	2	1	1	9	6	7	13	51	14%	16%
> 1^h	24	28	30	30	20	28	29	30	17	25	23	17	301	82%	72%
≥ 2^h	24	26	29	28	19	26	27	30	17	24	22	16	288	79%	64%
≥ 4^h	22	22	28	28	17	25	22	25	17	20	18	14	258	71%	52%
≥ 6^h	15	19	25	26	15	22	21	20	15	18	16	10	222	61%	42%
≥ 8^h	—	12	23	25	13	22	21	16	14	12	5	—	163	45%	31%
≥ 10^h	—	—	16	20	7	17	15	12	9	—	—	—	96	26%	19%
≥ 12^h	—	—	—	4	2	11	12	5	1	—	—	—	35	9%	9%

Umidità dell'aria / Luftfeuchtigkeit

1938 (medie giornaliere / Tagesmittel) **Locarno-Monti**

Giorno	Gennaio				Febbraio				Marzo				Aprile				Maggio				Giugno			
	Umidità		Deficit di satur.ne		Umidità		Deficit di satur.ne		Umidità		Deficit di satur.ne		Umidità		Deficit di satur.ne		Umidità		Deficit di satur.ne		Umidità		Deficit di satur.ne	
	relativa	assoluta	fisico	fisiol.co	relativa	assoluta	fisico	fisiol.co	relativa	assoluta	fisico	fisiol.co	relativa	assoluta	fisico	fisiol.co	relativa	assoluta	fisico	fisiol.co	relativa	assoluta	fisico	fisiol.co
1	71	2.8	1.1	36.7	61	3.2	2.2	36.3	60	4.5	3.0	35.0	39	5.8	9.3	33.7	92	5.6	0.5	33.9	85	12.4	2.2	27.1
2	38	1.8	2.8	37.7	57	3.4	2.6	36.1	34	3.4	6.5	36.1	40	6.3	9.4	33.2	65	5.6	3.1	33.9	90	11.3	1.3	28.2
3	39	1.6	2.3	37.9	35	2.7	5.1	36.8	50	4.6	4.6	34.9	56	6.5	5.1	33.0	62	6.3	3.8	33.2	51	6.3	6.1	33.2
4	62	2.0	1.2	37.5	60	3.8	2.5	35.7	27	3.7	10.0	35.8	30	2.7	6.2	36.8	67	7.6	3.8	31.9	50	7.0	7.0	32.5
5	69	2.1	1.0	37.4	64	4.2	2.3	35.3	49	5.2	5.4	34.3	46	3.8	4.5	35.7	84	6.8	1.3	32.7	55	9.0	7.4	30.5
6	70	2.4	1.0	37.1	61	3.8	2.6	35.7	47	4.4	5.1	35.1	52	4.6	4.3	34.9	51	5.2	5.1	34.3	61	11.2	7.0	28.3
7	46	2.7	3.3	36.8	47	3.3	3.7	36.2	35	3.7	6.9	35.8	50	5.5	5.5	34.0	64	7.2	4.0	32.3	65	12.6	6.7	26.9
8	72	3.2	1.3	36.3	55	3.6	2.8	35.9	36	3.9	6.9	35.6	37	4.4	7.4	35.1	63	7.8	4.5	31.7	64	13.4	7.5	26.1
9	90	3.7	0.4	35.8	71	4.0	1.7	35.5	45	4.6	5.6	34.9	40	3.8	5.7	35.7	85	8.9	1.6	30.6	77	15.2	4.5	24.3
10	79	3.8	1.0	35.7	78	4.2	1.2	35.3	53	5.0	4.5	34.5	30	2.2	5.1	37.3	68	8.2	3.8	31.3	73	11.6	4.2	27.9
11	62	3.4	2.0	36.1	46	2.8	3.4	36.7	37	5.0	8.4	34.5	32	2.6	5.4	36.9	44	6.6	8.3	32.9	76	11.3	3.5	28.2
12	52	3.2	2.9	36.3	36	2.3	4.0	37.2	45	4.5	5.6	35.0	46	3.8	4.4	35.7	52	7.4	6.8	32.1	93	10.9	0.8	28.6
13	62	3.6	2.3	35.9	44	2.6	3.2	36.9	65	4.2	2.2	35.3	48	4.6	5.0	34.9	62	8.4	5.1	31.1	80	8.7	2.2	30.8
14	68	4.2	2.0	35.3	35	2.2	3.8	37.3	63	4.2	2.5	35.3	39	5.0	7.8	34.5	56	8.0	6.4	31.5	67	8.8	4.3	30.7
15	96	5.5	0.2	34.0	69	3.6	1.5	35.9	55	4.4	3.7	35.1	60	6.0	4.1	33.5	60	8.4	5.6	31.1	42	7.1	9.9	32.4
16	45	3.1	3.8	36.4	84	4.4	0.8	35.1	46	4.4	5.1	35.1	60	6.9	4.6	32.6	73	9.8	3.7	29.7	44	8.1	10.3	31.4
17	55	3.3	2.7	36.2	73	4.2	1.4	35.3	39	4.2	6.7	35.3	68	7.2	3.4	32.3	91	8.6	0.9	30.9	61	10.2	6.5	29.3
18	69	4.2	1.8	35.3	88	5.2	0.8	34.3	42	4.6	6.4	34.9	34	3.8	7.3	35.7	90	8.4	1.0	31.1	65	11.6	6.2	27.9
19	85	4.4	0.8	35.1	71	4.6	1.8	34.9	49	5.4	5.6	34.1	53	4.2	3.7	35.3	92	8.4	0.7	31.1	74	12.1	4.3	27.4
20	33	2.8	5.6	36.7	56	3.4	2.7	36.1	58	6.2	4.4	33.3	40	3.0	4.6	36.5	82	6.4	1.4	33.1	67	12.6	6.1	26.9
21	47	3.5	3.9	36.0	55	3.6	2.9	35.9	55	5.8	4.8	33.7	43	3.0	4.1	36.5	68	6.5	3.1	32.5	67	14.0	6.9	25.5
22	63	3.6	2.1	35.9	68	3.9	1.8	35.6	62	6.1	3.8	33.4	46	3.2	3.8	36.3	71	7.1	2.9	32.4	59	12.7	8.8	26.8
23	59	3.7	2.6	35.8	66	4.1	2.1	35.4	63	6.2	3.6	33.3	49	4.0	4.1	35.5	64	8.1	4.5	31.4	57	11.7	8.8	27.8
24	56	3.6	2.8	35.9	71	4.4	1.8	35.1	61	6.1	3.8	33.4	50	4.6	4.7	34.9	44	6.4	8.0	33.1	56	12.1	9.5	27.4
25	32	3.3	6.9	36.2	60	3.8	2.5	35.7	61	6.3	4.0	33.2	50	5.0	5.0	34.5	35	4.9	9.1	34.6	64	14.8	8.3	24.7
26	48	4.7	5.1	34.8	61	3.8	2.5	35.7	67	6.2	3.0	33.3	69	6.0	2.7	33.5	52	6.8	6.3	32.7	60	13.5	8.9	26.0
27	73	4.5	1.7	35.0	62	3.9	2.3	35.6	48	4.2	4.6	35.3	74	5.5	2.0	34.0	96	9.6	0.4	29.9	61	13.4	8.6	26.1
28	32	2.0	4.4	37.5	58	4.1	2.9	35.4	35	4.4	8.1	35.1	61	5.6	3.6	33.9	85	7.3	1.3	32.2	65	14.8	8.0	24.7
29	59	3.2	2.2	36.3					46	5.3	6.3	34.2	76	7.1	2.3	32.4	54	6.5	5.4	33.0	71	16.1	6.6	23.4
30	73	4.0	1.4	35.5					58	6.3	4.5	33.2	83	6.9	1.4	32.6	72	8.8	3.4	30.7	88	17.0	2.3	22.5
31	44	2.6	3.4	36.9					37	5.6	9.8	33.9					61	9.6	6.3	29.9				
Media	60	3.3	2.4	36.2	60	3.7	2.5	35.8	49	4.9	5.3	34.6	50	4.8	4.9	34.7	68	7.5	3.9	32.0	66	11.7	6.2	27.8

	Luglio				Agosto				Settembre				Ottobre				Novembre				Dicembre			
1	89	15.0	1.8	24.5	73	16.3	6.0	23.2	56	9.1	7.2	30.4	83	10.2	2.0	29.3	63	5.0	2.9	34.5	91	7.6	0.7	31.9
2	79	9.8	2.6	29.7	72	14.3	5.4	25.2	71	11.0	4.5	28.5	72	9.0	3.5	30.5	72	5.9	2.3	33.6	73	5.6	2.2	33.9
3	43	6.6	8.7	32.9	71	15.0	6.1	24.5	89	12.4	1.5	27.1	90	9.6	1.0	29.9	72	5.8	2.3	33.7	44	3.4	4.2	36.1
4	42	6.7	9.4	32.8	65	14.6	7.8	24.9	79	10.0	2.7	29.5	84	8.6	1.6	30.9	66	5.4	2.8	34.1	36	3.0	5.4	36.5
5	81	9.9	2.3	29.6	62	14.0	8.6	25.5	40	6.0	8.9	33.5	74	8.3	3.0	31.2	56	7.0	5.5	32.5	45	2.8	3.3	36.7
6	58	9.1	6.6	30.4	70	14.4	6.2	25.1	60	7.8	5.2	31.7	74	8.8	3.1	30.7	39	5.6	8.6	33.9	38	3.1	5.1	36.4
7	69	11.6	5.2	27.9	72	12.5	4.9	27.0	78	8.9	2.5	30.6	76	8.3	2.6	31.2	49	4.8	5.0	34.7	65	3.6	2.0	35.9
8	83	13.5	2.8	26.0	74	13.0	4.5	26.5	93	9.7	0.8	29.8	63	7.8	4.6	31.7	60	5.5	3.6	34.0	60	3.3	2.3	36.2
9	67	11.4	5.5	28.1	75	13.3	4.4	26.2	97	10.7	0.3	28.8	72	7.8	3.0	31.7	67	5.7	2.8	33.8	79	4.6	1.2	34.9
10	35	5.8	10.9	33.7	70	12.6	5.4	26.9	93	10.5	0.8	29.0	76	9.1	2.8	30.4	72	6.3	2.5	33.2	95	5.4	0.2	34.1
11	50	8.0	8.0	31.5	79	12.8	3.4	26.7	76	10.0	3.1	29.5	77	9.7	2.9	29.8	84	7.4	1.4	32.1	95	6.2	0.3	33.3
12	65	10.8	5.8	28.7	66	10.6	5.5	28.9	74	10.7	3.7	28.8	73	9.3	3.3	30.2	82	7.3	1.6	32.2	87	6.6	1.0	32.9
13	68	12.1	5.6	27.4	55	9.4	7.8	30.1	68	10.5	5.0	29.0	80	10.1	2.5	29.4	82	6.8	1.4	32.7	86	6.6	1.1	32.9
14	65	12.2	6.6	27.3	48	8.7	9.5	30.8	77	12.8	3.9	26.7	76	9.5	2.9	30.0	63	5.4	3.2	34.1	84	5.9	1.1	33.6
15	68	13.5	6.4	26.0	49	8.8	9.0	30.7	67	10.5	5.2	29.0	71	8.7	3.5	30.8	69	5.7	2.5	33.8	71	4.8	2.0	34.7
16	83	13.8	2.8	25.7	60	10.8	7.2	28.7	45	6.8	8.4	32.7	73	9.0	3.2	30.5	87	6.4	0.9	33.1	75	4.8	1.6	34.7
17	65	12.6	6.8	26.9	70	13.3	5.8	26.2	68	9.3	4.3	30.2	77	9.3	2.8	30.2	92	6.1	0.5	33.4	82	4.3	0.9	35.2
18	50	10.1	10.0	29.4	47	9.6	10.8	29.9	72	9.5	3.6	30.0	81	9.5	2.2	30.0	85	5.6	1.0	33.9	65	2.4	1.3	37.1
19	64	12.1	6.9	27.4	76	13.7	4.4	25.8	68	8.6	4.1	30.9	79	9.2	2.4	30.3	70	4.4	1.9	35.1	72	2.6	1.0	36.9
20	65	12.6	6.7	26.9	76	14.3	4.5	25.2	70	9.1	4.0	30.4	44	6.0	7.7	33.5	79	5.4	1.4	34.1	93	3.8	0.2	35.7
21	65	13.8	7.2	25.7	82	11.5	2.5	28.0	74	10.1	3.5	29.4	65	6.9	3.7	32.6	99	5.6	0.1	33.9	97	4.8	0.2	34.7
22	66	13.5	7.0	26.0	32	5.4	11.4	34.1	77	11.2	3.2	28.3	90	7.6	0.9	31.9	70	5.3	2.3	34.2	80	3.6	0.9	35.9
23	80	14.7	3.7	24.8	49	8.0	8.3	31.5	74	10.9	3.8	28.6	67	5.9	2.9	33.6	50	3.7	3.7	35.8	89	3.8	0.4	35.7
24	82	10.7	2.4	28.8	57	7.6	5.6	31.9	75	11.0	3.7	28.5	75	5.9	2.0	33.6	63	4.6	2.7	34.9	70	2.8	1.3	36.7
25	61	11.1	7.1	28.4	58	8.4	6.0	31.1	80	11.1	2.8	28.4	74	6.0	2.1	33.5	53	4.1	3.6	35.4	71	3.0	1.4	36.5
26	64	12.6	7.1	26.9	69	10.8	5.0	28.7	88	10.8	1.5	28.7	87	7.4	1.1	32.1	57	3.6	2.6	35.9	66	2.7	1.4	36.8
27	64	13.0	7.3	26.5	76	12.2	3.9	27.3	80	10.1	2.5	29.4	95	8.5	0.4	31.0	61	4.0	2.6	35.5	61	2.0	1.3	37.5
28	67	14.5	7.1	25.0	73	10.4	3.9	29.1	81	10.3	2.4	29.2	91	6.3	0.6	33.2	73	5.6	2.0	33.9	74	2.4	0.9	37.1
29	66	14.6	7.6	24.9	77	11.4	3.3	28.1	95	11.6	0.6	27.9	70	5.5	2.3	34.0	96	7.2	0.3	32.3	46	2.3	2.7	37.2
30	69	15.5	7.1	24.0	80	11.5	2.9	28.0	87	12.0	1.8	27.5	66	5.2	2.7	34.3	94	7.6	0.5	31.9	58	2.3	1.6	37.2
31	71	16.7	6.9	22.8	76	11.4	3.6	28.1					62	4.8	3.0	34.7					59	2.8	1.8	36.7
Media	66	11.9	6.2	27.6	66	11.6	5.9	27.9	75	10.1	3.5	29.4	75	8.0	2.6	31.5	71	5.6	2.5	33.9	71	4.0	1.6	35.5

Umidità relativa / Relative Feuchtigkeit

Locarno-Monti

1938 **Numero dei giorni con umidità minima del: / Zahl der Tage mit Minimum von:**

	20–29%	30–39%	40–49%	50–59%	60–69%	70–79%	80–89%	90–100%
I	2	6	3	11	5	2	1	1
II	—	6	4	8	7	3	—	—
III	3	13	8	6	1	—	—	—
IV	7	12	6	3	1	1	—	—
V	—	3	9	7	3	5	3	1
VI	—	3	5	13	5	—	3	1
VII	—	4	4	11	8	3	1	—
VIII	1	3	6	6	13	2	—	—
IX	—	2	2	8	7	5	4	2
X	—	—	2	13	9	2	4	1
XI	—	3	4	10	5	2	4	2
XII	1	1	3	8	7	3	4	4
Anno	14	56	56	104	71	28	24	12

Temperatura dell'aria / Lufttemperatur

1938 (medie giornaliere / Tagesmittel) Locarno-Monti

Giorno	I	II	III	IV	V	VI	VII	VIII	IX	X	XI	XII
1	-2.2	2.2	7.0	17.7	4.1	17.2	19.4	24.1	18.9	14.4	7.8	8.5
2	0.1	3.8	11.1	18.3	9.2	14.8	14.6	22.0	18.1	14.7	8.3	7.5
3	-2.3	7.5	10.1	13.5	11.5	14.6	17.9	23.2	16.4	12.2	8.1	7.3
4	-4.7	4.5	16.2	9.5	13.3	16.5	18.7	24.2	15.0	11.6	8.3	8.7
5	-5.3	5.0	12.1	8.5	8.2	19.0	14.4	24.3	17.5	13.1	14.7	4.0
6	-4.2	4.6	10.5	9.6	11.7	20.7	18.3	22.8	15.3	13.9	16.7	8.3
7	3.7	6.0	12.1	12.8	13.0	21.7	19.4	20.0	13.3	12.6	11.0	2.7
8	-0.2	4.8	12.5	13.8	14.5	23.0	18.9	20.1	12.0	14.6	9.9	2.7
9	-1.5	3.0	11.6	10.5	12.0	22.0	19.5	20.3	12.8	12.5	8.9	3.4
10	0.7	2.3	10.5	6.7	14.1	18.4	19.3	20.5	13.1	14.0	9.3	2.8
11	2.4	4.2	15.8	8.0	17.5	17.4	18.6	18.8	15.5	14.8	9.4	5.0
12	4.0	4.5	11.4	8.3	16.7	13.7	19.2	18.7	17.0	14.9	9.6	7.1
13	3.5	3.3	4.8	10.6	15.9	12.6	20.3	19.8	18.1	14.9	8.4	7.4
14	4.3	3.9	5.3	15.1	16.9	15.5	21.3	20.7	19.3	14.6	9.0	6.0
15	3.1	1.5	8.1	11.4	16.5	19.6	22.2	20.4	18.3	14.4	8.4	5.6
16	5.8	1.8	10.5	13.4	15.9	20.9	19.2	20.5	17.8	14.4	6.6	4.6
17	3.8	2.9	12.6	12.2	10.5	19.3	21.8	21.5	16.1	14.2	5.2	1.8
18	3.9	3.7	12.7	12.9	10.3	20.4	22.4	22.6	15.5	13.7	5.1	-2.9
19	1.7	4.7	12.8	7.7	9.9	19.0	21.4	20.6	15.0	13.6	4.4	-3.1
20	8.6	4.1	12.2	7.1	7.5	21.2	21.7	21.3	15.4	16.2	5.6	-1.8
21	6.8	5.0	12.2	6.2	10.6	23.0	23.1	16.5	16.1	12.1	3.1	1.1
22	3.0	3.1	11.1	6.0	11.3	23.5	22.7	19.4	17.0	8.8	7.2	-0.3
23	4.5	4.3	11.0	8.2	14.9	22.7	20.9	18.9	17.3	9.4	6.9	-1.1
24	4.8	4.3	11.2	10.2	17.0	23.6	15.4	15.6	17.3	7.7	6.7	-1.6
25	11.6	4.5	11.8	11.3	16.5	24.7	20.7	17.0	16.4	8.1	7.4	-0.7
26	11.0	4.4	10.0	9.2	15.4	24.2	22.0	18.4	14.5	8.8	4.3	-1.4
27	4.2	4.3	9.4	7.0	11.3	23.9	22.5	18.7	14.8	9.6	5.2	-4.5
28	4.6	6.1	14.7	10.0	9.0	24.5	23.6	16.8	15.0	5.8	7.2	-4.6
29	2.4		13.5	10.3	13.9	24.4	24.0	17.3	14.3	7.6	7.0	1.1
30	2.3		12.5	8.5	14.3	21.7	24.2	16.9	16.3	7.7	8.2	-2.1
31	3.8		18.0		18.5		25.0	17.6		7.6		0.2
Media	2.5	4.0	11.5	10.4	12.9	20.2	20.3	19.8	15.9	11.9	7.9	2.2
Anno					11.6							

Frigorimetro / Frigorimeter

1938 (in mgcal · cm^{-2} · sec^{-1}) **Locarno-Monti**

Giorno	Gennaio		Febbraio		Marzo		Aprile		Maggio		Giugno		Luglio		Agosto		Settembre		Ottobre		Novembre		Dicembre	
	n	d	n	d	n	d	n	d	n	d	n	d	n	d	n	d	n	d	n	d	n	d	n	d
1	18.6	18.2	15.7	13.7	13.0	11.3	8.1	2.6	21.0	17.6	8.3	8.7	12.2	9.8	8.3	2.6	10.1	6.4	11.0	15.2	15.5	12.5	—*)	—*)
2	20.4	18.5	15.4	15.8	14.4	13.5	10.7	4.2	13.6	9.4	15.7	9.5	13.1	16.9	12.5	4.5	10.2	8.1	12.4	9.5	13.5	13.1	—	—
3	20.4	19.3	16.9	16.7	17.6	10.4	8.8	11.7	11.0	8.4	14.4	13.6	11.2	6.2	7.7	2.4	9.8	10.7	14.1	18.6	14.7	13.0	—	—
4	17.4	18.6	17.0	12.6	17.3	10.2	19.8	17.4	11.0	5.9	11.2	(3.1)	9.8	5.5	6.8	1.2	11.7	12.0	13.4	12.5	15.0	12.2	—	—
5	19.0	19.1	14.8	12.3	15.9	9.0	16.4	12.5	15.4	16.5	(7.2)	3.9	9.3	12.9	6.8	(1.0)	12.0	8.4	13.3	13.5	14.1	10.4	—	—
6	18.7	18.6	14.2	11.8	12.3	8.9	15.3	9.6	12.3	9.8	7.2	3.0	9.7	—	(5.0)	5.5	12.4	8.9	11.9	10.3	12.1	8.0	—	—
7	18.8	—*)	15.5	9.5	13.2	5.5	12.0	6.4	10.6	6.0	6.2	2.3	6.2	4.6	9.3	8.0	13.8	12.5	11.8	10.8	13.8	9.6	—	—
8	—	—	14.5	13.6	13.2	7.9	11.4	7.6	8.2	6.0	5.6	1.6	8.3	8.0	9.6	6.8	15.9	11.9	11.6	10.4	14.4	10.3	—	—
9	17.9	15.9	14.8	15.6	12.0	8.2	13.3	7.5	12.6	10.6	5.2	(0.3)	10.4	(5.9)	8.9	6.4	17.5	16.6	13.6	9.8	14.4	10.5	—	—
10	16.9	15.8	14.9	12.8	10.3	5.5	13.6	(14.5)	9.3	8.8	(10.1)	8.5	(10.6)	(4.8)	8.3	5.0	20.4	14.3	12.5	11.1	14.4	12.2		—
11	16.3	14.1	17.3	20.4	9.9	5.9	(14.2)	13.0	11.2	—*)	7.9	6.6	(8.2)	4.2	9.4	9.1	11.3	7.3	10.1	9.5	12.8	12.4	16.9	14.4
12	15.9	13.2	20.0	15.0	13.0	9.7	16.2	9.4	—	6.8	15.4	14.6	8.7	6.1	10.5	7.3	11.0	7.0	12.1	8.5	13.4	13.8	13.0	11.1
13	14.7	13.7	15.7	16.6	20.6	16.6	13.7	6.7	10.3	6.0	15.6	12.3	8.2	(4.8)	10.0	6.4	10.8	6.4	11.3	8.8	13.5	12.7	11.1	11.5
14	14.5	13.4	17.5	15.9	13.3	11.8	10.0	7.0	8.5	4.1	8.9	6.8	(5.5)	2.4	11.0	5.1	9.1	7.3	11.6	9.0	14.5	9.9	12.3	10.9
15	17.8	16.2	18.7	19.6	12.3	8.8	15.8	11.3	8.1	6.4	11.9	4.6	7.3	2.4	10.1	4.4	10.1	7.1	12.1	8.5	14.1	11.9	11.6	13.1
16	17.4	10.8	14.3	15.6	11.0	6.4	7.8	6.1	8.6	7.2	8.3	2.4	7.0	(15.8)	8.8	4.0	12.5	8.8	12.2	11.0	14.8	12.8	14.0	12.7
17	14.9	11.9	15.3	17.8	11.0	9.1	10.7	6.4	15.1	17.6	9.4	4.1	(7.5)	2.9	8.4	5.5	11.0	11.8	12.1	10.4	16.3	—*)	15.5	21.7
18	15.6	17.1	18.5	14.8	9.9	5.8	9.8	7.5	11.2	(9.4)	7.4	5.1	8.1	3.6	8.7	4.6	12.2	9.5	12.7	9.2	—*)	—	20.7	21.1
19	14.6	15.4	14.6	13.1	9.7	7.8	15.6	10.8	(14.2)	12.6	8.9	5.7	7.6	4.6	8.9	6.0	11.6	10.2	11.8	9.3	—	—	20.3	17.6
20	17.3	15.6	18.5	16.0	8.8	7.5	13.0	13.6	15.3	21.2	7.3	2.7	7.8	2.8	8.1	7.2	11.6	9.2	13.6	10.7	—	—	17.9	19.0
21	19.0	13.3	16.0	13.5	9.6	11.3	14.4	15.3	16.5	11.8	6.2	2.6	6.7	(2.7)	17.3	16.5	11.6	9.4	13.2	13.5	—	—	15.5	16.6
22	15.1	13.5	15.5	12.9	11.4	9.1	13.4	14.0	11.0	10.7	7.4	2.7	(5.0)	1.6	13.6	8.2	11.1	9.2	14.2	12.5	—	—	19.3	15.6
23	15.6	11.7	14.0	16.2	10.0	7.6	13.9	9.5	9.3	5.1	6.0	2.6	8.2	7.1	11.2	6.4	9.5	9.7	19.9	15.9	—	—	16.5	16.9
24	13.6	12.8	15.3	15.6	9.7	8.7	11.4	7.7	8.7	5.4	6.4	1.3	12.3	7.2	12.8	7.8	9.7	9.4	14.8	12.8	—	—	16.9	13.4
25	13.7	7.6	14.0	13.8	10.2	5.8	11.4	6.5	9.7	5.6	6.2	2.2	10.0	(2.0)	11.9	5.8	11.0	9.1	15.4	14.1	—	—	16.2	12.3
26	14.7	16.0	14.7	14.6	13.4	10.0	14.1	12.3	9.8	7.1	5.8	2.3	(5.3)	1.7	10.5	7.8	11.3	11.7	13.4	14.1	—	—	16.6	18.5
27	16.7	19.3	14.5	15.3	13.8	12.4	20.2	13.5	15.9	17.0	6.0	1.5	7.9	2.2	9.0	7.0	10.9	10.3	12.0	14.9	—	—	19.6	17.7
28	17.7	16.3	21.5	12.3	16.7	6.5	10.9	10.5	18.6	15.1	5.9	1.6	7.0	(1.0)	16.5	14.5	10.4	11.6	20.5	19.3	—	—	17.5	15.4
29	15.3	18.5			11.4	9.5	15.6	10.0	11.2	7.3	6.2	(1.7)	(4.9)	1.6	9.6	9.0	15.2	13.8	16.5	15.1	—	—	16.9	15.3
30	15.2	18.3			13.2	5.7	15.1	11.4	9.3	7.2	(4.7)	8.0	6.5	0.6	10.2	8.5	13.3	9.6	15.2	13.8	—	—	16.9	14.5
31	20.1	12.0			8.9	7.4			8.3	3.6			5.8	1.6	9.9	7.9			16.1	11.8			17.2	12.3
Somma	503.8	444.7	449.6	412.4	387.0	273.8	396.6	296.5	355.8	286.2	252.9	145.9	256.3	153.5	309.6	202.4	359.0	298.2	416.4	374.4	(241.3)	(185.3)	(342.4)	(321.6)
Media	16.8	15.3	16.1	14.8	12.5	8.8	13.2	9.9	11.9	9.5	8.4	4.9	8.3	5.1	10.0	6.5	12.0	9.9	13.4	12.1	(14.2)	(11.6)	(16.3)	(15.3)

*) Difetti nel frigorimetro

Medie annue / Jahresmittel: 12.8 e 10.3

Nr. 7

Graphische Tafeln für die Psychrometrie

von Dr. Lorenz Fischer

Die Sprungsche Formel

$$F = \frac{100}{E}\left[E' - \frac{1}{2}(t - t')\frac{b}{755}\right] \quad (I)$$

F = relative Feuchtigkeit
t, t′ = Temperatur des trockenen, bzw. feuchten Thermometers
E, E′ = Dampfdruck für die Temperatur t, bzw. t′
b = Barometerstand

erlaubt, aus den zwei Temperaturangaben des Psychrometers die relative Feuchtigkeit für jeden beliebigen Luftdruck, bzw. jede beliebige Meereshöhe zu berechnen. Sie bildet die Grundlage der verschiedenen Psychrometertabellen. Sobald es sich um Orte mit von 755 mm bedeutend abweichenden Luftdrucken handelt, gestaltet sich die Ermittlung anhand solcher Tabellen ziemlich schwerfällig. Zur Erleichterung dieser Arbeit bestehen graphische Methoden. H. Uttinger[1]) z. B. zerlegt die allgemeine Sprungsche Formel (I) in die vereinfachte Gleichung:

$$F = \frac{100}{E} \cdot \left[E' - \frac{1}{2}(t - t')\right] \quad (II)$$

gültig für 755 mm, und in das Korrektionsglied:

$$K = 0{,}066225\ (t - t') \cdot \triangle b \quad (III)$$

Für jeden dieser Ausdrücke, welche addiert die relative Feuchtigkeit für den Luftdruck $b = 755 - \triangle b$ ergeben, zeichnet der Verfasser eine graphische Tafel.

Die Darstellung des Korrektionsgliedes K sieht ein rechtwinkliges Koordinatensystem mit den Temperaturen als Abszissen und den Korrektionen als Ordinaten vor. Durch die einzelnen Punkte der Abszisse sind mehrere «Korrektionslinien» gezeichnet, von denen jede zu einem bestimmten Drucke gehört. Die Korrektion wird gefunden, indem man auf der Abszisse jenen Punkt aufsucht, welcher der Trockentemperatur entspricht. Von hier verfolgt man die dem herrschenden Luftdruck zugeordnete Korrektionslinie bis zum Punkte, dessen Abszisse die Feuchttemperatur darstellt. Die zugehörige Ordinate gibt die gesuchte Feuchtigkeitskorrektion an. Jeder Druck bedingt also eine Schar gerader Linien (Abb. 1).

Im folgenden soll eine Methode beschrieben werden, welche für jeden Druck nur eine Gerade benötigt und deshalb eine sehr übersichtliche graphische Darstellung der Feuchtigkeitskorrektionen ermöglicht.

Die Korrektion K (III) enthält die 4 Variablen K, t, t′ und $\triangle$ b. Der Dampfdruck E wird dabei als Temperaturfunktion angesehen.

Eine Beziehung zwischen 4 Veränderlichen kann dann graphisch dargestellt werden, wenn sich die variablen Größen so trennen lassen, daß jede Seite der Gleichung nur noch 2 derselben enthält. Setzen wir nun die Seiten der Gleichung einer Hilfsgröße h gleich, so erhalten wir 2 Teilfunktionen mit je 3 Variablen gemäß dem Schema:[2])

$F(u, v, x, y) = 0$ u, v, x, y = variable Größen
$f(u, v, h) = 0$ h = Hilfsgröße
$g(x, y, h) = 0$

Diese Teilfunktionen lassen sich einzeln ohne weiteres graphisch darstellen.

Gleichung III genügt der genannten Forderung. Nach Division durch $\triangle$ b sind die 4 Größen K, $\triangle$ b, t und t′ bereits paarweise getrennt:

$$\frac{K}{0{,}066225\ \triangle b} = \frac{t - t'}{E} \quad (III)$$

$$\frac{t - t'}{E} = h \quad (IV\,a)$$

$$\frac{K}{0{,}066225\ \triangle b} = h \quad (IV\,b)$$

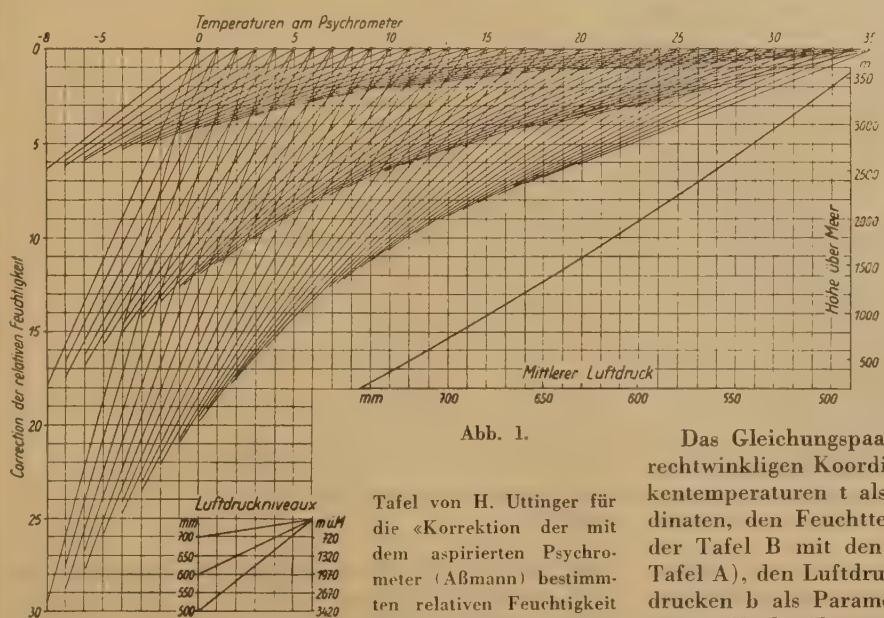

Abb. 1.

Tafel von H. Uttinger für die «Korrektion der mit dem aspirierten Psychrometer (Aßmann) bestimmten relativen Feuchtigkeit für verschiedene Luftdruckniveaus».

Das Gleichungspaar IV gibt Anlaß zu 2 Tafeln mit rechtwinkligen Koordinaten: der Tafel A mit den Trokkentemperaturen t als Abszissen, den Werten h als Ordinaten, den Feuchttemperaturen t′ als Parameter und der Tafel B mit den Werten h als Ordinaten (wie in Tafel A), den Luftdruckdifferenzen $\triangle$ b, resp. den Luftdrucken b als Parameter und den Feuchtigkeitskorrektionen K als Abszissen. Die Hilfswerte oder «Rechenlinien» h sind beiden Tafeln gemeinsam (Abb. 2).

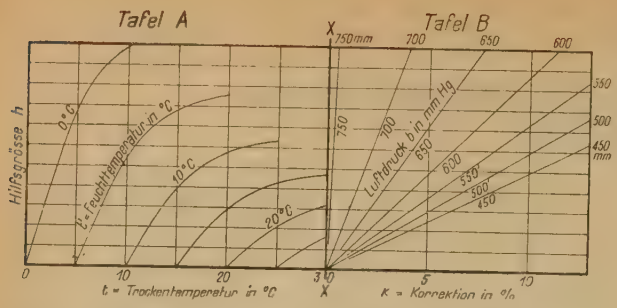

Abb. 2. Zweiteilige Tafel zur Bestimmung der Korrektion der relativen Feuchtigkeit bei verschiedenen Luftdrucken.

Zur Bestimmung einer Korrektion geht man in der Tafel A bei der Trockentemperatur t senkrecht nach oben bis zur Kurve t' der Feuchttemperatur. Der Schnittpunkt bestimmt die «h»-Linie, welche in die Tafel B hineinführt. Ihr folgt man bis zur Geraden, welche dem vorhandenen Luftdruck entspricht. Dieser Punkt zeigt die gesuchte Korrektion K an. Sie kann senkrecht darunter auf der Abszisse abgelesen werden. Um diese zweiteilige Tafel für den Gebrauch handlicher zu machen, klappt man die beiden Teile A und B um die gemeinsame Ordinate X — X aufeinander. Wir erhalten so die endgültige Form des Nomogramms für die Feuchtigkeitskorrektionen (Abb. 3).

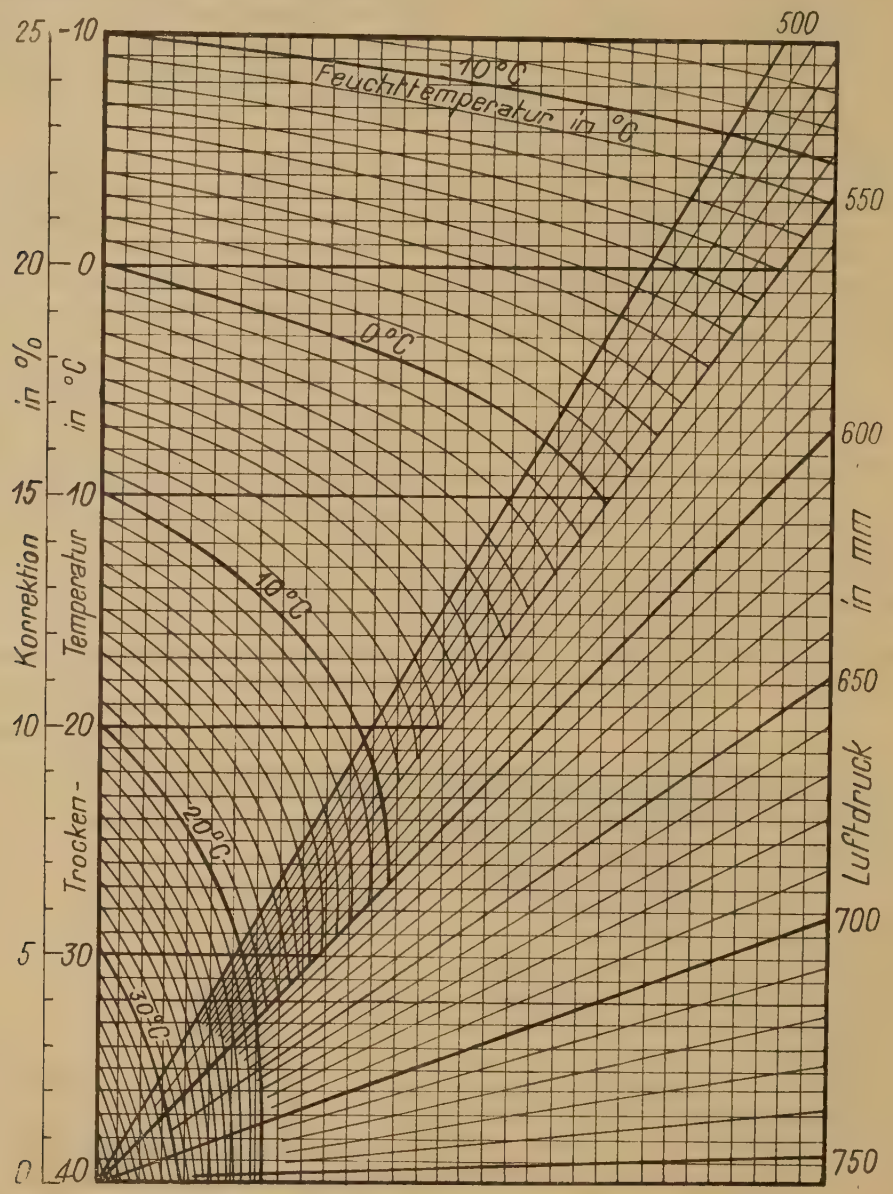

Abb. 3. Tafel zur Bestimmung der Feuchtigkeitskorrektion bei von 755 mm abweichenden Luftdrucken.

Beispiel: Das Psychrometer zeige 15° als Trocken- und 10° als Feuchttemperatur an. Der Luftdruck sei 600 mm. Wir suchen den Schnittpunkt zwischen Trokken- und Feuchttemperatur, gehen von hier senkrecht nach unten bis zur Luftdruckkurve 600 mm und lesen die zugehörige Ordinate ab. Sie beträgt 4 %. Den obigen Psychrometerdaten entspräche beim Normaldruck (755 mm) eine relative Feuchtigkeit von 52,5 %. Dieser

Wert kann leicht aus der Aspirations-Psychrometer-Tafel von H. Uttinger [1]) herausgelesen werden. Die Feuchtigkeit bei 600 mm Luftdruck ist die Summe dieser Größe und der oben erhaltenen Korrektion, also 52,5 % + 4 % = 56,5 %.

Nach Gleichung III ist die Korrektion nur von $\triangle$ b nicht aber von b abhängig, deshalb kann die Tafel (Abb. 3) ohne weiteres mit jeder beliebigen, nicht auf Normaldruck basierenden Psychrometertabelle oder -tafel zusammen verwendet werden. Falls der Druck höher ist als der auf der Psychrometertafel angenommene, ist die Korrektion für das vorliegende $\triangle$ b negativ. Die aus der Tafel entnommene relative Feuchtigkeit ist um diese Korrektion zu verkleinern.

Wenn an den Genauigkeitsgrad der Korrektion weniger hohe Anforderungen gestellt werden, können die Tafeln zur Bestimmung der relativen Feuchtigkeit bei 755 mm Druck und der Korrektion für andere Drucke miteinander vereinigt werden. Das Abzugsglied der Sprungschen Gleichung

$$-\frac{1}{2}\,(t - t')\,\frac{b}{755}$$

verringert sich mit abnehmendem Luftdruck. Diese Verkleinerung erhält man auch, wenn bei konstant gehaltenem Luftdruck (755 mm) eine entsprechende Herabsetzung der psychrometrischen Differenz (t — t') vorgenommen wird. Bei konstant gedachter Feuchttemperatur t' müßte sich also die Trockentemperatur verkleinern. Auf der Tafel von Uttinger entspricht dies einem Einbiegen der Ordinaten nach links. Abb. 4 zeigt deshalb zweierlei t-Linien, senkrechte, welche dem Normaldruck (755 mm) entsprechen, und nach links gekrümmte, die zu einem Drucke von 655 mm gehören. Je nachdem wir den senkrechten oder den gekrümmten Ordinaten folgen, erhalten wir die Feuchtigkeit für 755, resp. 655 mm. Die Differenz ergibt die Feuchtigkeitskorrektion für 100 mm Druckunterschied. Daraus berechnet sich leicht die Korrektion für einen anderen Luftdruckwert, da ja diese Korrektur nach dem Abzugsglied der Sprungschen Gleichung linear vom Drucke abhängt.

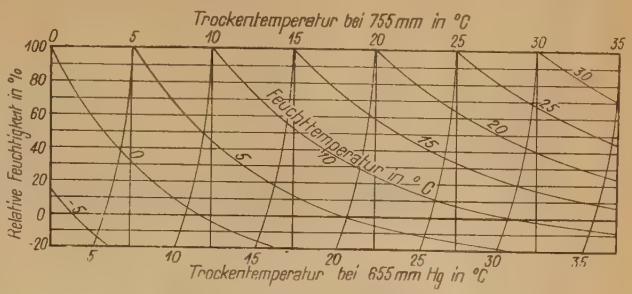

Abb. 4. Tafel zur Bestimmung der relativen Feuchtigkeit bei 755 mm (vertikale t-Linien) nach Uttinger, bei 655 mm (nach links gekrümmte t-Linien) und der Feuchtigkeitskorrektion für verschiedene Luftdrucke. Wegen der negativen Werte der relativen Feuchtigkeit beachte man die diesbezügliche Bemerkung von Uttinger.[1])

Beispiel: Das Psychrometer zeige wiederum 15° als Trocken- und 10° als Feuchttemperatur an. Der Luftdruck sei 600 mm. Wie in vorigem Beispiel, erhalten wir nach Abb. 4 bei 755 mm eine Feuchtigkeit von 52,5 %, bei 655 mm eine solche von 55 %. Dem 100-mm-Sprung des Luftdruckes entspricht also eine Feuchtigkeitskorrektion von 2,5 %. Um die Feuchtigkeit von 600 mm zu erhalten (Druckdifferenz = 155 mm), hat man daher zu 52,5 % den Betrag von 2,5 · 1,55 % zu addieren. Wir bekommen wie mit der ersten Methode 56,5 %.

[1]) Uttinger, H.: Graphische Aspirations-Psychrometertafeln zur Bestimmung der relativen Feuchtigkeit unter verschiedenem Luftdruck. M. Z. 56, 1939, S. 390.

[2]) Schwerdt, H.: Lehrbuch der Nomographie. Berlin: Julius Springer, 1924, S. 147.

Zürich, im November 1939.

Schweiz. Meteorologische Zentralanstalt.

Nr. 8.

Recherches de technique pluviométrique

Prof. Dr P.-L. Mercanton.

I. Comportement aérodynamique de quelques pluviomètres.

Dans un mémoire récent [1], j'ai énoncé, en collaboration avec M. le Dr P. de Haller, les conditions qu'un instrument destiné à la récolte des précipitations, solides comme liquides, doit remplir pour que cette récolte soit correcte. L'exigence primordiale est que la présence même de l'appareil n'influe pas sur la quantité d'eau météorique qui y pénètre par l'ouverture pluviométrique quand le vent souffle; autrement dit, il faut que l'appareil soit «aérodynamiquement neutre». Cette condition se trouve réalisée quand le flux d'air balayant la dite ouverture, horizontale, n'a sur elle ni composante verticale, vers le haut ou vers le bas, ni turbulence.

Le pluviomètre à revêtement ellipsoïdal imaginé par le sussigné et réalisé à la Station centrale suisse de Zurich [2] satisfait à cette condition. Il exige malheureusement un chauffage pour éliminer la neige qui se déposerait sur l'écran autour de l'ouverture, et ne saurait donc devenir d'un emploi général. Il restera bien plutôt un appareil «normal» de comparaison pour déterminer les facteurs correctifs des engins usuels et ne peut prétendre à remplacer ces derniers dans la pratique. Il convenait donc d'examiner ces autres engins à la lumière des principes pour voir jusqu'à quel point leur comportement aérodynamique remplit ou non la condition de neutralité requise. J'ai donc fait subir à une série de modèles réduits d'appareils usuels ou de leurs variantes l'épreuve du canal hydrodynamique d'une part, du tunnel aérodynamique d'autre part. Selon le premier mode on immerge partiellement le modèle dans un courant d'eau régulier dont on parsème la surface de sciure de bois ou d'aluminium en poudre, substances qui dessinent le sillage de l'obstacle. Selon le second mode on place le modèle dans l'axe d'une soufflerie. Le premier procédé, beaucoup moins onéreux, ne saurait fournir que des données toutes qualitatives mais instructives pourtant et qui cadrent bien, en général, avec celles obtenues au courant d'air. C'est d'ailleurs dans le canal employé par l'Institut aérodynamique de l'Ecole Polytechnique Fédérale à Zurich et par l'obligeance de son directeur, M. le prof. Ackeret, que les essais ont eu lieu, toujours avec la collaboration experte de M. de Haller. Les modèles, faits de bois et de tôle, réductions à un quart environ des engins normaux, en avaient strictement les proportions essentielles. Nous avons examiné:

a) le pluviomètre journalier Hellmann, muni d'un écran tronconique circulaire, de la Station météorologique centrale (MZA), fig. 6;
b) le totalisateur MZA à écran tronconique circulaire, fig. 7 et 8;
c) un pluviomètre suédois à écran tronconique circulaire, fig. 5;
d) un pluviomètre norvégien à section carrée et écran approprié, fig. 4;
e) enfin quelques écrans de formes diverses, adaptés au modèle du totalisateur MZA, fig. 8.

Les écrans de tous ces modèles pouvaient être abaissés ou relevés sur l'axe des pluviomètres, de manière que le bord supérieur de l'écran domine quelque peu leur ouverture ou, au contraire, soit dominé par elle. On pouvait alors rechercher chaque fois la position qui réduisait l'ascendance du flux et le tourbillonnement sur l'ouverture à leurs moindres valeurs ou qui même les annulait.

On n'a guère pu tenir compte, en général, dans l'établissement de cas modèles, des supports, de forme et de dimensions très variables, des appareils. D'ailleurs et sauf peut-être pour l'appareil suédois, plus ramassé, l'influence de ces supports peut être regardée comme secondaire. Le courant d'eau, avait une vitesse v très uniforme, de l'ordre de 0.075 m/sec. d'abord, de 0.17 m/sec. ensuite. Le plan d'eau coupait les pluviomètres selon leur axe de symétrie, disposé ici horizontalement.

Essais au canal hydraulique.

A. *Pluviomètre ordinaire,* modèle 1/3.6; v = 0.075 m/sec.

1° *sans écran:* les filets d'eau décollent et s'élèvent à partir du bord d'attaque.

2° *écran dans le plan de l'ouverture:* le flux décolle du bord d'attaque de l'écran et monte. L'eau tourbillonne sur l'ouverture pluviométrique.

3° *écran surbaissé* de 2 (7)[3] cm.: même aspect mais l'ascendance au-dessus de l'ouverture s'affaiblit; c'est la position optimum. L'image ne change pas avec 0.17 m/s.; l'optimum a lieu pour 2.2 (8) cm. de surbaissement.

Résultat général: il y a ascendance sur la bouche du pluviomètre dans tous les cas; l'écran surbaissé de 2.2 (8) cm. réduit l'ascendance au minimum mais sans, de bien loin, l'annuler.

[1] P.-L. Mercanton: «La mesure correcte des précipitations atmosphériques.» La Météorologie, mars/avril 1937.

[2] P.-L. Mercanton: «Un pluviomètre aérodynamiquement neutre.» Helvetica Physica Acta. Vol. XI, Fasc. 7 et Actes Soc. helv. Sc. nat. Coire 1938. Comptes-rendus G. M. A.

[3] Les chiffres entre ( ) sont les déplacements qui, dans les engins en grandeurs d'emploi, correspondraient à ceux imposés ici aux modèles.

B. *Totalisateur MZA.* Le modèle, à ¼, diffère du totalisateur réel MZA en ce que son écran a une pente un peu plus raide, qui l'écarte un peu davantage du corps du totalisateur. Cette légère différence paraît toutefois sans conséquences; v = 0.075 m/s.

1° Bord supérieur *dans le plan* de l'ouverture. On observe d'une part une forte ascendance du flux au-dessus du bord d'attaque de l'écran et un fort tourbillonnement dans l'intervalle entre ce bord et le corps du totalisateur. D'autre part un courant remonte le long du cône terminal supérieur du récipient et décolle vers le haut à partir du bord antérieur de l'ouverture, fig. 2.

2° *Ecran surbaissé de 3* (12) cm.: la composante verticale vers le haut subsiste sur l'ouverture.

3° *Ecran surbaissé de 4* (16) cm.: on observe une amélioration, mais insuffisante, fig. 3.

4° *Ecran surbaissé de 5.5* (22) cm. L'écran devient inefficace et la distribution des filets d'eau sur l'ouverture du totalisateur devient la même que pour 5°.

5° *Sans écran.* Fort décollement au bord d'attaque de l'ouverture et forte ascendance, fig. 1.

Les essais sont répétés avec v = 0.17 m/s. et des surbaissements correspondant à (12), (14), (16) et (18) cm. Aucune position de l'écran ne donne satisfaction. Le meilleur compartement est obtenu pour un surbaissement de (16) cm. Toutefois la présence de l'écran produit une légère amélioration par rapport à l'absence de cet accessoire. Quelques essais faits avec un écran tronconique semblable mais à génératrice raccourcie de moitié donne les mêmes résultats, très peu satisfaisants. L'essai d'un écran circulaire à génératrices verticales ne donne rien de bon non plus. Il en est de même d'un écran composé de trois cylindres circulaires verticaux de diamètres croissants, mais de hauteurs décroissantes à partir de l'axe du totalisateur, les bords des écrans s'étageant suivant une courbe-enveloppe en façon d'ellipsoïde aplati. Des tourbillons se produisent aux bords d'attaque de ces écrans concentriques et l'effet régulateur sur l'ouverture du pluviomètre est nul.

C. *Pluviomètre suédois.* Modèle à ¼; v = 0.075 m/s.

1° *Surbaissement nul.* On constate un décollement avec montée importante des filets d'eau à la fois au bord d'attaque de l'écran et à celui du récipient, le long duquel un courant s'élève aussi; forte turbulence entre le bord d'attaque de l'écran et le récipient.

2° Surbaissements 4 (16) cm.: il y a amélioration, mais toujours les deux nappes de flux distinctes et montantes.

3° Surbaissement de 5 (20) cm.: les deux nappes tendent à se confondre en une seule passant du bord d'attaque de l'écran à celui de l'ouverture pluviométrique, mais toujours avec une ascendance sur celle-ci: Forte turbulence entre écran et pluviomètre, au-dessous de la nappe.

La vitesse de 0.175 m/s. donne les mêmes images, mais avec des tourbillons plus forts.

D. *Pluviomètre norgévien.* Modèle à ¼. Le pluviomètre est de section carrée. L'écran, circulaire du bord supérieur, est carré du bord inférieur. Tous les essais se font avec v = 0.17 m/s., le courant attaquant une première fois le pluviomètre perpendiculairement au côté du carré, une seconde fois selon sa diagonale.

I. *Attaque normale à la face:*

1° *Ecran à la hauteur* de l'ouverture pluviométrique. On observe deux nappes de flux, ascendantes toutes deux, l'une partant du bord d'attaque de l'écran, l'autre du bord d'attaque du pluviomètre avec, toujours, un courant remontant le long de la face attaquée de ce dernier.

2° *Abaissement de 2* (8) cm.: même image que pour 1°.

3° *Abaissement* de 4 (16) cm.: idem, mais effet *optimum.*

4° *Abaissement* de 6 (24) cm.: l'écran devient sans effet et l'ascendance sur l'ouverture pluviométrique est maximum.

II. *Attaque selon la diagonale:*

1° *Surbaissement* 2 (8) cm.: les filets liquides ont un certain parallélisme avec le plan de l'ouverture.

2° Cet effet est optimum pour un *surbaissement* de 2.5 (10) cm.

3° Il est moins bon pour un *surbaissement* de 3.2 (13) cm.

En résumé l'appareil semble mieux fonctionner, c'est-à-dire avoir une composante verticale vers le haut moins forte quand il est attaqué par le courant suivant la diagonale de l'ouverture lorsqu'il l'est normalement à un des côtés du carré. De toutes façons une composante verticale vers le haut subsiste.

Essais à la soufflerie:

On a éprouvé les mêmes modèles de pluviomètre que les précédents avec la petite soufflerie de l'Institut aérodynamique. En outre le totalisateur MZA a fait l'objet d'une étude spéciale, en grandeur d'emploi réel, au tunnel majeur (2 × 2 m.). Voici les résultats:

A. *Pluviomètre MZA.* Vent de 10 m/s.

1° Bord supérieur de l'écran *dans le plan* de l'ouverture: le courant d'air monte fortement sur l'ouverture à partir du bord d'attaque et l'ouverture même est le siège de tourbillons rentrants intenses.

2° Des *surbaissements* graduels de l'écran de 1.5 (5.5) cm., 2.0 (7.2) cm., 2.2 (8) cm., 2.3 (8.5) cm. et 2.5 (9) cm. amènent une amélioration qui semble atteindre son optimum pour 2.3 (8.5) cm. mais la neutralité aérodynamique de l'engin n'est *jamais* obtenue à satisfaction.

Un essai avec 16 m/s. de vent donne les mêmes résultats.

B. *Pluviomètre suédois.* v = 10 m/s.

1° Bord supérieur de l'écran *dans le plan* de l'ouverture: le flux est fortement ascendant à partir du bord d'attaque de l'écran. L'ouverture est le siège d'une forte turbulence.

2° *Surbaissement* de 1.1 (4.5) cm. La turbulence est beaucoup moins forte sur l'ouverture et le flux tend à devenir parallèle à celle-ci.

Les surbaissements de 2.5 (10) cm. et 3.2 (13) cm. donnent des résultats analogues, mais aucun surbaissement de l'écran n'amène la neutralité et l'optimum semble être à 2.5 (10) cm.

C. *Pluviomètre norvégien.* On l'étudie dans les deux positions, perpendiculaire et diagonale, plus haut indiquées.

1° Bord supérieur de l'écran à peu près *dans le plan* de l'ouverture. Attaque *perpendiculaire:* effet très défavorable; rentrée tourbillonnaire de l'air partout; attaque par la *diagonale:* le comportement est un peu moins mauvais.

2° *Surbaissement* de 1.5 (6) cm. Pour les deux directions d'attaque l'écoulement devient assez parallèle à l'ouverture et la tendance à la rentrée de l'air dans le pluviomètre est très diminuée.

3° *Surbaissement* de 1.7 (7) cm. pour les deux directions d'attaque. Il n'y a plus de rentrée d'air dans l'ouverture et l'écoulement est parallèle à celle-ci.

On peut admettre que l'optimum est 1.6 (6.5) cm. et que dans ces conditions le pluviomètre est pratiquement *neutre* dans le vent.

Cette supériorité réjouissante sur les autres pluviomètres essayés était assez imprévue, étant donné les résultats obtenus au canal hydraulique. Peut-être est-elle conférée à l'instrument par le cordon à section triangulaire qui fait saillié extérieurement en bordure de sa bouche.

D. *Totalisateur de la MZA.* Les essais d'un totalisateur, *réel* cette fois-ci, au grand tunnel de l'ETH, dans un vent de 10 m/s. environ, ont fourni de précieux enseignements. A cet effet on avait tendu un ensemble de fils tant horizontaux que verticaux au voisinage immédiat du totalisateur; ces fils portaient de distance en distance de courtes mèches de laine très souples qui décelaient la direction du vent en chaque point. Cet ensemble de petits indicateurs a permis de fixer, par la photographie, une image précieuse de la distribution des filets d'air sur le totalisateur MZA. On a pu en examiner aussi quelques variantes: totalisateur sans écran, totalisateurs à écran surbaissé ou surélevé par rapport à l'ouverture pluviométrique. Toutefois ces derniers déplacements ne pouvant être assez grands, on a complété l'épreuve à l'aide du modèle à ¼, dans la petite soufflerie. Voici les résultats:

I. Totalisateur réel:

1° *sans écran:* ascendance du flux au-dessus de l'embouchure et zone tourbillonnaire sur celle-ci et en arrière d'elle. Forte remontée du vent le long du cône terminal.

2° Ecran en *position normale* au niveau de la bouche: le domaine tourbillonnaire s'étend à tout l'intérieur de l'écran jusquà 15 cm. au-dessus de l'embouchure, auquel endroit le courant est sensiblement horizontal mais très irrégulier, fig. 16.

3° Ecran *surélevé* de 13.5 cm.: domaine tourbillonnaire encore plus étendu pour 2°. Forte composante ascendante au-dessous et en avant de l'embouchure; composante descendante à l'arrière. Le courant est très irrégulier sur l'ouverture.

4° *Surbaissement 7.5 cm.:* le domaine tourbillonnaire s'étend un peu au-dessus de la bouche. Le courant, sensiblement horizontal, y est encore turbulent.

5° *Surbaissement* de 11.5 cm.: le domaine tourbillonnaire ne s'étend plus au-dessus de l'embouchure où le courant est devenu horizontal en avant et légèrement descendant en arrière, avec un peu de turbulence, fig. 17.

II. *Modèle* à ¼:

Avec des vents de 15 à 20 m/s. on constate pour 2.9 (11.5) cm. le même effet que dans le cas I,5° ci-dessus. Cependant l'optimum est pour 3.2 (13) cm. de surbaissement. Pour 3.5 (14) cm. et surtout pour 4.0 (16) cm. on retrouve les conditions de totalisateur démuni d'écran (cas I, 1°).

Conclusions:

Les résultats des diverses épreuves décrites ci-dessus semblent pouvoir se résumer ainsi:

Aucun des engins pluviométriques essayés ne réalise, tel qu'on l'emploie, la condition primordiale de neutralité à l'égard du vent. Par un abaissement convenable de l'écran au-dessous de l'ouverture pluviométrique, on peut s'en rapprocher jusqu'à un certain point, mais sans guère atteindre la neutralité complète. Le totalisateur de la Station centrale suisse de Météorologie (MZA) devrait avoir, pour emmagasiner à peu près correctement les précipitations, le bord supérieur de son écran non pas comme usuellement dans le plan de la bouche du pluviomètre, mais à *quelque 13 cm. au-dessous.* Des essais sont en cours actuellement à la Grimsel sur deux totalisateurs MZA, l'un à écran normal, l'autre à écran surbaissé et placés à trois mètres l'un de l'autre; dès juin 1938, l'engin à écran surbaissé a capté un surcroît de précipitations d'environ 4.4 % [4]. Le pluviomètre carré des Norvégiens semble aussi pouvoir fonctionner correctement avec un surbaissement de quelque 10 cm.

En terminant, il convient de remarquer que le vent n'a jamais la régularité de l'écoulement

[4] Cf. Mercanton et Billwiller: «Instructions pour l'emploi des totalisateurs de précipitations MZA.» Annalen der Schweizerischen Meteor. Zentralanstalt für 1935.

de l'eau dans le canal ou de l'air dans le tunnel d'essai. Comme il s'agit, en pluviométrie, non de grandeurs instantanées, mais de sommations pendant une durée relativement très longue d'effets variant autour d'une moyenne — et c'est cette moyenne que l'on veut connaître — l'épreuve des engins au laboratoire a cependant à la fois légitimité et pertinence.

II. Le pluviomètre aérodynamiquement neutre. Deux réalisations.

Je rappelle tout d'abord que:

L'ouverture, horizontale, d'un récepteur de précipi- recueillera correctement celles-ci *dans le vent* si les trois conditions suivantes sont satisfaites:

1° Le courant d'air est laminaire sur l'ouverture.

2° L'instrument n'engendre, par sa présence propre, aucune composante verticale, vers le haut ou vers le bas, de la nappe d'air balayant la dite ouverture.

3° La quantité de précipitations captée n'est faussée ni par le rejaillissement des gouttes de pluie frappant l'instrument autour de l'ouverture, ni par le balayage dans celle-ci de la neige qui a atterri alentour; enfin nul dépôt de neige ou de givre sur l'appareil ne doit pouvoir troubler sa neutralité aérodynamique.

C'est précisément cette troisième exigence qui rend la solution pratique du problème vraiment difficile. Seul le pluviomètre enterré au ras du sol s'en rapproche mais sans l'atteindre encore, car il n'est adapté qu'à la pluie et ne convient pas à la neige.

Le problème est si important cependant que nous n'avons pas hésité à en affronter les difficultés et à engager les frais d'essais élevés qu'il entraîne.

Le vent pouvant souffler de tous les quartiers de la rose, l'appareil sera ou fixe et alors symétrique autour d'un axe vertical ou bien mobile mais alors devra s'orienter dans le vent. Les avantages constructifs de la fixité sont évidents et je m'y suis tenu.

Solution 1.

C'est la plus rationnelle et la plus complète. Elle a reçu deux formes. Dans la première, fig. 20 et 21, un pluviomètre du genre Hellmann, mais de 1 dm² d'ouverture circulaire seulement, est engagé librement, de toute sa hauteur, dans une enveloppe creuse, indépendante de lui, en tôle de fer zinguée, figurant un ellipsoïde de révolution autour de son petit axe, vertical et qui coïncide avec celui du pluviomètre. Ce petit axe a 35 cm. de hauteur; le grand axe, horizontal, en a 60. L'ouverture du pluviomètre remplace ici la calotte polaire supérieure manquante de l'ellipsoïde. L'ensemble est porté, à quelque 2,5 m. du sol, par un trépied en tubes de fer zingué. Un peu au-dessous de l'ellipsoïde, une plaque métallique horizontale, faisant entretoise du trépied, porte en son centre une glissière tubulaire guidant une tige métallique. C'est cette tige, qu'on peut arrêter à la hauteur voulue par une vis de serrage, qui supporte, par une petite plateforme, la base du pluviomètre. Pendant qu'il capte les précipitations, celui-ci est maintenu au sein de l'écran ellipsoïdal, fig. 21; pour faire la mesure, on desserre la vis, laisse descendre la tige et amène ainsi le récipient à portée de la main, fig. 20. Après mesure faite, en repoussant la tige vers le haut, on renvoie l'instrument à sa place.

Deux dispositifs imposés par les exigences énumérées sous 3° complètent le nouvel engin: l'un pour empêcher les éclaboussures de pluie, l'autre pour éliminer la neige qui sans cela entrerait en fraude. Le premier résultat s'obtient sans difficulté par l'ajourage, sur quelque 10 cm. de largeur, de la zone de l'ellipsoïde entourant immédiatement l'ouverture du pluviomètre, fig. 22. Quant à l'élimination des précipitations solides atterries alentour de l'ouverture, on l'obtient en maintenant l'écran à une température suffisante pour les fondre aussitôt. Ceci présente malheureusement de sérieuses difficultés: le chauffage au gaz, essayé tout d'abord, s'est révélé plein d'inconvénients: on ne peut le répartir ni le modérer assez bien et les produits de combustion, entraînés par le tirage indispensable, provoquent une évaporation inadmissible des flocons de neige passant sur l'appareil. Il ne peut s'agir ainsi que d'un pis-aller auquel on ne recourra que faute de courant électrique, et c'est le chauffage électrique que nous avions d'ailleurs envisagé d'emblée; nous l'avons appliqué au deuxième appareil réalisé à la MZA. Avant de décrire ce dernier, j'exposerai les essais faits avec le précédent:

Au tunnel aérodynamique, il est apparu aussitôt que pour les vents, uniformes, de 5 à 25 m/sec. employés: a) le flux d'air passe bien horizontalement sur la bouche du pluviomètre; il n'y a là aucune composante verticale appréciable; b) le décollement du flux et la turbulence se produisent à bonne distance en arrière de l'ouverture qui n'est ainsi pas affectée par la turbulence. *Le nouvel engin satisfait donc complètement à la condition de principe d'être neutre aérodynamiquement, dans un vent horizontal régulier.*

Il restait à connaître s'il le demeurait pour un vent quelque peu incliné vers le haut, car pareille direction d'attaque tend à rapprocher la zone de décollement de l'ouverture pluviométrique. — C'est le contraire qui se produirait par vent plongeant et l'essai en a donc pu être négligé. — Les expériences ont démontré qu'avec 6° d'ascendance et une vitesse de 10 m/s., la zône de décollement du flux d'air restait encore bien en arrière de l'ouverture, fig. 19.

Il convenait de s'assurer que l'ajourage pratiqué autur de l'ouverture pluviométrique ne remettait pas en question les résultats trouvés; l'engin a été donc replacé dans la soufflerie muni de sa collerette ajourée: le résultat n'a pas changé, fig. 18. Ainsi se trouvent légitimées par avance les quelques modifications apportées à la construction du deuxième appareil. Celui-ci ne doit plus servir à des mesures journalières mais à des totalisations plus ou moins longue, car c'est nos totalisateurs de haute montagne actuels qu'il importe de lui comparer. Le corps même de l'ellipsoïde — ou plutôt une partie de son intérieur — a été aménagé en récipient cylindrique pour

garder les précipitations. Une ouverture strictement circulaire et de 1 dm² au pôle supérieur de l'ellipsoïde, un robinet de vidange au pôle inférieur complètent ce réservoir qui peut emmagasiner quelque 3 m. d'eau météorique. L'anneau circulaire de laiton à bord tranchant qui délimite l'ouverture pluviométrique dépasse cette fois de 1 cm. le corps de l'ellipsoïde. C'est précisément l'epaisseur des deux accessoires prévus pour satisfaire aux exigences 3 et qu'on a réalisés comme suit: a) pour la pluie: une chape ellipsoïdale en tissu résistant hérissé de fils de cuivre serrés, longs d'un centimètre et faisant poils de brosse (toile à carder), familièrement appelée «l'oursin», est placée en collerette continue autour de l'ouverture pluviométrique et vient s'attacher à l'équateur de l'ellipsoïde; fig. 23 et 26. Sa surface introduit une certaine rugosité sur le parcours des filets d'air mais ne saurait troubler leur répartition; b) pour les précipitations solides: un boîtier de cuivre en façon de coquille ellipsoïdale et épaisse d'un centimètre aussi, vient coiffer exactement le corps sous-jacent du totalisateur. Ce boîtier renferme les circuits de chauffage électrique, soit cinq spirales de fil résistant, isolées à l'amiante, aboutissant à 4 prises de courant distinctes et établies pour 80, 100, 120 et 140 watts sous 220 volts (50 périodes); fig. 25.

Dans l'un et l'autre cas, la surface de ces dispositifs accessoires prolonge sans ressaut celle de l'ouverture pluviométrique.

La nécessité, combien onéreuse et délicate, d'un chauffage hivernal, limite évidemment le rôle du nouvel instrument à celui, éminent d'ailleurs, d'appareil «normal» de comparaison. Notre but et notre espoir est d'en obtenir des facteurs de réduction pour les autres instruments usuels, surtout pour nos totalisateurs de haute montagne.

Pour leurs débuts, nos pluviomètres ellipsoïdaux journaliers ont été installés, faute de mieux, sur le toit central de la Station centrale de Météorologie, fig. 24. Ce toit domine d'une vingtaine de mètres les alentours et notamment, au SE, le parc instrumental de la station. Il est très exposé au vent, tandis que le parc, où fonctionnent pluviomètre et pluviographe de service quotidien, en est assez bien protégé. La toiture comporte essentiellement une plateforme lorge de 6 m. et demi, allongée sur une quarantaine de mètres du SE au NW le long de la grande façade du bâtiment et qui relie, en les dominant un peu, les deux terrasses, larges de 12 m., des ailes. Les appareils ellipsoïdaux ont été placés sur l'axe de cette toiture principale; à leur voisinage immédiat on a fixé, à des cheminées, des pluviomètres ordinaires sans écran. Malheureusement, si les chutes de pluie ont été fréquentes, les chutes de neige ont été plutôt rares, depuis mai 1937 que les mesures comparatives ont commencé. Comme on pouvait s'y attendre, les divers engins ont manifesté aussitôt des différences notables, au surplus assez changeantes, entre les quantités d'eau emmagasinées simultanément. Les hauteurs de précipitation ont été en outre et pour tous les instruments, inférieures, plus ou moins, à celles mesurées dans le parc. Il n'y a pas lieu d'entrer ici dans les détails; notons seulement quelques points:

1° De fin janvier à fin mai 1938, le pluviomètre ellipsoïdal a toujours marqué une plus grande précipitation (environ 22%) que les deux Hellmann qui le flanqaient de part et d'autre à quelques mètres de distance, l'un à l'ouest, l'autre à l'est; le déficit de l'instrument occidental (côté usuel d'arrivée de la pluie) a été le plus grand (—28%), celui du pluviomètre oriental le moindre (—15%).

2° Du 27 mai 1937 au 1er novembre 1939, l'ellipsoïdal a emmagasiné 4,8% d'eau de moins que le pluviomètre du parc (parc 2286 mm.); toutefois, de mai à août 1938, il a mesuré environ 2% de plus que lui.

3° Un pluviomètre journalier à écran MZA, placé quelque temps à côté des autres sur le toit, n'a marqué aucune différence avec ceux sans écran.

Toutes réserves faites sur l'insuffisance forcée des conditions de la comparaison, celle-ci semble bien marquer un avantage du nouvel engin sur les anciens, mais pour l'affirmer il faudra absolument créer un parc d'essais en terrain horizontal étendu, bien ouvert, sans obstacles, à tous vents et situé à une altitude où la neige prédomine. Le fond plat de quelque large vallée du Haut-Jura, quelque haut plateau glaciaire, peut-être mieux encore le milieu de quelque lac gelé de nos montagnes, conviendraient. La surveillance et surtout le chauffage judicieux de l'engin donneront sûrement du mal et rendront l'opération coûteuse: il faut pourtant qu'on la fasse.

Les nouveaux appareils ellipsoïdaux sont sortis des ateliers de la Verzinkerei Zug AG. à Zug; M. Hohlfeld, l'habile technicien de la MZA, a réalisé — et fort bien — l'«oursin» et le chauffage électrique.

Solution 2.

Dans la mesure où le chauffage pourra être convenablement réglé, l'appareil ellipsoïdal semble bien répondre à toutes les exigences de correction pluviométrique. Un contrôle de plusieurs mois a prouvé par ailleurs l'efficacité parfaite de l'«oursin» contre le rejaillissement de la pluie. Mais le nouvel engin ne peut que rester un instrument d'étalonnage et il convenait de chercher, pour l'usage courant et continu, une solution plus simple. Reprenant, après Bastamoff-Witkievitch [5] et Kurmangalin [6], la voie ouverte par Nipher en 1879 déjà, mais mal suivie ultérieurement, je suis parvenu à la solution 2. Je rappelle que Nipher entourait son pluviomètre d'un écran conique circulaire s'ouvrant vers le haut au niveau de la bouche et prolongé extérieurement par une large collerette horizontale, mais — et c'est là le détail méconnu — le cône était fermé par en bas, de sorte que le vent ne pouvait atteindre le pluviomètre par dessous et engendrer le flux remontant vers sa bouche dont nos expériences ont amplement démontré l'effet désastreux. Avec l'écran de Nipher le flux passe sur l'ouverture pluviométrique sans nulle composante verticale ni turbu-

[5] S. L. Bastamoff et W. J. Wietkievitch: «Les spectres aérodynamiques des pluviomètres.» Bull. de l'Institut de recherches géophysiques, n°. 10. Moscou 1926 (en russe, avec résumé en français).

[6] Kurmangalin: «Zur Frage der Messung von Niederschlägen.» Meteor. Zft. 1931. pp. 222 et suiv.

lence appréciables et la neutralité aérodynamique est donc obtenue. S'il ne s'agissait que de pluie, on pourrait adopter cet écran sans plus de recherches et avec seulement quelques petits trous au bas pour l'écoulement de l'eau tombée dans le cône, mais il y a la neige, laquelle aurait tôt fait de remplir ce dernier. Il faut obtenir qu'elle s'élimine d'elle-même, sans que le pluviomètre cesse d'être neutre dans le vent. Voici comment je crois y être parvenu:

L'écran en cône unique et fermé de Nipher est remplacé par deux troncs de cône circulaire identiques et s'opposant par leur sommet, donnant ainsi avec leurs deux collerettes semblables un corps symétrique à la fois par rapport à l'axe vertical du pluviomètre et à un plan équatorial. Ce corps, qui figure assez bien une «poulie» avec sa gorge et ses flasques, entoure complètement le pluviomètre, mais à distance. Les fig. 9 et 10 en montrent le modèle original à 1/5. Des essais à la soufflerie dans un vent de 10 m/s. ont répondu exactement à l'attente: la partie du flux d'air qui ne contourne pas l'écran par la gorge passe horizontalement et sans turbulence sur les faces supérieures et inférieures de l'engin. Il n'y a aucune composante vers le vide qui sépare le pluviomètre de la surface interne de l'écran; cet espace reste complètement à l'abri du vent et peut, par conséquent, recevoir toute forme de récipient adéquate à la mesure quotidienne ou à la totalisation, mais pluie ou neige le traversent librement. Les fig. 11 et 12, 15, 14 et 13 montrent la forme du champ aérodynamique, au dessus, au-dessous, «au vent» et «sous le vent» de l'écran. Les dimensions réelles de celui-ci seront commandées par celles du récipient qu'il aura à entourer et dont la bouche devra arriver au niveau de sa collerette supérieure. Il faudra éloigner l'écran assez pour, d'une part, éliminer l'erreur par rejaillissement de la pluie ou par entraînement dans l'ouverture des flocons de neige atterris sur la collerette et, d'autre part, permettre une manipulation facile du pluviomètre. Voici les dimensions adoptées pour une première construction:

Pluviomètre: surface d'ouverture 2 dm²; hauteur 60 cm. (type de la MZA pour la montagne).

Ecran:	hauteur	61 cm.
	diamètre intérieur à la ceinture équatoriale	44 cm.
	» intérieur des bases	54 cm.
	» extérieur des bases	104 cm.
	largeur des collerettes	25 cm.

L'écran, en fer zingué, est porté, le plus haut possible pratiquement, par trois pieds tubulaires équidistants, épais de quelque 3 cm. Le récipient repose simplement à l'intérieur, sur un support adéquat soutenu par l'écran lui-même.

On voit immédiatement que — sauf à réaliser le chauffage, onéreux, de la collerette supérieure — l'écran gardera la neige qui y tomberait, collante ou par temps calme. C'est un inconvénient inéluctable et qui obligera, de temps en temps, de déblayer cette neige à la brosse ou au grattoir. C'est dire que le nouvel engin trouvera son bon emploi seulement à portée d'un observateur consciencieux et ne pourra être abandonné longtemps à lui-même. Notons cependant que la présence temporaire d'un dépôt de neige régulier sur la collerette supérieure ne changeant pas la forme générale de l'écran, n'entraînera pas une modification appréciable du spectre aérodynamique de l'engin, donc pas une erreur notable de ses indications. Son emploi paraît devoir être particulièrement favorable sur les grandes plaines nues des hautes latitudes où la neige tombe le plus souvent sèche et légère.

Tout ceci suppose que le vent attaque bien le pluviomètre par le travers; l'écran «poulie» n'est pas approprié à des souffles notablement inclinés sur l'horizon, car l'air aurait alors tendance à passer d'une face à l'autre de la «poulie» par son vide central. En pratique cette tendance favorisera tour à tour une face comme l'autre et il y aura bientôt compensation.

C'est toutefois par cette lacune que la solution 2 demeure moins bonne que la solution 1, celle de l'ellipsoïde. On installera donc l'appareil à écran «poulie» sur un terrain aussi horizontal et régulier que possible.

Index des illustrations.

Pl. I.

Essais au canal. Totalisateur MZA (1/4).

Fig. 1: sans écran.
2: à écran normal.
3: à écran surbaissé (11,5) cm.

Modèles.

Fig. 4: norvégien.
5: suédois.
6: journalier MZA.
7: totalisateur MZA (1/10).
8: totalisateur MZA (1/4).
9: écran «bobine», vu de profil.
10: écran «bobine», vu de dessus.

Essais à la soufflerie de l'écran «poulie».

Fig. 11: vu par dessus.
12: vu par dessus.
13: vu sous le vent.
14: vu au vent.
15: vu par dessous.

Pl. II.

Essais au tunnel.

Fig. 16: totalisateur MZA réel, à écran normal.
17: totalisateur MZA réel, surbaissé.
18: ellipsoïdal, calotte ajourée; v = 19 m/s.
19: ellipsoïdal, penché «au vent» de 6°; 10 m/s.

Pl. III.

Fig. 20: pluviomètre ellipsoïdal de service journalier, recipient dégagé.
21: idem, récipient engagé.
22: ouverture et zône ajourée du précédent.
23: totalisateur ellipsoïdal avec son «oursin».
24: les 2 appareils sur le toit de la MZA.
25: calotte de chauffe.
26: «oursin», vu de dessus.

Zurich, décembre 1939.

Station météorologique centrale suisse.

1

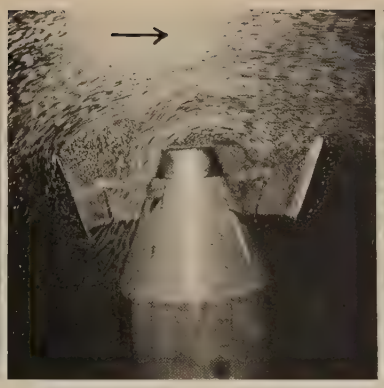

2

3

4

5

6

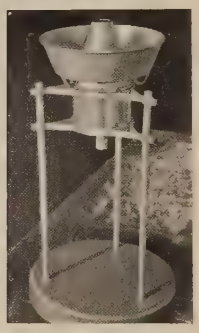

7

8

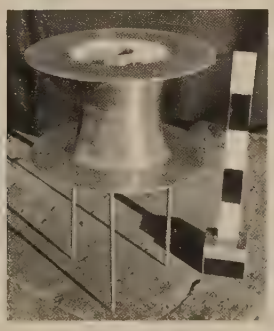

9

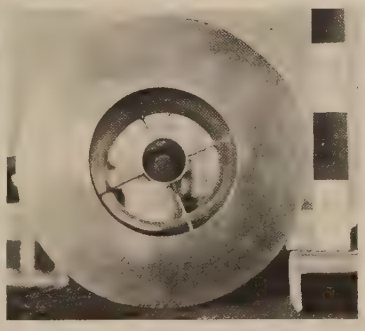

10

11

12

13

14

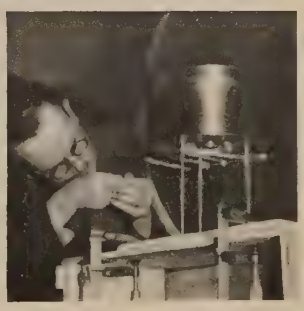

15

Nr. 9

Le radiomaxigraphe—enregistreur d'intensité des parasites atmosphériques

de la

Station centrale suisse de météorologie

par

Jean Lugeon et Guido Nobile

Météorologiste Radiophysicien

Rappel de quelques notions.

Le problème de l'enregistrement des parasites atmosphériques comporte de nombreuses variantes, selon qu'il s'agisse de définir la forme des décharges, leur structure fine ou grossière, la variation de l'intensité globale des sources ou foyers, leur origine azimutale, la déformation du spectre avec la distance, les effets de la propagation, le nombre de chocs ou décharges par unité de temps, l'effet de la longueur d'onde, etc.

Nous ne riviendrons pas dans cette note sur les méthodes d'enregistrement électriques, électromagnétiques, électromécaniques ou sur les observations visuelles à l'oscillographe cathodique; elles ont été discutées dans les assemblées de l'Union radioscientifique internationale de 1927 à 1938 et publiées plusieurs fois [1]. Les trois appareils les plus répandus dans quatre continents sont: pour l'enregistrement azitumal et le spectre: le « Cathoderay-direction-finder », pour la direction seule, le radiogoniographe à secteur étroit, pour la fréquence, l'*atmoradiographe* [2] ou *radiocinémographe* [3], qui donne en ordonnées le nombre moyen de parasites par minute. Ce dernier enregistreur, qui fonctionna d'une manière presque continue de 1926 à nos jours en Suisse, en France et ses Colonies, en Pologne, en Chine, et dans les régions polaires fit découvrir de nombreux *phénomènes radiométéorologiques;* nous entendons par là les relations de cause à effet qui lient très étroitement les perturbations météorologiques aux parasites qui en émanent. Ainsi, on connaît les principales lois des parasites à très longue portée, apanage des centres orageux liés aux fronts froids, aux dépressions atlanto-européennes, à l'écoulement de l'air polaire vers les régions tempérées. Les manifestations météorologiques locales où naissent le feu Saint-Elme, les effluves, les décharges non lumineuses, les pluies chargées, les vents de sable, etc., donnent lieu à des parasites de courte portée, dont les effets sont également connus.

Toutefois, le langage seul de l'atmoradiographe est insuffisant pour l'interprétation d'un certain nombre de *situations radio-météorologiques,* particulièrement dans les Alpes et probablement dans d'autres massifs montagneux. Il ne suffit souvent pas de connaître la fréquence seulement; il faut savoir encore mesurer à distance l'intensité des manifestations orageuses, particulièrement s'il s'agit d'étudier leur déplacement. Le problème du dépistage des perturbations radiométéorologiques n'est complètement défini dans l'espace et dans le temps que par la connaissance des trois facteurs suivants: position géographique par le recoupement des directions données par deux radiogoniographes situés aux extrémités d'une base d'au moins 1000 km pour les foyers lointains et de quelques dizaines de km pour les foyers rapprochés, fréquence des chocs par minute, intensité des foyers mesurés en un poste.

Comme la Suisse est trop petite et défavorablement orientée, pour permettre un recoupement précis des foyers lointains, nous avons mis au point ces dernières années diverses méthodes de repérage faisant intervenir les variations de la propagation causées par l'action directe du rayonnement solaire [4]. Les nombreux recoupements Ile des Ours-Pologne, de l'Année polaire 1932-1933 ont remarqualement confirmé la théorie [2 5] et cela nous permet d'affirmer aujourd'hui que les azimuts d'un seul radiogoniographe, complétées par les courbes de fréquence et d'intensité suffisent, dans beaucoup de cas, à situer dans l'espace et dans le temps la plupart des perturbations radiométéorologiques intéressant notre pays.

Ainsi, la variation de l'intensité d'un foyer, se déplaçant sur une trajectoire dont l'azimut est connu à tout instant, doit nous permettre de définir le rapprochement ou l'éloignement du foyer. Cette assertion pourrait sembler assez risquée, en raison de la variabilité de la source même, si la moyenne statistique ne venait la justifier.

On a souvent enregistré l'énergie moyenne des parasites par le procédé de Curtis, qui consiste à redresser les oscillations et à envoyer le courant continu dans un condensateur de grande capacité. Ce dernier est déchargé lentement par une résistance élevée dans le milliampèremètre enregistreur. La courbe obtenue est difficile à interpréter, car elle ne permet pas de discriminer la variation d'intensité de la variation de la fréquence des parasites. Le procédé Curtis n'est pas susceptible d'applications intéressant la météorologie, aussi l'avons nous abandonné. Il en va autrement, si l'on considère la courbe enveloppe des maxima des parasites, comme nous l'avons fait, ce qui nous autorise à définir l'énergie d'un foyer à un instant $\triangle t$ par le champ maximum des parasites qu'il produit pendant $\triangle t$, à condition que le nombre de parasites considérés soit suffisant.

Le radiomaxigraphe.

L'appareil faisant l'objet de cette note conserve le phénomène naturel aussi pur que possible, sans le déformer, car il trace la courbe enveloppe des maxima en évitant l'intégration. Certes, on ne peut pas soustraire le mouvement de la plume d'une certaine constante de temps, mais elle revêt ici une importance minime. L'effet fréquence étant ainsi éliminé pour les besoins pratiques, le nouvel appareil complète l'atmoradiographe. Il donne à tout instant l'intensité réelle correspondant à tout point de la courbe de fréquence qu'a enregistré l'atmoradiographe. En d'autres termes, notre appareil travaille en quelque sorte comme un maxigraphe. Nous lui donnerons le nom de *radiomaxigraphe*.

L'enregistrement des parasites atmosphériques lointains ou faibles n'est possible qu'avec un amplificateur très sélectif, permettant d'éliminer les émetteurs de T. S. F.

Il est évident que dans un tel système on ne mesurera pas l'intensité réelle du champ complet développé par les parasites, mais la valeur des composantes dont la longueur d'onde correspond à la bande de réponse de l'amplificateur. Les valeurs des intensités mesurées avec ce système dépendent en général de la valeur de l'intensité maximum des atmosphériques. Il est clair que celle-ci dépend aussi de la forme même de l'impulsion, oscillante ou non; on sait combien cette forme est variable. L'expérience montre cependant, que le nombre des parasites par minute est toujours suffisant, pour que l'effet final donne une valeur assez voisine de l'intensité réelle à mesurer.

L'appareil travaille de la manière suivante. Une première perturbation provoque dans un tube électromètre une variation de courant, qui dépend de la valeur même de cette perturbation, fig. 1. Dans le temps qui suit cette première impulsion, le courant engendré dans le tube ne retombe pas instantanément à sa valeur de départ, mais selon une chute exponentielle. Pendant ce temps de retour, toute nouvelle perturbation, dont le potentiel maximum est inférieur à celui correspondant à l'ordonnée de l'exponentielle au même moment, ne produit aucun effet dans le tube, fig. 2. Par contre, si cette seconde perturbation a un potentiel supérieur à celui indiqué par le tube au moment où elle se produit, elle y porte instantanément le courant intérieur à une nouvelle valeur. On obtient ainsi une courbe en saccade, dont toutes les pointes sont la mesure exacte de l'intensité du champ électrique au récepteur, c'est-à-dire que le tracé représente bien la courbe enveloppe des maxima des parasites.

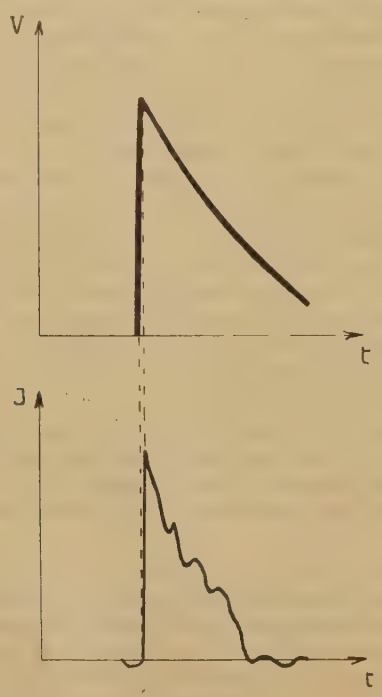

Fig. 1

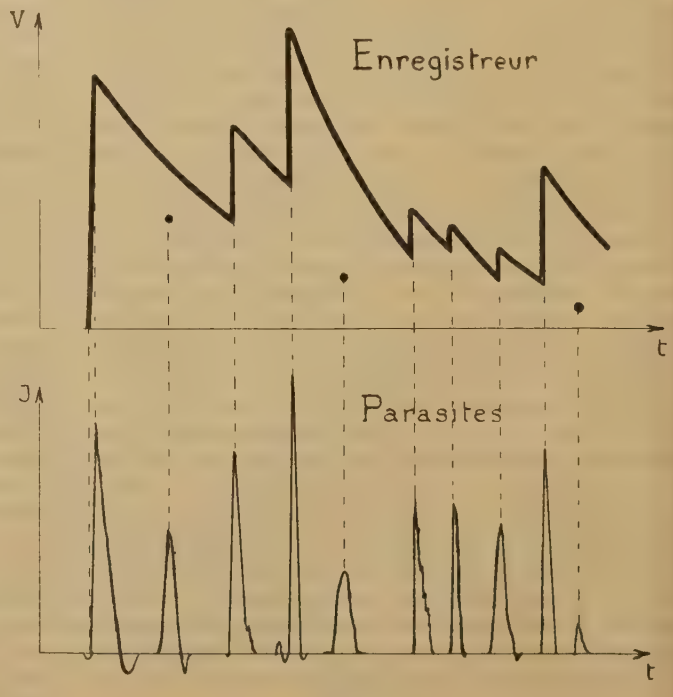

Fig. 2

Schéma.

Les parasites reçus par l'antenne entrent dans un amplificateur accordé sur 27 kc/sec, dont la bande de réponse est à peu près de 2 kilo/hertz, puis passent dans un diode de démodulation qui est suivi de l'amplificateur représenté dans le schéma, fig. 3. Ce dernier comporte un filtre d'entrée composé des condensateurs C_1 et C_2 et de la résistance R_1, dont le but est de laisser passer seulement les fréquences comprises dans la première partie du spectre des fréquences audibles. Ce filtre est suivi d'un potentiomètre P_1 qui permet de règler l'amplification de l'appareil. Le premier tube amplificateur en basse fréquence V_1 est suivi d'un tube de puissance V_2, qui est relié au tube électromètre V_3. Ce dernier comporte plusieurs grilles; la première fonctionne en anode et débite le courant de mesure, sa tension est d'environ 15 V; la seconde est reliée à la cathode par une résistance R_{12} de quelques milliers de mégohms et reçoit les variations de tensions à mesurer par le condensateur C_7. Par effet détecteur, elle se porte toujours instantanément à une tension négative, correspondant à la valeur de la pointe positive de la perturbation. Enfin, elle retourne à zéro par la décharge de C_7 sur R_{12}. C'est la tension de cette grille qui commande la valeur du courant de la grille G_1. La troisième grille et l'anode sont reliées à la cathode. Comme la grille G_2 se trouve en dehors du trajet des électrons, la résistance d'entrée du tube est très peu influencée par les conductions ioniques. Il est possible, ainsi, tout en employant un condensateur C_7 dont la valeur ne dépasse pas 10 000 cm., d'obtenir des constantes de temps $C_7 \times R_{12}$ de quelques dizaines de minutes, qui sont très stables. Il est d'ailleurs nécessaire que la capacité C_7 soit petite pour que la charge soit portée exactement et rapidement à la grille. Un condensateur de plus forte capacité introduirait l'effet fréquence, c'est-à-dire qu'il faudrait souvent plusieurs impulsions successives pour amener la grille G_2 au potentiel correspondant à la première impulsion. Le filtre $R_8 . C_{10} . C_{11}$ absorbe les variations brusques de courant en protégeant l'instrument enregistreur J, dont l'échelle va de 0 à 6 milliampères. Le tout est alimenté par le secteur alternatif stabilisé.

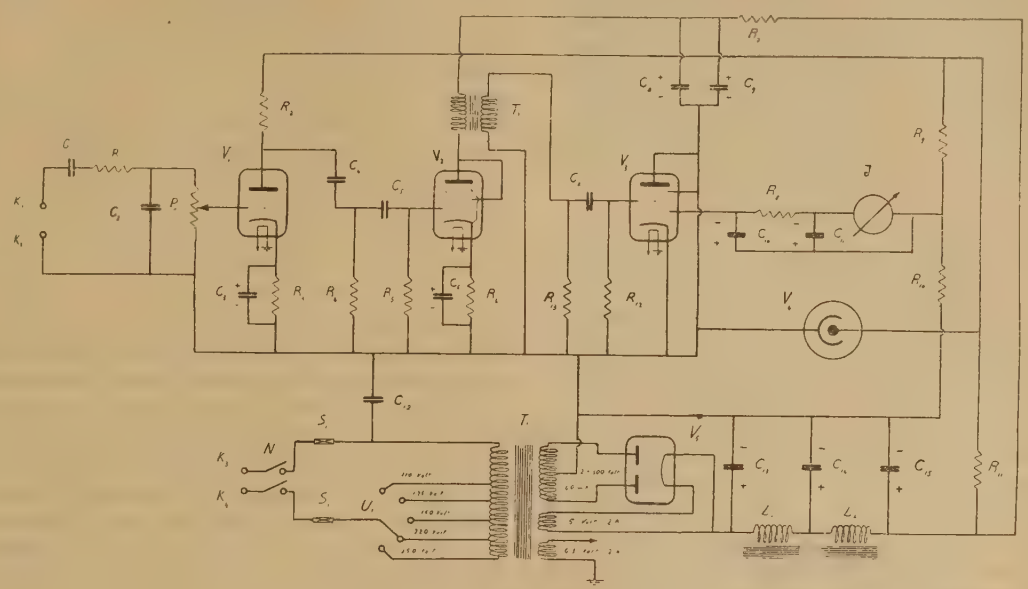

Fig. 3

Lampes Sylvania:

V_1 = 6Q7
V_2 = 6V7
V_3 = 6K7
V_4 = RV 150
V_5 = 5Y3

Résistances:

R_1 =	200.000	Ohms	0,5 Watt
R_2 =	250.000	Ohms	0,5 Watt
R_3 =	5000	Ohms	0,5 Watt
R_4 =	500.000	Ohms	0,5 Watt
R_5 =	100.000	Ohms	0,5 Watt
R_6 =	300	Ohms	2 Watt
R_7 =	2000	Ohms	10 Watt
R_8 =	400	Ohms	0,5 Watt
R_9 =	4500	Ohms	10 Watt
R_{10} =	500	Ohms	1 Watt
R_{11} =	250	Ohms	5 Watt

Condensateurs:

C_1 =	5.000 cm.		
C_2 =	20.000 cm.		
C_3 =	25 microF.	20 Volts	Électrolitique
C_4 =	0,1 microF.		
C_5 =	0,5 microF.		
C_6 =	25 microF.	20 Volt	Électrolitique
C_7 =	10.000 cm.		
C_8 =	16 microF.	450 Volt	Électrolitique
C_9 =	16 microF.	450 Volt	Électrolitique
C_{10} =	400 microF.	15 Volt	Électrolitique
C_{11} =	400 microF.	15 Volt	Électrolitique
C_{12} =	3000 cm.		
C_{13} =	16 microF.	450 Volt	Électrolitique
C_{14} =	16 microF.	450 Volt	Électrolitique
C_{15} =	16 microF.	450 Volt	Électrolitique

L_1 = 6 Henry 60 mA.
L_2 = 6 Henry 60 mA.
T_1 = Transformateur sur la réseau
T_2 = Transformateur basse fréquence 1 : 3.

Remarquons que le dispositif d'inscription est renversé. Quand il n'y a aucune charge dans l'antenne, le zéro du milliampèremètre est sur 6 milliampères. Plus le champ augmente, moins il communique de courant à l'inscripteur. La courbe de courant du milliampèremètre comme fonction de l'intensité des parasites a une allure logarithmique. Cette propriété est particulièrement avantageuse dans notre cas particulier, puisque l'énergie mise en jeu dans l'antenne va de quelques microvolts/mètres à des valeurs très grandes. Donc lorsque le champ est très intense, l'aiguille doit tomber à zéro. En règlant la sensibilité de l'appareil, on peut enregistrer ainsi tous les effets que produit la nature.

Forme des diagrammes.

Au début de nos enregistrements, nous avons été quelque peu déçu par la forme des diagrammes, dont la courbe est très agitée; elle nous semblait impropre à l'interprétation météorologique, malgré le témoignage véridique qu'elle apporte sur l'intensité des maxima orageux. Quelques mois nous ont assuré que le caractère essentiellement variable de sa structure, se révèle justement comme un élément inattendu et très précieux, pour l'explication de nombreuses situations. Il n'est pas trop de dire qu'à des mêmes types de courbes correspondent de mêmes types de temps; un catalogue des courbes rendra donc de précieux services pour la diagnose. Nous donnerons plus loin quelques exemples. Rappelons à cette occasion, qu'une dizaine d'années ont été nécessaires pour déchiffrer le langage compliqué de l'atmoradiographe, dont tous les caprices d'inscription nous sont maintenant familiers; les diagrammes du nouvel appareil sont, en ce sens, beaucoup plus simples à analyser.

Quelques faits saillants.

La variation diurne de la courbe d'intensité du radiomaxigraphe ne ressemble pas à celle de la fréquence par minute que donne l'atmoradiographe. L'intensité est beaucoup moins affectée par les phénomènes de propagation, c'est-à-dire qu'elle varie peu du jour à la nuit, tout au moins pour les perturbations prenant naissance dans un rayon de quelques centaines de kilomètres autour de l'instrument. Les parasites à longue portée émanant du Sénégal ou de Vénézuéla, par contre, sont plus sensibles à l'effet nocturne, sans que ce soit cependant dans la même proportion que la fréquence. La baisse universelle de la fréquence qui se produit sur tout le globe au lever du soleil est peu manifestée par le radiomaxigraphe.

La période particulièrement orageuse de septembre et octobre 1939, nous a fait connaître l'effet du champ des décharges lumineuses sur le dispositif inscripteur, (éclair et foudre), se produisant dans un rayon de plusieurs centaines de km. En règle générale, une décharge se marque par une élongation proportionnelle à la distance à laquelle on l'a observée, fig. 4. La variation d'intensité en fonction de la portée est faible sur le diagramme, car l'échelle des intensités y fut choisie à dessein aussi grande que possible. Le fonctionnement de l'appareil dans une grande marge n'est limité par au-

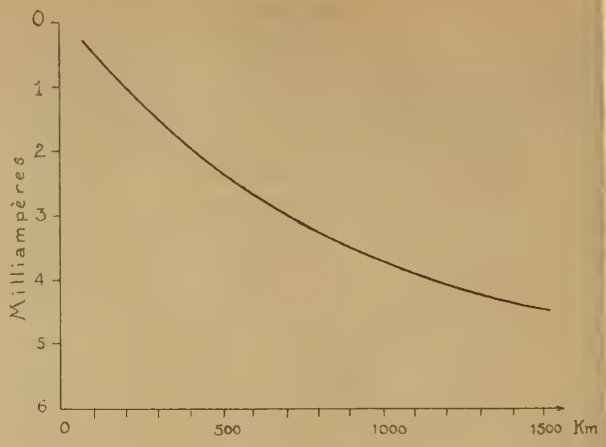

Fig. 4

cune saturation à l'entrée. Le montage montre que plus l'orage est proche et intense, moins l'inscripteur reçoit de courant; sa plume devrait donc théoriquement tomber à zéro pour un coup de foudre au voisinage immédiat de l'antenne. Il n'en a cependant jamais été ainsi. Un orage sur la station fit descendre la plume à 0,05 milliampères, ce qui veut dire que l'élongation totale de 6 milliampères choisie est bien conditionnée; le radiomaxigraphe réagit aux orages du lieu, comme aux foyers les plus lointains, situés à quelques milliers de kilomètres. Comme ces derniers gisant en hiver sur le Sénégal et le Vénézuéla n'intéressent pas la diagnose européenne, nous avons désensibilisé l'appareil, pour qu'il ne réagisse qu'aux décharges se produisant dans un rayon de quelques centaines à 2000 ou 3000 km.

En 1927, nous avions prévu, d'après l'interprétation, plutôt sommaire à l'époque, des courbes de l'atmoradiographe, que les parasites à faible portée définissent l'origine géographique de l'air.[6] Tandis que l'atmoradiographe marque souvent ces phénomènes locaux avec paresse, puisque, de par son principe même, il cumule sans distinction les sources proches et lointaines, le radiomaxigraphe, lui, est venu inespérément confirmer nos suppositions. Dès les débuts, il se révéla comme détecteur météorologique de haute sensibilité de la structure de l'air en circulation autour de la chaîne alpine. Les images qu'il donne de l'air polaire ou de l'air tropical sont foncièrement différentes. Ses enregistrements contribuent donc à une véritable aérologie indirecte des régions supérieures de la troposphère. Tant en distance qu'en altitude, il détecte les changements de temps se propageant du haut vers le bas, bien avant que leur action se soit fait sentir dans les basses couches atmosphériques. Ce sont là des faits indéniables et non plus des hypothèses. Voici son langage habituel:

Quand une grande dépression atlanto-européenne va bousculer les restes d'anticyclones continentaux ou effacer un régime de bise, commandé par une zone de basses pressions méditerranéenne indécise, l'intensité tombe progressivement à des minima. C'est que la grande masse d'air tropical qui s'élance vers l'Europe centrale par le haut, balaie et dissipe devant elle les germes orageux.

Radiométéorologiquement parlant, elle régularise et diminue le gradient de potentiel, en développant une circulation stratifiée quasi-horizontale, rompant les ascendances, toujours génératrices de parasites, parce que fortement chargées. La convection cessant, les foyers locaux s'anémient. Tandis que la courbe de l'atmoradiographe peut rester encore quelques heures assez élevée, celle du radiomaxigraphe, en avance d'un jour, annonce une forte élévation de température dans les régions supérieures de la trophosphère. Généralement quelque vingt quatre heures après ces premiers symptômes, le thermomètre du Jungfraujoch fait une hausse de 10° suivie douze heures plus tard du régime tempêtueux et doux du SW, sur le Plateau suisse. Lorsque le centre de la dépression atteint la Baltique, les isobares s'incurvent vers le NW. L'air polaire commence sa descente vers les basses latitudes. Tandis que l'atmoradiographe, totalisant encore les nombreux parasites tropicaux, dessine des paliers horizontaux, les parasites de l'air polaire, initialement trop peu nombreux pour déformer le caractère de ces lignes, agitent déjà puissamment le radiomaxigraphe. L'activité radioélectrique de l'air polaire augmente au fur et à mesure de sa progression vers les terres européennes, car l'effet d'obstacle du relief et l'effet de réchauffement de la latitude, accentuent les ascendances et par conséquent, renforcent les foyers parasitaires. Lorsque le front froid est à quelques centaines de km. de Zurich, c'est au tour de l'atmoradiographe à réagir; sa plume dessine des dentelles irrégulières, puis la chute de température provoquant les orages, les grains, les gros cumulo-nimbus et toutes les phases de l'invasion d'air polaire accentuent l'agitation du tracé. Si le mauvais temps doit persister, le radiomaxigraphe le montrera fidèlement. L'air polaire égrène sur toute l'Europe centrale de nombreux foyers de parasites locaux à faible portée, mais relativement intenses. L'atmoradiographe reprend partiellement sa variation journalière classique, avec élévation au coucher et chute au lever du soleil, mais rien de semblable n'est visible sur le radiomaxigraphe. Sa courbe dentelée n'est pas altérée par les crépuscules, dans l'air polaire ou polaire-maritime: l'amplitude des maxima est la même de jour que de nuit. Ainsi, dans cet extraordinaire octobre 1939, le plus mauvais mois qu'on ait jamais enregistré dans les annales helvétiques, tant pour son défaut d'insolation, que pour la durée de la pluie et la froidure, la plume du radiomaxigraphe n'a jamais eu de répit. Pendant plusieurs semaines elle n'a cessé de balayer le papier, tandis que l'atmoradiographe, moins franc, faisait croire, parfois, à une accalmie du volumineux brassage atmosphérique allant de la Manche aux Balkans et à la Méditerranée. Cette expérience illustre suffisamment nos thèses. Le nombre de parasites par minute n'eût pas été suffisant pour contribuer véridiquement à la diagnose. Leur intensité a été un indice beaucoup plus sûr.

*

Quelques démonstrations.

Les situations caractéristiques d'octobre et novembre 1939, que nous allons brièvement examiner sont illustrées par les reproductions des diagrammes originaux. La courbe supérieure est celle de l'atmoradiographe, dont les ordonnées sont le nombre de parasites par minute, soit environ 600 chocs au plafond, 300 à mi-hauteur et zéro sur l'axe des temps. La courbe inférieure est celle du radiomaxigraphe, dont chaque trait vertical mesure l'intensité maximum d'un seul parasite; le pied des verticales, soit la base du diagramme, est une ligne assez régulière qui donne aussi une idée de la fréquence; mais cette base ne présentant pas grand intérêt, nous n'en tiendrons pas compte dans nos analyses. Si la constante de temps était zéro ou très petite par rapport au nombre de parasites par unité de temps, la base du tracé serait une ligne droite.

L'aspect du diagramme est donc caractérisé par des verticales de hauteurs différentes et qui représentent autant de décharges de foyers proches ou lointains. En effet, si l'on admet que l'intensité du train d'onde émis par un éclair est constante, la mesure de cette intensité correspond à mesurer la distance entre l'éclair et le récepteur, puisque la portée d'une onde est proportionnelle à la racine carrée de son intensité à l'émission. L'expérience démontre que la hauteur donne bien une idée de la distance qui sépare les foyers du récepteur, et, le resserrement des droites en définit l'ampleur. L'analyse du diagramme permet, dans certains cas, de reconnaître la nature de l'air dans lequel les foyers se sont produits. Dans un tracé homogène de faible intensité on voit parfois surgir quelques rares verticales isolées et relativement élevées. Ce sont des éclairs épars dénonçant une certaine turbulence, qui a sa signification pour la diagnose des masses d'air en mouvement, car ces parasites ne sont pas à proprement parler des phénomènes accidentels.

Reste à savoir si chaque verticale, longue ou courte, correspond nécessairement à une décharge lumineuse. Nous ne le pensons pas, car l'examen attentif des observations des quelque 120 stations météorologiques du réseau suisse nous a montré que le nombre de ces décharges visibles ou audibles, en automne, même par un temps très orageux, est beaucoup plus faible que ne l'indique le radiomaxigraphe. Lorsque le foyer orageux est proche, la majeure partie des verticales paraît être le produit électrométéorologique complexe de certains changements d'état qui ne s'accompagnent pas de manifestations lumineuses ou accoustiques. Nous appellerons ces types d'ébranlement du champ électromagnétique des *parasites obscurs*. Nous savons pertinemment que certains de nos collègues de l'U. R. S. I. ne partagent pas ce point de vue. Une polémique s'était élevée à ce sujet en 1930; nous n'y avions pas pris part, persuadés que nos hypothèses d'alors se verraient tôt ou tard confirmées par l'expérience. Les diagrammes présentés dans cette note permettront à nos contradicteurs de juger. En résumé, notre thèse des parasites locaux à faible portée s'énonce ainsi: pour les régions montagneuses une grande partie des parasites de courte portée ne sont pas le produit de la fulguration, mais le résultat complexe de changements d'état dûs à la turbulence. Ils sont par là des éléments précieux pour définir l'origine géographique de l'air aux alentours du récepteur. Ceci amène à distinguer la *structure* générale de l'air, dont le mou-

vement est commandé par le gradient barométrique de sa *texture*, c'est-à-dire les phénomènes locaux, condensation, convection, advection, etc., auxquels la production de parasites est intimément liée.

L'air tropical.

Pour illustrer l'action de l'air tropical sur la production des parasites, nous avons choisi la période du 8 au 10 octobre 1939, fig. 5. Le 8 octobre s'est caractérisé par une zone de basses pressions inégalement réparties des deux côtés des Alpes, une sorte de «marécage barométrique» un peu plus profond sur la Méditerranée que sur l'Europe centrale, de sorte que le gradient est dirigé du nord au sud. Des foyers orageux importants en sont la conséquence. Ils sont inégalement répartis; les plus intenses intéressent la péninsule balkanique jusqu'à la Roumanie. La courbe de l'atmoradiographe, suivant fidèlement l'évolution de ces foyers, est en conséquence très irrégulière; celle du radiomaxigraphe est singulièrement hâchée aussi. On y voit des verticales de diverses hauteurs prouvant bien l'existence de centres orageux situés à des distances différentes, atteignant 1200 km. L'Europe centrale et orientale est baignée dans un air maritime continental dégénéré et très humide. Dès le coucher du soleil (C sur le diagramme), la courbe de l'atmoradiographe décèle bien les foyers orientaux; car elle s'élève par bonds successifs au fur et à mesure que l'obscurité gagne l'ionosphère au-dessus d'eux. (Voir notre théorie du sondage radioélectrique en longitude et latitude, de 1929[7].) Ces effets du crépuscule vespéral n'affectent pas la courbe du radiomaxigraphe. La densité des groupements de verticales reste sensiblement la même dans la nuit du 8 au 9. La chute en cascade de l'atmoradiogramme le 9 avant le lever du soleil à Zurich (L sur le diagramme), donne la direction des centres compris entre les azimuts 150° et 180°, soit exactement la répartition indiquée par la carte météorologique. (Voir notre théorie du repérage de 1934[2 4]). L'atmoradiographe a, bien entendu, enregistré aussi les foyers sud-américains; le crochet précédant l'ordonnée L en donne un azimut et la dernière chute de 8 h. du matin, qui coïncide avec l'instant où le terminateur à 100 km entre en contact avec le second sommet de rebondissement de l'onde américaine, permet de lever le doute.

Le 9 au matin, la courbe du radiomaxigraphe a rejoint les minima; toute trace orageuse en a disparu, cependant que la situation continentale dans les basses couches de la troposphère n'a pas évolué. Pendant la journée l'atmoradiographe trace le dôme estival classique et très régulier des parasites lointains. Quoique le temps reste pluvieux dans un rayon de quelques centaines de km, avec tous les caractères requis pour la production de foyers orageux importants, ceux-ci n'arrivent pas à germer. C'est qu'une masse d'air tropical, s'avançant vers l'occident, étend déjà son action apaisante dans les couches supérieures, entre 3000 et 6000 m ou plus. Elle y interdit tout mouvement convectionnel. A vrai dire, on pouvait supposer son existence dès le soir précédent, où le thermomètre commençait lentement à monter au Jungfraujoch, à 3574 m (J.). Entre 15 h. et 18 h. une lentille d'air froid fit son apparition là-haut; l'air n'était donc pas encore franchement tropical dans les basses couches de la troposphère. La conséquence s'en fit sentir entre 18 h. 20 et 19 h. 05 à Zurich, où l'atmoradiographe enregistra une remarquable précipitation électrisée. On nota plusieurs millimètres de pluie très dense. Ce phénomène ne se serait pas produit si l'air tropical pur avait déjà gagné le sol. Nous en reparlerons plus loin. Remarquons que si la fréquence des parasites sur l'atmoradiographe a pris spontanément une grande valeur, le radiomaxigraphe y est resté insensible. L'obscurité arrive; l'atmoradiographe reprend son tracé irrégulier, déterminé par les foyers méditerranéens et balkaniques. Tandis que la fréquence est sensiblement la même que la nuit précédente, le radiomaxigraphe dessine une courbe beaucoup plus régulière, avec des verticales plus espacées. Certes, on y distingue encore quelques beaux effets de décharges nées à quelque 800 ou 1200 km de distance, mais la base du tracé est plus serrée, plus épaisse, et les plages blanches entre les hautes pointes ont disparu. L'air maritime continental a déjà été remplacé sur un grand espace par l'air tropical. Le petit maximum de 8 heures sur l'atmoradiogramme est le témoin des orages américains. La courbe d'intensité est encore plus basse que le jour précédent, tandis que le ciel est toujours pluvieux. Mais la vague d'air chaud gagnant les basses couches radoucit le temps sur tout le Plateau suisse, où le thermomètre monte de 5° à 8°. Vers 14 h. les éclaircies des vents du secteur SW gagnent la Suisse française. Le soir il fait beau.

Chaque fois qu'une dépression de l'Atlantique aborde l'Europe pour y changer profondément le caractère du temps, les phénomènes radiométéorologiques se succèdent dans l'ordre que nous venons d'énumérer. Leur enregistrement continu présente donc un apport de valeur pour la diagnose.

Dépression orageuse. Eruptions chromosphériques solaires.

Le 17 octobre un régime barométrique indécis caractérise de grands systèmes nuageux et pluvieux, qui s'étendent sur toute l'Europe, du Portugal à la Pologne et de la Sicile aux Balkans. Les corps d'air qui les composent sont difficiles à définir. Dans l'est repose probablement de l'air polaire maritime et dans l'ouest de l'air maritime dégénéré. En conséquence des foyers orageux se forment en maintes régions, ce que montre l'atmoradiographe par ses multiples irrégularités, fig. 6. L'intensité est forte dans la nuit du 17 au 18; elle est suivie d'un calme de courte durée entre 7 h. et 13 h. le 18, pendant qu'une dépression profonde de 5 à 10 millimètres se creuse sur la France, dans le long couloir de basses pressions qui serpente entre les parallèles de 45 et 50°. Elle se dirige vers l'est et touche la Suisse en cours de journée. Vers 22 heures son bord méridional quitte notre pays, où la pression monte subitement. D'importantes masses d'air extrêmement humides, pour une part d'origine polaire, se heurtent contre la chaîne des Alpes. Il en résulte un vigoureux brassage et les orages qui se forment dès 20 h. 15 au Jura et sur le Pla-

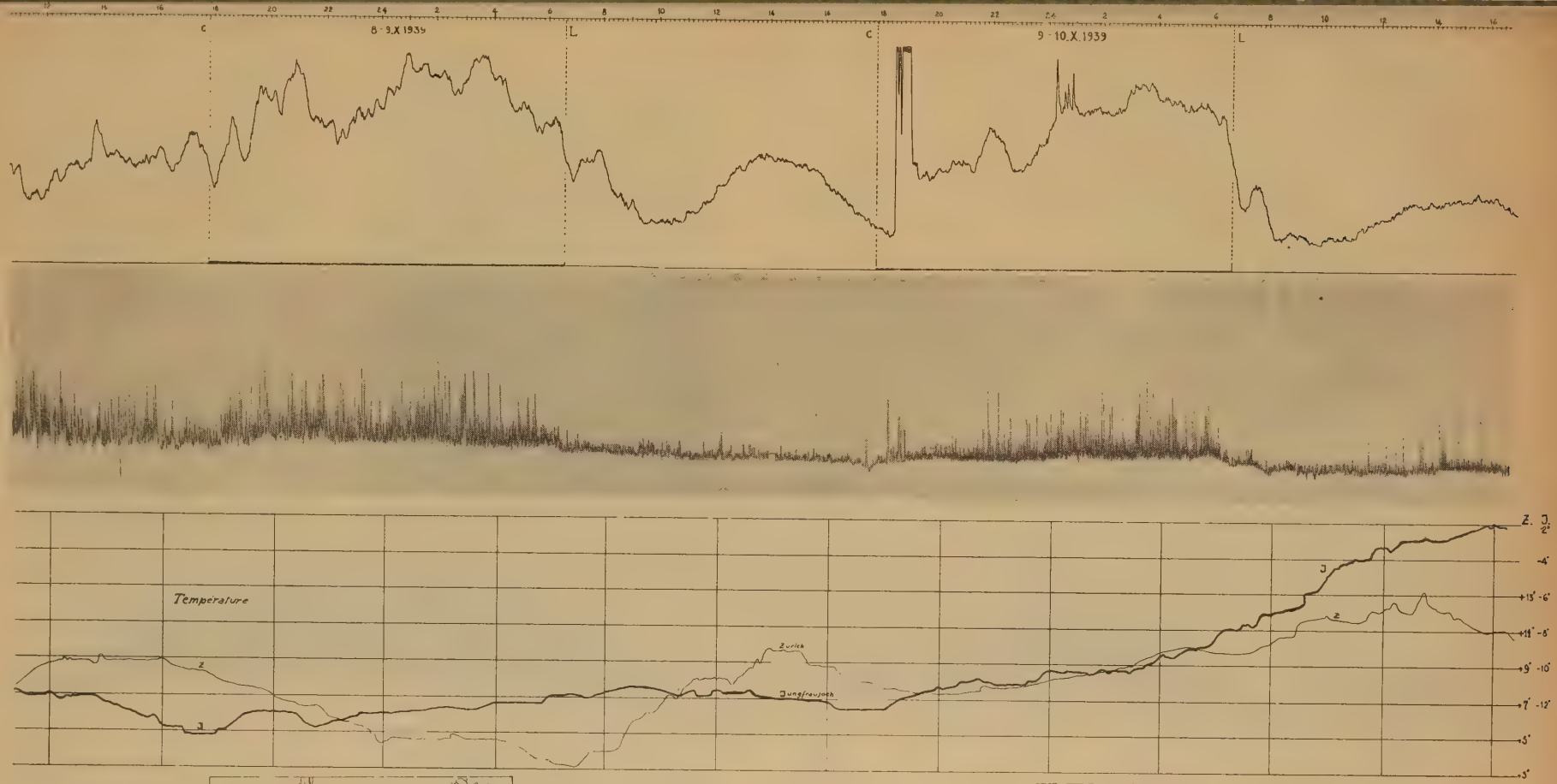
8 - 9.X 1939
9 - 10.X 1939
C
L
Temperature
Z
J
Zurich
Jungfraujoch
Z. J.
2°
-4°
+15° -6°
+11° -8°
+9° -10°
+7° -12°
+5°
+3°

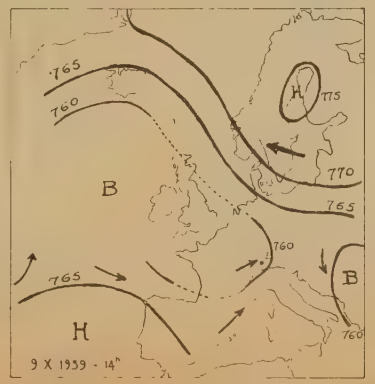
765
760
H
775
770
765
B
760
765
H
B
760
9 X 1939 - 14h

Fig. 5

H
775
770
765
B
760
Z
B
765
H
8 X 1939 - 8h

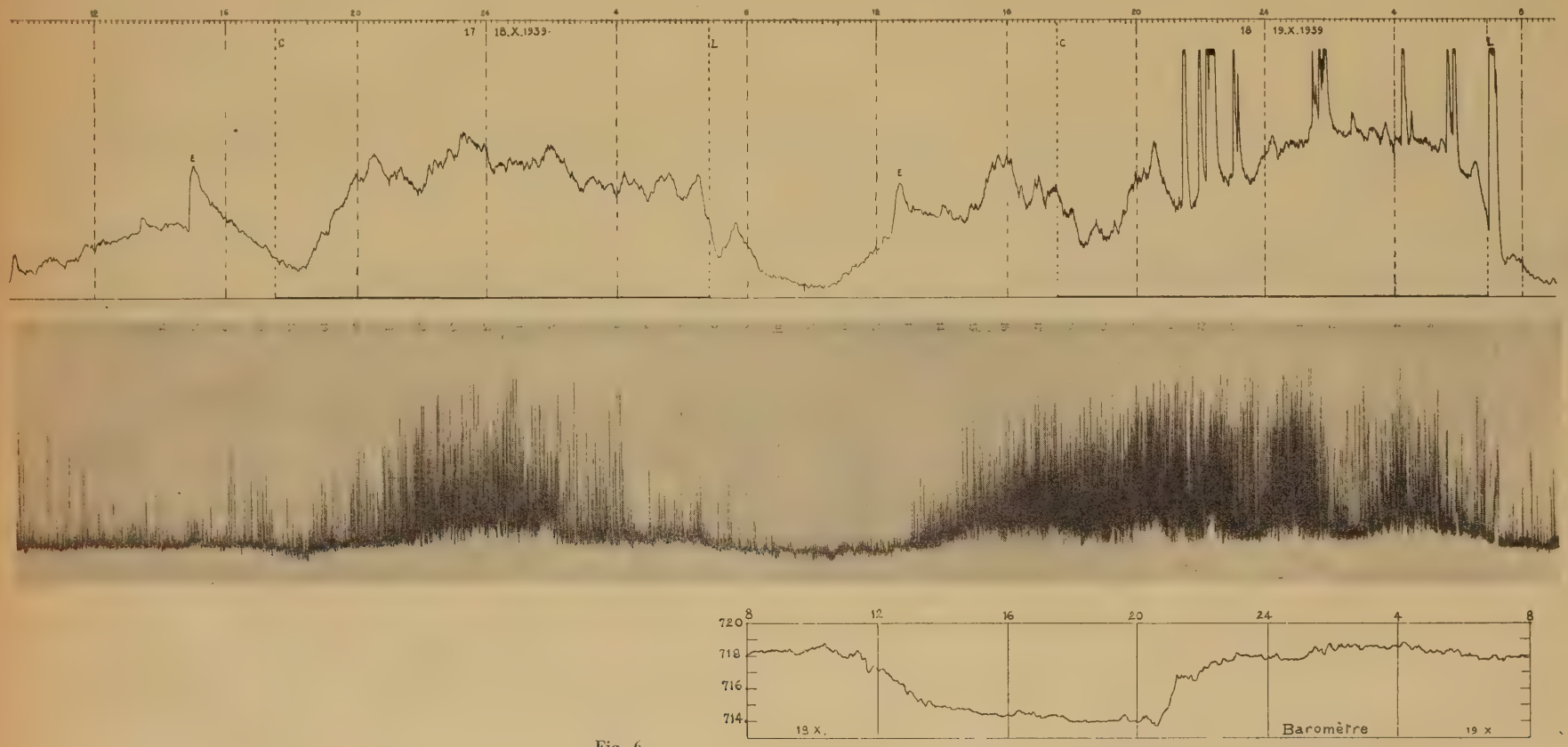

12
16
20
24
4
8
12
16
20
24
4
8
17
18.X.1939
18
19.X.1939
C
L
E
720
718
716
714
19 X.
Baromètre
19 X

Fig. 6

teau, ne disparaîtront vers l'est, en sortant du pays, que vers 24 h. On note 40 à 50 mm de précipitations. L'atmoradiographe plafonne une dizaine de fois pendant la nuit sous l'impulsion des pluies électrisées dûes à la turbulence. Entre ces décharges locales à grande fréquence, qui durent 10 à 30 minutes, la fréquence moyenne des chocs isolés est la même que la nuit précédente. Ces décharges exceptées, la situation eut semblé inchangée, d'après les indications de l'atmoradiographe et de tous les autres enregistreurs. Par contre, la courbe du radiomaxigraphe est beaucoup plus serrée et plus intense. La différence des types de tracé entre ces deux nuits est remarquable; on a bien là deux représentations radiométéorologiques différentes pour deux phénomènes thermodynamiques distincts.

de ces phénomènes est invariable. Nous en avons enregistré quelques dizaines de mars à juillet 1939. La superposition des diagrammes de Zurich et Paris (Dr. Bureau) fut parfaite. A plusieurs reprises ces effets radioélectriques ont trouvé leur confirmation par les observations visuelles du soleil de M. le Prof. Dr Brunner, directeur de l'Observatoire astronomique fédéral, à Zurich.

Dépression méditerranéenne.

Lorsqu'une bande anticyclonique s'étend sur l'Europe centrale, jusqu'à la France, et que la pression est basse sur tout le bassin méditerranéen de la Turquie au Maroc, jusqu'à Madère, les deux enregistreurs tracent des images semblables à celles du 22 à 23 octobre 1939,

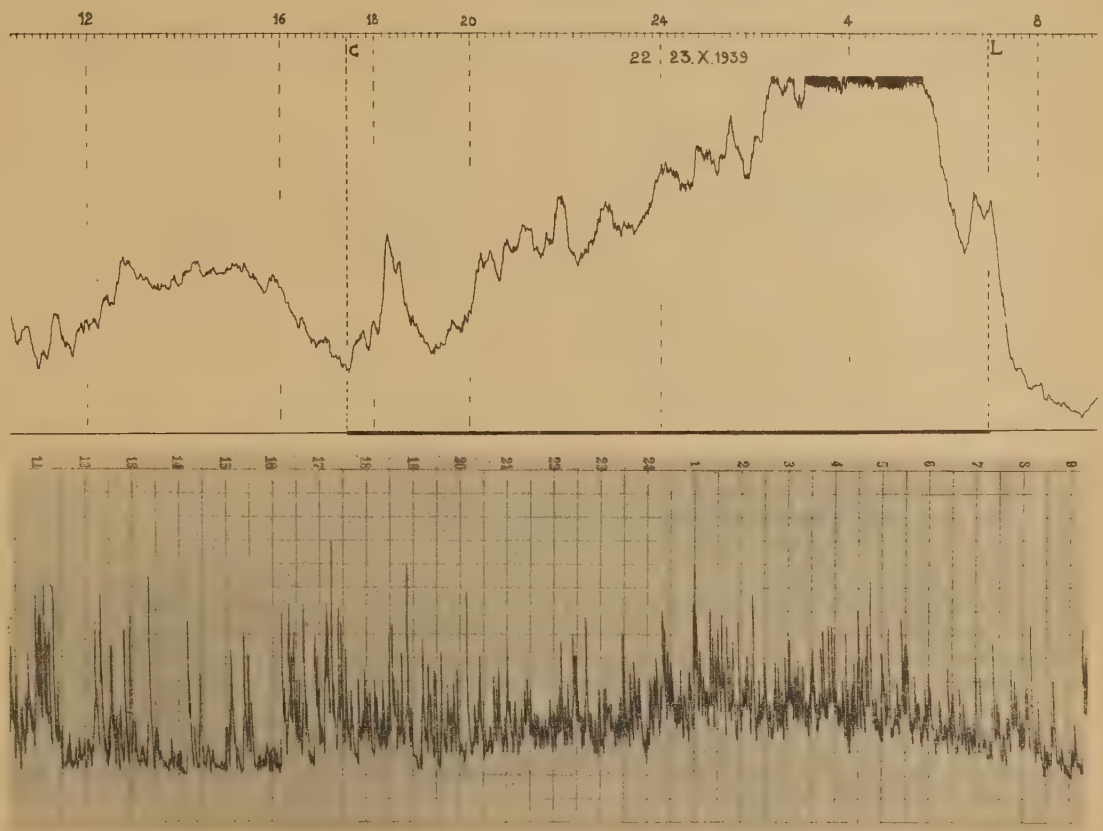

Fig. 7

Notons encore quelques faits intéressants. Si l'on suit simultanément, heure par heure, les courbes des deux appareils, on remarque une série de phénomènes illustrant nos considérations du début. Ainsi, le 18, la courbe de l'atmoradiographe descend par saccades entre 16 h. et 19 h. encadrant le coucher du soleil, tandis que le radiomaxigraphe tend au contraire à indiquer une intensité croissante. Les composantes enregistrées par les deux appareils sont donc bien différentes.

Le 17 et le 18, on voit au commencement de l'après-midi, les maxima classiques E de deux éruptions chromosphèriques solaires à début brusque [8]. La forme

fig. 7. La courbe de l'atmoradiographe affecte la forme d'une scie inclinée sur l'axe des temps du coucher au lever du soleil. Cette allure est rigoureusement conforme à notre théorie du sondage en latitude et longitude de 1929, complétée en 1934. Mais le fait nouveau à signaler, que nous ignorions jusqu'à ce jour, est l'allure remarquablement régulière de la courbe d'intensité. Elle ne suit en rien la courbe de la fréquence, ses maxima sont simplement un peu plus serrés de nuit et les groupements de verticales dénotent l'existence de nombreux foyers conservant sensiblement leur intensité diurne et nocturne. Il est vrai qu'à Zurich on reçoit de beaucoup

d'entre eux des rayons directs, longeant la terre et qui sont par conséquent peu influencés par l'effet nocturne de l'ionosphère. Néanmoins, la courbe du radiomaxigraphe est foncièrement différente de celles des cas précités.

Précipitations électrisées.

Dès la reprise de nos enregistrements de parasites atmosphériques à la Station centrale suisse de météorologie à Zurich, nous avons été impressionné par un phénomène remarquable, qui se produit rarement, mais toujours dans des conditions météorologiques parfaitement définies, quand la circulation atmosphérique générale comporte des traces d'air polaire.

Lorsqu'un nuage foncé, à l'aspect d'un cumulo-nimbus ou d'un castellatus de petites dimensions, dont la base près du sol laisse tomber de grosses gouttes de pluie, s'approche de la station, le récepteur téléphonique vibre sur une note basse, puis le ton devient rapidement chantant. Parfois on entend aussi une sorte de bourdonnement périodique analogue à celui produit par un moteur ou des appareils radiographiques d'hôpital. Toute réception dans un appareil de radiodiffusion ordinaire est couverte par ces bruits, tant sur les grandes que sur les courtes longueurs d'onde, et ceci, que l'antenne soit extérieure ou intérieure. Ces parasites chantants (en anglais: musical atmospheric, selon Eckersley) qui se succèdent à la fréquence de 100 à 300 par seconde ne laissent aucune trace sur le radiomaxigraphe. Leur énergie est donc très faible. Le chant débute et la courbe s'élève quand le nuage précipitant est à une distance maximum de 3 km. pour la sensibilité normale de notre appareil. Les radiotélégraphistes de Dubendorf nous ont cependant assuré que leurs appareils étaient bloqués lorsque le nuage est encore plus éloigné; nous ne l'avons pas observé; c'est probablement une question de sensibilité et de longueur d'onde. Néanmoins, ces parasites chantants ont une certaine portée, car il ne s'agit pas ici, d'un simple apport de charges statiques à l'antenne. On comprendrait mal, que les charges statiques libérées au moment où chaque goutte entre en contact avec le sol produise un ébranlement électromagnétique à la distance de plusieurs km. L'émission se fait vraisemblablement dans la colonne même de la pluie.

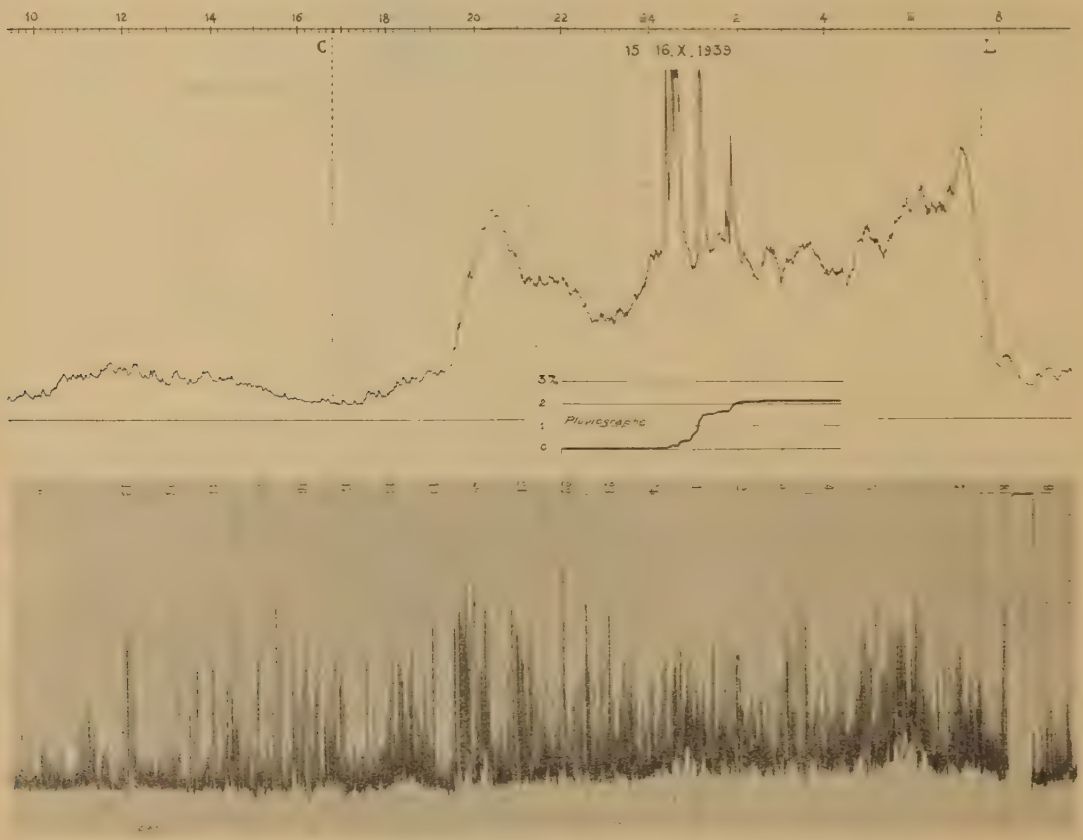

Fig. 8

Nous avons observé ces pluies chargées remontant la vallée de la Limmat au cours de l'été et de l'automne 1939, en présence de M. le Directeur Mercanton, nos collègues et une fois, tout par hasard, lors d'une visite du Lt. Colonel Borel, membre de la Commission fédérale de Météorologie. La colonne de pluie n'est pas très grande, sa vitesse de déplacement horizontal est faible aussi, de sorte que la trajectoire des gouttes est presque verticale. Le phénomène n'est donc pas nécessairement accompagné d'un grain. Il est difficile de proposer, au-

jourd'hui déjà, une théorie. On a parlé à l'U. R. S. I. plusieurs fois de ces parasites chantants sans les définir exactement, au point de vue météorologique. Il est en tous cas certain que la radiation solaire ne joue aucun rôle, puisque la production de ces grosses gouttes fortement chargées se fait de nuit et de jour. Nous croyons, d'après l'aspect général et surtout de la couleur de la traine pluviale, que la précipitation se produit initialement dans le stade d'évolution nival ou de gélive. Les grêlons, le grésil ou les flocons en traversant deux ou trois mille mètres d'air se rattrapent et se fondent. La collision ou aussi le rejaillissement des gouttes les unes sur les autres sont suffisant pour expliquer la charge, comme d'ailleurs aussi le frottement de chute ou la rencontre de masses d'air ascensionnelles, qui caractérisent toujours les phénomènes de turbulence de l'air polaire. En tous cas, il est certain que la production de ces parasites chantants cesse dès que le rideau de pluie s'est éloigné à quelques centaines de mètres de l'antenne ou que la pluie change de structure et devient fine. Ces averses électrisées, de durée assez variable, se répètent souvent plusieurs fois pendant une demi-heure. Mais elles ne produisent en tout que 2 ou 3 millimètres d'eau. Jusqu'à preuve du contraire, nous sommes persuadés que leur enregistrement, si précis sur l'atmoradiogramme, dénote toujours la présence de petites masses d'air polaire dans le courant général, lorsque les conditions d'instabilité verticale y existent. Les deux diagrammes du 15/16 octobre et du 10/11 novembre 1939, correspondaient justement à ces conjonctures, fig. 8 et 9. La coïncidence des courbes de l'atmoradiographe et du pluviographe est frappante. On ne note pas de pluie avant et après le phénomène électrique.

Tempête sur la Suisse.

La dernière situation que nous examinerons ici est le passage à Zurich, d'une des plus fortes tempêtes que l'on y ait enregistrée. Le 18 novembre, l'anticyclone des Açores s'étend sur la France, avec 775 mm. La Suisse est dans l'air maritime, ce qu'indique la tranquillité du tracé de nos deux enregistreurs, fig. 10. On reconnaît cependant sur le radiomaxigraphe quelques formations orageuses éparses, laissant supposer une situation instable, dans le voisinage des Alpes. En effet, le 19 à 8 h. l'anticyclone se retire vers l'Océan et une profonde dépression, descendant de la mer du Nord, envahit la Rhénanie et développe une énergie inaccoutumée sur l'Allemagne. La différence de pression dépasse 30 mm. sur 800 km. de distance, ce qui équivaut à un gradient exceptionnel. Le centre du cyclone passe en marge de notre pays pendant la matinée, y engendrant des vents du SW d'une extrême violence. On enregistre 32 m/sec. à 10 h.; le maximum fut 34 m/sec., le 10 février 1938 à 21 h. Dès que le bord occidental du cyclone est tangent

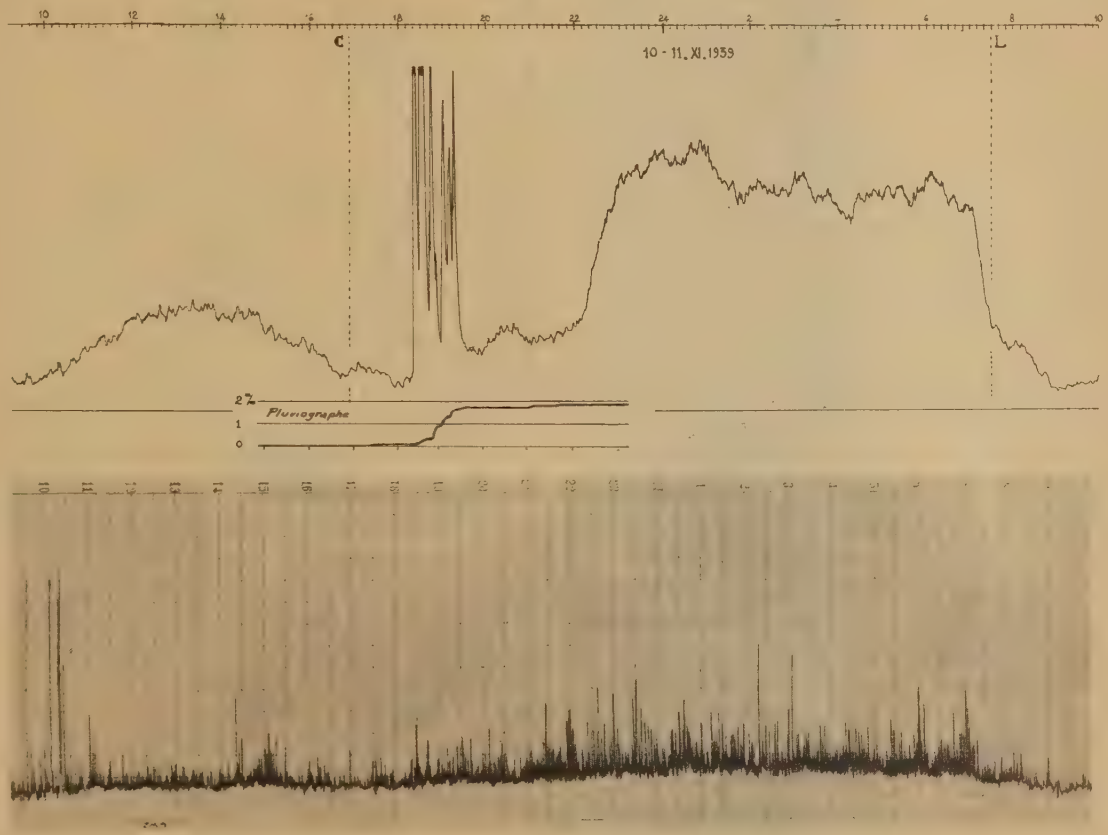

Fig. 9

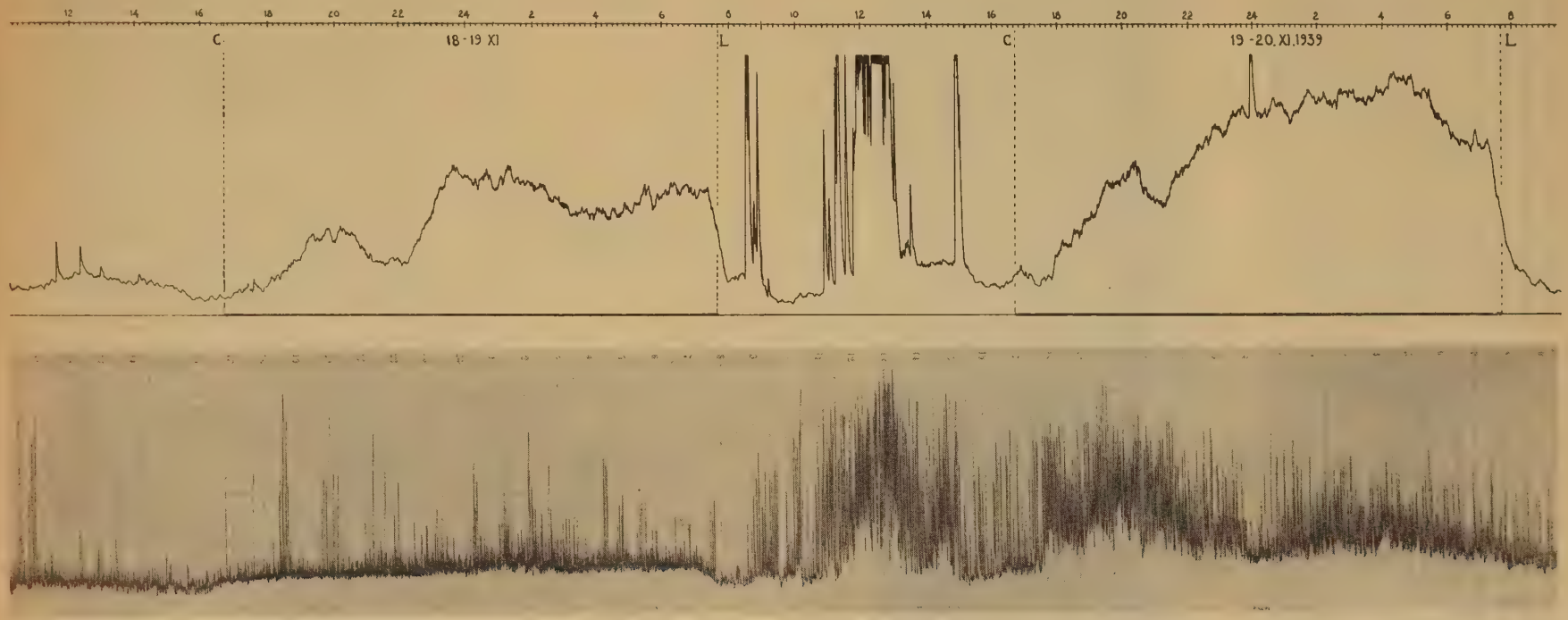
12 14 16 18 20 22 24 2 4 6 8 10 12 14 16 18 20 22 24 2 4 6 8
C
18 - 19 XI
L
C
19 - 20. XI. 1939
L

Fig. 10

aux Alpes, vers 8 h. 30, le flux de l'air maritime fait place à celui d'air polaire maritime et des chutes de pluies électrisées font à plusieurs reprises plafonner l'atmoradiographe; au gros de la tempête, entre 10 h. 30 et 13 h., toutes les précipitations sont chargées. De 13 h. à 13 h. 15, nos observateurs signalent plusieurs coups de tonnerre à Lausanne, dans les Préalpes, à Lucerne, à Horgen, etc. La plume du radiomaxigraphe passe par un maximum à ce moment-là. Puis l'activité orageuse se prolonge tout en s'affaiblissant graduellement jusqu'au lendemain, où le centre du cyclone se trouve au milieu de l'Adriatique, avec 745 mm.

Remarquons, comme dans les analyses précédentes, la grande différence des tracés des deux enregistreurs. Ainsi, dans l'après-midi du 19, tandis que la dépression poursuit sa route avec rapidité par dessus les hauts sommets des Dolomites, la fréquence des parasites tombe presqu'à zéro à Zurich, cependant que le radiomaxigraphe inscrit encore un maximum. La nuit l'inverse se produit, la fréquence augmente régulièrement et l'intensité diminue. Ce renversement des courbes s'explique par la position des divers foyers. Les uns, accompagnant la dépression sont à quelques centaines de km. et impressionnent directement le radiomaxigraphe sans passer par l'ionosphère, ils sont soustraits à l'effet nocturne, tandis qu'ajoutés aux émissions lointaines des deux Amériques, ils contribuent à l'élévation graduelle de la courbe de l'atmoradiographe.

Bibliographie.

[1] Union Radioscientifique Internationale, — Assemblées générales de Copenhague 1931, Londres 1934, Venise et Rome 1938. — Mémoires, comptes-rendus et résolutions publiés par le Secrétariat général de l'U.R.S.I., 54, Av. des Arts, Bruxelles.

[2] Jean Lugeon. — *Sur la nécessité d'une station polaire permanente d'observations radiométéorologiques pour les services de prévision du temps suivi d'un appendice donnant la description sommaire des atmoradiographes et radiogoniographes.* In 8°, 96 pages, 65 fig. Warszawa 1935. (Ce livre contient un résumé des travaux de l'auteur et une liste bibliographique de 1920 à 1935.)

[3] Robert Bureau. — *Les foyers d'atmosphériques.* Mémorial de l'Office National Météorologique de France No 25, Paris 1936. (C'est l'ouvrage fondamental de R. Bureau qui contient la synthèse de ses principales idées et une bonne bibliographie de ses travaux de 1924 à 1936, auquel nous renvoyons le lecteur.)

[4] Jean Lugeon. — *Les parasites atmosphériques polaires.* Comptes-Rendus, Ac.Sc., t. 198, p. 1712, Paris 1934.

Jean Lugeon. — *Localisation à grande distance des foyers de parasites atmosphériques sans radiogoniomètre.* Comptes Rendus, Ac. Sc., t. 199, p. 1059, Paris 1934.

[5] Jean Lugeon, Centkiewicz, Lysakowski. — *Résultats des observations de l'expédition polonaise de l'année polaire 1932—1933 à l'Ile des Ours,* 300 p., Varsovie 1936.

[6] Jean Lugeon. — *Un appareil pour déceler l'origine géographique de l'air.* Séance de la G. M. A. 1927, Archives Sc. Phy. et Nat. 5me Période, Vol. 10. Genève, 1928.

[7] Jean Lugeon. — *Un procédé pour déterminer à grande distance la position géographique et la vitesse de certaines discontinuités ou perturbations météorologiques à l'aide des atmosphériques qu'elles émettent.* Comptes Rendus Ac. Sc., t. 188, p. 1114, Paris, 1929.

[8] Robert Bureau. — *Les renforcements de la propagation des ondes longues en coïncidence avec les évanouissements des ondes courtes; leur observation par l'enregistrement des parasites atmosphériques.* Journal de Physique, T. X. No 6, Paris, Juin 1939.

Novembre 1939.

Station centrale suisse de météorologie, Zurich.

Nr. 10

Der aerologische Transporteur der Meteorologischen Zentralanstalt

(für Höhenbestimmungen)

von

Jean Lugeon.

Anfangs 1939 habe ich in den «Comptes Rendus, Paris», von einem von mir entdeckten kinematischen Verfahren für aerologische Höhenbestimmungen Kenntnis gegeben [1, 2]. Ein ausführlicher Bericht hierüber wird in der Januarnummer 1940 des «Bulletin Technique de la Suisse Romande» erscheinen [4]. Die nachstehenden Ausführungen sind ein Auszug aus diesem Bericht.

Die Barometer-Höhenformel lautet, symbolisch geschrieben,

$$H = f\,(p, t, u, g); \qquad (1)$$

darin ist H die Höhe, p der Luftdruck, t die Temperatur, u die Feuchtigkeit und g die Beschleunigung durch die Schwerkraft.

Es gibt etwa 15 verschiedene Methoden für die Bestimmung von f, die sich alle auf das hydrostatische Gesetz von Laplace stützen. Gleichgültig, ob sie sich für die aerologischen Höhenbestimmungen rechnerischer oder graphischer Mittel bedienen, immer brauchen sie ziemlich viel Zeit und sind oft nicht sehr genau.

Um möglichst alles mechanische Rechnen oder Zeichnen zu vermeiden und damit auch Zeit zu gewinnen, ferner um präzisere Resultate zu erhalten, habe ich das im folgenden beschriebene Verfahren entwickelt. Außerdem sollten meine Höhenbestimmungen in den modernen Einheiten der Meteorologie, wie sie jetzt in der IMO. allgemein als Norm gelten, ausgedrückt werden. Daher bin ich für die Bestimmung von f von der physikalisch und mathematisch einwandfreien Beziehung von V. Bjerknes ausgegangen[5], womit (1) folgende Form erhält:

$$H = f\,(p, t_v), \qquad (2)$$

wo H das Geopotential (dyn. m) bedeutet, p in Millibar gegeben ist und t_v die virtuelle Temperatur in °C darstellt.

Wenn man in der Beziehung (2) den Begriff des hypsometrischen Grades als Differential $\triangle h_{t_v} = \frac{d\,H}{d\,p}$ einführt, wo $\triangle h$ eine Höhe in dyn. m. bei konstanter Temperatur bedeutet (dp entspricht einer sehr kleinen Aenderung des Luftdrucks, z. B. um die Einheit = 1 mbar), kann die Höhe H für irgendwelche Aenderung des Luftdrucks und der Temperatur (Polytropenatmosphäre) als Fläche betrachtet werden, also

$$H = c + \int_{p_0}^{p} f\,(p, t_v)\,d\,p. \qquad (2a)$$

Damit habe ich gezeigt, daß man mit einer einzigen Planimetermessung sofort irgendeine Höhe bestimmen kann, wenn man den aerologischen Aufstieg (p, t_v) in ein rechtwinkliges Koordinatensystem einträgt in welchem wenigstens auf einer Achse die Skala linear verläuft (Fig. 1).

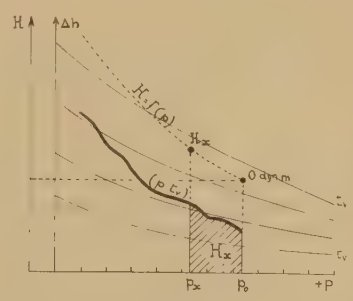

Fig. 1

Da man aber längs einer gegebenen (p, t_v) Zustandslinie stets viele Höhen zu bestimmen hat, wäre es umständlich, für jeden Wert von $p - p_0$, wo p_0 den Anfangswert bedeutet, eine Fläche abzufahren. Um dies zu vermeiden, habe ich die sogenannte Linienintegralmethode eingeführt: wenn man längs der eingetragenen aerologischen (p, t_v) Linie den Fahrstift eines Integrators führt, bekommt man für jedes beliebige Niveau vom Druck p die richtige Höhe H über dem Anfangsniveau vom Druck p_0.

Hiefür habe ich mehrere Integratoren erfunden, welche die Höhenwerte direkt und ohne irgendwelche Integrationskonstante auf einer einfachen Integrierrolle abzulesen erlauben[3], [4]. Mit dieser Methode ist es möglich, Resultate sowohl in einem rechtwinkligen als auch in einem Polarkoordinatensystem zu bekommen. Hier werde ich nur vom Polarkoordinatensystem sprechen, für dessen Verwendung ich den sogenannten aerologischen Transporteur der Schweizerischen Meteorologischen Zentralanstalt ausgedacht habe.

Ersetzen wir die Symbole der oben angegebenen Barometerhöhenformel (2a) durch die physikalischen Größen, wie V. Bjerknes es getan hat, dann erhalten wir für die Isothermenatmosphäre:

$$H_{p_0}^{p} = -A \int_{p_0}^{p} T_v \cdot d\,(\mathit{log.\ nat.}\ p) \qquad \text{m. dyn. } 10^{-5} \cdot \text{Erg.}^{-1} \qquad (3)$$

oder auch

$$H_{p_0}^{p} = A \cdot T_v \cdot \mathit{log.\ nat.} \frac{p}{p_0} \qquad (4)$$

$$\text{wo } A = \frac{R}{M} = 287{,}04 \text{ für } T_0 = 273$$

$$\text{oder } A = 286{,}86 \frac{m^2 \sec^{-2}}{\text{Grad}} \text{ für } T_o = 273{,}16.$$

R ist die Gaskonstante, M das Molekulargewicht für trockene Luft, T die absolute Temperatur. Es seien *log. nat.* p die Abszissen, t_v die Ordinaten (linear verlaufend) eines rechtwinkligen Koordinatensystems. In dieses gegebene Koordinatensystem (Fig. 2) tragen

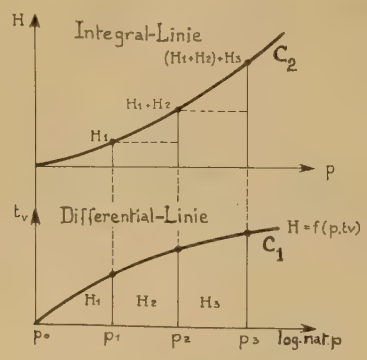

Fig. 2

wir den aerologischen Aufstieg C_1 ein. Nun zeichnen wir oberhalb und parallel zu denselben Achsen ein zweites rechtwinkliges Koordinatensystem, so, daß numerisch die Werte *log. nat.* p und p auf die gleichen Senkrechten fallen. Ist C_1 die Differentiallinie, dann ist C_2 = (H, p) die Integrallinie von C_1. Wie gesagt, ist die letzterwähnte Linie direkt auf der Integrierrolle ablesbar. Somit ist das Problem für die Polytropenatmosphäre gelöst.

Geht man vom rechtwinkligen Koordinationssystem zu einem Polarkoordinatensystem über, an welchem *log. nat.* p das Argument ist und t_v der Radiusvektor, und trägt man darin die Linie C_1 ein, dann kann man die numerischen Werte der Integrallinie C_2 direkt auf der Rolle eines sehr einfachen Radialplanimeters ablesen (Fig. 3), wenn man diese der Linie C_1 entlang-

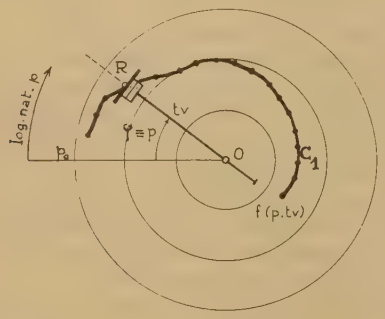

Fig. 3

führt. Dieses Instrument wurde von dem amerikanischen Professor Durand 1911 erfunden[6, 7]. Im Prinzip besteht es aus einer Integrierrolle, deren Achse stets durch den Pol des Koordinatensystems geht.

Die Substitution der Koordinaten habe ich wie folgt geschrieben:

$$d\,(\textit{log. nat.}\ p) = \frac{dp}{p} = d\varphi \qquad (5)$$

oder

$$\textit{log. nat.}\ p = \varphi \qquad (6)$$

Dann bekommt (3) folgende Form:

$$H^p_{p_o} = -A \int_{\varphi_o = \textit{log. nat.}\ p_o}^{\varphi = \textit{log. nat.}\ p} T \,.\, d\varphi \qquad \text{dyn. m. } 10^{-5}.\ \text{Erg}^{-1} \qquad (7)$$

Ist T zwischen zwei Niveaux mit den Luftdrucken p_0 und p konstant, dann hat man:

$$H^p_{p_o} = -A.T \int_{\varphi_0}^{\varphi} d\varphi \qquad (8)$$

was bedeutet, daß die Länge des Bogens, der dem Winkel φ entspricht, direkt proportional zu H ist.

Daraus folgt, daß infolge der linearen Aenderung von T für einen gegebenen Winkel φ auch H sich linear ändert, was man so schreiben kann:

$$\text{Bogen } \varphi = \frac{H_1}{T_1} = \frac{H_2}{T_2} = \ldots\ldots \qquad (9)$$

Damit ist bewiesen, daß die Argumentskala φ = *log. nat.* p unabhängig vom Radiusvektor T gezeichnet werden kann.

*

Es gibt mehrere Methoden für die Einteilung der Druckskala. Zuerst legt man die Grenzen des Luftdruckes fest, welche den Höhen der in Betracht kommenden aerologischen Aufstiege entsprechen. Ich habe für die Versuche der MZA (April 1939) [8]) 1100 und 30 mbar angenommen. Die entsprechenden Winkel habe ich aus Zweckmäßigkeitsgründen auf einen vollen Kreis (also $2 \,.\, \pi = 360^0$) verteilt.

Die Einteilung des Kreises $2\,\pi$ ergibt sich aus der Lösung des Integrals (7). Die Substitution (5) (6) führt uns zu folgender Formel:

$$p \equiv \varphi = \frac{2\,.\,\pi}{(\textit{log. nat.}\ 1100 - \textit{log. nat.}\ 30)} \cdot (\textit{log. nat.}\ 1100 - \textit{log. nat.}\ p), \qquad (10)$$

wobei vom festen Anfangsradius p_0 = 1100 mbar auszugehen ist.

Man kann aber viel einfacher vorgehen. Man errechnet sich aus der Bjerkneshöhentafel (H, p) der Isothermenatmosphäre Null Grad Celsius eine Winkeltafel (p, φ). Nach (9) kann man schreiben:

$$\varphi = k.\ H, \text{ indem man } \varphi \equiv p \text{ voraussetzt.} \qquad (11)$$

Der Multiplikationsfaktor k läßt sich, wie schon oben erwähnt, berechnen. Die Bjerknestafel gibt für H zwischen 1100 und 30 mbar 28225 dyn. m. Dann ist in unserem gewählten Fall:

$$k = \frac{360^0}{28225} = 0{,}01275465$$

Auszug aus der Winkeltafel:

mbar:	Winkel:
1100	0^0
900	$20^0.1$
700	$45^0.2$
500	$78^0.8$
300	$129^0.9$
100	$239^0.7$
30	360^0

Besitzt man keine Tafel, so berechnet man H nach (4), in unserem Falle also:

$$H_o = 2{,}8704 \cdot 273 \cdot \textit{log. nat.} \frac{1100}{30} = 28225 \text{ dyn. m.}$$

Die Druckskala läßt sich auch mit dem Radialplanimeter direkt konstruieren. Mit Hilfe der Bjerknestafel bestimmt man sich zunächst die den erwünschten Barometerständen bei 0° entsprechenden Höhen.

Hierauf fährt man — wie immer bei $p_0 = 1100$ mbar beginnend — mit dem Fahrstift des Radialplanimeters der Isothermenatmosphäre 0° entlang, bis die Integrierrolle die vorher errechneten Höhenzahlen anzeigt. Der Fahrstift steht dann jeweils an den Punkten, durch welche die entsprechenden Druckradien zu ziehen sind.

Die Temperaturskala längs dem Radiusvektor läßt sich ebenfalls sehr einfach bestimmen. Sind z. B. die Konstanten des Radialplanimeters bekannt, dann läßt sich daraus der Radiusvektor des Bogens $H = 2 \cdot \pi\, r_t$ ohne weiteres berechnen. Da der Pol die Temperatur von —273° hat, so ist, wenn $r_t = 0°$ ist, die Temperaturskala in Graden: $\frac{r_o}{273}$

Praktischer ist die empirische Lösung:

Man fährt mit dem Planimeterfahrstift längs eines Kreises 2π, dessen Radius r_x gegeben ist. Damit mißt man die Länge des ganzen Bogens: $2\,\pi \cdot r_x = H_x$. Aus H_x rechnet man nach der Bjerkneßtafel die Temperatur der entsprechenden Isothermenatmosphäre, die von den Luftdruckwerten 1100 und 30 mbar begrenzt wird. Daraus folgt die Temperaturskala: $\frac{r_x}{T_x}$. Der Wert von T_x ist in diesem Falle selbstverständlich in Graden ab —273° (Pol) zu zählen.

Endlich ergibt sich nach (9) noch folgende Methode:

$$\frac{H_x}{r_x} = \frac{H_o}{r_o}, \text{ daraus } r_o = \frac{H_o \cdot r_x}{H_x} \qquad (12)$$

und die Temperaturskala: $\frac{r_o}{273}$

Ich muß hier bemerken, daß alle diese Ueberlegungen nur dann gelten, wenn der Fahrstift im Rollenfußpunkt steht. Das ist aber beim Durand-Amsler Radialplanimeter nicht der Fall. Aus Zweckmäßigkeitsgründen ist der Fahrstift gegenüber dem Rollenfußpunkt um eine kleine Strecke a verschoben (Fig. 4). Dies hat zur Folge, daß der Radiusvektor auch von a abhängig ist.

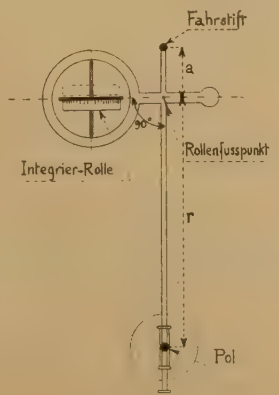

Fig. 4

Die Bestimmung von a sowie des Rollenabwicklungsfaktors k des Radialplanimeters geschieht folgendermaßen. Man umfährt zwei Kreise mit bekannten Radien, $2 \cdot \pi \cdot r_1$ und $2 \cdot \pi \cdot r_2$. Die Integrierrolle gibt dafür die bezüglichen Werte h_1 und h_2. Dann ist:

$$2 \cdot \pi \cdot (r_1 - a) = k \cdot h_1$$

$$2 \cdot \pi \cdot (r_2 - a) = k \cdot h_2$$

und

$$a = \frac{h_1\, r_2 - h_2\, r_1}{h_1 - h_2}. \qquad (13)$$

k benötigen wir nicht.

Ist wie früher r_x der Radius eines Bogens $2 \cdot \pi$ einer Isothermenatmosphäre, deren Höhe H_x und deren Temperatur T_x ist, ist weiter r_0 der Radiusvektor der Isothermenatmosphäre H_0 von 0° Temperatur, ebenfalls für den Bogen $2 \cdot \pi$, dann bekommt man nach (9):

$$r_o = \frac{H_o\,(r_x - a)}{H_x} + a \qquad (14)$$

Für die von mir gewählten numerischen Daten ergibt sich folgende Größenordnung der Temperaturskala: die höchste angenommene Temperatur ist +40° mit dem Radiusvektor 34,7 cm; die tiefste Temperatur ist —80° mit dem Radiusvektor 21,86 cm. Daraus errechnet sich der Abstand pro Grad:

$$(34{,}7 - 21{,}86) \text{ cm} : 120 = 1{,}07 \text{ mm.}$$

Der aerologische Transporteur, den ich auf der Meteorologischen Zentralanstalt entwickelt habe (siehe Photographie, Fig. 5), besteht aus einer runden Metall-

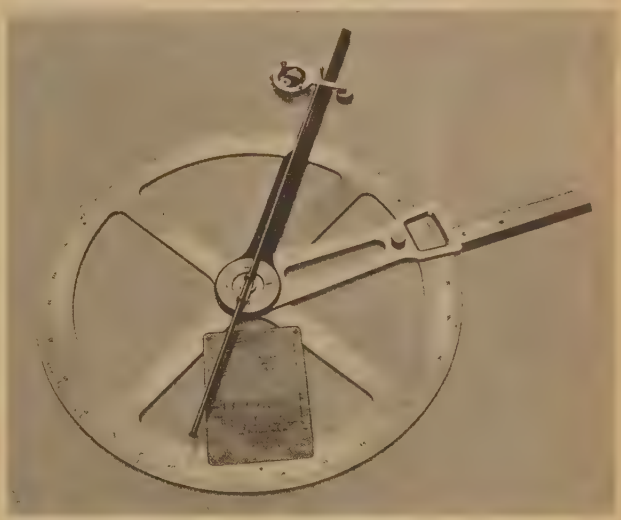

Fig. 5 Photo Amsler

An der Sitzung der Int. Aerolog. Kommission im Juni 1939 vorgelegt

scheibe, auf deren Rand die Luftdruckskala $\varphi = \textit{log. nat.}\, p$ direkt in numerischen Werten von p graviert ist. Die Temperaturskala t_v ist auf einen um das Zentrum des Transporteurs sich drehenden, ebenfalls metallenen Radialarm aufgetragen. In die Mitte der Scheibe ist eine kreisförmige Oeffnung geschnitten worden, in welche die Zentralsonnensitzscheibe des Durand-Amsler-Radialplanimeters genau hineinpaßt.

Der aerologische Transporteur, dessen Prototyp von der Firma Amsler gebaut worden ist, dient also als Koordinatograph für die Eintragung des aerologischen Aufstiegs (p, t_v) auf gewöhnliches weißes Papier. Nachdem die sich folgenden Punkte (p, t_v) auf dem Papier aufgetragen sind, verbindet man sie zu einer kontinuier-

lichen Kurve. Der so gebildeten spiralförmigen Zustandslinie fährt man mit dem Fahrstift des Radialplanimeters entlang. Die Höhen liest man direkt und ohne Korrektur auf der Integrierrolle ab. Zu Beginn der Integration wird die Rolle auf Null gestellt oder auf die Höhe der Ballonstartstation in dyn. m., sofern man die Höhen über Meeresniveau zu bekommen wünscht.

Auf der Photographie sieht man zwischen dem Fahrstift und der Integrierrolle einen zweiten beweglichen Radialarm, der dazu dient, während der Integration Kontrollmarken längs eines Radiusvektors zu machen, beispielsweise bei runden Höhenzahlen oder bei runden Millibarniveaux.

Bemerkung wegen der Höheneinheit. So wie ich ihn ausgedacht habe, ist der Aerologische Transporteur nur für dyn. m. gültig. Nun läßt er sich aber sehr leicht für geometrische Meter umändern, indem man das Verhältnis $\frac{\text{H dyn. m.}}{\text{H geom. m}}$ als konstant betrachtet. Ist in Zentraleuropa 1 dyn. m. = 102 cm, so ergibt sich nach Gleichung (9) die Höhe in geometrischen Metern dadurch, daß man den Radiusvektor um 2 % verlängert. Diese Lösung ist jedoch nur für geringe Höhen zu empfehlen, da g mit der Höhe variiert. Deswegen habe ich für unsern Gebrauch darauf verzichtet. Einfacher und präziser verwandelt man die dyn. m. in geom. m. mit Hilfe einer einmalig berechneten Tafel.

*

Endlich möchte ich noch darauf hinweisen, daß es mir gelungen ist, einen nach meiner Meinung noch vielseitiger verwendbaren Höhenintegrator zu entwickeln, auf dessen eingehende Beschreibung hier jedoch wegen Platzmangel verzichtet werden soll. Das Prinzip des neuen Instrumentes für rechtwinkliges Koordinatensystem habe ich dargestellt in den «Comptes Rendus, Paris», sowie im erwähnten Artikel des «Bulletin Technique de la Suisse Romande». Der neue Integrator, den ich für alle aerologischen Zwecke der Meteorologie empfehlen möchte, zeigt gegenüber dem aerologischen Transporteur folgende wichtige Vorteile:

1. Er ist präziser, leichter und kleiner. 2. Er schafft mit rechtwinkligen Koordinaten, was angenehmer und praktischer ist als mit Polarkoordinaten. 3. Die Druckskala ist besser sichtbar, da ich durch ein einfaches mechanisches Vergrößerungsverfahren die Distanz zwischen 2 sich folgenden Millibarstrichen wesentlich vergrößert habe. Dies ist besonders wichtig bei den hohen Luftdrucken, wo die Millibarstriche sonst zu dicht beieinander stehen. 4. Die Aequidistanz der Temperaturgrade ist doppelt so groß wie beim Transporteur, nämlich 2 mm für 1°. Dadurch braucht man nicht so präzis und so fein zu zeichnen wie beim Transporteurverfahren, trotzdem behält man dieselbe Genauigkeit beim Integrieren bei. 5. Durch einfache Verstellung einer Schraube kann man je nach Belieben in dyn. m. oder in geometrischen Metern (und zwar genau!) integrieren, ohne Anwendung einer Umrechnungstabelle. 6. Durch eine Bremsvorrichtung an der Integrierrolle läßt sich der Höhenintegrator viel leichter als Koordinatograph und als Integrator benützen. Bei einiger Uebung kann man sogar von der Auftragung der p, t_v-Linie auf dem Papier oberhalb einer gewissen Höhe absehen. 7. Die Resultate sind also rascher und bequemer erhältlich als mit dem aerologischen Transporteur. 8. Da man im rechtwinkligen Koordinatensystem arbeitet, lassen sich mit dem Höhenintegrator viele spezielle Bestimmungen, wie z. B. die der potentiellen Temperatur, sehr einfach ausführen.

*

Bibliographie.

1. Jean Lugeon. — *«La détermination instantanée et sans calcul de toute altitude d'une radio-sonde»*, Comptes rendus des séances de l'Académie des Sciences, t. 208, p. 591, Paris, 20 février 1939.
2. Jean Lugeon. — *«Un altimètre intégrateur pour sondage aérologique»*, Comptes rendus des séances de l'Académie des Sciences, t. 208, p. 1327, Paris, 24 avril 1939.
3. Jean Lugeon. — *«Un intégrateur pour coordonnées polaires, rectangulaires et curvilignes»*, Comptes rendus des séances de l'Académie des Sciences, t. 208, p. 1874, Paris, 12 juin 1939.
4. Jean Lugeon. — *«Mémoire sur la méthode d'intégration des altitudes en aérologie. Nivellement barométrique de précision»*, Bulletin Technique de la Suisse Romande, Lausanne, 13 et 27 janvier 1940.
5. V. Bjerknes. — *«Dynamische Meteorologie und Hydrographie. — Statik der Atmosphäre und der Hydrosphäre»* (mit J. W. Sandström). F. Vieweg und Sohn, Braunschweig, 1912.
6. H. de Morin. — *«Les appareils d'intégration»*, Gauthier-Villars, Paris, 1913.
7. R. Pers. — *«Un type nouveau de planimètre intégrateur»*, Revue générale des sciences, No. 15, nov. 1935, Paris, 1935.
8. Jean Lugeon und Max Schüepp. — *«Radiosondenaufstiege in der Schweiz»*, Flugwehr und Technik, Nr. 5, Zürich 1939.

*

Nachschrift der Direktion der MZA.: Diese zusammenfassende Darstellung des von J. Lugeon ausgearbeiteten Verfahrens für aerologische Höhenbestimmungen erfolgte auf Wunsch der unterzeichnenden Direktion. Sie erklärt hiemit, daß die Schweiz. Meteorologische Zentralanstalt als staatliches Amt sich sowohl bezüglich des aerologischen Transporteurs als auch hinsichtlich des Höhenintegrators alle Rechte vorbehält. Sie ist zu jeglicher weiteren Auskunft über die erwähnten Apparate gerne bereit.

Dezember, 1939.

Der Direktor der Met. Zentralanstalt
Mercanton.

C
cldi
AO.

ANNALEN

der

SCHWEIZERISCHEN METEOROLOGISCHEN ZENTRALANSTALT

1938

Fünfundsiebzigster Jahrgang

City—Druck AG. Zürich 1
St. Peterstraße 10
Kommission von Beer & Cie.
1939

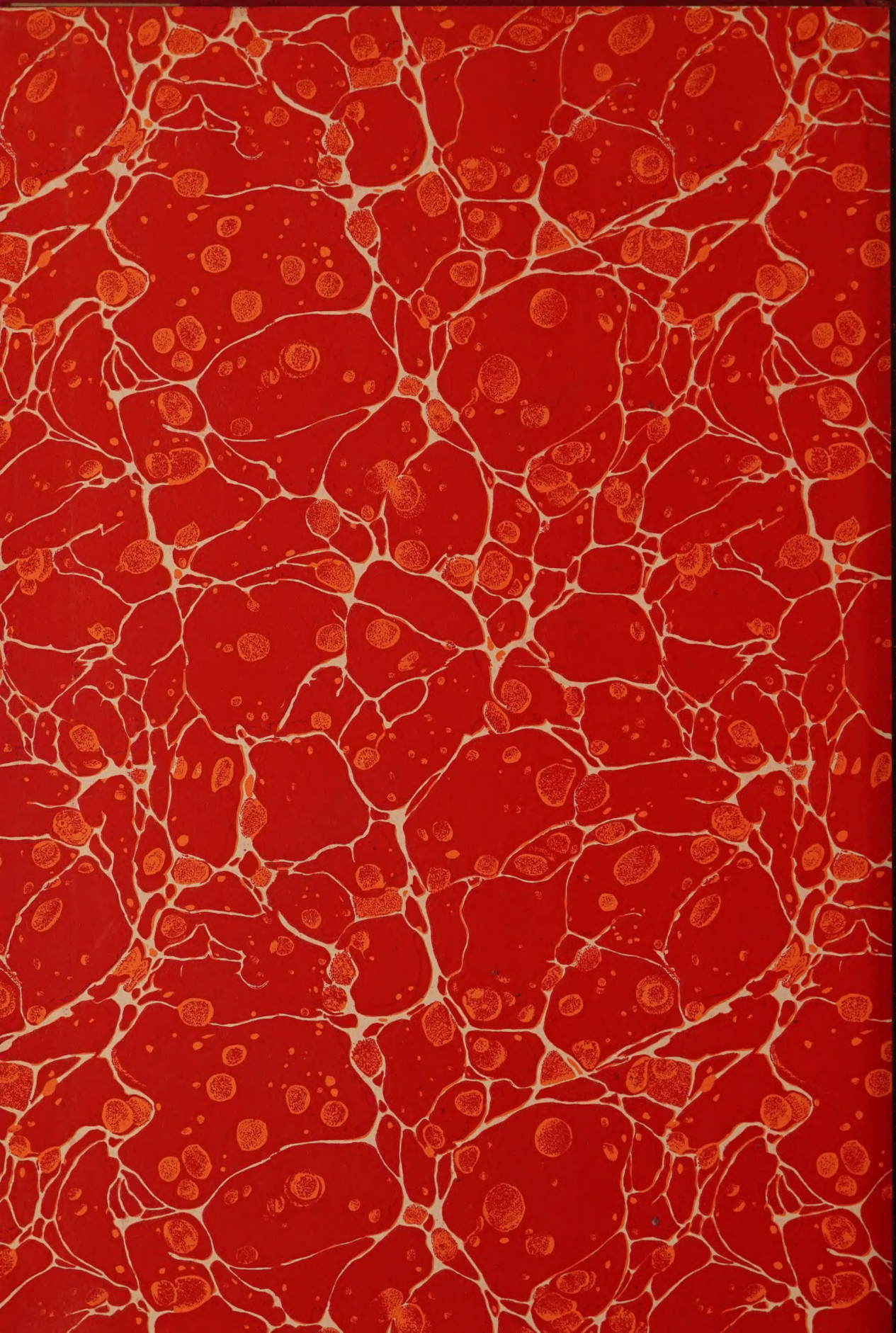

NOAA CENTRAL LIBRARY
CIRC SH318 .A3
Australia
Technical paper
3 8398 0000 9740 6